

# Meta-optimization of maximally-localized Wannier functions

Sabyasachi Tiwari,<sup>1,2</sup> Bruno Cucco,<sup>1,2</sup> Viet-Anh Ha,<sup>1,2</sup> and Feliciano Giustino<sup>1,2,\*</sup>

<sup>1</sup>Oden Institute for Computational Engineering and Sciences, The University of Texas at Austin, Austin, Texas 78712, USA

<sup>2</sup>Department of Physics, The University of Texas at Austin, Austin, Texas 78712, USA

Maximally-localized Wannier functions are quantum wavefunctions resembling atomic orbitals that are used to describe electrons in condensed matter.<sup>1</sup> Since their introduction in 1997,<sup>2</sup> these functions have become ubiquitous in *ab initio* materials simulations, including applications in linear-scaling methods,<sup>3</sup> strongly-correlated electron systems,<sup>4</sup> quantum transport,<sup>5</sup> electron-phonon interactions,<sup>6</sup> and topological materials.<sup>7</sup> Despite their widespread adoption in a vast software ecosystem,<sup>8</sup> Wannier functions have not yet attained their fullest potential in the presence of entangled bands, as their optimization remains challenging and labor-intensive. Here, we introduce a universal meta-optimization method that leverages workflow abstraction and machine learning techniques like differential evolution and Bayesian optimization to generate globally optimized Wannier functions without human intervention. We demonstrate this approach through three applications: (i) autonomous interpolation of entangled band structures with millielectronvolt accuracy starting from coarse Brillouin zone grids, (ii) thousand-fold acceleration of fully *ab initio* Boltzmann transport calculations via the use of minimal coarse Brillouin zone grids, and (iii) ultra-fast high-throughput calculations of high-precision Wannier functions for large materials libraries. This work brings calculations that previously required supercomputers within the reach of personal computers.

## Introduction

Wannier functions offer a localized representation of electrons in crystalline solids that is complementary to the standard Bloch representation.<sup>1</sup> If we denote by  $|n\mathbf{k}\rangle$  an extended Bloch function with band index  $n$  and Bloch wavevector  $\mathbf{k}$ , Wannier functions are defined by the following generalized Fourier transform:

$$|\mathbf{R}m\rangle = \sum_n \int \frac{d\mathbf{k}}{V_{\text{BZ}}} e^{-i\mathbf{k}\cdot\mathbf{R}} U_{nm\mathbf{k}} |n\mathbf{k}\rangle. \quad (1)$$

In this expression, the integral is performed over the crystal Brillouin zone (BZ), with volume  $V_{\text{BZ}}$ , and  $\mathbf{R}$  denotes a vector of the crystal lattice. The unitary matrix  $U_{nm\mathbf{k}}$  is arbitrary; by suitably choosing this matrix, one can obtain Wannier functions  $|\mathbf{R}m\rangle$  that are as localized as possible, known as maximally-localized Wannier functions (MLWFs).<sup>2,9</sup> The spatial localization of MLWFs forms the basis for linear-scaling electronic structure methods, whereby quantum-mechanical operators are conveniently represented as sparse matrices.<sup>10,11</sup>

MLWFs are primarily employed in Wannier-Fourier interpolation. This technique involves generating one-body operators in the Bloch representation from their sparse Wannier representation by inverting Eq. (1).<sup>9</sup> In this approach, Bloch functions and associated operators are initially computed on a coarse BZ grid ( $\text{BZ}_c$ , for instance  $10\times 10\times 10$   $\mathbf{k}$  vectors). All relevant quantities are then transformed into the MLWF representation via Eq. (1). From this real-space representation, the inverse transform is used to obtain Bloch operators on a fine BZ grid ( $\text{BZ}_f$ , for instance  $100\times 100\times 100$   $\mathbf{k}$  vectors), in complete

analogy with Fourier interpolation with zero padding:

$$|n\mathbf{k}\rangle, \mathbf{k} \in \text{BZ}_c \longrightarrow |\mathbf{R}m\rangle \longrightarrow |n\mathbf{k}'\rangle, \mathbf{k}' \in \text{BZ}_f. \quad (2)$$

This operation achieves a reduction in computational cost by several orders of magnitude, all the while ensuring minimal interpolation error. As a result, calculations of materials properties that were previously impossible have become routine; for example, much of the recent progress in electron-phonon physics has been enabled by the adoption of MLWFs;<sup>6,12</sup> similarly, the extensive data on topological materials available today was generated using MLWFs.<sup>13,14</sup> During the past two decades, MLWFs have been incorporated into all major density-functional theory (DFT) packages,<sup>15–22</sup> as well as many-body electronic structure codes,<sup>23–29</sup> and have been used in thousands of scientific studies.

The procedure to generate MLWFs, commonly referred to as Wannierization, involves determining a set of unitary matrices  $U_{nm\mathbf{k}}$  in Eq. (1) that minimize the spatial extent of each Wannier function  $|\mathbf{R}m\rangle$ . For a set of bands that are separated from all other bands by finite energy gaps, called a “composite” manifold, the matrices  $U$  are square matrices with rank equal to the size of the manifold (subscripts omitted for brevity); this scenario is typical of valence electrons in semiconductors and insulators. Optimization is achieved by minimizing the Berry-phase spread functional,<sup>2</sup> which is defined as  $\Omega = \sum_m \langle \mathbf{0}m | \mathbf{r}^2 | \mathbf{0}m \rangle - \langle \mathbf{0}m | \mathbf{r} | \mathbf{0}m \rangle^2$ , where  $\mathbf{r}$  is the electron position and  $\langle \dots \rangle$  denotes the integral over the crystal. Minimization is performed via gradient descent, with a starting point provided by the initial projections  $U_{nm\mathbf{k}}^0 = \langle n\mathbf{k} | \phi_m \rangle$ ; the  $|\phi_m\rangle$  represent localized trial functions, for example atomic orbitals.

In the case of metals, and for conduction bands of semiconductors and insulators, composite sets of bands cannot be identified (except in some rare cases); instead, one

\* fgiustino@oden.utexas.edu

finds a continuous spectrum of entangled bands. The Wannierization of entangled bands involves two steps: first, identifying a subset of bands that best approximates a composite manifold, a procedure referred to as “disentanglement”; second minimizing the spread functional within this manifold, as for composite bands.<sup>9</sup> Since in these cases there typically are more Bloch functions than Wannier functions, the matrices  $U$  are rectangular.

Despite significant progress in Wannierization,<sup>30–32</sup> all current strategies face difficulties due to the presence of numerous local minima in the  $\Omega(U)$  landscape. As a result, Wannierization often requires significant human trial-and-error, especially for systems with highly entangled bands, complex unit cells, or topological obstructions.<sup>33</sup> While several promising approaches have been developed to automate this process and reduce reliance on chemical intuition,<sup>30–32</sup> obtaining high-quality MLWFs remains a labor-intensive task.<sup>34</sup>

## Results

### Meta-optimization of MLWFs

To systematically address this challenge, we make the key observation that Wannierization can be viewed as a functional mapping  $\mathcal{W}$  from the space of all possible trial matrices  $U^0$  to the optimized matrix  $U$ , which locally minimizes the MLWFs spread functional near  $U^0$ :

$$\mathcal{W}: U^0 \xrightarrow{\mathcal{W}} \mathcal{W}(U^0) = \arg \min_U \Omega(U) \Big|_{U \sim U^0}. \quad (3)$$

This viewpoint suggests that, by optimizing  $\mathcal{W}$  over the trial matrices  $U^0$ , one could generate improved MLWFs. This corresponds to extending the local optimization into a global search over trial matrices, a process we refer to as meta-optimization.

Meta-optimization naturally allows for the incorporation of additional criteria beyond those captured by  $\mathcal{W}$  itself. For instance, one could require that the Wannier-interpolated band structures are as accurate as possible, enforce a specific number of MLWFs, or ensure that the MLWFs be real-valued, as we demonstrate below. To achieve this, we introduce the loss function:

$$\mathcal{L}(U^0) = \sum_i \alpha_i \zeta_i[\mathcal{W}(U^0)] + \sum_j \lambda_j \theta\{N_j - \eta_j[\mathcal{W}(U^0)]\}. \quad (4)$$

The first term in this expression includes the features  $\zeta_i$  to be optimized; for instance,  $\zeta_i$  might represent quantities such as spatial spread or band interpolation error. The relative importance of these features is controlled by the dimensionless weights  $\alpha_i$  in the loss function. The second term in Eq. (4) imposes constraints on the features  $\eta_j$  by introducing dimensionless penalties  $\lambda_j$  whenever a feature exceeds the specified bound  $N_j$ . Here,  $\theta$  is the Heaviside step function. For example, this term might be used to enforce that the MLWFs spread remains within a desired limit. Usually,  $\lambda_j \gg \alpha_i$  ensures that such undesired solutions are not considered viable during the optimization.

The minimization of the loss function  $\mathcal{L}$  poses three

key challenges: (i) The mapping  $\mathcal{W}$  is not explicitly defined as a single function; rather, it consists of a series of independent calculations, using both a DFT code and a Wannierization code<sup>35</sup> to generate initial projections and related quantities. Furthermore, if the loss  $\mathcal{L}$  includes the band interpolation error among its features, evaluating this error requires separate DFT calculations to establish the ground truth. (ii) The parameter space of  $\mathcal{W}$  is highly complex, as the trial matrices  $U_0$  are determined by both continuous variables (e.g., energy disentanglement window) and categorical labels (e.g., the selection of trial atomic orbitals). (iii) Standard gradient-based optimization of  $\mathcal{L}$  is not feasible, as its gradients are either computationally prohibitive (e.g., for the band interpolation error) or non-existent (e.g., with respect to categorical labels).

To address challenge (i), we employ workflow abstraction, as shown Fig. 1. The self-consistent DFT calculation, the non-self-consistent DFT step, and the Wannierization process are all encapsulated within a single function that encodes the mapping  $\mathcal{W}$ . Similarly, Wannier band interpolation and DFT band structure calculations, which are necessary for evaluating the band interpolation error (see Methods), are encapsulated into a single abstract function.

To address challenges (ii) and (iii), we employ machine-learning-inspired global optimizers that operate without relying on gradients, such as Differential Evolution (DE)<sup>36,37</sup> and Bayesian Optimization (BO).<sup>38,39</sup> DE and BO are particularly effective at identifying the global minimum of highly non-linear and non-differentiable objective functions, even within complex, multidimensional landscapes with numerous local minima. In particular, DE is a population-based evolutionary algorithm that iteratively refines a set of candidate solutions. At each generation, new candidates are created by a mutation step, which involves adding the weighted difference between two randomly selected vectors to a third vector. This is followed by a crossover step, whereby the new and old vectors are randomly combined, and the fittest vector is selected.<sup>37</sup> In this work, the DE vectors correspond to the hyperparameters that are used to generate trial matrices  $U^0$  (for example, using the Wannier90 software<sup>35</sup>).

Being a meta-optimization approach, this method can leverage the strengths of state-of-the-art Wannierization techniques rather than replacing them; for example, our approach can seamlessly be used with the selected columns of the density matrix (SCDM) method<sup>30,31</sup> or the projectability disentanglement method.<sup>32</sup> The method is illustrated schematically in Fig. 1, and the associated code is provided as a Code Ocean capsule.<sup>40</sup> The flexibility in the choice of loss function and meta-optimizer can be used to fine-tune the method; for example, in Supplementary Figure 1 we investigate several possible loss functions, and in Supplementary Figure 2 we compare the performance of DE and BO.<sup>38,39</sup>

### Benchmarks for interpolation accuracy

Figure 2 illustrates the present methodology for three prototypical materials across different dimensions: silicon in three dimensions, monolayer MoS<sub>2</sub> in two dimensions (2D), and a carbon nanotube (CNT) in one dimension. Figures 2(a)-(f) show the optimization process for the conduction bands of silicon. Since the conduction band minimum does not reside at a high-symmetry point, achieving accurate Wannier interpolation is notoriously challenging in this case.<sup>34</sup> In the loss function, we include both the band interpolation error [Eq. (6) of Methods] and the spread, and we explore the space of initial matrices  $U^0$  by varying the bounds of the inner and outer disentanglement energy windows as well as the type of initial projections.<sup>35</sup> Panels (a)-(b), (c)-(d), and (e)-(f) show two-dimensional cross-sections of this five-dimensional parameter space as meta-optimization progresses. Initially, candidate parameter vectors are nearly uniformly distributed; over generations, they tend to cluster near the global minimum. Concurrently, the band interpolation error decreases (see Supplementary Figure 1), until Wannier interpolation near the band extrema reaches sub-meV precision [Fig. 2(h)]. This level of accuracy, starting from a coarse  $6 \times 6 \times 6$  BZ grid, is unprecedented. This optimization identifies the  $sp^3d^2$  hybrid orbital as the optimal initial projection, unlike the more common combination of  $s$  and  $d$  orbitals.<sup>34</sup> This result is consistent with the fact that silicon has both  $sp^3$  and  $d$  orbital character in the conduction. Complete details on band interpolation are provided in Supplementary Figure 3.

Figure 2(i) illustrates the quality of band interpolation for monolayer MoS<sub>2</sub>. This system features a multi-valley band structure, which poses significant challenges to Wannier interpolation. Using as little as two Bloch bands to generate Wannier functions, the present method achieves again sub-meV accuracy in band interpolation; importantly, this meta-optimization requires less than 30 min on a personal computer (PC). Complete details on this test are reported in Supplementary Figure 4.

Figures 2(k)-(l) showcase the application of the present method to a (5,5) armchair CNT. Generating MLWFs for CNTs is notoriously difficult due to the large number of bands, the difficulty in identifying enough atomic orbitals for initial projections, and the presence of nearly-free electron states. To illustrate these challenges, Supplementary Figure 5 shows the result of manual Wannierization using carbon  $p_z$  orbitals; this procedure leads to poor band interpolation (when the  $z$  axis does not follow the curvature of the tube) that is not suitable for applications. In contrast, Fig. 2(l) demonstrates that the present method achieves nearly perfect band interpolation, even for nearly-free electron states. For example, we achieve sub-meV precision throughout most of the BZ for the bands crossing the charge neutrality level.

In Supplementary Figure 6 we report additional benchmarks for prototypical semiconductors, including AlSb, AIP, 3C-SiC, SrO, AlAs, and GaP. In all cases the present method achieves much higher interpolation

accuracy than state-of-the-art manual Wannierization.<sup>34</sup>

### Acceleration enabled by meta-optimized MLWFs

As a second application, Fig. 3 demonstrates how the present method significantly accelerates carrier-mobility calculations in semiconductors based on the *ab initio* Boltzmann transport equation (*ab*BTE). The acceleration is achieved by using very small grids for the coarse BZ, and very few MLWFs, *without* sacrificing accuracy.

It is well-known that the use of MLWFs drastically accelerates calculations of electron-phonon interactions via Wannier-Fourier interpolation of the electron-phonon matrix elements from a coarse BZ grid to an ultrafine grid.<sup>12</sup> The advantage of this method is that costly DFPT calculations are performed only on the coarse grid.

However, even when employing Wannier-Fourier interpolation, *ab*BTE calculations carry two bottlenecks: (i) the interpolation of electron-phonon coupling matrix elements on ultradense BZ grids, and (ii) the computation of the resulting carrier scattering rates. Wannier-Fourier interpolation of the electron-phonon matrix elements has a complexity scaling as  $\mathcal{O}(N_c^2)$ , where  $N_c$  represents the size of the coarse BZ grid. For a coarse BZ grid with  $N$  points in each direction, this leads to an overall scaling of  $\mathcal{O}(N^6)$  for 3D materials. In addition to time complexity, the memory footprint is also substantial. The electron-phonon matrix elements in the Wannier representation form a five-dimensional array whose size scales as  $N_c^2$  and  $N_b^2$  ( $N_b$  is the number of Wannier functions). Consequently, reductions in  $N_c$  and  $N_b$  simultaneously decrease computational time and memory requirements. For example, a four-fold reduction in  $N_c$  theoretically yields a 4096-fold speedup in transport calculations, while also significantly reducing storage requirements. Similarly, the computation of carrier scattering rates scales as  $\mathcal{O}(N_b^2)$ ; thus, a five-fold reduction in  $N_b$  can achieve an additional 25-fold speedup. A detailed analysis of the scaling is provided in the Methods Section.

We demonstrate these accelerations in Fig. 2(a),(b) using silicon and monolayer MoS<sub>2</sub>. For silicon, we can solve the *ab*BTE using a much smaller coarse BZ grid with  $4 \times 4 \times 4$  points, achieving a 3600-fold speedup compared to the standard  $16 \times 16 \times 16$  grid used in previous work,<sup>34</sup> with only a 8% error [Fig. 3(c)]. Similarly, for MoS<sub>2</sub>, we can reduce the number of required MLWFs from 10 to 2 (see Supplementary Figure 4), achieving a 45-fold speedup as compared to previous work,<sup>41</sup> with an error as low as 3% [Fig. 3(d)]. The ability of the present method to achieve such a significant data compression is rationalized in Supplementary Figure 7 via a singular value decomposition of the matrix elements.<sup>42</sup>

As a result of the speedup enabled by meta-optimized MLWFs, calculations that once required large supercomputers can now be performed on standard PCs. To demonstrate this point, we repeated the state-of-the-art calculations of Ref. 34, performed on the MareNostrum 4 supercomputer, using a local PC. As shown in Fig. 3(e),

a complete *ai*BTE calculation for silicon takes only 2 minutes and 20 seconds on the PC (with 48 Intel Cascade Lake cores) when using the present method, in contrast to 15 hours required on the supercomputer (with 480 Intel Skylake cores).<sup>43</sup>

### **Large-scale automation enabled by meta-optimized MLWFs**

As a third application, we demonstrate the present method in autonomous high-throughput calculations of MLWFs and carrier mobilities for large materials libraries. Recently, the 2D Materials Cloud database<sup>44</sup> was screened to identify 2D semiconductors with high charge carrier mobility.<sup>41</sup> Out of 5,619 layered compounds, 258 candidate materials were found to be dynamically stable. Carrier mobilities were then computed using the *ai*BTE for a reduced subset of 16 compounds with the lowest effective masses. Ideally, full-accuracy *ai*BTE calculations would be needed for all 258 materials; however, generating reliable MLWFs for such a large library remains a significant challenge.

Supplementary Figure 8 presents high-throughput calculations of MLWFs for a subset of 200 compounds from this library, showing that the present method achieves both predefined spatial localization and accurate band interpolation without any manual intervention. Optimized hyperparameters, complete input files, and interpolated bands for all materials are available on the Materials Cloud database.<sup>45</sup> In Fig. 3(f), we show the results of completely autonomous carrier mobility calculations via the *ai*BTE for 56 of these compounds; in panel (g), we compare our results to the state-of-the-art calculations from Ref. 41. The agreement between our results and prior work is excellent; at the same time, our calculations are approximately 3000 times faster. In particular, we are able to perform transport calculations for all 56 compounds in the record time of 37 hours, i.e., with less than 40 min per compound, on a local PC [Fig. 3(h)]. This very significant acceleration opens the way to high-throughput screening of carrier transport using the full *ai*BTE. We emphasize, however, that detailed convergence tests on the coarse grid are always required for the most promising candidate materials.

### **Additional applications of meta-optimization**

In addition to the acceleration of *ai*BTE calculations demonstrated above, meta-optimization can be customized for specific applications by designing more complex loss functions in Eq. (4), as discussed in the Supplementary Note 1. We demonstrate two such examples in this section.

As our fourth example application, we use meta-optimization to construct a minimal, nearest-neighbor tight-binding Wannier Hamiltonian. To achieve this, in the interpolation of the smooth Bloch Hamiltonian starting from the Hamiltonian in the Wannier representation,  $\tilde{H}_{mn}(\mathbf{k}) = \sum_{\mathbf{R}} \exp(i\mathbf{k} \cdot \mathbf{R}) H_{mn}(\mathbf{R})$ , we only sum over

$\mathbf{R} = 0$  and the first and second shell of lattice vectors  $\mathbf{R} \neq 0$  (shown in Fig. 4 (c)). This truncated interpolation is used to evaluate the band interpolation error  $\mathcal{E}$  in the loss function, and MLWFs are meta-optimized to minimize this error.

In Fig. 4 we show the Wannier-interpolation of the band structure of monolayer MoS<sub>2</sub> over a wide energy range; black lines are results from the present method, blue disks are explicit DFT calculations. The key difference between this calculation and those in Fig. 2 and Supplementary Figure 4 is that, here, we only retain the first and second nearest-neighbors in the Wannier representation, as shown in Fig 4.

In Fig. 4(b) we show the spatial decay of the Hamiltonian in the Wannier representation,  $|H_{mn}(\mathbf{R})|/\max[|H_{mn}(\mathbf{R})|]$ . Blue disks correspond to the Hamiltonian obtained in Fig. 2, while black disks correspond to the present nearest-neighbor optimization. The lines are guides to the eye. The shading indicates the range of lattice vectors included in the nearest-neighbor optimization. We observe that the present optimization leads to a faster decay and improved Wannier interpolation.

In the fifth example application, we generate Wannier functions that optimize the spatial localization of the electron-phonon matrix elements. We achieve this by incorporating an objective function for these matrix elements in the loss function. To this end we define the loss function L3 as follows:

$$\mathcal{L}[U^0] = \alpha_1 \xi_1 [\mathcal{W}(U^0)] + \alpha_2 \xi_2 [\mathcal{W}(U^0)] + \lambda \theta \{ \Omega_0 - \Omega[\mathcal{W}(U^0)] \}. \quad (5)$$

Here, the first term  $\xi_1 = \mathcal{E}/E_H$  is the band interpolation error, as defined in the Supplementary Note 1; the second term  $\xi_2 = \ell/a_0$  represents the spatial decay of the electron-phonon matrix elements, expressed via the decay length of the exponential fit in real space ( $a_0$  is the Bohr radius); the third term  $\theta\{\Omega_0 - \Omega\}$  is a constraint on the spread of the MLWFs. This loss function guides the optimization in a direction where both the band interpolation error and the spatial decay of the electron-phonon matrix elements are optimized.

We apply the loss function of Eq. (5) to obtain Wannier functions for the conduction band of Si using a coarse BZ grid with 6<sup>3</sup> points. In Fig. 5(a),(b) we show that the spatial decay of the electron-phonon matrix elements improves using the loss function in Eq. (5) as compared to optimization performed without this feature. Furthermore, in panel (c) we see that the mobility calculated using this additional feature is in better agreement with the most converged result obtained using a denser coarse BZ grid (16<sup>3</sup> points), the error being 3.6% at 300 K instead of 6.5%. Therefore, the present approach also enables the calculation of maximally-localized electron-phonon matrix elements, yielding higher calculation accuracy.

In the Supplementary Information we provide further examples of these capability. For example, in Supple-

mentary Figure 9 we demonstrate the generation of purely real-valued MLWFs; this capability not only further reduces computational complexity by an additional factor of two (on top of the acceleration demonstrated above), but also halves storage requirements and offers interpretative advantages over complex-valued MLWFs. In Supplementary Note 2 and Supplementary Figure 10, we demonstrate the optimization of spread-balanced Wannier functions.<sup>46</sup> In Supplementary Figure 11, we illustrate how meta-optimization also improves Wannier interpolation for composite band manifolds. In Supplementary Figure 12, we show how this method improves the interpolation accuracy of the SCDM method.<sup>30,31</sup>

## Discussion

We presented a meta-optimization framework to construct MLWFs that deliver superior band interpolation accuracy at reduced computational cost, and we demonstrated the application of this method in a number of diverse areas, from ultrafast transport calculations to generation of accurate nearest-neighbor Wannier Hamiltonians.

The present method is general, composable, and future-proof by design. It is not tied to any specific optimization algorithm or codebase, and can be applied as a meta-optimization layer on top of any current or future electronic structure engine. In this sense, the present approach is not meant to replace any one Wannierization method in particular, but to augment all of them by systematically identifying the optimal hyperparameters for a given application.

Moreover, the meta-optimization framework is designed as a modular layer that can operate on top of existing Wannierization tools, including Wannier90 and all its workflows. Since it generates hyper-parameters for maximal localization, it can be readily integrated within the wider Wannier ecosystem, for instance WannierBerri and WannierTools.<sup>47,48</sup>

Additional applications can be envisioned in rapid data generation for machine learning and AI<sup>49,50</sup> to overcome the dilemma of small data,<sup>51</sup> sparse matrix representations for large scale quantum device simulations,<sup>52</sup> and high accuracy downfolded Hamiltonians for strongly correlated systems,<sup>53,54</sup> quantum algorithms,<sup>55</sup> and second-principles simulations.<sup>56</sup> By realizing the full potential of MLWFs with meta-optimization, it will also become possible to perform advanced electronic structure calculations on standard PCs instead of large supercomputers, as demonstrated here in the context of electron transport. Looking ahead, we anticipate that the integration of workflow abstraction with multi-objective meta-optimization will find broader applications in atomic-scale materials design.

## Methods

We here summarize the key aspects of the methodology. Details on the computational setup, such as software, parameters, and loss functions are provided in the

Supplementary Information.

**Loss function.** The loss function used for meta-optimization is given by Eq. (4). The  $\zeta_i$  represent objective functions to be optimized, such as for example the spread  $\Omega$  of MLWFs or the band interpolation error. Similarly, the functions  $\eta_j$  are constrained to the values  $N_j$  by adding the penalties  $\lambda_j$  to the loss function whenever  $\eta_j$  exceeds the bound  $N_j$  (as determined by the Heaviside step function  $\theta$ ). We define the band interpolation error  $\mathcal{E}$  as the root mean square deviation between DFT bands and Wannier-interpolated bands within a given energy window  $[\mu_{\min}, \mu_{\max}]$ :

$$\mathcal{E} = \left[ \frac{\sum_{n\mathbf{k}} f_{n\mathbf{k}}^{\mu_{\max}} (1 - f_{n\mathbf{k}}^{\mu_{\min}}) (\varepsilon_{n\mathbf{k}}^{\text{DFT}} - \varepsilon_{n\mathbf{k}}^{\text{W}})^2}{\sum_{n\mathbf{k}} f_{n\mathbf{k}}^{\mu_{\max}} (1 - f_{n\mathbf{k}}^{\mu_{\min}})} \right]^{1/2}. \quad (6)$$

In this expression,  $\varepsilon_{n\mathbf{k}}$  denotes the Kohn-Sham eigenvalue for band  $n$  and wavevector  $\mathbf{k}$ , the superscript ‘‘DFT’’ refers to explicit DFT calculations, and the superscript ‘‘W’’ refers to eigenvalues obtained by Wannier interpolation. We include a rectangular filter via the Fermi-Dirac functions  $f_{n\mathbf{k}}^{\mu_{\min}}$  and  $f_{n\mathbf{k}}^{\mu_{\max}}$ , which are defined as  $f_{n\mathbf{k}}^{\mu} = \{\exp[(\varepsilon_{n\mathbf{k}} - \mu)/\sigma] + 1\}^{-1}$ ; we use a broadening parameter  $\sigma = 1$  meV to avoid discontinuous jumps in the loss function. The sums are evaluated over all bands and all  $\mathbf{k}$  points included in the Wannierization process. The bounds  $\mu_{\min}$  and  $\mu_{\max}$  are chosen depending on the specific application. For example, accurate calculations of phonon-limited carrier mobilities requires highly-accurate band interpolation within a small energy window of the order of 300-500 meV near the Fermi level or band edges; while optical absorption calculations may require an energy range in the multi-eV range around the Fermi level. In the Supplementary Figure 1, we investigate several possible loss functions.

**Choice of meta-optimization algorithm.** Our method can utilize any global optimization algorithm since the meta-optimization step is independent from the Wannierization step, as shown in Fig 1. However, we employ DE for meta-optimization for results shown in Fig. 2, 3 as well as for most of the applications.<sup>37</sup> Our choice is motivated by the fact that DE is a robust global optimizer that does not rely on gradients. We expect that other metaheuristic optimization methods will produce similar results.<sup>57</sup> For completeness, in Supplementary Figure 2 we report a comparison between DE and Bayesian optimization (BO) which is a standard tool in machine learning.<sup>38,39</sup> BO is a probabilistic optimization technique that uses a surrogate model, typically a Gaussian process, to guide the search for the optimum by balancing exploration and exploitation of the objective function. BO begins by randomly sampling the parameter space to evaluate the loss function. Using these initial evaluations, BO creates a probabilistic model of the loss function by defining a prior and then updating it to form a posterior distribution. From

the posterior, an acquisition function is then constructed to guide the selection of the next set of parameters to evaluate. One potential disadvantage of BO is that, when the loss function is not smooth (as in the present case which involves categorical labels), BO may get stuck in a local minimum. Supplementary Figure 2 shows how DE offers superior performance than BO in the present problem of meta-optimization of MLWFs. For these calculations we employ the `bayesopt` function of the Bayesian Optimization Python library<sup>58</sup>. For both the DE and BO, we use the default hyperparameter settings as provided by the `scipy`<sup>59</sup> and the `Bayesian-Optimization`<sup>58</sup> libraries.

**Scaling of electron-phonon calculations based on MLWFs: *aiBTE* as a representative example.** *aiBTE* calculations involve two time-consuming steps: (i) The evaluation of electron-phonon matrix elements on fine BZ grids using Wannier-Fourier interpolation, and (ii) the evaluation of the carrier scattering rates starting from these matrix elements and the electron and phonon band structures. Details of these calculations are provided in Refs. 60,61. The evaluation of electron-phonon matrix elements on the fine BZ grid is performed via:<sup>12</sup>

$$g_{mn\nu}(\mathbf{k}, \mathbf{q}) = \sum_{pp'} e^{i(\mathbf{k}\cdot\mathbf{R}_p + \mathbf{q}\cdot\mathbf{R}_{p'})} \sum_{m'n'\kappa\alpha} U_{mm'\mathbf{k}+\mathbf{q}} g_{m'n'\kappa\alpha}(\mathbf{R}_p, \mathbf{R}_{p'}) U_{n'n\mathbf{k}}^\dagger u_{\kappa\alpha, \mathbf{q}\nu}. \quad (7)$$

In this expression,  $g_{m'n'\kappa\alpha}(\mathbf{R}_p, \mathbf{R}_{p'})$  are matrix elements in the Wannier representation, with  $m', n'$  running over the number of Wannier functions  $N_b$ ,  $\kappa$  representing the atom label, and  $\alpha$  the Cartesian direction for the variation of the Kohn-Sham potential, and  $\mathbf{R}_p, \mathbf{R}_{p'}$  the lattice vectors of the unit cells where Wannier functions are located. The unitary matrices  $U_{n'n\mathbf{k}}$  are used to transform the Wannier matrix elements into the smooth Bloch representation for the electron wavevector  $\mathbf{k}$ ,<sup>2</sup> and the matrices  $u_{\kappa\alpha, \mathbf{q}\nu}$  represent the atomic eigendisplacements for the phonon mode  $\nu$  with wavevector  $\mathbf{q}$ . The summations are over all atoms ( $\kappa$ ), Cartesian directions ( $\alpha$ ), Wannier functions ( $m', n'$ ), and lattice vectors ( $p, p'$ ). The resulting matrix element  $g_{mn\nu}(\mathbf{k}, \mathbf{q})$  represents the probability amplitude for an electron in state  $|n\mathbf{k}\rangle$  to scatter into the state  $|m\mathbf{k} + \mathbf{q}\rangle$  via the phonon  $\mathbf{q}\nu$ . The scattering rate needed in the solution of the Boltzmann transport equation is given by:<sup>6,60,61</sup>

$$\tau_{n\mathbf{k}}^{-1} = \frac{2\pi}{\hbar} \sum_{m\nu} \int \frac{d\mathbf{q}}{\Omega_{\text{BZ}}} |g_{mn\nu}(\mathbf{k}, \mathbf{q})|^2 \left[ (n_{\mathbf{q}\nu} + 1 - f_{m\mathbf{k}+\mathbf{q}}^0) \delta(\varepsilon_{n\mathbf{k}} - \varepsilon_{m\mathbf{k}+\mathbf{q}} - \hbar\omega_{\mathbf{q}\nu}) + (n_{\mathbf{q}\nu} + f_{m\mathbf{k}+\mathbf{q}}^0) \delta(\varepsilon_{n\mathbf{k}} - \varepsilon_{m\mathbf{k}+\mathbf{q}} + \hbar\omega_{\mathbf{q}\nu}) \right], \quad (8)$$

where  $\hbar$  is the Planck constant,  $n_{\mathbf{q}\nu}$  is the Bose-Einstein occupation for the phonon  $\mathbf{q}\nu$ ,  $f_{n\mathbf{k}}^0$  is the Fermi-Dirac

occupation for the electronic state  $|n\mathbf{k}\rangle$ , and  $\omega_{\mathbf{q}\nu}$  is the phonon frequency. The functions  $\delta(\dots)$  are Dirac delta functions.

From Eq. (7) we see that, if we keep the number of  $\mathbf{k}$  and  $\mathbf{q}$  points in the fine BZ grids as well as the number of Wannier functions fixed, the number of complex multiplications is proportional to the number of lattice points  $\mathbf{R}_p$  and  $\mathbf{R}_{p'}$  in the sums. These points belong to Wigner-Seitz cells whose dimensions are (nearly) equal to the number of  $\mathbf{k}$ -points and  $\mathbf{q}$ -points on the coarse BZ grids. In the case of equal  $\mathbf{k}$ - and  $\mathbf{q}$ -grids with  $N_c$  points, the total number of multiplications is proportional to  $N_c^2$ . Furthermore, from Eq. (7) we also see that, for each  $\mathbf{k}$ - and  $\mathbf{q}$ -point and for each lattice point  $\mathbf{R}_p$  and  $\mathbf{R}_{p'}$ , we need to evaluate  $2N_b^3$  products  $U_{mm'\mathbf{k}+\mathbf{q}} g_{m'n'\kappa\alpha}(\mathbf{R}_p, \mathbf{R}_{p'}) U_{n'n\mathbf{k}}^\dagger$ . Therefore, in the most general case, the scaling of the electron-phonon Wannier interpolation with the coarse grid size and with the number of Wannier functions is  $\mathcal{O}(N_c^2 N_b^3)$ .

In the specific case of *aiBTE* calculations, it is standard practice to only evaluate Bloch states within a predefined energy window centered at the Fermi level;<sup>61</sup> this choice is justified by the fact that the scattering rates given by Eq. (8) are nonzero only in the vicinity of the Fermi level. With this choice, the indices  $m, n$  in Eq. (7) are constrained by the energy window and do not scale with  $N_b$ , therefore the evaluation of the matrix elements requires  $\mathcal{O}(N_c^2 N_b^2)$  products.

From Eq. (8) we see that, for each  $\mathbf{k}$ -point in the fine grid and for each electronic band  $n$ , we need to evaluate the terms within the square brackets  $N_b$  times. Therefore this operation should have a theoretical scaling with respect to the number of Wannier functions of  $\mathcal{O}(N_b^2)$ . However, as for the matrix elements, the use of an energy window centered at the Fermi level effectively makes the scaling of the scattering rates independent of  $N_b$ . In this case, what dictates the compute time is the size of the fine BZ grid.

The above discussion focuses on the *aiBTE* case, but the same scaling considerations apply more broadly to calculations relying on Wannier-interpolated electron-phonon matrix elements, including phonon-assisted optics,<sup>62,63</sup> phonon-mediated superconductivity,<sup>64</sup> and polarons.<sup>65,66</sup>

### Data Availability

All data presented in this manuscript are reported in the Supplementary Tables and in the Materials Cloud database.<sup>45</sup>

### Code Availability

The codes used in this work, namely EPW, Quantum ESPRESSO, Wannier90, and EPWpy are all open-source software and are freely available from their respective websites. For reproducibility purposes, the `metawann` source code and an example are available and executable as a Code Ocean capsule.<sup>40</sup>

### Acknowledgments

This work was supported by the Computational Materials Science program of the U.S. Department of Energy, Office of Science, Basic Energy Sciences, through award no. DE-SC0020129. Computational resources were provided by the National Energy Research Scientific Computing Center (a DOE Office of Science User Facility supported under Contract No. DE-AC02-05CH11231), the Argonne Leadership Computing Facility (a DOE Office of Science User Facility supported under Contract DE-AC02-06CH11357), and the Texas Advanced Computing Center (TACC) at The University of Texas at Austin.

#### **Author Contributions**

S.T. and F.G. designed the project. S.T. wrote the `EPWpy` library and the `metawann` code. B.C. contributed to the development and testing of `EPWpy` and `metawann`. S.T, B.C., and V.-A.H. performed calculations and data analysis. F.G. supervised the project. All authors contributed to the writing of the manuscript.

#### **Competing Interests**

S.T., B.C., and F.G. are inventors on a pending U.S. provisional patent application (No. 63/730,258, filed 12/10/2024) entitled “Systems and methods for generating Wannier functions,” relating to the meta-optimization algorithm described in this work. The other authors declare no competing financial or non-financial interests.

- [1] Marzari, N., Mostofi, A. A., Yates, J. R., Souza, I. & Vanderbilt, D. Maximally localized wannier functions: Theory and applications. *Rev. Mod. Phys.* **84**, 1419 (2012).
- [2] Marzari, N. & Vanderbilt, D. Maximally localized generalized wannier functions for composite energy bands. *Phys. Rev. B* **56**, 12847 (1997).
- [3] Goedecker, S. Linear scaling electronic structure methods. *Rev. Mod. Phys.* **71**, 1085 (1999).
- [4] Georges, A., Kotliar, G., Krauth, W. & Rozenberg, M. J. Dynamical mean-field theory of strongly correlated fermion systems and the limit of infinite dimensions. *Rev. Mod. Phys.* **68**, 13 (1996).
- [5] Calzolari, A., Marzari, N., Souza, I. & Buongiorno Nardelli, M. Ab initio transport properties of nanostructures from maximally localized wannier functions. *Phys. Rev. B* **69**, 035108 (2004).
- [6] Giustino, F. Electron-phonon interactions from first principles. *Rev. Mod. Phys.* **89**, 015003 (2017).
- [7] Gresch, D. *et al.* Z2pack: Numerical implementation of hybrid wannier centers for identifying topological materials. *Phys. Rev. B* **95**, 075146 (2017).
- [8] Marrazzo, A. *et al.* Wannier-function software ecosystem for materials simulations. *Rev. Mod. Phys.* **tdb**, tdb (2024).
- [9] Souza, I., Marzari, N. & Vanderbilt, D. Maximally localized wannier functions for entangled energy bands. *Phys. Rev. B* **65**, 035109 (2001).
- [10] Ordejón, P., Artacho, E. & Soler, J. M. Self-consistent order- $n$  density-functional calculations for very large systems. *Phys. Rev. B* **53**, R10441 (1996).
- [11] Skylaris, C.-K., Haynes, P. D., Mostofi, A. A. & Payne, M. C. Introducing ONETEP: Linear-scaling density functional simulations on parallel computers. *J. Chem. Phys.* **122**, 084119 (2005).
- [12] Giustino, F., Cohen, M. L. & Louie, S. G. Electron-phonon interaction using wannier functions. *Phys. Rev. B* **76**, 165108 (2007).
- [13] Zhang, T. *et al.* Catalogue of topological electronic materials. *Nature* **566**, 475 (2019).
- [14] Vergniory, M. G. *et al.* A complete catalogue of high-quality topological materials. *Nature* **566**, 480 (2019).
- [15] Kresse, G. & Furthmüller, J. Efficiency of ab-initio total energy calculations for metals and semiconductors using a plane-wave basis set. *Comput. Mat. Sc.* **6**, 15 (1996).
- [16] Giannozzi, P. *et al.* Advanced capabilities for materials modelling with quantum ESPRESSO. *J. Phys.: Condens. Matter* **29**, 465901 (2017).
- [17] Gonze, X. *et al.* The abinitproject: Impact, environment and recent developments. *Comput. Phys. Comm.* **248**, 107042 (2020).
- [18] Sun, Q. *et al.* Recent developments in the PySCF program package. *J. Chem. Phys.* **153**, 024109 (2020).
- [19] Wortmann, D. *et al.* FLEUR. Zenodo (2023).
- [20] Mortensen, J. J. *et al.* GPAW: An open Python package for electronic structure calculations. *J. Chem. Phys.* **160**, 092503 (2024).
- [21] García, A. *et al.* Siesta: Recent developments and applications. *J. Chem. Phys.* **152**, 204108 (2020).
- [22] Blaha, P. *et al.* WIEN2k: An APW+lo program for calculating the properties of solids. *J. Chem. Phys.* **152**, 074101 (2020).
- [23] Sangalli, D. *et al.* Many-body perturbation theory calculations using the yambo code. *J. Phys. Condens. Matter* **31**, 325902 (2019).
- [24] Poncé, S., Margine, E., Verdi, C. & Giustino, F. EPW: Electron-phonon coupling, transport and superconducting properties using maximally localized wannier functions. *Comput. Phys. Commun.* **209**, 116 (2016).
- [25] Marian, D., Marin, E. G., Perucchini, M., Iannaccone, G. & Fiori, G. Multi-scale simulations of two dimensional material based devices: the nanotcad vides suite. *J. Comput. Electron.* **22**, 1327 (2023).
- [26] Assmann, E. *et al.* woptic: Optical conductivity with wannier functions and adaptive k-mesh refinement. *Comput. Phys. Comm.* **202**, 1 (2016).
- [27] Gresch, D. *et al.* Z2pack: Numerical implementation of hybrid wannier centers for identifying topological materials. *Phys. Rev. B* **95**, 075146 (2017).
- [28] Zhou, J.-J. *et al.* Perturbo: A software package for ab initio electron-phonon interactions, charge transport and ultrafast dynamics. *Comput. Phys. Comm.* **264**, 107970 (2021).
- [29] Ferrer, J. *et al.* Gollum: a next-generation simulation tool for electron, thermal and spin transport. *New J. Phys.* **16**, 093029 (2014).
- [30] Damle, A., Lin, L. & Ying, L. Scdm-k: Localized orbitals for solids via selected columns of the density matrix. *J. of Comput. Phys.* **334**, 1 (2017).
- [31] Vitale, V. *et al.* Automated high-throughput wannierisation. *npj Comput. Mat.* **6**, 66 (2020).
- [32] Qiao, J., Pizzi, G. & Marzari, N. Projectability disentanglement for accurate and automated electronic-structure hamiltonians. *npj Comput. Mat.* **9**, 208 (2023).
- [33] Brouder, C., Panati, G., Calandra, M., Mourougane, C. & Marzari, N. Exponential localization of wannier functions in insulators. *Phys. Rev. Lett.* **98**, 046402 (2007).
- [34] Poncé, S. *et al.* First-principles predictions of hall and drift mobilities in semiconductors. *Phys. Rev. Res.* **3**, 043022 (2021).
- [35] Pizzi, G. *et al.* Wannier90 as a community code: new features and applications. *J. Phys.: Condens. Matter* **32**, 165902 (2020).
- [36] Price, K. Differential evolution: a fast and simple numerical optimizer. In *Proceedings of North American Fuzzy Information Processing*, 524 (1996).
- [37] Storn, R. & Price, K. Differential evolution—a simple and efficient heuristic for global optimization over continuous spaces. *J. Glob. Optim.* **11**, 341 (1997).
- [38] Močkus, J. On bayesian methods for seeking the extremum. In Marchuk, G. I. (ed.) *Optimization Techniques IFIP Technical Conference Novosibirsk, July 1–7, 1974*, 400–404 (Springer Berlin Heidelberg, Berlin, Heidelberg, 1975).
- [39] Mockus, J. The bayesian approach to global optimization. In *System Modeling and Optimization: Proceedings of the 10th IFIP Conference New York City, USA, August 31–September 4, 1981*, 473 (Springer, 2005).
- [40] Tiwari, S. Code ocean capsule for atomistic simulations. <https://codeocean.com/capsule/2837024/tree> (2025). December 21, 2025.
- [41] Ha, V.-A. & Giustino, F. High-throughput screening of 2d materials identifies p-type monolayer ws2 as potential ultra-high mobility semiconductor. *npj Comput. Mat.* **10**, 229 (2024).
- [42] Luo, Y., Desai, D., Chang, B. K., Park, J. & Bernardi, M. Data-driven compression of electron-phonon interactions. *Phys. Rev. X* **14**, 021023 (2024).
- [43] Poncé, S. *et al.* First-principles predictions of Hall and



- drift mobilities in semiconductors. Materials Cloud, <https://archive.materialscloud.org/record/2021.94> (2021).
- [44] Talirz, L. *et al.* Materials cloud, a platform for open computational science. *Scientific Data* **7**, 299 (2020).
- [45] Tiwari, S. Materials cloud dataset. <https://doi.org/10.24435/materialscloud:c2-f4> (2025).
- [46] Fontana, P. F., Larsen, A. H., Olsen, T. & Thygesen, K. S. Spread-balanced wannier functions: Robust and automatable orbital localization. *Phys. Rev. B* **104**, 125140 (2021).
- [47] Tsirkin, S. S. High performance wannier interpolation of berry curvature and related quantities with wannierberri code. *npj Computational Materials* **7**, 33 (2021).
- [48] Wu, Q., Zhang, S., Song, H.-F., Troyer, M. & Soluyanov, A. A. Wanniertools : An open-source software package for novel topological materials. *Computer Physics Communications* **224**, 405 – 416 (2018).
- [49] Butler, K. T., Davies, D. W., Cartwright, H., Isayev, O. & Walsh, A. Machine learning for molecular and materials science. *Nature* **559**, 547 (2018).
- [50] Merchant, A. *et al.* Scaling deep learning for materials discovery. *Nature* **624**, 80 (2023).
- [51] Xu, P., Ji, X., Li, M. & Lu, W. Small data machine learning in materials science. *npj Comput. Mat.* **9**, 42 (2023).
- [52] Afzalian, A. Ab initio perspective of ultra-scaled cmos from 2d-material fundamentals to dynamically doped transistors. *npj 2D Mat. and App.* **5**, 5 (2021).
- [53] Chang, Y. *et al.* Downfolding from *ab initio* to interacting model hamiltonians: comprehensive analysis and benchmarking of the DFT+cRPA approach. *npj Comput. Mat.* **10** (2024).
- [54] Nomura, Y. & Arita, R. Ab initio downfolding for electron-phonon-coupled systems: Constrained density-functional perturbation theory. *Phys. Rev. B* **92**, 245108 (2015).
- [55] Alvertis, A. M., Khan, A. & Tubman, N. M. Ground states of strongly-correlated materials on quantum computers using *ab initio* downfolding (2024).
- [56] Zubko, P. *et al.* Negative capacitance in multidomain ferroelectric superlattices. *Nature* **534**, 524 (2016).
- [57] Talbi, E.-G. *Metaheuristics*. Wiley Series on Parallel and Distributed Computing (Wiley-Blackwell, Hoboken, NJ, 2009).
- [58] Nogueira, F. Bayesian Optimization: Open source constrained global optimization tool for Python (2014–). URL <https://github.com/bayesian-optimization/BayesianOptimization>.
- [59] Virtanen, P. *et al.* SciPy 1.0: Fundamental Algorithms for Scientific Computing in Python. *Nat. Methods* **17**, 261–272 (2020).
- [60] Ponc e, S., Margine, E. R. & Giustino, F. Towards predictive many-body calculations of phonon-limited carrier mobilities in semiconductors. *Phys. Rev. B* **97**, 121201 (2018).
- [61] Lee, H. *et al.* Electron–phonon physics from first principles using the epw code. *npj Comput. Mater.* **9**, 156 (2023).
- [62] Tiwari, S., Kioupakis, E., Menendez, J. & Giustino, F. Unified theory of optical absorption and luminescence including both direct and phonon-assisted processes. *Phys. Rev. B* **109**, 195127 (2024).
- [63] Noffsinger, J., Kioupakis, E., Van de Walle, C. G., Louie, S. G. & Cohen, M. L. Phonon-assisted optical absorption in silicon from first principles. *Phys. Rev. Lett.* **108**, 167402 (2012).
- [64] Margine, E. R. & Giustino, F. Anisotropic Migdal-Eliashberg theory using Wannier functions. *Phys. Rev. B* **87**, 024505 (2013).
- [65] Sio, W. H., Verdi, C., Ponc e, S. & Giustino, F. Polarons from first principles, without supercells. *Phys. Rev. Lett.* **122**, 246403 (2019).
- [66] Sio, W. H. & Giustino, F. Polarons in two-dimensional atomic crystals. *Nat. Phys* **19**, 629–636 (2023).

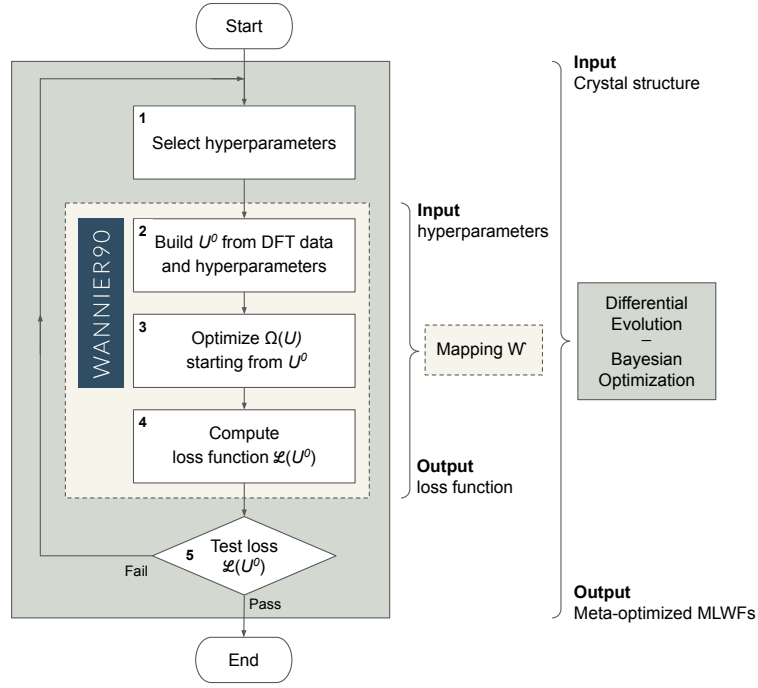


FIG. 1. **Meta-optimization of Wannier functions via global optimization.** Schematic flowchart of the present method. The procedure starts with a standard DFT band structure calculation for a given crystal (in this work `Quantum ESPRESSO`<sup>16</sup> is used). At Step 1, the DE or BO algorithm selects the hyperparameters needed to construct  $U^0$ . In this manuscript, the hyperparameters are the energies of the inner and outer disentanglement windows and the type of initial projections, which are required in input by the `Wannier90` code.<sup>35</sup> Steps 2:4 implement the mapping  $U^0 \mapsto \mathcal{W}(U^0)$ : in Step 2, the hyperparameters are used to build  $U^0$  using data from the DFT calculation; in Step 3, local optimization of the Berry-phase spread functional<sup>1</sup> is performed using `Wannier90`; in Step 4, the loss function is computed. This step uses MLWFs obtained at Step 3, as well as band structures from separate DFT calculations for the ground truth. In Step 5, the loss function is tested; if the test fails, the procedure is repeated for a new DE generation or BO iteration. The mapping  $\mathcal{W}$  (yellow box) is encapsulated within a single Python function, and is optimized by calling the procedure `differential_evolution` of the SciPy library or `BayesianOptimization` of the `bayes_opt` package (green box). The complete workflow is implemented in the `metaWann` code provided in code ocean capsule.<sup>40</sup>

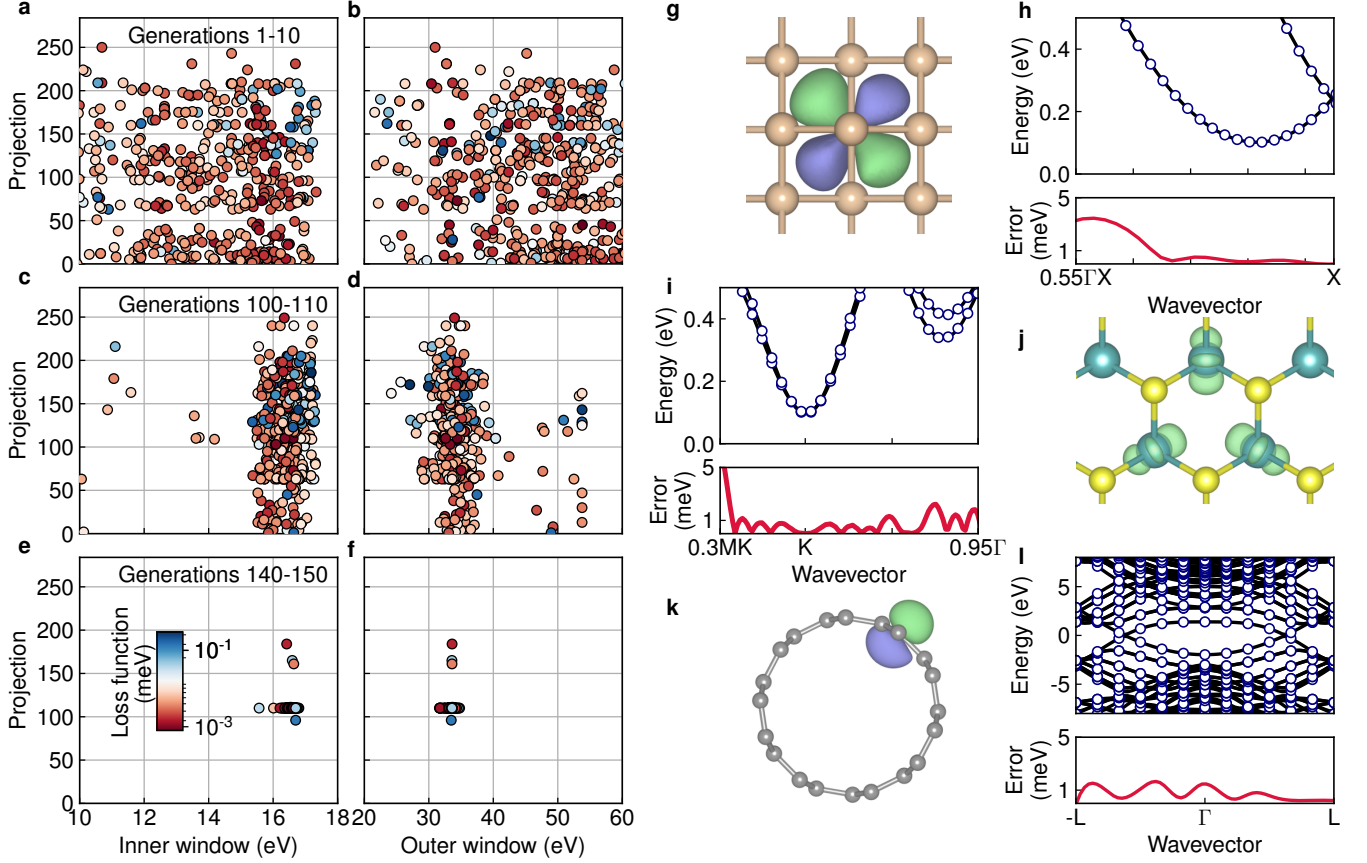
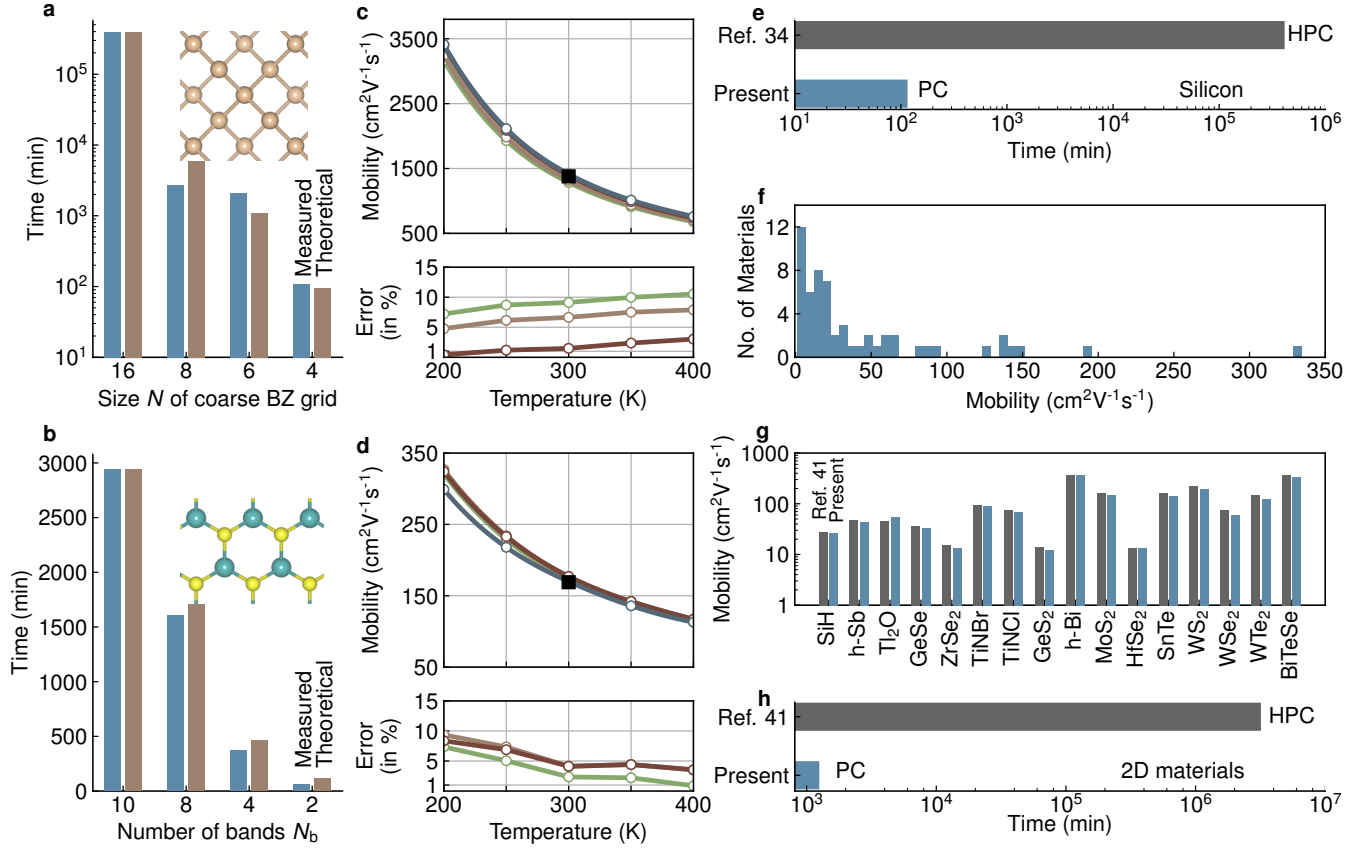


FIG. 2. **Wannier interpolation of entangled band structures with millielectronvolt accuracy.** (a)-(f) 2D slices of the 5D hyperparameter space explored by the DE meta-optimizer, for the conduction bands of silicon. The first, second, and third rows show data for DE generations 1:10, 100:110, and 140:150, respectively. Each disk corresponds to a single Wannierization, with red/blue indicating low/high loss function [colorbar in panel (e)]. We consider 285 types of initial projections, corresponding to hydrogenic orbitals with  $s$ ,  $p$ ,  $d$ ,  $f$  angular momenta, and a  $6 \times 6 \times 6$  coarse grid. We employ a DE population of 60 candidates, and evolve the system over 150 DE generations. (g) Meta-optimized MLWF of silicon, as obtained in (a)-(f). (h) Conduction bands of silicon: black lines are from Wannier interpolation using the MLWF shown in (g); disks are explicit DFT calculations. The underlying panel is the absolute value of the band interpolation error (red line). (i) Meta-optimized MLWFs for monolayer  $\text{MoS}_2$ : Comparison between DFT bands (disks) and Wannier-interpolated bands (black lines) near the conduction band bottom, and associated band interpolation error (red line). Such a low interpolation error refers to an energy window within 300 meV of the band bottom. A typical MLWF is shown in (j). Green and yellow atoms represent Mo and S, respectively. In this case we employ a  $24 \times 24$  coarse grid and 2 bands, a DE population of 30 candidates, and 50 DE generations. (k), (l) Meta-optimized MLWF of a (5,5) CNT and corresponding Wannier interpolation of band structures (disks: DFT, black lines: Wannier, red line: band interpolation error). In this case, the band interpolation error is evaluated over the two bands crossing the charge neutrality level (zero of the energy axis). For this case we employ a coarse one-dimensional BZ grid of 12 points, a DE population of 30 candidates, and 50 DE generations.



**FIG. 3. Acceleration of *aiBTE* calculations of carrier transport using the evolutionary meta-optimizer.** (a) Timing of *aiBTE* calculations of the electron mobility in silicon, for different choices of the coarse BZ grid  $N \times N \times N$ ; measured times (blue) are compared to ideal scaling time (brown). The inset shows a ball-stick model of silicon. (b) Total electron-phonon interpolation time of *aiBTE* calculations of the electron mobility in monolayer MoS<sub>2</sub>, for different choices of the number of Wannierized bands  $N_b$ ; measured times (blue) are compared to theoretical scaling times (brown), normalized to the values at  $N_b = 10$ . The inset shows a ball-stick model of monolayer MoS<sub>2</sub>. The calculated mobilities from panels (a) and (b) are reported in Supplementary Table 2 for completeness. (c) Calculated temperature-dependent electron mobility of silicon, for different choices of the coarse BZ grid corresponding to the bar plot in panel (a), and relative error with respect to the densest grid ( $N = 16$ ). The linear grid size  $N$  is indicated next to each curve. The corresponding band structures and Wannier functions are shown in Supplementary Figure 3. The square indicates the value from Ref. 34. (d) Calculated temperature-dependent electron mobility of monolayer MoS<sub>2</sub>, for different choices of the number of bands corresponding to the bar plot in panel (b), and relative error with respect to the highest number of bands ( $N_b = 10$ ). The corresponding band structures and Wannier functions are shown in Supplementary Figure 4. The square indicates the value from Ref. 41. (e) Speedup in calculations of the electron mobility of silicon. We compare the present runtime on a PC (48 Cascade lake cores, blue) with the runtime of Ref. 34 on the MareNostrum 4 supercomputer (with 480 Skylake cores, gray). Timing data is normalized to a single core in both cases. (f) Computed electron mobilities of 56 2D materials from the 2D Materials Cloud Database, shown as histogram. All values are reported in Supplementary Table 3, and the optimized hyperparameters are reported in Supplementary Table 1. (g) Comparison of mobilities of 2D materials calculated with the present method (blue) with state-of-the-art *aiBTE* calculations for the 16 compounds reported in Ref. 41 (gray). (h) Speedup in high-throughput calculations of the carrier mobility of 2D materials. The gray bar refers to the average runtime over the 16 compounds reported in (g), from Ref. 41 (using the Frontera supercomputer, normalized to a single core). The blue bar is the average runtime over the 56 compounds in (f), using the present method on a PC.

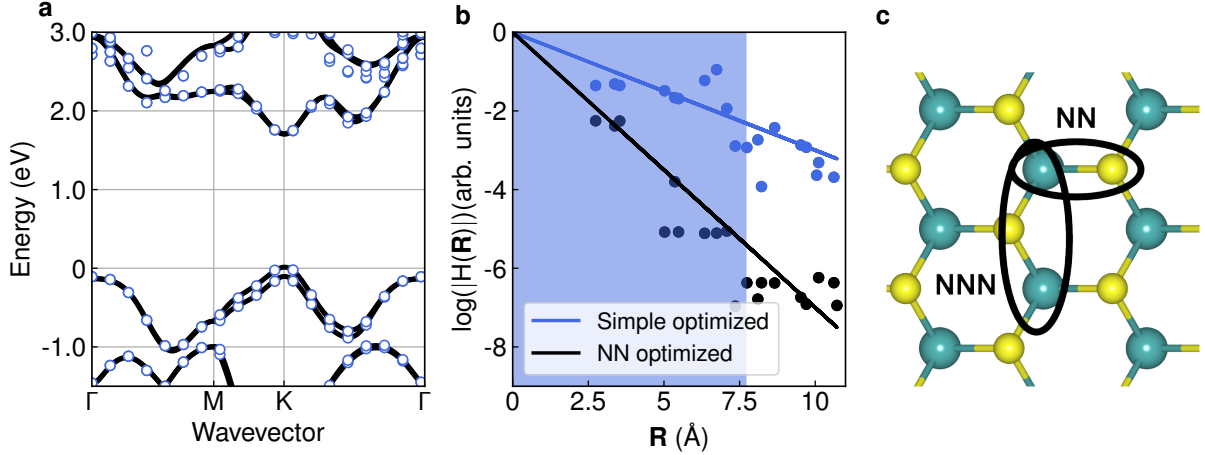


FIG. 4. **Building extreme tight-binding Hamiltonians with meta-optimization.** (a) Wannier-interpolation of the band structure of monolayer MoS<sub>2</sub> over a wide energy range. Black lines are results from the present method, blue disks are explicit DFT calculations. For this calculation, we employ an energy window in the loss function that extends from 0.8 eV below the valence band maximum to 0.5 eV above the conduction band minimum, 14 MLWFs, and a coarse BZ grid with 6×6 points. The key difference between this calculation and those in Fig.2 and Fig.S4 is that, here, we only retain the first and second nearest-neighbors in the Wannier representation. Specifically, in the interpolation of the smooth Bloch Hamiltonian starting from the Hamiltonian in the Wannier representation,  $\tilde{H}_{mn}(\mathbf{k}) = \sum_{\mathbf{R}} \exp(i\mathbf{k} \cdot \mathbf{R}) H_{mn}(\mathbf{R})$ , we only sum over  $\mathbf{R} = 0$  and the first and second shell of lattice vectors  $\mathbf{R} \neq 0$ . This truncated interpolation is used to evaluate the band interpolation error  $\mathcal{E}$  in the loss function, and MLWFs are meta-optimized to minimize this error. (b) Spatial decay of the Hamiltonian in the Wannier representation,  $|H_{mn}(\mathbf{R})|/\max[|H_{mn}(\mathbf{R})|]$ . Blue disks correspond to the Hamiltonian obtained in Fig. S4 (“simple optimized”), while black disks correspond to the present nearest-neighbor optimization (“NN optimized”). The lines are guides to the eye. The shading indicates the range of lattice vectors included in the nearest-neighbor optimization. We observe that the present optimization leads to a faster decay and improved Wannier interpolation. (c) Schematic illustration of the nearest-neighbors retained in (a) and (b).

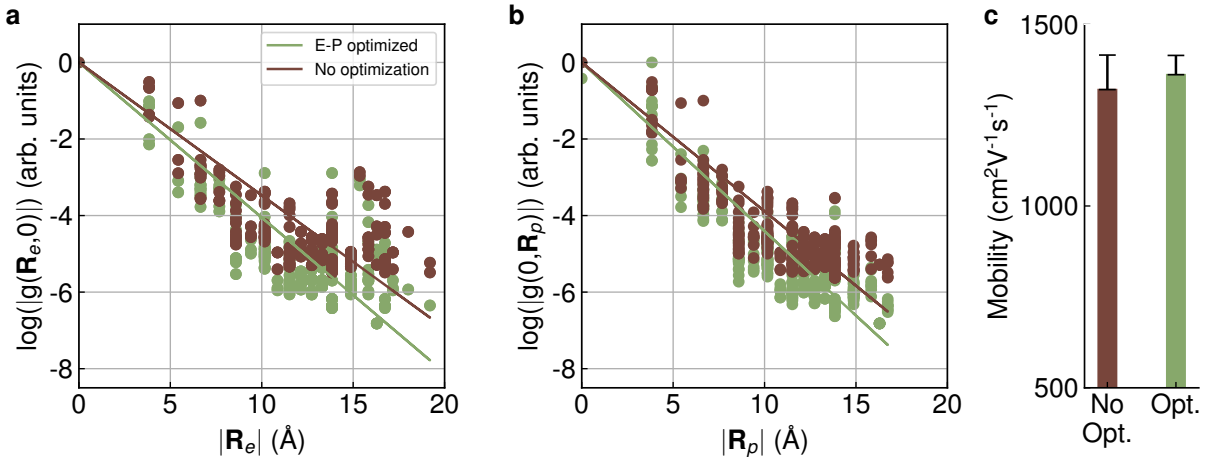


FIG. 5. **Maximally-localized electron-phonon matrix elements.** Spatial decay of the electron-phonon matrix element for the conduction bands of silicon, as a function of (a) the length of the electronic Wigner-Seitz vector ( $|\mathbf{R}_e|$ ) and (b) the length of the phonon Wigner-Seitz vector ( $|\mathbf{R}_p|$ ). Brown disks correspond to calculation without including the term  $\xi_2$  in the loss function, while green circles are obtained by including this feature. Solid lines are the corresponding exponential fits. (c) Electron mobility at 300 K, obtained using electron-phonon-optimized Wannier functions (green) and standard Wannier functions (brown). The value on top of each bar is the relative error with respect to calculations using a dense coarse BZ grid.

## Meta-optimization of maximally-localized Wannier functions Supplementary Materials

Sabyasachi Tiwari,<sup>1,2</sup> Bruno Cucco,<sup>1,2</sup> Viet-Anh Ha,<sup>1,2</sup> and Feliciano Giustino<sup>1,2,\*</sup>

<sup>1</sup>*Oden Institute for Computational Engineering and Sciences, The University of Texas at Austin, Austin, Texas 78712, USA*

<sup>2</sup>*Department of Physics, The University of Texas at Austin, Austin, Texas 78712, USA*

### Contents

Supplementary Note 1	Software
	Calculation parameters
	Meta-optimization hyper-parameters
	Loss function
	Sensitivity of results to the choice of loss function
Supplementary Note 2	Generation of Wannier functions with minimal spread variance
Supplementary Table 1	Optimized disentanglement energy windows and types of initial projections
Supplementary Table 2	Computed electron mobilities of silicon and monolayer MoS <sub>2</sub> vs. coarse grid size and bands
Supplementary Table 3	Computed electron mobilities of 2D materials from the 2D Materials Cloud database
Supplementary Figure 1	Sensitivity of results to the choice of loss function
Supplementary Figure 2	Choice of meta-optimization algorithm
Supplementary Figure 3	In-depth analysis of MLWFs meta-optimization for silicon
Supplementary Figure 4	In-depth analysis of MLWFs meta-optimization for monolayer MoS <sub>2</sub>
Supplementary Figure 5	In-depth analysis of MLWFs meta-optimization for (5,5) CNT
Supplementary Figure 6	Interpolation accuracy across six representative materials
Supplementary Figure 7	Singular value decomposition analysis of the Wannier representation
Supplementary Figure 8	Statistics on MLWFs meta-optimization for the Materials Cloud 2D database
Supplementary Figure 9	Constructing purely real-valued Wannier functions with meta-optimization
Supplementary Figure 10	Spread-balanced Wannier functions
Supplementary Figure 11	Meta-optimization for composite bands
Supplementary Figure 12	Composing meta-optimization with the SCDM method
Supplementary File 1	Input files and band structure plots for meta-optimized MLWFs of 200 compounds in the Materials Cloud 2D database
Supplementary File 2	A tutorial to run the metaWann code on code-ocean
Supplementary Data	All input and output files are available on the Materials cloud archive.

---

\* fgiustino@oden.utexas.edu

## Note S1

**Software.** All calculations are performed using density functional theory (DFT) within the Generalized Gradient approximation (GGA) for the exchange and correlation functional. We employ planewaves and pseudopotentials, as implemented in the `Quantum ESPRESSO` materials simulation suite<sup>1,2</sup> for both ground-state calculations and density functional perturbation theory calculations.<sup>3,4</sup> Maximally-localized Wannier functions (MLWFs) are computed using the `Wannier90` code,<sup>5</sup> which is invoked in library mode from the EPW code.<sup>6,7</sup> Transport calculations are performed using EPW.<sup>6,8</sup> We employ optimized norm-conserving (ONCV) pseudopotentials.<sup>9,10</sup>

All computational workflows are automated by using the `EPWpy` library, which is publicly available through its GitLab repository<sup>11</sup> or its own website.<sup>12</sup> The `metawann` code calls `Quantum ESPRESSO`, `EPW`, and `Wannier90` through the `EPWpy` library, and its executable is provided as Code Ocean capsule.<sup>13</sup> In the meta-optimization, we employ the differential evolution (DE) algorithm implemented in the SciPy library as `differential_evolution`.<sup>14</sup> A self-contained example of calculation workflow to find meta-optimized MLWFs for MoS<sub>2</sub> as in Fig. 1 in the main text is provided as a Code Ocean capsule.<sup>13</sup>

**Calculation parameters.** We use a planewave kinetic energy cutoff of 60 Ry for all compounds except silicon and GaN. For silicon we use 40 Ry for compatibility with Ref. 15, while for GaN we use 80 Ry. We employ the experimental lattice parameters for silicon and GaN; optimized lattice parameters for monolayer MoS<sub>2</sub> in the presence of spin-orbit coupling; experimental lattice parameters for the (5,5) carbon nanotube (CNT); and lattice parameters from the Materials Cloud 2D Database for all other materials.<sup>16</sup> Ground-state calculations are performed using a 20<sup>3</sup> Brillouin zone (BZ) grid for silicon, 8<sup>3</sup> BZ grid for GaN, and a 12<sup>2</sup> BZ grid for all 2D materials. In all calculations, we set the energy convergence threshold to 10<sup>-13</sup> Ry. Mobility calculations using the *ab initio* Boltzmann transport equation (*ab*BTE) are performed using fine BZ grids with 60<sup>3</sup> **k** and **q** points for silicon, 100<sup>2</sup> points for monolayer MoS<sub>2</sub>, and 120<sup>2</sup> points for all other 2D materials. The coarse BZ grids employed in Wannierization for silicon, monolayer MoS<sub>2</sub>, and the CNT are indicated in the caption of Fig. 2 of the main text. The coarse BZ grids employed for the 2D materials in Fig. 3(f) and 3(g) of the main text are 6×6 for electrons and 3×3 for phonons. For the benchmark semiconductor set shown in Figure S6, comprising of AlSb, AlP, 3C-SiC, SrO, AlAs, and GaP, we use the same pseudopotentials and input parameters as reported in Ref. 15.

**Meta-optimization hyper-parameters.** To perform meta-optimization of MLWFs, we chose as hyper-parameters the inner and outer disentanglement energy windows and the type of initial projections. The outer disentanglement window is specified in `Wannier90` by the input parameters `dis_win_min` and `dis_win_max`, the inner window is specified by `dis_froz_min` and `dis_froz_max`. All four parameters are stored as real variables and varied independently by the DE optimizer, with the constraint that the inner window should be contained within the outer window.

Unlike the energy windows, the types of initial projection are specified in `Wannier90` as categorical labels. We employ hydrogenic wavefunctions and associated hybrid orbitals, which are specified by the angular momentum quantum number  $l = 0, 1, 2, 3$  for *s, p, d, f* orbitals, and  $l = -5, -4, -3, -2, -1$  for hybrid orbitals. For each of these choices, several options for the magnetic quantum number are possible, see the `Wannier90` documentation at Ref. 17 for more information. In order to handle categorical labels, we assign an integer index to each of the possible choices allowed by the `Wannier90` code, for a total of 285 unique possibilities per atom. In this work, these trial local orbitals are located at each atomic site of the crystal. The integer index is then passed to the DE optimizer as a continuous variable via step-wise mapping. In order to perform the optimization, the only parameter that we specify in input is the convergence criterion for the loss function. The search over hyperparameters is performed automatically.

Other hyper-parameter choices can be used to further fine-tune the present method for specific applications. In fact, any input parameter from the `Wannier90` code or related Wannierization tools, whether a numerical value or categorical label, can serve as a hyper-parameter.

**Sensitivity of results to the choice of loss function.** In Figure S1 we investigate the impact of the choice of loss function on the meta-optimization, for the Wannierization of the conduction bands of silicon. We consider the following loss functions:

- L1: We set  $\zeta_1 = \mathcal{E}/E_H$  ( $E_H$  is the Hartree energy),  $\eta_1 = \Omega/N_b$ ,  $N_1 = \Omega_{\max}$  with  $\Omega_{\max} = 5 \text{ \AA}^2$ ,  $\alpha_1 = 1$ , and  $\lambda_1 = 10^6$ . With this choice, one minimizes the band interpolation error while enforcing an upper bound of  $\Omega_{\max}$  on the average spread of Wannier functions.
- L2: We set  $\zeta_1 = \mathcal{E}/E_H$ ;  $\zeta_2 = \Omega/\Omega_{\max}$  with  $\Omega_{\max} = 5 \text{ \AA}^2$ , we sweep the parameters  $\alpha_1$ , and  $\alpha_2$  from 0.1 to 0.9 with  $\alpha_1 + \alpha_2 = 1.0$ . We do not use constraints. This choice strikes a balance between the optimization of band interpolation and the localization of MLWFs.

Figure S1(a) and (b) show the band interpolation error and the mean spread as a function of DE generation, respectively, for various choices of the above weights. For comparison, the black lines and disks in the same panels correspond to the loss function L1, where the MLWF spread is included via a constraint. As expected, by placing more

weight on the band interpolation error (see for example brown curves, for  $\alpha_1 = 0.9$  and  $\alpha_2 = 0.1$ ) the interpolation quality in panel (a) improves at the expense of the spread in panel (b). The trend reverses as  $\alpha_1$  decreases and  $\alpha_2$  increases. In comparison, the loss function L1 delivers the smallest interpolation error, at the cost of a slightly larger yet still near-optimal spread for applications.

In Figure S1(c) we also show the correlation between band interpolation error and spread, for all DE generations and all the loss functions shown in panels (a) and (b). The data are reported as a “density of (hyperparameter) configurations”. This plot shows that, when the interpolation error is small, the spread tends to also be small, but the converse is not true. In other words, MLWFs which are able to closely reproduce DFT bands tend to also be more localized. This is somewhat unexpected, and highlights the usefulness of placing the emphasis on the band interpolation error in the meta-optimization of MLWFs.

The present analysis indicates how meta-optimization is very versatile and can easily be fine-tuned to leverage the vast gauge freedom in the choice of Wannier functions.

### Note S2: Generation of Wannier functions with minimal spread variance

We show that we can obtain spread-balanced MLWFs as obtained in Ref. 18 by simply adding the variance of the spread to our loss function. To this end, we define the loss function L4 as follows:

$$\mathcal{L}[U^0] = \alpha_1 \xi_1 [\mathcal{W}(U^0)] + \alpha_2 \xi_2 [\mathcal{W}(U^0)], \quad (\text{S1})$$

where  $\xi_1 = \mathcal{E}/E_{\text{H}}$  is the band interpolation error, and  $\xi_2 = \text{Var}(\Omega/\Omega_{\text{max}})$  is the variance of the spread. We use this loss function with the parameters  $\alpha_1 = \alpha_2 = 0.5$ .

Using Eq. S1 we generate MLWFs for the conduction bands of Si, with a coarse BZ grid of  $6^3$  points. In Figure S10(a) we show the minima of the variance of the spread as a function of generation in differential evolution. At convergence, the variance vanishes exactly (within numerical precision), leading to highly symmetric MLWFs even in the case of entangled bands [see inset of panel (b)]. For completeness, panel (b) also shows the median spread, which coincides with the spread of each MLWF at convergence. In Figure S10(c) we see that the use of ultra-symmetric MLWFs leads to a further improvement in mobility calculations as compared to much denser coarse BZ grids, with an error under 1%.

We emphasize that the purpose of this example is simply to illustrate the exceptional flexibility of our approach: with only a modest change in the loss function, we can reproduce advanced optimization algorithms that normally require modifications to the source code. Importantly, we do not view this method as a substitute for current approaches, but rather as a complementary tool that can augment those efforts by adding an additional layer of global optimization. For example, the present framework could be adapted to use ASE<sup>19</sup> as the Wannierization engine.



TABLE S1. **Optimized disentanglement energy windows and types of initial projections.** We report the lower (dis\_froz\_min) and upper (dis\_froz\_max) bounds of the frozen window in the Wannierization process, the lower (dis\_win\_min) and upper (dis\_win\_max) bounds of the disentanglement window, and the types of projections (angular momentum number  $l$  and magnetic number  $m_r$ ), for all compounds discussed in the main text (complete data for the 200 compounds reported in Figure S7 are provided in Supplementary File 1). In all cases, the Wannierization procedure starts from 60 bands, and all valence bands lying more than 5 eV away from the valence band top are excluded. All energies are referred to the valence band top.

Compound	dis_froz_min eV	dis_froz_max eV	dis_win_min eV	dis_win_max eV	Projection
Test systems					
Silicon	6.63	9.40	-3.36	29.06	$l = -4, m_r = 2, 4; l = 2, m_r = 2, 3, 4, 5$ $l = -5, m_r = 2, 3, 4, 5; l = -2, m_r = 2$
Monolayer MoS <sub>2</sub>	-5.56	-0.78	-15.56	6.37	$l = 2, m_r = 1, 2, 4; l = -4, m_r = 4$
(5,5) CNT	-11.67	5.60	-15.52	24.79	$l = -5, m_r = 1, 2, 3, 4, 6; l = -4, m_r = 1, 2;$ $l = 3, m_r = 2, 3, 4, 5, 6;$ $l = -4, m_r = 1, 2, 3, 4;$ $l = -5, m_r = 2, 4, 6;$ $l = 3, m_r = 1, 3, 5, 6, 7;$ $l = -5, m_r = 1, 2, 3, 5, 6;$ $l = 2, m_r = 1, 4;$ $l = 2, m_r = 1, 2, 5;$ $l = 3, m_r = 1, 2, 3, 4, 5, 7;$ $l = 3, m_r = 3, 5;$ $l = 3, m_r = 2, 3, 4, 5, 7;$ $l = 3, m_r = 1, 2, 3, 5, 6;$ $l = 2, m_r = 1, 4, 5;$ $l = -4, m_r = 1, 2, 3$
GaN	9.05	12.61	2.20	27.15	$l = -5, m_r = 1, 2, 4, 5; l = 3, m_r = 1, 5;$
3C-SiC	9.78	16.92	1.78	68.07	$l = 2, m_r = 1, 2, 5; l = 3, m_r = 5, 6, 7;$
AIAs	3.46	11.57	0.035	32.77	$l = -3, m_r = 1, 2, 3; l = 3, m_r = 1, 3, 5, 6, 7;$ $l = 3, m_r = 1, 2, 3, 5;$
AIP	5.33	10.14	-2.67	27.38	$l = 3, m_r = 2, 3, 4, 7; l = -5, m_r = 2, 5, 6;$
AlSb	5.02,	9.81,	0.74,	23.57	$l = 3, m_r = 2, 6; l = 3, m_r = 1, 4, 7;$ $l = -4, m_r = 1, 2, 3, 4, 5;$
SrO	8.21	14.56	3.21	36.33	$l = -5, m_r = 1, 4, 5, 6; l = 3, m_r = 1, 4, 6;$
GaP	5.00	11.64	2.81	28.10	$l = 3, m_r = 2, 3, 4; l = 3, m_r = 1, 2, 3, 5, 7;$ $l = 1, m_r = 1, 2, 3;$
56 Compounds from 2D Materials Cloud database					
Ag <sub>2</sub> Br <sub>2</sub>	-8.15	-2.26	-19.49	8.50	$l = 3, m_r = 1, 2, 3, 4, 7; l = 2, m_r = 2, 3, 5;$ $l = -5, m_r = 3, 4, 5; l = 3, m_r = 1, 3, 4, 5;$
AgO <sub>4</sub> Cl	-8.27	-2.07	-25.81	9.92	$l = -3, m_r = 2, 3, 4; l = -4, m_r = 3;$ $l = 3, m_r = 1, 4, 5;$
Al <sub>2</sub> O <sub>2</sub> Cl <sub>2</sub>	-8.02	0.87	-25.49	22.54	$l = -5, m_r = 3, 5, 6; l = -5, m_r = 1, 4;$ $l = -4, m_r = 1;$
As <sub>4</sub>	-10.59	-0.94	-24.56	13.52	$l = 3, m_r = 2, 3, 5, 6; l = 3, m_r = 1, 2, 3, 7;$ $l = 3, m_r = 1, 2, 4, 5, 6, 7; l = 3, m_r = 4, 7;$
Ba <sub>2</sub> H <sub>2</sub> I <sub>2</sub>	-8.12	-1.93	-20.49	7.83	$l = -3, m_r = 1, 2; l = -3, m_r = 1, 4;$ $l = 2, m_r = 1, 2, 3, 4;$
Bi <sub>2</sub>	-5.07	-1.40	-11.76	6.02	$l = -4, m_r = 2, 3, 5; l = -3, m_r = 1, 2, 4;$
Bi <sub>2</sub> O <sub>2</sub> Cl <sub>2</sub>	-12.80	-4.32	-22.90	8.37	$l = 3, m_r = 1, 4; l = 2, m_r = 1, 2, 4, 5;$ $l = -4, m_r = 1;$
Bi <sub>2</sub> O <sub>2</sub> I <sub>2</sub>	-11.97	-4.29	-20.80	8.09	$l = 3, m_r = 2, 4, 5, 6, 7; l = -4, m_r = 1;$ $l = 3, m_r = 4, 6;$
Bi <sub>2</sub> TeSe <sub>2</sub>	-5.77	-2.48	-19.75	5.60	$l = 3, m_r = 1, 3, 4, 5, 7; l = -3, m_r = 2, 3, 4;$ $l = -1, m_r = 1;$
BiTeCl	-6.46	-4.12	-24.07	11.32	$l = -4, m_r = 1, 2, 3, 4; l = -2, m_r = 2;$ $l = 3, m_r = 1, 2, 4, 5, 6;$
BiTeI	-6.45	-3.26	-19.05	17.00	$l = -5, m_r = 1, 2, 4, 5; l = 3, m_r = 2, 3, 7;$ $l = 3, m_r = 3, 6, 7;$
Ca <sub>2</sub> H <sub>2</sub> Br <sub>2</sub>	-7.01	1.61	-22.16	11.53	$l = -5, m_r = 3, 4, 6; l = 3, m_r = 2, 3;$ $l = -3, m_r = 1, 2, 3;$
Ca <sub>2</sub> H <sub>2</sub> I <sub>2</sub>	-11.13	-0.82	-17.87	8.29	$l = -3, m_r = 2, 3, 4; l = 3, m_r = 1, 3, 5, 6;$ $l = 2, m_r = 2;$
CaI <sub>2</sub>	-12.13	-0.06	-19.16	8.28	$l = 3, m_r = 1, 3, 5, 7; l = 3, m_r = 1, 3, 5, 6, 7;$

Compound	dis_froz_min eV	dis_froz_max eV	dis_win_min eV	dis_win_max eV	Projection
CdBr <sub>2</sub>	-12.9	-2.84	-22.38	7.29	$l = 3, m_r = 1, 3, 4, 5, 7; l = 3, m_r = 6;$
CdCl <sub>2</sub>	-8.42	-0.44	-25.57	9.57	$l = 2, m_r = 1, 2, 3, 4, 5; l = 3, m_r = 4, 7;$
CdI <sub>2</sub>	-11.29	-2.14	-24.18	8.51	$l = -5, m_r = 2, 3, 4; l = -3, m_r = 1, 3, 4;$
Cu <sub>2</sub> Br <sub>2</sub>	-5.13	0.15	-16.14	11.98	$l = 3, m_r = 2, 4, 5; l = -4, m_r = 2, 3, 5;$
Cu <sub>2</sub> I <sub>2</sub>	-6.15	0.11	-18.08	17.35	$l = -5, m_r = 2, 3, 4, 5, 6; l = 3, m_r = 5, 7;$
Cu <sub>2</sub> I <sub>2</sub>	-4.76	0.52	-15.86	13.68	$l = 3, m_r = 3, 4, 7; l = 3, m_r = 1, 2, 5, 6;$
FeBr <sub>2</sub>	-8.58	-0.97	-16.36	18.48	$l = 3, m_r = 1, 2, 6, 7; l = -5, m_r = 1, 2, 3, 4;$
FeCl <sub>2</sub>	-7.42	0.03	-18.39	19.14	$l = 3, m_r = 1, 2, 4, 5; l = 3, m_r = 1, 2, 3, 6, 7;$
FeI <sub>2</sub>	-9.80	-2.85	-15.67	12.10	$l = -3, m_r = 1, 2, 4; l = 3, m_r = 1, 2, 3, 4, 6;$
Ga <sub>2</sub> S <sub>2</sub>	-9.11	-3.57	-20.59	13.03	$l = 3, m_r = 3, 4, 5, 6, 7; l = -5, m_r = 1;$
Ga <sub>2</sub> S <sub>2</sub>	-11.13	-3.12	-20.21	15.18	$l = -5, m_r = 1, 3, 4, 5, 6; l = 3, m_r = 2, 6, 7;$
Ga <sub>2</sub> Se <sub>2</sub>	-8.98	-3.10	-23.52	12.05	$l = -5, m_r = 4, 6; l = -4, m_r = 2, 5;$
Ga <sub>2</sub> Te <sub>2</sub> Cl <sub>2</sub>	-11.48	-3.68	-21.27	8.18	$l = -4, m_r = 3; l = -2, m_r = 1, 2;$ $l = 2, m_r = 1, 3, 4, 5;$
Ge <sub>2</sub> S <sub>2</sub>	-13.59	0.72	-24.64	18.40	$l = 3, m_r = 1, 3, 7; l = 3, m_r = 1, 3, 5, 6, 7;$
Ge <sub>2</sub> Se <sub>2</sub>	-10.47	-1.03	-17.83	10.22	$l = 3, m_r = 1, 2, 3, 4, 5, 7;$ $l = 3, m_r = 1, 2, 3, 4, 5, 6, 7;$
GeI <sub>2</sub>	-11.52	-0.87	-24.88	18.77	$l = -4, m_r = 1, 2, 3, 4; l = 2, m_r = 1, 3, 5;$
GeI <sub>2</sub>	-12.61	-2.76	-24.77	16.7	$l = 3, m_r = 1, 3, 6; l = 3, m_r = 1, 3, 4, 5, 6, 7;$
HfSe <sub>2</sub>	-10.00	-3.25	-22.08	6.69	$l = -4, m_r = 3, 5; l = 3, m_r = 2, 4, 5, 6;$
In <sub>2</sub> O <sub>2</sub> Br <sub>2</sub>	-9.27	-3.24	-17.39	7.24	$l = 3, m_r = 7; l = -3, m_r = 2, 3, 4;$ $l = 3, m_r = 1, 2, 6;$
In <sub>2</sub> Se <sub>2</sub>	-10.25	-4.14	-24.57	13.97	$l = -2, m_r = 1, 2, 3; l = -5, m_r = 1, 2, 4, 5;$
MgBr <sub>2</sub>	-9.56	-0.48	-23.53	16.26	$l = -4, m_r = 1, 2, 5; l = 3, m_r = 2, 4, 6, 7;$
MgCl <sub>2</sub>	-13.50	0.25	-27.23	19.62	$l = 3, m_r = 2, 3, 4, 6; l = 3, m_r = 2, 3, 4, 6, 7;$
MgI <sub>2</sub>	-15.50	-1.44	-19.39	12.04	$l = -5, m_r = 1, 2, 3, 4, 6; l = 2, m_r = 1, 3, 4, 5;$
MoSe <sub>2</sub>	-15.18	-1.59	-17.59	11.19	$l = 3, m_r = 3, 4, 6; l = 3, m_r = 1, 2, 3, 5, 7;$
NaCN	-11.40	-0.11	-21.10	22.56	$l = 3, m_r = 3, 5, 6, 7; l = 3, m_r = 2;$ $l = 3, m_r = 1, 4, 5;$
P <sub>2</sub>	-13.78	-0.03	-17.6	17.54	$l = -5, m_r = 1, 3; l = 3, m_r = 4, 5, 6;$ $l = 3, m_r = 1, 4, 6, 7; l = 3, m_r = 3, 4, 5, 7;$
P <sub>4</sub>	-12.73	-1.90	-19.91	17.41	$l = 3, m_r = 1, 2, 3; l = 3, m_r = 1, 2, 3, 4, 5, 7;$ $l = -4, m_r = 2, 4; l = 3, m_r = 1, 4, 5, 6, 7;$
Pb <sub>2</sub> Br <sub>2</sub> F <sub>2</sub>	-11.08	-3.44	-25.57	7.76	$l = -4, m_r = 5; l = 2, m_r = 1, 2;$ $l = -4, m_r = 1, 2, 3, 4, 5;$
Pb <sub>2</sub> Cl <sub>2</sub> F <sub>2</sub>	-12.75	-2.76	-26.05	7.51	$l = -5, m_r = 1, 2, 3, 5; l = -2, m_r = 1;$ $l = 3, m_r = 1, 7;$
Pb <sub>2</sub> O <sub>2</sub>	-7.65	-0.53	-19.01	20.32	$l = 2, m_r = 1, 2, 3, 4; l = 3, m_r = 3, 4, 5, 6;$
PbF <sub>4</sub>	-10.44	1.80	-24.82	9.39	$l = 1, m_r = 1, 2; l = 2, m_r = 1, 5;$
PbI <sub>2</sub>	-10.00	0.66	-23.19	11.47	$l = 3, m_r = 1, 4, 6, 7; l = 3, m_r = 1, 2, 3, 4, 6;$
Rb <sub>2</sub> Cl <sub>2</sub>	-12.65	0.02	-18.30	12.95	$l = -5, m_r = 1, 2, 3, 4, 5; l = 3, m_r = 2;$
Sb <sub>2</sub>	-5.59	-0.49	-18.30	9.55	$l = -5, m_r = 2, 3, 4, 5; l = 3, m_r = 1, 3, 5, 7;$
Si <sub>2</sub> H <sub>2</sub>	-8.37	-1.30	-19.19	8.39	$l = -5, m_r = 1, 4, 6; l = 2, m_r = 1, 2, 4, 5;$
Sn <sub>2</sub> Te <sub>2</sub>	-4.96	-1.31	-16.32	5.04	$l = 3, m_r = 6; l = 3, m_r = 1, 4, 5, 6;$ $l = 3, m_r = 1, 2, 4, 6; l = -4, m_r = 3;$
Ti <sub>2</sub> N <sub>2</sub> Br <sub>2</sub>	-7.24	-4.31	-17.65	8.84	$l = -5, m_r = 4, 5, 6; l = 3, m_r = 1, 2, 4, 5, 7;$ $l = 3, m_r = 1, 2, 3, 6, 7;$
Ti <sub>2</sub> N <sub>2</sub> Cl <sub>2</sub>	-7.41	-3.23	-19.05	5.97	$l = 3, m_r = 1, 4, 5, 7; l = 3, m_r = 2, 3, 6, 7;$ $l = 3, m_r = 5, 7;$
Tl <sub>2</sub> O	-13.15	0.87	-20.79	23.15	$l = -4, m_r = 1, 2, 3, 4, 5; l = 3, m_r = 4, 5, 6, 7;$ $l = -5, m_r = 1, 2, 3, 4, 5;$
WS <sub>2</sub>	-7.02	-1.28	-16.39	5.58	$l = 1, m_r = 1; l = 3, m_r = 1, 3, 6;$ $l = 3, m_r = 4, 5, 6, 7;$
WTe <sub>2</sub>	-4.62	-1.20	-21.38	7.16	$l = -5, m_r = 1, 5; l = 3, m_r = 2, 4, 7;$ $l = -1, m_r = 2;$
ZrSe <sub>2</sub>	-13.08	-4.53	-16.91	8.45	$l = 3, m_r = 1, 2, 3, 6, 7; l = 3, m_r = 4, 5, 6, 7;$

TABLE S2. **Computed electron mobilities of silicon and monolayer MoS<sub>2</sub> vs. coarse grid size and bands.** Room-temperature electron mobilities in silicon and monolayer MoS<sub>2</sub>, as computed via the *ab*BTE and reported in Fig. 3(a) and (b) of the main text, respectively. In the case of silicon, we vary the size  $N$  of the coarse BZ grid ( $N_c = N^3$ ) and we keep the number of Wannier functions fixed to  $N_b = 12$ . In the case of monolayer MoS<sub>2</sub>, we vary the number of bands  $N_b$  while keeping the coarse BZ grid size fixed to  $N_c = 24^2$ . In the last row we report data from Refs. 15 and 20, respectively.

Silicon		Monolayer MoS <sub>2</sub>	
$N$	Mobility $\text{cm}^2\text{V}^{-1}\text{s}^{-1}$	$N_b$	Mobility $\text{cm}^2\text{V}^{-1}\text{s}^{-1}$
4	1285	2	174
6	1320	4	174
8	1393	8	178
16	1378 <sup>15</sup>	10	169 <sup>20</sup>

TABLE S3. **Computed electron mobilities of 2D materials from the Materials Cloud 2D database.** Room-temperature mobilities of 56 compounds from the 2D Materials Cloud database, calculated using the *ai*BTE and reported in Fig. 3(f) and (g) of the main text. To identify compounds, we also provide their MC2D identity code.<sup>16</sup>

Compound	MC2D Identity Code	Mobility ( $\text{cm}^2\text{V}^{-1}\text{s}^{-1}$ )	Compound	MC2D Identity Code	Mobility ( $\text{cm}^2\text{V}^{-1}\text{s}^{-1}$ )
Ag <sub>2</sub> Br <sub>2</sub>	mc2d-1	18	Ge <sub>2</sub> Se <sub>2</sub>	mc2d-160	33
AgO <sub>4</sub> Cl	mc2d-2	4	GeI <sub>2</sub>	mc2d-155	12
Al <sub>2</sub> O <sub>2</sub> Cl <sub>2</sub>	mc2d-8	28	GeI <sub>2</sub>	mc2d-156	22
As <sub>4</sub>	mc2d-10	65	HfSe <sub>2</sub>	mc2d-171	13
Ba <sub>2</sub> H <sub>2</sub> I <sub>2</sub>	mc2d-17	15	In <sub>2</sub> O <sub>2</sub> Br <sub>2</sub>	mc2d-54	19
Bi <sub>2</sub>	mc2d-18	373	In <sub>2</sub> Se <sub>2</sub>	mc2d-201	83
Bi <sub>2</sub> O <sub>2</sub> Cl <sub>2</sub>	mc2d-26	18	MgBr <sub>2</sub>	mc2d-36	23
Bi <sub>2</sub> O <sub>2</sub> I <sub>2</sub>	mc2d-28	33	MgCl <sub>2</sub>	mc2d-90	20
Bi <sub>2</sub> TeSe <sub>2</sub>	mc2d-21	334	MgI <sub>2</sub>	mc2d-179	14
BiTeCl	mc2d-27	48	MoSe <sub>2</sub>	mc2d-205	92
BiTeI	mc2d-29	47	NaCN	mc2d-76	7
Ca <sub>2</sub> H <sub>2</sub> Br <sub>2</sub>	mc2d-43	10	P <sub>2</sub>	mc2d-221	38
Ca <sub>2</sub> H <sub>2</sub> I <sub>2</sub>	mc2d-80	7	P <sub>4</sub>	mc2d-220	137
CaI <sub>2</sub>	mc2d-81	5	Pb <sub>2</sub> Br <sub>2</sub> F <sub>2</sub>	mc2d-49	7
CdBr <sub>2</sub>	mc2d-30	13	Pb <sub>2</sub> Cl <sub>2</sub> F <sub>2</sub>	mc2d-107	5
CdCl <sub>2</sub>	mc2d-82	8	Pb <sub>2</sub> O <sub>2</sub>	mc2d-216	18
CdI <sub>2</sub>	mc2d-85	6	PbF <sub>4</sub>	mc2d-140	2
Cu <sub>2</sub> Br <sub>2</sub>	mc2d-46	6	PbI <sub>2</sub>	mc2d-183	16
Cu <sub>2</sub> I <sub>2</sub>	mc2d-134	14	Rb <sub>2</sub> Cl <sub>2</sub>	mc2d-121	7
Cu <sub>2</sub> I <sub>2</sub>	mc2d-133	18	Sb <sub>2</sub>	mc2d-237	44
FeBr <sub>2</sub>	mc2d-33	1	Si <sub>2</sub> H <sub>2</sub>	mc2d-167	26
FeCl <sub>2</sub>	mc2d-89	4	Sn <sub>2</sub> Te <sub>2</sub>	mc2d-252	142
FeI <sub>2</sub>	mc2d-144	2	Ti <sub>2</sub> N <sub>2</sub> Br <sub>2</sub>	mc2d-58	88
Ga <sub>2</sub> S <sub>2</sub>	mc2d-152	147	Ti <sub>2</sub> N <sub>2</sub> Cl <sub>2</sub>	mc2d-114	67
Ga <sub>2</sub> S <sub>2</sub>	mc2d-151	59	Tl <sub>2</sub> O	mc2d-219	55
Ga <sub>2</sub> Se <sub>2</sub>	mc2d-153	137	WS <sub>2</sub>	mc2d-234	195
Ga <sub>2</sub> Te <sub>2</sub> Cl <sub>2</sub>	mc2d-109	11	WTe <sub>2</sub>	mc2d-256	125
Ge <sub>2</sub> S <sub>2</sub>	mc2d-159	13	ZrSe <sub>2</sub>	mc2d-248	12

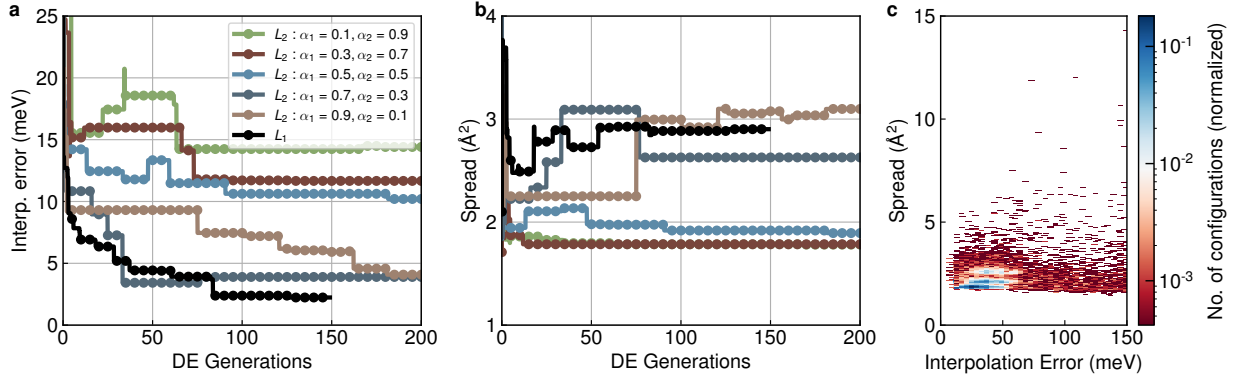


Figure S1. **Systematic analysis of loss function  $L_1$  and  $L_2$ .** (a) Interpolation error for the conduction bands of silicon, as a function of DE generation. Data correspond to the loss function  $L_2$ , for different values of the weights  $\alpha_1$  and  $\alpha_2$ , as well as to the loss function  $L_1$  (black). (b) MLWF mean spread as a function of DE generation, for the same dataset as in panel (a) with same color coding. (c) Cross-correlation between the band interpolation error and the MLWF spread for the data reported in panels (a) and (b).

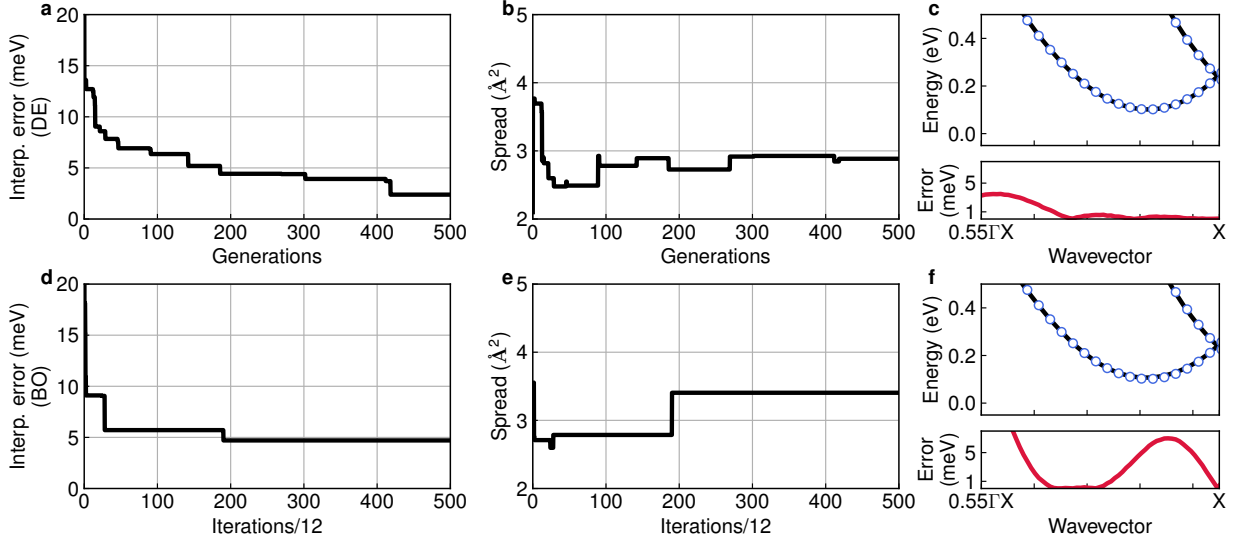


Figure S2. **Choice of meta-optimization algorithm.** We compare the performance of the DE meta-optimizer and the BO meta-optimizer to find MLWFs for the conduction bands of silicon. In this comparison we employ the loss function L1 described in the Computational Methods. Panels (a)-(c) in the first row corresponds to the DE meta-optimizer, while panels (d)-(f) in the second row are for the BO meta-optimizer. (a) and (b) show the band interpolation error  $\mathcal{E}$  and the Wannier mean spread  $\Omega$  as a function of DE generation. The black lines indicate the interpolation error and the spread for the candidate with the lowest loss function up to this generation, similar to Figure S1(a) and (b). Panel (c) is the resulting band interpolation (disks: DFT bands; black lines: Wannier interpolated bands). (d), (e) and (f) report the same information as in (a), (b) and (c), this time for the BO meta-optimizer. To perform a meaningful comparison between the two methods at equal computational cost, we scale the horizontal axis by an empirical factor of 12, so that the timing of the calculations in (a),(b),(d),(e) are approximately the same for the same value of the horizontal coordinate. It is seen that DE achieves lower band interpolation error and lower spread than BO; accordingly, DE delivers superior band interpolation, compare panels (c) and (f).

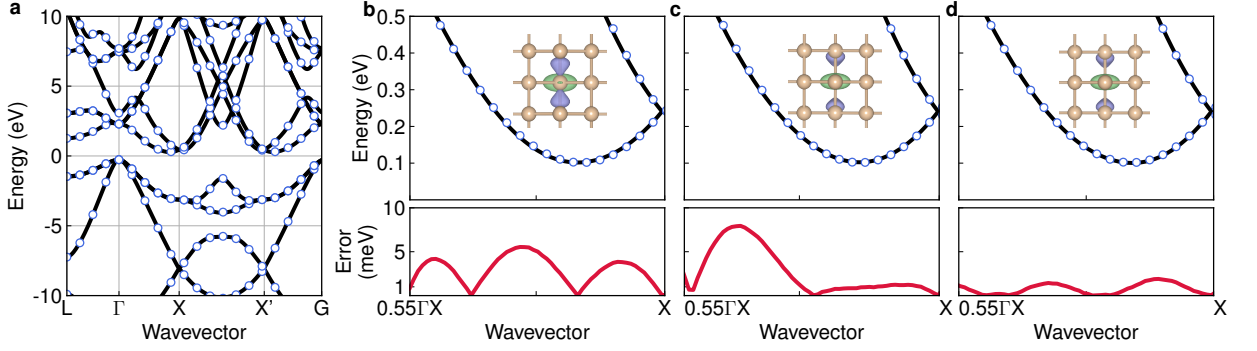


Figure S3. **In-depth analysis of MLWFs meta-optimization for silicon.** (a) Wannier-interpolation of the band structure of silicon over a wide energy range. Black lines are results from the present method, blue disks are explicit DFT calculations. For this calculation we employ an energy window that extends from 2.0 eV below the valence band maximum to 2.0 eV above the conduction band minimum in the loss function, 16 MLWFs, and a coarse BZ grid with  $6 \times 6 \times 6$  points. We show bands along the  $XX'$  segment (which is not a high-symmetry line) to demonstrate how interpolation with meta-optimized Wannier functions respects crystal symmetry. (b)-(d) Wannier interpolation of the conduction band bottom of silicon (top panels) and interpolation error (bottom panels), starting from a coarse BZ grid size  $N \times N \times N$  with  $N = 4$  for panel (b),  $N = 8$  for (c), and  $N = 10$  for (d). It is seen that the case  $N = 4$  already provides very good band interpolation, with a maximum error of 5 meV. The interpolation of conduction bands is achieved using an energy window of 0.5 eV from the conduction band bottom and 12 MLWFs. Representative MLWFs are shown as insets.

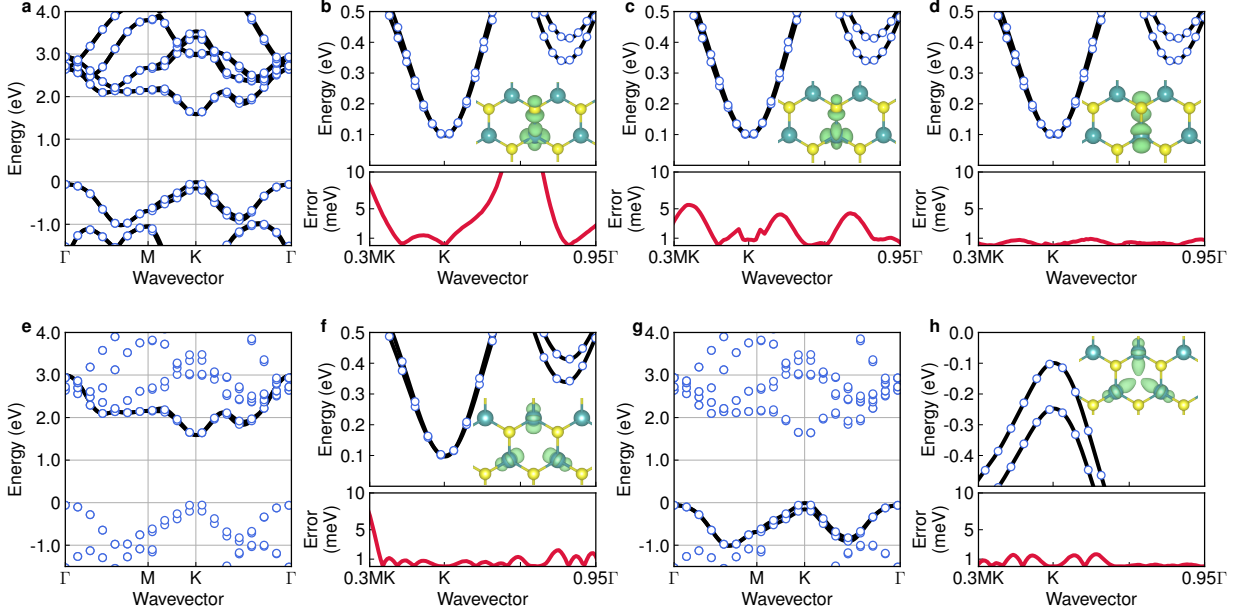


Figure S4. **In-depth analysis of MLWFs meta-optimization for monolayer MoS<sub>2</sub>.** (a) Wannier-interpolation of the band structure of monolayer MoS<sub>2</sub> over a wide energy range. Black lines are results from the present method, blue disks are explicit DFT calculations. For this calculation we employ an energy window that extends from 0.8 eV below the valence band maximum to 0.5 eV above the conduction band minimum in the loss function, 24 MLWFs, and a coarse BZ grid with  $6 \times 6 \times 1$  points. (b)-(d) Wannier interpolation of the conduction band bottom of monolayer MoS<sub>2</sub> (top panels) and interpolation error (bottom panels), starting from a coarse BZ grid size  $N \times N$  with  $N = 6$  for panel (b),  $N = 8$  for (c), and  $N = 12$  for (d). The interpolation of conduction bands is achieved using an energy window of 0.3 eV starting from the conduction band bottom, and 8 MLWFs. It is seen that the case  $N = 6$  already provides very good band interpolation, with a maximum error of 5 meV within the optimization window. In comparison, previous work used coarse grids as dense as  $N = 24$  to achieve sub-meV accuracy in the band interpolation error.<sup>20</sup> Representative MLWFs are shown as inset, and consist of combination of Mo-*d* orbitals and S-*p* orbitals, as expected. (e)-(h) These panels illustrate the use of meta-optimization to achieve Wannier interpolation of selected bands. In (e), we target the two lowest conduction bands of monolayer Mo<sub>2</sub> [the meaning of lines and disks is the same as in panel (a)]. In panel (f) we zoom near the bottom of the conduction band, and show the band interpolation error corresponding to a coarse grid with  $N = 24$ . These data are the same as in Fig. 2(i) of the main text. The inset shows the resulting MLWF; these Wannier functions are more delocalized than in panels (b)-(d) because they describe a narrower energy range. Panels (g) and (h) report show interpolation of the two topmost valence bands of monolayer MoS<sub>2</sub>, using the same convention as for (e),(f).



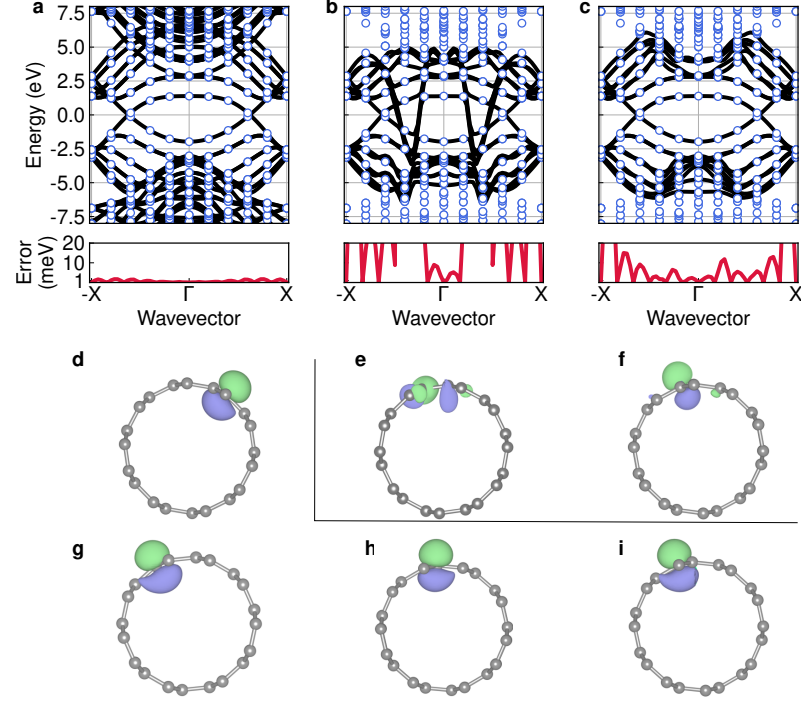


Figure S5. **In-depth analysis of MLWFs meta-optimization for (5, 5) CNT.** (a) Wannier-interpolation of the band structure of a (5,5) CNT over a wide energy range. This system contains 20 C atoms per unit cell.<sup>21</sup> Black lines are results from the present method, blue disks are explicit DFT calculations. For this calculation we employ an energy window of  $\pm 5$  eV from the charge neutrality level in the loss function, 63 MLWFs, and a coarse BZ grid with 12 points. The band interpolation error is also shown as a red line, for the two bands crossing the charge neutrality level (zero of the energy axis). (b) In this panel we show the result of manual Wannierization (without meta-optimization) starting from  $p_z$  orbitals on each C atom as initial projections (in this case, the  $p_z$  orbitals are all oriented along the same  $z$  axis). This strategy leads to poor band interpolation, as seen from the appearance of spurious bands that cross the charge neutrality level. In addition, the resulting MLWFs shown in (e) appear largely asymmetric. However, we should point out that it is possible to achieve good band interpolation by manually setting the initial projections to be  $p_z$  orbitals oriented radially around the CNT axis (i.e., with the  $z$  axis of each projection pointing in the direction perpendicular to the tube surface). (c) In this panel we show how meta-optimization offers significant flexibility. In this case, we set the initial projections to  $C$ - $p_z$  orbitals, and we optimize the disentanglement windows. Despite the sub-optimal choice of initial projections, meta-optimization is able to achieve good band interpolation. This flexibility makes the present method suitable for use in combination with Wannierization techniques that focus on the choice of initial projections.<sup>22,23</sup> Representative MLWFs are reported below each panel: (d), (g) (h), and (i) correspond to panel (a); (e) corresponds to panel (b); (f) corresponds to panel (c). In all cases we recognize  $C$ - $p_z$  orbitals oriented perpendicular to the CNT surface, but the MLWFs obtained from meta-optimization appear more symmetric and more localized.

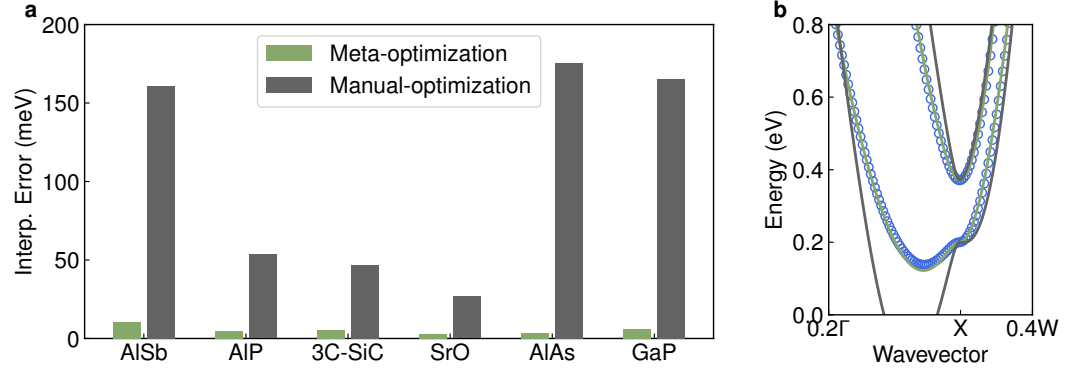


Figure S6. **Interpolation accuracy across six representative materials.** (a) Interpolation error between DFT and Wannier-interpolated conduction bands within 300 meV of the band extrema, for six prototypical semiconductors. Green bars correspond to Wannier functions generated using the present meta-optimization framework, while gray bars correspond to manual Wannierization using initial projections, disentanglement windows, and other hyperparameters reported in Ref. 15. All errors are evaluated using a coarse  $4 \times 4 \times 4$  Brillouin-zone sampling grid. (b) Representative comparison of band interpolation for GaP. Open circles denote DFT results, while solid lines show Wannier interpolation obtained using the present method (green) and manual Wannierization procedure.<sup>15</sup> (gray). The proposed approach achieves meV-level interpolation accuracy.

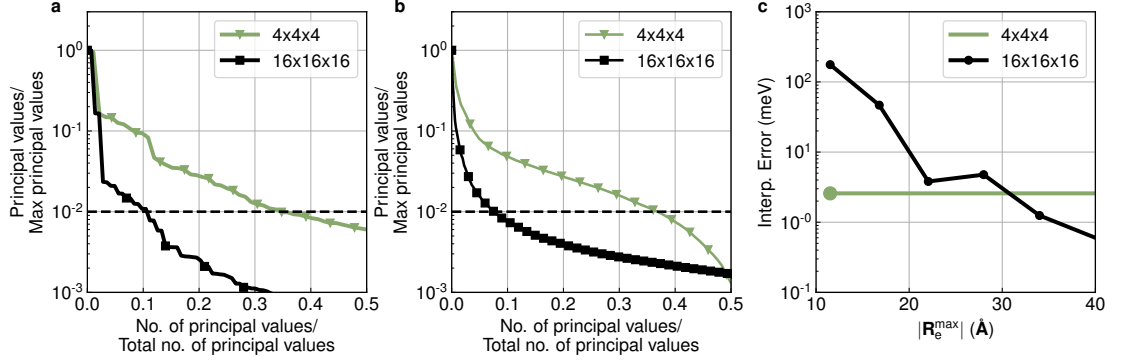


Figure S7. **Singular value decomposition analysis of the Wannier representation.** (a) Singular values of the Hamiltonian in the Wannier representation, for the conduction bands of silicon. The decomposition of  $H_{mn}(\mathbf{R}_e)$  is performed by creating a matrix with  $mn$  and  $\mathbf{R}_e$  as indices. Black refers to the Wannierization parameters reported in Ref. 15, for a  $16^3$  coarse grid; green refers to a representation obtained from a  $4^3$  grid via meta-optimization, using the L1 loss function. The horizontal axis marks the boundary between values that are within 1% of the largest principal value (above) from values that differ by more than 1% from the maximum value (below). The horizontal axis is the number of the principal value, referred to the total number of singular values in each case. (b) Singular values of the electron-phonon matrix elements in the Wannier representation, for the conduction bands of silicon.<sup>24</sup> The symbols and colors have the same meaning as in panel (a). Both quantities in (a) and (b) are normalized to their respective maximum values and sorted in descending order. We consider two Wannier representations: (i) a calculation using the parameters of Ref. 15, with a BZ grid containing  $16^3$  points; (ii) a calculation using meta-optimization with a grid of  $4^3$  points. The principal values are ordered by magnitude along the horizontal axis. Now we ask how many principal values lie within 1% of the maximum principal value. For the Hamiltonian, we find that this fraction is as low as 11% for the  $16^3$  grid, and as high as 35% for the  $4^3$  grid. For the electron-phonon matrix elements, this value is as low as 7% for the  $16^3$  grid, and as high as 37% for the  $4^3$  grid. These data indicate that the meta-optimized Wannier representation on the  $4^3$  grid compresses information more efficiently than the one obtained from the denser grid. Stated otherwise, the representation on the  $16^3$  grid contains redundant information that increases computational cost without improving calculation accuracy. From this point of view, the present meta-optimization can also be understood as a strategy to optimize the descriptive power (in terms of significant singular values) of a given Wannier representation. (c) Band interpolation error as a function of the maximum length of the Wigner-Seitz vectors,  $|\mathbf{R}_e^{\max}|$ . We calculate the band structure for a given  $\mathbf{k}$  point by diagonalizing the truncated Wannier Hamiltonian  $\sum_{\mathbf{R}_e} H(\mathbf{R}_e) \exp(i\mathbf{k} \cdot \mathbf{R}_e)$ , where  $\mathbf{R}_e$  is restricted to  $|\mathbf{R}_e| \leq |\mathbf{R}_e^{\max}|$ . The black line corresponds to the  $16^3$  coarse grid via manual Wannierization. The green line is for the  $4^3$  coarse grid using the present method. The intercept between the horizontal green line starting at the green dot and the black line indicates the range of Wigner-Seitz vectors required with manual Wannierization to match the accuracy of meta-optimization. This figure shows that, for a radial cutoff of 10 Å, manual Wannierization yields an error of 140 meV, while meta-optimization yields an error below 5 meV. Conversely, to reduce the error below 5 meV, manual Wannierization necessitates more shells of Wigner-Seitz vectors, up to 30 Å.

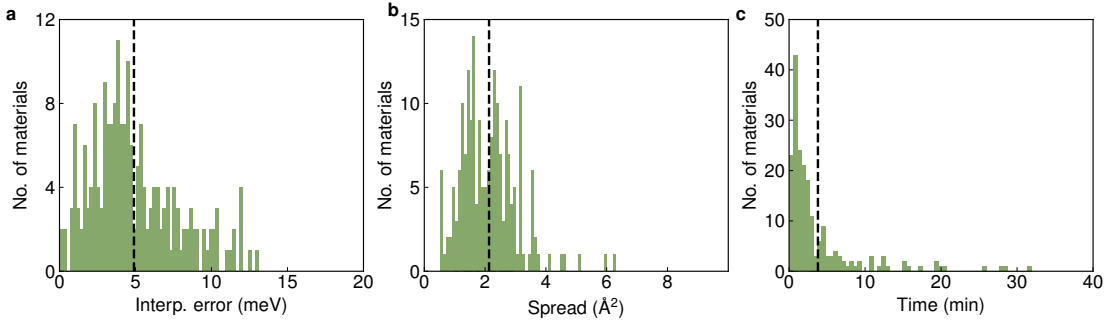


Figure S8. **Statistics on MLWFs meta-optimization for the Materials Cloud 2D database.** Panels (a)-(c) summarize the results of MLWFs meta-optimization for 200 compounds of the Materials Cloud 2D database.<sup>16</sup> These 200 compounds correspond to a subset of the 258 dynamically-stable systems reported in the database; the complete list with all input files and band structure plots is provided in Supplementary File 1. Calculations are performed using a  $6 \times 6$  coarse BZ grid, an energy window of  $\pm 1$  eV from the band edges in the loss function, and loss function L1 of the Computational Methods. We set an upper bound of 20 meV to the interpolation error, and stop DE iterations when the error and spread fall below 20 meV and  $10^2$ , respectively. (a) Histogram of the band interpolation error  $\mathcal{E}$  for all compounds in this dataset. The average error over all compounds is 5 meV. (b) Histogram of the mean MLWF spread  $\Omega/N_b$  for all compounds in this dataset. The average spread per Wannier function over all compounds is  $2.1 \text{ \AA}^2$ . (c) Runtime required to generate meta-optimized MLWFs. The average runtime over all compounds is 5 min, which is significantly lower than what would be required by manual Wannierization. In total, the Wannierization procedure for all 200 compounds takes 15 hours on a PC with 36 cores. All input files necessary to reproduce these calculations, as well as band structure plots, are provided in Supplementary File 1.

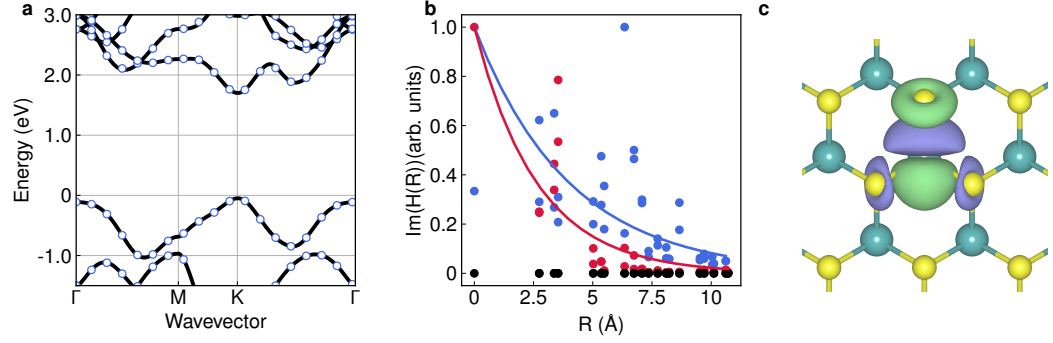


Figure S9. **Constructing purely real-valued Wannier functions with meta-optimization.** (a) Wannier-interpolation of the band structure of monolayer MoS<sub>2</sub> over a wide energy range. Black lines are results from the present method, blue disks are explicit DFT calculations. For this calculation we employ an energy window that extends from 1.0 eV below the valence band maximum to 1.0 eV above the conduction band minimum in the loss function, 11 MLWFs, and a coarse BZ grid with 6×6 points. The key difference between this calculation and those in Figure S4 is that, here, we require MLWFs to be purely real-valued (barring an inconsequential overall complex phase). To achieve this, we add one additional feature in the loss function L1 of the Computational Methods,  $\zeta_2 = \max_{n,\mathbf{r}} |\text{Im } w_n(\mathbf{r}) / \text{Re } w_n(\mathbf{r})|$ , with a weight  $\alpha_2 = 0.5$ , where  $w_n(\mathbf{r})$  is the value of the  $n$ -th MLWF at position  $\mathbf{r}$  in the unit cell. (b) Imaginary part of the Hamiltonian in the Wannier representation; for each lattice vector  $\mathbf{R}$ , we report the maximum value of  $\text{Im } H_{mn}(\mathbf{R})$  over the band indices. Blue disks correspond to the Wannierization performed in Figure S4; red disks are for an intermediate step of the present meta-optimization; black disks show the final Wannier Hamiltonian returned by the meta-optimizer, with vanishing imaginary components. The lines are guides to the eye. (c) Isosurface plot of the real-valued MLWF corresponding to the black disks in (b). Calculations reported in this figure are performed without SOC, since real-valuedness cannot be guaranteed in these cases owing to the topological obstruction

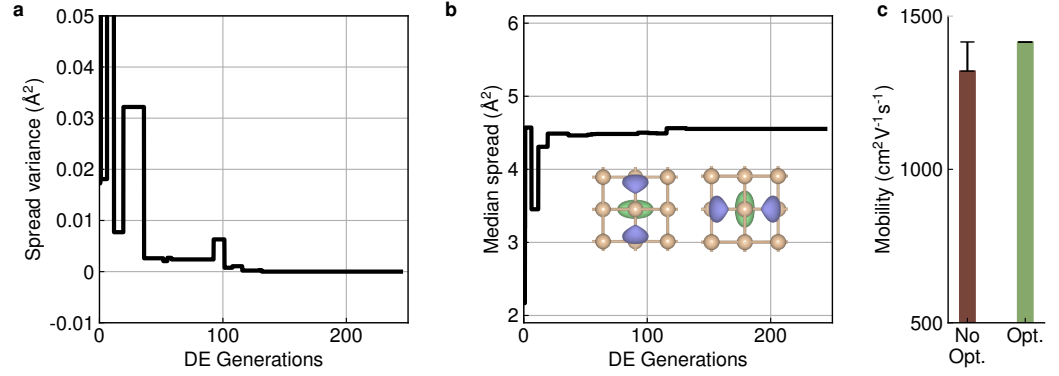


Figure S10. **Spread-balanced Wannier functions.** (a) Variance of MLWF spread for the conduction bands of silicon, as a function of generation in differential evolution. We report the minimum over the DE population at each generation. (b) Median spread of MLWFs as a function of generation. We report the median for the sample that minimized the variance in (a). The inset shows two representative MLWFs in real-space. (c) Mobility obtained using spread-balanced (green) and standard (brown) MLWFs. The value on top of each bar is the relative error with respect to calculations using a dense coarse BZ grid.

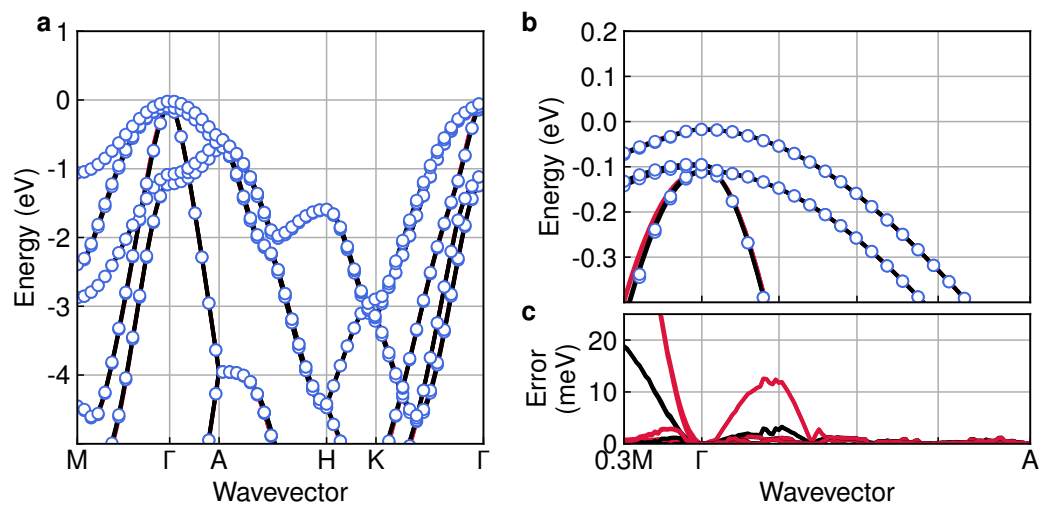


Figure S11. **Meta-optimization for composite bands.** (a) Band structure of wurtzite GaN. Circles are DFT values; red lines are from manual Wannierization, starting from N-*p* orbitals as initial projections; black lines are from meta-optimization. (b) Same band structure as in (a), this time magnified near the valence band maximum. (c) Band interpolation error for manual Wannierization (red lines) and for meta-optimization (black lines).

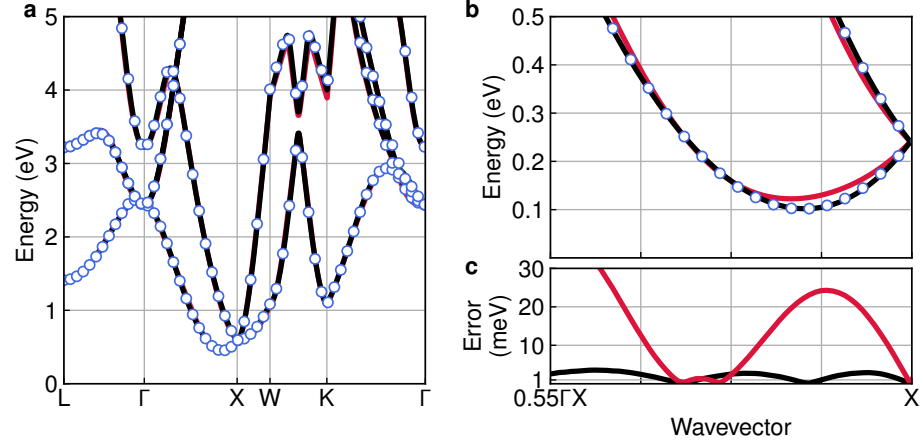


Figure S12. **Composing meta-optimization with the SCDM method.** (a) Conduction bands of silicon: circles are DFT bands; red curves are the results of Wannier interpolation using the SCDM method, starting from a course BZ grid with  $6^3$  points; black curves are obtained by performing meta-optimization on the hyperparameters of the SCDM method. (b) Same as in panel (a), this time magnified near the band minimum. (c) Band interpolation error, using the same color code as in panels (a) and (b). The interpolation error decreases by more than an order of magnitude when using the present method. In the SCDM method, one needs to manually choose the disentanglement windows, the disentanglement function used for smearing, the chemical potential for this function, and its variance.<sup>25</sup> Using meta-optimization, we automatically optimize disentanglement windows, chemical potential, and variance. This example highlights the potential of enhancing the performance of the SCDM method without modifying the SCDM code base.



### Supplementary references

- [1] Giannozzi, P. *et al.* QUANTUM ESPRESSO: a modular and open-source software project for quantum simulations of materials. *J. Phys.: Condens. Matter* **21**, 395502 (2009).
- [2] Giannozzi, P. *et al.* Advanced capabilities for materials modelling with quantum ESPRESSO. *J. Phys.: Condens. Matter* **29**, 465901 (2017).
- [3] Baroni, S., de Gironcoli, S., Dal Corso, A. & Giannozzi, P. Phonons and related crystal properties from density-functional perturbation theory. *Rev. Mod. Phys.* **73**, 515–562 (2001).
- [4] Gonze, X. & Lee, C. Dynamical matrices, born effective charges, dielectric permittivity tensors, and interatomic force constants from density-functional perturbation theory. *Phys. Rev. B* **55**, 10355–10368 (1997).
- [5] Pizzi, G. *et al.* Wannier90 as a community code: new features and applications. *J. Phys.: Condens. Matter* **32**, 165902 (2020).
- [6] Lee, H. *et al.* Electron–phonon physics from first principles using the epw code. *npj Comput. Mater.* **9**, 156 (2023).
- [7] Poncé, S., Margine, E., Verdi, C. & Giustino, F. EPW: Electron–phonon coupling, transport and superconducting properties using maximally localized wannier functions. *Comput. Phys. Commun.* **209**, 116 (2016).
- [8] Poncé, S., Margine, E. R. & Giustino, F. Towards predictive many-body calculations of phonon-limited carrier mobilities in semiconductors. *Phys. Rev. B* **97**, 121201 (2018).
- [9] Schlipf, M. & Gygi, F. Optimization algorithm for the generation of oncv pseudopotentials. *Comput. Phys. Commun.* **196**, 36–44 (2015).
- [10] Hamann, D. R. Optimized norm-conserving vanderbilt pseudopotentials. *Phys. Rev. B* **88**, 085117 (2013).
- [11] EPWpy GitLab repository. <https://gitlab.com/epwpy>. Last accessed: 2025-02-09.
- [12] EPWpy website. <https://epwpy.org/>. Last accessed: 2025-02-09.
- [13] Tiwari, S. Code ocean capsule for atomistic simulations. <https://codeocean.com/capsule/2837024/tree> (2025). December 21, 2025.
- [14] Virtanen, P. *et al.* SciPy 1.0: Fundamental Algorithms for Scientific Computing in Python. *Nat. Methods* **17**, 261–272 (2020).
- [15] Poncé, S. *et al.* First-principles predictions of hall and drift mobilities in semiconductors. *Phys. Rev. Res.* **3**, 043022 (2021).
- [16] Talirz, L. *et al.* Materials cloud, a platform for open computational science. *Scientific Data* **7**, 299 (2020).
- [17] Wannier90 user manual.
- [18] Fontana, P. F., Larsen, A. H., Olsen, T. & Thygesen, K. S. Spread-balanced wannier functions: Robust and automatable orbital localization. *Phys. Rev. B* **104**, 125140 (2021).
- [19] Larsen, A. H. *et al.* The atomic simulation environment—a python library for working with atoms. *J. Phys.: Condens. Matter* **29**, 273002 (2017).
- [20] Ha, V.-A. & Giustino, F. High-throughput screening of 2d materials identifies p-type monolayer ws2 as potential ultra-high mobility semiconductor. *npj Comput. Mat.* **10**, 229 (2024).
- [21] Saito, R., Dresselhaus, G. & Dresselhaus, M. S. *Physical Properties of Carbon Nanotubes* (Imperial College Press, 1998).
- [22] Qiao, J., Pizzi, G. & Marzari, N. Projectability disentanglement for accurate and automated electronic-structure hamiltonians. *npj Comput. Mat.* **9**, 208 (2023).
- [23] Vitale, V. *et al.* Automated high-throughput wannierisation. *npj Comput. Mat.* **6**, 66 (2020).
- [24] Luo, Y., Desai, D., Chang, B. K., Park, J. & Bernardi, M. Data-driven compression of electron-phonon interactions. *Phys. Rev. X* **14**, 021023 (2024).
- [25] Damle, A., Lin, L. & Ying, L. Scdm-k: Localized orbitals for solids via selected columns of the density matrix. *J. of Comput. Phys.* **334**, 1 (2017).

Meta-optimization of maximally-localized Wannier functions  
Supplementary File 1

Sabyasachi Tiwari,<sup>1,2</sup> Bruno Cucco,<sup>1,2</sup> Viet-Anh Ha,<sup>1,2</sup> and Feliciano Giustino<sup>1,2</sup>

<sup>1</sup>Oden Institute for Computational Engineering and Sciences,  
The University of Texas at Austin, Austin, Texas 78712, USA

<sup>2</sup>Department of Physics, The University of Texas at Austin, Austin, Texas 78712, USA

<u>Material</u>	<u>Page number</u>
Ag <sub>2</sub> Br <sub>2</sub>	1
Ag <sub>2</sub> F <sub>4</sub>	2
AgNO <sub>2</sub>	3
AgO <sub>4</sub> Cl	4
As <sub>4</sub>	5
Au <sub>2</sub> Br <sub>2</sub>	6
Au <sub>2</sub> Se <sub>2</sub>	7
Ba <sub>2</sub> H <sub>2</sub> I <sub>2</sub>	8
Bi <sub>2</sub>	9
Bi <sub>2</sub> O <sub>2</sub> Br <sub>2</sub>	10
Bi <sub>2</sub> O <sub>2</sub> Cl <sub>2</sub>	11
Bi <sub>2</sub> O <sub>2</sub> I <sub>2</sub>	12
Bi <sub>2</sub> Se <sub>3</sub>	13
Bi <sub>2</sub> Te <sub>2</sub> S	15
Bi <sub>2</sub> Te <sub>2</sub> S	15
Bi <sub>2</sub> Te <sub>2</sub> Se	16
Bi <sub>2</sub> Te <sub>3</sub>	17
Bi <sub>2</sub> TeSe <sub>2</sub>	18
BiTeCl	19
BiTeI	20
C <sub>2</sub>	21
Ca <sub>2</sub> H <sub>2</sub> Br <sub>2</sub>	22
Ca <sub>2</sub> H <sub>2</sub> I <sub>2</sub>	23
CaI <sub>2</sub>	24
CdBr <sub>2</sub>	25
CdCl <sub>2</sub>	26
CdI <sub>2</sub>	27
CdOCl	28
Cd	29
Ce <sub>2</sub> Si <sub>2</sub> I <sub>2</sub>	30
CoI <sub>2</sub>	31
CoO <sub>2</sub>	32
Co	33
Cr <sub>2</sub> O <sub>2</sub> Br <sub>2</sub>	34
Cr <sub>2</sub> O <sub>2</sub> Cl <sub>2</sub>	35
Cr <sub>2</sub> S <sub>2</sub> Br <sub>2</sub>	36
CrBr <sub>2</sub>	37
CrI <sub>2</sub>	38
CrSe <sub>2</sub>	39
Cu <sub>2</sub> Br <sub>2</sub>	40

	2
Cu <sub>2</sub> I <sub>2</sub>	42
Cu <sub>2</sub> L <sub>2</sub>	42
Fe <sub>2</sub> O <sub>2</sub> Cl <sub>2</sub>	43
Fe <sub>2</sub> O <sub>4</sub>	44
Fe <sub>2</sub> S <sub>2</sub>	45
Fe <sub>2</sub> Se <sub>2</sub>	46
Fe <sub>2</sub> Te <sub>2</sub>	47
FeBr <sub>2</sub>	48
FeCl <sub>2</sub>	49
FeI <sub>2</sub>	50
Ga <sub>2</sub> Ge <sub>2</sub> Te <sub>2</sub>	51
Ga <sub>2</sub> S <sub>2</sub>	52
Ga <sub>2</sub> Se <sub>2</sub>	53
Ga <sub>2</sub> Te <sub>2</sub>	54
Ga <sub>2</sub> Te <sub>2</sub> Cl <sub>2</sub>	55
Ge <sub>2</sub> S <sub>2</sub>	56
Ge <sub>2</sub> Se <sub>2</sub>	57
GeI <sub>2</sub>	59
GeL <sub>2</sub>	59
Hf <sub>2</sub> N <sub>2</sub> Cl <sub>2</sub>	60
Hf <sub>2</sub> N <sub>2</sub> I <sub>2</sub>	61
Hf <sub>3</sub> Te <sub>2</sub>	62
HfS <sub>2</sub>	63
HfSe <sub>2</sub>	64
HfTe <sub>2</sub>	65
HgI <sub>2</sub>	66
In <sub>2</sub> O <sub>2</sub> Br <sub>2</sub>	67
In <sub>2</sub> Se <sub>2</sub>	68
In <sub>2</sub> Se <sub>3</sub>	69
K <sub>2</sub> Ag <sub>2</sub> Se <sub>2</sub>	70
K <sub>2</sub> Tl <sub>2</sub> O <sub>2</sub>	71
KTiCl <sub>4</sub>	72
La <sub>2</sub> Br <sub>2</sub>	73
La <sub>2</sub> Cl <sub>2</sub>	74
La <sub>2</sub> PBr <sub>2</sub>	75
LaBr <sub>2</sub>	76
LaI <sub>2</sub>	77
Li <sub>2</sub>	78
LiAlTe <sub>2</sub>	79
LiBH <sub>4</sub>	80
Lu <sub>2</sub> CCL <sub>2</sub>	81
Lu <sub>2</sub> H <sub>2</sub> Cl <sub>2</sub>	82
Lu <sub>2</sub> O <sub>2</sub> Br <sub>2</sub>	83
Lu <sub>2</sub> O <sub>2</sub> I <sub>2</sub>	84
MgBr <sub>2</sub>	85
MgCl <sub>2</sub>	86
MgI <sub>2</sub>	87
MnBr <sub>2</sub>	88
MnCl <sub>2</sub>	89
MnI <sub>2</sub>	90

Mn	91
Mo <sub>2</sub> Te <sub>4</sub>	92
MoS <sub>2</sub>	93
MoSe <sub>2</sub>	94
MoTe <sub>2</sub>	95
Na <sub>2</sub> PdH <sub>2</sub>	96
NaCN	97
Nb <sub>2</sub> CS <sub>2</sub>	98
NbF <sub>4</sub>	99
NbS <sub>2</sub>	101
NbS <sub>2</sub>	101
NbSe <sub>2</sub>	103
NbSe <sub>2</sub>	103
NbTe <sub>2</sub>	104
NiBr <sub>2</sub>	105
NiO <sub>2</sub>	106
OsOCl <sub>2</sub>	107
P <sub>4</sub>	108
Pb <sub>2</sub> Br <sub>2</sub> F <sub>2</sub>	109
Pb <sub>2</sub> Cl <sub>2</sub> F <sub>2</sub>	110
Pb <sub>2</sub> I <sub>2</sub> F <sub>2</sub>	111
Pb <sub>2</sub> O <sub>2</sub>	112
PbF <sub>4</sub>	113
PbI <sub>2</sub>	114
PbTe	115
Pd <sub>2</sub> Cl <sub>4</sub>	116
Pd <sub>2</sub> S <sub>4</sub>	117
PtO <sub>2</sub>	118
PtSe <sub>2</sub>	119
Rh <sub>2</sub> Te <sub>2</sub> Cl <sub>2</sub>	120
RuOCl <sub>2</sub>	121
Sb <sub>2</sub>	122
Sb <sub>2</sub> Te <sub>2</sub> I <sub>2</sub>	123
Sb <sub>2</sub> Te <sub>2</sub> Se	124
Sb <sub>2</sub> Te <sub>3</sub>	125
Sb <sub>2</sub> TeSe <sub>2</sub>	127
Sb <sub>2</sub> TeSe <sub>2</sub>	127
Sc <sub>2</sub> CCl <sub>2</sub>	128
Sc <sub>2</sub> Cl <sub>2</sub>	129
Sc <sub>2</sub> H <sub>2</sub> Cl <sub>2</sub>	130
Sc <sub>2</sub> NCl <sub>2</sub>	131
Sc <sub>2</sub> O <sub>2</sub> Br <sub>2</sub>	132
Si <sub>2</sub> H <sub>2</sub>	133
SiTe <sub>2</sub>	134
Sn <sub>2</sub> O <sub>2</sub>	136
Sn <sub>2</sub> O <sub>2</sub>	136
SnF <sub>4</sub>	137
SnS <sub>2</sub>	138
SnSe <sub>2</sub>	139
Sr <sub>2</sub> Br <sub>2</sub> F <sub>2</sub>	140

Sr <sub>2</sub> H <sub>2</sub> Br <sub>2</sub>	141
Sr <sub>2</sub> H <sub>2</sub> I <sub>2</sub>	142
Sr <sub>2</sub> I <sub>4</sub>	143
Ta <sub>2</sub> CS <sub>2</sub>	144
TaS <sub>2</sub>	145
TaSe <sub>2</sub>	147
TaSe <sub>2</sub>	147
Ti <sub>2</sub> N <sub>2</sub> Br <sub>2</sub>	148
Ti <sub>2</sub> N <sub>2</sub> Cl <sub>2</sub>	149
Ti <sub>2</sub> N <sub>2</sub> I <sub>2</sub>	150
Ti <sub>2</sub> O <sub>2</sub> Br <sub>2</sub>	151
Ti <sub>2</sub> O <sub>2</sub> Cl <sub>2</sub>	152
Ti <sub>2</sub> PTe <sub>2</sub>	153
TiBr <sub>2</sub>	154
TiCl <sub>2</sub>	155
TiS <sub>2</sub>	156
TiSe <sub>2</sub>	157
TiTe <sub>2</sub>	158
Tl <sub>2</sub> F <sub>2</sub>	159
Tl <sub>2</sub> O	160
Tl <sub>2</sub> S	161
V <sub>2</sub> O <sub>2</sub> Br <sub>2</sub>	162
VBr <sub>2</sub>	163
VCl <sub>2</sub>	164
VI <sub>2</sub>	165
VOBr <sub>2</sub>	166
VOCl <sub>2</sub>	167
VS <sub>2</sub>	168
VSe <sub>2</sub>	169
VTe <sub>2</sub>	170
W <sub>2</sub> N <sub>3</sub>	171
W <sub>2</sub> Te <sub>4</sub>	172
WSe <sub>2</sub>	173
WTe <sub>2</sub>	174
Y <sub>2</sub> C <sub>2</sub> Br <sub>2</sub>	175
Y <sub>2</sub> C <sub>2</sub> I <sub>2</sub>	176
Y <sub>2</sub> Cl <sub>2</sub>	177
Y <sub>2</sub> Ga <sub>2</sub> I <sub>2</sub>	178
Y <sub>2</sub> O <sub>2</sub> Cl <sub>2</sub>	179
ZnBr <sub>2</sub>	180
ZnCl <sub>2</sub>	182
ZnCl <sub>2</sub>	182
ZnI <sub>2</sub>	183
Zr <sub>2</sub> Br <sub>2</sub>	184
Zr <sub>2</sub> Cl <sub>2</sub>	185
Zr <sub>2</sub> I <sub>4</sub>	186
Zr <sub>2</sub> N <sub>2</sub> Br <sub>2</sub>	188
Zr <sub>2</sub> N <sub>2</sub> Br <sub>2</sub>	188
Zr <sub>2</sub> N <sub>2</sub> Cl <sub>2</sub>	189
Zr <sub>2</sub> N <sub>2</sub> I <sub>2</sub>	191

$\text{Zr}_2\text{N}_2\text{I}_2$	191
$\text{Zr}_2\text{Si}_2\text{Te}_2$	192
$\text{ZrCl}_2$	193
$\text{ZrNBr}$	194
$\text{ZrNCl}$	195
$\text{ZrS}_2$	196
$\text{ZrSe}_2$	197
$\text{ZrTe}_2$	198
$\text{ZrTiSe}_4$	199
$\text{ZrTiTe}_4$	200

## 1 Material: Ag<sub>2</sub>Br<sub>2</sub>

The calculation files are appended below. These files should be executed in the order provided. The location of pseudo potentials should be changed accordingly.

```

---                scf.in ---
&CONTROL
calculation = 'scf'
verbosity = 'high'
restart_mode = 'from_scratch'
outdir = './'
pseudo_dir = '/scratch1/05193/sabyadk/2D_materials_Wann/Materials/Ag2Br2-8d1e37cd/pseudo/'
prefix = 'hBN'
/
&SYSTEM
ibrav = 0
nat = 4
ntyp = 2
ecutwfc = 60
ecutrho = 240
assume_isolated = 2D
/
&ELECTRONS
conv_thr = 1E-12
diagonalization = 'david'
electron_maxstep = 200
/
ATOMIC_SPECIES
Ag 107.868 Ag_r.upf
Br 79.904 Br_r.upf
ATOMIC_POSITIONS crystal
Ag 0.346656325933 0.75 0.955708745437
Ag 0.653343674092 0.25 0.044291254563
Br 0.16499993786 0.75 0.074643011433
Br 0.835000062165 0.25 0.925356988567

K_POINTS automatic
6 6 1 0 0 0

CELL_PARAMETERS angstrom
3.9483276003 0.0 2e-16
-2e-16 3.9383820684 2e-16
0.0 0.0 23.2735469759

```

```

---                nscf.in ---
&CONTROL
calculation = bands
verbosity = 'high'
restart_mode = 'from_scratch'
outdir = './'
pseudo_dir = '/scratch1/05193/sabyadk/2D_materials_Wann/Materials/Ag2Br2-8d1e37cd/pseudo/'
prefix = 'hBN'
/
&SYSTEM
ibrav = 0
nat = 4
ntyp = 2
ecutwfc = 60
ecutrho = 240
assume_isolated = 2D
nbnd = 60
/
&ELECTRONS
conv_thr = 1E-10
diagonalization = 'david'
electron_maxstep = 200
/
ATOMIC_SPECIES
Ag 107.868 Ag_r.upf
Br 79.904 Br_r.upf
ATOMIC_POSITIONS crystal
Ag 0.346656325933 0.75 0.955708745437
Ag 0.653343674092 0.25 0.044291254563
Br 0.16499993786 0.75 0.074643011433
Br 0.835000062165 0.25 0.925356988567

K_POINTS crystal
36
0.0 0.0 0.0 0.027778

```

```

0.0 0.1666666666666666 0.0 0.027778
0.0 0.3333333333333333 0.0 0.027778
0.0 0.5 0.0 0.027778
0.0 0.6666666666666666 0.0 0.027778
0.0 0.8333333333333333 0.0 0.027778
0.1666666666666666 0.0 0.0 0.027778
0.1666666666666666 0.1666666666666666 0.0 0.027778
0.1666666666666666 0.3333333333333333 0.0 0.027778
0.1666666666666666 0.5 0.0 0.027778
0.1666666666666666 0.6666666666666666 0.0 0.027778
0.1666666666666666 0.8333333333333333 0.0 0.027778
0.3333333333333333 0.0 0.0 0.027778
0.3333333333333333 0.1666666666666666 0.0 0.027778
0.3333333333333333 0.3333333333333333 0.0 0.027778
0.3333333333333333 0.5 0.0 0.027778
0.3333333333333333 0.6666666666666666 0.0 0.027778
0.3333333333333333 0.8333333333333333 0.0 0.027778
0.5 0.0 0.0 0.027778
0.5 0.1666666666666666 0.0 0.027778
0.5 0.3333333333333333 0.0 0.027778
0.5 0.5 0.0 0.027778
0.5 0.6666666666666666 0.0 0.027778
0.5 0.8333333333333333 0.0 0.027778
0.6666666666666666 0.0 0.0 0.027778
0.6666666666666666 0.1666666666666666 0.0 0.027778
0.6666666666666666 0.3333333333333333 0.0 0.027778
0.6666666666666666 0.5 0.0 0.027778
0.6666666666666666 0.6666666666666666 0.0 0.027778
0.6666666666666666 0.8333333333333333 0.0 0.027778
0.8333333333333333 0.0 0.0 0.027778
0.8333333333333333 0.1666666666666666 0.0 0.027778
0.8333333333333333 0.3333333333333333 0.0 0.027778
0.8333333333333333 0.5 0.0 0.027778
0.8333333333333333 0.6666666666666666 0.0 0.027778
0.8333333333333333 0.8333333333333333 0.0 0.027778

```

```

CELL_PARAMETERS angstrom
3.9483276003 0.0 2e-16
-2e-16 3.9383820684 2e-16
0.0 0.0 23.2735469759

```

```

--- epw1.in ---
&inputepw
prefix = 'hBN'
amass(1) = 107.868
amass(2) = 79.904
outdir = './'
elph = .false.
epbwrite = .false.
epbread = .false.
epwwrite = .true.
epwread = .false.
etf_mem = 1
nbndsub = 12
use_ws = .true.
wannierize = .true.
num_iter = 1000
iprint = 2
dis_win_max = 12.034603085522756
dis_froz_max = 0.5533445018493228
fsthick = 1.2
temps = 1
degaussw = 0.005
dvscf_dir = './save'
nk1 = 6
nk2 = 6
nk3 = 1
nq1 = 1
nq2 = 1
nq3 = 1
system_2d = 'dipole_sp'
lpolar = .true.
dis_win_min = -26.14514569256894
wdata(1) = 'guiding_centres = T'
wdata(2) = 'dis_num_iter = 1500'
wdata(3) = 'bands_num_points = 100 '
wdata(4) = 'bands_plot = .true.'
wdata(5) = 'begin kpoint_path'
wdata(6) = 'G 0.0 0.0 0.0 M 0.5 0.0 0.0'
wdata(7) = 'M 0.5 0.0 0.0 K 0.3333333333 0.3333333333 0.0'
wdata(8) = 'K 0.3333333333 0.3333333333 0.0 X 1.0 1.0 0.0'
wdata(9) = 'X 1.0 1.0 0.0 M1 0.0 0.5 0.0'
wdata(10) = 'M1 0.0 0.5 0.0 G 0.0 0.0 0.0'

```



```
wdata(11) = 'end kpoint_path'  
bands_skipped = 'exclude_bands = 1-10'  
proj(1) = 'Ag: l= -4, mr= 1,2,3'  
proj(2) = 'Br: l= 3, mr= 3,6,7'  
dis_froz_min = -7.5482582992785785  
/
```

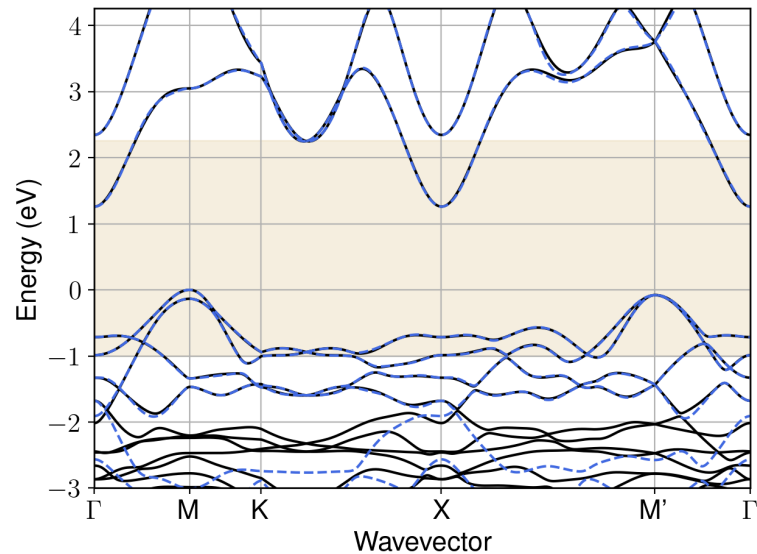


Figure S13: Bandstructure interpolation for monolayer  $\text{Ag}_2\text{Br}_2$ . Wannier-interpolation of the band structure of monolayer  $\text{Ag}_2\text{Br}_2$  over a wide energy range. Blue dashed lines are results from the present method, black solid lines are explicit DFT calculations. The yellow shaded region shows the range over which optimization has been performed. The interpolation error within the yellow region is 6 meV. The k-grid employed for NSCF calculation is  $6 \times 6$ .

## 2 Material: $\text{Ag}_2\text{F}_4$

The calculation files are appended below. These files should be executed in the order provided. The location of pseudo potentials should be changed accordingly.

```

---          scf.in ---
&CONTROL
calculation = 'scf'
verbosity = 'high'
restart_mode = 'from_scratch'
outdir = './'
pseudo_dir = '/scratch1/05193/sabyadk/2D_materials_Wann/Materials/Ag2F4-0e6bc072/pseudo/'
prefix = 'hBN'
/
&SYSTEM
ibrav = 0
nat = 6
ntyp = 2
ecutwfc = 60
ecutrho = 240
occupations = 'smearing'
smearing = 'gaussian'
degauss = 0.1
/
&ELECTRONS
conv_thr = 1E-10
diagonalization = cg
electron_maxstep = 500
/
ATOMIC_SPECIES
Ag 107.868 Ag_r.upf
F 18.998 F_r.upf
ATOMIC_POSITIONS crystal
Ag 0.0 0.0 2e-12
Ag 0.500000000001 0.500000000008 2e-12

```

```

F 0.208666670263 0.282595009866 0.972262450237
F 0.291333329728 0.782595009857 0.972262450237
F 0.708666670253 0.217404990143 0.027737549761
F 0.791333329737 0.717404990134 0.027737549761

```

```

K_POINTS automatic
6 6 1 0 0 0

```

```

CELL_PARAMETERS angstrom
5.2415312183 0.0 3e-16
-4e-16 5.8886547087 4e-16
0.0 0.0 21.4065767397

```

```

---                nscf.in ---
&CONTROL
calculation = bands
verbosity = 'high'
restart_mode = 'from_scratch'
outdir = './'
pseudo_dir = '/scratch1/05193/sabyadk/2D_materials_Wann/Materials/Ag2F4-0e6bc072/pseudo/'
prefix = 'hEN'
/
&SYSTEM
ibrav = 0
nat = 6
ntyp = 2
ecutwfc = 60
ecutrho = 240
occupations = 'smearing'
smearing = 'gaussian'
degauss = 0.1
nband = 60
/
&ELECTRONS
conv_thr = 1E-10
diagonalization = cg
electron_maxstep = 500
/
ATOMIC_SPECIES
Ag 107.868 Ag_r.upf
F 18.998 F_r.upf
ATOMIC_POSITIONS crystal
Ag 0.0 0.0 2e-12
Ag 0.500000000001 0.500000000008 2e-12
F 0.208666670263 0.282595009866 0.972262450237
F 0.291333329728 0.782595009857 0.972262450237
F 0.708666670253 0.217404990143 0.027737549761
F 0.791333329737 0.717404990134 0.027737549761

K_POINTS crystal
36
0.0 0.0 0.0 0.027778
0.0 0.16666666666666666 0.0 0.027778
0.0 0.33333333333333333 0.0 0.027778
0.0 0.5 0.0 0.027778
0.0 0.66666666666666666 0.0 0.027778
0.0 0.83333333333333333 0.0 0.027778
0.16666666666666666 0.0 0.0 0.027778
0.16666666666666666 0.16666666666666666 0.0 0.027778
0.16666666666666666 0.33333333333333333 0.0 0.027778
0.16666666666666666 0.5 0.0 0.027778
0.16666666666666666 0.66666666666666666 0.0 0.027778
0.16666666666666666 0.83333333333333333 0.0 0.027778
0.33333333333333333 0.0 0.0 0.027778
0.33333333333333333 0.16666666666666666 0.0 0.027778
0.33333333333333333 0.33333333333333333 0.0 0.027778
0.33333333333333333 0.5 0.0 0.027778
0.33333333333333333 0.66666666666666666 0.0 0.027778
0.33333333333333333 0.83333333333333333 0.0 0.027778
0.5 0.0 0.0 0.027778
0.5 0.16666666666666666 0.0 0.027778
0.5 0.33333333333333333 0.0 0.027778
0.5 0.5 0.0 0.027778
0.5 0.66666666666666666 0.0 0.027778
0.5 0.83333333333333333 0.0 0.027778
0.66666666666666666 0.0 0.0 0.027778
0.66666666666666666 0.16666666666666666 0.0 0.027778
0.66666666666666666 0.33333333333333333 0.0 0.027778
0.66666666666666666 0.5 0.0 0.027778
0.66666666666666666 0.66666666666666666 0.0 0.027778
0.66666666666666666 0.83333333333333333 0.0 0.027778
0.83333333333333333 0.0 0.0 0.027778
0.83333333333333333 0.16666666666666666 0.0 0.027778

```

```

0.8333333333333333 0.3333333333333333 0.0 0.027778
0.8333333333333333 0.5 0.0 0.027778
0.8333333333333333 0.6666666666666666 0.0 0.027778
0.8333333333333333 0.8333333333333333 0.0 0.027778

```

```

CELL_PARAMETERS angstrom
5.2415312183 0.0 3e-16
-4e-16 5.8886547087 4e-16
0.0 0.0 21.4065767397

```

```

---                epw1.in ---
&inputepw
prefix = 'hBN'
amass(1) = 107.868
amass(2) = 18.998
outdir = './'
elph = .false.
epbwrite = .false.
epbread = .false.
epwwrite = .true.
epwread = .false.
etf_mem = 1
nbndsub = 22
use_ws = .true.
wannierize = .true.
num_iter = 1000
iprint = 2
dis_win_max = 8.655535219816496
dis_froz_max = -3.1397116632171675
fsthick = 1.2
temps = 1
degaussw = 0.005
dvscf_dir = './save'
nk1 = 6
nk2 = 6
nk3 = 1
nq1 = 1
nq2 = 1
nq3 = 1
dis_win_min = -23.458647133787515
wdata(1) = 'guiding_centres = T'
wdata(2) = 'dis_num_iter = 1500'
wdata(3) = 'bands_num_points = 100 '
wdata(4) = 'bands_plot = .true.'
wdata(5) = 'begin kpoint_path'
wdata(6) = 'G 0.0 0.0 0.0 M 0.5 0.0 0.0'
wdata(7) = 'M 0.5 0.0 0.0 K 0.3333333333 0.3333333333 0.0'
wdata(8) = 'K 0.3333333333 0.3333333333 0.0 X 1.0 1.0 0.0'
wdata(9) = 'X 1.0 1.0 0.0 M1 0.0 0.5 0.0'
wdata(10) = 'M1 0.0 0.5 0.0 G 0.0 0.0 0.0'
wdata(11) = 'end kpoint_path'
bands_skipped = 'exclude_bands = 1-12'
proj(1) = 'Ag: l= -5, mr= 2,3,4,5,6'
proj(2) = 'F: l= -5, mr= 1,2,4'
dis_froz_min = -6.359739229179786
/

```

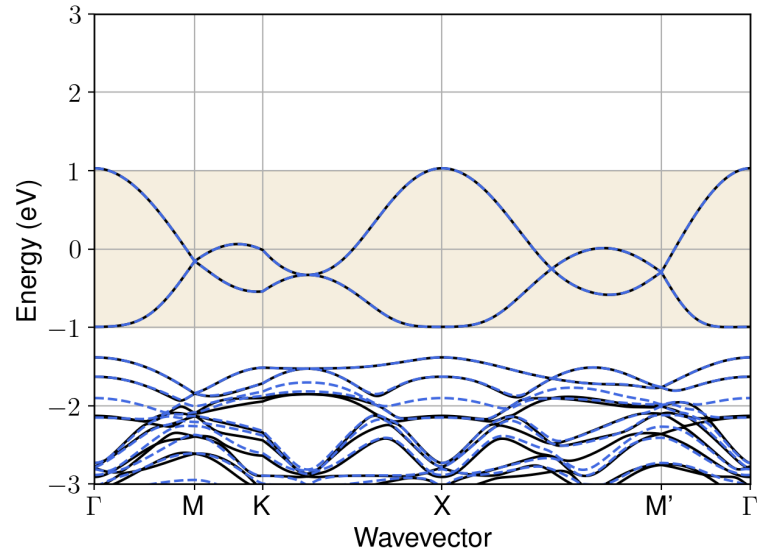


Figure S14: Bandstructure interpolation for monolayer  $\text{Ag}_2\text{F}_4$ . Wannier-interpolation of the band structure of monolayer  $\text{Ag}_2\text{F}_4$  over a wide energy range. Blue dashed lines are results from the present method, black solid lines are explicit DFT calculations. The yellow shaded region shows the range over which optimization has been performed. The interpolation error within the yellow region is 0 meV. The k-grid employed for NSCF calculation is  $6 \times 6$ .

### 3 Material: $\text{AgNO}_2$

The calculation files are appended below. These files should be executed in the order provided. The location of pseudo potentials should be changed accordingly.

```

---          scf.in ---
&CONTROL
calculation = 'scf'
verbosity = 'high'
restart_mode = 'from_scratch'
outdir = './'
pseudo_dir = '/scratch1/05193/sabyadk/2D_materials_Wann/Materials/AgNO2-5306dd58/pseudo/'
prefix = 'hBN'
/
&SYSTEM
ibrav = 0
nat = 4
ntyp = 3
ecutwfc = 60
ecutrho = 240
assume_isolated = 2D
/
&ELECTRONS
conv_thr = 1E-12
diagonalization = 'david'
electron_maxstep = 200
/
ATOMIC_SPECIES
Ag 107.868 Ag_r.upf
N 14.007 N_r.upf
O 15.999 O_r.upf
ATOMIC_POSITIONS crystal
Ag 0.541910072382 0.510782014307 0.98765954048
N 0.488751495733 0.941440411861 0.002996589744
O 0.341136601982 0.059209271106 0.048478153186

```

```
0 0.61420118007 0.08256830279 0.96086571659
```

```
K_POINTS automatic
6 6 1 0 0 0
```

```
CELL_PARAMETERS angstrom
3.391325465332 0.0 2e-16
0.8951243110955315 4.849938680501507 3e-16
0.0 0.0 22.135084994982
```

```
--- nscf.in ---
&CONTROL
calculation = bands
verbosity = 'high'
restart_mode = 'from_scratch'
outdir = './'
pseudo_dir = '/scratch1/05193/sabyadk/2D_materials_Wann/Materials/AgN02-5306dd58/pseudo/'
prefix = 'hBN'
/
&SYSTEM
ibrav = 0
nat = 4
ntyp = 3
ecutwfc = 60
ecutrho = 240
assume_isolated = 2D
nbnd = 60
/
&ELECTRONS
conv_thr = 1E-10
diagonalization = 'david'
electron_maxstep = 200
/
ATOMIC_SPECIES
Ag 107.868 Ag_r.upf
N 14.007 N_r.upf
O 15.999 O_r.upf
ATOMIC_POSITIONS crystal
Ag 0.541910072382 0.510782014307 0.98765954048
N 0.488751495733 0.941440411861 0.002996589744
O 0.341136601982 0.059209271106 0.048478153186
O 0.61420118007 0.08256830279 0.96086571659

K_POINTS crystal
36
0.0 0.0 0.0 0.027778
0.0 0.1666666666666666 0.0 0.027778
0.0 0.3333333333333333 0.0 0.027778
0.0 0.5 0.0 0.027778
0.0 0.6666666666666666 0.0 0.027778
0.0 0.8333333333333333 0.0 0.027778
0.1666666666666666 0.0 0.0 0.027778
0.1666666666666666 0.1666666666666666 0.0 0.027778
0.1666666666666666 0.3333333333333333 0.0 0.027778
0.1666666666666666 0.5 0.0 0.027778
0.1666666666666666 0.6666666666666666 0.0 0.027778
0.1666666666666666 0.8333333333333333 0.0 0.027778
0.3333333333333333 0.0 0.0 0.027778
0.3333333333333333 0.1666666666666666 0.0 0.027778
0.3333333333333333 0.3333333333333333 0.0 0.027778
0.3333333333333333 0.5 0.0 0.027778
0.3333333333333333 0.6666666666666666 0.0 0.027778
0.3333333333333333 0.8333333333333333 0.0 0.027778
0.5 0.0 0.0 0.027778
0.5 0.1666666666666666 0.0 0.027778
0.5 0.3333333333333333 0.0 0.027778
0.5 0.5 0.0 0.027778
0.5 0.6666666666666666 0.0 0.027778
0.5 0.8333333333333333 0.0 0.027778
0.6666666666666666 0.0 0.0 0.027778
0.6666666666666666 0.1666666666666666 0.0 0.027778
0.6666666666666666 0.3333333333333333 0.0 0.027778
0.6666666666666666 0.5 0.0 0.027778
0.6666666666666666 0.6666666666666666 0.0 0.027778
0.6666666666666666 0.8333333333333333 0.0 0.027778
0.8333333333333333 0.0 0.0 0.027778
0.8333333333333333 0.1666666666666666 0.0 0.027778
0.8333333333333333 0.3333333333333333 0.0 0.027778
0.8333333333333333 0.5 0.0 0.027778
0.8333333333333333 0.6666666666666666 0.0 0.027778
0.8333333333333333 0.8333333333333333 0.0 0.027778

CELL_PARAMETERS angstrom
```

```

3.391325465332 0.0 2e-16
0.8951243110955315 4.849938680501507 3e-16
0.0 0.0 22.135084994982

```

```

---                epw1.in ---
&inputepw
prefix = 'hBN'
amass(1) = 107.868
amass(2) = 14.007
amass(3) = 15.999
outdir = './'
elph = .false.
epbwrite = .false.
epbread = .false.
epwwrite = .true.
epwread = .false.
etf_mem = 1
nbndsub = 11
use_ws = .true.
wannierize = .true.
num_iter = 1000
iprint = 2
dis_win_max = 7.725471433486242
dis_froz_max = -0.8774140720991062
fsthick = 1.2
temps = 1
degaussw = 0.005
dvscf_dir = './save'
nk1 = 6
nk2 = 6
nk3 = 1
nq1 = 1
nq2 = 1
nq3 = 1
system_2d = 'dipole_sp'
lpolar = .true.
dis_win_min = -26.149244533443536
wdata(1) = 'guiding_centres = T'
wdata(2) = 'dis_num_iter = 1500'
wdata(3) = 'bands_num_points = 100 '
wdata(4) = 'bands_plot = .true.'
wdata(5) = 'begin kpoint_path'
wdata(6) = 'G 0.0 0.0 0.0 M 0.5 0.0 0.0'
wdata(7) = 'M 0.5 0.0 0.0 K 0.3333333333 0.3333333333 0.0'
wdata(8) = 'K 0.3333333333 0.3333333333 0.0 X 1.0 1.0 0.0'
wdata(9) = 'X 1.0 1.0 0.0 M1 0.0 0.5 0.0'
wdata(10) = 'M1 0.0 0.5 0.0 G 0.0 0.0 0.0'
wdata(11) = 'end kpoint_path'
bands_skipped = 'exclude_bands = 1-10'
proj(1) = 'Ag: l= 3, mr= 1,2,3,4,5,6'
proj(2) = 'N: l= -4, mr= 1,2,3'
proj(3) = 'O: l= 3, mr= 2'
dis_froz_min = -10.11117398389843
/

```

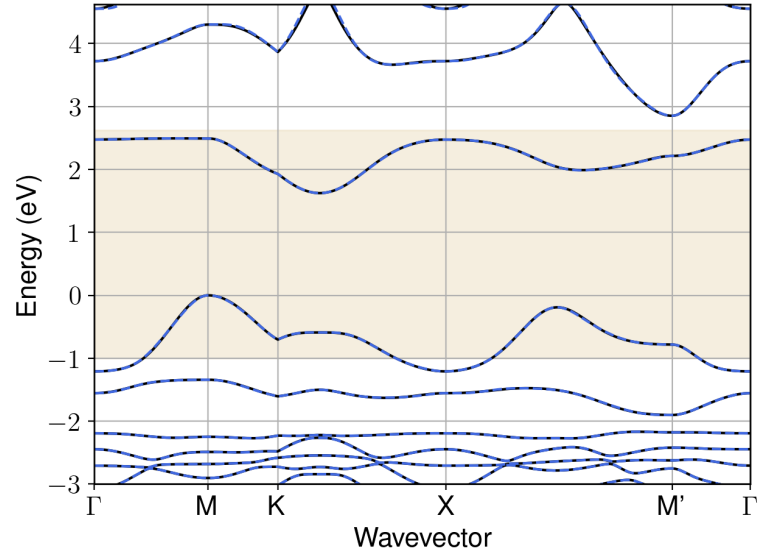


Figure S15: Bandstructure interpolation for monolayer  $\text{AgNO}_2$ . Wannier-interpolation of the band structure of monolayer  $\text{AgNO}_2$  over a wide energy range. Blue dashed lines are results from the present method, black solid lines are explicit DFT calculations. The yellow shaded region shows the range over which optimization has been performed. The interpolation error within the yellow region is 3 meV. The k-grid employed for NSCF calculation is  $6 \times 6$ .

#### 4 Material: $\text{AgO}_4\text{Cl}$

The calculation files are appended below. These files should be executed in the order provided. The location of pseudo potentials should be changed accordingly.

```

---          scf.in ---
&CONTROL
calculation = 'scf'
verbosity = 'high'
restart_mode = 'from_scratch'
outdir = './'
pseudo_dir = '/scratch1/05193/sabyadk/2D_materials_Wann/Materials/AgO4Cl-4a65934f/pseudo/'
prefix = 'hBN'
/
&SYSTEM
ibrav = 0
nat = 6
ntyp = 3
ecutwfc = 60
ecutrho = 240
assume_isolated = 2D
/
&ELECTRONS
conv_thr = 1E-12
diagonalization = 'david'
electron_maxstep = 200
/
ATOMIC_SPECIES
Ag 107.868 Ag_r.upf
Cl 35.453 Cl_r.upf
O 15.999 O_r.upf
ATOMIC_POSITIONS crystal
Ag 0.0 0.0 1e-12
Cl 0.499999999999 0.499999999999 1e-12
O 0.673465421047 0.326534578933 0.039992852648

```



```

O 0.326534578933 0.673465421047 0.039992852648
O 0.673465421047 0.673465421047 0.960007147354
O 0.326534578953 0.326534578953 0.960007147349

```

```

K_POINTS automatic
6 6 1 0 0 0

```

```

CELL_PARAMETERS angstrom
4.8441267659 0.0 3e-16
-3e-16 4.8441267659 3e-16
0.0 0.0 21.7521320843

```

```

---                nscf.in ---
&CONTROL
calculation = bands
verbosity = 'high'
restart_mode = 'from_scratch'
outdir = './'
pseudo_dir = '/scratch1/05193/sabyadk/2D_materials_Wann/Materials/Ag04Cl-4a65934f/pseudo/'
prefix = 'hBN'
/
&SYSTEM
ibrav = 0
nat = 6
ntyp = 3
ecutwfc = 60
ecutrho = 240
assume_isolated = 2D
nbnd = 60
/
&ELECTRONS
conv_thr = 1E-10
diagonalization = 'david'
electron_maxstep = 200
/
ATOMIC_SPECIES
Ag 107.868 Ag_r.upf
Cl 35.453 Cl_r.upf
O 15.999 O_r.upf
ATOMIC_POSITIONS crystal
Ag 0.0 0.0 1e-12
Cl 0.49999999999 0.49999999999 1e-12
O 0.673465421047 0.326534578933 0.039992852648
O 0.326534578933 0.673465421047 0.039992852648
O 0.673465421047 0.673465421047 0.960007147354
O 0.326534578953 0.326534578953 0.960007147349

K_POINTS crystal
36
0.0 0.0 0.0 0.027778
0.0 0.16666666666666666 0.0 0.027778
0.0 0.33333333333333333 0.0 0.027778
0.0 0.5 0.0 0.027778
0.0 0.66666666666666666 0.0 0.027778
0.0 0.83333333333333333 0.0 0.027778
0.16666666666666666 0.0 0.0 0.027778
0.16666666666666666 0.16666666666666666 0.0 0.027778
0.16666666666666666 0.33333333333333333 0.0 0.027778
0.16666666666666666 0.5 0.0 0.027778
0.16666666666666666 0.66666666666666666 0.0 0.027778
0.16666666666666666 0.83333333333333333 0.0 0.027778
0.33333333333333333 0.0 0.0 0.027778
0.33333333333333333 0.16666666666666666 0.0 0.027778
0.33333333333333333 0.33333333333333333 0.0 0.027778
0.33333333333333333 0.5 0.0 0.027778
0.33333333333333333 0.66666666666666666 0.0 0.027778
0.33333333333333333 0.83333333333333333 0.0 0.027778
0.5 0.0 0.0 0.027778
0.5 0.16666666666666666 0.0 0.027778
0.5 0.33333333333333333 0.0 0.027778
0.5 0.5 0.0 0.027778
0.5 0.66666666666666666 0.0 0.027778
0.5 0.83333333333333333 0.0 0.027778
0.66666666666666666 0.0 0.0 0.027778
0.66666666666666666 0.16666666666666666 0.0 0.027778
0.66666666666666666 0.33333333333333333 0.0 0.027778
0.66666666666666666 0.5 0.0 0.027778
0.66666666666666666 0.66666666666666666 0.0 0.027778
0.66666666666666666 0.83333333333333333 0.0 0.027778
0.83333333333333333 0.0 0.0 0.027778
0.83333333333333333 0.16666666666666666 0.0 0.027778
0.83333333333333333 0.33333333333333333 0.0 0.027778
0.83333333333333333 0.5 0.0 0.027778

```

```
0.8333333333333333 0.6666666666666666 0.0 0.027778
0.8333333333333333 0.8333333333333333 0.0 0.027778
```

```
CELL_PARAMETERS angstrom
4.8441267659 0.0 3e-16
-3e-16 4.8441267659 3e-16
0.0 0.0 21.7521320843
```

```
---                epw1.in ---
&inputepw
prefix = 'hBN'
amass(1) = 107.868
amass(2) = 35.453
amass(3) = 15.999
outdir = './'
elph = .false.
epbwrite = .false.
epbread = .false.
epwwrite = .true.
epwread = .false.
etf_mem = 1
nbndsub = 16
use_ws = .true.
wannierize = .true.
num_iter = 1000
iprint = 2
dis_win_max = 8.658478616355689
dis_froz_max = -1.2203204583056548
fsthick = 1.2
temps = 1
degaussw = 0.005
dvscf_dir = './save'
nk1 = 6
nk2 = 6
nk3 = 1
nq1 = 1
nq2 = 1
nq3 = 1
system_2d = 'dipole_sp'
lpolar = .true.
dis_win_min = -26.338036563513157
wdata(1) = 'guiding_centres = T'
wdata(2) = 'dis_num_iter = 1500'
wdata(3) = 'bands_num_points = 100 '
wdata(4) = 'bands_plot = .true.'
wdata(5) = 'begin kpoint_path'
wdata(6) = 'G 0.0 0.0 0.0 M 0.5 0.0 0.0'
wdata(7) = 'M 0.5 0.0 0.0 K 0.3333333333 0.3333333333 0.0'
wdata(8) = 'K 0.3333333333 0.3333333333 0.0 X 1.0 1.0 0.0'
wdata(9) = 'X 1.0 1.0 0.0 M1 0.0 0.5 0.0'
wdata(10) = 'M1 0.0 0.5 0.0 G 0.0 0.0 0.0'
wdata(11) = 'end kpoint_path'
bands_skipped = 'exclude_bands = 1-12'
proj(1) = 'Ag: l= 3, mr= 3,4,7'
proj(2) = 'Cl: l= 3, mr= 2,3,4,5,6'
proj(3) = 'O: l= -2, mr= 1,3'
dis_froz_min = -11.47846933575923
/
```

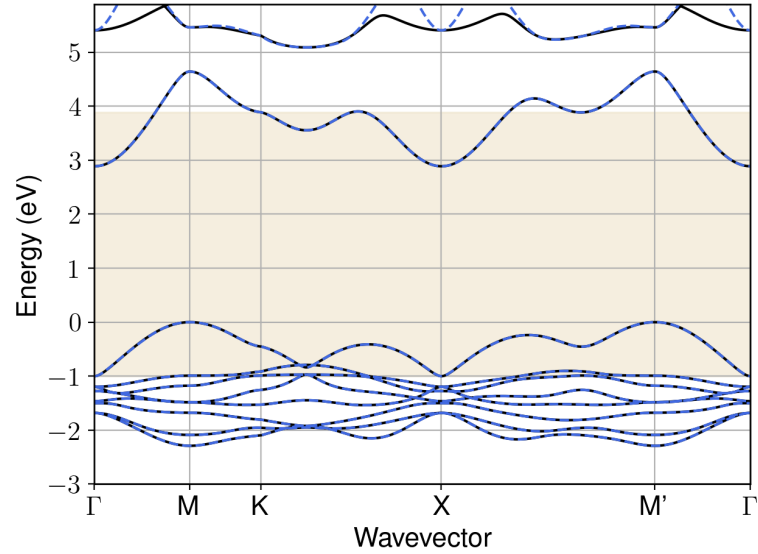


Figure S16: Bandstructure interpolation for monolayer  $\text{AgO}_4\text{Cl}$ . Wannier-interpolation of the band structure of monolayer  $\text{AgO}_4\text{Cl}$  over a wide energy range. Blue dashed lines are results from the present method, black solid lines are explicit DFT calculations. The yellow shaded region shows the range over which optimization has been performed. The interpolation error within the yellow region is 1 meV. The k-grid employed for NSCF calculation is  $6 \times 6$ .

## 5 Material: $\text{As}_4$

The calculation files are appended below. These files should be executed in the order provided. The location of pseudo potentials should be changed accordingly.

```

---          scf.in ---
&CONTROL
calculation = 'scf'
verbosity = 'high'
restart_mode = 'from_scratch'
outdir = './'
pseudo_dir = '/scratch1/05193/sabyadk/2D_materials_Wann/Materials/As4-f2a2058a/pseudo/'
prefix = 'hBN'
/
&SYSTEM
ibrav = 0
nat = 4
ntyp = 1
ecutwfc = 60
ecutrho = 240
assume_isolated = 2D
/
&ELECTRONS
conv_thr = 1E-12
diagonalization = 'david'
electron_maxstep = 200
/
ATOMIC_SPECIES
As 74.922 As_r.upf
ATOMIC_POSITIONS crystal
As 0.5 0.569865792767 0.946505332931
As 0.5 0.430134207254 0.053494667069
As 0.0 0.930133828742 0.946505328927
As 0.0 0.069866171237 0.053494671073

```

```

K_POINTS automatic
6 6 1 0 0 0

CELL_PARAMETERS angstrom
3.6938042436 0.0 2e-16
-3e-16 4.7193977781 3e-16
0.0 0.0 22.453442519

```

```

---                nscf.in ---
&CONTROL
calculation = bands
verbosity = 'high'
restart_mode = 'from_scratch'
outdir = './'
pseudo_dir = '/scratch1/05193/sabyadk/2D_materials_Wann/Materials/As4-f2a2058a/pseudo/'
prefix = 'hBN'
/
&SYSTEM
ibrav = 0
nat = 4
ntyp = 1
ecutwfc = 60
ecutrho = 240
assume_isolated = 2D
nbnd = 60
/
&ELECTRONS
conv_thr = 1E-10
diagonalization = 'david'
electron_maxstep = 200
/
ATOMIC_SPECIES
As 74.922 As_r.upf
ATOMIC_POSITIONS crystal
As 0.5 0.569865792767 0.946505332931
As 0.5 0.430134207254 0.053494667069
As 0.0 0.930133828742 0.946505328927
As 0.0 0.069866171237 0.053494671073

K_POINTS crystal
36
0.0 0.0 0.0 0.027778
0.0 0.16666666666666666 0.0 0.027778
0.0 0.33333333333333333 0.0 0.027778
0.0 0.5 0.0 0.027778
0.0 0.66666666666666666 0.0 0.027778
0.0 0.83333333333333333 0.0 0.027778
0.16666666666666666 0.0 0.0 0.027778
0.16666666666666666 0.16666666666666666 0.0 0.027778
0.16666666666666666 0.33333333333333333 0.0 0.027778
0.16666666666666666 0.5 0.0 0.027778
0.16666666666666666 0.66666666666666666 0.0 0.027778
0.16666666666666666 0.83333333333333333 0.0 0.027778
0.33333333333333333 0.0 0.0 0.027778
0.33333333333333333 0.16666666666666666 0.0 0.027778
0.33333333333333333 0.33333333333333333 0.0 0.027778
0.33333333333333333 0.5 0.0 0.027778
0.33333333333333333 0.66666666666666666 0.0 0.027778
0.33333333333333333 0.83333333333333333 0.0 0.027778
0.5 0.0 0.0 0.027778
0.5 0.16666666666666666 0.0 0.027778
0.5 0.33333333333333333 0.0 0.027778
0.5 0.5 0.0 0.027778
0.5 0.66666666666666666 0.0 0.027778
0.5 0.83333333333333333 0.0 0.027778
0.66666666666666666 0.0 0.0 0.027778
0.66666666666666666 0.16666666666666666 0.0 0.027778
0.66666666666666666 0.33333333333333333 0.0 0.027778
0.66666666666666666 0.5 0.0 0.027778
0.66666666666666666 0.66666666666666666 0.0 0.027778
0.66666666666666666 0.83333333333333333 0.0 0.027778
0.83333333333333333 0.0 0.0 0.027778
0.83333333333333333 0.16666666666666666 0.0 0.027778
0.83333333333333333 0.33333333333333333 0.0 0.027778
0.83333333333333333 0.5 0.0 0.027778
0.83333333333333333 0.66666666666666666 0.0 0.027778
0.83333333333333333 0.83333333333333333 0.0 0.027778

CELL_PARAMETERS angstrom
3.6938042436 0.0 2e-16
-3e-16 4.7193977781 3e-16
0.0 0.0 22.453442519

```

```
---                epw1.in ---
&inputepw
prefix = 'hBN'
amass(1) = 74.922
outdir = './'
elph = .false.
epbwrite = .false.
epbread = .false.
epwwrite = .true.
epwread = .false.
etf_mem = 1
nbndsub = 16
use_ws = .true.
wannierize = .true.
num_iter = 1000
iprint = 2
dis_win_max = 13.296948778017294
dis_froz_max = -1.4662493865646313
fsthick = 1.2
temps = 1
degaussw = 0.005
dvscf_dir = './save'
nk1 = 6
nk2 = 6
nk3 = 1
nq1 = 1
nq2 = 1
nq3 = 1
system_2d = 'dipole_sp'
lpolar = .true.
dis_win_min = -16.027152612593998
wdata(1) = 'guiding_centres = T'
wdata(2) = 'dis_num_iter = 1500'
wdata(3) = 'bands_num_points = 100 '
wdata(4) = 'bands_plot = .true.'
wdata(5) = 'begin kpoint_path'
wdata(6) = 'G 0.0 0.0 0.0 M 0.5 0.0 0.0'
wdata(7) = 'M 0.5 0.0 0.0 K 0.3333333333 0.3333333333 0.0'
wdata(8) = 'K 0.3333333333 0.3333333333 0.0 X 1.0 1.0 0.0'
wdata(9) = 'X 1.0 1.0 0.0 M1 0.0 0.5 0.0'
wdata(10) = 'M1 0.0 0.5 0.0 G 0.0 0.0 0.0'
wdata(11) = 'end kpoint_path'
bands_skipped = 'exclude_bands = 1-24'
proj(1) = 'As: l= -5, mr= 1,2,3,6'
dis_froz_min = -12.982598713307086
/
```

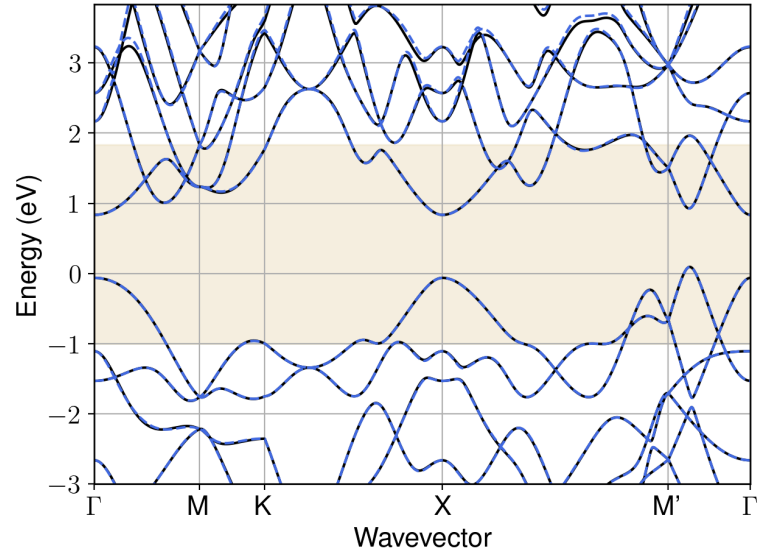


Figure S17: Bandstructure interpolation for monolayer  $\text{As}_4$ . Wannier-interpolation of the band structure of monolayer  $\text{As}_4$  over a wide energy range. Blue dashed lines are results from the present method, black solid lines are explicit DFT calculations. The yellow shaded region shows the range over which optimization has been performed. The interpolation error within the yellow region is 5 meV. The k-grid employed for NSCF calculation is  $6 \times 6$ .

## 6 Material: $\text{Au}_2\text{Br}_2$

The calculation files are appended below. These files should be executed in the order provided. The location of pseudo potentials should be changed accordingly.

```

---          scf.in ---
&CONTROL
calculation = 'scf'
verbosity = 'high'
restart_mode = 'from_scratch'
outdir = './'
pseudo_dir = '/scratch1/05193/sabyadk/2D_materials_Wann/Materials/Au2Br2-ebd90d82/pseudo/'
prefix = 'hBN'
/
&SYSTEM
ibrav = 0
nat = 4
ntyp = 2
ecutwfc = 60
ecutrho = 240
occupations = 'smearing'
smearing = 'gaussian'
degauss = 0.1
/
&ELECTRONS
conv_thr = 1E-10
diagonalization = cg
electron_maxstep = 500
/
ATOMIC_SPECIES
Au 196.967 Au_r.upf
Br 79.904 Br_r.upf
ATOMIC_POSITIONS crystal
Au 0.749999616641 0.749999616641 0.0
Au 0.250000383405 0.250000383405 0.0

```

```

Br 2.4e-11 0.499999999988 0.916762405596
Br 0.499999999988 2.4e-11 0.083237594404

K_POINTS automatic
6 6 1 0 0 0

CELL_PARAMETERS angstrom
4.263342158351 0.0 3e-16
0.1152103946140156 4.261785180431534 3e-16
0.0 0.0 24.0358498142

```

```

---                nscf.in ---
&CONTROL
calculation = bands
verbosity = 'high'
restart_mode = 'from_scratch'
outdir = './'
pseudo_dir = '/scratch1/05193/sabyadk/2D_materials_Wann/Materials/Au2Br2-ebd90d82/pseudo/'
prefix = 'hBN'
/
&SYSTEM
ibrav = 0
nat = 4
ntyp = 2
ecutwfc = 60
ecutrho = 240
occupations = 'smearing'
smearing = 'gaussian'
degauss = 0.1
nbnd = 60
/
&ELECTRONS
conv_thr = 1E-10
diagonalization = cg
electron_maxstep = 500
/
ATOMIC_SPECIES
Au 196.967 Au_r.upf
Br 79.904 Br_r.upf
ATOMIC_POSITIONS crystal
Au 0.749999616641 0.749999616641 0.0
Au 0.250000383405 0.250000383405 0.0
Br 2.4e-11 0.499999999988 0.916762405596
Br 0.499999999988 2.4e-11 0.083237594404

K_POINTS crystal
36
0.0 0.0 0.0 0.027778
0.0 0.16666666666666666 0.0 0.027778
0.0 0.3333333333333333 0.0 0.027778
0.0 0.5 0.0 0.027778
0.0 0.6666666666666666 0.0 0.027778
0.0 0.8333333333333333 0.0 0.027778
0.16666666666666666 0.0 0.0 0.027778
0.16666666666666666 0.16666666666666666 0.0 0.027778
0.16666666666666666 0.3333333333333333 0.0 0.027778
0.16666666666666666 0.5 0.0 0.027778
0.16666666666666666 0.6666666666666666 0.0 0.027778
0.16666666666666666 0.8333333333333333 0.0 0.027778
0.3333333333333333 0.0 0.0 0.027778
0.3333333333333333 0.16666666666666666 0.0 0.027778
0.3333333333333333 0.3333333333333333 0.0 0.027778
0.3333333333333333 0.5 0.0 0.027778
0.3333333333333333 0.6666666666666666 0.0 0.027778
0.3333333333333333 0.8333333333333333 0.0 0.027778
0.5 0.0 0.0 0.027778
0.5 0.16666666666666666 0.0 0.027778
0.5 0.3333333333333333 0.0 0.027778
0.5 0.5 0.0 0.027778
0.5 0.6666666666666666 0.0 0.027778
0.5 0.8333333333333333 0.0 0.027778
0.6666666666666666 0.0 0.0 0.027778
0.6666666666666666 0.16666666666666666 0.0 0.027778
0.6666666666666666 0.3333333333333333 0.0 0.027778
0.6666666666666666 0.5 0.0 0.027778
0.6666666666666666 0.6666666666666666 0.0 0.027778
0.6666666666666666 0.8333333333333333 0.0 0.027778
0.8333333333333333 0.0 0.0 0.027778
0.8333333333333333 0.16666666666666666 0.0 0.027778
0.8333333333333333 0.3333333333333333 0.0 0.027778
0.8333333333333333 0.5 0.0 0.027778
0.8333333333333333 0.6666666666666666 0.0 0.027778
0.8333333333333333 0.8333333333333333 0.0 0.027778

```

```
CELL_PARAMETERS angstrom
4.263342158351 0.0 3e-16
0.1152103946140156 4.261785180431534 3e-16
0.0 0.0 24.0358498142
```

```
---                epw1.in ---
&inputepw
prefix = 'hBN'
amass(1) = 196.967
amass(2) = 79.904
outdir = './'
elph = .false.
epbwrite = .false.
epbread = .false.
epwwrite = .true.
epwread = .false.
etf_mem = 1
nbndsub = 22
use_ws = .true.
wannierize = .true.
num_iter = 1000
iprint = 2
dis_win_max = 17.2398215202797
dis_froz_max = 1.3664994932937953
fsthick = 1.2
temps = 1
degaussw = 0.005
dvscf_dir = './save'
nk1 = 6
nk2 = 6
nk3 = 1
nq1 = 1
nq2 = 1
nq3 = 1
dis_win_min = -16.735586887114724
wdata(1) = 'guiding_centres = T'
wdata(2) = 'dis_num_iter = 1500'
wdata(3) = 'bands_num_points = 100 '
wdata(4) = 'bands_plot = .true.'
wdata(5) = 'begin kpoint_path'
wdata(6) = 'G 0.0 0.0 0.0 M 0.5 0.0 0.0'
wdata(7) = 'M 0.5 0.0 0.0 K 0.3333333333 0.3333333333 0.0'
wdata(8) = 'K 0.3333333333 0.3333333333 0.0 X 1.0 1.0 0.0'
wdata(9) = 'X 1.0 1.0 0.0 M1 0.0 0.5 0.0'
wdata(10) = 'M1 0.0 0.5 0.0 G 0.0 0.0 0.0'
wdata(11) = 'end kpoint_path'
bands_skipped = 'exclude_bands = 1-8'
proj(1) = 'Au: l= 3, mr= 1,2,4,5,6,7'
proj(2) = 'Br: l= 3, mr= 1,2,3,5,6'
dis_froz_min = -8.487322613236733
/
```



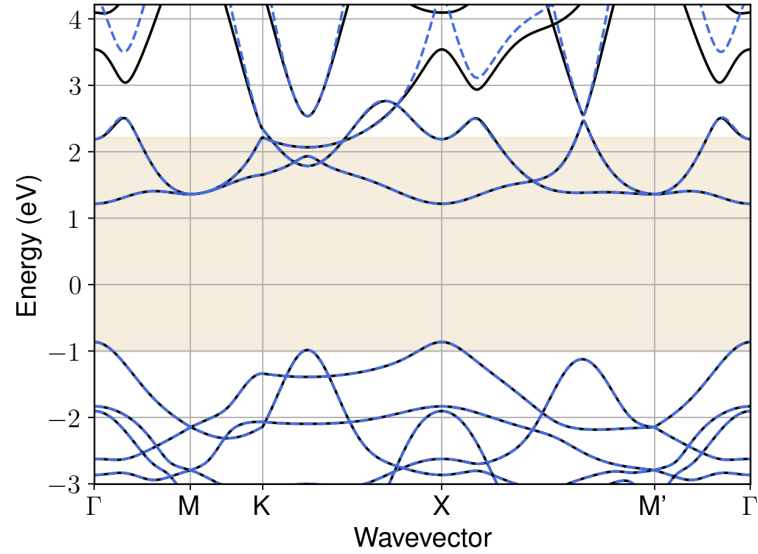


Figure S18: Bandstructure interpolation for monolayer  $\text{Au}_2\text{Br}_2$ . Wannier-interpolation of the band structure of monolayer  $\text{Au}_2\text{Br}_2$  over a wide energy range. Blue dashed lines are results from the present method, black solid lines are explicit DFT calculations. The yellow shaded region shows the range over which optimization has been performed. The interpolation error within the yellow region is 3 meV. The k-grid employed for NSCF calculation is  $6 \times 6$ .

## 7 Material: $\text{Au}_2\text{Se}_2$

The calculation files are appended below. These files should be executed in the order provided. The location of pseudo potentials should be changed accordingly.

```

---          scf.in ---
&CONTROL
calculation = 'scf'
verbosity = 'high'
restart_mode = 'from_scratch'
outdir = './'
pseudo_dir = '/scratch1/05193/sabyadk/2D_materials_Wann/Materials/Au2Se2-f2bf3d17/pseudo/'
prefix = 'hBN'
/
&SYSTEM
ibrav = 0
nat = 4
ntyp = 2
ecutwfc = 60
ecutrho = 240
occupations = 'smearing'
smearing = 'gaussian'
degauss = 0.1
/
&ELECTRONS
conv_thr = 1E-10
diagonalization = cg
electron_maxstep = 500
/
ATOMIC_SPECIES
Au 196.967 Au_r.upf
Se 78.971 Se_r.upf
ATOMIC_POSITIONS crystal
Au 0.5 0.608285826109 0.999999951211
Au 0.0 0.108285932287 6.9232e-08

```

```

Se 0.0 0.435128848482 0.056464896229
Se 0.0 0.781443089473 0.943535083328

K_POINTS automatic
6 6 1 0 0 0

CELL_PARAMETERS angstrom
3.740108771 0.0 2e-16
-4e-16 6.2960218054 4e-16
0.0 0.0 22.5678790387

```

```

---                nscf.in ---
&CONTROL
calculation = bands
verbosity = 'high'
restart_mode = 'from_scratch'
outdir = './'
pseudo_dir = '/scratch1/05193/sabyadk/2D_materials_Wann/Materials/Au2Se2-f2bf3d17/pseudo/'
prefix = 'hBN'
/
&SYSTEM
ibrav = 0
nat = 4
ntyp = 2
ecutwfc = 60
ecutrho = 240
occupations = 'smearing'
smearing = 'gaussian'
degauss = 0.1
nbnd = 60
/
&ELECTRONS
conv_thr = 1E-10
diagonalization = cg
electron_maxstep = 500
/
ATOMIC_SPECIES
Au 196.967 Au_r.upf
Se 78.971 Se_r.upf
ATOMIC_POSITIONS crystal
Au 0.5 0.608285826109 0.999999951211
Au 0.0 0.108285932287 6.9232e-08
Se 0.0 0.435128848482 0.056464896229
Se 0.0 0.781443089473 0.943535083328

K_POINTS crystal
36
0.0 0.0 0.0 0.027778
0.0 0.166666666666666666 0.0 0.027778
0.0 0.3333333333333333 0.0 0.027778
0.0 0.5 0.0 0.027778
0.0 0.6666666666666666 0.0 0.027778
0.0 0.8333333333333333 0.0 0.027778
0.166666666666666666 0.0 0.0 0.027778
0.166666666666666666 0.166666666666666666 0.0 0.027778
0.166666666666666666 0.3333333333333333 0.0 0.027778
0.166666666666666666 0.5 0.0 0.027778
0.166666666666666666 0.666666666666666666 0.0 0.027778
0.166666666666666666 0.8333333333333333 0.0 0.027778
0.3333333333333333 0.0 0.0 0.027778
0.3333333333333333 0.166666666666666666 0.0 0.027778
0.3333333333333333 0.3333333333333333 0.0 0.027778
0.3333333333333333 0.5 0.0 0.027778
0.3333333333333333 0.666666666666666666 0.0 0.027778
0.3333333333333333 0.8333333333333333 0.0 0.027778
0.5 0.0 0.0 0.027778
0.5 0.166666666666666666 0.0 0.027778
0.5 0.3333333333333333 0.0 0.027778
0.5 0.5 0.0 0.027778
0.5 0.666666666666666666 0.0 0.027778
0.5 0.8333333333333333 0.0 0.027778
0.666666666666666666 0.0 0.0 0.027778
0.666666666666666666 0.166666666666666666 0.0 0.027778
0.666666666666666666 0.3333333333333333 0.0 0.027778
0.666666666666666666 0.5 0.0 0.027778
0.666666666666666666 0.666666666666666666 0.0 0.027778
0.666666666666666666 0.8333333333333333 0.0 0.027778
0.8333333333333333 0.0 0.0 0.027778
0.8333333333333333 0.166666666666666666 0.0 0.027778
0.8333333333333333 0.3333333333333333 0.0 0.027778
0.8333333333333333 0.5 0.0 0.027778
0.8333333333333333 0.666666666666666666 0.0 0.027778
0.8333333333333333 0.8333333333333333 0.0 0.027778

```

```
CELL_PARAMETERS angstrom
3.740108771 0.0 2e-16
-4e-16 6.2960218054 4e-16
0.0 0.0 22.5678790387
```

```
---                epw1.in ---
&inputepw
prefix = 'hBN'
amass(1) = 196.967
amass(2) = 78.971
outdir = './'
elph = .false.
epbwrite = .false.
epbread = .false.
epwwrite = .true.
epwread = .false.
etf_mem = 1
nbndsub = 18
use_ws = .true.
wannierize = .true.
num_iter = 1000
iprint = 2
dis_win_max = 12.668049013457408
dis_froz_max = -0.22825221884535907
fsthick = 1.2
temps = 1
degaussw = 0.005
dvscf_dir = './save'
nk1 = 6
nk2 = 6
nk3 = 1
nq1 = 1
nq2 = 1
nq3 = 1
dis_win_min = -21.245335157658943
wdata(1) = 'guiding_centres = T'
wdata(2) = 'dis_num_iter = 1500'
wdata(3) = 'bands_num_points = 100 '
wdata(4) = 'bands_plot = .true.'
wdata(5) = 'begin kpoint_path'
wdata(6) = 'G 0.0 0.0 0.0 M 0.5 0.0 0.0'
wdata(7) = 'M 0.5 0.0 0.0 K 0.3333333333 0.3333333333 0.0'
wdata(8) = 'K 0.3333333333 0.3333333333 0.0 X 1.0 1.0 0.0'
wdata(9) = 'X 1.0 1.0 0.0 M1 0.0 0.5 0.0'
wdata(10) = 'M1 0.0 0.5 0.0 G 0.0 0.0 0.0'
wdata(11) = 'end kpoint_path'
bands_skipped = 'exclude_bands = 1-8'
proj(1) = 'Au: l= -3, mr= 1,2,3,4'
proj(2) = 'Se: l= 3, mr= 2,3,4,5,6'
dis_froz_min = -12.52758120177839
/
```

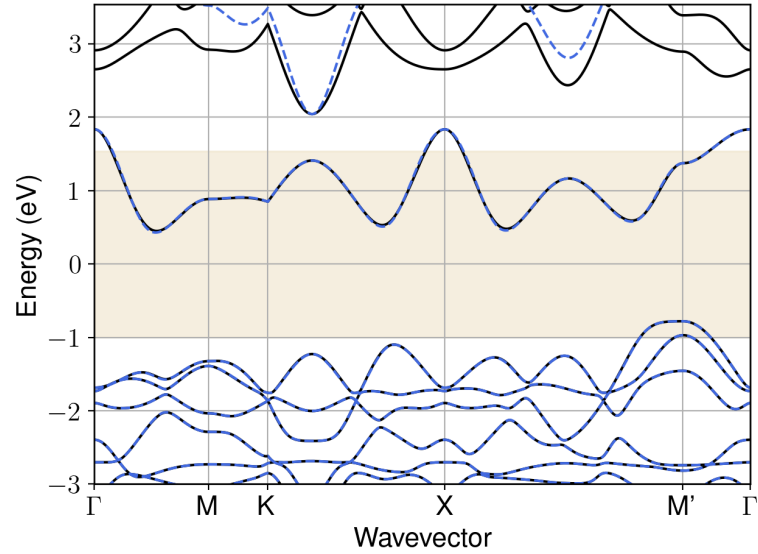


Figure S19: Bandstructure interpolation for monolayer  $\text{Au}_2\text{Se}_2$ . Wannier-interpolation of the band structure of monolayer  $\text{Au}_2\text{Se}_2$  over a wide energy range. Blue dashed lines are results from the present method, black solid lines are explicit DFT calculations. The yellow shaded region shows the range over which optimization has been performed. The interpolation error within the yellow region is 12 meV. The k-grid employed for NSCF calculation is  $6 \times 6$ .

## 8 Material: $\text{Ba}_2\text{H}_2\text{I}_2$

The calculation files are appended below. These files should be executed in the order provided. The location of pseudo potentials should be changed accordingly.

```

---          scf.in ---
&CONTROL
calculation = 'scf'
verbosity = 'high'
restart_mode = 'from_scratch'
outdir = './'
pseudo_dir = '/scratch1/05193/sabyadk/2D_materials_Wann/Materials/Ba2H2I2-2e181a2a/pseudo/'
prefix = 'hBN'
/
&SYSTEM
ibrav = 0
nat = 6
ntyp = 3
ecutwfc = 60
ecutrho = 240
assume_isolated = 2D
/
&ELECTRONS
conv_thr = 1E-12
diagonalization = 'david'
electron_maxstep = 200
/
ATOMIC_SPECIES
Ba 137.328 Ba_r.upf
H 1.008 H_r.upf
I 126.904 I_r.upf
ATOMIC_POSITIONS crystal
Ba 0.0 0.5 0.055062588698
Ba 0.5 0.0 0.9449374113
H 0.0 0.0 1e-12

```

```

H 0.5 0.5 1e-12
I 0.5 0.0 0.113957382061
I 0.0 0.5 0.88604261794

K_POINTS automatic
6 6 1 0 0 0

CELL_PARAMETERS angstrom
4.5961832246 0.0 3e-16
-3e-16 4.5961832246 3e-16
0.0 0.0 25.3639234978

```

```

---                nscf.in ---
&CONTROL
calculation = bands
verbosity = 'high'
restart_mode = 'from_scratch'
outdir = './'
pseudo_dir = '/scratch1/05193/sabyadk/2D_materials_Wann/Materials/Ba2H2I2-2e181a2a/pseudo/'
prefix = 'hBN'
/
&SYSTEM
ibrav = 0
nat = 6
ntyp = 3
ecutwfc = 60
ecutrho = 240
assume_isolated = 2D
nbnd = 60
/
&ELECTRONS
conv_thr = 1E-10
diagonalization = 'david'
electron_maxstep = 200
/
ATOMIC_SPECIES
Ba 137.328 Ba_r.upf
H 1.008 H_r.upf
I 126.904 I_r.upf
ATOMIC_POSITIONS crystal
Ba 0.0 0.5 0.055062588698
Ba 0.5 0.0 0.9449374113
H 0.0 0.0 1e-12
H 0.5 0.5 1e-12
I 0.5 0.0 0.113957382061
I 0.0 0.5 0.88604261794

K_POINTS crystal
36
0.0 0.0 0.0 0.027778
0.0 0.16666666666666666 0.0 0.027778
0.0 0.33333333333333333 0.0 0.027778
0.0 0.5 0.0 0.027778
0.0 0.66666666666666666 0.0 0.027778
0.0 0.83333333333333333 0.0 0.027778
0.16666666666666666 0.0 0.0 0.027778
0.16666666666666666 0.16666666666666666 0.0 0.027778
0.16666666666666666 0.33333333333333333 0.0 0.027778
0.16666666666666666 0.5 0.0 0.027778
0.16666666666666666 0.66666666666666666 0.0 0.027778
0.16666666666666666 0.83333333333333333 0.0 0.027778
0.33333333333333333 0.0 0.0 0.027778
0.33333333333333333 0.16666666666666666 0.0 0.027778
0.33333333333333333 0.33333333333333333 0.0 0.027778
0.33333333333333333 0.5 0.0 0.027778
0.33333333333333333 0.66666666666666666 0.0 0.027778
0.33333333333333333 0.83333333333333333 0.0 0.027778
0.5 0.0 0.0 0.027778
0.5 0.16666666666666666 0.0 0.027778
0.5 0.33333333333333333 0.0 0.027778
0.5 0.5 0.0 0.027778
0.5 0.66666666666666666 0.0 0.027778
0.5 0.83333333333333333 0.0 0.027778
0.66666666666666666 0.0 0.0 0.027778
0.66666666666666666 0.16666666666666666 0.0 0.027778
0.66666666666666666 0.33333333333333333 0.0 0.027778
0.66666666666666666 0.5 0.0 0.027778
0.66666666666666666 0.66666666666666666 0.0 0.027778
0.66666666666666666 0.83333333333333333 0.0 0.027778
0.83333333333333333 0.0 0.0 0.027778
0.83333333333333333 0.16666666666666666 0.0 0.027778
0.83333333333333333 0.33333333333333333 0.0 0.027778
0.83333333333333333 0.5 0.0 0.027778

```

```
0.8333333333333333 0.6666666666666666 0.0 0.027778
0.8333333333333333 0.8333333333333333 0.0 0.027778
```

```
CELL_PARAMETERS angstrom
4.5961832246 0.0 3e-16
-3e-16 4.5961832246 3e-16
0.0 0.0 25.3639234978
```

```
---                epw1.in ---
&inputepw
prefix = 'hBN'
amass(1) = 137.328
amass(2) = 1.008
amass(3) = 126.904
outdir = './'
elph = .false.
epbwrite = .false.
epbread = .false.
epwwrite = .true.
epwread = .false.
etf_mem = 1
nbndsub = 16
use_ws = .true.
wannierize = .true.
num_iter = 1000
iprint = 2
dis_win_max = 11.069893117888691
dis_froz_max = -1.170116176962095
fsthick = 1.2
temps = 1
degaussw = 0.005
dvscf_dir = './save'
nk1 = 6
nk2 = 6
nk3 = 1
nq1 = 1
nq2 = 1
nq3 = 1
system_2d = 'dipole_sp'
lpolar = .true.
dis_win_min = -19.113844391537228
wdata(1) = 'guiding_centres = T'
wdata(2) = 'dis_num_iter = 1500'
wdata(3) = 'bands_num_points = 100 '
wdata(4) = 'bands_plot = .true.'
wdata(5) = 'begin kpoint_path'
wdata(6) = 'G 0.0 0.0 0.0 M 0.5 0.0 0.0'
wdata(7) = 'M 0.5 0.0 0.0 K 0.3333333333 0.3333333333 0.0'
wdata(8) = 'K 0.3333333333 0.3333333333 0.0 X 1.0 1.0 0.0'
wdata(9) = 'X 1.0 1.0 0.0 M1 0.0 0.5 0.0'
wdata(10) = 'M1 0.0 0.5 0.0 G 0.0 0.0 0.0'
wdata(11) = 'end kpoint_path'
bands_skipped = 'exclude_bands = 1-10'
proj(1) = 'Ba: l= 3, mr= 1,2,5,6'
proj(2) = 'H: l= 3, mr= 1,7'
proj(3) = 'I: l= -4, mr= 3,5'
dis_froz_min = -10.71522102716171
/
```

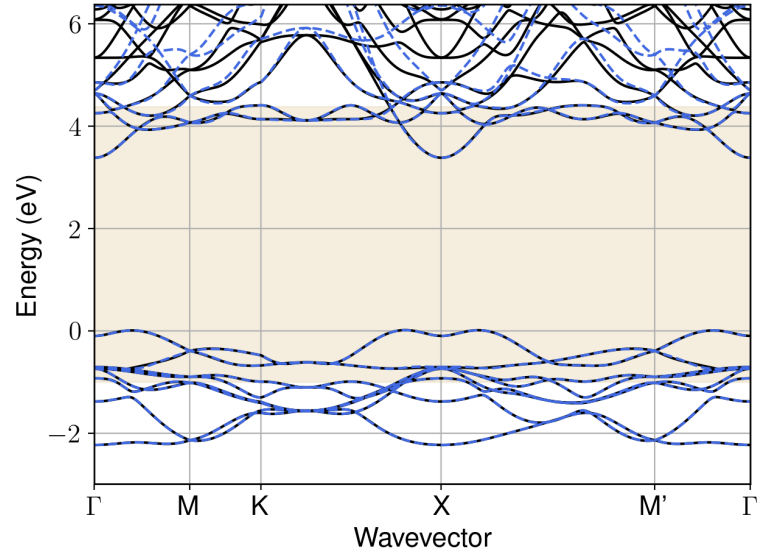


Figure S20: Bandstructure interpolation for monolayer  $\text{Ba}_2\text{H}_2\text{I}_2$ . Wannier-interpolation of the band structure of monolayer  $\text{Ba}_2\text{H}_2\text{I}_2$  over a wide energy range. Blue dashed lines are results from the present method, black solid lines are explicit DFT calculations. The yellow shaded region shows the range over which optimization has been performed. The interpolation error within the yellow region is 7 meV. The k-grid employed for NSCF calculation is  $6 \times 6$ .

## 9 Material: $\text{Bi}_2$

The calculation files are appended below. These files should be executed in the order provided. The location of pseudo potentials should be changed accordingly.

```

---          scf.in ---
&CONTROL
calculation = 'scf'
verbosity = 'high'
restart_mode = 'from_scratch'
outdir = './'
pseudo_dir = '/scratch1/05193/sabyadk/2D_materials_Wann/Materials/Bi2-89a9ace6/pseudo/'
prefix = 'hBN'
/
&SYSTEM
ibrav = 0
nat = 2
ntyp = 1
ecutwfc = 60
ecutrho = 240
assume_isolated = 2D
/
&ELECTRONS
conv_thr = 1E-12
diagonalization = 'david'
electron_maxstep = 200
/
ATOMIC_SPECIES
Bi 208.98 Bi_r.upf
ATOMIC_POSITIONS crystal
Bi 0.6666666666666666 0.3333333333333333 0.459697977257
Bi 0.3333333333333333 0.6666666666666666 0.540302022743
K_POINTS automatic
6 6 1 0 0 0

```

```

CELL_PARAMETERS angstrom
4.2974468664 0.0 3e-16
-2.148723433200015 3.7216981577000565 3e-16
0.0 0.0 21.6662769578

```

```

---                nscf.in ---
&CONTROL
calculation = bands
verbosity = 'high'
restart_mode = 'from_scratch'
outdir = './'
pseudo_dir = '/scratch1/05193/sabyadk/2D_materials_Wann/Materials/Bi2-89a9ace6/pseudo/'
prefix = 'hBN'
/
&SYSTEM
ibrav = 0
nat = 2
ntyp = 1
ecutwfc = 60
ecutrho = 240
assume_isolated = 2D
nband = 60
/
&ELECTRONS
conv_thr = 1E-10
diagonalization = 'david'
electron_maxstep = 200
/
ATOMIC_SPECIES
Bi 208.98 Bi_r.upf
ATOMIC_POSITIONS crystal
Bi 0.6666666666666666 0.3333333333333333 0.45969797257
Bi 0.3333333333333333 0.6666666666666666 0.540302022743

K_POINTS crystal
36
0.0 0.0 0.0 0.027778
0.0 0.1666666666666666 0.0 0.027778
0.0 0.3333333333333333 0.0 0.027778
0.0 0.5 0.0 0.027778
0.0 0.6666666666666666 0.0 0.027778
0.0 0.8333333333333333 0.0 0.027778
0.1666666666666666 0.0 0.0 0.027778
0.1666666666666666 0.1666666666666666 0.0 0.027778
0.1666666666666666 0.3333333333333333 0.0 0.027778
0.1666666666666666 0.5 0.0 0.027778
0.1666666666666666 0.6666666666666666 0.0 0.027778
0.1666666666666666 0.8333333333333333 0.0 0.027778
0.3333333333333333 0.0 0.0 0.027778
0.3333333333333333 0.1666666666666666 0.0 0.027778
0.3333333333333333 0.3333333333333333 0.0 0.027778
0.3333333333333333 0.5 0.0 0.027778
0.3333333333333333 0.6666666666666666 0.0 0.027778
0.3333333333333333 0.8333333333333333 0.0 0.027778
0.5 0.0 0.0 0.027778
0.5 0.1666666666666666 0.0 0.027778
0.5 0.3333333333333333 0.0 0.027778
0.5 0.5 0.0 0.027778
0.5 0.6666666666666666 0.0 0.027778
0.5 0.8333333333333333 0.0 0.027778
0.6666666666666666 0.0 0.0 0.027778
0.6666666666666666 0.1666666666666666 0.0 0.027778
0.6666666666666666 0.3333333333333333 0.0 0.027778
0.6666666666666666 0.5 0.0 0.027778
0.6666666666666666 0.6666666666666666 0.0 0.027778
0.6666666666666666 0.8333333333333333 0.0 0.027778
0.8333333333333333 0.0 0.0 0.027778
0.8333333333333333 0.1666666666666666 0.0 0.027778
0.8333333333333333 0.3333333333333333 0.0 0.027778
0.8333333333333333 0.5 0.0 0.027778
0.8333333333333333 0.6666666666666666 0.0 0.027778
0.8333333333333333 0.8333333333333333 0.0 0.027778

CELL_PARAMETERS angstrom
4.2974468664 0.0 3e-16
-2.148723433200015 3.7216981577000565 3e-16
0.0 0.0 21.6662769578

```

```

---                epw1.in ---
&inputepw

```



```
prefix = 'hBN'
amass(1) = 208.98
outdir = './'
elph = .false.
epbwrite = .false.
epbread = .false.
epwrite = .true.
epwread = .false.
etf_mem = 1
nbndsub = 8
use_ws = .true.
wannierize = .true.
num_iter = 1000
iprint = 2
dis_win_max = 10.587559519178171
dis_froz_max = -0.3697716318927182
fsthick = 1.2
temps = 1
degaussw = 0.005
dvscf_dir = './save'
nk1 = 6
nk2 = 6
nk3 = 1
nq1 = 1
nq2 = 1
nq3 = 1
system_2d = 'dipole_sp'
lpolar = .true.
dis_win_min = -17.7627805549952
wdata(1) = 'guiding_centres = T'
wdata(2) = 'dis_num_iter = 1500'
wdata(3) = 'bands_num_points = 100 '
wdata(4) = 'bands_plot = .true.'
wdata(5) = 'begin kpoint_path'
wdata(6) = 'G 0.0 0.0 0.0 M 0.5 0.0 0.0'
wdata(7) = 'M 0.5 0.0 0.0 K 0.3333333333 0.3333333333 0.0'
wdata(8) = 'K 0.3333333333 0.3333333333 0.0 X 1.0 1.0 0.0'
wdata(9) = 'X 1.0 1.0 0.0 M1 0.0 0.5 0.0'
wdata(10) = 'M1 0.0 0.5 0.0 G 0.0 0.0 0.0'
wdata(11) = 'end kpoint_path'
bands_skipped = 'exclude_bands = 1-12'
proj(1) = 'Bi: l= 2, mr= 1,2,3,5'
dis_froz_min = -9.430485088267048
/
```

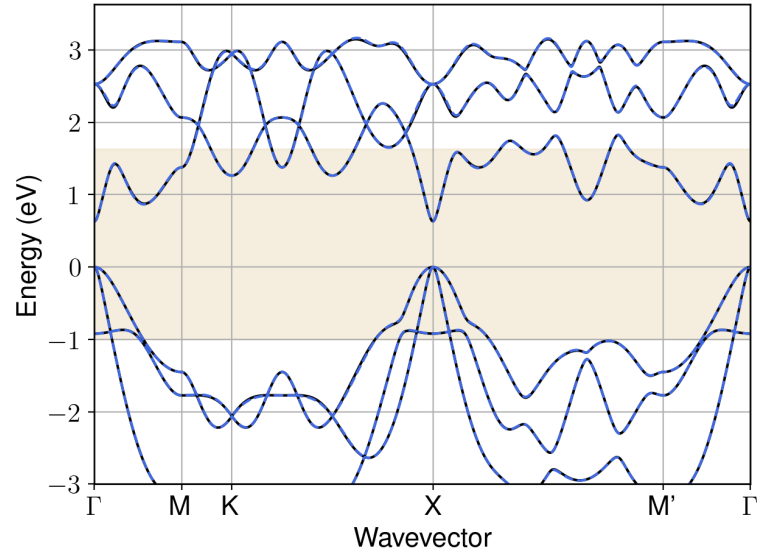


Figure S21: Bandstructure interpolation for monolayer  $\text{Bi}_2$ . Wannier-interpolation of the band structure of monolayer  $\text{Bi}_2$  over a wide energy range. Blue dashed lines are results from the present method, black solid lines are explicit DFT calculations. The yellow shaded region shows the range over which optimization has been performed. The interpolation error within the yellow region is 5 meV. The k-grid employed for NSCF calculation is  $6 \times 6$ .

## 10 Material: $\text{Bi}_2\text{O}_2\text{Br}_2$

The calculation files are appended below. These files should be executed in the order provided. The location of pseudo potentials should be changed accordingly.

```

---          scf.in ---
&CONTROL
calculation = 'scf'
verbosity = 'high'
restart_mode = 'from_scratch'
outdir = './'
pseudo_dir = '/scratch1/05193/sabyadk/2D_materials_Wann/Materials/Bi2O2Br2-9456e585/pseudo/'
prefix = 'hBN'
/
&SYSTEM
ibrav = 0
nat = 6
ntyp = 3
ecutwfc = 60
ecutrho = 240
assume_isolated = 2D
/
&ELECTRONS
conv_thr = 1E-12
diagonalization = 'david'
electron_maxstep = 200
/
ATOMIC_SPECIES
Bi 208.98 Bi_r.upf
Br 79.904 Br_r.upf
O 15.999 O_r.upf
ATOMIC_POSITIONS crystal
Bi 0.0 0.500000000013 0.050048632036
Bi 0.500000000013 0.0 0.949951367967
Br 0.500000000013 0.0 0.112781317778

```

```

Br 0.0 0.500000000013 0.88721868222
0 0.0 0.0 0.99999999999
0 0.500000000013 0.500000000013 0.99999999999

K_POINTS automatic
6 6 1 0 0 0

CELL_PARAMETERS angstrom
3.9323184065 0.0 2e-16
-2e-16 3.9323184065 2e-16
0.0 0.0 25.6724158506

```

```

---                nscf.in ---
&CONTROL
calculation = bands
verbosity = 'high'
restart_mode = 'from_scratch'
outdir = './'
pseudo_dir = '/scratch1/05193/sabyadk/2D_materials_Wann/Materials/Bi202Br2-9456e585/pseudo/'
prefix = 'hBN'
/
&SYSTEM
ibrav = 0
nat = 6
ntyp = 3
ecutwfc = 60
ecutrho = 240
assume_isolated = 2D
nbnd = 60
/
&ELECTRONS
conv_thr = 1E-10
diagonalization = 'david'
electron_maxstep = 200
/
ATOMIC_SPECIES
Bi 208.98 Bi_r.upf
Br 79.904 Br_r.upf
O 15.999 O_r.upf
ATOMIC_POSITIONS crystal
Bi 0.0 0.500000000013 0.050048632036
Bi 0.500000000013 0.0 0.949951367967
Br 0.500000000013 0.0 0.112781317778
Br 0.0 0.500000000013 0.88721868222
0 0.0 0.0 0.99999999999
0 0.500000000013 0.500000000013 0.99999999999

K_POINTS crystal
36
0.0 0.0 0.0 0.027778
0.0 0.16666666666666666 0.0 0.027778
0.0 0.33333333333333333 0.0 0.027778
0.0 0.5 0.0 0.027778
0.0 0.66666666666666666 0.0 0.027778
0.0 0.83333333333333333 0.0 0.027778
0.16666666666666666 0.0 0.0 0.027778
0.16666666666666666 0.16666666666666666 0.0 0.027778
0.16666666666666666 0.33333333333333333 0.0 0.027778
0.16666666666666666 0.5 0.0 0.027778
0.16666666666666666 0.66666666666666666 0.0 0.027778
0.16666666666666666 0.83333333333333333 0.0 0.027778
0.33333333333333333 0.0 0.0 0.027778
0.33333333333333333 0.16666666666666666 0.0 0.027778
0.33333333333333333 0.33333333333333333 0.0 0.027778
0.33333333333333333 0.5 0.0 0.027778
0.33333333333333333 0.66666666666666666 0.0 0.027778
0.33333333333333333 0.83333333333333333 0.0 0.027778
0.5 0.0 0.0 0.027778
0.5 0.16666666666666666 0.0 0.027778
0.5 0.33333333333333333 0.0 0.027778
0.5 0.5 0.0 0.027778
0.5 0.66666666666666666 0.0 0.027778
0.5 0.83333333333333333 0.0 0.027778
0.66666666666666666 0.0 0.0 0.027778
0.66666666666666666 0.16666666666666666 0.0 0.027778
0.66666666666666666 0.33333333333333333 0.0 0.027778
0.66666666666666666 0.5 0.0 0.027778
0.66666666666666666 0.66666666666666666 0.0 0.027778
0.66666666666666666 0.83333333333333333 0.0 0.027778
0.83333333333333333 0.0 0.0 0.027778
0.83333333333333333 0.16666666666666666 0.0 0.027778
0.83333333333333333 0.33333333333333333 0.0 0.027778
0.83333333333333333 0.5 0.0 0.027778

```

```
0.8333333333333333 0.6666666666666666 0.0 0.027778
0.8333333333333333 0.8333333333333333 0.0 0.027778
```

```
CELL_PARAMETERS angstrom
3.9323184065 0.0 2e-16
-2e-16 3.9323184065 2e-16
0.0 0.0 25.6724158506
```

```
---                epw1.in ---
&inputepw
prefix = 'hBN'
amass(1) = 208.98
amass(2) = 79.904
amass(3) = 15.999
outdir = './'
elph = .false.
epbwrite = .false.
epbread = .false.
epwwrite = .true.
epwread = .false.
etf_mem = 1
nbndsub = 20
use_ws = .true.
wannierize = .true.
num_iter = 1000
iprint = 2
dis_win_max = 14.552223668770235
dis_froz_max = -0.8187124823202439
fsthick = 1.2
temps = 1
degaussw = 0.005
dvscf_dir = './save'
nk1 = 6
nk2 = 6
nk3 = 1
nq1 = 1
nq2 = 1
nq3 = 1
system_2d = 'dipole_sp'
lpolar = .true.
dis_win_min = -26.99764830447704
wdata(1) = 'guiding_centres = T'
wdata(2) = 'dis_num_iter = 1500'
wdata(3) = 'bands_num_points = 100 '
wdata(4) = 'bands_plot = .true.'
wdata(5) = 'begin kpoint_path'
wdata(6) = 'G 0.0 0.0 0.0 M 0.5 0.0 0.0'
wdata(7) = 'M 0.5 0.0 0.0 K 0.3333333333 0.3333333333 0.0'
wdata(8) = 'K 0.3333333333 0.3333333333 0.0 X 1.0 1.0 0.0'
wdata(9) = 'X 1.0 1.0 0.0 M1 0.0 0.5 0.0'
wdata(10) = 'M1 0.0 0.5 0.0 G 0.0 0.0 0.0'
wdata(11) = 'end kpoint_path'
bands_skipped = 'exclude_bands = 1-16'
proj(1) = 'Bi: l= -5, mr= 4'
proj(2) = 'Br: l= -5, mr= 1,2,3,4,5,6'
proj(3) = 'O: l= -5, mr= 2,4,6'
dis_froz_min = -17.289685337203434
/
```

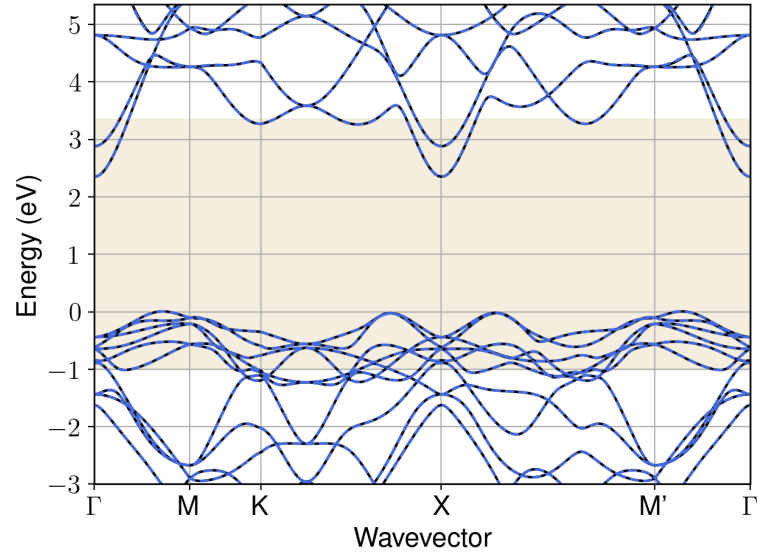


Figure S22: Bandstructure interpolation for monolayer  $\text{Bi}_2\text{O}_2\text{Br}_2$ . Wannier-interpolation of the band structure of monolayer  $\text{Bi}_2\text{O}_2\text{Br}_2$  over a wide energy range. Blue dashed lines are results from the present method, black solid lines are explicit DFT calculations. The yellow shaded region shows the range over which optimization has been performed. The interpolation error within the yellow region is 1 meV. The k-grid employed for NSCF calculation is  $6 \times 6$ .

## 11 Material: $\text{Bi}_2\text{O}_2\text{Cl}_2$

The calculation files are appended below. These files should be executed in the order provided. The location of pseudo potentials should be changed accordingly.

```

---          scf.in ---
&CONTROL
calculation = 'scf'
verbosity = 'high'
restart_mode = 'from_scratch'
outdir = './'
pseudo_dir = '/scratch1/05193/sabyadk/2D_materials_Wann/Materials/Bi2O2Cl2-Of240d53/pseudo/'
prefix = 'hBN'
/
&SYSTEM
ibrav = 0
nat = 6
ntyp = 3
ecutwfc = 60
ecutrho = 240
assume_isolated = 2D
/
&ELECTRONS
conv_thr = 1E-12
diagonalization = 'david'
electron_maxstep = 200
/
ATOMIC_SPECIES
Bi 208.98 Bi_r.upf
Cl 35.453 Cl_r.upf
O 15.999 O_r.upf
ATOMIC_POSITIONS crystal
Bi 0.0 0.500000000013 0.051186668654
Bi 0.500000000013 0.0 0.948813331345
Cl 0.500000000013 0.0 0.106985261628

```

```

Cl 0.0 0.500000000013 0.893014738375
0 0.0 0.0 0.999999999999
0 0.500000000013 0.500000000013 0.999999999999

```

```

K_POINTS automatic
6 6 1 0 0 0

```

```

CELL_PARAMETERS angstrom
3.8875324013 0.0 2e-16
-2e-16 3.8875324013 2e-16
0.0 0.0 25.2772052667

```

```

---                nscf.in ---
&CONTROL
calculation = bands
verbosity = 'high'
restart_mode = 'from_scratch'
outdir = './'
pseudo_dir = '/scratch1/05193/sabyadk/2D_materials_Wann/Materials/Bi202Cl2-Of240d53/pseudo/'
prefix = 'hBN'
/
&SYSTEM
ibrav = 0
nat = 6
ntyp = 3
ecutwfc = 60
ecutrho = 240
assume_isolated = 2D
nbnd = 60
/
&ELECTRONS
conv_thr = 1E-10
diagonalization = 'david'
electron_maxstep = 200
/
ATOMIC_SPECIES
Bi 208.98 Bi_r.upf
Cl 35.453 Cl_r.upf
O 15.999 O_r.upf
ATOMIC_POSITIONS crystal
Bi 0.0 0.500000000013 0.051186668654
Bi 0.500000000013 0.0 0.948813331345
Cl 0.500000000013 0.0 0.106985261628
Cl 0.0 0.500000000013 0.893014738375
0 0.0 0.0 0.999999999999
0 0.500000000013 0.500000000013 0.999999999999

K_POINTS crystal
36
0.0 0.0 0.0 0.027778
0.0 0.1666666666666666 0.0 0.027778
0.0 0.3333333333333333 0.0 0.027778
0.0 0.5 0.0 0.027778
0.0 0.6666666666666666 0.0 0.027778
0.0 0.8333333333333333 0.0 0.027778
0.1666666666666666 0.0 0.0 0.027778
0.1666666666666666 0.1666666666666666 0.0 0.027778
0.1666666666666666 0.3333333333333333 0.0 0.027778
0.1666666666666666 0.5 0.0 0.027778
0.1666666666666666 0.6666666666666666 0.0 0.027778
0.1666666666666666 0.8333333333333333 0.0 0.027778
0.3333333333333333 0.0 0.0 0.027778
0.3333333333333333 0.1666666666666666 0.0 0.027778
0.3333333333333333 0.3333333333333333 0.0 0.027778
0.3333333333333333 0.5 0.0 0.027778
0.3333333333333333 0.6666666666666666 0.0 0.027778
0.3333333333333333 0.8333333333333333 0.0 0.027778
0.5 0.0 0.0 0.027778
0.5 0.1666666666666666 0.0 0.027778
0.5 0.3333333333333333 0.0 0.027778
0.5 0.5 0.0 0.027778
0.5 0.6666666666666666 0.0 0.027778
0.5 0.8333333333333333 0.0 0.027778
0.6666666666666666 0.0 0.0 0.027778
0.6666666666666666 0.1666666666666666 0.0 0.027778
0.6666666666666666 0.3333333333333333 0.0 0.027778
0.6666666666666666 0.5 0.0 0.027778
0.6666666666666666 0.6666666666666666 0.0 0.027778
0.6666666666666666 0.8333333333333333 0.0 0.027778
0.8333333333333333 0.0 0.0 0.027778
0.8333333333333333 0.1666666666666666 0.0 0.027778
0.8333333333333333 0.3333333333333333 0.0 0.027778
0.8333333333333333 0.5 0.0 0.027778

```

```
0.8333333333333333 0.6666666666666666 0.0 0.027778
0.8333333333333333 0.8333333333333333 0.0 0.027778
```

```
CELL_PARAMETERS angstrom
3.8875324013 0.0 2e-16
-2e-16 3.8875324013 2e-16
0.0 0.0 25.2772052667
```

```
---                epw1.in ---
&inputepw
prefix = 'hBN'
amass(1) = 208.98
amass(2) = 35.453
amass(3) = 15.999
outdir = './'
elph = .false.
epbwrite = .false.
epbread = .false.
epwwrite = .true.
epwread = .false.
etf_mem = 1
nbndsub = 16
use_ws = .true.
wannierize = .true.
num_iter = 1000
iprint = 2
dis_win_max = 8.404325802038612
dis_froz_max = -3.0506417323063184
fsthick = 1.2
temps = 1
degaussw = 0.005
dvscf_dir = './save'
nk1 = 6
nk2 = 6
nk3 = 1
nq1 = 1
nq2 = 1
nq3 = 1
system_2d = 'dipole_sp'
lpolar = .true.
dis_win_min = -21.91732626316754
wdata(1) = 'guiding_centres = T'
wdata(2) = 'dis_num_iter = 1500'
wdata(3) = 'bands_num_points = 100 '
wdata(4) = 'bands_plot = .true.'
wdata(5) = 'begin kpoint_path'
wdata(6) = 'G 0.0 0.0 0.0 M 0.5 0.0 0.0'
wdata(7) = 'M 0.5 0.0 0.0 K 0.3333333333 0.3333333333 0.0'
wdata(8) = 'K 0.3333333333 0.3333333333 0.0 X 1.0 1.0 0.0'
wdata(9) = 'X 1.0 1.0 0.0 M1 0.0 0.5 0.0'
wdata(10) = 'M1 0.0 0.5 0.0 G 0.0 0.0 0.0'
wdata(11) = 'end kpoint_path'
bands_skipped = 'exclude_bands = 1-16'
proj(1) = 'Bi: l= 3, mr= 7'
proj(2) = 'Cl: l= -5, mr= 5'
proj(3) = 'O: l= 3, mr= 1,2,3,5,6,7'
dis_froz_min = -11.215654139440723
/
```

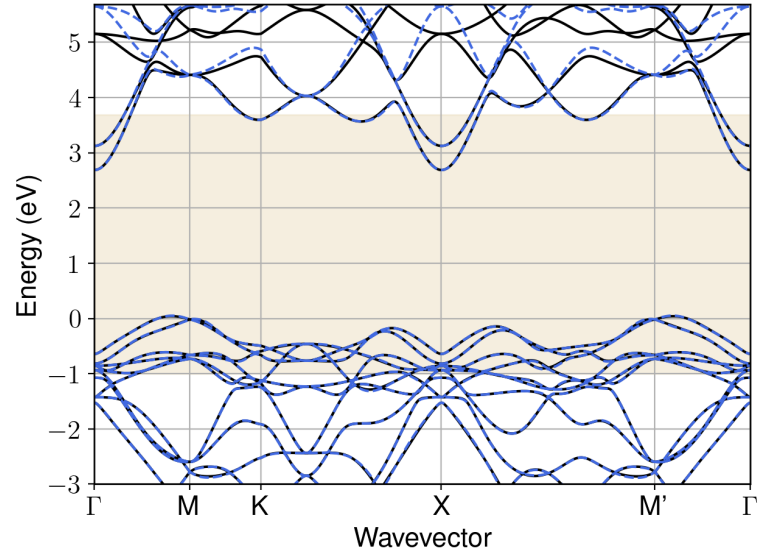


Figure S23: Bandstructure interpolation for monolayer  $\text{Bi}_2\text{O}_2\text{Cl}_2$ . Wannier-interpolation of the band structure of monolayer  $\text{Bi}_2\text{O}_2\text{Cl}_2$  over a wide energy range. Blue dashed lines are results from the present method, black solid lines are explicit DFT calculations. The yellow shaded region shows the range over which optimization has been performed. The interpolation error within the yellow region is 6 meV. The k-grid employed for NSCF calculation is  $6 \times 6$ .

## 12 Material: $\text{Bi}_2\text{O}_2\text{I}_2$

The calculation files are appended below. These files should be executed in the order provided. The location of pseudo potentials should be changed accordingly.

```

---          scf.in ---
&CONTROL
calculation = 'scf'
verbosity = 'high'
restart_mode = 'from_scratch'
outdir = './'
pseudo_dir = '/scratch1/05193/sabyadk/2D_materials_Wann/Materials/Bi202I2-000ce1ea/pseudo/'
prefix = 'hBN'
/
&SYSTEM
ibrav = 0
nat = 6
ntyp = 3
ecutwfc = 60
ecutrho = 240
assume_isolated = 2D
/
&ELECTRONS
conv_thr = 1E-12
diagonalization = 'david'
electron_maxstep = 200
/
ATOMIC_SPECIES
Bi 208.98 Bi_r.upf
I 126.904 I_r.upf
O 15.999 O_r.upf
ATOMIC_POSITIONS crystal
Bi 0.0 0.5 0.047334015067
Bi 0.5 0.0 0.952665984932
I 0.5 0.0 0.119333324866

```



```

I 0.0 0.5 0.880666675137
O 0.0 0.0 0.999999999999
O 0.5 0.5 0.999999999999

K_POINTS automatic
6 6 1 0 0 0

CELL_PARAMETERS angstrom
4.0267008388 0.0 2e-16
-2e-16 4.0267008388 2e-16
0.0 0.0 26.2985482455

```

```

---                nscf.in ---
&CONTROL
calculation = bands
verbosity = 'high'
restart_mode = 'from_scratch'
outdir = './'
pseudo_dir = '/scratch1/05193/sabyadk/2D_materials_Wann/Materials/Bi202I2-000ce1ea/pseudo/'
prefix = 'hBN'
/
&SYSTEM
ibrav = 0
nat = 6
ntyp = 3
ecutwfc = 60
ecutrho = 240
assume_isolated = 2D
nbnd = 60
/
&ELECTRONS
conv_thr = 1E-10
diagonalization = 'david'
electron_maxstep = 200
/
ATOMIC_SPECIES
Bi 208.98 Bi_r.upf
I 126.904 I_r.upf
O 15.999 O_r.upf
ATOMIC_POSITIONS crystal
Bi 0.0 0.5 0.047334015067
Bi 0.5 0.0 0.952665984932
I 0.5 0.0 0.119333324866
I 0.0 0.5 0.880666675137
O 0.0 0.0 0.999999999999
O 0.5 0.5 0.999999999999

K_POINTS crystal
36
0.0 0.0 0.0 0.027778
0.0 0.16666666666666666 0.0 0.027778
0.0 0.33333333333333333 0.0 0.027778
0.0 0.5 0.0 0.027778
0.0 0.66666666666666666 0.0 0.027778
0.0 0.83333333333333333 0.0 0.027778
0.16666666666666666 0.0 0.0 0.027778
0.16666666666666666 0.16666666666666666 0.0 0.027778
0.16666666666666666 0.33333333333333333 0.0 0.027778
0.16666666666666666 0.5 0.0 0.027778
0.16666666666666666 0.66666666666666666 0.0 0.027778
0.16666666666666666 0.83333333333333333 0.0 0.027778
0.33333333333333333 0.0 0.0 0.027778
0.33333333333333333 0.16666666666666666 0.0 0.027778
0.33333333333333333 0.33333333333333333 0.0 0.027778
0.33333333333333333 0.5 0.0 0.027778
0.33333333333333333 0.66666666666666666 0.0 0.027778
0.33333333333333333 0.83333333333333333 0.0 0.027778
0.5 0.0 0.0 0.027778
0.5 0.16666666666666666 0.0 0.027778
0.5 0.33333333333333333 0.0 0.027778
0.5 0.5 0.0 0.027778
0.5 0.66666666666666666 0.0 0.027778
0.5 0.83333333333333333 0.0 0.027778
0.66666666666666666 0.0 0.0 0.027778
0.66666666666666666 0.16666666666666666 0.0 0.027778
0.66666666666666666 0.33333333333333333 0.0 0.027778
0.66666666666666666 0.5 0.0 0.027778
0.66666666666666666 0.66666666666666666 0.0 0.027778
0.66666666666666666 0.83333333333333333 0.0 0.027778
0.83333333333333333 0.0 0.0 0.027778
0.83333333333333333 0.16666666666666666 0.0 0.027778
0.83333333333333333 0.33333333333333333 0.0 0.027778
0.83333333333333333 0.5 0.0 0.027778

```

```
0.8333333333333333 0.6666666666666666 0.0 0.027778
0.8333333333333333 0.8333333333333333 0.0 0.027778
```

```
CELL_PARAMETERS angstrom
4.0267008388 0.0 2e-16
-2e-16 4.0267008388 2e-16
0.0 0.0 26.2985482455
```

```
---                epw1.in ---
&inputepw
prefix = 'hBN'
amass(1) = 208.98
amass(2) = 126.904
amass(3) = 15.999
outdir = './'
elph = .false.
epbwrite = .false.
epbread = .false.
epwwrite = .true.
epwread = .false.
etf_mem = 1
nbndsub = 16
use_ws = .true.
wannierize = .true.
num_iter = 1000
iprint = 2
dis_win_max = 13.134351642951218
dis_froz_max = -1.192929383233388
fsthick = 1.2
temps = 1
degaussw = 0.005
dvscf_dir = './save'
nk1 = 6
nk2 = 6
nk3 = 1
nq1 = 1
nq2 = 1
nq3 = 1
system_2d = 'dipole_sp'
lpolar = .true.
dis_win_min = -25.53617380737888
wdata(1) = 'guiding_centres = T'
wdata(2) = 'dis_num_iter = 1500'
wdata(3) = 'bands_num_points = 100 '
wdata(4) = 'bands_plot = .true.'
wdata(5) = 'begin kpoint_path'
wdata(6) = 'G 0.0 0.0 0.0 M 0.5 0.0 0.0'
wdata(7) = 'M 0.5 0.0 0.0 K 0.3333333333 0.3333333333 0.0'
wdata(8) = 'K 0.3333333333 0.3333333333 0.0 X 1.0 1.0 0.0'
wdata(9) = 'X 1.0 1.0 0.0 M1 0.0 0.5 0.0'
wdata(10) = 'M1 0.0 0.5 0.0 G 0.0 0.0 0.0'
wdata(11) = 'end kpoint_path'
bands_skipped = 'exclude_bands = 1-16'
proj(1) = 'Bi: l= 2, mr= 1,3'
proj(2) = 'I: l= 3, mr= 4,5,6'
proj(3) = 'O: l= 3, mr= 1,3,6'
dis_froz_min = -9.18424551345227
/
```

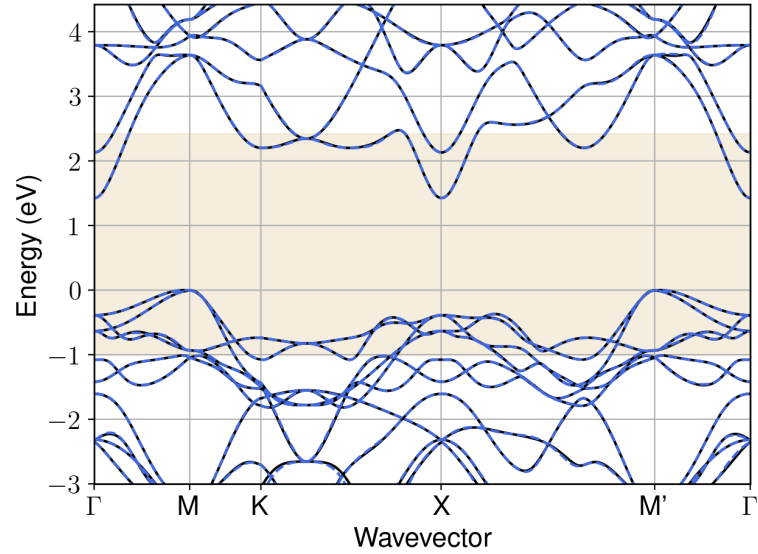


Figure S24: Bandstructure interpolation for monolayer  $\text{Bi}_2\text{O}_2\text{I}_2$ . Wannier-interpolation of the band structure of monolayer  $\text{Bi}_2\text{O}_2\text{I}_2$  over a wide energy range. Blue dashed lines are results from the present method, black solid lines are explicit DFT calculations. The yellow shaded region shows the range over which optimization has been performed. The interpolation error within the yellow region is 4 meV. The k-grid employed for NSCF calculation is  $6 \times 6$ .

### 13 Material: $\text{Bi}_2\text{Se}_3$

The calculation files are appended below. These files should be executed in the order provided. The location of pseudo potentials should be changed accordingly.

```

---          scf.in ---
&CONTROL
calculation = 'scf'
verbosity = 'high'
restart_mode = 'from_scratch'
outdir = './'
pseudo_dir = '/scratch1/05193/sabyadk/2D_materials_Wann/Materials/Bi2Se3-640d941f/pseudo/'
prefix = 'hBN'
/
&SYSTEM
ibrav = 0
nat = 5
ntyp = 2
ecutwfc = 60
ecutrho = 240
assume_isolated = 2D
/
&ELECTRONS
conv_thr = 1E-12
diagonalization = 'david'
electron_maxstep = 200
/
ATOMIC_SPECIES
Bi 208.98 Bi_r.upf
Se 78.971 Se_r.upf
ATOMIC_POSITIONS crystal
Bi 0.3333333333333333 0.6666666666666666 0.927257705989
Bi 1e-11 0.999999999972 0.072742294013
Se 0.3333333333333333 0.6666666666666666 0.131268724209
Se 0.6666666666666666 0.3333333333333333 0.999999999999

```

```

Se 1e-11 0.99999999972 0.868731275789

K_POINTS automatic
6 6 1 0 0 0

CELL_PARAMETERS angstrom
4.1571147163 0.0 3e-16
-2.0785573582001935 3.6001669509003924 3e-16
0.0 0.0 27.028163862

```

```

--- nscf.in ---
&CONTROL
calculation = bands
verbosity = 'high'
restart_mode = 'from_scratch'
outdir = './'
pseudo_dir = '/scratch1/05193/sabyadk/2D_materials_Wann/Materials/Bi2Se3-640d941f/pseudo/'
prefix = 'hBN'
/
&SYSTEM
ibrav = 0
nat = 5
ntyp = 2
ecutwfc = 60
ecutrho = 240
assume_isolated = 2D
nbnd = 60
/
&ELECTRONS
conv_thr = 1E-10
diagonalization = 'david'
electron_maxstep = 200
/
ATOMIC_SPECIES
Bi 208.98 Bi_r.upf
Se 78.971 Se_r.upf
ATOMIC_POSITIONS crystal
Bi 0.3333333333333333 0.6666666666666666 0.927257705989
Bi 1e-11 0.99999999972 0.072742294013
Se 0.3333333333333333 0.6666666666666666 0.131268724209
Se 0.6666666666666666 0.3333333333333333 0.999999999999
Se 1e-11 0.99999999972 0.868731275789

K_POINTS crystal
36
0.0 0.0 0.0 0.027778
0.0 0.1666666666666666 0.0 0.027778
0.0 0.3333333333333333 0.0 0.027778
0.0 0.5 0.0 0.027778
0.0 0.6666666666666666 0.0 0.027778
0.0 0.8333333333333333 0.0 0.027778
0.1666666666666666 0.0 0.0 0.027778
0.1666666666666666 0.1666666666666666 0.0 0.027778
0.1666666666666666 0.3333333333333333 0.0 0.027778
0.1666666666666666 0.5 0.0 0.027778
0.1666666666666666 0.6666666666666666 0.0 0.027778
0.1666666666666666 0.8333333333333333 0.0 0.027778
0.3333333333333333 0.0 0.0 0.027778
0.3333333333333333 0.1666666666666666 0.0 0.027778
0.3333333333333333 0.3333333333333333 0.0 0.027778
0.3333333333333333 0.5 0.0 0.027778
0.3333333333333333 0.6666666666666666 0.0 0.027778
0.3333333333333333 0.8333333333333333 0.0 0.027778
0.5 0.0 0.0 0.027778
0.5 0.1666666666666666 0.0 0.027778
0.5 0.3333333333333333 0.0 0.027778
0.5 0.5 0.0 0.027778
0.5 0.6666666666666666 0.0 0.027778
0.5 0.8333333333333333 0.0 0.027778
0.6666666666666666 0.0 0.0 0.027778
0.6666666666666666 0.1666666666666666 0.0 0.027778
0.6666666666666666 0.3333333333333333 0.0 0.027778
0.6666666666666666 0.5 0.0 0.027778
0.6666666666666666 0.6666666666666666 0.0 0.027778
0.6666666666666666 0.8333333333333333 0.0 0.027778
0.8333333333333333 0.0 0.0 0.027778
0.8333333333333333 0.1666666666666666 0.0 0.027778
0.8333333333333333 0.3333333333333333 0.0 0.027778
0.8333333333333333 0.5 0.0 0.027778
0.8333333333333333 0.6666666666666666 0.0 0.027778
0.8333333333333333 0.8333333333333333 0.0 0.027778

CELL_PARAMETERS angstrom

```

```

4.1571147163 0.0 3e-16
-2.0785573582001935 3.6001669509003924 3e-16
0.0 0.0 27.028163862

```

```

---                epw1.in ---
&inputepw
prefix = 'hBN'
amass(1) = 208.98
amass(2) = 78.971
outdir = './'
elph = .false.
epbwrite = .false.
epbread = .false.
epwwrite = .true.
epwread = .false.
etf_mem = 1
nbndsub = 15
use_ws = .true.
wannierize = .true.
num_iter = 1000
iprint = 2
dis_win_max = 5.97613794254559
dis_froz_max = -3.2737915134963327
fsthick = 1.2
temps = 1
degaussw = 0.005
dvscf_dir = './save'
nk1 = 6
nk2 = 6
nk3 = 1
nq1 = 1
nq2 = 1
nq3 = 1
system_2d = 'dipole_sp'
lpolar = .true.
dis_win_min = -17.258439930647878
wdata(1) = 'guiding_centres = T'
wdata(2) = 'dis_num_iter = 1500'
wdata(3) = 'bands_num_points = 100 '
wdata(4) = 'bands_plot = .true.'
wdata(5) = 'begin kpoint_path'
wdata(6) = 'G 0.0 0.0 0.0 M 0.5 0.0 0.0'
wdata(7) = 'M 0.5 0.0 0.0 K 0.3333333333 0.3333333333 0.0'
wdata(8) = 'K 0.3333333333 0.3333333333 0.0 X 1.0 1.0 0.0'
wdata(9) = 'X 1.0 1.0 0.0 M1 0.0 0.5 0.0'
wdata(10) = 'M1 0.0 0.5 0.0 G 0.0 0.0 0.0'
wdata(11) = 'end kpoint_path'
bands_skipped = 'exclude_bands = 1-30'
proj(1) = 'Bi: l= 3, mr= 1,2,4'
proj(2) = 'Se: l= -5, mr= 3,5,6'
dis_froz_min = -16.31774796756652
/

```

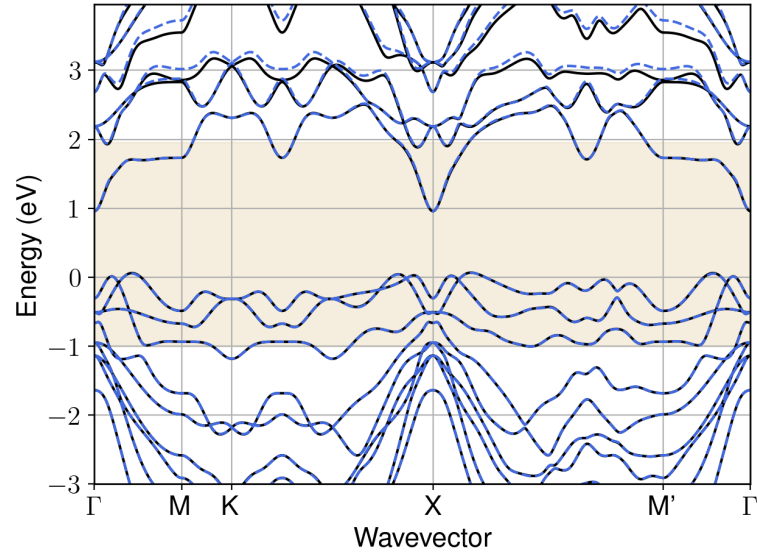


Figure S25: Bandstructure interpolation for monolayer  $\text{Bi}_2\text{Se}_3$ . Wannier-interpolation of the band structure of monolayer  $\text{Bi}_2\text{Se}_3$  over a wide energy range. Blue dashed lines are results from the present method, black solid lines are explicit DFT calculations. The yellow shaded region shows the range over which optimization has been performed. The interpolation error within the yellow region is 4 meV. The k-grid employed for NSCF calculation is  $6 \times 6$ .

## 14 Material: $\text{Bi}_2\text{Te}_2\text{S}$

The calculation files are appended below. These files should be executed in the order provided. The location of pseudo potentials should be changed accordingly.

```

---          scf.in ---
&CONTROL
calculation = 'scf'
verbosity = 'high'
restart_mode = 'from_scratch'
outdir = './'
pseudo_dir = '/scratch1/05193/sabyadk/2D_materials_Wann/Materials/Bi2Te2S-2489356c/pseudo/'
prefix = 'hBN'
/
&SYSTEM
ibrav = 0
nat = 5
ntyp = 3
ecutwfc = 60
ecutrho = 240
assume_isolated = 2D
/
&ELECTRONS
conv_thr = 1E-12
diagonalization = 'david'
electron_maxstep = 200
/
ATOMIC_SPECIES
Bi 208.98 Bi_r.upf
Te 126.7 Te_r.upf
S 32.066 S_r.upf
ATOMIC_POSITIONS crystal
Bi 0.6666666666666666 0.3333333333333333 0.065511006929
Bi 0.0 0.0 0.934488993071
Te 0.6666666666666666 0.3333333333333333 0.8680226735050001

```

```

Te 0.0 0.0 0.131977326495
S 0.3333333333333333 0.6666666666666666 0.0

K_POINTS automatic
6 6 1 0 0 0

CELL_PARAMETERS angstrom
4.2535585781 0.0 3e-16
-2.1267792892000634 3.683689785100148 3e-16
0.0 0.0 27.1371775344

```

```

---                nscf.in ---
&CONTROL
calculation = bands
verbosity = 'high'
restart_mode = 'from_scratch'
outdir = './'
pseudo_dir = '/scratch1/05193/sabyadk/2D_materials_Wann/Materials/Bi2Te2S-2489356c/pseudo/'
prefix = 'hBN'
/
&SYSTEM
ibrav = 0
nat = 5
ntyp = 3
ecutwfc = 60
ecutrho = 240
assume_isolated = 2D
nbnd = 60
/
&ELECTRONS
conv_thr = 1E-10
diagonalization = 'david'
electron_maxstep = 200
/
ATOMIC_SPECIES
Bi 208.98 Bi_r.upf
Te 126.7 Te_r.upf
S 32.066 S_r.upf
ATOMIC_POSITIONS crystal
Bi 0.6666666666666666 0.3333333333333333 0.065511006929
Bi 0.0 0.0 0.934488993071
Te 0.6666666666666666 0.3333333333333333 0.8680226735050001
Te 0.0 0.0 0.131977326495
S 0.3333333333333333 0.6666666666666666 0.0

K_POINTS crystal
36
0.0 0.0 0.0 0.027778
0.0 0.1666666666666666 0.0 0.027778
0.0 0.3333333333333333 0.0 0.027778
0.0 0.5 0.0 0.027778
0.0 0.6666666666666666 0.0 0.027778
0.0 0.8333333333333333 0.0 0.027778
0.1666666666666666 0.0 0.0 0.027778
0.1666666666666666 0.1666666666666666 0.0 0.027778
0.1666666666666666 0.3333333333333333 0.0 0.027778
0.1666666666666666 0.5 0.0 0.027778
0.1666666666666666 0.6666666666666666 0.0 0.027778
0.1666666666666666 0.8333333333333333 0.0 0.027778
0.3333333333333333 0.0 0.0 0.027778
0.3333333333333333 0.1666666666666666 0.0 0.027778
0.3333333333333333 0.3333333333333333 0.0 0.027778
0.3333333333333333 0.5 0.0 0.027778
0.3333333333333333 0.6666666666666666 0.0 0.027778
0.3333333333333333 0.8333333333333333 0.0 0.027778
0.5 0.0 0.0 0.027778
0.5 0.1666666666666666 0.0 0.027778
0.5 0.3333333333333333 0.0 0.027778
0.5 0.5 0.0 0.027778
0.5 0.6666666666666666 0.0 0.027778
0.5 0.8333333333333333 0.0 0.027778
0.6666666666666666 0.0 0.0 0.027778
0.6666666666666666 0.1666666666666666 0.0 0.027778
0.6666666666666666 0.3333333333333333 0.0 0.027778
0.6666666666666666 0.5 0.0 0.027778
0.6666666666666666 0.6666666666666666 0.0 0.027778
0.6666666666666666 0.8333333333333333 0.0 0.027778
0.8333333333333333 0.0 0.0 0.027778
0.8333333333333333 0.1666666666666666 0.0 0.027778
0.8333333333333333 0.3333333333333333 0.0 0.027778
0.8333333333333333 0.5 0.0 0.027778
0.8333333333333333 0.6666666666666666 0.0 0.027778
0.8333333333333333 0.8333333333333333 0.0 0.027778

```

```

CELL_PARAMETERS angstrom
4.2535585781 0.0 3e-16
-2.1267792892000634 3.683689785100148 3e-16
0.0 0.0 27.1371775344

```

```

---                epw1.in ---
&inputepw
prefix = 'hBN'
amass(1) = 208.98
amass(2) = 126.7
amass(3) = 32.066
outdir = './'
elph = .false.
epbwrite = .false.
epbread = .false.
epwwrite = .true.
epwread = .false.
etf_mem = 1
nbndsub = 18
use_ws = .true.
wannierize = .true.
num_iter = 1000
iprint = 2
dis_win_max = 11.389585753076927
dis_froz_max = -0.3597960681459287
fsthick = 1.2
temps = 1
degaussw = 0.005
dvscf_dir = './save'
nk1 = 6
nk2 = 6
nk3 = 1
nq1 = 1
nq2 = 1
nq3 = 1
system_2d = 'dipole_sp'
lpolar = .true.
dis_win_min = -26.10946812263411
wdata(1) = 'guiding_centres = T'
wdata(2) = 'dis_num_iter = 1500'
wdata(3) = 'bands_num_points = 100 '
wdata(4) = 'bands_plot = .true.'
wdata(5) = 'begin kpoint_path'
wdata(6) = 'G 0.0 0.0 0.0 M 0.5 0.0 0.0'
wdata(7) = 'M 0.5 0.0 0.0 K 0.3333333333 0.3333333333 0.0'
wdata(8) = 'K 0.3333333333 0.3333333333 0.0 X 1.0 1.0 0.0'
wdata(9) = 'X 1.0 1.0 0.0 M1 0.0 0.5 0.0'
wdata(10) = 'M1 0.0 0.5 0.0 G 0.0 0.0 0.0'
wdata(11) = 'end kpoint_path'
bands_skipped = 'exclude_bands = 1-25'
proj(1) = 'Bi: l= 3, mr= 1,4,6,7'
proj(2) = 'Te: l= 3, mr= 2,3,5,6'
proj(3) = 'S: l= 2, mr= 1,5'
dis_froz_min = -14.555925229949615
/

```



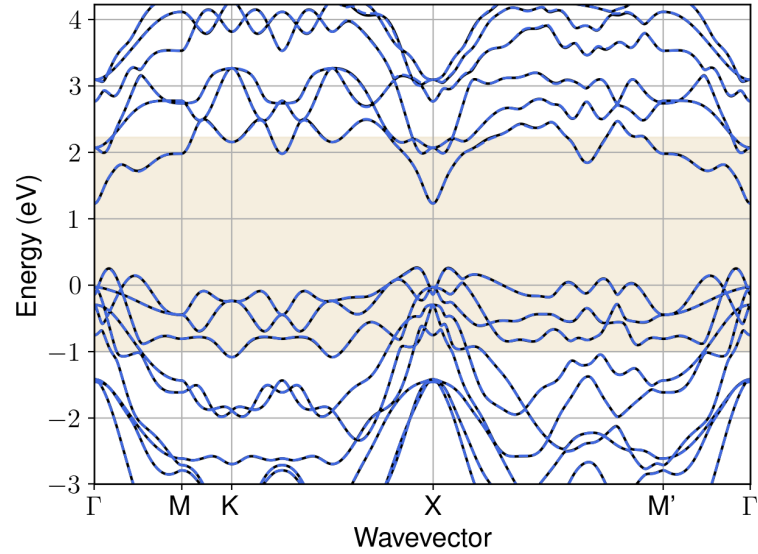


Figure S26: Bandstructure interpolation for monolayer  $\text{Bi}_2\text{Te}_2\text{S}$ . Wannier-interpolation of the band structure of monolayer  $\text{Bi}_2\text{Te}_2\text{S}$  over a wide energy range. Blue dashed lines are results from the present method, black solid lines are explicit DFT calculations. The yellow shaded region shows the range over which optimization has been performed. The interpolation error within the yellow region is 4 meV. The k-grid employed for NSCF calculation is  $6 \times 6$ .

## 15 Material: $\text{Bi}_2\text{Te}_2\text{S}$

The calculation files are appended below. These files should be executed in the order provided. The location of pseudo potentials should be changed accordingly.

```

---          scf.in ---
&CONTROL
calculation = 'scf'
verbosity = 'high'
restart_mode = 'from_scratch'
outdir = './'
pseudo_dir = '/scratch1/05193/sabyadk/2D_materials_Wann/Materials/Bi2Te2S-ace96a17/pseudo/'
prefix = 'hBN'
/
&SYSTEM
ibrav = 0
nat = 5
ntyp = 3
ecutwfc = 60
ecutrho = 240
assume_isolated = 2D
/
&ELECTRONS
conv_thr = 1E-12
diagonalization = 'david'
electron_maxstep = 200
/
ATOMIC_SPECIES
Bi 208.98 Bi_r.upf
Te 126.7 Te_r.upf
S 32.066 S_r.upf
ATOMIC_POSITIONS crystal
Bi 0.0 0.0 0.916840359628
Bi 0.3333333333333333 0.6666666666666666 0.074901514347
Te 0.0 0.0 0.141797499085

```

```

Te 0.6666666666666666 0.3333333333333333 0.996911275928
S 0.3333333333333333 0.6666666666666666 0.869549351012

K_POINTS automatic
6 6 1 0 0 0

CELL_PARAMETERS angstrom
4.2688654517 0.0 3e-16
-2.134432725899812 3.6969459264996485 3e-16
0.0 0.0 27.1423439373

```

```

---                nscf.in ---
&CONTROL
calculation = bands
verbosity = 'high'
restart_mode = 'from_scratch'
outdir = './'
pseudo_dir = '/scratch1/05193/sabyadk/2D_materials_Wann/Materials/Bi2Te2S-ace96a17/pseudo/'
prefix = 'hBN'
/
&SYSTEM
ibrav = 0
nat = 5
ntyp = 3
ecutwfc = 60
ecutrho = 240
assume_isolated = 2D
nbnd = 60
/
&ELECTRONS
conv_thr = 1E-10
diagonalization = 'david'
electron_maxstep = 200
/
ATOMIC_SPECIES
Bi 208.98 Bi_r.upf
Te 126.7 Te_r.upf
S 32.066 S_r.upf
ATOMIC_POSITIONS crystal
Bi 0.0 0.0 0.916840359628
Bi 0.3333333333333333 0.6666666666666666 0.074901514347
Te 0.0 0.0 0.141797499085
Te 0.6666666666666666 0.3333333333333333 0.996911275928
S 0.3333333333333333 0.6666666666666666 0.869549351012

K_POINTS crystal
36
0.0 0.0 0.0 0.027778
0.0 0.1666666666666666 0.0 0.027778
0.0 0.3333333333333333 0.0 0.027778
0.0 0.5 0.0 0.027778
0.0 0.6666666666666666 0.0 0.027778
0.0 0.8333333333333333 0.0 0.027778
0.1666666666666666 0.0 0.0 0.027778
0.1666666666666666 0.1666666666666666 0.0 0.027778
0.1666666666666666 0.3333333333333333 0.0 0.027778
0.1666666666666666 0.5 0.0 0.027778
0.1666666666666666 0.6666666666666666 0.0 0.027778
0.1666666666666666 0.8333333333333333 0.0 0.027778
0.3333333333333333 0.0 0.0 0.027778
0.3333333333333333 0.1666666666666666 0.0 0.027778
0.3333333333333333 0.3333333333333333 0.0 0.027778
0.3333333333333333 0.5 0.0 0.027778
0.3333333333333333 0.6666666666666666 0.0 0.027778
0.3333333333333333 0.8333333333333333 0.0 0.027778
0.5 0.0 0.0 0.027778
0.5 0.1666666666666666 0.0 0.027778
0.5 0.3333333333333333 0.0 0.027778
0.5 0.5 0.0 0.027778
0.5 0.6666666666666666 0.0 0.027778
0.5 0.8333333333333333 0.0 0.027778
0.6666666666666666 0.0 0.0 0.027778
0.6666666666666666 0.1666666666666666 0.0 0.027778
0.6666666666666666 0.3333333333333333 0.0 0.027778
0.6666666666666666 0.5 0.0 0.027778
0.6666666666666666 0.6666666666666666 0.0 0.027778
0.6666666666666666 0.8333333333333333 0.0 0.027778
0.8333333333333333 0.0 0.0 0.027778
0.8333333333333333 0.1666666666666666 0.0 0.027778
0.8333333333333333 0.3333333333333333 0.0 0.027778
0.8333333333333333 0.5 0.0 0.027778
0.8333333333333333 0.6666666666666666 0.0 0.027778
0.8333333333333333 0.8333333333333333 0.0 0.027778

```

```

CELL_PARAMETERS angstrom
4.2688654517 0.0 3e-16
-2.134432725899812 3.6969459264996485 3e-16
0.0 0.0 27.1423439373

```

```

---                epw1.in ---
&inputepw
prefix = 'hBN'
amass(1) = 208.98
amass(2) = 126.7
amass(3) = 32.066
outdir = './'
elph = .false.
epbwrite = .false.
epbread = .false.
epwwrite = .true.
epwread = .false.
etf_mem = 1
nbndsub = 16
use_ws = .true.
wannierize = .true.
num_iter = 1000
iprint = 2
dis_win_max = 11.228492679804303
dis_froz_max = -0.7294583574310738
fsthick = 1.2
temps = 1
degaussw = 0.005
dvscf_dir = './save'
nk1 = 6
nk2 = 6
nk3 = 1
nq1 = 1
nq2 = 1
nq3 = 1
system_2d = 'dipole_sp'
lpolar = .true.
dis_win_min = -26.122369838262983
wdata(1) = 'guiding_centres = T'
wdata(2) = 'dis_num_iter = 1500'
wdata(3) = 'bands_num_points = 100 '
wdata(4) = 'bands_plot = .true.'
wdata(5) = 'begin kpoint_path'
wdata(6) = 'G 0.0 0.0 0.0 M 0.5 0.0 0.0'
wdata(7) = 'M 0.5 0.0 0.0 K 0.3333333333 0.3333333333 0.0'
wdata(8) = 'K 0.3333333333 0.3333333333 0.0 X 1.0 1.0 0.0'
wdata(9) = 'X 1.0 1.0 0.0 M1 0.0 0.5 0.0'
wdata(10) = 'M1 0.0 0.5 0.0 G 0.0 0.0 0.0'
wdata(11) = 'end kpoint_path'
bands_skipped = 'exclude_bands = 1-25'
proj(1) = 'Bi: l= 3, mr= 2,3,4,5'
proj(2) = 'Te: l= 3, mr= 1,4,5'
proj(3) = 'S: l= -4, mr= 3,4'
dis_froz_min = -11.404246595900185
/

```

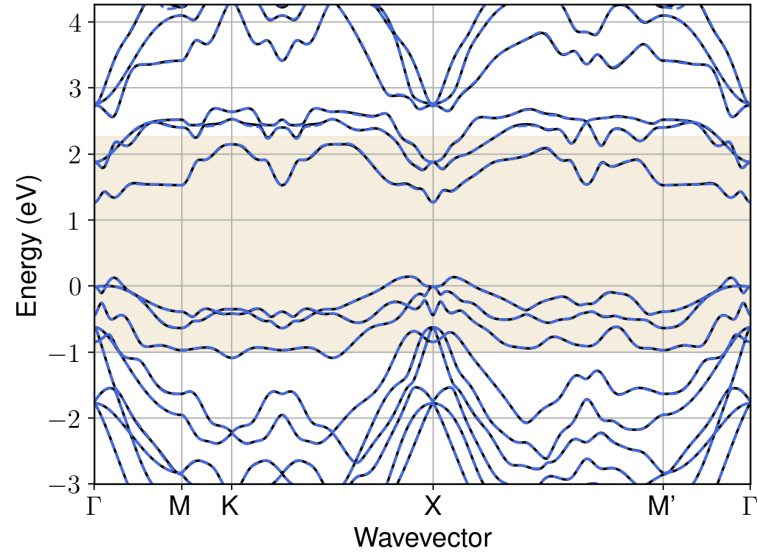


Figure S27: Bandstructure interpolation for monolayer  $\text{Bi}_2\text{Te}_2\text{S}$ . Wannier-interpolation of the band structure of monolayer  $\text{Bi}_2\text{Te}_2\text{S}$  over a wide energy range. Blue dashed lines are results from the present method, black solid lines are explicit DFT calculations. The yellow shaded region shows the range over which optimization has been performed. The interpolation error within the yellow region is 5 meV. The k-grid employed for NSCF calculation is  $6 \times 6$ .

## 16 Material: $\text{Bi}_2\text{Te}_2\text{Se}$

The calculation files are appended below. These files should be executed in the order provided. The location of pseudo potentials should be changed accordingly.

```

---          scf.in ---
&CONTROL
calculation = 'scf'
verbosity = 'high'
restart_mode = 'from_scratch'
outdir = './'
pseudo_dir = '/scratch1/05193/sabyadk/2D_materials_Wann/Materials/Bi2Te2Se-7c8a82a8/pseudo/'
prefix = 'hBN'
/
&SYSTEM
ibrav = 0
nat = 5
ntyp = 3
ecutwfc = 60
ecutrho = 240
assume_isolated = 2D
/
&ELECTRONS
conv_thr = 1E-12
diagonalization = 'david'
electron_maxstep = 200
/
ATOMIC_SPECIES
Bi 208.98 Bi_r.upf
Te 126.7 Te_r.upf
Se 78.971 Se_r.upf
ATOMIC_POSITIONS crystal
Bi 0.0 0.0 0.930765126604
Bi 0.6666666666666666 0.3333333333333333 0.069234873398
Te 0.0 0.0 0.13447398676

```

```

Te 0.6666666666666666 0.3333333333333333 0.865526013234
Se 0.3333333333333333 0.6666666666666666 4e-12

K_POINTS automatic
6 6 1 0 0 0

CELL_PARAMETERS angstrom
4.3027290791 0.0 3e-16
-2.1513645395998164 3.7262726881997237 3e-16
0.0 0.0 27.3357123894

```

```

---                nscf.in ---
&CONTROL
calculation = bands
verbosity = 'high'
restart_mode = 'from_scratch'
outdir = './'
pseudo_dir = '/scratch1/05193/sabyadk/2D_materials_Wann/Materials/Bi2Te2Se-7c8a82a8/pseudo/'
prefix = 'hBN'
/
&SYSTEM
ibrav = 0
nat = 5
ntyp = 3
ecutwfc = 60
ecutrho = 240
assume_isolated = 2D
nbnd = 60
/
&ELECTRONS
conv_thr = 1E-10
diagonalization = 'david'
electron_maxstep = 200
/
ATOMIC_SPECIES
Bi 208.98 Bi_r.upf
Te 126.7 Te_r.upf
Se 78.971 Se_r.upf
ATOMIC_POSITIONS crystal
Bi 0.0 0.0 0.930765126604
Bi 0.6666666666666666 0.3333333333333333 0.069234873398
Te 0.0 0.0 0.13447398676
Te 0.6666666666666666 0.3333333333333333 0.865526013234
Se 0.3333333333333333 0.6666666666666666 4e-12

K_POINTS crystal
36
0.0 0.0 0.0 0.027778
0.0 0.1666666666666666 0.0 0.027778
0.0 0.3333333333333333 0.0 0.027778
0.0 0.5 0.0 0.027778
0.0 0.6666666666666666 0.0 0.027778
0.0 0.8333333333333333 0.0 0.027778
0.1666666666666666 0.0 0.0 0.027778
0.1666666666666666 0.1666666666666666 0.0 0.027778
0.1666666666666666 0.3333333333333333 0.0 0.027778
0.1666666666666666 0.5 0.0 0.027778
0.1666666666666666 0.6666666666666666 0.0 0.027778
0.1666666666666666 0.8333333333333333 0.0 0.027778
0.3333333333333333 0.0 0.0 0.027778
0.3333333333333333 0.1666666666666666 0.0 0.027778
0.3333333333333333 0.3333333333333333 0.0 0.027778
0.3333333333333333 0.5 0.0 0.027778
0.3333333333333333 0.6666666666666666 0.0 0.027778
0.3333333333333333 0.8333333333333333 0.0 0.027778
0.5 0.0 0.0 0.027778
0.5 0.1666666666666666 0.0 0.027778
0.5 0.3333333333333333 0.0 0.027778
0.5 0.5 0.0 0.027778
0.5 0.6666666666666666 0.0 0.027778
0.5 0.8333333333333333 0.0 0.027778
0.6666666666666666 0.0 0.0 0.027778
0.6666666666666666 0.1666666666666666 0.0 0.027778
0.6666666666666666 0.3333333333333333 0.0 0.027778
0.6666666666666666 0.5 0.0 0.027778
0.6666666666666666 0.6666666666666666 0.0 0.027778
0.6666666666666666 0.8333333333333333 0.0 0.027778
0.8333333333333333 0.0 0.0 0.027778
0.8333333333333333 0.1666666666666666 0.0 0.027778
0.8333333333333333 0.3333333333333333 0.0 0.027778
0.8333333333333333 0.5 0.0 0.027778
0.8333333333333333 0.6666666666666666 0.0 0.027778
0.8333333333333333 0.8333333333333333 0.0 0.027778

```

```

CELL_PARAMETERS angstrom
4.3027290791 0.0 3e-16
-2.1513645395998164 3.7262726881997237 3e-16
0.0 0.0 27.3357123894

```

```

---                epw1.in ---
&inputepw
prefix = 'hBN'
amass(1) = 208.98
amass(2) = 126.7
amass(3) = 78.971
outdir = './'
elph = .false.
epbwrite = .false.
epbread = .false.
epwwrite = .true.
epwread = .false.
etf_mem = 1
nbndsub = 16
use_ws = .true.
wannierize = .true.
num_iter = 1000
iprint = 2
dis_win_max = 8.824978906558991
dis_froz_max = -0.9057145531415918
fsthick = 1.2
temps = 1
degaussw = 0.005
dvscf_dir = './save'
nk1 = 6
nk2 = 6
nk3 = 1
nq1 = 1
nq2 = 1
nq3 = 1
system_2d = 'dipole_sp'
lpolar = .true.
dis_win_min = -23.73057568379082
wdata(1) = 'guiding_centres = T'
wdata(2) = 'dis_num_iter = 1500'
wdata(3) = 'bands_num_points = 100 '
wdata(4) = 'bands_plot = .true.'
wdata(5) = 'begin kpoint_path'
wdata(6) = 'G 0.0 0.0 0.0 M 0.5 0.0 0.0'
wdata(7) = 'M 0.5 0.0 0.0 K 0.3333333333 0.3333333333 0.0'
wdata(8) = 'K 0.3333333333 0.3333333333 0.0 X 1.0 1.0 0.0'
wdata(9) = 'X 1.0 1.0 0.0 M1 0.0 0.5 0.0'
wdata(10) = 'M1 0.0 0.5 0.0 G 0.0 0.0 0.0'
wdata(11) = 'end kpoint_path'
bands_skipped = 'exclude_bands = 1-30'
proj(1) = 'Bi: l= -4, mr= 2,3,4,5'
proj(2) = 'Te: l= -4, mr= 1,2,4'
proj(3) = 'Se: l= 3, mr= 5,7'
dis_froz_min = -11.465526390149329
/

```

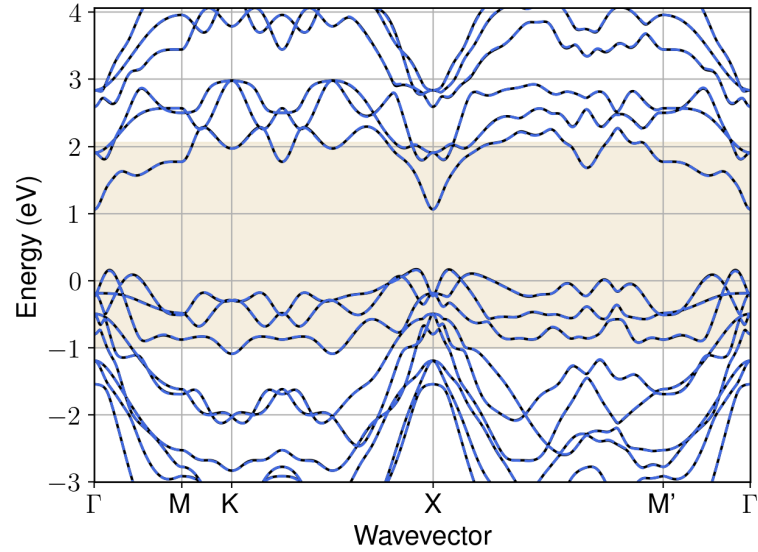


Figure S28: Bandstructure interpolation for monolayer  $\text{Bi}_2\text{Te}_2\text{Se}$ . Wannier-interpolation of the band structure of monolayer  $\text{Bi}_2\text{Te}_2\text{Se}$  over a wide energy range. Blue dashed lines are results from the present method, black solid lines are explicit DFT calculations. The yellow shaded region shows the range over which optimization has been performed. The interpolation error within the yellow region is 5 meV. The k-grid employed for NSCF calculation is  $6 \times 6$ .

## 17 Material: $\text{Bi}_2\text{Te}_3$

The calculation files are appended below. These files should be executed in the order provided. The location of pseudo potentials should be changed accordingly.

```

---          scf.in ---
&CONTROL
calculation = 'scf'
verbosity = 'high'
restart_mode = 'from_scratch'
outdir = './'
pseudo_dir = '/scratch1/05193/sabyadk/2D_materials_Wann/Materials/Bi2Te3-8a1489eb/pseudo/'
prefix = 'hBN'
/
&SYSTEM
ibrav = 0
nat = 5
ntyp = 2
ecutwfc = 60
ecutrho = 240
assume_isolated = 2D
/
&ELECTRONS
conv_thr = 1E-12
diagonalization = 'david'
electron_maxstep = 200
/
ATOMIC_SPECIES
Bi 208.98 Bi_r.upf
Te 126.7 Te_r.upf
ATOMIC_POSITIONS crystal
Bi 0.6666666666666666 0.3333333333333333 0.075125073321
Bi 0.999999999964 0.999999999974 0.924874926681
Te 0.6666666666666666 0.3333333333333333 0.861873116027
Te 0.3333333333333333 0.6666666666666666 0.999999999999

```

```
Te 0.999999999964 0.999999999974 0.138126883971
```

```
K_POINTS automatic
6 6 1 0 0 0
```

```
CELL_PARAMETERS angstrom
4.3900839089 0.0 3e-16
-2.1950419544999864 3.8019241899000398 3e-16
0.0 0.0 27.6406742794
```

```
--- nscf.in ---
&CONTROL
calculation = bands
verbosity = 'high'
restart_mode = 'from_scratch'
outdir = './'
pseudo_dir = '/scratch1/05193/sabyadk/2D_materials_Wann/Materials/Bi2Te3-8a1489eb/pseudo/'
prefix = 'hBN'
/
&SYSTEM
ibrav = 0
nat = 5
ntyp = 2
ecutwfc = 60
ecutrho = 240
assume_isolated = 2D
nbnd = 60
/
&ELECTRONS
conv_thr = 1E-10
diagonalization = 'david'
electron_maxstep = 200
/
ATOMIC_SPECIES
Bi 208.98 Bi_r.upf
Te 126.7 Te_r.upf
ATOMIC_POSITIONS crystal
Bi 0.6666666666666666 0.3333333333333333 0.075125073321
Bi 0.999999999964 0.999999999974 0.924874926681
Te 0.6666666666666666 0.3333333333333333 0.861873116027
Te 0.3333333333333333 0.6666666666666666 0.999999999999
Te 0.999999999964 0.999999999974 0.138126883971

K_POINTS crystal
36
0.0 0.0 0.0 0.0 0.027778
0.0 0.1666666666666666 0.0 0.027778
0.0 0.3333333333333333 0.0 0.027778
0.0 0.5 0.0 0.027778
0.0 0.6666666666666666 0.0 0.027778
0.0 0.8333333333333333 0.0 0.027778
0.1666666666666666 0.0 0.0 0.027778
0.1666666666666666 0.1666666666666666 0.0 0.027778
0.1666666666666666 0.3333333333333333 0.0 0.027778
0.1666666666666666 0.5 0.0 0.027778
0.1666666666666666 0.6666666666666666 0.0 0.027778
0.1666666666666666 0.8333333333333333 0.0 0.027778
0.3333333333333333 0.0 0.0 0.027778
0.3333333333333333 0.1666666666666666 0.0 0.027778
0.3333333333333333 0.3333333333333333 0.0 0.027778
0.3333333333333333 0.5 0.0 0.027778
0.3333333333333333 0.6666666666666666 0.0 0.027778
0.3333333333333333 0.8333333333333333 0.0 0.027778
0.5 0.0 0.0 0.027778
0.5 0.1666666666666666 0.0 0.027778
0.5 0.3333333333333333 0.0 0.027778
0.5 0.5 0.0 0.027778
0.5 0.6666666666666666 0.0 0.027778
0.5 0.8333333333333333 0.0 0.027778
0.6666666666666666 0.0 0.0 0.027778
0.6666666666666666 0.1666666666666666 0.0 0.027778
0.6666666666666666 0.3333333333333333 0.0 0.027778
0.6666666666666666 0.5 0.0 0.027778
0.6666666666666666 0.6666666666666666 0.0 0.027778
0.6666666666666666 0.8333333333333333 0.0 0.027778
0.8333333333333333 0.0 0.0 0.027778
0.8333333333333333 0.1666666666666666 0.0 0.027778
0.8333333333333333 0.3333333333333333 0.0 0.027778
0.8333333333333333 0.5 0.0 0.027778
0.8333333333333333 0.6666666666666666 0.0 0.027778
0.8333333333333333 0.8333333333333333 0.0 0.027778

CELL_PARAMETERS angstrom
```



```

4.3900839089 0.0 3e-16
-2.1950419544999864 3.8019241899000398 3e-16
0.0 0.0 27.6406742794

```

```

---                epw1.in ---
&inputepw
prefix = 'hBN'
amass(1) = 208.98
amass(2) = 126.7
outdir = './'
elph = .false.
epbwrite = .false.
epbread = .false.
epwwrite = .true.
epwread = .false.
etf_mem = 1
nbndsub = 16
use_ws = .true.
wannierize = .true.
num_iter = 1000
iprint = 2
dis_win_max = 7.21300865689535
dis_froz_max = -2.460899413193692
fsthick = 1.2
temps = 1
degaussw = 0.005
dvscf_dir = './save'
nk1 = 6
nk2 = 6
nk3 = 1
nq1 = 1
nq2 = 1
nq3 = 1
system_2d = 'dipole_sp'
lpolar = .true.
dis_win_min = -17.462163730136076
wdata(1) = 'guiding_centres = T'
wdata(2) = 'dis_num_iter = 1500'
wdata(3) = 'bands_num_points = 100 '
wdata(4) = 'bands_plot = .true.'
wdata(5) = 'begin kpoint_path'
wdata(6) = 'G 0.0 0.0 0.0 M 0.5 0.0 0.0'
wdata(7) = 'M 0.5 0.0 0.0 K 0.3333333333 0.3333333333 0.0'
wdata(8) = 'K 0.3333333333 0.3333333333 0.0 X 1.0 1.0 0.0'
wdata(9) = 'X 1.0 1.0 0.0 M1 0.0 0.5 0.0'
wdata(10) = 'M1 0.0 0.5 0.0 G 0.0 0.0 0.0'
wdata(11) = 'end kpoint_path'
bands_skipped = 'exclude_bands = 1-30'
proj(1) = 'Bi: l= -5, mr= 1,2'
proj(2) = 'Te: l= 3, mr= 1,4,5,7'
dis_froz_min = -9.755700651085043
/

```

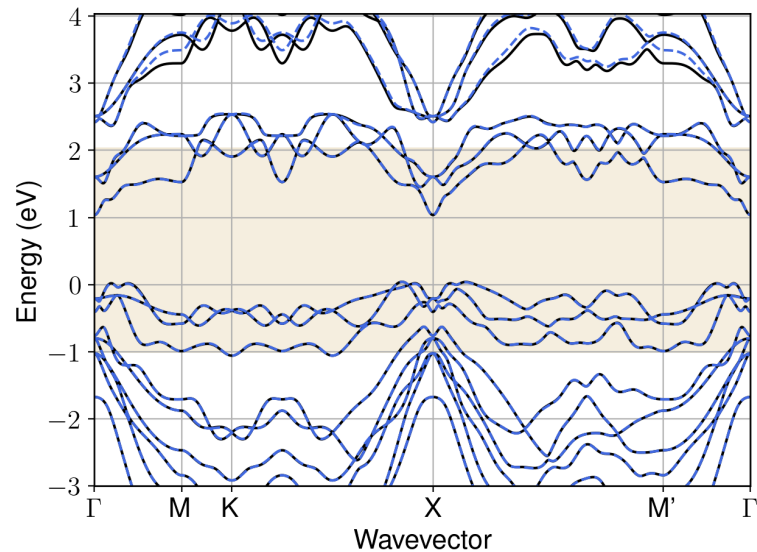


Figure S29: Bandstructure interpolation for monolayer  $\text{Bi}_2\text{Te}_3$ . Wannier-interpolation of the band structure of monolayer  $\text{Bi}_2\text{Te}_3$  over a wide energy range. Blue dashed lines are results from the present method, black solid lines are explicit DFT calculations. The yellow shaded region shows the range over which optimization has been performed. The interpolation error within the yellow region is 4 meV. The k-grid employed for NSCF calculation is  $6 \times 6$ .

## 18 Material: $\text{Bi}_2\text{TeSe}_2$

The calculation files are appended below. These files should be executed in the order provided. The location of pseudo potentials should be changed accordingly.

```

---          scf.in ---
&CONTROL
  calculation = 'scf'
  verbosity = 'high'
  restart_mode = 'from_scratch'
  outdir = './'
  pseudo_dir = '/scratch1/05193/sabyadk/2D_materials_Wann/Materials/Bi2TeSe2-ffb825a5/pseudo/'
  prefix = 'hBN'
/
&SYSTEM
 ibrav = 0
  nat = 5
  ntyp = 3
  ecutwfc = 60
  ecutrho = 240
  assume_isolated = 2D
/
&ELECTRONS
  conv_thr = 1E-12
  diagonalization = 'david'
  electron_maxstep = 200
/
ATOMIC_SPECIES
Bi 208.98 Bi_r.upf
Te 126.7 Te_r.upf
Se 78.971 Se_r.upf
ATOMIC_POSITIONS crystal
Bi 0.6666666666666666 0.3333333333333333 0.078950408381
Bi 0.0 0.0 0.921049591618
Te 0.3333333333333333 0.6666666666666666 3e-12

```

```

Se 0.6666666666666666 0.3333333333333333 0.864912726804
Se 0.0 0.0 0.135087273194

K_POINTS automatic
6 6 1 0 0 0

CELL_PARAMETERS angstrom
4.2328808458 0.0 3e-16
-2.116440422999847 3.6657823437997874 3e-16
0.0 0.0 27.367860391

```

```

---                nscf.in ---
&CONTROL
calculation = bands
verbosity = 'high'
restart_mode = 'from_scratch'
outdir = './'
pseudo_dir = '/scratch1/05193/sabyadk/2D_materials_Wann/Materials/Bi2TeSe2-ffb825a5/pseudo/'
prefix = 'hBN'
/
&SYSTEM
ibrav = 0
nat = 5
ntyp = 3
ecutwfc = 60
ecutrho = 240
assume_isolated = 2D
nbnd = 60
/
&ELECTRONS
conv_thr = 1E-10
diagonalization = 'david'
electron_maxstep = 200
/
ATOMIC_SPECIES
Bi 208.98 Bi_r.upf
Te 126.7 Te_r.upf
Se 78.971 Se_r.upf
ATOMIC_POSITIONS crystal
Bi 0.6666666666666666 0.3333333333333333 0.078950408381
Bi 0.0 0.0 0.921049591618
Te 0.3333333333333333 0.6666666666666666 3e-12
Se 0.6666666666666666 0.3333333333333333 0.864912726804
Se 0.0 0.0 0.135087273194

K_POINTS crystal
36
0.0 0.0 0.0 0.027778
0.0 0.1666666666666666 0.0 0.027778
0.0 0.3333333333333333 0.0 0.027778
0.0 0.5 0.0 0.027778
0.0 0.6666666666666666 0.0 0.027778
0.0 0.8333333333333333 0.0 0.027778
0.1666666666666666 0.0 0.0 0.027778
0.1666666666666666 0.1666666666666666 0.0 0.027778
0.1666666666666666 0.3333333333333333 0.0 0.027778
0.1666666666666666 0.5 0.0 0.027778
0.1666666666666666 0.6666666666666666 0.0 0.027778
0.1666666666666666 0.8333333333333333 0.0 0.027778
0.3333333333333333 0.0 0.0 0.027778
0.3333333333333333 0.1666666666666666 0.0 0.027778
0.3333333333333333 0.3333333333333333 0.0 0.027778
0.3333333333333333 0.5 0.0 0.027778
0.3333333333333333 0.6666666666666666 0.0 0.027778
0.3333333333333333 0.8333333333333333 0.0 0.027778
0.5 0.0 0.0 0.027778
0.5 0.1666666666666666 0.0 0.027778
0.5 0.3333333333333333 0.0 0.027778
0.5 0.5 0.0 0.027778
0.5 0.6666666666666666 0.0 0.027778
0.5 0.8333333333333333 0.0 0.027778
0.6666666666666666 0.0 0.0 0.027778
0.6666666666666666 0.1666666666666666 0.0 0.027778
0.6666666666666666 0.3333333333333333 0.0 0.027778
0.6666666666666666 0.5 0.0 0.027778
0.6666666666666666 0.6666666666666666 0.0 0.027778
0.6666666666666666 0.8333333333333333 0.0 0.027778
0.8333333333333333 0.0 0.0 0.027778
0.8333333333333333 0.1666666666666666 0.0 0.027778
0.8333333333333333 0.3333333333333333 0.0 0.027778
0.8333333333333333 0.5 0.0 0.027778
0.8333333333333333 0.6666666666666666 0.0 0.027778
0.8333333333333333 0.8333333333333333 0.0 0.027778

```

```

CELL_PARAMETERS angstrom
4.2328808458 0.0 3e-16
-2.116440422999847 3.6657823437997874 3e-16
0.0 0.0 27.367860391

```

```

---                epw1.in ---
&inputepw
prefix = 'hBN'
amass(1) = 208.98
amass(2) = 126.7
amass(3) = 78.971
outdir = './'
elph = .false.
epbwrite = .false.
epbread = .false.
epwwrite = .true.
epwread = .false.
etf_mem = 1
nbndsub = 15
use_ws = .true.
wannierize = .true.
num_iter = 1000
iprint = 2
dis_win_max = 11.239956335338029
dis_froz_max = -2.42622012864176
fsthick = 1.2
temps = 1
degaussw = 0.005
dvscf_dir = './save'
nk1 = 6
nk2 = 6
nk3 = 1
nq1 = 1
nq2 = 1
nq3 = 1
system_2d = 'dipole_sp'
lpolar = .true.
dis_win_min = -18.296583337349727
wdata(1) = 'guiding_centres = T'
wdata(2) = 'dis_num_iter = 1500'
wdata(3) = 'bands_num_points = 100 '
wdata(4) = 'bands_plot = .true.'
wdata(5) = 'begin kpoint_path'
wdata(6) = 'G 0.0 0.0 0.0 M 0.5 0.0 0.0'
wdata(7) = 'M 0.5 0.0 0.0 K 0.3333333333 0.3333333333 0.0'
wdata(8) = 'K 0.3333333333 0.3333333333 0.0 X 1.0 1.0 0.0'
wdata(9) = 'X 1.0 1.0 0.0 M1 0.0 0.5 0.0'
wdata(10) = 'M1 0.0 0.5 0.0 G 0.0 0.0 0.0'
wdata(11) = 'end kpoint_path'
bands_skipped = 'exclude_bands = 1-30'
proj(1) = 'Bi: l= 3, mr= 3,6'
proj(2) = 'Te: l= 3, mr= 1,2,4,5,6'
proj(3) = 'Se: l= -5, mr= 1,3,5'
dis_froz_min = -7.924267409155396
/

```

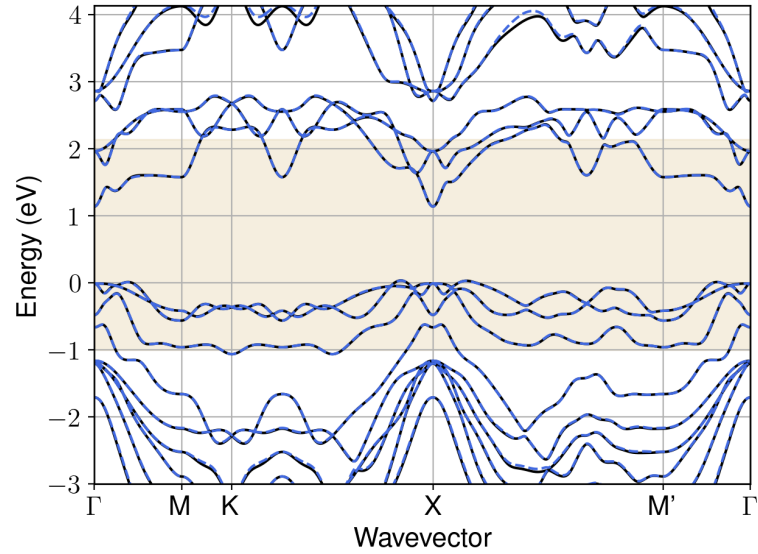


Figure S30: Bandstructure interpolation for monolayer  $\text{Bi}_2\text{TeSe}_2$ . Wannier-interpolation of the band structure of monolayer  $\text{Bi}_2\text{TeSe}_2$  over a wide energy range. Blue dashed lines are results from the present method, black solid lines are explicit DFT calculations. The yellow shaded region shows the range over which optimization has been performed. The interpolation error within the yellow region is 3 meV. The k-grid employed for NSCF calculation is  $6 \times 6$ .

## 19 Material: BiTeCl

The calculation files are appended below. These files should be executed in the order provided. The location of pseudo potentials should be changed accordingly.

```

---          scf.in ---
&CONTROL
calculation = 'scf'
verbosity = 'high'
restart_mode = 'from_scratch'
outdir = './'
pseudo_dir = '/scratch1/05193/sabyadk/2D_materials_Wann/Materials/BiTeCl-b80c0334/pseudo/'
prefix = 'hBN'
/
&SYSTEM
ibrav = 0
nat = 3
ntyp = 3
ecutwfc = 60
ecutrho = 240
assume_isolated = 2D
/
&ELECTRONS
conv_thr = 1E-12
diagonalization = 'david'
electron_maxstep = 200
/
ATOMIC_SPECIES
Bi 208.98 Bi_r.upf
Te 126.7 Te_r.upf
Cl 35.453 Cl_r.upf
ATOMIC_POSITIONS crystal
Bi 0.6666666666666666 0.3333333333333333 0.997877993383
Te 0.3333333333333333 0.6666666666666666 0.073776556095
Cl 0.0 0.0 0.928345450522

```

```
K_POINTS automatic
6 6 1 0 0 0

CELL_PARAMETERS angstrom
4.2798064679 0.0 3e-16
-2.139903234000163 3.706421124400271 3e-16
0.0 0.0 23.4743897465
```

```
--- nscf.in ---
&CONTROL
calculation = bands
verbosity = 'high'
restart_mode = 'from_scratch'
outdir = './'
pseudo_dir = '/scratch1/05193/sabyadk/2D_materials_Wann/Materials/BiTeCl-b80c0334/pseudo/'
prefix = 'hBN'
/
&SYSTEM
ibrav = 0
nat = 3
ntyp = 3
ecutwfc = 60
ecutrho = 240
assume_isolated = 2D
nbnd = 60
/
&ELECTRONS
conv_thr = 1E-10
diagonalization = 'david'
electron_maxstep = 200
/
ATOMIC_SPECIES
Bi 208.98 Bi_r.upf
Te 126.7 Te_r.upf
Cl 35.453 Cl_r.upf
ATOMIC_POSITIONS crystal
Bi 0.6666666666666666 0.3333333333333333 0.997877993383
Te 0.3333333333333333 0.6666666666666666 0.073776556095
Cl 0.0 0.0 0.928345450522

K_POINTS crystal
36
0.0 0.0 0.0 0.027778
0.0 0.1666666666666666 0.0 0.027778
0.0 0.3333333333333333 0.0 0.027778
0.0 0.5 0.0 0.027778
0.0 0.6666666666666666 0.0 0.027778
0.0 0.8333333333333333 0.0 0.027778
0.1666666666666666 0.0 0.0 0.027778
0.1666666666666666 0.1666666666666666 0.0 0.027778
0.1666666666666666 0.3333333333333333 0.0 0.027778
0.1666666666666666 0.5 0.0 0.027778
0.1666666666666666 0.6666666666666666 0.0 0.027778
0.1666666666666666 0.8333333333333333 0.0 0.027778
0.3333333333333333 0.0 0.0 0.027778
0.3333333333333333 0.1666666666666666 0.0 0.027778
0.3333333333333333 0.3333333333333333 0.0 0.027778
0.3333333333333333 0.5 0.0 0.027778
0.3333333333333333 0.6666666666666666 0.0 0.027778
0.3333333333333333 0.8333333333333333 0.0 0.027778
0.5 0.0 0.0 0.027778
0.5 0.1666666666666666 0.0 0.027778
0.5 0.3333333333333333 0.0 0.027778
0.5 0.5 0.0 0.027778
0.5 0.6666666666666666 0.0 0.027778
0.5 0.8333333333333333 0.0 0.027778
0.6666666666666666 0.0 0.0 0.027778
0.6666666666666666 0.1666666666666666 0.0 0.027778
0.6666666666666666 0.3333333333333333 0.0 0.027778
0.6666666666666666 0.5 0.0 0.027778
0.6666666666666666 0.6666666666666666 0.0 0.027778
0.6666666666666666 0.8333333333333333 0.0 0.027778
0.8333333333333333 0.0 0.0 0.027778
0.8333333333333333 0.1666666666666666 0.0 0.027778
0.8333333333333333 0.3333333333333333 0.0 0.027778
0.8333333333333333 0.5 0.0 0.027778
0.8333333333333333 0.6666666666666666 0.0 0.027778
0.8333333333333333 0.8333333333333333 0.0 0.027778

CELL_PARAMETERS angstrom
4.2798064679 0.0 3e-16
-2.139903234000163 3.706421124400271 3e-16
```

0.0 0.0 23.4743897465

```

---                epw1.in ---
&inputepw
prefix = 'hEN'
amass(1) = 208.98
amass(2) = 126.7
amass(3) = 35.453
outdir = './'
elph = .false.
epbwrite = .false.
epbread = .false.
epwwrite = .true.
epwread = .false.
etf_mem = 1
nbndsub = 9
use_ws = .true.
wannierize = .true.
num_iter = 1000
iprint = 2
dis_win_max = 15.402258780671065
dis_froz_max = -1.5926351568923067
fsthick = 1.2
temps = 1
degaussw = 0.005
dvscf_dir = './save'
nk1 = 6
nk2 = 6
nk3 = 1
nq1 = 1
nq2 = 1
nq3 = 1
system_2d = 'dipole_sp'
lpolar = .true.
dis_win_min = -27.154528099050506
wdata(1) = 'guiding_centres = T'
wdata(2) = 'dis_num_iter = 1500'
wdata(3) = 'bands_num_points = 100 '
wdata(4) = 'bands_plot = .true.'
wdata(5) = 'begin kpoint_path'
wdata(6) = 'G 0.0 0.0 0.0 M 0.5 0.0 0.0'
wdata(7) = 'M 0.5 0.0 0.0 K 0.3333333333 0.3333333333 0.0'
wdata(8) = 'K 0.3333333333 0.3333333333 0.0 X 1.0 1.0 0.0'
wdata(9) = 'X 1.0 1.0 0.0 M1 0.0 0.5 0.0'
wdata(10) = 'M1 0.0 0.5 0.0 G 0.0 0.0 0.0'
wdata(11) = 'end kpoint_path'
bands_skipped = 'exclude_bands = 1-13'
proj(1) = 'Bi: l= -4, mr= 1,5'
proj(2) = 'Te: l= 3, mr= 2,3'
proj(3) = 'Cl: l= 3, mr= 1,4,5,6,7'
dis_froz_min = -13.394299798109492
/

```

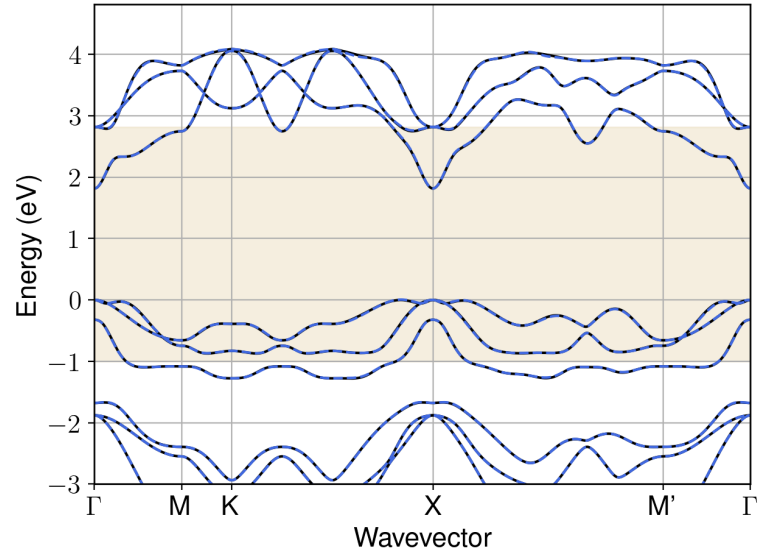


Figure S31: Bandstructure interpolation for monolayer BiTeI. Wannier-interpolation of the band structure of monolayer BiTeI over a wide energy range. Blue dashed lines are results from the present method, black solid lines are explicit DFT calculations. The yellow shaded region shows the range over which optimization has been performed. The interpolation error within the yellow region is 5 meV. The k-grid employed for NSCF calculation is  $6 \times 6$ .

## 20 Material: BiTeI

The calculation files are appended below. These files should be executed in the order provided. The location of pseudo potentials should be changed accordingly.

```

---          scf.in ---
&CONTROL
calculation = 'scf'
verbosity = 'high'
restart_mode = 'from_scratch'
outdir = './'
pseudo_dir = '/scratch1/05193/sabyadk/2D_materials_Wann/Materials/BiTeI-2b9c407f/pseudo/'
prefix = 'hBN'
/
&SYSTEM
ibrav = 0
nat = 3
ntyp = 3
ecutwfc = 60
ecutrho = 240
assume_isolated = 2D
/
&ELECTRONS
conv_thr = 1E-12
diagonalization = 'david'
electron_maxstep = 200
/
ATOMIC_SPECIES
Bi 208.98 Bi_r.upf
Te 126.7 Te_r.upf
I 126.904 I_r.upf
ATOMIC_POSITIONS crystal
Bi 0.0 0.0 0.005060890456
Te 0.3333333333333333 0.6666666666666666 0.077134015913
I 0.6666666666666666 0.3333333333333333 0.917805093631

```



```

K_POINTS automatic
6 6 1 0 0 0

CELL_PARAMETERS angstrom
4.3906838389 0.0 3e-16
-2.1953419196001054 3.802443744600138 3e-16
0.0 0.0 23.8973109889

```

```

--- nscf.in ---
&CONTROL
calculation = bands
verbosity = 'high'
restart_mode = 'from_scratch'
outdir = './'
pseudo_dir = '/scratch1/05193/sabyadk/2D_materials_Wann/Materials/BiTeI-2b9c407f/pseudo/'
prefix = 'hBN'
/
&SYSTEM
ibrav = 0
nat = 3
ntyp = 3
ecutwfc = 60
ecutrho = 240
assume_isolated = 2D
nbnd = 60
/
&ELECTRONS
conv_thr = 1E-10
diagonalization = 'david'
electron_maxstep = 200
/
ATOMIC_SPECIES
Bi 208.98 Bi_r.upf
Te 126.7 Te_r.upf
I 126.904 I_r.upf
ATOMIC_POSITIONS crystal
Bi 0.0 0.0 0.005060890456
Te 0.3333333333333333 0.6666666666666666 0.077134015913
I 0.6666666666666666 0.3333333333333333 0.917805093631

K_POINTS crystal
36
0.0 0.0 0.0 0.027778
0.0 0.1666666666666666 0.0 0.027778
0.0 0.3333333333333333 0.0 0.027778
0.0 0.5 0.0 0.027778
0.0 0.6666666666666666 0.0 0.027778
0.0 0.8333333333333333 0.0 0.027778
0.1666666666666666 0.0 0.0 0.027778
0.1666666666666666 0.1666666666666666 0.0 0.027778
0.1666666666666666 0.3333333333333333 0.0 0.027778
0.1666666666666666 0.5 0.0 0.027778
0.1666666666666666 0.6666666666666666 0.0 0.027778
0.1666666666666666 0.8333333333333333 0.0 0.027778
0.3333333333333333 0.0 0.0 0.027778
0.3333333333333333 0.1666666666666666 0.0 0.027778
0.3333333333333333 0.3333333333333333 0.0 0.027778
0.3333333333333333 0.5 0.0 0.027778
0.3333333333333333 0.6666666666666666 0.0 0.027778
0.3333333333333333 0.8333333333333333 0.0 0.027778
0.5 0.0 0.0 0.027778
0.5 0.1666666666666666 0.0 0.027778
0.5 0.3333333333333333 0.0 0.027778
0.5 0.5 0.0 0.027778
0.5 0.6666666666666666 0.0 0.027778
0.5 0.8333333333333333 0.0 0.027778
0.6666666666666666 0.0 0.0 0.027778
0.6666666666666666 0.1666666666666666 0.0 0.027778
0.6666666666666666 0.3333333333333333 0.0 0.027778
0.6666666666666666 0.5 0.0 0.027778
0.6666666666666666 0.6666666666666666 0.0 0.027778
0.6666666666666666 0.8333333333333333 0.0 0.027778
0.8333333333333333 0.0 0.0 0.027778
0.8333333333333333 0.1666666666666666 0.0 0.027778
0.8333333333333333 0.3333333333333333 0.0 0.027778
0.8333333333333333 0.5 0.0 0.027778
0.8333333333333333 0.6666666666666666 0.0 0.027778
0.8333333333333333 0.8333333333333333 0.0 0.027778

CELL_PARAMETERS angstrom
4.3906838389 0.0 3e-16
-2.1953419196001054 3.802443744600138 3e-16

```

0.0 0.0 23.8973109889

```

---                epw1.in ---
&inputepw
prefix = 'hEN'
amass(1) = 208.98
amass(2) = 126.7
amass(3) = 126.904
outdir = './'
elph = .false.
epbwrite = .false.
epbread = .false.
epwrite = .true.
epwread = .false.
etf_mem = 1
nbndsub = 9
use_ws = .true.
wannierize = .true.
num_iter = 1000
iprint = 2
dis_win_max = 10.927086845498094
dis_froz_max = -1.5301782905778407
fsthick = 1.2
temps = 1
degaussw = 0.005
dvscf_dir = './save'
nk1 = 6
nk2 = 6
nk3 = 1
nq1 = 1
nq2 = 1
nq3 = 1
system_2d = 'dipole_sp'
lpolar = .true.
dis_win_min = -19.058840424746094
wdata(1) = 'guiding_centres = T'
wdata(2) = 'dis_num_iter = 1500'
wdata(3) = 'bands_num_points = 100 '
wdata(4) = 'bands_plot = .true.'
wdata(5) = 'begin kpoint_path'
wdata(6) = 'G 0.0 0.0 0.0 M 0.5 0.0 0.0'
wdata(7) = 'M 0.5 0.0 0.0 K 0.3333333333 0.3333333333 0.0'
wdata(8) = 'K 0.3333333333 0.3333333333 0.0 X 1.0 1.0 0.0'
wdata(9) = 'X 1.0 1.0 0.0 M1 0.0 0.5 0.0'
wdata(10) = 'M1 0.0 0.5 0.0 G 0.0 0.0 0.0'
wdata(11) = 'end kpoint_path'
bands_skipped = 'exclude_bands = 1-13'
proj(1) = 'Bi: l= -5, mr= 2,5,6'
proj(2) = 'Te: l= 3, mr= 3,4'
proj(3) = 'I: l= -4, mr= 1,2,3,5'
dis_froz_min = -11.042425227392322
/

```

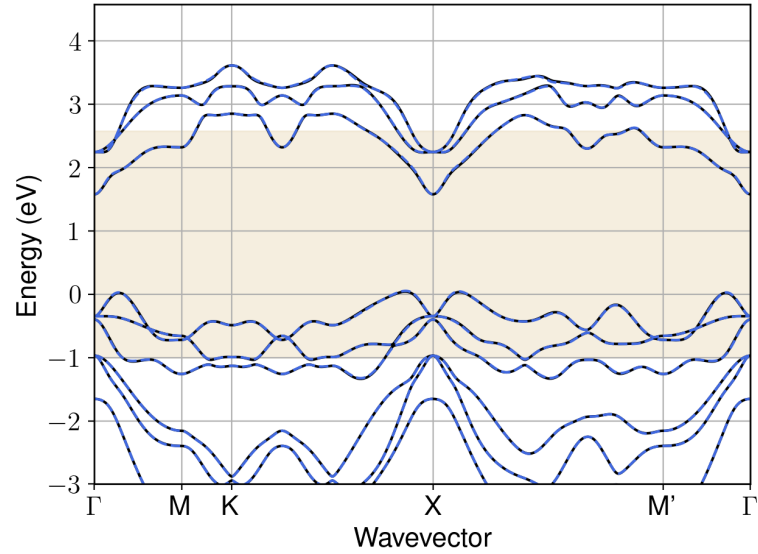


Figure S32: Bandstructure interpolation for monolayer BiTeI. Wannier-interpolation of the band structure of monolayer BiTeI over a wide energy range. Blue dashed lines are results from the present method, black solid lines are explicit DFT calculations. The yellow shaded region shows the range over which optimization has been performed. The interpolation error within the yellow region is 6 meV. The k-grid employed for NSCF calculation is  $6 \times 6$ .

## 21 Material: $C_2$

The calculation files are appended below. These files should be executed in the order provided. The location of pseudo potentials should be changed accordingly.

```

---          scf.in ---
&CONTROL
calculation = 'scf'
verbosity = 'high'
restart_mode = 'from_scratch'
outdir = './'
pseudo_dir = '/scratch1/05193/sabyadk/2D_materials_Wann/Materials/C2-fdcf3c57/pseudo/'
prefix = 'hBN'
/
&SYSTEM
ibrav = 0
nat = 2
ntyp = 1
ecutwfc = 60
ecutrho = 240
occupations = 'smearing'
smearing = 'gaussian'
degauss = 0.1
/
&ELECTRONS
conv_thr = 1E-10
diagonalization = cg
electron_maxstep = 500
/
ATOMIC_SPECIES
C 12.011 C_r.upf
ATOMIC_POSITIONS crystal
C 0.3333333333333333 0.6666666666666666 5.187e-09
C 0.0 0.0 0.999999994813

```

```

K_POINTS automatic
6 6 1 0 0 0

CELL_PARAMETERS angstrom
2.465969748447 0.0 2e-16
-1.2329848741736946 2.135592447096972 2e-16
0.0 0.0 20.0000002075

```

```

--- nscf.in ---
&CONTROL
calculation = bands
verbosity = 'high'
restart_mode = 'from_scratch'
outdir = './'
pseudo_dir = '/scratch1/05193/sabyadk/2D_materials_Wann/Materials/C2-fdcf3c57/pseudo/'
prefix = 'hBN'
/
&SYSTEM
ibrav = 0
nat = 2
ntyp = 1
ecutwfc = 60
ecutrho = 240
occupations = 'smearing'
smearing = 'gaussian'
degauss = 0.1
nbnd = 60
/
&ELECTRONS
conv_thr = 1E-10
diagonalization = cg
electron_maxstep = 500
/
ATOMIC_SPECIES
C 12.011 C_r.upf
ATOMIC_POSITIONS crystal
C 0.3333333333333333 0.6666666666666666 5.187e-09
C 0.0 0.0 0.999999994813

K_POINTS crystal
36
0.0 0.0 0.0 0.027778
0.0 0.1666666666666666 0.0 0.027778
0.0 0.3333333333333333 0.0 0.027778
0.0 0.5 0.0 0.027778
0.0 0.6666666666666666 0.0 0.027778
0.0 0.8333333333333333 0.0 0.027778
0.1666666666666666 0.0 0.0 0.027778
0.1666666666666666 0.1666666666666666 0.0 0.027778
0.1666666666666666 0.3333333333333333 0.0 0.027778
0.1666666666666666 0.5 0.0 0.027778
0.1666666666666666 0.6666666666666666 0.0 0.027778
0.1666666666666666 0.8333333333333333 0.0 0.027778
0.3333333333333333 0.0 0.0 0.027778
0.3333333333333333 0.1666666666666666 0.0 0.027778
0.3333333333333333 0.3333333333333333 0.0 0.027778
0.3333333333333333 0.5 0.0 0.027778
0.3333333333333333 0.6666666666666666 0.0 0.027778
0.3333333333333333 0.8333333333333333 0.0 0.027778
0.5 0.0 0.0 0.027778
0.5 0.1666666666666666 0.0 0.027778
0.5 0.3333333333333333 0.0 0.027778
0.5 0.5 0.0 0.027778
0.5 0.6666666666666666 0.0 0.027778
0.5 0.8333333333333333 0.0 0.027778
0.6666666666666666 0.0 0.0 0.027778
0.6666666666666666 0.1666666666666666 0.0 0.027778
0.6666666666666666 0.3333333333333333 0.0 0.027778
0.6666666666666666 0.5 0.0 0.027778
0.6666666666666666 0.6666666666666666 0.0 0.027778
0.6666666666666666 0.8333333333333333 0.0 0.027778
0.8333333333333333 0.0 0.0 0.027778
0.8333333333333333 0.1666666666666666 0.0 0.027778
0.8333333333333333 0.3333333333333333 0.0 0.027778
0.8333333333333333 0.5 0.0 0.027778
0.8333333333333333 0.6666666666666666 0.0 0.027778
0.8333333333333333 0.8333333333333333 0.0 0.027778

CELL_PARAMETERS angstrom
2.465969748447 0.0 2e-16
-1.2329848741736946 2.135592447096972 2e-16
0.0 0.0 20.0000002075

```

```
---                epw1.in ---
&inputepw
prefix = 'hBN'
amass(1) = 12.011
outdir = './'
elph = .false.
epbwrite = .false.
epbread = .false.
epwwrite = .true.
epwread = .false.
etf_mem = 1
nbndsub = 8
use_ws = .true.
wannierize = .true.
num_iter = 1000
iprint = 2
dis_win_max = 43.2220934901925
dis_froz_max = 1.025546730386805
fsthick = 1.2
temps = 1
degaussw = 0.005
dvscf_dir = './save'
nk1 = 6
nk2 = 6
nk3 = 1
nq1 = 1
nq2 = 1
nq3 = 1
dis_win_min = -17.912587757275247
wdata(1) = 'guiding_centres = T'
wdata(2) = 'dis_num_iter = 1500'
wdata(3) = 'bands_num_points = 100 '
wdata(4) = 'bands_plot = .true.'
wdata(5) = 'begin kpoint_path'
wdata(6) = 'G 0.0 0.0 0.0 M 0.5 0.0 0.0'
wdata(7) = 'M 0.5 0.0 0.0 K 0.3333333333 0.3333333333 0.0'
wdata(8) = 'K 0.3333333333 0.3333333333 0.0 X 1.0 1.0 0.0'
wdata(9) = 'X 1.0 1.0 0.0 M1 0.0 0.5 0.0'
wdata(10) = 'M1 0.0 0.5 0.0 G 0.0 0.0 0.0'
wdata(11) = 'end kpoint_path'
bands_skipped = 'exclude_bands = 1-1'
proj(1) = 'C: l= 2, mr= 1,2,3,4'
dis_froz_min = -10.91572690381187
/
```

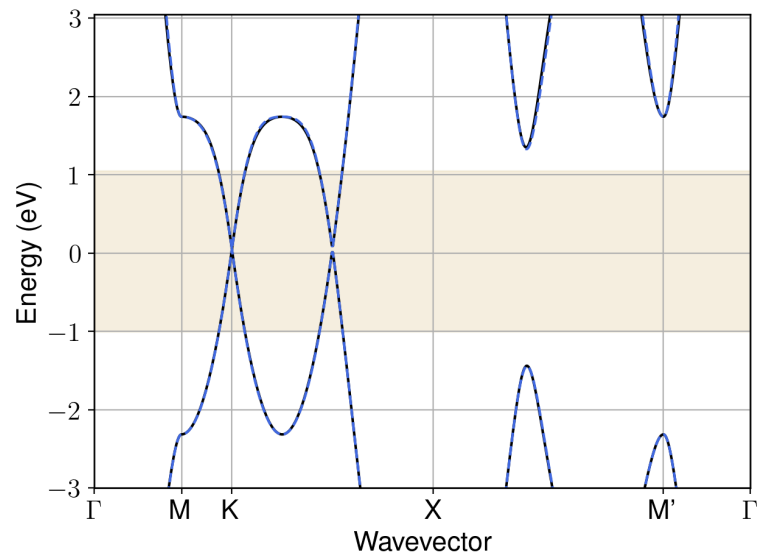


Figure S33: Bandstructure interpolation for monolayer  $C_2$ . Wannier-interpolation of the band structure of monolayer  $C_2$  over a wide energy range. Blue dashed lines are results from the present method, black solid lines are explicit DFT calculations. The yellow shaded region shows the range over which optimization has been performed. The interpolation error within the yellow region is 8 meV. The k-grid employed for NSCF calculation is  $6 \times 6$ .

## 22 Material: $Ca_2H_2Br_2$

The calculation files are appended below. These files should be executed in the order provided. The location of pseudo potentials should be changed accordingly.

```

---          scf.in ---
&CONTROL
calculation = 'scf'
verbosity = 'high'
restart_mode = 'from_scratch'
outdir = './'
pseudo_dir = '/scratch1/05193/sabyadk/2D_materials_Wann/Materials/Ca2H2Br2-be4e15ee/pseudo/'
prefix = 'hBN'
/
&SYSTEM
ibrav = 0
nat = 6
ntyp = 3
ecutwfc = 60
ecutrho = 240
assume_isolated = 2D
/
&ELECTRONS
conv_thr = 1E-12
diagonalization = 'david'
electron_maxstep = 200
/
ATOMIC_SPECIES
Ca 40.078 Ca_r.upf
H 1.008 H_r.upf
Br 79.904 Br_r.upf
ATOMIC_POSITIONS crystal
Ca 0.500000000013 0.0 0.948662833079
Ca 0.0 0.500000000013 0.051337166918
H 0.0 0.0 1e-12

```

```
H 0.500000000013 0.500000000013 1e-12
Br 0.0 0.500000000013 0.894059692784
Br 0.500000000013 0.0 0.105940307217
```

```
K_POINTS automatic
6 6 1 0 0 0
```

```
CELL_PARAMETERS angstrom
3.8291583253 0.0 2e-16
-2e-16 3.8291583253 2e-16
0.0 0.0 25.262390008
```

```
--- nscf.in ---
&CONTROL
calculation = bands
verbosity = 'high'
restart_mode = 'from_scratch'
outdir = './'
pseudo_dir = '/scratch1/05193/sabyadk/2D_materials_Wann/Materials/Ca2H2Br2-be4e15ee/pseudo/'
prefix = 'hBN'
/
&SYSTEM
ibrav = 0
nat = 6
ntyp = 3
ecutwfc = 60
ecutrho = 240
assume_isolated = 2D
nbnd = 60
/
&ELECTRONS
conv_thr = 1E-10
diagonalization = 'david'
electron_maxstep = 200
/
ATOMIC_SPECIES
Ca 40.078 Ca_r.upf
H 1.008 H_r.upf
Br 79.904 Br_r.upf
ATOMIC_POSITIONS crystal
Ca 0.500000000013 0.0 0.948662833079
Ca 0.0 0.500000000013 0.051337166918
H 0.0 0.0 1e-12
H 0.500000000013 0.500000000013 1e-12
Br 0.0 0.500000000013 0.894059692784
Br 0.500000000013 0.0 0.105940307217

K_POINTS crystal
36
0.0 0.0 0.0 0.027778
0.0 0.16666666666666666 0.0 0.027778
0.0 0.33333333333333333 0.0 0.027778
0.0 0.5 0.0 0.027778
0.0 0.66666666666666666 0.0 0.027778
0.0 0.83333333333333333 0.0 0.027778
0.16666666666666666 0.0 0.0 0.027778
0.16666666666666666 0.16666666666666666 0.0 0.027778
0.16666666666666666 0.33333333333333333 0.0 0.027778
0.16666666666666666 0.5 0.0 0.027778
0.16666666666666666 0.66666666666666666 0.0 0.027778
0.16666666666666666 0.83333333333333333 0.0 0.027778
0.33333333333333333 0.0 0.0 0.027778
0.33333333333333333 0.16666666666666666 0.0 0.027778
0.33333333333333333 0.33333333333333333 0.0 0.027778
0.33333333333333333 0.5 0.0 0.027778
0.33333333333333333 0.66666666666666666 0.0 0.027778
0.33333333333333333 0.83333333333333333 0.0 0.027778
0.5 0.0 0.0 0.027778
0.5 0.16666666666666666 0.0 0.027778
0.5 0.33333333333333333 0.0 0.027778
0.5 0.5 0.0 0.027778
0.5 0.66666666666666666 0.0 0.027778
0.5 0.83333333333333333 0.0 0.027778
0.66666666666666666 0.0 0.0 0.027778
0.66666666666666666 0.16666666666666666 0.0 0.027778
0.66666666666666666 0.33333333333333333 0.0 0.027778
0.66666666666666666 0.5 0.0 0.027778
0.66666666666666666 0.66666666666666666 0.0 0.027778
0.66666666666666666 0.83333333333333333 0.0 0.027778
0.83333333333333333 0.0 0.0 0.027778
0.83333333333333333 0.16666666666666666 0.0 0.027778
0.83333333333333333 0.33333333333333333 0.0 0.027778
0.83333333333333333 0.5 0.0 0.027778
```

```
0.8333333333333333 0.6666666666666666 0.0 0.027778
0.8333333333333333 0.8333333333333333 0.0 0.027778
```

```
CELL_PARAMETERS angstrom
3.8291583253 0.0 2e-16
-2e-16 3.8291583253 2e-16
0.0 0.0 25.2623900008
```

```
---                epw1.in ---
&inputepw
prefix = 'hBN'
amass(1) = 40.078
amass(2) = 1.008
amass(3) = 79.904
outdir = './'
elph = .false.
epbwrite = .false.
epbread = .false.
epwwrite = .true.
epwread = .false.
etf_mem = 1
nbndsub = 16
use_ws = .true.
wannierize = .true.
num_iter = 1000
iprint = 2
dis_win_max = 17.11506047687196
dis_froz_max = -1.0041138234009361
fsthick = 1.2
temps = 1
degaussw = 0.005
dvscf_dir = './save'
nk1 = 6
nk2 = 6
nk3 = 1
nq1 = 1
nq2 = 1
nq3 = 1
system_2d = 'dipole_sp'
lpolar = .true.
dis_win_min = -21.07444789100628
wdata(1) = 'guiding_centres = T'
wdata(2) = 'dis_num_iter = 1500'
wdata(3) = 'bands_num_points = 100 '
wdata(4) = 'bands_plot = .true.'
wdata(5) = 'begin kpoint_path'
wdata(6) = 'G 0.0 0.0 0.0 M 0.5 0.0 0.0'
wdata(7) = 'M 0.5 0.0 0.0 K 0.3333333333 0.3333333333 0.0'
wdata(8) = 'K 0.3333333333 0.3333333333 0.0 X 1.0 1.0 0.0'
wdata(9) = 'X 1.0 1.0 0.0 M1 0.0 0.5 0.0'
wdata(10) = 'M1 0.0 0.5 0.0 G 0.0 0.0 0.0'
wdata(11) = 'end kpoint_path'
bands_skipped = 'exclude_bands = 1-10'
proj(1) = 'Ca: l= -5, mr= 1,5,6'
proj(2) = 'H: l= 2, mr= 1,2,4'
proj(3) = 'Br: l= 2, mr= 3,5'
dis_froz_min = -14.292895623792766
/
```



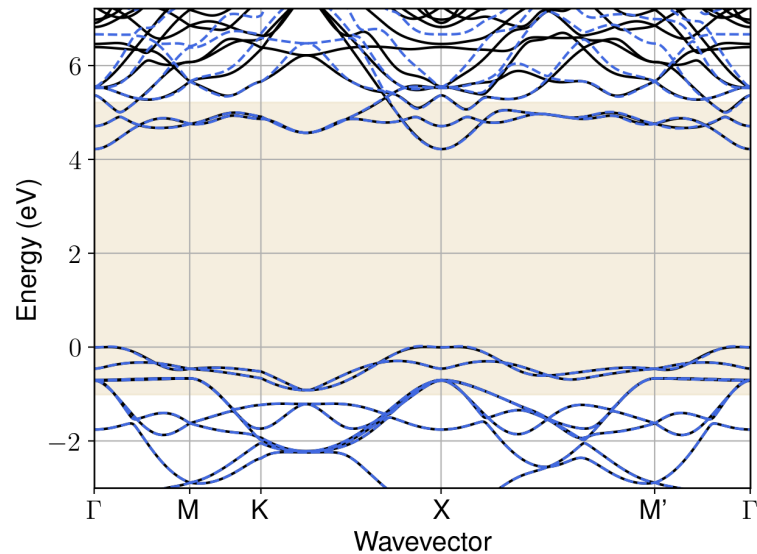


Figure S34: Bandstructure interpolation for monolayer  $\text{Ca}_2\text{H}_2\text{Br}_2$ . Wannier-interpolation of the band structure of monolayer  $\text{Ca}_2\text{H}_2\text{Br}_2$  over a wide energy range. Blue dashed lines are results from the present method, black solid lines are explicit DFT calculations. The yellow shaded region shows the range over which optimization has been performed. The interpolation error within the yellow region is 6 meV. The k-grid employed for NSCF calculation is  $6 \times 6$ .

## 23 Material: $\text{Ca}_2\text{H}_2\text{I}_2$

The calculation files are appended below. These files should be executed in the order provided. The location of pseudo potentials should be changed accordingly.

```

---          scf.in ---
&CONTROL
calculation = 'scf'
verbosity = 'high'
restart_mode = 'from_scratch'
outdir = './'
pseudo_dir = '/scratch1/05193/sabyadk/2D_materials_Wann/Materials/Ca2H2I2-ea27af09/pseudo/'
prefix = 'hBN'
/
&SYSTEM
ibrav = 0
nat = 6
ntyp = 3
ecutwfc = 60
ecutrho = 240
assume_isolated = 2D
/
&ELECTRONS
conv_thr = 1E-12
diagonalization = 'david'
electron_maxstep = 200
/
ATOMIC_SPECIES
Ca 40.078 Ca_r.upf
H 1.008 H_r.upf
I 126.904 I_r.upf
ATOMIC_POSITIONS crystal
Ca 0.0 0.500000000013 0.048388076993
Ca 0.500000000013 0.0 0.951611923009
H 0.0 0.0 1e-12

```

```
H 0.500000000013 0.500000000013 1e-12
I 0.500000000013 0.0 0.113588656705
I 0.0 0.500000000013 0.886411343292
```

```
K_POINTS automatic
6 6 1 0 0 0
```

```
CELL_PARAMETERS angstrom
3.9864948799 0.0 2e-16
-2e-16 3.9864948799 2e-16
0.0 0.0 25.4263688575
```

```
--- nscf.in ---
&CONTROL
calculation = bands
verbosity = 'high'
restart_mode = 'from_scratch'
outdir = './'
pseudo_dir = '/scratch1/05193/sabyadk/2D_materials_Wann/Materials/Ca2H2I2-2ea27af09/pseudo/'
prefix = 'hBN'
/
&SYSTEM
ibrav = 0
nat = 6
ntyp = 3
ecutwfc = 60
ecutrho = 240
assume_isolated = 2D
nbnd = 60
/
&ELECTRONS
conv_thr = 1E-10
diagonalization = 'david'
electron_maxstep = 200
/
ATOMIC_SPECIES
Ca 40.078 Ca_r.upf
H 1.008 H_r.upf
I 126.904 I_r.upf
ATOMIC_POSITIONS crystal
Ca 0.0 0.500000000013 0.048388076993
Ca 0.500000000013 0.0 0.951611923009
H 0.0 0.0 1e-12
H 0.500000000013 0.500000000013 1e-12
I 0.500000000013 0.0 0.113588656705
I 0.0 0.500000000013 0.886411343292

K_POINTS crystal
36
0.0 0.0 0.0 0.027778
0.0 0.16666666666666666 0.0 0.027778
0.0 0.33333333333333333 0.0 0.027778
0.0 0.5 0.0 0.027778
0.0 0.66666666666666666 0.0 0.027778
0.0 0.83333333333333333 0.0 0.027778
0.16666666666666666 0.0 0.0 0.027778
0.16666666666666666 0.16666666666666666 0.0 0.027778
0.16666666666666666 0.33333333333333333 0.0 0.027778
0.16666666666666666 0.5 0.0 0.027778
0.16666666666666666 0.66666666666666666 0.0 0.027778
0.16666666666666666 0.83333333333333333 0.0 0.027778
0.33333333333333333 0.0 0.0 0.027778
0.33333333333333333 0.16666666666666666 0.0 0.027778
0.33333333333333333 0.33333333333333333 0.0 0.027778
0.33333333333333333 0.5 0.0 0.027778
0.33333333333333333 0.66666666666666666 0.0 0.027778
0.33333333333333333 0.83333333333333333 0.0 0.027778
0.5 0.0 0.0 0.027778
0.5 0.16666666666666666 0.0 0.027778
0.5 0.33333333333333333 0.0 0.027778
0.5 0.5 0.0 0.027778
0.5 0.66666666666666666 0.0 0.027778
0.5 0.83333333333333333 0.0 0.027778
0.66666666666666666 0.0 0.0 0.027778
0.66666666666666666 0.16666666666666666 0.0 0.027778
0.66666666666666666 0.33333333333333333 0.0 0.027778
0.66666666666666666 0.5 0.0 0.027778
0.66666666666666666 0.66666666666666666 0.0 0.027778
0.66666666666666666 0.83333333333333333 0.0 0.027778
0.83333333333333333 0.0 0.0 0.027778
0.83333333333333333 0.16666666666666666 0.0 0.027778
0.83333333333333333 0.33333333333333333 0.0 0.027778
0.83333333333333333 0.5 0.0 0.027778
```

```
0.8333333333333333 0.6666666666666666 0.0 0.027778
0.8333333333333333 0.8333333333333333 0.0 0.027778
```

```
CELL_PARAMETERS angstrom
3.9864948799 0.0 2e-16
-2e-16 3.9864948799 2e-16
0.0 0.0 25.4263688575
```

```
---                epw1.in ---
&inputepw
prefix = 'hBN'
amass(1) = 40.078
amass(2) = 1.008
amass(3) = 126.904
outdir = './'
elph = .false.
epbwrite = .false.
epbread = .false.
epwwrite = .true.
epwread = .false.
etf_mem = 1
nbndsub = 16
use_ws = .true.
wannierize = .true.
num_iter = 1000
iprint = 2
dis_win_max = 17.489007799857806
dis_froz_max = -0.982737848923029
fsthick = 1.2
temps = 1
degaussw = 0.005
dvscf_dir = './save'
nk1 = 6
nk2 = 6
nk3 = 1
nq1 = 1
nq2 = 1
nq3 = 1
system_2d = 'dipole_sp'
lpolar = .true.
dis_win_min = -21.46959195813607
wdata(1) = 'guiding_centres = T'
wdata(2) = 'dis_num_iter = 1500'
wdata(3) = 'bands_num_points = 100 '
wdata(4) = 'bands_plot = .true.'
wdata(5) = 'begin kpoint_path'
wdata(6) = 'G 0.0 0.0 0.0 M 0.5 0.0 0.0'
wdata(7) = 'M 0.5 0.0 0.0 K 0.3333333333 0.3333333333 0.0'
wdata(8) = 'K 0.3333333333 0.3333333333 0.0 X 1.0 1.0 0.0'
wdata(9) = 'X 1.0 1.0 0.0 M1 0.0 0.5 0.0'
wdata(10) = 'M1 0.0 0.5 0.0 G 0.0 0.0 0.0'
wdata(11) = 'end kpoint_path'
bands_skipped = 'exclude_bands = 1-10'
proj(1) = 'Ca: l= -5, mr= 1,3'
proj(2) = 'H: l= -4, mr= 1,4,5'
proj(3) = 'I: l= -5, mr= 1,5,6'
dis_froz_min = -14.680906807957259
/
```

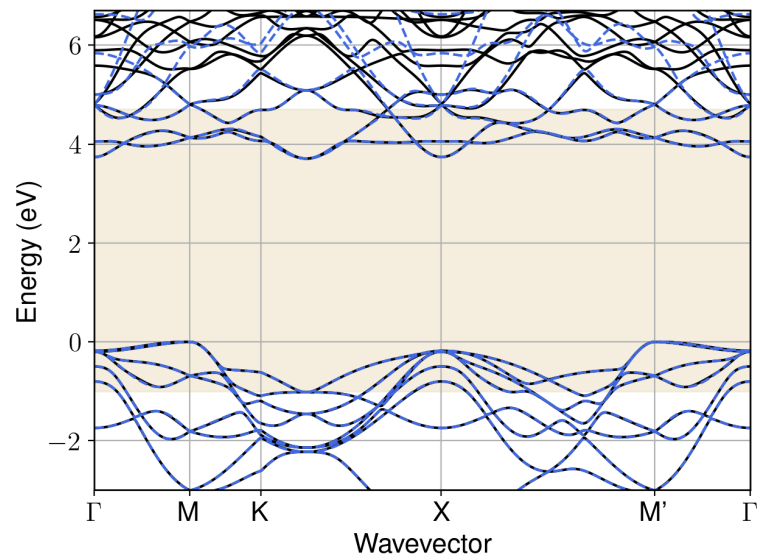


Figure S35: Bandstructure interpolation for monolayer  $\text{Ca}_2\text{H}_2\text{I}_2$ . Wannier-interpolation of the band structure of monolayer  $\text{Ca}_2\text{H}_2\text{I}_2$  over a wide energy range. Blue dashed lines are results from the present method, black solid lines are explicit DFT calculations. The yellow shaded region shows the range over which optimization has been performed. The interpolation error within the yellow region is 7 meV. The k-grid employed for NSCF calculation is  $6 \times 6$ .

## 24 Material: $\text{CaI}_2$

The calculation files are appended below. These files should be executed in the order provided. The location of pseudo potentials should be changed accordingly.

```

---          scf.in ---
&CONTROL
calculation = 'scf'
verbosity = 'high'
restart_mode = 'from_scratch'
outdir = './'
pseudo_dir = '/scratch1/05193/sabyadk/2D_materials_Wann/Materials/CaI2-587dfd82/pseudo/'
prefix = 'hBN'
/
&SYSTEM
ibrav = 0
nat = 3
ntyp = 2
ecutwfc = 60
ecutrho = 240
assume_isolated = 2D
/
&ELECTRONS
conv_thr = 1E-12
diagonalization = 'david'
electron_maxstep = 200
/
ATOMIC_SPECIES
Ca 40.078 Ca_r.upf
I 126.904 I_r.upf
ATOMIC_POSITIONS crystal
Ca 0.0 0.0 0.0
I 0.6666666666666666 0.3333333333333333 0.076207499783
I 0.3333333333333333 0.6666666666666666 0.923792500217

```

```

K_POINTS automatic
6 6 1 0 0 0

CELL_PARAMETERS angstrom
4.487772689009 0.0 3e-16
-2.2438863444545616 3.886525155073284 3e-16
0.0 0.0 23.5642492454

```

```

---                nscf.in ---
&CONTROL
calculation = bands
verbosity = 'high'
restart_mode = 'from_scratch'
outdir = './'
pseudo_dir = '/scratch1/05193/sabyadk/2D_materials_Wann/Materials/CaI2-587dfd82/pseudo/'
prefix = 'hBN'
/
&SYSTEM
ibrav = 0
nat = 3
ntyp = 2
ecutwfc = 60
ecutrho = 240
assume_isolated = 2D
nbnd = 60
/
&ELECTRONS
conv_thr = 1E-10
diagonalization = 'david'
electron_maxstep = 200
/
ATOMIC_SPECIES
Ca 40.078 Ca_r.upf
I 126.904 I_r.upf
ATOMIC_POSITIONS crystal
Ca 0.0 0.0 0.0
I 0.6666666666666666 0.3333333333333333 0.076207499783
I 0.3333333333333333 0.6666666666666666 0.923792500217

K_POINTS crystal
36
0.0 0.0 0.0 0.027778
0.0 0.1666666666666666 0.0 0.027778
0.0 0.3333333333333333 0.0 0.027778
0.0 0.5 0.0 0.027778
0.0 0.6666666666666666 0.0 0.027778
0.0 0.8333333333333333 0.0 0.027778
0.1666666666666666 0.0 0.0 0.027778
0.1666666666666666 0.1666666666666666 0.0 0.027778
0.1666666666666666 0.3333333333333333 0.0 0.027778
0.1666666666666666 0.5 0.0 0.027778
0.1666666666666666 0.6666666666666666 0.0 0.027778
0.1666666666666666 0.8333333333333333 0.0 0.027778
0.3333333333333333 0.0 0.0 0.027778
0.3333333333333333 0.1666666666666666 0.0 0.027778
0.3333333333333333 0.3333333333333333 0.0 0.027778
0.3333333333333333 0.5 0.0 0.027778
0.3333333333333333 0.6666666666666666 0.0 0.027778
0.3333333333333333 0.8333333333333333 0.0 0.027778
0.5 0.0 0.0 0.027778
0.5 0.1666666666666666 0.0 0.027778
0.5 0.3333333333333333 0.0 0.027778
0.5 0.5 0.0 0.027778
0.5 0.6666666666666666 0.0 0.027778
0.5 0.8333333333333333 0.0 0.027778
0.6666666666666666 0.0 0.0 0.027778
0.6666666666666666 0.1666666666666666 0.0 0.027778
0.6666666666666666 0.3333333333333333 0.0 0.027778
0.6666666666666666 0.5 0.0 0.027778
0.6666666666666666 0.6666666666666666 0.0 0.027778
0.6666666666666666 0.8333333333333333 0.0 0.027778
0.8333333333333333 0.0 0.0 0.027778
0.8333333333333333 0.1666666666666666 0.0 0.027778
0.8333333333333333 0.3333333333333333 0.0 0.027778
0.8333333333333333 0.5 0.0 0.027778
0.8333333333333333 0.6666666666666666 0.0 0.027778
0.8333333333333333 0.8333333333333333 0.0 0.027778

CELL_PARAMETERS angstrom
4.487772689009 0.0 3e-16
-2.2438863444545616 3.886525155073284 3e-16
0.0 0.0 23.5642492454

```

```

---                epw1.in ---
&inputepw
prefix = 'hBN'
amass(1) = 40.078
amass(2) = 126.904
outdir = './'
elph = .false.
epbwrite = .false.
epbread = .false.
epwwrite = .true.
epwread = .false.
etf_mem = 1
nbndsub = 11
use_ws = .true.
wannierize = .true.
num_iter = 1000
iprint = 2
dis_win_max = 9.624904421907118
dis_froz_max = -1.2939550000491842
fsthick = 1.2
temps = 1
degaussw = 0.005
dvscf_dir = './save'
nk1 = 6
nk2 = 6
nk3 = 1
nq1 = 1
nq2 = 1
nq3 = 1
system_2d = 'dipole_sp'
lpolar = .true.
dis_win_min = -23.72986884984003
wdata(1) = 'guiding_centres = T'
wdata(2) = 'dis_num_iter = 1500'
wdata(3) = 'bands_num_points = 100 '
wdata(4) = 'bands_plot = .true.'
wdata(5) = 'begin kpoint_path'
wdata(6) = 'G 0.0 0.0 0.0 M 0.5 0.0 0.0'
wdata(7) = 'M 0.5 0.0 0.0 K 0.3333333333 0.3333333333 0.0'
wdata(8) = 'K 0.3333333333 0.3333333333 0.0 X 1.0 1.0 0.0'
wdata(9) = 'X 1.0 1.0 0.0 M1 0.0 0.5 0.0'
wdata(10) = 'M1 0.0 0.5 0.0 G 0.0 0.0 0.0'
wdata(11) = 'end kpoint_path'
bands_skipped = 'exclude_bands = 1-6'
proj(1) = 'Ca: l= -4, mr= 1,4,5'
proj(2) = 'I: l= 3, mr= 1,4,5,7'
dis_froz_min = -10.601014680266225
/

```

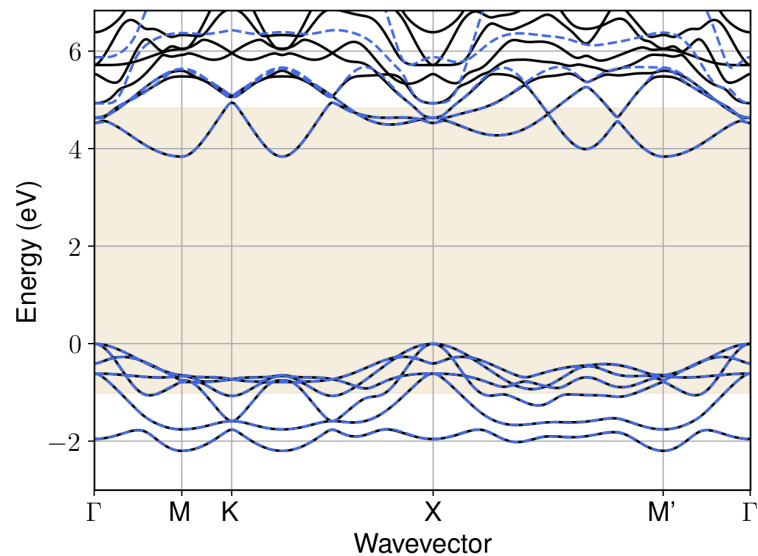


Figure S36: Bandstructure interpolation for monolayer  $\text{CaI}_2$ . Wannier-interpolation of the band structure of monolayer  $\text{CaI}_2$  over a wide energy range. Blue dashed lines are results from the present method, black solid lines are explicit DFT calculations. The yellow shaded region shows the range over which optimization has been performed. The interpolation error within the yellow region is 4 meV. The k-grid employed for NSCF calculation is  $6 \times 6$ .

## 25 Material: $\text{CdBr}_2$

The calculation files are appended below. These files should be executed in the order provided. The location of pseudo potentials should be changed accordingly.

```

---          scf.in ---
&CONTROL
calculation = 'scf'
verbosity = 'high'
restart_mode = 'from_scratch'
outdir = './'
pseudo_dir = '/scratch1/05193/sabyadk/2D_materials_Wann/Materials/CdBr2-86d0155d/pseudo/'
prefix = 'hBN'
/
&SYSTEM
ibrav = 0
nat = 3
ntyp = 2
ecutwfc = 60
ecutrho = 240
assume_isolated = 2D
/
&ELECTRONS
conv_thr = 1E-12
diagonalization = 'david'
electron_maxstep = 200
/
ATOMIC_SPECIES
Cd 112.414 Cd_r.upf
Br 79.904 Br_r.upf
ATOMIC_POSITIONS crystal
Cd 0.6666666666666666 0.3333333333333333 0.999999999996
Br 0.3333333333333333 0.6666666666666666 0.069252934203
Br 0.9999999999961 0.999999999971 0.930747065801

```

```

K_POINTS automatic
6 6 1 0 0 0

CELL_PARAMETERS angstrom
4.0074265411 0.0 2e-16
-2.003713270499987 3.4705331884999984 2e-16
0.0 0.0 23.1765732999

```

```

---                nscf.in ---
&CONTROL
calculation = bands
verbosity = 'high'
restart_mode = 'from_scratch'
outdir = './'
pseudo_dir = '/scratch1/05193/sabyadk/2D_materials_Wann/Materials/CdBr2-86d0155d/pseudo/'
prefix = 'hBN'
/
&SYSTEM
ibrav = 0
nat = 3
ntyp = 2
ecutwfc = 60
ecutrho = 240
assume_isolated = 2D
nbnd = 60
/
&ELECTRONS
conv_thr = 1E-10
diagonalization = 'david'
electron_maxstep = 200
/
ATOMIC_SPECIES
Cd 112.414 Cd_r.upf
Br 79.904 Br_r.upf
ATOMIC_POSITIONS crystal
Cd 0.6666666666666666 0.3333333333333333 0.999999999996
Br 0.3333333333333333 0.6666666666666666 0.069252934203
Br 0.999999999961 0.99999999971 0.930747065801

K_POINTS crystal
36
0.0 0.0 0.0 0.027778
0.0 0.1666666666666666 0.0 0.027778
0.0 0.3333333333333333 0.0 0.027778
0.0 0.5 0.0 0.027778
0.0 0.6666666666666666 0.0 0.027778
0.0 0.8333333333333333 0.0 0.027778
0.1666666666666666 0.0 0.0 0.027778
0.1666666666666666 0.1666666666666666 0.0 0.027778
0.1666666666666666 0.3333333333333333 0.0 0.027778
0.1666666666666666 0.5 0.0 0.027778
0.1666666666666666 0.6666666666666666 0.0 0.027778
0.1666666666666666 0.8333333333333333 0.0 0.027778
0.3333333333333333 0.0 0.0 0.027778
0.3333333333333333 0.1666666666666666 0.0 0.027778
0.3333333333333333 0.3333333333333333 0.0 0.027778
0.3333333333333333 0.5 0.0 0.027778
0.3333333333333333 0.6666666666666666 0.0 0.027778
0.3333333333333333 0.8333333333333333 0.0 0.027778
0.5 0.0 0.0 0.027778
0.5 0.1666666666666666 0.0 0.027778
0.5 0.3333333333333333 0.0 0.027778
0.5 0.5 0.0 0.027778
0.5 0.6666666666666666 0.0 0.027778
0.5 0.8333333333333333 0.0 0.027778
0.6666666666666666 0.0 0.0 0.027778
0.6666666666666666 0.1666666666666666 0.0 0.027778
0.6666666666666666 0.3333333333333333 0.0 0.027778
0.6666666666666666 0.5 0.0 0.027778
0.6666666666666666 0.6666666666666666 0.0 0.027778
0.6666666666666666 0.8333333333333333 0.0 0.027778
0.8333333333333333 0.0 0.0 0.027778
0.8333333333333333 0.1666666666666666 0.0 0.027778
0.8333333333333333 0.3333333333333333 0.0 0.027778
0.8333333333333333 0.5 0.0 0.027778
0.8333333333333333 0.6666666666666666 0.0 0.027778
0.8333333333333333 0.8333333333333333 0.0 0.027778

CELL_PARAMETERS angstrom
4.0074265411 0.0 2e-16
-2.003713270499987 3.4705331884999984 2e-16
0.0 0.0 23.1765732999

```



```

---                epw1.in ---
&inputepw
prefix = 'hBN'
amass(1) = 112.414
amass(2) = 79.904
outdir = './'
elph = .false.
epbwrite = .false.
epbread = .false.
epwwrite = .true.
epwread = .false.
etf_mem = 1
nbndsub = 12
use_ws = .true.
wannierize = .true.
num_iter = 1000
iprint = 2
dis_win_max = 19.27492069193798
dis_froz_max = -2.224237241626656
fsthick = 1.2
temps = 1
degaussw = 0.005
dvscf_dir = './save'
nk1 = 6
nk2 = 6
nk3 = 1
nq1 = 1
nq2 = 1
nq3 = 1
system_2d = 'dipole_sp'
lpolar = .true.
dis_win_min = -25.479400432010905
wdata(1) = 'guiding_centres = T'
wdata(2) = 'dis_num_iter = 1500'
wdata(3) = 'bands_num_points = 100 '
wdata(4) = 'bands_plot = .true.'
wdata(5) = 'begin kpoint_path'
wdata(6) = 'G 0.0 0.0 0.0 M 0.5 0.0 0.0'
wdata(7) = 'M 0.5 0.0 0.0 K 0.3333333333 0.3333333333 0.0'
wdata(8) = 'K 0.3333333333 0.3333333333 0.0 X 1.0 1.0 0.0'
wdata(9) = 'X 1.0 1.0 0.0 M1 0.0 0.5 0.0'
wdata(10) = 'M1 0.0 0.5 0.0 G 0.0 0.0 0.0'
wdata(11) = 'end kpoint_path'
bands_skipped = 'exclude_bands = 1-11'
proj(1) = 'Cd: l= 3, mr= 1,4,5,7'
proj(2) = 'Br: l= 3, mr= 1,4,6,7'
dis_froz_min = -12.998436144489277
/

```

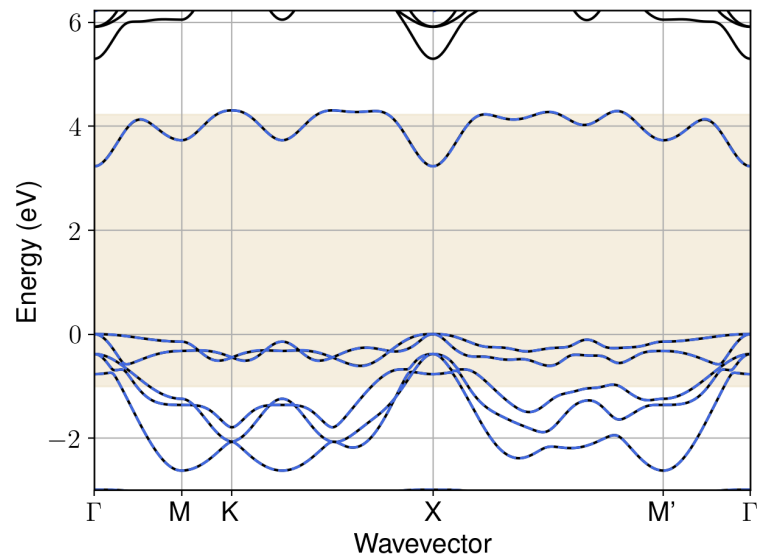


Figure S37: Bandstructure interpolation for monolayer  $\text{CdBr}_2$ . Wannier-interpolation of the band structure of monolayer  $\text{CdBr}_2$  over a wide energy range. Blue dashed lines are results from the present method, black solid lines are explicit DFT calculations. The yellow shaded region shows the range over which optimization has been performed. The interpolation error within the yellow region is 2 meV. The k-grid employed for NSCF calculation is  $6 \times 6$ .

## 26 Material: $\text{CdCl}_2$

The calculation files are appended below. These files should be executed in the order provided. The location of pseudo potentials should be changed accordingly.

```

---          scf.in ---
&CONTROL
calculation = 'scf'
verbosity = 'high'
restart_mode = 'from_scratch'
outdir = './'
pseudo_dir = '/scratch1/05193/sabyadk/2D_materials_Wann/Materials/CdCl2-2574b30f/pseudo/'
prefix = 'hBN'
/
&SYSTEM
ibrav = 0
nat = 3
ntyp = 2
ecutwfc = 60
ecutrho = 240
assume_isolated = 2D
/
&ELECTRONS
conv_thr = 1E-12
diagonalization = 'david'
electron_maxstep = 200
/
ATOMIC_SPECIES
Cd 112.414 Cd_r.upf
Cl 35.453 Cl_r.upf
ATOMIC_POSITIONS crystal
Cd 0.3333333333333333 0.6666666666666666 0.999999999999
Cl 0.6666666666666666 0.3333333333333333 0.936509436561
Cl 0.0 0.0 0.06349056344

```

```

K_POINTS automatic
6 6 1 0 0 0

CELL_PARAMETERS angstrom
3.884536183721 0.0 2e-16
-1.9422680920103286 3.3641070170673735 2e-16
0.0 0.0 22.8876628797

```

```

---                nscf.in ---
&CONTROL
calculation = bands
verbosity = 'high'
restart_mode = 'from_scratch'
outdir = './'
pseudo_dir = '/scratch1/05193/sabyadk/2D_materials_Wann/Materials/CdCl2-2574b30f/pseudo/'
prefix = 'hBN'
/
&SYSTEM
ibrav = 0
nat = 3
ntyp = 2
ecutwfc = 60
ecutrho = 240
assume_isolated = 2D
nbnd = 60
/
&ELECTRONS
conv_thr = 1E-10
diagonalization = 'david'
electron_maxstep = 200
/
ATOMIC_SPECIES
Cd 112.414 Cd_r.upf
Cl 35.453 Cl_r.upf
ATOMIC_POSITIONS crystal
Cd 0.3333333333333333 0.6666666666666666 0.999999999999
Cl 0.6666666666666666 0.3333333333333333 0.936509436561
Cl 0.0 0.0 0.06349056344

K_POINTS crystal
36
0.0 0.0 0.0 0.027778
0.0 0.1666666666666666 0.0 0.027778
0.0 0.3333333333333333 0.0 0.027778
0.0 0.5 0.0 0.027778
0.0 0.6666666666666666 0.0 0.027778
0.0 0.8333333333333333 0.0 0.027778
0.1666666666666666 0.0 0.0 0.027778
0.1666666666666666 0.1666666666666666 0.0 0.027778
0.1666666666666666 0.3333333333333333 0.0 0.027778
0.1666666666666666 0.5 0.0 0.027778
0.1666666666666666 0.6666666666666666 0.0 0.027778
0.1666666666666666 0.8333333333333333 0.0 0.027778
0.3333333333333333 0.0 0.0 0.027778
0.3333333333333333 0.1666666666666666 0.0 0.027778
0.3333333333333333 0.3333333333333333 0.0 0.027778
0.3333333333333333 0.5 0.0 0.027778
0.3333333333333333 0.6666666666666666 0.0 0.027778
0.3333333333333333 0.8333333333333333 0.0 0.027778
0.5 0.0 0.0 0.027778
0.5 0.1666666666666666 0.0 0.027778
0.5 0.3333333333333333 0.0 0.027778
0.5 0.5 0.0 0.027778
0.5 0.6666666666666666 0.0 0.027778
0.5 0.8333333333333333 0.0 0.027778
0.6666666666666666 0.0 0.0 0.027778
0.6666666666666666 0.1666666666666666 0.0 0.027778
0.6666666666666666 0.3333333333333333 0.0 0.027778
0.6666666666666666 0.5 0.0 0.027778
0.6666666666666666 0.6666666666666666 0.0 0.027778
0.6666666666666666 0.8333333333333333 0.0 0.027778
0.8333333333333333 0.0 0.0 0.027778
0.8333333333333333 0.1666666666666666 0.0 0.027778
0.8333333333333333 0.3333333333333333 0.0 0.027778
0.8333333333333333 0.5 0.0 0.027778
0.8333333333333333 0.6666666666666666 0.0 0.027778
0.8333333333333333 0.8333333333333333 0.0 0.027778

CELL_PARAMETERS angstrom
3.884536183721 0.0 2e-16
-1.9422680920103286 3.3641070170673735 2e-16
0.0 0.0 22.8876628797

```

```

---                epw1.in ---
&inputepw
prefix = 'hBN'
amass(1) = 112.414
amass(2) = 35.453
outdir = './'
elph = .false.
epbwrite = .false.
epbread = .false.
epwwrite = .true.
epwread = .false.
etf_mem = 1
nbndsub = 12
use_ws = .true.
wannierize = .true.
num_iter = 1000
iprint = 2
dis_win_max = 9.091568674118037
dis_froz_max = -1.9842119462116634
fsthick = 1.2
temps = 1
degaussw = 0.005
dvscf_dir = './save'
nk1 = 6
nk2 = 6
nk3 = 1
nq1 = 1
nq2 = 1
nq3 = 1
system_2d = 'dipole_sp'
lpolar = .true.
dis_win_min = -27.27169043491228
wdata(1) = 'guiding_centres = T'
wdata(2) = 'dis_num_iter = 1500'
wdata(3) = 'bands_num_points = 100 '
wdata(4) = 'bands_plot = .true.'
wdata(5) = 'begin kpoint_path'
wdata(6) = 'G 0.0 0.0 0.0 M 0.5 0.0 0.0'
wdata(7) = 'M 0.5 0.0 0.0 K 0.3333333333 0.3333333333 0.0'
wdata(8) = 'K 0.3333333333 0.3333333333 0.0 X 1.0 1.0 0.0'
wdata(9) = 'X 1.0 1.0 0.0 M1 0.0 0.5 0.0'
wdata(10) = 'M1 0.0 0.5 0.0 G 0.0 0.0 0.0'
wdata(11) = 'end kpoint_path'
bands_skipped = 'exclude_bands = 1-11'
proj(1) = 'Cd: l= 3, mr= 1,2,3,4,5,6'
proj(2) = 'Cl: l= 3, mr= 2,4,6'
dis_froz_min = -16.283811171469946
/

```

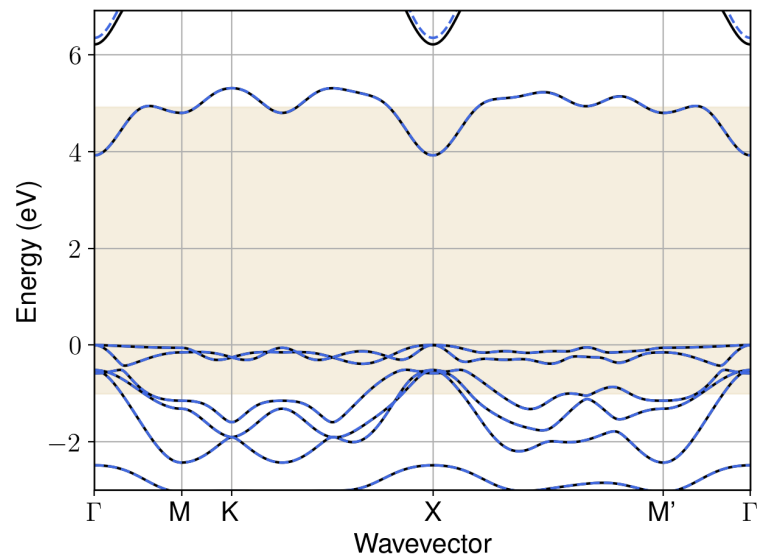


Figure S38: Bandstructure interpolation for monolayer  $\text{CdCl}_2$ . Wannier-interpolation of the band structure of monolayer  $\text{CdCl}_2$  over a wide energy range. Blue dashed lines are results from the present method, black solid lines are explicit DFT calculations. The yellow shaded region shows the range over which optimization has been performed. The interpolation error within the yellow region is 2 meV. The k-grid employed for NSCF calculation is  $6 \times 6$ .

## 27 Material: $\text{CdI}_2$

The calculation files are appended below. These files should be executed in the order provided. The location of pseudo potentials should be changed accordingly.

```

---          scf.in ---
&CONTROL
calculation = 'scf'
verbosity = 'high'
restart_mode = 'from_scratch'
outdir = './'
pseudo_dir = '/scratch1/05193/sabyadk/2D_materials_Wann/Materials/CdI2-36b834d1/pseudo/'
prefix = 'hBN'
/
&SYSTEM
ibrav = 0
nat = 3
ntyp = 2
ecutwfc = 60
ecutrho = 240
assume_isolated = 2D
/
&ELECTRONS
conv_thr = 1E-12
diagonalization = 'david'
electron_maxstep = 200
/
ATOMIC_SPECIES
Cd 112.414 Cd_r.upf
I 126.904 I_r.upf
ATOMIC_POSITIONS crystal
Cd 0.0 0.0 0.0
I 0.3333333333333333 0.6666666666666666 0.074697790562
I 0.6666666666666666 0.3333333333333333 0.925302209438

```

```

K_POINTS automatic
6 6 1 0 0 0

CELL_PARAMETERS angstrom
4.2765437739 0.0 3e-16
-2.13827188690023 3.7035955486003704 3e-16
0.0 0.0 23.4828509546

```

```

---                nscf.in ---
&CONTROL
calculation = bands
verbosity = 'high'
restart_mode = 'from_scratch'
outdir = './'
pseudo_dir = '/scratch1/05193/sabyadk/2D_materials_Wann/Materials/CdI2-36b834d1/pseudo/'
prefix = 'hBN'
/
&SYSTEM
ibrav = 0
nat = 3
ntyp = 2
ecutwfc = 60
ecutrho = 240
assume_isolated = 2D
nbnd = 60
/
&ELECTRONS
conv_thr = 1E-10
diagonalization = 'david'
electron_maxstep = 200
/
ATOMIC_SPECIES
Cd 112.414 Cd_r.upf
I 126.904 I_r.upf
ATOMIC_POSITIONS crystal
Cd 0.0 0.0 0.0
I 0.3333333333333333 0.6666666666666666 0.074697790562
I 0.6666666666666666 0.3333333333333333 0.925302209438

K_POINTS crystal
36
0.0 0.0 0.0 0.027778
0.0 0.1666666666666666 0.0 0.027778
0.0 0.3333333333333333 0.0 0.027778
0.0 0.5 0.0 0.027778
0.0 0.6666666666666666 0.0 0.027778
0.0 0.8333333333333333 0.0 0.027778
0.1666666666666666 0.0 0.0 0.027778
0.1666666666666666 0.1666666666666666 0.0 0.027778
0.1666666666666666 0.3333333333333333 0.0 0.027778
0.1666666666666666 0.5 0.0 0.027778
0.1666666666666666 0.6666666666666666 0.0 0.027778
0.1666666666666666 0.8333333333333333 0.0 0.027778
0.3333333333333333 0.0 0.0 0.027778
0.3333333333333333 0.1666666666666666 0.0 0.027778
0.3333333333333333 0.3333333333333333 0.0 0.027778
0.3333333333333333 0.5 0.0 0.027778
0.3333333333333333 0.6666666666666666 0.0 0.027778
0.3333333333333333 0.8333333333333333 0.0 0.027778
0.5 0.0 0.0 0.027778
0.5 0.1666666666666666 0.0 0.027778
0.5 0.3333333333333333 0.0 0.027778
0.5 0.5 0.0 0.027778
0.5 0.6666666666666666 0.0 0.027778
0.5 0.8333333333333333 0.0 0.027778
0.6666666666666666 0.0 0.0 0.027778
0.6666666666666666 0.1666666666666666 0.0 0.027778
0.6666666666666666 0.3333333333333333 0.0 0.027778
0.6666666666666666 0.5 0.0 0.027778
0.6666666666666666 0.6666666666666666 0.0 0.027778
0.6666666666666666 0.8333333333333333 0.0 0.027778
0.8333333333333333 0.0 0.0 0.027778
0.8333333333333333 0.1666666666666666 0.0 0.027778
0.8333333333333333 0.3333333333333333 0.0 0.027778
0.8333333333333333 0.5 0.0 0.027778
0.8333333333333333 0.6666666666666666 0.0 0.027778
0.8333333333333333 0.8333333333333333 0.0 0.027778

CELL_PARAMETERS angstrom
4.2765437739 0.0 3e-16
-2.13827188690023 3.7035955486003704 3e-16
0.0 0.0 23.4828509546

```

```

---                epw1.in ---
&inputepw
prefix = 'hBN'
amass(1) = 112.414
amass(2) = 126.904
outdir = './'
elph = .false.
epbwrite = .false.
epbread = .false.
epwwrite = .true.
epwread = .false.
etf_mem = 1
nbndsub = 11
use_ws = .true.
wannierize = .true.
num_iter = 1000
iprint = 2
dis_win_max = 15.700402334698014
dis_froz_max = -2.1279829778241552
fsthick = 1.2
temps = 1
degaussw = 0.005
dvscf_dir = './save'
nk1 = 6
nk2 = 6
nk3 = 1
nq1 = 1
nq2 = 1
nq3 = 1
system_2d = 'dipole_sp'
lpolar = .true.
dis_win_min = -23.814388299626906
wdata(1) = 'guiding_centres = T'
wdata(2) = 'dis_num_iter = 1500'
wdata(3) = 'bands_num_points = 100 '
wdata(4) = 'bands_plot = .true.'
wdata(5) = 'begin kpoint_path'
wdata(6) = 'G 0.0 0.0 0.0 M 0.5 0.0 0.0'
wdata(7) = 'M 0.5 0.0 0.0 K 0.3333333333 0.3333333333 0.0'
wdata(8) = 'K 0.3333333333 0.3333333333 0.0 X 1.0 1.0 0.0'
wdata(9) = 'X 1.0 1.0 0.0 M1 0.0 0.5 0.0'
wdata(10) = 'M1 0.0 0.5 0.0 G 0.0 0.0 0.0'
wdata(11) = 'end kpoint_path'
bands_skipped = 'exclude_bands = 1-11'
proj(1) = 'Cd: l= 3, mr= 1,4,5,6,7'
proj(2) = 'I: l= -5, mr= 1,5,6'
dis_froz_min = -8.99099328396725
/

```

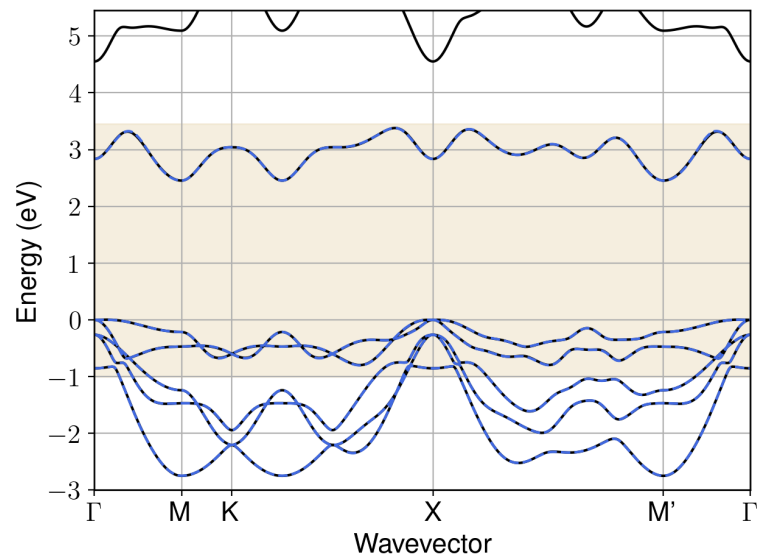


Figure S39: Bandstructure interpolation for monolayer  $\text{CdI}_2$ . Wannier-interpolation of the band structure of monolayer  $\text{CdI}_2$  over a wide energy range. Blue dashed lines are results from the present method, black solid lines are explicit DFT calculations. The yellow shaded region shows the range over which optimization has been performed. The interpolation error within the yellow region is 4 meV. The k-grid employed for NSCF calculation is  $6 \times 6$ .

## 28 Material: CdOCl

The calculation files are appended below. These files should be executed in the order provided. The location of pseudo potentials should be changed accordingly.

```

---          scf.in ---
&CONTROL
calculation = 'scf'
verbosity = 'high'
restart_mode = 'from_scratch'
outdir = './'
pseudo_dir = '/scratch1/05193/sabyadk/2D_materials_Wann/Materials/CdOCl-8332db45/pseudo/'
prefix = 'hBN'
/
&SYSTEM
ibrav = 0
nat = 3
ntyp = 3
ecutwfc = 60
ecutrho = 240
occupations = 'smearing'
smearing = 'gaussian'
degauss = 0.01
/
&ELECTRONS
conv_thr = 1E-10
diagonalization = cg
electron_maxstep = 500
/
ATOMIC_SPECIES
Cd 112.414 Cd_r.upf
Cl 35.453 Cl_r.upf
O 15.999 O_r.upf
ATOMIC_POSITIONS crystal
Cd 0.6666666666666666 0.3333333333333333 0.98441602817

```



```

Cl 0.3333333333333333 0.6666666666666666 0.078928537263
0 0.0 0.0 0.936655434567

K_POINTS automatic
6 6 1 0 0 0

CELL_PARAMETERS angstrom
3.727295342601 0.0 2e-16
-1.8636476712995496 3.2279324540992826 2e-16
0.0 0.0 16.9516437113

```

```

---                nscf.in ---
&CONTROL
calculation = bands
verbosity = 'high'
restart_mode = 'from_scratch'
outdir = './'
pseudo_dir = '/scratch1/05193/sabyadk/2D_materials_Wann/Materials/CdOCl-8332db45/pseudo/'
prefix = 'hBN'
/
&SYSTEM
ibrav = 0
nat = 3
ntyp = 3
ecutwfc = 60
ecutrho = 240
occupations = 'smearing'
smearing = 'gaussian'
degauss = 0.01
nbnd = 60
/
&ELECTRONS
conv_thr = 1E-10
diagonalization = cg
electron_maxstep = 500
/
ATOMIC_SPECIES
Cd 112.414 Cd_r.upf
Cl 35.453 Cl_r.upf
O 15.999 O_r.upf
ATOMIC_POSITIONS crystal
Cd 0.6666666666666666 0.3333333333333333 0.98441602817
Cl 0.3333333333333333 0.6666666666666666 0.078928537263
O 0.0 0.0 0.936655434567

K_POINTS crystal
36
0.0 0.0 0.0 0.027778
0.0 0.1666666666666666 0.0 0.027778
0.0 0.3333333333333333 0.0 0.027778
0.0 0.5 0.0 0.027778
0.0 0.6666666666666666 0.0 0.027778
0.0 0.8333333333333333 0.0 0.027778
0.1666666666666666 0.0 0.0 0.027778
0.1666666666666666 0.1666666666666666 0.0 0.027778
0.1666666666666666 0.3333333333333333 0.0 0.027778
0.1666666666666666 0.5 0.0 0.027778
0.1666666666666666 0.6666666666666666 0.0 0.027778
0.1666666666666666 0.8333333333333333 0.0 0.027778
0.3333333333333333 0.0 0.0 0.027778
0.3333333333333333 0.1666666666666666 0.0 0.027778
0.3333333333333333 0.3333333333333333 0.0 0.027778
0.3333333333333333 0.5 0.0 0.027778
0.3333333333333333 0.6666666666666666 0.0 0.027778
0.3333333333333333 0.8333333333333333 0.0 0.027778
0.5 0.0 0.0 0.027778
0.5 0.1666666666666666 0.0 0.027778
0.5 0.3333333333333333 0.0 0.027778
0.5 0.5 0.0 0.027778
0.5 0.6666666666666666 0.0 0.027778
0.5 0.8333333333333333 0.0 0.027778
0.6666666666666666 0.0 0.0 0.027778
0.6666666666666666 0.1666666666666666 0.0 0.027778
0.6666666666666666 0.3333333333333333 0.0 0.027778
0.6666666666666666 0.5 0.0 0.027778
0.6666666666666666 0.6666666666666666 0.0 0.027778
0.6666666666666666 0.8333333333333333 0.0 0.027778
0.8333333333333333 0.0 0.0 0.027778
0.8333333333333333 0.1666666666666666 0.0 0.027778
0.8333333333333333 0.3333333333333333 0.0 0.027778
0.8333333333333333 0.5 0.0 0.027778
0.8333333333333333 0.6666666666666666 0.0 0.027778
0.8333333333333333 0.8333333333333333 0.0 0.027778

```

```

CELL_PARAMETERS angstrom
3.727295342601 0.0 2e-16
-1.8636476712995496 3.2279324540992826 2e-16
0.0 0.0 16.9516437113

```

```

---                epw1.in ---
&inputepw
prefix = 'hBN'
amass(1) = 112.414
amass(2) = 35.453
amass(3) = 15.999
outdir = './'
elph = .false.
epbwrite = .false.
epbread = .false.
epwwrite = .true.
epwread = .false.
etf_mem = 1
nbndsub = 7
use_ws = .true.
wannierize = .true.
num_iter = 1000
iprint = 2
dis_win_max = 10.58528510431001
dis_froz_max = 1.6063072593602148
fsthick = 1.2
temps = 1
degaussw = 0.005
dvscf_dir = './save'
nk1 = 6
nk2 = 6
nk3 = 1
nq1 = 1
nq2 = 1
nq3 = 1
dis_win_min = -15.813533471460048
wdata(1) = 'guiding_centres = T'
wdata(2) = 'dis_num_iter = 1500'
wdata(3) = 'bands_num_points = 100 '
wdata(4) = 'bands_plot = .true.'
wdata(5) = 'begin kpoint_path'
wdata(6) = 'G 0.0 0.0 0.0 M 0.5 0.0 0.0'
wdata(7) = 'M 0.5 0.0 0.0 K 0.3333333333 0.3333333333 0.0'
wdata(8) = 'K 0.3333333333 0.3333333333 0.0 X 1.0 1.0 0.0'
wdata(9) = 'X 1.0 1.0 0.0 M1 0.0 0.5 0.0'
wdata(10) = 'M1 0.0 0.5 0.0 G 0.0 0.0 0.0'
wdata(11) = 'end kpoint_path'
bands_skipped = 'exclude_bands = 1-6'
proj(1) = 'Cd: l= 3, mr= 3,5,6'
proj(2) = 'Cl: l= 3, mr= 1,5,7'
proj(3) = 'O: l= 3, mr= 5'
dis_froz_min = -8.43842310241744
/

```

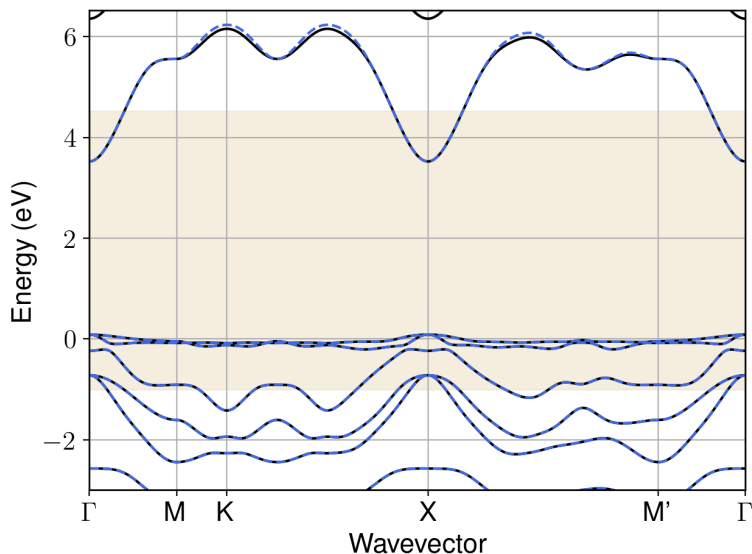


Figure S40: Bandstructure interpolation for monolayer CdOCl. Wannier-interpolation of the band structure of monolayer CdOCl over a wide energy range. Blue dashed lines are results from the present method, black solid lines are explicit DFT calculations. The yellow shaded region shows the range over which optimization has been performed. The interpolation error within the yellow region is 1 meV. The k-grid employed for NSCF calculation is  $6 \times 6$ .

## 29 Material: Cd

The calculation files are appended below. These files should be executed in the order provided. The location of pseudo potentials should be changed accordingly.

```

---          scf.in ---
&CONTROL
calculation = 'scf'
verbosity = 'high'
restart_mode = 'from_scratch'
outdir = './'
pseudo_dir = '/scratch1/05193/sabyadk/2D_materials_Wann/Materials/Cd-0H2-80d52d80/pseudo/'
prefix = 'hBN'
/
&SYSTEM
ibrav = 0
nat = 5
ntyp = 3
ecutwfc = 60
ecutrho = 240
assume_isolated = 2D
/
&ELECTRONS
conv_thr = 1E-12
diagonalization = 'david'
electron_maxstep = 200
/
ATOMIC_SPECIES
Cd 112.414 Cd_r.upf
H 1.008 H_r.upf
O 15.999 O_r.upf
ATOMIC_POSITIONS crystal
Cd 0.0 0.0 2e-12
H 0.6666666666666666 0.3333333333333333 0.914371794385
O 0.3333333333333333 0.6666666666666666 0.085628205616

```

```

O 0.6666666666666666 0.3333333333333333 0.954450196666
O 0.3333333333333333 0.6666666666666666 0.045549803331

K_POINTS automatic
6 6 1 0 0 0

CELL_PARAMETERS angstrom
3.5698799123 0.0 2e-16
-1.784939956100017 3.0916066925000067 2e-16
0.0 0.0 24.1669234369

```

```

--- nscf.in ---
&CONTROL
calculation = bands
verbosity = 'high'
restart_mode = 'from_scratch'
outdir = './'
pseudo_dir = '/scratch1/05193/sabyadk/2D_materials_Wann/Materials/Cd-OH2-80d52d80/pseudo/'
prefix = 'hBN'
/
&SYSTEM
ibrav = 0
nat = 5
ntyp = 3
ecutwfc = 60
ecutrho = 240
assume_isolated = 2D
nbnd = 60
/
&ELECTRONS
conv_thr = 1E-10
diagonalization = 'david'
electron_maxstep = 200
/
ATOMIC_SPECIES
Cd 112.414 Cd_r.upf
H 1.008 H_r.upf
O 15.999 O_r.upf
ATOMIC_POSITIONS crystal
Cd 0.0 0.0 2e-12
H 0.6666666666666666 0.3333333333333333 0.914371794385
H 0.3333333333333333 0.6666666666666666 0.085628205616
O 0.6666666666666666 0.3333333333333333 0.954450196666
O 0.3333333333333333 0.6666666666666666 0.045549803331

K_POINTS crystal
36
0.0 0.0 0.0 0.027778
0.0 0.1666666666666666 0.0 0.027778
0.0 0.3333333333333333 0.0 0.027778
0.0 0.5 0.0 0.027778
0.0 0.6666666666666666 0.0 0.027778
0.0 0.8333333333333333 0.0 0.027778
0.1666666666666666 0.0 0.0 0.027778
0.1666666666666666 0.1666666666666666 0.0 0.027778
0.1666666666666666 0.3333333333333333 0.0 0.027778
0.1666666666666666 0.5 0.0 0.027778
0.1666666666666666 0.6666666666666666 0.0 0.027778
0.1666666666666666 0.8333333333333333 0.0 0.027778
0.3333333333333333 0.0 0.0 0.027778
0.3333333333333333 0.1666666666666666 0.0 0.027778
0.3333333333333333 0.3333333333333333 0.0 0.027778
0.3333333333333333 0.5 0.0 0.027778
0.3333333333333333 0.6666666666666666 0.0 0.027778
0.3333333333333333 0.8333333333333333 0.0 0.027778
0.5 0.0 0.0 0.027778
0.5 0.1666666666666666 0.0 0.027778
0.5 0.3333333333333333 0.0 0.027778
0.5 0.5 0.0 0.027778
0.5 0.6666666666666666 0.0 0.027778
0.5 0.8333333333333333 0.0 0.027778
0.6666666666666666 0.0 0.0 0.027778
0.6666666666666666 0.1666666666666666 0.0 0.027778
0.6666666666666666 0.3333333333333333 0.0 0.027778
0.6666666666666666 0.5 0.0 0.027778
0.6666666666666666 0.6666666666666666 0.0 0.027778
0.6666666666666666 0.8333333333333333 0.0 0.027778
0.8333333333333333 0.0 0.0 0.027778
0.8333333333333333 0.1666666666666666 0.0 0.027778
0.8333333333333333 0.3333333333333333 0.0 0.027778
0.8333333333333333 0.5 0.0 0.027778
0.8333333333333333 0.6666666666666666 0.0 0.027778
0.8333333333333333 0.8333333333333333 0.0 0.027778

```

```

CELL_PARAMETERS angstrom
3.5698799123  0.0  2e-16
-1.784939956100017  3.0916066925000067  2e-16
0.0  0.0  24.1669234369

```

```

---                epw1.in ---
&inputepw
prefix = 'hBN'
amass(1) = 112.414
amass(2) = 1.008
amass(3) = 15.999
outdir = './'
elph = .false.
epbwrite = .false.
epbread = .false.
epwwrite = .true.
epwread = .false.
etf_mem = 1
nbndsub = 17
use_ws = .true.
wannierize = .true.
num_iter = 1000
iprint = 2
dis_win_max = 15.128664928488115
dis_froz_max = -0.037370392981003864
fsthick = 1.2
temps = 1
degaussw = 0.005
dvscf_dir = './save'
nk1 = 6
nk2 = 6
nk3 = 1
nq1 = 1
nq2 = 1
nq3 = 1
system_2d = 'dipole_sp'
lpolar = .true.
dis_win_min = -22.33824646827589
wdata(1) = 'guiding_centres = T'
wdata(2) = 'dis_num_iter = 1500'
wdata(3) = 'bands_num_points = 100 '
wdata(4) = 'bands_plot = .true.'
wdata(5) = 'begin kpoint_path'
wdata(6) = 'G 0.0 0.0 0.0 M 0.5 0.0 0.0'
wdata(7) = 'M 0.5 0.0 0.0 K 0.3333333333 0.3333333333 0.0'
wdata(8) = 'K 0.3333333333 0.3333333333 0.0 X 1.0 1.0 0.0'
wdata(9) = 'X 1.0 1.0 0.0 M1 0.0 0.5 0.0'
wdata(10) = 'M1 0.0 0.5 0.0 G 0.0 0.0 0.0'
wdata(11) = 'end kpoint_path'
bands_skipped = 'exclude_bands = 1-11'
proj(1) = 'Cd: l= 3, mr= 1,2,4'
proj(2) = 'H: l= -4, mr= 1,2,3,4,5'
proj(3) = 'O: l= -1, mr= 1,2'
dis_froz_min = -12.806529546040256
/

```

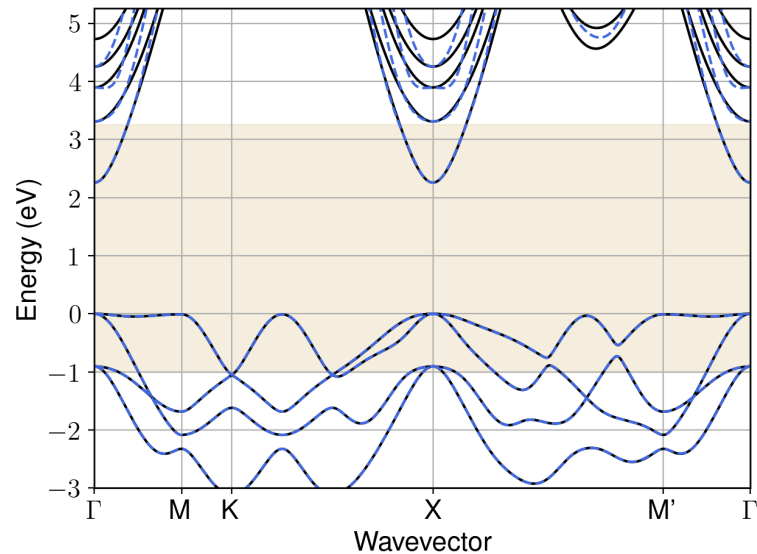


Figure S41: Bandstructure interpolation for monolayer Cd. Wannier-interpolation of the band structure of monolayer Cd over a wide energy range. Blue dashed lines are results from the present method, black solid lines are explicit DFT calculations. The yellow shaded region shows the range over which optimization has been performed. The interpolation error within the yellow region is 3 meV. The k-grid employed for NSCF calculation is  $6 \times 6$ .

### 30 Material: $\text{Ce}_2\text{Si}_2\text{I}_2$

The calculation files are appended below. These files should be executed in the order provided. The location of pseudo potentials should be changed accordingly.

```

---          scf.in ---
&CONTROL
calculation = 'scf'
verbosity = 'high'
restart_mode = 'from_scratch'
outdir = './'
pseudo_dir = '/scratch1/05193/sabyadk/2D_materials_Wann/Materials/Ce2Si2I2-81247342/pseudo/'
prefix = 'hBN'
/
&SYSTEM
ibrav = 0
nat = 6
ntyp = 3
ecutwfc = 60
ecutrho = 240
occupations = 'smearing'
smearing = 'gaussian'
degauss = 0.1
/
&ELECTRONS
conv_thr = 1E-10
diagonalization = cg
electron_maxstep = 500
/
ATOMIC_SPECIES
Ce 140.116 Ce_r.upf
Si 28.086 Si_r.upf
I 126.904 I_r.upf
ATOMIC_POSITIONS crystal
Ce 0.0 0.0 0.068278052694

```

```

Ce 0.0 0.0 0.931721947306
Si 0.6666666666666666 0.3333333333333333 0.001571026761
Si 0.3333333333333333 0.6666666666666666 0.998428973239
I 0.3333333333333333 0.6666666666666666 0.145064298081
I 0.6666666666666666 0.3333333333333333 0.854935701919

K_POINTS automatic
6 6 1 0 0 0

CELL_PARAMETERS angstrom
4.1516036348 0.0 3e-16
-2.0758018173998902 3.5953942140998474 3e-16
0.0 0.0 28.2829421851

```

```

---                nscf.in ---
&CONTROL
calculation = bands
verbosity = 'high'
restart_mode = 'from_scratch'
outdir = './'
pseudo_dir = '/scratch1/05193/sabyadk/2D_materials_Wann/Materials/Ce2Si2I2-81247342/pseudo/'
prefix = 'hBN'
/
&SYSTEM
ibrav = 0
nat = 6
ntyp = 3
ecutwfc = 60
ecutrho = 240
occupations = 'smearing'
smearing = 'gaussian'
degauss = 0.1
nbnd = 60
/
&ELECTRONS
conv_thr = 1E-10
diagonalization = cg
electron_maxstep = 500
/
ATOMIC_SPECIES
Ce 140.116 Ce_r.upf
Si 28.086 Si_r.upf
I 126.904 I_r.upf
ATOMIC_POSITIONS crystal
Ce 0.0 0.0 0.068278052694
Ce 0.0 0.0 0.931721947306
Si 0.6666666666666666 0.3333333333333333 0.001571026761
Si 0.3333333333333333 0.6666666666666666 0.998428973239
I 0.3333333333333333 0.6666666666666666 0.145064298081
I 0.6666666666666666 0.3333333333333333 0.854935701919

K_POINTS crystal
36
0.0 0.0 0.0 0.027778
0.0 0.1666666666666666 0.0 0.027778
0.0 0.3333333333333333 0.0 0.027778
0.0 0.5 0.0 0.027778
0.0 0.6666666666666666 0.0 0.027778
0.0 0.8333333333333333 0.0 0.027778
0.1666666666666666 0.0 0.0 0.027778
0.1666666666666666 0.1666666666666666 0.0 0.027778
0.1666666666666666 0.3333333333333333 0.0 0.027778
0.1666666666666666 0.5 0.0 0.027778
0.1666666666666666 0.6666666666666666 0.0 0.027778
0.1666666666666666 0.8333333333333333 0.0 0.027778
0.3333333333333333 0.0 0.0 0.027778
0.3333333333333333 0.1666666666666666 0.0 0.027778
0.3333333333333333 0.3333333333333333 0.0 0.027778
0.3333333333333333 0.5 0.0 0.027778
0.3333333333333333 0.6666666666666666 0.0 0.027778
0.3333333333333333 0.8333333333333333 0.0 0.027778
0.5 0.0 0.0 0.027778
0.5 0.1666666666666666 0.0 0.027778
0.5 0.3333333333333333 0.0 0.027778
0.5 0.5 0.0 0.027778
0.5 0.6666666666666666 0.0 0.027778
0.5 0.8333333333333333 0.0 0.027778
0.6666666666666666 0.0 0.0 0.027778
0.6666666666666666 0.1666666666666666 0.0 0.027778
0.6666666666666666 0.3333333333333333 0.0 0.027778
0.6666666666666666 0.5 0.0 0.027778
0.6666666666666666 0.6666666666666666 0.0 0.027778
0.6666666666666666 0.8333333333333333 0.0 0.027778

```

```

0.8333333333333333 0.0 0.0 0.027778
0.8333333333333333 0.1666666666666666 0.0 0.027778
0.8333333333333333 0.3333333333333333 0.0 0.027778
0.8333333333333333 0.5 0.0 0.027778
0.8333333333333333 0.6666666666666666 0.0 0.027778
0.8333333333333333 0.8333333333333333 0.0 0.027778

CELL_PARAMETERS angstrom
4.1516036348 0.0 3e-16
-2.0758018173998902 3.5953942140998474 3e-16
0.0 0.0 28.2829421851

```

```

---                epw1.in ---
&inputepw
prefix = 'hBN'
amass(1) = 140.116
amass(2) = 28.086
amass(3) = 126.904
outdir = './'
elph = .false.
epbwrite = .false.
epbread = .false.
epwwrite = .true.
epwread = .false.
etf_mem = 1
nbndsub = 20
use_ws = .true.
wannierize = .true.
num_iter = 1000
iprint = 2
dis_win_max = 21.786981776371213
dis_froz_max = 2.3956820739407885
fsthick = 1.2
temps = 1
degaussw = 0.005
dvscf_dir = './save'
nk1 = 6
nk2 = 6
nk3 = 1
nq1 = 1
nq2 = 1
nq3 = 1
dis_win_min = -16.97312389382513
wdata(1) = 'guiding_centres = T'
wdata(2) = 'dis_num_iter = 1500'
wdata(3) = 'bands_num_points = 100 '
wdata(4) = 'bands_plot = .true.'
wdata(5) = 'begin kpoint_path'
wdata(6) = 'G 0.0 0.0 0.0 M 0.5 0.0 0.0'
wdata(7) = 'M 0.5 0.0 0.0 K 0.3333333333 0.3333333333 0.0'
wdata(8) = 'K 0.3333333333 0.3333333333 0.0 X 1.0 1.0 0.0'
wdata(9) = 'X 1.0 1.0 0.0 M1 0.0 0.5 0.0'
wdata(10) = 'M1 0.0 0.5 0.0 G 0.0 0.0 0.0'
wdata(11) = 'end kpoint_path'
bands_skipped = 'exclude_bands = 1-11'
proj(1) = 'Ce: l= 2, mr= 2,3,4'
proj(2) = 'Si: l= 3, mr= 1,2,4,6'
proj(3) = 'I: l= 3, mr= 1,4,6'
dis_froz_min = -8.903705334226576
/

```



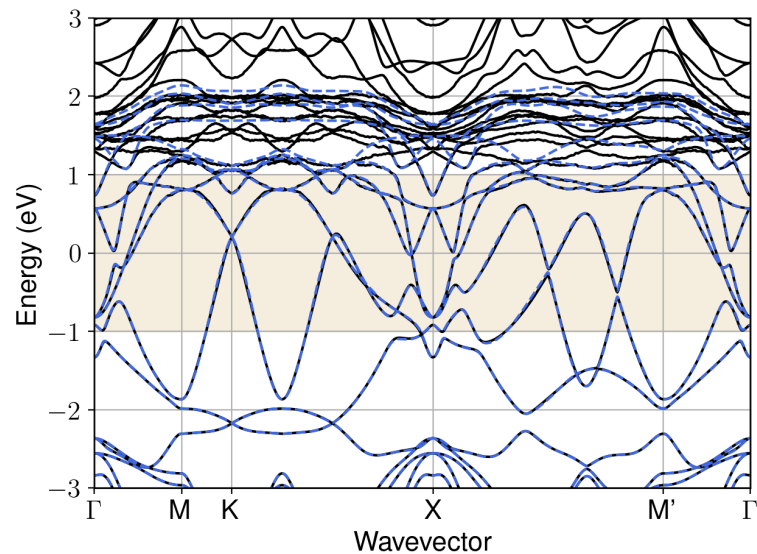


Figure S42: Bandstructure interpolation for monolayer  $\text{Ce}_2\text{Si}_2\text{I}_2$ . Wannier-interpolation of the band structure of monolayer  $\text{Ce}_2\text{Si}_2\text{I}_2$  over a wide energy range. Blue dashed lines are results from the present method, black solid lines are explicit DFT calculations. The yellow shaded region shows the range over which optimization has been performed. The interpolation error within the yellow region is 13 meV. The k-grid employed for NSCF calculation is  $6 \times 6$ .

### 31 Material: $\text{CoI}_2$

The calculation files are appended below. These files should be executed in the order provided. The location of pseudo potentials should be changed accordingly.

```

---          scf.in ---
&CONTROL
calculation = 'scf'
verbosity = 'high'
restart_mode = 'from_scratch'
outdir = './'
pseudo_dir = '/scratch1/05193/sabyadk/2D_materials_Wann/Materials/CoI2-63ba67df/pseudo/'
prefix = 'hBN'
/
&SYSTEM
ibrav = 0
nat = 6
ntyp = 2
ecutwfc = 60
ecutrho = 240
occupations = 'smearing'
smearing = 'gaussian'
degauss = 0.1
/
&ELECTRONS
conv_thr = 1E-10
diagonalization = cg
electron_maxstep = 500
/
ATOMIC_SPECIES
Co 58.933 Co_r.upf
I 126.904 I_r.upf
ATOMIC_POSITIONS crystal
Co 0.499999999997 0.500000000018 0.0
Co 0.0 0.0 0.0

```

```

I 0.665818828252 5.144e-09 0.081023813079
I 0.165818794619 0.500000005133 0.081023818294
I 0.334181171756 0.999999994878 0.918976186921
I 0.834181205381 0.499999994867 0.918976181706

```

```

K_POINTS automatic
6 6 1 0 0 0

```

```

CELL_PARAMETERS angstrom
6.714538308149 0.0 4e-16
3.47039488e-07 3.8711709606319844 2e-16
0.0 0.0 17.871847

```

```

---                nscf.in ---
&CONTROL
calculation = bands
verbosity = 'high'
restart_mode = 'from_scratch'
outdir = './'
pseudo_dir = '/scratch1/05193/sabyadk/2D_materials_Wann/Materials/CoI2-63ba67df/pseudo/'
prefix = 'hEN'
/
&SYSTEM
ibrav = 0
nat = 6
ntyp = 2
ecutwfc = 60
ecutrho = 240
occupations = 'smearing'
smearing = 'gaussian'
degauss = 0.1
nband = 60
/
&ELECTRONS
conv_thr = 1E-10
diagonalization = cg
electron_maxstep = 500
/
ATOMIC_SPECIES
Co 58.933 Co_r.upf
I 126.904 I_r.upf
ATOMIC_POSITIONS crystal
Co 0.499999999997 0.500000000018 0.0
Co 0.0 0.0 0.0
I 0.665818828252 5.144e-09 0.081023813079
I 0.165818794619 0.500000005133 0.081023818294
I 0.334181171756 0.999999994878 0.918976186921
I 0.834181205381 0.499999994867 0.918976181706

K_POINTS crystal
36
0.0 0.0 0.0 0.027778
0.0 0.16666666666666666 0.0 0.027778
0.0 0.3333333333333333 0.0 0.027778
0.0 0.5 0.0 0.027778
0.0 0.6666666666666666 0.0 0.027778
0.0 0.8333333333333333 0.0 0.027778
0.16666666666666666 0.0 0.0 0.027778
0.16666666666666666 0.16666666666666666 0.0 0.027778
0.16666666666666666 0.3333333333333333 0.0 0.027778
0.16666666666666666 0.5 0.0 0.027778
0.16666666666666666 0.6666666666666666 0.0 0.027778
0.16666666666666666 0.8333333333333333 0.0 0.027778
0.3333333333333333 0.0 0.0 0.027778
0.3333333333333333 0.16666666666666666 0.0 0.027778
0.3333333333333333 0.3333333333333333 0.0 0.027778
0.3333333333333333 0.5 0.0 0.027778
0.3333333333333333 0.6666666666666666 0.0 0.027778
0.3333333333333333 0.8333333333333333 0.0 0.027778
0.5 0.0 0.0 0.027778
0.5 0.16666666666666666 0.0 0.027778
0.5 0.3333333333333333 0.0 0.027778
0.5 0.5 0.0 0.027778
0.5 0.6666666666666666 0.0 0.027778
0.5 0.8333333333333333 0.0 0.027778
0.6666666666666666 0.0 0.0 0.027778
0.6666666666666666 0.16666666666666666 0.0 0.027778
0.6666666666666666 0.3333333333333333 0.0 0.027778
0.6666666666666666 0.5 0.0 0.027778
0.6666666666666666 0.6666666666666666 0.0 0.027778
0.6666666666666666 0.8333333333333333 0.0 0.027778
0.8333333333333333 0.0 0.0 0.027778
0.8333333333333333 0.16666666666666666 0.0 0.027778

```

```

0.8333333333333333 0.3333333333333333 0.0 0.027778
0.8333333333333333 0.5 0.0 0.027778
0.8333333333333333 0.6666666666666666 0.0 0.027778
0.8333333333333333 0.8333333333333333 0.0 0.027778

```

```

CELL_PARAMETERS angstrom
6.714538308149 0.0 4e-16
3.47039488e-07 3.8711709606319844 2e-16
0.0 0.0 17.871847

```

```

---                epw1.in ---
&inputepw
prefix = 'hBN'
amass(1) = 58.933
amass(2) = 126.904
outdir = './'
elph = .false.
epbwrite = .false.
epbread = .false.
epwwrite = .true.
epwread = .false.
etf_mem = 1
nbndsub = 22
use_ws = .true.
wannierize = .true.
num_iter = 1000
iprint = 2
dis_win_max = 12.432121718812795
dis_froz_max = 2.149765057802865
fsthick = 1.2
temps = 1
degaussw = 0.005
dvscf_dir = './save'
nk1 = 6
nk2 = 6
nk3 = 1
nq1 = 1
nq2 = 1
nq3 = 1
dis_win_min = -11.509712441886885
wdata(1) = 'guiding_centres = T'
wdata(2) = 'dis_num_iter = 1500'
wdata(3) = 'bands_num_points = 100 '
wdata(4) = 'bands_plot = .true.'
wdata(5) = 'begin kpoint_path'
wdata(6) = 'G 0.0 0.0 0.0 M 0.5 0.0 0.0'
wdata(7) = 'M 0.5 0.0 0.0 K 0.3333333333 0.3333333333 0.0'
wdata(8) = 'K 0.3333333333 0.3333333333 0.0 X 1.0 1.0 0.0'
wdata(9) = 'X 1.0 1.0 0.0 M1 0.0 0.5 0.0'
wdata(10) = 'M1 0.0 0.5 0.0 G 0.0 0.0 0.0'
wdata(11) = 'end kpoint_path'
bands_skipped = 'exclude_bands = 1-12'
proj(1) = 'Co: l= -4, mr= 1'
proj(2) = 'I: l= 3, mr= 1,3,4,5,6'
dis_froz_min = -4.423690892668615
/

```

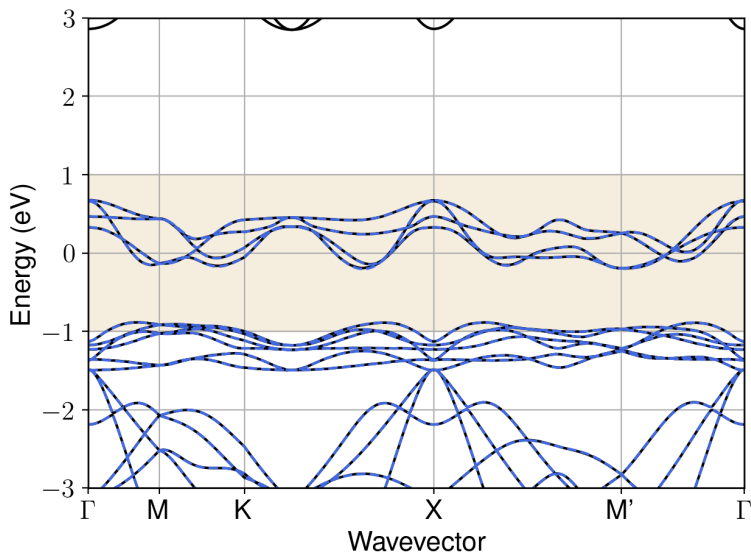


Figure S43: Bandstructure interpolation for monolayer  $\text{CoI}_2$ . Wannier-interpolation of the band structure of monolayer  $\text{CoI}_2$  over a wide energy range. Blue dashed lines are results from the present method, black solid lines are explicit DFT calculations. The yellow shaded region shows the range over which optimization has been performed. The interpolation error within the yellow region is 4 meV. The k-grid employed for NSCF calculation is  $6 \times 6$ .

## 32 Material: $\text{CoO}_2$

The calculation files are appended below. These files should be executed in the order provided. The location of pseudo potentials should be changed accordingly.

```

---          scf.in ---
&CONTROL
calculation = 'scf'
verbosity = 'high'
restart_mode = 'from_scratch'
outdir = './'
pseudo_dir = '/scratch1/05193/sabyadk/2D_materials_Wann/Materials/CoO2-d418ddcd/pseudo/'
prefix = 'hBN'
/
&SYSTEM
ibrav = 0
nat = 3
ntyp = 2
ecutwfc = 60
ecutrho = 240
occupations = 'smearing'
smearing = 'gaussian'
degauss = 0.1
/
&ELECTRONS
conv_thr = 1E-10
diagonalization = cg
electron_maxstep = 500
/
ATOMIC_SPECIES
Co 58.933 Co_r.upf
O 15.999 O_r.upf
ATOMIC_POSITIONS crystal
Co 0.0 0.0 0.0
O 0.3333333333333333 0.6666666666666666 0.940508326579

```

```

O 0.6666666666666666 0.3333333333333333 0.059491673421

K_POINTS automatic
6 6 1 0 0 0

CELL_PARAMETERS angstrom
2.812579010574 0.0 2e-16
-1.4062895052606 2.4357648733232273 2e-16
0.0 0.0 15.731212625

```

```

--- nscf.in ---
&CONTROL
calculation = bands
verbosity = 'high'
restart_mode = 'from_scratch'
outdir = './'
pseudo_dir = '/scratch1/05193/sabyadk/2D_materials_Wann/Materials/Co02-d418ddcd/pseudo/'
prefix = 'hBN'
/
&SYSTEM
ibrav = 0
nat = 3
ntyp = 2
ecutwfc = 60
ecutrho = 240
occupations = 'smearing'
smearing = 'gaussian'
degauss = 0.1
nbnd = 60
/
&ELECTRONS
conv_thr = 1E-10
diagonalization = cg
electron_maxstep = 500
/
ATOMIC_SPECIES
Co 58.933 Co_r.upf
O 15.999 O_r.upf
ATOMIC_POSITIONS crystal
Co 0.0 0.0 0.0
O 0.3333333333333333 0.6666666666666666 0.940508326579
O 0.6666666666666666 0.3333333333333333 0.059491673421

K_POINTS crystal
36
0.0 0.0 0.0 0.027778
0.0 0.1666666666666666 0.0 0.027778
0.0 0.3333333333333333 0.0 0.027778
0.0 0.5 0.0 0.027778
0.0 0.6666666666666666 0.0 0.027778
0.0 0.8333333333333333 0.0 0.027778
0.1666666666666666 0.0 0.0 0.027778
0.1666666666666666 0.1666666666666666 0.0 0.027778
0.1666666666666666 0.3333333333333333 0.0 0.027778
0.1666666666666666 0.5 0.0 0.027778
0.1666666666666666 0.6666666666666666 0.0 0.027778
0.1666666666666666 0.8333333333333333 0.0 0.027778
0.3333333333333333 0.0 0.0 0.027778
0.3333333333333333 0.1666666666666666 0.0 0.027778
0.3333333333333333 0.3333333333333333 0.0 0.027778
0.3333333333333333 0.5 0.0 0.027778
0.3333333333333333 0.6666666666666666 0.0 0.027778
0.3333333333333333 0.8333333333333333 0.0 0.027778
0.5 0.0 0.0 0.027778
0.5 0.1666666666666666 0.0 0.027778
0.5 0.3333333333333333 0.0 0.027778
0.5 0.5 0.0 0.027778
0.5 0.6666666666666666 0.0 0.027778
0.5 0.8333333333333333 0.0 0.027778
0.6666666666666666 0.0 0.0 0.027778
0.6666666666666666 0.1666666666666666 0.0 0.027778
0.6666666666666666 0.3333333333333333 0.0 0.027778
0.6666666666666666 0.5 0.0 0.027778
0.6666666666666666 0.6666666666666666 0.0 0.027778
0.6666666666666666 0.8333333333333333 0.0 0.027778
0.8333333333333333 0.0 0.0 0.027778
0.8333333333333333 0.1666666666666666 0.0 0.027778
0.8333333333333333 0.3333333333333333 0.0 0.027778
0.8333333333333333 0.5 0.0 0.027778
0.8333333333333333 0.6666666666666666 0.0 0.027778
0.8333333333333333 0.8333333333333333 0.0 0.027778

CELL_PARAMETERS angstrom

```

```

2.812579010574 0.0 2e-16
-1.4062895052606 2.4357648733232273 2e-16
0.0 0.0 15.731212625

```

```

---                epw1.in ---
&inputepw
prefix = 'hBN'
amass(1) = 58.933
amass(2) = 15.999
outdir = './'
elph = .false.
epbwrite = .false.
epbread = .false.
epwwrite = .true.
epwread = .false.
etf_mem = 1
nbndsub = 15
use_ws = .true.
wannierize = .true.
num_iter = 1000
iprint = 2
dis_win_max = 42.50152760096886
dis_froz_max = 2.151079110503101
fsthick = 1.2
temps = 1
degaussw = 0.005
dvscf_dir = './save'
nk1 = 6
nk2 = 6
nk3 = 1
nq1 = 1
nq2 = 1
nq3 = 1
dis_win_min = -23.2655989807697
wdata(1) = 'guiding_centres = T'
wdata(2) = 'dis_num_iter = 1500'
wdata(3) = 'bands_num_points = 100 '
wdata(4) = 'bands_plot = .true.'
wdata(5) = 'begin kpoint_path'
wdata(6) = 'G 0.0 0.0 0.0 M 0.5 0.0 0.0'
wdata(7) = 'M 0.5 0.0 0.0 K 0.3333333333 0.3333333333 0.0'
wdata(8) = 'K 0.3333333333 0.3333333333 0.0 X 1.0 1.0 0.0'
wdata(9) = 'X 1.0 1.0 0.0 M1 0.0 0.5 0.0'
wdata(10) = 'M1 0.0 0.5 0.0 G 0.0 0.0 0.0'
wdata(11) = 'end kpoint_path'
bands_skipped = 'exclude_bands = 1-6'
proj(1) = 'Co: l= -5, mr= 2,4,6'
proj(2) = 'O: l= 3, mr= 2,3,4,5,6,7'
dis_froz_min = -10.127009559361078
/

```

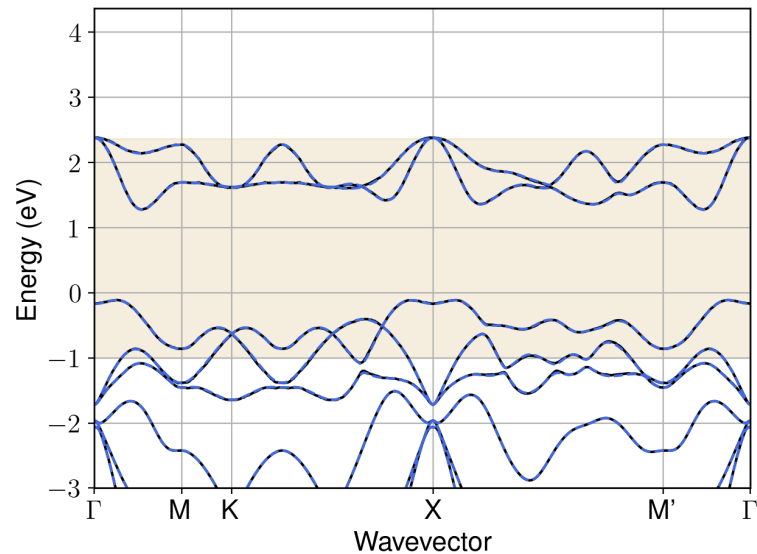


Figure S44: Bandstructure interpolation for monolayer  $\text{CoO}_2$ . Wannier-interpolation of the band structure of monolayer  $\text{CoO}_2$  over a wide energy range. Blue dashed lines are results from the present method, black solid lines are explicit DFT calculations. The yellow shaded region shows the range over which optimization has been performed. The interpolation error within the yellow region is 7 meV. The k-grid employed for NSCF calculation is  $6 \times 6$ .

### 33 Material: Co

The calculation files are appended below. These files should be executed in the order provided. The location of pseudo potentials should be changed accordingly.

```

---          scf.in ---
&CONTROL
calculation = 'scf'
verbosity = 'high'
restart_mode = 'from_scratch'
outdir = './'
pseudo_dir = '/scratch1/05193/sabyadk/2D_materials_Wann/Materials/Co-OH2-4acee3e7/pseudo/'
prefix = 'hBN'
/
&SYSTEM
ibrav = 0
nat = 5
ntyp = 3
ecutwfc = 60
ecutrho = 240
occupations = 'smearing'
smearing = 'gaussian'
degauss = 0.1
/
&ELECTRONS
conv_thr = 1E-10
diagonalization = cg
electron_maxstep = 500
/
ATOMIC_SPECIES
Co 58.933 Co_r.upf
H 1.008 H_r.upf
O 15.999 O_r.upf
ATOMIC_POSITIONS crystal
Co 0.5 0.5 0.0

```

```

H 0.841567364116 0.841567364116 0.102278206429
H 0.158432635866 0.158432635866 0.897721793571
O 0.832184383571 0.832184383571 0.053514635333
O 0.167815616411 0.167815616411 0.946485364667

K_POINTS automatic
6 6 1 0 0 0

CELL_PARAMETERS angstrom
3.167076686105 0.0 2e-16
1.6650785741363663 2.6940467846015284 2e-16
0.0 0.0 19.8275244855

```

```

--- nscf.in ---
&CONTROL
calculation = bands
verbosity = 'high'
restart_mode = 'from_scratch'
outdir = './'
pseudo_dir = '/scratch1/05193/sabyadk/2D_materials_Wann/Materials/Co-OH2-4acee3e7/pseudo/'
prefix = 'hEN'
/
&SYSTEM
ibrav = 0
nat = 5
ntyp = 3
ecutwfc = 60
ecutrho = 240
occupations = 'smearing'
smearing = 'gaussian'
degauss = 0.1
nband = 60
/
&ELECTRONS
conv_thr = 1E-10
diagonalization = cg
electron_maxstep = 500
/
ATOMIC_SPECIES
Co 58.933 Co_r.upf
H 1.008 H_r.upf
O 15.999 O_r.upf
ATOMIC_POSITIONS crystal
Co 0.5 0.5 0.0
H 0.841567364116 0.841567364116 0.102278206429
H 0.158432635866 0.158432635866 0.897721793571
O 0.832184383571 0.832184383571 0.053514635333
O 0.167815616411 0.167815616411 0.946485364667

K_POINTS crystal
36
0.0 0.0 0.0 0.027778
0.0 0.1666666666666666 0.0 0.027778
0.0 0.3333333333333333 0.0 0.027778
0.0 0.5 0.0 0.027778
0.0 0.6666666666666666 0.0 0.027778
0.0 0.8333333333333333 0.0 0.027778
0.1666666666666666 0.0 0.0 0.027778
0.1666666666666666 0.1666666666666666 0.0 0.027778
0.1666666666666666 0.3333333333333333 0.0 0.027778
0.1666666666666666 0.5 0.0 0.027778
0.1666666666666666 0.6666666666666666 0.0 0.027778
0.1666666666666666 0.8333333333333333 0.0 0.027778
0.3333333333333333 0.0 0.0 0.027778
0.3333333333333333 0.1666666666666666 0.0 0.027778
0.3333333333333333 0.3333333333333333 0.0 0.027778
0.3333333333333333 0.5 0.0 0.027778
0.3333333333333333 0.6666666666666666 0.0 0.027778
0.3333333333333333 0.8333333333333333 0.0 0.027778
0.5 0.0 0.0 0.027778
0.5 0.1666666666666666 0.0 0.027778
0.5 0.3333333333333333 0.0 0.027778
0.5 0.5 0.0 0.027778
0.5 0.6666666666666666 0.0 0.027778
0.5 0.8333333333333333 0.0 0.027778
0.6666666666666666 0.0 0.0 0.027778
0.6666666666666666 0.1666666666666666 0.0 0.027778
0.6666666666666666 0.3333333333333333 0.0 0.027778
0.6666666666666666 0.5 0.0 0.027778
0.6666666666666666 0.6666666666666666 0.0 0.027778
0.6666666666666666 0.8333333333333333 0.0 0.027778
0.8333333333333333 0.0 0.0 0.027778
0.8333333333333333 0.1666666666666666 0.0 0.027778

```



```

0.8333333333333333 0.3333333333333333 0.0 0.027778
0.8333333333333333 0.5 0.0 0.027778
0.8333333333333333 0.6666666666666666 0.0 0.027778
0.8333333333333333 0.8333333333333333 0.0 0.027778

```

```

CELL_PARAMETERS angstrom
3.167076686105 0.0 2e-16
1.6650785741363663 2.6940467846015284 2e-16
0.0 0.0 19.8275244855

```

```

---                epw1.in ---
&inputepw
prefix = 'hBN'
amass(1) = 58.933
amass(2) = 1.008
amass(3) = 15.999
outdir = './'
elph = .false.
epbwrite = .false.
epbread = .false.
epwwrite = .true.
epwread = .false.
etf_mem = 1
nbndsub = 19
use_ws = .true.
wannierize = .true.
num_iter = 1000
iprint = 2
dis_win_max = 22.298398150036466
dis_froz_max = 2.589693811225623
fsthick = 1.2
temps = 1
degaussw = 0.005
dvscf_dir = './save'
nk1 = 6
nk2 = 6
nk3 = 1
nq1 = 1
nq2 = 1
nq3 = 1
dis_win_min = -16.608990091324745
wdata(1) = 'guiding_centres = T'
wdata(2) = 'dis_num_iter = 1500'
wdata(3) = 'bands_num_points = 100 '
wdata(4) = 'bands_plot = .true.'
wdata(5) = 'begin kpoint_path'
wdata(6) = 'G 0.0 0.0 0.0 M 0.5 0.0 0.0'
wdata(7) = 'M 0.5 0.0 0.0 K 0.3333333333 0.3333333333 0.0'
wdata(8) = 'K 0.3333333333 0.3333333333 0.0 X 1.0 1.0 0.0'
wdata(9) = 'X 1.0 1.0 0.0 M1 0.0 0.5 0.0'
wdata(10) = 'M1 0.0 0.5 0.0 G 0.0 0.0 0.0'
wdata(11) = 'end kpoint_path'
bands_skipped = 'exclude_bands = 1-7'
proj(1) = 'Co: l= -5, mr= 1,2,3,4,5'
proj(2) = 'H: l= 3, mr= 2,3,5,6,7'
proj(3) = 'O: l= 3, mr= 5,6'
dis_froz_min = -1.6998960863162917
/

```

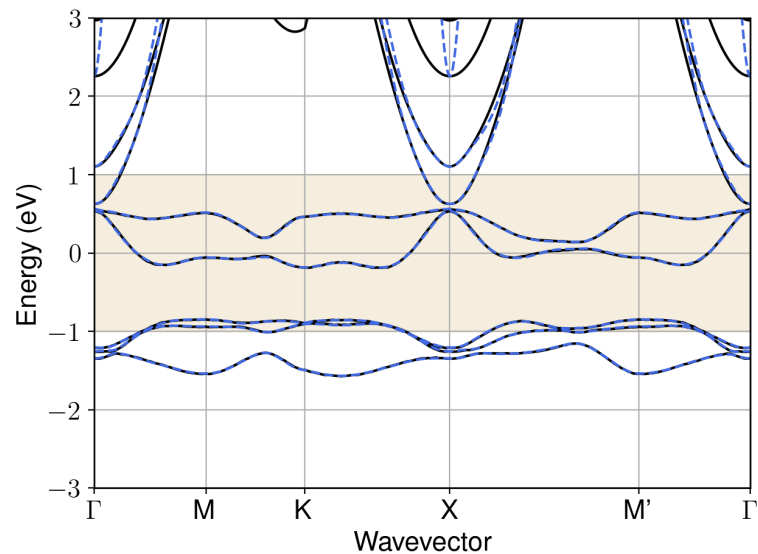


Figure S45: Bandstructure interpolation for monolayer Co. Wannier-interpolation of the band structure of monolayer Co over a wide energy range. Blue dashed lines are results from the present method, black solid lines are explicit DFT calculations. The yellow shaded region shows the range over which optimization has been performed. The interpolation error within the yellow region is 7 meV. The k-grid employed for NSCF calculation is  $6 \times 6$ .

## 34 Material: $\text{Cr}_2\text{O}_2\text{Br}_2$

The calculation files are appended below. These files should be executed in the order provided. The location of pseudo potentials should be changed accordingly.

```

---          scf.in ---
&CONTROL
calculation = 'scf'
verbosity = 'high'
restart_mode = 'from_scratch'
outdir = './'
pseudo_dir = '/scratch1/05193/sabyadk/2D_materials_Wann/Materials/Cr2O2Br2-6e4a9497/pseudo/'
prefix = 'hBN'
/
&SYSTEM
ibrav = 0
nat = 6
ntyp = 3
ecutwfc = 60
ecutrho = 240
occupations = 'smearing'
smearing = 'gaussian'
degauss = 0.1
/
&ELECTRONS
conv_thr = 1E-10
diagonalization = cg
electron_maxstep = 500
/
ATOMIC_SPECIES
Cr 51.996 Cr_r.upf
Br 79.904 Br_r.upf
O 15.999 O_r.upf
ATOMIC_POSITIONS crystal
Cr 0.250000000003 0.249991534631 0.961702733761

```

```

Cr 0.74999999997 0.750008465369 0.038297266239
Br 0.74999999997 0.249958593674 0.876947366532
Br 0.25000000003 0.750041406352 0.123052633468
O 0.25000000003 0.749993466127 0.982033163636
O 0.74999999997 0.250006533899 0.017966836364

```

```

K_POINTS automatic
6 6 1 0 0 0

```

```

CELL_PARAMETERS angstrom
3.308864134833 0.0 2e-16
-2e-16 3.88155025783 2e-16
0.0 0.0 21.9060284476

```

```

---                nscf.in ---
&CONTROL
calculation = bands
verbosity = 'high'
restart_mode = 'from_scratch'
outdir = './'
pseudo_dir = '/scratch1/05193/sabyadk/2D_materials_Wann/Materials/Cr202Br2-6e4a9497/pseudo/'
prefix = 'hBN'
/
&SYSTEM
ibrav = 0
nat = 6
ntyp = 3
ecutwfc = 60
ecutrho = 240
occupations = 'smearing'
smearing = 'gaussian'
degauss = 0.1
nbnd = 60
/
&ELECTRONS
conv_thr = 1E-10
diagonalization = cg
electron_maxstep = 500
/
ATOMIC_SPECIES
Cr 51.996 Cr_r.upf
Br 79.904 Br_r.upf
O 15.999 O_r.upf
ATOMIC_POSITIONS crystal
Cr 0.25000000003 0.249991534631 0.961702733761
Cr 0.74999999997 0.750008465369 0.038297266239
Br 0.74999999997 0.249958593674 0.876947366532
Br 0.25000000003 0.750041406352 0.123052633468
O 0.25000000003 0.749993466127 0.982033163636
O 0.74999999997 0.250006533899 0.017966836364

K_POINTS crystal
36
0.0 0.0 0.0 0.027778
0.0 0.1666666666666666 0.0 0.027778
0.0 0.3333333333333333 0.0 0.027778
0.0 0.5 0.0 0.027778
0.0 0.6666666666666666 0.0 0.027778
0.0 0.8333333333333333 0.0 0.027778
0.1666666666666666 0.0 0.0 0.027778
0.1666666666666666 0.1666666666666666 0.0 0.027778
0.1666666666666666 0.3333333333333333 0.0 0.027778
0.1666666666666666 0.5 0.0 0.027778
0.1666666666666666 0.6666666666666666 0.0 0.027778
0.1666666666666666 0.8333333333333333 0.0 0.027778
0.3333333333333333 0.0 0.0 0.027778
0.3333333333333333 0.1666666666666666 0.0 0.027778
0.3333333333333333 0.3333333333333333 0.0 0.027778
0.3333333333333333 0.5 0.0 0.027778
0.3333333333333333 0.6666666666666666 0.0 0.027778
0.3333333333333333 0.8333333333333333 0.0 0.027778
0.5 0.0 0.0 0.027778
0.5 0.1666666666666666 0.0 0.027778
0.5 0.3333333333333333 0.0 0.027778
0.5 0.5 0.0 0.027778
0.5 0.6666666666666666 0.0 0.027778
0.5 0.8333333333333333 0.0 0.027778
0.6666666666666666 0.0 0.0 0.027778
0.6666666666666666 0.1666666666666666 0.0 0.027778
0.6666666666666666 0.3333333333333333 0.0 0.027778
0.6666666666666666 0.5 0.0 0.027778
0.6666666666666666 0.6666666666666666 0.0 0.027778
0.6666666666666666 0.8333333333333333 0.0 0.027778

```

```

0.8333333333333333 0.0 0.0 0.027778
0.8333333333333333 0.1666666666666666 0.0 0.027778
0.8333333333333333 0.3333333333333333 0.0 0.027778
0.8333333333333333 0.5 0.0 0.027778
0.8333333333333333 0.6666666666666666 0.0 0.027778
0.8333333333333333 0.8333333333333333 0.0 0.027778

```

```

CELL_PARAMETERS angstrom
3.308864134833 0.0 2e-16
-2e-16 3.88155025783 2e-16
0.0 0.0 21.9060284476

```

```

---                epw1.in ---
&inputepw
prefix = 'hBN'
amass(1) = 51.996
amass(2) = 79.904
amass(3) = 15.999
outdir = './'
elph = .false.
epbwrite = .false.
epbread = .false.
epwwrite = .true.
epwread = .false.
etf_mem = 1
nbndsub = 20
use_ws = .true.
wannierize = .true.
num_iter = 1000
iprint = 2
dis_win_max = 18.65002873626987
dis_froz_max = 0.9315910630416981
fsthick = 1.2
temps = 1
degaussw = 0.005
dvscf_dir = './save'
nk1 = 6
nk2 = 6
nk3 = 1
nq1 = 1
nq2 = 1
nq3 = 1
dis_win_min = -16.825719070655175
wdata(1) = 'guiding_centres = T'
wdata(2) = 'dis_num_iter = 1500'
wdata(3) = 'bands_num_points = 100 '
wdata(4) = 'bands_plot = .true.'
wdata(5) = 'begin kpoint_path'
wdata(6) = 'G 0.0 0.0 0.0 M 0.5 0.0 0.0'
wdata(7) = 'M 0.5 0.0 0.0 K 0.3333333333 0.3333333333 0.0'
wdata(8) = 'K 0.3333333333 0.3333333333 0.0 X 1.0 1.0 0.0'
wdata(9) = 'X 1.0 1.0 0.0 M1 0.0 0.5 0.0'
wdata(10) = 'M1 0.0 0.5 0.0 G 0.0 0.0 0.0'
wdata(11) = 'end kpoint_path'
bands_skipped = 'exclude_bands = 1-12'
proj(1) = 'Cr: l= 3, mr= 1,2,3,4,5'
proj(2) = 'Br: l= -5, mr= 2,3,5'
proj(3) = 'O: l= 2, mr= 3,4'
dis_froz_min = -8.748912991262149
/

```

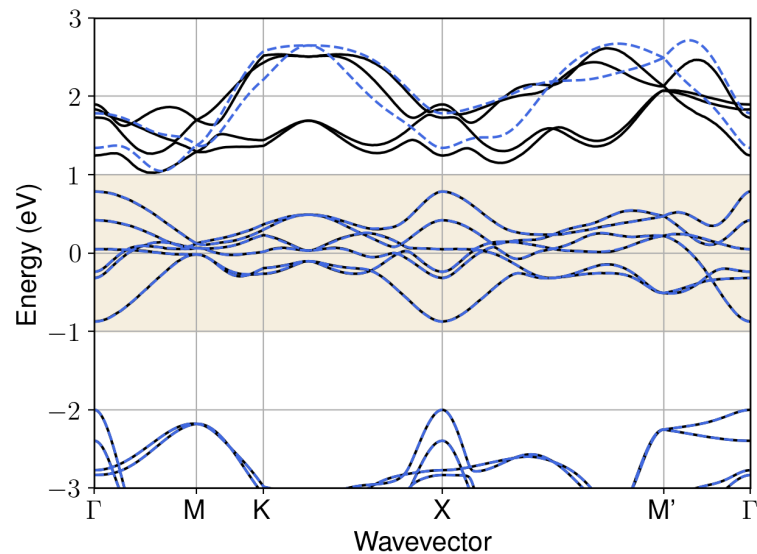


Figure S46: Bandstructure interpolation for monolayer  $\text{Cr}_2\text{O}_2\text{Br}_2$ . Wannier-interpolation of the band structure of monolayer  $\text{Cr}_2\text{O}_2\text{Br}_2$  over a wide energy range. Blue dashed lines are results from the present method, black solid lines are explicit DFT calculations. The yellow shaded region shows the range over which optimization has been performed. The interpolation error within the yellow region is 3 meV. The k-grid employed for NSCF calculation is  $6 \times 6$ .

### 35 Material: $\text{Cr}_2\text{O}_2\text{Cl}_2$

The calculation files are appended below. These files should be executed in the order provided. The location of pseudo potentials should be changed accordingly.

```

---          scf.in ---
&CONTROL
calculation = 'scf'
verbosity = 'high'
restart_mode = 'from_scratch'
outdir = './'
pseudo_dir = '/scratch1/05193/sabyadk/2D_materials_Wann/Materials/Cr2O2Cl2-df4da646/pseudo/'
prefix = 'hBN'
/
&SYSTEM
ibrav = 0
nat = 6
ntyp = 3
ecutwfc = 60
ecutrho = 240
occupations = 'smearing'
smearing = 'gaussian'
degauss = 0.1
/
&ELECTRONS
conv_thr = 1E-10
diagonalization = cg
electron_maxstep = 500
/
ATOMIC_SPECIES
Cr 51.996 Cr_r.upf
Cl 35.453 Cl_r.upf
O 15.999 O_r.upf
ATOMIC_POSITIONS crystal
Cr 0.75 0.750006034494 0.039512713246

```

```

Cr 0.25 0.249993965454 0.960487286754
Cl 0.25 0.750017520721 0.118033104366
Cl 0.75 0.249982479254 0.881966895634
O 0.25 0.749995149745 0.981153928471
O 0.75 0.250004850229 0.018846071529

```

```

K_POINTS automatic
6 6 1 0 0 0

```

```

CELL_PARAMETERS angstrom
3.210264713428 0.0 2e-16
-2e-16 3.881020430171 2e-16
0.0 0.0 21.6400675505

```

```

---                nscf.in ---
&CONTROL
calculation = bands
verbosity = 'high'
restart_mode = 'from_scratch'
outdir = './'
pseudo_dir = '/scratch1/05193/sabyadk/2D_materials_Wann/Materials/Cr202Cl2-df4da646/pseudo/'
prefix = 'hBN'
/
&SYSTEM
ibrav = 0
nat = 6
ntyp = 3
ecutwfc = 60
ecutrho = 240
occupations = 'smearing'
smearing = 'gaussian'
degauss = 0.1
nbnd = 60
/
&ELECTRONS
conv_thr = 1E-10
diagonalization = cg
electron_maxstep = 500
/
ATOMIC_SPECIES
Cr 51.996 Cr_r.upf
Cl 35.453 Cl_r.upf
O 15.999 O_r.upf
ATOMIC_POSITIONS crystal
Cr 0.75 0.750006034494 0.039512713246
Cr 0.25 0.249993965454 0.960487286754
Cl 0.25 0.750017520721 0.118033104366
Cl 0.75 0.249982479254 0.881966895634
O 0.25 0.749995149745 0.981153928471
O 0.75 0.250004850229 0.018846071529

K_POINTS crystal
36
0.0 0.0 0.0 0.027778
0.0 0.1666666666666666 0.0 0.027778
0.0 0.3333333333333333 0.0 0.027778
0.0 0.5 0.0 0.027778
0.0 0.6666666666666666 0.0 0.027778
0.0 0.8333333333333333 0.0 0.027778
0.1666666666666666 0.0 0.0 0.027778
0.1666666666666666 0.1666666666666666 0.0 0.027778
0.1666666666666666 0.3333333333333333 0.0 0.027778
0.1666666666666666 0.5 0.0 0.027778
0.1666666666666666 0.6666666666666666 0.0 0.027778
0.1666666666666666 0.8333333333333333 0.0 0.027778
0.3333333333333333 0.0 0.0 0.027778
0.3333333333333333 0.1666666666666666 0.0 0.027778
0.3333333333333333 0.3333333333333333 0.0 0.027778
0.3333333333333333 0.5 0.0 0.027778
0.3333333333333333 0.6666666666666666 0.0 0.027778
0.3333333333333333 0.8333333333333333 0.0 0.027778
0.5 0.0 0.0 0.027778
0.5 0.1666666666666666 0.0 0.027778
0.5 0.3333333333333333 0.0 0.027778
0.5 0.5 0.0 0.027778
0.5 0.6666666666666666 0.0 0.027778
0.5 0.8333333333333333 0.0 0.027778
0.6666666666666666 0.0 0.0 0.027778
0.6666666666666666 0.1666666666666666 0.0 0.027778
0.6666666666666666 0.3333333333333333 0.0 0.027778
0.6666666666666666 0.5 0.0 0.027778
0.6666666666666666 0.6666666666666666 0.0 0.027778
0.6666666666666666 0.8333333333333333 0.0 0.027778

```

```

0.8333333333333333 0.0 0.0 0.027778
0.8333333333333333 0.1666666666666666 0.0 0.027778
0.8333333333333333 0.3333333333333333 0.0 0.027778
0.8333333333333333 0.5 0.0 0.027778
0.8333333333333333 0.6666666666666666 0.0 0.027778
0.8333333333333333 0.8333333333333333 0.0 0.027778

CELL_PARAMETERS angstrom
3.210264713428 0.0 2e-16
-2e-16 3.881020430171 2e-16
0.0 0.0 21.6400675505

```

```

---                epw1.in ---
&inputepw
prefix = 'hEN'
amass(1) = 51.996
amass(2) = 35.453
amass(3) = 15.999
outdir = './'
elph = .false.
epbwrite = .false.
epbread = .false.
epwwrite = .true.
epwread = .false.
etf_mem = 1
nbndsub = 22
use_ws = .true.
wannierize = .true.
num_iter = 1000
iprint = 2
dis_win_max = 10.77774816247907
dis_froz_max = 0.9925001969427338
fsthick = 1.2
temps = 1
degaussw = 0.005
dvscf_dir = './save'
nk1 = 6
nk2 = 6
nk3 = 1
nq1 = 1
nq2 = 1
nq3 = 1
dis_win_min = -12.240362885441343
wdata(1) = 'guiding_centres = T'
wdata(2) = 'dis_num_iter = 1500'
wdata(3) = 'bands_num_points = 100 '
wdata(4) = 'bands_plot = .true.'
wdata(5) = 'begin kpoint_path'
wdata(6) = 'G 0.0 0.0 0.0 M 0.5 0.0 0.0'
wdata(7) = 'M 0.5 0.0 0.0 K 0.3333333333 0.3333333333 0.0'
wdata(8) = 'K 0.3333333333 0.3333333333 0.0 X 1.0 1.0 0.0'
wdata(9) = 'X 1.0 1.0 0.0 M1 0.0 0.5 0.0'
wdata(10) = 'M1 0.0 0.5 0.0 G 0.0 0.0 0.0'
wdata(11) = 'end kpoint_path'
bands_skipped = 'exclude_bands = 1-12'
proj(1) = 'Cr: l= 3, mr= 1,2,4,6'
proj(2) = 'Cl: l= -5, mr= 3,4,5,6'
proj(3) = 'O: l= -3, mr= 1,2,3'
dis_froz_min = -6.317630998552155
/

```

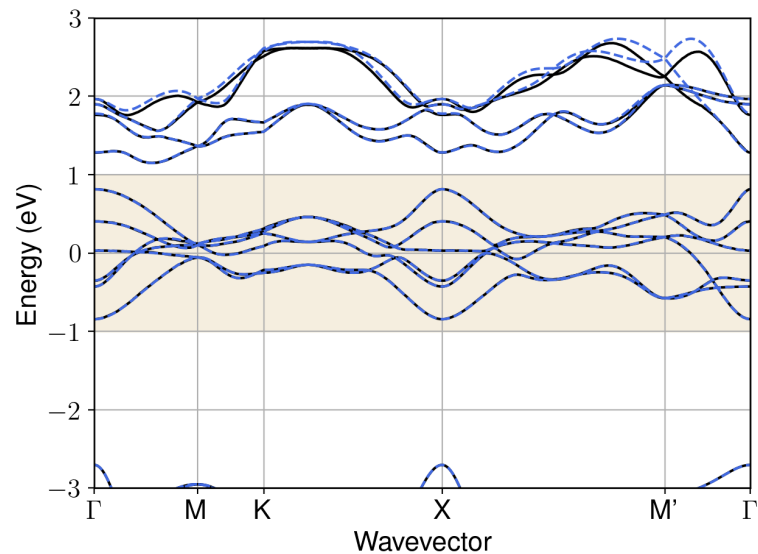


Figure S47: Bandstructure interpolation for monolayer  $\text{Cr}_2\text{O}_2\text{Cl}_2$ . Wannier-interpolation of the band structure of monolayer  $\text{Cr}_2\text{O}_2\text{Cl}_2$  over a wide energy range. Blue dashed lines are results from the present method, black solid lines are explicit DFT calculations. The yellow shaded region shows the range over which optimization has been performed. The interpolation error within the yellow region is 2 meV. The k-grid employed for NSCF calculation is  $6 \times 6$ .

## 36 Material: $\text{Cr}_2\text{S}_2\text{Br}_2$

The calculation files are appended below. These files should be executed in the order provided. The location of pseudo potentials should be changed accordingly.

```

---          scf.in ---
&CONTROL
calculation = 'scf'
verbosity = 'high'
restart_mode = 'from_scratch'
outdir = './'
pseudo_dir = '/scratch1/05193/sabyadk/2D_materials_Wann/Materials/Cr2S2Br2-1ca7a41b/pseudo/'
prefix = 'hBN'
/
&SYSTEM
ibrav = 0
nat = 6
ntyp = 3
ecutwfc = 60
ecutrho = 240
occupations = 'smearing'
smearing = 'gaussian'
degauss = 0.1
/
&ELECTRONS
conv_thr = 1E-10
diagonalization = cg
electron_maxstep = 500
/
ATOMIC_SPECIES
Cr 51.996 Cr_r.upf
S 32.066 S_r.upf
Br 79.904 Br_r.upf
ATOMIC_POSITIONS crystal
Cr 0.2499999999986 0.749999999995 0.9538256242100001

```



```

Cr 0.750000000014 0.249999999984 0.04617437579
S 0.249999999986 0.249999999984 0.974623834736
S 0.750000000014 0.749999999995 0.025376165264
Br 0.750000000014 0.749999999995 0.873322775725
Br 0.249999999986 0.249999999984 0.126677224275

```

```

K_POINTS automatic
6 6 1 0 0 0

```

```

CELL_PARAMETERS angstrom
3.545839513296 0.0 2e-16
-3e-16 4.735576908276 3e-16
0.0 0.0 22.3388464637

```

```

---                nscf.in ---
&CONTROL
calculation = bands
verbosity = 'high'
restart_mode = 'from_scratch'
outdir = './'
pseudo_dir = '/scratch1/05193/sabyadk/2D_materials_Wann/Materials/Cr2S2Br2-1ca7a41b/pseudo/'
prefix = 'hBN'
/
&SYSTEM
ibrav = 0
nat = 6
ntyp = 3
ecutwfc = 60
ecutrho = 240
occupations = 'smearing'
smearing = 'gaussian'
degauss = 0.1
nbnd = 60
/
&ELECTRONS
conv_thr = 1E-10
diagonalization = cg
electron_maxstep = 500
/
ATOMIC_SPECIES
Cr 51.996 Cr_r.upf
S 32.066 S_r.upf
Br 79.904 Br_r.upf
ATOMIC_POSITIONS crystal
Cr 0.249999999986 0.749999999995 0.9538256242100001
Cr 0.750000000014 0.249999999984 0.04617437579
S 0.249999999986 0.249999999984 0.974623834736
S 0.750000000014 0.749999999995 0.025376165264
Br 0.750000000014 0.749999999995 0.873322775725
Br 0.249999999986 0.249999999984 0.126677224275

K_POINTS crystal
36
0.0 0.0 0.0 0.027778
0.0 0.1666666666666666 0.0 0.027778
0.0 0.3333333333333333 0.0 0.027778
0.0 0.5 0.0 0.027778
0.0 0.6666666666666666 0.0 0.027778
0.0 0.8333333333333333 0.0 0.027778
0.1666666666666666 0.0 0.0 0.027778
0.1666666666666666 0.1666666666666666 0.0 0.027778
0.1666666666666666 0.3333333333333333 0.0 0.027778
0.1666666666666666 0.5 0.0 0.027778
0.1666666666666666 0.6666666666666666 0.0 0.027778
0.1666666666666666 0.8333333333333333 0.0 0.027778
0.3333333333333333 0.0 0.0 0.027778
0.3333333333333333 0.1666666666666666 0.0 0.027778
0.3333333333333333 0.3333333333333333 0.0 0.027778
0.3333333333333333 0.5 0.0 0.027778
0.3333333333333333 0.6666666666666666 0.0 0.027778
0.3333333333333333 0.8333333333333333 0.0 0.027778
0.5 0.0 0.0 0.027778
0.5 0.1666666666666666 0.0 0.027778
0.5 0.3333333333333333 0.0 0.027778
0.5 0.5 0.0 0.027778
0.5 0.6666666666666666 0.0 0.027778
0.5 0.8333333333333333 0.0 0.027778
0.6666666666666666 0.0 0.0 0.027778
0.6666666666666666 0.1666666666666666 0.0 0.027778
0.6666666666666666 0.3333333333333333 0.0 0.027778
0.6666666666666666 0.5 0.0 0.027778
0.6666666666666666 0.6666666666666666 0.0 0.027778
0.6666666666666666 0.8333333333333333 0.0 0.027778

```

```

0.8333333333333333 0.0 0.0 0.027778
0.8333333333333333 0.1666666666666666 0.0 0.027778
0.8333333333333333 0.3333333333333333 0.0 0.027778
0.8333333333333333 0.5 0.0 0.027778
0.8333333333333333 0.6666666666666666 0.0 0.027778
0.8333333333333333 0.8333333333333333 0.0 0.027778

CELL_PARAMETERS angstrom
3.545839513296 0.0 2e-16
-3e-16 4.735576908276 3e-16
0.0 0.0 22.3388464637

```

```

---                epw1.in ---
&inputepw
prefix = 'hBN'
amass(1) = 51.996
amass(2) = 32.066
amass(3) = 79.904
outdir = './'
elph = .false.
epbwrite = .false.
epbread = .false.
epwwrite = .true.
epwread = .false.
etf_mem = 1
nbndsub = 20
use_ws = .true.
wannierize = .true.
num_iter = 1000
iprint = 2
dis_win_max = 19.10756380430495
dis_froz_max = 1.6873911257000804
fsthick = 1.2
temps = 1
degaussw = 0.005
dvscf_dir = './save'
nk1 = 6
nk2 = 6
nk3 = 1
nq1 = 1
nq2 = 1
nq3 = 1
dis_win_min = -13.11195353589913
wdata(1) = 'guiding_centres = T'
wdata(2) = 'dis_num_iter = 1500'
wdata(3) = 'bands_num_points = 100 '
wdata(4) = 'bands_plot = .true.'
wdata(5) = 'begin kpoint_path'
wdata(6) = 'G 0.0 0.0 0.0 M 0.5 0.0 0.0'
wdata(7) = 'M 0.5 0.0 0.0 K 0.3333333333 0.3333333333 0.0'
wdata(8) = 'K 0.3333333333 0.3333333333 0.0 X 1.0 1.0 0.0'
wdata(9) = 'X 1.0 1.0 0.0 M1 0.0 0.5 0.0'
wdata(10) = 'M1 0.0 0.5 0.0 G 0.0 0.0 0.0'
wdata(11) = 'end kpoint_path'
bands_skipped = 'exclude_bands = 1-12'
proj(1) = 'Cr: l= 3, mr= 3,4,5'
proj(2) = 'S: l= -5, mr= 1,3,4,5,6'
proj(3) = 'Br: l= 3, mr= 1,6'
dis_froz_min = -4.319985727774316
/

```

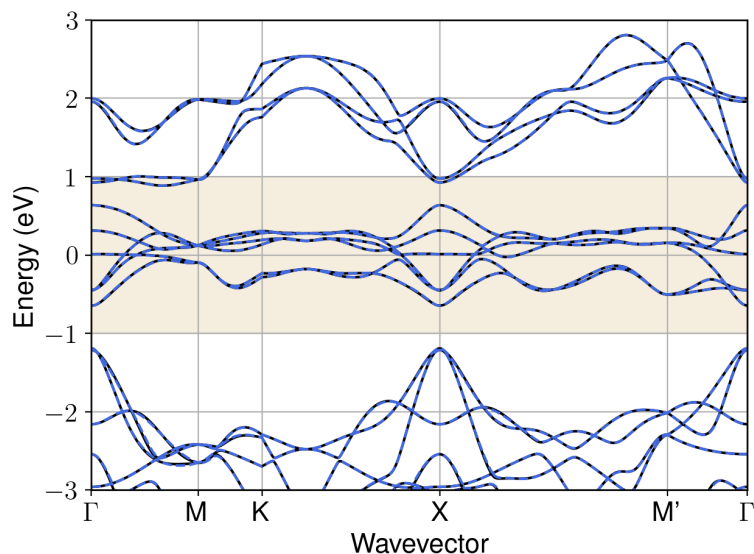


Figure S48: Bandstructure interpolation for monolayer  $\text{Cr}_2\text{S}_2\text{Br}_2$ . Wannier-interpolation of the band structure of monolayer  $\text{Cr}_2\text{S}_2\text{Br}_2$  over a wide energy range. Blue dashed lines are results from the present method, black solid lines are explicit DFT calculations. The yellow shaded region shows the range over which optimization has been performed. The interpolation error within the yellow region is 2 meV. The k-grid employed for NSCF calculation is  $6 \times 6$ .

### 37 Material: $\text{CrBr}_2$

The calculation files are appended below. These files should be executed in the order provided. The location of pseudo potentials should be changed accordingly.

```

---          scf.in ---
&CONTROL
calculation = 'scf'
verbosity = 'high'
restart_mode = 'from_scratch'
outdir = './'
pseudo_dir = '/scratch1/05193/sabyadk/2D_materials_Wann/Materials/CrBr2-eb0c8520/pseudo/'
prefix = 'hBN'
/
&SYSTEM
ibrav = 0
nat = 6
ntyp = 2
ecutwfc = 60
ecutrho = 240
occupations = 'smearing'
smearing = 'gaussian'
degauss = 0.1
/
&ELECTRONS
conv_thr = 1E-10
diagonalization = cg
electron_maxstep = 500
/
ATOMIC_SPECIES
Cr 51.996 Cr_r.upf
Br 79.904 Br_r.upf
ATOMIC_POSITIONS crystal
Cr 0.749999022963 0.749977304241 0.999992213189
Cr 0.250000611449 0.250022606589 7.866496e-06

```

```

Br 0.437759331827 0.8150748063 0.914971698708
Br 0.937778133764 0.315035850659 0.914969408537
Br 0.062222002023 0.684964592275 0.085030529276
Br 0.562240697965 0.184924779943 0.085028283794

```

```

K_POINTS automatic
6 6 1 0 0 0

```

```

CELL_PARAMETERS angstrom
6.548771593344 0.0 4e-16
0.6284930135196501 4.089583210540372 3e-16
0.0 0.0 17.912429

```

```

---                nscf.in ---
&CONTROL
calculation = bands
verbosity = 'high'
restart_mode = 'from_scratch'
outdir = './'
pseudo_dir = '/scratch1/05193/sabyadk/2D_materials_Wann/Materials/CrBr2-eb0c8520/pseudo/'
prefix = 'hEN'
/
&SYSTEM
ibrav = 0
nat = 6
ntyp = 2
ecutwfc = 60
ecutrho = 240
occupations = 'smearing'
smearing = 'gaussian'
degauss = 0.1
nbnd = 60
/
&ELECTRONS
conv_thr = 1E-10
diagonalization = cg
electron_maxstep = 500
/
ATOMIC_SPECIES
Cr 51.996 Cr_r.upf
Br 79.904 Br_r.upf
ATOMIC_POSITIONS crystal
Cr 0.749999022963 0.749977304241 0.999992213189
Cr 0.250000611449 0.250022606589 7.866496e-06
Br 0.437759331827 0.8150748063 0.914971698708
Br 0.937778133764 0.315035850659 0.914969408537
Br 0.062222002023 0.684964592275 0.085030529276
Br 0.562240697965 0.184924779943 0.085028283794

K_POINTS crystal
36
0.0 0.0 0.0 0.027778
0.0 0.16666666666666666 0.0 0.027778
0.0 0.3333333333333333 0.0 0.027778
0.0 0.5 0.0 0.027778
0.0 0.6666666666666666 0.0 0.027778
0.0 0.8333333333333333 0.0 0.027778
0.16666666666666666 0.0 0.0 0.027778
0.16666666666666666 0.16666666666666666 0.0 0.027778
0.16666666666666666 0.3333333333333333 0.0 0.027778
0.16666666666666666 0.5 0.0 0.027778
0.16666666666666666 0.6666666666666666 0.0 0.027778
0.16666666666666666 0.8333333333333333 0.0 0.027778
0.3333333333333333 0.0 0.0 0.027778
0.3333333333333333 0.16666666666666666 0.0 0.027778
0.3333333333333333 0.3333333333333333 0.0 0.027778
0.3333333333333333 0.5 0.0 0.027778
0.3333333333333333 0.6666666666666666 0.0 0.027778
0.3333333333333333 0.8333333333333333 0.0 0.027778
0.5 0.0 0.0 0.027778
0.5 0.16666666666666666 0.0 0.027778
0.5 0.3333333333333333 0.0 0.027778
0.5 0.5 0.0 0.027778
0.5 0.6666666666666666 0.0 0.027778
0.5 0.8333333333333333 0.0 0.027778
0.6666666666666666 0.0 0.0 0.027778
0.6666666666666666 0.16666666666666666 0.0 0.027778
0.6666666666666666 0.3333333333333333 0.0 0.027778
0.6666666666666666 0.5 0.0 0.027778
0.6666666666666666 0.6666666666666666 0.0 0.027778
0.6666666666666666 0.8333333333333333 0.0 0.027778
0.8333333333333333 0.0 0.0 0.027778
0.8333333333333333 0.16666666666666666 0.0 0.027778

```

```

0.8333333333333333 0.3333333333333333 0.0 0.027778
0.8333333333333333 0.5 0.0 0.027778
0.8333333333333333 0.6666666666666666 0.0 0.027778
0.8333333333333333 0.8333333333333333 0.0 0.027778

```

```

CELL_PARAMETERS angstrom
6.548771593344 0.0 4e-16
0.6284930135196501 4.089583210540372 3e-16
0.0 0.0 17.912429

```

```

---                epw1.in ---
&inputepw
prefix = 'hBN'
amass(1) = 51.996
amass(2) = 79.904
outdir = './'
elph = .false.
epbwrite = .false.
epbread = .false.
epwwrite = .true.
epwread = .false.
etf_mem = 1
nbndsub = 26
use_ws = .true.
wannierize = .true.
num_iter = 1000
iprint = 2
dis_win_max = 10.759366282222292
dis_froz_max = 0.18001925689858922
fsthick = 1.2
temps = 1
degaussw = 0.005
dvscf_dir = './save'
nk1 = 6
nk2 = 6
nk3 = 1
nq1 = 1
nq2 = 1
nq3 = 1
dis_win_min = -17.54855187424777
wdata(1) = 'guiding_centres = T'
wdata(2) = 'dis_num_iter = 1500'
wdata(3) = 'bands_num_points = 100 '
wdata(4) = 'bands_plot = .true.'
wdata(5) = 'begin kpoint_path'
wdata(6) = 'G 0.0 0.0 0.0 M 0.5 0.0 0.0'
wdata(7) = 'M 0.5 0.0 0.0 K 0.3333333333 0.3333333333 0.0'
wdata(8) = 'K 0.3333333333 0.3333333333 0.0 X 1.0 1.0 0.0'
wdata(9) = 'X 1.0 1.0 0.0 M1 0.0 0.5 0.0'
wdata(10) = 'M1 0.0 0.5 0.0 G 0.0 0.0 0.0'
wdata(11) = 'end kpoint_path'
bands_skipped = 'exclude_bands = 1-12'
proj(1) = 'Cr: l= 3, mr= 2,3,4,5,7'
proj(2) = 'Br: l= -4, mr= 1,3,4,5'
dis_froz_min = -9.519015240040032
/

```

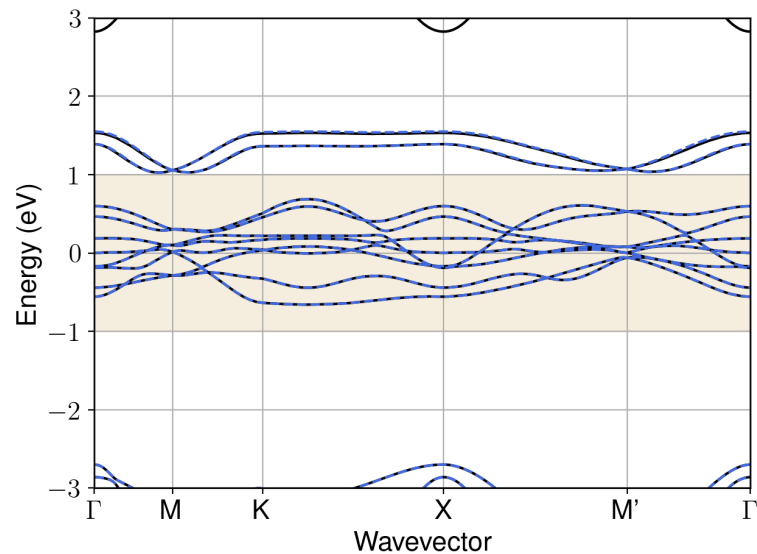


Figure S49: Bandstructure interpolation for monolayer  $\text{CrBr}_2$ . Wannier-interpolation of the band structure of monolayer  $\text{CrBr}_2$  over a wide energy range. Blue dashed lines are results from the present method, black solid lines are explicit DFT calculations. The yellow shaded region shows the range over which optimization has been performed. The interpolation error within the yellow region is 1 meV. The k-grid employed for NSCF calculation is  $6 \times 6$ .

## 38 Material: $\text{CrI}_2$

The calculation files are appended below. These files should be executed in the order provided. The location of pseudo potentials should be changed accordingly.

```

---          scf.in ---
&CONTROL
calculation = 'scf'
verbosity = 'high'
restart_mode = 'from_scratch'
outdir = './'
pseudo_dir = '/scratch1/05193/sabyadk/2D_materials_Wann/Materials/CrI2-ed83a9a9/pseudo/'
prefix = 'hBN'
/
&SYSTEM
ibrav = 0
nat = 6
ntyp = 2
ecutwfc = 60
ecutrho = 240
occupations = 'smearing'
smearing = 'gaussian'
degauss = 0.1
/
&ELECTRONS
conv_thr = 1E-10
diagonalization = cg
electron_maxstep = 500
/
ATOMIC_SPECIES
Cr 51.996 Cr_r.upf
I 126.904 I_r.upf
ATOMIC_POSITIONS crystal
Cr 0.507522615293 0.0 0.998154716759
Cr 0.993865330824 0.500000000013 0.001966668923

```

```

I 0.627143893438 0.500000000013 0.089139516783
I 0.12378919698 0.0 0.08969188101
I 0.37723401103 0.500000000013 0.910520011811
I 0.874203660335 0.0 0.910979261818

```

```

K_POINTS automatic
6 6 1 0 0 0

```

```

CELL_PARAMETERS angstrom
7.79689012326933 0.0 -0.0047265973434193
-2e-16 3.94158925151 2e-16
0.0 0.0 18.320163767425

```

```

---                nscf.in ---
&CONTROL
calculation = bands
verbosity = 'high'
restart_mode = 'from_scratch'
outdir = './'
pseudo_dir = '/scratch1/05193/sabyadk/2D_materials_Wann/Materials/CrI2-ed83a9a9/pseudo/'
prefix = 'hEN'
/
&SYSTEM
ibrav = 0
nat = 6
ntyp = 2
ecutwfc = 60
ecutrho = 240
occupations = 'smearing'
smearing = 'gaussian'
degauss = 0.1
nband = 60
/
&ELECTRONS
conv_thr = 1E-10
diagonalization = cg
electron_maxstep = 500
/
ATOMIC_SPECIES
Cr 51.996 Cr_r.upf
I 126.904 I_r.upf
ATOMIC_POSITIONS crystal
Cr 0.507522615293 0.0 0.998154716759
Cr 0.993865330824 0.500000000013 0.001966668923
I 0.627143893438 0.500000000013 0.089139516783
I 0.12378919698 0.0 0.08969188101
I 0.37723401103 0.500000000013 0.910520011811
I 0.874203660335 0.0 0.910979261818

K_POINTS crystal
36
0.0 0.0 0.0 0.027778
0.0 0.16666666666666666 0.0 0.027778
0.0 0.3333333333333333 0.0 0.027778
0.0 0.5 0.0 0.027778
0.0 0.6666666666666666 0.0 0.027778
0.0 0.8333333333333333 0.0 0.027778
0.16666666666666666 0.0 0.0 0.027778
0.16666666666666666 0.16666666666666666 0.0 0.027778
0.16666666666666666 0.3333333333333333 0.0 0.027778
0.16666666666666666 0.5 0.0 0.027778
0.16666666666666666 0.6666666666666666 0.0 0.027778
0.16666666666666666 0.8333333333333333 0.0 0.027778
0.3333333333333333 0.0 0.0 0.027778
0.3333333333333333 0.16666666666666666 0.0 0.027778
0.3333333333333333 0.3333333333333333 0.0 0.027778
0.3333333333333333 0.5 0.0 0.027778
0.3333333333333333 0.6666666666666666 0.0 0.027778
0.3333333333333333 0.8333333333333333 0.0 0.027778
0.5 0.0 0.0 0.027778
0.5 0.16666666666666666 0.0 0.027778
0.5 0.3333333333333333 0.0 0.027778
0.5 0.5 0.0 0.027778
0.5 0.6666666666666666 0.0 0.027778
0.5 0.8333333333333333 0.0 0.027778
0.6666666666666666 0.0 0.0 0.027778
0.6666666666666666 0.16666666666666666 0.0 0.027778
0.6666666666666666 0.3333333333333333 0.0 0.027778
0.6666666666666666 0.5 0.0 0.027778
0.6666666666666666 0.6666666666666666 0.0 0.027778
0.6666666666666666 0.8333333333333333 0.0 0.027778
0.8333333333333333 0.0 0.0 0.027778
0.8333333333333333 0.16666666666666666 0.0 0.027778

```

```

0.8333333333333333 0.3333333333333333 0.0 0.027778
0.8333333333333333 0.5 0.0 0.027778
0.8333333333333333 0.6666666666666666 0.0 0.027778
0.8333333333333333 0.8333333333333333 0.0 0.027778

```

```

CELL_PARAMETERS angstrom
7.79689012326933 0.0 -0.0047265973434193
-2e-16 3.94158925151 2e-16
0.0 0.0 18.320163767425

```

```

---                epw1.in ---
&inputepw
prefix = 'hBN'
amass(1) = 51.996
amass(2) = 126.904
outdir = './'
elph = .false.
epbwrite = .false.
epbread = .false.
epwwrite = .true.
epwread = .false.
etf_mem = 1
nbndsub = 20
use_ws = .true.
wannierize = .true.
num_iter = 1000
iprint = 2
dis_win_max = 16.412906423043257
dis_froz_max = 1.0745278932529185
fsthick = 1.2
temps = 1
degaussw = 0.005
dvscf_dir = './save'
nk1 = 6
nk2 = 6
nk3 = 1
nq1 = 1
nq2 = 1
nq3 = 1
dis_win_min = -16.769210727290357
wdata(1) = 'guiding_centres = T'
wdata(2) = 'dis_num_iter = 1500'
wdata(3) = 'bands_num_points = 100 '
wdata(4) = 'bands_plot = .true.'
wdata(5) = 'begin kpoint_path'
wdata(6) = 'G 0.0 0.0 0.0 M 0.5 0.0 0.0'
wdata(7) = 'M 0.5 0.0 0.0 K 0.3333333333 0.3333333333 0.0'
wdata(8) = 'K 0.3333333333 0.3333333333 0.0 X 1.0 1.0 0.0'
wdata(9) = 'X 1.0 1.0 0.0 M1 0.0 0.5 0.0'
wdata(10) = 'M1 0.0 0.5 0.0 G 0.0 0.0 0.0'
wdata(11) = 'end kpoint_path'
bands_skipped = 'exclude_bands = 1-12'
proj(1) = 'Cr: l= 3, mr= 2,3,5,7'
proj(2) = 'I: l= -5, mr= 1,4,5'
dis_froz_min = -5.0727752829019
/

```



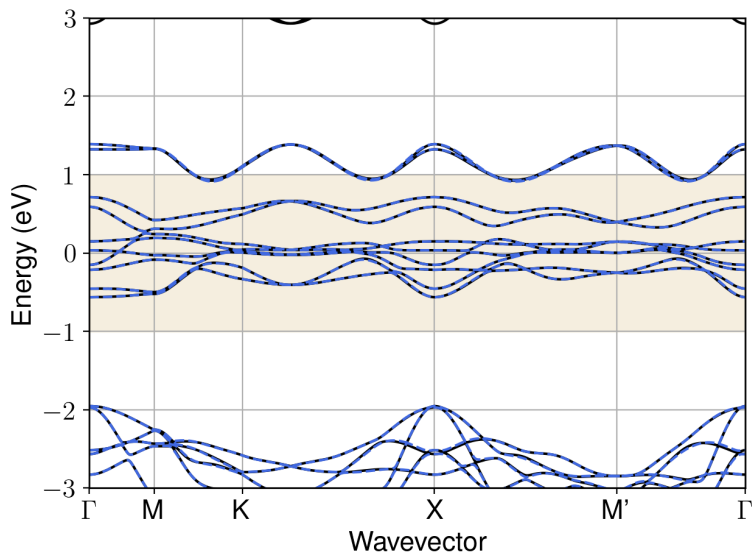


Figure S50: Bandstructure interpolation for monolayer  $\text{CrI}_2$ . Wannier-interpolation of the band structure of monolayer  $\text{CrI}_2$  over a wide energy range. Blue dashed lines are results from the present method, black solid lines are explicit DFT calculations. The yellow shaded region shows the range over which optimization has been performed. The interpolation error within the yellow region is 3 meV. The k-grid employed for NSCF calculation is  $6 \times 6$ .

## 39 Material: $\text{CrSe}_2$

The calculation files are appended below. These files should be executed in the order provided. The location of pseudo potentials should be changed accordingly.

```

---          scf.in ---
&CONTROL
calculation = 'scf'
verbosity = 'high'
restart_mode = 'from_scratch'
outdir = './'
pseudo_dir = '/scratch1/05193/sabyadk/2D_materials_Wann/Materials/CrSe2-62216b81/pseudo/'
prefix = 'hBN'
/
&SYSTEM
ibrav = 0
nat = 6
ntyp = 2
ecutwfc = 60
ecutrho = 240
occupations = 'smearing'
smearing = 'gaussian'
degauss = 0.1
/
&ELECTRONS
conv_thr = 1E-10
diagonalization = cg
electron_maxstep = 500
/
ATOMIC_SPECIES
Cr 51.996 Cr_r.upf
Se 78.971 Se_r.upf
ATOMIC_POSITIONS crystal
Cr 0.749999959995 0.749999869973 0.0
Cr 0.249999959995 0.249999869973 0.0

```

```

Se 0.909708574305 0.250000127006 0.912133962151
Se 0.590291285672 0.250000022999 0.087866037849
Se 0.409708622469 0.750000127009 0.912134006025
Se 0.090291237508 0.750000022995 0.087865993975

```

```

K_POINTS automatic
6 6 1 0 0 0

```

```

CELL_PARAMETERS angstrom
5.667670849549 0.0 3e-16
6.092291751e-07 3.4547891790749463 2e-16
0.0 0.0 17.614264

```

```

---                nscf.in ---
&CONTROL
calculation = bands
verbosity = 'high'
restart_mode = 'from_scratch'
outdir = './'
pseudo_dir = '/scratch1/05193/sabyadk/2D_materials_Wann/Materials/CrSe2-62216b81/pseudo/'
prefix = 'hEN'
/
&SYSTEM
ibrav = 0
nat = 6
ntyp = 2
ecutwfc = 60
ecutrho = 240
occupations = 'smearing'
smearing = 'gaussian'
degauss = 0.1
nband = 60
/
&ELECTRONS
conv_thr = 1E-10
diagonalization = cg
electron_maxstep = 500
/
ATOMIC_SPECIES
Cr 51.996 Cr_r.upf
Se 78.971 Se_r.upf
ATOMIC_POSITIONS crystal
Cr 0.749999959995 0.749999869973 0.0
Cr 0.249999959995 0.249999869973 0.0
Se 0.909708574305 0.250000127006 0.912133962151
Se 0.590291285672 0.250000022999 0.087866037849
Se 0.409708622469 0.750000127009 0.912134006025
Se 0.090291237508 0.750000022995 0.087865993975

K_POINTS crystal
36
0.0 0.0 0.0 0.027778
0.0 0.1666666666666666 0.0 0.027778
0.0 0.3333333333333333 0.0 0.027778
0.0 0.5 0.0 0.027778
0.0 0.6666666666666666 0.0 0.027778
0.0 0.8333333333333333 0.0 0.027778
0.1666666666666666 0.0 0.0 0.027778
0.1666666666666666 0.1666666666666666 0.0 0.027778
0.1666666666666666 0.3333333333333333 0.0 0.027778
0.1666666666666666 0.5 0.0 0.027778
0.1666666666666666 0.6666666666666666 0.0 0.027778
0.1666666666666666 0.8333333333333333 0.0 0.027778
0.3333333333333333 0.0 0.0 0.027778
0.3333333333333333 0.1666666666666666 0.0 0.027778
0.3333333333333333 0.3333333333333333 0.0 0.027778
0.3333333333333333 0.5 0.0 0.027778
0.3333333333333333 0.6666666666666666 0.0 0.027778
0.3333333333333333 0.8333333333333333 0.0 0.027778
0.5 0.0 0.0 0.027778
0.5 0.1666666666666666 0.0 0.027778
0.5 0.3333333333333333 0.0 0.027778
0.5 0.5 0.0 0.027778
0.5 0.6666666666666666 0.0 0.027778
0.5 0.8333333333333333 0.0 0.027778
0.6666666666666666 0.0 0.0 0.027778
0.6666666666666666 0.1666666666666666 0.0 0.027778
0.6666666666666666 0.3333333333333333 0.0 0.027778
0.6666666666666666 0.5 0.0 0.027778
0.6666666666666666 0.6666666666666666 0.0 0.027778
0.6666666666666666 0.8333333333333333 0.0 0.027778
0.8333333333333333 0.0 0.0 0.027778
0.8333333333333333 0.1666666666666666 0.0 0.027778

```

```

0.8333333333333333 0.3333333333333333 0.0 0.027778
0.8333333333333333 0.5 0.0 0.027778
0.8333333333333333 0.6666666666666666 0.0 0.027778
0.8333333333333333 0.8333333333333333 0.0 0.027778

```

```

CELL_PARAMETERS angstrom
5.667670849549 0.0 3e-16
6.092291751e-07 3.4547891790749463 2e-16
0.0 0.0 17.614264

```

```

---                epw1.in ---
&inputepw
prefix = 'hBN'
amass(1) = 51.996
amass(2) = 78.971
outdir = './'
elph = .false.
epbwrite = .false.
epbread = .false.
epwwrite = .true.
epwread = .false.
etf_mem = 1
nbndsub = 20
use_ws = .true.
wannierize = .true.
num_iter = 1000
iprint = 2
dis_win_max = 12.006754674818163
dis_froz_max = 0.850362902511252
fsthick = 1.2
temps = 1
degaussw = 0.005
dvscf_dir = './save'
nk1 = 6
nk2 = 6
nk3 = 1
nq1 = 1
nq2 = 1
nq3 = 1
dis_win_min = -14.511538271500209
wdata(1) = 'guiding_centres = T'
wdata(2) = 'dis_num_iter = 1500'
wdata(3) = 'bands_num_points = 100 '
wdata(4) = 'bands_plot = .true.'
wdata(5) = 'begin kpoint_path'
wdata(6) = 'G 0.0 0.0 0.0 M 0.5 0.0 0.0'
wdata(7) = 'M 0.5 0.0 0.0 K 0.3333333333 0.3333333333 0.0'
wdata(8) = 'K 0.3333333333 0.3333333333 0.0 X 1.0 1.0 0.0'
wdata(9) = 'X 1.0 1.0 0.0 M1 0.0 0.5 0.0'
wdata(10) = 'M1 0.0 0.5 0.0 G 0.0 0.0 0.0'
wdata(11) = 'end kpoint_path'
bands_skipped = 'exclude_bands = 1-12'
proj(1) = 'Cr: l= 3, mr= 4,6'
proj(2) = 'Se: l= 3, mr= 1,4,5,7'
dis_froz_min = -3.5058797321821737
/

```

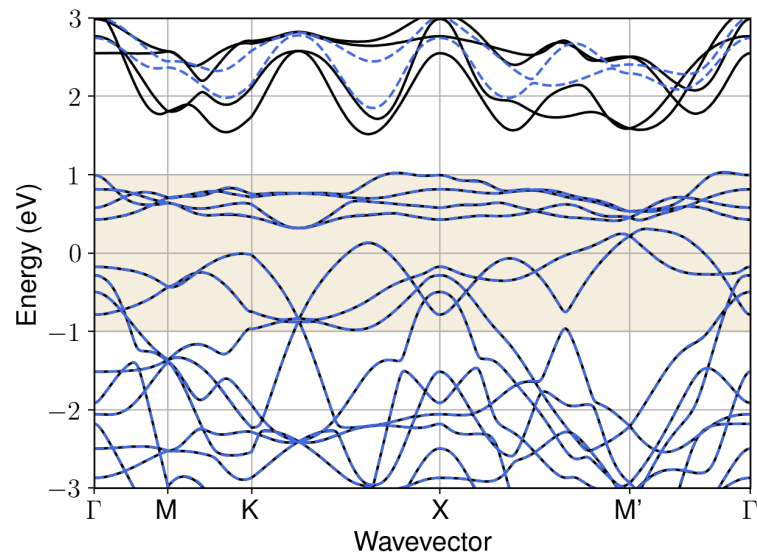


Figure S51: Bandstructure interpolation for monolayer  $\text{CrSe}_2$ . Wannier-interpolation of the band structure of monolayer  $\text{CrSe}_2$  over a wide energy range. Blue dashed lines are results from the present method, black solid lines are explicit DFT calculations. The yellow shaded region shows the range over which optimization has been performed. The interpolation error within the yellow region is 3 meV. The k-grid employed for NSCF calculation is  $6 \times 6$ .

## 40 Material: $\text{Cu}_2\text{Br}_2$

The calculation files are appended below. These files should be executed in the order provided. The location of pseudo potentials should be changed accordingly.

```

---          scf.in ---
&CONTROL
calculation = 'scf'
verbosity = 'high'
restart_mode = 'from_scratch'
outdir = './'
pseudo_dir = '/scratch1/05193/sabyadk/2D_materials_Wann/Materials/Cu2Br2-9f3d31a9/pseudo/'
prefix = 'hBN'
/
&SYSTEM
ibrav = 0
nat = 4
ntyp = 2
ecutwfc = 60
ecutrho = 240
assume_isolated = 2D
/
&ELECTRONS
conv_thr = 1E-12
diagonalization = 'david'
electron_maxstep = 200
/
ATOMIC_SPECIES
Cu 63.546 Cu_r.upf
Br 79.904 Br_r.upf
ATOMIC_POSITIONS crystal
Cu 0.0 0.0 1e-12
Cu 0.499999999974 0.499999999974 1e-12
Br 0.499999999974 0.0 0.930298888172
Br 0.0 0.499999999974 0.06970111825

```

```

K_POINTS automatic
6 6 1 0 0 0

CELL_PARAMETERS angstrom
3.8624237614 0.0 2e-16
-2e-16 3.8624237614 2e-16
0.0 0.0 23.2479556249

```

```

--- nscf.in ---
&CONTROL
calculation = bands
verbosity = 'high'
restart_mode = 'from_scratch'
outdir = './'
pseudo_dir = '/scratch1/05193/sabyadk/2D_materials_Wann/Materials/Cu2Br2-9f3d31a9/pseudo/'
prefix = 'hBN'
/
&SYSTEM
ibrav = 0
nat = 4
ntyp = 2
ecutwfc = 60
ecutrho = 240
assume_isolated = 2D
nbnd = 60
/
&ELECTRONS
conv_thr = 1E-10
diagonalization = 'david'
electron_maxstep = 200
/
ATOMIC_SPECIES
Cu 63.546 Cu_r.upf
Br 79.904 Br_r.upf
ATOMIC_POSITIONS crystal
Cu 0.0 0.0 1e-12
Cu 0.499999999974 0.499999999974 1e-12
Br 0.499999999974 0.0 0.930298888172
Br 0.0 0.499999999974 0.06970111825

K_POINTS crystal
36
0.0 0.0 0.0 0.027778
0.0 0.16666666666666666 0.0 0.027778
0.0 0.3333333333333333 0.0 0.027778
0.0 0.5 0.0 0.027778
0.0 0.6666666666666666 0.0 0.027778
0.0 0.8333333333333333 0.0 0.027778
0.16666666666666666 0.0 0.0 0.027778
0.16666666666666666 0.16666666666666666 0.0 0.027778
0.16666666666666666 0.3333333333333333 0.0 0.027778
0.16666666666666666 0.5 0.0 0.027778
0.16666666666666666 0.6666666666666666 0.0 0.027778
0.16666666666666666 0.8333333333333333 0.0 0.027778
0.3333333333333333 0.0 0.0 0.027778
0.3333333333333333 0.16666666666666666 0.0 0.027778
0.3333333333333333 0.3333333333333333 0.0 0.027778
0.3333333333333333 0.5 0.0 0.027778
0.3333333333333333 0.6666666666666666 0.0 0.027778
0.3333333333333333 0.8333333333333333 0.0 0.027778
0.5 0.0 0.0 0.027778
0.5 0.16666666666666666 0.0 0.027778
0.5 0.3333333333333333 0.0 0.027778
0.5 0.5 0.0 0.027778
0.5 0.6666666666666666 0.0 0.027778
0.5 0.8333333333333333 0.0 0.027778
0.6666666666666666 0.0 0.0 0.027778
0.6666666666666666 0.16666666666666666 0.0 0.027778
0.6666666666666666 0.3333333333333333 0.0 0.027778
0.6666666666666666 0.5 0.0 0.027778
0.6666666666666666 0.6666666666666666 0.0 0.027778
0.6666666666666666 0.8333333333333333 0.0 0.027778
0.8333333333333333 0.0 0.0 0.027778
0.8333333333333333 0.16666666666666666 0.0 0.027778
0.8333333333333333 0.3333333333333333 0.0 0.027778
0.8333333333333333 0.5 0.0 0.027778
0.8333333333333333 0.6666666666666666 0.0 0.027778
0.8333333333333333 0.8333333333333333 0.0 0.027778

CELL_PARAMETERS angstrom
3.8624237614 0.0 2e-16
-2e-16 3.8624237614 2e-16

```

0.0 0.0 23.2479556249

```

---
                                epw1.in ---
&inputepw
prefix = 'hEN'
amass(1) = 63.546
amass(2) = 79.904
outdir = './'
elph = .false.
epbwrite = .false.
epbwrite = .false.
epwwrite = .true.
epwread = .false.
etf_mem = 1
nbndsub = 16
use_ws = .true.
wannierize = .true.
num_iter = 1000
iprint = 2
dis_win_max = 14.706272506221534
dis_froz_max = -1.4237655405981169
fsthick = 1.2
temps = 1
degaussw = 0.005
dvscf_dir = './save'
nk1 = 6
nk2 = 6
nk3 = 1
nq1 = 1
nq2 = 1
nq3 = 1
system_2d = 'dipole_sp'
lpolar = .true.
dis_win_min = -16.697222680450757
wdata(1) = 'guiding_centres = T'
wdata(2) = 'dis_num_iter = 1500'
wdata(3) = 'bands_num_points = 100 '
wdata(4) = 'bands_plot = .true.'
wdata(5) = 'begin kpoint_path'
wdata(6) = 'G 0.0 0.0 0.0 M 0.5 0.0 0.0'
wdata(7) = 'M 0.5 0.0 0.0 K 0.3333333333 0.3333333333 0.0'
wdata(8) = 'K 0.3333333333 0.3333333333 0.0 X 1.0 1.0 0.0'
wdata(9) = 'X 1.0 1.0 0.0 M1 0.0 0.5 0.0'
wdata(10) = 'M1 0.0 0.5 0.0 G 0.0 0.0 0.0'
wdata(11) = 'end kpoint_path'
bands_skipped = 'exclude_bands = 1-9'
proj(1) = 'Cu: l= 2, mr= 3,4'
proj(2) = 'Br: l= 3, mr= 1,3,4,5,6,7'
dis_froz_min = -8.93490729575736
/

```

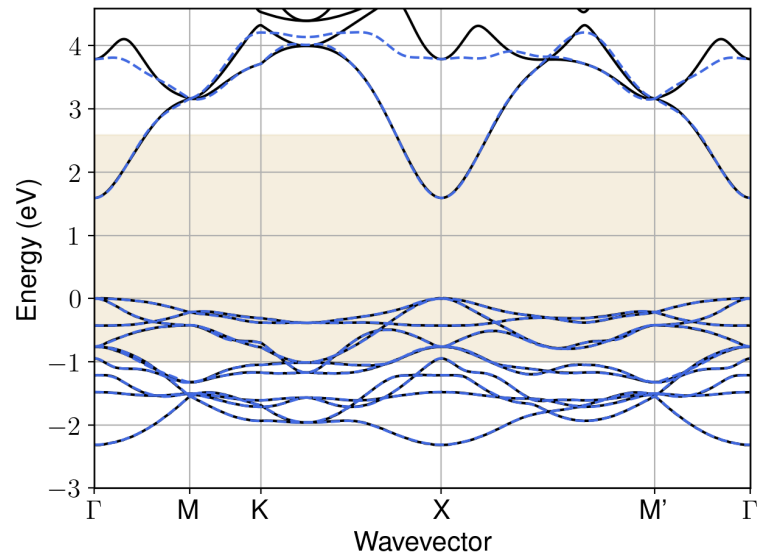


Figure S52: Bandstructure interpolation for monolayer  $\text{Cu}_2\text{Br}_2$ . Wannier-interpolation of the band structure of monolayer  $\text{Cu}_2\text{Br}_2$  over a wide energy range. Blue dashed lines are results from the present method, black solid lines are explicit DFT calculations. The yellow shaded region shows the range over which optimization has been performed. The interpolation error within the yellow region is 5 meV. The k-grid employed for NSCF calculation is  $6 \times 6$ .

## 41 Material: $\text{Cu}_2\text{I}_2$

The calculation files are appended below. These files should be executed in the order provided. The location of pseudo potentials should be changed accordingly.

```

---          scf.in ---
&CONTROL
calculation = 'scf'
verbosity = 'high'
restart_mode = 'from_scratch'
outdir = './'
pseudo_dir = '/scratch1/05193/sabyadk/2D_materials_Wann/Materials/Cu2I2-18ab7a38/pseudo/'
prefix = 'hBN'
/
&SYSTEM
ibrav = 0
nat = 4
ntyp = 2
ecutwfc = 60
ecutrho = 240
assume_isolated = 2D
/
&ELECTRONS
conv_thr = 1E-12
diagonalization = 'david'
electron_maxstep = 200
/
ATOMIC_SPECIES
Cu 63.546 Cu_r.upf
I 126.904 I_r.upf
ATOMIC_POSITIONS crystal
Cu 0.0 0.0 0.970939794469
Cu 0.6666666666666666 0.3333333333333333 0.029059781374
I 0.0 0.0 0.07996348212
I 0.6666666666666666 0.3333333333333333 0.920036942037

```

```

K_POINTS automatic
6 6 1 0 0 0

CELL_PARAMETERS angstrom
4.16187536504 0.0 3e-16
-2.080937682520008 3.604289793528899 3e-16
0.0 0.0 23.9157613166

```

```

--- nscf.in ---
&CONTROL
calculation = bands
verbosity = 'high'
restart_mode = 'from_scratch'
outdir = './'
pseudo_dir = '/scratch1/05193/sabyadk/2D_materials_Wann/Materials/Cu2I2-18ab7a38/pseudo/'
prefix = 'hBN'
/
&SYSTEM
ibrav = 0
nat = 4
ntyp = 2
ecutwfc = 60
ecutrho = 240
assume_isolated = 2D
nbnd = 60
/
&ELECTRONS
conv_thr = 1E-10
diagonalization = 'david'
electron_maxstep = 200
/
ATOMIC_SPECIES
Cu 63.546 Cu_r.upf
I 126.904 I_r.upf
ATOMIC_POSITIONS crystal
Cu 0.0 0.0 0.970939794469
Cu 0.6666666666666666 0.3333333333333333 0.029059781374
I 0.0 0.0 0.07996348212
I 0.6666666666666666 0.3333333333333333 0.920036942037

K_POINTS crystal
36
0.0 0.0 0.0 0.027778
0.0 0.1666666666666666 0.0 0.027778
0.0 0.3333333333333333 0.0 0.027778
0.0 0.5 0.0 0.027778
0.0 0.6666666666666666 0.0 0.027778
0.0 0.8333333333333333 0.0 0.027778
0.1666666666666666 0.0 0.0 0.027778
0.1666666666666666 0.1666666666666666 0.0 0.027778
0.1666666666666666 0.3333333333333333 0.0 0.027778
0.1666666666666666 0.5 0.0 0.027778
0.1666666666666666 0.6666666666666666 0.0 0.027778
0.1666666666666666 0.8333333333333333 0.0 0.027778
0.3333333333333333 0.0 0.0 0.027778
0.3333333333333333 0.1666666666666666 0.0 0.027778
0.3333333333333333 0.3333333333333333 0.0 0.027778
0.3333333333333333 0.5 0.0 0.027778
0.3333333333333333 0.6666666666666666 0.0 0.027778
0.3333333333333333 0.8333333333333333 0.0 0.027778
0.5 0.0 0.0 0.027778
0.5 0.1666666666666666 0.0 0.027778
0.5 0.3333333333333333 0.0 0.027778
0.5 0.5 0.0 0.027778
0.5 0.6666666666666666 0.0 0.027778
0.5 0.8333333333333333 0.0 0.027778
0.6666666666666666 0.0 0.0 0.027778
0.6666666666666666 0.1666666666666666 0.0 0.027778
0.6666666666666666 0.3333333333333333 0.0 0.027778
0.6666666666666666 0.5 0.0 0.027778
0.6666666666666666 0.6666666666666666 0.0 0.027778
0.6666666666666666 0.8333333333333333 0.0 0.027778
0.8333333333333333 0.0 0.0 0.027778
0.8333333333333333 0.1666666666666666 0.0 0.027778
0.8333333333333333 0.3333333333333333 0.0 0.027778
0.8333333333333333 0.5 0.0 0.027778
0.8333333333333333 0.6666666666666666 0.0 0.027778
0.8333333333333333 0.8333333333333333 0.0 0.027778

CELL_PARAMETERS angstrom
4.16187536504 0.0 3e-16
-2.080937682520008 3.604289793528899 3e-16

```



0.0 0.0 23.9157613166

```

---                epw1.in ---
&inputepw
prefix = 'hEN'
amass(1) = 63.546
amass(2) = 126.904
outdir = './'
elph = .false.
epbwrite = .false.
epbwrite = .false.
epwwrite = .true.
epwread = .false.
etf_mem = 1
nbndsub = 16
use_ws = .true.
wannierize = .true.
num_iter = 1000
iprint = 2
dis_win_max = 9.70878889077061
dis_froz_max = 0.48048689883903073
fsthick = 1.2
temps = 1
degaussw = 0.005
dvscf_dir = './save'
nk1 = 6
nk2 = 6
nk3 = 1
nq1 = 1
nq2 = 1
nq3 = 1
system_2d = 'dipole_sp'
lpolar = .true.
dis_win_min = -20.27839567057768
wdata(1) = 'guiding_centres = T'
wdata(2) = 'dis_num_iter = 1500'
wdata(3) = 'bands_num_points = 100 '
wdata(4) = 'bands_plot = .true.'
wdata(5) = 'begin kpoint_path'
wdata(6) = 'G 0.0 0.0 0.0 M 0.5 0.0 0.0'
wdata(7) = 'M 0.5 0.0 0.0 K 0.3333333333 0.3333333333 0.0'
wdata(8) = 'K 0.3333333333 0.3333333333 0.0 X 1.0 1.0 0.0'
wdata(9) = 'X 1.0 1.0 0.0 M1 0.0 0.5 0.0'
wdata(10) = 'M1 0.0 0.5 0.0 G 0.0 0.0 0.0'
wdata(11) = 'end kpoint_path'
bands_skipped = 'exclude_bands = 1-8'
proj(1) = 'Cu: l= 3, mr= 1,2,3,5'
proj(2) = 'I: l= 3, mr= 1,4,6,7'
dis_froz_min = -6.431867728651088
/

```

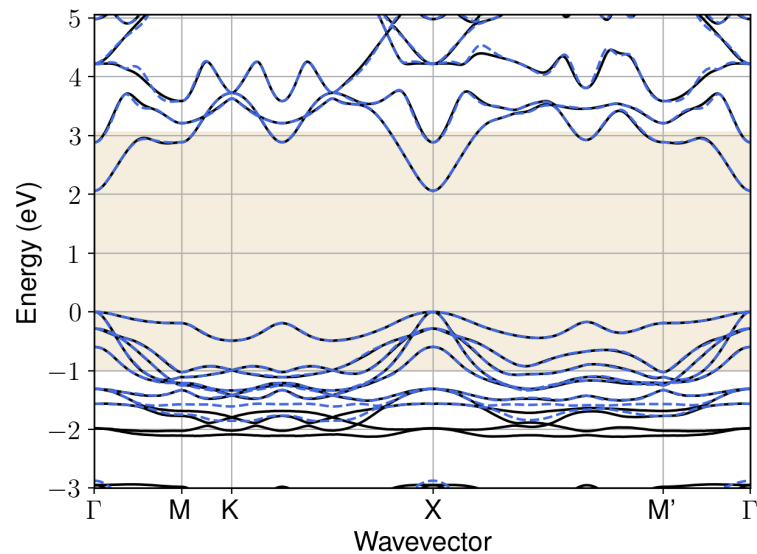


Figure S53: Bandstructure interpolation for monolayer  $\text{Cu}_2\text{I}_2$ . Wannier-interpolation of the band structure of monolayer  $\text{Cu}_2\text{I}_2$  over a wide energy range. Blue dashed lines are results from the present method, black solid lines are explicit DFT calculations. The yellow shaded region shows the range over which optimization has been performed. The interpolation error within the yellow region is 7 meV. The k-grid employed for NSCF calculation is  $6 \times 6$ .

## 42 Material: $\text{Cu}_2\text{I}_2$

The calculation files are appended below. These files should be executed in the order provided. The location of pseudo potentials should be changed accordingly.

```

---          scf.in ---
&CONTROL
calculation = 'scf'
verbosity = 'high'
restart_mode = 'from_scratch'
outdir = './'
pseudo_dir = '/scratch1/05193/sabyadk/2D_materials_Wann/Materials/Cu2I2-f26a3e57/pseudo/'
prefix = 'hBN'
/
&SYSTEM
ibrav = 0
nat = 4
ntyp = 2
ecutwfc = 60
ecutrho = 240
assume_isolated = 2D
/
&ELECTRONS
conv_thr = 1E-12
diagonalization = 'david'
electron_maxstep = 200
/
ATOMIC_SPECIES
Cu 63.546 Cu_r.upf
I 126.904 I_r.upf
ATOMIC_POSITIONS crystal
Cu 0.720061443473 0.279846731587 0.999993514349
Cu 0.279938556526 0.720153268414 6.485651e-06
I 0.2249071137 0.224947990153 0.072114276006
I 0.775092886276 0.775052009823 0.927885723994

```

```

K_POINTS automatic
6 6 1 0 0 0

CELL_PARAMETERS angstrom
4.120422302049 0.0 3e-16
-0.4775540093584855 4.092091657585917 3e-16
0.0 0.0 23.435727342225

```

```

--- nscf.in ---
&CONTROL
calculation = bands
verbosity = 'high'
restart_mode = 'from_scratch'
outdir = './'
pseudo_dir = '/scratch1/05193/sabyadk/2D_materials_Wann/Materials/Cu2I2-f26a3e57/pseudo/'
prefix = 'hBN'
/
&SYSTEM
ibrav = 0
nat = 4
ntyp = 2
ecutwfc = 60
ecutrho = 240
assume_isolated = 2D
nbnd = 60
/
&ELECTRONS
conv_thr = 1E-10
diagonalization = 'david'
electron_maxstep = 200
/
ATOMIC_SPECIES
Cu 63.546 Cu_r.upf
I 126.904 I_r.upf
ATOMIC_POSITIONS crystal
Cu 0.720061443473 0.279846731587 0.999993514349
Cu 0.279938556526 0.720153268414 6.485651e-06
I 0.2249071137 0.224947990153 0.072114276006
I 0.775092886276 0.775052009823 0.927885723994

K_POINTS crystal
36
0.0 0.0 0.0 0.027778
0.0 0.1666666666666666 0.0 0.027778
0.0 0.3333333333333333 0.0 0.027778
0.0 0.5 0.0 0.027778
0.0 0.6666666666666666 0.0 0.027778
0.0 0.8333333333333333 0.0 0.027778
0.1666666666666666 0.0 0.0 0.027778
0.1666666666666666 0.1666666666666666 0.0 0.027778
0.1666666666666666 0.3333333333333333 0.0 0.027778
0.1666666666666666 0.5 0.0 0.027778
0.1666666666666666 0.6666666666666666 0.0 0.027778
0.1666666666666666 0.8333333333333333 0.0 0.027778
0.3333333333333333 0.0 0.0 0.027778
0.3333333333333333 0.1666666666666666 0.0 0.027778
0.3333333333333333 0.3333333333333333 0.0 0.027778
0.3333333333333333 0.5 0.0 0.027778
0.3333333333333333 0.6666666666666666 0.0 0.027778
0.3333333333333333 0.8333333333333333 0.0 0.027778
0.5 0.0 0.0 0.027778
0.5 0.1666666666666666 0.0 0.027778
0.5 0.3333333333333333 0.0 0.027778
0.5 0.5 0.0 0.027778
0.5 0.6666666666666666 0.0 0.027778
0.5 0.8333333333333333 0.0 0.027778
0.6666666666666666 0.0 0.0 0.027778
0.6666666666666666 0.1666666666666666 0.0 0.027778
0.6666666666666666 0.3333333333333333 0.0 0.027778
0.6666666666666666 0.5 0.0 0.027778
0.6666666666666666 0.6666666666666666 0.0 0.027778
0.6666666666666666 0.8333333333333333 0.0 0.027778
0.8333333333333333 0.0 0.0 0.027778
0.8333333333333333 0.1666666666666666 0.0 0.027778
0.8333333333333333 0.3333333333333333 0.0 0.027778
0.8333333333333333 0.5 0.0 0.027778
0.8333333333333333 0.6666666666666666 0.0 0.027778
0.8333333333333333 0.8333333333333333 0.0 0.027778

CELL_PARAMETERS angstrom
4.120422302049 0.0 3e-16
-0.4775540093584855 4.092091657585917 3e-16

```

0.0 0.0 23.435727342225

```

---                               epw1.in ---
&inputepw
prefix = 'hEN'
amass(1) = 63.546
amass(2) = 126.904
outdir = './'
elph = .false.
epbwrite = .false.
epbwrite = .false.
epwwrite = .true.
epwread = .false.
etf_mem = 1
nbndsub = 14
use_ws = .true.
wannierize = .true.
num_iter = 1000
iprint = 2
dis_win_max = 8.799022118200565
dis_froz_max = -0.7694604940002687
fsthick = 1.2
temps = 1
degaussw = 0.005
dvscf_dir = './save'
nk1 = 6
nk2 = 6
nk3 = 1
nq1 = 1
nq2 = 1
nq3 = 1
system_2d = 'dipole_sp'
lpolar = .true.
dis_win_min = -20.54074609530083
wdata(1) = 'guiding_centres = T'
wdata(2) = 'dis_num_iter = 1500'
wdata(3) = 'bands_num_points = 100 '
wdata(4) = 'bands_plot = .true.'
wdata(5) = 'begin kpoint_path'
wdata(6) = 'G 0.0 0.0 0.0 M 0.5 0.0 0.0'
wdata(7) = 'M 0.5 0.0 0.0 K 0.3333333333 0.3333333333 0.0'
wdata(8) = 'K 0.3333333333 0.3333333333 0.0 X 1.0 1.0 0.0'
wdata(9) = 'X 1.0 1.0 0.0 M1 0.0 0.5 0.0'
wdata(10) = 'M1 0.0 0.5 0.0 G 0.0 0.0 0.0'
wdata(11) = 'end kpoint_path'
bands_skipped = 'exclude_bands = 1-8'
proj(1) = 'Cu: l= 3, mr= 2,4,5'
proj(2) = 'I: l= 3, mr= 2,3,5,7'
dis_froz_min = -7.366281615397771
/

```

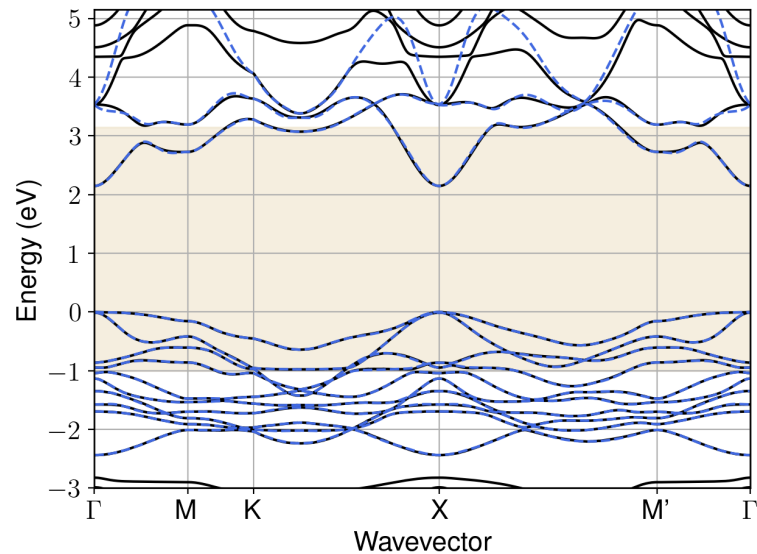


Figure S54: Bandstructure interpolation for monolayer  $\text{Cu}_2\text{I}_2$ . Wannier-interpolation of the band structure of monolayer  $\text{Cu}_2\text{I}_2$  over a wide energy range. Blue dashed lines are results from the present method, black solid lines are explicit DFT calculations. The yellow shaded region shows the range over which optimization has been performed. The interpolation error within the yellow region is 7 meV. The k-grid employed for NSCF calculation is  $6 \times 6$ .

### 43 Material: $\text{Fe}_2\text{O}_2\text{Cl}_2$

The calculation files are appended below. These files should be executed in the order provided. The location of pseudo potentials should be changed accordingly.

```

---          scf.in ---
&CONTROL
calculation = 'scf'
verbosity = 'high'
restart_mode = 'from_scratch'
outdir = './'
pseudo_dir = '/scratch1/05193/sabyadk/2D_materials_Wann/Materials/Fe2O2Cl2-c2dd5d25/pseudo/'
prefix = 'hBN'
/
&SYSTEM
ibrav = 0
nat = 6
ntyp = 3
ecutwfc = 60
ecutrho = 240
occupations = 'smearing'
smearing = 'gaussian'
degauss = 0.1
/
&ELECTRONS
conv_thr = 1E-10
diagonalization = cg
electron_maxstep = 500
/
ATOMIC_SPECIES
Fe 55.845 Fe_r.upf
Cl 35.453 Cl_r.upf
O 15.999 O_r.upf
ATOMIC_POSITIONS crystal
Fe 0.2499999920005 0.250001960869 0.043295605604

```

```

Fe 0.750000079995 0.749997771142 0.9567041973879999
Cl 0.750000079995 0.250001023503 0.120796112078
Cl 0.249999920005 0.749999219696 0.879203972083
O 0.249999920005 0.750000258781 0.016829059615
O 0.750000079995 0.249999766008 0.983171053232

K_POINTS automatic
6 6 1 0 0 0

CELL_PARAMETERS angstrom
3.3083299018 0.0 2e-16
-2e-16 3.7878482117 2e-16
0.0 0.0 22.052301

```

```

---                nscf.in ---
&CONTROL
calculation = bands
verbosity = 'high'
restart_mode = 'from_scratch'
outdir = './'
pseudo_dir = '/scratch1/05193/sabyadk/2D_materials_Wann/Materials/Fe202Cl2-c2dd5d25/pseudo/'
prefix = 'hBN'
/
&SYSTEM
ibrav = 0
nat = 6
ntyp = 3
ecutwfc = 60
ecutrho = 240
occupations = 'smearing'
smearing = 'gaussian'
degauss = 0.1
nbnd = 60
/
&ELECTRONS
conv_thr = 1E-10
diagonalization = cg
electron_maxstep = 500
/
ATOMIC_SPECIES
Fe 55.845 Fe_r.upf
Cl 35.453 Cl_r.upf
O 15.999 O_r.upf
ATOMIC_POSITIONS crystal
Fe 0.249999920005 0.250001960869 0.043295605604
Fe 0.750000079995 0.749997771142 0.9567041973879999
Cl 0.750000079995 0.250001023503 0.120796112078
Cl 0.249999920005 0.749999219696 0.879203972083
O 0.249999920005 0.750000258781 0.016829059615
O 0.750000079995 0.249999766008 0.983171053232

K_POINTS crystal
36
0.0 0.0 0.0 0.027778
0.0 0.1666666666666666 0.0 0.027778
0.0 0.3333333333333333 0.0 0.027778
0.0 0.5 0.0 0.027778
0.0 0.6666666666666666 0.0 0.027778
0.0 0.8333333333333333 0.0 0.027778
0.1666666666666666 0.0 0.0 0.027778
0.1666666666666666 0.1666666666666666 0.0 0.027778
0.1666666666666666 0.3333333333333333 0.0 0.027778
0.1666666666666666 0.5 0.0 0.027778
0.1666666666666666 0.6666666666666666 0.0 0.027778
0.1666666666666666 0.8333333333333333 0.0 0.027778
0.3333333333333333 0.0 0.0 0.027778
0.3333333333333333 0.1666666666666666 0.0 0.027778
0.3333333333333333 0.3333333333333333 0.0 0.027778
0.3333333333333333 0.5 0.0 0.027778
0.3333333333333333 0.6666666666666666 0.0 0.027778
0.3333333333333333 0.8333333333333333 0.0 0.027778
0.5 0.0 0.0 0.027778
0.5 0.1666666666666666 0.0 0.027778
0.5 0.3333333333333333 0.0 0.027778
0.5 0.5 0.0 0.027778
0.5 0.6666666666666666 0.0 0.027778
0.5 0.8333333333333333 0.0 0.027778
0.6666666666666666 0.0 0.0 0.027778
0.6666666666666666 0.1666666666666666 0.0 0.027778
0.6666666666666666 0.3333333333333333 0.0 0.027778
0.6666666666666666 0.5 0.0 0.027778
0.6666666666666666 0.6666666666666666 0.0 0.027778
0.6666666666666666 0.8333333333333333 0.0 0.027778

```

```

0.8333333333333333 0.0 0.0 0.027778
0.8333333333333333 0.1666666666666666 0.0 0.027778
0.8333333333333333 0.3333333333333333 0.0 0.027778
0.8333333333333333 0.5 0.0 0.027778
0.8333333333333333 0.6666666666666666 0.0 0.027778
0.8333333333333333 0.8333333333333333 0.0 0.027778

CELL_PARAMETERS angstrom
3.3083299018 0.0 2e-16
-2e-16 3.7878482117 2e-16
0.0 0.0 22.052301

```

```

---                epw1.in ---
&inputepw
prefix = 'hEN'
amass(1) = 55.845
amass(2) = 35.453
amass(3) = 15.999
outdir = './'
elph = .false.
epbwrite = .false.
epbread = .false.
epwwrite = .true.
epwread = .false.
etf_mem = 1
nbndsub = 22
use_ws = .true.
wannierize = .true.
num_iter = 1000
iprint = 2
dis_win_max = 20.36156851428089
dis_froz_max = 2.587695024075248
fsthick = 1.2
temps = 1
degaussw = 0.005
dvscf_dir = './save'
nk1 = 6
nk2 = 6
nk3 = 1
nq1 = 1
nq2 = 1
nq3 = 1
dis_win_min = -20.518675213209598
wdata(1) = 'guiding_centres = T'
wdata(2) = 'dis_num_iter = 1500'
wdata(3) = 'bands_num_points = 100 '
wdata(4) = 'bands_plot = .true.'
wdata(5) = 'begin kpoint_path'
wdata(6) = 'G 0.0 0.0 0.0 M 0.5 0.0 0.0'
wdata(7) = 'M 0.5 0.0 0.0 K 0.3333333333 0.3333333333 0.0'
wdata(8) = 'K 0.3333333333 0.3333333333 0.0 X 1.0 1.0 0.0'
wdata(9) = 'X 1.0 1.0 0.0 M1 0.0 0.5 0.0'
wdata(10) = 'M1 0.0 0.5 0.0 G 0.0 0.0 0.0'
wdata(11) = 'end kpoint_path'
bands_skipped = 'exclude_bands = 1-12'
proj(1) = 'Fe: l= -5, mr= 1,2,4'
proj(2) = 'Cl: l= 3, mr= 3,4,5,6'
proj(3) = 'O: l= -5, mr= 1,2,4,5'
dis_froz_min = -7.922814806469433
/

```

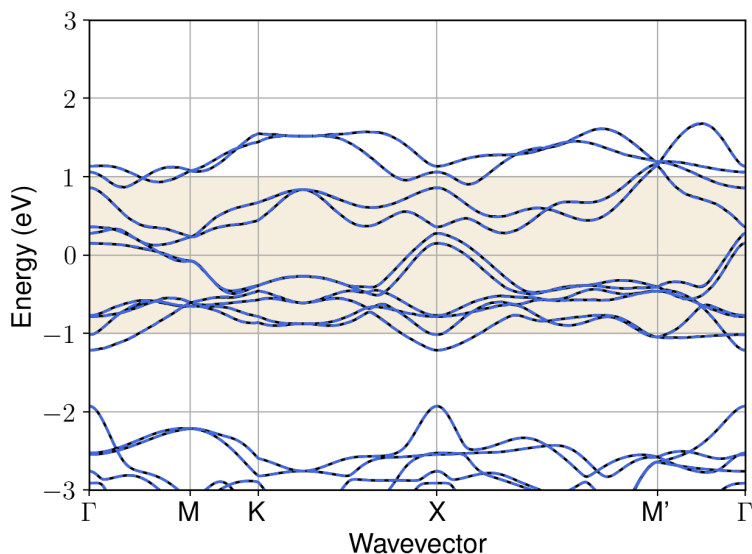


Figure S55: Bandstructure interpolation for monolayer  $\text{Fe}_2\text{O}_2\text{Cl}_2$ . Wannier-interpolation of the band structure of monolayer  $\text{Fe}_2\text{O}_2\text{Cl}_2$  over a wide energy range. Blue dashed lines are results from the present method, black solid lines are explicit DFT calculations. The yellow shaded region shows the range over which optimization has been performed. The interpolation error within the yellow region is 3 meV. The k-grid employed for NSCF calculation is  $6 \times 6$ .

#### 44 Material: $\text{Fe}_2\text{O}_4$

The calculation files are appended below. These files should be executed in the order provided. The location of pseudo potentials should be changed accordingly.

```

---          scf.in ---
&CONTROL
calculation = 'scf'
verbosity = 'high'
restart_mode = 'from_scratch'
outdir = './'
pseudo_dir = '/scratch1/05193/sabyadk/2D_materials_Wann/Materials/Fe204-d86dcd38/pseudo/'
prefix = 'hBN'
/
&SYSTEM
ibrav = 0
nat = 6
ntyp = 2
ecutwfc = 60
ecutrho = 240
occupations = 'smearing'
smearing = 'gaussian'
degauss = 0.1
/
&ELECTRONS
conv_thr = 1E-10
diagonalization = cg
electron_maxstep = 500
/
ATOMIC_SPECIES
Fe 55.845 Fe_r.upf
O 15.999 O_r.upf
ATOMIC_POSITIONS crystal
Fe 0.750000090018 0.749996495729 0.046743145807
Fe 0.249999909982 0.250003327581 0.953256853865

```



```

O 0.249999909982 0.750001138372 0.97561798627
O 0.750000090018 0.250008134624 0.898653522309
O 0.750000090018 0.249998647952 0.024382084881
O 0.249999909982 0.749991725778 0.101346406869

```

```

K_POINTS automatic
6 6 1 0 0 0

```

```

CELL_PARAMETERS angstrom
2.788701558455 0.0 2e-16
-2e-16 3.798058441698 2e-16
0.0 0.0 20.007257

```

```

---                                nscf.in ---
&CONTROL
calculation = bands
verbosity = 'high'
restart_mode = 'from_scratch'
outdir = './'
pseudo_dir = '/scratch1/05193/sabyadk/2D_materials_Wann/Materials/Fe204-d86dcd38/pseudo/'
prefix = 'hEN'
/
&SYSTEM
ibrav = 0
nat = 6
ntyp = 2
ecutwfc = 60
ecutrho = 240
occupations = 'smearing'
smearing = 'gaussian'
degauss = 0.1
nband = 60
/
&ELECTRONS
conv_thr = 1E-10
diagonalization = cg
electron_maxstep = 500
/
ATOMIC_SPECIES
Fe 55.845 Fe_r.upf
O 15.999 O_r.upf
ATOMIC_POSITIONS crystal
Fe 0.750000090018 0.749996495729 0.046743145807
Fe 0.249999909982 0.250003327581 0.953256853865
O 0.249999909982 0.750001138372 0.97561798627
O 0.750000090018 0.250008134624 0.898653522309
O 0.750000090018 0.249998647952 0.024382084881
O 0.249999909982 0.749991725778 0.101346406869

K_POINTS crystal
36
0.0 0.0 0.0 0.027778
0.0 0.16666666666666666 0.0 0.027778
0.0 0.33333333333333333 0.0 0.027778
0.0 0.5 0.0 0.027778
0.0 0.66666666666666666 0.0 0.027778
0.0 0.83333333333333333 0.0 0.027778
0.16666666666666666 0.0 0.0 0.027778
0.16666666666666666 0.16666666666666666 0.0 0.027778
0.16666666666666666 0.33333333333333333 0.0 0.027778
0.16666666666666666 0.5 0.0 0.027778
0.16666666666666666 0.66666666666666666 0.0 0.027778
0.16666666666666666 0.83333333333333333 0.0 0.027778
0.33333333333333333 0.0 0.0 0.027778
0.33333333333333333 0.16666666666666666 0.0 0.027778
0.33333333333333333 0.33333333333333333 0.0 0.027778
0.33333333333333333 0.5 0.0 0.027778
0.33333333333333333 0.66666666666666666 0.0 0.027778
0.33333333333333333 0.83333333333333333 0.0 0.027778
0.5 0.0 0.0 0.027778
0.5 0.16666666666666666 0.0 0.027778
0.5 0.33333333333333333 0.0 0.027778
0.5 0.5 0.0 0.027778
0.5 0.66666666666666666 0.0 0.027778
0.5 0.83333333333333333 0.0 0.027778
0.66666666666666666 0.0 0.0 0.027778
0.66666666666666666 0.16666666666666666 0.0 0.027778
0.66666666666666666 0.33333333333333333 0.0 0.027778
0.66666666666666666 0.5 0.0 0.027778
0.66666666666666666 0.66666666666666666 0.0 0.027778
0.66666666666666666 0.83333333333333333 0.0 0.027778
0.83333333333333333 0.0 0.0 0.027778
0.83333333333333333 0.16666666666666666 0.0 0.027778

```

```

0.8333333333333333 0.3333333333333333 0.0 0.027778
0.8333333333333333 0.5 0.0 0.027778
0.8333333333333333 0.6666666666666666 0.0 0.027778
0.8333333333333333 0.8333333333333333 0.0 0.027778

```

```

CELL_PARAMETERS angstrom
2.788701558455 0.0 2e-16
-2e-16 3.798058441698 2e-16
0.0 0.0 20.007257

```

```

---                epw1.in ---
&inputepw
prefix = 'hBN'
amass(1) = 55.845
amass(2) = 15.999
outdir = './'
elph = .false.
epbwrite = .false.
epbread = .false.
epwwrite = .true.
epwread = .false.
etf_mem = 1
nbndsub = 22
use_ws = .true.
wannierize = .true.
num_iter = 1000
iprint = 2
dis_win_max = 16.754286342925
dis_froz_max = 2.699602041937859
fsthick = 1.2
temps = 1
degaussw = 0.005
dvscf_dir = './save'
nk1 = 6
nk2 = 6
nk3 = 1
nq1 = 1
nq2 = 1
nq3 = 1
dis_win_min = -15.471228806786469
wdata(1) = 'guiding_centres = T'
wdata(2) = 'dis_num_iter = 1500'
wdata(3) = 'bands_num_points = 100 '
wdata(4) = 'bands_plot = .true.'
wdata(5) = 'begin kpoint_path'
wdata(6) = 'G 0.0 0.0 0.0 M 0.5 0.0 0.0'
wdata(7) = 'M 0.5 0.0 0.0 K 0.3333333333 0.3333333333 0.0'
wdata(8) = 'K 0.3333333333 0.3333333333 0.0 X 1.0 1.0 0.0'
wdata(9) = 'X 1.0 1.0 0.0 M1 0.0 0.5 0.0'
wdata(10) = 'M1 0.0 0.5 0.0 G 0.0 0.0 0.0'
wdata(11) = 'end kpoint_path'
bands_skipped = 'exclude_bands = 1-12'
proj(1) = 'Fe: l= 3, mr= 2,3,5'
proj(2) = 'O: l= 3, mr= 1,5,6,7'
dis_froz_min = -6.202681879668365
/

```

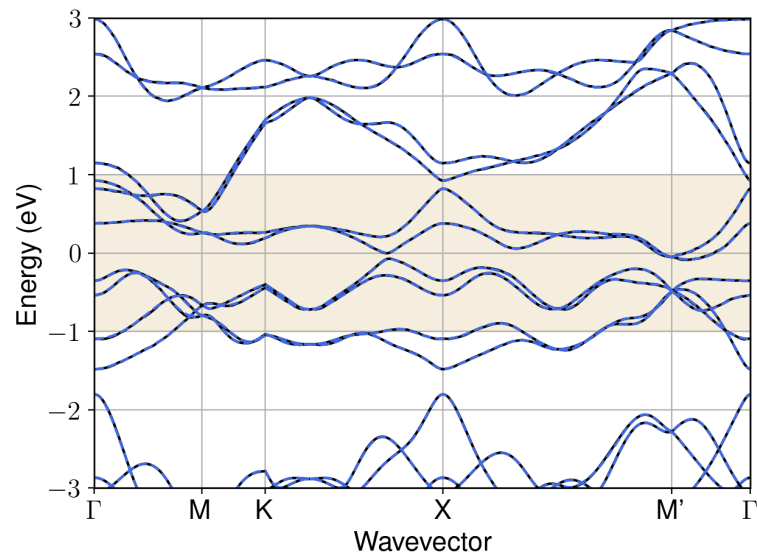


Figure S56: Bandstructure interpolation for monolayer  $\text{Fe}_2\text{O}_4$ . Wannier-interpolation of the band structure of monolayer  $\text{Fe}_2\text{O}_4$  over a wide energy range. Blue dashed lines are results from the present method, black solid lines are explicit DFT calculations. The yellow shaded region shows the range over which optimization has been performed. The interpolation error within the yellow region is 4 meV. The k-grid employed for NSCF calculation is  $6 \times 6$ .

## 45 Material: $\text{Fe}_2\text{S}_2$

The calculation files are appended below. These files should be executed in the order provided. The location of pseudo potentials should be changed accordingly.

```

---          scf.in ---
&CONTROL
calculation = 'scf'
verbosity = 'high'
restart_mode = 'from_scratch'
outdir = './'
pseudo_dir = '/scratch1/05193/sabyadk/2D_materials_Wann/Materials/Fe2S2-c43e5cee/pseudo/'
prefix = 'hBN'
/
&SYSTEM
ibrav = 0
nat = 4
ntyp = 2
ecutwfc = 60
ecutrho = 240
occupations = 'smearing'
smearing = 'gaussian'
degauss = 0.1
/
&ELECTRONS
conv_thr = 1E-10
diagonalization = cg
electron_maxstep = 500
/
ATOMIC_SPECIES
Fe 55.845 Fe_r.upf
S 32.066 S_r.upf
ATOMIC_POSITIONS crystal
Fe 0.0 0.0 0.0
Fe 0.5 0.5 0.0

```

```
S 0.0 0.5 0.054452044795
S 0.5 0.0 0.945547955205
```

```
K_POINTS automatic
6 6 1 0 0 0
```

```
CELL_PARAMETERS angstrom
3.5843513156 0.0 2e-16
-2e-16 3.5843513156 2e-16
0.0 0.0 22.4716996744
```

```
--- nscf.in ---
&CONTROL
calculation = bands
verbosity = 'high'
restart_mode = 'from_scratch'
outdir = './'
pseudo_dir = '/scratch1/05193/sabyadk/2D_materials_Wann/Materials/Fe2S2-c43e5cee/pseudo/'
prefix = 'hBN'
/
&SYSTEM
ibrav = 0
nat = 4
ntyp = 2
ecutwfc = 60
ecutrho = 240
occupations = 'smearing'
smearing = 'gaussian'
degauss = 0.1
nbnd = 60
/
&ELECTRONS
conv_thr = 1E-10
diagonalization = cg
electron_maxstep = 500
/
ATOMIC_SPECIES
Fe 55.845 Fe_r.upf
S 32.066 S_r.upf
ATOMIC_POSITIONS crystal
Fe 0.0 0.0 0.0
Fe 0.5 0.5 0.0
S 0.0 0.5 0.054452044795
S 0.5 0.0 0.945547955205

K_POINTS crystal
36
0.0 0.0 0.0 0.027778
0.0 0.16666666666666666 0.0 0.027778
0.0 0.3333333333333333 0.0 0.027778
0.0 0.5 0.0 0.027778
0.0 0.6666666666666666 0.0 0.027778
0.0 0.8333333333333333 0.0 0.027778
0.16666666666666666 0.0 0.0 0.027778
0.16666666666666666 0.16666666666666666 0.0 0.027778
0.16666666666666666 0.3333333333333333 0.0 0.027778
0.16666666666666666 0.5 0.0 0.027778
0.16666666666666666 0.6666666666666666 0.0 0.027778
0.16666666666666666 0.8333333333333333 0.0 0.027778
0.3333333333333333 0.0 0.0 0.027778
0.3333333333333333 0.16666666666666666 0.0 0.027778
0.3333333333333333 0.3333333333333333 0.0 0.027778
0.3333333333333333 0.5 0.0 0.027778
0.3333333333333333 0.6666666666666666 0.0 0.027778
0.3333333333333333 0.8333333333333333 0.0 0.027778
0.5 0.0 0.0 0.027778
0.5 0.16666666666666666 0.0 0.027778
0.5 0.3333333333333333 0.0 0.027778
0.5 0.5 0.0 0.027778
0.5 0.6666666666666666 0.0 0.027778
0.5 0.8333333333333333 0.0 0.027778
0.6666666666666666 0.0 0.0 0.027778
0.6666666666666666 0.16666666666666666 0.0 0.027778
0.6666666666666666 0.3333333333333333 0.0 0.027778
0.6666666666666666 0.5 0.0 0.027778
0.6666666666666666 0.6666666666666666 0.0 0.027778
0.6666666666666666 0.8333333333333333 0.0 0.027778
0.8333333333333333 0.0 0.0 0.027778
0.8333333333333333 0.16666666666666666 0.0 0.027778
0.8333333333333333 0.3333333333333333 0.0 0.027778
0.8333333333333333 0.5 0.0 0.027778
0.8333333333333333 0.6666666666666666 0.0 0.027778
0.8333333333333333 0.8333333333333333 0.0 0.027778
```

```

CELL_PARAMETERS angstrom
3.5843513156 0.0 2e-16
-2e-16 3.5843513156 2e-16
0.0 0.0 22.4716996744

```

```

---                epw1.in ---
&inputepw
prefix = 'hBN'
amass(1) = 55.845
amass(2) = 32.066
outdir = './'
elph = .false.
epbwrite = .false.
epbread = .false.
epwwrite = .true.
epwread = .false.
etf_mem = 1
nbndsub = 14
use_ws = .true.
wannierize = .true.
num_iter = 1000
iprint = 2
dis_win_max = 19.73840418314444
dis_froz_max = 1.8857217834947182
fsthick = 1.2
temps = 1
degaussw = 0.005
dvscf_dir = './save'
nk1 = 6
nk2 = 6
nk3 = 1
nq1 = 1
nq2 = 1
nq3 = 1
dis_win_min = -13.146519290542281
wdata(1) = 'guiding_centres = T'
wdata(2) = 'dis_num_iter = 1500'
wdata(3) = 'bands_num_points = 100 '
wdata(4) = 'bands_plot = .true.'
wdata(5) = 'begin kpoint_path'
wdata(6) = 'G 0.0 0.0 0.0 M 0.5 0.0 0.0'
wdata(7) = 'M 0.5 0.0 0.0 K 0.3333333333 0.3333333333 0.0'
wdata(8) = 'K 0.3333333333 0.3333333333 0.0 X 1.0 1.0 0.0'
wdata(9) = 'X 1.0 1.0 0.0 M1 0.0 0.5 0.0'
wdata(10) = 'M1 0.0 0.5 0.0 G 0.0 0.0 0.0'
wdata(11) = 'end kpoint_path'
bands_skipped = 'exclude_bands = 1-10'
proj(1) = 'Fe: l= -4, mr= 1,2,4'
proj(2) = 'S: l= -5, mr= 1,2,3,4'
dis_froz_min = -5.019605373131271
/

```

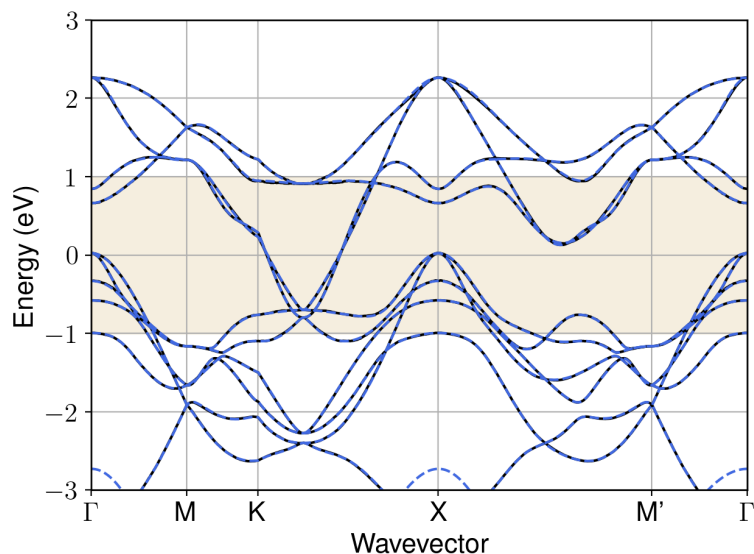


Figure S57: Bandstructure interpolation for monolayer  $\text{Fe}_2\text{S}_2$ . Wannier-interpolation of the band structure of monolayer  $\text{Fe}_2\text{S}_2$  over a wide energy range. Blue dashed lines are results from the present method, black solid lines are explicit DFT calculations. The yellow shaded region shows the range over which optimization has been performed. The interpolation error within the yellow region is 5 meV. The k-grid employed for NSCF calculation is  $6 \times 6$ .

## 46 Material: $\text{Fe}_2\text{Se}_2$

The calculation files are appended below. These files should be executed in the order provided. The location of pseudo potentials should be changed accordingly.

```

---          scf.in ---
&CONTROL
calculation = 'scf'
verbosity = 'high'
restart_mode = 'from_scratch'
outdir = './'
pseudo_dir = '/scratch1/05193/sabyadk/2D_materials_Wann/Materials/Fe2Se2-98934fdf/pseudo/'
prefix = 'hBN'
/
&SYSTEM
ibrav = 0
nat = 4
ntyp = 2
ecutwfc = 60
ecutrho = 240
occupations = 'smearing'
smearing = 'gaussian'
degauss = 0.1
/
&ELECTRONS
conv_thr = 1E-10
diagonalization = cg
electron_maxstep = 500
/
ATOMIC_SPECIES
Fe 55.845 Fe_r.upf
Se 78.971 Se_r.upf
ATOMIC_POSITIONS crystal
Fe 0.24999828335 0.249998282569 6.661e-09
Fe 0.750001719042 0.750001717702 9.619e-09

```

```

Se 0.250000084652 0.749999913002 0.917538077807
Se 0.749999912928 0.250000086727 0.082461905913

K_POINTS automatic
6 6 1 0 0 0

CELL_PARAMETERS angstrom
3.704424090275 0.0 2e-16
-2.1176803865e-06 3.704424354272395 2e-16
0.0 0.0 17.653132

```

```

---                nscf.in ---
&CONTROL
calculation = bands
verbosity = 'high'
restart_mode = 'from_scratch'
outdir = './'
pseudo_dir = '/scratch1/05193/sabyadk/2D_materials_Wann/Materials/Fe2Se2-98934fdf/pseudo/'
prefix = 'hBN'
/
&SYSTEM
ibrav = 0
nat = 4
ntyp = 2
ecutwfc = 60
ecutrho = 240
occupations = 'smearing'
smearing = 'gaussian'
degauss = 0.1
nbnd = 60
/
&ELECTRONS
conv_thr = 1E-10
diagonalization = cg
electron_maxstep = 500
/
ATOMIC_SPECIES
Fe 55.845 Fe_r.upf
Se 78.971 Se_r.upf
ATOMIC_POSITIONS crystal
Fe 0.24999828335 0.249998282569 6.661e-09
Fe 0.750001719042 0.750001717702 9.619e-09
Se 0.250000084652 0.749999913002 0.917538077807
Se 0.749999912928 0.250000086727 0.082461905913

K_POINTS crystal
36
0.0 0.0 0.0 0.027778
0.0 0.1666666666666666 0.0 0.027778
0.0 0.3333333333333333 0.0 0.027778
0.0 0.5 0.0 0.027778
0.0 0.6666666666666666 0.0 0.027778
0.0 0.8333333333333333 0.0 0.027778
0.1666666666666666 0.0 0.0 0.027778
0.1666666666666666 0.1666666666666666 0.0 0.027778
0.1666666666666666 0.3333333333333333 0.0 0.027778
0.1666666666666666 0.5 0.0 0.027778
0.1666666666666666 0.6666666666666666 0.0 0.027778
0.1666666666666666 0.8333333333333333 0.0 0.027778
0.3333333333333333 0.0 0.0 0.027778
0.3333333333333333 0.1666666666666666 0.0 0.027778
0.3333333333333333 0.3333333333333333 0.0 0.027778
0.3333333333333333 0.5 0.0 0.027778
0.3333333333333333 0.6666666666666666 0.0 0.027778
0.3333333333333333 0.8333333333333333 0.0 0.027778
0.5 0.0 0.0 0.027778
0.5 0.1666666666666666 0.0 0.027778
0.5 0.3333333333333333 0.0 0.027778
0.5 0.5 0.0 0.027778
0.5 0.6666666666666666 0.0 0.027778
0.5 0.8333333333333333 0.0 0.027778
0.6666666666666666 0.0 0.0 0.027778
0.6666666666666666 0.1666666666666666 0.0 0.027778
0.6666666666666666 0.3333333333333333 0.0 0.027778
0.6666666666666666 0.5 0.0 0.027778
0.6666666666666666 0.6666666666666666 0.0 0.027778
0.6666666666666666 0.8333333333333333 0.0 0.027778
0.8333333333333333 0.0 0.0 0.027778
0.8333333333333333 0.1666666666666666 0.0 0.027778
0.8333333333333333 0.3333333333333333 0.0 0.027778
0.8333333333333333 0.5 0.0 0.027778
0.8333333333333333 0.6666666666666666 0.0 0.027778
0.8333333333333333 0.8333333333333333 0.0 0.027778

```

```

CELL_PARAMETERS angstrom
3.704424090275 0.0 2e-16
-2.1176803865e-06 3.704424354272395 2e-16
0.0 0.0 17.653132

```

```

---                epw1.in ---
&inputepw
prefix = 'hBN'
amass(1) = 55.845
amass(2) = 78.971
outdir = './'
elph = .false.
epbwrite = .false.
epbread = .false.
epwwrite = .true.
epwread = .false.
etf_mem = 1
nbndsub = 16
use_ws = .true.
wannierize = .true.
num_iter = 1000
iprint = 2
dis_win_max = 17.680313223074677
dis_froz_max = 1.2405268891879953
fsthick = 1.2
temps = 1
degaussw = 0.005
dvscf_dir = './save'
nk1 = 6
nk2 = 6
nk3 = 1
nq1 = 1
nq2 = 1
nq3 = 1
dis_win_min = -11.45580954718155
wdata(1) = 'guiding_centres = T'
wdata(2) = 'dis_num_iter = 1500'
wdata(3) = 'bands_num_points = 100 '
wdata(4) = 'bands_plot = .true.'
wdata(5) = 'begin kpoint_path'
wdata(6) = 'G 0.0 0.0 0.0 M 0.5 0.0 0.0'
wdata(7) = 'M 0.5 0.0 0.0 K 0.3333333333 0.3333333333 0.0'
wdata(8) = 'K 0.3333333333 0.3333333333 0.0 X 1.0 1.0 0.0'
wdata(9) = 'X 1.0 1.0 0.0 M1 0.0 0.5 0.0'
wdata(10) = 'M1 0.0 0.5 0.0 G 0.0 0.0 0.0'
wdata(11) = 'end kpoint_path'
bands_skipped = 'exclude_bands = 1-10'
proj(1) = 'Fe: l= 3, mr= 1,3,5,7'
proj(2) = 'Se: l= -3, mr= 1,2,3,4'
dis_froz_min = -8.828073192833834
/

```



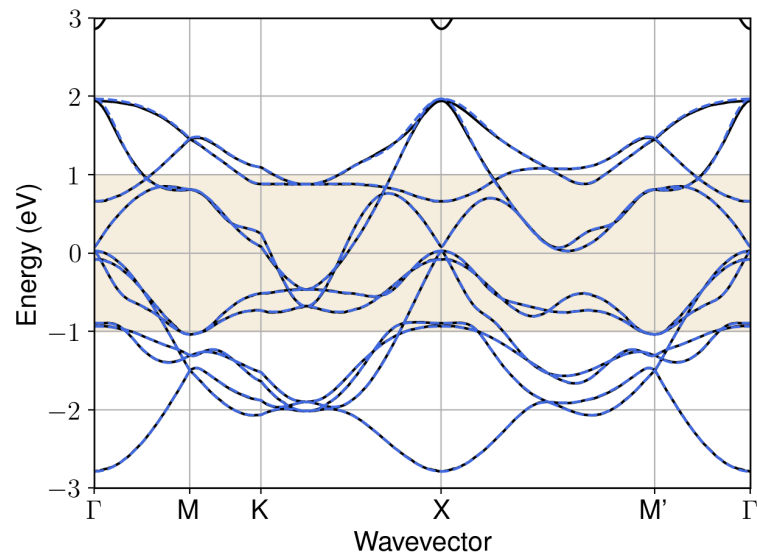


Figure S58: Bandstructure interpolation for monolayer  $\text{Fe}_2\text{Se}_2$ . Wannier-interpolation of the band structure of monolayer  $\text{Fe}_2\text{Se}_2$  over a wide energy range. Blue dashed lines are results from the present method, black solid lines are explicit DFT calculations. The yellow shaded region shows the range over which optimization has been performed. The interpolation error within the yellow region is 4 meV. The k-grid employed for NSCF calculation is  $6 \times 6$ .

## 47 Material: $\text{Fe}_2\text{Te}_2$

The calculation files are appended below. These files should be executed in the order provided. The location of pseudo potentials should be changed accordingly.

```

---          scf.in ---
&CONTROL
calculation = 'scf'
verbosity = 'high'
restart_mode = 'from_scratch'
outdir = './'
pseudo_dir = '/scratch1/05193/sabyadk/2D_materials_Wann/Materials/Fe2Te2-9afadeef/pseudo/'
prefix = 'hBN'
/
&SYSTEM
ibrav = 0
nat = 4
ntyp = 2
ecutwfc = 60
ecutrho = 240
occupations = 'smearing'
smearing = 'gaussian'
degauss = 0.1
/
&ELECTRONS
conv_thr = 1E-10
diagonalization = cg
electron_maxstep = 500
/
ATOMIC_SPECIES
Fe 55.845 Fe_r.upf
Te 126.7 Te_r.upf
ATOMIC_POSITIONS crystal
Fe 0.750006289648 0.750006289648 0.0
Fe 0.249993710352 0.249993710352 0.0

```

```

Te 0.250015355098 0.749984644902 0.10186503026
Te 0.749984644902 0.250015355098 0.89813496974

K_POINTS automatic
6 6 1 0 0 0

CELL_PARAMETERS angstrom
3.611441569776 0.0 2e-16
-4.68030000208e-05 3.6114415694727247 2e-16
0.0 0.0 18.5404859644

```

```

---                nscf.in ---
&CONTROL
calculation = bands
verbosity = 'high'
restart_mode = 'from_scratch'
outdir = './'
pseudo_dir = '/scratch1/05193/sabyadk/2D_materials_Wann/Materials/Fe2Te2-9afadeef/pseudo/'
prefix = 'hBN'
/
&SYSTEM
ibrav = 0
nat = 4
ntyp = 2
ecutwfc = 60
ecutrho = 240
occupations = 'smearing'
smearing = 'gaussian'
degauss = 0.1
nbnd = 60
/
&ELECTRONS
conv_thr = 1E-10
diagonalization = cg
electron_maxstep = 500
/
ATOMIC_SPECIES
Fe 55.845 Fe_r.upf
Te 126.7 Te_r.upf
ATOMIC_POSITIONS crystal
Fe 0.750006289648 0.750006289648 0.0
Fe 0.249993710352 0.249993710352 0.0
Te 0.250015355098 0.749984644902 0.10186503026
Te 0.749984644902 0.250015355098 0.89813496974

K_POINTS crystal
36
0.0 0.0 0.0 0.027778
0.0 0.16666666666666666 0.0 0.027778
0.0 0.3333333333333333 0.0 0.027778
0.0 0.5 0.0 0.027778
0.0 0.6666666666666666 0.0 0.027778
0.0 0.8333333333333333 0.0 0.027778
0.16666666666666666 0.0 0.0 0.027778
0.16666666666666666 0.16666666666666666 0.0 0.027778
0.16666666666666666 0.3333333333333333 0.0 0.027778
0.16666666666666666 0.5 0.0 0.027778
0.16666666666666666 0.6666666666666666 0.0 0.027778
0.16666666666666666 0.8333333333333333 0.0 0.027778
0.3333333333333333 0.0 0.0 0.027778
0.3333333333333333 0.16666666666666666 0.0 0.027778
0.3333333333333333 0.3333333333333333 0.0 0.027778
0.3333333333333333 0.5 0.0 0.027778
0.3333333333333333 0.6666666666666666 0.0 0.027778
0.3333333333333333 0.8333333333333333 0.0 0.027778
0.5 0.0 0.0 0.027778
0.5 0.16666666666666666 0.0 0.027778
0.5 0.3333333333333333 0.0 0.027778
0.5 0.5 0.0 0.027778
0.5 0.6666666666666666 0.0 0.027778
0.5 0.8333333333333333 0.0 0.027778
0.6666666666666666 0.0 0.0 0.027778
0.6666666666666666 0.16666666666666666 0.0 0.027778
0.6666666666666666 0.3333333333333333 0.0 0.027778
0.6666666666666666 0.5 0.0 0.027778
0.6666666666666666 0.6666666666666666 0.0 0.027778
0.6666666666666666 0.8333333333333333 0.0 0.027778
0.8333333333333333 0.0 0.0 0.027778
0.8333333333333333 0.16666666666666666 0.0 0.027778
0.8333333333333333 0.3333333333333333 0.0 0.027778
0.8333333333333333 0.5 0.0 0.027778
0.8333333333333333 0.6666666666666666 0.0 0.027778
0.8333333333333333 0.8333333333333333 0.0 0.027778

```

```

CELL_PARAMETERS angstrom
3.611441569776 0.0 2e-16
-4.68030000208e-05 3.6114415694727247 2e-16
0.0 0.0 18.5404859644

```

```

---                epw1.in ---
&inputepw
prefix = 'hBN'
amass(1) = 55.845
amass(2) = 126.7
outdir = './'
elph = .false.
epbwrite = .false.
epbread = .false.
epwwrite = .true.
epwread = .false.
etf_mem = 1
nbndsub = 18
use_ws = .true.
wannierize = .true.
num_iter = 1000
iprint = 2
dis_win_max = 13.730824763779768
dis_froz_max = 2.468108877179845
fsthick = 1.2
temps = 1
degaussw = 0.005
dvscf_dir = './save'
nk1 = 6
nk2 = 6
nk3 = 1
nq1 = 1
nq2 = 1
nq3 = 1
dis_win_min = -13.100566955729041
wdata(1) = 'guiding_centres = T'
wdata(2) = 'dis_num_iter = 1500'
wdata(3) = 'bands_num_points = 100 '
wdata(4) = 'bands_plot = .true.'
wdata(5) = 'begin kpoint_path'
wdata(6) = 'G 0.0 0.0 0.0 M 0.5 0.0 0.0'
wdata(7) = 'M 0.5 0.0 0.0 K 0.3333333333 0.3333333333 0.0'
wdata(8) = 'K 0.3333333333 0.3333333333 0.0 X 1.0 1.0 0.0'
wdata(9) = 'X 1.0 1.0 0.0 M1 0.0 0.5 0.0'
wdata(10) = 'M1 0.0 0.5 0.0 G 0.0 0.0 0.0'
wdata(11) = 'end kpoint_path'
bands_skipped = 'exclude_bands = 1-10'
proj(1) = 'Fe: l= 3, mr= 1,3,5,7'
proj(2) = 'Te: l= 3, mr= 1,3,4,5,7'
dis_froz_min = -4.933709324948259
/

```

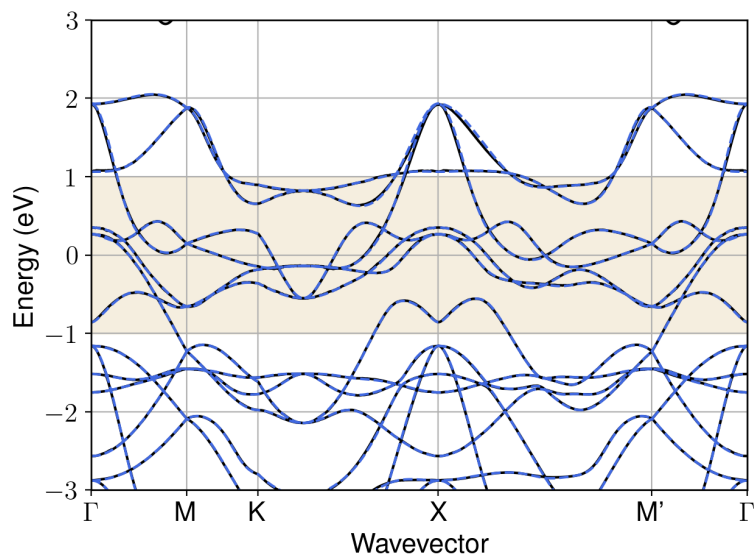


Figure S59: Bandstructure interpolation for monolayer  $\text{Fe}_2\text{Te}_2$ . Wannier-interpolation of the band structure of monolayer  $\text{Fe}_2\text{Te}_2$  over a wide energy range. Blue dashed lines are results from the present method, black solid lines are explicit DFT calculations. The yellow shaded region shows the range over which optimization has been performed. The interpolation error within the yellow region is 6 meV. The k-grid employed for NSCF calculation is  $6 \times 6$ .

## 48 Material: $\text{FeBr}_2$

The calculation files are appended below. These files should be executed in the order provided. The location of pseudo potentials should be changed accordingly.

```

---          scf.in ---
&CONTROL
calculation = 'scf'
verbosity = 'high'
restart_mode = 'from_scratch'
outdir = './'
pseudo_dir = '/scratch1/05193/sabyadk/2D_materials_Wann/Materials/FeBr2-4fe37cfc/pseudo/'
prefix = 'hBN'
/
&SYSTEM
ibrav = 0
nat = 3
ntyp = 2
ecutwfc = 60
ecutrho = 240
assume_isolated = 2D
/
&ELECTRONS
conv_thr = 1E-12
diagonalization = 'david'
electron_maxstep = 200
/
ATOMIC_SPECIES
Fe 55.845 Fe_r.upf
Br 79.904 Br_r.upf
ATOMIC_POSITIONS crystal
Fe 0.500000000027 2.7e-11 0.0
Br 0.833333333312 0.6666666666666666 0.913331995543
Br 0.166666666635 0.3333333333333333 0.086668004457

```

```

K_POINTS automatic
6 6 1 0 0 0

CELL_PARAMETERS angstrom
3.73047673833 0.0 2e-16
-1.865238369094574 3.2306876236613546 2e-16
0.0 0.0 17.2985203443

```

```

---                nscf.in ---
&CONTROL
calculation = bands
verbosity = 'high'
restart_mode = 'from_scratch'
outdir = './'
pseudo_dir = '/scratch1/05193/sabyadk/2D_materials_Wann/Materials/FeBr2-4fe37cfc/pseudo/'
prefix = 'hBN'
/
&SYSTEM
ibrav = 0
nat = 3
ntyp = 2
ecutwfc = 60
ecutrho = 240
assume_isolated = 2D
nbnd = 60
/
&ELECTRONS
conv_thr = 1E-10
diagonalization = 'david'
electron_maxstep = 200
/
ATOMIC_SPECIES
Fe 55.845 Fe_r.upf
Br 79.904 Br_r.upf
ATOMIC_POSITIONS crystal
Fe 0.500000000027 2.7e-11 0.0
Br 0.833333333312 0.6666666666666666 0.913331995543
Br 0.166666666635 0.3333333333333333 0.086668004457

K_POINTS crystal
36
0.0 0.0 0.0 0.027778
0.0 0.1666666666666666 0.0 0.027778
0.0 0.3333333333333333 0.0 0.027778
0.0 0.5 0.0 0.027778
0.0 0.6666666666666666 0.0 0.027778
0.0 0.8333333333333333 0.0 0.027778
0.1666666666666666 0.0 0.0 0.027778
0.1666666666666666 0.1666666666666666 0.0 0.027778
0.1666666666666666 0.3333333333333333 0.0 0.027778
0.1666666666666666 0.5 0.0 0.027778
0.1666666666666666 0.6666666666666666 0.0 0.027778
0.1666666666666666 0.8333333333333333 0.0 0.027778
0.3333333333333333 0.0 0.0 0.027778
0.3333333333333333 0.1666666666666666 0.0 0.027778
0.3333333333333333 0.3333333333333333 0.0 0.027778
0.3333333333333333 0.5 0.0 0.027778
0.3333333333333333 0.6666666666666666 0.0 0.027778
0.3333333333333333 0.8333333333333333 0.0 0.027778
0.5 0.0 0.0 0.027778
0.5 0.1666666666666666 0.0 0.027778
0.5 0.3333333333333333 0.0 0.027778
0.5 0.5 0.0 0.027778
0.5 0.6666666666666666 0.0 0.027778
0.5 0.8333333333333333 0.0 0.027778
0.6666666666666666 0.0 0.0 0.027778
0.6666666666666666 0.1666666666666666 0.0 0.027778
0.6666666666666666 0.3333333333333333 0.0 0.027778
0.6666666666666666 0.5 0.0 0.027778
0.6666666666666666 0.6666666666666666 0.0 0.027778
0.6666666666666666 0.8333333333333333 0.0 0.027778
0.8333333333333333 0.0 0.0 0.027778
0.8333333333333333 0.1666666666666666 0.0 0.027778
0.8333333333333333 0.3333333333333333 0.0 0.027778
0.8333333333333333 0.5 0.0 0.027778
0.8333333333333333 0.6666666666666666 0.0 0.027778
0.8333333333333333 0.8333333333333333 0.0 0.027778

CELL_PARAMETERS angstrom
3.73047673833 0.0 2e-16
-1.865238369094574 3.2306876236613546 2e-16
0.0 0.0 17.2985203443

```

```
---                epw1.in ---
&inputepw
prefix = 'hBN'
amass(1) = 55.845
amass(2) = 79.904
outdir = './'
elph = .false.
epbwrite = .false.
epbread = .false.
epwwrite = .true.
epwread = .false.
etf_mem = 1
nbndsub = 10
use_ws = .true.
wannierize = .true.
num_iter = 1000
iprint = 2
dis_win_max = 14.13797801994703
dis_froz_max = -2.5439146862866027
fsthick = 1.2
temps = 1
degaussw = 0.005
dvscf_dir = './save'
nk1 = 6
nk2 = 6
nk3 = 1
nq1 = 1
nq2 = 1
nq3 = 1
system_2d = 'dipole_sp'
lpolar = .true.
dis_win_min = -20.83634861855867
wdata(1) = 'guiding_centres = T'
wdata(2) = 'dis_num_iter = 1500'
wdata(3) = 'bands_num_points = 100 '
wdata(4) = 'bands_plot = .true.'
wdata(5) = 'begin kpoint_path'
wdata(6) = 'G 0.0 0.0 0.0 M 0.5 0.0 0.0'
wdata(7) = 'M 0.5 0.0 0.0 K 0.3333333333 0.3333333333 0.0'
wdata(8) = 'K 0.3333333333 0.3333333333 0.0 X 1.0 1.0 0.0'
wdata(9) = 'X 1.0 1.0 0.0 M1 0.0 0.5 0.0'
wdata(10) = 'M1 0.0 0.5 0.0 G 0.0 0.0 0.0'
wdata(11) = 'end kpoint_path'
bands_skipped = 'exclude_bands = 1-6'
proj(1) = 'Fe: l= 1, mr= 1,3'
proj(2) = 'Br: l= -4, mr= 2,3,4,5'
dis_froz_min = -7.654202938689456
/
```

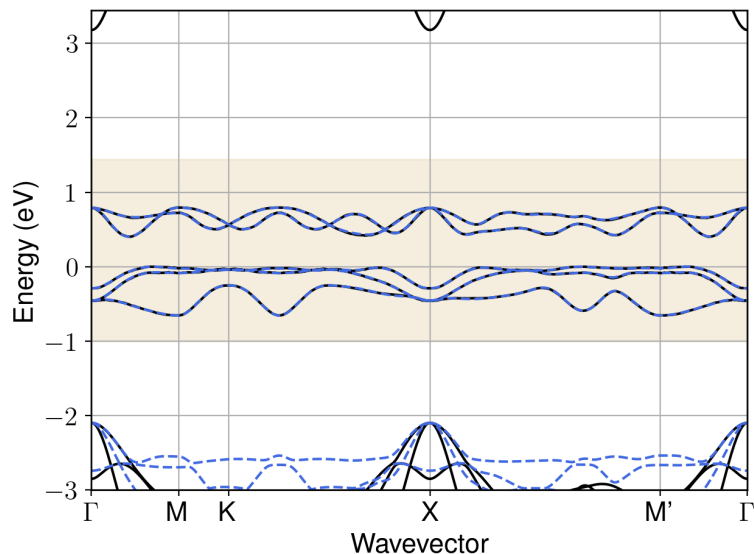


Figure S60: Bandstructure interpolation for monolayer  $\text{FeBr}_2$ . Wannier-interpolation of the band structure of monolayer  $\text{FeBr}_2$  over a wide energy range. Blue dashed lines are results from the present method, black solid lines are explicit DFT calculations. The yellow shaded region shows the range over which optimization has been performed. The interpolation error within the yellow region is 4 meV. The k-grid employed for NSCF calculation is  $6 \times 6$ .

## 49 Material: $\text{FeCl}_2$

The calculation files are appended below. These files should be executed in the order provided. The location of pseudo potentials should be changed accordingly.

```

---          scf.in ---
&CONTROL
calculation = 'scf'
verbosity = 'high'
restart_mode = 'from_scratch'
outdir = './'
pseudo_dir = '/scratch1/05193/sabyadk/2D_materials_Wann/Materials/FeCl2-2192f7e0/pseudo/'
prefix = 'hBN'
/
&SYSTEM
ibrav = 0
nat = 3
ntyp = 2
ecutwfc = 60
ecutrho = 240
assume_isolated = 2D
/
&ELECTRONS
conv_thr = 1E-12
diagonalization = 'david'
electron_maxstep = 200
/
ATOMIC_SPECIES
Fe 55.845 Fe_r.upf
Cl 35.453 Cl_r.upf
ATOMIC_POSITIONS crystal
Fe 0.0 0.0 1e-12
Cl 0.6666666666666666 0.3333333333333333 0.053758167172
Cl 0.3333333333333333 0.6666666666666666 0.946241832826

```

```

K_POINTS automatic
6 6 1 0 0 0

CELL_PARAMETERS angstrom
3.4045179942 0.0 2e-16
-1.7022589971001996 2.9483990707003107 2e-16
0.0 0.0 22.4605043055

```

```

---                nscf.in ---
&CONTROL
calculation = bands
verbosity = 'high'
restart_mode = 'from_scratch'
outdir = './'
pseudo_dir = '/scratch1/05193/sabyadk/2D_materials_Wann/Materials/FeCl2-2192f7e0/pseudo/'
prefix = 'hBN'
/
&SYSTEM
ibrav = 0
nat = 3
ntyp = 2
ecutwfc = 60
ecutrho = 240
assume_isolated = 2D
nbnd = 60
/
&ELECTRONS
conv_thr = 1E-10
diagonalization = 'david'
electron_maxstep = 200
/
ATOMIC_SPECIES
Fe 55.845 Fe_r.upf
Cl 35.453 Cl_r.upf
ATOMIC_POSITIONS crystal
Fe 0.0 0.0 1e-12
Cl 0.6666666666666666 0.3333333333333333 0.053758167172
Cl 0.3333333333333333 0.6666666666666666 0.946241832826

K_POINTS crystal
36
0.0 0.0 0.0 0.027778
0.0 0.1666666666666666 0.0 0.027778
0.0 0.3333333333333333 0.0 0.027778
0.0 0.5 0.0 0.027778
0.0 0.6666666666666666 0.0 0.027778
0.0 0.8333333333333333 0.0 0.027778
0.1666666666666666 0.0 0.0 0.027778
0.1666666666666666 0.1666666666666666 0.0 0.027778
0.1666666666666666 0.3333333333333333 0.0 0.027778
0.1666666666666666 0.5 0.0 0.027778
0.1666666666666666 0.6666666666666666 0.0 0.027778
0.1666666666666666 0.8333333333333333 0.0 0.027778
0.3333333333333333 0.0 0.0 0.027778
0.3333333333333333 0.1666666666666666 0.0 0.027778
0.3333333333333333 0.3333333333333333 0.0 0.027778
0.3333333333333333 0.5 0.0 0.027778
0.3333333333333333 0.6666666666666666 0.0 0.027778
0.3333333333333333 0.8333333333333333 0.0 0.027778
0.5 0.0 0.0 0.027778
0.5 0.1666666666666666 0.0 0.027778
0.5 0.3333333333333333 0.0 0.027778
0.5 0.5 0.0 0.027778
0.5 0.6666666666666666 0.0 0.027778
0.5 0.8333333333333333 0.0 0.027778
0.6666666666666666 0.0 0.0 0.027778
0.6666666666666666 0.1666666666666666 0.0 0.027778
0.6666666666666666 0.3333333333333333 0.0 0.027778
0.6666666666666666 0.5 0.0 0.027778
0.6666666666666666 0.6666666666666666 0.0 0.027778
0.6666666666666666 0.8333333333333333 0.0 0.027778
0.8333333333333333 0.0 0.0 0.027778
0.8333333333333333 0.1666666666666666 0.0 0.027778
0.8333333333333333 0.3333333333333333 0.0 0.027778
0.8333333333333333 0.5 0.0 0.027778
0.8333333333333333 0.6666666666666666 0.0 0.027778
0.8333333333333333 0.8333333333333333 0.0 0.027778

CELL_PARAMETERS angstrom
3.4045179942 0.0 2e-16
-1.7022589971001996 2.9483990707003107 2e-16
0.0 0.0 22.4605043055

```



```

---                epw1.in ---
&inputepw
prefix = 'hBN'
amass(1) = 55.845
amass(2) = 35.453
outdir = './'
elph = .false.
epbwrite = .false.
epbread = .false.
epwwrite = .true.
epwread = .false.
etf_mem = 1
nbndsub = 9
use_ws = .true.
wannierize = .true.
num_iter = 1000
iprint = 2
dis_win_max = 13.955113605420385
dis_froz_max = -2.1509749105433036
fsthick = 1.2
temps = 1
degaussw = 0.005
dvscf_dir = './save'
nk1 = 6
nk2 = 6
nk3 = 1
nq1 = 1
nq2 = 1
nq3 = 1
system_2d = 'dipole_sp'
lpolar = .true.
dis_win_min = -19.48109323819908
wdata(1) = 'guiding_centres = T'
wdata(2) = 'dis_num_iter = 1500'
wdata(3) = 'bands_num_points = 100 '
wdata(4) = 'bands_plot = .true.'
wdata(5) = 'begin kpoint_path'
wdata(6) = 'G 0.0 0.0 0.0 M 0.5 0.0 0.0'
wdata(7) = 'M 0.5 0.0 0.0 K 0.3333333333 0.3333333333 0.0'
wdata(8) = 'K 0.3333333333 0.3333333333 0.0 X 1.0 1.0 0.0'
wdata(9) = 'X 1.0 1.0 0.0 M1 0.0 0.5 0.0'
wdata(10) = 'M1 0.0 0.5 0.0 G 0.0 0.0 0.0'
wdata(11) = 'end kpoint_path'
bands_skipped = 'exclude_bands = 1-7'
proj(1) = 'Fe: l= -5, mr= 1,5,6'
proj(2) = 'Cl: l= 3, mr= 2,3,4'
dis_froz_min = -8.814657059572996
/

```

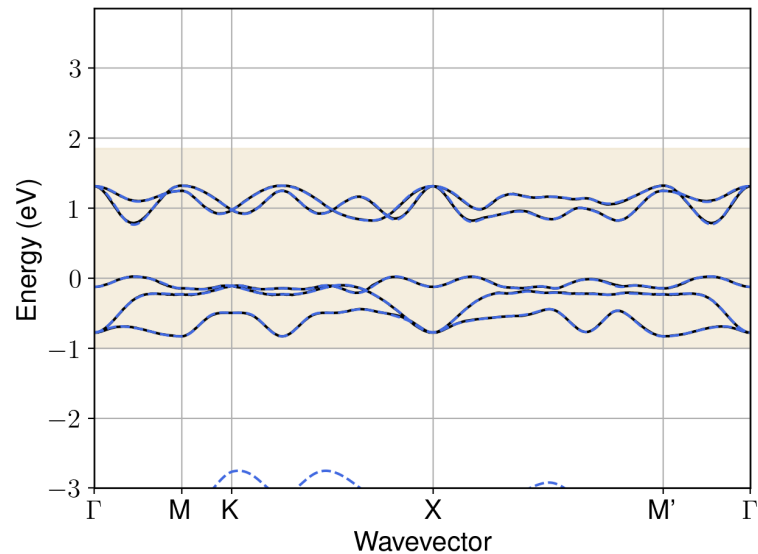


Figure S61: Bandstructure interpolation for monolayer  $\text{FeCl}_2$ . Wannier-interpolation of the band structure of monolayer  $\text{FeCl}_2$  over a wide energy range. Blue dashed lines are results from the present method, black solid lines are explicit DFT calculations. The yellow shaded region shows the range over which optimization has been performed. The interpolation error within the yellow region is 5 meV. The k-grid employed for NSCF calculation is  $6 \times 6$ .

## 50 Material: $\text{FeI}_2$

The calculation files are appended below. These files should be executed in the order provided. The location of pseudo potentials should be changed accordingly.

```

---          scf.in ---
&CONTROL
calculation = 'scf'
verbosity = 'high'
restart_mode = 'from_scratch'
outdir = './'
pseudo_dir = '/scratch1/05193/sabyadk/2D_materials_Wann/Materials/FeI2-e6c3fcb9/pseudo/'
prefix = 'hBN'
/
&SYSTEM
ibrav = 0
nat = 3
ntyp = 2
ecutwfc = 60
ecutrho = 240
assume_isolated = 2D
/
&ELECTRONS
conv_thr = 1E-12
diagonalization = 'david'
electron_maxstep = 200
/
ATOMIC_SPECIES
Fe 55.845 Fe_r.upf
I 126.904 I_r.upf
ATOMIC_POSITIONS crystal
Fe 0.0 0.0 0.0
I 0.6666666666666666 0.3333333333333333 0.908253794747
I 0.3333333333333333 0.6666666666666666 0.091746205253

```

```

K_POINTS automatic
6 6 1 0 0 0

CELL_PARAMETERS angstrom
4.019016945661 0.0 2e-16
-2.0095084728913686 3.4805707731474262 2e-16
0.0 0.0 17.626751762

```

```

---                nscf.in ---
&CONTROL
calculation = bands
verbosity = 'high'
restart_mode = 'from_scratch'
outdir = './'
pseudo_dir = '/scratch1/05193/sabyadk/2D_materials_Wann/Materials/FeI2-e6c3fcb9/pseudo/'
prefix = 'hBN'
/
&SYSTEM
ibrav = 0
nat = 3
ntyp = 2
ecutwfc = 60
ecutrho = 240
assume_isolated = 2D
nbnd = 60
/
&ELECTRONS
conv_thr = 1E-10
diagonalization = 'david'
electron_maxstep = 200
/
ATOMIC_SPECIES
Fe 55.845 Fe_r.upf
I 126.904 I_r.upf
ATOMIC_POSITIONS crystal
Fe 0.0 0.0 0.0
I 0.6666666666666666 0.3333333333333333 0.908253794747
I 0.3333333333333333 0.6666666666666666 0.091746205253

K_POINTS crystal
36
0.0 0.0 0.0 0.027778
0.0 0.1666666666666666 0.0 0.027778
0.0 0.3333333333333333 0.0 0.027778
0.0 0.5 0.0 0.027778
0.0 0.6666666666666666 0.0 0.027778
0.0 0.8333333333333333 0.0 0.027778
0.1666666666666666 0.0 0.0 0.027778
0.1666666666666666 0.1666666666666666 0.0 0.027778
0.1666666666666666 0.3333333333333333 0.0 0.027778
0.1666666666666666 0.5 0.0 0.027778
0.1666666666666666 0.6666666666666666 0.0 0.027778
0.1666666666666666 0.8333333333333333 0.0 0.027778
0.3333333333333333 0.0 0.0 0.027778
0.3333333333333333 0.1666666666666666 0.0 0.027778
0.3333333333333333 0.3333333333333333 0.0 0.027778
0.3333333333333333 0.5 0.0 0.027778
0.3333333333333333 0.6666666666666666 0.0 0.027778
0.3333333333333333 0.8333333333333333 0.0 0.027778
0.5 0.0 0.0 0.027778
0.5 0.1666666666666666 0.0 0.027778
0.5 0.3333333333333333 0.0 0.027778
0.5 0.5 0.0 0.027778
0.5 0.6666666666666666 0.0 0.027778
0.5 0.8333333333333333 0.0 0.027778
0.6666666666666666 0.0 0.0 0.027778
0.6666666666666666 0.1666666666666666 0.0 0.027778
0.6666666666666666 0.3333333333333333 0.0 0.027778
0.6666666666666666 0.5 0.0 0.027778
0.6666666666666666 0.6666666666666666 0.0 0.027778
0.6666666666666666 0.8333333333333333 0.0 0.027778
0.8333333333333333 0.0 0.0 0.027778
0.8333333333333333 0.1666666666666666 0.0 0.027778
0.8333333333333333 0.3333333333333333 0.0 0.027778
0.8333333333333333 0.5 0.0 0.027778
0.8333333333333333 0.6666666666666666 0.0 0.027778
0.8333333333333333 0.8333333333333333 0.0 0.027778

CELL_PARAMETERS angstrom
4.019016945661 0.0 2e-16
-2.0095084728913686 3.4805707731474262 2e-16
0.0 0.0 17.626751762

```

```

---                epw1.in ---
&inputepw
prefix = 'hBN'
amass(1) = 55.845
amass(2) = 126.904
outdir = './'
elph = .false.
epbwrite = .false.
epbread = .false.
epwwrite = .true.
epwread = .false.
etf_mem = 1
nbndsub = 12
use_ws = .true.
wannierize = .true.
num_iter = 1000
iprint = 2
dis_win_max = 14.306092125896603
dis_froz_max = -2.343630094188023
fsthick = 1.2
temps = 1
degaussw = 0.005
dvscf_dir = './save'
nk1 = 6
nk2 = 6
nk3 = 1
nq1 = 1
nq2 = 1
nq3 = 1
system_2d = 'dipole_sp'
lpolar = .true.
dis_win_min = -15.926320096531267
wdata(1) = 'guiding_centres = T'
wdata(2) = 'dis_num_iter = 1500'
wdata(3) = 'bands_num_points = 100 '
wdata(4) = 'bands_plot = .true.'
wdata(5) = 'begin kpoint_path'
wdata(6) = 'G 0.0 0.0 0.0 M 0.5 0.0 0.0'
wdata(7) = 'M 0.5 0.0 0.0 K 0.3333333333 0.3333333333 0.0'
wdata(8) = 'K 0.3333333333 0.3333333333 0.0 X 1.0 1.0 0.0'
wdata(9) = 'X 1.0 1.0 0.0 M1 0.0 0.5 0.0'
wdata(10) = 'M1 0.0 0.5 0.0 G 0.0 0.0 0.0'
wdata(11) = 'end kpoint_path'
bands_skipped = 'exclude_bands = 1-6'
proj(1) = 'Fe: l= -4, mr= 1,2,4,5'
proj(2) = 'I: l= -5, mr= 1,2,4,5'
dis_froz_min = -10.394357866875444
/

```

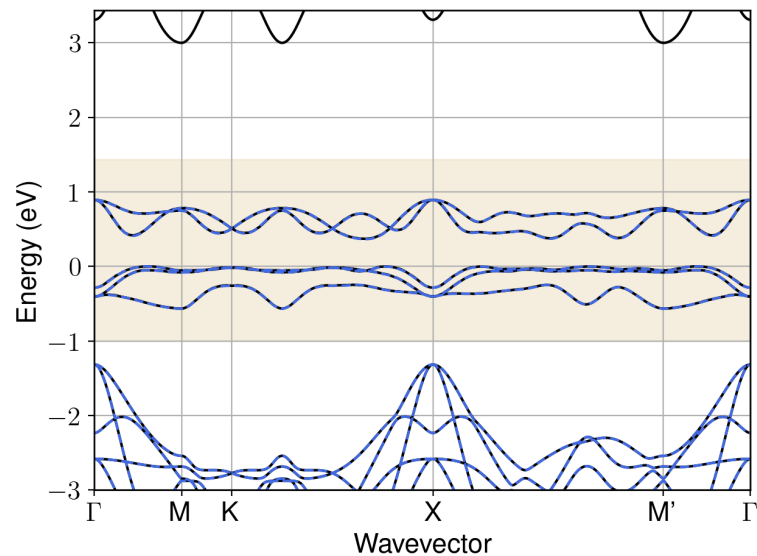


Figure S62: Bandstructure interpolation for monolayer  $\text{FeI}_2$ . Wannier-interpolation of the band structure of monolayer  $\text{FeI}_2$  over a wide energy range. Blue dashed lines are results from the present method, black solid lines are explicit DFT calculations. The yellow shaded region shows the range over which optimization has been performed. The interpolation error within the yellow region is 3 meV. The k-grid employed for NSCF calculation is  $6 \times 6$ .

## 51 Material: $\text{Ga}_2\text{Ge}_2\text{Te}_2$

The calculation files are appended below. These files should be executed in the order provided. The location of pseudo potentials should be changed accordingly.

```

---          scf.in ---
&CONTROL
calculation = 'scf'
verbosity = 'high'
restart_mode = 'from_scratch'
outdir = './'
pseudo_dir = '/scratch1/05193/sabyadk/2D_materials_Wann/Materials/Ga2Ge2Te2-f2d3a206/pseudo/'
prefix = 'hBN'
/
&SYSTEM
ibrav = 0
nat = 6
ntyp = 3
ecutwfc = 60
ecutrho = 240
assume_isolated = 2D
/
&ELECTRONS
conv_thr = 1E-12
diagonalization = 'david'
electron_maxstep = 200
/
ATOMIC_SPECIES
Ga 69.723 Ga_r.upf
Ge 72.631 Ge_r.upf
Te 126.7 Te_r.upf
ATOMIC_POSITIONS crystal
Ga 0.6666666666666666 0.3333333333333333 0.898689386253
Ga 0.0 0.0 0.101310613745
Ge 0.6666666666666666 0.3333333333333333 0.985805597795

```

```

Ge 0.0 0.0 0.014194402204
Te 0.3333333333333333 0.6666666666666666 0.146437282008
Te 0.3333333333333333 0.6666666666666666 0.853562717994

K_POINTS automatic
6 6 1 0 0 0

CELL_PARAMETERS angstrom
4.1097893551 0.0 3e-16
-2.054894677599907 3.5591819856998894 3e-16
0.0 0.0 28.3570216207

```

```

---                nscf.in ---
&CONTROL
calculation = bands
verbosity = 'high'
restart_mode = 'from_scratch'
outdir = './'
pseudo_dir = '/scratch1/05193/sabyadk/2D_materials_Wann/Materials/Ga2Ge2Te2-f2d3a206/pseudo/'
prefix = 'hBN'
/
&SYSTEM
ibrav = 0
nat = 6
ntyp = 3
ecutwfc = 60
ecutrho = 240
assume_isolated = 2D
nbnd = 60
/
&ELECTRONS
conv_thr = 1E-10
diagonalization = 'david'
electron_maxstep = 200
/
ATOMIC_SPECIES
Ga 69.723 Ga_r.upf
Ge 72.631 Ge_r.upf
Te 126.7 Te_r.upf
ATOMIC_POSITIONS crystal
Ga 0.6666666666666666 0.3333333333333333 0.898689386253
Ga 0.0 0.0 0.101310613745
Ge 0.6666666666666666 0.3333333333333333 0.985805597795
Ge 0.0 0.0 0.014194402204
Te 0.3333333333333333 0.6666666666666666 0.146437282008
Te 0.3333333333333333 0.6666666666666666 0.853562717994

K_POINTS crystal
36
0.0 0.0 0.0 0.027778
0.0 0.1666666666666666 0.0 0.027778
0.0 0.3333333333333333 0.0 0.027778
0.0 0.5 0.0 0.027778
0.0 0.6666666666666666 0.0 0.027778
0.0 0.8333333333333333 0.0 0.027778
0.1666666666666666 0.0 0.0 0.027778
0.1666666666666666 0.1666666666666666 0.0 0.027778
0.1666666666666666 0.3333333333333333 0.0 0.027778
0.1666666666666666 0.5 0.0 0.027778
0.1666666666666666 0.6666666666666666 0.0 0.027778
0.1666666666666666 0.8333333333333333 0.0 0.027778
0.3333333333333333 0.0 0.0 0.027778
0.3333333333333333 0.1666666666666666 0.0 0.027778
0.3333333333333333 0.3333333333333333 0.0 0.027778
0.3333333333333333 0.5 0.0 0.027778
0.3333333333333333 0.6666666666666666 0.0 0.027778
0.3333333333333333 0.8333333333333333 0.0 0.027778
0.5 0.0 0.0 0.027778
0.5 0.1666666666666666 0.0 0.027778
0.5 0.3333333333333333 0.0 0.027778
0.5 0.5 0.0 0.027778
0.5 0.6666666666666666 0.0 0.027778
0.5 0.8333333333333333 0.0 0.027778
0.6666666666666666 0.0 0.0 0.027778
0.6666666666666666 0.1666666666666666 0.0 0.027778
0.6666666666666666 0.3333333333333333 0.0 0.027778
0.6666666666666666 0.5 0.0 0.027778
0.6666666666666666 0.6666666666666666 0.0 0.027778
0.6666666666666666 0.8333333333333333 0.0 0.027778
0.8333333333333333 0.0 0.0 0.027778
0.8333333333333333 0.1666666666666666 0.0 0.027778
0.8333333333333333 0.3333333333333333 0.0 0.027778
0.8333333333333333 0.5 0.0 0.027778

```

```

0.8333333333333333 0.6666666666666666 0.0 0.027778
0.8333333333333333 0.8333333333333333 0.0 0.027778

CELL_PARAMETERS angstrom
4.1097893551 0.0 3e-16
-2.054894677599907 3.5591819856998894 3e-16
0.0 0.0 28.3570216207

```

```

---                epw1.in ---
&inputepw
prefix = 'hBN'
amass(1) = 69.723
amass(2) = 72.631
amass(3) = 126.7
outdir = './'
elph = .false.
epbwrite = .false.
epbread = .false.
epwwrite = .true.
epwread = .false.
etf_mem = 1
nbndsub = 16
use_ws = .true.
wannierize = .true.
num_iter = 1000
iprint = 2
dis_win_max = 9.162256873830849
dis_froz_max = -2.995076577220197
fsthick = 1.2
temps = 1
degaussw = 0.005
dvscf_dir = './save'
nk1 = 6
nk2 = 6
nk3 = 1
nq1 = 1
nq2 = 1
nq3 = 1
system_2d = 'dipole_sp'
lpolar = .true.
dis_win_min = -25.648564519604474
wdata(1) = 'guiding_centres = T'
wdata(2) = 'dis_num_iter = 1500'
wdata(3) = 'bands_num_points = 100 '
wdata(4) = 'bands_plot = .true.'
wdata(5) = 'begin kpoint_path'
wdata(6) = 'G 0.0 0.0 0.0 M 0.5 0.0 0.0'
wdata(7) = 'M 0.5 0.0 0.0 K 0.3333333333 0.3333333333 0.0'
wdata(8) = 'K 0.3333333333 0.3333333333 0.0 X 1.0 1.0 0.0'
wdata(9) = 'X 1.0 1.0 0.0 M1 0.0 0.5 0.0'
wdata(10) = 'M1 0.0 0.5 0.0 G 0.0 0.0 0.0'
wdata(11) = 'end kpoint_path'
bands_skipped = 'exclude_bands = 1-34'
proj(1) = 'Ga: l= -5, mr= 3,4,5,6'
proj(2) = 'Ge: l= 3, mr= 5,7'
proj(3) = 'Te: l= -5, mr= 2,3'
dis_froz_min = -12.718908519291482
/

```

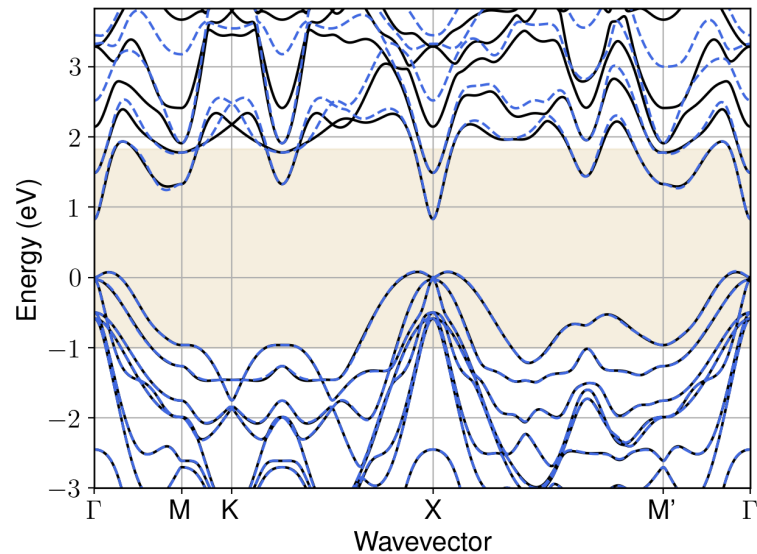


Figure S63: Bandstructure interpolation for monolayer  $\text{Ga}_2\text{Ge}_2\text{Te}_2$ . Wannier-interpolation of the band structure of monolayer  $\text{Ga}_2\text{Ge}_2\text{Te}_2$  over a wide energy range. Blue dashed lines are results from the present method, black solid lines are explicit DFT calculations. The yellow shaded region shows the range over which optimization has been performed. The interpolation error within the yellow region is 12 meV. The k-grid employed for NSCF calculation is  $6 \times 6$ .

## 52 Material: $\text{Ga}_2\text{S}_2$

The calculation files are appended below. These files should be executed in the order provided. The location of pseudo potentials should be changed accordingly.

```

---          scf.in ---
&CONTROL
calculation = 'scf'
verbosity = 'high'
restart_mode = 'from_scratch'
outdir = './'
pseudo_dir = '/scratch1/05193/sabyadk/2D_materials_Wann/Materials/Ga2S2-334e36d5/pseudo/'
prefix = 'hBN'
/
&SYSTEM
ibrav = 0
nat = 4
ntyp = 2
ecutwfc = 60
ecutrho = 240
assume_isolated = 2D
/
&ELECTRONS
conv_thr = 1E-12
diagonalization = 'david'
electron_maxstep = 200
/
ATOMIC_SPECIES
Ga 69.723 Ga_r.upf
S 32.066 S_r.upf
ATOMIC_POSITIONS crystal
Ga 0.3333333333333333 0.6666666666666666 0.050029222632
Ga 0.3333333333333333 0.6666666666666666 0.949970728512
S 0.6666666666666666 0.3333333333333333 0.906152159656
S 2.7e-11 0.0 0.093847889201

```



```

K_POINTS automatic
6 6 1 0 0 0

CELL_PARAMETERS angstrom
3.6413323098 0.0 2e-16
-1.8206661550001157 3.153486284000177 2e-16
0.0 0.0 24.6414209227

```

```

--- nscf.in ---
&CONTROL
calculation = bands
verbosity = 'high'
restart_mode = 'from_scratch'
outdir = './'
pseudo_dir = '/scratch1/05193/sabyadk/2D_materials_Wann/Materials/Ga2S2-334e36d5/pseudo/'
prefix = 'hBN'
/
&SYSTEM
ibrav = 0
nat = 4
ntyp = 2
ecutwfc = 60
ecutrho = 240
assume_isolated = 2D
nbnd = 60
/
&ELECTRONS
conv_thr = 1E-10
diagonalization = 'david'
electron_maxstep = 200
/
ATOMIC_SPECIES
Ga 69.723 Ga_r.upf
S 32.066 S_r.upf
ATOMIC_POSITIONS crystal
Ga 0.3333333333333333 0.6666666666666666 0.050029222632
Ga 0.3333333333333333 0.6666666666666666 0.949970728512
S 0.6666666666666666 0.3333333333333333 0.906152159656
S 2.7e-11 0.0 0.093847889201

K_POINTS crystal
36
0.0 0.0 0.0 0.027778
0.0 0.1666666666666666 0.0 0.027778
0.0 0.3333333333333333 0.0 0.027778
0.0 0.5 0.0 0.027778
0.0 0.6666666666666666 0.0 0.027778
0.0 0.8333333333333333 0.0 0.027778
0.1666666666666666 0.0 0.0 0.027778
0.1666666666666666 0.1666666666666666 0.0 0.027778
0.1666666666666666 0.3333333333333333 0.0 0.027778
0.1666666666666666 0.5 0.0 0.027778
0.1666666666666666 0.6666666666666666 0.0 0.027778
0.1666666666666666 0.8333333333333333 0.0 0.027778
0.3333333333333333 0.0 0.0 0.027778
0.3333333333333333 0.1666666666666666 0.0 0.027778
0.3333333333333333 0.3333333333333333 0.0 0.027778
0.3333333333333333 0.5 0.0 0.027778
0.3333333333333333 0.6666666666666666 0.0 0.027778
0.3333333333333333 0.8333333333333333 0.0 0.027778
0.5 0.0 0.0 0.027778
0.5 0.1666666666666666 0.0 0.027778
0.5 0.3333333333333333 0.0 0.027778
0.5 0.5 0.0 0.027778
0.5 0.6666666666666666 0.0 0.027778
0.5 0.8333333333333333 0.0 0.027778
0.6666666666666666 0.0 0.0 0.027778
0.6666666666666666 0.1666666666666666 0.0 0.027778
0.6666666666666666 0.3333333333333333 0.0 0.027778
0.6666666666666666 0.5 0.0 0.027778
0.6666666666666666 0.6666666666666666 0.0 0.027778
0.6666666666666666 0.8333333333333333 0.0 0.027778
0.8333333333333333 0.0 0.0 0.027778
0.8333333333333333 0.1666666666666666 0.0 0.027778
0.8333333333333333 0.3333333333333333 0.0 0.027778
0.8333333333333333 0.5 0.0 0.027778
0.8333333333333333 0.6666666666666666 0.0 0.027778
0.8333333333333333 0.8333333333333333 0.0 0.027778

CELL_PARAMETERS angstrom
3.6413323098 0.0 2e-16
-1.8206661550001157 3.153486284000177 2e-16

```

0.0 0.0 24.6414209227

```

---                epw1.in ---
&inputepw
prefix = 'hBN'
amass(1) = 69.723
amass(2) = 32.066
outdir = './'
elph = .false.
epbwrite = .false.
epbwrite = .false.
epwwrite = .true.
epwread = .false.
etf_mem = 1
nbndsub = 16
use_ws = .true.
wannierize = .true.
num_iter = 1000
iprint = 2
dis_win_max = 9.111714570834364
dis_froz_max = -2.1386857595468234
fsthick = 1.2
temps = 1
degaussw = 0.005
dvscf_dir = './save'
nk1 = 6
nk2 = 6
nk3 = 1
nq1 = 1
nq2 = 1
nq3 = 1
system_2d = 'dipole_sp'
lpolar = .true.
dis_win_min = -29.262135617155955
wdata(1) = 'guiding_centres = T'
wdata(2) = 'dis_num_iter = 1500'
wdata(3) = 'bands_num_points = 100 '
wdata(4) = 'bands_plot = .true.'
wdata(5) = 'begin kpoint_path'
wdata(6) = 'G 0.0 0.0 0.0 M 0.5 0.0 0.0'
wdata(7) = 'M 0.5 0.0 0.0 K 0.3333333333 0.3333333333 0.0'
wdata(8) = 'K 0.3333333333 0.3333333333 0.0 X 1.0 1.0 0.0'
wdata(9) = 'X 1.0 1.0 0.0 M1 0.0 0.5 0.0'
wdata(10) = 'M1 0.0 0.5 0.0 G 0.0 0.0 0.0'
wdata(11) = 'end kpoint_path'
bands_skipped = 'exclude_bands = 1-13'
proj(1) = 'Ga: l= -3, mr= 3,4'
proj(2) = 'S: l= 3, mr= 1,2,3,5,6,7'
dis_froz_min = -16.257942246879917
/

```

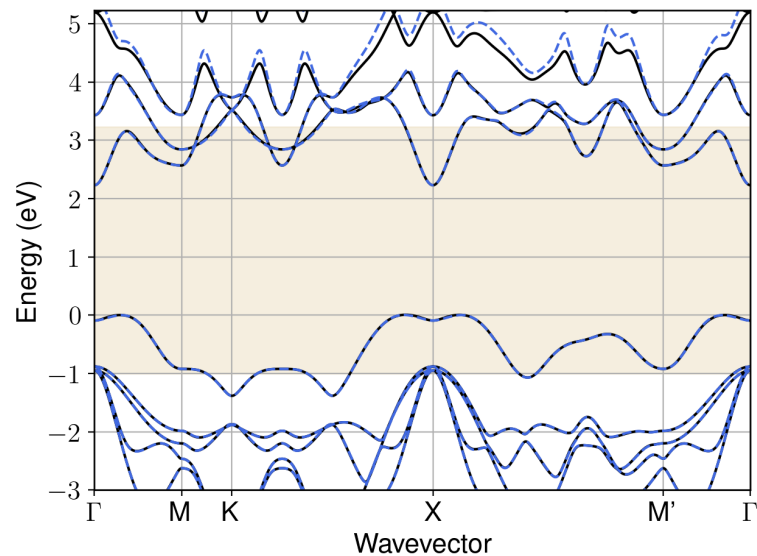


Figure S64: Bandstructure interpolation for monolayer  $\text{Ga}_2\text{S}_2$ . Wannier-interpolation of the band structure of monolayer  $\text{Ga}_2\text{S}_2$  over a wide energy range. Blue dashed lines are results from the present method, black solid lines are explicit DFT calculations. The yellow shaded region shows the range over which optimization has been performed. The interpolation error within the yellow region is 8 meV. The k-grid employed for NSCF calculation is  $6 \times 6$ .

### 53 Material: $\text{Ga}_2\text{Se}_2$

The calculation files are appended below. These files should be executed in the order provided. The location of pseudo potentials should be changed accordingly.

```

---          scf.in ---
&CONTROL
calculation = 'scf'
verbosity = 'high'
restart_mode = 'from_scratch'
outdir = './'
pseudo_dir = '/scratch1/05193/sabyadk/2D_materials_Wann/Materials/Ga2Se2-6e158fda/pseudo/'
prefix = 'hBN'
/
&SYSTEM
ibrav = 0
nat = 4
ntyp = 2
ecutwfc = 60
ecutrho = 240
assume_isolated = 2D
/
&ELECTRONS
conv_thr = 1E-12
diagonalization = 'david'
electron_maxstep = 200
/
ATOMIC_SPECIES
Ga 69.723 Ga_r.upf
Se 78.971 Se_r.upf
ATOMIC_POSITIONS crystal
Ga 0.3333333333333333 0.6666666666666666 0.950220699515
Ga 0.3333333333333333 0.6666666666666666 0.049779300485
Se 0.6666666666666666 0.3333333333333333 0.9029168336260001
Se 0.6666666666666666 0.3333333333333333 0.097083166374

```

```

K_POINTS automatic
6 6 1 0 0 0

CELL_PARAMETERS angstrom
3.8179527967 0.0 2e-16
-1.9089763983000267 3.306444112400112 2e-16
0.0 0.0 24.7928744463

```

```

--- nscf.in ---
&CONTROL
calculation = bands
verbosity = 'high'
restart_mode = 'from_scratch'
outdir = './'
pseudo_dir = '/scratch1/05193/sabyadk/2D_materials_Wann/Materials/Ga2Se2-6e158fda/pseudo/'
prefix = 'hBN'
/
&SYSTEM
ibrav = 0
nat = 4
ntyp = 2
ecutwfc = 60
ecutrho = 240
assume_isolated = 2D
nbnd = 60
/
&ELECTRONS
conv_thr = 1E-10
diagonalization = 'david'
electron_maxstep = 200
/
ATOMIC_SPECIES
Ga 69.723 Ga_r.upf
Se 78.971 Se_r.upf
ATOMIC_POSITIONS crystal
Ga 0.3333333333333333 0.6666666666666666 0.950220699515
Ga 0.3333333333333333 0.6666666666666666 0.049779300485
Se 0.6666666666666666 0.3333333333333333 0.9029168336260001
Se 0.6666666666666666 0.3333333333333333 0.097083166374

K_POINTS crystal
36
0.0 0.0 0.0 0.027778
0.0 0.1666666666666666 0.0 0.027778
0.0 0.3333333333333333 0.0 0.027778
0.0 0.5 0.0 0.027778
0.0 0.6666666666666666 0.0 0.027778
0.0 0.8333333333333333 0.0 0.027778
0.1666666666666666 0.0 0.0 0.027778
0.1666666666666666 0.1666666666666666 0.0 0.027778
0.1666666666666666 0.3333333333333333 0.0 0.027778
0.1666666666666666 0.5 0.0 0.027778
0.1666666666666666 0.6666666666666666 0.0 0.027778
0.1666666666666666 0.8333333333333333 0.0 0.027778
0.3333333333333333 0.0 0.0 0.027778
0.3333333333333333 0.1666666666666666 0.0 0.027778
0.3333333333333333 0.3333333333333333 0.0 0.027778
0.3333333333333333 0.5 0.0 0.027778
0.3333333333333333 0.6666666666666666 0.0 0.027778
0.3333333333333333 0.8333333333333333 0.0 0.027778
0.5 0.0 0.0 0.027778
0.5 0.1666666666666666 0.0 0.027778
0.5 0.3333333333333333 0.0 0.027778
0.5 0.5 0.0 0.027778
0.5 0.6666666666666666 0.0 0.027778
0.5 0.8333333333333333 0.0 0.027778
0.6666666666666666 0.0 0.0 0.027778
0.6666666666666666 0.1666666666666666 0.0 0.027778
0.6666666666666666 0.3333333333333333 0.0 0.027778
0.6666666666666666 0.5 0.0 0.027778
0.6666666666666666 0.6666666666666666 0.0 0.027778
0.6666666666666666 0.8333333333333333 0.0 0.027778
0.8333333333333333 0.0 0.0 0.027778
0.8333333333333333 0.1666666666666666 0.0 0.027778
0.8333333333333333 0.3333333333333333 0.0 0.027778
0.8333333333333333 0.5 0.0 0.027778
0.8333333333333333 0.6666666666666666 0.0 0.027778
0.8333333333333333 0.8333333333333333 0.0 0.027778

CELL_PARAMETERS angstrom
3.8179527967 0.0 2e-16
-1.9089763983000267 3.306444112400112 2e-16

```

0.0 0.0 24.7928744463

```

---                               epw1.in ---
&inputepw
prefix = 'hEN'
amass(1) = 69.723
amass(2) = 78.971
outdir = './'
elph = .false.
epbwrite = .false.
epbwrite = .false.
epwwrite = .true.
epwread = .false.
etf_mem = 1
nbndsub = 16
use_ws = .true.
wannierize = .true.
num_iter = 1000
iprint = 2
dis_win_max = 12.679356259973591
dis_froz_max = -1.4359538306495958
fsthick = 1.2
temps = 1
degaussw = 0.005
dvscf_dir = './save'
nk1 = 6
nk2 = 6
nk3 = 1
nq1 = 1
nq2 = 1
nq3 = 1
system_2d = 'dipole_sp'
lpolar = .true.
dis_win_min = -25.308545102698087
wdata(1) = 'guiding_centres = T'
wdata(2) = 'dis_num_iter = 1500'
wdata(3) = 'bands_num_points = 100 '
wdata(4) = 'bands_plot = .true.'
wdata(5) = 'begin kpoint_path'
wdata(6) = 'G 0.0 0.0 0.0 M 0.5 0.0 0.0'
wdata(7) = 'M 0.5 0.0 0.0 K 0.3333333333 0.3333333333 0.0'
wdata(8) = 'K 0.3333333333 0.3333333333 0.0 X 1.0 1.0 0.0'
wdata(9) = 'X 1.0 1.0 0.0 M1 0.0 0.5 0.0'
wdata(10) = 'M1 0.0 0.5 0.0 G 0.0 0.0 0.0'
wdata(11) = 'end kpoint_path'
bands_skipped = 'exclude_bands = 1-23'
proj(1) = 'Ga: l= 2, mr= 1,2,4,5'
proj(2) = 'Se: l= 3, mr= 1,4,5,6'
dis_froz_min = -10.674827241615676
/

```

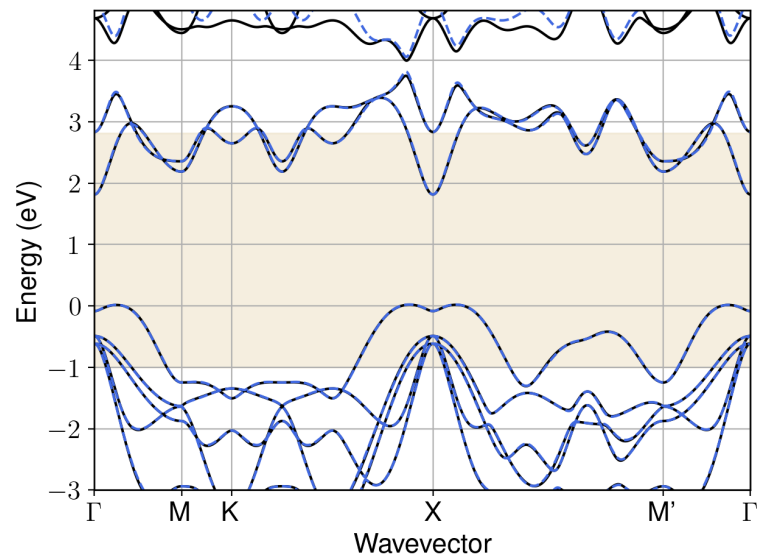


Figure S65: Bandstructure interpolation for monolayer  $\text{Ga}_2\text{Se}_2$ . Wannier-interpolation of the band structure of monolayer  $\text{Ga}_2\text{Se}_2$  over a wide energy range. Blue dashed lines are results from the present method, black solid lines are explicit DFT calculations. The yellow shaded region shows the range over which optimization has been performed. The interpolation error within the yellow region is 8 meV. The k-grid employed for NSCF calculation is  $6 \times 6$ .

## 54 Material: $\text{Ga}_2\text{Te}_2$

The calculation files are appended below. These files should be executed in the order provided. The location of pseudo potentials should be changed accordingly.

```

---          scf.in ---
&CONTROL
calculation = 'scf'
verbosity = 'high'
restart_mode = 'from_scratch'
outdir = './'
pseudo_dir = '/scratch1/05193/sabyadk/2D_materials_Wann/Materials/Ga2Te2-5bb67fae/pseudo/'
prefix = 'hBN'
/
&SYSTEM
ibrav = 0
nat = 4
ntyp = 2
ecutwfc = 60
ecutrho = 240
assume_isolated = 2D
/
&ELECTRONS
conv_thr = 1E-12
diagonalization = 'david'
electron_maxstep = 200
/
ATOMIC_SPECIES
Ga 69.723 Ga_r.upf
Te 126.7 Te_r.upf
ATOMIC_POSITIONS crystal
Ga 0.6666666666666666 0.3333333333333333 0.950747127668
Ga 0.6666666666666666 0.3333333333333333 0.049252872332
Te 0.3333333333333333 0.6666666666666666 0.900006420984
Te 0.3333333333333333 0.6666666666666666 0.099993579016

```

```

K_POINTS automatic
6 6 1 0 0 0

CELL_PARAMETERS angstrom
4.1353505675 0.0 3e-16
-2.0676752837000594 3.5813186450001235 3e-16
0.0 0.0 25.0629321763

```

```

--- nscf.in ---
&CONTROL
calculation = bands
verbosity = 'high'
restart_mode = 'from_scratch'
outdir = './'
pseudo_dir = '/scratch1/05193/sabyadk/2D_materials_Wann/Materials/Ga2Te2-5bb67fae/pseudo/'
prefix = 'hBN'
/
&SYSTEM
ibrav = 0
nat = 4
ntyp = 2
ecutwfc = 60
ecutrho = 240
assume_isolated = 2D
nbnd = 60
/
&ELECTRONS
conv_thr = 1E-10
diagonalization = 'david'
electron_maxstep = 200
/
ATOMIC_SPECIES
Ga 69.723 Ga_r.upf
Te 126.7 Te_r.upf
ATOMIC_POSITIONS crystal
Ga 0.6666666666666666 0.3333333333333333 0.950747127668
Ga 0.6666666666666666 0.3333333333333333 0.049252872332
Te 0.3333333333333333 0.6666666666666666 0.900006420984
Te 0.3333333333333333 0.6666666666666666 0.099993579016

K_POINTS crystal
36
0.0 0.0 0.0 0.027778
0.0 0.1666666666666666 0.0 0.027778
0.0 0.3333333333333333 0.0 0.027778
0.0 0.5 0.0 0.027778
0.0 0.6666666666666666 0.0 0.027778
0.0 0.8333333333333333 0.0 0.027778
0.1666666666666666 0.0 0.0 0.027778
0.1666666666666666 0.1666666666666666 0.0 0.027778
0.1666666666666666 0.3333333333333333 0.0 0.027778
0.1666666666666666 0.5 0.0 0.027778
0.1666666666666666 0.6666666666666666 0.0 0.027778
0.1666666666666666 0.8333333333333333 0.0 0.027778
0.3333333333333333 0.0 0.0 0.027778
0.3333333333333333 0.1666666666666666 0.0 0.027778
0.3333333333333333 0.3333333333333333 0.0 0.027778
0.3333333333333333 0.5 0.0 0.027778
0.3333333333333333 0.6666666666666666 0.0 0.027778
0.3333333333333333 0.8333333333333333 0.0 0.027778
0.5 0.0 0.0 0.027778
0.5 0.1666666666666666 0.0 0.027778
0.5 0.3333333333333333 0.0 0.027778
0.5 0.5 0.0 0.027778
0.5 0.6666666666666666 0.0 0.027778
0.5 0.8333333333333333 0.0 0.027778
0.6666666666666666 0.0 0.0 0.027778
0.6666666666666666 0.1666666666666666 0.0 0.027778
0.6666666666666666 0.3333333333333333 0.0 0.027778
0.6666666666666666 0.5 0.0 0.027778
0.6666666666666666 0.6666666666666666 0.0 0.027778
0.6666666666666666 0.8333333333333333 0.0 0.027778
0.8333333333333333 0.0 0.0 0.027778
0.8333333333333333 0.1666666666666666 0.0 0.027778
0.8333333333333333 0.3333333333333333 0.0 0.027778
0.8333333333333333 0.5 0.0 0.027778
0.8333333333333333 0.6666666666666666 0.0 0.027778
0.8333333333333333 0.8333333333333333 0.0 0.027778

CELL_PARAMETERS angstrom
4.1353505675 0.0 3e-16
-2.0676752837000594 3.5813186450001235 3e-16

```

0.0 0.0 25.0629321763

```

---                               epw1.in ---
&inputepw
prefix = 'hBN'
amass(1) = 69.723
amass(2) = 126.7
outdir = './'
elph = .false.
epbwrite = .false.
epbwrite = .false.
epwwrite = .true.
epwread = .false.
etf_mem = 1
nbndsub = 16
use_ws = .true.
wannierize = .true.
num_iter = 1000
iprint = 2
dis_win_max = 12.444649304065184
dis_froz_max = -1.2163887918867888
fsthick = 1.2
temps = 1
degaussw = 0.005
dvscf_dir = './save'
nk1 = 6
nk2 = 6
nk3 = 1
nq1 = 1
nq2 = 1
nq3 = 1
system_2d = 'dipole_sp'
lpolar = .true.
dis_win_min = -24.804357419280848
wdata(1) = 'guiding_centres = T'
wdata(2) = 'dis_num_iter = 1500'
wdata(3) = 'bands_num_points = 100 '
wdata(4) = 'bands_plot = .true.'
wdata(5) = 'begin kpoint_path'
wdata(6) = 'G 0.0 0.0 0.0 M 0.5 0.0 0.0'
wdata(7) = 'M 0.5 0.0 0.0 K 0.3333333333 0.3333333333 0.0'
wdata(8) = 'K 0.3333333333 0.3333333333 0.0 X 1.0 1.0 0.0'
wdata(9) = 'X 1.0 1.0 0.0 M1 0.0 0.5 0.0'
wdata(10) = 'M1 0.0 0.5 0.0 G 0.0 0.0 0.0'
wdata(11) = 'end kpoint_path'
bands_skipped = 'exclude_bands = 1-23'
proj(1) = 'Ga: l= -4, mr= 1,2,3,5'
proj(2) = 'Te: l= 2, mr= 1,2,3,5'
dis_froz_min = -14.61951093224755
/

```



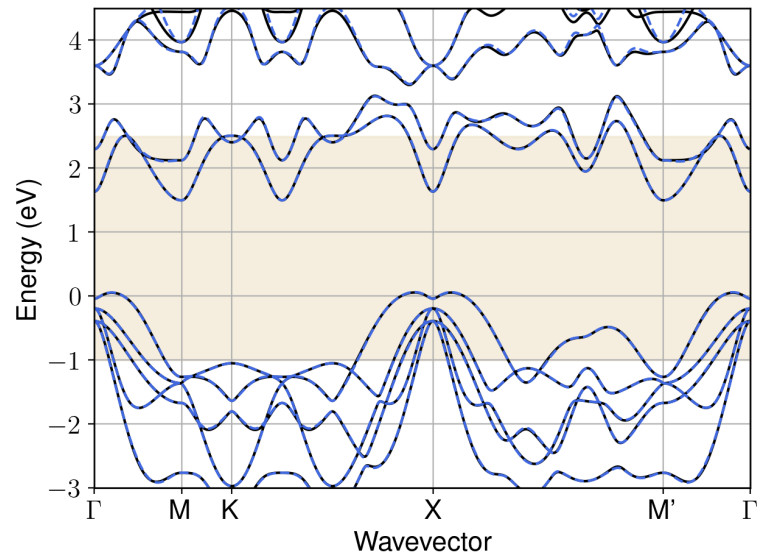


Figure S66: Bandstructure interpolation for monolayer  $\text{Ga}_2\text{Te}_2$ . Wannier-interpolation of the band structure of monolayer  $\text{Ga}_2\text{Te}_2$  over a wide energy range. Blue dashed lines are results from the present method, black solid lines are explicit DFT calculations. The yellow shaded region shows the range over which optimization has been performed. The interpolation error within the yellow region is 8 meV. The k-grid employed for NSCF calculation is  $6 \times 6$ .

## 55 Material: $\text{Ga}_2\text{Te}_2\text{Cl}_2$

The calculation files are appended below. These files should be executed in the order provided. The location of pseudo potentials should be changed accordingly.

```

---          scf.in ---
&CONTROL
calculation = 'scf'
verbosity = 'high'
restart_mode = 'from_scratch'
outdir = './'
pseudo_dir = '/scratch1/05193/sabyadk/2D_materials_Wann/Materials/Ga2Te2Cl2-57833ac7/pseudo/'
prefix = 'hBN'
/
&SYSTEM
ibrav = 0
nat = 6
ntyp = 3
ecutwfc = 60
ecutrho = 240
assume_isolated = 2D
/
&ELECTRONS
conv_thr = 1E-12
diagonalization = 'david'
electron_maxstep = 200
/
ATOMIC_SPECIES
Ga 69.723 Ga_r.upf
Te 126.7 Te_r.upf
Cl 35.453 Cl_r.upf
ATOMIC_POSITIONS crystal
Ga 0.0 0.015338099369 0.036663288449
Ga 0.500000000012 0.51533481014 0.963336994553
Te 0.0 0.232067531845 0.944566271342

```

```

Te 0.500000000012 0.732072049868 0.055433132452
Cl 0.0 0.239629565571 0.105984192026
Cl 0.500000000012 0.739626964374 0.894016121177

K_POINTS automatic
6 6 1 0 0 0

CELL_PARAMETERS angstrom
4.0811050385 0.0 2e-16
-4e-16 5.983590743 4e-16
0.0 0.0 25.0950819527

```

```

---                nscf.in ---
&CONTROL
calculation = bands
verbosity = 'high'
restart_mode = 'from_scratch'
outdir = './'
pseudo_dir = '/scratch1/05193/sabyadk/2D_materials_Wann/Materials/Ga2Te2Cl2-57833ac7/pseudo/'
prefix = 'hBN'
/
&SYSTEM
ibrav = 0
nat = 6
ntyp = 3
ecutwfc = 60
ecutrho = 240
assume_isolated = 2D
nbnd = 60
/
&ELECTRONS
conv_thr = 1E-10
diagonalization = 'david'
electron_maxstep = 200
/
ATOMIC_SPECIES
Ga 69.723 Ga_r.upf
Te 126.7 Te_r.upf
Cl 35.453 Cl_r.upf
ATOMIC_POSITIONS crystal
Ga 0.0 0.015338099369 0.036663288449
Ga 0.500000000012 0.51533481014 0.963336994553
Te 0.0 0.232067531845 0.944566271342
Te 0.500000000012 0.732072049868 0.055433132452
Cl 0.0 0.239629565571 0.105984192026
Cl 0.500000000012 0.739626964374 0.894016121177

K_POINTS crystal
36
0.0 0.0 0.0 0.027778
0.0 0.16666666666666666 0.0 0.027778
0.0 0.33333333333333333 0.0 0.027778
0.0 0.5 0.0 0.027778
0.0 0.66666666666666666 0.0 0.027778
0.0 0.83333333333333333 0.0 0.027778
0.16666666666666666 0.0 0.0 0.027778
0.16666666666666666 0.16666666666666666 0.0 0.027778
0.16666666666666666 0.33333333333333333 0.0 0.027778
0.16666666666666666 0.5 0.0 0.027778
0.16666666666666666 0.66666666666666666 0.0 0.027778
0.16666666666666666 0.83333333333333333 0.0 0.027778
0.33333333333333333 0.0 0.0 0.027778
0.33333333333333333 0.16666666666666666 0.0 0.027778
0.33333333333333333 0.33333333333333333 0.0 0.027778
0.33333333333333333 0.5 0.0 0.027778
0.33333333333333333 0.66666666666666666 0.0 0.027778
0.33333333333333333 0.83333333333333333 0.0 0.027778
0.5 0.0 0.0 0.027778
0.5 0.16666666666666666 0.0 0.027778
0.5 0.33333333333333333 0.0 0.027778
0.5 0.5 0.0 0.027778
0.5 0.66666666666666666 0.0 0.027778
0.5 0.83333333333333333 0.0 0.027778
0.66666666666666666 0.0 0.0 0.027778
0.66666666666666666 0.16666666666666666 0.0 0.027778
0.66666666666666666 0.33333333333333333 0.0 0.027778
0.66666666666666666 0.5 0.0 0.027778
0.66666666666666666 0.66666666666666666 0.0 0.027778
0.66666666666666666 0.83333333333333333 0.0 0.027778
0.83333333333333333 0.0 0.0 0.027778
0.83333333333333333 0.16666666666666666 0.0 0.027778
0.83333333333333333 0.33333333333333333 0.0 0.027778
0.83333333333333333 0.5 0.0 0.027778

```

```

0.8333333333333333 0.6666666666666666 0.0 0.027778
0.8333333333333333 0.8333333333333333 0.0 0.027778

CELL_PARAMETERS angstrom
4.0811050385 0.0 2e-16
-4e-16 5.983590743 4e-16
0.0 0.0 25.0950819527

```

```

---                epw1.in ---
&inputepw
prefix = 'hBN'
amass(1) = 69.723
amass(2) = 126.7
amass(3) = 35.453
outdir = './'
elph = .false.
epbwrite = .false.
epbread = .false.
epwwrite = .true.
epwread = .false.
etf_mem = 1
nbndsub = 16
use_ws = .true.
wannierize = .true.
num_iter = 1000
iprint = 2
dis_win_max = 10.056737841641615
dis_froz_max = -3.113763881572245
fsthick = 1.2
temps = 1
degaussw = 0.005
dvscf_dir = './save'
nk1 = 6
nk2 = 6
nk3 = 1
nq1 = 1
nq2 = 1
nq3 = 1
system_2d = 'dipole_sp'
lpolar = .true.
dis_win_min = -19.378638306399633
wdata(1) = 'guiding_centres = T'
wdata(2) = 'dis_num_iter = 1500'
wdata(3) = 'bands_num_points = 100 '
wdata(4) = 'bands_plot = .true.'
wdata(5) = 'begin kpoint_path'
wdata(6) = 'G 0.0 0.0 0.0 M 0.5 0.0 0.0'
wdata(7) = 'M 0.5 0.0 0.0 K 0.3333333333 0.3333333333 0.0'
wdata(8) = 'K 0.3333333333 0.3333333333 0.0 X 1.0 1.0 0.0'
wdata(9) = 'X 1.0 1.0 0.0 M1 0.0 0.5 0.0'
wdata(10) = 'M1 0.0 0.5 0.0 G 0.0 0.0 0.0'
wdata(11) = 'end kpoint_path'
bands_skipped = 'exclude_bands = 1-25'
proj(1) = 'Ga: l= 3, mr= 4,6,7'
proj(2) = 'Te: l= -3, mr= 2,3'
proj(3) = 'Cl: l= -4, mr= 1,2,4'
dis_froz_min = -14.428360885293678
/

```

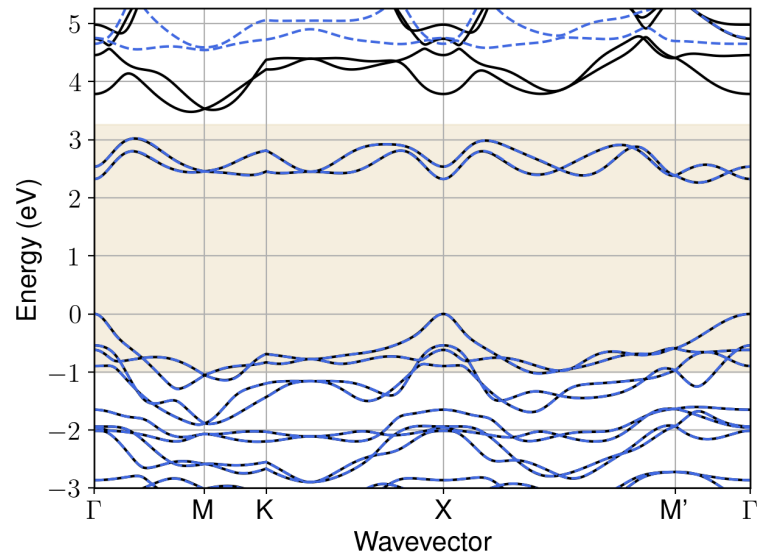


Figure S67: Bandstructure interpolation for monolayer  $\text{Ga}_2\text{Te}_2\text{Cl}_2$ . Wannier-interpolation of the band structure of monolayer  $\text{Ga}_2\text{Te}_2\text{Cl}_2$  over a wide energy range. Blue dashed lines are results from the present method, black solid lines are explicit DFT calculations. The yellow shaded region shows the range over which optimization has been performed. The interpolation error within the yellow region is 3 meV. The k-grid employed for NSCF calculation is  $6 \times 6$ .

## 56 Material: $\text{Ge}_2\text{S}_2$

The calculation files are appended below. These files should be executed in the order provided. The location of pseudo potentials should be changed accordingly.

```

---          scf.in ---
&CONTROL
calculation = 'scf'
verbosity = 'high'
restart_mode = 'from_scratch'
outdir = './'
pseudo_dir = '/scratch1/05193/sabyadk/2D_materials_Wann/Materials/Ge2S2-002458b7/pseudo/'
prefix = 'hBN'
/
&SYSTEM
ibrav = 0
nat = 4
ntyp = 2
ecutwfc = 60
ecutrho = 240
assume_isolated = 2D
/
&ELECTRONS
conv_thr = 1E-12
diagonalization = 'david'
electron_maxstep = 200
/
ATOMIC_SPECIES
Ge 72.631 Ge_r.upf
S 32.066 S_r.upf
ATOMIC_POSITIONS crystal
Ge 0.250000000014 0.876711155904 0.056297745943
Ge 0.7500000000041 0.376917309225 0.943704472898
S 0.7500000000041 0.499939754166 0.047738486869
S 0.250000000014 0.000136374368 0.95225929429

```

```

K_POINTS automatic
6 6 1 0 0 0

CELL_PARAMETERS angstrom
3.677998012873 0.0 2e-16
-3e-16 4.374559144363 3e-16
0.0 0.0 22.6805798486

```

```

--- nscf.in ---
&CONTROL
calculation = bands
verbosity = 'high'
restart_mode = 'from_scratch'
outdir = './'
pseudo_dir = '/scratch1/05193/sabyadk/2D_materials_Wann/Materials/Ge2S2-002458b7/pseudo/'
prefix = 'hBN'
/
&SYSTEM
ibrav = 0
nat = 4
ntyp = 2
ecutwfc = 60
ecutrho = 240
assume_isolated = 2D
nbnd = 60
/
&ELECTRONS
conv_thr = 1E-10
diagonalization = 'david'
electron_maxstep = 200
/
ATOMIC_SPECIES
Ge 72.631 Ge_r.upf
S 32.066 S_r.upf
ATOMIC_POSITIONS crystal
Ge 0.250000000014 0.876711155904 0.056297745943
Ge 0.750000000041 0.376917309225 0.943704472898
S 0.750000000041 0.499939754166 0.047738486869
S 0.250000000014 0.000136374368 0.95225929429

K_POINTS crystal
36
0.0 0.0 0.0 0.027778
0.0 0.16666666666666666 0.0 0.027778
0.0 0.3333333333333333 0.0 0.027778
0.0 0.5 0.0 0.027778
0.0 0.6666666666666666 0.0 0.027778
0.0 0.8333333333333333 0.0 0.027778
0.16666666666666666 0.0 0.0 0.027778
0.16666666666666666 0.16666666666666666 0.0 0.027778
0.16666666666666666 0.3333333333333333 0.0 0.027778
0.16666666666666666 0.5 0.0 0.027778
0.16666666666666666 0.6666666666666666 0.0 0.027778
0.16666666666666666 0.8333333333333333 0.0 0.027778
0.3333333333333333 0.0 0.0 0.027778
0.3333333333333333 0.16666666666666666 0.0 0.027778
0.3333333333333333 0.3333333333333333 0.0 0.027778
0.3333333333333333 0.5 0.0 0.027778
0.3333333333333333 0.6666666666666666 0.0 0.027778
0.3333333333333333 0.8333333333333333 0.0 0.027778
0.5 0.0 0.0 0.027778
0.5 0.16666666666666666 0.0 0.027778
0.5 0.3333333333333333 0.0 0.027778
0.5 0.5 0.0 0.027778
0.5 0.6666666666666666 0.0 0.027778
0.5 0.8333333333333333 0.0 0.027778
0.6666666666666666 0.0 0.0 0.027778
0.6666666666666666 0.16666666666666666 0.0 0.027778
0.6666666666666666 0.3333333333333333 0.0 0.027778
0.6666666666666666 0.5 0.0 0.027778
0.6666666666666666 0.6666666666666666 0.0 0.027778
0.6666666666666666 0.8333333333333333 0.0 0.027778
0.8333333333333333 0.0 0.0 0.027778
0.8333333333333333 0.16666666666666666 0.0 0.027778
0.8333333333333333 0.3333333333333333 0.0 0.027778
0.8333333333333333 0.5 0.0 0.027778
0.8333333333333333 0.6666666666666666 0.0 0.027778
0.8333333333333333 0.8333333333333333 0.0 0.027778

CELL_PARAMETERS angstrom
3.677998012873 0.0 2e-16
-3e-16 4.374559144363 3e-16

```

0.0 0.0 22.6805798486

```

---                               epw1.in ---
&inputepw
prefix = 'hBN'
amass(1) = 72.631
amass(2) = 32.066
outdir = './'
elph = .false.
epbwrite = .false.
epbwrite = .false.
epwwrite = .true.
epwread = .false.
etf_mem = 1
nbndsub = 16
use_ws = .true.
wannierize = .true.
num_iter = 1000
iprint = 2
dis_win_max = 14.270606035005551
dis_froz_max = -0.8015939674757089
fsthick = 1.2
temps = 1
degaussw = 0.005
dvscf_dir = './save'
nk1 = 6
nk2 = 6
nk3 = 1
nq1 = 1
nq2 = 1
nq3 = 1
system_2d = 'dipole_sp'
lpolar = .true.
dis_win_min = -24.320766739993918
wdata(1) = 'guiding_centres = T'
wdata(2) = 'dis_num_iter = 1500'
wdata(3) = 'bands_num_points = 100 '
wdata(4) = 'bands_plot = .true.'
wdata(5) = 'begin kpoint_path'
wdata(6) = 'G 0.0 0.0 0.0 M 0.5 0.0 0.0'
wdata(7) = 'M 0.5 0.0 0.0 K 0.3333333333 0.3333333333 0.0'
wdata(8) = 'K 0.3333333333 0.3333333333 0.0 X 1.0 1.0 0.0'
wdata(9) = 'X 1.0 1.0 0.0 M1 0.0 0.5 0.0'
wdata(10) = 'M1 0.0 0.5 0.0 G 0.0 0.0 0.0'
wdata(11) = 'end kpoint_path'
bands_skipped = 'exclude_bands = 1-13'
proj(1) = 'Ge: l= -5, mr= 1,2,3,6'
proj(2) = 'S: l= 3, mr= 1,2,3,6'
dis_froz_min = -14.601059329004283
/

```

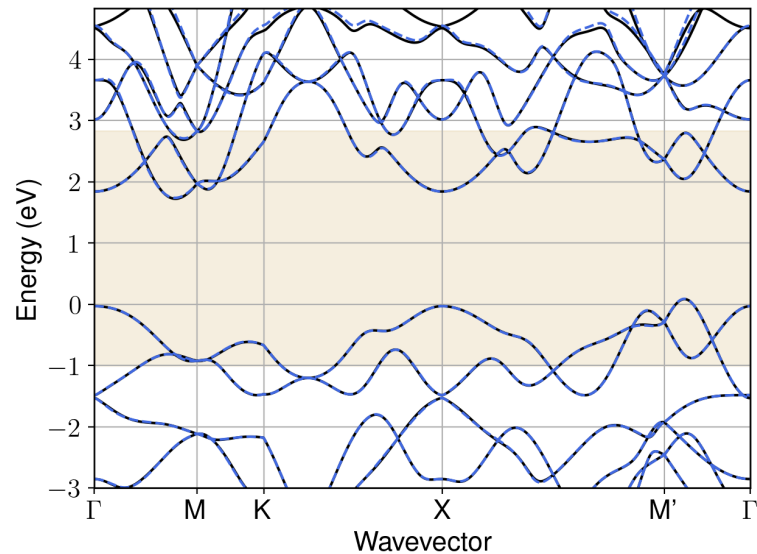


Figure S68: Bandstructure interpolation for monolayer  $\text{Ge}_2\text{S}_2$ . Wannier-interpolation of the band structure of monolayer  $\text{Ge}_2\text{S}_2$  over a wide energy range. Blue dashed lines are results from the present method, black solid lines are explicit DFT calculations. The yellow shaded region shows the range over which optimization has been performed. The interpolation error within the yellow region is 7 meV. The k-grid employed for NSCF calculation is  $6 \times 6$ .

## 57 Material: $\text{Ge}_2\text{Se}_2$

The calculation files are appended below. These files should be executed in the order provided. The location of pseudo potentials should be changed accordingly.

```

---          scf.in ---
&CONTROL
calculation = 'scf'
verbosity = 'high'
restart_mode = 'from_scratch'
outdir = './'
pseudo_dir = '/scratch1/05193/sabyadk/2D_materials_Wann/Materials/Ge2Se2-ec506034/pseudo/'
prefix = 'hBN'
/
&SYSTEM
ibrav = 0
nat = 4
ntyp = 2
ecutwfc = 60
ecutrho = 240
assume_isolated = 2D
/
&ELECTRONS
conv_thr = 1E-12
diagonalization = 'david'
electron_maxstep = 200
/
ATOMIC_SPECIES
Ge 72.631 Ge_r.upf
Se 78.971 Se_r.upf
ATOMIC_POSITIONS crystal
Ge 0.250438690691 0.402391727305 0.946921986922
Ge 0.750420722815 0.902391397045 0.053078138004
Se 0.250412150981 0.488402670999 0.057280854273
Se 0.750447655408 0.988402784634 0.942719020801

```

```

K_POINTS automatic
6 6 1 0 0 0

CELL_PARAMETERS angstrom
3.937892234956 0.0 2e-16
2.709064521e-07 4.296534050139991 3e-16
0.0 0.0 22.7941391396

```

```

--- nscf.in ---
&CONTROL
calculation = bands
verbosity = 'high'
restart_mode = 'from_scratch'
outdir = './'
pseudo_dir = '/scratch1/05193/sabyadk/2D_materials_Wann/Materials/Ge2Se2-ec506034/pseudo/'
prefix = 'hBN'
/
&SYSTEM
ibrav = 0
nat = 4
ntyp = 2
ecutwfc = 60
ecutrho = 240
assume_isolated = 2D
nbnd = 60
/
&ELECTRONS
conv_thr = 1E-10
diagonalization = 'david'
electron_maxstep = 200
/
ATOMIC_SPECIES
Ge 72.631 Ge_r.upf
Se 78.971 Se_r.upf
ATOMIC_POSITIONS crystal
Ge 0.250438690691 0.402391727305 0.946921986922
Ge 0.750420722815 0.902391397045 0.053078138004
Se 0.250412150981 0.488402670999 0.057280854273
Se 0.750447655408 0.988402784634 0.942719020801

K_POINTS crystal
36
0.0 0.0 0.0 0.027778
0.0 0.16666666666666666 0.0 0.027778
0.0 0.3333333333333333 0.0 0.027778
0.0 0.5 0.0 0.027778
0.0 0.6666666666666666 0.0 0.027778
0.0 0.8333333333333333 0.0 0.027778
0.16666666666666666 0.0 0.0 0.027778
0.16666666666666666 0.16666666666666666 0.0 0.027778
0.16666666666666666 0.3333333333333333 0.0 0.027778
0.16666666666666666 0.5 0.0 0.027778
0.16666666666666666 0.6666666666666666 0.0 0.027778
0.16666666666666666 0.8333333333333333 0.0 0.027778
0.3333333333333333 0.0 0.0 0.027778
0.3333333333333333 0.16666666666666666 0.0 0.027778
0.3333333333333333 0.3333333333333333 0.0 0.027778
0.3333333333333333 0.5 0.0 0.027778
0.3333333333333333 0.6666666666666666 0.0 0.027778
0.3333333333333333 0.8333333333333333 0.0 0.027778
0.5 0.0 0.0 0.027778
0.5 0.16666666666666666 0.0 0.027778
0.5 0.3333333333333333 0.0 0.027778
0.5 0.5 0.0 0.027778
0.5 0.6666666666666666 0.0 0.027778
0.5 0.8333333333333333 0.0 0.027778
0.6666666666666666 0.0 0.0 0.027778
0.6666666666666666 0.16666666666666666 0.0 0.027778
0.6666666666666666 0.3333333333333333 0.0 0.027778
0.6666666666666666 0.5 0.0 0.027778
0.6666666666666666 0.6666666666666666 0.0 0.027778
0.6666666666666666 0.8333333333333333 0.0 0.027778
0.8333333333333333 0.0 0.0 0.027778
0.8333333333333333 0.16666666666666666 0.0 0.027778
0.8333333333333333 0.3333333333333333 0.0 0.027778
0.8333333333333333 0.5 0.0 0.027778
0.8333333333333333 0.6666666666666666 0.0 0.027778
0.8333333333333333 0.8333333333333333 0.0 0.027778

CELL_PARAMETERS angstrom
3.937892234956 0.0 2e-16
2.709064521e-07 4.296534050139991 3e-16

```



0.0 0.0 22.7941391396

```

---                epw1.in ---
&inputepw
prefix = 'hEN'
amass(1) = 72.631
amass(2) = 78.971
outdir = './'
elph = .false.
epbwrite = .false.
epbwrite = .false.
epwwrite = .true.
epwread = .false.
etf_mem = 1
nbndsub = 14
use_ws = .true.
wannierize = .true.
num_iter = 1000
iprint = 2
dis_win_max = 9.469961751377484
dis_froz_max = -1.0784138077963008
fsthick = 1.2
temps = 1
degaussw = 0.005
dvscf_dir = './save'
nk1 = 6
nk2 = 6
nk3 = 1
nq1 = 1
nq2 = 1
nq3 = 1
system_2d = 'dipole_sp'
lpolar = .true.
dis_win_min = -18.111265292603935
wdata(1) = 'guiding_centres = T'
wdata(2) = 'dis_num_iter = 1500'
wdata(3) = 'bands_num_points = 100 '
wdata(4) = 'bands_plot = .true.'
wdata(5) = 'begin kpoint_path'
wdata(6) = 'G 0.0 0.0 0.0 M 0.5 0.0 0.0'
wdata(7) = 'M 0.5 0.0 0.0 K 0.3333333333 0.3333333333 0.0'
wdata(8) = 'K 0.3333333333 0.3333333333 0.0 X 1.0 1.0 0.0'
wdata(9) = 'X 1.0 1.0 0.0 M1 0.0 0.5 0.0'
wdata(10) = 'M1 0.0 0.5 0.0 G 0.0 0.0 0.0'
wdata(11) = 'end kpoint_path'
bands_skipped = 'exclude_bands = 1-24'
proj(1) = 'Ge: l= -4, mr= 4,5'
proj(2) = 'Se: l= -5, mr= 1,3,4,5,6'
dis_froz_min = -9.013416917271588
/

```

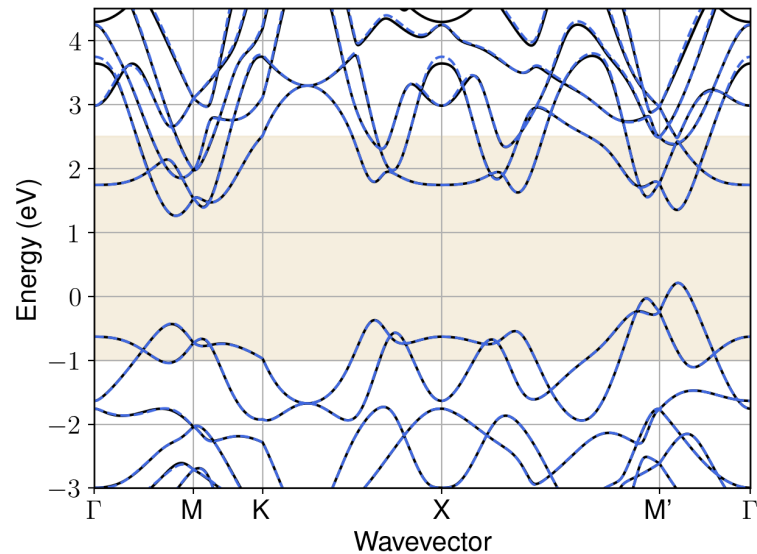


Figure S69: Bandstructure interpolation for monolayer  $\text{Ge}_2\text{Se}_2$ . Wannier-interpolation of the band structure of monolayer  $\text{Ge}_2\text{Se}_2$  over a wide energy range. Blue dashed lines are results from the present method, black solid lines are explicit DFT calculations. The yellow shaded region shows the range over which optimization has been performed. The interpolation error within the yellow region is 6 meV. The k-grid employed for NSCF calculation is  $6 \times 6$ .

## 58 Material: $\text{GeI}_2$

The calculation files are appended below. These files should be executed in the order provided. The location of pseudo potentials should be changed accordingly.

```

---          scf.in ---
&CONTROL
calculation = 'scf'
verbosity = 'high'
restart_mode = 'from_scratch'
outdir = './'
pseudo_dir = '/scratch1/05193/sabyadk/2D_materials_Wann/Materials/GeI2-165aacdb/pseudo/'
prefix = 'hBN'
/
&SYSTEM
ibrav = 0
nat = 3
ntyp = 2
ecutwfc = 60
ecutrho = 240
assume_isolated = 2D
/
&ELECTRONS
conv_thr = 1E-12
diagonalization = 'david'
electron_maxstep = 200
/
ATOMIC_SPECIES
Ge 72.631 Ge_r.upf
I 126.904 I_r.upf
ATOMIC_POSITIONS crystal
Ge 0.0 0.0 1e-12
I 0.6666666666666666 0.3333333333333333 0.080725154578
I 0.6666666666666666 0.3333333333333333 0.91927484542

```

```

K_POINTS automatic
6 6 1 0 0 0

CELL_PARAMETERS angstrom
4.1372123676 0.0 3e-16
-2.0686061838000387 3.5829310113001287 3e-16
0.0 0.0 23.8713139479

```

```

---                nscf.in ---
&CONTROL
calculation = bands
verbosity = 'high'
restart_mode = 'from_scratch'
outdir = './'
pseudo_dir = '/scratch1/05193/sabyadk/2D_materials_Wann/Materials/GeI2-165aacdb/pseudo/'
prefix = 'hBN'
/
&SYSTEM
ibrav = 0
nat = 3
ntyp = 2
ecutwfc = 60
ecutrho = 240
assume_isolated = 2D
nbnd = 60
/
&ELECTRONS
conv_thr = 1E-10
diagonalization = 'david'
electron_maxstep = 200
/
ATOMIC_SPECIES
Ge 72.631 Ge_r.upf
I 126.904 I_r.upf
ATOMIC_POSITIONS crystal
Ge 0.0 0.0 1e-12
I 0.6666666666666666 0.3333333333333333 0.080725154578
I 0.6666666666666666 0.3333333333333333 0.91927484542

K_POINTS crystal
36
0.0 0.0 0.0 0.027778
0.0 0.1666666666666666 0.0 0.027778
0.0 0.3333333333333333 0.0 0.027778
0.0 0.5 0.0 0.027778
0.0 0.6666666666666666 0.0 0.027778
0.0 0.8333333333333333 0.0 0.027778
0.1666666666666666 0.0 0.0 0.027778
0.1666666666666666 0.1666666666666666 0.0 0.027778
0.1666666666666666 0.3333333333333333 0.0 0.027778
0.1666666666666666 0.5 0.0 0.027778
0.1666666666666666 0.6666666666666666 0.0 0.027778
0.1666666666666666 0.8333333333333333 0.0 0.027778
0.3333333333333333 0.0 0.0 0.027778
0.3333333333333333 0.1666666666666666 0.0 0.027778
0.3333333333333333 0.3333333333333333 0.0 0.027778
0.3333333333333333 0.5 0.0 0.027778
0.3333333333333333 0.6666666666666666 0.0 0.027778
0.3333333333333333 0.8333333333333333 0.0 0.027778
0.5 0.0 0.0 0.027778
0.5 0.1666666666666666 0.0 0.027778
0.5 0.3333333333333333 0.0 0.027778
0.5 0.5 0.0 0.027778
0.5 0.6666666666666666 0.0 0.027778
0.5 0.8333333333333333 0.0 0.027778
0.6666666666666666 0.0 0.0 0.027778
0.6666666666666666 0.1666666666666666 0.0 0.027778
0.6666666666666666 0.3333333333333333 0.0 0.027778
0.6666666666666666 0.5 0.0 0.027778
0.6666666666666666 0.6666666666666666 0.0 0.027778
0.6666666666666666 0.8333333333333333 0.0 0.027778
0.8333333333333333 0.0 0.0 0.027778
0.8333333333333333 0.1666666666666666 0.0 0.027778
0.8333333333333333 0.3333333333333333 0.0 0.027778
0.8333333333333333 0.5 0.0 0.027778
0.8333333333333333 0.6666666666666666 0.0 0.027778
0.8333333333333333 0.8333333333333333 0.0 0.027778

CELL_PARAMETERS angstrom
4.1372123676 0.0 3e-16
-2.0686061838000387 3.5829310113001287 3e-16
0.0 0.0 23.8713139479

```

```

---                epw1.in ---
&inputepw
prefix = 'hBN'
amass(1) = 72.631
amass(2) = 126.904
outdir = './'
elph = .false.
epbwrite = .false.
epbread = .false.
epwwrite = .true.
epwread = .false.
etf_mem = 1
nbndsub = 13
use_ws = .true.
wannierize = .true.
num_iter = 1000
iprint = 2
dis_win_max = 8.825215684945356
dis_froz_max = -0.9590179848258167
fsthick = 1.2
temps = 1
degaussw = 0.005
dvscf_dir = './save'
nk1 = 6
nk2 = 6
nk3 = 1
nq1 = 1
nq2 = 1
nq3 = 1
system_2d = 'dipole_sp'
lpolar = .true.
dis_win_min = -25.366725030005004
wdata(1) = 'guiding_centres = T'
wdata(2) = 'dis_num_iter = 1500'
wdata(3) = 'bands_num_points = 100 '
wdata(4) = 'bands_plot = .true.'
wdata(5) = 'begin kpoint_path'
wdata(6) = 'G 0.0 0.0 0.0 M 0.5 0.0 0.0'
wdata(7) = 'M 0.5 0.0 0.0 K 0.3333333333 0.3333333333 0.0'
wdata(8) = 'K 0.3333333333 0.3333333333 0.0 X 1.0 1.0 0.0'
wdata(9) = 'X 1.0 1.0 0.0 M1 0.0 0.5 0.0'
wdata(10) = 'M1 0.0 0.5 0.0 G 0.0 0.0 0.0'
wdata(11) = 'end kpoint_path'
bands_skipped = 'exclude_bands = 1-8'
proj(1) = 'Ge: l= 3, mr= 2,3,6'
proj(2) = 'I: l= 3, mr= 3,4,5,6,7'
dis_froz_min = -12.729011815932441
/

```

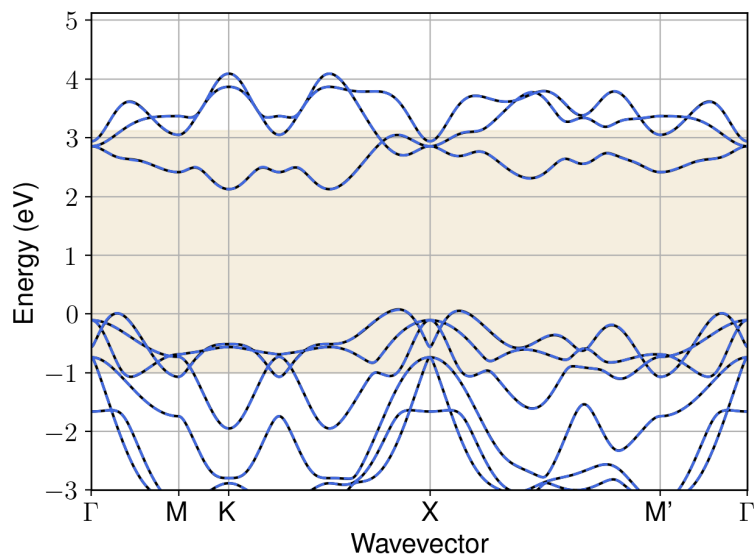


Figure S70: Bandstructure interpolation for monolayer GeI<sub>2</sub>. Wannier-interpolation of the band structure of monolayer GeI<sub>2</sub> over a wide energy range. Blue dashed lines are results from the present method, black solid lines are explicit DFT calculations. The yellow shaded region shows the range over which optimization has been performed. The interpolation error within the yellow region is 4 meV. The k-grid employed for NSCF calculation is 6×6.

## 59 Material: GeI<sub>2</sub>

The calculation files are appended below. These files should be executed in the order provided. The location of pseudo potentials should be changed accordingly.

```

---          scf.in ---
&CONTROL
calculation = 'scf'
verbosity = 'high'
restart_mode = 'from_scratch'
outdir = './'
pseudo_dir = '/scratch1/05193/sabyadk/2D_materials_Wann/Materials/GeI2-8bc200b4/pseudo/'
prefix = 'hBN'
/
&SYSTEM
ibrav = 0
nat = 3
ntyp = 2
ecutwfc = 60
ecutrho = 240
assume_isolated = 2D
/
&ELECTRONS
conv_thr = 1E-12
diagonalization = 'david'
electron_maxstep = 200
/
ATOMIC_SPECIES
Ge 72.631 Ge_r.upf
I 126.904 I_r.upf
ATOMIC_POSITIONS crystal
Ge 0.0 0.0 0.0
I 0.3333333333333333 0.6666666666666666 0.9250027312569999
I 0.6666666666666666 0.3333333333333333 0.074997268743

```

```

K_POINTS automatic
6 6 1 0 0 0

CELL_PARAMETERS angstrom
4.2630842615 0.0 3e-16
-2.13154213070011 3.691939268900228 3e-16
0.0 0.0 23.5470600462

```

```

---                nscf.in ---
&CONTROL
calculation = bands
verbosity = 'high'
restart_mode = 'from_scratch'
outdir = './'
pseudo_dir = '/scratch1/05193/sabyadk/2D_materials_Wann/Materials/GeI2-8bc200b4/pseudo/'
prefix = 'hBN'
/
&SYSTEM
ibrav = 0
nat = 3
ntyp = 2
ecutwfc = 60
ecutrho = 240
assume_isolated = 2D
nbnd = 60
/
&ELECTRONS
conv_thr = 1E-10
diagonalization = 'david'
electron_maxstep = 200
/
ATOMIC_SPECIES
Ge 72.631 Ge_r.upf
I 126.904 I_r.upf
ATOMIC_POSITIONS crystal
Ge 0.0 0.0 0.0
I 0.3333333333333333 0.6666666666666666 0.9250027312569999
I 0.6666666666666666 0.3333333333333333 0.074997268743

K_POINTS crystal
36
0.0 0.0 0.0 0.027778
0.0 0.1666666666666666 0.0 0.027778
0.0 0.3333333333333333 0.0 0.027778
0.0 0.5 0.0 0.027778
0.0 0.6666666666666666 0.0 0.027778
0.0 0.8333333333333333 0.0 0.027778
0.1666666666666666 0.0 0.0 0.027778
0.1666666666666666 0.1666666666666666 0.0 0.027778
0.1666666666666666 0.3333333333333333 0.0 0.027778
0.1666666666666666 0.5 0.0 0.027778
0.1666666666666666 0.6666666666666666 0.0 0.027778
0.1666666666666666 0.8333333333333333 0.0 0.027778
0.3333333333333333 0.0 0.0 0.027778
0.3333333333333333 0.1666666666666666 0.0 0.027778
0.3333333333333333 0.3333333333333333 0.0 0.027778
0.3333333333333333 0.5 0.0 0.027778
0.3333333333333333 0.6666666666666666 0.0 0.027778
0.3333333333333333 0.8333333333333333 0.0 0.027778
0.5 0.0 0.0 0.027778
0.5 0.1666666666666666 0.0 0.027778
0.5 0.3333333333333333 0.0 0.027778
0.5 0.5 0.0 0.027778
0.5 0.6666666666666666 0.0 0.027778
0.5 0.8333333333333333 0.0 0.027778
0.6666666666666666 0.0 0.0 0.027778
0.6666666666666666 0.1666666666666666 0.0 0.027778
0.6666666666666666 0.3333333333333333 0.0 0.027778
0.6666666666666666 0.5 0.0 0.027778
0.6666666666666666 0.6666666666666666 0.0 0.027778
0.6666666666666666 0.8333333333333333 0.0 0.027778
0.8333333333333333 0.0 0.0 0.027778
0.8333333333333333 0.1666666666666666 0.0 0.027778
0.8333333333333333 0.3333333333333333 0.0 0.027778
0.8333333333333333 0.5 0.0 0.027778
0.8333333333333333 0.6666666666666666 0.0 0.027778
0.8333333333333333 0.8333333333333333 0.0 0.027778

CELL_PARAMETERS angstrom
4.2630842615 0.0 3e-16
-2.13154213070011 3.691939268900228 3e-16
0.0 0.0 23.5470600462

```

```
---                epw1.in ---
&inputepw
prefix = 'hBN'
amass(1) = 72.631
amass(2) = 126.904
outdir = './'
elph = .false.
epbwrite = .false.
epbread = .false.
epwwrite = .true.
epwread = .false.
etf_mem = 1
nbndsub = 14
use_ws = .true.
wannierize = .true.
num_iter = 1000
iprint = 2
dis_win_max = 12.828566099897493
dis_froz_max = 0.7037945401331323
fsthick = 1.2
temps = 1
degaussw = 0.005
dvscf_dir = './save'
nk1 = 6
nk2 = 6
nk3 = 1
nq1 = 1
nq2 = 1
nq3 = 1
system_2d = 'dipole_sp'
lpolar = .true.
dis_win_min = -25.69145690259103
wdata(1) = 'guiding_centres = T'
wdata(2) = 'dis_num_iter = 1500'
wdata(3) = 'bands_num_points = 100 '
wdata(4) = 'bands_plot = .true.'
wdata(5) = 'begin kpoint_path'
wdata(6) = 'G 0.0 0.0 0.0 M 0.5 0.0 0.0'
wdata(7) = 'M 0.5 0.0 0.0 K 0.3333333333 0.3333333333 0.0'
wdata(8) = 'K 0.3333333333 0.3333333333 0.0 X 1.0 1.0 0.0'
wdata(9) = 'X 1.0 1.0 0.0 M1 0.0 0.5 0.0'
wdata(10) = 'M1 0.0 0.5 0.0 G 0.0 0.0 0.0'
wdata(11) = 'end kpoint_path'
bands_skipped = 'exclude_bands = 1-8'
proj(1) = 'Ge: l= 2, mr= 1,2,3,4'
proj(2) = 'I: l= 3, mr= 1,2,3,4,7'
dis_froz_min = -11.698747514955027
/
```

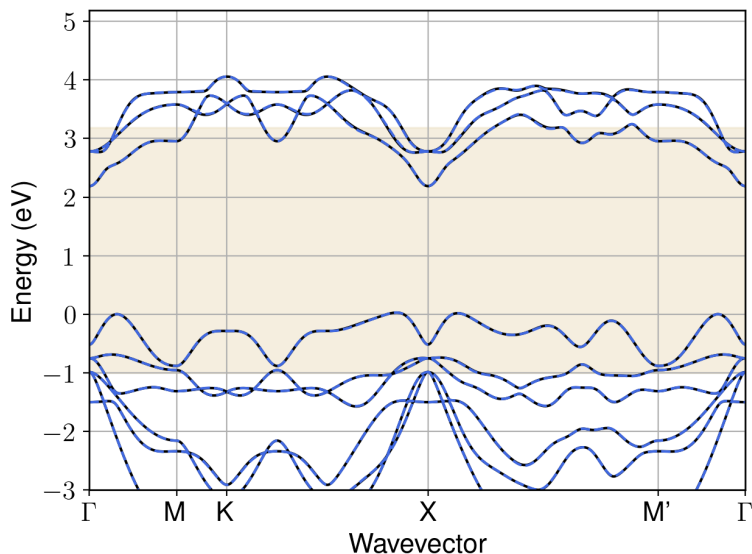


Figure S71: Bandstructure interpolation for monolayer  $\text{GeI}_2$ . Wannier-interpolation of the band structure of monolayer  $\text{GeI}_2$  over a wide energy range. Blue dashed lines are results from the present method, black solid lines are explicit DFT calculations. The yellow shaded region shows the range over which optimization has been performed. The interpolation error within the yellow region is 4 meV. The k-grid employed for NSCF calculation is  $6 \times 6$ .

## 60 Material: $\text{Hf}_2\text{N}_2\text{Cl}_2$

The calculation files are appended below. These files should be executed in the order provided. The location of pseudo potentials should be changed accordingly.

```

---          scf.in ---
&CONTROL
calculation = 'scf'
verbosity = 'high'
restart_mode = 'from_scratch'
outdir = './'
pseudo_dir = '/scratch1/05193/sabyadk/2D_materials_Wann/Materials/Hf2N2Cl2-0737014a/pseudo/'
prefix = 'hBN'
/
&SYSTEM
ibrav = 0
nat = 6
ntyp = 3
ecutwfc = 60
ecutrho = 240
occupations = 'smearing'
smearing = 'gaussian'
degauss = 0.1
/
&ELECTRONS
conv_thr = 1E-10
diagonalization = cg
electron_maxstep = 500
/
ATOMIC_SPECIES
Hf 178.49 Hf_r.upf
N 14.007 N_r.upf
Cl 35.453 Cl_r.upf
ATOMIC_POSITIONS crystal
Hf 0.3333333333333333 0.6666666666666666 0.049498303773

```



```

Hf 0.6666666666666666 0.3333333333333333 0.950501696225
N 0.3333333333333333 0.6666666666666666 0.967235456856
N 0.6666666666666666 0.3333333333333333 0.032764543146
Cl 0.999999999984 0.999999999968 0.881327421879
Cl 0.999999999984 0.999999999968 0.118672578123

K_POINTS automatic
6 6 1 0 0 0

CELL_PARAMETERS angstrom
3.5777572792 0.0 2e-16
-1.7888786395998226 3.0984286922996436 2e-16
0.0 0.0 26.2936528976

```

```

---                nscf.in ---
&CONTROL
calculation = bands
verbosity = 'high'
restart_mode = 'from_scratch'
outdir = './'
pseudo_dir = '/scratch1/05193/sabyadk/2D_materials_Wann/Materials/Hf2N2Cl2-0737014a/pseudo/'
prefix = 'hBN'
/
&SYSTEM
ibrav = 0
nat = 6
ntyp = 3
ecutwfc = 60
ecutrho = 240
occupations = 'smearing'
smearing = 'gaussian'
degauss = 0.1
nbnd = 60
/
&ELECTRONS
conv_thr = 1E-10
diagonalization = cg
electron_maxstep = 500
/
ATOMIC_SPECIES
Hf 178.49 Hf_r.upf
N 14.007 N_r.upf
Cl 35.453 Cl_r.upf
ATOMIC_POSITIONS crystal
Hf 0.3333333333333333 0.6666666666666666 0.049498303773
Hf 0.6666666666666666 0.3333333333333333 0.950501696225
N 0.3333333333333333 0.6666666666666666 0.967235456856
N 0.6666666666666666 0.3333333333333333 0.032764543146
Cl 0.999999999984 0.999999999968 0.881327421879
Cl 0.999999999984 0.999999999968 0.118672578123

K_POINTS crystal
36
0.0 0.0 0.0 0.027778
0.0 0.1666666666666666 0.0 0.027778
0.0 0.3333333333333333 0.0 0.027778
0.0 0.5 0.0 0.027778
0.0 0.6666666666666666 0.0 0.027778
0.0 0.8333333333333333 0.0 0.027778
0.1666666666666666 0.0 0.0 0.027778
0.1666666666666666 0.1666666666666666 0.0 0.027778
0.1666666666666666 0.3333333333333333 0.0 0.027778
0.1666666666666666 0.5 0.0 0.027778
0.1666666666666666 0.6666666666666666 0.0 0.027778
0.1666666666666666 0.8333333333333333 0.0 0.027778
0.3333333333333333 0.0 0.0 0.027778
0.3333333333333333 0.1666666666666666 0.0 0.027778
0.3333333333333333 0.3333333333333333 0.0 0.027778
0.3333333333333333 0.5 0.0 0.027778
0.3333333333333333 0.6666666666666666 0.0 0.027778
0.3333333333333333 0.8333333333333333 0.0 0.027778
0.5 0.0 0.0 0.027778
0.5 0.1666666666666666 0.0 0.027778
0.5 0.3333333333333333 0.0 0.027778
0.5 0.5 0.0 0.027778
0.5 0.6666666666666666 0.0 0.027778
0.5 0.8333333333333333 0.0 0.027778
0.6666666666666666 0.0 0.0 0.027778
0.6666666666666666 0.1666666666666666 0.0 0.027778
0.6666666666666666 0.3333333333333333 0.0 0.027778
0.6666666666666666 0.5 0.0 0.027778
0.6666666666666666 0.6666666666666666 0.0 0.027778
0.6666666666666666 0.8333333333333333 0.0 0.027778

```

```

0.8333333333333333 0.0 0.0 0.027778
0.8333333333333333 0.1666666666666666 0.0 0.027778
0.8333333333333333 0.3333333333333333 0.0 0.027778
0.8333333333333333 0.5 0.0 0.027778
0.8333333333333333 0.6666666666666666 0.0 0.027778
0.8333333333333333 0.8333333333333333 0.0 0.027778

CELL_PARAMETERS angstrom
3.5777572792 0.0 2e-16
-1.7888786395998226 3.0984286922996436 2e-16
0.0 0.0 26.2936528976

```

```

---                epw1.in ---
&inputepw
prefix = 'hEN'
amass(1) = 178.49
amass(2) = 14.007
amass(3) = 35.453
outdir = './'
elph = .false.
epbwrite = .false.
epbread = .false.
epwwrite = .true.
epwread = .false.
etf_mem = 1
nbndsub = 20
use_ws = .true.
wannierize = .true.
num_iter = 1000
iprint = 2
dis_win_max = 13.349379867894339
dis_froz_max = 3.7182091326430107
fsthick = 1.2
temps = 1
degaussw = 0.005
dvscf_dir = './save'
nk1 = 6
nk2 = 6
nk3 = 1
nq1 = 1
nq2 = 1
nq3 = 1
dis_win_min = -17.158157902610803
wdata(1) = 'guiding_centres = T'
wdata(2) = 'dis_num_iter = 1500'
wdata(3) = 'bands_num_points = 100 '
wdata(4) = 'bands_plot = .true.'
wdata(5) = 'begin kpoint_path'
wdata(6) = 'G 0.0 0.0 0.0 M 0.5 0.0 0.0'
wdata(7) = 'M 0.5 0.0 0.0 K 0.3333333333 0.3333333333 0.0'
wdata(8) = 'K 0.3333333333 0.3333333333 0.0 X 1.0 1.0 0.0'
wdata(9) = 'X 1.0 1.0 0.0 M1 0.0 0.5 0.0'
wdata(10) = 'M1 0.0 0.5 0.0 G 0.0 0.0 0.0'
wdata(11) = 'end kpoint_path'
bands_skipped = 'exclude_bands = 1-12'
proj(1) = 'Hf: l= -5, mr= 1,2,4,5'
proj(2) = 'N: l= 3, mr= 3,5,7'
proj(3) = 'Cl: l= 3, mr= 1,2,4'
dis_froz_min = -4.806527707678638
/

```

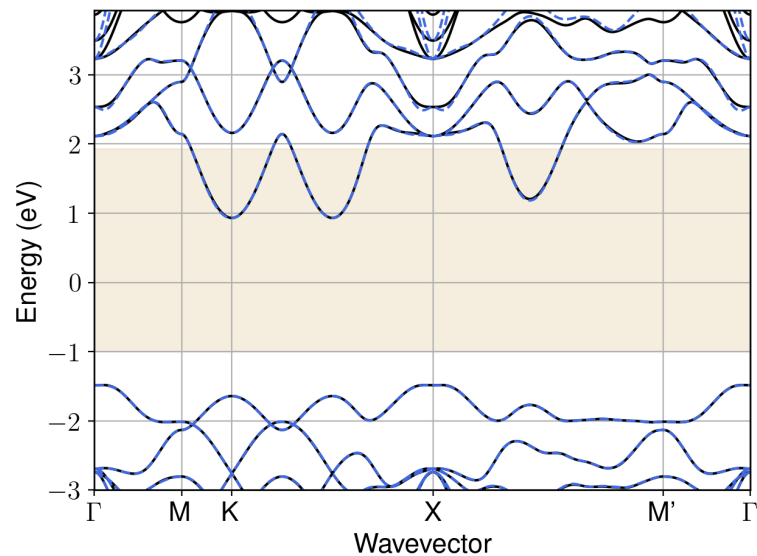


Figure S72: Bandstructure interpolation for monolayer  $\text{Hf}_2\text{N}_2\text{Cl}_2$ . Wannier-interpolation of the band structure of monolayer  $\text{Hf}_2\text{N}_2\text{Cl}_2$  over a wide energy range. Blue dashed lines are results from the present method, black solid lines are explicit DFT calculations. The yellow shaded region shows the range over which optimization has been performed. The interpolation error within the yellow region is 9 meV. The k-grid employed for NSCF calculation is  $6 \times 6$ .

## 61 Material: $\text{Hf}_2\text{N}_2\text{I}_2$

The calculation files are appended below. These files should be executed in the order provided. The location of pseudo potentials should be changed accordingly.

```

---          scf.in ---
&CONTROL
calculation = 'scf'
verbosity = 'high'
restart_mode = 'from_scratch'
outdir = './'
pseudo_dir = '/scratch1/05193/sabyadk/2D_materials_Wann/Materials/Hf2N2I2-b4a4766b/pseudo/'
prefix = 'hBN'
/
&SYSTEM
ibrav = 0
nat = 6
ntyp = 3
ecutwfc = 60
ecutrho = 240
occupations = 'smearing'
smearing = 'gaussian'
degauss = 0.1
/
&ELECTRONS
conv_thr = 1E-10
diagonalization = cg
electron_maxstep = 500
/
ATOMIC_SPECIES
Hf 178.49 Hf_r.upf
I 126.904 I_r.upf
N 14.007 N_r.upf
ATOMIC_POSITIONS crystal
Hf 0.6666666666666666 0.3333333333333333 0.046801715361

```

```

Hf 0.3333333333333333 0.6666666666666666 0.953198284639
I 4.3e-11 3.1e-11 0.128757882991
I 4.3e-11 3.1e-11 0.871242117005
N 0.6666666666666666 0.3333333333333333 0.967777779473
N 0.3333333333333333 0.6666666666666666 0.03222222053

K_POINTS automatic
6 6 1 0 0 0

CELL_PARAMETERS angstrom
3.6980850072 0.0 2e-16
-1.8490425037999993 3.2026355615999513 2e-16
0.0 0.0 27.0141502904

```

```

---                nscf.in ---
&CONTROL
calculation = bands
verbosity = 'high'
restart_mode = 'from_scratch'
outdir = './'
pseudo_dir = '/scratch1/05193/sabyadk/2D_materials_Wann/Materials/Hf2N2I2-b4a4766b/pseudo/'
prefix = 'hBN'
/
&SYSTEM
ibrav = 0
nat = 6
ntyp = 3
ecutwfc = 60
ecutrho = 240
occupations = 'smearing'
smearing = 'gaussian'
degauss = 0.1
nbnd = 60
/
&ELECTRONS
conv_thr = 1E-10
diagonalization = cg
electron_maxstep = 500
/
ATOMIC_SPECIES
Hf 178.49 Hf_r.upf
I 126.904 I_r.upf
N 14.007 N_r.upf
ATOMIC_POSITIONS crystal
Hf 0.6666666666666666 0.3333333333333333 0.046801715361
Hf 0.3333333333333333 0.6666666666666666 0.953198284639
I 4.3e-11 3.1e-11 0.128757882991
I 4.3e-11 3.1e-11 0.871242117005
N 0.6666666666666666 0.3333333333333333 0.967777779473
N 0.3333333333333333 0.6666666666666666 0.03222222053

K_POINTS crystal
36
0.0 0.0 0.0 0.027778
0.0 0.1666666666666666 0.0 0.027778
0.0 0.3333333333333333 0.0 0.027778
0.0 0.5 0.0 0.027778
0.0 0.6666666666666666 0.0 0.027778
0.0 0.8333333333333333 0.0 0.027778
0.1666666666666666 0.0 0.0 0.027778
0.1666666666666666 0.1666666666666666 0.0 0.027778
0.1666666666666666 0.3333333333333333 0.0 0.027778
0.1666666666666666 0.5 0.0 0.027778
0.1666666666666666 0.6666666666666666 0.0 0.027778
0.1666666666666666 0.8333333333333333 0.0 0.027778
0.3333333333333333 0.0 0.0 0.027778
0.3333333333333333 0.1666666666666666 0.0 0.027778
0.3333333333333333 0.3333333333333333 0.0 0.027778
0.3333333333333333 0.5 0.0 0.027778
0.3333333333333333 0.6666666666666666 0.0 0.027778
0.3333333333333333 0.8333333333333333 0.0 0.027778
0.5 0.0 0.0 0.027778
0.5 0.1666666666666666 0.0 0.027778
0.5 0.3333333333333333 0.0 0.027778
0.5 0.5 0.0 0.027778
0.5 0.6666666666666666 0.0 0.027778
0.5 0.8333333333333333 0.0 0.027778
0.6666666666666666 0.0 0.0 0.027778
0.6666666666666666 0.1666666666666666 0.0 0.027778
0.6666666666666666 0.3333333333333333 0.0 0.027778
0.6666666666666666 0.5 0.0 0.027778
0.6666666666666666 0.6666666666666666 0.0 0.027778
0.6666666666666666 0.8333333333333333 0.0 0.027778

```

```

0.8333333333333333 0.0 0.0 0.027778
0.8333333333333333 0.1666666666666666 0.0 0.027778
0.8333333333333333 0.3333333333333333 0.0 0.027778
0.8333333333333333 0.5 0.0 0.027778
0.8333333333333333 0.6666666666666666 0.0 0.027778
0.8333333333333333 0.8333333333333333 0.0 0.027778

CELL_PARAMETERS angstrom
3.6980850072 0.0 2e-16
-1.8490425037999993 3.2026355615999513 2e-16
0.0 0.0 27.0141502904

```

```

---                epw1.in ---
&inputepw
prefix = 'hEN'
amass(1) = 178.49
amass(2) = 126.904
amass(3) = 14.007
outdir = './'
elph = .false.
epbwrite = .false.
epbread = .false.
epwwrite = .true.
epwread = .false.
etf_mem = 1
nbndsub = 20
use_ws = .true.
wannierize = .true.
num_iter = 1000
iprint = 2
dis_win_max = 20.142832430190083
dis_froz_max = 4.25954397744365
fsthick = 1.2
temps = 1
degaussw = 0.005
dvscf_dir = './save'
nk1 = 6
nk2 = 6
nk3 = 1
nq1 = 1
nq2 = 1
nq3 = 1
dis_win_min = -12.749111248402933
wdata(1) = 'guiding_centres = T'
wdata(2) = 'dis_num_iter = 1500'
wdata(3) = 'bands_num_points = 100 '
wdata(4) = 'bands_plot = .true.'
wdata(5) = 'begin kpoint_path'
wdata(6) = 'G 0.0 0.0 0.0 M 0.5 0.0 0.0'
wdata(7) = 'M 0.5 0.0 0.0 K 0.3333333333 0.3333333333 0.0'
wdata(8) = 'K 0.3333333333 0.3333333333 0.0 X 1.0 1.0 0.0'
wdata(9) = 'X 1.0 1.0 0.0 M1 0.0 0.5 0.0'
wdata(10) = 'M1 0.0 0.5 0.0 G 0.0 0.0 0.0'
wdata(11) = 'end kpoint_path'
bands_skipped = 'exclude_bands = 1-12'
proj(1) = 'Hf: l= -4, mr= 1,2,3,4'
proj(2) = 'I: l= 3, mr= 1,2,3'
proj(3) = 'N: l= 3, mr= 4,5,6'
dis_froz_min = -7.769431306202209
/

```

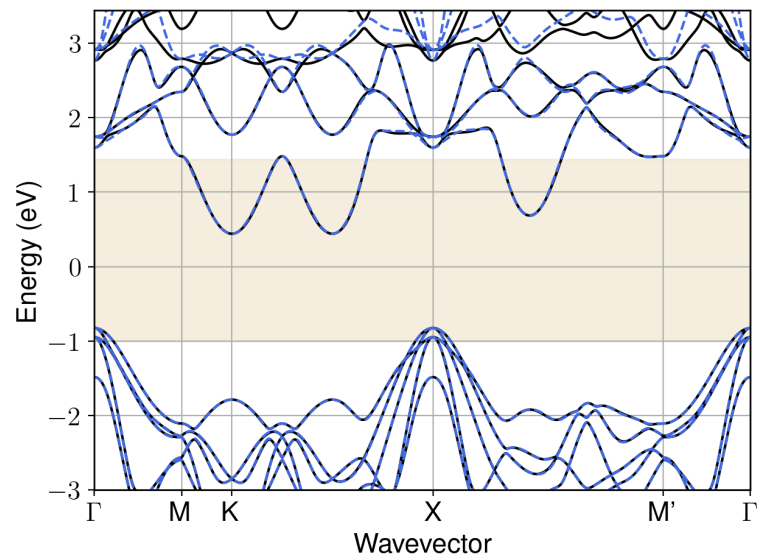


Figure S73: Bandstructure interpolation for monolayer  $\text{Hf}_2\text{N}_2\text{I}_2$ . Wannier-interpolation of the band structure of monolayer  $\text{Hf}_2\text{N}_2\text{I}_2$  over a wide energy range. Blue dashed lines are results from the present method, black solid lines are explicit DFT calculations. The yellow shaded region shows the range over which optimization has been performed. The interpolation error within the yellow region is 9 meV. The k-grid employed for NSCF calculation is  $6 \times 6$ .

## 62 Material: $\text{Hf}_3\text{Te}_2$

The calculation files are appended below. These files should be executed in the order provided. The location of pseudo potentials should be changed accordingly.

```

---          scf.in ---
&CONTROL
calculation = 'scf'
verbosity = 'high'
restart_mode = 'from_scratch'
outdir = './'
pseudo_dir = '/scratch1/05193/sabyadk/2D_materials_Wann/Materials/Hf3Te2-42aa6bd8/pseudo/'
prefix = 'hBN'
/
&SYSTEM
ibrav = 0
nat = 5
ntyp = 2
ecutwfc = 60
ecutrho = 240
occupations = 'smearing'
smearing = 'gaussian'
degauss = 0.1
/
&ELECTRONS
conv_thr = 1E-10
diagonalization = cg
electron_maxstep = 500
/
ATOMIC_SPECIES
Hf 178.49 Hf_r.upf
Te 126.7 Te_r.upf
ATOMIC_POSITIONS crystal
Hf 0.5000000000014 0.5000000000014 0.934788747224
Hf 0.5000000000014 0.5000000000014 0.065211252774

```

```

Hf 0.0 0.0 1e-12
Te 0.0 0.0 0.882700876319
Te 0.0 0.0 0.117299123683

K_POINTS automatic
6 6 1 0 0 0

CELL_PARAMETERS angstrom
3.703706750801 0.0 2e-16
-2e-16 3.703706750801 2e-16
0.0 0.0 26.0297397864

```

```

---                nscf.in ---
&CONTROL
calculation = bands
verbosity = 'high'
restart_mode = 'from_scratch'
outdir = './'
pseudo_dir = '/scratch1/05193/sabyadk/2D_materials_Wann/Materials/Hf3Te2-42aa6bd8/pseudo/'
prefix = 'hBN'
/
&SYSTEM
ibrav = 0
nat = 5
ntyp = 2
ecutwfc = 60
ecutrho = 240
occupations = 'smearing'
smearing = 'gaussian'
degauss = 0.1
nbnd = 60
/
&ELECTRONS
conv_thr = 1E-10
diagonalization = cg
electron_maxstep = 500
/
ATOMIC_SPECIES
Hf 178.49 Hf_r.upf
Te 126.7 Te_r.upf
ATOMIC_POSITIONS crystal
Hf 0.500000000014 0.500000000014 0.934788747224
Hf 0.500000000014 0.500000000014 0.065211252774
Hf 0.0 0.0 1e-12
Te 0.0 0.0 0.882700876319
Te 0.0 0.0 0.117299123683

K_POINTS crystal
36
0.0 0.0 0.0 0.027778
0.0 0.16666666666666666 0.0 0.027778
0.0 0.33333333333333333 0.0 0.027778
0.0 0.5 0.0 0.027778
0.0 0.66666666666666666 0.0 0.027778
0.0 0.83333333333333333 0.0 0.027778
0.16666666666666666 0.0 0.0 0.027778
0.16666666666666666 0.16666666666666666 0.0 0.027778
0.16666666666666666 0.33333333333333333 0.0 0.027778
0.16666666666666666 0.5 0.0 0.027778
0.16666666666666666 0.66666666666666666 0.0 0.027778
0.16666666666666666 0.83333333333333333 0.0 0.027778
0.33333333333333333 0.0 0.0 0.027778
0.33333333333333333 0.16666666666666666 0.0 0.027778
0.33333333333333333 0.33333333333333333 0.0 0.027778
0.33333333333333333 0.5 0.0 0.027778
0.33333333333333333 0.66666666666666666 0.0 0.027778
0.33333333333333333 0.83333333333333333 0.0 0.027778
0.5 0.0 0.0 0.027778
0.5 0.16666666666666666 0.0 0.027778
0.5 0.33333333333333333 0.0 0.027778
0.5 0.5 0.0 0.027778
0.5 0.66666666666666666 0.0 0.027778
0.5 0.83333333333333333 0.0 0.027778
0.66666666666666666 0.0 0.0 0.027778
0.66666666666666666 0.16666666666666666 0.0 0.027778
0.66666666666666666 0.33333333333333333 0.0 0.027778
0.66666666666666666 0.5 0.0 0.027778
0.66666666666666666 0.66666666666666666 0.0 0.027778
0.66666666666666666 0.83333333333333333 0.0 0.027778
0.83333333333333333 0.0 0.0 0.027778
0.83333333333333333 0.16666666666666666 0.0 0.027778
0.83333333333333333 0.33333333333333333 0.0 0.027778
0.83333333333333333 0.5 0.0 0.027778

```

```

0.8333333333333333 0.6666666666666666 0.0 0.027778
0.8333333333333333 0.8333333333333333 0.0 0.027778

CELL_PARAMETERS angstrom
3.703706750801 0.0 2e-16
-2e-16 3.703706750801 2e-16
0.0 0.0 26.0297397864

```

```

---                epw1.in ---
&inputepw
prefix = 'hBN'
amass(1) = 178.49
amass(2) = 126.7
outdir = './'
elph = .false.
epbwrite = .false.
epbread = .false.
epwrite = .true.
epwread = .false.
etf_mem = 1
nbndsub = 23
use_ws = .true.
wannierize = .true.
num_iter = 1000
iprint = 2
dis_win_max = 25.97445972956798
dis_froz_max = 4.391721370568359
fsthick = 1.2
temps = 1
degaussw = 0.005
dvscf_dir = './save'
nk1 = 6
nk2 = 6
nk3 = 1
nq1 = 1
nq2 = 1
nq3 = 1
dis_win_min = -13.207883587781643
wdata(1) = 'guiding_centres = T'
wdata(2) = 'dis_num_iter = 1500'
wdata(3) = 'bands_num_points = 100 '
wdata(4) = 'bands_plot = .true.'
wdata(5) = 'begin kpoint_path'
wdata(6) = 'G 0.0 0.0 0.0 M 0.5 0.0 0.0'
wdata(7) = 'M 0.5 0.0 0.0 K 0.3333333333 0.3333333333 0.0'
wdata(8) = 'K 0.3333333333 0.3333333333 0.0 X 1.0 1.0 0.0'
wdata(9) = 'X 1.0 1.0 0.0 M1 0.0 0.5 0.0'
wdata(10) = 'M1 0.0 0.5 0.0 G 0.0 0.0 0.0'
wdata(11) = 'end kpoint_path'
bands_skipped = 'exclude_bands = 1-14'
proj(1) = 'Hf: l= -5, mr= 1,2,3,4,5'
proj(2) = 'Te: l= 3, mr= 1,2,4,6'
dis_froz_min = -8.291229112731813
/

```



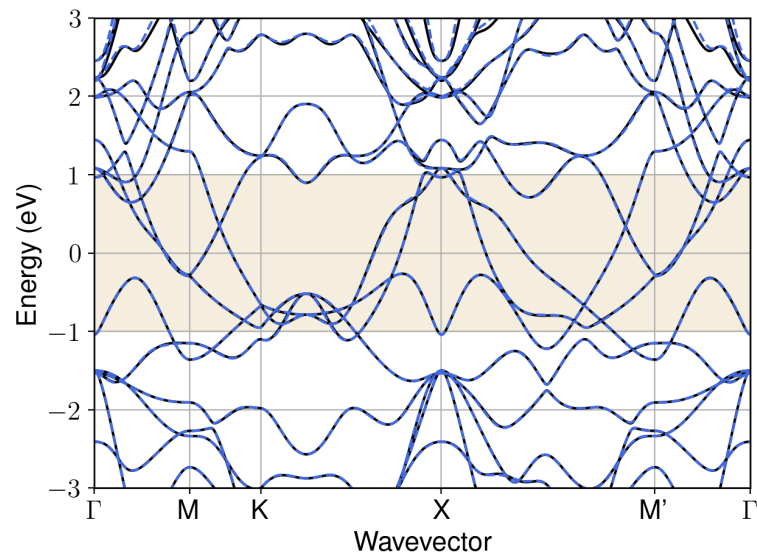


Figure S74: Bandstructure interpolation for monolayer  $\text{Hf}_3\text{Te}_2$ . Wannier-interpolation of the band structure of monolayer  $\text{Hf}_3\text{Te}_2$  over a wide energy range. Blue dashed lines are results from the present method, black solid lines are explicit DFT calculations. The yellow shaded region shows the range over which optimization has been performed. The interpolation error within the yellow region is 6 meV. The k-grid employed for NSCF calculation is  $6 \times 6$ .

### 63 Material: $\text{HfS}_2$

The calculation files are appended below. These files should be executed in the order provided. The location of pseudo potentials should be changed accordingly.

```

---          scf.in ---
&CONTROL
calculation = 'scf'
verbosity = 'high'
restart_mode = 'from_scratch'
outdir = './'
pseudo_dir = '/scratch1/05193/sabyadk/2D_materials_Wann/Materials/HfS2-c007475c/pseudo/'
prefix = 'hBN'
/
&SYSTEM
ibrav = 0
nat = 3
ntyp = 2
ecutwfc = 60
ecutrho = 240
occupations = 'smearing'
smearing = 'gaussian'
degauss = 0.1
/
&ELECTRONS
conv_thr = 1E-10
diagonalization = cg
electron_maxstep = 500
/
ATOMIC_SPECIES
Hf 178.49 Hf_r.upf
S 32.066 S_r.upf
ATOMIC_POSITIONS crystal
Hf 0.0 0.0 0.0
S 0.3333333333333333 0.6666666666666666 0.936517352887

```

```
S 0.6666666666666666 0.3333333333333333 0.063482647113
```

```
K_POINTS automatic
6 6 1 0 0 0
```

```
CELL_PARAMETERS angstrom
3.6296494405 0.0 2e-16
-1.8148247205000323 3.1433686225001 2e-16
0.0 0.0 22.9029363442
```

```
--- nscf.in ---
&CONTROL
calculation = bands
verbosity = 'high'
restart_mode = 'from_scratch'
outdir = './'
pseudo_dir = '/scratch1/05193/sabyadk/2D_materials_Wann/Materials/HfS2-c007475c/pseudo/'
prefix = 'hBN'
/
&SYSTEM
ibrav = 0
nat = 3
ntyp = 2
ecutwfc = 60
ecutrho = 240
occupations = 'smearing'
smearing = 'gaussian'
degauss = 0.1
nbnd = 60
/
&ELECTRONS
conv_thr = 1E-10
diagonalization = cg
electron_maxstep = 500
/
ATOMIC_SPECIES
Hf 178.49 Hf_r.upf
S 32.066 S_r.upf
ATOMIC_POSITIONS crystal
Hf 0.0 0.0 0.0
S 0.3333333333333333 0.6666666666666666 0.936517352887
S 0.6666666666666666 0.3333333333333333 0.063482647113

K_POINTS crystal
36
0.0 0.0 0.0 0.027778
0.0 0.1666666666666666 0.0 0.027778
0.0 0.3333333333333333 0.0 0.027778
0.0 0.5 0.0 0.027778
0.0 0.6666666666666666 0.0 0.027778
0.0 0.8333333333333333 0.0 0.027778
0.1666666666666666 0.0 0.0 0.027778
0.1666666666666666 0.1666666666666666 0.0 0.027778
0.1666666666666666 0.3333333333333333 0.0 0.027778
0.1666666666666666 0.5 0.0 0.027778
0.1666666666666666 0.6666666666666666 0.0 0.027778
0.1666666666666666 0.8333333333333333 0.0 0.027778
0.3333333333333333 0.0 0.0 0.027778
0.3333333333333333 0.1666666666666666 0.0 0.027778
0.3333333333333333 0.3333333333333333 0.0 0.027778
0.3333333333333333 0.5 0.0 0.027778
0.3333333333333333 0.6666666666666666 0.0 0.027778
0.3333333333333333 0.8333333333333333 0.0 0.027778
0.5 0.0 0.0 0.027778
0.5 0.1666666666666666 0.0 0.027778
0.5 0.3333333333333333 0.0 0.027778
0.5 0.5 0.0 0.027778
0.5 0.6666666666666666 0.0 0.027778
0.5 0.8333333333333333 0.0 0.027778
0.6666666666666666 0.0 0.0 0.027778
0.6666666666666666 0.1666666666666666 0.0 0.027778
0.6666666666666666 0.3333333333333333 0.0 0.027778
0.6666666666666666 0.5 0.0 0.027778
0.6666666666666666 0.6666666666666666 0.0 0.027778
0.6666666666666666 0.8333333333333333 0.0 0.027778
0.8333333333333333 0.0 0.0 0.027778
0.8333333333333333 0.1666666666666666 0.0 0.027778
0.8333333333333333 0.3333333333333333 0.0 0.027778
0.8333333333333333 0.5 0.0 0.027778
0.8333333333333333 0.6666666666666666 0.0 0.027778
0.8333333333333333 0.8333333333333333 0.0 0.027778

CELL_PARAMETERS angstrom
```

```

3.6296494405 0.0 2e-16
-1.8148247205000323 3.1433686225001 2e-16
0.0 0.0 22.9029363442

```

```

---                epw1.in ---
&inputepw
prefix = 'hBN'
amass(1) = 178.49
amass(2) = 32.066
outdir = './'
elph = .false.
epbwrite = .false.
epbread = .false.
epwwrite = .true.
epwread = .false.
etf_mem = 1
nbndsub = 9
use_ws = .true.
wannierize = .true.
num_iter = 1000
iprint = 2
dis_win_max = 19.784287818043936
dis_froz_max = 1.2132285313215396
fsthick = 1.2
temps = 1
degaussw = 0.005
dvscf_dir = './save'
nk1 = 6
nk2 = 6
nk3 = 1
nq1 = 1
nq2 = 1
nq3 = 1
dis_win_min = -15.593438297921956
wdata(1) = 'guiding_centres = T'
wdata(2) = 'dis_num_iter = 1500'
wdata(3) = 'bands_num_points = 100 '
wdata(4) = 'bands_plot = .true.'
wdata(5) = 'begin kpoint_path'
wdata(6) = 'G 0.0 0.0 0.0 M 0.5 0.0 0.0'
wdata(7) = 'M 0.5 0.0 0.0 K 0.3333333333 0.3333333333 0.0'
wdata(8) = 'K 0.3333333333 0.3333333333 0.0 X 1.0 1.0 0.0'
wdata(9) = 'X 1.0 1.0 0.0 M1 0.0 0.5 0.0'
wdata(10) = 'M1 0.0 0.5 0.0 G 0.0 0.0 0.0'
wdata(11) = 'end kpoint_path'
bands_skipped = 'exclude_bands = 1-6'
proj(1) = 'Hf: l= -5, mr= 6'
proj(2) = 'S: l= 3, mr= 1,3,6,7'
dis_froz_min = -10.640183063466983
/

```

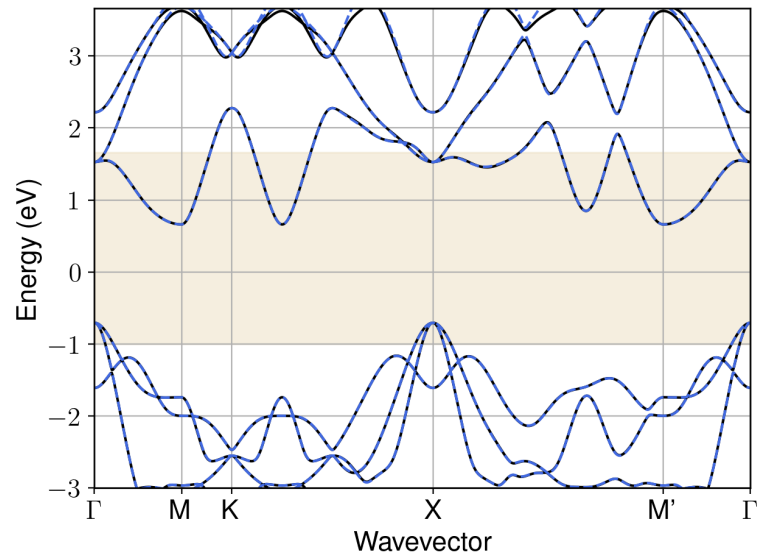


Figure S75: Bandstructure interpolation for monolayer  $\text{HfS}_2$ . Wannier-interpolation of the band structure of monolayer  $\text{HfS}_2$  over a wide energy range. Blue dashed lines are results from the present method, black solid lines are explicit DFT calculations. The yellow shaded region shows the range over which optimization has been performed. The interpolation error within the yellow region is 4 meV. The k-grid employed for NSCF calculation is  $6 \times 6$ .

## 64 Material: $\text{HfSe}_2$

The calculation files are appended below. These files should be executed in the order provided. The location of pseudo potentials should be changed accordingly.

```

---          scf.in ---
&CONTROL
calculation = 'scf'
verbosity = 'high'
restart_mode = 'from_scratch'
outdir = './'
pseudo_dir = '/scratch1/05193/sabyadk/2D_materials_Wann/Materials/HfSe2-52dbe490/pseudo/'
prefix = 'hBN'
/
&SYSTEM
ibrav = 0
nat = 3
ntyp = 2
ecutwfc = 60
ecutrho = 240
occupations = 'smearing'
smearing = 'gaussian'
degauss = 0.1
/
&ELECTRONS
conv_thr = 1E-10
diagonalization = cg
electron_maxstep = 500
/
ATOMIC_SPECIES
Hf 178.49 Hf_r.upf
Se 78.971 Se_r.upf
ATOMIC_POSITIONS crystal
Hf 0.0 0.0 0.999999999999
Se 0.6666666666666666 0.3333333333333333 0.067908518326

```

```
Se 0.3333333333333333 0.6666666666666666 0.932091481675
```

```
K_POINTS automatic
6 6 1 0 0 0
```

```
CELL_PARAMETERS angstrom
3.763956683 0.0 2e-16
-1.8819783413998366 3.259682106299671 2e-16
0.0 0.0 23.1713329631
```

```
--- nscf.in ---
&CONTROL
calculation = bands
verbosity = 'high'
restart_mode = 'from_scratch'
outdir = './'
pseudo_dir = '/scratch1/05193/sabyadk/2D_materials_Wann/Materials/HfSe2-52db490/pseudo/'
prefix = 'hBN'
/
&SYSTEM
ibrav = 0
nat = 3
ntyp = 2
ecutwfc = 60
ecutrho = 240
occupations = 'smearing'
smearing = 'gaussian'
degauss = 0.1
nbnd = 60
/
&ELECTRONS
conv_thr = 1E-10
diagonalization = cg
electron_maxstep = 500
/
ATOMIC_SPECIES
Hf 178.49 Hf_r.upf
Se 78.971 Se_r.upf
ATOMIC_POSITIONS crystal
Hf 0.0 0.0 0.999999999999
Se 0.6666666666666666 0.3333333333333333 0.067908518326
Se 0.3333333333333333 0.6666666666666666 0.932091481675

K_POINTS crystal
36
0.0 0.0 0.0 0.027778
0.0 0.1666666666666666 0.0 0.027778
0.0 0.3333333333333333 0.0 0.027778
0.0 0.5 0.0 0.027778
0.0 0.6666666666666666 0.0 0.027778
0.0 0.8333333333333333 0.0 0.027778
0.1666666666666666 0.0 0.0 0.027778
0.1666666666666666 0.1666666666666666 0.0 0.027778
0.1666666666666666 0.3333333333333333 0.0 0.027778
0.1666666666666666 0.5 0.0 0.027778
0.1666666666666666 0.6666666666666666 0.0 0.027778
0.1666666666666666 0.8333333333333333 0.0 0.027778
0.3333333333333333 0.0 0.0 0.027778
0.3333333333333333 0.1666666666666666 0.0 0.027778
0.3333333333333333 0.3333333333333333 0.0 0.027778
0.3333333333333333 0.5 0.0 0.027778
0.3333333333333333 0.6666666666666666 0.0 0.027778
0.3333333333333333 0.8333333333333333 0.0 0.027778
0.5 0.0 0.0 0.027778
0.5 0.1666666666666666 0.0 0.027778
0.5 0.3333333333333333 0.0 0.027778
0.5 0.5 0.0 0.027778
0.5 0.6666666666666666 0.0 0.027778
0.5 0.8333333333333333 0.0 0.027778
0.6666666666666666 0.0 0.0 0.027778
0.6666666666666666 0.1666666666666666 0.0 0.027778
0.6666666666666666 0.3333333333333333 0.0 0.027778
0.6666666666666666 0.5 0.0 0.027778
0.6666666666666666 0.6666666666666666 0.0 0.027778
0.6666666666666666 0.8333333333333333 0.0 0.027778
0.8333333333333333 0.0 0.0 0.027778
0.8333333333333333 0.1666666666666666 0.0 0.027778
0.8333333333333333 0.3333333333333333 0.0 0.027778
0.8333333333333333 0.5 0.0 0.027778
0.8333333333333333 0.6666666666666666 0.0 0.027778
0.8333333333333333 0.8333333333333333 0.0 0.027778

CELL_PARAMETERS angstrom
```

```

3.763956683 0.0 2e-16
-1.8819783413998366 3.259682106299671 2e-16
0.0 0.0 23.1713329631

```

```

---                epw1.in ---
&inputepw
prefix = 'hBN'
amass(1) = 178.49
amass(2) = 78.971
outdir = './'
elph = .false.
epbwrite = .false.
epbread = .false.
epwwrite = .true.
epwread = .false.
etf_mem = 1
nbndsub = 14
use_ws = .true.
wannierize = .true.
num_iter = 1000
iprint = 2
dis_win_max = 13.81028808341227
dis_froz_max = 0.1375242222306623
fsthick = 1.2
temps = 1
degaussw = 0.005
dvscf_dir = './save'
nk1 = 6
nk2 = 6
nk3 = 1
nq1 = 1
nq2 = 1
nq3 = 1
dis_win_min = -13.049535700547985
wdata(1) = 'guiding_centres = T'
wdata(2) = 'dis_num_iter = 1500'
wdata(3) = 'bands_num_points = 100 '
wdata(4) = 'bands_plot = .true.'
wdata(5) = 'begin kpoint_path'
wdata(6) = 'G 0.0 0.0 0.0 M 0.5 0.0 0.0'
wdata(7) = 'M 0.5 0.0 0.0 K 0.3333333333 0.3333333333 0.0'
wdata(8) = 'K 0.3333333333 0.3333333333 0.0 X 1.0 1.0 0.0'
wdata(9) = 'X 1.0 1.0 0.0 M1 0.0 0.5 0.0'
wdata(10) = 'M1 0.0 0.5 0.0 G 0.0 0.0 0.0'
wdata(11) = 'end kpoint_path'
bands_skipped = 'exclude_bands = 1-6'
proj(1) = 'Hf: l= 3, mr= 1,2,3,4'
proj(2) = 'Se: l= 3, mr= 2,4,5,6,7'
dis_froz_min = -6.818576966723692
/

```

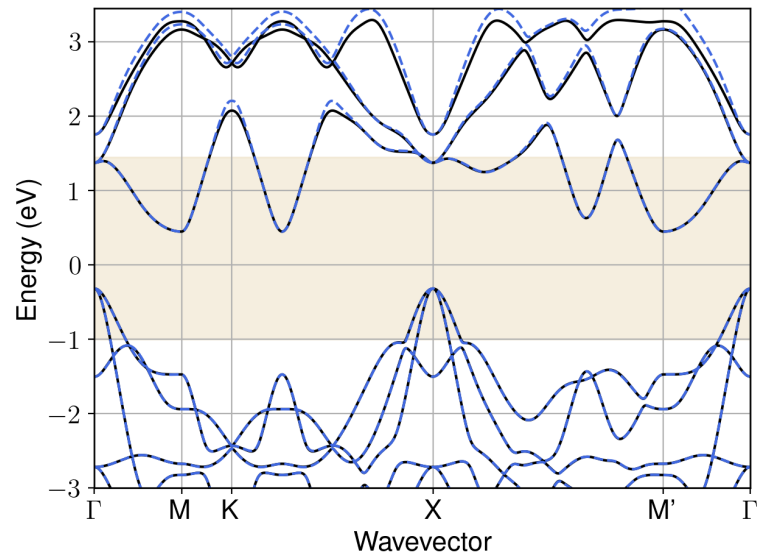


Figure S76: Bandstructure interpolation for monolayer HfSe<sub>2</sub>. Wannier-interpolation of the band structure of monolayer HfSe<sub>2</sub> over a wide energy range. Blue dashed lines are results from the present method, black solid lines are explicit DFT calculations. The yellow shaded region shows the range over which optimization has been performed. The interpolation error within the yellow region is 3 meV. The k-grid employed for NSCF calculation is 6×6.

## 65 Material: HfTe<sub>2</sub>

The calculation files are appended below. These files should be executed in the order provided. The location of pseudo potentials should be changed accordingly.

```

---          scf.in ---
&CONTROL
calculation = 'scf'
verbosity = 'high'
restart_mode = 'from_scratch'
outdir = './'
pseudo_dir = '/scratch1/05193/sabyadk/2D_materials_Wann/Materials/HfTe2-d66f357b/pseudo/'
prefix = 'hBN'
/
&SYSTEM
ibrav = 0
nat = 3
ntyp = 2
ecutwfc = 60
ecutrho = 240
occupations = 'smearing'
smearing = 'gaussian'
degauss = 0.1
/
&ELECTRONS
conv_thr = 1E-10
diagonalization = cg
electron_maxstep = 500
/
ATOMIC_SPECIES
Hf 178.49 Hf_r.upf
Te 126.7 Te_r.upf
ATOMIC_POSITIONS crystal
Hf 0.0 0.0 0.999999999997
Te 0.6666666666666666 0.3333333333333333 0.92483504749

```

```

Te 0.3333333333333333 0.6666666666666666 0.075164952512

K_POINTS automatic
6 6 1 0 0 0

CELL_PARAMETERS angstrom
3.970299106 0.0 2e-16
-1.985149553100055 3.438379886400139 2e-16
0.0 0.0 23.5627240068

```

```

---                nscf.in ---
&CONTROL
calculation = bands
verbosity = 'high'
restart_mode = 'from_scratch'
outdir = './'
pseudo_dir = '/scratch1/05193/sabyadk/2D_materials_Wann/Materials/HfTe2-d66f357b/pseudo/'
prefix = 'hBN'
/
&SYSTEM
ibrav = 0
nat = 3
ntyp = 2
ecutwfc = 60
ecutrho = 240
occupations = 'smearing'
smearing = 'gaussian'
degauss = 0.1
nbnd = 60
/
&ELECTRONS
conv_thr = 1E-10
diagonalization = cg
electron_maxstep = 500
/
ATOMIC_SPECIES
Hf 178.49 Hf_r.upf
Te 126.7 Te_r.upf
ATOMIC_POSITIONS crystal
Hf 0.0 0.0 0.999999999999
Te 0.6666666666666666 0.3333333333333333 0.92483504749
Te 0.3333333333333333 0.6666666666666666 0.075164952512

K_POINTS crystal
36
0.0 0.0 0.0 0.027778
0.0 0.1666666666666666 0.0 0.027778
0.0 0.3333333333333333 0.0 0.027778
0.0 0.5 0.0 0.027778
0.0 0.6666666666666666 0.0 0.027778
0.0 0.8333333333333333 0.0 0.027778
0.1666666666666666 0.0 0.0 0.027778
0.1666666666666666 0.1666666666666666 0.0 0.027778
0.1666666666666666 0.3333333333333333 0.0 0.027778
0.1666666666666666 0.5 0.0 0.027778
0.1666666666666666 0.6666666666666666 0.0 0.027778
0.1666666666666666 0.8333333333333333 0.0 0.027778
0.3333333333333333 0.0 0.0 0.027778
0.3333333333333333 0.1666666666666666 0.0 0.027778
0.3333333333333333 0.3333333333333333 0.0 0.027778
0.3333333333333333 0.5 0.0 0.027778
0.3333333333333333 0.6666666666666666 0.0 0.027778
0.3333333333333333 0.8333333333333333 0.0 0.027778
0.5 0.0 0.0 0.027778
0.5 0.1666666666666666 0.0 0.027778
0.5 0.3333333333333333 0.0 0.027778
0.5 0.5 0.0 0.027778
0.5 0.6666666666666666 0.0 0.027778
0.5 0.8333333333333333 0.0 0.027778
0.6666666666666666 0.0 0.0 0.027778
0.6666666666666666 0.1666666666666666 0.0 0.027778
0.6666666666666666 0.3333333333333333 0.0 0.027778
0.6666666666666666 0.5 0.0 0.027778
0.6666666666666666 0.6666666666666666 0.0 0.027778
0.6666666666666666 0.8333333333333333 0.0 0.027778
0.8333333333333333 0.0 0.0 0.027778
0.8333333333333333 0.1666666666666666 0.0 0.027778
0.8333333333333333 0.3333333333333333 0.0 0.027778
0.8333333333333333 0.5 0.0 0.027778
0.8333333333333333 0.6666666666666666 0.0 0.027778
0.8333333333333333 0.8333333333333333 0.0 0.027778

CELL_PARAMETERS angstrom

```



```

3.970299106 0.0 2e-16
-1.985149553100055 3.438379886400139 2e-16
0.0 0.0 23.5627240068

```

```

---                epw1.in ---
&inputepw
prefix = 'hBN'
amass(1) = 178.49
amass(2) = 126.7
outdir = './'
elph = .false.
epbwrite = .false.
epbread = .false.
epwwrite = .true.
epwread = .false.
etf_mem = 1
nbndsub = 13
use_ws = .true.
wannierize = .true.
num_iter = 1000
iprint = 2
dis_win_max = 15.982913754380615
dis_froz_max = 1.8362938471857357
fsthick = 1.2
temps = 1
degaussw = 0.005
dvscf_dir = './save'
nk1 = 6
nk2 = 6
nk3 = 1
nq1 = 1
nq2 = 1
nq3 = 1
dis_win_min = -12.366612736400379
wdata(1) = 'guiding_centres = T'
wdata(2) = 'dis_num_iter = 1500'
wdata(3) = 'bands_num_points = 100 '
wdata(4) = 'bands_plot = .true.'
wdata(5) = 'begin kpoint_path'
wdata(6) = 'G 0.0 0.0 0.0 M 0.5 0.0 0.0'
wdata(7) = 'M 0.5 0.0 0.0 K 0.3333333333 0.3333333333 0.0'
wdata(8) = 'K 0.3333333333 0.3333333333 0.0 X 1.0 1.0 0.0'
wdata(9) = 'X 1.0 1.0 0.0 M1 0.0 0.5 0.0'
wdata(10) = 'M1 0.0 0.5 0.0 G 0.0 0.0 0.0'
wdata(11) = 'end kpoint_path'
bands_skipped = 'exclude_bands = 1-6'
proj(1) = 'Hf: l= -4, mr= 1,3,4'
proj(2) = 'Te: l= 3, mr= 1,2,3,4,7'
dis_froz_min = -11.63675540086832
/

```

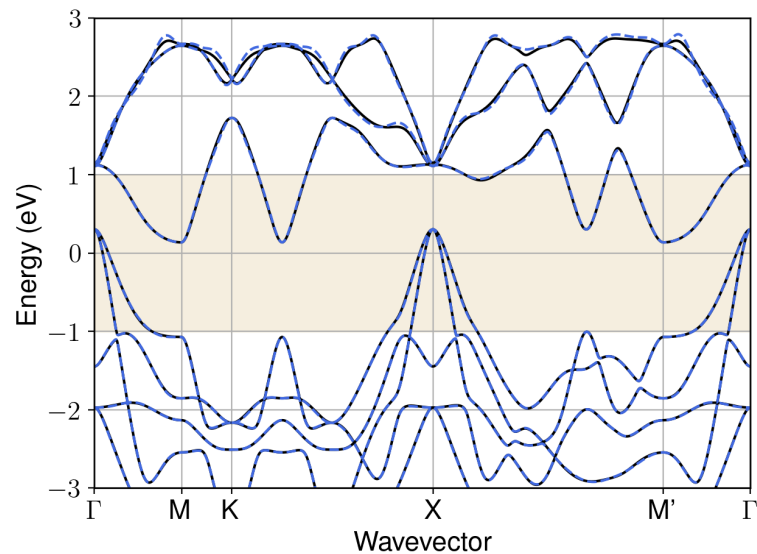


Figure S77: Bandstructure interpolation for monolayer  $\text{HfTe}_2$ . Wannier-interpolation of the band structure of monolayer  $\text{HfTe}_2$  over a wide energy range. Blue dashed lines are results from the present method, black solid lines are explicit DFT calculations. The yellow shaded region shows the range over which optimization has been performed. The interpolation error within the yellow region is 8 meV. The k-grid employed for NSCF calculation is  $6 \times 6$ .

## 66 Material: $\text{HgI}_2$

The calculation files are appended below. These files should be executed in the order provided. The location of pseudo potentials should be changed accordingly.

```

---          scf.in ---
&CONTROL
calculation = 'scf'
verbosity = 'high'
restart_mode = 'from_scratch'
outdir = './'
pseudo_dir = '/scratch1/05193/sabyadk/2D_materials_Wann/Materials/HgI2-410f6c5c/pseudo/'
prefix = 'hBN'
/
&SYSTEM
ibrav = 0
nat = 3
ntyp = 2
ecutwfc = 60
ecutrho = 240
occupations = 'smearing'
smearing = 'gaussian'
degauss = 0.1
/
&ELECTRONS
conv_thr = 1E-10
diagonalization = cg
electron_maxstep = 500
/
ATOMIC_SPECIES
Hg 200.592 Hg_r.upf
I 126.904 I_r.upf
ATOMIC_POSITIONS crystal
Hg 0.499999999989 0.499999999989 0.0
I 0.499999999989 0.0 0.075600362569

```

```

I 0.0 0.49999999989 0.924399637431

K_POINTS automatic
6 6 1 0 0 0

CELL_PARAMETERS angstrom
4.4773308507 0.0 3e-16
-3e-16 4.4773308507 3e-16
0.0 0.0 23.574393854

```

```

---                nscf.in ---
&CONTROL
calculation = bands
verbosity = 'high'
restart_mode = 'from_scratch'
outdir = './'
pseudo_dir = '/scratch1/05193/sabyadk/2D_materials_Wann/Materials/HgI2-410f6c5c/pseudo/'
prefix = 'hBN'
/
&SYSTEM
ibrav = 0
nat = 3
ntyp = 2
ecutwfc = 60
ecutrho = 240
occupations = 'smearing'
smearing = 'gaussian'
degauss = 0.1
nbnd = 60
/
&ELECTRONS
conv_thr = 1E-10
diagonalization = cg
electron_maxstep = 500
/
ATOMIC_SPECIES
Hg 200.592 Hg_r.upf
I 126.904 I_r.upf
ATOMIC_POSITIONS crystal
Hg 0.49999999989 0.49999999989 0.0
I 0.49999999989 0.0 0.075600362569
I 0.0 0.49999999989 0.924399637431

K_POINTS crystal
36
0.0 0.0 0.0 0.027778
0.0 0.1666666666666666 0.0 0.027778
0.0 0.3333333333333333 0.0 0.027778
0.0 0.5 0.0 0.027778
0.0 0.6666666666666666 0.0 0.027778
0.0 0.8333333333333333 0.0 0.027778
0.1666666666666666 0.0 0.0 0.027778
0.1666666666666666 0.1666666666666666 0.0 0.027778
0.1666666666666666 0.3333333333333333 0.0 0.027778
0.1666666666666666 0.5 0.0 0.027778
0.1666666666666666 0.6666666666666666 0.0 0.027778
0.1666666666666666 0.8333333333333333 0.0 0.027778
0.3333333333333333 0.0 0.0 0.027778
0.3333333333333333 0.1666666666666666 0.0 0.027778
0.3333333333333333 0.3333333333333333 0.0 0.027778
0.3333333333333333 0.5 0.0 0.027778
0.3333333333333333 0.6666666666666666 0.0 0.027778
0.3333333333333333 0.8333333333333333 0.0 0.027778
0.5 0.0 0.0 0.027778
0.5 0.1666666666666666 0.0 0.027778
0.5 0.3333333333333333 0.0 0.027778
0.5 0.5 0.0 0.027778
0.5 0.6666666666666666 0.0 0.027778
0.5 0.8333333333333333 0.0 0.027778
0.6666666666666666 0.0 0.0 0.027778
0.6666666666666666 0.1666666666666666 0.0 0.027778
0.6666666666666666 0.3333333333333333 0.0 0.027778
0.6666666666666666 0.5 0.0 0.027778
0.6666666666666666 0.6666666666666666 0.0 0.027778
0.6666666666666666 0.8333333333333333 0.0 0.027778
0.8333333333333333 0.0 0.0 0.027778
0.8333333333333333 0.1666666666666666 0.0 0.027778
0.8333333333333333 0.3333333333333333 0.0 0.027778
0.8333333333333333 0.5 0.0 0.027778
0.8333333333333333 0.6666666666666666 0.0 0.027778
0.8333333333333333 0.8333333333333333 0.0 0.027778

CELL_PARAMETERS angstrom

```

```

4.4773308507 0.0 3e-16
-3e-16 4.4773308507 3e-16
0.0 0.0 23.574393854

```

```

---                epw1.in ---
&inputepw
prefix = 'hBN'
amass(1) = 200.592
amass(2) = 126.904
outdir = './'
elph = .false.
epbwrite = .false.
epbread = .false.
epwwrite = .true.
epwread = .false.
etf_mem = 1
nbndsub = 8
use_ws = .true.
wannierize = .true.
num_iter = 1000
iprint = 2
dis_win_max = 19.8771148471444
dis_froz_max = -0.8522741407983716
fsthick = 1.2
temps = 1
degaussw = 0.005
dvscf_dir = './save'
nk1 = 6
nk2 = 6
nk3 = 1
nq1 = 1
nq2 = 1
nq3 = 1
dis_win_min = -17.05677794655936
wdata(1) = 'guiding_centres = T'
wdata(2) = 'dis_num_iter = 1500'
wdata(3) = 'bands_num_points = 100 '
wdata(4) = 'bands_plot = .true.'
wdata(5) = 'begin kpoint_path'
wdata(6) = 'G 0.0 0.0 0.0 M 0.5 0.0 0.0'
wdata(7) = 'M 0.5 0.0 0.0 K 0.3333333333 0.3333333333 0.0'
wdata(8) = 'K 0.3333333333 0.3333333333 0.0 X 1.0 1.0 0.0'
wdata(9) = 'X 1.0 1.0 0.0 M1 0.0 0.5 0.0'
wdata(10) = 'M1 0.0 0.5 0.0 G 0.0 0.0 0.0'
wdata(11) = 'end kpoint_path'
bands_skipped = 'exclude_bands = 1-2'
proj(1) = 'Hg: l= 3, mr= 1,2,3,4'
proj(2) = 'I: l= -4, mr= 1,3'
dis_froz_min = -4.187034388317553
/

```

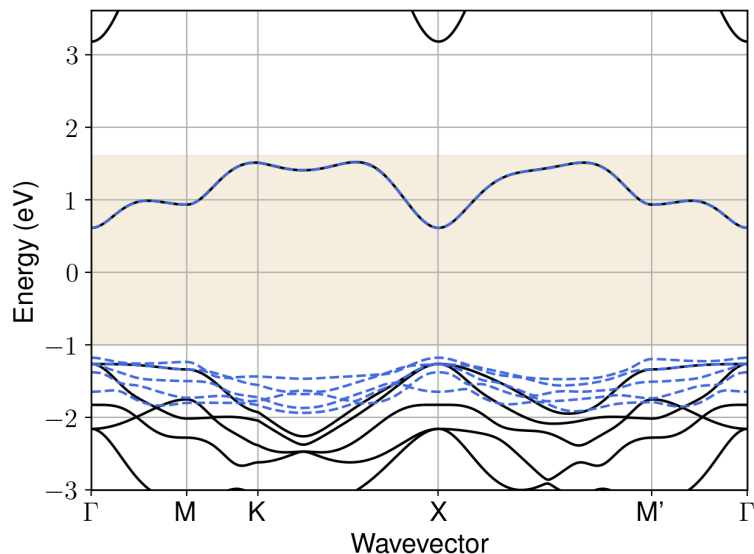


Figure S78: Bandstructure interpolation for monolayer  $\text{HgI}_2$ . Wannier-interpolation of the band structure of monolayer  $\text{HgI}_2$  over a wide energy range. Blue dashed lines are results from the present method, black solid lines are explicit DFT calculations. The yellow shaded region shows the range over which optimization has been performed. The interpolation error within the yellow region is 2 meV. The k-grid employed for NSCF calculation is  $6 \times 6$ .

## 67 Material: $\text{In}_2\text{O}_2\text{Br}_2$

The calculation files are appended below. These files should be executed in the order provided. The location of pseudo potentials should be changed accordingly.

```

---          scf.in ---
&CONTROL
calculation = 'scf'
verbosity = 'high'
restart_mode = 'from_scratch'
outdir = './'
pseudo_dir = '/scratch1/05193/sabyadk/2D_materials_Wann/Materials/In2O2Br2-f0ecf9a3/pseudo/'
prefix = 'hBN'
/
&SYSTEM
ibrav = 0
nat = 6
ntyp = 3
ecutwfc = 60
ecutrho = 240
assume_isolated = 2D
/
&ELECTRONS
conv_thr = 1E-12
diagonalization = 'david'
electron_maxstep = 200
/
ATOMIC_SPECIES
In 114.818 In_r.upf
Br 79.904 Br_r.upf
O 15.999 O_r.upf
ATOMIC_POSITIONS crystal
In 0.500000000014 0.5 0.961562892587
In 0.0 0.0 0.03843690106
Br 0.0 0.5 0.884240405755

```

```
Br 0.500000000014 0.0 0.115760071314
0 0.500000000014 0.0 0.987189702853
0 0.0 0.5 0.012810026431
```

```
K_POINTS automatic
6 6 1 0 0 0
```

```
CELL_PARAMETERS angstrom
3.6423769913 0.0 2e-16
-3e-16 4.1380208074 3e-16
0.0 0.0 26.0506785544
```

```
--- nscf.in ---
&CONTROL
calculation = bands
verbosity = 'high'
restart_mode = 'from_scratch'
outdir = './'
pseudo_dir = '/scratch1/05193/sabyadk/2D_materials_Wann/Materials/In202Br2-f0ecf9a3/pseudo/'
prefix = 'hBN'
/
&SYSTEM
ibrav = 0
nat = 6
ntyp = 3
ecutwfc = 60
ecutrho = 240
assume_isolated = 2D
nbnd = 60
/
&ELECTRONS
conv_thr = 1E-10
diagonalization = 'david'
electron_maxstep = 200
/
ATOMIC_SPECIES
In 114.818 In_r.upf
Br 79.904 Br_r.upf
O 15.999 O_r.upf
ATOMIC_POSITIONS crystal
In 0.500000000014 0.5 0.961562892587
In 0.0 0.0 0.03843690106
Br 0.0 0.5 0.884240405755
Br 0.500000000014 0.0 0.115760071314
0 0.500000000014 0.0 0.987189702853
0 0.0 0.5 0.012810026431

K_POINTS crystal
36
0.0 0.0 0.0 0.027778
0.0 0.16666666666666666 0.0 0.027778
0.0 0.3333333333333333 0.0 0.027778
0.0 0.5 0.0 0.027778
0.0 0.6666666666666666 0.0 0.027778
0.0 0.8333333333333333 0.0 0.027778
0.16666666666666666 0.0 0.0 0.027778
0.16666666666666666 0.16666666666666666 0.0 0.027778
0.16666666666666666 0.3333333333333333 0.0 0.027778
0.16666666666666666 0.5 0.0 0.027778
0.16666666666666666 0.6666666666666666 0.0 0.027778
0.16666666666666666 0.8333333333333333 0.0 0.027778
0.3333333333333333 0.0 0.0 0.027778
0.3333333333333333 0.16666666666666666 0.0 0.027778
0.3333333333333333 0.3333333333333333 0.0 0.027778
0.3333333333333333 0.5 0.0 0.027778
0.3333333333333333 0.6666666666666666 0.0 0.027778
0.3333333333333333 0.8333333333333333 0.0 0.027778
0.5 0.0 0.0 0.027778
0.5 0.16666666666666666 0.0 0.027778
0.5 0.3333333333333333 0.0 0.027778
0.5 0.5 0.0 0.027778
0.5 0.6666666666666666 0.0 0.027778
0.5 0.8333333333333333 0.0 0.027778
0.6666666666666666 0.0 0.0 0.027778
0.6666666666666666 0.16666666666666666 0.0 0.027778
0.6666666666666666 0.3333333333333333 0.0 0.027778
0.6666666666666666 0.5 0.0 0.027778
0.6666666666666666 0.6666666666666666 0.0 0.027778
0.6666666666666666 0.8333333333333333 0.0 0.027778
0.8333333333333333 0.0 0.0 0.027778
0.8333333333333333 0.16666666666666666 0.0 0.027778
0.8333333333333333 0.3333333333333333 0.0 0.027778
0.8333333333333333 0.5 0.0 0.027778
```

```

0.8333333333333333 0.6666666666666666 0.0 0.027778
0.8333333333333333 0.8333333333333333 0.0 0.027778

CELL_PARAMETERS angstrom
3.6423769913 0.0 2e-16
-3e-16 4.1380208074 3e-16
0.0 0.0 26.0506785544

```

```

---                epw1.in ---
&inputepw
prefix = 'hBN'
amass(1) = 114.818
amass(2) = 79.904
amass(3) = 15.999
outdir = './'
elph = .false.
epbwrite = .false.
epbread = .false.
epwwrite = .true.
epwread = .false.
etf_mem = 1
nbndsub = 16
use_ws = .true.
wannierize = .true.
num_iter = 1000
iprint = 2
dis_win_max = 8.108014915845011
dis_froz_max = -0.8706471326197558
fsthick = 1.2
temps = 1
degaussw = 0.005
dvscf_dir = './save'
nk1 = 6
nk2 = 6
nk3 = 1
nq1 = 1
nq2 = 1
nq3 = 1
system_2d = 'dipole_sp'
lpolar = .true.
dis_win_min = -20.332061233201955
wdata(1) = 'guiding_centres = T'
wdata(2) = 'dis_num_iter = 1500'
wdata(3) = 'bands_num_points = 100 '
wdata(4) = 'bands_plot = .true.'
wdata(5) = 'begin kpoint_path'
wdata(6) = 'G 0.0 0.0 0.0 M 0.5 0.0 0.0'
wdata(7) = 'M 0.5 0.0 0.0 K 0.3333333333 0.3333333333 0.0'
wdata(8) = 'K 0.3333333333 0.3333333333 0.0 X 1.0 1.0 0.0'
wdata(9) = 'X 1.0 1.0 0.0 M1 0.0 0.5 0.0'
wdata(10) = 'M1 0.0 0.5 0.0 G 0.0 0.0 0.0'
wdata(11) = 'end kpoint_path'
bands_skipped = 'exclude_bands = 1-14'
proj(1) = 'In: l= 3, mr= 5,6'
proj(2) = 'Br: l= 3, mr= 1,2,7'
proj(3) = 'O: l= -2, mr= 1,2,3'
dis_froz_min = -11.352397687816289
/

```

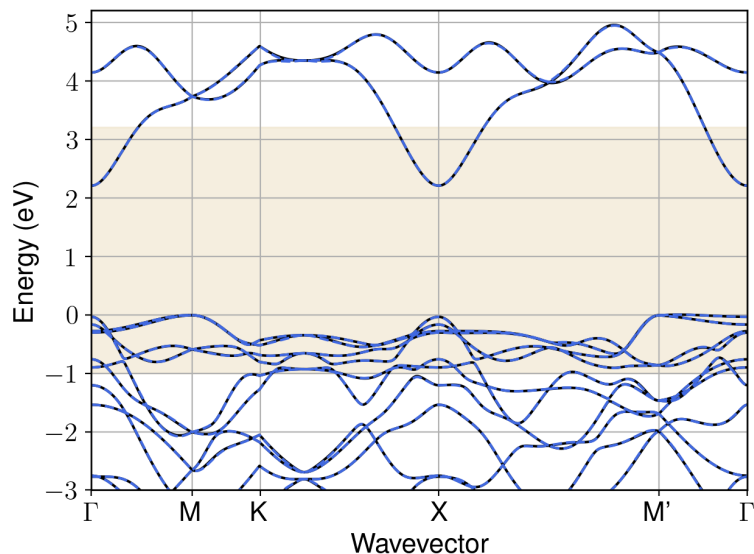


Figure S79: Bandstructure interpolation for monolayer  $\text{In}_2\text{O}_2\text{Br}_2$ . Wannier-interpolation of the band structure of monolayer  $\text{In}_2\text{O}_2\text{Br}_2$  over a wide energy range. Blue dashed lines are results from the present method, black solid lines are explicit DFT calculations. The yellow shaded region shows the range over which optimization has been performed. The interpolation error within the yellow region is 3 meV. The k-grid employed for NSCF calculation is  $6 \times 6$ .

## 68 Material: $\text{In}_2\text{Se}_2$

The calculation files are appended below. These files should be executed in the order provided. The location of pseudo potentials should be changed accordingly.

```

---          scf.in ---
&CONTROL
calculation = 'scf'
verbosity = 'high'
restart_mode = 'from_scratch'
outdir = './'
pseudo_dir = '/scratch1/05193/sabyadk/2D_materials_Wann/Materials/In2Se2-86f0c9f4/pseudo/'
prefix = 'hBN'
/
&SYSTEM
ibrav = 0
nat = 4
ntyp = 2
ecutwfc = 60
ecutrho = 240
assume_isolated = 2D
/
&ELECTRONS
conv_thr = 1E-12
diagonalization = 'david'
electron_maxstep = 200
/
ATOMIC_SPECIES
In 114.818 In_r.upf
Se 78.971 Se_r.upf
ATOMIC_POSITIONS crystal
In 0.6666666666666666 0.3333333333333333 0.055591877425
In 0.6666666666666666 0.3333333333333333 0.944408122577
Se 0.3333333333333333 0.6666666666666666 0.106354115156
Se 0.3333333333333333 0.6666666666666666 0.893645884842

```



```

K_POINTS automatic
6 6 1 0 0 0

CELL_PARAMETERS angstrom
4.0659345692 0.0 2e-16
-2.032967284700124 3.521202627200268 2e-16
0.0 0.0 25.376677999

```

```

--- nscf.in ---
&CONTROL
calculation = bands
verbosity = 'high'
restart_mode = 'from_scratch'
outdir = './'
pseudo_dir = '/scratch1/05193/sabyadk/2D_materials_Wann/Materials/In2Se2-86f0c9f4/pseudo/'
prefix = 'hBN'
/
&SYSTEM
ibrav = 0
nat = 4
ntyp = 2
ecutwfc = 60
ecutrho = 240
assume_isolated = 2D
nbnd = 60
/
&ELECTRONS
conv_thr = 1E-10
diagonalization = 'david'
electron_maxstep = 200
/
ATOMIC_SPECIES
In 114.818 In_r.upf
Se 78.971 Se_r.upf
ATOMIC_POSITIONS crystal
In 0.6666666666666666 0.3333333333333333 0.055591877425
In 0.6666666666666666 0.3333333333333333 0.944408122577
Se 0.3333333333333333 0.6666666666666666 0.106354115156
Se 0.3333333333333333 0.6666666666666666 0.893645884842

K_POINTS crystal
36
0.0 0.0 0.0 0.027778
0.0 0.1666666666666666 0.0 0.027778
0.0 0.3333333333333333 0.0 0.027778
0.0 0.5 0.0 0.027778
0.0 0.6666666666666666 0.0 0.027778
0.0 0.8333333333333333 0.0 0.027778
0.1666666666666666 0.0 0.0 0.027778
0.1666666666666666 0.1666666666666666 0.0 0.027778
0.1666666666666666 0.3333333333333333 0.0 0.027778
0.1666666666666666 0.5 0.0 0.027778
0.1666666666666666 0.6666666666666666 0.0 0.027778
0.1666666666666666 0.8333333333333333 0.0 0.027778
0.3333333333333333 0.0 0.0 0.027778
0.3333333333333333 0.1666666666666666 0.0 0.027778
0.3333333333333333 0.3333333333333333 0.0 0.027778
0.3333333333333333 0.5 0.0 0.027778
0.3333333333333333 0.6666666666666666 0.0 0.027778
0.3333333333333333 0.8333333333333333 0.0 0.027778
0.5 0.0 0.0 0.027778
0.5 0.1666666666666666 0.0 0.027778
0.5 0.3333333333333333 0.0 0.027778
0.5 0.5 0.0 0.027778
0.5 0.6666666666666666 0.0 0.027778
0.5 0.8333333333333333 0.0 0.027778
0.6666666666666666 0.0 0.0 0.027778
0.6666666666666666 0.1666666666666666 0.0 0.027778
0.6666666666666666 0.3333333333333333 0.0 0.027778
0.6666666666666666 0.5 0.0 0.027778
0.6666666666666666 0.6666666666666666 0.0 0.027778
0.6666666666666666 0.8333333333333333 0.0 0.027778
0.8333333333333333 0.0 0.0 0.027778
0.8333333333333333 0.1666666666666666 0.0 0.027778
0.8333333333333333 0.3333333333333333 0.0 0.027778
0.8333333333333333 0.5 0.0 0.027778
0.8333333333333333 0.6666666666666666 0.0 0.027778
0.8333333333333333 0.8333333333333333 0.0 0.027778

CELL_PARAMETERS angstrom
4.0659345692 0.0 2e-16
-2.032967284700124 3.521202627200268 2e-16

```

0.0 0.0 25.376677999

```

---                epw1.in ---
&inputepw
prefix = 'hEN'
amass(1) = 114.818
amass(2) = 78.971
outdir = './'
elph = .false.
epbwrite = .false.
epbwrite = .false.
epwwrite = .true.
epwread = .false.
etf_mem = 1
nbndsub = 12
use_ws = .true.
wannierize = .true.
num_iter = 1000
iprint = 2
dis_win_max = 7.328577468676268
dis_froz_max = -2.7603272560283036
fsthick = 1.2
temps = 1
degaussw = 0.005
dvscf_dir = './save'
nk1 = 6
nk2 = 6
nk3 = 1
nq1 = 1
nq2 = 1
nq3 = 1
system_2d = 'dipole_sp'
lpolar = .true.
dis_win_min = -21.070979070283585
wdata(1) = 'guiding_centres = T'
wdata(2) = 'dis_num_iter = 1500'
wdata(3) = 'bands_num_points = 100 '
wdata(4) = 'bands_plot = .true.'
wdata(5) = 'begin kpoint_path'
wdata(6) = 'G 0.0 0.0 0.0 M 0.5 0.0 0.0'
wdata(7) = 'M 0.5 0.0 0.0 K 0.3333333333 0.3333333333 0.0'
wdata(8) = 'K 0.3333333333 0.3333333333 0.0 X 1.0 1.0 0.0'
wdata(9) = 'X 1.0 1.0 0.0 M1 0.0 0.5 0.0'
wdata(10) = 'M1 0.0 0.5 0.0 G 0.0 0.0 0.0'
wdata(11) = 'end kpoint_path'
bands_skipped = 'exclude_bands = 1-23'
proj(1) = 'In: l= 3, mr= 1,3,6,7'
proj(2) = 'Se: l= -5, mr= 3,4'
dis_froz_min = -16.1737657953413
/

```

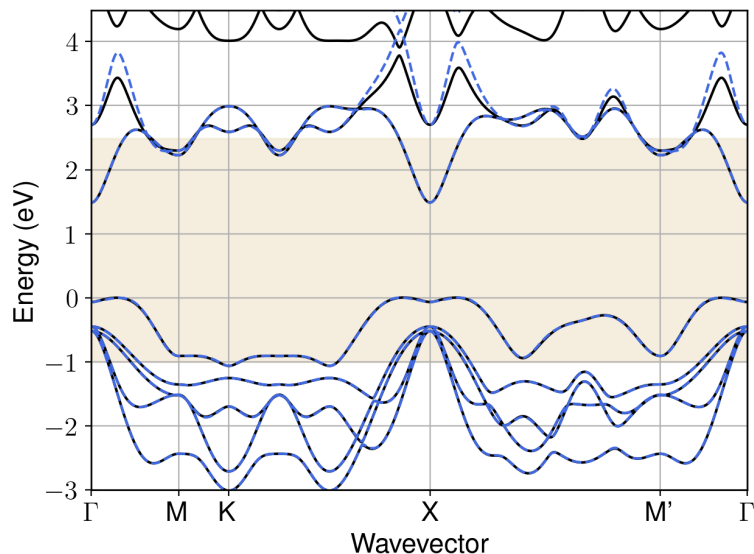


Figure S80: Bandstructure interpolation for monolayer  $\text{In}_2\text{Se}_2$ . Wannier-interpolation of the band structure of monolayer  $\text{In}_2\text{Se}_2$  over a wide energy range. Blue dashed lines are results from the present method, black solid lines are explicit DFT calculations. The yellow shaded region shows the range over which optimization has been performed. The interpolation error within the yellow region is 8 meV. The k-grid employed for NSCF calculation is  $6 \times 6$ .

## 69 Material: $\text{In}_2\text{Se}_3$

The calculation files are appended below. These files should be executed in the order provided. The location of pseudo potentials should be changed accordingly.

```

---          scf.in ---
&CONTROL
calculation = 'scf'
verbosity = 'high'
restart_mode = 'from_scratch'
outdir = './'
pseudo_dir = '/scratch1/05193/sabyadk/2D_materials_Wann/Materials/In2Se3-4bbe4bb6/pseudo/'
prefix = 'hBN'
/
&SYSTEM
ibrav = 0
nat = 5
ntyp = 2
ecutwfc = 60
ecutrho = 240
assume_isolated = 2D
/
&ELECTRONS
conv_thr = 1E-12
diagonalization = 'david'
electron_maxstep = 200
/
ATOMIC_SPECIES
In 114.818 In_r.upf
Se 78.971 Se_r.upf
ATOMIC_POSITIONS crystal
In 0.344992417378 0.285524120326 0.92575168295
In 0.714475879663 0.655007582591 0.07424831705
Se 0.685058861141 0.636792331181 0.87462108141
Se 0.886142290021 0.113857710041 0.0

```

```

Se 0.36320766882 0.314941138861 0.12537891859

K_POINTS automatic
6 6 1 0 0 0

CELL_PARAMETERS angstrom
3.96821412753 0.0 2e-16
1.8552097253326154 3.5078369741138142 2e-16
0.0 0.0 26.388166858294

```

```

--- nscf.in ---
&CONTROL
calculation = bands
verbosity = 'high'
restart_mode = 'from_scratch'
outdir = './'
pseudo_dir = '/scratch1/05193/sabyadk/2D_materials_Wann/Materials/In2Se3-4bbe4bb6/pseudo/'
prefix = 'hBN'
/
&SYSTEM
ibrav = 0
nat = 5
ntyp = 2
ecutwfc = 60
ecutrho = 240
assume_isolated = 2D
nbnd = 60
/
&ELECTRONS
conv_thr = 1E-10
diagonalization = 'david'
electron_maxstep = 200
/
ATOMIC_SPECIES
In 114.818 In_r.upf
Se 78.971 Se_r.upf
ATOMIC_POSITIONS crystal
In 0.344992417378 0.285524120326 0.92575168295
In 0.714475879663 0.655007582591 0.07424831705
Se 0.685058861141 0.636792331181 0.87462108141
Se 0.886142290021 0.113857710041 0.0
Se 0.36320766882 0.314941138861 0.12537891859

K_POINTS crystal
36
0.0 0.0 0.0 0.0 0.027778
0.0 0.16666666666666666 0.0 0.027778
0.0 0.3333333333333333 0.0 0.027778
0.0 0.5 0.0 0.027778
0.0 0.6666666666666666 0.0 0.027778
0.0 0.8333333333333333 0.0 0.027778
0.16666666666666666 0.0 0.027778
0.16666666666666666 0.16666666666666666 0.0 0.027778
0.16666666666666666 0.3333333333333333 0.0 0.027778
0.16666666666666666 0.5 0.0 0.027778
0.16666666666666666 0.6666666666666666 0.0 0.027778
0.16666666666666666 0.8333333333333333 0.0 0.027778
0.3333333333333333 0.0 0.0 0.027778
0.3333333333333333 0.16666666666666666 0.0 0.027778
0.3333333333333333 0.3333333333333333 0.0 0.027778
0.3333333333333333 0.5 0.0 0.027778
0.3333333333333333 0.6666666666666666 0.0 0.027778
0.3333333333333333 0.8333333333333333 0.0 0.027778
0.5 0.0 0.0 0.027778
0.5 0.16666666666666666 0.0 0.027778
0.5 0.3333333333333333 0.0 0.027778
0.5 0.5 0.0 0.027778
0.5 0.6666666666666666 0.0 0.027778
0.5 0.8333333333333333 0.0 0.027778
0.6666666666666666 0.0 0.0 0.027778
0.6666666666666666 0.16666666666666666 0.0 0.027778
0.6666666666666666 0.3333333333333333 0.0 0.027778
0.6666666666666666 0.5 0.0 0.027778
0.6666666666666666 0.6666666666666666 0.0 0.027778
0.6666666666666666 0.8333333333333333 0.0 0.027778
0.8333333333333333 0.0 0.0 0.027778
0.8333333333333333 0.16666666666666666 0.0 0.027778
0.8333333333333333 0.3333333333333333 0.0 0.027778
0.8333333333333333 0.5 0.0 0.027778
0.8333333333333333 0.6666666666666666 0.0 0.027778
0.8333333333333333 0.8333333333333333 0.0 0.027778

CELL_PARAMETERS angstrom

```

```

3.96821412753 0.0 2e-16
1.8552097253326154 3.5078369741138142 2e-16
0.0 0.0 26.388166858294

```

```

---                epw1.in ---
&inputepw
prefix = 'hBN'
amass(1) = 114.818
amass(2) = 78.971
outdir = './'
elph = .false.
epbwrite = .false.
epbread = .false.
epwwrite = .true.
epwread = .false.
etf_mem = 1
nbndsub = 14
use_ws = .true.
wannierize = .true.
num_iter = 1000
iprint = 2
dis_win_max = 6.2961054198499475
dis_froz_max = -2.685658883439124
fsthick = 1.2
temps = 1
degaussw = 0.005
dvscf_dir = './save'
nk1 = 6
nk2 = 6
nk3 = 1
nq1 = 1
nq2 = 1
nq3 = 1
system_2d = 'dipole_sp'
lpolar = .true.
dis_win_min = -26.33254884554306
wdata(1) = 'guiding_centres = T'
wdata(2) = 'dis_num_iter = 1500'
wdata(3) = 'bands_num_points = 100 '
wdata(4) = 'bands_plot = .true.'
wdata(5) = 'begin kpoint_path'
wdata(6) = 'G 0.0 0.0 0.0 M 0.5 0.0 0.0'
wdata(7) = 'M 0.5 0.0 0.0 K 0.3333333333 0.3333333333 0.0'
wdata(8) = 'K 0.3333333333 0.3333333333 0.0 X 1.0 1.0 0.0'
wdata(9) = 'X 1.0 1.0 0.0 M1 0.0 0.5 0.0'
wdata(10) = 'M1 0.0 0.5 0.0 G 0.0 0.0 0.0'
wdata(11) = 'end kpoint_path'
bands_skipped = 'exclude_bands = 1-28'
proj(1) = 'In: l= 3, mr= 1,5,6,7'
proj(2) = 'Se: l= 2, mr= 1,5'
dis_froz_min = -13.446238526883368
/

```

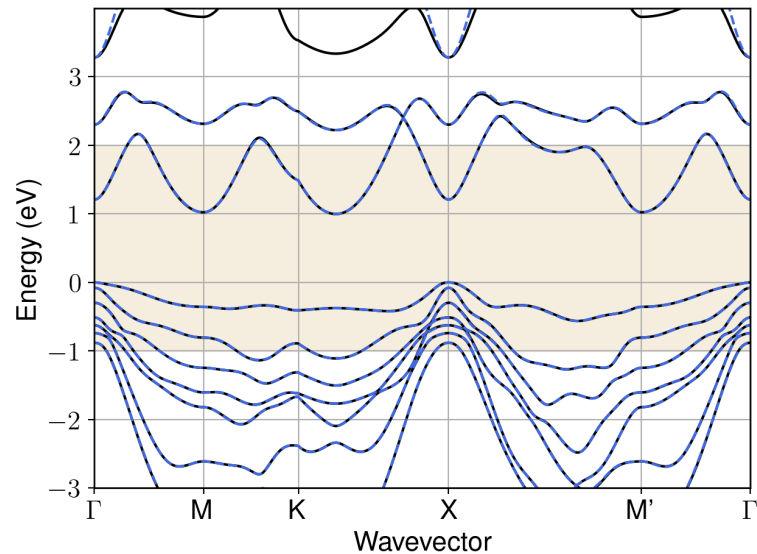


Figure S81: Bandstructure interpolation for monolayer  $\text{In}_2\text{Se}_3$ . Wannier-interpolation of the band structure of monolayer  $\text{In}_2\text{Se}_3$  over a wide energy range. Blue dashed lines are results from the present method, black solid lines are explicit DFT calculations. The yellow shaded region shows the range over which optimization has been performed. The interpolation error within the yellow region is 4 meV. The k-grid employed for NSCF calculation is  $6 \times 6$ .

## 70 Material: $\text{K}_2\text{Ag}_2\text{Se}_2$

The calculation files are appended below. These files should be executed in the order provided. The location of pseudo potentials should be changed accordingly.

```

---          scf.in ---
&CONTROL
calculation = 'scf'
verbosity = 'high'
restart_mode = 'from_scratch'
outdir = './'
pseudo_dir = '/scratch1/05193/sabyadk/2D_materials_Wann/Materials/K2Ag2Se2-088e95a0/pseudo/'
prefix = 'hBN'
/
&SYSTEM
ibrav = 0
nat = 6
ntyp = 3
ecutwfc = 60
ecutrho = 240
assume_isolated = 2D
/
&ELECTRONS
conv_thr = 1E-12
diagonalization = 'david'
electron_maxstep = 200
/
ATOMIC_SPECIES
K 39.098 K_r.upf
Ag 107.868 Ag_r.upf
Se 78.971 Se_r.upf
ATOMIC_POSITIONS crystal
K 0.5 0.0 0.105659671399
K 0.0 0.5 0.8943403286030001
Ag 0.0 0.0 1e-12

```

```

Ag 0.5 0.5 1e-12
Se 0.0 0.5 0.068643591348
Se 0.5 0.0 0.931356408649

```

```

K_POINTS automatic
6 6 1 0 0 0

```

```

CELL_PARAMETERS angstrom
4.4627944536 0.0 3e-16
-3e-16 4.4627944536 3e-16
0.0 0.0 25.1901265836

```

```

---                nscf.in ---
&CONTROL
calculation = bands
verbosity = 'high'
restart_mode = 'from_scratch'
outdir = './'
pseudo_dir = '/scratch1/05193/sabyadk/2D_materials_Wann/Materials/K2Ag2Se2-088e95a0/pseudo/'
prefix = 'hBN'
/
&SYSTEM
ibrav = 0
nat = 6
ntyp = 3
ecutwfc = 60
ecutrho = 240
assume_isolated = 2D
nbnd = 60
/
&ELECTRONS
conv_thr = 1E-10
diagonalization = 'david'
electron_maxstep = 200
/
ATOMIC_SPECIES
K 39.098 K_r.upf
Ag 107.868 Ag_r.upf
Se 78.971 Se_r.upf
ATOMIC_POSITIONS crystal
K 0.5 0.0 0.105659671399
K 0.0 0.5 0.8943403286030001
Ag 0.0 0.0 1e-12
Ag 0.5 0.5 1e-12
Se 0.0 0.5 0.068643591348
Se 0.5 0.0 0.931356408649

K_POINTS crystal
36
0.0 0.0 0.0 0.027778
0.0 0.16666666666666666 0.0 0.027778
0.0 0.33333333333333333 0.0 0.027778
0.0 0.5 0.0 0.027778
0.0 0.66666666666666666 0.0 0.027778
0.0 0.83333333333333333 0.0 0.027778
0.16666666666666666 0.0 0.0 0.027778
0.16666666666666666 0.16666666666666666 0.0 0.027778
0.16666666666666666 0.33333333333333333 0.0 0.027778
0.16666666666666666 0.5 0.0 0.027778
0.16666666666666666 0.66666666666666666 0.0 0.027778
0.16666666666666666 0.83333333333333333 0.0 0.027778
0.33333333333333333 0.0 0.0 0.027778
0.33333333333333333 0.16666666666666666 0.0 0.027778
0.33333333333333333 0.33333333333333333 0.0 0.027778
0.33333333333333333 0.5 0.0 0.027778
0.33333333333333333 0.66666666666666666 0.0 0.027778
0.33333333333333333 0.83333333333333333 0.0 0.027778
0.5 0.0 0.0 0.027778
0.5 0.16666666666666666 0.0 0.027778
0.5 0.33333333333333333 0.0 0.027778
0.5 0.5 0.0 0.027778
0.5 0.66666666666666666 0.0 0.027778
0.5 0.83333333333333333 0.0 0.027778
0.66666666666666666 0.0 0.0 0.027778
0.66666666666666666 0.16666666666666666 0.0 0.027778
0.66666666666666666 0.33333333333333333 0.0 0.027778
0.66666666666666666 0.5 0.0 0.027778
0.66666666666666666 0.66666666666666666 0.0 0.027778
0.66666666666666666 0.83333333333333333 0.0 0.027778
0.83333333333333333 0.0 0.0 0.027778
0.83333333333333333 0.16666666666666666 0.0 0.027778
0.83333333333333333 0.33333333333333333 0.0 0.027778
0.83333333333333333 0.5 0.0 0.027778

```

```

0.8333333333333333 0.6666666666666666 0.0 0.027778
0.8333333333333333 0.8333333333333333 0.0 0.027778

CELL_PARAMETERS angstrom
4.4627944536 0.0 3e-16
-3e-16 4.4627944536 3e-16
0.0 0.0 25.1901265836

```

```

---                epw1.in ---
&inputepw
prefix = 'hBN'
amass(1) = 39.098
amass(2) = 107.868
amass(3) = 78.971
outdir = './'
elph = .false.
epbwrite = .false.
epbread = .false.
epwwrite = .true.
epwread = .false.
etf_mem = 1
nbndsub = 14
use_ws = .true.
wannierize = .true.
num_iter = 1000
iprint = 2
dis_win_max = 10.406785355278574
dis_froz_max = 1.5616982107539439
fsthick = 1.2
temps = 1
degaussw = 0.005
dvscf_dir = './save'
nk1 = 6
nk2 = 6
nk3 = 1
nq1 = 1
nq2 = 1
nq3 = 1
system_2d = 'dipole_sp'
lpolar = .true.
dis_win_min = -19.694164706484223
wdata(1) = 'guiding_centres = T'
wdata(2) = 'dis_num_iter = 1500'
wdata(3) = 'bands_num_points = 100 '
wdata(4) = 'bands_plot = .true.'
wdata(5) = 'begin kpoint_path'
wdata(6) = 'G 0.0 0.0 0.0 M 0.5 0.0 0.0'
wdata(7) = 'M 0.5 0.0 0.0 K 0.3333333333 0.3333333333 0.0'
wdata(8) = 'K 0.3333333333 0.3333333333 0.0 X 1.0 1.0 0.0'
wdata(9) = 'X 1.0 1.0 0.0 M1 0.0 0.5 0.0'
wdata(10) = 'M1 0.0 0.5 0.0 G 0.0 0.0 0.0'
wdata(11) = 'end kpoint_path'
bands_skipped = 'exclude_bands = 1-28'
proj(1) = 'K: l= -5, mr= 4,6'
proj(2) = 'Ag: l= -2, mr= 3'
proj(3) = 'Se: l= -5, mr= 1,4,5,6'
dis_froz_min = -4.600060429982264
/

```



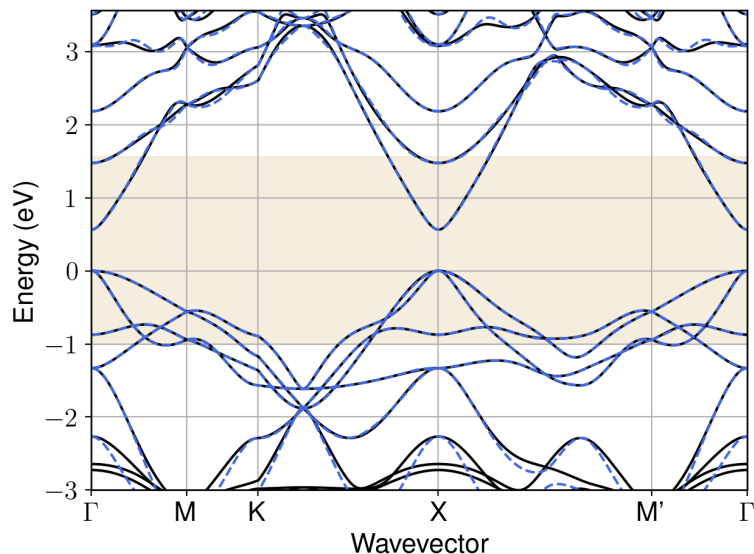


Figure S82: Bandstructure interpolation for monolayer  $\text{K}_2\text{Ag}_2\text{Se}_2$ . Wannier-interpolation of the band structure of monolayer  $\text{K}_2\text{Ag}_2\text{Se}_2$  over a wide energy range. Blue dashed lines are results from the present method, black solid lines are explicit DFT calculations. The yellow shaded region shows the range over which optimization has been performed. The interpolation error within the yellow region is 5 meV. The k-grid employed for NSCF calculation is  $6 \times 6$ .

## 71 Material: $\text{K}_2\text{Tl}_2\text{O}_2$

The calculation files are appended below. These files should be executed in the order provided. The location of pseudo potentials should be changed accordingly.

```

---          scf.in ---
&CONTROL
calculation = 'scf'
verbosity = 'high'
restart_mode = 'from_scratch'
outdir = './'
pseudo_dir = '/scratch1/05193/sabyadk/2D_materials_Wann/Materials/K2Tl2O2-0d1adfd8/pseudo/'
prefix = 'hBN'
/
&SYSTEM
ibrav = 0
nat = 6
ntyp = 3
ecutwfc = 60
ecutrho = 240
assume_isolated = 2D
/
&ELECTRONS
conv_thr = 1E-12
diagonalization = 'david'
electron_maxstep = 200
/
ATOMIC_SPECIES
K 39.098 K_r.upf
Tl 204.383 Tl_r.upf
O 15.999 O_r.upf
ATOMIC_POSITIONS crystal
K 0.499999999987 0.825357243367 0.935739537392
K 0.0 0.673517609648 0.064260224039
Tl 0.499999999987 0.157833723715 0.060502961794

```

```
Tl 0.0 0.341040210209 0.939497233191
0 0.499999999987 0.475528523173 0.004063742854
0 0.0 0.023344806742 0.99593630073
```

```
K_POINTS automatic
6 6 1 0 0 0
```

```
CELL_PARAMETERS angstrom
3.7933380867 0.0 2e-16
-4e-16 6.227890927 4e-16
0.0 0.0 22.9293330863
```

```
--- nscf.in ---
&CONTROL
calculation = bands
verbosity = 'high'
restart_mode = 'from_scratch'
outdir = './'
pseudo_dir = '/scratch1/05193/sabyadk/2D_materials_Wann/Materials/K2T1202-0d1adfd8/pseudo/'
prefix = 'hBN'
/
&SYSTEM
ibrav = 0
nat = 6
ntyp = 3
ecutwfc = 60
ecutrho = 240
assume_isolated = 2D
nbnd = 60
/
&ELECTRONS
conv_thr = 1E-10
diagonalization = 'david'
electron_maxstep = 200
/
ATOMIC_SPECIES
K 39.098 K_r.upf
Tl 204.383 Tl_r.upf
O 15.999 O_r.upf
ATOMIC_POSITIONS crystal
K 0.499999999987 0.825357243367 0.935739537392
K 0.0 0.673517609648 0.064260224039
Tl 0.499999999987 0.157833723715 0.060502961794
Tl 0.0 0.341040210209 0.939497233191
0 0.499999999987 0.475528523173 0.004063742854
0 0.0 0.023344806742 0.99593630073

K_POINTS crystal
36
0.0 0.0 0.0 0.027778
0.0 0.16666666666666666 0.0 0.027778
0.0 0.33333333333333333 0.0 0.027778
0.0 0.5 0.0 0.027778
0.0 0.66666666666666666 0.0 0.027778
0.0 0.83333333333333333 0.0 0.027778
0.16666666666666666 0.0 0.0 0.027778
0.16666666666666666 0.16666666666666666 0.0 0.027778
0.16666666666666666 0.33333333333333333 0.0 0.027778
0.16666666666666666 0.5 0.0 0.027778
0.16666666666666666 0.66666666666666666 0.0 0.027778
0.16666666666666666 0.83333333333333333 0.0 0.027778
0.33333333333333333 0.0 0.0 0.027778
0.33333333333333333 0.16666666666666666 0.0 0.027778
0.33333333333333333 0.33333333333333333 0.0 0.027778
0.33333333333333333 0.5 0.0 0.027778
0.33333333333333333 0.66666666666666666 0.0 0.027778
0.33333333333333333 0.83333333333333333 0.0 0.027778
0.5 0.0 0.0 0.027778
0.5 0.16666666666666666 0.0 0.027778
0.5 0.33333333333333333 0.0 0.027778
0.5 0.5 0.0 0.027778
0.5 0.66666666666666666 0.0 0.027778
0.5 0.83333333333333333 0.0 0.027778
0.66666666666666666 0.0 0.0 0.027778
0.66666666666666666 0.16666666666666666 0.0 0.027778
0.66666666666666666 0.33333333333333333 0.0 0.027778
0.66666666666666666 0.5 0.0 0.027778
0.66666666666666666 0.66666666666666666 0.0 0.027778
0.66666666666666666 0.83333333333333333 0.0 0.027778
0.83333333333333333 0.0 0.0 0.027778
0.83333333333333333 0.16666666666666666 0.0 0.027778
0.83333333333333333 0.33333333333333333 0.0 0.027778
0.83333333333333333 0.5 0.0 0.027778
```

```
0.8333333333333333 0.6666666666666666 0.0 0.027778
0.8333333333333333 0.8333333333333333 0.0 0.027778
```

```
CELL_PARAMETERS angstrom
3.7933380867 0.0 2e-16
-4e-16 6.227890927 4e-16
0.0 0.0 22.9293330863
```

```
---                epw1.in ---
&inputepw
prefix = 'hBN'
amass(1) = 39.098
amass(2) = 204.383
amass(3) = 15.999
outdir = './'
elph = .false.
epbwrite = .false.
epbread = .false.
epwwrite = .true.
epwread = .false.
etf_mem = 1
nbndsub = 16
use_ws = .true.
wannierize = .true.
num_iter = 1000
iprint = 2
dis_win_max = 12.11833154245439
dis_froz_max = -0.23575693459261604
fsthick = 1.2
temps = 1
degaussw = 0.005
dvscf_dir = './save'
nk1 = 6
nk2 = 6
nk3 = 1
nq1 = 1
nq2 = 1
nq3 = 1
system_2d = 'dipole_sp'
lpolar = .true.
dis_win_min = -22.510754041336785
wdata(1) = 'guiding_centres = T'
wdata(2) = 'dis_num_iter = 1500'
wdata(3) = 'bands_num_points = 100 '
wdata(4) = 'bands_plot = .true.'
wdata(5) = 'begin kpoint_path'
wdata(6) = 'G 0.0 0.0 0.0 M 0.5 0.0 0.0'
wdata(7) = 'M 0.5 0.0 0.0 K 0.3333333333 0.3333333333 0.0'
wdata(8) = 'K 0.3333333333 0.3333333333 0.0 X 1.0 1.0 0.0'
wdata(9) = 'X 1.0 1.0 0.0 M1 0.0 0.5 0.0'
wdata(10) = 'M1 0.0 0.5 0.0 G 0.0 0.0 0.0'
wdata(11) = 'end kpoint_path'
bands_skipped = 'exclude_bands = 1-20'
proj(1) = 'K: 1= 3, mr= 1,2,4'
proj(2) = 'T1: 1= 2, mr= 2,4'
proj(3) = 'O: 1= 3, mr= 2,5,6'
dis_froz_min = -8.771233909302314
/
```

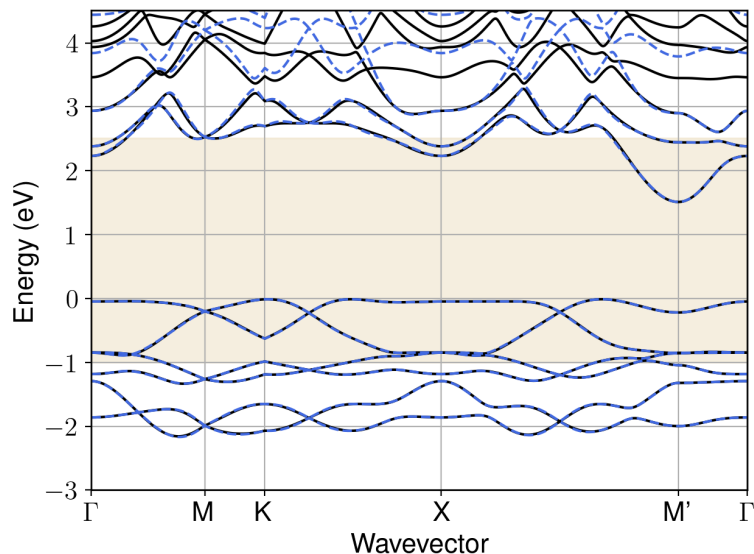


Figure S83: Bandstructure interpolation for monolayer  $\text{K}_2\text{Tl}_2\text{O}_2$ . Wannier-interpolation of the band structure of monolayer  $\text{K}_2\text{Tl}_2\text{O}_2$  over a wide energy range. Blue dashed lines are results from the present method, black solid lines are explicit DFT calculations. The yellow shaded region shows the range over which optimization has been performed. The interpolation error within the yellow region is 4 meV. The k-grid employed for NSCF calculation is  $6 \times 6$ .

## 72 Material: $\text{KTlCl}_4$

The calculation files are appended below. These files should be executed in the order provided. The location of pseudo potentials should be changed accordingly.

```

---          scf.in ---
&CONTROL
calculation = 'scf'
verbosity = 'high'
restart_mode = 'from_scratch'
outdir = './'
pseudo_dir = '/scratch1/05193/sabyadk/2D_materials_Wann/Materials/KTlCl4-f9fb4abc/pseudo/'
prefix = 'hBN'
/
&SYSTEM
ibrav = 0
nat = 6
ntyp = 3
ecutwfc = 60
ecutrho = 240
assume_isolated = 2D
/
&ELECTRONS
conv_thr = 1E-12
diagonalization = 'david'
electron_maxstep = 200
/
ATOMIC_SPECIES
K 39.098 K_r.upf
Tl 204.383 Tl_r.upf
Cl 35.453 Cl_r.upf
ATOMIC_POSITIONS crystal
K 0.0 0.0 1e-12
Tl 0.499999999992 0.499999999992 1e-12
Cl 0.770056792472 0.354749986965 0.063117305662

```

```

Cl 0.645250013035 0.770056792472 0.936882694335
Cl 0.229943207528 0.645250013035 0.063117305662
Cl 0.354749986965 0.229943207528 0.936882694339

```

```

K_POINTS automatic
6 6 1 0 0 0

```

```

CELL_PARAMETERS angstrom
6.5773273199 0.0 4e-16
-4e-16 6.5773273199 4e-16
0.0 0.0 22.7789802121

```

```

---                nscf.in ---
&CONTROL
calculation = bands
verbosity = 'high'
restart_mode = 'from_scratch'
outdir = './'
pseudo_dir = '/scratch1/05193/sabyadk/2D_materials_Wann/Materials/KTIC14-f9fb4abc/pseudo/'
prefix = 'hBN'
/
&SYSTEM
ibrav = 0
nat = 6
ntyp = 3
ecutwfc = 60
ecutrho = 240
assume_isolated = 2D
nbnd = 60
/
&ELECTRONS
conv_thr = 1E-10
diagonalization = 'david'
electron_maxstep = 200
/
ATOMIC_SPECIES
K 39.098 K_r.upf
Ti 204.383 Ti_r.upf
Cl 35.453 Cl_r.upf
ATOMIC_POSITIONS crystal
K 0.0 0.0 1e-12
Ti 0.499999999992 0.499999999992 1e-12
Cl 0.770056792472 0.354749986965 0.063117305662
Cl 0.645250013035 0.770056792472 0.936882694335
Cl 0.229943207528 0.645250013035 0.063117305662
Cl 0.354749986965 0.229943207528 0.936882694339

K_POINTS crystal
36
0.0 0.0 0.0 0.027778
0.0 0.16666666666666666 0.0 0.027778
0.0 0.33333333333333333 0.0 0.027778
0.0 0.5 0.0 0.027778
0.0 0.66666666666666666 0.0 0.027778
0.0 0.83333333333333333 0.0 0.027778
0.16666666666666666 0.0 0.0 0.027778
0.16666666666666666 0.16666666666666666 0.0 0.027778
0.16666666666666666 0.33333333333333333 0.0 0.027778
0.16666666666666666 0.5 0.0 0.027778
0.16666666666666666 0.66666666666666666 0.0 0.027778
0.16666666666666666 0.83333333333333333 0.0 0.027778
0.33333333333333333 0.0 0.0 0.027778
0.33333333333333333 0.16666666666666666 0.0 0.027778
0.33333333333333333 0.33333333333333333 0.0 0.027778
0.33333333333333333 0.5 0.0 0.027778
0.33333333333333333 0.66666666666666666 0.0 0.027778
0.33333333333333333 0.83333333333333333 0.0 0.027778
0.5 0.0 0.0 0.027778
0.5 0.16666666666666666 0.0 0.027778
0.5 0.33333333333333333 0.0 0.027778
0.5 0.5 0.0 0.027778
0.5 0.66666666666666666 0.0 0.027778
0.5 0.83333333333333333 0.0 0.027778
0.66666666666666666 0.0 0.0 0.027778
0.66666666666666666 0.16666666666666666 0.0 0.027778
0.66666666666666666 0.33333333333333333 0.0 0.027778
0.66666666666666666 0.5 0.0 0.027778
0.66666666666666666 0.66666666666666666 0.0 0.027778
0.66666666666666666 0.83333333333333333 0.0 0.027778
0.83333333333333333 0.0 0.0 0.027778
0.83333333333333333 0.16666666666666666 0.0 0.027778
0.83333333333333333 0.33333333333333333 0.0 0.027778
0.83333333333333333 0.5 0.0 0.027778

```

```

0.8333333333333333 0.6666666666666666 0.0 0.027778
0.8333333333333333 0.8333333333333333 0.0 0.027778

CELL_PARAMETERS angstrom
6.5773273199 0.0 4e-16
-4e-16 6.5773273199 4e-16
0.0 0.0 22.7789802121

```

```

---                epw1.in ---
&inputepw
prefix = 'hBN'
amass(1) = 39.098
amass(2) = 204.383
amass(3) = 35.453
outdir = './'
elph = .false.
epbwrite = .false.
epbread = .false.
epwwrite = .true.
epwread = .false.
etf_mem = 1
nbndsub = 16
use_ws = .true.
wannierize = .true.
num_iter = 1000
iprint = 2
dis_win_max = 8.155654645438094
dis_froz_max = -2.8522646064553308
fsthick = 1.2
temps = 1
degaussw = 0.005
dvscf_dir = './save'
nk1 = 6
nk2 = 6
nk3 = 1
nq1 = 1
nq2 = 1
nq3 = 1
system_2d = 'dipole_sp'
lpolar = .true.
dis_win_min = -20.504783164868613
wdata(1) = 'guiding_centres = T'
wdata(2) = 'dis_num_iter = 1500'
wdata(3) = 'bands_num_points = 100 '
wdata(4) = 'bands_plot = .true.'
wdata(5) = 'begin kpoint_path'
wdata(6) = 'G 0.0 0.0 0.0 M 0.5 0.0 0.0'
wdata(7) = 'M 0.5 0.0 0.0 K 0.3333333333 0.3333333333 0.0'
wdata(8) = 'K 0.3333333333 0.3333333333 0.0 X 1.0 1.0 0.0'
wdata(9) = 'X 1.0 1.0 0.0 M1 0.0 0.5 0.0'
wdata(10) = 'M1 0.0 0.5 0.0 G 0.0 0.0 0.0'
wdata(11) = 'end kpoint_path'
bands_skipped = 'exclude_bands = 1-13'
proj(1) = 'K: l= -2, mr= 2'
proj(2) = 'Tl: l= 3, mr= 3,4,6'
proj(3) = 'Cl: l= 3, mr= 2,6,7'
dis_froz_min = -10.655870242016729
/

```

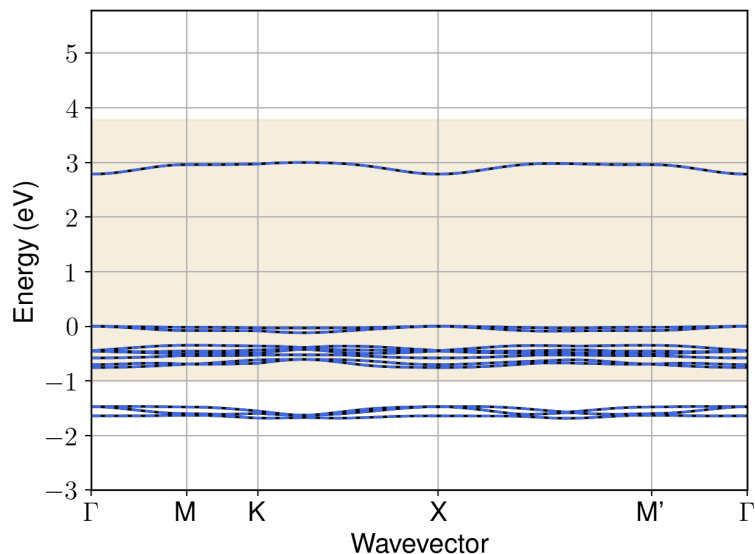


Figure S84: Bandstructure interpolation for monolayer  $\text{KTiCl}_4$ . Wannier-interpolation of the band structure of monolayer  $\text{KTiCl}_4$  over a wide energy range. Blue dashed lines are results from the present method, black solid lines are explicit DFT calculations. The yellow shaded region shows the range over which optimization has been performed. The interpolation error within the yellow region is 0 meV. The k-grid employed for NSCF calculation is  $6 \times 6$ .

### 73 Material: $\text{La}_2\text{Br}_2$

The calculation files are appended below. These files should be executed in the order provided. The location of pseudo potentials should be changed accordingly.

```

---          scf.in ---
&CONTROL
calculation = 'scf'
verbosity = 'high'
restart_mode = 'from_scratch'
outdir = './'
pseudo_dir = '/scratch1/05193/sabyadk/2D_materials_Wann/Materials/La2Br2-3165ccb6/pseudo/'
prefix = 'hBN'
/
&SYSTEM
ibrav = 0
nat = 4
ntyp = 2
ecutwfc = 60
ecutrho = 240
occupations = smearing
smearing = gaussian
degauss = 0.001
assume_isolated = 2D
/
&ELECTRONS
conv_thr = 1E-11
diagonalization = 'david'
electron_maxstep = 500
/
ATOMIC_SPECIES
La 138.905 La_r.upf
Br 79.904 Br_r.upf
ATOMIC_POSITIONS crystal
La 0.3333333333333333 0.3333333333333333 0.942564907639

```

```

La 0.6666666666666666 0.6666666666666666 0.057435115087
Br 0.0 0.0 0.131805896969
Br 0.0 0.0 0.868194080304

K_POINTS automatic
6 6 1 0 0 0

CELL_PARAMETERS angstrom
4.134616409249 0.0 3e-16
2.067308195529759 3.5806828400624804 3e-16
0.0 0.0 26.036739

```

```

---                nscf.in ---
&CONTROL
calculation = bands
verbosity = 'high'
restart_mode = 'from_scratch'
outdir = './'
pseudo_dir = '/scratch1/05193/sabyadk/2D_materials_Wann/Materials/La2Br2-3165ccb6/pseudo/'
prefix = 'hBN'
/
&SYSTEM
ibrav = 0
nat = 4
ntyp = 2
ecutwfc = 60
ecutrho = 240
occupations = smearing
smearing = gaussian
degauss = 0.001
assume_isolated = 2D
nbnd = 60
/
&ELECTRONS
conv_thr = 1E-10
diagonalization = 'david'
electron_maxstep = 500
/
ATOMIC_SPECIES
La 138.905 La_r.upf
Br 79.904 Br_r.upf
ATOMIC_POSITIONS crystal
La 0.3333333333333333 0.3333333333333333 0.942564907639
La 0.6666666666666666 0.6666666666666666 0.057435115087
Br 0.0 0.0 0.131805896969
Br 0.0 0.0 0.868194080304

K_POINTS crystal
36
0.0 0.0 0.0 0.027778
0.0 0.1666666666666666 0.0 0.027778
0.0 0.3333333333333333 0.0 0.027778
0.0 0.5 0.0 0.027778
0.0 0.6666666666666666 0.0 0.027778
0.0 0.8333333333333333 0.0 0.027778
0.1666666666666666 0.0 0.0 0.027778
0.1666666666666666 0.1666666666666666 0.0 0.027778
0.1666666666666666 0.3333333333333333 0.0 0.027778
0.1666666666666666 0.5 0.0 0.027778
0.1666666666666666 0.6666666666666666 0.0 0.027778
0.1666666666666666 0.8333333333333333 0.0 0.027778
0.3333333333333333 0.0 0.0 0.027778
0.3333333333333333 0.1666666666666666 0.0 0.027778
0.3333333333333333 0.3333333333333333 0.0 0.027778
0.3333333333333333 0.5 0.0 0.027778
0.3333333333333333 0.6666666666666666 0.0 0.027778
0.3333333333333333 0.8333333333333333 0.0 0.027778
0.5 0.0 0.0 0.027778
0.5 0.1666666666666666 0.0 0.027778
0.5 0.3333333333333333 0.0 0.027778
0.5 0.5 0.0 0.027778
0.5 0.6666666666666666 0.0 0.027778
0.5 0.8333333333333333 0.0 0.027778
0.6666666666666666 0.0 0.0 0.027778
0.6666666666666666 0.1666666666666666 0.0 0.027778
0.6666666666666666 0.3333333333333333 0.0 0.027778
0.6666666666666666 0.5 0.0 0.027778
0.6666666666666666 0.6666666666666666 0.0 0.027778
0.6666666666666666 0.8333333333333333 0.0 0.027778
0.8333333333333333 0.0 0.0 0.027778
0.8333333333333333 0.1666666666666666 0.0 0.027778
0.8333333333333333 0.3333333333333333 0.0 0.027778
0.8333333333333333 0.5 0.0 0.027778

```



```

0.8333333333333333 0.6666666666666666 0.0 0.027778
0.8333333333333333 0.8333333333333333 0.0 0.027778

CELL_PARAMETERS angstrom
4.134616409249 0.0 3e-16
2.067308195529759 3.5806828400624804 3e-16
0.0 0.0 26.036739

```

```

---                epw1.in ---
&inputepw
prefix = 'hBN'
amass(1) = 138.905
amass(2) = 79.904
outdir = './'
elph = .false.
epbwrite = .false.
epbread = .false.
epwrite = .true.
epwread = .false.
etf_mem = 1
nbndsub = 14
use_ws = .true.
wannierize = .true.
num_iter = 1000
iprint = 2
dis_win_max = 19.947732616728484
dis_froz_max = 1.8427304716364628
fsthick = 1.2
temps = 1
degaussw = 0.005
dvscf_dir = './save'
nk1 = 6
nk2 = 6
nk3 = 1
nq1 = 1
nq2 = 1
nq3 = 1
dis_win_min = -12.690671623816776
wdata(1) = 'guiding_centres = T'
wdata(2) = 'dis_num_iter = 1500'
wdata(3) = 'bands_num_points = 100 '
wdata(4) = 'bands_plot = .true.'
wdata(5) = 'begin kpoint_path'
wdata(6) = 'G 0.0 0.0 0.0 M 0.5 0.0 0.0'
wdata(7) = 'M 0.5 0.0 0.0 K 0.3333333333 0.3333333333 0.0'
wdata(8) = 'K 0.3333333333 0.3333333333 0.0 X 1.0 1.0 0.0'
wdata(9) = 'X 1.0 1.0 0.0 M1 0.0 0.5 0.0'
wdata(10) = 'M1 0.0 0.5 0.0 G 0.0 0.0 0.0'
wdata(11) = 'end kpoint_path'
bands_skipped = 'exclude_bands = 1-10'
proj(1) = 'La: l= -5, mr= 1,2,4,5,6'
proj(2) = 'Br: l= -4, mr= 4,5'
dis_froz_min = -10.291278444264059
/

```

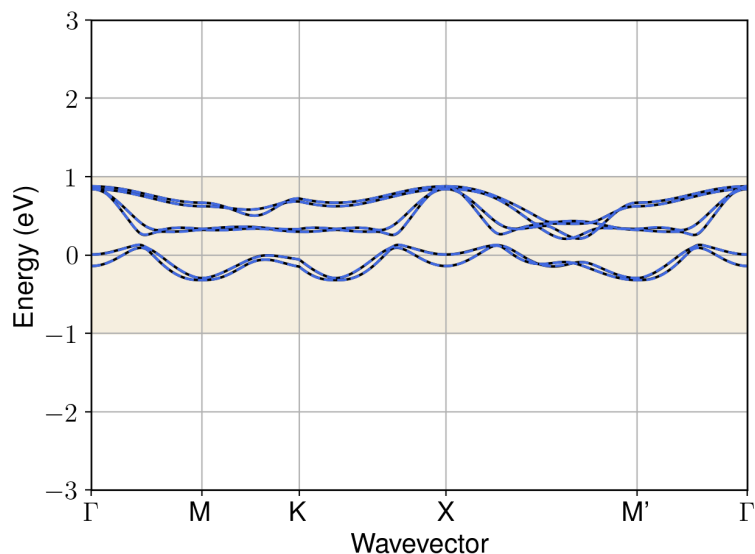


Figure S85: Bandstructure interpolation for monolayer  $\text{La}_2\text{Br}_2$ . Wannier-interpolation of the band structure of monolayer  $\text{La}_2\text{Br}_2$  over a wide energy range. Blue dashed lines are results from the present method, black solid lines are explicit DFT calculations. The yellow shaded region shows the range over which optimization has been performed. The interpolation error within the yellow region is 2 meV. The k-grid employed for NSCF calculation is  $6 \times 6$ .

## 74 Material: $\text{La}_2\text{Cl}_2$

The calculation files are appended below. These files should be executed in the order provided. The location of pseudo potentials should be changed accordingly.

```

---          scf.in ---
&CONTROL
calculation = 'scf'
verbosity = 'high'
restart_mode = 'from_scratch'
outdir = './'
pseudo_dir = '/scratch1/05193/sabyadk/2D_materials_Wann/Materials/La2Cl2-e5cca531/pseudo/'
prefix = 'hBN'
/
&SYSTEM
ibrav = 0
nat = 4
ntyp = 2
ecutwfc = 60
ecutrho = 240
occupations = 'smearing'
smearing = 'gaussian'
degauss = 0.01
/
&ELECTRONS
conv_thr = 1E-10
diagonalization = cg
electron_maxstep = 500
/
ATOMIC_SPECIES
La 138.905 La_r.upf
Cl 35.453 Cl_r.upf
ATOMIC_POSITIONS crystal
La 0.6666666666666666 0.3333333333333333 0.060084779974
La 0.3333333333333333 0.6666666666666666 0.939915220026

```

```

Cl 0.0 0.0 0.8711547781519999
Cl 0.0 0.0 0.128845221848

K_POINTS automatic
6 6 1 0 0 0

CELL_PARAMETERS angstrom
4.097321512496 0.0 3e-16
-2.048660756265403 3.548384517283968 3e-16
0.0 0.0 25.148413177

```

```

---                nscf.in ---
&CONTROL
calculation = bands
verbosity = 'high'
restart_mode = 'from_scratch'
outdir = './'
pseudo_dir = '/scratch1/05193/sabyadk/2D_materials_Wann/Materials/La2Cl2-e5cca531/pseudo/'
prefix = 'hBN'
/
&SYSTEM
ibrav = 0
nat = 4
ntyp = 2
ecutwfc = 60
ecutrho = 240
occupations = 'smearing'
smearing = 'gaussian'
degauss = 0.01
nbnd = 60
/
&ELECTRONS
conv_thr = 1E-10
diagonalization = cg
electron_maxstep = 500
/
ATOMIC_SPECIES
La 138.905 La_r.upf
Cl 35.453 Cl_r.upf
ATOMIC_POSITIONS crystal
La 0.6666666666666666 0.3333333333333333 0.060084779974
La 0.3333333333333333 0.6666666666666666 0.939915220026
Cl 0.0 0.0 0.8711547781519999
Cl 0.0 0.0 0.128845221848

K_POINTS crystal
36
0.0 0.0 0.0 0.027778
0.0 0.1666666666666666 0.0 0.027778
0.0 0.3333333333333333 0.0 0.027778
0.0 0.5 0.0 0.027778
0.0 0.6666666666666666 0.0 0.027778
0.0 0.8333333333333333 0.0 0.027778
0.1666666666666666 0.0 0.0 0.027778
0.1666666666666666 0.1666666666666666 0.0 0.027778
0.1666666666666666 0.3333333333333333 0.0 0.027778
0.1666666666666666 0.5 0.0 0.027778
0.1666666666666666 0.6666666666666666 0.0 0.027778
0.1666666666666666 0.8333333333333333 0.0 0.027778
0.3333333333333333 0.0 0.0 0.027778
0.3333333333333333 0.1666666666666666 0.0 0.027778
0.3333333333333333 0.3333333333333333 0.0 0.027778
0.3333333333333333 0.5 0.0 0.027778
0.3333333333333333 0.6666666666666666 0.0 0.027778
0.3333333333333333 0.8333333333333333 0.0 0.027778
0.5 0.0 0.0 0.027778
0.5 0.1666666666666666 0.0 0.027778
0.5 0.3333333333333333 0.0 0.027778
0.5 0.5 0.0 0.027778
0.5 0.6666666666666666 0.0 0.027778
0.5 0.8333333333333333 0.0 0.027778
0.6666666666666666 0.0 0.0 0.027778
0.6666666666666666 0.1666666666666666 0.0 0.027778
0.6666666666666666 0.3333333333333333 0.0 0.027778
0.6666666666666666 0.5 0.0 0.027778
0.6666666666666666 0.6666666666666666 0.0 0.027778
0.6666666666666666 0.8333333333333333 0.0 0.027778
0.8333333333333333 0.0 0.0 0.027778
0.8333333333333333 0.1666666666666666 0.0 0.027778
0.8333333333333333 0.3333333333333333 0.0 0.027778
0.8333333333333333 0.5 0.0 0.027778
0.8333333333333333 0.6666666666666666 0.0 0.027778
0.8333333333333333 0.8333333333333333 0.0 0.027778

```

```

CELL_PARAMETERS angstrom
4.097321512496 0.0 3e-16
-2.048660756265403 3.548384517283968 3e-16
0.0 0.0 25.148413177

```

```

---                epw1.in ---
&inputepw
prefix = 'hBN'
amass(1) = 138.905
amass(2) = 35.453
outdir = './'
elph = .false.
epbwrite = .false.
epbread = .false.
epwwrite = .true.
epwread = .false.
etf_mem = 1
nbndsub = 16
use_ws = .true.
wannierize = .true.
num_iter = 1000
iprint = 2
dis_win_max = 12.412914878314663
dis_froz_max = 2.2697961833170606
fsthick = 1.2
temps = 1
degaussw = 0.005
dvscf_dir = './save'
nk1 = 6
nk2 = 6
nk3 = 1
nq1 = 1
nq2 = 1
nq3 = 1
dis_win_min = -11.05742980101
wdata(1) = 'guiding_centres = T'
wdata(2) = 'dis_num_iter = 1500'
wdata(3) = 'bands_num_points = 100 '
wdata(4) = 'bands_plot = .true.'
wdata(5) = 'begin kpoint_path'
wdata(6) = 'G 0.0 0.0 0.0 M 0.5 0.0 0.0'
wdata(7) = 'M 0.5 0.0 0.0 K 0.3333333333 0.3333333333 0.0'
wdata(8) = 'K 0.3333333333 0.3333333333 0.0 X 1.0 1.0 0.0'
wdata(9) = 'X 1.0 1.0 0.0 M1 0.0 0.5 0.0'
wdata(10) = 'M1 0.0 0.5 0.0 G 0.0 0.0 0.0'
wdata(11) = 'end kpoint_path'
bands_skipped = 'exclude_bands = 1-10'
proj(1) = 'La: l= 3, mr= 1,4,5,6,7'
proj(2) = 'Cl: l= -4, mr= 1,3,4'
dis_froz_min = -3.718307867029039
/

```

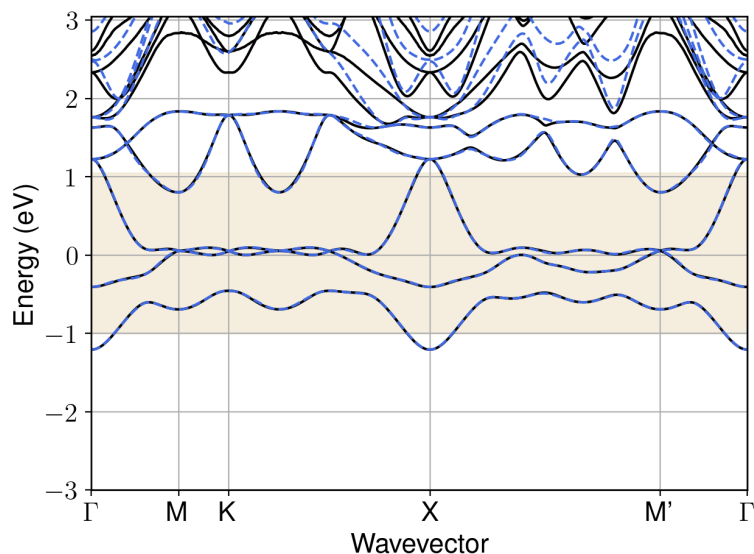


Figure S86: Bandstructure interpolation for monolayer  $\text{La}_2\text{Cl}_2$ . Wannier-interpolation of the band structure of monolayer  $\text{La}_2\text{Cl}_2$  over a wide energy range. Blue dashed lines are results from the present method, black solid lines are explicit DFT calculations. The yellow shaded region shows the range over which optimization has been performed. The interpolation error within the yellow region is 6 meV. The k-grid employed for NSCF calculation is  $6 \times 6$ .

## 75 Material: $\text{La}_2\text{PBr}_2$

The calculation files are appended below. These files should be executed in the order provided. The location of pseudo potentials should be changed accordingly.

```

---          scf.in ---
&CONTROL
calculation = 'scf'
verbosity = 'high'
restart_mode = 'from_scratch'
outdir = './'
pseudo_dir = '/scratch1/05193/sabyadk/2D_materials_Wann/Materials/La2PBr2-fa044947/pseudo/'
prefix = 'hBN'
/
&SYSTEM
ibrav = 0
nat = 5
ntyp = 3
ecutwfc = 60
ecutrho = 240
occupations = 'smearing'
smearing = 'gaussian'
degauss = 0.01
/
&ELECTRONS
conv_thr = 1E-10
diagonalization = cg
electron_maxstep = 500
/
ATOMIC_SPECIES
La 138.905 La_r.upf
P 30.974 P_r.upf
Br 79.904 Br_r.upf
ATOMIC_POSITIONS crystal
La 0.6666666666666666 0.3333333333333333 0.060534666328

```

```

La 0.3333333333333333 0.6666666666666666 0.939465333671
P 0.0 0.0 0.999999999999
Br 0.3333333333333333 0.6666666666666666 0.130038776864
Br 0.6666666666666666 0.3333333333333333 0.869961223139

K_POINTS automatic
6 6 1 0 0 0

CELL_PARAMETERS angstrom
4.2737448732 0.0 3e-16
-2.1368724365998464 3.7011716294998047 3e-16
0.0 0.0 27.0018107019

```

```

--- nscf.in ---
&CONTROL
calculation = bands
verbosity = 'high'
restart_mode = 'from_scratch'
outdir = './'
pseudo_dir = '/scratch1/05193/sabyadk/2D_materials_Wann/Materials/La2PBr2-fa044947/pseudo/'
prefix = 'hEN'
/
&SYSTEM
ibrav = 0
nat = 5
ntyp = 3
ecutwfc = 60
ecutrho = 240
occupations = 'smearing'
smearing = 'gaussian'
degauss = 0.01
nband = 60
/
&ELECTRONS
conv_thr = 1E-10
diagonalization = cg
electron_maxstep = 500
/
ATOMIC_SPECIES
La 138.905 La_r.upf
P 30.974 P_r.upf
Br 79.904 Br_r.upf
ATOMIC_POSITIONS crystal
La 0.6666666666666666 0.3333333333333333 0.060534666328
La 0.3333333333333333 0.6666666666666666 0.939465333671
P 0.0 0.0 0.999999999999
Br 0.3333333333333333 0.6666666666666666 0.130038776864
Br 0.6666666666666666 0.3333333333333333 0.869961223139

K_POINTS crystal
36
0.0 0.0 0.0 0.027778
0.0 0.1666666666666666 0.0 0.027778
0.0 0.3333333333333333 0.0 0.027778
0.0 0.5 0.0 0.027778
0.0 0.6666666666666666 0.0 0.027778
0.0 0.8333333333333333 0.0 0.027778
0.1666666666666666 0.0 0.0 0.027778
0.1666666666666666 0.1666666666666666 0.0 0.027778
0.1666666666666666 0.3333333333333333 0.0 0.027778
0.1666666666666666 0.5 0.0 0.027778
0.1666666666666666 0.6666666666666666 0.0 0.027778
0.1666666666666666 0.8333333333333333 0.0 0.027778
0.3333333333333333 0.0 0.0 0.027778
0.3333333333333333 0.1666666666666666 0.0 0.027778
0.3333333333333333 0.3333333333333333 0.0 0.027778
0.3333333333333333 0.5 0.0 0.027778
0.3333333333333333 0.6666666666666666 0.0 0.027778
0.3333333333333333 0.8333333333333333 0.0 0.027778
0.5 0.0 0.0 0.027778
0.5 0.1666666666666666 0.0 0.027778
0.5 0.3333333333333333 0.0 0.027778
0.5 0.5 0.0 0.027778
0.5 0.6666666666666666 0.0 0.027778
0.5 0.8333333333333333 0.0 0.027778
0.6666666666666666 0.0 0.0 0.027778
0.6666666666666666 0.1666666666666666 0.0 0.027778
0.6666666666666666 0.3333333333333333 0.0 0.027778
0.6666666666666666 0.5 0.0 0.027778
0.6666666666666666 0.6666666666666666 0.0 0.027778
0.6666666666666666 0.8333333333333333 0.0 0.027778
0.8333333333333333 0.0 0.0 0.027778
0.8333333333333333 0.1666666666666666 0.0 0.027778

```

```

0.8333333333333333 0.3333333333333333 0.0 0.027778
0.8333333333333333 0.5 0.0 0.027778
0.8333333333333333 0.6666666666666666 0.0 0.027778
0.8333333333333333 0.8333333333333333 0.0 0.027778

```

```

CELL_PARAMETERS angstrom
4.2737448732 0.0 3e-16
-2.1368724365998464 3.7011716294998047 3e-16
0.0 0.0 27.0018107019

```

```

---                epw1.in ---
&inputepw
prefix = 'hBN'
amass(1) = 138.905
amass(2) = 30.974
amass(3) = 79.904
outdir = './'
elph = .false.
epbwrite = .false.
epbread = .false.
epwwrite = .true.
epwread = .false.
etf_mem = 1
nbndsub = 12
use_ws = .true.
wannierize = .true.
num_iter = 1000
iprint = 2
dis_win_max = 20.915595435546834
dis_froz_max = 2.406763600322933
fsthick = 1.2
temps = 1
degaussw = 0.005
dvscf_dir = './save'
nk1 = 6
nk2 = 6
nk3 = 1
nq1 = 1
nq2 = 1
nq3 = 1
dis_win_min = -13.318742988343022
wdata(1) = 'guiding_centres = T'
wdata(2) = 'dis_num_iter = 1500'
wdata(3) = 'bands_num_points = 100 '
wdata(4) = 'bands_plot = .true.'
wdata(5) = 'begin kpoint_path'
wdata(6) = 'G 0.0 0.0 0.0 M 0.5 0.0 0.0'
wdata(7) = 'M 0.5 0.0 0.0 K 0.3333333333 0.3333333333 0.0'
wdata(8) = 'K 0.3333333333 0.3333333333 0.0 X 1.0 1.0 0.0'
wdata(9) = 'X 1.0 1.0 0.0 M1 0.0 0.5 0.0'
wdata(10) = 'M1 0.0 0.5 0.0 G 0.0 0.0 0.0'
wdata(11) = 'end kpoint_path'
bands_skipped = 'exclude_bands = 1-11'
proj(1) = 'La: l= -5, mr= 2'
proj(2) = 'P: l= 3, mr= 2,3,5,7'
proj(3) = 'Br: l= 2, mr= 1,3,4'
dis_froz_min = -0.8503429035210237
/

```

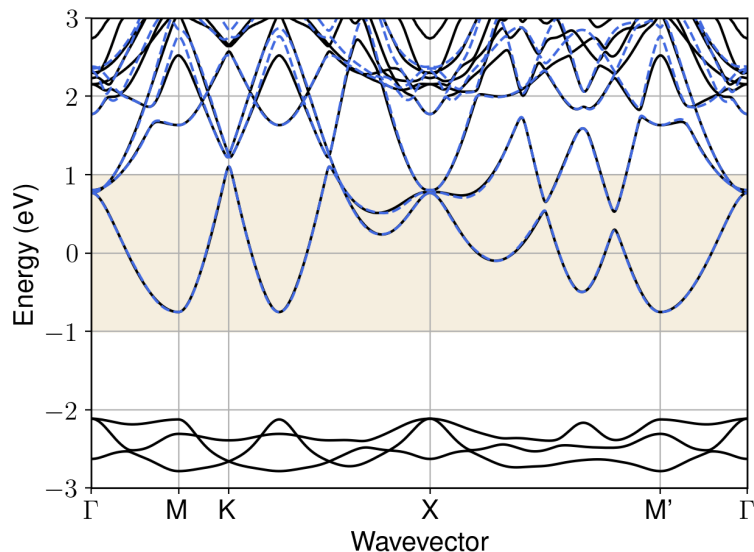


Figure S87: Bandstructure interpolation for monolayer  $\text{La}_2\text{PBr}_2$ . Wannier-interpolation of the band structure of monolayer  $\text{La}_2\text{PBr}_2$  over a wide energy range. Blue dashed lines are results from the present method, black solid lines are explicit DFT calculations. The yellow shaded region shows the range over which optimization has been performed. The interpolation error within the yellow region is 11 meV. The k-grid employed for NSCF calculation is  $6 \times 6$ .

## 76 Material: $\text{LaBr}_2$

The calculation files are appended below. These files should be executed in the order provided. The location of pseudo potentials should be changed accordingly.

```

---          scf.in ---
&CONTROL
calculation = 'scf'
verbosity = 'high'
restart_mode = 'from_scratch'
outdir = './'
pseudo_dir = '/scratch1/05193/sabyadk/2D_materials_Wann/Materials/LaBr2-0e5c4017/pseudo/'
prefix = 'hBN'
/
&SYSTEM
ibrav = 0
nat = 3
ntyp = 2
ecutwfc = 60
ecutrho = 240
occupations = 'smearing'
smearing = 'gaussian'
degauss = 0.01
/
&ELECTRONS
conv_thr = 1E-10
diagonalization = cg
electron_maxstep = 500
/
ATOMIC_SPECIES
La 138.905 La_r.upf
Br 79.904 Br_r.upf
ATOMIC_POSITIONS crystal
La 2.8e-11 0.999999999986 0.0
Br 0.6666666666666666 0.6666666666666666 0.09758446557

```



```
Br 0.6666666666666666 0.6666666666666666 0.90241553443
```

```
K_POINTS automatic
6 6 1 0 0 0
```

```
CELL_PARAMETERS angstrom
4.145868154802 0.0 3e-16
2.072934077398996 3.5904271427982946 3e-16
0.0 0.0 19.6714414604
```

```
--- nscf.in ---
&CONTROL
calculation = bands
verbosity = 'high'
restart_mode = 'from_scratch'
outdir = './'
pseudo_dir = '/scratch1/05193/sabyadk/2D_materials_Wann/Materials/LaBr2-Oe5c4017/pseudo/'
prefix = 'hBN'
/
&SYSTEM
ibrav = 0
nat = 3
ntyp = 2
ecutwfc = 60
ecutrho = 240
occupations = 'smearing'
smearing = 'gaussian'
degauss = 0.01
nbnd = 60
/
&ELECTRONS
conv_thr = 1E-10
diagonalization = cg
electron_maxstep = 500
/
ATOMIC_SPECIES
La 138.905 La_r.upf
Br 79.904 Br_r.upf
ATOMIC_POSITIONS crystal
La 2.8e-11 0.999999999986 0.0
Br 0.6666666666666666 0.6666666666666666 0.09758446557
Br 0.6666666666666666 0.6666666666666666 0.90241553443

K_POINTS crystal
36
0.0 0.0 0.0 0.027778
0.0 0.1666666666666666 0.0 0.027778
0.0 0.3333333333333333 0.0 0.027778
0.0 0.5 0.0 0.027778
0.0 0.6666666666666666 0.0 0.027778
0.0 0.8333333333333333 0.0 0.027778
0.1666666666666666 0.0 0.027778
0.1666666666666666 0.1666666666666666 0.0 0.027778
0.1666666666666666 0.3333333333333333 0.0 0.027778
0.1666666666666666 0.5 0.0 0.027778
0.1666666666666666 0.6666666666666666 0.0 0.027778
0.1666666666666666 0.8333333333333333 0.0 0.027778
0.3333333333333333 0.0 0.0 0.027778
0.3333333333333333 0.1666666666666666 0.0 0.027778
0.3333333333333333 0.3333333333333333 0.0 0.027778
0.3333333333333333 0.5 0.0 0.027778
0.3333333333333333 0.6666666666666666 0.0 0.027778
0.3333333333333333 0.8333333333333333 0.0 0.027778
0.5 0.0 0.0 0.027778
0.5 0.1666666666666666 0.0 0.027778
0.5 0.3333333333333333 0.0 0.027778
0.5 0.5 0.0 0.027778
0.5 0.6666666666666666 0.0 0.027778
0.5 0.8333333333333333 0.0 0.027778
0.6666666666666666 0.0 0.0 0.027778
0.6666666666666666 0.1666666666666666 0.0 0.027778
0.6666666666666666 0.3333333333333333 0.0 0.027778
0.6666666666666666 0.5 0.0 0.027778
0.6666666666666666 0.6666666666666666 0.0 0.027778
0.6666666666666666 0.8333333333333333 0.0 0.027778
0.8333333333333333 0.0 0.0 0.027778
0.8333333333333333 0.1666666666666666 0.0 0.027778
0.8333333333333333 0.3333333333333333 0.0 0.027778
0.8333333333333333 0.5 0.0 0.027778
0.8333333333333333 0.6666666666666666 0.0 0.027778
0.8333333333333333 0.8333333333333333 0.0 0.027778

CELL_PARAMETERS angstrom
```

```

4.145868154802 0.0 3e-16
2.072934077398996 3.5904271427982946 3e-16
0.0 0.0 19.6714414604

```

```

---                epw1.in ---
&inputepw
prefix = 'hBN'
amass(1) = 138.905
amass(2) = 79.904
outdir = './'
elph = .false.
epbwrite = .false.
epbread = .false.
epwwrite = .true.
epwread = .false.
etf_mem = 1
nbndsub = 10
use_ws = .true.
wannierize = .true.
num_iter = 1000
iprint = 2
dis_win_max = 22.732839106600863
dis_froz_max = 2.3888615685825716
fsthick = 1.2
temps = 1
degaussw = 0.005
dvscf_dir = './save'
nk1 = 6
nk2 = 6
nk3 = 1
nq1 = 1
nq2 = 1
nq3 = 1
dis_win_min = -15.483564805649534
wdata(1) = 'guiding_centres = T'
wdata(2) = 'dis_num_iter = 1500'
wdata(3) = 'bands_num_points = 100 '
wdata(4) = 'bands_plot = .true.'
wdata(5) = 'begin kpoint_path'
wdata(6) = 'G 0.0 0.0 0.0 M 0.5 0.0 0.0'
wdata(7) = 'M 0.5 0.0 0.0 K 0.3333333333 0.3333333333 0.0'
wdata(8) = 'K 0.3333333333 0.3333333333 0.0 X 1.0 1.0 0.0'
wdata(9) = 'X 1.0 1.0 0.0 M1 0.0 0.5 0.0'
wdata(10) = 'M1 0.0 0.5 0.0 G 0.0 0.0 0.0'
wdata(11) = 'end kpoint_path'
bands_skipped = 'exclude_bands = 1-6'
proj(1) = 'La: l= -5, mr= 2,6'
proj(2) = 'Br: l= 3, mr= 2,4,5,7'
dis_froz_min = -2.6602420467998327
/

```

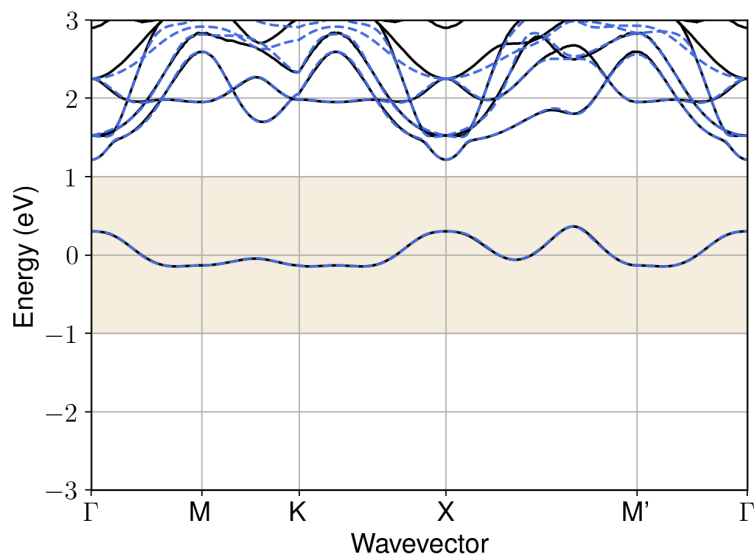


Figure S88: Bandstructure interpolation for monolayer  $\text{LaBr}_2$ . Wannier-interpolation of the band structure of monolayer  $\text{LaBr}_2$  over a wide energy range. Blue dashed lines are results from the present method, black solid lines are explicit DFT calculations. The yellow shaded region shows the range over which optimization has been performed. The interpolation error within the yellow region is 4 meV. The k-grid employed for NSCF calculation is  $6 \times 6$ .

## 77 Material: $\text{LaI}_2$

The calculation files are appended below. These files should be executed in the order provided. The location of pseudo potentials should be changed accordingly.

```

---          scf.in ---
&CONTROL
calculation = 'scf'
verbosity = 'high'
restart_mode = 'from_scratch'
outdir = './'
pseudo_dir = '/scratch1/05193/sabyadk/2D_materials_Wann/Materials/LaI2-01f3d6ab/pseudo/'
prefix = 'hBN'
/
&SYSTEM
ibrav = 0
nat = 3
ntyp = 2
ecutwfc = 60
ecutrho = 240
occupations = 'smearing'
smearing = 'gaussian'
degauss = 0.01
/
&ELECTRONS
conv_thr = 1E-10
diagonalization = cg
electron_maxstep = 500
/
ATOMIC_SPECIES
La 138.905 La_r.upf
I 126.904 I_r.upf
ATOMIC_POSITIONS crystal
La 0.0 0.0 0.999999999999
I 0.5 0.5 0.920268759807

```

```
I 0.5 0.5 0.079731240194
```

```
K_POINTS automatic
6 6 1 0 0 0
```

```
CELL_PARAMETERS angstrom
3.9535928548 0.0 2e-16
-2e-16 3.9535928548 2e-16
0.0 0.0 23.8417438351
```

```
--- nscf.in ---
&CONTROL
calculation = bands
verbosity = 'high'
restart_mode = 'from_scratch'
outdir = './'
pseudo_dir = '/scratch1/05193/sabyadk/2D_materials_Wann/Materials/LaI2-01f3d6ab/pseudo/'
prefix = 'hBN'
/
&SYSTEM
ibrav = 0
nat = 3
ntyp = 2
ecutwfc = 60
ecutrho = 240
occupations = 'smearing'
smearing = 'gaussian'
degauss = 0.01
nbnd = 60
/
&ELECTRONS
conv_thr = 1E-10
diagonalization = cg
electron_maxstep = 500
/
ATOMIC_SPECIES
La 138.905 La_r.upf
I 126.904 I_r.upf
ATOMIC_POSITIONS crystal
La 0.0 0.0 0.999999999999
I 0.5 0.5 0.920268759807
I 0.5 0.5 0.079731240194

K_POINTS crystal
36
0.0 0.0 0.0 0.027778
0.0 0.1666666666666666 0.0 0.027778
0.0 0.3333333333333333 0.0 0.027778
0.0 0.5 0.0 0.027778
0.0 0.6666666666666666 0.0 0.027778
0.0 0.8333333333333333 0.0 0.027778
0.1666666666666666 0.0 0.0 0.027778
0.1666666666666666 0.1666666666666666 0.0 0.027778
0.1666666666666666 0.3333333333333333 0.0 0.027778
0.1666666666666666 0.5 0.0 0.027778
0.1666666666666666 0.6666666666666666 0.0 0.027778
0.1666666666666666 0.8333333333333333 0.0 0.027778
0.3333333333333333 0.0 0.0 0.027778
0.3333333333333333 0.1666666666666666 0.0 0.027778
0.3333333333333333 0.3333333333333333 0.0 0.027778
0.3333333333333333 0.5 0.0 0.027778
0.3333333333333333 0.6666666666666666 0.0 0.027778
0.3333333333333333 0.8333333333333333 0.0 0.027778
0.5 0.0 0.0 0.027778
0.5 0.1666666666666666 0.0 0.027778
0.5 0.3333333333333333 0.0 0.027778
0.5 0.5 0.0 0.027778
0.5 0.6666666666666666 0.0 0.027778
0.5 0.8333333333333333 0.0 0.027778
0.6666666666666666 0.0 0.0 0.027778
0.6666666666666666 0.1666666666666666 0.0 0.027778
0.6666666666666666 0.3333333333333333 0.0 0.027778
0.6666666666666666 0.5 0.0 0.027778
0.6666666666666666 0.6666666666666666 0.0 0.027778
0.6666666666666666 0.8333333333333333 0.0 0.027778
0.8333333333333333 0.0 0.0 0.027778
0.8333333333333333 0.1666666666666666 0.0 0.027778
0.8333333333333333 0.3333333333333333 0.0 0.027778
0.8333333333333333 0.5 0.0 0.027778
0.8333333333333333 0.6666666666666666 0.0 0.027778
0.8333333333333333 0.8333333333333333 0.0 0.027778

CELL_PARAMETERS angstrom
```

```

3.9535928548 0.0 2e-16
-2e-16 3.9535928548 2e-16
0.0 0.0 23.8417438351

```

```

---                epw1.in ---
&inputepw
prefix = 'hBN'
amass(1) = 138.905
amass(2) = 126.904
outdir = './'
elph = .false.
epbwrite = .false.
epbread = .false.
epwwrite = .true.
epwread = .false.
etf_mem = 1
nbndsub = 12
use_ws = .true.
wannierize = .true.
num_iter = 1000
iprint = 2
dis_win_max = 17.743621775540873
dis_froz_max = 2.4382885300021613
fsthick = 1.2
temps = 1
degaussw = 0.005
dvscf_dir = './save'
nk1 = 6
nk2 = 6
nk3 = 1
nq1 = 1
nq2 = 1
nq3 = 1
dis_win_min = -16.54779053993294
wdata(1) = 'guiding_centres = T'
wdata(2) = 'dis_num_iter = 1500'
wdata(3) = 'bands_num_points = 100 '
wdata(4) = 'bands_plot = .true.'
wdata(5) = 'begin kpoint_path'
wdata(6) = 'G 0.0 0.0 0.0 M 0.5 0.0 0.0'
wdata(7) = 'M 0.5 0.0 0.0 K 0.3333333333 0.3333333333 0.0'
wdata(8) = 'K 0.3333333333 0.3333333333 0.0 X 1.0 1.0 0.0'
wdata(9) = 'X 1.0 1.0 0.0 M1 0.0 0.5 0.0'
wdata(10) = 'M1 0.0 0.5 0.0 G 0.0 0.0 0.0'
wdata(11) = 'end kpoint_path'
bands_skipped = 'exclude_bands = 1-6'
proj(1) = 'La: l= -5, mr= 1,3,5,6'
proj(2) = 'I: l= 2, mr= 1,2,4,5'
dis_froz_min = -1.8163795441840795
/

```

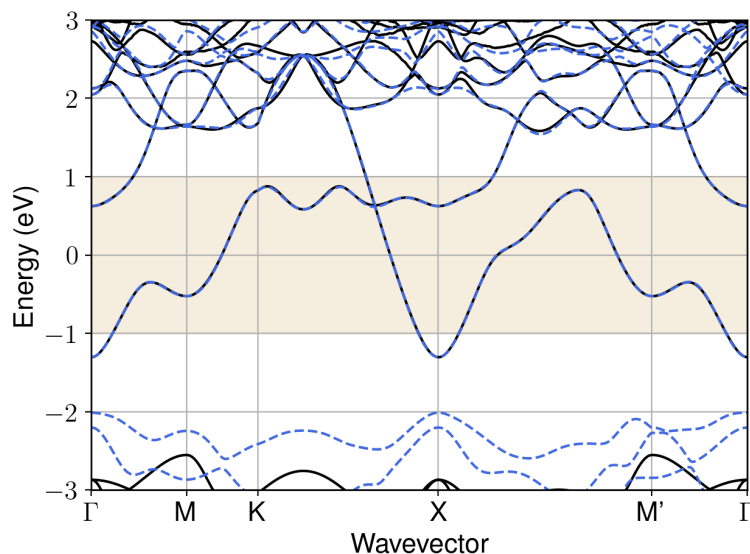


Figure S89: Bandstructure interpolation for monolayer  $\text{LaI}_2$ . Wannier-interpolation of the band structure of monolayer  $\text{LaI}_2$  over a wide energy range. Blue dashed lines are results from the present method, black solid lines are explicit DFT calculations. The yellow shaded region shows the range over which optimization has been performed. The interpolation error within the yellow region is 6 meV. The k-grid employed for NSCF calculation is  $6 \times 6$ .

## 78 Material: $\text{Li}_2$

The calculation files are appended below. These files should be executed in the order provided. The location of pseudo potentials should be changed accordingly.

```

---          scf.in ---
&CONTROL
calculation = 'scf'
verbosity = 'high'
restart_mode = 'from_scratch'
outdir = './'
pseudo_dir = '/scratch1/05193/sabyadk/2D_materials_Wann/Materials/Li2-OH2-ac92599f/pseudo/'
prefix = 'hBN'
/
&SYSTEM
ibrav = 0
nat = 6
ntyp = 3
ecutwfc = 60
ecutrho = 240
assume_isolated = 2D
/
&ELECTRONS
conv_thr = 1E-12
diagonalization = 'david'
electron_maxstep = 200
/
ATOMIC_SPECIES
Li 6.941 Li_r.upf
H 1.008 H_r.upf
O 15.999 O_r.upf
ATOMIC_POSITIONS crystal
Li 0.0 0.0 0.999999999999
Li 0.500000000014 0.500000000014 0.999999999999
H 0.0 0.500000000014 0.076423165382

```

```
H 0.500000000014 0.0 0.92357683462
O 0.0 0.500000000014 0.03555771536
O 0.500000000014 0.0 0.964444228465
```

```
K_POINTS automatic
6 6 1 0 0 0
```

```
CELL_PARAMETERS angstrom
3.5666949419 0.0 2e-16
-2e-16 3.5666949419 2e-16
0.0 0.0 23.6488030055
```

```
--- nscf.in ---
&CONTROL
calculation = bands
verbosity = 'high'
restart_mode = 'from_scratch'
outdir = './'
pseudo_dir = '/scratch1/05193/sabyadk/2D_materials_Wann/Materials/Li2-OH2-ac92599f/pseudo/'
prefix = 'hBN'
/
&SYSTEM
ibrav = 0
nat = 6
ntyp = 3
ecutwfc = 60
ecutrho = 240
assume_isolated = 2D
nbnd = 60
/
&ELECTRONS
conv_thr = 1E-10
diagonalization = 'david'
electron_maxstep = 200
/
ATOMIC_SPECIES
Li 6.941 Li_r.upf
H 1.008 H_r.upf
O 15.999 O_r.upf
ATOMIC_POSITIONS crystal
Li 0.0 0.0 0.999999999999
Li 0.500000000014 0.500000000014 0.999999999999
H 0.0 0.500000000014 0.076423165382
H 0.500000000014 0.0 0.92357683462
O 0.0 0.500000000014 0.03555771536
O 0.500000000014 0.0 0.964444228465

K_POINTS crystal
36
0.0 0.0 0.0 0.027778
0.0 0.16666666666666666 0.0 0.027778
0.0 0.33333333333333333 0.0 0.027778
0.0 0.5 0.0 0.027778
0.0 0.66666666666666666 0.0 0.027778
0.0 0.83333333333333333 0.0 0.027778
0.16666666666666666 0.0 0.0 0.027778
0.16666666666666666 0.16666666666666666 0.0 0.027778
0.16666666666666666 0.33333333333333333 0.0 0.027778
0.16666666666666666 0.5 0.0 0.027778
0.16666666666666666 0.66666666666666666 0.0 0.027778
0.16666666666666666 0.83333333333333333 0.0 0.027778
0.33333333333333333 0.0 0.0 0.027778
0.33333333333333333 0.16666666666666666 0.0 0.027778
0.33333333333333333 0.33333333333333333 0.0 0.027778
0.33333333333333333 0.5 0.0 0.027778
0.33333333333333333 0.66666666666666666 0.0 0.027778
0.33333333333333333 0.83333333333333333 0.0 0.027778
0.5 0.0 0.0 0.027778
0.5 0.16666666666666666 0.0 0.027778
0.5 0.33333333333333333 0.0 0.027778
0.5 0.5 0.0 0.027778
0.5 0.66666666666666666 0.0 0.027778
0.5 0.83333333333333333 0.0 0.027778
0.66666666666666666 0.0 0.0 0.027778
0.66666666666666666 0.16666666666666666 0.0 0.027778
0.66666666666666666 0.33333333333333333 0.0 0.027778
0.66666666666666666 0.5 0.0 0.027778
0.66666666666666666 0.66666666666666666 0.0 0.027778
0.66666666666666666 0.83333333333333333 0.0 0.027778
0.83333333333333333 0.0 0.0 0.027778
0.83333333333333333 0.16666666666666666 0.0 0.027778
0.83333333333333333 0.33333333333333333 0.0 0.027778
0.83333333333333333 0.5 0.0 0.027778
```

```
0.8333333333333333 0.6666666666666666 0.0 0.027778
0.8333333333333333 0.8333333333333333 0.0 0.027778
```

```
CELL_PARAMETERS angstrom
3.5666949419 0.0 2e-16
-2e-16 3.5666949419 2e-16
0.0 0.0 23.6488030055
```

```
---                epw1.in ---
&inputepw
prefix = 'hBN'
amass(1) = 6.941
amass(2) = 1.008
amass(3) = 15.999
outdir = './'
elph = .false.
epbwrite = .false.
epbread = .false.
epwwrite = .true.
epwread = .false.
etf_mem = 1
nbndsub = 22
use_ws = .true.
wannierize = .true.
num_iter = 1000
iprint = 2
dis_win_max = 13.78677628347758
dis_froz_max = 1.5920542933898565
fsthick = 1.2
temps = 1
degaussw = 0.005
dvscf_dir = './save'
nk1 = 6
nk2 = 6
nk3 = 1
nq1 = 1
nq2 = 1
nq3 = 1
system_2d = 'dipole_sp'
lpolar = .true.
dis_win_min = -23.776893260580902
wdata(1) = 'guiding_centres = T'
wdata(2) = 'dis_num_iter = 1500'
wdata(3) = 'bands_num_points = 100 '
wdata(4) = 'bands_plot = .true.'
wdata(5) = 'begin kpoint_path'
wdata(6) = 'G 0.0 0.0 0.0 M 0.5 0.0 0.0'
wdata(7) = 'M 0.5 0.0 0.0 K 0.3333333333 0.3333333333 0.0'
wdata(8) = 'K 0.3333333333 0.3333333333 0.0 X 1.0 1.0 0.0'
wdata(9) = 'X 1.0 1.0 0.0 M1 0.0 0.5 0.0'
wdata(10) = 'M1 0.0 0.5 0.0 G 0.0 0.0 0.0'
wdata(11) = 'end kpoint_path'
bands_skipped = 'exclude_bands = 1-4'
proj(1) = 'Li: l= 3, mr= 3,4,5,6,7'
proj(2) = 'H: l= 2, mr= 1,2'
proj(3) = 'O: l= 3, mr= 2,4,5,6'
dis_froz_min = -13.158051737608474
/
```



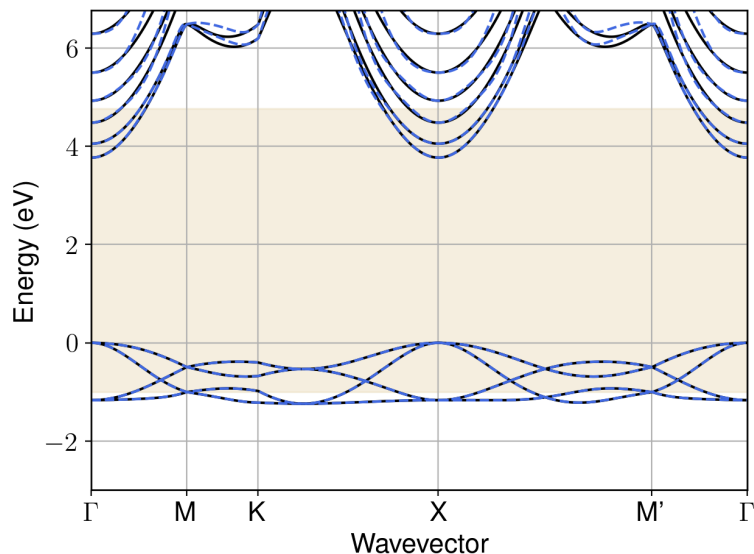


Figure S90: Bandstructure interpolation for monolayer  $\text{Li}_2$ . Wannier-interpolation of the band structure of monolayer  $\text{Li}_2$  over a wide energy range. Blue dashed lines are results from the present method, black solid lines are explicit DFT calculations. The yellow shaded region shows the range over which optimization has been performed. The interpolation error within the yellow region is 4 meV. The k-grid employed for NSCF calculation is  $6 \times 6$ .

## 79 Material: $\text{LiAlTe}_2$

The calculation files are appended below. These files should be executed in the order provided. The location of pseudo potentials should be changed accordingly.

```

---          scf.in ---
&CONTROL
calculation = 'scf'
verbosity = 'high'
restart_mode = 'from_scratch'
outdir = './'
pseudo_dir = '/scratch1/05193/sabyadk/2D_materials_Wann/Materials/LiAlTe2-318f57c7/pseudo/'
prefix = 'hBN'
/
&SYSTEM
ibrav = 0
nat = 4
ntyp = 3
ecutwfc = 60
ecutrho = 240
assume_isolated = 2D
/
&ELECTRONS
conv_thr = 1E-12
diagonalization = 'david'
electron_maxstep = 200
/
ATOMIC_SPECIES
Li 6.941 Li_r.upf
Al 26.982 Al_r.upf
Te 126.7 Te_r.upf
ATOMIC_POSITIONS crystal
Li 0.0 0.0 0.075895942093
Al 0.6666666666666666 0.3333333333333333 0.955766759636
Te 0.6666666666666666 0.3333333333333333 0.059983715007

```

```

Te 0.3333333333333333 0.6666666666666666 0.908353583265

K_POINTS automatic
6 6 1 0 0 0

CELL_PARAMETERS angstrom
4.3801464577 0.0 3e-16
-2.190073228799869 3.793318104799796 3e-16
0.0 0.0 24.4260136812

```

```

--- nscf.in ---
&CONTROL
calculation = bands
verbosity = 'high'
restart_mode = 'from_scratch'
outdir = './'
pseudo_dir = '/scratch1/05193/sabyadk/2D_materials_Wann/Materials/LiAlTe2-318f57c7/pseudo/'
prefix = 'hBN'
/
&SYSTEM
ibrav = 0
nat = 4
ntyp = 3
ecutwfc = 60
ecutrho = 240
assume_isolated = 2D
nbnd = 60
/
&ELECTRONS
conv_thr = 1E-10
diagonalization = 'david'
electron_maxstep = 200
/
ATOMIC_SPECIES
Li 6.941 Li_r.upf
Al 26.982 Al_r.upf
Te 126.7 Te_r.upf
ATOMIC_POSITIONS crystal
Li 0.0 0.0 0.075895942093
Al 0.6666666666666666 0.3333333333333333 0.95766759636
Te 0.6666666666666666 0.3333333333333333 0.059983715007
Te 0.3333333333333333 0.6666666666666666 0.908353583265

K_POINTS crystal
36
0.0 0.0 0.0 0.027778
0.0 0.1666666666666666 0.0 0.027778
0.0 0.3333333333333333 0.0 0.027778
0.0 0.5 0.0 0.027778
0.0 0.6666666666666666 0.0 0.027778
0.0 0.8333333333333333 0.0 0.027778
0.1666666666666666 0.0 0.0 0.027778
0.1666666666666666 0.1666666666666666 0.0 0.027778
0.1666666666666666 0.3333333333333333 0.0 0.027778
0.1666666666666666 0.5 0.0 0.027778
0.1666666666666666 0.6666666666666666 0.0 0.027778
0.1666666666666666 0.8333333333333333 0.0 0.027778
0.3333333333333333 0.0 0.0 0.027778
0.3333333333333333 0.1666666666666666 0.0 0.027778
0.3333333333333333 0.3333333333333333 0.0 0.027778
0.3333333333333333 0.5 0.0 0.027778
0.3333333333333333 0.6666666666666666 0.0 0.027778
0.3333333333333333 0.8333333333333333 0.0 0.027778
0.5 0.0 0.0 0.027778
0.5 0.1666666666666666 0.0 0.027778
0.5 0.3333333333333333 0.0 0.027778
0.5 0.5 0.0 0.027778
0.5 0.6666666666666666 0.0 0.027778
0.5 0.8333333333333333 0.0 0.027778
0.6666666666666666 0.0 0.0 0.027778
0.6666666666666666 0.1666666666666666 0.0 0.027778
0.6666666666666666 0.3333333333333333 0.0 0.027778
0.6666666666666666 0.5 0.0 0.027778
0.6666666666666666 0.6666666666666666 0.0 0.027778
0.6666666666666666 0.8333333333333333 0.0 0.027778
0.8333333333333333 0.0 0.0 0.027778
0.8333333333333333 0.1666666666666666 0.0 0.027778
0.8333333333333333 0.3333333333333333 0.0 0.027778
0.8333333333333333 0.5 0.0 0.027778
0.8333333333333333 0.6666666666666666 0.0 0.027778
0.8333333333333333 0.8333333333333333 0.0 0.027778

CELL_PARAMETERS angstrom

```

```

4.3801464577 0.0 3e-16
-2.190073228799869 3.793318104799796 3e-16
0.0 0.0 24.4260136812

```

```

---                epw1.in ---
&inputepw
prefix = 'hBN'
amass(1) = 6.941
amass(2) = 26.982
amass(3) = 126.7
outdir = './'
elph = .false.
epbwrite = .false.
epbread = .false.
epwwrite = .true.
epwread = .false.
etf_mem = 1
nbndsub = 14
use_ws = .true.
wannierize = .true.
num_iter = 1000
iprint = 2
dis_win_max = 9.02256775699045
dis_froz_max = -0.9585728464474661
fsthick = 1.2
temps = 1
degaussw = 0.005
dvscf_dir = './save'
nk1 = 6
nk2 = 6
nk3 = 1
nq1 = 1
nq2 = 1
nq3 = 1
system_2d = 'dipole_sp'
lpolar = .true.
dis_win_min = -17.92846339575661
wdata(1) = 'guiding_centres = T'
wdata(2) = 'dis_num_iter = 1500'
wdata(3) = 'bands_num_points = 100 '
wdata(4) = 'bands_plot = .true.'
wdata(5) = 'begin kpoint_path'
wdata(6) = 'G 0.0 0.0 0.0 M 0.5 0.0 0.0'
wdata(7) = 'M 0.5 0.0 0.0 K 0.3333333333 0.3333333333 0.0'
wdata(8) = 'K 0.3333333333 0.3333333333 0.0 X 1.0 1.0 0.0'
wdata(9) = 'X 1.0 1.0 0.0 M1 0.0 0.5 0.0'
wdata(10) = 'M1 0.0 0.5 0.0 G 0.0 0.0 0.0'
wdata(11) = 'end kpoint_path'
bands_skipped = 'exclude_bands = 1-13'
proj(1) = 'Li: l= 3, mr= 5,6,7'
proj(2) = 'Al: l= 3, mr= 2,4,5'
proj(3) = 'Te: l= 3, mr= 1,3,6,7'
dis_froz_min = -8.061287764866703
/

```

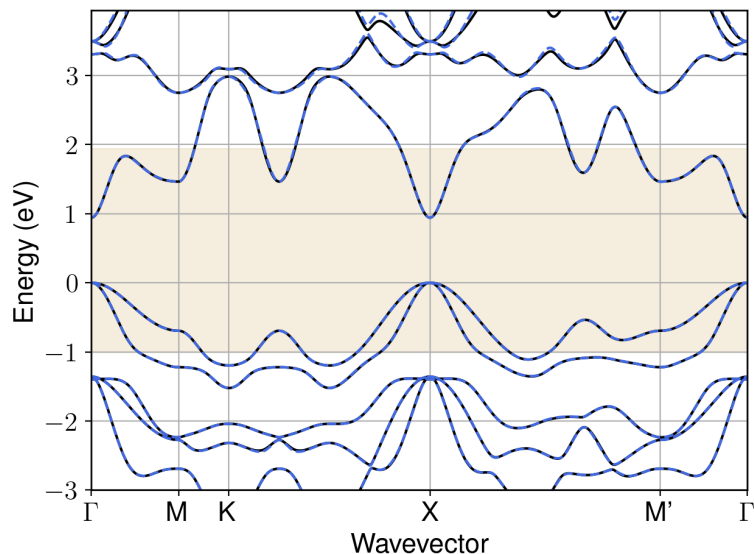


Figure S91: Bandstructure interpolation for monolayer  $\text{LiAlTe}_2$ . Wannier-interpolation of the band structure of monolayer  $\text{LiAlTe}_2$  over a wide energy range. Blue dashed lines are results from the present method, black solid lines are explicit DFT calculations. The yellow shaded region shows the range over which optimization has been performed. The interpolation error within the yellow region is 5 meV. The k-grid employed for NSCF calculation is  $6 \times 6$ .

## 80 Material: $\text{LiBH}_4$

The calculation files are appended below. These files should be executed in the order provided. The location of pseudo potentials should be changed accordingly.

```

---          scf.in ---
&CONTROL
calculation = 'scf'
verbosity = 'high'
restart_mode = 'from_scratch'
outdir = './'
pseudo_dir = '/scratch1/05193/sabyadk/2D_materials_Wann/Materials/LiBH4-bdc1ab51/pseudo/'
prefix = 'hBN'
/
&SYSTEM
ibrav = 0
nat = 6
ntyp = 3
ecutwfc = 60
ecutrho = 240
assume_isolated = 2D
/
&ELECTRONS
conv_thr = 1E-12
diagonalization = 'david'
electron_maxstep = 200
/
ATOMIC_SPECIES
Li 6.941 Li_r.upf
B 10.811 B_r.upf
H 1.008 H_r.upf
ATOMIC_POSITIONS crystal
Li 0.32668536658 0.67331463342 0.999999999998
B 0.668313497373 0.331686502627 0.999999999998
H 0.86869504812 0.33777708368 0.957596778826

```

```

H 0.791065525265 0.645990850486 0.021723015078
H 0.354009149514 0.208934474735 0.978276984924
H 0.66222291632 0.13130495188 0.042403221176

K_POINTS automatic
6 6 1 0 0 0

CELL_PARAMETERS angstrom
4.132356941594 0.0 3e-16
-2.1041710308921777 3.55652051385821 3e-16
0.0 0.0 21.6224824539

```

```

---                nscf.in ---
&CONTROL
calculation = bands
verbosity = 'high'
restart_mode = 'from_scratch'
outdir = './'
pseudo_dir = '/scratch1/05193/sabyadk/2D_materials_Wann/Materials/LiBH4-bdciab51/pseudo/'
prefix = 'hBN'
/
&SYSTEM
ibrav = 0
nat = 6
ntyp = 3
ecutwfc = 60
ecutrho = 240
assume_isolated = 2D
nbnd = 60
/
&ELECTRONS
conv_thr = 1E-10
diagonalization = 'david'
electron_maxstep = 200
/
ATOMIC_SPECIES
Li 6.941 Li_r.upf
B 10.811 B_r.upf
H 1.008 H_r.upf
ATOMIC_POSITIONS crystal
Li 0.3268536658 0.67331463342 0.99999999998
B 0.668313497373 0.331686502627 0.99999999998
H 0.86869504812 0.3377708368 0.957596778826
H 0.791065525265 0.645990850486 0.021723015078
H 0.354009149514 0.208934474735 0.978276984924
H 0.66222291632 0.13130495188 0.042403221176

K_POINTS crystal
36
0.0 0.0 0.0 0.027778
0.0 0.16666666666666666 0.0 0.027778
0.0 0.33333333333333333 0.0 0.027778
0.0 0.5 0.0 0.027778
0.0 0.66666666666666666 0.0 0.027778
0.0 0.83333333333333333 0.0 0.027778
0.16666666666666666 0.0 0.0 0.027778
0.16666666666666666 0.16666666666666666 0.0 0.027778
0.16666666666666666 0.33333333333333333 0.0 0.027778
0.16666666666666666 0.5 0.0 0.027778
0.16666666666666666 0.66666666666666666 0.0 0.027778
0.16666666666666666 0.83333333333333333 0.0 0.027778
0.33333333333333333 0.0 0.0 0.027778
0.33333333333333333 0.16666666666666666 0.0 0.027778
0.33333333333333333 0.33333333333333333 0.0 0.027778
0.33333333333333333 0.5 0.0 0.027778
0.33333333333333333 0.66666666666666666 0.0 0.027778
0.33333333333333333 0.83333333333333333 0.0 0.027778
0.5 0.0 0.0 0.027778
0.5 0.16666666666666666 0.0 0.027778
0.5 0.33333333333333333 0.0 0.027778
0.5 0.5 0.0 0.027778
0.5 0.66666666666666666 0.0 0.027778
0.5 0.83333333333333333 0.0 0.027778
0.66666666666666666 0.0 0.0 0.027778
0.66666666666666666 0.16666666666666666 0.0 0.027778
0.66666666666666666 0.33333333333333333 0.0 0.027778
0.66666666666666666 0.5 0.0 0.027778
0.66666666666666666 0.66666666666666666 0.0 0.027778
0.66666666666666666 0.83333333333333333 0.0 0.027778
0.83333333333333333 0.0 0.0 0.027778
0.83333333333333333 0.16666666666666666 0.0 0.027778
0.83333333333333333 0.33333333333333333 0.0 0.027778
0.83333333333333333 0.5 0.0 0.027778

```

```

0.8333333333333333 0.6666666666666666 0.0 0.027778
0.8333333333333333 0.8333333333333333 0.0 0.027778

CELL_PARAMETERS angstrom
4.132356941594 0.0 3e-16
-2.1041710308921777 3.55652051385821 3e-16
0.0 0.0 21.6224824539

```

```

---                epw1.in ---
&inputepw
prefix = 'hBN'
amass(1) = 6.941
amass(2) = 10.811
amass(3) = 1.008
outdir = './'
elph = .false.
epbwrite = .false.
epbread = .false.
epwwrite = .true.
epwread = .false.
etf_mem = 1
nbndsub = 22
use_ws = .true.
wannierize = .true.
num_iter = 1000
iprint = 2
dis_win_max = 11.874788328052503
dis_froz_max = 0.2460181778240269
fsthick = 1.2
temps = 1
degaussw = 0.005
dvscf_dir = './save'
nk1 = 6
nk2 = 6
nk3 = 1
nq1 = 1
nq2 = 1
nq3 = 1
system_2d = 'dipole_sp'
lpolar = .true.
dis_win_min = -22.343964467976242
wdata(1) = 'guiding_centres = T'
wdata(2) = 'dis_num_iter = 1500'
wdata(3) = 'bands_num_points = 100 '
wdata(4) = 'bands_plot = .true.'
wdata(5) = 'begin kpoint_path'
wdata(6) = 'G 0.0 0.0 0.0 M 0.5 0.0 0.0'
wdata(7) = 'M 0.5 0.0 0.0 K 0.3333333333 0.3333333333 0.0'
wdata(8) = 'K 0.3333333333 0.3333333333 0.0 X 1.0 1.0 0.0'
wdata(9) = 'X 1.0 1.0 0.0 M1 0.0 0.5 0.0'
wdata(10) = 'M1 0.0 0.5 0.0 G 0.0 0.0 0.0'
wdata(11) = 'end kpoint_path'
bands_skipped = 'exclude_bands = 1-2'
proj(1) = 'Li: l= -5, mr= 5'
proj(2) = 'B: l= 2, mr= 3'
proj(3) = 'H: l= 3, mr= 1,3,4,5,6'
dis_froz_min = -8.386869544392638
/

```

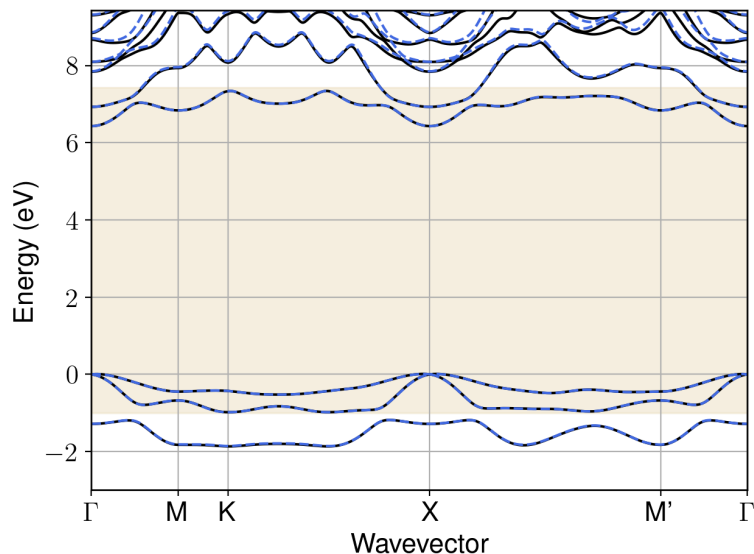


Figure S92: Bandstructure interpolation for monolayer  $\text{LiBH}_4$ . Wannier-interpolation of the band structure of monolayer  $\text{LiBH}_4$  over a wide energy range. Blue dashed lines are results from the present method, black solid lines are explicit DFT calculations. The yellow shaded region shows the range over which optimization has been performed. The interpolation error within the yellow region is 3 meV. The k-grid employed for NSCF calculation is  $6 \times 6$ .

## 81 Material: $\text{Lu}_2\text{CCl}_2$

The calculation files are appended below. These files should be executed in the order provided. The location of pseudo potentials should be changed accordingly.

```

---          scf.in ---
&CONTROL
calculation = 'scf'
verbosity = 'high'
restart_mode = 'from_scratch'
outdir = './'
pseudo_dir = '/scratch1/05193/sabyadk/2D_materials_Wann/Materials/Lu2CCl2-842ae805/pseudo/'
prefix = 'hBN'
/
&SYSTEM
ibrav = 0
nat = 5
ntyp = 3
ecutwfc = 60
ecutrho = 240
assume_isolated = 2D
/
&ELECTRONS
conv_thr = 1E-12
diagonalization = 'david'
electron_maxstep = 200
/
ATOMIC_SPECIES
Lu 174.967 Lu_r.upf
C 12.011 C_r.upf
Cl 35.453 Cl_r.upf
ATOMIC_POSITIONS crystal
Lu 0.6666666666666666 0.3333333333333333 0.95017994281
Lu 0.3333333333333333 0.6666666666666666 0.04982005719
C 4.4e-11 3.2e-11 0.0

```

```

Cl 0.6666666666666666 0.3333333333333333 0.116426186207
Cl 0.3333333333333333 0.6666666666666666 0.883573813793

K_POINTS automatic
6 6 1 0 0 0

CELL_PARAMETERS angstrom
3.607661935019 0.0 2e-16
-1.803830967509795 3.1243268839473752 2e-16
0.0 0.0 26.1040505564

```

```

---                nscf.in ---
&CONTROL
calculation = bands
verbosity = 'high'
restart_mode = 'from_scratch'
outdir = './'
pseudo_dir = '/scratch1/05193/sabyadk/2D_materials_Wann/Materials/Lu2CCl2-842ae805/pseudo/'
prefix = 'hBN'
/
&SYSTEM
ibrav = 0
nat = 5
ntyp = 3
ecutwfc = 60
ecutrho = 240
assume_isolated = 2D
nbnd = 60
/
&ELECTRONS
conv_thr = 1E-10
diagonalization = 'david'
electron_maxstep = 200
/
ATOMIC_SPECIES
Lu 174.967 Lu_r.upf
C 12.011 C_r.upf
Cl 35.453 Cl_r.upf
ATOMIC_POSITIONS crystal
Lu 0.6666666666666666 0.3333333333333333 0.95017994281
Lu 0.3333333333333333 0.6666666666666666 0.04982005719
C 4.4e-11 3.2e-11 0.0
Cl 0.6666666666666666 0.3333333333333333 0.116426186207
Cl 0.3333333333333333 0.6666666666666666 0.883573813793

K_POINTS crystal
36
0.0 0.0 0.0 0.027778
0.0 0.1666666666666666 0.0 0.027778
0.0 0.3333333333333333 0.0 0.027778
0.0 0.5 0.0 0.027778
0.0 0.6666666666666666 0.0 0.027778
0.0 0.8333333333333333 0.0 0.027778
0.1666666666666666 0.0 0.0 0.027778
0.1666666666666666 0.1666666666666666 0.0 0.027778
0.1666666666666666 0.3333333333333333 0.0 0.027778
0.1666666666666666 0.5 0.0 0.027778
0.1666666666666666 0.6666666666666666 0.0 0.027778
0.1666666666666666 0.8333333333333333 0.0 0.027778
0.3333333333333333 0.0 0.0 0.027778
0.3333333333333333 0.1666666666666666 0.0 0.027778
0.3333333333333333 0.3333333333333333 0.0 0.027778
0.3333333333333333 0.5 0.0 0.027778
0.3333333333333333 0.6666666666666666 0.0 0.027778
0.3333333333333333 0.8333333333333333 0.0 0.027778
0.5 0.0 0.0 0.027778
0.5 0.1666666666666666 0.0 0.027778
0.5 0.3333333333333333 0.0 0.027778
0.5 0.5 0.0 0.027778
0.5 0.6666666666666666 0.0 0.027778
0.5 0.8333333333333333 0.0 0.027778
0.6666666666666666 0.0 0.0 0.027778
0.6666666666666666 0.1666666666666666 0.0 0.027778
0.6666666666666666 0.3333333333333333 0.0 0.027778
0.6666666666666666 0.5 0.0 0.027778
0.6666666666666666 0.6666666666666666 0.0 0.027778
0.6666666666666666 0.8333333333333333 0.0 0.027778
0.8333333333333333 0.0 0.0 0.027778
0.8333333333333333 0.1666666666666666 0.0 0.027778
0.8333333333333333 0.3333333333333333 0.0 0.027778
0.8333333333333333 0.5 0.0 0.027778
0.8333333333333333 0.6666666666666666 0.0 0.027778
0.8333333333333333 0.8333333333333333 0.0 0.027778

```



```

CELL_PARAMETERS angstrom
3.607661935019 0.0 2e-16
-1.803830967509795 3.1243268839473752 2e-16
0.0 0.0 26.1040505564

```

```

---                epw1.in ---
&inputepw
prefix = 'hBN'
amass(1) = 174.967
amass(2) = 12.011
amass(3) = 35.453
outdir = './'
elph = .false.
epbwrite = .false.
epbread = .false.
epwwrite = .true.
epwread = .false.
etf_mem = 1
nbndsub = 22
use_ws = .true.
wannierize = .true.
num_iter = 1000
iprint = 2
dis_win_max = 12.605691340010843
dis_froz_max = -0.552251242273428
fsthick = 1.2
temps = 1
degaussw = 0.005
dvscf_dir = './save'
nk1 = 6
nk2 = 6
nk3 = 1
nq1 = 1
nq2 = 1
nq3 = 1
system_2d = 'dipole_sp'
lpolar = .true.
dis_win_min = -23.3880215969037
wdata(1) = 'guiding_centres = T'
wdata(2) = 'dis_num_iter = 1500'
wdata(3) = 'bands_num_points = 100 '
wdata(4) = 'bands_plot = .true.'
wdata(5) = 'begin kpoint_path'
wdata(6) = 'G 0.0 0.0 0.0 M 0.5 0.0 0.0'
wdata(7) = 'M 0.5 0.0 0.0 K 0.3333333333 0.3333333333 0.0'
wdata(8) = 'K 0.3333333333 0.3333333333 0.0 X 1.0 1.0 0.0'
wdata(9) = 'X 1.0 1.0 0.0 M1 0.0 0.5 0.0'
wdata(10) = 'M1 0.0 0.5 0.0 G 0.0 0.0 0.0'
wdata(11) = 'end kpoint_path'
bands_skipped = 'exclude_bands = 1-11'
proj(1) = 'Lu: l= -5, mr= 1,2,3,4,5'
proj(2) = 'C: l= 3, mr= 1,2,4,5'
proj(3) = 'Cl: l= 3, mr= 4,5,6,7'
dis_froz_min = -9.200637122087752
/

```

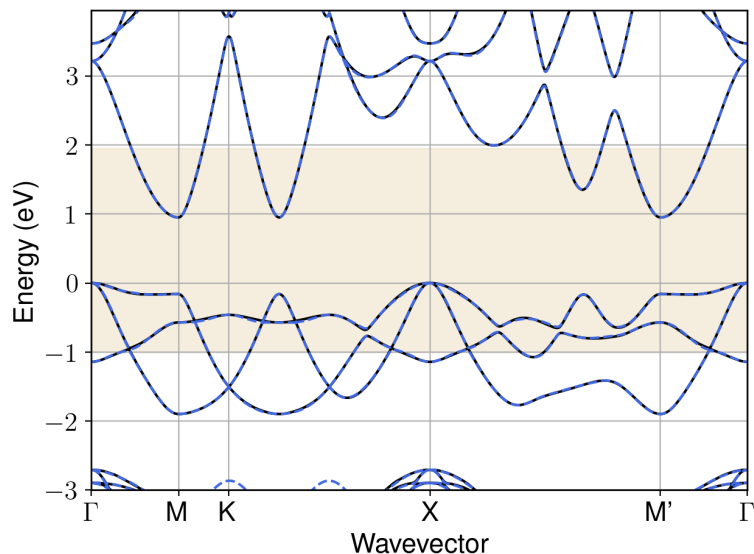


Figure S93: Bandstructure interpolation for monolayer  $\text{Lu}_2\text{CCl}_2$ . Wannier-interpolation of the band structure of monolayer  $\text{Lu}_2\text{CCl}_2$  over a wide energy range. Blue dashed lines are results from the present method, black solid lines are explicit DFT calculations. The yellow shaded region shows the range over which optimization has been performed. The interpolation error within the yellow region is 9 meV. The k-grid employed for NSCF calculation is  $6 \times 6$ .

## 82 Material: $\text{Lu}_2\text{H}_2\text{Cl}_2$

The calculation files are appended below. These files should be executed in the order provided. The location of pseudo potentials should be changed accordingly.

```

---          scf.in ---
&CONTROL
calculation = 'scf'
verbosity = 'high'
restart_mode = 'from_scratch'
outdir = './'
pseudo_dir = '/scratch1/05193/sabyadk/2D_materials_Wann/Materials/Lu2H2Cl2-217e915a/pseudo/'
prefix = 'hBN'
/
&SYSTEM
ibrav = 0
nat = 6
ntyp = 3
ecutwfc = 60
ecutrho = 240
occupations = 'smearing'
smearing = 'gaussian'
degauss = 0.1
/
&ELECTRONS
conv_thr = 1E-10
diagonalization = cg
electron_maxstep = 500
/
ATOMIC_SPECIES
Lu 174.967 Lu_r.upf
H 1.008 H_r.upf
Cl 35.453 Cl_r.upf
ATOMIC_POSITIONS crystal
Lu 0.3333333333333333 0.6666666666666666 0.050549336163

```

```

Lu 0.6666666666666666 0.3333333333333333 0.949450663834
H 0.3333333333333333 0.6666666666666666 0.968776705216
H 0.6666666666666666 0.3333333333333333 0.031223294786
Cl 3.2e-11 6.3e-11 0.115359457654
Cl 3.2e-11 6.3e-11 0.884640542347

K_POINTS automatic
6 6 1 0 0 0

CELL_PARAMETERS angstrom
3.647687232928 0.0 2e-16
-1.8238436164642193 3.1589898087918518 2e-16
0.0 0.0 26.0382889487

```

```

---                nscf.in ---
&CONTROL
calculation = bands
verbosity = 'high'
restart_mode = 'from_scratch'
outdir = './'
pseudo_dir = '/scratch1/05193/sabyadk/2D_materials_Wann/Materials/Lu2H2Cl2-217e915a/pseudo/'
prefix = 'hBN'
/
&SYSTEM
ibrav = 0
nat = 6
ntyp = 3
ecutwfc = 60
ecutrho = 240
occupations = 'smearing'
smearing = 'gaussian'
degauss = 0.1
nbnd = 60
/
&ELECTRONS
conv_thr = 1E-10
diagonalization = cg
electron_maxstep = 500
/
ATOMIC_SPECIES
Lu 174.967 Lu_r.upf
H 1.008 H_r.upf
Cl 35.453 Cl_r.upf
ATOMIC_POSITIONS crystal
Lu 0.3333333333333333 0.6666666666666666 0.050549336163
Lu 0.6666666666666666 0.3333333333333333 0.949450663834
H 0.3333333333333333 0.6666666666666666 0.968776705216
H 0.6666666666666666 0.3333333333333333 0.031223294786
Cl 3.2e-11 6.3e-11 0.115359457654
Cl 3.2e-11 6.3e-11 0.884640542347

K_POINTS crystal
36
0.0 0.0 0.0 0.027778
0.0 0.1666666666666666 0.0 0.027778
0.0 0.3333333333333333 0.0 0.027778
0.0 0.5 0.0 0.027778
0.0 0.6666666666666666 0.0 0.027778
0.0 0.8333333333333333 0.0 0.027778
0.1666666666666666 0.0 0.0 0.027778
0.1666666666666666 0.1666666666666666 0.0 0.027778
0.1666666666666666 0.3333333333333333 0.0 0.027778
0.1666666666666666 0.5 0.0 0.027778
0.1666666666666666 0.6666666666666666 0.0 0.027778
0.1666666666666666 0.8333333333333333 0.0 0.027778
0.3333333333333333 0.0 0.0 0.027778
0.3333333333333333 0.1666666666666666 0.0 0.027778
0.3333333333333333 0.3333333333333333 0.0 0.027778
0.3333333333333333 0.5 0.0 0.027778
0.3333333333333333 0.6666666666666666 0.0 0.027778
0.3333333333333333 0.8333333333333333 0.0 0.027778
0.5 0.0 0.0 0.027778
0.5 0.1666666666666666 0.0 0.027778
0.5 0.3333333333333333 0.0 0.027778
0.5 0.5 0.0 0.027778
0.5 0.6666666666666666 0.0 0.027778
0.5 0.8333333333333333 0.0 0.027778
0.6666666666666666 0.0 0.0 0.027778
0.6666666666666666 0.1666666666666666 0.0 0.027778
0.6666666666666666 0.3333333333333333 0.0 0.027778
0.6666666666666666 0.5 0.0 0.027778
0.6666666666666666 0.6666666666666666 0.0 0.027778
0.6666666666666666 0.8333333333333333 0.0 0.027778

```

```

0.8333333333333333 0.0 0.0 0.027778
0.8333333333333333 0.1666666666666666 0.0 0.027778
0.8333333333333333 0.3333333333333333 0.0 0.027778
0.8333333333333333 0.5 0.0 0.027778
0.8333333333333333 0.6666666666666666 0.0 0.027778
0.8333333333333333 0.8333333333333333 0.0 0.027778

CELL_PARAMETERS angstrom
3.647687232928 0.0 2e-16
-1.8238436164642193 3.1589898087918518 2e-16
0.0 0.0 26.0382889487

```

```

---                epw1.in ---
&inputepw
prefix = 'hBN'
amass(1) = 174.967
amass(2) = 1.008
amass(3) = 35.453
outdir = './'
elph = .false.
epbwrite = .false.
epbread = .false.
epwwrite = .true.
epwread = .false.
etf_mem = 1
nbndsub = 22
use_ws = .true.
wannierize = .true.
num_iter = 1000
iprint = 2
dis_win_max = 24.27815873661707
dis_froz_max = 3.8309768697849766
fsthick = 1.2
temps = 1
degaussw = 0.005
dvscf_dir = './save'
nk1 = 6
nk2 = 6
nk3 = 1
nq1 = 1
nq2 = 1
nq3 = 1
dis_win_min = -10.614692441032734
wdata(1) = 'guiding_centres = T'
wdata(2) = 'dis_num_iter = 1500'
wdata(3) = 'bands_num_points = 100 '
wdata(4) = 'bands_plot = .true.'
wdata(5) = 'begin kpoint_path'
wdata(6) = 'G 0.0 0.0 0.0 M 0.5 0.0 0.0'
wdata(7) = 'M 0.5 0.0 0.0 K 0.3333333333 0.3333333333 0.0'
wdata(8) = 'K 0.3333333333 0.3333333333 0.0 X 1.0 1.0 0.0'
wdata(9) = 'X 1.0 1.0 0.0 M1 0.0 0.5 0.0'
wdata(10) = 'M1 0.0 0.5 0.0 G 0.0 0.0 0.0'
wdata(11) = 'end kpoint_path'
bands_skipped = 'exclude_bands = 1-10'
proj(1) = 'Lu: l= -5, mr= 1,3,5'
proj(2) = 'H: l= -5, mr= 2,4,6'
proj(3) = 'Cl: l= 3, mr= 1,2,3,4,5'
dis_froz_min = -6.7373147120111145
/

```

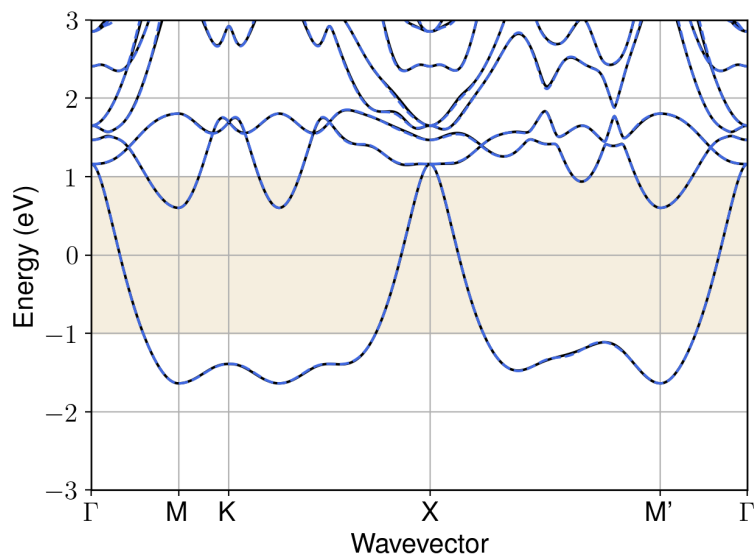


Figure S94: Bandstructure interpolation for monolayer  $\text{Lu}_2\text{H}_2\text{Cl}_2$ . Wannier-interpolation of the band structure of monolayer  $\text{Lu}_2\text{H}_2\text{Cl}_2$  over a wide energy range. Blue dashed lines are results from the present method, black solid lines are explicit DFT calculations. The yellow shaded region shows the range over which optimization has been performed. The interpolation error within the yellow region is 4 meV. The k-grid employed for NSCF calculation is  $6 \times 6$ .

### 83 Material: $\text{Lu}_2\text{O}_2\text{Br}_2$

The calculation files are appended below. These files should be executed in the order provided. The location of pseudo potentials should be changed accordingly.

```

---          scf.in ---
&CONTROL
calculation = 'scf'
verbosity = 'high'
restart_mode = 'from_scratch'
outdir = './'
pseudo_dir = '/scratch1/05193/sabyadk/2D_materials_Wann/Materials/Lu2O2Br2-540236a7/pseudo/'
prefix = 'hBN'
/
&SYSTEM
ibrav = 0
nat = 6
ntyp = 3
ecutwfc = 60
ecutrho = 240
assume_isolated = 2D
/
&ELECTRONS
conv_thr = 1E-12
diagonalization = 'david'
electron_maxstep = 200
/
ATOMIC_SPECIES
Lu 174.967 Lu_r.upf
Br 79.904 Br_r.upf
O 15.999 O_r.upf
ATOMIC_POSITIONS crystal
Lu 0.5 0.0 0.044489626534
Lu 0.0 0.5 0.955510373466
Br 0.0 0.5 0.110943696815

```

```

Br 0.5 0.0 0.889056303185
0 0.0 0.0 0.0
0 0.5 0.5 0.0

K_POINTS automatic
6 6 1 0 0 0

CELL_PARAMETERS angstrom
3.763502502029 0.0 2e-16
-2e-16 3.763502502029 2e-16
0.0 0.0 25.4699963194

```

```

---                nscf.in ---
&CONTROL
calculation = bands
verbosity = 'high'
restart_mode = 'from_scratch'
outdir = './'
pseudo_dir = '/scratch1/05193/sabyadk/2D_materials_Wann/Materials/Lu202Br2-540236a7/pseudo/'
prefix = 'hBN'
/
&SYSTEM
ibrav = 0
nat = 6
ntyp = 3
ecutwfc = 60
ecutrho = 240
assume_isolated = 2D
nbnd = 60
/
&ELECTRONS
conv_thr = 1E-10
diagonalization = 'david'
electron_maxstep = 200
/
ATOMIC_SPECIES
Lu 174.967 Lu_r.upf
Br 79.904 Br_r.upf
O 15.999 O_r.upf
ATOMIC_POSITIONS crystal
Lu 0.5 0.0 0.044489626534
Lu 0.0 0.5 0.955510373466
Br 0.0 0.5 0.110943696815
Br 0.5 0.0 0.889056303185
O 0.0 0.0 0.0
O 0.5 0.5 0.0

K_POINTS crystal
36
0.0 0.0 0.0 0.027778
0.0 0.16666666666666666 0.0 0.027778
0.0 0.33333333333333333 0.0 0.027778
0.0 0.5 0.0 0.027778
0.0 0.66666666666666666 0.0 0.027778
0.0 0.83333333333333333 0.0 0.027778
0.16666666666666666 0.0 0.0 0.027778
0.16666666666666666 0.16666666666666666 0.0 0.027778
0.16666666666666666 0.33333333333333333 0.0 0.027778
0.16666666666666666 0.5 0.0 0.027778
0.16666666666666666 0.66666666666666666 0.0 0.027778
0.16666666666666666 0.83333333333333333 0.0 0.027778
0.33333333333333333 0.0 0.0 0.027778
0.33333333333333333 0.16666666666666666 0.0 0.027778
0.33333333333333333 0.33333333333333333 0.0 0.027778
0.33333333333333333 0.5 0.0 0.027778
0.33333333333333333 0.66666666666666666 0.0 0.027778
0.33333333333333333 0.83333333333333333 0.0 0.027778
0.5 0.0 0.0 0.027778
0.5 0.16666666666666666 0.0 0.027778
0.5 0.33333333333333333 0.0 0.027778
0.5 0.5 0.0 0.027778
0.5 0.66666666666666666 0.0 0.027778
0.5 0.83333333333333333 0.0 0.027778
0.66666666666666666 0.0 0.0 0.027778
0.66666666666666666 0.16666666666666666 0.0 0.027778
0.66666666666666666 0.33333333333333333 0.0 0.027778
0.66666666666666666 0.5 0.0 0.027778
0.66666666666666666 0.66666666666666666 0.0 0.027778
0.66666666666666666 0.83333333333333333 0.0 0.027778
0.83333333333333333 0.0 0.0 0.027778
0.83333333333333333 0.16666666666666666 0.0 0.027778
0.83333333333333333 0.33333333333333333 0.0 0.027778
0.83333333333333333 0.5 0.0 0.027778

```

```
0.8333333333333333 0.6666666666666666 0.0 0.027778
0.8333333333333333 0.8333333333333333 0.0 0.027778
```

```
CELL_PARAMETERS angstrom
3.763502502029 0.0 2e-16
-2e-16 3.763502502029 2e-16
0.0 0.0 25.4699963194
```

```
---                epw1.in ---
&inputepw
prefix = 'hBN'
amass(1) = 174.967
amass(2) = 79.904
amass(3) = 15.999
outdir = './'
elph = .false.
epbwrite = .false.
epbread = .false.
epwwrite = .true.
epwread = .false.
etf_mem = 1
nbndsub = 20
use_ws = .true.
wannierize = .true.
num_iter = 1000
iprint = 2
dis_win_max = 13.271985260734432
dis_froz_max = -0.6579206845601893
fsthick = 1.2
temps = 1
degaussw = 0.005
dvscf_dir = './save'
nk1 = 6
nk2 = 6
nk3 = 1
nq1 = 1
nq2 = 1
nq3 = 1
system_2d = 'dipole_sp'
lpolar = .true.
dis_win_min = -26.420724700573064
wdata(1) = 'guiding_centres = T'
wdata(2) = 'dis_num_iter = 1500'
wdata(3) = 'bands_num_points = 100 '
wdata(4) = 'bands_plot = .true.'
wdata(5) = 'begin kpoint_path'
wdata(6) = 'G 0.0 0.0 0.0 M 0.5 0.0 0.0'
wdata(7) = 'M 0.5 0.0 0.0 K 0.3333333333 0.3333333333 0.0'
wdata(8) = 'K 0.3333333333 0.3333333333 0.0 X 1.0 1.0 0.0'
wdata(9) = 'X 1.0 1.0 0.0 M1 0.0 0.5 0.0'
wdata(10) = 'M1 0.0 0.5 0.0 G 0.0 0.0 0.0'
wdata(11) = 'end kpoint_path'
bands_skipped = 'exclude_bands = 1-12'
proj(1) = 'Lu: l= 2, mr= 1,2,3'
proj(2) = 'Br: l= -4, mr= 2,4,5'
proj(3) = 'O: l= 3, mr= 1,2,5,7'
dis_froz_min = -9.907528088970018
/
```

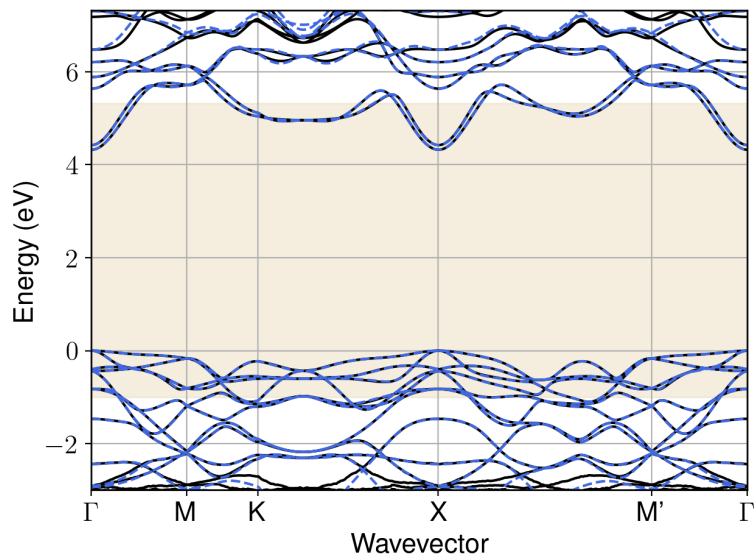


Figure S95: Bandstructure interpolation for monolayer  $\text{Lu}_2\text{O}_2\text{Br}_2$ . Wannier-interpolation of the band structure of monolayer  $\text{Lu}_2\text{O}_2\text{Br}_2$  over a wide energy range. Blue dashed lines are results from the present method, black solid lines are explicit DFT calculations. The yellow shaded region shows the range over which optimization has been performed. The interpolation error within the yellow region is 4 meV. The k-grid employed for NSCF calculation is  $6 \times 6$ .

## 84 Material: $\text{Lu}_2\text{O}_2\text{I}_2$

The calculation files are appended below. These files should be executed in the order provided. The location of pseudo potentials should be changed accordingly.

```

---          scf.in ---
&CONTROL
calculation = 'scf'
verbosity = 'high'
restart_mode = 'from_scratch'
outdir = './'
pseudo_dir = '/scratch1/05193/sabyadk/2D_materials_Wann/Materials/Lu202I2-c29e86bc/pseudo/'
prefix = 'hBN'
/
&SYSTEM
ibrav = 0
nat = 6
ntyp = 3
ecutwfc = 60
ecutrho = 240
assume_isolated = 2D
/
&ELECTRONS
conv_thr = 1E-12
diagonalization = 'david'
electron_maxstep = 200
/
ATOMIC_SPECIES
Lu 174.967 Lu_r.upf
I 126.904 I_r.upf
O 15.999 O_r.upf
ATOMIC_POSITIONS crystal
Lu 0.5 0.0 0.041410054539
Lu 0.0 0.5 0.958589945458
I 0.0 0.5 0.115276755039

```



```

I 0.5 0.0 0.884723244966
0 0.0 0.0 0.999999999999
0 0.5 0.5 0.999999999999

K_POINTS automatic
6 6 1 0 0 0

CELL_PARAMETERS angstrom
3.8810234864 0.0 2e-16
-2e-16 3.8810234864 2e-16
0.0 0.0 25.9872252558

```

```

---                nscf.in ---
&CONTROL
calculation = bands
verbosity = 'high'
restart_mode = 'from_scratch'
outdir = './'
pseudo_dir = '/scratch1/05193/sabyadk/2D_materials_Wann/Materials/Lu202I2-c29e86bc/pseudo/'
prefix = 'hBN'
/
&SYSTEM
ibrav = 0
nat = 6
ntyp = 3
ecutwfc = 60
ecutrho = 240
assume_isolated = 2D
nband = 60
/
&ELECTRONS
conv_thr = 1E-10
diagonalization = 'david'
electron_maxstep = 200
/
ATOMIC_SPECIES
Lu 174.967 Lu_r.upf
I 126.904 I_r.upf
O 15.999 O_r.upf
ATOMIC_POSITIONS crystal
Lu 0.5 0.0 0.041410054539
Lu 0.0 0.5 0.958589945458
I 0.0 0.5 0.115276755039
I 0.5 0.0 0.884723244966
O 0.0 0.0 0.999999999999
O 0.5 0.5 0.999999999999

K_POINTS crystal
36
0.0 0.0 0.0 0.027778
0.0 0.16666666666666666 0.0 0.027778
0.0 0.33333333333333333 0.0 0.027778
0.0 0.5 0.0 0.027778
0.0 0.66666666666666666 0.0 0.027778
0.0 0.83333333333333333 0.0 0.027778
0.16666666666666666 0.0 0.0 0.027778
0.16666666666666666 0.16666666666666666 0.0 0.027778
0.16666666666666666 0.33333333333333333 0.0 0.027778
0.16666666666666666 0.5 0.0 0.027778
0.16666666666666666 0.66666666666666666 0.0 0.027778
0.16666666666666666 0.83333333333333333 0.0 0.027778
0.33333333333333333 0.0 0.0 0.027778
0.33333333333333333 0.16666666666666666 0.0 0.027778
0.33333333333333333 0.33333333333333333 0.0 0.027778
0.33333333333333333 0.5 0.0 0.027778
0.33333333333333333 0.66666666666666666 0.0 0.027778
0.33333333333333333 0.83333333333333333 0.0 0.027778
0.5 0.0 0.0 0.027778
0.5 0.16666666666666666 0.0 0.027778
0.5 0.33333333333333333 0.0 0.027778
0.5 0.5 0.0 0.027778
0.5 0.66666666666666666 0.0 0.027778
0.5 0.83333333333333333 0.0 0.027778
0.66666666666666666 0.0 0.0 0.027778
0.66666666666666666 0.16666666666666666 0.0 0.027778
0.66666666666666666 0.33333333333333333 0.0 0.027778
0.66666666666666666 0.5 0.0 0.027778
0.66666666666666666 0.66666666666666666 0.0 0.027778
0.66666666666666666 0.83333333333333333 0.0 0.027778
0.83333333333333333 0.0 0.0 0.027778
0.83333333333333333 0.16666666666666666 0.0 0.027778
0.83333333333333333 0.33333333333333333 0.0 0.027778
0.83333333333333333 0.5 0.0 0.027778

```

```
0.8333333333333333 0.6666666666666666 0.0 0.027778
0.8333333333333333 0.8333333333333333 0.0 0.027778
```

```
CELL_PARAMETERS angstrom
3.8810234864 0.0 2e-16
-2e-16 3.8810234864 2e-16
0.0 0.0 25.9872252558
```

```
---                epw1.in ---
&inputepw
prefix = 'hBN'
amass(1) = 174.967
amass(2) = 126.904
amass(3) = 15.999
outdir = './'
elph = .false.
epbwrite = .false.
epbread = .false.
epwwrite = .true.
epwread = .false.
etf_mem = 1
nbndsub = 22
use_ws = .true.
wannierize = .true.
num_iter = 1000
iprint = 2
dis_win_max = 12.909923651516811
dis_froz_max = -1.3004010451411334
fsthick = 1.2
temps = 1
degaussw = 0.005
dvscf_dir = './save'
nk1 = 6
nk2 = 6
nk3 = 1
nq1 = 1
nq2 = 1
nq3 = 1
system_2d = 'dipole_sp'
lpolar = .true.
dis_win_min = -26.989134273707812
wdata(1) = 'guiding_centres = T'
wdata(2) = 'dis_num_iter = 1500'
wdata(3) = 'bands_num_points = 100 '
wdata(4) = 'bands_plot = .true.'
wdata(5) = 'begin kpoint_path'
wdata(6) = 'G 0.0 0.0 0.0 M 0.5 0.0 0.0'
wdata(7) = 'M 0.5 0.0 0.0 K 0.3333333333 0.3333333333 0.0'
wdata(8) = 'K 0.3333333333 0.3333333333 0.0 X 1.0 1.0 0.0'
wdata(9) = 'X 1.0 1.0 0.0 M1 0.0 0.5 0.0'
wdata(10) = 'M1 0.0 0.5 0.0 G 0.0 0.0 0.0'
wdata(11) = 'end kpoint_path'
bands_skipped = 'exclude_bands = 1-12'
proj(1) = 'Lu: l= -4, mr= 3,4,5'
proj(2) = 'I: l= 3, mr= 1,4,7'
proj(3) = 'O: l= 3, mr= 3,4,5,6,7'
dis_froz_min = -8.900603187086215
/
```

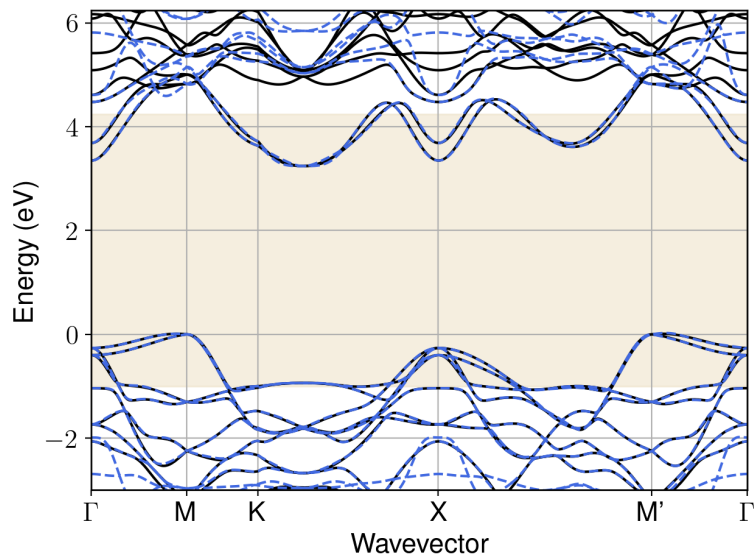


Figure S96: Bandstructure interpolation for monolayer  $\text{Lu}_2\text{O}_2\text{I}_2$ . Wannier-interpolation of the band structure of monolayer  $\text{Lu}_2\text{O}_2\text{I}_2$  over a wide energy range. Blue dashed lines are results from the present method, black solid lines are explicit DFT calculations. The yellow shaded region shows the range over which optimization has been performed. The interpolation error within the yellow region is 12 meV. The k-grid employed for NSCF calculation is  $6 \times 6$ .

## 85 Material: $\text{MgBr}_2$

The calculation files are appended below. These files should be executed in the order provided. The location of pseudo potentials should be changed accordingly.

```

---          scf.in ---
&CONTROL
calculation = 'scf'
verbosity = 'high'
restart_mode = 'from_scratch'
outdir = './'
pseudo_dir = '/scratch1/05193/sabyadk/2D_materials_Wann/Materials/MgBr2-af39c06c/pseudo/'
prefix = 'hBN'
/
&SYSTEM
ibrav = 0
nat = 3
ntyp = 2
ecutwfc = 60
ecutrho = 240
assume_isolated = 2D
/
&ELECTRONS
conv_thr = 1E-12
diagonalization = 'david'
electron_maxstep = 200
/
ATOMIC_SPECIES
Mg 24.305 Mg_r.upf
Br 79.904 Br_r.upf
ATOMIC_POSITIONS crystal
Mg 0.0 0.0 0.0
Br 0.3333333333333333 0.6666666666666666 0.065657581533
Br 0.6666666666666666 0.3333333333333333 0.934342418467

```

```

K_POINTS automatic
6 6 1 0 0 0

CELL_PARAMETERS angstrom
3.866305189434 0.0 2e-16
-1.9331525947672075 3.348318512869126 2e-16
0.0 0.0 23.0381639498

```

```

---                nscf.in ---
&CONTROL
calculation = bands
verbosity = 'high'
restart_mode = 'from_scratch'
outdir = './'
pseudo_dir = '/scratch1/05193/sabyadk/2D_materials_Wann/Materials/MgBr2-af39c06c/pseudo/'
prefix = 'hBN'
/
&SYSTEM
ibrav = 0
nat = 3
ntyp = 2
ecutwfc = 60
ecutrho = 240
assume_isolated = 2D
nbnd = 60
/
&ELECTRONS
conv_thr = 1E-10
diagonalization = 'david'
electron_maxstep = 200
/
ATOMIC_SPECIES
Mg 24.305 Mg_r.upf
Br 79.904 Br_r.upf
ATOMIC_POSITIONS crystal
Mg 0.0 0.0 0.0
Br 0.3333333333333333 0.6666666666666666 0.065657581533
Br 0.6666666666666666 0.3333333333333333 0.934342418467

K_POINTS crystal
36
0.0 0.0 0.0 0.027778
0.0 0.1666666666666666 0.0 0.027778
0.0 0.3333333333333333 0.0 0.027778
0.0 0.5 0.0 0.027778
0.0 0.6666666666666666 0.0 0.027778
0.0 0.8333333333333333 0.0 0.027778
0.1666666666666666 0.0 0.0 0.027778
0.1666666666666666 0.1666666666666666 0.0 0.027778
0.1666666666666666 0.3333333333333333 0.0 0.027778
0.1666666666666666 0.5 0.0 0.027778
0.1666666666666666 0.6666666666666666 0.0 0.027778
0.1666666666666666 0.8333333333333333 0.0 0.027778
0.3333333333333333 0.0 0.0 0.027778
0.3333333333333333 0.1666666666666666 0.0 0.027778
0.3333333333333333 0.3333333333333333 0.0 0.027778
0.3333333333333333 0.5 0.0 0.027778
0.3333333333333333 0.6666666666666666 0.0 0.027778
0.3333333333333333 0.8333333333333333 0.0 0.027778
0.5 0.0 0.0 0.027778
0.5 0.1666666666666666 0.0 0.027778
0.5 0.3333333333333333 0.0 0.027778
0.5 0.5 0.0 0.027778
0.5 0.6666666666666666 0.0 0.027778
0.5 0.8333333333333333 0.0 0.027778
0.6666666666666666 0.0 0.0 0.027778
0.6666666666666666 0.1666666666666666 0.0 0.027778
0.6666666666666666 0.3333333333333333 0.0 0.027778
0.6666666666666666 0.5 0.0 0.027778
0.6666666666666666 0.6666666666666666 0.0 0.027778
0.6666666666666666 0.8333333333333333 0.0 0.027778
0.8333333333333333 0.0 0.0 0.027778
0.8333333333333333 0.1666666666666666 0.0 0.027778
0.8333333333333333 0.3333333333333333 0.0 0.027778
0.8333333333333333 0.5 0.0 0.027778
0.8333333333333333 0.6666666666666666 0.0 0.027778
0.8333333333333333 0.8333333333333333 0.0 0.027778

CELL_PARAMETERS angstrom
3.866305189434 0.0 2e-16
-1.9331525947672075 3.348318512869126 2e-16
0.0 0.0 23.0381639498

```

```

---                epw1.in ---
&inputepw
prefix = 'hBN'
amass(1) = 24.305
amass(2) = 79.904
outdir = './'
elph = .false.
epbwrite = .false.
epbread = .false.
epwwrite = .true.
epwread = .false.
etf_mem = 1
nbndsub = 15
use_ws = .true.
wannierize = .true.
num_iter = 1000
iprint = 2
dis_win_max = 13.172223495243548
dis_froz_max = 0.015051706653171237
fsthick = 1.2
temps = 1
degaussw = 0.005
dvscf_dir = './save'
nk1 = 6
nk2 = 6
nk3 = 1
nq1 = 1
nq2 = 1
nq3 = 1
system_2d = 'dipole_sp'
lpolar = .true.
dis_win_min = -19.607731995063826
wdata(1) = 'guiding_centres = T'
wdata(2) = 'dis_num_iter = 1500'
wdata(3) = 'bands_num_points = 100 '
wdata(4) = 'bands_plot = .true.'
wdata(5) = 'begin kpoint_path'
wdata(6) = 'G 0.0 0.0 0.0 M 0.5 0.0 0.0'
wdata(7) = 'M 0.5 0.0 0.0 K 0.3333333333 0.3333333333 0.0'
wdata(8) = 'K 0.3333333333 0.3333333333 0.0 X 1.0 1.0 0.0'
wdata(9) = 'X 1.0 1.0 0.0 M1 0.0 0.5 0.0'
wdata(10) = 'M1 0.0 0.5 0.0 G 0.0 0.0 0.0'
wdata(11) = 'end kpoint_path'
bands_skipped = 'exclude_bands = 1-6'
proj(1) = 'Mg: l= 3, mr= 3,4,5,6,7'
proj(2) = 'Br: l= 3, mr= 1,2,3,4,7'
dis_froz_min = -15.149655626365432
/

```

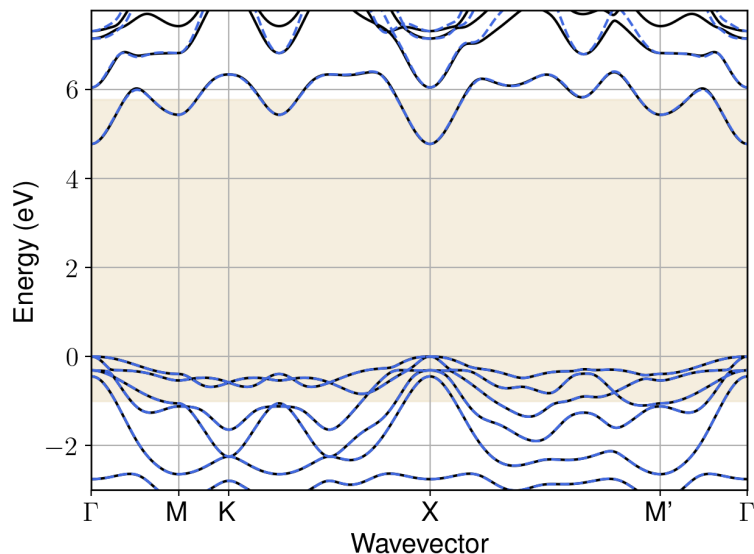


Figure S97: Bandstructure interpolation for monolayer  $\text{MgBr}_2$ . Wannier-interpolation of the band structure of monolayer  $\text{MgBr}_2$  over a wide energy range. Blue dashed lines are results from the present method, black solid lines are explicit DFT calculations. The yellow shaded region shows the range over which optimization has been performed. The interpolation error within the yellow region is 4 meV. The k-grid employed for NSCF calculation is  $6 \times 6$ .

## 86 Material: $\text{MgCl}_2$

The calculation files are appended below. These files should be executed in the order provided. The location of pseudo potentials should be changed accordingly.

```

---          scf.in ---
&CONTROL
calculation = 'scf'
verbosity = 'high'
restart_mode = 'from_scratch'
outdir = './'
pseudo_dir = '/scratch1/05193/sabyadk/2D_materials_Wann/Materials/MgCl2-36555105/pseudo/'
prefix = 'hBN'
/
&SYSTEM
ibrav = 0
nat = 3
ntyp = 2
ecutwfc = 60
ecutrho = 240
assume_isolated = 2D
/
&ELECTRONS
conv_thr = 1E-12
diagonalization = 'david'
electron_maxstep = 200
/
ATOMIC_SPECIES
Mg 24.305 Mg_r.upf
Cl 35.453 Cl_r.upf
ATOMIC_POSITIONS crystal
Mg 0.6666666666666666 0.3333333333333333 3.3158e-08
Cl 0.0 0.0 0.060808844124
Cl 0.3333333333333333 0.6666666666666666 0.939191122718

```

```

K_POINTS automatic
6 6 1 0 0 0

CELL_PARAMETERS angstrom
3.645331576333 0.0 2e-16
-1.8226657882165302 3.1569497502780544 2e-16
0.0 0.0 22.7262264347

```

```

--- nscf.in ---
&CONTROL
calculation = bands
verbosity = 'high'
restart_mode = 'from_scratch'
outdir = './'
pseudo_dir = '/scratch1/05193/sabyadk/2D_materials_Wann/Materials/MgCl2-36555105/pseudo/'
prefix = 'hBN'
/
&SYSTEM
ibrav = 0
nat = 3
ntyp = 2
ecutwfc = 60
ecutrho = 240
assume_isolated = 2D
nbnd = 60
/
&ELECTRONS
conv_thr = 1E-10
diagonalization = 'david'
electron_maxstep = 200
/
ATOMIC_SPECIES
Mg 24.305 Mg_r.upf
Cl 35.453 Cl_r.upf
ATOMIC_POSITIONS crystal
Mg 0.6666666666666666 0.3333333333333333 3.3158e-08
Cl 0.0 0.0 0.060808844124
Cl 0.3333333333333333 0.6666666666666666 0.939191122718

K_POINTS crystal
36
0.0 0.0 0.0 0.027778
0.0 0.1666666666666666 0.0 0.027778
0.0 0.3333333333333333 0.0 0.027778
0.0 0.5 0.0 0.027778
0.0 0.6666666666666666 0.0 0.027778
0.0 0.8333333333333333 0.0 0.027778
0.1666666666666666 0.0 0.0 0.027778
0.1666666666666666 0.1666666666666666 0.0 0.027778
0.1666666666666666 0.3333333333333333 0.0 0.027778
0.1666666666666666 0.5 0.0 0.027778
0.1666666666666666 0.6666666666666666 0.0 0.027778
0.1666666666666666 0.8333333333333333 0.0 0.027778
0.3333333333333333 0.0 0.0 0.027778
0.3333333333333333 0.1666666666666666 0.0 0.027778
0.3333333333333333 0.3333333333333333 0.0 0.027778
0.3333333333333333 0.5 0.0 0.027778
0.3333333333333333 0.6666666666666666 0.0 0.027778
0.3333333333333333 0.8333333333333333 0.0 0.027778
0.5 0.0 0.0 0.027778
0.5 0.1666666666666666 0.0 0.027778
0.5 0.3333333333333333 0.0 0.027778
0.5 0.5 0.0 0.027778
0.5 0.6666666666666666 0.0 0.027778
0.5 0.8333333333333333 0.0 0.027778
0.6666666666666666 0.0 0.0 0.027778
0.6666666666666666 0.1666666666666666 0.0 0.027778
0.6666666666666666 0.3333333333333333 0.0 0.027778
0.6666666666666666 0.5 0.0 0.027778
0.6666666666666666 0.6666666666666666 0.0 0.027778
0.6666666666666666 0.8333333333333333 0.0 0.027778
0.8333333333333333 0.0 0.0 0.027778
0.8333333333333333 0.1666666666666666 0.0 0.027778
0.8333333333333333 0.3333333333333333 0.0 0.027778
0.8333333333333333 0.5 0.0 0.027778
0.8333333333333333 0.6666666666666666 0.0 0.027778
0.8333333333333333 0.8333333333333333 0.0 0.027778

CELL_PARAMETERS angstrom
3.645331576333 0.0 2e-16
-1.8226657882165302 3.1569497502780544 2e-16
0.0 0.0 22.7262264347

```

```
---                epw1.in ---
&inputepw
prefix = 'hBN'
amass(1) = 24.305
amass(2) = 35.453
outdir = './'
elph = .false.
epbwrite = .false.
epbread = .false.
epwwrite = .true.
epwread = .false.
etf_mem = 1
nbndsub = 10
use_ws = .true.
wannierize = .true.
num_iter = 1000
iprint = 2
dis_win_max = 17.469613273576737
dis_froz_max = 0.4096781052097187
fsthick = 1.2
temps = 1
degaussw = 0.005
dvscf_dir = './save'
nk1 = 6
nk2 = 6
nk3 = 1
nq1 = 1
nq2 = 1
nq3 = 1
system_2d = 'dipole_sp'
lpolar = .true.
dis_win_min = -24.76775373870068
wdata(1) = 'guiding_centres = T'
wdata(2) = 'dis_num_iter = 1500'
wdata(3) = 'bands_num_points = 100 '
wdata(4) = 'bands_plot = .true.'
wdata(5) = 'begin kpoint_path'
wdata(6) = 'G 0.0 0.0 0.0 M 0.5 0.0 0.0'
wdata(7) = 'M 0.5 0.0 0.0 K 0.3333333333 0.3333333333 0.0'
wdata(8) = 'K 0.3333333333 0.3333333333 0.0 X 1.0 1.0 0.0'
wdata(9) = 'X 1.0 1.0 0.0 M1 0.0 0.5 0.0'
wdata(10) = 'M1 0.0 0.5 0.0 G 0.0 0.0 0.0'
wdata(11) = 'end kpoint_path'
bands_skipped = 'exclude_bands = 1-6'
proj(1) = 'Mg: l= -3, mr= 3,4'
proj(2) = 'Cl: l= 2, mr= 1,2,4,5'
dis_froz_min = -14.553492734335125
/
```



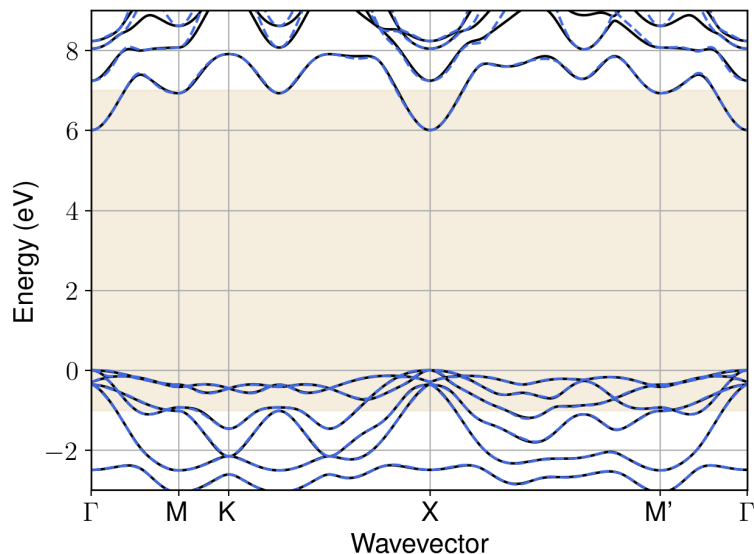


Figure S98: Bandstructure interpolation for monolayer  $\text{MgCl}_2$ . Wannier-interpolation of the band structure of monolayer  $\text{MgCl}_2$  over a wide energy range. Blue dashed lines are results from the present method, black solid lines are explicit DFT calculations. The yellow shaded region shows the range over which optimization has been performed. The interpolation error within the yellow region is 9 meV. The k-grid employed for NSCF calculation is  $6 \times 6$ .

## 87 Material: $\text{MgI}_2$

The calculation files are appended below. These files should be executed in the order provided. The location of pseudo potentials should be changed accordingly.

```

---          scf.in ---
&CONTROL
calculation = 'scf'
verbosity = 'high'
restart_mode = 'from_scratch'
outdir = './'
pseudo_dir = '/scratch1/05193/sabyadk/2D_materials_Wann/Materials/MgI2-65d0664c/pseudo/'
prefix = 'hBN'
/
&SYSTEM
ibrav = 0
nat = 3
ntyp = 2
ecutwfc = 60
ecutrho = 240
assume_isolated = 2D
/
&ELECTRONS
conv_thr = 1E-12
diagonalization = 'david'
electron_maxstep = 200
/
ATOMIC_SPECIES
Mg 24.305 Mg_r.upf
I 126.904 I_r.upf
ATOMIC_POSITIONS crystal
Mg 0.0 0.0 1e-12
I 0.3333333333333333 0.6666666666666666 0.927156047111
I 0.6666666666666666 0.3333333333333333 0.072843952887

```

```

K_POINTS automatic
6 6 1 0 0 0

CELL_PARAMETERS angstrom
4.1535350098 0.0 3e-16
-2.0767675047997805 3.597066833999593 3e-16
0.0 0.0 23.3742955077

```

```

---                nscf.in ---
&CONTROL
calculation = bands
verbosity = 'high'
restart_mode = 'from_scratch'
outdir = './'
pseudo_dir = '/scratch1/05193/sabyadk/2D_materials_Wann/Materials/MgI2-65d0664c/pseudo/'
prefix = 'hBN'
/
&SYSTEM
ibrav = 0
nat = 3
ntyp = 2
ecutwfc = 60
ecutrho = 240
assume_isolated = 2D
nbnd = 60
/
&ELECTRONS
conv_thr = 1E-10
diagonalization = 'david'
electron_maxstep = 200
/
ATOMIC_SPECIES
Mg 24.305 Mg_r.upf
I 126.904 I_r.upf
ATOMIC_POSITIONS crystal
Mg 0.0 0.0 1e-12
I 0.3333333333333333 0.6666666666666666 0.927156047111
I 0.6666666666666666 0.3333333333333333 0.072843952887

K_POINTS crystal
36
0.0 0.0 0.0 0.027778
0.0 0.1666666666666666 0.0 0.027778
0.0 0.3333333333333333 0.0 0.027778
0.0 0.5 0.0 0.027778
0.0 0.6666666666666666 0.0 0.027778
0.0 0.8333333333333333 0.0 0.027778
0.1666666666666666 0.0 0.0 0.027778
0.1666666666666666 0.1666666666666666 0.0 0.027778
0.1666666666666666 0.3333333333333333 0.0 0.027778
0.1666666666666666 0.5 0.0 0.027778
0.1666666666666666 0.6666666666666666 0.0 0.027778
0.1666666666666666 0.8333333333333333 0.0 0.027778
0.3333333333333333 0.0 0.0 0.027778
0.3333333333333333 0.1666666666666666 0.0 0.027778
0.3333333333333333 0.3333333333333333 0.0 0.027778
0.3333333333333333 0.5 0.0 0.027778
0.3333333333333333 0.6666666666666666 0.0 0.027778
0.3333333333333333 0.8333333333333333 0.0 0.027778
0.5 0.0 0.0 0.027778
0.5 0.1666666666666666 0.0 0.027778
0.5 0.3333333333333333 0.0 0.027778
0.5 0.5 0.0 0.027778
0.5 0.6666666666666666 0.0 0.027778
0.5 0.8333333333333333 0.0 0.027778
0.6666666666666666 0.0 0.0 0.027778
0.6666666666666666 0.1666666666666666 0.0 0.027778
0.6666666666666666 0.3333333333333333 0.0 0.027778
0.6666666666666666 0.5 0.0 0.027778
0.6666666666666666 0.6666666666666666 0.0 0.027778
0.6666666666666666 0.8333333333333333 0.0 0.027778
0.8333333333333333 0.0 0.0 0.027778
0.8333333333333333 0.1666666666666666 0.0 0.027778
0.8333333333333333 0.3333333333333333 0.0 0.027778
0.8333333333333333 0.5 0.0 0.027778
0.8333333333333333 0.6666666666666666 0.0 0.027778
0.8333333333333333 0.8333333333333333 0.0 0.027778

CELL_PARAMETERS angstrom
4.1535350098 0.0 3e-16
-2.0767675047997805 3.597066833999593 3e-16
0.0 0.0 23.3742955077

```

```

---                epw1.in ---
&inputepw
prefix = 'hBN'
amass(1) = 24.305
amass(2) = 126.904
outdir = './'
elph = .false.
epbwrite = .false.
epbread = .false.
epwwrite = .true.
epwread = .false.
etf_mem = 1
nbndsub = 15
use_ws = .true.
wannierize = .true.
num_iter = 1000
iprint = 2
dis_win_max = 15.915821629547063
dis_froz_max = -0.9963608122466265
fsthick = 1.2
temps = 1
degaussw = 0.005
dvscf_dir = './save'
nk1 = 6
nk2 = 6
nk3 = 1
nq1 = 1
nq2 = 1
nq3 = 1
system_2d = 'dipole_sp'
lpolar = .true.
dis_win_min = -26.995334517983665
wdata(1) = 'guiding_centres = T'
wdata(2) = 'dis_num_iter = 1500'
wdata(3) = 'bands_num_points = 100 '
wdata(4) = 'bands_plot = .true.'
wdata(5) = 'begin kpoint_path'
wdata(6) = 'G 0.0 0.0 0.0 M 0.5 0.0 0.0'
wdata(7) = 'M 0.5 0.0 0.0 K 0.3333333333 0.3333333333 0.0'
wdata(8) = 'K 0.3333333333 0.3333333333 0.0 X 1.0 1.0 0.0'
wdata(9) = 'X 1.0 1.0 0.0 M1 0.0 0.5 0.0'
wdata(10) = 'M1 0.0 0.5 0.0 G 0.0 0.0 0.0'
wdata(11) = 'end kpoint_path'
bands_skipped = 'exclude_bands = 1-6'
proj(1) = 'Mg: l= 3, mr= 1,2,4,6,7'
proj(2) = 'I: l= 3, mr= 1,2,3,4,6'
dis_froz_min = -11.404013883917413
/

```

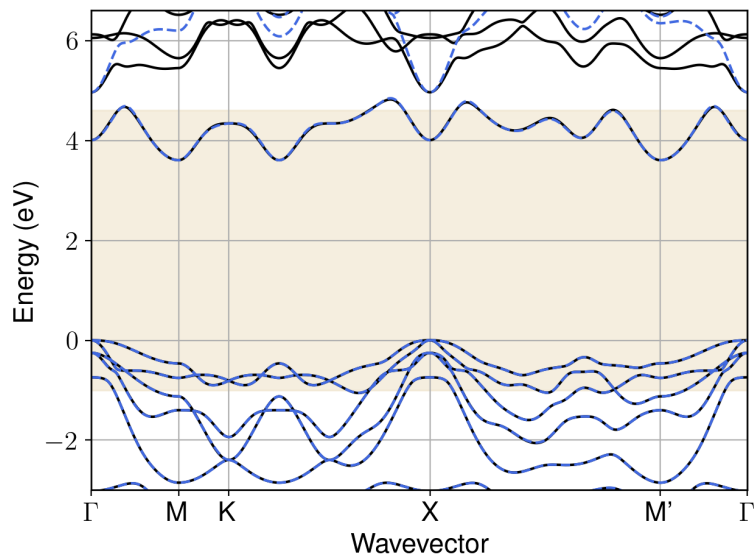


Figure S99: Bandstructure interpolation for monolayer  $\text{MgI}_2$ . Wannier-interpolation of the band structure of monolayer  $\text{MgI}_2$  over a wide energy range. Blue dashed lines are results from the present method, black solid lines are explicit DFT calculations. The yellow shaded region shows the range over which optimization has been performed. The interpolation error within the yellow region is 6 meV. The k-grid employed for NSCF calculation is  $6 \times 6$ .

## 88 Material: $\text{MnBr}_2$

The calculation files are appended below. These files should be executed in the order provided. The location of pseudo potentials should be changed accordingly.

```

---          scf.in ---
&CONTROL
calculation = 'scf'
verbosity = 'high'
restart_mode = 'from_scratch'
outdir = './'
pseudo_dir = '/scratch1/05193/sabyadk/2D_materials_Wann/Materials/MnBr2-171dc431/pseudo/'
prefix = 'hBN'
/
&SYSTEM
ibrav = 0
nat = 6
ntyp = 2
ecutwfc = 60
ecutrho = 240
occupations = 'smearing'
smearing = 'gaussian'
degauss = 0.01
/
&ELECTRONS
conv_thr = 1E-10
diagonalization = cg
electron_maxstep = 500
/
ATOMIC_SPECIES
Mn 54.938 Mn_r.upf
Br 79.904 Br_r.upf
ATOMIC_POSITIONS crystal
Mn 0.4999999899993 0.9999999499994 0.0
Mn 0.9999999000003 0.4999999499999 0.0

```

```

Br 0.333150263475 0.499999899974 0.913520828171
Br 0.833150250081 0.999999899974 0.913520821732
Br 0.666849856508 0.4999997005 0.086479171829
Br 0.166849869902 0.9999997005 0.086479178268

```

```

K_POINTS automatic
6 6 1 0 0 0

```

```

CELL_PARAMETERS angstrom
6.711676710234 0.0 4e-16
-4.686326444e-07 3.8791403788359715 2e-16
0.0 0.0 17.486864

```

```

---                nscf.in ---
&CONTROL
calculation = bands
verbosity = 'high'
restart_mode = 'from_scratch'
outdir = './'
pseudo_dir = '/scratch1/05193/sabyadk/2D_materials_Wann/Materials/MnBr2-171dc431/pseudo/'
prefix = 'hEN'
/
&SYSTEM
ibrav = 0
nat = 6
ntyp = 2
ecutwfc = 60
ecutrho = 240
occupations = 'smearing'
smearing = 'gaussian'
degauss = 0.01
nbnd = 60
/
&ELECTRONS
conv_thr = 1E-10
diagonalization = cg
electron_maxstep = 500
/
ATOMIC_SPECIES
Mn 54.938 Mn_r.upf
Br 79.904 Br_r.upf
ATOMIC_POSITIONS crystal
Mn 0.499999899993 0.999999499994 0.0
Mn 0.999999900003 0.499999499999 0.0
Br 0.333150263475 0.499999899974 0.913520828171
Br 0.833150250081 0.999999899974 0.913520821732
Br 0.666849856508 0.4999997005 0.086479171829
Br 0.166849869902 0.9999997005 0.086479178268

K_POINTS crystal
36
0.0 0.0 0.0 0.027778
0.0 0.16666666666666666 0.0 0.027778
0.0 0.3333333333333333 0.0 0.027778
0.0 0.5 0.0 0.027778
0.0 0.6666666666666666 0.0 0.027778
0.0 0.8333333333333333 0.0 0.027778
0.16666666666666666 0.0 0.0 0.027778
0.16666666666666666 0.16666666666666666 0.0 0.027778
0.16666666666666666 0.3333333333333333 0.0 0.027778
0.16666666666666666 0.5 0.0 0.027778
0.16666666666666666 0.6666666666666666 0.0 0.027778
0.16666666666666666 0.8333333333333333 0.0 0.027778
0.3333333333333333 0.0 0.0 0.027778
0.3333333333333333 0.16666666666666666 0.0 0.027778
0.3333333333333333 0.3333333333333333 0.0 0.027778
0.3333333333333333 0.5 0.0 0.027778
0.3333333333333333 0.6666666666666666 0.0 0.027778
0.3333333333333333 0.8333333333333333 0.0 0.027778
0.5 0.0 0.0 0.027778
0.5 0.16666666666666666 0.0 0.027778
0.5 0.3333333333333333 0.0 0.027778
0.5 0.5 0.0 0.027778
0.5 0.6666666666666666 0.0 0.027778
0.5 0.8333333333333333 0.0 0.027778
0.6666666666666666 0.0 0.0 0.027778
0.6666666666666666 0.16666666666666666 0.0 0.027778
0.6666666666666666 0.3333333333333333 0.0 0.027778
0.6666666666666666 0.5 0.0 0.027778
0.6666666666666666 0.6666666666666666 0.0 0.027778
0.6666666666666666 0.8333333333333333 0.0 0.027778
0.8333333333333333 0.0 0.0 0.027778
0.8333333333333333 0.16666666666666666 0.0 0.027778

```

```

0.8333333333333333 0.3333333333333333 0.0 0.027778
0.8333333333333333 0.5 0.0 0.027778
0.8333333333333333 0.6666666666666666 0.0 0.027778
0.8333333333333333 0.8333333333333333 0.0 0.027778

```

```

CELL_PARAMETERS angstrom
6.711676710234 0.0 4e-16
-4.686326444e-07 3.8791403788359715 2e-16
0.0 0.0 17.486864

```

```

---                epw1.in ---
&inputepw
prefix = 'hBN'
amass(1) = 54.938
amass(2) = 79.904
outdir = './'
elph = .false.
epbwrite = .false.
epbread = .false.
epwwrite = .true.
epwread = .false.
etf_mem = 1
nbndsub = 16
use_ws = .true.
wannierize = .true.
num_iter = 1000
iprint = 2
dis_win_max = 11.169870414209779
dis_froz_max = 2.2515965950150516
fsthick = 1.2
temps = 1
degaussw = 0.005
dvscf_dir = './save'
nk1 = 6
nk2 = 6
nk3 = 1
nq1 = 1
nq2 = 1
nq3 = 1
dis_win_min = -14.153444822967263
wdata(1) = 'guiding_centres = T'
wdata(2) = 'dis_num_iter = 1500'
wdata(3) = 'bands_num_points = 100 '
wdata(4) = 'bands_plot = .true.'
wdata(5) = 'begin kpoint_path'
wdata(6) = 'G 0.0 0.0 0.0 M 0.5 0.0 0.0'
wdata(7) = 'M 0.5 0.0 0.0 K 0.3333333333 0.3333333333 0.0'
wdata(8) = 'K 0.3333333333 0.3333333333 0.0 X 1.0 1.0 0.0'
wdata(9) = 'X 1.0 1.0 0.0 M1 0.0 0.5 0.0'
wdata(10) = 'M1 0.0 0.5 0.0 G 0.0 0.0 0.0'
wdata(11) = 'end kpoint_path'
bands_skipped = 'exclude_bands = 1-12'
proj(1) = 'Mn: l= -5, mr= 1,2,4,6'
proj(2) = 'Br: l= 3, mr= 1,2'
dis_froz_min = -2.491637138509075
/

```

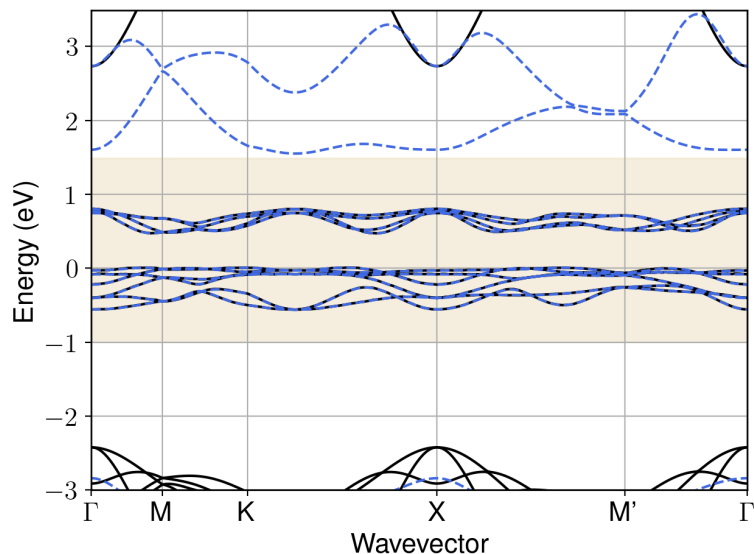


Figure S100: Bandstructure interpolation for monolayer  $\text{MnBr}_2$ . Wannier-interpolation of the band structure of monolayer  $\text{MnBr}_2$  over a wide energy range. Blue dashed lines are results from the present method, black solid lines are explicit DFT calculations. The yellow shaded region shows the range over which optimization has been performed. The interpolation error within the yellow region is 3 meV. The k-grid employed for NSCF calculation is  $6 \times 6$ .

## 89 Material: $\text{MnCl}_2$

The calculation files are appended below. These files should be executed in the order provided. The location of pseudo potentials should be changed accordingly.

```

---          scf.in ---
&CONTROL
calculation = 'scf'
verbosity = 'high'
restart_mode = 'from_scratch'
outdir = './'
pseudo_dir = '/scratch1/05193/sabyadk/2D_materials_Wann/Materials/MnCl2-ce2d27fb/pseudo/'
prefix = 'hBN'
/
&SYSTEM
ibrav = 0
nat = 6
ntyp = 2
ecutwfc = 60
ecutrho = 240
occupations = 'smearing'
smearing = 'gaussian'
degauss = 0.01
/
&ELECTRONS
conv_thr = 1E-10
diagonalization = cg
electron_maxstep = 500
/
ATOMIC_SPECIES
Mn 54.938 Mn_r.upf
Cl 35.453 Cl_r.upf
ATOMIC_POSITIONS crystal
Mn 0.249999960008 0.24999987999 0.0
Mn 0.749999960012 0.749999880001 0.0

```

```

Cl 0.414665165008 0.749999965036 0.919339434511
Cl 0.914665013702 0.249999965039 0.919339392517
Cl 0.085334835002 0.750000034939 0.080660565489
Cl 0.585334986308 0.250000034936 0.080660607483

```

```

K_POINTS automatic
6 6 1 0 0 0

```

```

CELL_PARAMETERS angstrom
6.379195982686 0.0 4e-16
6.25732076e-08 3.7150438244769997 2e-16
0.0 0.0 17.262353

```

```

---                nscf.in ---
&CONTROL
calculation = bands
verbosity = 'high'
restart_mode = 'from_scratch'
outdir = './'
pseudo_dir = '/scratch1/05193/sabyadk/2D_materials_Wann/Materials/MnCl2-ce2d27fb/pseudo/'
prefix = 'hEN'
/
&SYSTEM
ibrav = 0
nat = 6
ntyp = 2
ecutwfc = 60
ecutrho = 240
occupations = 'smearing'
smearing = 'gaussian'
degauss = 0.01
nbnd = 60
/
&ELECTRONS
conv_thr = 1E-10
diagonalization = cg
electron_maxstep = 500
/
ATOMIC_SPECIES
Mn 54.938 Mn_r.upf
Cl 35.453 Cl_r.upf
ATOMIC_POSITIONS crystal
Mn 0.249999960008 0.24999987999 0.0
Mn 0.749999960012 0.749999880001 0.0
Cl 0.414665165008 0.749999965036 0.919339434511
Cl 0.914665013702 0.249999965039 0.919339392517
Cl 0.085334835002 0.750000034939 0.080660565489
Cl 0.585334986308 0.250000034936 0.080660607483

K_POINTS crystal
36
0.0 0.0 0.0 0.027778
0.0 0.16666666666666666 0.0 0.027778
0.0 0.33333333333333333 0.0 0.027778
0.0 0.5 0.0 0.027778
0.0 0.66666666666666666 0.0 0.027778
0.0 0.83333333333333333 0.0 0.027778
0.16666666666666666 0.0 0.0 0.027778
0.16666666666666666 0.16666666666666666 0.0 0.027778
0.16666666666666666 0.33333333333333333 0.0 0.027778
0.16666666666666666 0.5 0.0 0.027778
0.16666666666666666 0.66666666666666666 0.0 0.027778
0.16666666666666666 0.83333333333333333 0.0 0.027778
0.33333333333333333 0.0 0.0 0.027778
0.33333333333333333 0.16666666666666666 0.0 0.027778
0.33333333333333333 0.33333333333333333 0.0 0.027778
0.33333333333333333 0.5 0.0 0.027778
0.33333333333333333 0.66666666666666666 0.0 0.027778
0.33333333333333333 0.83333333333333333 0.0 0.027778
0.5 0.0 0.0 0.027778
0.5 0.16666666666666666 0.0 0.027778
0.5 0.33333333333333333 0.0 0.027778
0.5 0.5 0.0 0.027778
0.5 0.66666666666666666 0.0 0.027778
0.5 0.83333333333333333 0.0 0.027778
0.66666666666666666 0.0 0.0 0.027778
0.66666666666666666 0.16666666666666666 0.0 0.027778
0.66666666666666666 0.33333333333333333 0.0 0.027778
0.66666666666666666 0.5 0.0 0.027778
0.66666666666666666 0.66666666666666666 0.0 0.027778
0.66666666666666666 0.83333333333333333 0.0 0.027778
0.83333333333333333 0.0 0.0 0.027778
0.83333333333333333 0.16666666666666666 0.0 0.027778

```



```

0.8333333333333333 0.3333333333333333 0.0 0.027778
0.8333333333333333 0.5 0.0 0.027778
0.8333333333333333 0.6666666666666666 0.0 0.027778
0.8333333333333333 0.8333333333333333 0.0 0.027778

```

```

CELL_PARAMETERS angstrom
6.379195982686 0.0 4e-16
6.25732076e-08 3.7150438244769997 2e-16
0.0 0.0 17.262353

```

```

---                epw1.in ---
&inputepw
prefix = 'hBN'
amass(1) = 54.938
amass(2) = 35.453
outdir = './'
elph = .false.
epbwrite = .false.
epbread = .false.
epwwrite = .true.
epwread = .false.
etf_mem = 1
nbndsub = 16
use_ws = .true.
wannierize = .true.
num_iter = 1000
iprint = 2
dis_win_max = 15.980475446529507
dis_froz_max = 4.46053117540747
fsthick = 1.2
temps = 1
degaussw = 0.005
dvscf_dir = './save'
nk1 = 6
nk2 = 6
nk3 = 1
nq1 = 1
nq2 = 1
nq3 = 1
dis_win_min = -13.403996181764654
wdata(1) = 'guiding_centres = T'
wdata(2) = 'dis_num_iter = 1500'
wdata(3) = 'bands_num_points = 100 '
wdata(4) = 'bands_plot = .true.'
wdata(5) = 'begin kpoint_path'
wdata(6) = 'G 0.0 0.0 0.0 M 0.5 0.0 0.0'
wdata(7) = 'M 0.5 0.0 0.0 K 0.3333333333 0.3333333333 0.0'
wdata(8) = 'K 0.3333333333 0.3333333333 0.0 X 1.0 1.0 0.0'
wdata(9) = 'X 1.0 1.0 0.0 M1 0.0 0.5 0.0'
wdata(10) = 'M1 0.0 0.5 0.0 G 0.0 0.0 0.0'
wdata(11) = 'end kpoint_path'
bands_skipped = 'exclude_bands = 1-12'
proj(1) = 'Mn: l= -5, mr= 1,2'
proj(2) = 'Cl: l= 3, mr= 1,3,5'
dis_froz_min = -3.5751165891288457
/

```

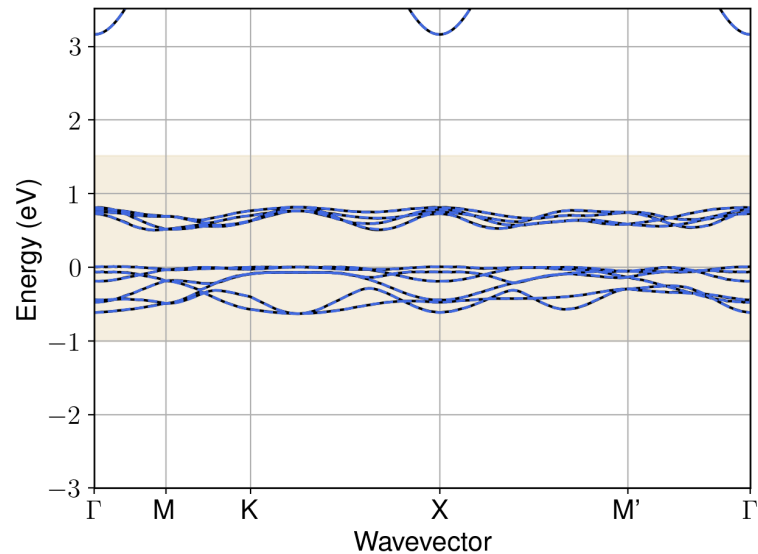


Figure S101: Bandstructure interpolation for monolayer  $\text{MnCl}_2$ . Wannier-interpolation of the band structure of monolayer  $\text{MnCl}_2$  over a wide energy range. Blue dashed lines are results from the present method, black solid lines are explicit DFT calculations. The yellow shaded region shows the range over which optimization has been performed. The interpolation error within the yellow region is 3 meV. The k-grid employed for NSCF calculation is  $6 \times 6$ .

## 90 Material: $\text{MnI}_2$

The calculation files are appended below. These files should be executed in the order provided. The location of pseudo potentials should be changed accordingly.

```

---          scf.in ---
&CONTROL
calculation = 'scf'
verbosity = 'high'
restart_mode = 'from_scratch'
outdir = './'
pseudo_dir = '/scratch1/05193/sabyadk/2D_materials_Wann/Materials/MnI2-26a361a8/pseudo/'
prefix = 'hBN'
/
&SYSTEM
ibrav = 0
nat = 6
ntyp = 2
ecutwfc = 60
ecutrho = 240
occupations = 'smearing'
smearing = 'gaussian'
degauss = 0.01
/
&ELECTRONS
conv_thr = 1E-10
diagonalization = cg
electron_maxstep = 500
/
ATOMIC_SPECIES
Mn 54.938 Mn_r.upf
I 126.904 I_r.upf
ATOMIC_POSITIONS crystal
Mn 0.5 0.500000000000007 0.0
Mn 0.0 0.0 0.0

```

```

I 0.499999994987 0.83413645773 0.909213471625
I 0.999999994987 0.334131774168 0.909217286241
I 4.989e-09 0.665868225832 0.090782713759
I 0.500000005013 0.165863542284 0.090786528375

```

```

K_POINTS automatic
6 6 1 0 0 0

```

```

CELL_PARAMETERS angstrom
4.1294801182 0.0 3e-16
-4e-16 7.2211376865 4e-16
0.0 0.0 18.206416

```

```

---                nscf.in ---
&CONTROL
calculation = bands
verbosity = 'high'
restart_mode = 'from_scratch'
outdir = './'
pseudo_dir = '/scratch1/05193/sabyadk/2D_materials_Wann/Materials/MnI2-26a361a8/pseudo/'
prefix = 'hEN'
/
&SYSTEM
ibrav = 0
nat = 6
ntyp = 2
ecutwfc = 60
ecutrho = 240
occupations = 'smearing'
smearing = 'gaussian'
degauss = 0.01
nband = 60
/
&ELECTRONS
conv_thr = 1E-10
diagonalization = cg
electron_maxstep = 500
/
ATOMIC_SPECIES
Mn 54.938 Mn_r.upf
I 126.904 I_r.upf
ATOMIC_POSITIONS crystal
Mn 0.5 0.500000000007 0.0
Mn 0.0 0.0 0.0
I 0.499999994987 0.83413645773 0.909213471625
I 0.999999994987 0.334131774168 0.909217286241
I 4.989e-09 0.665868225832 0.090782713759
I 0.500000005013 0.165863542284 0.090786528375

K_POINTS crystal
36
0.0 0.0 0.0 0.027778
0.0 0.16666666666666666 0.0 0.027778
0.0 0.33333333333333333 0.0 0.027778
0.0 0.5 0.0 0.027778
0.0 0.66666666666666666 0.0 0.027778
0.0 0.83333333333333333 0.0 0.027778
0.16666666666666666 0.0 0.0 0.027778
0.16666666666666666 0.16666666666666666 0.0 0.027778
0.16666666666666666 0.33333333333333333 0.0 0.027778
0.16666666666666666 0.5 0.0 0.027778
0.16666666666666666 0.66666666666666666 0.0 0.027778
0.16666666666666666 0.83333333333333333 0.0 0.027778
0.33333333333333333 0.0 0.0 0.027778
0.33333333333333333 0.16666666666666666 0.0 0.027778
0.33333333333333333 0.33333333333333333 0.0 0.027778
0.33333333333333333 0.5 0.0 0.027778
0.33333333333333333 0.66666666666666666 0.0 0.027778
0.33333333333333333 0.83333333333333333 0.0 0.027778
0.5 0.0 0.0 0.027778
0.5 0.16666666666666666 0.0 0.027778
0.5 0.33333333333333333 0.0 0.027778
0.5 0.5 0.0 0.027778
0.5 0.66666666666666666 0.0 0.027778
0.5 0.83333333333333333 0.0 0.027778
0.66666666666666666 0.0 0.0 0.027778
0.66666666666666666 0.16666666666666666 0.0 0.027778
0.66666666666666666 0.33333333333333333 0.0 0.027778
0.66666666666666666 0.5 0.0 0.027778
0.66666666666666666 0.66666666666666666 0.0 0.027778
0.66666666666666666 0.83333333333333333 0.0 0.027778
0.83333333333333333 0.0 0.0 0.027778
0.83333333333333333 0.16666666666666666 0.0 0.027778

```

```

0.8333333333333333 0.3333333333333333 0.0 0.027778
0.8333333333333333 0.5 0.0 0.027778
0.8333333333333333 0.6666666666666666 0.0 0.027778
0.8333333333333333 0.8333333333333333 0.0 0.027778

```

```

CELL_PARAMETERS angstrom
4.1294801182 0.0 3e-16
-4e-16 7.2211376865 4e-16
0.0 0.0 18.206416

```

```

---                epw1.in ---
&inputepw
prefix = 'hBN'
amass(1) = 54.938
amass(2) = 126.904
outdir = './'
elph = .false.
epbwrite = .false.
epbread = .false.
epwwrite = .true.
epwread = .false.
etf_mem = 1
nbndsub = 14
use_ws = .true.
wannierize = .true.
num_iter = 1000
iprint = 2
dis_win_max = 11.486938258492474
dis_froz_max = 2.9445918046312176
fsthick = 1.2
temps = 1
degaussw = 0.005
dvscf_dir = './save'
nk1 = 6
nk2 = 6
nk3 = 1
nq1 = 1
nq2 = 1
nq3 = 1
dis_win_min = -14.504621461458369
wdata(1) = 'guiding_centres = T'
wdata(2) = 'dis_num_iter = 1500'
wdata(3) = 'bands_num_points = 100 '
wdata(4) = 'bands_plot = .true.'
wdata(5) = 'begin kpoint_path'
wdata(6) = 'G 0.0 0.0 0.0 M 0.5 0.0 0.0'
wdata(7) = 'M 0.5 0.0 0.0 K 0.3333333333 0.3333333333 0.0'
wdata(8) = 'K 0.3333333333 0.3333333333 0.0 X 1.0 1.0 0.0'
wdata(9) = 'X 1.0 1.0 0.0 M1 0.0 0.5 0.0'
wdata(10) = 'M1 0.0 0.5 0.0 G 0.0 0.0 0.0'
wdata(11) = 'end kpoint_path'
bands_skipped = 'exclude_bands = 1-12'
proj(1) = 'Mn: l= -5, mr= 3,5,6'
proj(2) = 'I: l= 3, mr= 2,6'
dis_froz_min = -2.5243869818970666
/

```

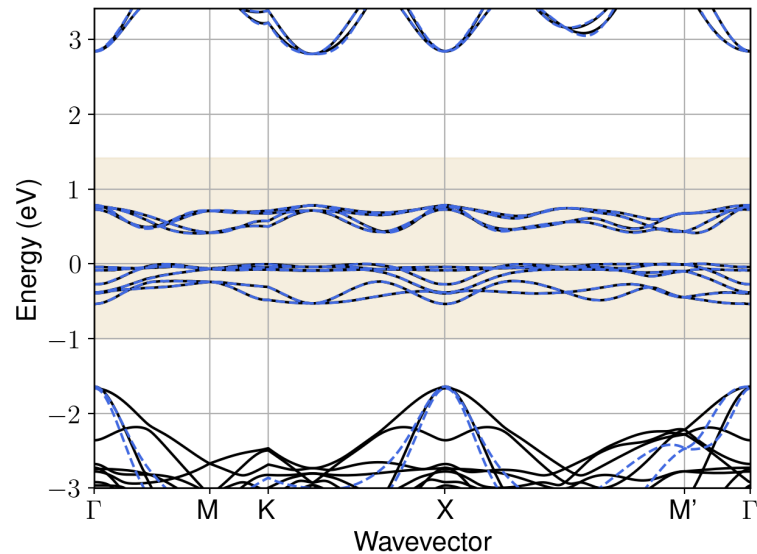


Figure S102: Bandstructure interpolation for monolayer  $\text{MnI}_2$ . Wannier-interpolation of the band structure of monolayer  $\text{MnI}_2$  over a wide energy range. Blue dashed lines are results from the present method, black solid lines are explicit DFT calculations. The yellow shaded region shows the range over which optimization has been performed. The interpolation error within the yellow region is 3 meV. The k-grid employed for NSCF calculation is  $6 \times 6$ .

## 91 Material: Mn

The calculation files are appended below. These files should be executed in the order provided. The location of pseudo potentials should be changed accordingly.

```

---          scf.in ---
&CONTROL
calculation = 'scf'
verbosity = 'high'
restart_mode = 'from_scratch'
outdir = './'
pseudo_dir = '/scratch1/05193/sabyadk/2D_materials_Wann/Materials/Mn-OH2-46080bdd/pseudo/'
prefix = 'hBN'
/
&SYSTEM
ibrav = 0
nat = 10
ntyp = 3
ecutwfc = 60
ecutrho = 240
occupations = 'smearing'
smearing = 'gaussian'
degauss = 0.1
/
&ELECTRONS
conv_thr = 1E-10
diagonalization = cg
electron_maxstep = 500
/
ATOMIC_SPECIES
Mn 54.938 Mn_r.upf
H 1.008 H_r.upf
O 15.999 O_r.upf
ATOMIC_POSITIONS crystal
Mn 0.749999999987 0.250000000005 0.0

```

```

Mn 0.249999999998 0.75000000001 0.0
H 0.584730153609 0.750000004999 0.898943728594
H 0.084730771365 0.250000005006 0.898947278509
H 0.915269846364 0.74999999501 0.101056271406
H 0.415269228608 0.249999995004 0.101052721491
O 0.08478877219 0.250000000025 0.946908658079
O 0.584785610281 0.750000000034 0.9469129394019999
O 0.415211227791 0.250000000011 0.053091341921
O 0.915214389724 0.750000000012 0.053087060598

```

```

K_POINTS automatic
6 6 1 0 0 0

```

```

CELL_PARAMETERS angstrom
5.757393127621 0.0 4e-16
1.64009e-11 3.356228706441 2e-16
0.0 0.0 20.1981708844

```

```

--- nscf.in ---
&CONTROL
calculation = bands
verbosity = 'high'
restart_mode = 'from_scratch'
outdir = './'
pseudo_dir = '/scratch1/05193/sabyadk/2D_materials_Wann/Materials/Mn-OH2-46080bdd/pseudo/'
prefix = 'hBN'
/
&SYSTEM
ibrav = 0
nat = 10
ntyp = 3
ecutwfc = 60
ecutrho = 240
occupations = 'smearing'
smearing = 'gaussian'
degauss = 0.1
nbnd = 60
/
&ELECTRONS
conv_thr = 1E-10
diagonalization = cg
electron_maxstep = 500
/
ATOMIC_SPECIES
Mn 54.938 Mn_r.upf
H 1.008 H_r.upf
O 15.999 O_r.upf
ATOMIC_POSITIONS crystal
Mn 0.749999999987 0.250000000005 0.0
Mn 0.249999999998 0.750000000001 0.0
H 0.584730153609 0.750000004999 0.898943728594
H 0.084730771365 0.250000005006 0.898947278509
H 0.915269846364 0.74999999501 0.101056271406
H 0.415269228608 0.249999995004 0.101052721491
O 0.08478877219 0.250000000025 0.946908658079
O 0.584785610281 0.750000000034 0.9469129394019999
O 0.415211227791 0.250000000011 0.053091341921
O 0.915214389724 0.750000000012 0.053087060598

K_POINTS crystal
36
0.0 0.0 0.0 0.027778
0.0 0.166666666666666666 0.0 0.027778
0.0 0.333333333333333333 0.0 0.027778
0.0 0.5 0.0 0.027778
0.0 0.666666666666666666 0.0 0.027778
0.0 0.833333333333333333 0.0 0.027778
0.166666666666666666 0.0 0.0 0.027778
0.166666666666666666 0.166666666666666666 0.0 0.027778
0.166666666666666666 0.333333333333333333 0.0 0.027778
0.166666666666666666 0.5 0.0 0.027778
0.166666666666666666 0.666666666666666666 0.0 0.027778
0.166666666666666666 0.833333333333333333 0.0 0.027778
0.333333333333333333 0.0 0.0 0.027778
0.333333333333333333 0.166666666666666666 0.0 0.027778
0.333333333333333333 0.333333333333333333 0.0 0.027778
0.333333333333333333 0.5 0.0 0.027778
0.333333333333333333 0.666666666666666666 0.0 0.027778
0.333333333333333333 0.833333333333333333 0.0 0.027778
0.5 0.0 0.0 0.027778
0.5 0.166666666666666666 0.0 0.027778
0.5 0.333333333333333333 0.0 0.027778
0.5 0.5 0.0 0.027778

```

```

0.5 0.6666666666666666 0.0 0.027778
0.5 0.8333333333333333 0.0 0.027778
0.6666666666666666 0.0 0.0 0.027778
0.6666666666666666 0.1666666666666666 0.0 0.027778
0.6666666666666666 0.3333333333333333 0.0 0.027778
0.6666666666666666 0.5 0.0 0.027778
0.6666666666666666 0.6666666666666666 0.0 0.027778
0.6666666666666666 0.8333333333333333 0.0 0.027778
0.8333333333333333 0.0 0.0 0.027778
0.8333333333333333 0.1666666666666666 0.0 0.027778
0.8333333333333333 0.3333333333333333 0.0 0.027778
0.8333333333333333 0.5 0.0 0.027778
0.8333333333333333 0.6666666666666666 0.0 0.027778
0.8333333333333333 0.8333333333333333 0.0 0.027778

```

```

CELL_PARAMETERS angstrom
5.757393127621 0.0 4e-16
1.64009e-11 3.356228706441 2e-16
0.0 0.0 20.1981708844

```

```

---                               epw1.in ---
&inputepw
prefix = 'hBN'
amass(1) = 54.938
amass(2) = 1.008
amass(3) = 15.999
outdir = './'
elph = .false.
epbwrite = .false.
epbread = .false.
epwwrite = .true.
epwread = .false.
etf_mem = 1
nbndsub = 26
use_ws = .true.
wannierize = .true.
num_iter = 1000
iprint = 2
dis_win_max = 19.13337229938318
dis_froz_max = 5.41780411426531
fsthick = 1.2
temps = 1
degaussw = 0.005
dvscf_dir = './save'
nk1 = 6
nk2 = 6
nk3 = 1
nq1 = 1
nq2 = 1
nq3 = 1
dis_win_min = -15.965490604086872
wdata(1) = 'guiding_centres = T'
wdata(2) = 'dis_num_iter = 1500'
wdata(3) = 'bands_num_points = 100 '
wdata(4) = 'bands_plot = .true.'
wdata(5) = 'begin kpoint_path'
wdata(6) = 'G 0.0 0.0 0.0 M 0.5 0.0 0.0'
wdata(7) = 'M 0.5 0.0 0.0 K 0.3333333333 0.3333333333 0.0'
wdata(8) = 'K 0.3333333333 0.3333333333 0.0 X 1.0 1.0 0.0'
wdata(9) = 'X 1.0 1.0 0.0 M1 0.0 0.5 0.0'
wdata(10) = 'M1 0.0 0.5 0.0 G 0.0 0.0 0.0'
wdata(11) = 'end kpoint_path'
bands_skipped = 'exclude_bands = 1-14'
proj(1) = 'Mn: l= -1, mr= 1'
proj(2) = 'H: l= -4, mr= 1'
proj(3) = 'O: l= 3, mr= 1,3,5,6,7'
dis_froz_min = -2.1887043957456287
/

```

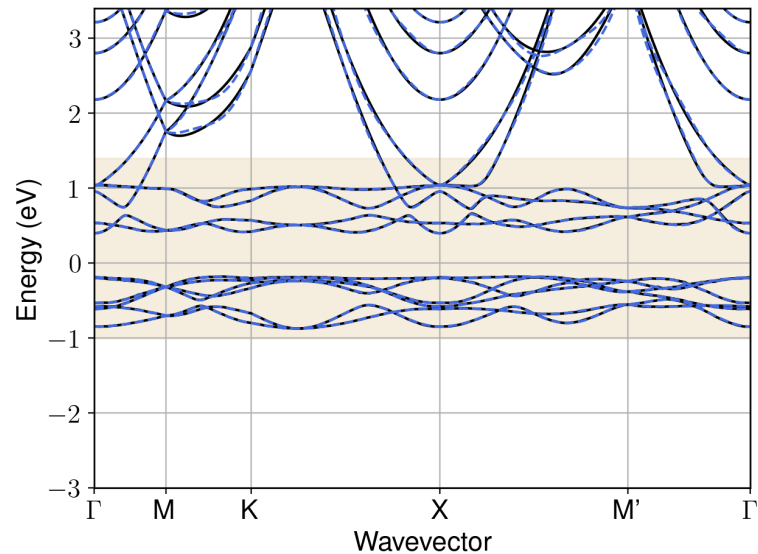


Figure S103: Bandstructure interpolation for monolayer Mn. Wannier-interpolation of the band structure of monolayer Mn over a wide energy range. Blue dashed lines are results from the present method, black solid lines are explicit DFT calculations. The yellow shaded region shows the range over which optimization has been performed. The interpolation error within the yellow region is 4 meV. The k-grid employed for NSCF calculation is  $6 \times 6$ .

## 92 Material: $\text{Mo}_2\text{Te}_4$

The calculation files are appended below. These files should be executed in the order provided. The location of pseudo potentials should be changed accordingly.

```

---          scf.in ---
&CONTROL
calculation = 'scf'
verbosity = 'high'
restart_mode = 'from_scratch'
outdir = './'
pseudo_dir = '/scratch1/05193/sabyadk/2D_materials_Wann/Materials/Mo2Te4-ac78d7c8/pseudo/'
prefix = 'hBN'
/
&SYSTEM
ibrav = 0
nat = 6
ntyp = 2
ecutwfc = 60
ecutrho = 240
occupations = 'smearing'
smearing = 'gaussian'
degauss = 0.01
/
&ELECTRONS
conv_thr = 1E-10
diagonalization = cg
electron_maxstep = 500
/
ATOMIC_SPECIES
Te 126.7 Te_r.upf
Mo 95.95 Mo_r.upf
ATOMIC_POSITIONS crystal
Te 0.750000000014 0.511227677383 0.086048376068
Te 0.250000000014 0.353603680348 0.913951393218

```



```

Te 0.250000000014 0.001948489722 0.061589329789
Te 0.750000000014 0.86287735105 0.938410803353
Mo 0.750000000014 0.251704274787 0.995997521208
Mo 0.250000000014 0.613109879683 0.004002576364

```

```

K_POINTS automatic
6 6 1 0 0 0

```

```

CELL_PARAMETERS angstrom
3.4624380306 0.0 2e-16
-4e-16 6.3778258413 4e-16
0.0 0.0 24.1947906566

```

```

---                                nscf.in ---
&CONTROL
calculation = bands
verbosity = 'high'
restart_mode = 'from_scratch'
outdir = './'
pseudo_dir = '/scratch1/05193/sabyadk/2D_materials_Wann/Materials/Mo2Te4-ac78d7c8/pseudo/'
prefix = 'hEN'
/
&SYSTEM
ibrav = 0
nat = 6
ntyp = 2
ecutwfc = 60
ecutrho = 240
occupations = 'smearing'
smearing = 'gaussian'
degauss = 0.01
nbnd = 60
/
&ELECTRONS
conv_thr = 1E-10
diagonalization = cg
electron_maxstep = 500
/
ATOMIC_SPECIES
Te 126.7 Te_r.upf
Mo 95.95 Mo_r.upf
ATOMIC_POSITIONS crystal
Te 0.750000000014 0.511227677383 0.086048376068
Te 0.250000000014 0.353603680348 0.913951393218
Te 0.250000000014 0.001948489722 0.061589329789
Te 0.750000000014 0.86287735105 0.938410803353
Mo 0.750000000014 0.251704274787 0.995997521208
Mo 0.250000000014 0.613109879683 0.004002576364

K_POINTS crystal
36
0.0 0.0 0.0 0.027778
0.0 0.16666666666666666 0.0 0.027778
0.0 0.3333333333333333 0.0 0.027778
0.0 0.5 0.0 0.027778
0.0 0.6666666666666666 0.0 0.027778
0.0 0.8333333333333333 0.0 0.027778
0.16666666666666666 0.0 0.0 0.027778
0.16666666666666666 0.16666666666666666 0.0 0.027778
0.16666666666666666 0.3333333333333333 0.0 0.027778
0.16666666666666666 0.5 0.0 0.027778
0.16666666666666666 0.6666666666666666 0.0 0.027778
0.16666666666666666 0.8333333333333333 0.0 0.027778
0.3333333333333333 0.0 0.0 0.027778
0.3333333333333333 0.16666666666666666 0.0 0.027778
0.3333333333333333 0.3333333333333333 0.0 0.027778
0.3333333333333333 0.5 0.0 0.027778
0.3333333333333333 0.6666666666666666 0.0 0.027778
0.3333333333333333 0.8333333333333333 0.0 0.027778
0.5 0.0 0.0 0.027778
0.5 0.16666666666666666 0.0 0.027778
0.5 0.3333333333333333 0.0 0.027778
0.5 0.5 0.0 0.027778
0.5 0.6666666666666666 0.0 0.027778
0.5 0.8333333333333333 0.0 0.027778
0.6666666666666666 0.0 0.0 0.027778
0.6666666666666666 0.16666666666666666 0.0 0.027778
0.6666666666666666 0.3333333333333333 0.0 0.027778
0.6666666666666666 0.5 0.0 0.027778
0.6666666666666666 0.6666666666666666 0.0 0.027778
0.6666666666666666 0.8333333333333333 0.0 0.027778
0.8333333333333333 0.0 0.0 0.027778
0.8333333333333333 0.16666666666666666 0.0 0.027778

```

```

0.8333333333333333 0.3333333333333333 0.0 0.027778
0.8333333333333333 0.5 0.0 0.027778
0.8333333333333333 0.6666666666666666 0.0 0.027778
0.8333333333333333 0.8333333333333333 0.0 0.027778

```

```

CELL_PARAMETERS angstrom
3.4624380306 0.0 2e-16
-4e-16 6.3778258413 4e-16
0.0 0.0 24.1947906566

```

```

---                epw1.in ---
&inputepw
prefix = 'hBN'
amass(1) = 126.7
amass(2) = 95.95
outdir = './'
elph = .false.
epbwrite = .false.
epbread = .false.
epwwrite = .true.
epwread = .false.
etf_mem = 1
nbndsub = 16
use_ws = .true.
wannierize = .true.
num_iter = 1000
iprint = 2
dis_win_max = 16.613319772449785
dis_froz_max = 1.522124103152926
fsthick = 1.2
temps = 1
degaussw = 0.005
dvscf_dir = './save'
nk1 = 6
nk2 = 6
nk3 = 1
nq1 = 1
nq2 = 1
nq3 = 1
dis_win_min = -12.923156399956435
wdata(1) = 'guiding_centres = T'
wdata(2) = 'dis_num_iter = 1500'
wdata(3) = 'bands_num_points = 100 '
wdata(4) = 'bands_plot = .true.'
wdata(5) = 'begin kpoint_path'
wdata(6) = 'G 0.0 0.0 0.0 M 0.5 0.0 0.0'
wdata(7) = 'M 0.5 0.0 0.0 K 0.3333333333 0.3333333333 0.0'
wdata(8) = 'K 0.3333333333 0.3333333333 0.0 X 1.0 1.0 0.0'
wdata(9) = 'X 1.0 1.0 0.0 M1 0.0 0.5 0.0'
wdata(10) = 'M1 0.0 0.5 0.0 G 0.0 0.0 0.0'
wdata(11) = 'end kpoint_path'
bands_skipped = 'exclude_bands = 1-32'
proj(1) = 'Te: l= 3, mr= 2,6,7'
proj(2) = 'Mo: l= -5, mr= 1,3'
dis_froz_min = -6.0845871349752185
/

```

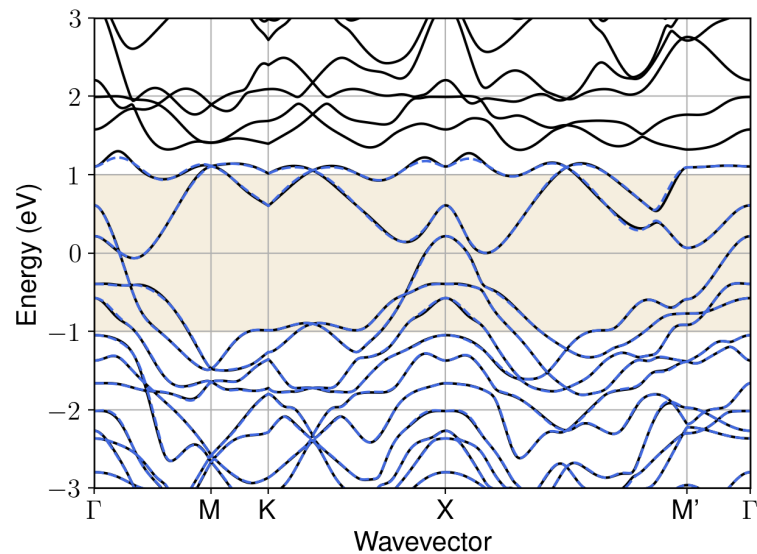


Figure S104: Bandstructure interpolation for monolayer  $\text{Mo}_2\text{Te}_4$ . Wannier-interpolation of the band structure of monolayer  $\text{Mo}_2\text{Te}_4$  over a wide energy range. Blue dashed lines are results from the present method, black solid lines are explicit DFT calculations. The yellow shaded region shows the range over which optimization has been performed. The interpolation error within the yellow region is 12 meV. The k-grid employed for NSCF calculation is  $6 \times 6$ .

### 93 Material: $\text{MoS}_2$

The calculation files are appended below. These files should be executed in the order provided. The location of pseudo potentials should be changed accordingly.

```

---          scf.in ---
&CONTROL
calculation = 'scf'
verbosity = 'high'
restart_mode = 'from_scratch'
outdir = './'
pseudo_dir = '/scratch1/05193/sabyadk/2D_materials_Wann/Materials/MoS2-44a10f28/pseudo/'
prefix = 'hBN'
/
&SYSTEM
ibrav = 0
nat = 3
ntyp = 2
ecutwfc = 60
ecutrho = 240
occupations = 'smearing'
smearing = 'gaussian'
degauss = 0.01
/
&ELECTRONS
conv_thr = 1E-10
diagonalization = cg
electron_maxstep = 500
/
ATOMIC_SPECIES
Mo 95.95 Mo_r.upf
S 32.066 S_r.upf
ATOMIC_POSITIONS crystal
Mo 0.3333333333333333 0.6666666666666666 0.999999857161
S 0.0 0.0 0.068509583022

```

```

S 0.6666666666666666 0.3333333333333333 0.931490559817

K_POINTS automatic
6 6 1 0 0 0

CELL_PARAMETERS angstrom
3.1867374979 0.0 2e-16
-1.5933687488999035 2.7597956284997776 2e-16
0.0 0.0 23.1892369035

```

```

--- nscf.in ---
&CONTROL
calculation = bands
verbosity = 'high'
restart_mode = 'from_scratch'
outdir = './'
pseudo_dir = '/scratch1/05193/sabyadk/2D_materials_Wann/Materials/MoS2-44a10f28/pseudo/'
prefix = 'hBN'
/
&SYSTEM
ibrav = 0
nat = 3
ntyp = 2
ecutwfc = 60
ecutrho = 240
occupations = 'smearing'
smearing = 'gaussian'
degauss = 0.01
nbnd = 60
/
&ELECTRONS
conv_thr = 1E-10
diagonalization = cg
electron_maxstep = 500
/
ATOMIC_SPECIES
Mo 95.95 Mo_r.upf
S 32.066 S_r.upf
ATOMIC_POSITIONS crystal
Mo 0.3333333333333333 0.6666666666666666 0.999999857161
S 0.0 0.0 0.068509583022
S 0.6666666666666666 0.3333333333333333 0.931490559817

K_POINTS crystal
36
0.0 0.0 0.0 0.027778
0.0 0.1666666666666666 0.0 0.027778
0.0 0.3333333333333333 0.0 0.027778
0.0 0.5 0.0 0.027778
0.0 0.6666666666666666 0.0 0.027778
0.0 0.8333333333333333 0.0 0.027778
0.1666666666666666 0.0 0.0 0.027778
0.1666666666666666 0.1666666666666666 0.0 0.027778
0.1666666666666666 0.3333333333333333 0.0 0.027778
0.1666666666666666 0.5 0.0 0.027778
0.1666666666666666 0.6666666666666666 0.0 0.027778
0.1666666666666666 0.8333333333333333 0.0 0.027778
0.3333333333333333 0.0 0.0 0.027778
0.3333333333333333 0.1666666666666666 0.0 0.027778
0.3333333333333333 0.3333333333333333 0.0 0.027778
0.3333333333333333 0.5 0.0 0.027778
0.3333333333333333 0.6666666666666666 0.0 0.027778
0.3333333333333333 0.8333333333333333 0.0 0.027778
0.5 0.0 0.0 0.027778
0.5 0.1666666666666666 0.0 0.027778
0.5 0.3333333333333333 0.0 0.027778
0.5 0.5 0.0 0.027778
0.5 0.6666666666666666 0.0 0.027778
0.5 0.8333333333333333 0.0 0.027778
0.6666666666666666 0.0 0.0 0.027778
0.6666666666666666 0.1666666666666666 0.0 0.027778
0.6666666666666666 0.3333333333333333 0.0 0.027778
0.6666666666666666 0.5 0.0 0.027778
0.6666666666666666 0.6666666666666666 0.0 0.027778
0.6666666666666666 0.8333333333333333 0.0 0.027778
0.8333333333333333 0.0 0.0 0.027778
0.8333333333333333 0.1666666666666666 0.0 0.027778
0.8333333333333333 0.3333333333333333 0.0 0.027778
0.8333333333333333 0.5 0.0 0.027778
0.8333333333333333 0.6666666666666666 0.0 0.027778
0.8333333333333333 0.8333333333333333 0.0 0.027778

CELL_PARAMETERS angstrom

```

```

3.1867374979 0.0 2e-16
-1.5933687488999035 2.7597956284997776 2e-16
0.0 0.0 23.1892369035

```

```

---                epw1.in ---
&inputepw
prefix = 'hBN'
amass(1) = 95.95
amass(2) = 32.066
outdir = './'
elph = .false.
epbwrite = .false.
epbread = .false.
epwwrite = .true.
epwread = .false.
etf_mem = 1
nbndsub = 14
use_ws = .true.
wannierize = .true.
num_iter = 1000
iprint = 2
dis_win_max = 19.819699405029503
dis_froz_max = 2.6989082928573134
fsthick = 1.2
temps = 1
degaussw = 0.005
dvscf_dir = './save'
nk1 = 6
nk2 = 6
nk3 = 1
nq1 = 1
nq2 = 1
nq3 = 1
dis_win_min = -16.901171494635236
wdata(1) = 'guiding_centres = T'
wdata(2) = 'dis_num_iter = 1500'
wdata(3) = 'bands_num_points = 100 '
wdata(4) = 'bands_plot = .true.'
wdata(5) = 'begin kpoint_path'
wdata(6) = 'G 0.0 0.0 0.0 M 0.5 0.0 0.0'
wdata(7) = 'M 0.5 0.0 0.0 K 0.3333333333 0.3333333333 0.0'
wdata(8) = 'K 0.3333333333 0.3333333333 0.0 X 1.0 1.0 0.0'
wdata(9) = 'X 1.0 1.0 0.0 M1 0.0 0.5 0.0'
wdata(10) = 'M1 0.0 0.5 0.0 G 0.0 0.0 0.0'
wdata(11) = 'end kpoint_path'
bands_skipped = 'exclude_bands = 1-6'
proj(1) = 'Mo: l= 2, mr= 1,2,3,4'
proj(2) = 'S: l= -5, mr= 1,2,3,4,5'
dis_froz_min = -9.012338288831955
/

```

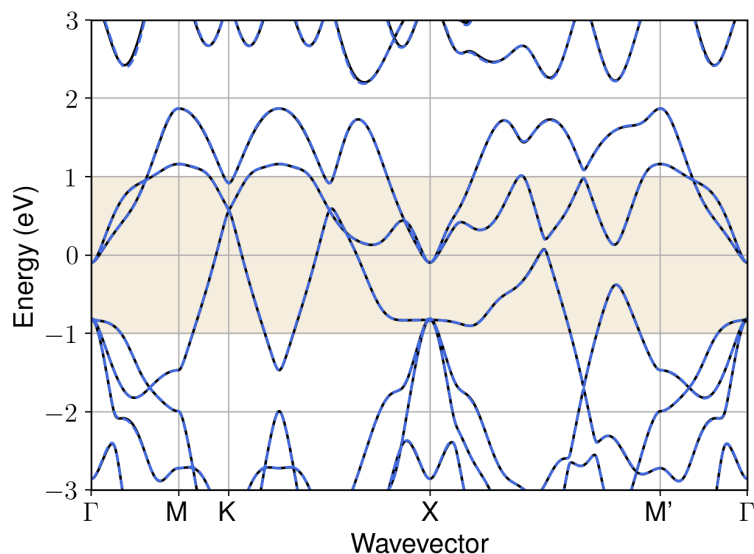


Figure S105: Bandstructure interpolation for monolayer MoS<sub>2</sub>. Wannier-interpolation of the band structure of monolayer MoS<sub>2</sub> over a wide energy range. Blue dashed lines are results from the present method, black solid lines are explicit DFT calculations. The yellow shaded region shows the range over which optimization has been performed. The interpolation error within the yellow region is 4 meV. The k-grid employed for NSCF calculation is 6×6.

## 94 Material: MoSe<sub>2</sub>

The calculation files are appended below. These files should be executed in the order provided. The location of pseudo potentials should be changed accordingly.

```

---          scf.in ---
&CONTROL
calculation = 'scf'
verbosity = 'high'
restart_mode = 'from_scratch'
outdir = './'
pseudo_dir = '/scratch1/05193/sabyadk/2D_materials_Wann/Materials/MoSe2-a6703220/pseudo/'
prefix = 'hBN'
/
&SYSTEM
ibrav = 0
nat = 3
ntyp = 2
ecutwfc = 60
ecutrho = 240
assume_isolated = 2D
/
&ELECTRONS
conv_thr = 1E-12
diagonalization = 'david'
electron_maxstep = 200
/
ATOMIC_SPECIES
Mo 95.95 Mo_r.upf
Se 78.971 Se_r.upf
ATOMIC_POSITIONS crystal
Mo 0.3333333333333333 0.6666666666666666 3.0885e-08
Se 0.99999999997 0.0 0.071546810453
Se 0.99999999997 0.0 0.928453158662

```

```

K_POINTS automatic
6 6 1 0 0 0

CELL_PARAMETERS angstrom
3.3157939819 0.0 2e-16
-1.657896990900254 2.8715618220003982 2e-16
0.0 0.0 23.3586496233

```

```

---                nscf.in ---
&CONTROL
calculation = bands
verbosity = 'high'
restart_mode = 'from_scratch'
outdir = './'
pseudo_dir = '/scratch1/05193/sabyadk/2D_materials_Wann/Materials/MoSe2-a6703220/pseudo/'
prefix = 'hBN'
/
&SYSTEM
ibrav = 0
nat = 3
ntyp = 2
ecutwfc = 60
ecutrho = 240
assume_isolated = 2D
nbnd = 60
/
&ELECTRONS
conv_thr = 1E-10
diagonalization = 'david'
electron_maxstep = 200
/
ATOMIC_SPECIES
Mo 95.95 Mo_r.upf
Se 78.971 Se_r.upf
ATOMIC_POSITIONS crystal
Mo 0.3333333333333333 0.6666666666666666 3.0885e-08
Se 0.99999999997 0.0 0.071546810453
Se 0.99999999997 0.0 0.928453158662

K_POINTS crystal
36
0.0 0.0 0.0 0.027778
0.0 0.1666666666666666 0.0 0.027778
0.0 0.3333333333333333 0.0 0.027778
0.0 0.5 0.0 0.027778
0.0 0.6666666666666666 0.0 0.027778
0.0 0.8333333333333333 0.0 0.027778
0.1666666666666666 0.0 0.0 0.027778
0.1666666666666666 0.1666666666666666 0.0 0.027778
0.1666666666666666 0.3333333333333333 0.0 0.027778
0.1666666666666666 0.5 0.0 0.027778
0.1666666666666666 0.6666666666666666 0.0 0.027778
0.1666666666666666 0.8333333333333333 0.0 0.027778
0.3333333333333333 0.0 0.0 0.027778
0.3333333333333333 0.1666666666666666 0.0 0.027778
0.3333333333333333 0.3333333333333333 0.0 0.027778
0.3333333333333333 0.5 0.0 0.027778
0.3333333333333333 0.6666666666666666 0.0 0.027778
0.3333333333333333 0.8333333333333333 0.0 0.027778
0.5 0.0 0.0 0.027778
0.5 0.1666666666666666 0.0 0.027778
0.5 0.3333333333333333 0.0 0.027778
0.5 0.5 0.0 0.027778
0.5 0.6666666666666666 0.0 0.027778
0.5 0.8333333333333333 0.0 0.027778
0.6666666666666666 0.0 0.0 0.027778
0.6666666666666666 0.1666666666666666 0.0 0.027778
0.6666666666666666 0.3333333333333333 0.0 0.027778
0.6666666666666666 0.5 0.0 0.027778
0.6666666666666666 0.6666666666666666 0.0 0.027778
0.6666666666666666 0.8333333333333333 0.0 0.027778
0.8333333333333333 0.0 0.0 0.027778
0.8333333333333333 0.1666666666666666 0.0 0.027778
0.8333333333333333 0.3333333333333333 0.0 0.027778
0.8333333333333333 0.5 0.0 0.027778
0.8333333333333333 0.6666666666666666 0.0 0.027778
0.8333333333333333 0.8333333333333333 0.0 0.027778

CELL_PARAMETERS angstrom
3.3157939819 0.0 2e-16
-1.657896990900254 2.8715618220003982 2e-16
0.0 0.0 23.3586496233

```

```

---                epw1.in ---
&inputepw
prefix = 'hBN'
amass(1) = 95.95
amass(2) = 78.971
outdir = './'
elph = .false.
epbwrite = .false.
epbread = .false.
epwwrite = .true.
epwread = .false.
etf_mem = 1
nbndsub = 15
use_ws = .true.
wannierize = .true.
num_iter = 1000
iprint = 2
dis_win_max = 20.235471823689405
dis_froz_max = -2.0412882548686095
fsthick = 1.2
temps = 1
degaussw = 0.005
dvscf_dir = './save'
nk1 = 6
nk2 = 6
nk3 = 1
nq1 = 1
nq2 = 1
nq3 = 1
system_2d = 'dipole_sp'
lpolar = .true.
dis_win_min = -19.83977929602345
wdata(1) = 'guiding_centres = T'
wdata(2) = 'dis_num_iter = 1500'
wdata(3) = 'bands_num_points = 100 '
wdata(4) = 'bands_plot = .true.'
wdata(5) = 'begin kpoint_path'
wdata(6) = 'G 0.0 0.0 0.0 M 0.5 0.0 0.0'
wdata(7) = 'M 0.5 0.0 0.0 K 0.3333333333 0.3333333333 0.0'
wdata(8) = 'K 0.3333333333 0.3333333333 0.0 X 1.0 1.0 0.0'
wdata(9) = 'X 1.0 1.0 0.0 M1 0.0 0.5 0.0'
wdata(10) = 'M1 0.0 0.5 0.0 G 0.0 0.0 0.0'
wdata(11) = 'end kpoint_path'
bands_skipped = 'exclude_bands = 1-16'
proj(1) = 'Mo: l= -3, mr= 1,2,4'
proj(2) = 'Se: l= 3, mr= 2,3,4,5,6,7'
dis_froz_min = -12.970719865371294
/

```



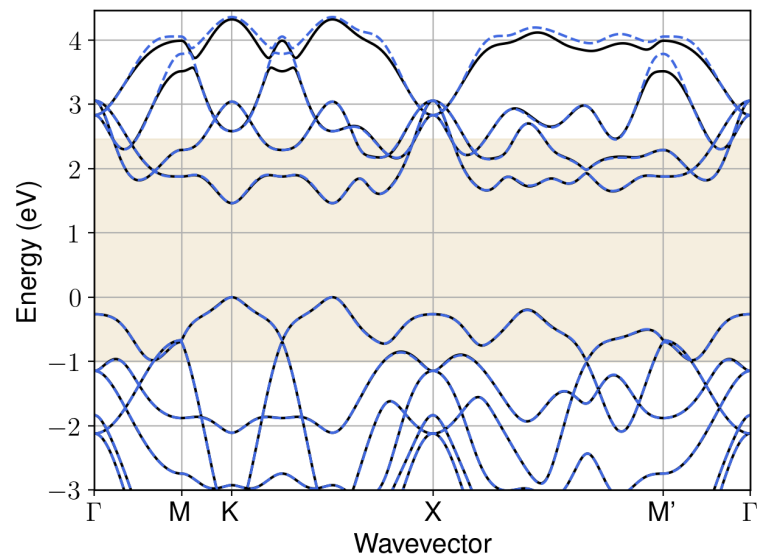


Figure S106: Bandstructure interpolation for monolayer MoSe<sub>2</sub>. Wannier-interpolation of the band structure of monolayer MoSe<sub>2</sub> over a wide energy range. Blue dashed lines are results from the present method, black solid lines are explicit DFT calculations. The yellow shaded region shows the range over which optimization has been performed. The interpolation error within the yellow region is 6 meV. The k-grid employed for NSCF calculation is 6×6.

## 95 Material: MoTe<sub>2</sub>

The calculation files are appended below. These files should be executed in the order provided. The location of pseudo potentials should be changed accordingly.

```

---          scf.in ---
&CONTROL
calculation = 'scf'
verbosity = 'high'
restart_mode = 'from_scratch'
outdir = './'
pseudo_dir = '/scratch1/05193/sabyadk/2D_materials_Wann/Materials/MoTe2-5b9f3963/pseudo/'
prefix = 'hBN'
/
&SYSTEM
ibrav = 0
nat = 3
ntyp = 2
ecutwfc = 60
ecutrho = 240
assume_isolated = 2D
/
&ELECTRONS
conv_thr = 1E-12
diagonalization = 'david'
electron_maxstep = 200
/
ATOMIC_SPECIES
Te 126.7 Te_r.upf
Mo 95.95 Mo_r.upf
ATOMIC_POSITIONS crystal
Te 0.6666666666666666 0.3333333333333333 0.923330343494
Te 0.6666666666666666 0.3333333333333333 0.076669600229
Mo 0.3333333333333333 0.6666666666666666 5.6277e-08

```

```

K_POINTS automatic
6 6 1 0 0 0

CELL_PARAMETERS angstrom
3.5653929348 0.0 2e-16
-1.7826964673999741 3.087720855999977 2e-16
0.0 0.0 23.6401794724

```

```

--- nscf.in ---
&CONTROL
calculation = bands
verbosity = 'high'
restart_mode = 'from_scratch'
outdir = './'
pseudo_dir = '/scratch1/05193/sabyadk/2D_materials_Wann/Materials/MoTe2-5b9f3963/pseudo/'
prefix = 'hBN'
/
&SYSTEM
ibrav = 0
nat = 3
ntyp = 2
ecutwfc = 60
ecutrho = 240
assume_isolated = 2D
nbnd = 60
/
&ELECTRONS
conv_thr = 1E-10
diagonalization = 'david'
electron_maxstep = 200
/
ATOMIC_SPECIES
Te 126.7 Te_r.upf
Mo 95.95 Mo_r.upf
ATOMIC_POSITIONS crystal
Te 0.6666666666666666 0.3333333333333333 0.923330343494
Te 0.6666666666666666 0.3333333333333333 0.076669600229
Mo 0.3333333333333333 0.6666666666666666 5.6277e-08

K_POINTS crystal
36
0.0 0.0 0.0 0.027778
0.0 0.1666666666666666 0.0 0.027778
0.0 0.3333333333333333 0.0 0.027778
0.0 0.5 0.0 0.027778
0.0 0.6666666666666666 0.0 0.027778
0.0 0.8333333333333333 0.0 0.027778
0.1666666666666666 0.0 0.0 0.027778
0.1666666666666666 0.1666666666666666 0.0 0.027778
0.1666666666666666 0.3333333333333333 0.0 0.027778
0.1666666666666666 0.5 0.0 0.027778
0.1666666666666666 0.6666666666666666 0.0 0.027778
0.1666666666666666 0.8333333333333333 0.0 0.027778
0.3333333333333333 0.0 0.0 0.027778
0.3333333333333333 0.1666666666666666 0.0 0.027778
0.3333333333333333 0.3333333333333333 0.0 0.027778
0.3333333333333333 0.5 0.0 0.027778
0.3333333333333333 0.6666666666666666 0.0 0.027778
0.3333333333333333 0.8333333333333333 0.0 0.027778
0.5 0.0 0.0 0.027778
0.5 0.1666666666666666 0.0 0.027778
0.5 0.3333333333333333 0.0 0.027778
0.5 0.5 0.0 0.027778
0.5 0.6666666666666666 0.0 0.027778
0.5 0.8333333333333333 0.0 0.027778
0.6666666666666666 0.0 0.0 0.027778
0.6666666666666666 0.1666666666666666 0.0 0.027778
0.6666666666666666 0.3333333333333333 0.0 0.027778
0.6666666666666666 0.5 0.0 0.027778
0.6666666666666666 0.6666666666666666 0.0 0.027778
0.6666666666666666 0.8333333333333333 0.0 0.027778
0.8333333333333333 0.0 0.0 0.027778
0.8333333333333333 0.1666666666666666 0.0 0.027778
0.8333333333333333 0.3333333333333333 0.0 0.027778
0.8333333333333333 0.5 0.0 0.027778
0.8333333333333333 0.6666666666666666 0.0 0.027778
0.8333333333333333 0.8333333333333333 0.0 0.027778

CELL_PARAMETERS angstrom
3.5653929348 0.0 2e-16
-1.7826964673999741 3.087720855999977 2e-16
0.0 0.0 23.6401794724

```

```

---                epw1.in ---
&inputepw
prefix = 'hBN'
amass(1) = 126.7
amass(2) = 95.95
outdir = './'
elph = .false.
epbwrite = .false.
epbread = .false.
epwwrite = .true.
epwread = .false.
etf_mem = 1
nbndsub = 17
use_ws = .true.
wannierize = .true.
num_iter = 1000
iprint = 2
dis_win_max = 17.005708701309732
dis_froz_max = -1.265561033280842
fsthick = 1.2
temps = 1
degaussw = 0.005
dvscf_dir = './save'
nk1 = 6
nk2 = 6
nk3 = 1
nq1 = 1
nq2 = 1
nq3 = 1
system_2d = 'dipole_sp'
lpolar = .true.
dis_win_min = -21.671454460694036
wdata(1) = 'guiding_centres = T'
wdata(2) = 'dis_num_iter = 1500'
wdata(3) = 'bands_num_points = 100 '
wdata(4) = 'bands_plot = .true.'
wdata(5) = 'begin kpoint_path'
wdata(6) = 'G 0.0 0.0 0.0 M 0.5 0.0 0.0'
wdata(7) = 'M 0.5 0.0 0.0 K 0.3333333333 0.3333333333 0.0'
wdata(8) = 'K 0.3333333333 0.3333333333 0.0 X 1.0 1.0 0.0'
wdata(9) = 'X 1.0 1.0 0.0 M1 0.0 0.5 0.0'
wdata(10) = 'M1 0.0 0.5 0.0 G 0.0 0.0 0.0'
wdata(11) = 'end kpoint_path'
bands_skipped = 'exclude_bands = 1-16'
proj(1) = 'Te: l= 3, mr= 1,2,3,4,6,7'
proj(2) = 'Mo: l= 3, mr= 1,3,5,6,7'
dis_froz_min = -9.017576456102086
/

```

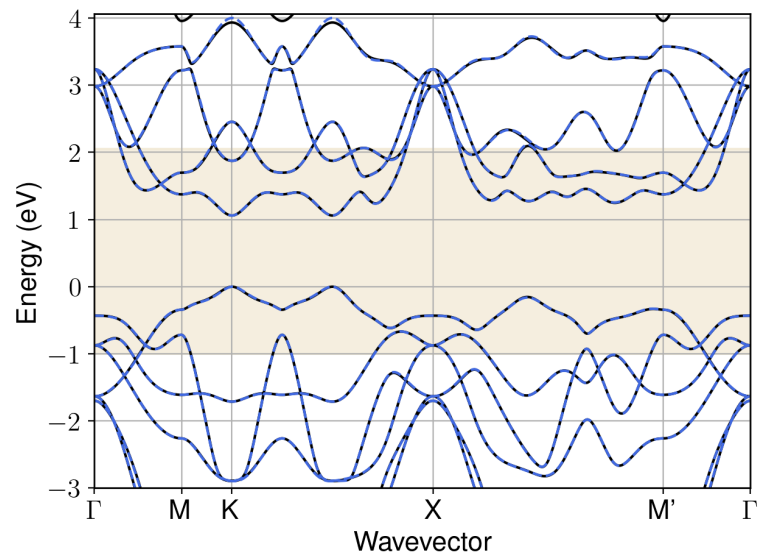


Figure S107: Bandstructure interpolation for monolayer MoTe<sub>2</sub>. Wannier-interpolation of the band structure of monolayer MoTe<sub>2</sub> over a wide energy range. Blue dashed lines are results from the present method, black solid lines are explicit DFT calculations. The yellow shaded region shows the range over which optimization has been performed. The interpolation error within the yellow region is 4 meV. The k-grid employed for NSCF calculation is  $6 \times 6$ .

## 96 Material: Na<sub>2</sub>PdH<sub>2</sub>

The calculation files are appended below. These files should be executed in the order provided. The location of pseudo potentials should be changed accordingly.

```

---          scf.in ---
&CONTROL
calculation = 'scf'
verbosity = 'high'
restart_mode = 'from_scratch'
outdir = './'
pseudo_dir = '/scratch1/05193/sabyadk/2D_materials_Wann/Materials/Na2PdH2-36b23e97/pseudo/'
prefix = 'hBN'
/
&SYSTEM
ibrav = 0
nat = 5
ntyp = 3
ecutwfc = 60
ecutrho = 240
occupations = 'smearing'
smearing = 'gaussian'
degauss = 0.1
/
&ELECTRONS
conv_thr = 1E-10
diagonalization = cg
electron_maxstep = 500
/
ATOMIC_SPECIES
Na 22.99 Na_r.upf
H 1.008 H_r.upf
Pd 106.42 Pd_r.upf
ATOMIC_POSITIONS crystal
Na 0.4999999999986 0.4999999999986 0.931956882087

```



```

0.8333333333333333 0.3333333333333333 0.0 0.027778
0.8333333333333333 0.5 0.0 0.027778
0.8333333333333333 0.6666666666666666 0.0 0.027778
0.8333333333333333 0.8333333333333333 0.0 0.027778

```

```

CELL_PARAMETERS angstrom
3.5029596269 0.0 2e-16
-2e-16 3.5029596269 2e-16
0.0 0.0 23.3782523071

```

```

---                epw1.in ---
&inputepw
prefix = 'hBN'
amass(1) = 22.99
amass(2) = 1.008
amass(3) = 106.42
outdir = './'
elph = .false.
epbwrite = .false.
epbread = .false.
epwwrite = .true.
epwread = .false.
etf_mem = 1
nbndsub = 18
use_ws = .true.
wannierize = .true.
num_iter = 1000
iprint = 2
dis_win_max = 17.61517248820069
dis_froz_max = 1.037100493868314
fsthick = 1.2
temps = 1
degaussw = 0.005
dvscf_dir = './save'
nk1 = 6
nk2 = 6
nk3 = 1
nq1 = 1
nq2 = 1
nq3 = 1
dis_win_min = -16.413760289600354
wdata(1) = 'guiding_centres = T'
wdata(2) = 'dis_num_iter = 1500'
wdata(3) = 'bands_num_points = 100 '
wdata(4) = 'bands_plot = .true.'
wdata(5) = 'begin kpoint_path'
wdata(6) = 'G 0.0 0.0 0.0 M 0.5 0.0 0.0'
wdata(7) = 'M 0.5 0.0 0.0 K 0.3333333333 0.3333333333 0.0'
wdata(8) = 'K 0.3333333333 0.3333333333 0.0 X 1.0 1.0 0.0'
wdata(9) = 'X 1.0 1.0 0.0 M1 0.0 0.5 0.0'
wdata(10) = 'M1 0.0 0.5 0.0 G 0.0 0.0 0.0'
wdata(11) = 'end kpoint_path'
bands_skipped = 'exclude_bands = 1-12'
proj(1) = 'Na: l= 3, mr= 1,3,6,7'
proj(2) = 'H: l= -5, mr= 1,3,5,6'
proj(3) = 'Pd: l= 2, mr= 2,3'
dis_froz_min = -8.03188296319619
/

```

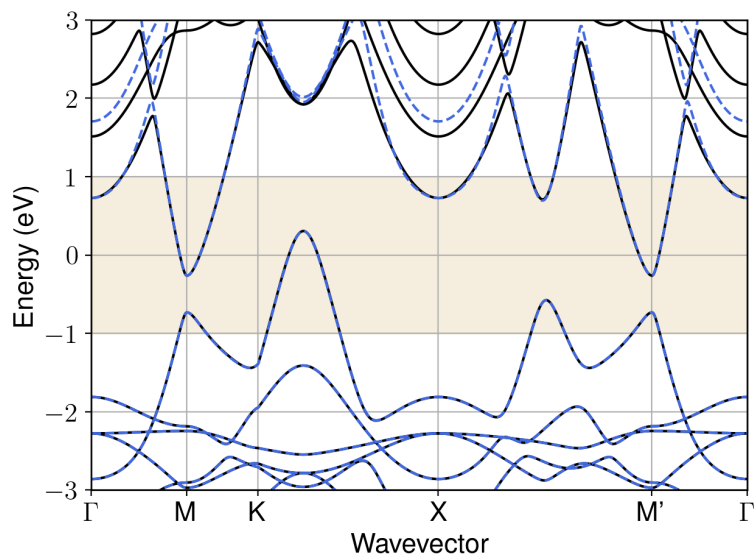


Figure S108: Bandstructure interpolation for monolayer  $\text{Na}_2\text{PdH}_2$ . Wannier-interpolation of the band structure of monolayer  $\text{Na}_2\text{PdH}_2$  over a wide energy range. Blue dashed lines are results from the present method, black solid lines are explicit DFT calculations. The yellow shaded region shows the range over which optimization has been performed. The interpolation error within the yellow region is 10 meV. The k-grid employed for NSCF calculation is  $6 \times 6$ .

## 97 Material: NaCN

The calculation files are appended below. These files should be executed in the order provided. The location of pseudo potentials should be changed accordingly.

```

---          scf.in ---
&CONTROL
calculation = 'scf'
verbosity = 'high'
restart_mode = 'from_scratch'
outdir = './'
pseudo_dir = '/scratch1/05193/sabyadk/2D_materials_Wann/Materials/NaCN-92e02622/pseudo/'
prefix = 'hBN'
/
&SYSTEM
ibrav = 0
nat = 3
ntyp = 3
ecutwfc = 60
ecutrho = 240
assume_isolated = 2D
/
&ELECTRONS
conv_thr = 1E-12
diagonalization = 'david'
electron_maxstep = 200
/
ATOMIC_SPECIES
Na 22.99 Na_r.upf
C 12.011 C_r.upf
N 14.007 N_r.upf
ATOMIC_POSITIONS crystal
Na 0.0 0.285917300329 0.0
C 0.5 0.88200967746 0.0
N 0.5 0.632732176254 0.0

```

```

K_POINTS automatic
6 6 1 0 0 0

CELL_PARAMETERS angstrom
3.564393628 0.0 2e-16
-3e-16 4.7173301201 3e-16
0.0 0.0 20.0

```

```

--- nscf.in ---
&CONTROL
calculation = bands
verbosity = 'high'
restart_mode = 'from_scratch'
outdir = './'
pseudo_dir = '/scratch1/05193/sabyadk/2D_materials_Wann/Materials/NaCN-92e02622/pseudo/'
prefix = 'hBN'
/
&SYSTEM
ibrav = 0
nat = 3
ntyp = 3
ecutwfc = 60
ecutrho = 240
assume_isolated = 2D
nbnd = 60
/
&ELECTRONS
conv_thr = 1E-10
diagonalization = 'david'
electron_maxstep = 200
/
ATOMIC_SPECIES
Na 22.99 Na_r.upf
C 12.011 C_r.upf
N 14.007 N_r.upf
ATOMIC_POSITIONS crystal
Na 0.0 0.285917300329 0.0
C 0.5 0.88200967746 0.0
N 0.5 0.632732176254 0.0

K_POINTS crystal
36
0.0 0.0 0.0 0.027778
0.0 0.16666666666666666 0.0 0.027778
0.0 0.3333333333333333 0.0 0.027778
0.0 0.5 0.0 0.027778
0.0 0.6666666666666666 0.0 0.027778
0.0 0.8333333333333333 0.0 0.027778
0.16666666666666666 0.0 0.0 0.027778
0.16666666666666666 0.16666666666666666 0.0 0.027778
0.16666666666666666 0.3333333333333333 0.0 0.027778
0.16666666666666666 0.5 0.0 0.027778
0.16666666666666666 0.6666666666666666 0.0 0.027778
0.16666666666666666 0.8333333333333333 0.0 0.027778
0.3333333333333333 0.0 0.0 0.027778
0.3333333333333333 0.16666666666666666 0.0 0.027778
0.3333333333333333 0.3333333333333333 0.0 0.027778
0.3333333333333333 0.5 0.0 0.027778
0.3333333333333333 0.6666666666666666 0.0 0.027778
0.3333333333333333 0.8333333333333333 0.0 0.027778
0.5 0.0 0.0 0.027778
0.5 0.16666666666666666 0.0 0.027778
0.5 0.3333333333333333 0.0 0.027778
0.5 0.5 0.0 0.027778
0.5 0.6666666666666666 0.0 0.027778
0.5 0.8333333333333333 0.0 0.027778
0.6666666666666666 0.0 0.0 0.027778
0.6666666666666666 0.16666666666666666 0.0 0.027778
0.6666666666666666 0.3333333333333333 0.0 0.027778
0.6666666666666666 0.5 0.0 0.027778
0.6666666666666666 0.6666666666666666 0.0 0.027778
0.6666666666666666 0.8333333333333333 0.0 0.027778
0.8333333333333333 0.0 0.0 0.027778
0.8333333333333333 0.16666666666666666 0.0 0.027778
0.8333333333333333 0.3333333333333333 0.0 0.027778
0.8333333333333333 0.5 0.0 0.027778
0.8333333333333333 0.6666666666666666 0.0 0.027778
0.8333333333333333 0.8333333333333333 0.0 0.027778

CELL_PARAMETERS angstrom
3.564393628 0.0 2e-16
-3e-16 4.7173301201 3e-16

```



0.0 0.0 20.0

```

---                epw1.in ---
&inputepw
prefix = 'hEN'
amass(1) = 22.99
amass(2) = 12.011
amass(3) = 14.007
outdir = './'
elph = .false.
epbwrite = .false.
epbread = .false.
epwwrite = .true.
epwread = .false.
etf_mem = 1
nbndsub = 11
use_ws = .true.
wannierize = .true.
num_iter = 1000
iprint = 2
dis_win_max = 13.594661520654103
dis_froz_max = 1.356558345174279
fsthick = 1.2
temps = 1
degaussw = 0.005
dvscf_dir = './save'
nk1 = 6
nk2 = 6
nk3 = 1
nq1 = 1
nq2 = 1
nq3 = 1
system_2d = 'dipole_sp'
lpolar = .true.
dis_win_min = -23.444833133976893
wdata(1) = 'guiding_centres = T'
wdata(2) = 'dis_num_iter = 1500'
wdata(3) = 'bands_num_points = 100 '
wdata(4) = 'bands_plot = .true.'
wdata(5) = 'begin kpoint_path'
wdata(6) = 'G 0.0 0.0 0.0 M 0.5 0.0 0.0'
wdata(7) = 'M 0.5 0.0 0.0 K 0.3333333333 0.3333333333 0.0'
wdata(8) = 'K 0.3333333333 0.3333333333 0.0 X 1.0 1.0 0.0'
wdata(9) = 'X 1.0 1.0 0.0 M1 0.0 0.5 0.0'
wdata(10) = 'M1 0.0 0.5 0.0 G 0.0 0.0 0.0'
wdata(11) = 'end kpoint_path'
bands_skipped = 'exclude_bands = 1-5'
proj(1) = 'Na: l= -5, mr= 1,2,4'
proj(2) = 'C: l= 3, mr= 2,3,4,5,6,7'
proj(3) = 'N: l= 1, mr= 1,3'
dis_froz_min = -10.552163176512199
/

```

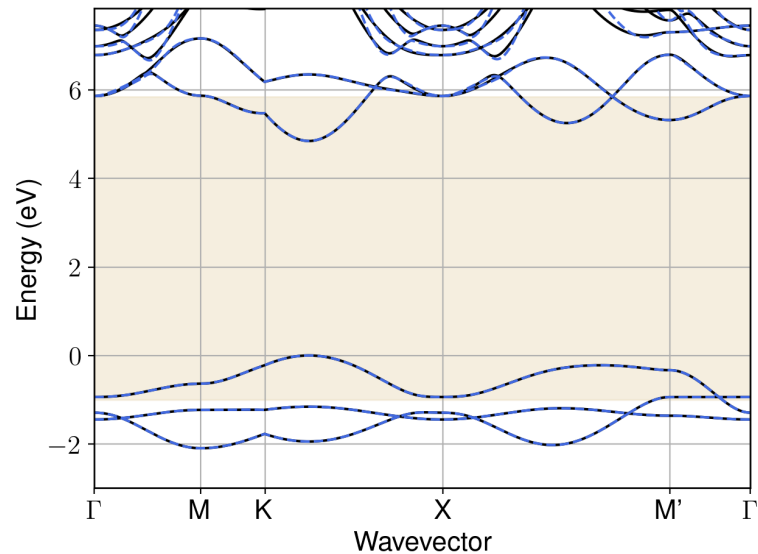


Figure S109: Bandstructure interpolation for monolayer NaCN. Wannier-interpolation of the band structure of monolayer NaCN over a wide energy range. Blue dashed lines are results from the present method, black solid lines are explicit DFT calculations. The yellow shaded region shows the range over which optimization has been performed. The interpolation error within the yellow region is 1 meV. The k-grid employed for NSCF calculation is  $6 \times 6$ .

## 98 Material: $\text{Nb}_2\text{CS}_2$

The calculation files are appended below. These files should be executed in the order provided. The location of pseudo potentials should be changed accordingly.

```

---          scf.in ---
&CONTROL
calculation = 'scf'
verbosity = 'high'
restart_mode = 'from_scratch'
outdir = './'
pseudo_dir = '/scratch1/05193/sabyadk/2D_materials_Wann/Materials/Nb2CS2-bc8ecf70/pseudo/'
prefix = 'hBN'
/
&SYSTEM
ibrav = 0
nat = 5
ntyp = 3
ecutwfc = 60
ecutrho = 240
occupations = 'smearing'
smearing = 'gaussian'
degauss = 0.01
/
&ELECTRONS
conv_thr = 1E-10
diagonalization = cg
electron_maxstep = 500
/
ATOMIC_SPECIES
Nb 92.906 Nb_r.upf
C 12.011 C_r.upf
S 32.066 S_r.upf
ATOMIC_POSITIONS crystal
Nb 0.6666666666666666 0.3333333333333333 0.953462704255

```

```

Nb 0.3333333333333333 0.6666666666666666 0.046537295747
C 0.0 0.0 1e-12
S 0.3333333333333333 0.6666666666666666 0.889613318026
S 0.6666666666666666 0.3333333333333333 0.110386681972

K_POINTS automatic
6 6 1 0 0 0

CELL_PARAMETERS angstrom
3.2807541079 0.0 2e-16
-1.6403770540002074 2.8412164011003456 2e-16
0.0 0.0 25.6593016153

```

```

--- nscf.in ---
&CONTROL
calculation = bands
verbosity = 'high'
restart_mode = 'from_scratch'
outdir = './'
pseudo_dir = '/scratch1/05193/sabyadk/2D_materials_Wann/Materials/Nb2CS2-bc8ecf70/pseudo/'
prefix = 'hEN'
/
&SYSTEM
ibrav = 0
nat = 5
ntyp = 3
ecutwfc = 60
ecutrho = 240
occupations = 'smearing'
smearing = 'gaussian'
degauss = 0.01
nband = 60
/
&ELECTRONS
conv_thr = 1E-10
diagonalization = cg
electron_maxstep = 500
/
ATOMIC_SPECIES
Nb 92.906 Nb_r.upf
C 12.011 C_r.upf
S 32.066 S_r.upf
ATOMIC_POSITIONS crystal
Nb 0.6666666666666666 0.3333333333333333 0.953462704255
Nb 0.3333333333333333 0.6666666666666666 0.046537295747
C 0.0 0.0 1e-12
S 0.3333333333333333 0.6666666666666666 0.889613318026
S 0.6666666666666666 0.3333333333333333 0.110386681972

K_POINTS crystal
36
0.0 0.0 0.0 0.027778
0.0 0.1666666666666666 0.0 0.027778
0.0 0.3333333333333333 0.0 0.027778
0.0 0.5 0.0 0.027778
0.0 0.6666666666666666 0.0 0.027778
0.0 0.8333333333333333 0.0 0.027778
0.1666666666666666 0.0 0.0 0.027778
0.1666666666666666 0.1666666666666666 0.0 0.027778
0.1666666666666666 0.3333333333333333 0.0 0.027778
0.1666666666666666 0.5 0.0 0.027778
0.1666666666666666 0.6666666666666666 0.0 0.027778
0.1666666666666666 0.8333333333333333 0.0 0.027778
0.3333333333333333 0.0 0.0 0.027778
0.3333333333333333 0.1666666666666666 0.0 0.027778
0.3333333333333333 0.3333333333333333 0.0 0.027778
0.3333333333333333 0.5 0.0 0.027778
0.3333333333333333 0.6666666666666666 0.0 0.027778
0.3333333333333333 0.8333333333333333 0.0 0.027778
0.5 0.0 0.0 0.027778
0.5 0.1666666666666666 0.0 0.027778
0.5 0.3333333333333333 0.0 0.027778
0.5 0.5 0.0 0.027778
0.5 0.6666666666666666 0.0 0.027778
0.5 0.8333333333333333 0.0 0.027778
0.6666666666666666 0.0 0.0 0.027778
0.6666666666666666 0.1666666666666666 0.0 0.027778
0.6666666666666666 0.3333333333333333 0.0 0.027778
0.6666666666666666 0.5 0.0 0.027778
0.6666666666666666 0.6666666666666666 0.0 0.027778
0.6666666666666666 0.8333333333333333 0.0 0.027778
0.8333333333333333 0.0 0.0 0.027778
0.8333333333333333 0.1666666666666666 0.0 0.027778

```

```

0.8333333333333333 0.3333333333333333 0.0 0.027778
0.8333333333333333 0.5 0.0 0.027778
0.8333333333333333 0.6666666666666666 0.0 0.027778
0.8333333333333333 0.8333333333333333 0.0 0.027778

```

```

CELL_PARAMETERS angstrom
3.2807541079 0.0 2e-16
-1.6403770540002074 2.8412164011003456 2e-16
0.0 0.0 25.6593016153

```

```

---                epw1.in ---
&inputepw
prefix = 'hBN'
amass(1) = 92.906
amass(2) = 12.011
amass(3) = 32.066
outdir = './'
elph = .false.
epbwrite = .false.
epbread = .false.
epwwrite = .true.
epwread = .false.
etf_mem = 1
nbndsub = 21
use_ws = .true.
wannierize = .true.
num_iter = 1000
iprint = 2
dis_win_max = 14.611813729056228
dis_froz_max = 1.839356619192186
fsthick = 1.2
temps = 1
degaussw = 0.005
dvscf_dir = './save'
nk1 = 6
nk2 = 6
nk3 = 1
nq1 = 1
nq2 = 1
nq3 = 1
dis_win_min = -13.81104511949404
wdata(1) = 'guiding_centres = T'
wdata(2) = 'dis_num_iter = 1500'
wdata(3) = 'bands_num_points = 100 '
wdata(4) = 'bands_plot = .true.'
wdata(5) = 'begin kpoint_path'
wdata(6) = 'G 0.0 0.0 0.0 M 0.5 0.0 0.0'
wdata(7) = 'M 0.5 0.0 0.0 K 0.3333333333 0.3333333333 0.0'
wdata(8) = 'K 0.3333333333 0.3333333333 0.0 X 1.0 1.0 0.0'
wdata(9) = 'X 1.0 1.0 0.0 M1 0.0 0.5 0.0'
wdata(10) = 'M1 0.0 0.5 0.0 G 0.0 0.0 0.0'
wdata(11) = 'end kpoint_path'
bands_skipped = 'exclude_bands = 1-11'
proj(1) = 'Nb: l= 3, mr= 1,2,4,5,7'
proj(2) = 'C: l= 3, mr= 3,6,7'
proj(3) = 'S: l= 3, mr= 2,4,5,6'
dis_froz_min = -5.414480160589873
/

```

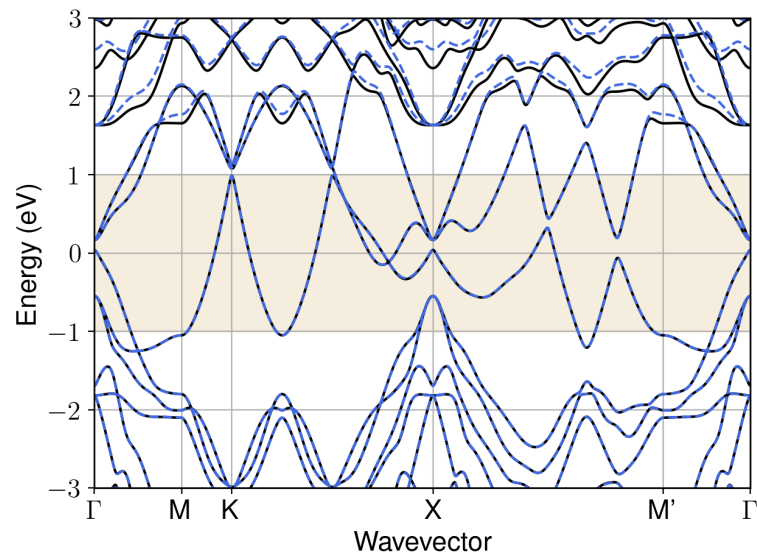


Figure S110: Bandstructure interpolation for monolayer  $\text{Nb}_2\text{CS}_2$ . Wannier-interpolation of the band structure of monolayer  $\text{Nb}_2\text{CS}_2$  over a wide energy range. Blue dashed lines are results from the present method, black solid lines are explicit DFT calculations. The yellow shaded region shows the range over which optimization has been performed. The interpolation error within the yellow region is 4 meV. The k-grid employed for NSCF calculation is  $6 \times 6$ .

## 99 Material: $\text{NbF}_4$

The calculation files are appended below. These files should be executed in the order provided. The location of pseudo potentials should be changed accordingly.

```

---          scf.in ---
&CONTROL
calculation = 'scf'
verbosity = 'high'
restart_mode = 'from_scratch'
outdir = './'
pseudo_dir = '/scratch1/05193/sabyadk/2D_materials_Wann/Materials/NbF4-97ae2fae/pseudo/'
prefix = 'hBN'
/
&SYSTEM
ibrav = 0
nat = 5
ntyp = 2
ecutwfc = 60
ecutrho = 240
occupations = 'smearing'
smearing = 'gaussian'
degauss = 0.01
/
&ELECTRONS
conv_thr = 1E-10
diagonalization = cg
electron_maxstep = 500
/
ATOMIC_SPECIES
Nb 92.906 Nb_r.upf
F 18.998 F_r.upf
ATOMIC_POSITIONS crystal
Nb 0.5 0.5 0.999999999999
F 0.5 0.5 0.078903779092

```

```

F 0.5 0.5 0.921096220911
F 0.5 0.0 0.999999999999
F 0.0 0.5 0.999999999999

K_POINTS automatic
6 6 1 0 0 0

CELL_PARAMETERS angstrom
4.1247060298 0.0 3e-16
-3e-16 4.1247060298 3e-16
0.0 0.0 23.7763570995

```

```

---                nscf.in ---
&CONTROL
calculation = bands
verbosity = 'high'
restart_mode = 'from_scratch'
outdir = './'
pseudo_dir = '/scratch1/05193/sabyadk/2D_materials_Wann/Materials/NbF4-97ae2fae/pseudo/'
prefix = 'hBN'
/
&SYSTEM
ibrav = 0
nat = 5
ntyp = 2
ecutwfc = 60
ecutrho = 240
occupations = 'smearing'
smearing = 'gaussian'
degauss = 0.01
nbnd = 60
/
&ELECTRONS
conv_thr = 1E-10
diagonalization = cg
electron_maxstep = 500
/
ATOMIC_SPECIES
Nb 92.906 Nb_r.upf
F 18.998 F_r.upf
ATOMIC_POSITIONS crystal
Nb 0.5 0.5 0.999999999999
F 0.5 0.5 0.078903779092
F 0.5 0.5 0.921096220911
F 0.5 0.0 0.999999999999
F 0.0 0.5 0.999999999999

K_POINTS crystal
36
0.0 0.0 0.0 0.027778
0.0 0.1666666666666666 0.0 0.027778
0.0 0.3333333333333333 0.0 0.027778
0.0 0.5 0.0 0.027778
0.0 0.6666666666666666 0.0 0.027778
0.0 0.8333333333333333 0.0 0.027778
0.1666666666666666 0.0 0.0 0.027778
0.1666666666666666 0.1666666666666666 0.0 0.027778
0.1666666666666666 0.3333333333333333 0.0 0.027778
0.1666666666666666 0.5 0.0 0.027778
0.1666666666666666 0.6666666666666666 0.0 0.027778
0.1666666666666666 0.8333333333333333 0.0 0.027778
0.3333333333333333 0.0 0.0 0.027778
0.3333333333333333 0.1666666666666666 0.0 0.027778
0.3333333333333333 0.3333333333333333 0.0 0.027778
0.3333333333333333 0.5 0.0 0.027778
0.3333333333333333 0.6666666666666666 0.0 0.027778
0.3333333333333333 0.8333333333333333 0.0 0.027778
0.5 0.0 0.0 0.027778
0.5 0.1666666666666666 0.0 0.027778
0.5 0.3333333333333333 0.0 0.027778
0.5 0.5 0.0 0.027778
0.5 0.6666666666666666 0.0 0.027778
0.5 0.8333333333333333 0.0 0.027778
0.6666666666666666 0.0 0.0 0.027778
0.6666666666666666 0.1666666666666666 0.0 0.027778
0.6666666666666666 0.3333333333333333 0.0 0.027778
0.6666666666666666 0.5 0.0 0.027778
0.6666666666666666 0.6666666666666666 0.0 0.027778
0.6666666666666666 0.8333333333333333 0.0 0.027778
0.8333333333333333 0.0 0.0 0.027778
0.8333333333333333 0.1666666666666666 0.0 0.027778
0.8333333333333333 0.3333333333333333 0.0 0.027778
0.8333333333333333 0.5 0.0 0.027778

```

```

0.8333333333333333 0.6666666666666666 0.0 0.027778
0.8333333333333333 0.8333333333333333 0.0 0.027778

CELL_PARAMETERS angstrom
4.1247060298 0.0 3e-16
-3e-16 4.1247060298 3e-16
0.0 0.0 23.7763570995

```

```

---                epw1.in ---
&inputepw
prefix = 'hBN'
amass(1) = 92.906
amass(2) = 18.998
outdir = './'
elph = .false.
epbwrite = .false.
epbread = .false.
epwrite = .true.
epwread = .false.
etf_mem = 1
nbndsub = 21
use_ws = .true.
wannierize = .true.
num_iter = 1000
iprint = 2
dis_win_max = 16.151403423303226
dis_froz_max = 0.3833787693560655
fsthick = 1.2
temps = 1
degaussw = 0.005
dvscf_dir = './save'
nk1 = 6
nk2 = 6
nk3 = 1
nq1 = 1
nq2 = 1
nq3 = 1
dis_win_min = -22.835864944374016
wdata(1) = 'guiding_centres = T'
wdata(2) = 'dis_num_iter = 1500'
wdata(3) = 'bands_num_points = 100 '
wdata(4) = 'bands_plot = .true.'
wdata(5) = 'begin kpoint_path'
wdata(6) = 'G 0.0 0.0 0.0 M 0.5 0.0 0.0'
wdata(7) = 'M 0.5 0.0 0.0 K 0.3333333333 0.3333333333 0.0'
wdata(8) = 'K 0.3333333333 0.3333333333 0.0 X 1.0 1.0 0.0'
wdata(9) = 'X 1.0 1.0 0.0 M1 0.0 0.5 0.0'
wdata(10) = 'M1 0.0 0.5 0.0 G 0.0 0.0 0.0'
wdata(11) = 'end kpoint_path'
bands_skipped = 'exclude_bands = 1-8'
proj(1) = 'Nb: l= -5, mr= 1,3,4,5,6'
proj(2) = 'F: l= 3, mr= 1,2,3,4'
dis_froz_min = -13.461929905564741
/

```

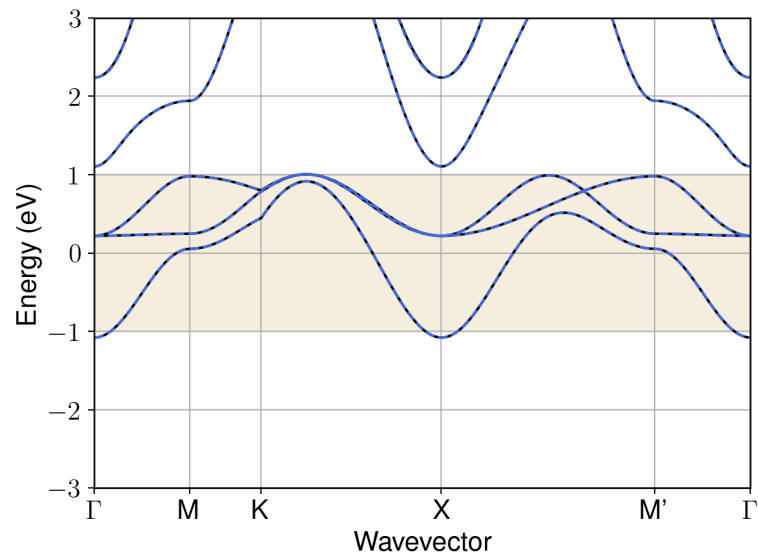


Figure S111: Bandstructure interpolation for monolayer NbF<sub>4</sub>. Wannier-interpolation of the band structure of monolayer NbF<sub>4</sub> over a wide energy range. Blue dashed lines are results from the present method, black solid lines are explicit DFT calculations. The yellow shaded region shows the range over which optimization has been performed. The interpolation error within the yellow region is 0 meV. The k-grid employed for NSCF calculation is 6×6.

## 100 Material: NbS<sub>2</sub>

The calculation files are appended below. These files should be executed in the order provided. The location of pseudo potentials should be changed accordingly.

```

---          scf.in ---
&CONTROL
calculation = 'scf'
verbosity = 'high'
restart_mode = 'from_scratch'
outdir = './'
pseudo_dir = '/scratch1/05193/sabyadk/2D_materials_Wann/Materials/NbS2-6607ba8d/pseudo/'
prefix = 'hBN'
/
&SYSTEM
ibrav = 0
nat = 3
ntyp = 2
ecutwfc = 60
ecutrho = 240
occupations = 'smearing'
smearing = 'gaussian'
degauss = 0.01
/
&ELECTRONS
conv_thr = 1E-10
diagonalization = cg
electron_maxstep = 500
/
ATOMIC_SPECIES
Nb 92.906 Nb_r.upf
S 32.066 S_r.upf
ATOMIC_POSITIONS crystal
Nb 0.919840122761 0.919840124457 0.0
S 0.253179938606 0.253179937764 0.932380515203

```



```

S 0.253179938606 0.253179937764 0.067619484797

K_POINTS automatic
6 6 1 0 0 0

CELL_PARAMETERS angstrom
3.342599948557 0.0 2e-16
1.6714210798094746 2.8947065631891684 2e-16
0.0 0.0 23.1432690858

```

```

---                nscf.in ---
&CONTROL
calculation = bands
verbosity = 'high'
restart_mode = 'from_scratch'
outdir = './'
pseudo_dir = '/scratch1/05193/sabyadk/2D_materials_Wann/Materials/NbS2-6607ba8d/pseudo/'
prefix = 'hBN'
/
&SYSTEM
ibrav = 0
nat = 3
ntyp = 2
ecutwfc = 60
ecutrho = 240
occupations = 'smearing'
smearing = 'gaussian'
degauss = 0.01
nbnd = 60
/
&ELECTRONS
conv_thr = 1E-10
diagonalization = cg
electron_maxstep = 500
/
ATOMIC_SPECIES
Nb 92.906 Nb_r.upf
S 32.066 S_r.upf
ATOMIC_POSITIONS crystal
Nb 0.919840122761 0.919840124457 0.0
S 0.253179938606 0.253179937764 0.932380515203
S 0.253179938606 0.253179937764 0.067619484797

K_POINTS crystal
36
0.0 0.0 0.0 0.027778
0.0 0.1666666666666666 0.0 0.027778
0.0 0.3333333333333333 0.0 0.027778
0.0 0.5 0.0 0.027778
0.0 0.6666666666666666 0.0 0.027778
0.0 0.8333333333333333 0.0 0.027778
0.1666666666666666 0.0 0.0 0.027778
0.1666666666666666 0.1666666666666666 0.0 0.027778
0.1666666666666666 0.3333333333333333 0.0 0.027778
0.1666666666666666 0.5 0.0 0.027778
0.1666666666666666 0.6666666666666666 0.0 0.027778
0.1666666666666666 0.8333333333333333 0.0 0.027778
0.3333333333333333 0.0 0.0 0.027778
0.3333333333333333 0.1666666666666666 0.0 0.027778
0.3333333333333333 0.3333333333333333 0.0 0.027778
0.3333333333333333 0.5 0.0 0.027778
0.3333333333333333 0.6666666666666666 0.0 0.027778
0.3333333333333333 0.8333333333333333 0.0 0.027778
0.5 0.0 0.0 0.027778
0.5 0.1666666666666666 0.0 0.027778
0.5 0.3333333333333333 0.0 0.027778
0.5 0.5 0.0 0.027778
0.5 0.6666666666666666 0.0 0.027778
0.5 0.8333333333333333 0.0 0.027778
0.6666666666666666 0.0 0.0 0.027778
0.6666666666666666 0.1666666666666666 0.0 0.027778
0.6666666666666666 0.3333333333333333 0.0 0.027778
0.6666666666666666 0.5 0.0 0.027778
0.6666666666666666 0.6666666666666666 0.0 0.027778
0.6666666666666666 0.8333333333333333 0.0 0.027778
0.8333333333333333 0.0 0.0 0.027778
0.8333333333333333 0.1666666666666666 0.0 0.027778
0.8333333333333333 0.3333333333333333 0.0 0.027778
0.8333333333333333 0.5 0.0 0.027778
0.8333333333333333 0.6666666666666666 0.0 0.027778
0.8333333333333333 0.8333333333333333 0.0 0.027778

CELL_PARAMETERS angstrom

```

```

3.342599948557 0.0 2e-16
1.6714210798094746 2.8947065631891684 2e-16
0.0 0.0 23.1432690858

```

```

---                epw1.in ---
&inputepw
prefix = 'hBN'
amass(1) = 92.906
amass(2) = 32.066
outdir = './'
elph = .false.
epbwrite = .false.
epbread = .false.
epwwrite = .true.
epwread = .false.
etf_mem = 1
nbndsub = 13
use_ws = .true.
wannierize = .true.
num_iter = 1000
iprint = 2
dis_win_max = 28.66435121151324
dis_froz_max = -0.6870025123415484
fsthick = 1.2
temps = 1
degaussw = 0.005
dvscf_dir = './save'
nk1 = 6
nk2 = 6
nk3 = 1
nq1 = 1
nq2 = 1
nq3 = 1
dis_win_min = -19.87714584026958
wdata(1) = 'guiding_centres = T'
wdata(2) = 'dis_num_iter = 1500'
wdata(3) = 'bands_num_points = 100 '
wdata(4) = 'bands_plot = .true.'
wdata(5) = 'begin kpoint_path'
wdata(6) = 'G 0.0 0.0 0.0 M 0.5 0.0 0.0'
wdata(7) = 'M 0.5 0.0 0.0 K 0.3333333333 0.3333333333 0.0'
wdata(8) = 'K 0.3333333333 0.3333333333 0.0 X 1.0 1.0 0.0'
wdata(9) = 'X 1.0 1.0 0.0 M1 0.0 0.5 0.0'
wdata(10) = 'M1 0.0 0.5 0.0 G 0.0 0.0 0.0'
wdata(11) = 'end kpoint_path'
bands_skipped = 'exclude_bands = 1-6'
proj(1) = 'Nb: l= -5, mr= 1,2,4,5,6'
proj(2) = 'S: l= -4, mr= 1,2,3,4'
dis_froz_min = -5.724140057456093
/

```

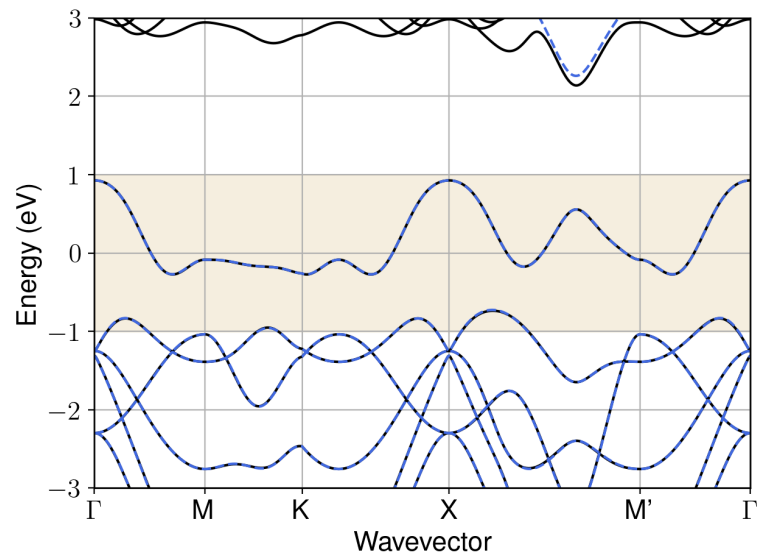


Figure S112: Bandstructure interpolation for monolayer NbS<sub>2</sub>. Wannier-interpolation of the band structure of monolayer NbS<sub>2</sub> over a wide energy range. Blue dashed lines are results from the present method, black solid lines are explicit DFT calculations. The yellow shaded region shows the range over which optimization has been performed. The interpolation error within the yellow region is 3 meV. The k-grid employed for NSCF calculation is 6×6.

## 101 Material: NbS<sub>2</sub>

The calculation files are appended below. These files should be executed in the order provided. The location of pseudo potentials should be changed accordingly.

```

---          scf.in ---
&CONTROL
calculation = 'scf'
verbosity = 'high'
restart_mode = 'from_scratch'
outdir = './'
pseudo_dir = '/scratch1/05193/sabyadk/2D_materials_Wann/Materials/NbS2-7f4de45e/pseudo/'
prefix = 'hBN'
/
&SYSTEM
ibrav = 0
nat = 3
ntyp = 2
ecutwfc = 60
ecutrho = 240
occupations = 'smearing'
smearing = 'gaussian'
degauss = 0.01
/
&ELECTRONS
conv_thr = 1E-10
diagonalization = cg
electron_maxstep = 500
/
ATOMIC_SPECIES
Nb 92.906 Nb_r.upf
S 32.066 S_r.upf
ATOMIC_POSITIONS crystal
Nb 0.0 0.0 1e-12
S 0.6666666666666666 0.3333333333333333 0.066798138043

```

```

S 0.3333333333333333 0.6666666666666666 0.933201861955

K_POINTS automatic
6 6 1 0 0 0

CELL_PARAMETERS angstrom
3.3732986197 0.0 2e-16
-1.6866493097998687 2.9213622991997106 2e-16
0.0 0.0 23.1024431539

```

```

---                nscf.in ---
&CONTROL
calculation = bands
verbosity = 'high'
restart_mode = 'from_scratch'
outdir = './'
pseudo_dir = '/scratch1/05193/sabyadk/2D_materials_Wann/Materials/NbS2-7f4de45e/pseudo/'
prefix = 'hBN'
/
&SYSTEM
ibrav = 0
nat = 3
ntyp = 2
ecutwfc = 60
ecutrho = 240
occupations = 'smearing'
smearing = 'gaussian'
degauss = 0.01
nbnd = 60
/
&ELECTRONS
conv_thr = 1E-10
diagonalization = cg
electron_maxstep = 500
/
ATOMIC_SPECIES
Nb 92.906 Nb_r.upf
S 32.066 S_r.upf
ATOMIC_POSITIONS crystal
Nb 0.0 0.0 1e-12
S 0.6666666666666666 0.3333333333333333 0.066798138043
S 0.3333333333333333 0.6666666666666666 0.933201861955

K_POINTS crystal
36
0.0 0.0 0.0 0.027778
0.0 0.1666666666666666 0.0 0.027778
0.0 0.3333333333333333 0.0 0.027778
0.0 0.5 0.0 0.027778
0.0 0.6666666666666666 0.0 0.027778
0.0 0.8333333333333333 0.0 0.027778
0.1666666666666666 0.0 0.0 0.027778
0.1666666666666666 0.1666666666666666 0.0 0.027778
0.1666666666666666 0.3333333333333333 0.0 0.027778
0.1666666666666666 0.5 0.0 0.027778
0.1666666666666666 0.6666666666666666 0.0 0.027778
0.1666666666666666 0.8333333333333333 0.0 0.027778
0.3333333333333333 0.0 0.0 0.027778
0.3333333333333333 0.1666666666666666 0.0 0.027778
0.3333333333333333 0.3333333333333333 0.0 0.027778
0.3333333333333333 0.5 0.0 0.027778
0.3333333333333333 0.6666666666666666 0.0 0.027778
0.3333333333333333 0.8333333333333333 0.0 0.027778
0.5 0.0 0.0 0.027778
0.5 0.1666666666666666 0.0 0.027778
0.5 0.3333333333333333 0.0 0.027778
0.5 0.5 0.0 0.027778
0.5 0.6666666666666666 0.0 0.027778
0.5 0.8333333333333333 0.0 0.027778
0.6666666666666666 0.0 0.0 0.027778
0.6666666666666666 0.1666666666666666 0.0 0.027778
0.6666666666666666 0.3333333333333333 0.0 0.027778
0.6666666666666666 0.5 0.0 0.027778
0.6666666666666666 0.6666666666666666 0.0 0.027778
0.6666666666666666 0.8333333333333333 0.0 0.027778
0.8333333333333333 0.0 0.0 0.027778
0.8333333333333333 0.1666666666666666 0.0 0.027778
0.8333333333333333 0.3333333333333333 0.0 0.027778
0.8333333333333333 0.5 0.0 0.027778
0.8333333333333333 0.6666666666666666 0.0 0.027778
0.8333333333333333 0.8333333333333333 0.0 0.027778

CELL_PARAMETERS angstrom

```

```

3.3732986197 0.0 2e-16
-1.6866493097998687 2.9213622991997106 2e-16
0.0 0.0 23.1024431539

```

```

---                epw1.in ---
&inputepw
prefix = 'hBN'
amass(1) = 92.906
amass(2) = 32.066
outdir = './'
elph = .false.
epbwrite = .false.
epbread = .false.
epwwrite = .true.
epwread = .false.
etf_mem = 1
nbndsub = 10
use_ws = .true.
wannierize = .true.
num_iter = 1000
iprint = 2
dis_win_max = 17.074138745838745
dis_froz_max = 0.8509341829702572
fsthick = 1.2
temps = 1
degaussw = 0.005
dvscf_dir = './save'
nk1 = 6
nk2 = 6
nk3 = 1
nq1 = 1
nq2 = 1
nq3 = 1
dis_win_min = -13.743456597510804
wdata(1) = 'guiding_centres = T'
wdata(2) = 'dis_num_iter = 1500'
wdata(3) = 'bands_num_points = 100 '
wdata(4) = 'bands_plot = .true.'
wdata(5) = 'begin kpoint_path'
wdata(6) = 'G 0.0 0.0 0.0 M 0.5 0.0 0.0'
wdata(7) = 'M 0.5 0.0 0.0 K 0.3333333333 0.3333333333 0.0'
wdata(8) = 'K 0.3333333333 0.3333333333 0.0 X 1.0 1.0 0.0'
wdata(9) = 'X 1.0 1.0 0.0 M1 0.0 0.5 0.0'
wdata(10) = 'M1 0.0 0.5 0.0 G 0.0 0.0 0.0'
wdata(11) = 'end kpoint_path'
bands_skipped = 'exclude_bands = 1-6'
proj(1) = 'Nb: l= 2, mr= 3,5'
proj(2) = 'S: l= 3, mr= 1,2,3,5'
dis_froz_min = -9.843274322774633
/

```

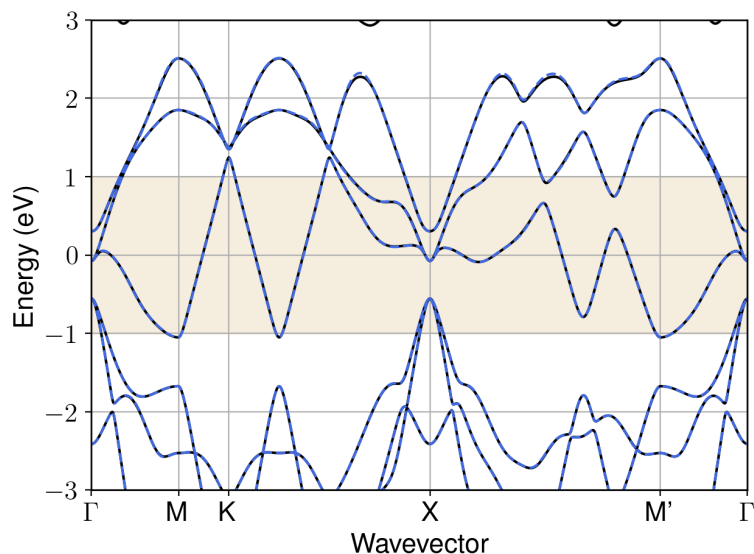


Figure S113: Bandstructure interpolation for monolayer NbS<sub>2</sub>. Wannier-interpolation of the band structure of monolayer NbS<sub>2</sub> over a wide energy range. Blue dashed lines are results from the present method, black solid lines are explicit DFT calculations. The yellow shaded region shows the range over which optimization has been performed. The interpolation error within the yellow region is 6 meV. The k-grid employed for NSCF calculation is 6×6.

## 102 Material: NbSe<sub>2</sub>

The calculation files are appended below. These files should be executed in the order provided. The location of pseudo potentials should be changed accordingly.

```

---          scf.in ---
&CONTROL
calculation = 'scf'
verbosity = 'high'
restart_mode = 'from_scratch'
outdir = './'
pseudo_dir = '/scratch1/05193/sabyadk/2D_materials_Wann/Materials/NbSe2-53c8feaa/pseudo/'
prefix = 'hBN'
/
&SYSTEM
ibrav = 0
nat = 3
ntyp = 2
ecutwfc = 60
ecutrho = 240
occupations = 'smearing'
smearing = 'gaussian'
degauss = 0.01
/
&ELECTRONS
conv_thr = 1E-10
diagonalization = cg
electron_maxstep = 500
/
ATOMIC_SPECIES
Nb 92.906 Nb_r.upf
Se 78.971 Se_r.upf
ATOMIC_POSITIONS crystal
Nb 0.3333333333333333 0.6666666666666666 0.0
Se 0.6666666666666666 0.3333333333333333 0.072029167936

```

```
Se 0.6666666666666666 0.3333333333333333 0.927970832064
```

```
K_POINTS automatic
6 6 1 0 0 0
```

```
CELL_PARAMETERS angstrom
3.4660841469 0.0 2e-16
-1.7330420733999965 3.0017169228999383 2e-16
0.0 0.0 23.3599289458
```

```
--- nscf.in ---
&CONTROL
calculation = bands
verbosity = 'high'
restart_mode = 'from_scratch'
outdir = './'
pseudo_dir = '/scratch1/05193/sabyadk/2D_materials_Wann/Materials/NbSe2-53c8feaa/pseudo/'
prefix = 'hBN'
/
&SYSTEM
ibrav = 0
nat = 3
ntyp = 2
ecutwfc = 60
ecutrho = 240
occupations = 'smearing'
smearing = 'gaussian'
degauss = 0.01
nbnd = 60
/
&ELECTRONS
conv_thr = 1E-10
diagonalization = cg
electron_maxstep = 500
/
ATOMIC_SPECIES
Nb 92.906 Nb_r.upf
Se 78.971 Se_r.upf
ATOMIC_POSITIONS crystal
Nb 0.3333333333333333 0.6666666666666666 0.0
Se 0.6666666666666666 0.3333333333333333 0.072029167936
Se 0.6666666666666666 0.3333333333333333 0.927970832064

K_POINTS crystal
36
0.0 0.0 0.0 0.027778
0.0 0.1666666666666666 0.0 0.027778
0.0 0.3333333333333333 0.0 0.027778
0.0 0.5 0.0 0.027778
0.0 0.6666666666666666 0.0 0.027778
0.0 0.8333333333333333 0.0 0.027778
0.1666666666666666 0.0 0.0 0.027778
0.1666666666666666 0.1666666666666666 0.0 0.027778
0.1666666666666666 0.3333333333333333 0.0 0.027778
0.1666666666666666 0.5 0.0 0.027778
0.1666666666666666 0.6666666666666666 0.0 0.027778
0.1666666666666666 0.8333333333333333 0.0 0.027778
0.3333333333333333 0.0 0.0 0.027778
0.3333333333333333 0.1666666666666666 0.0 0.027778
0.3333333333333333 0.3333333333333333 0.0 0.027778
0.3333333333333333 0.5 0.0 0.027778
0.3333333333333333 0.6666666666666666 0.0 0.027778
0.3333333333333333 0.8333333333333333 0.0 0.027778
0.5 0.0 0.0 0.027778
0.5 0.1666666666666666 0.0 0.027778
0.5 0.3333333333333333 0.0 0.027778
0.5 0.5 0.0 0.027778
0.5 0.6666666666666666 0.0 0.027778
0.5 0.8333333333333333 0.0 0.027778
0.6666666666666666 0.0 0.0 0.027778
0.6666666666666666 0.1666666666666666 0.0 0.027778
0.6666666666666666 0.3333333333333333 0.0 0.027778
0.6666666666666666 0.5 0.0 0.027778
0.6666666666666666 0.6666666666666666 0.0 0.027778
0.6666666666666666 0.8333333333333333 0.0 0.027778
0.8333333333333333 0.0 0.0 0.027778
0.8333333333333333 0.1666666666666666 0.0 0.027778
0.8333333333333333 0.3333333333333333 0.0 0.027778
0.8333333333333333 0.5 0.0 0.027778
0.8333333333333333 0.6666666666666666 0.0 0.027778
0.8333333333333333 0.8333333333333333 0.0 0.027778

CELL_PARAMETERS angstrom
```

```

3.4660841469 0.0 2e-16
-1.7330420733999965 3.0017169228999383 2e-16
0.0 0.0 23.3599289458

```

```

---                epw1.in ---
&inputepw
prefix = 'hBN'
amass(1) = 92.906
amass(2) = 78.971
outdir = './'
elph = .false.
epbwrite = .false.
epbread = .false.
epwwrite = .true.
epwread = .false.
etf_mem = 1
nbndsub = 16
use_ws = .true.
wannierize = .true.
num_iter = 1000
iprint = 2
dis_win_max = 29.533048869034786
dis_froz_max = 4.5424955528213085
fsthick = 1.2
temps = 1
degaussw = 0.005
dvscf_dir = './save'
nk1 = 6
nk2 = 6
nk3 = 1
nq1 = 1
nq2 = 1
nq3 = 1
dis_win_min = -12.134978639503414
wdata(1) = 'guiding_centres = T'
wdata(2) = 'dis_num_iter = 1500'
wdata(3) = 'bands_num_points = 100 '
wdata(4) = 'bands_plot = .true.'
wdata(5) = 'begin kpoint_path'
wdata(6) = 'G 0.0 0.0 0.0 M 0.5 0.0 0.0'
wdata(7) = 'M 0.5 0.0 0.0 K 0.3333333333 0.3333333333 0.0'
wdata(8) = 'K 0.3333333333 0.3333333333 0.0 X 1.0 1.0 0.0'
wdata(9) = 'X 1.0 1.0 0.0 M1 0.0 0.5 0.0'
wdata(10) = 'M1 0.0 0.5 0.0 G 0.0 0.0 0.0'
wdata(11) = 'end kpoint_path'
bands_skipped = 'exclude_bands = 1-16'
proj(1) = 'Nb: l= 2, mr= 1,2,3,4'
proj(2) = 'Se: l= 3, mr= 1,2,3,4,6,7'
dis_froz_min = -10.182707969354684
/

```



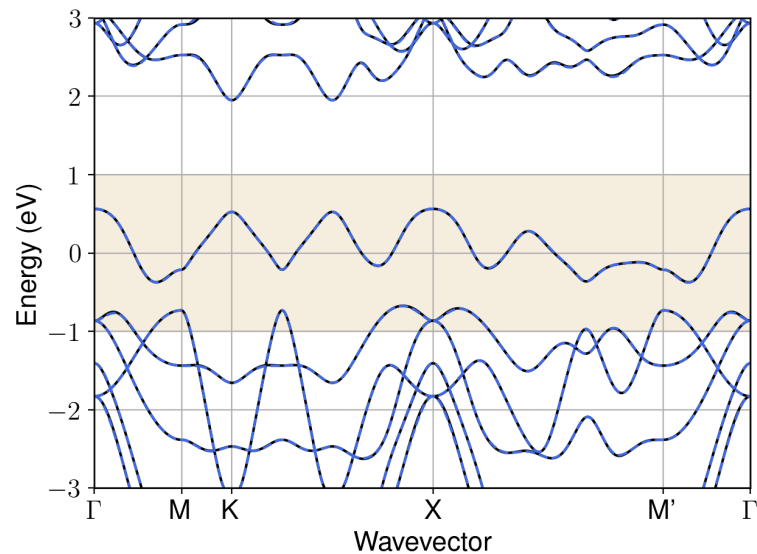


Figure S114: Bandstructure interpolation for monolayer NbSe<sub>2</sub>. Wannier-interpolation of the band structure of monolayer NbSe<sub>2</sub> over a wide energy range. Blue dashed lines are results from the present method, black solid lines are explicit DFT calculations. The yellow shaded region shows the range over which optimization has been performed. The interpolation error within the yellow region is 4 meV. The k-grid employed for NSCF calculation is 6×6.

### 103 Material: NbSe<sub>2</sub>

The calculation files are appended below. These files should be executed in the order provided. The location of pseudo potentials should be changed accordingly.

```

---          scf.in ---
&CONTROL
calculation = 'scf'
verbosity = 'high'
restart_mode = 'from_scratch'
outdir = './'
pseudo_dir = '/scratch1/05193/sabyadk/2D_materials_Wann/Materials/NbSe2-aba7c72f/pseudo/'
prefix = 'hBN'
/
&SYSTEM
ibrav = 0
nat = 3
ntyp = 2
ecutwfc = 60
ecutrho = 240
occupations = 'smearing'
smearing = 'gaussian'
degauss = 0.01
/
&ELECTRONS
conv_thr = 1E-10
diagonalization = cg
electron_maxstep = 500
/
ATOMIC_SPECIES
Nb 92.906 Nb_r.upf
Se 78.971 Se_r.upf
ATOMIC_POSITIONS crystal
Nb 0.0 0.0 0.999999999999
Se 0.3333333333333333 0.6666666666666666 0.928293975743

```

```
Se 0.6666666666666666 0.3333333333333333 0.071706024258
```

```
K_POINTS automatic
6 6 1 0 0 0
```

```
CELL_PARAMETERS angstrom
3.4756827071 0.0 2e-16
-1.7378413533997787 3.0100295198995766 2e-16
0.0 0.0 23.3579401799
```

```
--- nscf.in ---
&CONTROL
calculation = bands
verbosity = 'high'
restart_mode = 'from_scratch'
outdir = './'
pseudo_dir = '/scratch1/05193/sabyadk/2D_materials_Wann/Materials/NbSe2-aba7c72f/pseudo/'
prefix = 'hBN'
/
&SYSTEM
ibrav = 0
nat = 3
ntyp = 2
ecutwfc = 60
ecutrho = 240
occupations = 'smearing'
smearing = 'gaussian'
degauss = 0.01
nbnd = 60
/
&ELECTRONS
conv_thr = 1E-10
diagonalization = cg
electron_maxstep = 500
/
ATOMIC_SPECIES
Nb 92.906 Nb_r.upf
Se 78.971 Se_r.upf
ATOMIC_POSITIONS crystal
Nb 0.0 0.0 0.999999999999
Se 0.3333333333333333 0.6666666666666666 0.928293975743
Se 0.6666666666666666 0.3333333333333333 0.071706024258

K_POINTS crystal
36
0.0 0.0 0.0 0.027778
0.0 0.1666666666666666 0.0 0.027778
0.0 0.3333333333333333 0.0 0.027778
0.0 0.5 0.0 0.027778
0.0 0.6666666666666666 0.0 0.027778
0.0 0.8333333333333333 0.0 0.027778
0.1666666666666666 0.0 0.0 0.027778
0.1666666666666666 0.1666666666666666 0.0 0.027778
0.1666666666666666 0.3333333333333333 0.0 0.027778
0.1666666666666666 0.5 0.0 0.027778
0.1666666666666666 0.6666666666666666 0.0 0.027778
0.1666666666666666 0.8333333333333333 0.0 0.027778
0.3333333333333333 0.0 0.0 0.027778
0.3333333333333333 0.1666666666666666 0.0 0.027778
0.3333333333333333 0.3333333333333333 0.0 0.027778
0.3333333333333333 0.5 0.0 0.027778
0.3333333333333333 0.6666666666666666 0.0 0.027778
0.3333333333333333 0.8333333333333333 0.0 0.027778
0.5 0.0 0.0 0.027778
0.5 0.1666666666666666 0.0 0.027778
0.5 0.3333333333333333 0.0 0.027778
0.5 0.5 0.0 0.027778
0.5 0.6666666666666666 0.0 0.027778
0.5 0.8333333333333333 0.0 0.027778
0.6666666666666666 0.0 0.0 0.027778
0.6666666666666666 0.1666666666666666 0.0 0.027778
0.6666666666666666 0.3333333333333333 0.0 0.027778
0.6666666666666666 0.5 0.0 0.027778
0.6666666666666666 0.6666666666666666 0.0 0.027778
0.6666666666666666 0.8333333333333333 0.0 0.027778
0.8333333333333333 0.0 0.0 0.027778
0.8333333333333333 0.1666666666666666 0.0 0.027778
0.8333333333333333 0.3333333333333333 0.0 0.027778
0.8333333333333333 0.5 0.0 0.027778
0.8333333333333333 0.6666666666666666 0.0 0.027778
0.8333333333333333 0.8333333333333333 0.0 0.027778

CELL_PARAMETERS angstrom
```

```

3.4756827071 0.0 2e-16
-1.7378413533997787 3.0100295198995766 2e-16
0.0 0.0 23.3579401799

```

```

---                epw1.in ---
&inputepw
prefix = 'hBN'
amass(1) = 92.906
amass(2) = 78.971
outdir = './'
elph = .false.
epbwrite = .false.
epbread = .false.
epwwrite = .true.
epwread = .false.
etf_mem = 1
nbndsub = 11
use_ws = .true.
wannierize = .true.
num_iter = 1000
iprint = 2
dis_win_max = 24.33317895531972
dis_froz_max = 2.156919282875384
fsthick = 1.2
temps = 1
degaussw = 0.005
dvscf_dir = './save'
nk1 = 6
nk2 = 6
nk3 = 1
nq1 = 1
nq2 = 1
nq3 = 1
dis_win_min = -16.83461941354868
wdata(1) = 'guiding_centres = T'
wdata(2) = 'dis_num_iter = 1500'
wdata(3) = 'bands_num_points = 100 '
wdata(4) = 'bands_plot = .true.'
wdata(5) = 'begin kpoint_path'
wdata(6) = 'G 0.0 0.0 0.0 M 0.5 0.0 0.0'
wdata(7) = 'M 0.5 0.0 0.0 K 0.3333333333 0.3333333333 0.0'
wdata(8) = 'K 0.3333333333 0.3333333333 0.0 X 1.0 1.0 0.0'
wdata(9) = 'X 1.0 1.0 0.0 M1 0.0 0.5 0.0'
wdata(10) = 'M1 0.0 0.5 0.0 G 0.0 0.0 0.0'
wdata(11) = 'end kpoint_path'
bands_skipped = 'exclude_bands = 1-16'
proj(1) = 'Nb: l= 3, mr= 1,4,5,6,7'
proj(2) = 'Se: l= 2, mr= 1,2,4'
dis_froz_min = -5.338016830607749
/

```

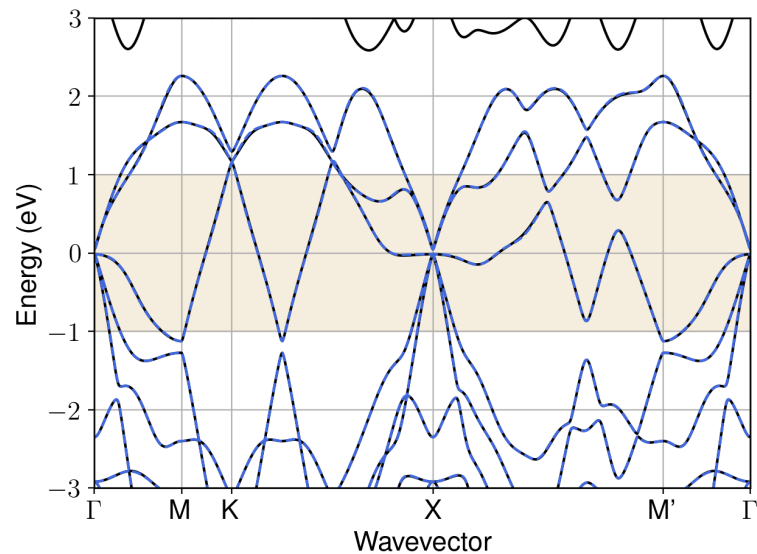


Figure S115: Bandstructure interpolation for monolayer NbSe<sub>2</sub>. Wannier-interpolation of the band structure of monolayer NbSe<sub>2</sub> over a wide energy range. Blue dashed lines are results from the present method, black solid lines are explicit DFT calculations. The yellow shaded region shows the range over which optimization has been performed. The interpolation error within the yellow region is 7 meV. The k-grid employed for NSCF calculation is 6×6.

## 104 Material: NbTe<sub>2</sub>

The calculation files are appended below. These files should be executed in the order provided. The location of pseudo potentials should be changed accordingly.

```

---          scf.in ---
&CONTROL
calculation = 'scf'
verbosity = 'high'
restart_mode = 'from_scratch'
outdir = './'
pseudo_dir = '/scratch1/05193/sabyadk/2D_materials_Wann/Materials/NbTe2-8e69589f/pseudo/'
prefix = 'hBN'
/
&SYSTEM
ibrav = 0
nat = 3
ntyp = 2
ecutwfc = 60
ecutrho = 240
occupations = 'smearing'
smearing = 'gaussian'
degauss = 0.01
/
&ELECTRONS
conv_thr = 1E-10
diagonalization = cg
electron_maxstep = 500
/
ATOMIC_SPECIES
Nb 92.906 Nb_r.upf
Te 126.7 Te_r.upf
ATOMIC_POSITIONS crystal
Nb 0.0 0.0 0.0
Te 0.6666666666666666 0.3333333333333333 0.078465853679

```

```

Te 0.3333333333333333 0.6666666666666666 0.9215341463210001

K_POINTS automatic
6 6 1 0 0 0

CELL_PARAMETERS angstrom
3.669860294 0.0 2e-16
-1.8349301471002002 3.178192243000294 2e-16
0.0 0.0 23.6602884458

```

```

---                                nscf.in ---
&CONTROL
calculation = bands
verbosity = 'high'
restart_mode = 'from_scratch'
outdir = './'
pseudo_dir = '/scratch1/05193/sabyadk/2D_materials_Wann/Materials/NbTe2-8e69589f/pseudo/'
prefix = 'hBN'
/
&SYSTEM
ibrav = 0
nat = 3
ntyp = 2
ecutwfc = 60
ecutrho = 240
occupations = 'smearing'
smearing = 'gaussian'
degauss = 0.01
nbnd = 60
/
&ELECTRONS
conv_thr = 1E-10
diagonalization = cg
electron_maxstep = 500
/
ATOMIC_SPECIES
Nb 92.906 Nb_r.upf
Te 126.7 Te_r.upf
ATOMIC_POSITIONS crystal
Nb 0.0 0.0 0.0
Te 0.6666666666666666 0.3333333333333333 0.078465853679
Te 0.3333333333333333 0.6666666666666666 0.9215341463210001

K_POINTS crystal
36
0.0 0.0 0.0 0.027778
0.0 0.1666666666666666 0.0 0.027778
0.0 0.3333333333333333 0.0 0.027778
0.0 0.5 0.0 0.027778
0.0 0.6666666666666666 0.0 0.027778
0.0 0.8333333333333333 0.0 0.027778
0.1666666666666666 0.0 0.0 0.027778
0.1666666666666666 0.1666666666666666 0.0 0.027778
0.1666666666666666 0.3333333333333333 0.0 0.027778
0.1666666666666666 0.5 0.0 0.027778
0.1666666666666666 0.6666666666666666 0.0 0.027778
0.1666666666666666 0.8333333333333333 0.0 0.027778
0.3333333333333333 0.0 0.0 0.027778
0.3333333333333333 0.1666666666666666 0.0 0.027778
0.3333333333333333 0.3333333333333333 0.0 0.027778
0.3333333333333333 0.5 0.0 0.027778
0.3333333333333333 0.6666666666666666 0.0 0.027778
0.3333333333333333 0.8333333333333333 0.0 0.027778
0.5 0.0 0.0 0.027778
0.5 0.1666666666666666 0.0 0.027778
0.5 0.3333333333333333 0.0 0.027778
0.5 0.5 0.0 0.027778
0.5 0.6666666666666666 0.0 0.027778
0.5 0.8333333333333333 0.0 0.027778
0.6666666666666666 0.0 0.0 0.027778
0.6666666666666666 0.1666666666666666 0.0 0.027778
0.6666666666666666 0.3333333333333333 0.0 0.027778
0.6666666666666666 0.5 0.0 0.027778
0.6666666666666666 0.6666666666666666 0.0 0.027778
0.6666666666666666 0.8333333333333333 0.0 0.027778
0.8333333333333333 0.0 0.0 0.027778
0.8333333333333333 0.1666666666666666 0.0 0.027778
0.8333333333333333 0.3333333333333333 0.0 0.027778
0.8333333333333333 0.5 0.0 0.027778
0.8333333333333333 0.6666666666666666 0.0 0.027778
0.8333333333333333 0.8333333333333333 0.0 0.027778

CELL_PARAMETERS angstrom

```

```

3.669860294 0.0 2e-16
-1.8349301471002002 3.178192243000294 2e-16
0.0 0.0 23.6602884458

```

```

---                epw1.in ---
&inputepw
prefix = 'hBN'
amass(1) = 92.906
amass(2) = 126.7
outdir = './'
elph = .false.
epbwrite = .false.
epbread = .false.
epwwrite = .true.
epwread = .false.
etf_mem = 1
nbndsub = 12
use_ws = .true.
wannierize = .true.
num_iter = 1000
iprint = 2
dis_win_max = 24.325392344736347
dis_froz_max = 2.2167569511953573
fsthick = 1.2
temps = 1
degaussw = 0.005
dvscf_dir = './save'
nk1 = 6
nk2 = 6
nk3 = 1
nq1 = 1
nq2 = 1
nq3 = 1
dis_win_min = -11.503111080894671
wdata(1) = 'guiding_centres = T'
wdata(2) = 'dis_num_iter = 1500'
wdata(3) = 'bands_num_points = 100 '
wdata(4) = 'bands_plot = .true.'
wdata(5) = 'begin kpoint_path'
wdata(6) = 'G 0.0 0.0 0.0 M 0.5 0.0 0.0'
wdata(7) = 'M 0.5 0.0 0.0 K 0.3333333333 0.3333333333 0.0'
wdata(8) = 'K 0.3333333333 0.3333333333 0.0 X 1.0 1.0 0.0'
wdata(9) = 'X 1.0 1.0 0.0 M1 0.0 0.5 0.0'
wdata(10) = 'M1 0.0 0.5 0.0 G 0.0 0.0 0.0'
wdata(11) = 'end kpoint_path'
bands_skipped = 'exclude_bands = 1-16'
proj(1) = 'Nb: l= 3, mr= 1,2,3,4'
proj(2) = 'Te: l= 3, mr= 2,4,5,6'
dis_froz_min = -9.286645985736612
/

```

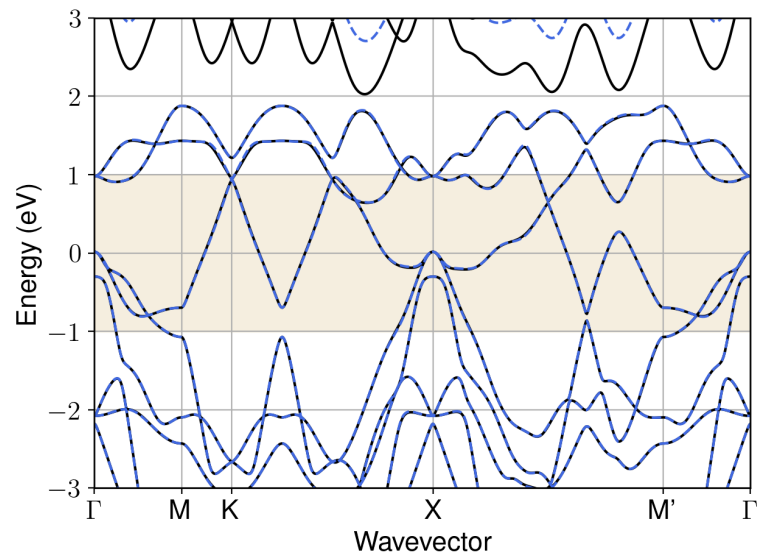


Figure S116: Bandstructure interpolation for monolayer NbTe<sub>2</sub>. Wannier-interpolation of the band structure of monolayer NbTe<sub>2</sub> over a wide energy range. Blue dashed lines are results from the present method, black solid lines are explicit DFT calculations. The yellow shaded region shows the range over which optimization has been performed. The interpolation error within the yellow region is 6 meV. The k-grid employed for NSCF calculation is 6×6.

## 105 Material: NiBr<sub>2</sub>

The calculation files are appended below. These files should be executed in the order provided. The location of pseudo potentials should be changed accordingly.

```

---          scf.in ---
&CONTROL
calculation = 'scf'
verbosity = 'high'
restart_mode = 'from_scratch'
outdir = './'
pseudo_dir = '/scratch1/05193/sabyadk/2D_materials_Wann/Materials/NiBr2-9000c8b9/pseudo/'
prefix = 'hBN'
/
&SYSTEM
ibrav = 0
nat = 3
ntyp = 2
ecutwfc = 60
ecutrho = 240
occupations = 'smearing'
smearing = 'gaussian'
degauss = 0.1
/
&ELECTRONS
conv_thr = 1E-10
diagonalization = cg
electron_maxstep = 500
/
ATOMIC_SPECIES
Ni 58.693 Ni_r.upf
Br 79.904 Br_r.upf
ATOMIC_POSITIONS crystal
Ni 6e-12 0.500000000022 0.0
Br 0.3333333333333333 0.166666495458 0.920169757338

```

```
Br 0.6666666666666666 0.833333504542 0.079830242662
```

```
K_POINTS automatic
6 6 1 0 0 0
```

```
CELL_PARAMETERS angstrom
3.680229641614 0.0 2e-16
-1.8401129544506767 3.1871712838120567 2e-16
0.0 0.0 17.6742564869
```

```
--- nscf.in ---
&CONTROL
calculation = bands
verbosity = 'high'
restart_mode = 'from_scratch'
outdir = './'
pseudo_dir = '/scratch1/05193/sabyadk/2D_materials_Wann/Materials/NiBr2-9000c8b9/pseudo/'
prefix = 'hBN'
/
&SYSTEM
ibrav = 0
nat = 3
ntyp = 2
ecutwfc = 60
ecutrho = 240
occupations = 'smearing'
smearing = 'gaussian'
degauss = 0.1
nbnd = 60
/
&ELECTRONS
conv_thr = 1E-10
diagonalization = cg
electron_maxstep = 500
/
ATOMIC_SPECIES
Ni 58.693 Ni_r.upf
Br 79.904 Br_r.upf
ATOMIC_POSITIONS crystal
Ni 6e-12 0.500000000022 0.0
Br 0.3333333333333333 0.166666495458 0.920169757338
Br 0.6666666666666666 0.833333504542 0.079830242662

K_POINTS crystal
36
0.0 0.0 0.0 0.027778
0.0 0.1666666666666666 0.0 0.027778
0.0 0.3333333333333333 0.0 0.027778
0.0 0.5 0.0 0.027778
0.0 0.6666666666666666 0.0 0.027778
0.0 0.8333333333333333 0.0 0.027778
0.1666666666666666 0.0 0.0 0.027778
0.1666666666666666 0.1666666666666666 0.0 0.027778
0.1666666666666666 0.3333333333333333 0.0 0.027778
0.1666666666666666 0.5 0.0 0.027778
0.1666666666666666 0.6666666666666666 0.0 0.027778
0.1666666666666666 0.8333333333333333 0.0 0.027778
0.3333333333333333 0.0 0.0 0.027778
0.3333333333333333 0.1666666666666666 0.0 0.027778
0.3333333333333333 0.3333333333333333 0.0 0.027778
0.3333333333333333 0.5 0.0 0.027778
0.3333333333333333 0.6666666666666666 0.0 0.027778
0.3333333333333333 0.8333333333333333 0.0 0.027778
0.5 0.0 0.0 0.027778
0.5 0.1666666666666666 0.0 0.027778
0.5 0.3333333333333333 0.0 0.027778
0.5 0.5 0.0 0.027778
0.5 0.6666666666666666 0.0 0.027778
0.5 0.8333333333333333 0.0 0.027778
0.6666666666666666 0.0 0.0 0.027778
0.6666666666666666 0.1666666666666666 0.0 0.027778
0.6666666666666666 0.3333333333333333 0.0 0.027778
0.6666666666666666 0.5 0.0 0.027778
0.6666666666666666 0.6666666666666666 0.0 0.027778
0.6666666666666666 0.8333333333333333 0.0 0.027778
0.8333333333333333 0.0 0.0 0.027778
0.8333333333333333 0.1666666666666666 0.0 0.027778
0.8333333333333333 0.3333333333333333 0.0 0.027778
0.8333333333333333 0.5 0.0 0.027778
0.8333333333333333 0.6666666666666666 0.0 0.027778
0.8333333333333333 0.8333333333333333 0.0 0.027778

CELL_PARAMETERS angstrom
```



```

3.680229641614 0.0 2e-16
-1.8401129544506767 3.1871712838120567 2e-16
0.0 0.0 17.6742564869

```

```

---                epw1.in ---
&inputepw
prefix = 'hBN'
amass(1) = 58.693
amass(2) = 79.904
outdir = './'
elph = .false.
epbwrite = .false.
epbread = .false.
epwwrite = .true.
epwread = .false.
etf_mem = 1
nbndsub = 11
use_ws = .true.
wannierize = .true.
num_iter = 1000
iprint = 2
dis_win_max = 17.490548229641842
dis_froz_max = 0.9068666861626942
fsthick = 1.2
temps = 1
degaussw = 0.005
dvscf_dir = './save'
nk1 = 6
nk2 = 6
nk3 = 1
nq1 = 1
nq2 = 1
nq3 = 1
dis_win_min = -16.276641806763926
wdata(1) = 'guiding_centres = T'
wdata(2) = 'dis_num_iter = 1500'
wdata(3) = 'bands_num_points = 100 '
wdata(4) = 'bands_plot = .true.'
wdata(5) = 'begin kpoint_path'
wdata(6) = 'G 0.0 0.0 0.0 M 0.5 0.0 0.0'
wdata(7) = 'M 0.5 0.0 0.0 K 0.3333333333 0.3333333333 0.0'
wdata(8) = 'K 0.3333333333 0.3333333333 0.0 X 1.0 1.0 0.0'
wdata(9) = 'X 1.0 1.0 0.0 M1 0.0 0.5 0.0'
wdata(10) = 'M1 0.0 0.5 0.0 G 0.0 0.0 0.0'
wdata(11) = 'end kpoint_path'
bands_skipped = 'exclude_bands = 1-6'
proj(1) = 'Ni: l= -4, mr= 1,2,3,4,5'
proj(2) = 'Br: l= 3, mr= 1,3,4'
dis_froz_min = -5.224470734743861
/

```

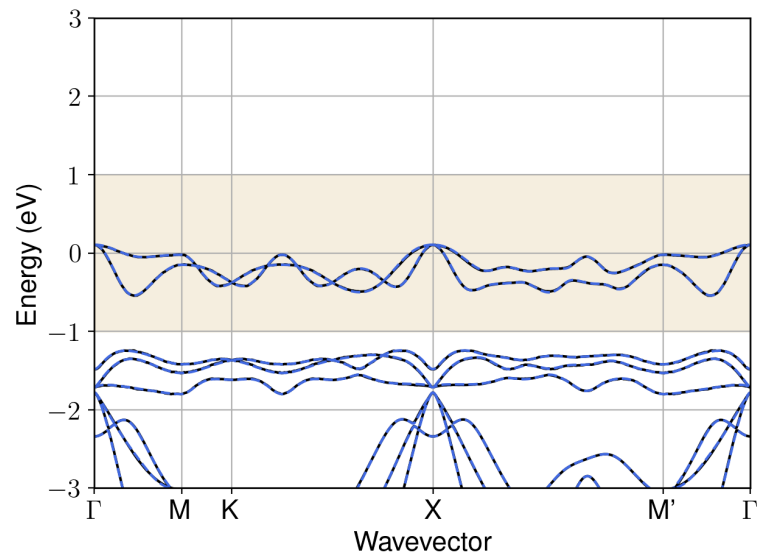


Figure S117: Bandstructure interpolation for monolayer  $\text{NiBr}_2$ . Wannier-interpolation of the band structure of monolayer  $\text{NiBr}_2$  over a wide energy range. Blue dashed lines are results from the present method, black solid lines are explicit DFT calculations. The yellow shaded region shows the range over which optimization has been performed. The interpolation error within the yellow region is 5 meV. The k-grid employed for NSCF calculation is  $6 \times 6$ .

## 106 Material: $\text{NiO}_2$

The calculation files are appended below. These files should be executed in the order provided. The location of pseudo potentials should be changed accordingly.

```

---          scf.in ---
&CONTROL
calculation = 'scf'
verbosity = 'high'
restart_mode = 'from_scratch'
outdir = './'
pseudo_dir = '/scratch1/05193/sabyadk/2D_materials_Wann/Materials/NiO2-4a9d8f87/pseudo/'
prefix = 'hBN'
/
&SYSTEM
ibrav = 0
nat = 3
ntyp = 2
ecutwfc = 60
ecutrho = 240
assume_isolated = 2D
/
&ELECTRONS
conv_thr = 1E-12
diagonalization = 'david'
electron_maxstep = 200
/
ATOMIC_SPECIES
Ni 58.693 Ni_r.upf
O 15.999 O_r.upf
ATOMIC_POSITIONS crystal
Ni 0.0 0.0 2e-12
O 0.6666666666666666 0.3333333333333333 0.957015906611
O 0.3333333333333333 0.6666666666666666 0.042984093388

```

```

K_POINTS automatic
6 6 1 0 0 0

CELL_PARAMETERS angstrom
2.8242033451 0.0 2e-16
-1.412101672500161 2.4458318423002594 2e-16
0.0 0.0 21.8824530565

```

```

--- nscf.in ---
&CONTROL
calculation = bands
verbosity = 'high'
restart_mode = 'from_scratch'
outdir = './'
pseudo_dir = '/scratch1/05193/sabyadk/2D_materials_Wann/Materials/NiO2-4a9d8f87/pseudo/'
prefix = 'hBN'
/
&SYSTEM
ibrav = 0
nat = 3
ntyp = 2
ecutwfc = 60
ecutrho = 240
assume_isolated = 2D
nbnd = 60
/
&ELECTRONS
conv_thr = 1E-10
diagonalization = 'david'
electron_maxstep = 200
/
ATOMIC_SPECIES
Ni 58.693 Ni_r.upf
O 15.999 O_r.upf
ATOMIC_POSITIONS crystal
Ni 0.0 0.0 2e-12
O 0.6666666666666666 0.3333333333333333 0.957015906611
O 0.3333333333333333 0.6666666666666666 0.042984093388

K_POINTS crystal
36
0.0 0.0 0.0 0.027778
0.0 0.1666666666666666 0.0 0.027778
0.0 0.3333333333333333 0.0 0.027778
0.0 0.5 0.0 0.027778
0.0 0.6666666666666666 0.0 0.027778
0.0 0.8333333333333333 0.0 0.027778
0.1666666666666666 0.0 0.0 0.027778
0.1666666666666666 0.1666666666666666 0.0 0.027778
0.1666666666666666 0.3333333333333333 0.0 0.027778
0.1666666666666666 0.5 0.0 0.027778
0.1666666666666666 0.6666666666666666 0.0 0.027778
0.1666666666666666 0.8333333333333333 0.0 0.027778
0.3333333333333333 0.0 0.0 0.027778
0.3333333333333333 0.1666666666666666 0.0 0.027778
0.3333333333333333 0.3333333333333333 0.0 0.027778
0.3333333333333333 0.5 0.0 0.027778
0.3333333333333333 0.6666666666666666 0.0 0.027778
0.3333333333333333 0.8333333333333333 0.0 0.027778
0.5 0.0 0.0 0.027778
0.5 0.1666666666666666 0.0 0.027778
0.5 0.3333333333333333 0.0 0.027778
0.5 0.5 0.0 0.027778
0.5 0.6666666666666666 0.0 0.027778
0.5 0.8333333333333333 0.0 0.027778
0.6666666666666666 0.0 0.0 0.027778
0.6666666666666666 0.1666666666666666 0.0 0.027778
0.6666666666666666 0.3333333333333333 0.0 0.027778
0.6666666666666666 0.5 0.0 0.027778
0.6666666666666666 0.6666666666666666 0.0 0.027778
0.6666666666666666 0.8333333333333333 0.0 0.027778
0.8333333333333333 0.0 0.0 0.027778
0.8333333333333333 0.1666666666666666 0.0 0.027778
0.8333333333333333 0.3333333333333333 0.0 0.027778
0.8333333333333333 0.5 0.0 0.027778
0.8333333333333333 0.6666666666666666 0.0 0.027778
0.8333333333333333 0.8333333333333333 0.0 0.027778

CELL_PARAMETERS angstrom
2.8242033451 0.0 2e-16
-1.412101672500161 2.4458318423002594 2e-16
0.0 0.0 21.8824530565

```

```

---                epw1.in ---
&inputepw
prefix = 'hBN'
amass(1) = 58.693
amass(2) = 15.999
outdir = './'
elph = .false.
epbwrite = .false.
epbread = .false.
epwwrite = .true.
epwread = .false.
etf_mem = 1
nbndsub = 11
use_ws = .true.
wannierize = .true.
num_iter = 1000
iprint = 2
dis_win_max = 28.95883047488703
dis_froz_max = -1.0021052158480215
fsthick = 1.2
temps = 1
degaussw = 0.005
dvscf_dir = './save'
nk1 = 6
nk2 = 6
nk3 = 1
nq1 = 1
nq2 = 1
nq3 = 1
system_2d = 'dipole_sp'
lpolar = .true.
dis_win_min = -21.750798146735455
wdata(1) = 'guiding_centres = T'
wdata(2) = 'dis_num_iter = 1500'
wdata(3) = 'bands_num_points = 100 '
wdata(4) = 'bands_plot = .true.'
wdata(5) = 'begin kpoint_path'
wdata(6) = 'G 0.0 0.0 0.0 M 0.5 0.0 0.0'
wdata(7) = 'M 0.5 0.0 0.0 K 0.3333333333 0.3333333333 0.0'
wdata(8) = 'K 0.3333333333 0.3333333333 0.0 X 1.0 1.0 0.0'
wdata(9) = 'X 1.0 1.0 0.0 M1 0.0 0.5 0.0'
wdata(10) = 'M1 0.0 0.5 0.0 G 0.0 0.0 0.0'
wdata(11) = 'end kpoint_path'
bands_skipped = 'exclude_bands = 1-7'
proj(1) = 'Ni: l= -5, mr= 4,5,6'
proj(2) = 'O: l= 3, mr= 3,5,6,7'
dis_froz_min = -10.467039824385607
/

```

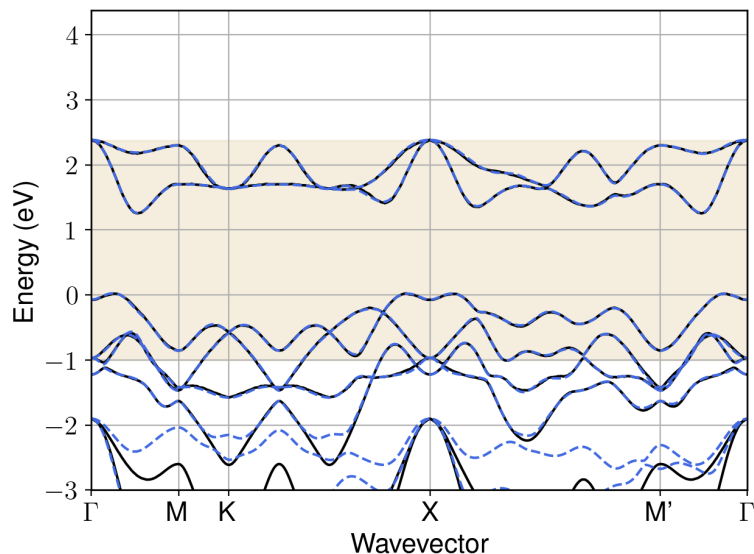


Figure S118: Bandstructure interpolation for monolayer  $\text{NiO}_2$ . Wannier-interpolation of the band structure of monolayer  $\text{NiO}_2$  over a wide energy range. Blue dashed lines are results from the present method, black solid lines are explicit DFT calculations. The yellow shaded region shows the range over which optimization has been performed. The interpolation error within the yellow region is 9 meV. The k-grid employed for NSCF calculation is  $6 \times 6$ .

## 107 Material: $\text{OsOCl}_2$

The calculation files are appended below. These files should be executed in the order provided. The location of pseudo potentials should be changed accordingly.

```

---          scf.in ---
&CONTROL
calculation = 'scf'
verbosity = 'high'
restart_mode = 'from_scratch'
outdir = './'
pseudo_dir = '/scratch1/05193/sabyadk/2D_materials_Wann/Materials/OsOCl2-4b18a71b/pseudo/'
prefix = 'hBN'
/
&SYSTEM
ibrav = 0
nat = 4
ntyp = 3
ecutwfc = 60
ecutrho = 240
occupations = 'smearing'
smearing = 'gaussian'
degauss = 0.1
/
&ELECTRONS
conv_thr = 1E-10
diagonalization = cg
electron_maxstep = 500
/
ATOMIC_SPECIES
Os 190.23 Os_r.upf
Cl 35.453 Cl_r.upf
O 15.999 O_r.upf
ATOMIC_POSITIONS crystal
Os 0.0 0.0 0.0

```

```

Cl 0.499999999972 0.0 0.9315108512
Cl 0.499999999972 0.0 0.0684891488
O 0.0 0.499999999987 0.0

```

```

K_POINTS automatic
6 6 1 0 0 0

```

```

CELL_PARAMETERS angstrom
3.6186081982 0.0 2e-16
-2e-16 3.7165946079 2e-16
0.0 0.0 23.1396665584

```

```

---                nscf.in ---
&CONTROL
calculation = bands
verbosity = 'high'
restart_mode = 'from_scratch'
outdir = './'
pseudo_dir = '/scratch1/05193/sabyadk/2D_materials_Wann/Materials/0s0Cl2-4b18a71b/pseudo/'
prefix = 'hBN'
/
&SYSTEM
ibrav = 0
nat = 4
ntyp = 3
ecutwfc = 60
ecutrho = 240
occupations = 'smearing'
smearing = 'gaussian'
degauss = 0.1
nbnd = 60
/
&ELECTRONS
conv_thr = 1E-10
diagonalization = cg
electron_maxstep = 500
/
ATOMIC_SPECIES
Os 190.23 Os_r.upf
Cl 35.453 Cl_r.upf
O 15.999 O_r.upf
ATOMIC_POSITIONS crystal
Os 0.0 0.0 0.0
Cl 0.499999999972 0.0 0.9315108512
Cl 0.499999999972 0.0 0.0684891488
O 0.0 0.499999999987 0.0

K_POINTS crystal
36
0.0 0.0 0.0 0.027778
0.0 0.16666666666666666 0.0 0.027778
0.0 0.3333333333333333 0.0 0.027778
0.0 0.5 0.0 0.027778
0.0 0.6666666666666666 0.0 0.027778
0.0 0.8333333333333333 0.0 0.027778
0.16666666666666666 0.0 0.0 0.027778
0.16666666666666666 0.16666666666666666 0.0 0.027778
0.16666666666666666 0.3333333333333333 0.0 0.027778
0.16666666666666666 0.5 0.0 0.027778
0.16666666666666666 0.6666666666666666 0.0 0.027778
0.16666666666666666 0.8333333333333333 0.0 0.027778
0.3333333333333333 0.0 0.0 0.027778
0.3333333333333333 0.16666666666666666 0.0 0.027778
0.3333333333333333 0.3333333333333333 0.0 0.027778
0.3333333333333333 0.5 0.0 0.027778
0.3333333333333333 0.6666666666666666 0.0 0.027778
0.3333333333333333 0.8333333333333333 0.0 0.027778
0.5 0.0 0.0 0.027778
0.5 0.16666666666666666 0.0 0.027778
0.5 0.3333333333333333 0.0 0.027778
0.5 0.5 0.0 0.027778
0.5 0.6666666666666666 0.0 0.027778
0.5 0.8333333333333333 0.0 0.027778
0.6666666666666666 0.0 0.0 0.027778
0.6666666666666666 0.16666666666666666 0.0 0.027778
0.6666666666666666 0.3333333333333333 0.0 0.027778
0.6666666666666666 0.5 0.0 0.027778
0.6666666666666666 0.6666666666666666 0.0 0.027778
0.6666666666666666 0.8333333333333333 0.0 0.027778
0.8333333333333333 0.0 0.0 0.027778
0.8333333333333333 0.16666666666666666 0.0 0.027778
0.8333333333333333 0.3333333333333333 0.0 0.027778
0.8333333333333333 0.5 0.0 0.027778

```

```
0.8333333333333333 0.6666666666666666 0.0 0.027778
0.8333333333333333 0.8333333333333333 0.0 0.027778
```

```
CELL_PARAMETERS angstrom
3.6186081982 0.0 2e-16
-2e-16 3.7165946079 2e-16
0.0 0.0 23.1396665584
```

```
---                epw1.in ---
&inputepw
prefix = 'hBN'
amass(1) = 190.23
amass(2) = 35.453
amass(3) = 15.999
outdir = './'
elph = .false.
epbwrite = .false.
epbread = .false.
epwwrite = .true.
epwread = .false.
etf_mem = 1
nbndsub = 13
use_ws = .true.
wannierize = .true.
num_iter = 1000
iprint = 2
dis_win_max = 9.621285453997501
dis_froz_max = -0.586219378340374
fsthick = 1.2
temps = 1
degaussw = 0.005
dvscf_dir = './save'
nk1 = 6
nk2 = 6
nk3 = 1
nq1 = 1
nq2 = 1
nq3 = 1
dis_win_min = -13.596294277435867
wdata(1) = 'guiding_centres = T'
wdata(2) = 'dis_num_iter = 1500'
wdata(3) = 'bands_num_points = 100 '
wdata(4) = 'bands_plot = .true.'
wdata(5) = 'begin kpoint_path'
wdata(6) = 'G 0.0 0.0 0.0 M 0.5 0.0 0.0'
wdata(7) = 'M 0.5 0.0 0.0 K 0.3333333333 0.3333333333 0.0'
wdata(8) = 'K 0.3333333333 0.3333333333 0.0 X 1.0 1.0 0.0'
wdata(9) = 'X 1.0 1.0 0.0 M1 0.0 0.5 0.0'
wdata(10) = 'M1 0.0 0.5 0.0 G 0.0 0.0 0.0'
wdata(11) = 'end kpoint_path'
bands_skipped = 'exclude_bands = 1-7'
proj(1) = '0s: l= 3, mr= 4,6'
proj(2) = 'C1: l= 3, mr= 4,6,7'
proj(3) = '0: l= 3, mr= 1,2,4,5,6'
dis_froz_min = -10.905735349600143
/
```

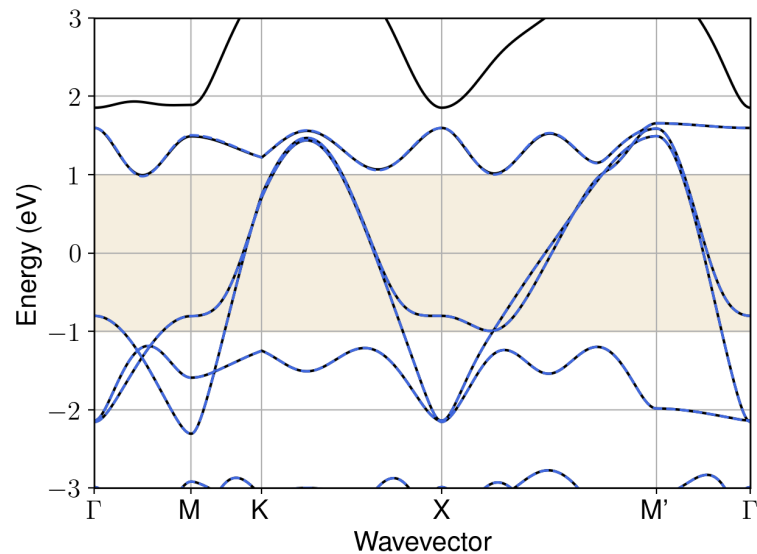


Figure S119: Bandstructure interpolation for monolayer  $\text{OsOCl}_2$ . Wannier-interpolation of the band structure of monolayer  $\text{OsOCl}_2$  over a wide energy range. Blue dashed lines are results from the present method, black solid lines are explicit DFT calculations. The yellow shaded region shows the range over which optimization has been performed. The interpolation error within the yellow region is 2 meV. The k-grid employed for NSCF calculation is  $6 \times 6$ .

## 108 Material: $\text{P}_4$

The calculation files are appended below. These files should be executed in the order provided. The location of pseudo potentials should be changed accordingly.

```

---          scf.in ---
&CONTROL
calculation = 'scf'
verbosity = 'high'
restart_mode = 'from_scratch'
outdir = './'
pseudo_dir = '/scratch1/05193/sabyadk/2D_materials_Wann/Materials/P4-af33e4ee/pseudo/'
prefix = 'hBN'
/
&SYSTEM
ibrav = 0
nat = 4
ntyp = 1
ecutwfc = 60
ecutrho = 240
assume_isolated = 2D
/
&ELECTRONS
conv_thr = 1E-12
diagonalization = 'david'
electron_maxstep = 200
/
ATOMIC_SPECIES
P 30.974 P_r.upf
ATOMIC_POSITIONS crystal
P 0.5 0.911581322154 0.952437392875
P 0.5 0.088418677846 0.047562607123
P 0.0 0.588418622269 0.952437392663
P 0.0 0.411581377731 0.047562607339

```



```

K_POINTS automatic
6 6 1 0 0 0

CELL_PARAMETERS angstrom
3.305465699 0.0 2e-16
-3e-16 4.6143426699 3e-16
0.0 0.0 22.1833103733

```

```

---                nscf.in ---
&CONTROL
calculation = bands
verbosity = 'high'
restart_mode = 'from_scratch'
outdir = './'
pseudo_dir = '/scratch1/05193/sabyadk/2D_materials_Wann/Materials/P4-af33e4ee/pseudo/'
prefix = 'hBN'
/
&SYSTEM
ibrav = 0
nat = 4
ntyp = 1
ecutwfc = 60
ecutrho = 240
assume_isolated = 2D
nbnd = 60
/
&ELECTRONS
conv_thr = 1E-10
diagonalization = 'david'
electron_maxstep = 200
/
ATOMIC_SPECIES
P 30.974 P_r.upf
ATOMIC_POSITIONS crystal
P 0.5 0.911581322154 0.952437392875
P 0.5 0.088418677846 0.047562607123
P 0.0 0.588418622269 0.952437392663
P 0.0 0.411581377731 0.047562607339

K_POINTS crystal
36
0.0 0.0 0.0 0.027778
0.0 0.16666666666666666 0.0 0.027778
0.0 0.33333333333333333 0.0 0.027778
0.0 0.5 0.0 0.027778
0.0 0.66666666666666666 0.0 0.027778
0.0 0.83333333333333333 0.0 0.027778
0.16666666666666666 0.0 0.0 0.027778
0.16666666666666666 0.16666666666666666 0.0 0.027778
0.16666666666666666 0.33333333333333333 0.0 0.027778
0.16666666666666666 0.5 0.0 0.027778
0.16666666666666666 0.66666666666666666 0.0 0.027778
0.16666666666666666 0.83333333333333333 0.0 0.027778
0.33333333333333333 0.0 0.0 0.027778
0.33333333333333333 0.16666666666666666 0.0 0.027778
0.33333333333333333 0.33333333333333333 0.0 0.027778
0.33333333333333333 0.5 0.0 0.027778
0.33333333333333333 0.66666666666666666 0.0 0.027778
0.33333333333333333 0.83333333333333333 0.0 0.027778
0.5 0.0 0.0 0.027778
0.5 0.16666666666666666 0.0 0.027778
0.5 0.33333333333333333 0.0 0.027778
0.5 0.5 0.0 0.027778
0.5 0.66666666666666666 0.0 0.027778
0.5 0.83333333333333333 0.0 0.027778
0.66666666666666666 0.0 0.0 0.027778
0.66666666666666666 0.16666666666666666 0.0 0.027778
0.66666666666666666 0.33333333333333333 0.0 0.027778
0.66666666666666666 0.5 0.0 0.027778
0.66666666666666666 0.66666666666666666 0.0 0.027778
0.66666666666666666 0.83333333333333333 0.0 0.027778
0.83333333333333333 0.0 0.0 0.027778
0.83333333333333333 0.16666666666666666 0.0 0.027778
0.83333333333333333 0.33333333333333333 0.0 0.027778
0.83333333333333333 0.5 0.0 0.027778
0.83333333333333333 0.66666666666666666 0.0 0.027778
0.83333333333333333 0.83333333333333333 0.0 0.027778

CELL_PARAMETERS angstrom
3.305465699 0.0 2e-16
-3e-16 4.6143426699 3e-16
0.0 0.0 22.1833103733

```

```

---                epwl.in ---
&inputepw
prefix = 'hBN'
amass(1) = 30.974
outdir = './'
elph = .false.
epbwrite = .false.
epbread = .false.
epwwrite = .true.
epwread = .false.
etf_mem = 1
nbndsub = 24
use_ws = .true.
wannierize = .true.
num_iter = 1000
iprint = 2
dis_win_max = 14.900037563297918
dis_froz_max = -2.2320493842143003
fsthick = 1.2
temps = 1
degaussw = 0.005
dvscf_dir = './save'
nk1 = 6
nk2 = 6
nk3 = 1
nq1 = 1
nq2 = 1
nq3 = 1
system_2d = 'dipole_sp'
lpolar = .true.
dis_win_min = -21.215366985211634
wdata(1) = 'guiding_centres = T'
wdata(2) = 'dis_num_iter = 1500'
wdata(3) = 'bands_num_points = 100 '
wdata(4) = 'bands_plot = .true.'
wdata(5) = 'begin kpoint_path'
wdata(6) = 'G 0.0 0.0 0.0 M 0.5 0.0 0.0'
wdata(7) = 'M 0.5 0.0 0.0 K 0.3333333333 0.3333333333 0.0'
wdata(8) = 'K 0.3333333333 0.3333333333 0.0 X 1.0 1.0 0.0'
wdata(9) = 'X 1.0 1.0 0.0 M1 0.0 0.5 0.0'
wdata(10) = 'M1 0.0 0.5 0.0 G 0.0 0.0 0.0'
wdata(11) = 'end kpoint_path'
bands_skipped = 'exclude_bands = 1-4'
proj(1) = 'P: l= 3, mr= 1,2,3,4,5,6'
dis_froz_min = -11.716413308242776
/

```

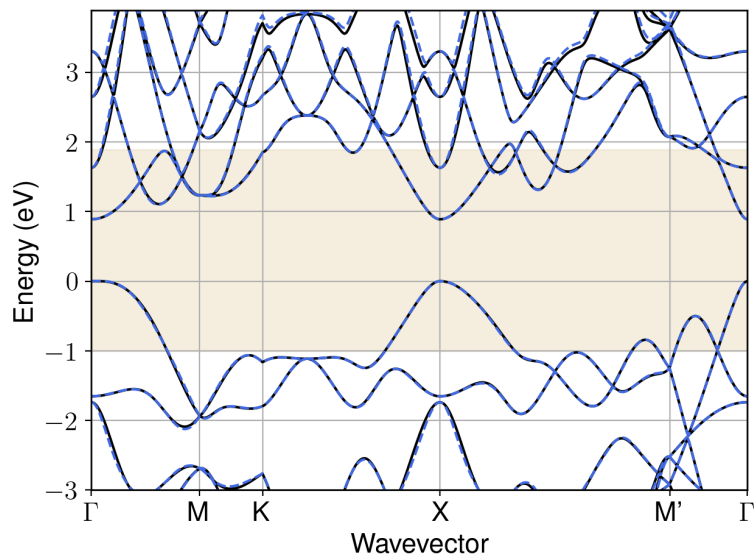


Figure S120: Bandstructure interpolation for monolayer  $P_4$ . Wannier-interpolation of the band structure of monolayer  $P_4$  over a wide energy range. Blue dashed lines are results from the present method, black solid lines are explicit DFT calculations. The yellow shaded region shows the range over which optimization has been performed. The interpolation error within the yellow region is 10 meV. The k-grid employed for NSCF calculation is  $6 \times 6$ .

## 109 Material: $Pb_2Br_2F_2$

The calculation files are appended below. These files should be executed in the order provided. The location of pseudo potentials should be changed accordingly.

```

---          scf.in ---
&CONTROL
calculation = 'scf'
verbosity = 'high'
restart_mode = 'from_scratch'
outdir = './'
pseudo_dir = '/scratch1/05193/sabyadk/2D_materials_Wann/Materials/Pb2Br2F2-52ff1ba3/pseudo/'
prefix = 'hBN'
/
&SYSTEM
ibrav = 0
nat = 6
ntyp = 3
ecutwfc = 60
ecutrho = 240
assume_isolated = 2D
/
&ELECTRONS
conv_thr = 1E-12
diagonalization = 'david'
electron_maxstep = 200
/
ATOMIC_SPECIES
Pb 207.2 Pb_r.upf
Br 79.904 Br_r.upf
F 18.998 F_r.upf
ATOMIC_POSITIONS crystal
Pb 0.0 0.5 0.06040091454
Pb 0.5 0.0 0.939599085463
Br 0.5 0.0 0.114767563232

```

```

Br 0.0 0.5 0.885232436767
F 0.0 0.0 0.999999999999
F 0.5 0.5 0.999999999999

K_POINTS automatic
6 6 1 0 0 0

CELL_PARAMETERS angstrom
4.1070895444 0.0 3e-16
-3e-16 4.1070895444 3e-16
0.0 0.0 25.4031884696

```

```

---                nscf.in ---
&CONTROL
calculation = bands
verbosity = 'high'
restart_mode = 'from_scratch'
outdir = './'
pseudo_dir = '/scratch1/05193/sabyadk/2D_materials_Wann/Materials/Pb2Br2F2-52ff1ba3/pseudo/'
prefix = 'hBN'
/
&SYSTEM
ibrav = 0
nat = 6
ntyp = 3
ecutwfc = 60
ecutrho = 240
assume_isolated = 2D
nbnd = 60
/
&ELECTRONS
conv_thr = 1E-10
diagonalization = 'david'
electron_maxstep = 200
/
ATOMIC_SPECIES
Pb 207.2 Pb_r.upf
Br 79.904 Br_r.upf
F 18.998 F_r.upf
ATOMIC_POSITIONS crystal
Pb 0.0 0.5 0.06040091454
Pb 0.5 0.0 0.939599085463
Br 0.5 0.0 0.114767563232
Br 0.0 0.5 0.885232436767
F 0.0 0.0 0.999999999999
F 0.5 0.5 0.999999999999

K_POINTS crystal
36
0.0 0.0 0.0 0.027778
0.0 0.16666666666666666 0.0 0.027778
0.0 0.33333333333333333 0.0 0.027778
0.0 0.5 0.0 0.027778
0.0 0.66666666666666666 0.0 0.027778
0.0 0.83333333333333333 0.0 0.027778
0.16666666666666666 0.0 0.0 0.027778
0.16666666666666666 0.16666666666666666 0.0 0.027778
0.16666666666666666 0.33333333333333333 0.0 0.027778
0.16666666666666666 0.5 0.0 0.027778
0.16666666666666666 0.66666666666666666 0.0 0.027778
0.16666666666666666 0.83333333333333333 0.0 0.027778
0.33333333333333333 0.0 0.0 0.027778
0.33333333333333333 0.16666666666666666 0.0 0.027778
0.33333333333333333 0.33333333333333333 0.0 0.027778
0.33333333333333333 0.5 0.0 0.027778
0.33333333333333333 0.66666666666666666 0.0 0.027778
0.33333333333333333 0.83333333333333333 0.0 0.027778
0.5 0.0 0.0 0.027778
0.5 0.16666666666666666 0.0 0.027778
0.5 0.33333333333333333 0.0 0.027778
0.5 0.5 0.0 0.027778
0.5 0.66666666666666666 0.0 0.027778
0.5 0.83333333333333333 0.0 0.027778
0.66666666666666666 0.0 0.0 0.027778
0.66666666666666666 0.16666666666666666 0.0 0.027778
0.66666666666666666 0.33333333333333333 0.0 0.027778
0.66666666666666666 0.5 0.0 0.027778
0.66666666666666666 0.66666666666666666 0.0 0.027778
0.66666666666666666 0.83333333333333333 0.0 0.027778
0.83333333333333333 0.0 0.0 0.027778
0.83333333333333333 0.16666666666666666 0.0 0.027778
0.83333333333333333 0.33333333333333333 0.0 0.027778
0.83333333333333333 0.5 0.0 0.027778

```

```

0.8333333333333333 0.6666666666666666 0.0 0.027778
0.8333333333333333 0.8333333333333333 0.0 0.027778

CELL_PARAMETERS angstrom
4.1070895444 0.0 3e-16
-3e-16 4.1070895444 3e-16
0.0 0.0 25.4031884696

```

```

---                epw1.in ---
&inputepw
prefix = 'hBN'
amass(1) = 207.2
amass(2) = 79.904
amass(3) = 18.998
outdir = './'
elph = .false.
epbwrite = .false.
epbread = .false.
epwwrite = .true.
epwread = .false.
etf_mem = 1
nbndsub = 24
use_ws = .true.
wannierize = .true.
num_iter = 1000
iprint = 2
dis_win_max = 8.446184718303494
dis_froz_max = 2.031883261343465
fsthick = 1.2
temps = 1
degaussw = 0.005
dvscf_dir = './save'
nk1 = 6
nk2 = 6
nk3 = 1
nq1 = 1
nq2 = 1
nq3 = 1
system_2d = 'dipole_sp'
lpolar = .true.
dis_win_min = -25.614778511733096
wdata(1) = 'guiding_centres = T'
wdata(2) = 'dis_num_iter = 1500'
wdata(3) = 'bands_num_points = 100 '
wdata(4) = 'bands_plot = .true.'
wdata(5) = 'begin kpoint_path'
wdata(6) = 'G 0.0 0.0 0.0 M 0.5 0.0 0.0'
wdata(7) = 'M 0.5 0.0 0.0 K 0.3333333333 0.3333333333 0.0'
wdata(8) = 'K 0.3333333333 0.3333333333 0.0 X 1.0 1.0 0.0'
wdata(9) = 'X 1.0 1.0 0.0 M1 0.0 0.5 0.0'
wdata(10) = 'M1 0.0 0.5 0.0 G 0.0 0.0 0.0'
wdata(11) = 'end kpoint_path'
bands_skipped = 'exclude_bands = 1-16'
proj(1) = 'Pb: l= -4, mr= 1,2,4,5'
proj(2) = 'Br: l= 3, mr= 2,4,5,6'
proj(3) = 'F: l= 3, mr= 1,4,5,6'
dis_froz_min = -10.782137227313232
/

```

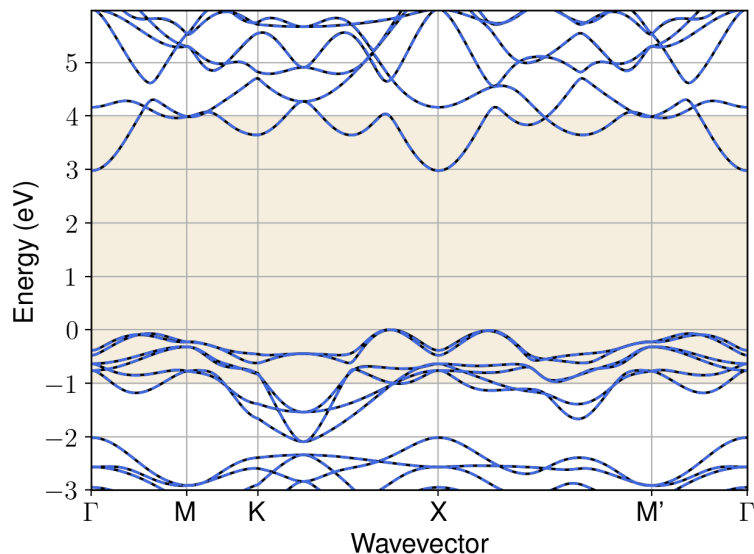


Figure S121: Bandstructure interpolation for monolayer  $\text{Pb}_2\text{Br}_2\text{F}_2$ . Wannier-interpolation of the band structure of monolayer  $\text{Pb}_2\text{Br}_2\text{F}_2$  over a wide energy range. Blue dashed lines are results from the present method, black solid lines are explicit DFT calculations. The yellow shaded region shows the range over which optimization has been performed. The interpolation error within the yellow region is 3 meV. The k-grid employed for NSCF calculation is  $6 \times 6$ .

## 110 Material: $\text{Pb}_2\text{Cl}_2\text{F}_2$

The calculation files are appended below. These files should be executed in the order provided. The location of pseudo potentials should be changed accordingly.

```

---          scf.in ---
&CONTROL
calculation = 'scf'
verbosity = 'high'
restart_mode = 'from_scratch'
outdir = './'
pseudo_dir = '/scratch1/05193/sabyadk/2D_materials_Wann/Materials/Pb2Cl2F2-876eee87/pseudo/'
prefix = 'hBN'
/
&SYSTEM
ibrav = 0
nat = 6
ntyp = 3
ecutwfc = 60
ecutrho = 240
assume_isolated = 2D
/
&ELECTRONS
conv_thr = 1E-12
diagonalization = 'david'
electron_maxstep = 200
/
ATOMIC_SPECIES
Pb 207.2 Pb_r.upf
Cl 35.453 Cl_r.upf
F 18.998 F_r.upf
ATOMIC_POSITIONS crystal
Pb 0.0 0.500000000012 0.062065554114
Pb 0.500000000012 0.0 0.937934445886
Cl 0.500000000012 0.0 0.108690635592

```

```

Cl 0.0 0.500000000012 0.891309364408
F 0.500000000012 0.500000000012 0.0
F 0.0 0.0 0.0

K_POINTS automatic
6 6 1 0 0 0

CELL_PARAMETERS angstrom
4.0271991521 0.0 2e-16
-2e-16 4.0271991521 2e-16
0.0 0.0 25.1594826758

```

```

---                nscf.in ---
&CONTROL
calculation = bands
verbosity = 'high'
restart_mode = 'from_scratch'
outdir = './'
pseudo_dir = '/scratch1/05193/sabyadk/2D_materials_Wann/Materials/Pb2Cl2F2-876eee87/pseudo/'
prefix = 'hBN'
/
&SYSTEM
ibrav = 0
nat = 6
ntyp = 3
ecutwfc = 60
ecutrho = 240
assume_isolated = 2D
nbnd = 60
/
&ELECTRONS
conv_thr = 1E-10
diagonalization = 'david'
electron_maxstep = 200
/
ATOMIC_SPECIES
Pb 207.2 Pb_r.upf
Cl 35.453 Cl_r.upf
F 18.998 F_r.upf
ATOMIC_POSITIONS crystal
Pb 0.0 0.500000000012 0.062065554114
Pb 0.500000000012 0.0 0.937934445886
Cl 0.500000000012 0.0 0.108690635592
Cl 0.0 0.500000000012 0.891309364408
F 0.500000000012 0.500000000012 0.0
F 0.0 0.0 0.0

K_POINTS crystal
36
0.0 0.0 0.0 0.027778
0.0 0.16666666666666666 0.0 0.027778
0.0 0.33333333333333333 0.0 0.027778
0.0 0.5 0.0 0.027778
0.0 0.66666666666666666 0.0 0.027778
0.0 0.83333333333333333 0.0 0.027778
0.16666666666666666 0.0 0.0 0.027778
0.16666666666666666 0.16666666666666666 0.0 0.027778
0.16666666666666666 0.33333333333333333 0.0 0.027778
0.16666666666666666 0.5 0.0 0.027778
0.16666666666666666 0.66666666666666666 0.0 0.027778
0.16666666666666666 0.83333333333333333 0.0 0.027778
0.33333333333333333 0.0 0.0 0.027778
0.33333333333333333 0.16666666666666666 0.0 0.027778
0.33333333333333333 0.33333333333333333 0.0 0.027778
0.33333333333333333 0.5 0.0 0.027778
0.33333333333333333 0.66666666666666666 0.0 0.027778
0.33333333333333333 0.83333333333333333 0.0 0.027778
0.5 0.0 0.0 0.027778
0.5 0.16666666666666666 0.0 0.027778
0.5 0.33333333333333333 0.0 0.027778
0.5 0.5 0.0 0.027778
0.5 0.66666666666666666 0.0 0.027778
0.5 0.83333333333333333 0.0 0.027778
0.66666666666666666 0.0 0.0 0.027778
0.66666666666666666 0.16666666666666666 0.0 0.027778
0.66666666666666666 0.33333333333333333 0.0 0.027778
0.66666666666666666 0.5 0.0 0.027778
0.66666666666666666 0.66666666666666666 0.0 0.027778
0.66666666666666666 0.83333333333333333 0.0 0.027778
0.83333333333333333 0.0 0.0 0.027778
0.83333333333333333 0.16666666666666666 0.0 0.027778
0.83333333333333333 0.33333333333333333 0.0 0.027778
0.83333333333333333 0.5 0.0 0.027778

```

```
0.8333333333333333 0.6666666666666666 0.0 0.027778
0.8333333333333333 0.8333333333333333 0.0 0.027778
```

```
CELL_PARAMETERS angstrom
4.0271991521 0.0 2e-16
-2e-16 4.0271991521 2e-16
0.0 0.0 25.1594826758
```

```
---                epw1.in ---
&inputepw
prefix = 'hBN'
amass(1) = 207.2
amass(2) = 35.453
amass(3) = 18.998
outdir = './'
elph = .false.
epbwrite = .false.
epbread = .false.
epwwrite = .true.
epwread = .false.
etf_mem = 1
nbndsub = 18
use_ws = .true.
wannierize = .true.
num_iter = 1000
iprint = 2
dis_win_max = 12.124100500988582
dis_froz_max = -1.0612776366096268
fsthick = 1.2
temps = 1
degaussw = 0.005
dvscf_dir = './save'
nk1 = 6
nk2 = 6
nk3 = 1
nq1 = 1
nq2 = 1
nq3 = 1
system_2d = 'dipole_sp'
lpolar = .true.
dis_win_min = -19.87797784540621
wdata(1) = 'guiding_centres = T'
wdata(2) = 'dis_num_iter = 1500'
wdata(3) = 'bands_num_points = 100 '
wdata(4) = 'bands_plot = .true.'
wdata(5) = 'begin kpoint_path'
wdata(6) = 'G 0.0 0.0 0.0 M 0.5 0.0 0.0'
wdata(7) = 'M 0.5 0.0 0.0 K 0.3333333333 0.3333333333 0.0'
wdata(8) = 'K 0.3333333333 0.3333333333 0.0 X 1.0 1.0 0.0'
wdata(9) = 'X 1.0 1.0 0.0 M1 0.0 0.5 0.0'
wdata(10) = 'M1 0.0 0.5 0.0 G 0.0 0.0 0.0'
wdata(11) = 'end kpoint_path'
bands_skipped = 'exclude_bands = 1-16'
proj(1) = 'Pb: l= 3, mr= 3,5,6'
proj(2) = 'Cl: l= 3, mr= 2,7'
proj(3) = 'F: l= -5, mr= 1,4,5,6'
dis_froz_min = -10.898061878501336
/
```



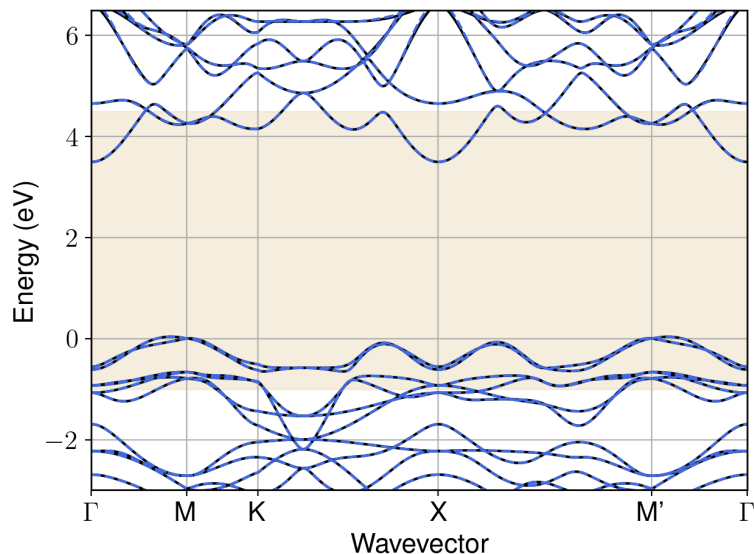


Figure S122: Bandstructure interpolation for monolayer  $\text{Pb}_2\text{Cl}_2\text{F}_2$ . Wannier-interpolation of the band structure of monolayer  $\text{Pb}_2\text{Cl}_2\text{F}_2$  over a wide energy range. Blue dashed lines are results from the present method, black solid lines are explicit DFT calculations. The yellow shaded region shows the range over which optimization has been performed. The interpolation error within the yellow region is 2 meV. The k-grid employed for NSCF calculation is  $6 \times 6$ .

## 111 Material: $\text{Pb}_2\text{I}_2\text{F}_2$

The calculation files are appended below. These files should be executed in the order provided. The location of pseudo potentials should be changed accordingly.

```

---          scf.in ---
&CONTROL
calculation = 'scf'
verbosity = 'high'
restart_mode = 'from_scratch'
outdir = './'
pseudo_dir = '/scratch1/05193/sabyadk/2D_materials_Wann/Materials/Pb2I2F2-250eb10e/pseudo/'
prefix = 'hBN'
/
&SYSTEM
ibrav = 0
nat = 6
ntyp = 3
ecutwfc = 60
ecutrho = 240
assume_isolated = 2D
/
&ELECTRONS
conv_thr = 1E-12
diagonalization = 'david'
electron_maxstep = 200
/
ATOMIC_SPECIES
Pb 207.2 Pb_r.upf
I 126.904 I_r.upf
F 18.998 F_r.upf
ATOMIC_POSITIONS crystal
Pb 0.0 0.499999999988 0.057444293137
Pb 0.499999999988 0.0 0.942555706861
I 0.499999999988 0.0 0.121001747593

```

```
I 0.0 0.499999999988 0.878998252408
F 0.499999999988 0.499999999988 1e-12
F 0.0 0.0 1e-12
```

```
K_POINTS automatic
6 6 1 0 0 0
```

```
CELL_PARAMETERS angstrom
4.2074081901 0.0 3e-16
-3e-16 4.2074081901 3e-16
0.0 0.0 26.067081427
```

```
--- nscf.in ---
&CONTROL
calculation = bands
verbosity = 'high'
restart_mode = 'from_scratch'
outdir = './'
pseudo_dir = '/scratch1/05193/sabyadk/2D_materials_Wann/Materials/Pb2I2F2-250eb10e/pseudo/'
prefix = 'hBN'
/
&SYSTEM
ibrav = 0
nat = 6
ntyp = 3
ecutwfc = 60
ecutrho = 240
assume_isolated = 2D
nbnd = 60
/
&ELECTRONS
conv_thr = 1E-10
diagonalization = 'david'
electron_maxstep = 200
/
ATOMIC_SPECIES
Pb 207.2 Pb_r.upf
I 126.904 I_r.upf
F 18.998 F_r.upf
ATOMIC_POSITIONS crystal
Pb 0.0 0.499999999988 0.057444293137
Pb 0.499999999988 0.0 0.942555706861
I 0.499999999988 0.0 0.121001747593
I 0.0 0.499999999988 0.878998252408
F 0.499999999988 0.499999999988 1e-12
F 0.0 0.0 1e-12

K_POINTS crystal
36
0.0 0.0 0.0 0.027778
0.0 0.16666666666666666 0.0 0.027778
0.0 0.33333333333333333 0.0 0.027778
0.0 0.5 0.0 0.027778
0.0 0.66666666666666666 0.0 0.027778
0.0 0.83333333333333333 0.0 0.027778
0.16666666666666666 0.0 0.0 0.027778
0.16666666666666666 0.16666666666666666 0.0 0.027778
0.16666666666666666 0.33333333333333333 0.0 0.027778
0.16666666666666666 0.5 0.0 0.027778
0.16666666666666666 0.66666666666666666 0.0 0.027778
0.16666666666666666 0.83333333333333333 0.0 0.027778
0.33333333333333333 0.0 0.0 0.027778
0.33333333333333333 0.16666666666666666 0.0 0.027778
0.33333333333333333 0.33333333333333333 0.0 0.027778
0.33333333333333333 0.5 0.0 0.027778
0.33333333333333333 0.66666666666666666 0.0 0.027778
0.33333333333333333 0.83333333333333333 0.0 0.027778
0.5 0.0 0.0 0.027778
0.5 0.16666666666666666 0.0 0.027778
0.5 0.33333333333333333 0.0 0.027778
0.5 0.5 0.0 0.027778
0.5 0.66666666666666666 0.0 0.027778
0.5 0.83333333333333333 0.0 0.027778
0.66666666666666666 0.0 0.0 0.027778
0.66666666666666666 0.16666666666666666 0.0 0.027778
0.66666666666666666 0.33333333333333333 0.0 0.027778
0.66666666666666666 0.5 0.0 0.027778
0.66666666666666666 0.66666666666666666 0.0 0.027778
0.66666666666666666 0.83333333333333333 0.0 0.027778
0.83333333333333333 0.0 0.0 0.027778
0.83333333333333333 0.16666666666666666 0.0 0.027778
0.83333333333333333 0.33333333333333333 0.0 0.027778
0.83333333333333333 0.5 0.0 0.027778
```

```
0.8333333333333333 0.6666666666666666 0.0 0.027778
0.8333333333333333 0.8333333333333333 0.0 0.027778
```

```
CELL_PARAMETERS angstrom
4.2074081901 0.0 3e-16
-3e-16 4.2074081901 3e-16
0.0 0.0 26.067081427
```

```
---                epw1.in ---
&inputepw
prefix = 'hBN'
amass(1) = 207.2
amass(2) = 126.904
amass(3) = 18.998
outdir = './'
elph = .false.
epbwrite = .false.
epbread = .false.
epwwrite = .true.
epwread = .false.
etf_mem = 1
nbndsub = 22
use_ws = .true.
wannierize = .true.
num_iter = 1000
iprint = 2
dis_win_max = 12.353933388194775
dis_froz_max = -1.6790479412565444
fsthick = 1.2
temps = 1
degaussw = 0.005
dvscf_dir = './save'
nk1 = 6
nk2 = 6
nk3 = 1
nq1 = 1
nq2 = 1
nq3 = 1
system_2d = 'dipole_sp'
lpolar = .true.
dis_win_min = -27.169866486797595
wdata(1) = 'guiding_centres = T'
wdata(2) = 'dis_num_iter = 1500'
wdata(3) = 'bands_num_points = 100 '
wdata(4) = 'bands_plot = .true.'
wdata(5) = 'begin kpoint_path'
wdata(6) = 'G 0.0 0.0 0.0 M 0.5 0.0 0.0'
wdata(7) = 'M 0.5 0.0 0.0 K 0.3333333333 0.3333333333 0.0'
wdata(8) = 'K 0.3333333333 0.3333333333 0.0 X 1.0 1.0 0.0'
wdata(9) = 'X 1.0 1.0 0.0 M1 0.0 0.5 0.0'
wdata(10) = 'M1 0.0 0.5 0.0 G 0.0 0.0 0.0'
wdata(11) = 'end kpoint_path'
bands_skipped = 'exclude_bands = 1-16'
proj(1) = 'Pb: l= -5, mr= 2,4'
proj(2) = 'I: l= -5, mr= 1,2,3,4,6'
proj(3) = 'F: l= -5, mr= 1,3,4,6'
dis_froz_min = -16.046577904031412
/
```

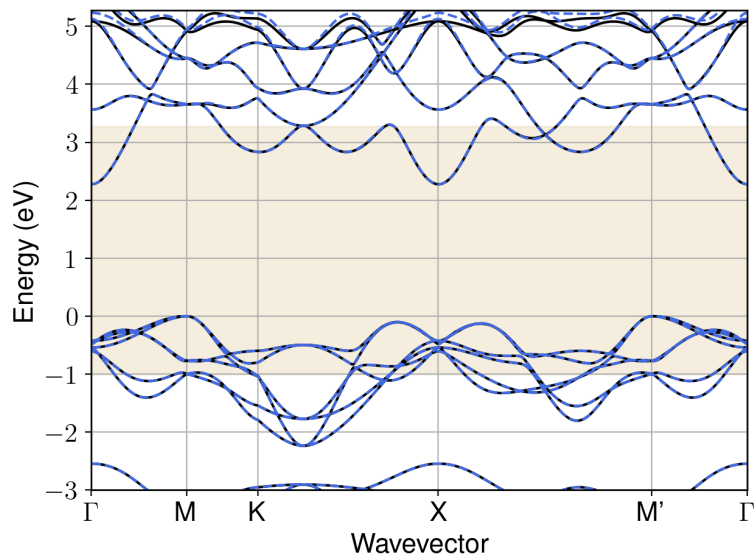


Figure S123: Bandstructure interpolation for monolayer  $\text{Pb}_2\text{I}_2\text{F}_2$ . Wannier-interpolation of the band structure of monolayer  $\text{Pb}_2\text{I}_2\text{F}_2$  over a wide energy range. Blue dashed lines are results from the present method, black solid lines are explicit DFT calculations. The yellow shaded region shows the range over which optimization has been performed. The interpolation error within the yellow region is 2 meV. The k-grid employed for NSCF calculation is  $6 \times 6$ .

## 112 Material: $\text{Pb}_2\text{O}_2$

The calculation files are appended below. These files should be executed in the order provided. The location of pseudo potentials should be changed accordingly.

```

---          scf.in ---
&CONTROL
calculation = 'scf'
verbosity = 'high'
restart_mode = 'from_scratch'
outdir = './'
pseudo_dir = '/scratch1/05193/sabyadk/2D_materials_Wann/Materials/Pb202-39ae46a4/pseudo/'
prefix = 'hBN'
/
&SYSTEM
ibrav = 0
nat = 4
ntyp = 2
ecutwfc = 60
ecutrho = 240
assume_isolated = 2D
/
&ELECTRONS
conv_thr = 1E-12
diagonalization = 'david'
electron_maxstep = 200
/
ATOMIC_SPECIES
Pb 207.2 Pb_r.upf
O 15.999 O_r.upf
ATOMIC_POSITIONS crystal
Pb 0.0 0.500000000025 0.05334882844
Pb 0.500000000025 0.0 0.94665117156
O 0.0 0.0 0.0
O 0.500000000025 0.500000000025 0.0

```

```

K_POINTS automatic
6 6 1 0 0 0

CELL_PARAMETERS angstrom
4.0633545946 0.0 2e-16
-2e-16 4.0633545946 2e-16
0.0 0.0 22.3993742628

```

```

--- nscf.in ---
&CONTROL
calculation = bands
verbosity = 'high'
restart_mode = 'from_scratch'
outdir = './'
pseudo_dir = '/scratch1/05193/sabyadk/2D_materials_Wann/Materials/Pb202-39ae46a4/pseudo/'
prefix = 'hBN'
/
&SYSTEM
ibrav = 0
nat = 4
ntyp = 2
ecutwfc = 60
ecutrho = 240
assume_isolated = 2D
nbnd = 60
/
&ELECTRONS
conv_thr = 1E-10
diagonalization = 'david'
electron_maxstep = 200
/
ATOMIC_SPECIES
Pb 207.2 Pb_r.upf
O 15.999 O_r.upf
ATOMIC_POSITIONS crystal
Pb 0.0 0.500000000025 0.05334882844
Pb 0.500000000025 0.0 0.94665117156
O 0.0 0.0 0.0
O 0.500000000025 0.500000000025 0.0

K_POINTS crystal
36
0.0 0.0 0.0 0.027778
0.0 0.16666666666666666 0.0 0.027778
0.0 0.3333333333333333 0.0 0.027778
0.0 0.5 0.0 0.027778
0.0 0.6666666666666666 0.0 0.027778
0.0 0.8333333333333333 0.0 0.027778
0.16666666666666666 0.0 0.0 0.027778
0.16666666666666666 0.16666666666666666 0.0 0.027778
0.16666666666666666 0.3333333333333333 0.0 0.027778
0.16666666666666666 0.5 0.0 0.027778
0.16666666666666666 0.6666666666666666 0.0 0.027778
0.16666666666666666 0.8333333333333333 0.0 0.027778
0.3333333333333333 0.0 0.0 0.027778
0.3333333333333333 0.16666666666666666 0.0 0.027778
0.3333333333333333 0.3333333333333333 0.0 0.027778
0.3333333333333333 0.5 0.0 0.027778
0.3333333333333333 0.6666666666666666 0.0 0.027778
0.3333333333333333 0.8333333333333333 0.0 0.027778
0.5 0.0 0.0 0.027778
0.5 0.16666666666666666 0.0 0.027778
0.5 0.3333333333333333 0.0 0.027778
0.5 0.5 0.0 0.027778
0.5 0.6666666666666666 0.0 0.027778
0.5 0.8333333333333333 0.0 0.027778
0.6666666666666666 0.0 0.0 0.027778
0.6666666666666666 0.16666666666666666 0.0 0.027778
0.6666666666666666 0.3333333333333333 0.0 0.027778
0.6666666666666666 0.5 0.0 0.027778
0.6666666666666666 0.6666666666666666 0.0 0.027778
0.6666666666666666 0.8333333333333333 0.0 0.027778
0.8333333333333333 0.0 0.0 0.027778
0.8333333333333333 0.16666666666666666 0.0 0.027778
0.8333333333333333 0.3333333333333333 0.0 0.027778
0.8333333333333333 0.5 0.0 0.027778
0.8333333333333333 0.6666666666666666 0.0 0.027778
0.8333333333333333 0.8333333333333333 0.0 0.027778

CELL_PARAMETERS angstrom
4.0633545946 0.0 2e-16
-2e-16 4.0633545946 2e-16

```

0.0 0.0 22.3993742628

```
---                epw1.in ---
&inputepw
prefix = 'hEN'
amass(1) = 207.2
amass(2) = 15.999
outdir = './'
elph = .false.
epbwrite = .false.
epbwrite = .false.
epwwrite = .true.
epwread = .false.
etf_mem = 1
nbndsub = 16
use_ws = .true.
wannierize = .true.
num_iter = 1000
iprint = 2
dis_win_max = 17.68297817437251
dis_froz_max = 0.9549680208882423
fsthick = 1.2
temps = 1
degaussw = 0.005
dvscf_dir = './save'
nk1 = 6
nk2 = 6
nk3 = 1
nq1 = 1
nq2 = 1
nq3 = 1
system_2d = 'dipole_sp'
lpolar = .true.
dis_win_min = -18.752411857333907
wdata(1) = 'guiding_centres = T'
wdata(2) = 'dis_num_iter = 1500'
wdata(3) = 'bands_num_points = 100 '
wdata(4) = 'bands_plot = .true.'
wdata(5) = 'begin kpoint_path'
wdata(6) = 'G 0.0 0.0 0.0 M 0.5 0.0 0.0'
wdata(7) = 'M 0.5 0.0 0.0 K 0.3333333333 0.3333333333 0.0'
wdata(8) = 'K 0.3333333333 0.3333333333 0.0 X 1.0 1.0 0.0'
wdata(9) = 'X 1.0 1.0 0.0 M1 0.0 0.5 0.0'
wdata(10) = 'M1 0.0 0.5 0.0 G 0.0 0.0 0.0'
wdata(11) = 'end kpoint_path'
bands_skipped = 'exclude_bands = 1-13'
proj(1) = 'Pb: l= 3, mr= 2,3,4,6'
proj(2) = 'O: l= 3, mr= 1,3,6,7'
dis_froz_min = -10.500150867188852
/
```

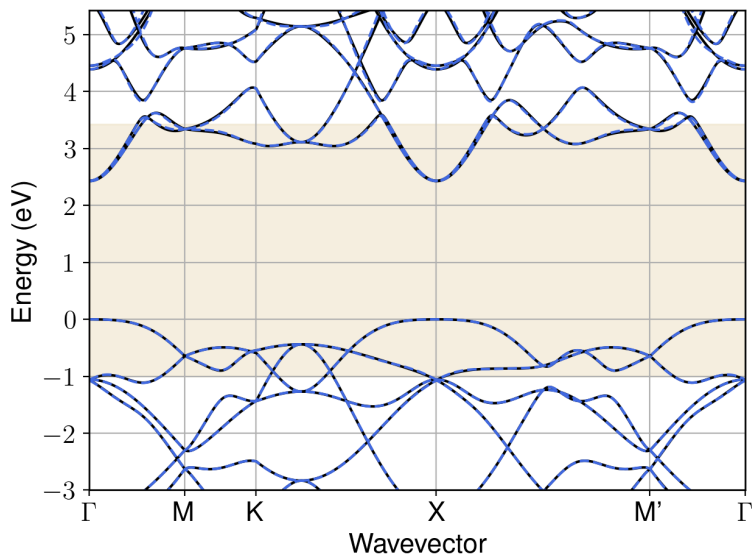


Figure S124: Bandstructure interpolation for monolayer  $\text{Pb}_2\text{O}_2$ . Wannier-interpolation of the band structure of monolayer  $\text{Pb}_2\text{O}_2$  over a wide energy range. Blue dashed lines are results from the present method, black solid lines are explicit DFT calculations. The yellow shaded region shows the range over which optimization has been performed. The interpolation error within the yellow region is 7 meV. The k-grid employed for NSCF calculation is  $6 \times 6$ .

### 113 Material: $\text{PbF}_4$

The calculation files are appended below. These files should be executed in the order provided. The location of pseudo potentials should be changed accordingly.

```

---          scf.in ---
&CONTROL
calculation = 'scf'
verbosity = 'high'
restart_mode = 'from_scratch'
outdir = './'
pseudo_dir = '/scratch1/05193/sabyadk/2D_materials_Wann/Materials/PbF4-f6e7170b/pseudo/'
prefix = 'hBN'
/
&SYSTEM
ibrav = 0
nat = 5
ntyp = 2
ecutwfc = 60
ecutrho = 240
assume_isolated = 2D
/
&ELECTRONS
conv_thr = 1E-12
diagonalization = 'david'
electron_maxstep = 200
/
ATOMIC_SPECIES
Pb 207.2 Pb_r.upf
F 18.998 F_r.upf
ATOMIC_POSITIONS crystal
Pb 0.5 0.5 0.999999999999
F 0.5 0.5 0.917526718335
F 0.5 0.5 0.082473281667
F 0.0 0.5 0.999999999999

```

```
F 0.5 0.0 0.99999999999
```

```
K_POINTS automatic
6 6 1 0 0 0
```

```
CELL_PARAMETERS angstrom
4.4068812504 0.0 3e-16
-3e-16 4.4068812504 3e-16
0.0 0.0 24.0751078051
```

```
--- nscf.in ---
&CONTROL
calculation = bands
verbosity = 'high'
restart_mode = 'from_scratch'
outdir = './'
pseudo_dir = '/scratch1/05193/sabyadk/2D_materials_Wann/Materials/PbF4-f6e7170b/pseudo/'
prefix = 'hBN'
/
&SYSTEM
ibrav = 0
nat = 5
ntyp = 2
ecutwfc = 60
ecutrho = 240
assume_isolated = 2D
nbnd = 60
/
&ELECTRONS
conv_thr = 1E-10
diagonalization = 'david'
electron_maxstep = 200
/
ATOMIC_SPECIES
Pb 207.2 Pb_r.upf
F 18.998 F_r.upf
ATOMIC_POSITIONS crystal
Pb 0.5 0.5 0.99999999999
F 0.5 0.5 0.917526718335
F 0.5 0.5 0.082473281667
F 0.0 0.5 0.99999999999
F 0.5 0.0 0.99999999999
K_POINTS crystal
36
0.0 0.0 0.0 0.027778
0.0 0.16666666666666666 0.0 0.027778
0.0 0.3333333333333333 0.0 0.027778
0.0 0.5 0.0 0.027778
0.0 0.6666666666666666 0.0 0.027778
0.0 0.8333333333333333 0.0 0.027778
0.16666666666666666 0.0 0.0 0.027778
0.16666666666666666 0.16666666666666666 0.0 0.027778
0.16666666666666666 0.3333333333333333 0.0 0.027778
0.16666666666666666 0.5 0.0 0.027778
0.16666666666666666 0.6666666666666666 0.0 0.027778
0.16666666666666666 0.8333333333333333 0.0 0.027778
0.3333333333333333 0.0 0.0 0.027778
0.3333333333333333 0.16666666666666666 0.0 0.027778
0.3333333333333333 0.3333333333333333 0.0 0.027778
0.3333333333333333 0.5 0.0 0.027778
0.3333333333333333 0.6666666666666666 0.0 0.027778
0.3333333333333333 0.8333333333333333 0.0 0.027778
0.5 0.0 0.0 0.027778
0.5 0.16666666666666666 0.0 0.027778
0.5 0.3333333333333333 0.0 0.027778
0.5 0.5 0.0 0.027778
0.5 0.6666666666666666 0.0 0.027778
0.5 0.8333333333333333 0.0 0.027778
0.6666666666666666 0.0 0.0 0.027778
0.6666666666666666 0.16666666666666666 0.0 0.027778
0.6666666666666666 0.3333333333333333 0.0 0.027778
0.6666666666666666 0.5 0.0 0.027778
0.6666666666666666 0.6666666666666666 0.0 0.027778
0.6666666666666666 0.8333333333333333 0.0 0.027778
0.8333333333333333 0.0 0.0 0.027778
0.8333333333333333 0.16666666666666666 0.0 0.027778
0.8333333333333333 0.3333333333333333 0.0 0.027778
0.8333333333333333 0.5 0.0 0.027778
0.8333333333333333 0.6666666666666666 0.0 0.027778
0.8333333333333333 0.8333333333333333 0.0 0.027778
CELL_PARAMETERS angstrom
```



```
4.4068812504 0.0 3e-16
-3e-16 4.4068812504 3e-16
0.0 0.0 24.0751078051
```

```
---                epw1.in ---
&inputepw
prefix = 'hBN'
amass(1) = 207.2
amass(2) = 18.998
outdir = './'
elph = .false.
epbwrite = .false.
epbread = .false.
epwwrite = .true.
epwread = .false.
etf_mem = 1
nbndsub = 12
use_ws = .true.
wannierize = .true.
num_iter = 1000
iprint = 2
dis_win_max = 2.9513385697988292
dis_froz_max = -2.124201584031279
fsthick = 1.2
temps = 1
degaussw = 0.005
dvscf_dir = './save'
nk1 = 6
nk2 = 6
nk3 = 1
nq1 = 1
nq2 = 1
nq3 = 1
system_2d = 'dipole_sp'
lpolar = .true.
dis_win_min = -32.49780020010648
wdata(1) = 'guiding_centres = T'
wdata(2) = 'dis_num_iter = 1500'
wdata(3) = 'bands_num_points = 100 '
wdata(4) = 'bands_plot = .true.'
wdata(5) = 'begin kpoint_path'
wdata(6) = 'G 0.0 0.0 0.0 M 0.5 0.0 0.0'
wdata(7) = 'M 0.5 0.0 0.0 K 0.3333333333 0.3333333333 0.0'
wdata(8) = 'K 0.3333333333 0.3333333333 0.0 X 1.0 1.0 0.0'
wdata(9) = 'X 1.0 1.0 0.0 M1 0.0 0.5 0.0'
wdata(10) = 'M1 0.0 0.5 0.0 G 0.0 0.0 0.0'
wdata(11) = 'end kpoint_path'
bands_skipped = 'exclude_bands = 1-9'
proj(1) = 'Pb: l= -4, mr= 1,3,4,5'
proj(2) = 'F: l= 3, mr= 2,4'
dis_froz_min = -13.81637947808155
/
```

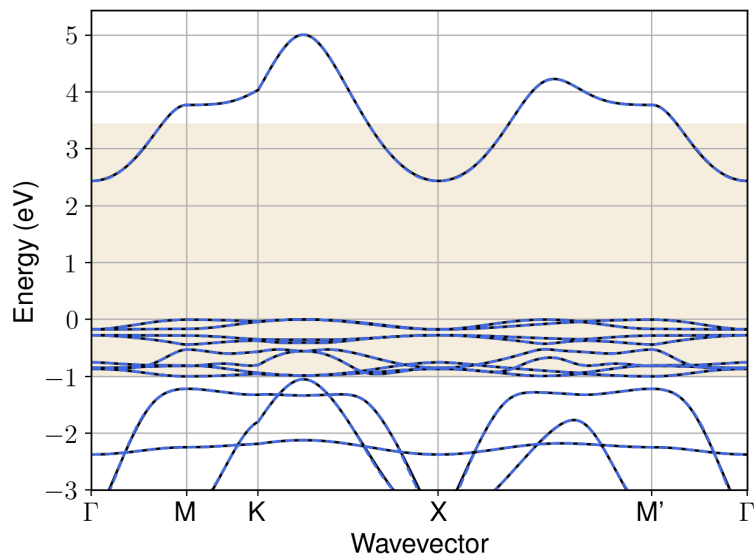


Figure S125: Bandstructure interpolation for monolayer  $\text{PbF}_4$ . Wannier-interpolation of the band structure of monolayer  $\text{PbF}_4$  over a wide energy range. Blue dashed lines are results from the present method, black solid lines are explicit DFT calculations. The yellow shaded region shows the range over which optimization has been performed. The interpolation error within the yellow region is 2 meV. The k-grid employed for NSCF calculation is  $6 \times 6$ .

## 114 Material: $\text{PbI}_2$

The calculation files are appended below. These files should be executed in the order provided. The location of pseudo potentials should be changed accordingly.

```

---          scf.in ---
&CONTROL
calculation = 'scf'
verbosity = 'high'
restart_mode = 'from_scratch'
outdir = './'
pseudo_dir = '/scratch1/05193/sabyadk/2D_materials_Wann/Materials/PbI2-1a4e4cc5/pseudo/'
prefix = 'hBN'
/
&SYSTEM
ibrav = 0
nat = 3
ntyp = 2
ecutwfc = 60
ecutrho = 240
assume_isolated = 2D
/
&ELECTRONS
conv_thr = 1E-12
diagonalization = 'david'
electron_maxstep = 200
/
ATOMIC_SPECIES
Pb 207.2 Pb_r.upf
I 126.904 I_r.upf
ATOMIC_POSITIONS crystal
Pb 0.999999999978 0.0 0.999999999999
I 0.6666666666666666 0.3333333333333333 0.078521346664
I 0.3333333333333333 0.6666666666666666 0.9214786533379999

```

```

K_POINTS automatic
6 6 1 0 0 0

CELL_PARAMETERS angstrom
4.6448345541 0.0 3e-16
-2.322417277099933 4.022544720199846 3e-16
0.0 0.0 23.9017857947

```

```

---                nscf.in ---
&CONTROL
calculation = bands
verbosity = 'high'
restart_mode = 'from_scratch'
outdir = './'
pseudo_dir = '/scratch1/05193/sabyadk/2D_materials_Wann/Materials/PbI2-1a4e4cc5/pseudo/'
prefix = 'hBN'
/
&SYSTEM
ibrav = 0
nat = 3
ntyp = 2
ecutwfc = 60
ecutrho = 240
assume_isolated = 2D
nbnd = 60
/
&ELECTRONS
conv_thr = 1E-10
diagonalization = 'david'
electron_maxstep = 200
/
ATOMIC_SPECIES
Pb 207.2 Pb_r.upf
I 126.904 I_r.upf
ATOMIC_POSITIONS crystal
Pb 0.999999999978 0.0 0.999999999999
I 0.6666666666666666 0.3333333333333333 0.078521346664
I 0.3333333333333333 0.6666666666666666 0.9214786533379999

K_POINTS crystal
36
0.0 0.0 0.0 0.027778
0.0 0.1666666666666666 0.0 0.027778
0.0 0.3333333333333333 0.0 0.027778
0.0 0.5 0.0 0.027778
0.0 0.6666666666666666 0.0 0.027778
0.0 0.8333333333333333 0.0 0.027778
0.1666666666666666 0.0 0.0 0.027778
0.1666666666666666 0.1666666666666666 0.0 0.027778
0.1666666666666666 0.3333333333333333 0.0 0.027778
0.1666666666666666 0.5 0.0 0.027778
0.1666666666666666 0.6666666666666666 0.0 0.027778
0.1666666666666666 0.8333333333333333 0.0 0.027778
0.3333333333333333 0.0 0.0 0.027778
0.3333333333333333 0.1666666666666666 0.0 0.027778
0.3333333333333333 0.3333333333333333 0.0 0.027778
0.3333333333333333 0.5 0.0 0.027778
0.3333333333333333 0.6666666666666666 0.0 0.027778
0.3333333333333333 0.8333333333333333 0.0 0.027778
0.5 0.0 0.0 0.027778
0.5 0.1666666666666666 0.0 0.027778
0.5 0.3333333333333333 0.0 0.027778
0.5 0.5 0.0 0.027778
0.5 0.6666666666666666 0.0 0.027778
0.5 0.8333333333333333 0.0 0.027778
0.6666666666666666 0.0 0.0 0.027778
0.6666666666666666 0.1666666666666666 0.0 0.027778
0.6666666666666666 0.3333333333333333 0.0 0.027778
0.6666666666666666 0.5 0.0 0.027778
0.6666666666666666 0.6666666666666666 0.0 0.027778
0.6666666666666666 0.8333333333333333 0.0 0.027778
0.8333333333333333 0.0 0.0 0.027778
0.8333333333333333 0.1666666666666666 0.0 0.027778
0.8333333333333333 0.3333333333333333 0.0 0.027778
0.8333333333333333 0.5 0.0 0.027778
0.8333333333333333 0.6666666666666666 0.0 0.027778
0.8333333333333333 0.8333333333333333 0.0 0.027778

CELL_PARAMETERS angstrom
4.6448345541 0.0 3e-16
-2.322417277099933 4.022544720199846 3e-16
0.0 0.0 23.9017857947

```

```
---                epw1.in ---
&inputepw
prefix = 'hBN'
amass(1) = 207.2
amass(2) = 126.904
outdir = './'
elph = .false.
epbwrite = .false.
epbread = .false.
epwwrite = .true.
epwread = .false.
etf_mem = 1
nbndsub = 15
use_ws = .true.
wannierize = .true.
num_iter = 1000
iprint = 2
dis_win_max = 11.514006664636366
dis_froz_max = -0.30176746307349234
fsthick = 1.2
temps = 1
degaussw = 0.005
dvscf_dir = './save'
nk1 = 6
nk2 = 6
nk3 = 1
nq1 = 1
nq2 = 1
nq3 = 1
system_2d = 'dipole_sp'
lpolar = .true.
dis_win_min = -26.36138451815053
wdata(1) = 'guiding_centres = T'
wdata(2) = 'dis_num_iter = 1500'
wdata(3) = 'bands_num_points = 100 '
wdata(4) = 'bands_plot = .true.'
wdata(5) = 'begin kpoint_path'
wdata(6) = 'G 0.0 0.0 0.0 M 0.5 0.0 0.0'
wdata(7) = 'M 0.5 0.0 0.0 K 0.3333333333 0.3333333333 0.0'
wdata(8) = 'K 0.3333333333 0.3333333333 0.0 X 1.0 1.0 0.0'
wdata(9) = 'X 1.0 1.0 0.0 M1 0.0 0.5 0.0'
wdata(10) = 'M1 0.0 0.5 0.0 G 0.0 0.0 0.0'
wdata(11) = 'end kpoint_path'
bands_skipped = 'exclude_bands = 1-8'
proj(1) = 'Pb: l= 3, mr= 1,2,3,4,7'
proj(2) = 'I: l= 3, mr= 2,3,4,6,7'
dis_froz_min = -11.860034348042893
/
```

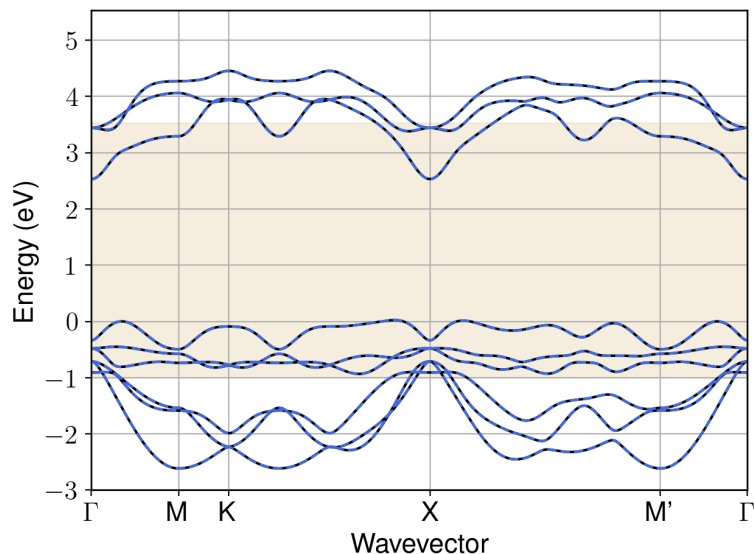


Figure S126: Bandstructure interpolation for monolayer  $\text{PbI}_2$ . Wannier-interpolation of the band structure of monolayer  $\text{PbI}_2$  over a wide energy range. Blue dashed lines are results from the present method, black solid lines are explicit DFT calculations. The yellow shaded region shows the range over which optimization has been performed. The interpolation error within the yellow region is 2 meV. The k-grid employed for NSCF calculation is  $6 \times 6$ .

## 115 Material: PbTe

The calculation files are appended below. These files should be executed in the order provided. The location of pseudo potentials should be changed accordingly.

```

---          scf.in ---
&CONTROL
calculation = 'scf'
verbosity = 'high'
restart_mode = 'from_scratch'
outdir = './'
pseudo_dir = '/scratch1/05193/sabyadk/2D_materials_Wann/Materials/PbTe-9fa77217/pseudo/'
prefix = 'hBN'
/
&SYSTEM
ibrav = 0
nat = 2
ntyp = 2
ecutwfc = 60
ecutrho = 240
assume_isolated = 2D
/
&ELECTRONS
conv_thr = 1E-12
diagonalization = 'david'
electron_maxstep = 200
/
ATOMIC_SPECIES
Te 126.7 Te_r.upf
Pb 207.2 Pb_r.upf
ATOMIC_POSITIONS crystal
Te 0.3333333333333333 0.6666666666666666 0.040398765279
Pb 0.0 0.0 0.959601234721
K_POINTS automatic

```

```

6 6 1 0 0 0
CELL_PARAMETERS angstrom
4.260969394 0.0 3e-16
-2.1304846970001976 3.6901077400003683 3e-16
0.0 0.0 21.6139750069

```

```

---                nscf.in ---
&CONTROL
calculation = bands
verbosity = 'high'
restart_mode = 'from_scratch'
outdir = './'
pseudo_dir = '/scratch1/05193/sabyadk/2D_materials_Wann/Materials/PbTe-9fa77217/pseudo/'
prefix = 'hBN'
/
&SYSTEM
ibrav = 0
nat = 2
ntyp = 2
ecutwfc = 60
ecutrho = 240
assume_isolated = 2D
nbnd = 60
/
&ELECTRONS
conv_thr = 1E-10
diagonalization = 'david'
electron_maxstep = 200
/
ATOMIC_SPECIES
Te 126.7 Te_r.upf
Pb 207.2 Pb_r.upf
ATOMIC_POSITIONS crystal
Te 0.3333333333333333 0.6666666666666666 0.040398765279
Pb 0.0 0.0 0.959601234721

K_POINTS crystal
36
0.0 0.0 0.0 0.027778
0.0 0.1666666666666666 0.0 0.027778
0.0 0.3333333333333333 0.0 0.027778
0.0 0.5 0.0 0.027778
0.0 0.6666666666666666 0.0 0.027778
0.0 0.8333333333333333 0.0 0.027778
0.1666666666666666 0.0 0.0 0.027778
0.1666666666666666 0.1666666666666666 0.0 0.027778
0.1666666666666666 0.3333333333333333 0.0 0.027778
0.1666666666666666 0.5 0.0 0.027778
0.1666666666666666 0.6666666666666666 0.0 0.027778
0.1666666666666666 0.8333333333333333 0.0 0.027778
0.3333333333333333 0.0 0.0 0.027778
0.3333333333333333 0.1666666666666666 0.0 0.027778
0.3333333333333333 0.3333333333333333 0.0 0.027778
0.3333333333333333 0.5 0.0 0.027778
0.3333333333333333 0.6666666666666666 0.0 0.027778
0.3333333333333333 0.8333333333333333 0.0 0.027778
0.5 0.0 0.0 0.027778
0.5 0.1666666666666666 0.0 0.027778
0.5 0.3333333333333333 0.0 0.027778
0.5 0.5 0.0 0.027778
0.5 0.6666666666666666 0.0 0.027778
0.5 0.8333333333333333 0.0 0.027778
0.6666666666666666 0.0 0.0 0.027778
0.6666666666666666 0.1666666666666666 0.0 0.027778
0.6666666666666666 0.3333333333333333 0.0 0.027778
0.6666666666666666 0.5 0.0 0.027778
0.6666666666666666 0.6666666666666666 0.0 0.027778
0.6666666666666666 0.8333333333333333 0.0 0.027778
0.8333333333333333 0.0 0.0 0.027778
0.8333333333333333 0.1666666666666666 0.0 0.027778
0.8333333333333333 0.3333333333333333 0.0 0.027778
0.8333333333333333 0.5 0.0 0.027778
0.8333333333333333 0.6666666666666666 0.0 0.027778
0.8333333333333333 0.8333333333333333 0.0 0.027778

CELL_PARAMETERS angstrom
4.260969394 0.0 3e-16
-2.1304846970001976 3.6901077400003683 3e-16
0.0 0.0 21.6139750069

```

```

---                epw1.in ---

```

```
&inputepw
prefix = 'hBN'
amass(1) = 126.7
amass(2) = 207.2
outdir = './'
elph = .false.
epbwrite = .false.
epbread = .false.
epwwrite = .true.
epwread = .false.
etf_mem = 1
nbndsub = 8
use_ws = .true.
wannierize = .true.
num_iter = 1000
iprint = 2
dis_win_max = 22.142143882227188
dis_froz_max = 0.37076171681917014
fsthick = 1.2
temps = 1
degaussw = 0.005
dvscf_dir = './save'
nk1 = 6
nk2 = 6
nk3 = 1
nq1 = 1
nq2 = 1
nq3 = 1
system_2d = 'dipole_sp'
lpolar = .true.
dis_win_min = -20.94921646860783
wdata(1) = 'guiding_centres = T'
wdata(2) = 'dis_num_iter = 1500'
wdata(3) = 'bands_num_points = 100 '
wdata(4) = 'bands_plot = .true.'
wdata(5) = 'begin kpoint_path'
wdata(6) = 'G 0.0 0.0 0.0 M 0.5 0.0 0.0'
wdata(7) = 'M 0.5 0.0 0.0 K 0.3333333333 0.3333333333 0.0'
wdata(8) = 'K 0.3333333333 0.3333333333 0.0 X 1.0 1.0 0.0'
wdata(9) = 'X 1.0 1.0 0.0 M1 0.0 0.5 0.0'
wdata(10) = 'M1 0.0 0.5 0.0 G 0.0 0.0 0.0'
wdata(11) = 'end kpoint_path'
bands_skipped = 'exclude_bands = 1-12'
proj(1) = 'Te: l= 3, mr= 1,2,3,4,5,7'
proj(2) = 'Pb: l= 3, mr= 1,2'
dis_froz_min = -8.701261463599746
/
```

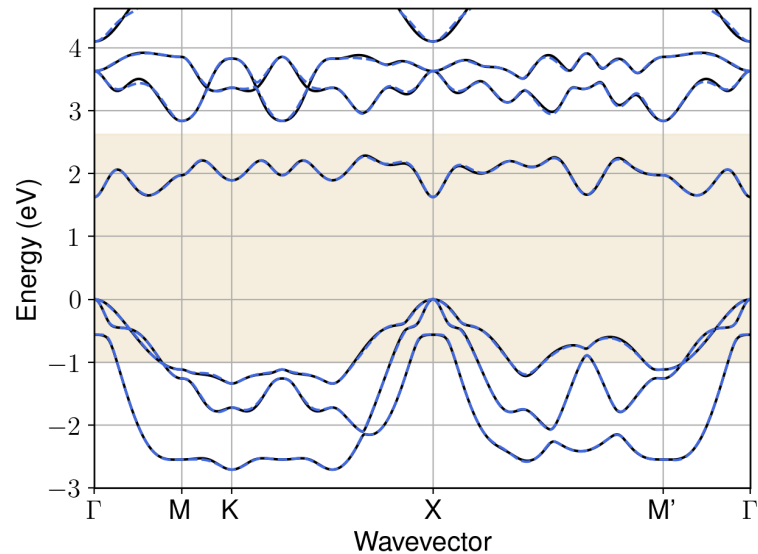


Figure S127: Bandstructure interpolation for monolayer PbTe. Wannier-interpolation of the band structure of monolayer PbTe over a wide energy range. Blue dashed lines are results from the present method, black solid lines are explicit DFT calculations. The yellow shaded region shows the range over which optimization has been performed. The interpolation error within the yellow region is 10 meV. The k-grid employed for NSCF calculation is  $6 \times 6$ .

## 116 Material: Pd<sub>2</sub>Cl<sub>4</sub>

The calculation files are appended below. These files should be executed in the order provided. The location of pseudo potentials should be changed accordingly.

```

---          scf.in ---
&CONTROL
calculation = 'scf'
verbosity = 'high'
restart_mode = 'from_scratch'
outdir = './'
pseudo_dir = '/scratch1/05193/sabyadk/2D_materials_Wann/Materials/Pd2Cl4-c696e5d7/pseudo/'
prefix = 'hBN'
/
&SYSTEM
ibrav = 0
nat = 6
ntyp = 2
ecutwfc = 60
ecutrho = 240
assume_isolated = 2D
/
&ELECTRONS
conv_thr = 1E-12
diagonalization = 'david'
electron_maxstep = 200
/
ATOMIC_SPECIES
Pd 106.42 Pd_r.upf
Cl 35.453 Cl_r.upf
ATOMIC_POSITIONS crystal
Pd 3.0250104e-05 0.237934313575 1.014476e-06
Pd 0.500031042931 0.737905922752 0.999998986563
Cl 0.678707280869 0.020081476849 0.943552869112
Cl 0.821266301413 0.520037154479 0.943547156284

```



```

Cl 0.17872379125 0.955759541648 0.05644774381
Cl 0.321275025048 0.455796977633 0.056452229755

K_POINTS automatic
6 6 1 0 0 0

CELL_PARAMETERS angstrom
4.248971329306 0.0 3e-16
-4.07352165378e-05 6.3273815989198745 4e-16
0.0 0.0 22.6937055919

```

```

---                nscf.in ---
&CONTROL
calculation = bands
verbosity = 'high'
restart_mode = 'from_scratch'
outdir = './'
pseudo_dir = '/scratch1/05193/sabyadk/2D_materials_Wann/Materials/Pd2Cl4-c696e5d7/pseudo/'
prefix = 'hBN'
/
&SYSTEM
ibrav = 0
nat = 6
ntyp = 2
ecutwfc = 60
ecutrho = 240
assume_isolated = 2D
nbnd = 60
/
&ELECTRONS
conv_thr = 1E-10
diagonalization = 'david'
electron_maxstep = 200
/
ATOMIC_SPECIES
Pd 106.42 Pd_r.upf
Cl 35.453 Cl_r.upf
ATOMIC_POSITIONS crystal
Pd 3.0250104e-05 0.237934313575 1.014476e-06
Pd 0.500031042931 0.737905922752 0.99998986563
Cl 0.678707280869 0.020081476849 0.943552869112
Cl 0.821266301413 0.520037154479 0.943547156284
Cl 0.17872379125 0.955759541648 0.05644774381
Cl 0.321275025048 0.455796977633 0.056452229755

K_POINTS crystal
36
0.0 0.0 0.0 0.027778
0.0 0.16666666666666666 0.0 0.027778
0.0 0.3333333333333333 0.0 0.027778
0.0 0.5 0.0 0.027778
0.0 0.6666666666666666 0.0 0.027778
0.0 0.8333333333333333 0.0 0.027778
0.16666666666666666 0.0 0.0 0.027778
0.16666666666666666 0.16666666666666666 0.0 0.027778
0.16666666666666666 0.3333333333333333 0.0 0.027778
0.16666666666666666 0.5 0.0 0.027778
0.16666666666666666 0.6666666666666666 0.0 0.027778
0.16666666666666666 0.8333333333333333 0.0 0.027778
0.3333333333333333 0.0 0.0 0.027778
0.3333333333333333 0.16666666666666666 0.0 0.027778
0.3333333333333333 0.3333333333333333 0.0 0.027778
0.3333333333333333 0.5 0.0 0.027778
0.3333333333333333 0.6666666666666666 0.0 0.027778
0.3333333333333333 0.8333333333333333 0.0 0.027778
0.5 0.0 0.0 0.027778
0.5 0.16666666666666666 0.0 0.027778
0.5 0.3333333333333333 0.0 0.027778
0.5 0.5 0.0 0.027778
0.5 0.6666666666666666 0.0 0.027778
0.5 0.8333333333333333 0.0 0.027778
0.6666666666666666 0.0 0.0 0.027778
0.6666666666666666 0.16666666666666666 0.0 0.027778
0.6666666666666666 0.3333333333333333 0.0 0.027778
0.6666666666666666 0.5 0.0 0.027778
0.6666666666666666 0.6666666666666666 0.0 0.027778
0.6666666666666666 0.8333333333333333 0.0 0.027778
0.8333333333333333 0.0 0.0 0.027778
0.8333333333333333 0.16666666666666666 0.0 0.027778
0.8333333333333333 0.3333333333333333 0.0 0.027778
0.8333333333333333 0.5 0.0 0.027778
0.8333333333333333 0.6666666666666666 0.0 0.027778
0.8333333333333333 0.8333333333333333 0.0 0.027778

```

```

CELL_PARAMETERS angstrom
4.248971329306 0.0 3e-16
-4.07352165378e-05 6.3273815989198745 4e-16
0.0 0.0 22.6937055919

```

```

---                epw1.in ---
&inputepw
prefix = 'hBN'
amass(1) = 106.42
amass(2) = 35.453
outdir = './'
elph = .false.
epbwrite = .false.
epbread = .false.
epwwrite = .true.
epwread = .false.
etf_mem = 1
nbndsub = 22
use_ws = .true.
wannierize = .true.
num_iter = 1000
iprint = 2
dis_win_max = 8.893471556376664
dis_froz_max = -2.538683927352756
fsthick = 1.2
temps = 1
degaussw = 0.005
dvscf_dir = './save'
nk1 = 6
nk2 = 6
nk3 = 1
nq1 = 1
nq2 = 1
nq3 = 1
system_2d = 'dipole_sp'
lpolar = .true.
dis_win_min = -23.30507017202839
wdata(1) = 'guiding_centres = T'
wdata(2) = 'dis_num_iter = 1500'
wdata(3) = 'bands_num_points = 100 '
wdata(4) = 'bands_plot = .true.'
wdata(5) = 'begin kpoint_path'
wdata(6) = 'G 0.0 0.0 0.0 M 0.5 0.0 0.0'
wdata(7) = 'M 0.5 0.0 0.0 K 0.3333333333 0.3333333333 0.0'
wdata(8) = 'K 0.3333333333 0.3333333333 0.0 X 1.0 1.0 0.0'
wdata(9) = 'X 1.0 1.0 0.0 M1 0.0 0.5 0.0'
wdata(10) = 'M1 0.0 0.5 0.0 G 0.0 0.0 0.0'
wdata(11) = 'end kpoint_path'
bands_skipped = 'exclude_bands = 1-13'
proj(1) = 'Pd: l= 3, mr= 3,4,6'
proj(2) = 'Cl: l= -5, mr= 1,3,4,5'
dis_froz_min = -13.243472838908168
/

```

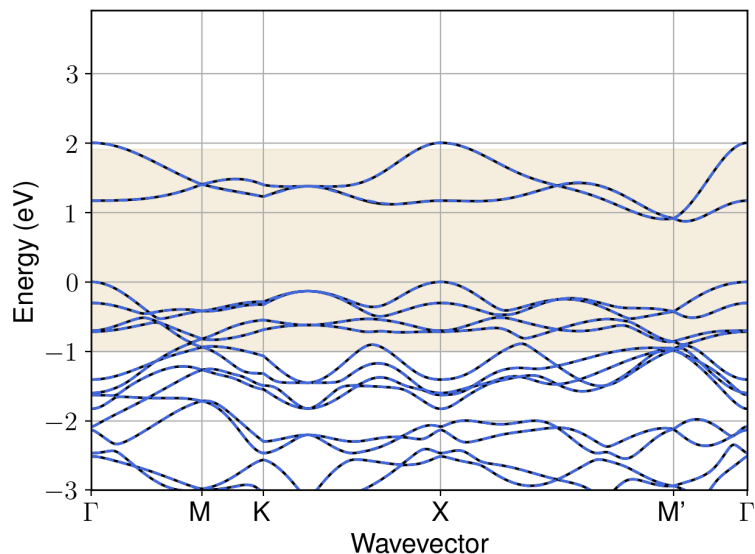


Figure S128: Bandstructure interpolation for monolayer  $\text{Pd}_2\text{Cl}_4$ . Wannier-interpolation of the band structure of monolayer  $\text{Pd}_2\text{Cl}_4$  over a wide energy range. Blue dashed lines are results from the present method, black solid lines are explicit DFT calculations. The yellow shaded region shows the range over which optimization has been performed. The interpolation error within the yellow region is 2 meV. The k-grid employed for NSCF calculation is  $6 \times 6$ .

## 117 Material: $\text{Pd}_2\text{S}_4$

The calculation files are appended below. These files should be executed in the order provided. The location of pseudo potentials should be changed accordingly.

```

---          scf.in ---
&CONTROL
calculation = 'scf'
verbosity = 'high'
restart_mode = 'from_scratch'
outdir = './'
pseudo_dir = '/scratch1/05193/sabyadk/2D_materials_Wann/Materials/Pd2S4-40b347fb/pseudo/'
prefix = 'hBN'
/
&SYSTEM
ibrav = 0
nat = 6
ntyp = 2
ecutwfc = 60
ecutrho = 240
assume_isolated = 2D
/
&ELECTRONS
conv_thr = 1E-12
diagonalization = 'david'
electron_maxstep = 200
/
ATOMIC_SPECIES
Pd 106.42 Pd_r.upf
S 32.066 S_r.upf
ATOMIC_POSITIONS crystal
Pd 0.499999999991 0.0 0.0
Pd 0.0 0.5 0.0
S 0.104416383343 0.111520232948 0.969969858777
S 0.604416383334 0.388479767052 0.030030141223

```

```

S 0.895583616657 0.888479767052 0.030030141223
S 0.395583616648 0.611520232948 0.969969858777

K_POINTS automatic
6 6 1 0 0 0

CELL_PARAMETERS angstrom
5.4628581755 0.0 3e-16
-3e-16 5.5673079556 3e-16
0.0 0.0 21.2451023148

```

```

---                nscf.in ---
&CONTROL
calculation = bands
verbosity = 'high'
restart_mode = 'from_scratch'
outdir = './'
pseudo_dir = '/scratch1/05193/sabyadk/2D_materials_Wann/Materials/Pd2S4-40b347fb/pseudo/'
prefix = 'hBN'
/
&SYSTEM
ibrav = 0
nat = 6
ntyp = 2
ecutwfc = 60
ecutrho = 240
assume_isolated = 2D
nbnd = 60
/
&ELECTRONS
conv_thr = 1E-10
diagonalization = 'david'
electron_maxstep = 200
/
ATOMIC_SPECIES
Pd 106.42 Pd_r.upf
S 32.066 S_r.upf
ATOMIC_POSITIONS crystal
Pd 0.499999999991 0.0 0.0
Pd 0.0 0.5 0.0
S 0.104416383343 0.111520232948 0.969969858777
S 0.604416383334 0.388479767052 0.030030141223
S 0.895583616657 0.888479767052 0.030030141223
S 0.395583616648 0.611520232948 0.969969858777

K_POINTS crystal
36
0.0 0.0 0.0 0.027778
0.0 0.16666666666666666 0.0 0.027778
0.0 0.3333333333333333 0.0 0.027778
0.0 0.5 0.0 0.027778
0.0 0.6666666666666666 0.0 0.027778
0.0 0.8333333333333333 0.0 0.027778
0.16666666666666666 0.0 0.0 0.027778
0.16666666666666666 0.16666666666666666 0.0 0.027778
0.16666666666666666 0.3333333333333333 0.0 0.027778
0.16666666666666666 0.5 0.0 0.027778
0.16666666666666666 0.6666666666666666 0.0 0.027778
0.16666666666666666 0.8333333333333333 0.0 0.027778
0.3333333333333333 0.0 0.0 0.027778
0.3333333333333333 0.16666666666666666 0.0 0.027778
0.3333333333333333 0.3333333333333333 0.0 0.027778
0.3333333333333333 0.5 0.0 0.027778
0.3333333333333333 0.6666666666666666 0.0 0.027778
0.3333333333333333 0.8333333333333333 0.0 0.027778
0.5 0.0 0.0 0.027778
0.5 0.16666666666666666 0.0 0.027778
0.5 0.3333333333333333 0.0 0.027778
0.5 0.5 0.0 0.027778
0.5 0.6666666666666666 0.0 0.027778
0.5 0.8333333333333333 0.0 0.027778
0.6666666666666666 0.0 0.0 0.027778
0.6666666666666666 0.16666666666666666 0.0 0.027778
0.6666666666666666 0.3333333333333333 0.0 0.027778
0.6666666666666666 0.5 0.0 0.027778
0.6666666666666666 0.6666666666666666 0.0 0.027778
0.6666666666666666 0.8333333333333333 0.0 0.027778
0.8333333333333333 0.0 0.0 0.027778
0.8333333333333333 0.16666666666666666 0.0 0.027778
0.8333333333333333 0.3333333333333333 0.0 0.027778
0.8333333333333333 0.5 0.0 0.027778
0.8333333333333333 0.6666666666666666 0.0 0.027778
0.8333333333333333 0.8333333333333333 0.0 0.027778

```

```

CELL_PARAMETERS angstrom
5.4628581755 0.0 3e-16
-3e-16 5.5673079556 3e-16
0.0 0.0 21.2451023148

```

```

---                epw1.in ---
&inputepw
prefix = 'hBN'
amass(1) = 106.42
amass(2) = 32.066
outdir = './'
elph = .false.
epbwrite = .false.
epbread = .false.
epwwrite = .true.
epwread = .false.
etf_mem = 1
nbndsub = 22
use_ws = .true.
wannierize = .true.
num_iter = 1000
iprint = 2
dis_win_max = 9.25084551245901
dis_froz_max = -2.8829773380195016
fsthick = 1.2
temps = 1
degaussw = 0.005
dvscf_dir = './save'
nk1 = 6
nk2 = 6
nk3 = 1
nq1 = 1
nq2 = 1
nq3 = 1
system_2d = 'dipole_sp'
lpolar = .true.
dis_win_min = -17.154957619513272
wdata(1) = 'guiding_centres = T'
wdata(2) = 'dis_num_iter = 1500'
wdata(3) = 'bands_num_points = 100 '
wdata(4) = 'bands_plot = .true.'
wdata(5) = 'begin kpoint_path'
wdata(6) = 'G 0.0 0.0 0.0 M 0.5 0.0 0.0'
wdata(7) = 'M 0.5 0.0 0.0 K 0.3333333333 0.3333333333 0.0'
wdata(8) = 'K 0.3333333333 0.3333333333 0.0 X 1.0 1.0 0.0'
wdata(9) = 'X 1.0 1.0 0.0 M1 0.0 0.5 0.0'
wdata(10) = 'M1 0.0 0.5 0.0 G 0.0 0.0 0.0'
wdata(11) = 'end kpoint_path'
bands_skipped = 'exclude_bands = 1-14'
proj(1) = 'Pd: l= 2, mr= 1,2,3,4,5'
proj(2) = 'S: l= 3, mr= 5,6,7'
dis_froz_min = -14.003328229295619
/

```

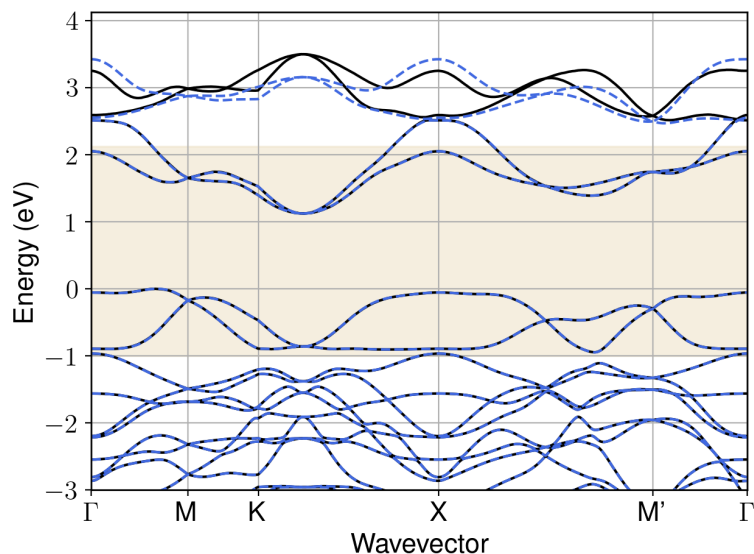


Figure S129: Bandstructure interpolation for monolayer  $\text{Pd}_2\text{S}_4$ . Wannier-interpolation of the band structure of monolayer  $\text{Pd}_2\text{S}_4$  over a wide energy range. Blue dashed lines are results from the present method, black solid lines are explicit DFT calculations. The yellow shaded region shows the range over which optimization has been performed. The interpolation error within the yellow region is 2 meV. The k-grid employed for NSCF calculation is  $6 \times 6$ .

## 118 Material: $\text{PtO}_2$

The calculation files are appended below. These files should be executed in the order provided. The location of pseudo potentials should be changed accordingly.

```

---          scf.in ---
&CONTROL
calculation = 'scf'
verbosity = 'high'
restart_mode = 'from_scratch'
outdir = './'
pseudo_dir = '/scratch1/05193/sabyadk/2D_materials_Wann/Materials/PtO2-e12d44ef/pseudo/'
prefix = 'hBN'
/
&SYSTEM
ibrav = 0
nat = 3
ntyp = 2
ecutwfc = 60
ecutrho = 240
assume_isolated = 2D
/
&ELECTRONS
conv_thr = 1E-12
diagonalization = 'david'
electron_maxstep = 200
/
ATOMIC_SPECIES
Pt 195.085 Pt_r.upf
O 15.999 O_r.upf
ATOMIC_POSITIONS crystal
Pt 0.0 0.0 0.0
O 0.6666666666666666 0.3333333333333333 0.043137030528
O 0.3333333333333333 0.6666666666666666 0.956862969472

```

```

K_POINTS automatic
6 6 1 0 0 0

CELL_PARAMETERS angstrom
3.1500880387 0.0 2e-16
-1.5750440194002346 2.7280562657004297 2e-16
0.0 0.0 21.8927076652

```

```

---                nscf.in ---
&CONTROL
calculation = bands
verbosity = 'high'
restart_mode = 'from_scratch'
outdir = './'
pseudo_dir = '/scratch1/05193/sabyadk/2D_materials_Wann/Materials/Pt02-e12d44ef/pseudo/'
prefix = 'hBN'
/
&SYSTEM
ibrav = 0
nat = 3
ntyp = 2
ecutwfc = 60
ecutrho = 240
assume_isolated = 2D
nbnd = 60
/
&ELECTRONS
conv_thr = 1E-10
diagonalization = 'david'
electron_maxstep = 200
/
ATOMIC_SPECIES
Pt 195.085 Pt_r.upf
O 15.999 O_r.upf
ATOMIC_POSITIONS crystal
Pt 0.0 0.0 0.0
O 0.6666666666666666 0.3333333333333333 0.043137030528
O 0.3333333333333333 0.6666666666666666 0.95682969472

K_POINTS crystal
36
0.0 0.0 0.0 0.027778
0.0 0.1666666666666666 0.0 0.027778
0.0 0.3333333333333333 0.0 0.027778
0.0 0.5 0.0 0.027778
0.0 0.6666666666666666 0.0 0.027778
0.0 0.8333333333333333 0.0 0.027778
0.1666666666666666 0.0 0.0 0.027778
0.1666666666666666 0.1666666666666666 0.0 0.027778
0.1666666666666666 0.3333333333333333 0.0 0.027778
0.1666666666666666 0.5 0.0 0.027778
0.1666666666666666 0.6666666666666666 0.0 0.027778
0.1666666666666666 0.8333333333333333 0.0 0.027778
0.3333333333333333 0.0 0.0 0.027778
0.3333333333333333 0.1666666666666666 0.0 0.027778
0.3333333333333333 0.3333333333333333 0.0 0.027778
0.3333333333333333 0.5 0.0 0.027778
0.3333333333333333 0.6666666666666666 0.0 0.027778
0.3333333333333333 0.8333333333333333 0.0 0.027778
0.5 0.0 0.0 0.027778
0.5 0.1666666666666666 0.0 0.027778
0.5 0.3333333333333333 0.0 0.027778
0.5 0.5 0.0 0.027778
0.5 0.6666666666666666 0.0 0.027778
0.5 0.8333333333333333 0.0 0.027778
0.6666666666666666 0.0 0.0 0.027778
0.6666666666666666 0.1666666666666666 0.0 0.027778
0.6666666666666666 0.3333333333333333 0.0 0.027778
0.6666666666666666 0.5 0.0 0.027778
0.6666666666666666 0.6666666666666666 0.0 0.027778
0.6666666666666666 0.8333333333333333 0.0 0.027778
0.8333333333333333 0.0 0.0 0.027778
0.8333333333333333 0.1666666666666666 0.0 0.027778
0.8333333333333333 0.3333333333333333 0.0 0.027778
0.8333333333333333 0.5 0.0 0.027778
0.8333333333333333 0.6666666666666666 0.0 0.027778
0.8333333333333333 0.8333333333333333 0.0 0.027778

CELL_PARAMETERS angstrom
3.1500880387 0.0 2e-16
-1.5750440194002346 2.7280562657004297 2e-16
0.0 0.0 21.8927076652

```

```

---                epw1.in ---
&inputepw
prefix = 'hBN'
amass(1) = 195.085
amass(2) = 15.999
outdir = './'
elph = .false.
epbwrite = .false.
epbread = .false.
epwwrite = .true.
epwread = .false.
etf_mem = 1
nbndsub = 12
use_ws = .true.
wannierize = .true.
num_iter = 1000
iprint = 2
dis_win_max = 18.418099608431245
dis_froz_max = -1.2609216176412998
fsthick = 1.2
temps = 1
degaussw = 0.005
dvscf_dir = './save'
nk1 = 6
nk2 = 6
nk3 = 1
nq1 = 1
nq2 = 1
nq3 = 1
system_2d = 'dipole_sp'
lpolar = .true.
dis_win_min = -28.44984261006378
wdata(1) = 'guiding_centres = T'
wdata(2) = 'dis_num_iter = 1500'
wdata(3) = 'bands_num_points = 100 '
wdata(4) = 'bands_plot = .true.'
wdata(5) = 'begin kpoint_path'
wdata(6) = 'G 0.0 0.0 0.0 M 0.5 0.0 0.0'
wdata(7) = 'M 0.5 0.0 0.0 K 0.3333333333 0.3333333333 0.0'
wdata(8) = 'K 0.3333333333 0.3333333333 0.0 X 1.0 1.0 0.0'
wdata(9) = 'X 1.0 1.0 0.0 M1 0.0 0.5 0.0'
wdata(10) = 'M1 0.0 0.5 0.0 G 0.0 0.0 0.0'
wdata(11) = 'end kpoint_path'
bands_skipped = 'exclude_bands = 1-8'
proj(1) = 'Pt: l= 3, mr= 1,2,3,7'
proj(2) = 'O: l= 3, mr= 2,5,6,7'
dis_froz_min = -16.615272764698798
/

```



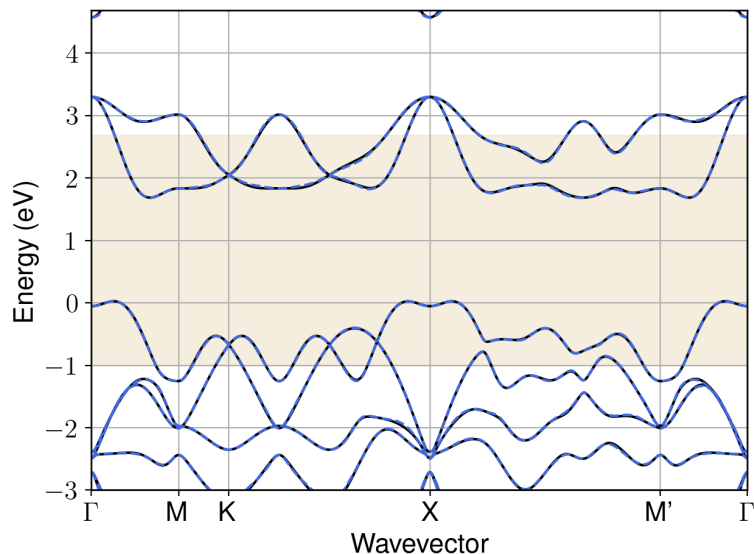


Figure S130: Bandstructure interpolation for monolayer  $\text{PtO}_2$ . Wannier-interpolation of the band structure of monolayer  $\text{PtO}_2$  over a wide energy range. Blue dashed lines are results from the present method, black solid lines are explicit DFT calculations. The yellow shaded region shows the range over which optimization has been performed. The interpolation error within the yellow region is 10 meV. The k-grid employed for NSCF calculation is  $6 \times 6$ .

## 119 Material: $\text{PtSe}_2$

The calculation files are appended below. These files should be executed in the order provided. The location of pseudo potentials should be changed accordingly.

```

---          scf.in ---
&CONTROL
calculation = 'scf'
verbosity = 'high'
restart_mode = 'from_scratch'
outdir = './'
pseudo_dir = '/scratch1/05193/sabyadk/2D_materials_Wann/Materials/PtSe2-2ecfdaa7/pseudo/'
prefix = 'hBN'
/
&SYSTEM
ibrav = 0
nat = 3
ntyp = 2
ecutwfc = 60
ecutrho = 240
assume_isolated = 2D
/
&ELECTRONS
conv_thr = 1E-12
diagonalization = 'david'
electron_maxstep = 200
/
ATOMIC_SPECIES
Pt 195.085 Pt_r.upf
Se 78.971 Se_r.upf
ATOMIC_POSITIONS crystal
Pt 0.0 0.0 0.999999999999
Se 0.3333333333333333 0.6666666666666666 0.059088825835
Se 0.6666666666666666 0.3333333333333333 0.940911174167

```

```

K_POINTS automatic
6 6 1 0 0 0

CELL_PARAMETERS angstrom
3.712039942754 0.0 2e-16
-1.8560199713268493 3.2147208903534024 2e-16
0.0 0.0 22.556934758499

```

```

---                nscf.in ---
&CONTROL
calculation = bands
verbosity = 'high'
restart_mode = 'from_scratch'
outdir = './'
pseudo_dir = '/scratch1/05193/sabyadk/2D_materials_Wann/Materials/PtSe2-2ecfdaa7/pseudo/'
prefix = 'hBN'
/
&SYSTEM
ibrav = 0
nat = 3
ntyp = 2
ecutwfc = 60
ecutrho = 240
assume_isolated = 2D
nbnd = 60
/
&ELECTRONS
conv_thr = 1E-10
diagonalization = 'david'
electron_maxstep = 200
/
ATOMIC_SPECIES
Pt 195.085 Pt_r.upf
Se 78.971 Se_r.upf
ATOMIC_POSITIONS crystal
Pt 0.0 0.0 0.999999999999
Se 0.3333333333333333 0.6666666666666666 0.059088825835
Se 0.6666666666666666 0.3333333333333333 0.940911174167

K_POINTS crystal
36
0.0 0.0 0.0 0.027778
0.0 0.1666666666666666 0.0 0.027778
0.0 0.3333333333333333 0.0 0.027778
0.0 0.5 0.0 0.027778
0.0 0.6666666666666666 0.0 0.027778
0.0 0.8333333333333333 0.0 0.027778
0.1666666666666666 0.0 0.0 0.027778
0.1666666666666666 0.1666666666666666 0.0 0.027778
0.1666666666666666 0.3333333333333333 0.0 0.027778
0.1666666666666666 0.5 0.0 0.027778
0.1666666666666666 0.6666666666666666 0.0 0.027778
0.1666666666666666 0.8333333333333333 0.0 0.027778
0.3333333333333333 0.0 0.0 0.027778
0.3333333333333333 0.1666666666666666 0.0 0.027778
0.3333333333333333 0.3333333333333333 0.0 0.027778
0.3333333333333333 0.5 0.0 0.027778
0.3333333333333333 0.6666666666666666 0.0 0.027778
0.3333333333333333 0.8333333333333333 0.0 0.027778
0.5 0.0 0.0 0.027778
0.5 0.1666666666666666 0.0 0.027778
0.5 0.3333333333333333 0.0 0.027778
0.5 0.5 0.0 0.027778
0.5 0.6666666666666666 0.0 0.027778
0.5 0.8333333333333333 0.0 0.027778
0.6666666666666666 0.0 0.0 0.027778
0.6666666666666666 0.1666666666666666 0.0 0.027778
0.6666666666666666 0.3333333333333333 0.0 0.027778
0.6666666666666666 0.5 0.0 0.027778
0.6666666666666666 0.6666666666666666 0.0 0.027778
0.6666666666666666 0.8333333333333333 0.0 0.027778
0.8333333333333333 0.0 0.0 0.027778
0.8333333333333333 0.1666666666666666 0.0 0.027778
0.8333333333333333 0.3333333333333333 0.0 0.027778
0.8333333333333333 0.5 0.0 0.027778
0.8333333333333333 0.6666666666666666 0.0 0.027778
0.8333333333333333 0.8333333333333333 0.0 0.027778

CELL_PARAMETERS angstrom
3.712039942754 0.0 2e-16
-1.8560199713268493 3.2147208903534024 2e-16
0.0 0.0 22.556934758499

```

```

---                epw1.in ---
&inputepw
prefix = 'hBN'
amass(1) = 195.085
amass(2) = 78.971
outdir = './'
elph = .false.
epbwrite = .false.
epbread = .false.
epwwrite = .true.
epwread = .false.
etf_mem = 1
nbndsub = 16
use_ws = .true.
wannierize = .true.
num_iter = 1000
iprint = 2
dis_win_max = 10.309349592941519
dis_froz_max = -1.4890177451699262
fsthick = 1.2
temps = 1
degaussw = 0.005
dvscf_dir = './save'
nk1 = 6
nk2 = 6
nk3 = 1
nq1 = 1
nq2 = 1
nq3 = 1
system_2d = 'dipole_sp'
lpolar = .true.
dis_win_min = -25.34509070218621
wdata(1) = 'guiding_centres = T'
wdata(2) = 'dis_num_iter = 1500'
wdata(3) = 'bands_num_points = 100 '
wdata(4) = 'bands_plot = .true.'
wdata(5) = 'begin kpoint_path'
wdata(6) = 'G 0.0 0.0 0.0 M 0.5 0.0 0.0'
wdata(7) = 'M 0.5 0.0 0.0 K 0.3333333333 0.3333333333 0.0'
wdata(8) = 'K 0.3333333333 0.3333333333 0.0 X 1.0 1.0 0.0'
wdata(9) = 'X 1.0 1.0 0.0 M1 0.0 0.5 0.0'
wdata(10) = 'M1 0.0 0.5 0.0 G 0.0 0.0 0.0'
wdata(11) = 'end kpoint_path'
bands_skipped = 'exclude_bands = 1-16'
proj(1) = 'Pt: l= -5, mr= 2,3,5,6'
proj(2) = 'Se: l= 3, mr= 1,2,4,5,6,7'
dis_froz_min = -9.11078558759354
/

```

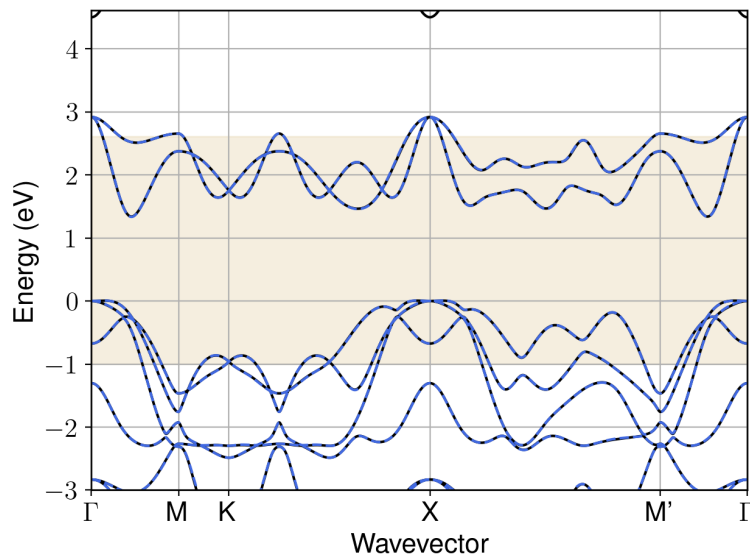


Figure S131: Bandstructure interpolation for monolayer PtSe<sub>2</sub>. Wannier-interpolation of the band structure of monolayer PtSe<sub>2</sub> over a wide energy range. Blue dashed lines are results from the present method, black solid lines are explicit DFT calculations. The yellow shaded region shows the range over which optimization has been performed. The interpolation error within the yellow region is 4 meV. The k-grid employed for NSCF calculation is 6×6.

## 120 Material: Rh<sub>2</sub>Te<sub>2</sub>Cl<sub>2</sub>

The calculation files are appended below. These files should be executed in the order provided. The location of pseudo potentials should be changed accordingly.

```

---          scf.in ---
&CONTROL
calculation = 'scf'
verbosity = 'high'
restart_mode = 'from_scratch'
outdir = './'
pseudo_dir = '/scratch1/05193/sabyadk/2D_materials_Wann/Materials/Rh2Te2Cl2-ba07eb34/pseudo/'
prefix = 'hBN'
/
&SYSTEM
ibrav = 0
nat = 6
ntyp = 3
ecutwfc = 60
ecutrho = 240
assume_isolated = 2D
/
&ELECTRONS
conv_thr = 1E-12
diagonalization = 'david'
electron_maxstep = 200
/
ATOMIC_SPECIES
Te 126.7 Te_r.upf
Rh 102.906 Rh_r.upf
Cl 35.453 Cl_r.upf
ATOMIC_POSITIONS crystal
Te 0.5 0.742626231793 0.940461095771
Te 0.0 0.89524542467 0.059538726258
Rh 0.5 0.07793682575 0.000413389397

```

```

Rh 0.0 0.559939614635 0.999585814975
Cl 0.5 0.394013114794 0.061756994218
Cl 0.0 0.243852078447 0.938243979381

```

```

K_POINTS automatic
6 6 1 0 0 0

```

```

CELL_PARAMETERS angstrom
3.6841743102 0.0 2e-16
-4e-16 6.6010273558 4e-16
0.0 0.0 22.6548037443

```

```

---                nscf.in ---
&CONTROL
calculation = bands
verbosity = 'high'
restart_mode = 'from_scratch'
outdir = './'
pseudo_dir = '/scratch1/05193/sabyadk/2D_materials_Wann/Materials/Rh2Te2Cl2-ba07eb34/pseudo/'
prefix = 'hBN'
/
&SYSTEM
ibrav = 0
nat = 6
ntyp = 3
ecutwfc = 60
ecutrho = 240
assume_isolated = 2D
nbnd = 60
/
&ELECTRONS
conv_thr = 1E-10
diagonalization = 'david'
electron_maxstep = 200
/
ATOMIC_SPECIES
Te 126.7 Te_r.upf
Rh 102.906 Rh_r.upf
Cl 35.453 Cl_r.upf
ATOMIC_POSITIONS crystal
Te 0.5 0.742626231793 0.940461095771
Te 0.0 0.89524542467 0.059538726258
Rh 0.5 0.07793682575 0.000413389397
Rh 0.0 0.559939614635 0.999585814975
Cl 0.5 0.394013114794 0.061756994218
Cl 0.0 0.243852078447 0.938243979381

K_POINTS crystal
36
0.0 0.0 0.0 0.027778
0.0 0.16666666666666666 0.0 0.027778
0.0 0.33333333333333333 0.0 0.027778
0.0 0.5 0.0 0.027778
0.0 0.66666666666666666 0.0 0.027778
0.0 0.83333333333333333 0.0 0.027778
0.16666666666666666 0.0 0.0 0.027778
0.16666666666666666 0.16666666666666666 0.0 0.027778
0.16666666666666666 0.33333333333333333 0.0 0.027778
0.16666666666666666 0.5 0.0 0.027778
0.16666666666666666 0.66666666666666666 0.0 0.027778
0.16666666666666666 0.83333333333333333 0.0 0.027778
0.33333333333333333 0.0 0.0 0.027778
0.33333333333333333 0.16666666666666666 0.0 0.027778
0.33333333333333333 0.33333333333333333 0.0 0.027778
0.33333333333333333 0.5 0.0 0.027778
0.33333333333333333 0.66666666666666666 0.0 0.027778
0.33333333333333333 0.83333333333333333 0.0 0.027778
0.5 0.0 0.0 0.027778
0.5 0.16666666666666666 0.0 0.027778
0.5 0.33333333333333333 0.0 0.027778
0.5 0.5 0.0 0.027778
0.5 0.66666666666666666 0.0 0.027778
0.5 0.83333333333333333 0.0 0.027778
0.66666666666666666 0.0 0.0 0.027778
0.66666666666666666 0.16666666666666666 0.0 0.027778
0.66666666666666666 0.33333333333333333 0.0 0.027778
0.66666666666666666 0.5 0.0 0.027778
0.66666666666666666 0.66666666666666666 0.0 0.027778
0.66666666666666666 0.83333333333333333 0.0 0.027778
0.83333333333333333 0.0 0.0 0.027778
0.83333333333333333 0.16666666666666666 0.0 0.027778
0.83333333333333333 0.33333333333333333 0.0 0.027778
0.83333333333333333 0.5 0.0 0.027778

```

```

0.8333333333333333 0.6666666666666666 0.0 0.027778
0.8333333333333333 0.8333333333333333 0.0 0.027778

CELL_PARAMETERS angstrom
3.6841743102 0.0 2e-16
-4e-16 6.6010273558 4e-16
0.0 0.0 22.6548037443

```

```

---                epw1.in ---
&inputepw
prefix = 'hBN'
amass(1) = 126.7
amass(2) = 102.906
amass(3) = 35.453
outdir = './'
elph = .false.
epbwrite = .false.
epbread = .false.
epwwrite = .true.
epwread = .false.
etf_mem = 1
nbndsub = 18
use_ws = .true.
wannierize = .true.
num_iter = 1000
iprint = 2
dis_win_max = 6.98880296532379
dis_froz_max = -1.8987765155582919
fsthick = 1.2
temps = 1
degaussw = 0.005
dvscf_dir = './save'
nk1 = 6
nk2 = 6
nk3 = 1
nq1 = 1
nq2 = 1
nq3 = 1
system_2d = 'dipole_sp'
lpolar = .true.
dis_win_min = -17.212645458316484
wdata(1) = 'guiding_centres = T'
wdata(2) = 'dis_num_iter = 1500'
wdata(3) = 'bands_num_points = 100 '
wdata(4) = 'bands_plot = .true.'
wdata(5) = 'begin kpoint_path'
wdata(6) = 'G 0.0 0.0 0.0 M 0.5 0.0 0.0'
wdata(7) = 'M 0.5 0.0 0.0 K 0.3333333333 0.3333333333 0.0'
wdata(8) = 'K 0.3333333333 0.3333333333 0.0 X 1.0 1.0 0.0'
wdata(9) = 'X 1.0 1.0 0.0 M1 0.0 0.5 0.0'
wdata(10) = 'M1 0.0 0.5 0.0 G 0.0 0.0 0.0'
wdata(11) = 'end kpoint_path'
bands_skipped = 'exclude_bands = 1-22'
proj(1) = 'Te: l= -2, mr= 1,2'
proj(2) = 'Rh: l= 3, mr= 1,3,4,5,6'
proj(3) = 'Cl: l= -3, mr= 1,2'
dis_froz_min = -7.850101243973987
/

```

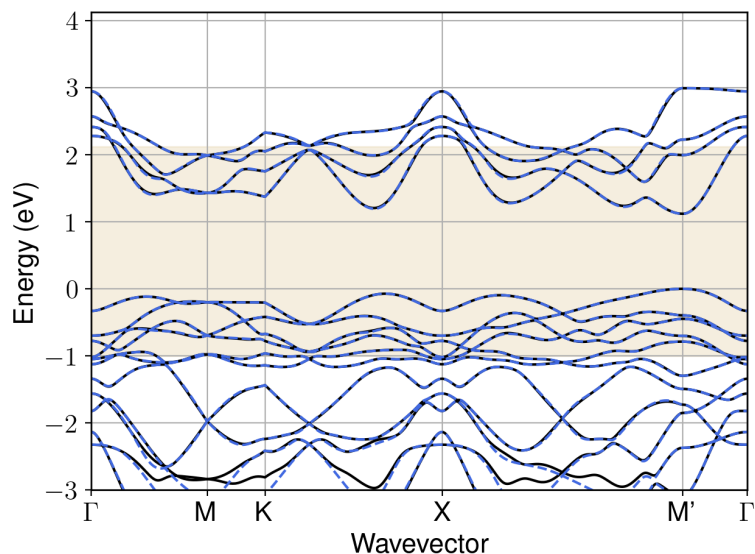


Figure S132: Bandstructure interpolation for monolayer  $\text{Rh}_2\text{Te}_2\text{Cl}_2$ . Wannier-interpolation of the band structure of monolayer  $\text{Rh}_2\text{Te}_2\text{Cl}_2$  over a wide energy range. Blue dashed lines are results from the present method, black solid lines are explicit DFT calculations. The yellow shaded region shows the range over which optimization has been performed. The interpolation error within the yellow region is 5 meV. The k-grid employed for NSCF calculation is  $6 \times 6$ .

## 121 Material: $\text{RuOCl}_2$

The calculation files are appended below. These files should be executed in the order provided. The location of pseudo potentials should be changed accordingly.

```

---          scf.in ---
&CONTROL
calculation = 'scf'
verbosity = 'high'
restart_mode = 'from_scratch'
outdir = './'
pseudo_dir = '/scratch1/05193/sabyadk/2D_materials_Wann/Materials/RuOCl2-20528d22/pseudo/'
prefix = 'hBN'
/
&SYSTEM
ibrav = 0
nat = 4
ntyp = 3
ecutwfc = 60
ecutrho = 240
occupations = 'smearing'
smearing = 'gaussian'
degauss = 0.01
/
&ELECTRONS
conv_thr = 1E-10
diagonalization = cg
electron_maxstep = 500
/
ATOMIC_SPECIES
Ru 101.07 Ru_r.upf
Cl 35.453 Cl_r.upf
O 15.999 O_r.upf
ATOMIC_POSITIONS crystal
Ru 0.5 0.500000000014 1e-12

```

```

Cl 0.0 0.500000000014 0.930386233123
Cl 0.0 0.500000000014 0.069613766874
0 0.5 0.0 1e-12

```

```

K_POINTS automatic
6 6 1 0 0 0

```

```

CELL_PARAMETERS angstrom
3.5728623174 0.0 2e-16
-2e-16 3.6793641367 2e-16
0.0 0.0 23.2006600697

```

```

---                nscf.in ---
&CONTROL
calculation = bands
verbosity = 'high'
restart_mode = 'from_scratch'
outdir = './'
pseudo_dir = '/scratch1/05193/sabyadk/2D_materials_Wann/Materials/Ru0Cl2-20528d22/pseudo/'
prefix = 'hBN'
/
&SYSTEM
ibrav = 0
nat = 4
ntyp = 3
ecutwfc = 60
ecutrho = 240
occupations = 'smearing'
smearing = 'gaussian'
degauss = 0.01
nband = 60
/
&ELECTRONS
conv_thr = 1E-10
diagonalization = cg
electron_maxstep = 500
/
ATOMIC_SPECIES
Ru 101.07 Ru_r.upf
Cl 35.453 Cl_r.upf
O 15.999 O_r.upf
ATOMIC_POSITIONS crystal
Ru 0.5 0.500000000014 1e-12
Cl 0.0 0.500000000014 0.930386233123
Cl 0.0 0.500000000014 0.069613766874
0 0.5 0.0 1e-12

K_POINTS crystal
36
0.0 0.0 0.0 0.027778
0.0 0.16666666666666666 0.0 0.027778
0.0 0.33333333333333333 0.0 0.027778
0.0 0.5 0.0 0.027778
0.0 0.66666666666666666 0.0 0.027778
0.0 0.83333333333333333 0.0 0.027778
0.16666666666666666 0.0 0.0 0.027778
0.16666666666666666 0.16666666666666666 0.0 0.027778
0.16666666666666666 0.33333333333333333 0.0 0.027778
0.16666666666666666 0.5 0.0 0.027778
0.16666666666666666 0.66666666666666666 0.0 0.027778
0.16666666666666666 0.83333333333333333 0.0 0.027778
0.33333333333333333 0.0 0.0 0.027778
0.33333333333333333 0.16666666666666666 0.0 0.027778
0.33333333333333333 0.33333333333333333 0.0 0.027778
0.33333333333333333 0.5 0.0 0.027778
0.33333333333333333 0.66666666666666666 0.0 0.027778
0.33333333333333333 0.83333333333333333 0.0 0.027778
0.5 0.0 0.0 0.027778
0.5 0.16666666666666666 0.0 0.027778
0.5 0.33333333333333333 0.0 0.027778
0.5 0.5 0.0 0.027778
0.5 0.66666666666666666 0.0 0.027778
0.5 0.83333333333333333 0.0 0.027778
0.66666666666666666 0.0 0.0 0.027778
0.66666666666666666 0.16666666666666666 0.0 0.027778
0.66666666666666666 0.33333333333333333 0.0 0.027778
0.66666666666666666 0.5 0.0 0.027778
0.66666666666666666 0.66666666666666666 0.0 0.027778
0.66666666666666666 0.83333333333333333 0.0 0.027778
0.83333333333333333 0.0 0.0 0.027778
0.83333333333333333 0.16666666666666666 0.0 0.027778
0.83333333333333333 0.33333333333333333 0.0 0.027778
0.83333333333333333 0.5 0.0 0.027778

```



```
0.8333333333333333 0.6666666666666666 0.0 0.027778
0.8333333333333333 0.8333333333333333 0.0 0.027778
```

```
CELL_PARAMETERS angstrom
3.5728623174 0.0 2e-16
-2e-16 3.6793641367 2e-16
0.0 0.0 23.2006600697
```

```
---                epw1.in ---
&inputepw
prefix = 'hBN'
amass(1) = 101.07
amass(2) = 35.453
amass(3) = 15.999
outdir = './'
elph = .false.
epbwrite = .false.
epbread = .false.
epwwrite = .true.
epwread = .false.
etf_mem = 1
nbndsub = 16
use_ws = .true.
wannierize = .true.
num_iter = 1000
iprint = 2
dis_win_max = 10.868461159111412
dis_froz_max = 1.6809501426328777
fsthick = 1.2
temps = 1
degaussw = 0.005
dvscf_dir = './save'
nk1 = 6
nk2 = 6
nk3 = 1
nq1 = 1
nq2 = 1
nq3 = 1
dis_win_min = -22.271573899825995
wdata(1) = 'guiding_centres = T'
wdata(2) = 'dis_num_iter = 1500'
wdata(3) = 'bands_num_points = 100 '
wdata(4) = 'bands_plot = .true.'
wdata(5) = 'begin kpoint_path'
wdata(6) = 'G 0.0 0.0 0.0 M 0.5 0.0 0.0'
wdata(7) = 'M 0.5 0.0 0.0 K 0.3333333333 0.3333333333 0.0'
wdata(8) = 'K 0.3333333333 0.3333333333 0.0 X 1.0 1.0 0.0'
wdata(9) = 'X 1.0 1.0 0.0 M1 0.0 0.5 0.0'
wdata(10) = 'M1 0.0 0.5 0.0 G 0.0 0.0 0.0'
wdata(11) = 'end kpoint_path'
bands_skipped = 'exclude_bands = 1-7'
proj(1) = 'Ru: l= 3, mr= 1,3,4,5,6'
proj(2) = 'Cl: l= -5, mr= 1,2,5'
proj(3) = 'O: l= -5, mr= 1,2,3,4,6'
dis_froz_min = -5.247540353147592
/
```

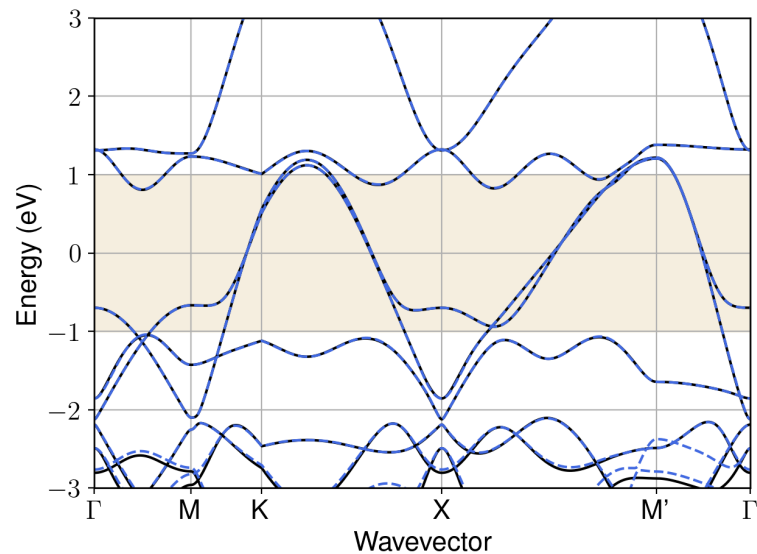


Figure S133: Bandstructure interpolation for monolayer  $\text{RuOCl}_2$ . Wannier-interpolation of the band structure of monolayer  $\text{RuOCl}_2$  over a wide energy range. Blue dashed lines are results from the present method, black solid lines are explicit DFT calculations. The yellow shaded region shows the range over which optimization has been performed. The interpolation error within the yellow region is 2 meV. The k-grid employed for NSCF calculation is  $6 \times 6$ .

## 122 Material: $\text{Sb}_2$

The calculation files are appended below. These files should be executed in the order provided. The location of pseudo potentials should be changed accordingly.

```

---          scf.in ---
&CONTROL
  calculation = 'scf'
  verbosity = 'high'
  restart_mode = 'from_scratch'
  outdir = './'
  pseudo_dir = '/scratch1/05193/sabyadk/2D_materials_Wann/Materials/Sb2-6ba9c022/pseudo/'
  prefix = 'hBN'
/
&SYSTEM
 ibrav = 0
  nat = 2
  ntyp = 1
  ecutwfc = 60
  ecutrho = 240
  assume_isolated = 2D
/
&ELECTRONS
  conv_thr = 1E-12
  diagonalization = 'david'
  electron_maxstep = 200
/
ATOMIC_SPECIES
Sb 121.76 Sb_r.upf
ATOMIC_POSITIONS crystal
Sb 0.6666666666666666 0.3333333333333333 0.961755953534
Sb 0.999999999962 0.999999999972 0.038244046466

K_POINTS automatic
6 6 1 0 0 0

```

```

CELL_PARAMETERS angstrom
4.1039108386 0.0 3e-16
-2.0519554193998273 3.554091041099772 3e-16
0.0 0.0 21.5486586805

```

```

---                nscf.in ---
&CONTROL
calculation = bands
verbosity = 'high'
restart_mode = 'from_scratch'
outdir = './'
pseudo_dir = '/scratch1/05193/sabyadk/2D_materials_Wann/Materials/Sb2-6ba9c022/pseudo/'
prefix = 'hBN'
/
&SYSTEM
ibrav = 0
nat = 2
ntyp = 1
ecutwfc = 60
ecutrho = 240
assume_isolated = 2D
nband = 60
/
&ELECTRONS
conv_thr = 1E-10
diagonalization = 'david'
electron_maxstep = 200
/
ATOMIC_SPECIES
Sb 121.76 Sb_r.upf
ATOMIC_POSITIONS crystal
Sb 0.6666666666666666 0.3333333333333333 0.961755953534
Sb 0.999999999962 0.99999999972 0.038244046466

K_POINTS crystal
36
0.0 0.0 0.0 0.027778
0.0 0.1666666666666666 0.0 0.027778
0.0 0.3333333333333333 0.0 0.027778
0.0 0.5 0.0 0.027778
0.0 0.6666666666666666 0.0 0.027778
0.0 0.8333333333333333 0.0 0.027778
0.1666666666666666 0.0 0.0 0.027778
0.1666666666666666 0.1666666666666666 0.0 0.027778
0.1666666666666666 0.3333333333333333 0.0 0.027778
0.1666666666666666 0.5 0.0 0.027778
0.1666666666666666 0.6666666666666666 0.0 0.027778
0.1666666666666666 0.8333333333333333 0.0 0.027778
0.3333333333333333 0.0 0.0 0.027778
0.3333333333333333 0.1666666666666666 0.0 0.027778
0.3333333333333333 0.3333333333333333 0.0 0.027778
0.3333333333333333 0.5 0.0 0.027778
0.3333333333333333 0.6666666666666666 0.0 0.027778
0.3333333333333333 0.8333333333333333 0.0 0.027778
0.5 0.0 0.0 0.027778
0.5 0.1666666666666666 0.0 0.027778
0.5 0.3333333333333333 0.0 0.027778
0.5 0.5 0.0 0.027778
0.5 0.6666666666666666 0.0 0.027778
0.5 0.8333333333333333 0.0 0.027778
0.6666666666666666 0.0 0.0 0.027778
0.6666666666666666 0.1666666666666666 0.0 0.027778
0.6666666666666666 0.3333333333333333 0.0 0.027778
0.6666666666666666 0.5 0.0 0.027778
0.6666666666666666 0.6666666666666666 0.0 0.027778
0.6666666666666666 0.8333333333333333 0.0 0.027778
0.8333333333333333 0.0 0.0 0.027778
0.8333333333333333 0.1666666666666666 0.0 0.027778
0.8333333333333333 0.3333333333333333 0.0 0.027778
0.8333333333333333 0.5 0.0 0.027778
0.8333333333333333 0.6666666666666666 0.0 0.027778
0.8333333333333333 0.8333333333333333 0.0 0.027778

CELL_PARAMETERS angstrom
4.1039108386 0.0 3e-16
-2.0519554193998273 3.554091041099772 3e-16
0.0 0.0 21.5486586805

```

```

---                epw1.in ---
&inputepw

```

```
prefix = 'hBN'
amass(1) = 121.76
outdir = './'
elph = .false.
epbwrite = .false.
epbread = .false.
epwrite = .true.
epwread = .false.
etf_mem = 1
nbndsub = 8
use_ws = .true.
wannierize = .true.
num_iter = 1000
iprint = 2
dis_win_max = 15.799630092541031
dis_froz_max = -0.8199511701516222
fsthick = 1.2
temps = 1
degaussw = 0.005
dvscf_dir = './save'
nk1 = 6
nk2 = 6
nk3 = 1
nq1 = 1
nq2 = 1
nq3 = 1
system_2d = 'dipole_sp'
lpolar = .true.
dis_win_min = -19.59337667653075
wdata(1) = 'guiding_centres = T'
wdata(2) = 'dis_num_iter = 1500'
wdata(3) = 'bands_num_points = 100 '
wdata(4) = 'bands_plot = .true.'
wdata(5) = 'begin kpoint_path'
wdata(6) = 'G 0.0 0.0 0.0 M 0.5 0.0 0.0'
wdata(7) = 'M 0.5 0.0 0.0 K 0.3333333333 0.3333333333 0.0'
wdata(8) = 'K 0.3333333333 0.3333333333 0.0 X 1.0 1.0 0.0'
wdata(9) = 'X 1.0 1.0 0.0 M1 0.0 0.5 0.0'
wdata(10) = 'M1 0.0 0.5 0.0 G 0.0 0.0 0.0'
wdata(11) = 'end kpoint_path'
bands_skipped = 'exclude_bands = 1-12'
proj(1) = 'Sb: l= -5, mr= 1,2,4,6'
dis_froz_min = -13.781451084266752
/
```

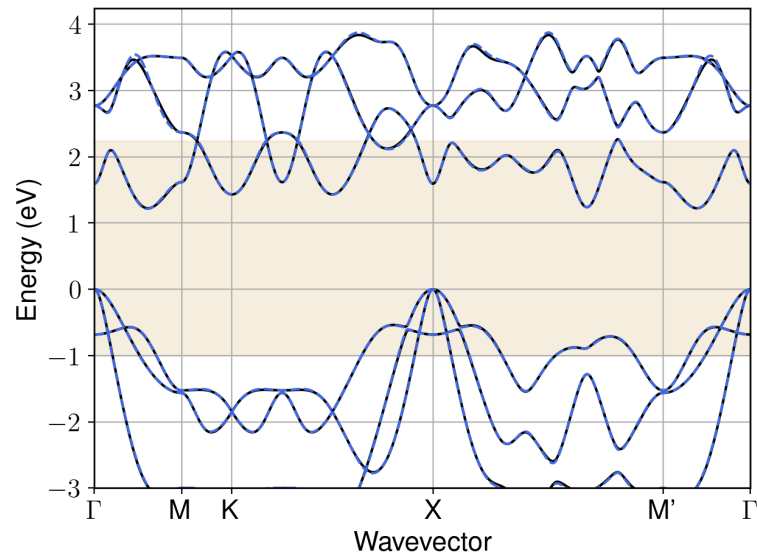


Figure S134: Bandstructure interpolation for monolayer  $\text{Sb}_2$ . Wannier-interpolation of the band structure of monolayer  $\text{Sb}_2$  over a wide energy range. Blue dashed lines are results from the present method, black solid lines are explicit DFT calculations. The yellow shaded region shows the range over which optimization has been performed. The interpolation error within the yellow region is 8 meV. The k-grid employed for NSCF calculation is  $6 \times 6$ .

### 123 Material: $\text{Sb}_2\text{Te}_2\text{I}_2$

The calculation files are appended below. These files should be executed in the order provided. The location of pseudo potentials should be changed accordingly.

```

---          scf.in ---
&CONTROL
calculation = 'scf'
verbosity = 'high'
restart_mode = 'from_scratch'
outdir = './'
pseudo_dir = '/scratch1/05193/sabyadk/2D_materials_Wann/Materials/Sb2Te2I2-47227ded/pseudo/'
prefix = 'hBN'
/
&SYSTEM
ibrav = 0
nat = 6
ntyp = 3
ecutwfc = 60
ecutrho = 240
assume_isolated = 2D
/
&ELECTRONS
conv_thr = 1E-12
diagonalization = 'david'
electron_maxstep = 200
/
ATOMIC_SPECIES
Sb 121.76 Sb_r.upf
Te 126.7 Te_r.upf
I 126.904 I_r.upf
ATOMIC_POSITIONS crystal
Sb 0.658595936375 0.683484481382 0.998643417546
Sb 0.912401741298 0.175841208478 0.001356437613
Te 0.497618939317 0.00539023556 0.931004318635

```

```

Te 0.073377215089 0.853934703135 0.068995774489
I 0.235769914309 0.529137893824 0.912090727573
I 0.3352265092 0.330185399927 0.087909324145

```

```

K_POINTS automatic
6 6 1 0 0 0

```

```

CELL_PARAMETERS angstrom
4.323067481372 0.0 3e-16
2.1612440123864136 7.311298829008145 5e-16
0.0 0.0 24.0396385593

```

```

---                nscf.in ---
&CONTROL
calculation = bands
verbosity = 'high'
restart_mode = 'from_scratch'
outdir = './'
pseudo_dir = '/scratch1/05193/sabyadk/2D_materials_Wann/Materials/Sb2Te2I2-47227ded/pseudo/'
prefix = 'hBN'
/
&SYSTEM
ibrav = 0
nat = 6
ntyp = 3
ecutwfc = 60
ecutrho = 240
assume_isolated = 2D
nbnd = 60
/
&ELECTRONS
conv_thr = 1E-10
diagonalization = 'david'
electron_maxstep = 200
/
ATOMIC_SPECIES
Sb 121.76 Sb_r.upf
Te 126.7 Te_r.upf
I 126.904 I_r.upf
ATOMIC_POSITIONS crystal
Sb 0.658595936375 0.683484481382 0.998643417546
Sb 0.912401741298 0.175841208478 0.001356437613
Te 0.497618939317 0.00539023556 0.931004318635
Te 0.073377215089 0.853934703135 0.068995774489
I 0.235769914309 0.529137893824 0.912090727573
I 0.3352265092 0.330185399927 0.087909324145

K_POINTS crystal
36
0.0 0.0 0.0 0.027778
0.0 0.1666666666666666 0.0 0.027778
0.0 0.3333333333333333 0.0 0.027778
0.0 0.5 0.0 0.027778
0.0 0.6666666666666666 0.0 0.027778
0.0 0.8333333333333333 0.0 0.027778
0.1666666666666666 0.0 0.0 0.027778
0.1666666666666666 0.1666666666666666 0.0 0.027778
0.1666666666666666 0.3333333333333333 0.0 0.027778
0.1666666666666666 0.5 0.0 0.027778
0.1666666666666666 0.6666666666666666 0.0 0.027778
0.1666666666666666 0.8333333333333333 0.0 0.027778
0.3333333333333333 0.0 0.0 0.027778
0.3333333333333333 0.1666666666666666 0.0 0.027778
0.3333333333333333 0.3333333333333333 0.0 0.027778
0.3333333333333333 0.5 0.0 0.027778
0.3333333333333333 0.6666666666666666 0.0 0.027778
0.3333333333333333 0.8333333333333333 0.0 0.027778
0.5 0.0 0.0 0.027778
0.5 0.1666666666666666 0.0 0.027778
0.5 0.3333333333333333 0.0 0.027778
0.5 0.5 0.0 0.027778
0.5 0.6666666666666666 0.0 0.027778
0.5 0.8333333333333333 0.0 0.027778
0.6666666666666666 0.0 0.0 0.027778
0.6666666666666666 0.1666666666666666 0.0 0.027778
0.6666666666666666 0.3333333333333333 0.0 0.027778
0.6666666666666666 0.5 0.0 0.027778
0.6666666666666666 0.6666666666666666 0.0 0.027778
0.6666666666666666 0.8333333333333333 0.0 0.027778
0.8333333333333333 0.0 0.0 0.027778
0.8333333333333333 0.1666666666666666 0.0 0.027778
0.8333333333333333 0.3333333333333333 0.0 0.027778
0.8333333333333333 0.5 0.0 0.027778

```

```

0.8333333333333333 0.6666666666666666 0.0 0.027778
0.8333333333333333 0.8333333333333333 0.0 0.027778

CELL_PARAMETERS angstrom
4.323067481372 0.0 3e-16
2.1612440123864136 7.311298829008145 5e-16
0.0 0.0 24.0396385593

```

```

---                epw1.in ---
&inputepw
prefix = 'hBN'
amass(1) = 121.76
amass(2) = 126.7
amass(3) = 126.904
outdir = './'
elph = .false.
epbwrite = .false.
epbread = .false.
epwwrite = .true.
epwread = .false.
etf_mem = 1
nbndsub = 22
use_ws = .true.
wannierize = .true.
num_iter = 1000
iprint = 2
dis_win_max = 9.34701864594388
dis_froz_max = -2.651215178176276
fsthick = 1.2
temps = 1
degaussw = 0.005
dvscf_dir = './save'
nk1 = 6
nk2 = 6
nk3 = 1
nq1 = 1
nq2 = 1
nq3 = 1
system_2d = 'dipole_sp'
lpolar = .true.
dis_win_min = -20.16135798840759
wdata(1) = 'guiding_centres = T'
wdata(2) = 'dis_num_iter = 1500'
wdata(3) = 'bands_num_points = 100 '
wdata(4) = 'bands_plot = .true.'
wdata(5) = 'begin kpoint_path'
wdata(6) = 'G 0.0 0.0 0.0 M 0.5 0.0 0.0'
wdata(7) = 'M 0.5 0.0 0.0 K 0.3333333333 0.3333333333 0.0'
wdata(8) = 'K 0.3333333333 0.3333333333 0.0 X 1.0 1.0 0.0'
wdata(9) = 'X 1.0 1.0 0.0 M1 0.0 0.5 0.0'
wdata(10) = 'M1 0.0 0.5 0.0 G 0.0 0.0 0.0'
wdata(11) = 'end kpoint_path'
bands_skipped = 'exclude_bands = 1-26'
proj(1) = 'Sb: l= 3, mr= 1,2,4,7'
proj(2) = 'Te: l= 2, mr= 2,3,5'
proj(3) = 'I: l= 3, mr= 3,4,5,7'
dis_froz_min = -8.726460074781732
/

```

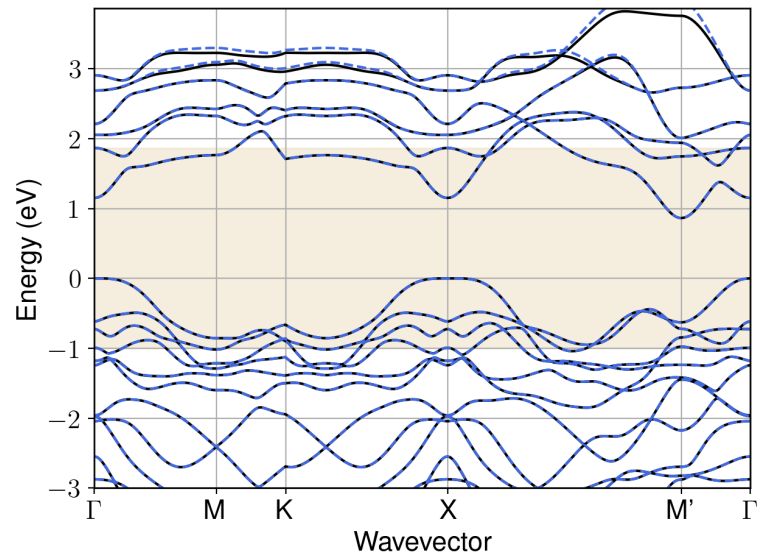


Figure S135: Bandstructure interpolation for monolayer  $\text{Sb}_2\text{Te}_2\text{I}_2$ . Wannier-interpolation of the band structure of monolayer  $\text{Sb}_2\text{Te}_2\text{I}_2$  over a wide energy range. Blue dashed lines are results from the present method, black solid lines are explicit DFT calculations. The yellow shaded region shows the range over which optimization has been performed. The interpolation error within the yellow region is 1 meV. The k-grid employed for NSCF calculation is  $6 \times 6$ .

## 124 Material: $\text{Sb}_2\text{Te}_2\text{Se}$

The calculation files are appended below. These files should be executed in the order provided. The location of pseudo potentials should be changed accordingly.

```

---          scf.in ---
&CONTROL
calculation = 'scf'
verbosity = 'high'
restart_mode = 'from_scratch'
outdir = './'
pseudo_dir = '/scratch1/05193/sabyadk/2D_materials_Wann/Materials/Sb2Te2Se-4b565886/pseudo/'
prefix = 'hBN'
/
&SYSTEM
ibrav = 0
nat = 5
ntyp = 3
ecutwfc = 60
ecutrho = 240
assume_isolated = 2D
/
&ELECTRONS
conv_thr = 1E-12
diagonalization = 'david'
electron_maxstep = 200
/
ATOMIC_SPECIES
Sb 121.76 Sb_r.upf
Te 126.7 Te_r.upf
Se 78.971 Se_r.upf
ATOMIC_POSITIONS crystal
Sb 0.3333333333333333 0.6666666666666666 0.933062414618
Sb 0.0 0.0 0.066937585381
Te 0.3333333333333333 0.6666666666666666 0.131281239759

```



```

Te 0.0 0.0 0.8687187602399999
Se 0.6666666666666666 0.3333333333333333 1e-12

K_POINTS automatic
6 6 1 0 0 0

CELL_PARAMETERS angstrom
4.2295932721 0.0 3e-16
-2.1147966360998836 3.6629352213998625 3e-16
0.0 0.0 27.0848252969

```

```

---                nscf.in ---
&CONTROL
calculation = bands
verbosity = 'high'
restart_mode = 'from_scratch'
outdir = './'
pseudo_dir = '/scratch1/05193/sabyadk/2D_materials_Wann/Materials/Sb2Te2Se-4b565886/pseudo/'
prefix = 'hBN'
/
&SYSTEM
ibrav = 0
nat = 5
ntyp = 3
ecutwfc = 60
ecutrho = 240
assume_isolated = 2D
nbnd = 60
/
&ELECTRONS
conv_thr = 1E-10
diagonalization = 'david'
electron_maxstep = 200
/
ATOMIC_SPECIES
Sb 121.76 Sb_r.upf
Te 126.7 Te_r.upf
Se 78.971 Se_r.upf
ATOMIC_POSITIONS crystal
Sb 0.3333333333333333 0.6666666666666666 0.933062414618
Sb 0.0 0.0 0.066937585381
Te 0.3333333333333333 0.6666666666666666 0.131281239759
Te 0.0 0.0 0.8687187602399999
Se 0.6666666666666666 0.3333333333333333 1e-12

K_POINTS crystal
36
0.0 0.0 0.0 0.027778
0.0 0.1666666666666666 0.0 0.027778
0.0 0.3333333333333333 0.0 0.027778
0.0 0.5 0.0 0.027778
0.0 0.6666666666666666 0.0 0.027778
0.0 0.8333333333333333 0.0 0.027778
0.1666666666666666 0.0 0.0 0.027778
0.1666666666666666 0.1666666666666666 0.0 0.027778
0.1666666666666666 0.3333333333333333 0.0 0.027778
0.1666666666666666 0.5 0.0 0.027778
0.1666666666666666 0.6666666666666666 0.0 0.027778
0.1666666666666666 0.8333333333333333 0.0 0.027778
0.3333333333333333 0.0 0.0 0.027778
0.3333333333333333 0.1666666666666666 0.0 0.027778
0.3333333333333333 0.3333333333333333 0.0 0.027778
0.3333333333333333 0.5 0.0 0.027778
0.3333333333333333 0.6666666666666666 0.0 0.027778
0.3333333333333333 0.8333333333333333 0.0 0.027778
0.5 0.0 0.0 0.027778
0.5 0.1666666666666666 0.0 0.027778
0.5 0.3333333333333333 0.0 0.027778
0.5 0.5 0.0 0.027778
0.5 0.6666666666666666 0.0 0.027778
0.5 0.8333333333333333 0.0 0.027778
0.6666666666666666 0.0 0.0 0.027778
0.6666666666666666 0.1666666666666666 0.0 0.027778
0.6666666666666666 0.3333333333333333 0.0 0.027778
0.6666666666666666 0.5 0.0 0.027778
0.6666666666666666 0.6666666666666666 0.0 0.027778
0.6666666666666666 0.8333333333333333 0.0 0.027778
0.8333333333333333 0.0 0.0 0.027778
0.8333333333333333 0.1666666666666666 0.0 0.027778
0.8333333333333333 0.3333333333333333 0.0 0.027778
0.8333333333333333 0.5 0.0 0.027778
0.8333333333333333 0.6666666666666666 0.0 0.027778
0.8333333333333333 0.8333333333333333 0.0 0.027778

```

```

CELL_PARAMETERS angstrom
4.2295932721 0.0 3e-16
-2.1147966360998836 3.6629352213998625 3e-16
0.0 0.0 27.0848252969

```

```

---                epw1.in ---
&inputepw
prefix = 'hBN'
amass(1) = 121.76
amass(2) = 126.7
amass(3) = 78.971
outdir = './'
elph = .false.
epbwrite = .false.
epbread = .false.
epwwrite = .true.
epwread = .false.
etf_mem = 1
nbndsub = 21
use_ws = .true.
wannierize = .true.
num_iter = 1000
iprint = 2
dis_win_max = 8.17921109940621
dis_froz_max = 1.5009151876082205
fsthick = 1.2
temps = 1
degaussw = 0.005
dvscf_dir = './save'
nk1 = 6
nk2 = 6
nk3 = 1
nq1 = 1
nq2 = 1
nq3 = 1
system_2d = 'dipole_sp'
lpolar = .true.
dis_win_min = -22.36540489970721
wdata(1) = 'guiding_centres = T'
wdata(2) = 'dis_num_iter = 1500'
wdata(3) = 'bands_num_points = 100 '
wdata(4) = 'bands_plot = .true.'
wdata(5) = 'begin kpoint_path'
wdata(6) = 'G 0.0 0.0 0.0 M 0.5 0.0 0.0'
wdata(7) = 'M 0.5 0.0 0.0 K 0.3333333333 0.3333333333 0.0'
wdata(8) = 'K 0.3333333333 0.3333333333 0.0 X 1.0 1.0 0.0'
wdata(9) = 'X 1.0 1.0 0.0 M1 0.0 0.5 0.0'
wdata(10) = 'M1 0.0 0.5 0.0 G 0.0 0.0 0.0'
wdata(11) = 'end kpoint_path'
bands_skipped = 'exclude_bands = 1-30'
proj(1) = 'Sb: l= -5, mr= 1,3,5,6'
proj(2) = 'Te: l= -5, mr= 1,3,4,5,6'
proj(3) = 'Se: l= -3, mr= 1,2,4'
dis_froz_min = -11.700313554829776
/

```

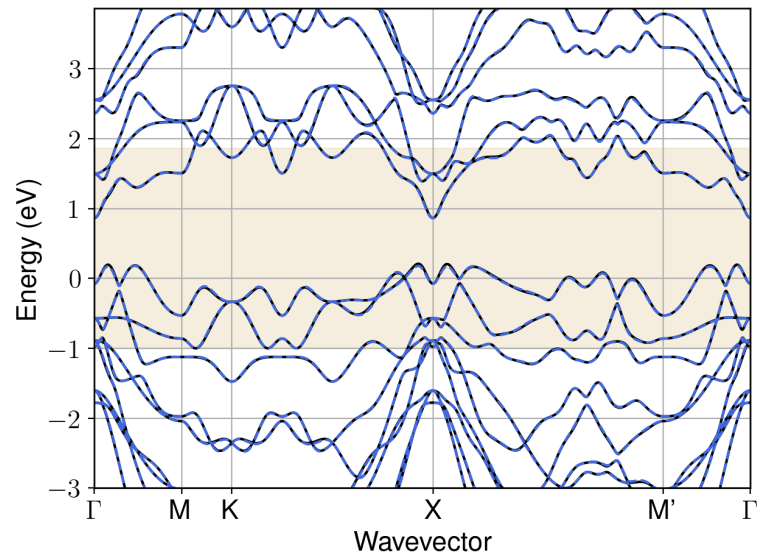


Figure S136: Bandstructure interpolation for monolayer  $\text{Sb}_2\text{Te}_2\text{Se}$ . Wannier-interpolation of the band structure of monolayer  $\text{Sb}_2\text{Te}_2\text{Se}$  over a wide energy range. Blue dashed lines are results from the present method, black solid lines are explicit DFT calculations. The yellow shaded region shows the range over which optimization has been performed. The interpolation error within the yellow region is 8 meV. The k-grid employed for NSCF calculation is  $6 \times 6$ .

## 125 Material: $\text{Sb}_2\text{Te}_3$

The calculation files are appended below. These files should be executed in the order provided. The location of pseudo potentials should be changed accordingly.

```

---          scf.in ---
&CONTROL
calculation = 'scf'
verbosity = 'high'
restart_mode = 'from_scratch'
outdir = './'
pseudo_dir = '/scratch1/05193/sabyadk/2D_materials_Wann/Materials/Sb2Te3-5446d851/pseudo/'
prefix = 'hBN'
/
&SYSTEM
ibrav = 0
nat = 5
ntyp = 2
ecutwfc = 60
ecutrho = 240
assume_isolated = 2D
/
&ELECTRONS
conv_thr = 1E-12
diagonalization = 'david'
electron_maxstep = 200
/
ATOMIC_SPECIES
Sb 121.76 Sb_r.upf
Te 126.7 Te_r.upf
ATOMIC_POSITIONS crystal
Sb 0.3333333333333333 0.6666666666666666 0.927167028901
Sb 1.3e-11 2.7e-11 0.072832971097
Te 0.3333333333333333 0.6666666666666666 0.134836986137
Te 1.3e-11 2.7e-11 0.865163013861

```

```

Te 0.6666666666666666 0.3333333333333333 4e-12

K_POINTS automatic
6 6 1 0 0 0

CELL_PARAMETERS angstrom
4.3131148106 0.0 3e-16
-2.1565574053002323 3.7352669955003575 3e-16
0.0 0.0 27.4925488549

```

```

--- nscf.in ---
&CONTROL
calculation = bands
verbosity = 'high'
restart_mode = 'from_scratch'
outdir = './'
pseudo_dir = '/scratch1/05193/sabyadk/2D_materials_Wann/Materials/Sb2Te3-5446d851/pseudo/'
prefix = 'hBN'
/
&SYSTEM
ibrav = 0
nat = 5
ntyp = 2
ecutwfc = 60
ecutrho = 240
assume_isolated = 2D
nbnd = 60
/
&ELECTRONS
conv_thr = 1E-10
diagonalization = 'david'
electron_maxstep = 200
/
ATOMIC_SPECIES
Sb 121.76 Sb_r.upf
Te 126.7 Te_r.upf
ATOMIC_POSITIONS crystal
Sb 0.3333333333333333 0.6666666666666666 0.927167028901
Sb 1.3e-11 2.7e-11 0.072832971097
Te 0.3333333333333333 0.6666666666666666 0.134836986137
Te 1.3e-11 2.7e-11 0.865163013861
Te 0.6666666666666666 0.3333333333333333 4e-12

K_POINTS crystal
36
0.0 0.0 0.0 0.027778
0.0 0.1666666666666666 0.0 0.027778
0.0 0.3333333333333333 0.0 0.027778
0.0 0.5 0.0 0.027778
0.0 0.6666666666666666 0.0 0.027778
0.0 0.8333333333333333 0.0 0.027778
0.1666666666666666 0.0 0.0 0.027778
0.1666666666666666 0.1666666666666666 0.0 0.027778
0.1666666666666666 0.3333333333333333 0.0 0.027778
0.1666666666666666 0.5 0.0 0.027778
0.1666666666666666 0.6666666666666666 0.0 0.027778
0.1666666666666666 0.8333333333333333 0.0 0.027778
0.3333333333333333 0.0 0.0 0.027778
0.3333333333333333 0.1666666666666666 0.0 0.027778
0.3333333333333333 0.3333333333333333 0.0 0.027778
0.3333333333333333 0.5 0.0 0.027778
0.3333333333333333 0.6666666666666666 0.0 0.027778
0.3333333333333333 0.8333333333333333 0.0 0.027778
0.5 0.0 0.0 0.027778
0.5 0.1666666666666666 0.0 0.027778
0.5 0.3333333333333333 0.0 0.027778
0.5 0.5 0.0 0.027778
0.5 0.6666666666666666 0.0 0.027778
0.5 0.8333333333333333 0.0 0.027778
0.6666666666666666 0.0 0.0 0.027778
0.6666666666666666 0.1666666666666666 0.0 0.027778
0.6666666666666666 0.3333333333333333 0.0 0.027778
0.6666666666666666 0.5 0.0 0.027778
0.6666666666666666 0.6666666666666666 0.0 0.027778
0.6666666666666666 0.8333333333333333 0.0 0.027778
0.8333333333333333 0.0 0.0 0.027778
0.8333333333333333 0.1666666666666666 0.0 0.027778
0.8333333333333333 0.3333333333333333 0.0 0.027778
0.8333333333333333 0.5 0.0 0.027778
0.8333333333333333 0.6666666666666666 0.0 0.027778
0.8333333333333333 0.8333333333333333 0.0 0.027778

CELL_PARAMETERS angstrom

```

```

4.3131148106 0.0 3e-16
-2.1565574053002323 3.7352669955003575 3e-16
0.0 0.0 27.4925488549

```

```

---                epw1.in ---
&inputepw
prefix = 'hBN'
amass(1) = 121.76
amass(2) = 126.7
outdir = './'
elph = .false.
epbwrite = .false.
epbread = .false.
epwwrite = .true.
epwread = .false.
etf_mem = 1
nbndsub = 20
use_ws = .true.
wannierize = .true.
num_iter = 1000
iprint = 2
dis_win_max = 7.1324699753593155
dis_froz_max = -0.8168001547530754
fsthick = 1.2
temps = 1
degaussw = 0.005
dvscf_dir = './save'
nk1 = 6
nk2 = 6
nk3 = 1
nq1 = 1
nq2 = 1
nq3 = 1
system_2d = 'dipole_sp'
lpolar = .true.
dis_win_min = -23.47473399066403
wdata(1) = 'guiding_centres = T'
wdata(2) = 'dis_num_iter = 1500'
wdata(3) = 'bands_num_points = 100 '
wdata(4) = 'bands_plot = .true.'
wdata(5) = 'begin kpoint_path'
wdata(6) = 'G 0.0 0.0 0.0 M 0.5 0.0 0.0'
wdata(7) = 'M 0.5 0.0 0.0 K 0.3333333333 0.3333333333 0.0'
wdata(8) = 'K 0.3333333333 0.3333333333 0.0 X 1.0 1.0 0.0'
wdata(9) = 'X 1.0 1.0 0.0 M1 0.0 0.5 0.0'
wdata(10) = 'M1 0.0 0.5 0.0 G 0.0 0.0 0.0'
wdata(11) = 'end kpoint_path'
bands_skipped = 'exclude_bands = 1-30'
proj(1) = 'Sb: l= 3, mr= 1,2,6,7'
proj(2) = 'Te: l= 3, mr= 3,4,5,6'
dis_froz_min = -7.737089885510894
/

```

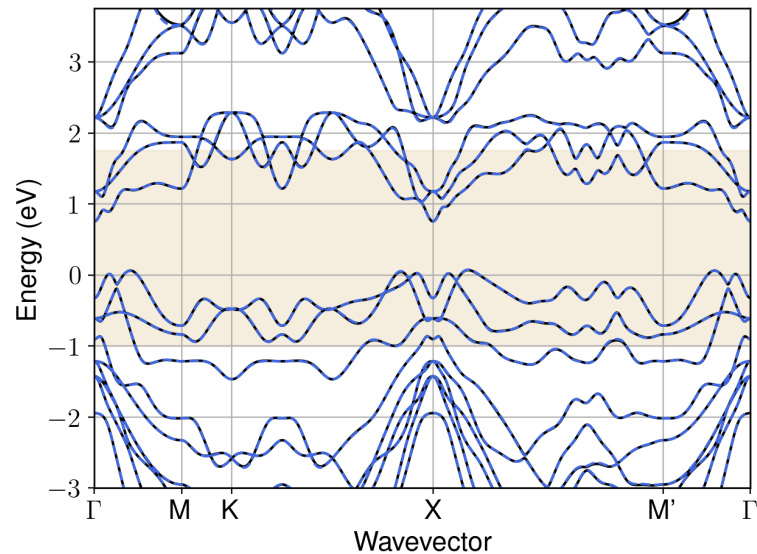


Figure S137: Bandstructure interpolation for monolayer  $\text{Sb}_2\text{Te}_3$ . Wannier-interpolation of the band structure of monolayer  $\text{Sb}_2\text{Te}_3$  over a wide energy range. Blue dashed lines are results from the present method, black solid lines are explicit DFT calculations. The yellow shaded region shows the range over which optimization has been performed. The interpolation error within the yellow region is 4 meV. The k-grid employed for NSCF calculation is  $6 \times 6$ .

## 126 Material: $\text{Sb}_2\text{TeSe}_2$

The calculation files are appended below. These files should be executed in the order provided. The location of pseudo potentials should be changed accordingly.

```

---          scf.in ---
&CONTROL
  calculation = 'scf'
  verbosity = 'high'
  restart_mode = 'from_scratch'
  outdir = './'
  pseudo_dir = '/scratch1/05193/sabyadk/2D_materials_Wann/Materials/Sb2TeSe2-06c37a20/pseudo/'
  prefix = 'hBN'
/
&SYSTEM
 ibrav = 0
  nat = 5
  ntyp = 3
  ecutwfc = 60
  ecutrho = 240
  assume_isolated = 2D
/
&ELECTRONS
  conv_thr = 1E-12
  diagonalization = 'david'
  electron_maxstep = 200
/
ATOMIC_SPECIES
Sb 121.76 Sb_r.upf
Te 126.7 Te_r.upf
Se 78.971 Se_r.upf
ATOMIC_POSITIONS crystal
Sb 0.6666666666666666 0.3333333333333333 0.076367885916
Sb 0.0 0.0 0.923632114084
Te 0.3333333333333333 0.6666666666666666 5e-12

```

```

Se 0.6666666666666666 0.3333333333333333 0.868431336217
Se 0.0 0.0 0.131568663779

K_POINTS automatic
6 6 1 0 0 0

CELL_PARAMETERS angstrom
4.1486245965 0.0 3e-16
-2.0743122982999034 3.5928142913998395 3e-16
0.0 0.0 27.2732782578

```

```

---                nscf.in ---
&CONTROL
calculation = bands
verbosity = 'high'
restart_mode = 'from_scratch'
outdir = './'
pseudo_dir = '/scratch1/05193/sabyadk/2D_materials_Wann/Materials/Sb2TeSe2-06c37a20/pseudo/'
prefix = 'hBN'
/
&SYSTEM
ibrav = 0
nat = 5
ntyp = 3
ecutwfc = 60
ecutrho = 240
assume_isolated = 2D
nbnd = 60
/
&ELECTRONS
conv_thr = 1E-10
diagonalization = 'david'
electron_maxstep = 200
/
ATOMIC_SPECIES
Sb 121.76 Sb_r.upf
Te 126.7 Te_r.upf
Se 78.971 Se_r.upf
ATOMIC_POSITIONS crystal
Sb 0.6666666666666666 0.3333333333333333 0.076367885916
Sb 0.0 0.0 0.923632114084
Te 0.3333333333333333 0.6666666666666666 5e-12
Se 0.6666666666666666 0.3333333333333333 0.868431336217
Se 0.0 0.0 0.131568663779

K_POINTS crystal
36
0.0 0.0 0.0 0.027778
0.0 0.1666666666666666 0.0 0.027778
0.0 0.3333333333333333 0.0 0.027778
0.0 0.5 0.0 0.027778
0.0 0.6666666666666666 0.0 0.027778
0.0 0.8333333333333333 0.0 0.027778
0.1666666666666666 0.0 0.0 0.027778
0.1666666666666666 0.1666666666666666 0.0 0.027778
0.1666666666666666 0.3333333333333333 0.0 0.027778
0.1666666666666666 0.5 0.0 0.027778
0.1666666666666666 0.6666666666666666 0.0 0.027778
0.1666666666666666 0.8333333333333333 0.0 0.027778
0.3333333333333333 0.0 0.0 0.027778
0.3333333333333333 0.1666666666666666 0.0 0.027778
0.3333333333333333 0.3333333333333333 0.0 0.027778
0.3333333333333333 0.5 0.0 0.027778
0.3333333333333333 0.6666666666666666 0.0 0.027778
0.3333333333333333 0.8333333333333333 0.0 0.027778
0.5 0.0 0.0 0.027778
0.5 0.1666666666666666 0.0 0.027778
0.5 0.3333333333333333 0.0 0.027778
0.5 0.5 0.0 0.027778
0.5 0.6666666666666666 0.0 0.027778
0.5 0.8333333333333333 0.0 0.027778
0.6666666666666666 0.0 0.0 0.027778
0.6666666666666666 0.1666666666666666 0.0 0.027778
0.6666666666666666 0.3333333333333333 0.0 0.027778
0.6666666666666666 0.5 0.0 0.027778
0.6666666666666666 0.6666666666666666 0.0 0.027778
0.6666666666666666 0.8333333333333333 0.0 0.027778
0.8333333333333333 0.0 0.0 0.027778
0.8333333333333333 0.1666666666666666 0.0 0.027778
0.8333333333333333 0.3333333333333333 0.0 0.027778
0.8333333333333333 0.5 0.0 0.027778
0.8333333333333333 0.6666666666666666 0.0 0.027778
0.8333333333333333 0.8333333333333333 0.0 0.027778

```

```

CELL_PARAMETERS angstrom
4.1486245965 0.0 3e-16
-2.0743122982999034 3.5928142913998395 3e-16
0.0 0.0 27.2732782578

```

```

---                epw1.in ---
&inputepw
prefix = 'hBN'
amass(1) = 121.76
amass(2) = 126.7
amass(3) = 78.971
outdir = './'
elph = .false.
epbwrite = .false.
epbread = .false.
epwwrite = .true.
epwread = .false.
etf_mem = 1
nbndsub = 16
use_ws = .true.
wannierize = .true.
num_iter = 1000
iprint = 2
dis_win_max = 6.308499863096864
dis_froz_max = -2.4994152752977685
fsthick = 1.2
temps = 1
degaussw = 0.005
dvscf_dir = './save'
nk1 = 6
nk2 = 6
nk3 = 1
nq1 = 1
nq2 = 1
nq3 = 1
system_2d = 'dipole_sp'
lpolar = .true.
dis_win_min = -21.31829982167139
wdata(1) = 'guiding_centres = T'
wdata(2) = 'dis_num_iter = 1500'
wdata(3) = 'bands_num_points = 100 '
wdata(4) = 'bands_plot = .true.'
wdata(5) = 'begin kpoint_path'
wdata(6) = 'G 0.0 0.0 0.0 M 0.5 0.0 0.0'
wdata(7) = 'M 0.5 0.0 0.0 K 0.3333333333 0.3333333333 0.0'
wdata(8) = 'K 0.3333333333 0.3333333333 0.0 X 1.0 1.0 0.0'
wdata(9) = 'X 1.0 1.0 0.0 M1 0.0 0.5 0.0'
wdata(10) = 'M1 0.0 0.5 0.0 G 0.0 0.0 0.0'
wdata(11) = 'end kpoint_path'
bands_skipped = 'exclude_bands = 1-30'
proj(1) = 'Sb: l= -5, mr= 1,2,4,6'
proj(2) = 'Te: l= 2, mr= 1,4'
proj(3) = 'Se: l= 3, mr= 4,5,7'
dis_froz_min = -13.277725454099388
/

```



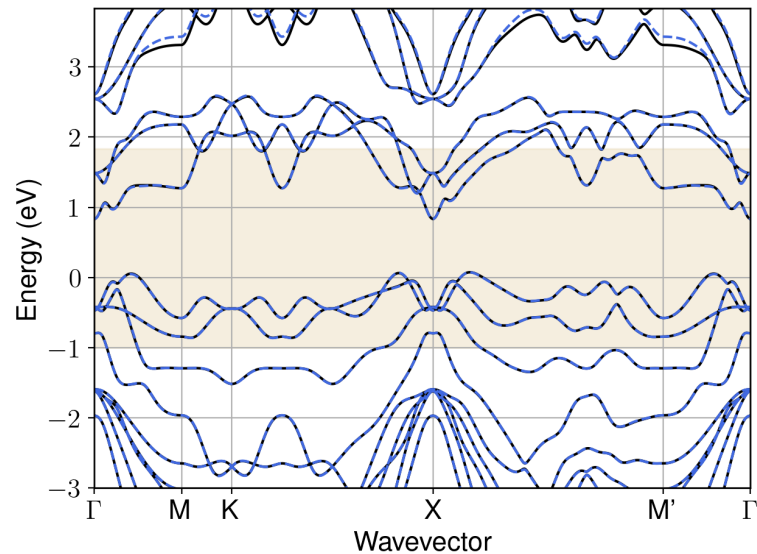


Figure S138: Bandstructure interpolation for monolayer  $\text{Sb}_2\text{TeSe}_2$ . Wannier-interpolation of the band structure of monolayer  $\text{Sb}_2\text{TeSe}_2$  over a wide energy range. Blue dashed lines are results from the present method, black solid lines are explicit DFT calculations. The yellow shaded region shows the range over which optimization has been performed. The interpolation error within the yellow region is 4 meV. The k-grid employed for NSCF calculation is  $6 \times 6$ .

## 127 Material: $\text{Sb}_2\text{TeSe}_2$

The calculation files are appended below. These files should be executed in the order provided. The location of pseudo potentials should be changed accordingly.

```

---          scf.in ---
&CONTROL
calculation = 'scf'
verbosity = 'high'
restart_mode = 'from_scratch'
outdir = './'
pseudo_dir = '/scratch1/05193/sabyadk/2D_materials_Wann/Materials/Sb2TeSe2-25d3815e/pseudo/'
prefix = 'hBN'
/
&SYSTEM
ibrav = 0
nat = 5
ntyp = 3
ecutwfc = 60
ecutrho = 240
assume_isolated = 2D
/
&ELECTRONS
conv_thr = 1E-12
diagonalization = 'david'
electron_maxstep = 200
/
ATOMIC_SPECIES
Sb 121.76 Sb_r.upf
Te 126.7 Te_r.upf
Se 78.971 Se_r.upf
ATOMIC_POSITIONS crystal
Sb 6.2e-11 2.8e-11 0.066460078793
Sb 0.3333333333333333 0.6666666666666666 0.929098307937
Te 0.3333333333333333 0.6666666666666666 0.13252040058

```

```

Se 0.6666666666666666 0.3333333333333333 0.998294723117
Se 6.2e-11 2.8e-11 0.8736264895729999

K_POINTS automatic
6 6 1 0 0 0

CELL_PARAMETERS angstrom
4.1446016952 0.0 3e-16
-2.0723008476998737 3.5893303565997754 3e-16
0.0 0.0 27.0867692555

```

```

---                nscf.in ---
&CONTROL
calculation = bands
verbosity = 'high'
restart_mode = 'from_scratch'
outdir = './'
pseudo_dir = '/scratch1/05193/sabyadk/2D_materials_Wann/Materials/Sb2TeSe2-25d3815e/pseudo/'
prefix = 'hBN'
/
&SYSTEM
ibrav = 0
nat = 5
ntyp = 3
ecutwfc = 60
ecutrho = 240
assume_isolated = 2D
nbnd = 60
/
&ELECTRONS
conv_thr = 1E-10
diagonalization = 'david'
electron_maxstep = 200
/
ATOMIC_SPECIES
Sb 121.76 Sb_r.upf
Te 126.7 Te_r.upf
Se 78.971 Se_r.upf
ATOMIC_POSITIONS crystal
Sb 6.2e-11 2.8e-11 0.066460078793
Sb 0.3333333333333333 0.6666666666666666 0.929098307937
Te 0.3333333333333333 0.6666666666666666 0.13252040058
Se 0.6666666666666666 0.3333333333333333 0.998294723117
Se 6.2e-11 2.8e-11 0.8736264895729999

K_POINTS crystal
36
0.0 0.0 0.0 0.027778
0.0 0.1666666666666666 0.0 0.027778
0.0 0.3333333333333333 0.0 0.027778
0.0 0.5 0.0 0.027778
0.0 0.6666666666666666 0.0 0.027778
0.0 0.8333333333333333 0.0 0.027778
0.1666666666666666 0.0 0.0 0.027778
0.1666666666666666 0.1666666666666666 0.0 0.027778
0.1666666666666666 0.3333333333333333 0.0 0.027778
0.1666666666666666 0.5 0.0 0.027778
0.1666666666666666 0.6666666666666666 0.0 0.027778
0.1666666666666666 0.8333333333333333 0.0 0.027778
0.3333333333333333 0.0 0.0 0.027778
0.3333333333333333 0.1666666666666666 0.0 0.027778
0.3333333333333333 0.3333333333333333 0.0 0.027778
0.3333333333333333 0.5 0.0 0.027778
0.3333333333333333 0.6666666666666666 0.0 0.027778
0.3333333333333333 0.8333333333333333 0.0 0.027778
0.5 0.0 0.0 0.027778
0.5 0.1666666666666666 0.0 0.027778
0.5 0.3333333333333333 0.0 0.027778
0.5 0.5 0.0 0.027778
0.5 0.6666666666666666 0.0 0.027778
0.5 0.8333333333333333 0.0 0.027778
0.6666666666666666 0.0 0.0 0.027778
0.6666666666666666 0.1666666666666666 0.0 0.027778
0.6666666666666666 0.3333333333333333 0.0 0.027778
0.6666666666666666 0.5 0.0 0.027778
0.6666666666666666 0.6666666666666666 0.0 0.027778
0.6666666666666666 0.8333333333333333 0.0 0.027778
0.8333333333333333 0.0 0.0 0.027778
0.8333333333333333 0.1666666666666666 0.0 0.027778
0.8333333333333333 0.3333333333333333 0.0 0.027778
0.8333333333333333 0.5 0.0 0.027778
0.8333333333333333 0.6666666666666666 0.0 0.027778
0.8333333333333333 0.8333333333333333 0.0 0.027778

```

```

CELL_PARAMETERS angstrom
4.1446016952 0.0 3e-16
-2.0723008476998737 3.5893303565997754 3e-16
0.0 0.0 27.0867692555

```

```

---                epw1.in ---
&inputepw
prefix = 'hBN'
amass(1) = 121.76
amass(2) = 126.7
amass(3) = 78.971
outdir = './'
elph = .false.
epbwrite = .false.
epbread = .false.
epwwrite = .true.
epwread = .false.
etf_mem = 1
nbndsub = 16
use_ws = .true.
wannierize = .true.
num_iter = 1000
iprint = 2
dis_win_max = 11.203807135760673
dis_froz_max = -3.4560830963086193
fsthick = 1.2
temps = 1
degaussw = 0.005
dvscf_dir = './save'
nk1 = 6
nk2 = 6
nk3 = 1
nq1 = 1
nq2 = 1
nq3 = 1
system_2d = 'dipole_sp'
lpolar = .true.
dis_win_min = -17.207901876771373
wdata(1) = 'guiding_centres = T'
wdata(2) = 'dis_num_iter = 1500'
wdata(3) = 'bands_num_points = 100 '
wdata(4) = 'bands_plot = .true.'
wdata(5) = 'begin kpoint_path'
wdata(6) = 'G 0.0 0.0 0.0 M 0.5 0.0 0.0'
wdata(7) = 'M 0.5 0.0 0.0 K 0.3333333333 0.3333333333 0.0'
wdata(8) = 'K 0.3333333333 0.3333333333 0.0 X 1.0 1.0 0.0'
wdata(9) = 'X 1.0 1.0 0.0 M1 0.0 0.5 0.0'
wdata(10) = 'M1 0.0 0.5 0.0 G 0.0 0.0 0.0'
wdata(11) = 'end kpoint_path'
bands_skipped = 'exclude_bands = 1-30'
proj(1) = 'Sb: l= 3, mr= 2,3,5,7'
proj(2) = 'Te: l= -3, mr= 1,2'
proj(3) = 'Se: l= -5, mr= 1,2,5'
dis_froz_min = -11.17246225311449
/

```

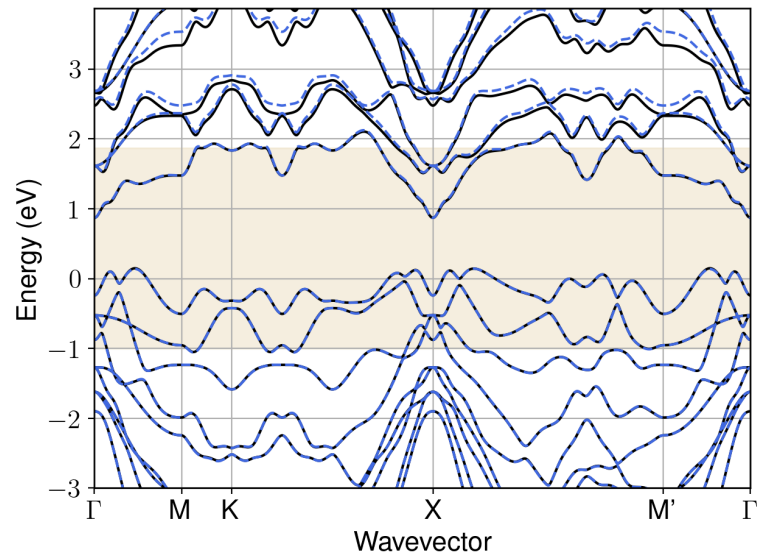


Figure S139: Bandstructure interpolation for monolayer  $\text{Sb}_2\text{TeSe}_2$ . Wannier-interpolation of the band structure of monolayer  $\text{Sb}_2\text{TeSe}_2$  over a wide energy range. Blue dashed lines are results from the present method, black solid lines are explicit DFT calculations. The yellow shaded region shows the range over which optimization has been performed. The interpolation error within the yellow region is 8 meV. The k-grid employed for NSCF calculation is  $6 \times 6$ .

## 128 Material: $\text{Sc}_2\text{CCl}_2$

The calculation files are appended below. These files should be executed in the order provided. The location of pseudo potentials should be changed accordingly.

```

---          scf.in ---
&CONTROL
calculation = 'scf'
verbosity = 'high'
restart_mode = 'from_scratch'
outdir = './'
pseudo_dir = '/scratch1/05193/sabyadk/2D_materials_Wann/Materials/Sc2CCl2-a3d13064/pseudo/'
prefix = 'hBN'
/
&SYSTEM
ibrav = 0
nat = 5
ntyp = 3
ecutwfc = 60
ecutrho = 240
assume_isolated = 2D
/
&ELECTRONS
conv_thr = 1E-12
diagonalization = 'david'
electron_maxstep = 200
/
ATOMIC_SPECIES
Sc 44.956 Sc_r.upf
C 12.011 C_r.upf
Cl 35.453 Cl_r.upf
ATOMIC_POSITIONS crystal
Sc 0.3333333333333333 0.6666666666666666 0.9521369747990001
Sc 0.6666666666666666 0.3333333333333333 0.047863025199
C 0.0 0.0 0.999999999999

```

```

Cl 0.3333333333333333 0.6666666666666666 0.112673344166
Cl 0.6666666666666666 0.3333333333333333 0.887326655837

K_POINTS automatic
6 6 1 0 0 0

CELL_PARAMETERS angstrom
3.4418335835 0.0 2e-16
-1.720916791900083 2.9807153189001436 2e-16
0.0 0.0 25.7743889097

```

```

---                nscf.in ---
&CONTROL
calculation = bands
verbosity = 'high'
restart_mode = 'from_scratch'
outdir = './'
pseudo_dir = '/scratch1/05193/sabyadk/2D_materials_Wann/Materials/Sc2CC12-a3d13064/pseudo/'
prefix = 'hBN'
/
&SYSTEM
ibrav = 0
nat = 5
ntyp = 3
ecutwfc = 60
ecutrho = 240
assume_isolated = 2D
nbnd = 60
/
&ELECTRONS
conv_thr = 1E-10
diagonalization = 'david'
electron_maxstep = 200
/
ATOMIC_SPECIES
Sc 44.956 Sc_r.upf
Cl 12.011 Cl_r.upf
Cl 35.453 Cl_r.upf
ATOMIC_POSITIONS crystal
Sc 0.3333333333333333 0.6666666666666666 0.9521369747990001
Sc 0.6666666666666666 0.3333333333333333 0.047863025199
C 0.0 0.0 0.999999999999
Cl 0.3333333333333333 0.6666666666666666 0.112673344166
Cl 0.6666666666666666 0.3333333333333333 0.887326655837

K_POINTS crystal
36
0.0 0.0 0.0 0.027778
0.0 0.1666666666666666 0.0 0.027778
0.0 0.3333333333333333 0.0 0.027778
0.0 0.5 0.0 0.027778
0.0 0.6666666666666666 0.0 0.027778
0.0 0.8333333333333333 0.0 0.027778
0.1666666666666666 0.0 0.0 0.027778
0.1666666666666666 0.1666666666666666 0.0 0.027778
0.1666666666666666 0.3333333333333333 0.0 0.027778
0.1666666666666666 0.5 0.0 0.027778
0.1666666666666666 0.6666666666666666 0.0 0.027778
0.1666666666666666 0.8333333333333333 0.0 0.027778
0.3333333333333333 0.0 0.0 0.027778
0.3333333333333333 0.1666666666666666 0.0 0.027778
0.3333333333333333 0.3333333333333333 0.0 0.027778
0.3333333333333333 0.5 0.0 0.027778
0.3333333333333333 0.6666666666666666 0.0 0.027778
0.3333333333333333 0.8333333333333333 0.0 0.027778
0.5 0.0 0.0 0.027778
0.5 0.1666666666666666 0.0 0.027778
0.5 0.3333333333333333 0.0 0.027778
0.5 0.5 0.0 0.027778
0.5 0.6666666666666666 0.0 0.027778
0.5 0.8333333333333333 0.0 0.027778
0.6666666666666666 0.0 0.0 0.027778
0.6666666666666666 0.1666666666666666 0.0 0.027778
0.6666666666666666 0.3333333333333333 0.0 0.027778
0.6666666666666666 0.5 0.0 0.027778
0.6666666666666666 0.6666666666666666 0.0 0.027778
0.6666666666666666 0.8333333333333333 0.0 0.027778
0.8333333333333333 0.0 0.0 0.027778
0.8333333333333333 0.1666666666666666 0.0 0.027778
0.8333333333333333 0.3333333333333333 0.0 0.027778
0.8333333333333333 0.5 0.0 0.027778
0.8333333333333333 0.6666666666666666 0.0 0.027778
0.8333333333333333 0.8333333333333333 0.0 0.027778

```

```

CELL_PARAMETERS angstrom
3.4418335835 0.0 2e-16
-1.720916791900083 2.9807153189001436 2e-16
0.0 0.0 25.7743889097

```

```

---                epw1.in ---
&inputepw
prefix = 'hBN'
amass(1) = 44.956
amass(2) = 12.011
amass(3) = 35.453
outdir = './'
elph = .false.
epbwrite = .false.
epbread = .false.
epwwrite = .true.
epwread = .false.
etf_mem = 1
nbndsub = 15
use_ws = .true.
wannierize = .true.
num_iter = 1000
iprint = 2
dis_win_max = 19.18734871706472
dis_froz_max = -2.2731821099833276
fsthick = 1.2
temps = 1
degaussw = 0.005
dvscf_dir = './save'
nk1 = 6
nk2 = 6
nk3 = 1
nq1 = 1
nq2 = 1
nq3 = 1
system_2d = 'dipole_sp'
lpolar = .true.
dis_win_min = -22.93192291929262
wdata(1) = 'guiding_centres = T'
wdata(2) = 'dis_num_iter = 1500'
wdata(3) = 'bands_num_points = 100 '
wdata(4) = 'bands_plot = .true.'
wdata(5) = 'begin kpoint_path'
wdata(6) = 'G 0.0 0.0 0.0 M 0.5 0.0 0.0'
wdata(7) = 'M 0.5 0.0 0.0 K 0.3333333333 0.3333333333 0.0'
wdata(8) = 'K 0.3333333333 0.3333333333 0.0 X 1.0 1.0 0.0'
wdata(9) = 'X 1.0 1.0 0.0 M1 0.0 0.5 0.0'
wdata(10) = 'M1 0.0 0.5 0.0 G 0.0 0.0 0.0'
wdata(11) = 'end kpoint_path'
bands_skipped = 'exclude_bands = 1-11'
proj(1) = 'Sc: l= -5, mr= 1,3,4,6'
proj(2) = 'C: l= 3, mr= 1,2,6'
proj(3) = 'Cl: l= -1, mr= 1,2'
dis_froz_min = -16.6132911208335
/

```

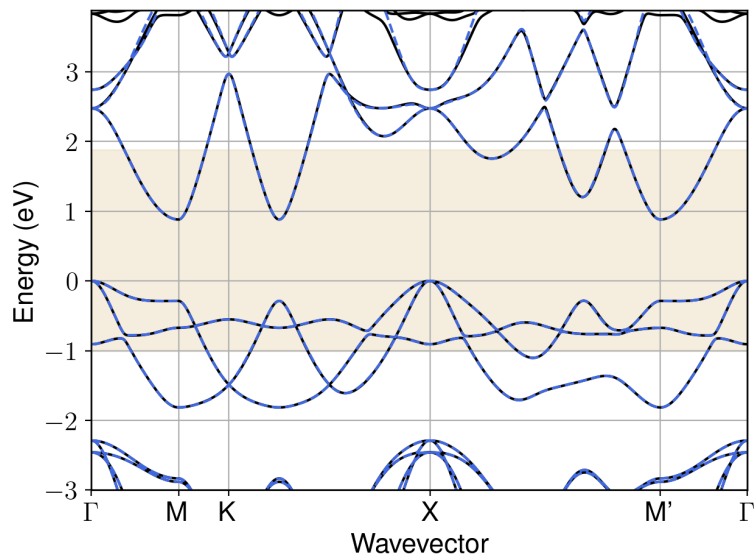


Figure S140: Bandstructure interpolation for monolayer  $\text{Sc}_2\text{CCl}_2$ . Wannier-interpolation of the band structure of monolayer  $\text{Sc}_2\text{CCl}_2$  over a wide energy range. Blue dashed lines are results from the present method, black solid lines are explicit DFT calculations. The yellow shaded region shows the range over which optimization has been performed. The interpolation error within the yellow region is 4 meV. The k-grid employed for NSCF calculation is  $6 \times 6$ .

## 129 Material: $\text{Sc}_2\text{Cl}_2$

The calculation files are appended below. These files should be executed in the order provided. The location of pseudo potentials should be changed accordingly.

```

---          scf.in ---
&CONTROL
calculation = 'scf'
verbosity = 'high'
restart_mode = 'from_scratch'
outdir = './'
pseudo_dir = '/scratch1/05193/sabyadk/2D_materials_Wann/Materials/Sc2Cl2-72e26a99/pseudo/'
prefix = 'hBN'
/
&SYSTEM
ibrav = 0
nat = 4
ntyp = 2
ecutwfc = 60
ecutrho = 240
occupations = 'smearing'
smearing = 'gaussian'
degauss = 0.01
/
&ELECTRONS
conv_thr = 1E-10
diagonalization = cg
electron_maxstep = 500
/
ATOMIC_SPECIES
Sc 44.956 Sc_r.upf
Cl 35.453 Cl_r.upf
ATOMIC_POSITIONS crystal
Sc 0.166666666661 0.833333333339 0.053531231478
Sc 0.833333333339 0.166666666661 0.946468768522

```

```

Cl 0.5 0.5 0.122788921498
Cl 0.5 0.5 0.877211078502

K_POINTS automatic
6 6 1 0 0 0

CELL_PARAMETERS angstrom
3.489218719298 0.0 2e-16
-1.7446093597465162 3.021752050215971 2e-16
0.0 0.0 23.6056311598

```

```

---                nscf.in ---
&CONTROL
calculation = bands
verbosity = 'high'
restart_mode = 'from_scratch'
outdir = './'
pseudo_dir = '/scratch1/05193/sabyadk/2D_materials_Wann/Materials/Sc2Cl2-72e26a99/pseudo/'
prefix = 'hBN'
/
&SYSTEM
ibrav = 0
nat = 4
ntyp = 2
ecutwfc = 60
ecutrho = 240
occupations = 'smearing'
smearing = 'gaussian'
degauss = 0.01
nbnd = 60
/
&ELECTRONS
conv_thr = 1E-10
diagonalization = cg
electron_maxstep = 500
/
ATOMIC_SPECIES
Sc 44.956 Sc_r.upf
Cl 35.453 Cl_r.upf
ATOMIC_POSITIONS crystal
Sc 0.1666666666661 0.833333333339 0.053531231478
Sc 0.833333333339 0.166666666661 0.946468768522
Cl 0.5 0.5 0.122788921498
Cl 0.5 0.5 0.877211078502

K_POINTS crystal
36
0.0 0.0 0.0 0.027778
0.0 0.166666666666666666 0.0 0.027778
0.0 0.3333333333333333 0.0 0.027778
0.0 0.5 0.0 0.027778
0.0 0.6666666666666666 0.0 0.027778
0.0 0.8333333333333333 0.0 0.027778
0.166666666666666666 0.0 0.0 0.027778
0.166666666666666666 0.1666666666666666 0.0 0.027778
0.166666666666666666 0.3333333333333333 0.0 0.027778
0.166666666666666666 0.5 0.0 0.027778
0.166666666666666666 0.6666666666666666 0.0 0.027778
0.166666666666666666 0.8333333333333333 0.0 0.027778
0.3333333333333333 0.0 0.0 0.027778
0.3333333333333333 0.1666666666666666 0.0 0.027778
0.3333333333333333 0.3333333333333333 0.0 0.027778
0.3333333333333333 0.5 0.0 0.027778
0.3333333333333333 0.6666666666666666 0.0 0.027778
0.3333333333333333 0.8333333333333333 0.0 0.027778
0.5 0.0 0.0 0.027778
0.5 0.1666666666666666 0.0 0.027778
0.5 0.3333333333333333 0.0 0.027778
0.5 0.5 0.0 0.027778
0.5 0.6666666666666666 0.0 0.027778
0.5 0.8333333333333333 0.0 0.027778
0.6666666666666666 0.0 0.0 0.027778
0.6666666666666666 0.1666666666666666 0.0 0.027778
0.6666666666666666 0.3333333333333333 0.0 0.027778
0.6666666666666666 0.5 0.0 0.027778
0.6666666666666666 0.6666666666666666 0.0 0.027778
0.6666666666666666 0.8333333333333333 0.0 0.027778
0.8333333333333333 0.0 0.0 0.027778
0.8333333333333333 0.1666666666666666 0.0 0.027778
0.8333333333333333 0.3333333333333333 0.0 0.027778
0.8333333333333333 0.5 0.0 0.027778
0.8333333333333333 0.6666666666666666 0.0 0.027778
0.8333333333333333 0.8333333333333333 0.0 0.027778

```



```

CELL_PARAMETERS angstrom
3.489218719298 0.0 2e-16
-1.7446093597465162 3.021752050215971 2e-16
0.0 0.0 23.6056311598

```

```

---                epw1.in ---
&inputepw
prefix = 'hBN'
amass(1) = 44.956
amass(2) = 35.453
outdir = './'
elph = .false.
epbwrite = .false.
epbread = .false.
epwwrite = .true.
epwread = .false.
etf_mem = 1
nbndsub = 20
use_ws = .true.
wannierize = .true.
num_iter = 1000
iprint = 2
dis_win_max = 14.964359680046009
dis_froz_max = 2.372286469843902
fsthick = 1.2
temps = 1
degaussw = 0.005
dvscf_dir = './save'
nk1 = 6
nk2 = 6
nk3 = 1
nq1 = 1
nq2 = 1
nq3 = 1
dis_win_min = -15.595796249364081
wdata(1) = 'guiding_centres = T'
wdata(2) = 'dis_num_iter = 1500'
wdata(3) = 'bands_num_points = 100 '
wdata(4) = 'bands_plot = .true.'
wdata(5) = 'begin kpoint_path'
wdata(6) = 'G 0.0 0.0 0.0 M 0.5 0.0 0.0'
wdata(7) = 'M 0.5 0.0 0.0 K 0.3333333333 0.3333333333 0.0'
wdata(8) = 'K 0.3333333333 0.3333333333 0.0 X 1.0 1.0 0.0'
wdata(9) = 'X 1.0 1.0 0.0 M1 0.0 0.5 0.0'
wdata(10) = 'M1 0.0 0.5 0.0 G 0.0 0.0 0.0'
wdata(11) = 'end kpoint_path'
bands_skipped = 'exclude_bands = 1-10'
proj(1) = 'Sc: l= 3, mr= 1,2,4,5,7'
proj(2) = 'Cl: l= 3, mr= 2,4,5,6,7'
dis_froz_min = -4.615238629135439
/

```

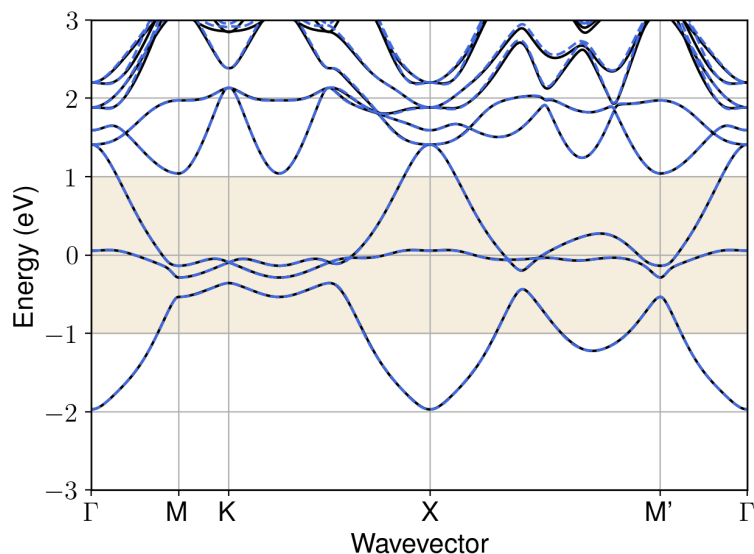


Figure S141: Bandstructure interpolation for monolayer  $\text{Sc}_2\text{Cl}_2$ . Wannier-interpolation of the band structure of monolayer  $\text{Sc}_2\text{Cl}_2$  over a wide energy range. Blue dashed lines are results from the present method, black solid lines are explicit DFT calculations. The yellow shaded region shows the range over which optimization has been performed. The interpolation error within the yellow region is 3 meV. The k-grid employed for NSCF calculation is  $6 \times 6$ .

### 130 Material: $\text{Sc}_2\text{H}_2\text{Cl}_2$

The calculation files are appended below. These files should be executed in the order provided. The location of pseudo potentials should be changed accordingly.

```

---          scf.in ---
&CONTROL
calculation = 'scf'
verbosity = 'high'
restart_mode = 'from_scratch'
outdir = './'
pseudo_dir = '/scratch1/05193/sabyadk/2D_materials_Wann/Materials/Sc2H2Cl2-be771dba/pseudo/'
prefix = 'hBN'
/
&SYSTEM
ibrav = 0
nat = 6
ntyp = 3
ecutwfc = 60
ecutrho = 240
occupations = 'smearing'
smearing = 'gaussian'
degauss = 0.01
/
&ELECTRONS
conv_thr = 1E-10
diagonalization = cg
electron_maxstep = 500
/
ATOMIC_SPECIES
Sc 44.956 Sc_r.upf
H 1.008 H_r.upf
Cl 35.453 Cl_r.upf
ATOMIC_POSITIONS crystal
Sc 0.3333333333333333 0.6666666666666666 0.04898940949

```

```

Sc 0.6666666666666666 0.3333333333333333 0.951010590508
H 0.3333333333333333 0.6666666666666666 0.971150859396
H 0.6666666666666666 0.3333333333333333 0.028849140603
Cl 0.999999999984 0.999999999967 0.111593478476
Cl 0.999999999984 0.999999999967 0.8884065215270001

K_POINTS automatic
6 6 1 0 0 0

CELL_PARAMETERS angstrom
3.499759327882 0.0 2e-16
-1.7498796639409278 3.03088048512244 2e-16
0.0 0.0 25.7801103088

```

```

--- nscf.in ---
&CONTROL
calculation = bands
verbosity = 'high'
restart_mode = 'from_scratch'
outdir = './'
pseudo_dir = '/scratch1/05193/sabyadk/2D_materials_Wann/Materials/Sc2H2Cl2-be771dba/pseudo/'
prefix = 'hBN'
/
&SYSTEM
ibrav = 0
nat = 6
ntyp = 3
ecutwfc = 60
ecutrho = 240
occupations = 'smearing'
smearing = 'gaussian'
degauss = 0.01
nbnd = 60
/
&ELECTRONS
conv_thr = 1E-10
diagonalization = cg
electron_maxstep = 500
/
ATOMIC_SPECIES
Sc 44.956 Sc_r.upf
H 1.008 H_r.upf
Cl 35.453 Cl_r.upf
ATOMIC_POSITIONS crystal
Sc 0.3333333333333333 0.6666666666666666 0.04898940949
Sc 0.6666666666666666 0.3333333333333333 0.951010590508
H 0.3333333333333333 0.6666666666666666 0.971150859396
H 0.6666666666666666 0.3333333333333333 0.028849140603
Cl 0.999999999984 0.999999999967 0.111593478476
Cl 0.999999999984 0.999999999967 0.8884065215270001

K_POINTS crystal
36
0.0 0.0 0.0 0.027778
0.0 0.1666666666666666 0.0 0.027778
0.0 0.3333333333333333 0.0 0.027778
0.0 0.5 0.0 0.027778
0.0 0.6666666666666666 0.0 0.027778
0.0 0.8333333333333333 0.0 0.027778
0.1666666666666666 0.0 0.0 0.027778
0.1666666666666666 0.1666666666666666 0.0 0.027778
0.1666666666666666 0.3333333333333333 0.0 0.027778
0.1666666666666666 0.5 0.0 0.027778
0.1666666666666666 0.6666666666666666 0.0 0.027778
0.1666666666666666 0.8333333333333333 0.0 0.027778
0.3333333333333333 0.0 0.0 0.027778
0.3333333333333333 0.1666666666666666 0.0 0.027778
0.3333333333333333 0.3333333333333333 0.0 0.027778
0.3333333333333333 0.5 0.0 0.027778
0.3333333333333333 0.6666666666666666 0.0 0.027778
0.3333333333333333 0.8333333333333333 0.0 0.027778
0.5 0.0 0.0 0.027778
0.5 0.1666666666666666 0.0 0.027778
0.5 0.3333333333333333 0.0 0.027778
0.5 0.5 0.0 0.027778
0.5 0.6666666666666666 0.0 0.027778
0.5 0.8333333333333333 0.0 0.027778
0.6666666666666666 0.0 0.0 0.027778
0.6666666666666666 0.1666666666666666 0.0 0.027778
0.6666666666666666 0.3333333333333333 0.0 0.027778
0.6666666666666666 0.5 0.0 0.027778
0.6666666666666666 0.6666666666666666 0.0 0.027778
0.6666666666666666 0.8333333333333333 0.0 0.027778

```

```

0.8333333333333333 0.0 0.0 0.027778
0.8333333333333333 0.1666666666666666 0.0 0.027778
0.8333333333333333 0.3333333333333333 0.0 0.027778
0.8333333333333333 0.5 0.0 0.027778
0.8333333333333333 0.6666666666666666 0.0 0.027778
0.8333333333333333 0.8333333333333333 0.0 0.027778

CELL_PARAMETERS angstrom
3.499759327882 0.0 2e-16
-1.7498796639409278 3.03088048512244 2e-16
0.0 0.0 25.7801103088

```

```

---                epw1.in ---
&inputepw
prefix = 'hEN'
amass(1) = 44.956
amass(2) = 1.008
amass(3) = 35.453
outdir = './'
elph = .false.
epbwrite = .false.
epbread = .false.
epwwrite = .true.
epwread = .false.
etf_mem = 1
nbndsub = 20
use_ws = .true.
wannierize = .true.
num_iter = 1000
iprint = 2
dis_win_max = 14.765987993708652
dis_froz_max = 3.757645199156863
fsthick = 1.2
temps = 1
degaussw = 0.005
dvscf_dir = './save'
nk1 = 6
nk2 = 6
nk3 = 1
nq1 = 1
nq2 = 1
nq3 = 1
dis_win_min = -17.24582449596892
wdata(1) = 'guiding_centres = T'
wdata(2) = 'dis_num_iter = 1500'
wdata(3) = 'bands_num_points = 100 '
wdata(4) = 'bands_plot = .true.'
wdata(5) = 'begin kpoint_path'
wdata(6) = 'G 0.0 0.0 0.0 M 0.5 0.0 0.0'
wdata(7) = 'M 0.5 0.0 0.0 K 0.3333333333 0.3333333333 0.0'
wdata(8) = 'K 0.3333333333 0.3333333333 0.0 X 1.0 1.0 0.0'
wdata(9) = 'X 1.0 1.0 0.0 M1 0.0 0.5 0.0'
wdata(10) = 'M1 0.0 0.5 0.0 G 0.0 0.0 0.0'
wdata(11) = 'end kpoint_path'
bands_skipped = 'exclude_bands = 1-10'
proj(1) = 'Sc: l= 3, mr= 1,4,5,7'
proj(2) = 'H: l= -5, mr= 1,3,5'
proj(3) = 'Cl: l= -5, mr= 4,5,6'
dis_froz_min = -4.4751346426610485
/

```

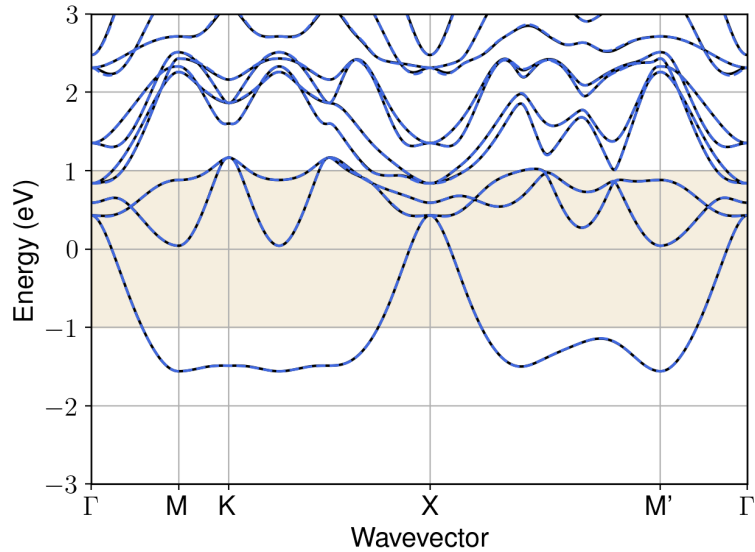


Figure S142: Bandstructure interpolation for monolayer  $\text{Sc}_2\text{H}_2\text{Cl}_2$ . Wannier-interpolation of the band structure of monolayer  $\text{Sc}_2\text{H}_2\text{Cl}_2$  over a wide energy range. Blue dashed lines are results from the present method, black solid lines are explicit DFT calculations. The yellow shaded region shows the range over which optimization has been performed. The interpolation error within the yellow region is 3 meV. The k-grid employed for NSCF calculation is  $6 \times 6$ .

### 131 Material: $\text{Sc}_2\text{NCl}_2$

The calculation files are appended below. These files should be executed in the order provided. The location of pseudo potentials should be changed accordingly.

```

---          scf.in ---
&CONTROL
calculation = 'scf'
verbosity = 'high'
restart_mode = 'from_scratch'
outdir = './'
pseudo_dir = '/scratch1/05193/sabyadk/2D_materials_Wann/Materials/Sc2NCl2-e8313707/pseudo/'
prefix = 'hBN'
/
&SYSTEM
ibrav = 0
nat = 5
ntyp = 3
ecutwfc = 60
ecutrho = 240
occupations = 'smearing'
smearing = 'gaussian'
degauss = 0.01
/
&ELECTRONS
conv_thr = 1E-10
diagonalization = cg
electron_maxstep = 500
/
ATOMIC_SPECIES
Sc 44.956 Sc_r.upf
N 14.007 N_r.upf
Cl 35.453 Cl_r.upf
ATOMIC_POSITIONS crystal
Sc 0.3333333333333333 0.6666666666666666 0.953856818231

```

```

Sc 0.6666666666666666 0.3333333333333333 0.046143181768
N 0.0 0.0 2e-12
Cl 0.3333333333333333 0.6666666666666666 0.111760303599
Cl 0.6666666666666666 0.3333333333333333 0.8882396964

K_POINTS automatic
6 6 1 0 0 0

CELL_PARAMETERS angstrom
3.3650766248 0.0 2e-16
-1.6825383123997917 2.9142418427996852 2e-16
0.0 0.0 25.7122873471

```

```

---                nscf.in ---
&CONTROL
calculation = bands
verbosity = 'high'
restart_mode = 'from_scratch'
outdir = './'
pseudo_dir = '/scratch1/05193/sabyadk/2D_materials_Wann/Materials/Sc2NCl2-e8313707/pseudo/'
prefix = 'hEN'
/
&SYSTEM
ibrav = 0
nat = 5
ntyp = 3
ecutwfc = 60
ecutrho = 240
occupations = 'smearing'
smearing = 'gaussian'
degauss = 0.01
nband = 60
/
&ELECTRONS
conv_thr = 1E-10
diagonalization = cg
electron_maxstep = 500
/
ATOMIC_SPECIES
Sc 44.956 Sc_r.upf
N 14.007 N_r.upf
Cl 35.453 Cl_r.upf
ATOMIC_POSITIONS crystal
Sc 0.3333333333333333 0.6666666666666666 0.953856818231
Sc 0.6666666666666666 0.3333333333333333 0.046143181768
N 0.0 0.0 2e-12
Cl 0.3333333333333333 0.6666666666666666 0.111760303599
Cl 0.6666666666666666 0.3333333333333333 0.8882396964

K_POINTS crystal
36
0.0 0.0 0.0 0.027778
0.0 0.1666666666666666 0.0 0.027778
0.0 0.3333333333333333 0.0 0.027778
0.0 0.5 0.0 0.027778
0.0 0.6666666666666666 0.0 0.027778
0.0 0.8333333333333333 0.0 0.027778
0.1666666666666666 0.0 0.0 0.027778
0.1666666666666666 0.1666666666666666 0.0 0.027778
0.1666666666666666 0.3333333333333333 0.0 0.027778
0.1666666666666666 0.5 0.0 0.027778
0.1666666666666666 0.6666666666666666 0.0 0.027778
0.1666666666666666 0.8333333333333333 0.0 0.027778
0.3333333333333333 0.0 0.0 0.027778
0.3333333333333333 0.1666666666666666 0.0 0.027778
0.3333333333333333 0.3333333333333333 0.0 0.027778
0.3333333333333333 0.5 0.0 0.027778
0.3333333333333333 0.6666666666666666 0.0 0.027778
0.3333333333333333 0.8333333333333333 0.0 0.027778
0.5 0.0 0.0 0.027778
0.5 0.1666666666666666 0.0 0.027778
0.5 0.3333333333333333 0.0 0.027778
0.5 0.5 0.0 0.027778
0.5 0.6666666666666666 0.0 0.027778
0.5 0.8333333333333333 0.0 0.027778
0.6666666666666666 0.0 0.0 0.027778
0.6666666666666666 0.1666666666666666 0.0 0.027778
0.6666666666666666 0.3333333333333333 0.0 0.027778
0.6666666666666666 0.5 0.0 0.027778
0.6666666666666666 0.6666666666666666 0.0 0.027778
0.6666666666666666 0.8333333333333333 0.0 0.027778
0.8333333333333333 0.0 0.0 0.027778
0.8333333333333333 0.1666666666666666 0.0 0.027778

```

```

0.8333333333333333 0.3333333333333333 0.0 0.027778
0.8333333333333333 0.5 0.0 0.027778
0.8333333333333333 0.6666666666666666 0.0 0.027778
0.8333333333333333 0.8333333333333333 0.0 0.027778

```

```

CELL_PARAMETERS angstrom
3.3650766248 0.0 2e-16
-1.6825383123997917 2.9142418427996852 2e-16
0.0 0.0 25.7122873471

```

```

---                epw1.in ---
&inputepw
prefix = 'hBN'
amass(1) = 44.956
amass(2) = 14.007
amass(3) = 35.453
outdir = './'
elph = .false.
epbwrite = .false.
epbread = .false.
epwwrite = .true.
epwread = .false.
etf_mem = 1
nbndsub = 17
use_ws = .true.
wannierize = .true.
num_iter = 1000
iprint = 2
dis_win_max = 27.543670812376334
dis_froz_max = 2.422732068609069
fsthick = 1.2
temps = 1
degaussw = 0.005
dvscf_dir = './save'
nk1 = 6
nk2 = 6
nk3 = 1
nq1 = 1
nq2 = 1
nq3 = 1
dis_win_min = -12.754510588710273
wdata(1) = 'guiding_centres = T'
wdata(2) = 'dis_num_iter = 1500'
wdata(3) = 'bands_num_points = 100 '
wdata(4) = 'bands_plot = .true.'
wdata(5) = 'begin kpoint_path'
wdata(6) = 'G 0.0 0.0 0.0 M 0.5 0.0 0.0'
wdata(7) = 'M 0.5 0.0 0.0 K 0.3333333333 0.3333333333 0.0'
wdata(8) = 'K 0.3333333333 0.3333333333 0.0 X 1.0 1.0 0.0'
wdata(9) = 'X 1.0 1.0 0.0 M1 0.0 0.5 0.0'
wdata(10) = 'M1 0.0 0.5 0.0 G 0.0 0.0 0.0'
wdata(11) = 'end kpoint_path'
bands_skipped = 'exclude_bands = 1-11'
proj(1) = 'Sc: l= 3, mr= 2,3,5,6'
proj(2) = 'N: l= 3, mr= 1,3,7'
proj(3) = 'Cl: l= 3, mr= 1,2,4'
dis_froz_min = -8.603920364733769
/

```

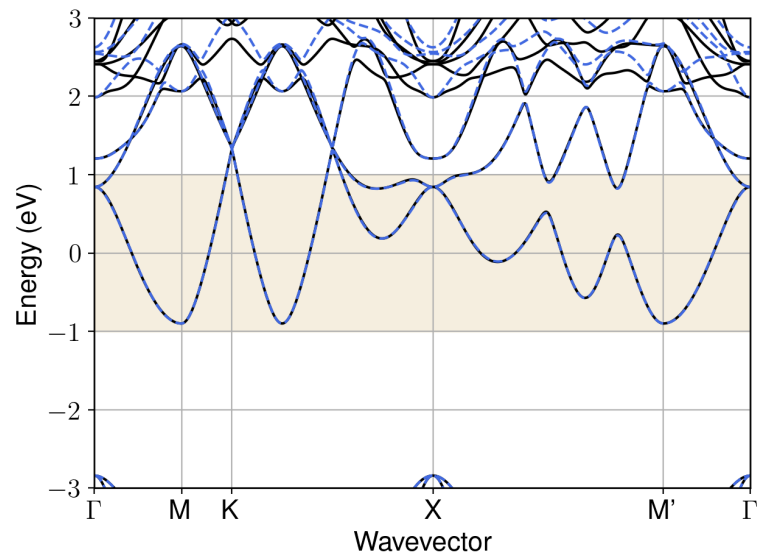


Figure S143: Bandstructure interpolation for monolayer  $\text{Sc}_2\text{NCl}_2$ . Wannier-interpolation of the band structure of monolayer  $\text{Sc}_2\text{NCl}_2$  over a wide energy range. Blue dashed lines are results from the present method, black solid lines are explicit DFT calculations. The yellow shaded region shows the range over which optimization has been performed. The interpolation error within the yellow region is 7 meV. The k-grid employed for NSCF calculation is  $6 \times 6$ .

## 132 Material: $\text{Sc}_2\text{O}_2\text{Br}_2$

The calculation files are appended below. These files should be executed in the order provided. The location of pseudo potentials should be changed accordingly.

```

---          scf.in ---
&CONTROL
calculation = 'scf'
verbosity = 'high'
restart_mode = 'from_scratch'
outdir = './'
pseudo_dir = '/scratch1/05193/sabyadk/2D_materials_Wann/Materials/Sc2O2Br2-3a8261f8/pseudo/'
prefix = 'hBN'
/
&SYSTEM
ibrav = 0
nat = 6
ntyp = 3
ecutwfc = 60
ecutrho = 240
assume_isolated = 2D
/
&ELECTRONS
conv_thr = 1E-12
diagonalization = 'david'
electron_maxstep = 200
/
ATOMIC_SPECIES
Sc 44.956 Sc_r.upf
Br 79.904 Br_r.upf
O 15.999 O_r.upf
ATOMIC_POSITIONS crystal
Sc 0.5 0.0 0.964254030955
Sc 0.0 0.500000000025 0.035745976213
Br 0.0 0.0 0.887179364331

```



```

Br 0.5 0.500000000025 0.112820505064
0 0.5 0.500000000025 0.989286103756
0 0.0 0.0 0.010714019681

K_POINTS automatic
6 6 1 0 0 0

CELL_PARAMETERS angstrom
3.569978908385 0.0 2e-16
-2e-16 3.982981066783 2e-16
0.0 0.0 25.8541491432

```

```

---                nscf.in ---
&CONTROL
calculation = bands
verbosity = 'high'
restart_mode = 'from_scratch'
outdir = './'
pseudo_dir = '/scratch1/05193/sabyadk/2D_materials_Wann/Materials/Sc202Br2-3a8261f8/pseudo/'
prefix = 'hBN'
/
&SYSTEM
ibrav = 0
nat = 6
ntyp = 3
ecutwfc = 60
ecutrho = 240
assume_isolated = 2D
nbnd = 60
/
&ELECTRONS
conv_thr = 1E-10
diagonalization = 'david'
electron_maxstep = 200
/
ATOMIC_SPECIES
Sc 44.956 Sc_r.upf
Br 79.904 Br_r.upf
O 15.999 O_r.upf
ATOMIC_POSITIONS crystal
Sc 0.5 0.0 0.964254030955
Sc 0.0 0.500000000025 0.035745976213
Br 0.0 0.0 0.887179364331
Br 0.5 0.500000000025 0.112820505064
0 0.5 0.500000000025 0.989286103756
0 0.0 0.0 0.010714019681

K_POINTS crystal
36
0.0 0.0 0.0 0.027778
0.0 0.16666666666666666 0.0 0.027778
0.0 0.33333333333333333 0.0 0.027778
0.0 0.5 0.0 0.027778
0.0 0.66666666666666666 0.0 0.027778
0.0 0.83333333333333333 0.0 0.027778
0.16666666666666666 0.0 0.0 0.027778
0.16666666666666666 0.16666666666666666 0.0 0.027778
0.16666666666666666 0.33333333333333333 0.0 0.027778
0.16666666666666666 0.5 0.0 0.027778
0.16666666666666666 0.66666666666666666 0.0 0.027778
0.16666666666666666 0.83333333333333333 0.0 0.027778
0.33333333333333333 0.0 0.0 0.027778
0.33333333333333333 0.16666666666666666 0.0 0.027778
0.33333333333333333 0.33333333333333333 0.0 0.027778
0.33333333333333333 0.5 0.0 0.027778
0.33333333333333333 0.66666666666666666 0.0 0.027778
0.33333333333333333 0.83333333333333333 0.0 0.027778
0.5 0.0 0.0 0.027778
0.5 0.16666666666666666 0.0 0.027778
0.5 0.33333333333333333 0.0 0.027778
0.5 0.5 0.0 0.027778
0.5 0.66666666666666666 0.0 0.027778
0.5 0.83333333333333333 0.0 0.027778
0.66666666666666666 0.0 0.0 0.027778
0.66666666666666666 0.16666666666666666 0.0 0.027778
0.66666666666666666 0.33333333333333333 0.0 0.027778
0.66666666666666666 0.5 0.0 0.027778
0.66666666666666666 0.66666666666666666 0.0 0.027778
0.66666666666666666 0.83333333333333333 0.0 0.027778
0.83333333333333333 0.0 0.0 0.027778
0.83333333333333333 0.16666666666666666 0.0 0.027778
0.83333333333333333 0.33333333333333333 0.0 0.027778
0.83333333333333333 0.5 0.0 0.027778

```

```

0.8333333333333333 0.6666666666666666 0.0 0.027778
0.8333333333333333 0.8333333333333333 0.0 0.027778

CELL_PARAMETERS angstrom
3.569978908385 0.0 2e-16
-2e-16 3.982981066783 2e-16
0.0 0.0 25.8541491432

```

```

---                epw1.in ---
&inputepw
prefix = 'hBN'
amass(1) = 44.956
amass(2) = 79.904
amass(3) = 15.999
outdir = './'
elph = .false.
epbwrite = .false.
epbread = .false.
epwwrite = .true.
epwread = .false.
etf_mem = 1
nbndsub = 24
use_ws = .true.
wannierize = .true.
num_iter = 1000
iprint = 2
dis_win_max = 15.920972637625978
dis_froz_max = -1.7121777490169188
fsthick = 1.2
temps = 1
degaussw = 0.005
dvscf_dir = './save'
nk1 = 6
nk2 = 6
nk3 = 1
nq1 = 1
nq2 = 1
nq3 = 1
system_2d = 'dipole_sp'
lpolar = .true.
dis_win_min = -27.80537527969378
wdata(1) = 'guiding_centres = T'
wdata(2) = 'dis_num_iter = 1500'
wdata(3) = 'bands_num_points = 100 '
wdata(4) = 'bands_plot = .true.'
wdata(5) = 'begin kpoint_path'
wdata(6) = 'G 0.0 0.0 0.0 M 0.5 0.0 0.0'
wdata(7) = 'M 0.5 0.0 0.0 K 0.3333333333 0.3333333333 0.0'
wdata(8) = 'K 0.3333333333 0.3333333333 0.0 X 1.0 1.0 0.0'
wdata(9) = 'X 1.0 1.0 0.0 M1 0.0 0.5 0.0'
wdata(10) = 'M1 0.0 0.5 0.0 G 0.0 0.0 0.0'
wdata(11) = 'end kpoint_path'
bands_skipped = 'exclude_bands = 1-12'
proj(1) = 'Sc: l= 3, mr= 1,2,4,7'
proj(2) = 'Br: l= 3, mr= 4,5,6,7'
proj(3) = 'O: l= -5, mr= 1,3,4,5'
dis_froz_min = -12.599649962225136
/

```

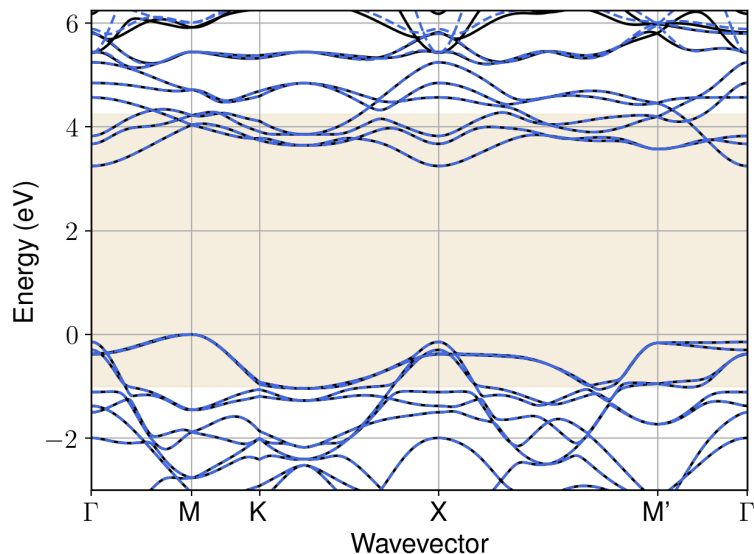


Figure S144: Bandstructure interpolation for monolayer  $\text{Sc}_2\text{O}_2\text{Br}_2$ . Wannier-interpolation of the band structure of monolayer  $\text{Sc}_2\text{O}_2\text{Br}_2$  over a wide energy range. Blue dashed lines are results from the present method, black solid lines are explicit DFT calculations. The yellow shaded region shows the range over which optimization has been performed. The interpolation error within the yellow region is 1 meV. The k-grid employed for NSCF calculation is  $6 \times 6$ .

### 133 Material: $\text{Si}_2\text{H}_2$

The calculation files are appended below. These files should be executed in the order provided. The location of pseudo potentials should be changed accordingly.

```

---          scf.in ---
&CONTROL
calculation = 'scf'
verbosity = 'high'
restart_mode = 'from_scratch'
outdir = './'
pseudo_dir = '/scratch1/05193/sabyadk/2D_materials_Wann/Materials/Si2H2-8795ce3f/pseudo/'
prefix = 'hBN'
/
&SYSTEM
ibrav = 0
nat = 4
ntyp = 2
ecutwfc = 60
ecutrho = 240
assume_isolated = 2D
/
&ELECTRONS
conv_thr = 1E-12
diagonalization = 'david'
electron_maxstep = 200
/
ATOMIC_SPECIES
Si 28.086 Si_r.upf
H 1.008 H_r.upf
ATOMIC_POSITIONS crystal
Si 0.6666666666666666 0.3333333333333333 0.984848047917
Si 0.3333333333333333 0.6666666666666666 0.015151952085
H 0.6666666666666666 0.3333333333333333 0.9215227899139999
H 0.3333333333333333 0.6666666666666666 0.078477210084

```

```

K_POINTS automatic
6 6 1 0 0 0

CELL_PARAMETERS angstrom
3.8901956037 0.0 2e-16
-1.9450978019002219 3.3690082185003862 2e-16
0.0 0.0 23.7135487142

```

```

--- nscf.in ---
&CONTROL
calculation = bands
verbosity = 'high'
restart_mode = 'from_scratch'
outdir = './'
pseudo_dir = '/scratch1/05193/sabyadk/2D_materials_Wann/Materials/Si2H2-8795ce3f/pseudo/'
prefix = 'hBN'
/
&SYSTEM
ibrav = 0
nat = 4
ntyp = 2
ecutwfc = 60
ecutrho = 240
assume_isolated = 2D
nbnd = 60
/
&ELECTRONS
conv_thr = 1E-10
diagonalization = 'david'
electron_maxstep = 200
/
ATOMIC_SPECIES
Si 28.086 Si_r.upf
H 1.008 H_r.upf
ATOMIC_POSITIONS crystal
Si 0.6666666666666666 0.3333333333333333 0.984848047917
Si 0.3333333333333333 0.6666666666666666 0.015151952085
H 0.6666666666666666 0.3333333333333333 0.9215227899139999
H 0.3333333333333333 0.6666666666666666 0.078477210084

K_POINTS crystal
36
0.0 0.0 0.0 0.027778
0.0 0.1666666666666666 0.0 0.027778
0.0 0.3333333333333333 0.0 0.027778
0.0 0.5 0.0 0.027778
0.0 0.6666666666666666 0.0 0.027778
0.0 0.8333333333333333 0.0 0.027778
0.1666666666666666 0.0 0.0 0.027778
0.1666666666666666 0.1666666666666666 0.0 0.027778
0.1666666666666666 0.3333333333333333 0.0 0.027778
0.1666666666666666 0.5 0.0 0.027778
0.1666666666666666 0.6666666666666666 0.0 0.027778
0.1666666666666666 0.8333333333333333 0.0 0.027778
0.3333333333333333 0.0 0.0 0.027778
0.3333333333333333 0.1666666666666666 0.0 0.027778
0.3333333333333333 0.3333333333333333 0.0 0.027778
0.3333333333333333 0.5 0.0 0.027778
0.3333333333333333 0.6666666666666666 0.0 0.027778
0.3333333333333333 0.8333333333333333 0.0 0.027778
0.5 0.0 0.0 0.027778
0.5 0.1666666666666666 0.0 0.027778
0.5 0.3333333333333333 0.0 0.027778
0.5 0.5 0.0 0.027778
0.5 0.6666666666666666 0.0 0.027778
0.5 0.8333333333333333 0.0 0.027778
0.6666666666666666 0.0 0.0 0.027778
0.6666666666666666 0.1666666666666666 0.0 0.027778
0.6666666666666666 0.3333333333333333 0.0 0.027778
0.6666666666666666 0.5 0.0 0.027778
0.6666666666666666 0.6666666666666666 0.0 0.027778
0.6666666666666666 0.8333333333333333 0.0 0.027778
0.8333333333333333 0.0 0.0 0.027778
0.8333333333333333 0.1666666666666666 0.0 0.027778
0.8333333333333333 0.3333333333333333 0.0 0.027778
0.8333333333333333 0.5 0.0 0.027778
0.8333333333333333 0.6666666666666666 0.0 0.027778
0.8333333333333333 0.8333333333333333 0.0 0.027778

CELL_PARAMETERS angstrom
3.8901956037 0.0 2e-16
-1.9450978019002219 3.3690082185003862 2e-16

```

0.0 0.0 23.7135487142

```

---                epw1.in ---
&inputepw
prefix = 'hBN'
amass(1) = 28.086
amass(2) = 1.008
outdir = './'
elph = .false.
epbwrite = .false.
epbwrite = .false.
epwwrite = .true.
epwread = .false.
etf_mem = 1
nbndsub = 10
use_ws = .true.
wannierize = .true.
num_iter = 1000
iprint = 2
dis_win_max = 12.503403196529051
dis_froz_max = -1.1234454268057572
fsthick = 1.2
temps = 1
degaussw = 0.005
dvscf_dir = './save'
nk1 = 6
nk2 = 6
nk3 = 1
nq1 = 1
nq2 = 1
nq3 = 1
system_2d = 'dipole_sp'
lpolar = .true.
dis_win_min = -22.60399492976764
wdata(1) = 'guiding_centres = T'
wdata(2) = 'dis_num_iter = 1500'
wdata(3) = 'bands_num_points = 100 '
wdata(4) = 'bands_plot = .true.'
wdata(5) = 'begin kpoint_path'
wdata(6) = 'G 0.0 0.0 0.0 M 0.5 0.0 0.0'
wdata(7) = 'M 0.5 0.0 0.0 K 0.3333333333 0.3333333333 0.0'
wdata(8) = 'K 0.3333333333 0.3333333333 0.0 X 1.0 1.0 0.0'
wdata(9) = 'X 1.0 1.0 0.0 M1 0.0 0.5 0.0'
wdata(10) = 'M1 0.0 0.5 0.0 G 0.0 0.0 0.0'
wdata(11) = 'end kpoint_path'
bands_skipped = 'exclude_bands = 1-2'
proj(1) = 'Si: l= -5, mr= 2,4'
proj(2) = 'H: l= -4, mr= 1,3,4'
dis_froz_min = -13.086777247924653
/

```

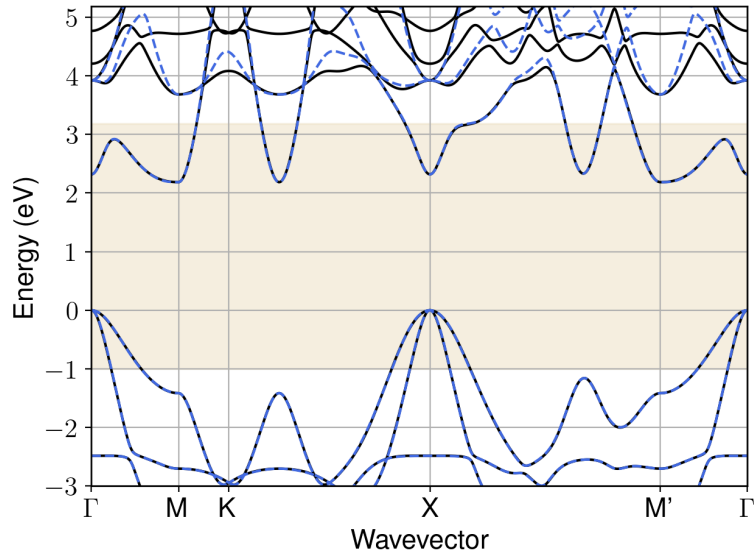


Figure S145: Bandstructure interpolation for monolayer  $\text{Si}_2\text{H}_2$ . Wannier-interpolation of the band structure of monolayer  $\text{Si}_2\text{H}_2$  over a wide energy range. Blue dashed lines are results from the present method, black solid lines are explicit DFT calculations. The yellow shaded region shows the range over which optimization has been performed. The interpolation error within the yellow region is 8 meV. The k-grid employed for NSCF calculation is  $6 \times 6$ .

## 134 Material: $\text{SiTe}_2$

The calculation files are appended below. These files should be executed in the order provided. The location of pseudo potentials should be changed accordingly.

```

---          scf.in ---
&CONTROL
calculation = 'scf'
verbosity = 'high'
restart_mode = 'from_scratch'
outdir = './'
pseudo_dir = '/scratch1/05193/sabyadk/2D_materials_Wann/Materials/SiTe2-4a9e5884/pseudo/'
prefix = 'hBN'
/
&SYSTEM
ibrav = 0
nat = 3
ntyp = 2
ecutwfc = 60
ecutrho = 240
occupations = 'smearing'
smearing = 'gaussian'
degauss = 0.01
/
&ELECTRONS
conv_thr = 1E-10
diagonalization = cg
electron_maxstep = 500
/
ATOMIC_SPECIES
Si 28.086 Si_r.upf
Te 126.7 Te_r.upf
ATOMIC_POSITIONS crystal
Si 0.0 0.0 1e-12
Te 0.6666666666666666 0.3333333333333333 0.069779684314

```

```
Te 0.3333333333333333 0.6666666666666666 0.930220315685
```

```
K_POINTS automatic
6 6 1 0 0 0
```

```
CELL_PARAMETERS angstrom
3.7944064429 0.0 2e-16
-1.8972032215000354 3.286052371800087 2e-16
0.0 0.0 23.3305813639
```

```
--- nscf.in ---
&CONTROL
calculation = bands
verbosity = 'high'
restart_mode = 'from_scratch'
outdir = './'
pseudo_dir = '/scratch1/05193/sabyadk/2D_materials_Wann/Materials/SiTe2-4a9e5884/pseudo/'
prefix = 'hBN'
/
&SYSTEM
ibrav = 0
nat = 3
ntyp = 2
ecutwfc = 60
ecutrho = 240
occupations = 'smearing'
smearing = 'gaussian'
degauss = 0.01
nbnd = 60
/
&ELECTRONS
conv_thr = 1E-10
diagonalization = cg
electron_maxstep = 500
/
ATOMIC_SPECIES
Si 28.086 Si_r.upf
Te 126.7 Te_r.upf
ATOMIC_POSITIONS crystal
Si 0.0 0.0 1e-12
Te 0.6666666666666666 0.3333333333333333 0.069779684314
Te 0.3333333333333333 0.6666666666666666 0.930220315685

K_POINTS crystal
36
0.0 0.0 0.0 0.027778
0.0 0.1666666666666666 0.0 0.027778
0.0 0.3333333333333333 0.0 0.027778
0.0 0.5 0.0 0.027778
0.0 0.6666666666666666 0.0 0.027778
0.0 0.8333333333333333 0.0 0.027778
0.1666666666666666 0.0 0.0 0.027778
0.1666666666666666 0.1666666666666666 0.0 0.027778
0.1666666666666666 0.3333333333333333 0.0 0.027778
0.1666666666666666 0.5 0.0 0.027778
0.1666666666666666 0.6666666666666666 0.0 0.027778
0.1666666666666666 0.8333333333333333 0.0 0.027778
0.3333333333333333 0.0 0.0 0.027778
0.3333333333333333 0.1666666666666666 0.0 0.027778
0.3333333333333333 0.3333333333333333 0.0 0.027778
0.3333333333333333 0.5 0.0 0.027778
0.3333333333333333 0.6666666666666666 0.0 0.027778
0.3333333333333333 0.8333333333333333 0.0 0.027778
0.5 0.0 0.0 0.027778
0.5 0.1666666666666666 0.0 0.027778
0.5 0.3333333333333333 0.0 0.027778
0.5 0.5 0.0 0.027778
0.5 0.6666666666666666 0.0 0.027778
0.5 0.8333333333333333 0.0 0.027778
0.6666666666666666 0.0 0.0 0.027778
0.6666666666666666 0.1666666666666666 0.0 0.027778
0.6666666666666666 0.3333333333333333 0.0 0.027778
0.6666666666666666 0.5 0.0 0.027778
0.6666666666666666 0.6666666666666666 0.0 0.027778
0.6666666666666666 0.8333333333333333 0.0 0.027778
0.8333333333333333 0.0 0.0 0.027778
0.8333333333333333 0.1666666666666666 0.0 0.027778
0.8333333333333333 0.3333333333333333 0.0 0.027778
0.8333333333333333 0.5 0.0 0.027778
0.8333333333333333 0.6666666666666666 0.0 0.027778
0.8333333333333333 0.8333333333333333 0.0 0.027778

CELL_PARAMETERS angstrom
```

```

3.7944064429 0.0 2e-16
-1.8972032215000354 3.286052371800087 2e-16
0.0 0.0 23.3305813639

```

```

---                epw1.in ---
&inputepw
prefix = 'hBN'
amass(1) = 28.086
amass(2) = 126.7
outdir = './'
elph = .false.
epbwrite = .false.
epbread = .false.
epwwrite = .true.
epwread = .false.
etf_mem = 1
nbndsub = 13
use_ws = .true.
wannierize = .true.
num_iter = 1000
iprint = 2
dis_win_max = 12.72647164933089
dis_froz_max = 1.805166376618677
fsthick = 1.2
temps = 1
degaussw = 0.005
dvscf_dir = './save'
nk1 = 6
nk2 = 6
nk3 = 1
nq1 = 1
nq2 = 1
nq3 = 1
dis_win_min = -16.787276498743438
wdata(1) = 'guiding_centres = T'
wdata(2) = 'dis_num_iter = 1500'
wdata(3) = 'bands_num_points = 100 '
wdata(4) = 'bands_plot = .true.'
wdata(5) = 'begin kpoint_path'
wdata(6) = 'G 0.0 0.0 0.0 M 0.5 0.0 0.0'
wdata(7) = 'M 0.5 0.0 0.0 K 0.3333333333 0.3333333333 0.0'
wdata(8) = 'K 0.3333333333 0.3333333333 0.0 X 1.0 1.0 0.0'
wdata(9) = 'X 1.0 1.0 0.0 M1 0.0 0.5 0.0'
wdata(10) = 'M1 0.0 0.5 0.0 G 0.0 0.0 0.0'
wdata(11) = 'end kpoint_path'
bands_skipped = 'exclude_bands = 1-12'
proj(1) = 'Si: l= 3, mr= 1,3,4,6,7'
proj(2) = 'Te: l= 3, mr= 1,4,6,7'
dis_froz_min = -6.692670617267055
/

```



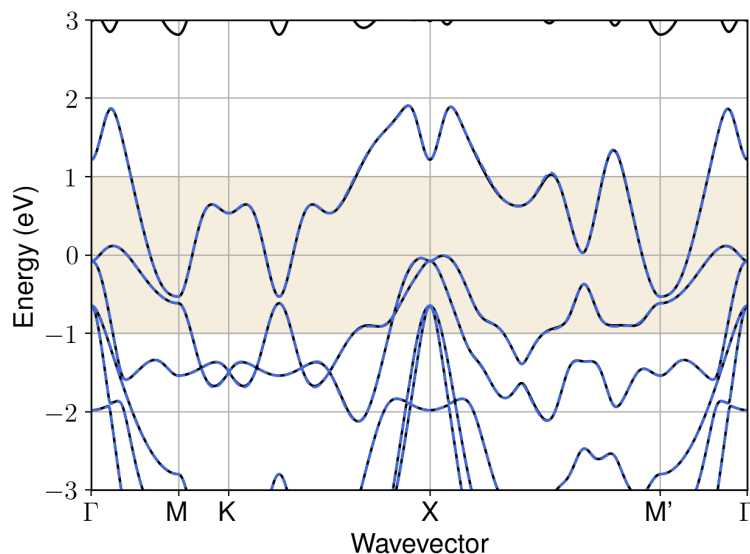


Figure S146: Bandstructure interpolation for monolayer  $\text{SiTe}_2$ . Wannier-interpolation of the band structure of monolayer  $\text{SiTe}_2$  over a wide energy range. Blue dashed lines are results from the present method, black solid lines are explicit DFT calculations. The yellow shaded region shows the range over which optimization has been performed. The interpolation error within the yellow region is 7 meV. The k-grid employed for NSCF calculation is  $6 \times 6$ .

### 135 Material: $\text{Sn}_2\text{O}_2$

The calculation files are appended below. These files should be executed in the order provided. The location of pseudo potentials should be changed accordingly.

```

---          scf.in ---
&CONTROL
calculation = 'scf'
verbosity = 'high'
restart_mode = 'from_scratch'
outdir = './'
pseudo_dir = '/scratch1/05193/sabyadk/2D_materials_Wann/Materials/Sn202-267a62e9/pseudo/'
prefix = 'hBN'
/
&SYSTEM
ibrav = 0
nat = 4
ntyp = 2
ecutwfc = 60
ecutrho = 240
assume_isolated = 2D
/
&ELECTRONS
conv_thr = 1E-12
diagonalization = 'david'
electron_maxstep = 200
/
ATOMIC_SPECIES
Sn 118.711 Sn_r.upf
O 15.999 O_r.upf
ATOMIC_POSITIONS crystal
Sn 0.927635146086 0.072364893433 0.939231888078
Sn 0.570976910772 0.429023046202 0.060768009522
O 0.959759289053 0.040240724323 0.033802416729
O 0.538851952754 0.461148037351 0.966197685671

```

```

K_POINTS automatic
6 6 1 0 0 0

CELL_PARAMETERS angstrom
3.557693527776 0.0 2e-16
-0.6371717009077413 3.5001707840458764 2e-16
0.0 0.0 22.8041829791

```

```

--- nscf.in ---
&CONTROL
calculation = bands
verbosity = 'high'
restart_mode = 'from_scratch'
outdir = './'
pseudo_dir = '/scratch1/05193/sabyadk/2D_materials_Wann/Materials/Sn202-267a62e9/pseudo/'
prefix = 'hBN'
/
&SYSTEM
ibrav = 0
nat = 4
ntyp = 2
ecutwfc = 60
ecutrho = 240
assume_isolated = 2D
nbnd = 60
/
&ELECTRONS
conv_thr = 1E-10
diagonalization = 'david'
electron_maxstep = 200
/
ATOMIC_SPECIES
Sn 118.711 Sn_r.upf
O 15.999 O_r.upf
ATOMIC_POSITIONS crystal
Sn 0.927635146086 0.072364893433 0.939231888078
Sn 0.570976910772 0.429023046202 0.060768009522
O 0.959759289053 0.040240724323 0.033802416729
O 0.538851952754 0.461148037351 0.966197685671

K_POINTS crystal
36
0.0 0.0 0.0 0.027778
0.0 0.16666666666666666 0.0 0.027778
0.0 0.3333333333333333 0.0 0.027778
0.0 0.5 0.0 0.027778
0.0 0.6666666666666666 0.0 0.027778
0.0 0.8333333333333333 0.0 0.027778
0.16666666666666666 0.0 0.0 0.027778
0.16666666666666666 0.16666666666666666 0.0 0.027778
0.16666666666666666 0.3333333333333333 0.0 0.027778
0.16666666666666666 0.5 0.0 0.027778
0.16666666666666666 0.6666666666666666 0.0 0.027778
0.16666666666666666 0.8333333333333333 0.0 0.027778
0.3333333333333333 0.0 0.0 0.027778
0.3333333333333333 0.16666666666666666 0.0 0.027778
0.3333333333333333 0.3333333333333333 0.0 0.027778
0.3333333333333333 0.5 0.0 0.027778
0.3333333333333333 0.6666666666666666 0.0 0.027778
0.3333333333333333 0.8333333333333333 0.0 0.027778
0.5 0.0 0.0 0.027778
0.5 0.16666666666666666 0.0 0.027778
0.5 0.3333333333333333 0.0 0.027778
0.5 0.5 0.0 0.027778
0.5 0.6666666666666666 0.0 0.027778
0.5 0.8333333333333333 0.0 0.027778
0.6666666666666666 0.0 0.0 0.027778
0.6666666666666666 0.16666666666666666 0.0 0.027778
0.6666666666666666 0.3333333333333333 0.0 0.027778
0.6666666666666666 0.5 0.0 0.027778
0.6666666666666666 0.6666666666666666 0.0 0.027778
0.6666666666666666 0.8333333333333333 0.0 0.027778
0.8333333333333333 0.0 0.0 0.027778
0.8333333333333333 0.16666666666666666 0.0 0.027778
0.8333333333333333 0.3333333333333333 0.0 0.027778
0.8333333333333333 0.5 0.0 0.027778
0.8333333333333333 0.6666666666666666 0.0 0.027778
0.8333333333333333 0.8333333333333333 0.0 0.027778

CELL_PARAMETERS angstrom
3.557693527776 0.0 2e-16
-0.6371717009077413 3.5001707840458764 2e-16

```

0.0 0.0 22.8041829791

```

---                               epw1.in ---
&inputepw
prefix = 'hEN'
amass(1) = 118.711
amass(2) = 15.999
outdir = './'
elph = .false.
epbwrite = .false.
epbwrite = .false.
epwwrite = .true.
epwread = .false.
etf_mem = 1
nbndsub = 14
use_ws = .true.
wannierize = .true.
num_iter = 1000
iprint = 2
dis_win_max = 21.460083531564578
dis_froz_max = -0.15247334621931774
fsthick = 1.2
temps = 1
degaussw = 0.005
dvscf_dir = './save'
nk1 = 6
nk2 = 6
nk3 = 1
nq1 = 1
nq2 = 1
nq3 = 1
system_2d = 'dipole_sp'
lpolar = .true.
dis_win_min = -24.36001727994329
wdata(1) = 'guiding_centres = T'
wdata(2) = 'dis_num_iter = 1500'
wdata(3) = 'bands_num_points = 100 '
wdata(4) = 'bands_plot = .true.'
wdata(5) = 'begin kpoint_path'
wdata(6) = 'G 0.0 0.0 0.0 M 0.5 0.0 0.0'
wdata(7) = 'M 0.5 0.0 0.0 K 0.3333333333 0.3333333333 0.0'
wdata(8) = 'K 0.3333333333 0.3333333333 0.0 X 1.0 1.0 0.0'
wdata(9) = 'X 1.0 1.0 0.0 M1 0.0 0.5 0.0'
wdata(10) = 'M1 0.0 0.5 0.0 G 0.0 0.0 0.0'
wdata(11) = 'end kpoint_path'
bands_skipped = 'exclude_bands = 1-13'
proj(1) = 'Sn: l= 3, mr= 1,2,7'
proj(2) = 'O: l= -3, mr= 1,2,3,4'
dis_froz_min = -7.61016604655952
/

```

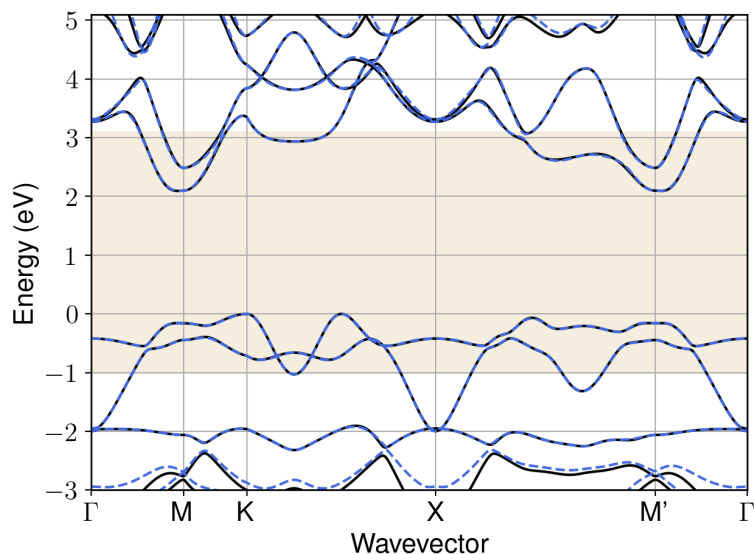


Figure S147: Bandstructure interpolation for monolayer  $\text{Sn}_2\text{O}_2$ . Wannier-interpolation of the band structure of monolayer  $\text{Sn}_2\text{O}_2$  over a wide energy range. Blue dashed lines are results from the present method, black solid lines are explicit DFT calculations. The yellow shaded region shows the range over which optimization has been performed. The interpolation error within the yellow region is 9 meV. The k-grid employed for NSCF calculation is  $6 \times 6$ .

## 136 Material: $\text{Sn}_2\text{O}_2$

The calculation files are appended below. These files should be executed in the order provided. The location of pseudo potentials should be changed accordingly.

```

---          scf.in ---
&CONTROL
calculation = 'scf'
verbosity = 'high'
restart_mode = 'from_scratch'
outdir = './'
pseudo_dir = '/scratch1/05193/sabyadk/2D_materials_Wann/Materials/Sn202-cc03c437/pseudo/'
prefix = 'hBN'
/
&SYSTEM
ibrav = 0
nat = 4
ntyp = 2
ecutwfc = 60
ecutrho = 240
assume_isolated = 2D
/
&ELECTRONS
conv_thr = 1E-12
diagonalization = 'david'
electron_maxstep = 200
/
ATOMIC_SPECIES
Sn 118.711 Sn_r.upf
O 15.999 O_r.upf
ATOMIC_POSITIONS crystal
Sn 0.5 0.0 0.052749351912
Sn 0.0 0.5 0.947250648088
O 0.0 0.0 0.0
O 0.5 0.5 0.0

```

```

K_POINTS automatic
6 6 1 0 0 0

CELL_PARAMETERS angstrom
3.8519982476 0.0 2e-16
-2e-16 3.8519982476 2e-16
0.0 0.0 22.3347663658

```

```

---                nscf.in ---
&CONTROL
calculation = bands
verbosity = 'high'
restart_mode = 'from_scratch'
outdir = './'
pseudo_dir = '/scratch1/05193/sabyadk/2D_materials_Wann/Materials/Sn202-cc03c437/pseudo/'
prefix = 'hBN'
/
&SYSTEM
ibrav = 0
nat = 4
ntyp = 2
ecutwfc = 60
ecutrho = 240
assume_isolated = 2D
nbnd = 60
/
&ELECTRONS
conv_thr = 1E-10
diagonalization = 'david'
electron_maxstep = 200
/
ATOMIC_SPECIES
Sn 118.711 Sn_r.upf
O 15.999 O_r.upf
ATOMIC_POSITIONS crystal
Sn 0.5 0.0 0.052749351912
Sn 0.0 0.5 0.947250648088
O 0.0 0.0 0.0
O 0.5 0.5 0.0

K_POINTS crystal
36
0.0 0.0 0.0 0.027778
0.0 0.16666666666666666 0.0 0.027778
0.0 0.3333333333333333 0.0 0.027778
0.0 0.5 0.0 0.027778
0.0 0.6666666666666666 0.0 0.027778
0.0 0.8333333333333333 0.0 0.027778
0.16666666666666666 0.0 0.0 0.027778
0.16666666666666666 0.16666666666666666 0.0 0.027778
0.16666666666666666 0.3333333333333333 0.0 0.027778
0.16666666666666666 0.5 0.0 0.027778
0.16666666666666666 0.6666666666666666 0.0 0.027778
0.16666666666666666 0.8333333333333333 0.0 0.027778
0.3333333333333333 0.0 0.0 0.027778
0.3333333333333333 0.16666666666666666 0.0 0.027778
0.3333333333333333 0.3333333333333333 0.0 0.027778
0.3333333333333333 0.5 0.0 0.027778
0.3333333333333333 0.6666666666666666 0.0 0.027778
0.3333333333333333 0.8333333333333333 0.0 0.027778
0.5 0.0 0.0 0.027778
0.5 0.16666666666666666 0.0 0.027778
0.5 0.3333333333333333 0.0 0.027778
0.5 0.5 0.0 0.027778
0.5 0.6666666666666666 0.0 0.027778
0.5 0.8333333333333333 0.0 0.027778
0.6666666666666666 0.0 0.0 0.027778
0.6666666666666666 0.16666666666666666 0.0 0.027778
0.6666666666666666 0.3333333333333333 0.0 0.027778
0.6666666666666666 0.5 0.0 0.027778
0.6666666666666666 0.6666666666666666 0.0 0.027778
0.6666666666666666 0.8333333333333333 0.0 0.027778
0.8333333333333333 0.0 0.0 0.027778
0.8333333333333333 0.16666666666666666 0.0 0.027778
0.8333333333333333 0.3333333333333333 0.0 0.027778
0.8333333333333333 0.5 0.0 0.027778
0.8333333333333333 0.6666666666666666 0.0 0.027778
0.8333333333333333 0.8333333333333333 0.0 0.027778

CELL_PARAMETERS angstrom
3.8519982476 0.0 2e-16
-2e-16 3.8519982476 2e-16

```

0.0 0.0 22.3347663658

```

---                               epw1.in ---
&inputepw
prefix = 'hEN'
amass(1) = 118.711
amass(2) = 15.999
outdir = './'
elph = .false.
epbwrite = .false.
epbwrite = .false.
epwwrite = .true.
epwread = .false.
etf_mem = 1
nbndsub = 16
use_ws = .true.
wannierize = .true.
num_iter = 1000
iprint = 2
dis_win_max = 13.410399037962211
dis_froz_max = 0.025313233028255944
fsthick = 1.2
temps = 1
degaussw = 0.005
dvscf_dir = './save'
nk1 = 6
nk2 = 6
nk3 = 1
nq1 = 1
nq2 = 1
nq3 = 1
system_2d = 'dipole_sp'
lpolar = .true.
dis_win_min = -19.726063676343415
wdata(1) = 'guiding_centres = T'
wdata(2) = 'dis_num_iter = 1500'
wdata(3) = 'bands_num_points = 100 '
wdata(4) = 'bands_plot = .true.'
wdata(5) = 'begin kpoint_path'
wdata(6) = 'G 0.0 0.0 0.0 M 0.5 0.0 0.0'
wdata(7) = 'M 0.5 0.0 0.0 K 0.3333333333 0.3333333333 0.0'
wdata(8) = 'K 0.3333333333 0.3333333333 0.0 X 1.0 1.0 0.0'
wdata(9) = 'X 1.0 1.0 0.0 M1 0.0 0.5 0.0'
wdata(10) = 'M1 0.0 0.5 0.0 G 0.0 0.0 0.0'
wdata(11) = 'end kpoint_path'
bands_skipped = 'exclude_bands = 1-13'
proj(1) = 'Sn: l= 3, mr= 3,7'
proj(2) = 'O: l= 3, mr= 1,2,3,4,5,6'
dis_froz_min = -11.18519965354708
/

```

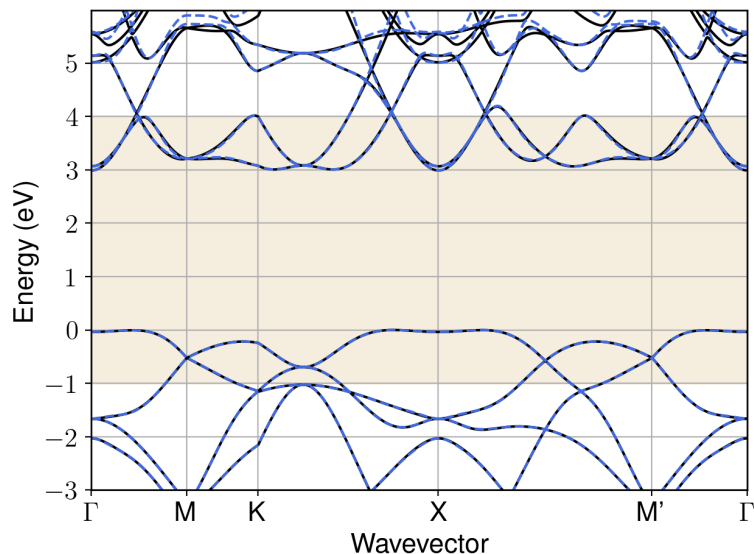


Figure S148: Bandstructure interpolation for monolayer  $\text{Sn}_2\text{O}_2$ . Wannier-interpolation of the band structure of monolayer  $\text{Sn}_2\text{O}_2$  over a wide energy range. Blue dashed lines are results from the present method, black solid lines are explicit DFT calculations. The yellow shaded region shows the range over which optimization has been performed. The interpolation error within the yellow region is 10 meV. The k-grid employed for NSCF calculation is  $6 \times 6$ .

### 137 Material: $\text{SnF}_4$

The calculation files are appended below. These files should be executed in the order provided. The location of pseudo potentials should be changed accordingly.

```

---          scf.in ---
&CONTROL
calculation = 'scf'
verbosity = 'high'
restart_mode = 'from_scratch'
outdir = './'
pseudo_dir = '/scratch1/05193/sabyadk/2D_materials_Wann/Materials/SnF4-b738b603/pseudo/'
prefix = 'hBN'
/
&SYSTEM
ibrav = 0
nat = 5
ntyp = 2
ecutwfc = 60
ecutrho = 240
assume_isolated = 2D
/
&ELECTRONS
conv_thr = 1E-12
diagonalization = 'david'
electron_maxstep = 200
/
ATOMIC_SPECIES
Sn 118.711 Sn_r.upf
F 18.998 F_r.upf
ATOMIC_POSITIONS crystal
Sn 0.499999999976 0.499999999976 0.0
F 0.499999999976 0.499999999976 0.079332700669
F 0.499999999976 0.499999999976 0.920667299331
F 0.499999999976 0.0 0.0

```

```

F 0.0 0.499999999976 0.0

K_POINTS automatic
6 6 1 0 0 0

CELL_PARAMETERS angstrom
4.175930911373 0.0 3e-16
-3e-16 4.175930911373 3e-16
0.0 0.0 23.8456466502

```

```

---                nscf.in ---
&CONTROL
calculation = bands
verbosity = 'high'
restart_mode = 'from_scratch'
outdir = './'
pseudo_dir = '/scratch1/05193/sabyadk/2D_materials_Wann/Materials/SnF4-b738b603/pseudo/'
prefix = 'hBN'
/
&SYSTEM
ibrav = 0
nat = 5
ntyp = 2
ecutwfc = 60
ecutrho = 240
assume_isolated = 2D
nbnd = 60
/
&ELECTRONS
conv_thr = 1E-10
diagonalization = 'david'
electron_maxstep = 200
/
ATOMIC_SPECIES
Sn 118.711 Sn_r.upf
F 18.998 F_r.upf
ATOMIC_POSITIONS crystal
Sn 0.499999999976 0.499999999976 0.0
F 0.499999999976 0.499999999976 0.079332700669
F 0.499999999976 0.499999999976 0.920667299331
F 0.499999999976 0.0 0.0
F 0.0 0.499999999976 0.0

K_POINTS crystal
36
0.0 0.0 0.0 0.027778
0.0 0.1666666666666666 0.0 0.027778
0.0 0.3333333333333333 0.0 0.027778
0.0 0.5 0.0 0.027778
0.0 0.6666666666666666 0.0 0.027778
0.0 0.8333333333333333 0.0 0.027778
0.1666666666666666 0.0 0.0 0.027778
0.1666666666666666 0.1666666666666666 0.0 0.027778
0.1666666666666666 0.3333333333333333 0.0 0.027778
0.1666666666666666 0.5 0.0 0.027778
0.1666666666666666 0.6666666666666666 0.0 0.027778
0.1666666666666666 0.8333333333333333 0.0 0.027778
0.3333333333333333 0.0 0.0 0.027778
0.3333333333333333 0.1666666666666666 0.0 0.027778
0.3333333333333333 0.3333333333333333 0.0 0.027778
0.3333333333333333 0.5 0.0 0.027778
0.3333333333333333 0.6666666666666666 0.0 0.027778
0.3333333333333333 0.8333333333333333 0.0 0.027778
0.5 0.0 0.0 0.027778
0.5 0.1666666666666666 0.0 0.027778
0.5 0.3333333333333333 0.0 0.027778
0.5 0.5 0.0 0.027778
0.5 0.6666666666666666 0.0 0.027778
0.5 0.8333333333333333 0.0 0.027778
0.6666666666666666 0.0 0.0 0.027778
0.6666666666666666 0.1666666666666666 0.0 0.027778
0.6666666666666666 0.3333333333333333 0.0 0.027778
0.6666666666666666 0.5 0.0 0.027778
0.6666666666666666 0.6666666666666666 0.0 0.027778
0.6666666666666666 0.8333333333333333 0.0 0.027778
0.8333333333333333 0.0 0.0 0.027778
0.8333333333333333 0.1666666666666666 0.0 0.027778
0.8333333333333333 0.3333333333333333 0.0 0.027778
0.8333333333333333 0.5 0.0 0.027778
0.8333333333333333 0.6666666666666666 0.0 0.027778
0.8333333333333333 0.8333333333333333 0.0 0.027778

CELL_PARAMETERS angstrom

```



```

4.175930911373 0.0 3e-16
-3e-16 4.175930911373 3e-16
0.0 0.0 23.8456466502

```

```

---                epw1.in ---
&inputepw
prefix = 'hBN'
amass(1) = 118.711
amass(2) = 18.998
outdir = './'
elph = .false.
epbwrite = .false.
epbread = .false.
epwwrite = .true.
epwread = .false.
etf_mem = 1
nbndsub = 16
use_ws = .true.
wannierize = .true.
num_iter = 1000
iprint = 2
dis_win_max = 9.800611547305717
dis_froz_max = -1.9804894558138466
fsthick = 1.2
temps = 1
degaussw = 0.005
dvscf_dir = './save'
nk1 = 6
nk2 = 6
nk3 = 1
nq1 = 1
nq2 = 1
nq3 = 1
system_2d = 'dipole_sp'
lpolar = .true.
dis_win_min = -24.431591353684066
wdata(1) = 'guiding_centres = T'
wdata(2) = 'dis_num_iter = 1500'
wdata(3) = 'bands_num_points = 100 '
wdata(4) = 'bands_plot = .true.'
wdata(5) = 'begin kpoint_path'
wdata(6) = 'G 0.0 0.0 0.0 M 0.5 0.0 0.0'
wdata(7) = 'M 0.5 0.0 0.0 K 0.3333333333 0.3333333333 0.0'
wdata(8) = 'K 0.3333333333 0.3333333333 0.0 X 1.0 1.0 0.0'
wdata(9) = 'X 1.0 1.0 0.0 M1 0.0 0.5 0.0'
wdata(10) = 'M1 0.0 0.5 0.0 G 0.0 0.0 0.0'
wdata(11) = 'end kpoint_path'
bands_skipped = 'exclude_bands = 1-9'
proj(1) = 'Sn: l= -5, mr= 2,3,4,6'
proj(2) = 'F: l= 3, mr= 2,3,7'
dis_froz_min = -15.700163464239841
/

```

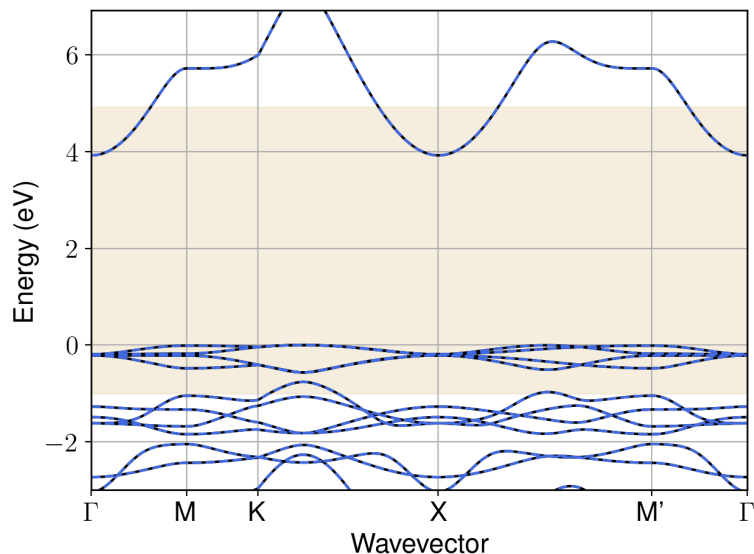


Figure S149: Bandstructure interpolation for monolayer  $\text{SnF}_4$ . Wannier-interpolation of the band structure of monolayer  $\text{SnF}_4$  over a wide energy range. Blue dashed lines are results from the present method, black solid lines are explicit DFT calculations. The yellow shaded region shows the range over which optimization has been performed. The interpolation error within the yellow region is 0 meV. The k-grid employed for NSCF calculation is  $6 \times 6$ .

## 138 Material: $\text{SnS}_2$

The calculation files are appended below. These files should be executed in the order provided. The location of pseudo potentials should be changed accordingly.

```

---          scf.in ---
&CONTROL
calculation = 'scf'
verbosity = 'high'
restart_mode = 'from_scratch'
outdir = './'
pseudo_dir = '/scratch1/05193/sabyadk/2D_materials_Wann/Materials/SnS2-15c1c8d7/pseudo/'
prefix = 'hBN'
/
&SYSTEM
ibrav = 0
nat = 3
ntyp = 2
ecutwfc = 60
ecutrho = 240
assume_isolated = 2D
/
&ELECTRONS
conv_thr = 1E-12
diagonalization = 'david'
electron_maxstep = 200
/
ATOMIC_SPECIES
Sn 118.711 Sn_r.upf
S 32.066 S_r.upf
ATOMIC_POSITIONS crystal
Sn 0.0 0.0 0.999999999999
S 0.3333333333333333 0.6666666666666666 0.934653914185
S 0.6666666666666666 0.3333333333333333 0.065346085816

```

```

K_POINTS automatic
6 6 1 0 0 0

CELL_PARAMETERS angstrom
3.6735242703 0.0 2e-16
-1.836762135099855 3.181365339499731 2e-16
0.0 0.0 22.9654742181

```

```

--- nscf.in ---
&CONTROL
calculation = bands
verbosity = 'high'
restart_mode = 'from_scratch'
outdir = './'
pseudo_dir = '/scratch1/05193/sabyadk/2D_materials_Wann/Materials/SnS2-15c1c8d7/pseudo/'
prefix = 'hBN'
/
&SYSTEM
ibrav = 0
nat = 3
ntyp = 2
ecutwfc = 60
ecutrho = 240
assume_isolated = 2D
nbnd = 60
/
&ELECTRONS
conv_thr = 1E-10
diagonalization = 'david'
electron_maxstep = 200
/
ATOMIC_SPECIES
Sn 118.711 Sn_r.upf
S 32.066 S_r.upf
ATOMIC_POSITIONS crystal
Sn 0.0 0.0 0.999999999999
S 0.3333333333333333 0.6666666666666666 0.934653914185
S 0.6666666666666666 0.3333333333333333 0.065346085816

K_POINTS crystal
36
0.0 0.0 0.0 0.027778
0.0 0.1666666666666666 0.0 0.027778
0.0 0.3333333333333333 0.0 0.027778
0.0 0.5 0.0 0.027778
0.0 0.6666666666666666 0.0 0.027778
0.0 0.8333333333333333 0.0 0.027778
0.1666666666666666 0.0 0.0 0.027778
0.1666666666666666 0.1666666666666666 0.0 0.027778
0.1666666666666666 0.3333333333333333 0.0 0.027778
0.1666666666666666 0.5 0.0 0.027778
0.1666666666666666 0.6666666666666666 0.0 0.027778
0.1666666666666666 0.8333333333333333 0.0 0.027778
0.3333333333333333 0.0 0.0 0.027778
0.3333333333333333 0.1666666666666666 0.0 0.027778
0.3333333333333333 0.3333333333333333 0.0 0.027778
0.3333333333333333 0.5 0.0 0.027778
0.3333333333333333 0.6666666666666666 0.0 0.027778
0.3333333333333333 0.8333333333333333 0.0 0.027778
0.5 0.0 0.0 0.027778
0.5 0.1666666666666666 0.0 0.027778
0.5 0.3333333333333333 0.0 0.027778
0.5 0.5 0.0 0.027778
0.5 0.6666666666666666 0.0 0.027778
0.5 0.8333333333333333 0.0 0.027778
0.6666666666666666 0.0 0.0 0.027778
0.6666666666666666 0.1666666666666666 0.0 0.027778
0.6666666666666666 0.3333333333333333 0.0 0.027778
0.6666666666666666 0.5 0.0 0.027778
0.6666666666666666 0.6666666666666666 0.0 0.027778
0.6666666666666666 0.8333333333333333 0.0 0.027778
0.8333333333333333 0.0 0.0 0.027778
0.8333333333333333 0.1666666666666666 0.0 0.027778
0.8333333333333333 0.3333333333333333 0.0 0.027778
0.8333333333333333 0.5 0.0 0.027778
0.8333333333333333 0.6666666666666666 0.0 0.027778
0.8333333333333333 0.8333333333333333 0.0 0.027778

CELL_PARAMETERS angstrom
3.6735242703 0.0 2e-16
-1.836762135099855 3.181365339499731 2e-16
0.0 0.0 22.9654742181

```

```

---                epw1.in ---
&inputepw
prefix = 'hBN'
amass(1) = 118.711
amass(2) = 32.066
outdir = './'
elph = .false.
epbwrite = .false.
epbread = .false.
epwwrite = .true.
epwread = .false.
etf_mem = 1
nbndsub = 13
use_ws = .true.
wannierize = .true.
num_iter = 1000
iprint = 2
dis_win_max = 8.649142846031465
dis_froz_max = -1.143348827910092
fsthick = 1.2
temps = 1
degaussw = 0.005
dvscf_dir = './save'
nk1 = 6
nk2 = 6
nk3 = 1
nq1 = 1
nq2 = 1
nq3 = 1
system_2d = 'dipole_sp'
lpolar = .true.
dis_win_min = -22.36689231047024
wdata(1) = 'guiding_centres = T'
wdata(2) = 'dis_num_iter = 1500'
wdata(3) = 'bands_num_points = 100 '
wdata(4) = 'bands_plot = .true.'
wdata(5) = 'begin kpoint_path'
wdata(6) = 'G 0.0 0.0 0.0 M 0.5 0.0 0.0'
wdata(7) = 'M 0.5 0.0 0.0 K 0.3333333333 0.3333333333 0.0'
wdata(8) = 'K 0.3333333333 0.3333333333 0.0 X 1.0 1.0 0.0'
wdata(9) = 'X 1.0 1.0 0.0 M1 0.0 0.5 0.0'
wdata(10) = 'M1 0.0 0.5 0.0 G 0.0 0.0 0.0'
wdata(11) = 'end kpoint_path'
bands_skipped = 'exclude_bands = 1-7'
proj(1) = 'Sn: l= 3, mr= 1,4,5'
proj(2) = 'S: l= 2, mr= 1,2,3,4,5'
dis_froz_min = -14.200892089026322
/

```

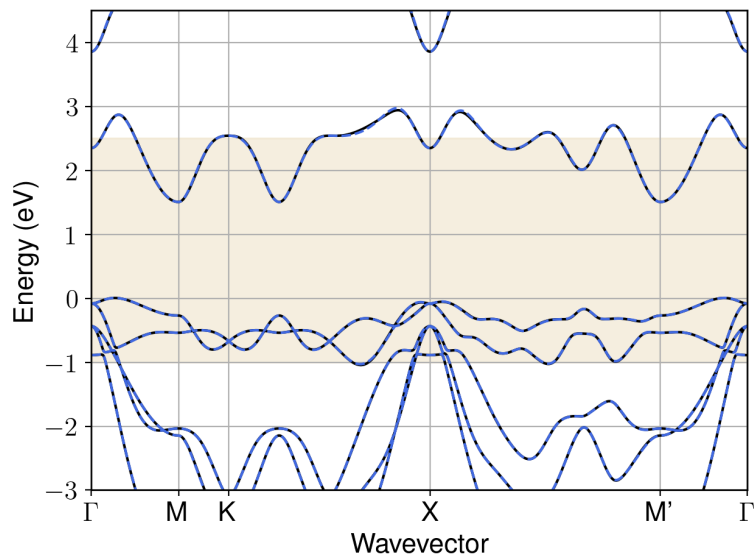


Figure S150: Bandstructure interpolation for monolayer  $\text{SnS}_2$ . Wannier-interpolation of the band structure of monolayer  $\text{SnS}_2$  over a wide energy range. Blue dashed lines are results from the present method, black solid lines are explicit DFT calculations. The yellow shaded region shows the range over which optimization has been performed. The interpolation error within the yellow region is 4 meV. The k-grid employed for NSCF calculation is  $6 \times 6$ .

### 139 Material: $\text{SnSe}_2$

The calculation files are appended below. These files should be executed in the order provided. The location of pseudo potentials should be changed accordingly.

```

---          scf.in ---
&CONTROL
calculation = 'scf'
verbosity = 'high'
restart_mode = 'from_scratch'
outdir = './'
pseudo_dir = '/scratch1/05193/sabyadk/2D_materials_Wann/Materials/SnSe2-8aad97b9/pseudo/'
prefix = 'hBN'
/
&SYSTEM
ibrav = 0
nat = 3
ntyp = 2
ecutwfc = 60
ecutrho = 240
assume_isolated = 2D
/
&ELECTRONS
conv_thr = 1E-12
diagonalization = 'david'
electron_maxstep = 200
/
ATOMIC_SPECIES
Sn 118.711 Sn_r.upf
Se 78.971 Se_r.upf
ATOMIC_POSITIONS crystal
Sn 0.0 0.0 0.99999999999
Se 0.6666666666666666 0.3333333333333333 0.930808041467
Se 0.3333333333333333 0.6666666666666666 0.069191958534

```

```

K_POINTS automatic
6 6 1 0 0 0

CELL_PARAMETERS angstrom
3.8549728042 0.0 2e-16
-1.9274864020999742 3.338504379400013 2e-16
0.0 0.0 23.2095437301

```

```

---                nscf.in ---
&CONTROL
calculation = bands
verbosity = 'high'
restart_mode = 'from_scratch'
outdir = './'
pseudo_dir = '/scratch1/05193/sabyadk/2D_materials_Wann/Materials/SnSe2-8aad97b9/pseudo/'
prefix = 'hBN'
/
&SYSTEM
ibrav = 0
nat = 3
ntyp = 2
ecutwfc = 60
ecutrho = 240
assume_isolated = 2D
nbnd = 60
/
&ELECTRONS
conv_thr = 1E-10
diagonalization = 'david'
electron_maxstep = 200
/
ATOMIC_SPECIES
Sn 118.711 Sn_r.upf
Se 78.971 Se_r.upf
ATOMIC_POSITIONS crystal
Sn 0.0 0.0 0.999999999999
Se 0.6666666666666666 0.3333333333333333 0.930808041467
Se 0.3333333333333333 0.6666666666666666 0.069191958534

K_POINTS crystal
36
0.0 0.0 0.0 0.027778
0.0 0.1666666666666666 0.0 0.027778
0.0 0.3333333333333333 0.0 0.027778
0.0 0.5 0.0 0.027778
0.0 0.6666666666666666 0.0 0.027778
0.0 0.8333333333333333 0.0 0.027778
0.1666666666666666 0.0 0.0 0.027778
0.1666666666666666 0.1666666666666666 0.0 0.027778
0.1666666666666666 0.3333333333333333 0.0 0.027778
0.1666666666666666 0.5 0.0 0.027778
0.1666666666666666 0.6666666666666666 0.0 0.027778
0.1666666666666666 0.8333333333333333 0.0 0.027778
0.3333333333333333 0.0 0.0 0.027778
0.3333333333333333 0.1666666666666666 0.0 0.027778
0.3333333333333333 0.3333333333333333 0.0 0.027778
0.3333333333333333 0.5 0.0 0.027778
0.3333333333333333 0.6666666666666666 0.0 0.027778
0.3333333333333333 0.8333333333333333 0.0 0.027778
0.5 0.0 0.0 0.027778
0.5 0.1666666666666666 0.0 0.027778
0.5 0.3333333333333333 0.0 0.027778
0.5 0.5 0.0 0.027778
0.5 0.6666666666666666 0.0 0.027778
0.5 0.8333333333333333 0.0 0.027778
0.6666666666666666 0.0 0.0 0.027778
0.6666666666666666 0.1666666666666666 0.0 0.027778
0.6666666666666666 0.3333333333333333 0.0 0.027778
0.6666666666666666 0.5 0.0 0.027778
0.6666666666666666 0.6666666666666666 0.0 0.027778
0.6666666666666666 0.8333333333333333 0.0 0.027778
0.8333333333333333 0.0 0.0 0.027778
0.8333333333333333 0.1666666666666666 0.0 0.027778
0.8333333333333333 0.3333333333333333 0.0 0.027778
0.8333333333333333 0.5 0.0 0.027778
0.8333333333333333 0.6666666666666666 0.0 0.027778
0.8333333333333333 0.8333333333333333 0.0 0.027778

CELL_PARAMETERS angstrom
3.8549728042 0.0 2e-16
-1.9274864020999742 3.338504379400013 2e-16
0.0 0.0 23.2095437301

```

```

---                epw1.in ---
&inputepw
prefix = 'hBN'
amass(1) = 118.711
amass(2) = 78.971
outdir = './'
elph = .false.
epbwrite = .false.
epbread = .false.
epwwrite = .true.
epwread = .false.
etf_mem = 1
nbndsub = 12
use_ws = .true.
wannierize = .true.
num_iter = 1000
iprint = 2
dis_win_max = 8.78851002044591
dis_froz_max = -0.19159543384778543
fsthick = 1.2
temps = 1
degaussw = 0.005
dvscf_dir = './save'
nk1 = 6
nk2 = 6
nk3 = 1
nq1 = 1
nq2 = 1
nq3 = 1
system_2d = 'dipole_sp'
lpolar = .true.
dis_win_min = -20.952303327504442
wdata(1) = 'guiding_centres = T'
wdata(2) = 'dis_num_iter = 1500'
wdata(3) = 'bands_num_points = 100 '
wdata(4) = 'bands_plot = .true.'
wdata(5) = 'begin kpoint_path'
wdata(6) = 'G 0.0 0.0 0.0 M 0.5 0.0 0.0'
wdata(7) = 'M 0.5 0.0 0.0 K 0.3333333333 0.3333333333 0.0'
wdata(8) = 'K 0.3333333333 0.3333333333 0.0 X 1.0 1.0 0.0'
wdata(9) = 'X 1.0 1.0 0.0 M1 0.0 0.5 0.0'
wdata(10) = 'M1 0.0 0.5 0.0 G 0.0 0.0 0.0'
wdata(11) = 'end kpoint_path'
bands_skipped = 'exclude_bands = 1-18'
proj(1) = 'Sn: l= -3, mr= 1,3'
proj(2) = 'Se: l= 3, mr= 1,2,3,6,7'
dis_froz_min = -13.812215406345898
/

```

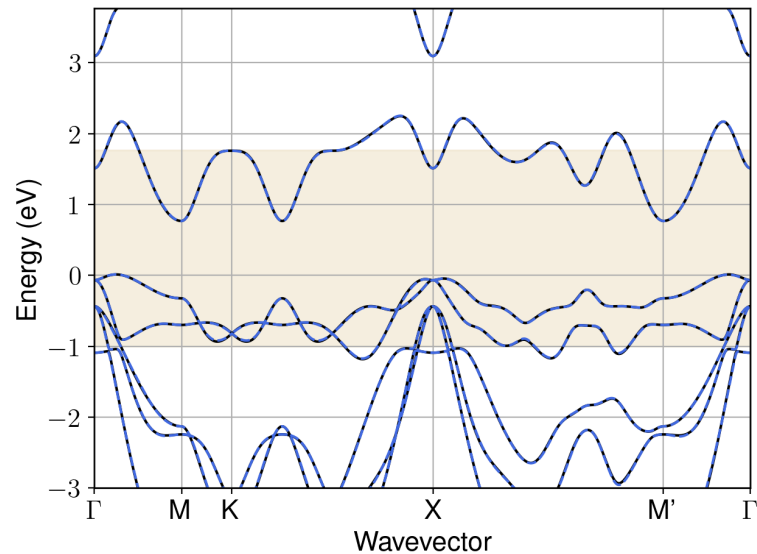


Figure S151: Bandstructure interpolation for monolayer  $\text{SnSe}_2$ . Wannier-interpolation of the band structure of monolayer  $\text{SnSe}_2$  over a wide energy range. Blue dashed lines are results from the present method, black solid lines are explicit DFT calculations. The yellow shaded region shows the range over which optimization has been performed. The interpolation error within the yellow region is 5 meV. The k-grid employed for NSCF calculation is  $6 \times 6$ .

## 140 Material: $\text{Sr}_2\text{Br}_2\text{F}_2$

The calculation files are appended below. These files should be executed in the order provided. The location of pseudo potentials should be changed accordingly.

```

---          scf.in ---
&CONTROL
calculation = 'scf'
verbosity = 'high'
restart_mode = 'from_scratch'
outdir = './'
pseudo_dir = '/scratch1/05193/sabyadk/2D_materials_Wann/Materials/Sr2Br2F2-2c2c4d86/pseudo/'
prefix = 'hBN'
/
&SYSTEM
ibrav = 0
nat = 6
ntyp = 3
ecutwfc = 60
ecutrho = 240
assume_isolated = 2D
/
&ELECTRONS
conv_thr = 1E-12
diagonalization = 'david'
electron_maxstep = 200
/
ATOMIC_SPECIES
Sr 87.62 Sr_r.upf
Br 79.904 Br_r.upf
F 18.998 F_r.upf
ATOMIC_POSITIONS crystal
Sr 0.5 0.0 0.056741857937
Sr 0.0 0.5 0.943258142063
Br 0.0 0.5 0.112824397426

```



```

Br 0.5 0.0 0.887175602574
F 0.0 0.0 0.0
F 0.5 0.5 0.0

K_POINTS automatic
6 6 1 0 0 0

CELL_PARAMETERS angstrom
4.1094097458 0.0 3e-16
-3e-16 4.1094097458 3e-16
0.0 0.0 25.2078167054

```

```

---                nscf.in ---
&CONTROL
calculation = bands
verbosity = 'high'
restart_mode = 'from_scratch'
outdir = './'
pseudo_dir = '/scratch1/05193/sabyadk/2D_materials_Wann/Materials/Sr2Br2F2-2c2c4d86/pseudo/'
prefix = 'hBN'
/
&SYSTEM
ibrav = 0
nat = 6
ntyp = 3
ecutwfc = 60
ecutrho = 240
assume_isolated = 2D
nband = 60
/
&ELECTRONS
conv_thr = 1E-10
diagonalization = 'david'
electron_maxstep = 200
/
ATOMIC_SPECIES
Sr 87.62 Sr_r.upf
Br 79.904 Br_r.upf
F 18.998 F_r.upf
ATOMIC_POSITIONS crystal
Sr 0.5 0.0 0.056741857937
Sr 0.0 0.5 0.943258142063
Br 0.0 0.5 0.112824397426
Br 0.5 0.0 0.887175602574
F 0.0 0.0 0.0
F 0.5 0.5 0.0

K_POINTS crystal
36
0.0 0.0 0.0 0.027778
0.0 0.16666666666666666 0.0 0.027778
0.0 0.33333333333333333 0.0 0.027778
0.0 0.5 0.0 0.027778
0.0 0.66666666666666666 0.0 0.027778
0.0 0.83333333333333333 0.0 0.027778
0.16666666666666666 0.0 0.0 0.027778
0.16666666666666666 0.16666666666666666 0.0 0.027778
0.16666666666666666 0.33333333333333333 0.0 0.027778
0.16666666666666666 0.5 0.0 0.027778
0.16666666666666666 0.66666666666666666 0.0 0.027778
0.16666666666666666 0.83333333333333333 0.0 0.027778
0.33333333333333333 0.0 0.0 0.027778
0.33333333333333333 0.16666666666666666 0.0 0.027778
0.33333333333333333 0.33333333333333333 0.0 0.027778
0.33333333333333333 0.5 0.0 0.027778
0.33333333333333333 0.66666666666666666 0.0 0.027778
0.33333333333333333 0.83333333333333333 0.0 0.027778
0.5 0.0 0.0 0.027778
0.5 0.16666666666666666 0.0 0.027778
0.5 0.33333333333333333 0.0 0.027778
0.5 0.5 0.0 0.027778
0.5 0.66666666666666666 0.0 0.027778
0.5 0.83333333333333333 0.0 0.027778
0.66666666666666666 0.0 0.0 0.027778
0.66666666666666666 0.16666666666666666 0.0 0.027778
0.66666666666666666 0.33333333333333333 0.0 0.027778
0.66666666666666666 0.5 0.0 0.027778
0.66666666666666666 0.66666666666666666 0.0 0.027778
0.66666666666666666 0.83333333333333333 0.0 0.027778
0.83333333333333333 0.0 0.0 0.027778
0.83333333333333333 0.16666666666666666 0.0 0.027778
0.83333333333333333 0.33333333333333333 0.0 0.027778
0.83333333333333333 0.5 0.0 0.027778

```

```
0.8333333333333333 0.6666666666666666 0.0 0.027778
0.8333333333333333 0.8333333333333333 0.0 0.027778
```

```
CELL_PARAMETERS angstrom
4.1094097458 0.0 3e-16
-3e-16 4.1094097458 3e-16
0.0 0.0 25.2078167054
```

```
---                epw1.in ---
&inputepw
prefix = 'hBN'
amass(1) = 87.62
amass(2) = 79.904
amass(3) = 18.998
outdir = './'
elph = .false.
epbwrite = .false.
epbread = .false.
epwwrite = .true.
epwread = .false.
etf_mem = 1
nbndsub = 20
use_ws = .true.
wannierize = .true.
num_iter = 1000
iprint = 2
dis_win_max = 10.541064660508319
dis_froz_max = -0.35651511544665304
fsthick = 1.2
temps = 1
degaussw = 0.005
dvscf_dir = './save'
nk1 = 6
nk2 = 6
nk3 = 1
nq1 = 1
nq2 = 1
nq3 = 1
system_2d = 'dipole_sp'
lpolar = .true.
dis_win_min = -29.44147071153401
wdata(1) = 'guiding_centres = T'
wdata(2) = 'dis_num_iter = 1500'
wdata(3) = 'bands_num_points = 100 '
wdata(4) = 'bands_plot = .true.'
wdata(5) = 'begin kpoint_path'
wdata(6) = 'G 0.0 0.0 0.0 M 0.5 0.0 0.0'
wdata(7) = 'M 0.5 0.0 0.0 K 0.3333333333 0.3333333333 0.0'
wdata(8) = 'K 0.3333333333 0.3333333333 0.0 X 1.0 1.0 0.0'
wdata(9) = 'X 1.0 1.0 0.0 M1 0.0 0.5 0.0'
wdata(10) = 'M1 0.0 0.5 0.0 G 0.0 0.0 0.0'
wdata(11) = 'end kpoint_path'
bands_skipped = 'exclude_bands = 1-12'
proj(1) = 'Sr: l= -4, mr= 2,5'
proj(2) = 'Br: l= 3, mr= 3,4,6,7'
proj(3) = 'F: l= -5, mr= 1,2,3,4'
dis_froz_min = -17.046681373085484
/
```

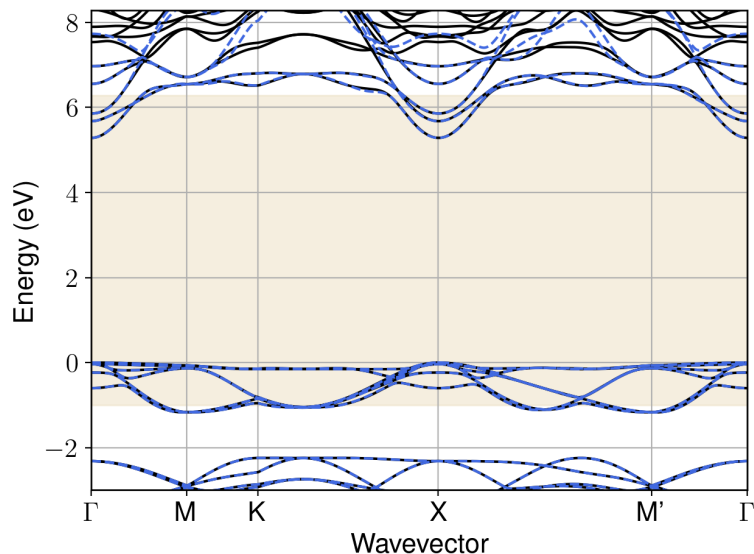


Figure S152: Bandstructure interpolation for monolayer  $\text{Sr}_2\text{Br}_2\text{F}_2$ . Wannier-interpolation of the band structure of monolayer  $\text{Sr}_2\text{Br}_2\text{F}_2$  over a wide energy range. Blue dashed lines are results from the present method, black solid lines are explicit DFT calculations. The yellow shaded region shows the range over which optimization has been performed. The interpolation error within the yellow region is 3 meV. The k-grid employed for NSCF calculation is  $6 \times 6$ .

## 141 Material: $\text{Sr}_2\text{H}_2\text{Br}_2$

The calculation files are appended below. These files should be executed in the order provided. The location of pseudo potentials should be changed accordingly.

```

---          scf.in ---
&CONTROL
calculation = 'scf'
verbosity = 'high'
restart_mode = 'from_scratch'
outdir = './'
pseudo_dir = '/scratch1/05193/sabyadk/2D_materials_Wann/Materials/Sr2H2Br2-c2d05d41/pseudo/'
prefix = 'hBN'
/
&SYSTEM
ibrav = 0
nat = 6
ntyp = 3
ecutwfc = 60
ecutrho = 240
assume_isolated = 2D
/
&ELECTRONS
conv_thr = 1E-12
diagonalization = 'david'
electron_maxstep = 200
/
ATOMIC_SPECIES
Sr 87.62 Sr_r.upf
H 1.008 H_r.upf
Br 79.904 Br_r.upf
ATOMIC_POSITIONS crystal
Sr 0.0 0.5 0.056168810767
Sr 0.5 0.0 0.94383118923
H 0.0 0.0 0.999999999999

```

```

H 0.5 0.5 0.999999999999
Br 0.5 0.0 0.110194843222
Br 0.0 0.5 0.889805156784

K_POINTS automatic
6 6 1 0 0 0

CELL_PARAMETERS angstrom
4.0955506522 0.0 3e-16
-3e-16 4.0955506522 3e-16
0.0 0.0 25.0283080372

```

```

---                nscf.in ---
&CONTROL
calculation = bands
verbosity = 'high'
restart_mode = 'from_scratch'
outdir = './'
pseudo_dir = '/scratch1/05193/sabyadk/2D_materials_Wann/Materials/Sr2H2Br2-c2d05d41/pseudo/'
prefix = 'hBN'
/
&SYSTEM
ibrav = 0
nat = 6
ntyp = 3
ecutwfc = 60
ecutrho = 240
assume_isolated = 2D
nbnd = 60
/
&ELECTRONS
conv_thr = 1E-10
diagonalization = 'david'
electron_maxstep = 200
/
ATOMIC_SPECIES
Sr 87.62 Sr_r.upf
H 1.008 H_r.upf
Br 79.904 Br_r.upf
ATOMIC_POSITIONS crystal
Sr 0.0 0.5 0.056168810767
Sr 0.5 0.0 0.94383118923
H 0.0 0.0 0.999999999999
H 0.5 0.5 0.999999999999
Br 0.5 0.0 0.110194843222
Br 0.0 0.5 0.889805156784

K_POINTS crystal
36
0.0 0.0 0.0 0.027778
0.0 0.1666666666666666 0.0 0.027778
0.0 0.3333333333333333 0.0 0.027778
0.0 0.5 0.0 0.027778
0.0 0.6666666666666666 0.0 0.027778
0.0 0.8333333333333333 0.0 0.027778
0.1666666666666666 0.0 0.0 0.027778
0.1666666666666666 0.1666666666666666 0.0 0.027778
0.1666666666666666 0.3333333333333333 0.0 0.027778
0.1666666666666666 0.5 0.0 0.027778
0.1666666666666666 0.6666666666666666 0.0 0.027778
0.1666666666666666 0.8333333333333333 0.0 0.027778
0.3333333333333333 0.0 0.0 0.027778
0.3333333333333333 0.1666666666666666 0.0 0.027778
0.3333333333333333 0.3333333333333333 0.0 0.027778
0.3333333333333333 0.5 0.0 0.027778
0.3333333333333333 0.6666666666666666 0.0 0.027778
0.3333333333333333 0.8333333333333333 0.0 0.027778
0.5 0.0 0.0 0.027778
0.5 0.1666666666666666 0.0 0.027778
0.5 0.3333333333333333 0.0 0.027778
0.5 0.5 0.0 0.027778
0.5 0.6666666666666666 0.0 0.027778
0.5 0.8333333333333333 0.0 0.027778
0.6666666666666666 0.0 0.0 0.027778
0.6666666666666666 0.1666666666666666 0.0 0.027778
0.6666666666666666 0.3333333333333333 0.0 0.027778
0.6666666666666666 0.5 0.0 0.027778
0.6666666666666666 0.6666666666666666 0.0 0.027778
0.6666666666666666 0.8333333333333333 0.0 0.027778
0.8333333333333333 0.0 0.0 0.027778
0.8333333333333333 0.1666666666666666 0.0 0.027778
0.8333333333333333 0.3333333333333333 0.0 0.027778
0.8333333333333333 0.5 0.0 0.027778

```

```

0.8333333333333333 0.6666666666666666 0.0 0.027778
0.8333333333333333 0.8333333333333333 0.0 0.027778

CELL_PARAMETERS angstrom
4.0955506522 0.0 3e-16
-3e-16 4.0955506522 3e-16
0.0 0.0 25.0283080372

```

```

---                epw1.in ---
&inputepw
prefix = 'hBN'
amass(1) = 87.62
amass(2) = 1.008
amass(3) = 79.904
outdir = './'
elph = .false.
epbwrite = .false.
epbread = .false.
epwwrite = .true.
epwread = .false.
etf_mem = 1
nbndsub = 18
use_ws = .true.
wannierize = .true.
num_iter = 1000
iprint = 2
dis_win_max = 11.484388662524726
dis_froz_max = 0.10507275364560886
fsthick = 1.2
temps = 1
degaussw = 0.005
dvscf_dir = './save'
nk1 = 6
nk2 = 6
nk3 = 1
nq1 = 1
nq2 = 1
nq3 = 1
system_2d = 'dipole_sp'
lpolar = .true.
dis_win_min = -22.40339207034594
wdata(1) = 'guiding_centres = T'
wdata(2) = 'dis_num_iter = 1500'
wdata(3) = 'bands_num_points = 100 '
wdata(4) = 'bands_plot = .true.'
wdata(5) = 'begin kpoint_path'
wdata(6) = 'G 0.0 0.0 0.0 M 0.5 0.0 0.0'
wdata(7) = 'M 0.5 0.0 0.0 K 0.3333333333 0.3333333333 0.0'
wdata(8) = 'K 0.3333333333 0.3333333333 0.0 X 1.0 1.0 0.0'
wdata(9) = 'X 1.0 1.0 0.0 M1 0.0 0.5 0.0'
wdata(10) = 'M1 0.0 0.5 0.0 G 0.0 0.0 0.0'
wdata(11) = 'end kpoint_path'
bands_skipped = 'exclude_bands = 1-10'
proj(1) = 'Sr: l= -5, mr= 2,3'
proj(2) = 'H: l= 3, mr= 1,2,4,6'
proj(3) = 'Br: l= -4, mr= 1,2,3'
dis_froz_min = -15.359163851183762
/

```

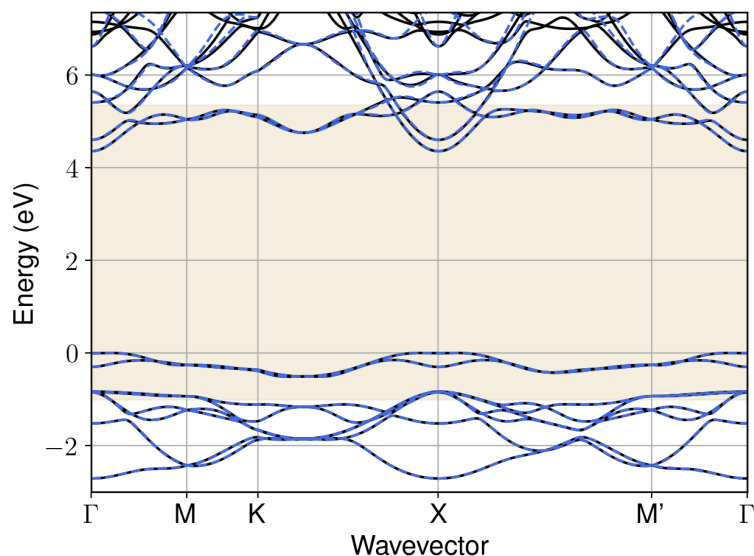


Figure S153: Bandstructure interpolation for monolayer  $\text{Sr}_2\text{H}_2\text{Br}_2$ . Wannier-interpolation of the band structure of monolayer  $\text{Sr}_2\text{H}_2\text{Br}_2$  over a wide energy range. Blue dashed lines are results from the present method, black solid lines are explicit DFT calculations. The yellow shaded region shows the range over which optimization has been performed. The interpolation error within the yellow region is 5 meV. The k-grid employed for NSCF calculation is  $6 \times 6$ .

## 142 Material: $\text{Sr}_2\text{H}_2\text{I}_2$

The calculation files are appended below. These files should be executed in the order provided. The location of pseudo potentials should be changed accordingly.

```

---          scf.in ---
&CONTROL
calculation = 'scf'
verbosity = 'high'
restart_mode = 'from_scratch'
outdir = './'
pseudo_dir = '/scratch1/05193/sabyadk/2D_materials_Wann/Materials/Sr2H2I2-e806521a/pseudo/'
prefix = 'hBN'
/
&SYSTEM
ibrav = 0
nat = 6
ntyp = 3
ecutwfc = 60
ecutrho = 240
assume_isolated = 2D
/
&ELECTRONS
conv_thr = 1E-12
diagonalization = 'david'
electron_maxstep = 200
/
ATOMIC_SPECIES
Sr 87.62 Sr_r.upf
H 1.008 H_r.upf
I 126.904 I_r.upf
ATOMIC_POSITIONS crystal
Sr 0.0 0.5 0.051137069969
Sr 0.5 0.0 0.948862930032
H 0.0 0.0 1e-12

```

```

H 0.5 0.5 1e-12
I 0.5 0.0 0.112137671927
I 0.0 0.5 0.887862328071

K_POINTS automatic
6 6 1 0 0 0

CELL_PARAMETERS angstrom
4.2921496716 0.0 3e-16
-3e-16 4.2921496716 3e-16
0.0 0.0 25.4594463213

```

```

---                nscf.in ---
&CONTROL
calculation = bands
verbosity = 'high'
restart_mode = 'from_scratch'
outdir = './'
pseudo_dir = '/scratch1/05193/sabyadk/2D_materials_Wann/Materials/Sr2H2I2-e806521a/pseudo/'
prefix = 'hBN'
/
&SYSTEM
ibrav = 0
nat = 6
ntyp = 3
ecutwfc = 60
ecutrho = 240
assume_isolated = 2D
nbnd = 60
/
&ELECTRONS
conv_thr = 1E-10
diagonalization = 'david'
electron_maxstep = 200
/
ATOMIC_SPECIES
Sr 87.62 Sr_r.upf
H 1.008 H_r.upf
I 126.904 I_r.upf
ATOMIC_POSITIONS crystal
Sr 0.0 0.5 0.051137069969
Sr 0.5 0.0 0.948862930032
H 0.0 0.0 1e-12
H 0.5 0.5 1e-12
I 0.5 0.0 0.112137671927
I 0.0 0.5 0.887862328071

K_POINTS crystal
36
0.0 0.0 0.0 0.027778
0.0 0.16666666666666666 0.0 0.027778
0.0 0.33333333333333333 0.0 0.027778
0.0 0.5 0.0 0.027778
0.0 0.66666666666666666 0.0 0.027778
0.0 0.83333333333333333 0.0 0.027778
0.16666666666666666 0.0 0.0 0.027778
0.16666666666666666 0.16666666666666666 0.0 0.027778
0.16666666666666666 0.33333333333333333 0.0 0.027778
0.16666666666666666 0.5 0.0 0.027778
0.16666666666666666 0.66666666666666666 0.0 0.027778
0.16666666666666666 0.83333333333333333 0.0 0.027778
0.33333333333333333 0.0 0.0 0.027778
0.33333333333333333 0.16666666666666666 0.0 0.027778
0.33333333333333333 0.33333333333333333 0.0 0.027778
0.33333333333333333 0.5 0.0 0.027778
0.33333333333333333 0.66666666666666666 0.0 0.027778
0.33333333333333333 0.83333333333333333 0.0 0.027778
0.5 0.0 0.0 0.027778
0.5 0.16666666666666666 0.0 0.027778
0.5 0.33333333333333333 0.0 0.027778
0.5 0.5 0.0 0.027778
0.5 0.66666666666666666 0.0 0.027778
0.5 0.83333333333333333 0.0 0.027778
0.66666666666666666 0.0 0.0 0.027778
0.66666666666666666 0.16666666666666666 0.0 0.027778
0.66666666666666666 0.33333333333333333 0.0 0.027778
0.66666666666666666 0.5 0.0 0.027778
0.66666666666666666 0.66666666666666666 0.0 0.027778
0.66666666666666666 0.83333333333333333 0.0 0.027778
0.83333333333333333 0.0 0.0 0.027778
0.83333333333333333 0.16666666666666666 0.0 0.027778
0.83333333333333333 0.33333333333333333 0.0 0.027778
0.83333333333333333 0.5 0.0 0.027778

```

```
0.8333333333333333 0.6666666666666666 0.0 0.027778
0.8333333333333333 0.8333333333333333 0.0 0.027778
```

```
CELL_PARAMETERS angstrom
4.2921496716 0.0 3e-16
-3e-16 4.2921496716 3e-16
0.0 0.0 25.4594463213
```

```
---                epw1.in ---
&inputepw
prefix = 'hBN'
amass(1) = 87.62
amass(2) = 1.008
amass(3) = 126.904
outdir = './'
elph = .false.
epbwrite = .false.
epbread = .false.
epwwrite = .true.
epwread = .false.
etf_mem = 1
nbndsub = 24
use_ws = .true.
wannierize = .true.
num_iter = 1000
iprint = 2
dis_win_max = 17.438792886810013
dis_froz_max = 0.2437437285406654
fsthick = 1.2
temps = 1
degaussw = 0.005
dvscf_dir = './save'
nk1 = 6
nk2 = 6
nk3 = 1
nq1 = 1
nq2 = 1
nq3 = 1
system_2d = 'dipole_sp'
lpolar = .true.
dis_win_min = -21.39889841968817
wdata(1) = 'guiding_centres = T'
wdata(2) = 'dis_num_iter = 1500'
wdata(3) = 'bands_num_points = 100 '
wdata(4) = 'bands_plot = .true.'
wdata(5) = 'begin kpoint_path'
wdata(6) = 'G 0.0 0.0 0.0 M 0.5 0.0 0.0'
wdata(7) = 'M 0.5 0.0 0.0 K 0.3333333333 0.3333333333 0.0'
wdata(8) = 'K 0.3333333333 0.3333333333 0.0 X 1.0 1.0 0.0'
wdata(9) = 'X 1.0 1.0 0.0 M1 0.0 0.5 0.0'
wdata(10) = 'M1 0.0 0.5 0.0 G 0.0 0.0 0.0'
wdata(11) = 'end kpoint_path'
bands_skipped = 'exclude_bands = 1-10'
proj(1) = 'Sr: l= -5, mr= 2,3,5,6'
proj(2) = 'H: l= 3, mr= 1,2,3,6,7'
proj(3) = 'I: l= 2, mr= 2,3,5'
dis_froz_min = -12.587814439586703
/
```



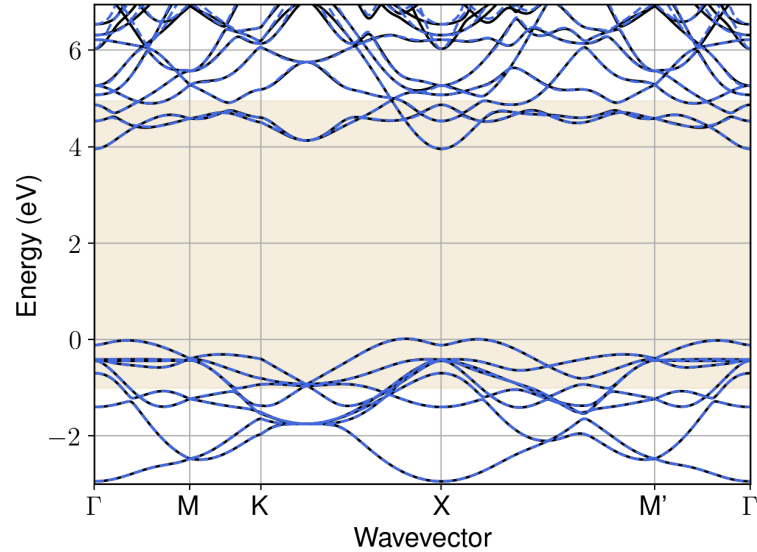


Figure S154: Bandstructure interpolation for monolayer  $\text{Sr}_2\text{H}_2\text{I}_2$ . Wannier-interpolation of the band structure of monolayer  $\text{Sr}_2\text{H}_2\text{I}_2$  over a wide energy range. Blue dashed lines are results from the present method, black solid lines are explicit DFT calculations. The yellow shaded region shows the range over which optimization has been performed. The interpolation error within the yellow region is 5 meV. The k-grid employed for NSCF calculation is  $6 \times 6$ .

### 143 Material: $\text{Sr}_2\text{I}_4$

The calculation files are appended below. These files should be executed in the order provided. The location of pseudo potentials should be changed accordingly.

```

---          scf.in ---
&CONTROL
calculation = 'scf'
verbosity = 'high'
restart_mode = 'from_scratch'
outdir = './'
pseudo_dir = '/scratch1/05193/sabyadk/2D_materials_Wann/Materials/Sr2I4-937bb010/pseudo/'
prefix = 'hBN'
/
&SYSTEM
ibrav = 0
nat = 6
ntyp = 2
ecutwfc = 60
ecutrho = 240
assume_isolated = 2D
/
&ELECTRONS
conv_thr = 1E-12
diagonalization = 'david'
electron_maxstep = 200
/
ATOMIC_SPECIES
Sr 87.62 Sr_r.upf
I 126.904 I_r.upf
ATOMIC_POSITIONS crystal
Sr 0.25 0.369888844734 0.968793768344
Sr 0.75 0.869895519838 0.031206148874
I 0.25 0.62173478274 0.079238979393
I 0.75 0.12173224031 0.92076027863

```

```

I 0.75 0.617913505692 0.92068311134
I 0.25 0.117916298553 0.07931771342

K_POINTS automatic
6 6 1 0 0 0

CELL_PARAMETERS angstrom
4.7464820888 0.0 3e-16
-5e-16 8.2198127756 5e-16
0.0 0.0 23.5173566099

```

```

---                nscf.in ---
&CONTROL
calculation = bands
verbosity = 'high'
restart_mode = 'from_scratch'
outdir = './'
pseudo_dir = '/scratch1/05193/sabyadk/2D_materials_Wann/Materials/Sr2I4-937bb010/pseudo/'
prefix = 'hBN'
/
&SYSTEM
ibrav = 0
nat = 6
ntyp = 2
ecutwfc = 60
ecutrho = 240
assume_isolated = 2D
nbnd = 60
/
&ELECTRONS
conv_thr = 1E-10
diagonalization = 'david'
electron_maxstep = 200
/
ATOMIC_SPECIES
Sr 87.62 Sr_r.upf
I 126.904 I_r.upf
ATOMIC_POSITIONS crystal
Sr 0.25 0.369888844734 0.968793768344
Sr 0.75 0.869895519838 0.031206148874
I 0.25 0.62173478274 0.079238979393
I 0.75 0.12173224031 0.92076027863
I 0.75 0.617913505692 0.92068311134
I 0.25 0.117916298553 0.07931771342

K_POINTS crystal
36
0.0 0.0 0.0 0.027778
0.0 0.166666666666666666 0.0 0.027778
0.0 0.3333333333333333 0.0 0.027778
0.0 0.5 0.0 0.027778
0.0 0.6666666666666666 0.0 0.027778
0.0 0.8333333333333333 0.0 0.027778
0.166666666666666666 0.0 0.0 0.027778
0.166666666666666666 0.166666666666666666 0.0 0.027778
0.166666666666666666 0.3333333333333333 0.0 0.027778
0.166666666666666666 0.5 0.0 0.027778
0.166666666666666666 0.666666666666666666 0.0 0.027778
0.166666666666666666 0.8333333333333333 0.0 0.027778
0.3333333333333333 0.0 0.0 0.027778
0.3333333333333333 0.166666666666666666 0.0 0.027778
0.3333333333333333 0.3333333333333333 0.0 0.027778
0.3333333333333333 0.5 0.0 0.027778
0.3333333333333333 0.666666666666666666 0.0 0.027778
0.3333333333333333 0.8333333333333333 0.0 0.027778
0.5 0.0 0.0 0.027778
0.5 0.166666666666666666 0.0 0.027778
0.5 0.3333333333333333 0.0 0.027778
0.5 0.5 0.0 0.027778
0.5 0.666666666666666666 0.0 0.027778
0.5 0.8333333333333333 0.0 0.027778
0.666666666666666666 0.0 0.0 0.027778
0.666666666666666666 0.166666666666666666 0.0 0.027778
0.666666666666666666 0.3333333333333333 0.0 0.027778
0.666666666666666666 0.5 0.0 0.027778
0.666666666666666666 0.666666666666666666 0.0 0.027778
0.666666666666666666 0.8333333333333333 0.0 0.027778
0.8333333333333333 0.0 0.0 0.027778
0.8333333333333333 0.166666666666666666 0.0 0.027778
0.8333333333333333 0.3333333333333333 0.0 0.027778
0.8333333333333333 0.5 0.0 0.027778
0.8333333333333333 0.666666666666666666 0.0 0.027778
0.8333333333333333 0.8333333333333333 0.0 0.027778

```

```

CELL_PARAMETERS angstrom
4.7464820888 0.0 3e-16
-5e-16 8.2198127756 5e-16
0.0 0.0 23.5173566099

```

```

---                epw1.in ---
&inputepw
prefix = 'hBN'
amass(1) = 87.62
amass(2) = 126.904
outdir = './'
elph = .false.
epbwrite = .false.
epbread = .false.
epwwrite = .true.
epwread = .false.
etf_mem = 1
nbndsub = 26
use_ws = .true.
wannierize = .true.
num_iter = 1000
iprint = 2
dis_win_max = 11.11999378395953
dis_froz_max = -0.44213698390085954
fsthick = 1.2
temps = 1
degaussw = 0.005
dvscf_dir = './save'
nk1 = 6
nk2 = 6
nk3 = 1
nq1 = 1
nq2 = 1
nq3 = 1
system_2d = 'dipole_sp'
lpolar = .true.
dis_win_min = -21.35594597534636
wdata(1) = 'guiding_centres = T'
wdata(2) = 'dis_num_iter = 1500'
wdata(3) = 'bands_num_points = 100 '
wdata(4) = 'bands_plot = .true.'
wdata(5) = 'begin kpoint_path'
wdata(6) = 'G 0.0 0.0 0.0 M 0.5 0.0 0.0'
wdata(7) = 'M 0.5 0.0 0.0 K 0.3333333333 0.3333333333 0.0'
wdata(8) = 'K 0.3333333333 0.3333333333 0.0 X 1.0 1.0 0.0'
wdata(9) = 'X 1.0 1.0 0.0 M1 0.0 0.5 0.0'
wdata(10) = 'M1 0.0 0.5 0.0 G 0.0 0.0 0.0'
wdata(11) = 'end kpoint_path'
bands_skipped = 'exclude_bands = 1-12'
proj(1) = 'Sr: l= 3, mr= 2,3,4'
proj(2) = 'I: l= 3, mr= 1,3,4,5,7'
dis_froz_min = -9.68432562888394
/

```

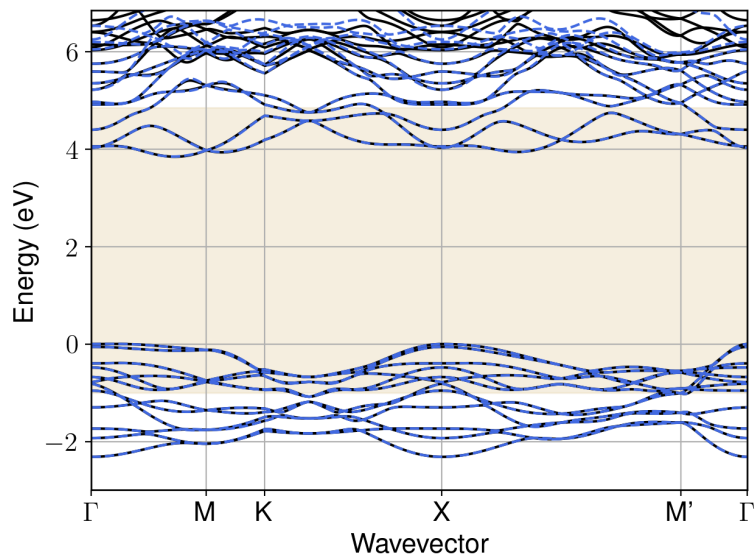


Figure S155: Bandstructure interpolation for monolayer  $\text{Sr}_2\text{I}_4$ . Wannier-interpolation of the band structure of monolayer  $\text{Sr}_2\text{I}_4$  over a wide energy range. Blue dashed lines are results from the present method, black solid lines are explicit DFT calculations. The yellow shaded region shows the range over which optimization has been performed. The interpolation error within the yellow region is 2 meV. The k-grid employed for NSCF calculation is  $6 \times 6$ .

## 144 Material: $\text{Ta}_2\text{CS}_2$

The calculation files are appended below. These files should be executed in the order provided. The location of pseudo potentials should be changed accordingly.

```

---          scf.in ---
&CONTROL
calculation = 'scf'
verbosity = 'high'
restart_mode = 'from_scratch'
outdir = './'
pseudo_dir = '/scratch1/05193/sabyadk/2D_materials_Wann/Materials/Ta2CS2-b8472668/pseudo/'
prefix = 'hBN'
/
&SYSTEM
ibrav = 0
nat = 5
ntyp = 3
ecutwfc = 60
ecutrho = 240
occupations = 'smearing'
smearing = 'gaussian'
degauss = 0.01
/
&ELECTRONS
conv_thr = 1E-10
diagonalization = cg
electron_maxstep = 500
/
ATOMIC_SPECIES
Ta 180.948 Ta_r.upf
C 12.011 C_r.upf
S 32.066 S_r.upf
ATOMIC_POSITIONS crystal
Ta 0.6666666666666666 0.3333333333333333 0.046276819712

```

```

Ta 0.999999999939 0.0 0.953723199421
C 0.3333333333333333 0.6666666666666666 0.99999996391
S 0.6666666666666666 0.3333333333333333 0.89042414497
S 0.999999999939 0.0 0.109575871987

K_POINTS automatic
6 6 1 0 0 0

CELL_PARAMETERS angstrom
3.285913547 0.0 2e-16
-1.6429567734999297 2.8456846062999035 2e-16
0.0 0.0 25.6370541481

```

```

--- nscf.in ---
&CONTROL
calculation = bands
verbosity = 'high'
restart_mode = 'from_scratch'
outdir = './'
pseudo_dir = '/scratch1/05193/sabyadk/2D_materials_Wann/Materials/Ta2CS2-b8472668/pseudo/'
prefix = 'hEN'
/
&SYSTEM
ibrav = 0
nat = 5
ntyp = 3
ecutwfc = 60
ecutrho = 240
occupations = 'smearing'
smearing = 'gaussian'
degauss = 0.01
nbnd = 60
/
&ELECTRONS
conv_thr = 1E-10
diagonalization = cg
electron_maxstep = 500
/
ATOMIC_SPECIES
Ta 180.948 Ta_r.upf
C 12.011 C_r.upf
S 32.066 S_r.upf
ATOMIC_POSITIONS crystal
Ta 0.6666666666666666 0.3333333333333333 0.046276819712
Ta 0.999999999939 0.0 0.953723199421
C 0.3333333333333333 0.6666666666666666 0.99999996391
S 0.6666666666666666 0.3333333333333333 0.89042414497
S 0.999999999939 0.0 0.109575871987

K_POINTS crystal
36
0.0 0.0 0.0 0.027778
0.0 0.1666666666666666 0.0 0.027778
0.0 0.3333333333333333 0.0 0.027778
0.0 0.5 0.0 0.027778
0.0 0.6666666666666666 0.0 0.027778
0.0 0.8333333333333333 0.0 0.027778
0.1666666666666666 0.0 0.0 0.027778
0.1666666666666666 0.1666666666666666 0.0 0.027778
0.1666666666666666 0.3333333333333333 0.0 0.027778
0.1666666666666666 0.5 0.0 0.027778
0.1666666666666666 0.6666666666666666 0.0 0.027778
0.1666666666666666 0.8333333333333333 0.0 0.027778
0.3333333333333333 0.0 0.0 0.027778
0.3333333333333333 0.1666666666666666 0.0 0.027778
0.3333333333333333 0.3333333333333333 0.0 0.027778
0.3333333333333333 0.5 0.0 0.027778
0.3333333333333333 0.6666666666666666 0.0 0.027778
0.3333333333333333 0.8333333333333333 0.0 0.027778
0.5 0.0 0.0 0.027778
0.5 0.1666666666666666 0.0 0.027778
0.5 0.3333333333333333 0.0 0.027778
0.5 0.5 0.0 0.027778
0.5 0.6666666666666666 0.0 0.027778
0.5 0.8333333333333333 0.0 0.027778
0.6666666666666666 0.0 0.0 0.027778
0.6666666666666666 0.1666666666666666 0.0 0.027778
0.6666666666666666 0.3333333333333333 0.0 0.027778
0.6666666666666666 0.5 0.0 0.027778
0.6666666666666666 0.6666666666666666 0.0 0.027778
0.6666666666666666 0.8333333333333333 0.0 0.027778
0.8333333333333333 0.0 0.0 0.027778
0.8333333333333333 0.1666666666666666 0.0 0.027778

```

```

0.8333333333333333 0.3333333333333333 0.0 0.027778
0.8333333333333333 0.5 0.0 0.027778
0.8333333333333333 0.6666666666666666 0.0 0.027778
0.8333333333333333 0.8333333333333333 0.0 0.027778

```

```

CELL_PARAMETERS angstrom
3.285913547 0.0 2e-16
-1.6429567734999297 2.8456846062999035 2e-16
0.0 0.0 25.6370541481

```

```

---                epw1.in ---
&inputepw
prefix = 'hBN'
amass(1) = 180.948
amass(2) = 12.011
amass(3) = 32.066
outdir = './'
elph = .false.
epbwrite = .false.
epbread = .false.
epwwrite = .true.
epwread = .false.
etf_mem = 1
nbndsub = 19
use_ws = .true.
wannierize = .true.
num_iter = 1000
iprint = 2
dis_win_max = 15.55909900992262
dis_froz_max = 4.485862814428479
fsthick = 1.2
temps = 1
degaussw = 0.005
dvscf_dir = './save'
nk1 = 6
nk2 = 6
nk3 = 1
nq1 = 1
nq2 = 1
nq3 = 1
dis_win_min = -15.01154050856612
wdata(1) = 'guiding_centres = T'
wdata(2) = 'dis_num_iter = 1500'
wdata(3) = 'bands_num_points = 100 '
wdata(4) = 'bands_plot = .true.'
wdata(5) = 'begin kpoint_path'
wdata(6) = 'G 0.0 0.0 0.0 M 0.5 0.0 0.0'
wdata(7) = 'M 0.5 0.0 0.0 K 0.3333333333 0.3333333333 0.0'
wdata(8) = 'K 0.3333333333 0.3333333333 0.0 X 1.0 1.0 0.0'
wdata(9) = 'X 1.0 1.0 0.0 M1 0.0 0.5 0.0'
wdata(10) = 'M1 0.0 0.5 0.0 G 0.0 0.0 0.0'
wdata(11) = 'end kpoint_path'
bands_skipped = 'exclude_bands = 1-11'
proj(1) = 'Ta: l= -5, mr= 1,3,4,6'
proj(2) = 'C: l= 2, mr= 1'
proj(3) = 'S: l= 2, mr= 1,2,3,4,5'
dis_froz_min = -5.199413314939194
/

```

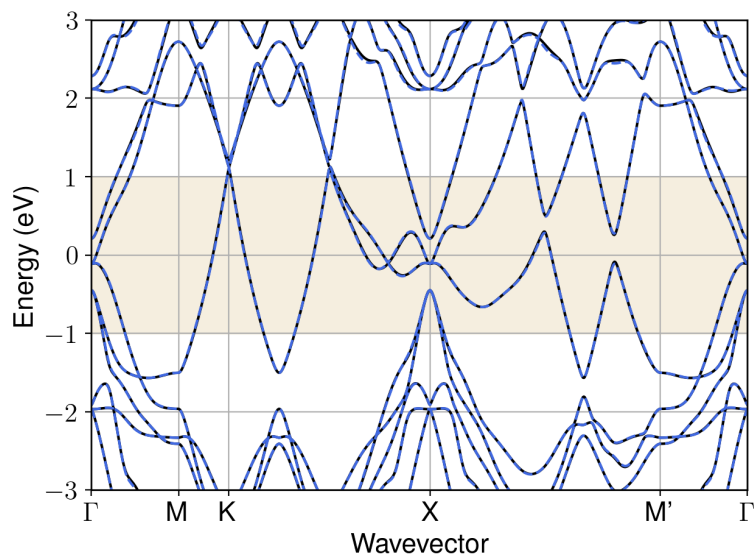


Figure S156: Bandstructure interpolation for monolayer  $\text{Ta}_2\text{CS}_2$ . Wannier-interpolation of the band structure of monolayer  $\text{Ta}_2\text{CS}_2$  over a wide energy range. Blue dashed lines are results from the present method, black solid lines are explicit DFT calculations. The yellow shaded region shows the range over which optimization has been performed. The interpolation error within the yellow region is 10 meV. The k-grid employed for NSCF calculation is  $6 \times 6$ .

## 145 Material: $\text{TaS}_2$

The calculation files are appended below. These files should be executed in the order provided. The location of pseudo potentials should be changed accordingly.

```

---          scf.in ---
&CONTROL
calculation = 'scf'
verbosity = 'high'
restart_mode = 'from_scratch'
outdir = './'
pseudo_dir = '/scratch1/05193/sabyadk/2D_materials_Wann/Materials/TaS2-0c60e3e0/pseudo/'
prefix = 'hBN'
/
&SYSTEM
ibrav = 0
nat = 3
ntyp = 2
ecutwfc = 60
ecutrho = 240
occupations = 'smearing'
smearing = 'gaussian'
degauss = 0.01
/
&ELECTRONS
conv_thr = 1E-10
diagonalization = cg
electron_maxstep = 500
/
ATOMIC_SPECIES
Ta 180.948 Ta_r.upf
S 32.066 S_r.upf
ATOMIC_POSITIONS crystal
Ta 0.0 0.0 0.999999999999
S 0.3333333333333333 0.6666666666666666 0.9323918079869999

```

```
S 0.3333333333333333 0.6666666666666666 0.067608192015
```

```
K_POINTS automatic
6 6 1 0 0 0
```

```
CELL_PARAMETERS angstrom
3.3365347992 0.0 2e-16
-1.668267399599996 2.889523896799997 2e-16
0.0 0.0 23.1523695269
```

```
--- nscf.in ---
&CONTROL
calculation = bands
verbosity = 'high'
restart_mode = 'from_scratch'
outdir = './'
pseudo_dir = '/scratch1/05193/sabyadk/2D_materials_Wann/Materials/TaS2-0c60e3e0/pseudo/'
prefix = 'hBN'
/
&SYSTEM
ibrav = 0
nat = 3
ntyp = 2
ecutwfc = 60
ecutrho = 240
occupations = 'smearing'
smearing = 'gaussian'
degauss = 0.01
nbnd = 60
/
&ELECTRONS
conv_thr = 1E-10
diagonalization = cg
electron_maxstep = 500
/
ATOMIC_SPECIES
Ta 180.948 Ta_r.upf
S 32.066 S_r.upf
ATOMIC_POSITIONS crystal
Ta 0.0 0.0 0.999999999999
S 0.3333333333333333 0.6666666666666666 0.9323918079869999
S 0.3333333333333333 0.6666666666666666 0.067608192015

K_POINTS crystal
36
0.0 0.0 0.0 0.027778
0.0 0.1666666666666666 0.0 0.027778
0.0 0.3333333333333333 0.0 0.027778
0.0 0.5 0.0 0.027778
0.0 0.6666666666666666 0.0 0.027778
0.0 0.8333333333333333 0.0 0.027778
0.1666666666666666 0.0 0.0 0.027778
0.1666666666666666 0.1666666666666666 0.0 0.027778
0.1666666666666666 0.3333333333333333 0.0 0.027778
0.1666666666666666 0.5 0.0 0.027778
0.1666666666666666 0.6666666666666666 0.0 0.027778
0.1666666666666666 0.8333333333333333 0.0 0.027778
0.3333333333333333 0.0 0.0 0.027778
0.3333333333333333 0.1666666666666666 0.0 0.027778
0.3333333333333333 0.3333333333333333 0.0 0.027778
0.3333333333333333 0.5 0.0 0.027778
0.3333333333333333 0.6666666666666666 0.0 0.027778
0.3333333333333333 0.8333333333333333 0.0 0.027778
0.5 0.0 0.0 0.027778
0.5 0.1666666666666666 0.0 0.027778
0.5 0.3333333333333333 0.0 0.027778
0.5 0.5 0.0 0.027778
0.5 0.6666666666666666 0.0 0.027778
0.5 0.8333333333333333 0.0 0.027778
0.6666666666666666 0.0 0.0 0.027778
0.6666666666666666 0.1666666666666666 0.0 0.027778
0.6666666666666666 0.3333333333333333 0.0 0.027778
0.6666666666666666 0.5 0.0 0.027778
0.6666666666666666 0.6666666666666666 0.0 0.027778
0.6666666666666666 0.8333333333333333 0.0 0.027778
0.8333333333333333 0.0 0.0 0.027778
0.8333333333333333 0.1666666666666666 0.0 0.027778
0.8333333333333333 0.3333333333333333 0.0 0.027778
0.8333333333333333 0.5 0.0 0.027778
0.8333333333333333 0.6666666666666666 0.0 0.027778
0.8333333333333333 0.8333333333333333 0.0 0.027778

CELL_PARAMETERS angstrom
```



```

3.3365347992 0.0 2e-16
-1.668267399599996 2.889523896799997 2e-16
0.0 0.0 23.1523695269

```

```

---                epw1.in ---
&inputepw
prefix = 'hBN'
amass(1) = 180.948
amass(2) = 32.066
outdir = './'
elph = .false.
epbwrite = .false.
epbread = .false.
epwwrite = .true.
epwread = .false.
etf_mem = 1
nbndsub = 12
use_ws = .true.
wannierize = .true.
num_iter = 1000
iprint = 2
dis_win_max = 21.2729515061621
dis_froz_max = 0.7165614089367693
fsthick = 1.2
temps = 1
degaussw = 0.005
dvscf_dir = './save'
nk1 = 6
nk2 = 6
nk3 = 1
nq1 = 1
nq2 = 1
nq3 = 1
dis_win_min = -18.567855097445033
wdata(1) = 'guiding_centres = T'
wdata(2) = 'dis_num_iter = 1500'
wdata(3) = 'bands_num_points = 100 '
wdata(4) = 'bands_plot = .true.'
wdata(5) = 'begin kpoint_path'
wdata(6) = 'G 0.0 0.0 0.0 M 0.5 0.0 0.0'
wdata(7) = 'M 0.5 0.0 0.0 K 0.3333333333 0.3333333333 0.0'
wdata(8) = 'K 0.3333333333 0.3333333333 0.0 X 1.0 1.0 0.0'
wdata(9) = 'X 1.0 1.0 0.0 M1 0.0 0.5 0.0'
wdata(10) = 'M1 0.0 0.5 0.0 G 0.0 0.0 0.0'
wdata(11) = 'end kpoint_path'
bands_skipped = 'exclude_bands = 1-6'
proj(1) = 'Ta: l= 3, mr= 1,7'
proj(2) = 'S: l= 3, mr= 3,4,5,6,7'
dis_froz_min = -7.363681028054365
/

```

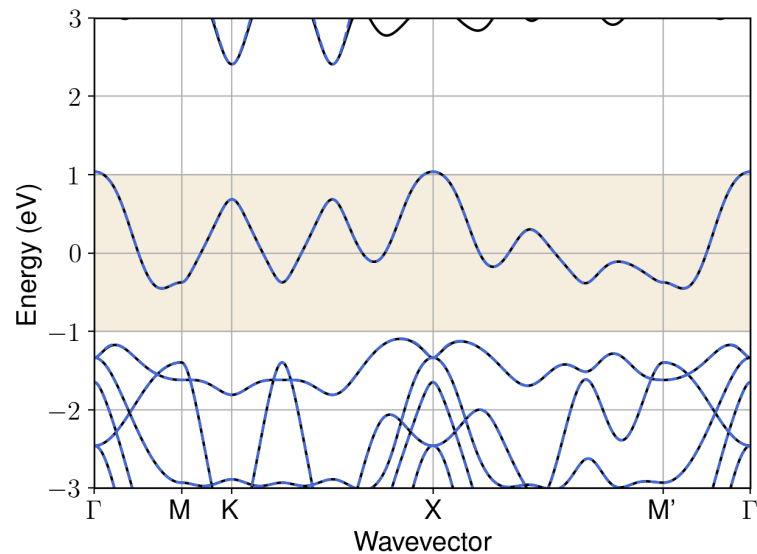


Figure S157: Bandstructure interpolation for monolayer TaS<sub>2</sub>. Wannier-interpolation of the band structure of monolayer TaS<sub>2</sub> over a wide energy range. Blue dashed lines are results from the present method, black solid lines are explicit DFT calculations. The yellow shaded region shows the range over which optimization has been performed. The interpolation error within the yellow region is 2 meV. The k-grid employed for NSCF calculation is 6×6.

## 146 Material: TaSe<sub>2</sub>

The calculation files are appended below. These files should be executed in the order provided. The location of pseudo potentials should be changed accordingly.

```

---          scf.in ---
&CONTROL
calculation = 'scf'
verbosity = 'high'
restart_mode = 'from_scratch'
outdir = './'
pseudo_dir = '/scratch1/05193/sabyadk/2D_materials_Wann/Materials/TaSe2-14799dc8/pseudo/'
prefix = 'hBN'
/
&SYSTEM
ibrav = 0
nat = 3
ntyp = 2
ecutwfc = 60
ecutrho = 240
occupations = 'smearing'
smearing = 'gaussian'
degauss = 0.01
/
&ELECTRONS
conv_thr = 1E-10
diagonalization = cg
electron_maxstep = 500
/
ATOMIC_SPECIES
Ta 180.948 Ta_r.upf
Se 78.971 Se_r.upf
ATOMIC_POSITIONS crystal
Ta 0.0 0.0 1e-12
Se 0.3333333333333333 0.6666666666666666 0.070865370615

```

```
Se 0.6666666666666666 0.3333333333333333 0.929134629384
```

```
K_POINTS automatic
6 6 1 0 0 0
```

```
CELL_PARAMETERS angstrom
3.4980824352 0.0 2e-16
-1.7490412176001613 3.029428253400228 2e-16
0.0 0.0 23.3456070629
```

```
--- nscf.in ---
&CONTROL
calculation = bands
verbosity = 'high'
restart_mode = 'from_scratch'
outdir = './'
pseudo_dir = '/scratch1/05193/sabyadk/2D_materials_Wann/Materials/TaSe2-14799dc8/pseudo/'
prefix = 'hBN'
/
&SYSTEM
ibrav = 0
nat = 3
ntyp = 2
ecutwfc = 60
ecutrho = 240
occupations = 'smearing'
smearing = 'gaussian'
degauss = 0.01
nbnd = 60
/
&ELECTRONS
conv_thr = 1E-10
diagonalization = cg
electron_maxstep = 500
/
ATOMIC_SPECIES
Ta 180.948 Ta_r.upf
Se 78.971 Se_r.upf
ATOMIC_POSITIONS crystal
Ta 0.0 0.0 1e-12
Se 0.3333333333333333 0.6666666666666666 0.070865370615
Se 0.6666666666666666 0.3333333333333333 0.929134629384

K_POINTS crystal
36
0.0 0.0 0.0 0.027778
0.0 0.1666666666666666 0.0 0.027778
0.0 0.3333333333333333 0.0 0.027778
0.0 0.5 0.0 0.027778
0.0 0.6666666666666666 0.0 0.027778
0.0 0.8333333333333333 0.0 0.027778
0.1666666666666666 0.0 0.0 0.027778
0.1666666666666666 0.1666666666666666 0.0 0.027778
0.1666666666666666 0.3333333333333333 0.0 0.027778
0.1666666666666666 0.5 0.0 0.027778
0.1666666666666666 0.6666666666666666 0.0 0.027778
0.1666666666666666 0.8333333333333333 0.0 0.027778
0.3333333333333333 0.0 0.0 0.027778
0.3333333333333333 0.1666666666666666 0.0 0.027778
0.3333333333333333 0.3333333333333333 0.0 0.027778
0.3333333333333333 0.5 0.0 0.027778
0.3333333333333333 0.6666666666666666 0.0 0.027778
0.3333333333333333 0.8333333333333333 0.0 0.027778
0.5 0.0 0.0 0.027778
0.5 0.1666666666666666 0.0 0.027778
0.5 0.3333333333333333 0.0 0.027778
0.5 0.5 0.0 0.027778
0.5 0.6666666666666666 0.0 0.027778
0.5 0.8333333333333333 0.0 0.027778
0.6666666666666666 0.0 0.0 0.027778
0.6666666666666666 0.1666666666666666 0.0 0.027778
0.6666666666666666 0.3333333333333333 0.0 0.027778
0.6666666666666666 0.5 0.0 0.027778
0.6666666666666666 0.6666666666666666 0.0 0.027778
0.6666666666666666 0.8333333333333333 0.0 0.027778
0.8333333333333333 0.0 0.0 0.027778
0.8333333333333333 0.1666666666666666 0.0 0.027778
0.8333333333333333 0.3333333333333333 0.0 0.027778
0.8333333333333333 0.5 0.0 0.027778
0.8333333333333333 0.6666666666666666 0.0 0.027778
0.8333333333333333 0.8333333333333333 0.0 0.027778

CELL_PARAMETERS angstrom
```

```

3.4980824352 0.0 2e-16
-1.7490412176001613 3.029428253400228 2e-16
0.0 0.0 23.3456070629

```

```

---                epw1.in ---
&inputepw
prefix = 'hBN'
amass(1) = 180.948
amass(2) = 78.971
outdir = './'
elph = .false.
epbwrite = .false.
epbread = .false.
epwwrite = .true.
epwread = .false.
etf_mem = 1
nbndsub = 10
use_ws = .true.
wannierize = .true.
num_iter = 1000
iprint = 2
dis_win_max = 11.26491409846905
dis_froz_max = 1.9376371956468335
fsthick = 1.2
temps = 1
degaussw = 0.005
dvscf_dir = './save'
nk1 = 6
nk2 = 6
nk3 = 1
nq1 = 1
nq2 = 1
nq3 = 1
dis_win_min = -16.552338184162096
wdata(1) = 'guiding_centres = T'
wdata(2) = 'dis_num_iter = 1500'
wdata(3) = 'bands_num_points = 100 '
wdata(4) = 'bands_plot = .true.'
wdata(5) = 'begin kpoint_path'
wdata(6) = 'G 0.0 0.0 0.0 M 0.5 0.0 0.0'
wdata(7) = 'M 0.5 0.0 0.0 K 0.3333333333 0.3333333333 0.0'
wdata(8) = 'K 0.3333333333 0.3333333333 0.0 X 1.0 1.0 0.0'
wdata(9) = 'X 1.0 1.0 0.0 M1 0.0 0.5 0.0'
wdata(10) = 'M1 0.0 0.5 0.0 G 0.0 0.0 0.0'
wdata(11) = 'end kpoint_path'
bands_skipped = 'exclude_bands = 1-16'
proj(1) = 'Ta: l= 3, mr= 1,2,5,7'
proj(2) = 'Se: l= 3, mr= 1,3,6'
dis_froz_min = -5.3930961770462815
/

```

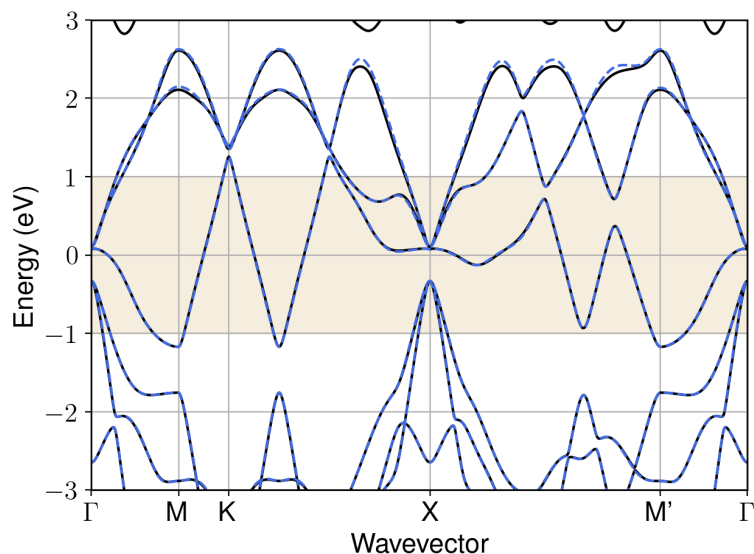


Figure S158: Bandstructure interpolation for monolayer TaSe<sub>2</sub>. Wannier-interpolation of the band structure of monolayer TaSe<sub>2</sub> over a wide energy range. Blue dashed lines are results from the present method, black solid lines are explicit DFT calculations. The yellow shaded region shows the range over which optimization has been performed. The interpolation error within the yellow region is 11 meV. The k-grid employed for NSCF calculation is 6×6.

## 147 Material: TaSe<sub>2</sub>

The calculation files are appended below. These files should be executed in the order provided. The location of pseudo potentials should be changed accordingly.

```

---          scf.in ---
&CONTROL
calculation = 'scf'
verbosity = 'high'
restart_mode = 'from_scratch'
outdir = './'
pseudo_dir = '/scratch1/05193/sabyadk/2D_materials_Wann/Materials/TaSe2-634a5756/pseudo/'
prefix = 'hBN'
/
&SYSTEM
ibrav = 0
nat = 3
ntyp = 2
ecutwfc = 60
ecutrho = 240
occupations = 'smearing'
smearing = 'gaussian'
degauss = 0.01
/
&ELECTRONS
conv_thr = 1E-10
diagonalization = cg
electron_maxstep = 500
/
ATOMIC_SPECIES
Ta 180.948 Ta_r.upf
Se 78.971 Se_r.upf
ATOMIC_POSITIONS crystal
Ta 0.0 0.0 0.999999999999
Se 0.6666666666666666 0.3333333333333333 0.928142768223

```

```
Se 0.6666666666666666 0.3333333333333333 0.071857231778
```

```
K_POINTS automatic
6 6 1 0 0 0
```

```
CELL_PARAMETERS angstrom
3.4667854283 0.0 2e-16
-1.7333927141997718 3.0023242503995866 2e-16
0.0 0.0 23.3686877481
```

```
--- nscf.in ---
&CONTROL
calculation = bands
verbosity = 'high'
restart_mode = 'from_scratch'
outdir = './'
pseudo_dir = '/scratch1/05193/sabyadk/2D_materials_Wann/Materials/TaSe2-634a5756/pseudo/'
prefix = 'hBN'
/
&SYSTEM
ibrav = 0
nat = 3
ntyp = 2
ecutwfc = 60
ecutrho = 240
occupations = 'smearing'
smearing = 'gaussian'
degauss = 0.01
nbnd = 60
/
&ELECTRONS
conv_thr = 1E-10
diagonalization = cg
electron_maxstep = 500
/
ATOMIC_SPECIES
Ta 180.948 Ta_r.upf
Se 78.971 Se_r.upf
ATOMIC_POSITIONS crystal
Ta 0.0 0.0 0.999999999999
Se 0.6666666666666666 0.3333333333333333 0.928142768223
Se 0.6666666666666666 0.3333333333333333 0.071857231778

K_POINTS crystal
36
0.0 0.0 0.0 0.027778
0.0 0.1666666666666666 0.0 0.027778
0.0 0.3333333333333333 0.0 0.027778
0.0 0.5 0.0 0.027778
0.0 0.6666666666666666 0.0 0.027778
0.0 0.8333333333333333 0.0 0.027778
0.1666666666666666 0.0 0.0 0.027778
0.1666666666666666 0.1666666666666666 0.0 0.027778
0.1666666666666666 0.3333333333333333 0.0 0.027778
0.1666666666666666 0.5 0.0 0.027778
0.1666666666666666 0.6666666666666666 0.0 0.027778
0.1666666666666666 0.8333333333333333 0.0 0.027778
0.3333333333333333 0.0 0.0 0.027778
0.3333333333333333 0.1666666666666666 0.0 0.027778
0.3333333333333333 0.3333333333333333 0.0 0.027778
0.3333333333333333 0.5 0.0 0.027778
0.3333333333333333 0.6666666666666666 0.0 0.027778
0.3333333333333333 0.8333333333333333 0.0 0.027778
0.5 0.0 0.0 0.027778
0.5 0.1666666666666666 0.0 0.027778
0.5 0.3333333333333333 0.0 0.027778
0.5 0.5 0.0 0.027778
0.5 0.6666666666666666 0.0 0.027778
0.5 0.8333333333333333 0.0 0.027778
0.6666666666666666 0.0 0.0 0.027778
0.6666666666666666 0.1666666666666666 0.0 0.027778
0.6666666666666666 0.3333333333333333 0.0 0.027778
0.6666666666666666 0.5 0.0 0.027778
0.6666666666666666 0.6666666666666666 0.0 0.027778
0.6666666666666666 0.8333333333333333 0.0 0.027778
0.8333333333333333 0.0 0.0 0.027778
0.8333333333333333 0.1666666666666666 0.0 0.027778
0.8333333333333333 0.3333333333333333 0.0 0.027778
0.8333333333333333 0.5 0.0 0.027778
0.8333333333333333 0.6666666666666666 0.0 0.027778
0.8333333333333333 0.8333333333333333 0.0 0.027778

CELL_PARAMETERS angstrom
```

```

3.4667854283 0.0 2e-16
-1.7333927141997718 3.0023242503995866 2e-16
0.0 0.0 23.3686877481

```

```

---                epw1.in ---
&inputepw
prefix = 'hBN'
amass(1) = 180.948
amass(2) = 78.971
outdir = './'
elph = .false.
epbwrite = .false.
epbread = .false.
epwwrite = .true.
epwread = .false.
etf_mem = 1
nbndsub = 10
use_ws = .true.
wannierize = .true.
num_iter = 1000
iprint = 2
dis_win_max = 21.57799738107449
dis_froz_max = 1.0721607395935653
fsthick = 1.2
temps = 1
degaussw = 0.005
dvscf_dir = './save'
nk1 = 6
nk2 = 6
nk3 = 1
nq1 = 1
nq2 = 1
nq3 = 1
dis_win_min = -16.56953971638937
wdata(1) = 'guiding_centres = T'
wdata(2) = 'dis_num_iter = 1500'
wdata(3) = 'bands_num_points = 100 '
wdata(4) = 'bands_plot = .true.'
wdata(5) = 'begin kpoint_path'
wdata(6) = 'G 0.0 0.0 0.0 M 0.5 0.0 0.0'
wdata(7) = 'M 0.5 0.0 0.0 K 0.3333333333 0.3333333333 0.0'
wdata(8) = 'K 0.3333333333 0.3333333333 0.0 X 1.0 1.0 0.0'
wdata(9) = 'X 1.0 1.0 0.0 M1 0.0 0.5 0.0'
wdata(10) = 'M1 0.0 0.5 0.0 G 0.0 0.0 0.0'
wdata(11) = 'end kpoint_path'
bands_skipped = 'exclude_bands = 1-16'
proj(1) = 'Ta: l= 2, mr= 1,5'
proj(2) = 'Se: l= 3, mr= 3,4,6,7'
dis_froz_min = -11.020572576154356
/

```

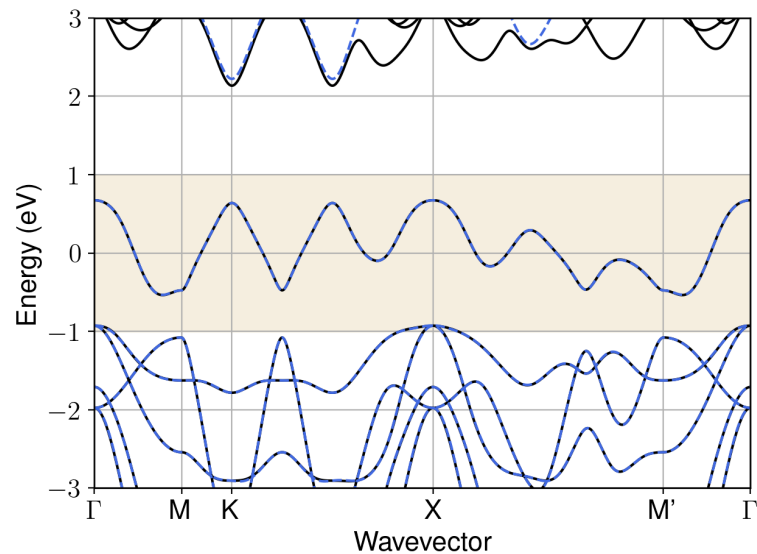


Figure S159: Bandstructure interpolation for monolayer TaSe<sub>2</sub>. Wannier-interpolation of the band structure of monolayer TaSe<sub>2</sub> over a wide energy range. Blue dashed lines are results from the present method, black solid lines are explicit DFT calculations. The yellow shaded region shows the range over which optimization has been performed. The interpolation error within the yellow region is 2 meV. The k-grid employed for NSCF calculation is 6×6.

## 148 Material: Ti<sub>2</sub>N<sub>2</sub>Br<sub>2</sub>

The calculation files are appended below. These files should be executed in the order provided. The location of pseudo potentials should be changed accordingly.

```

---          scf.in ---
&CONTROL
calculation = 'scf'
verbosity = 'high'
restart_mode = 'from_scratch'
outdir = './'
pseudo_dir = '/scratch1/05193/sabyadk/2D_materials_Wann/Materials/Ti2N2Br2-4bafa127/pseudo/'
prefix = 'hBN'
/
&SYSTEM
ibrav = 0
nat = 6
ntyp = 3
ecutwfc = 60
ecutrho = 240
assume_isolated = 2D
/
&ELECTRONS
conv_thr = 1E-12
diagonalization = 'david'
electron_maxstep = 200
/
ATOMIC_SPECIES
Ti 47.867 Ti_r.upf
Br 79.904 Br_r.upf
N 14.007 N_r.upf
ATOMIC_POSITIONS crystal
Ti 0.49999999997 0.0 0.970702165146
Ti 0.0 0.500000000025 0.029297849085
Br 0.0 0.0 0.89241533588

```



```
Br 0.49999999997 0.50000000025 0.107584644534
N 0.49999999997 0.50000000025 0.986444642041
N 0.0 0.0 0.013555363315
```

```
K_POINTS automatic
6 6 1 0 0 0
```

```
CELL_PARAMETERS angstrom
3.3699845896 0.0 2e-16
-2e-16 3.9512724954 2e-16
0.0 0.0 25.5313887704
```

```
--- nscf.in ---
&CONTROL
calculation = bands
verbosity = 'high'
restart_mode = 'from_scratch'
outdir = './'
pseudo_dir = '/scratch1/05193/sabyadk/2D_materials_Wann/Materials/Ti2N2Br2-4bafa127/pseudo/'
prefix = 'hBN'
/
&SYSTEM
ibrav = 0
nat = 6
ntyp = 3
ecutwfc = 60
ecutrho = 240
assume_isolated = 2D
nbnd = 60
/
&ELECTRONS
conv_thr = 1E-10
diagonalization = 'david'
electron_maxstep = 200
/
ATOMIC_SPECIES
Ti 47.867 Ti_r.upf
Br 79.904 Br_r.upf
N 14.007 N_r.upf
ATOMIC_POSITIONS crystal
Ti 0.49999999997 0.0 0.970702165146
Ti 0.0 0.50000000025 0.029297849085
Br 0.0 0.0 0.89241533588
Br 0.49999999997 0.50000000025 0.107584644534
N 0.49999999997 0.50000000025 0.986444642041
N 0.0 0.0 0.013555363315

K_POINTS crystal
36
0.0 0.0 0.0 0.027778
0.0 0.16666666666666666 0.0 0.027778
0.0 0.33333333333333333 0.0 0.027778
0.0 0.5 0.0 0.027778
0.0 0.66666666666666666 0.0 0.027778
0.0 0.83333333333333333 0.0 0.027778
0.16666666666666666 0.0 0.0 0.027778
0.16666666666666666 0.16666666666666666 0.0 0.027778
0.16666666666666666 0.33333333333333333 0.0 0.027778
0.16666666666666666 0.5 0.0 0.027778
0.16666666666666666 0.66666666666666666 0.0 0.027778
0.16666666666666666 0.83333333333333333 0.0 0.027778
0.33333333333333333 0.0 0.0 0.027778
0.33333333333333333 0.16666666666666666 0.0 0.027778
0.33333333333333333 0.33333333333333333 0.0 0.027778
0.33333333333333333 0.5 0.0 0.027778
0.33333333333333333 0.66666666666666666 0.0 0.027778
0.33333333333333333 0.83333333333333333 0.0 0.027778
0.5 0.0 0.0 0.027778
0.5 0.16666666666666666 0.0 0.027778
0.5 0.33333333333333333 0.0 0.027778
0.5 0.5 0.0 0.027778
0.5 0.66666666666666666 0.0 0.027778
0.5 0.83333333333333333 0.0 0.027778
0.66666666666666666 0.0 0.0 0.027778
0.66666666666666666 0.16666666666666666 0.0 0.027778
0.66666666666666666 0.33333333333333333 0.0 0.027778
0.66666666666666666 0.5 0.0 0.027778
0.66666666666666666 0.66666666666666666 0.0 0.027778
0.66666666666666666 0.83333333333333333 0.0 0.027778
0.83333333333333333 0.0 0.0 0.027778
0.83333333333333333 0.16666666666666666 0.0 0.027778
0.83333333333333333 0.33333333333333333 0.0 0.027778
0.83333333333333333 0.5 0.0 0.027778
```

```

0.8333333333333333 0.6666666666666666 0.0 0.027778
0.8333333333333333 0.8333333333333333 0.0 0.027778

CELL_PARAMETERS angstrom
3.3699845896 0.0 2e-16
-2e-16 3.9512724954 2e-16
0.0 0.0 25.5313887704

```

```

---                epw1.in ---
&inputepw
prefix = 'hBN'
amass(1) = 47.867
amass(2) = 79.904
amass(3) = 14.007
outdir = './'
elph = .false.
epbwrite = .false.
epbread = .false.
epwwrite = .true.
epwread = .false.
etf_mem = 1
nbndsub = 24
use_ws = .true.
wannierize = .true.
num_iter = 1000
iprint = 2
dis_win_max = 9.576357785186437
dis_froz_max = -0.9489490146138213
fsthick = 1.2
temps = 1
degaussw = 0.005
dvscf_dir = './save'
nk1 = 6
nk2 = 6
nk3 = 1
nq1 = 1
nq2 = 1
nq3 = 1
system_2d = 'dipole_sp'
lpolar = .true.
dis_win_min = -24.742028762689245
wdata(1) = 'guiding_centres = T'
wdata(2) = 'dis_num_iter = 1500'
wdata(3) = 'bands_num_points = 100 '
wdata(4) = 'bands_plot = .true.'
wdata(5) = 'begin kpoint_path'
wdata(6) = 'G 0.0 0.0 0.0 M 0.5 0.0 0.0'
wdata(7) = 'M 0.5 0.0 0.0 K 0.3333333333 0.3333333333 0.0'
wdata(8) = 'K 0.3333333333 0.3333333333 0.0 X 1.0 1.0 0.0'
wdata(9) = 'X 1.0 1.0 0.0 M1 0.0 0.5 0.0'
wdata(10) = 'M1 0.0 0.5 0.0 G 0.0 0.0 0.0'
wdata(11) = 'end kpoint_path'
bands_skipped = 'exclude_bands = 1-12'
proj(1) = 'Ti: l= -5, mr= 1,2,4,5'
proj(2) = 'Br: l= -4, mr= 1,2,3'
proj(3) = 'N: l= -4, mr= 1,2,3,4,5'
dis_froz_min = -14.279320423503611
/

```

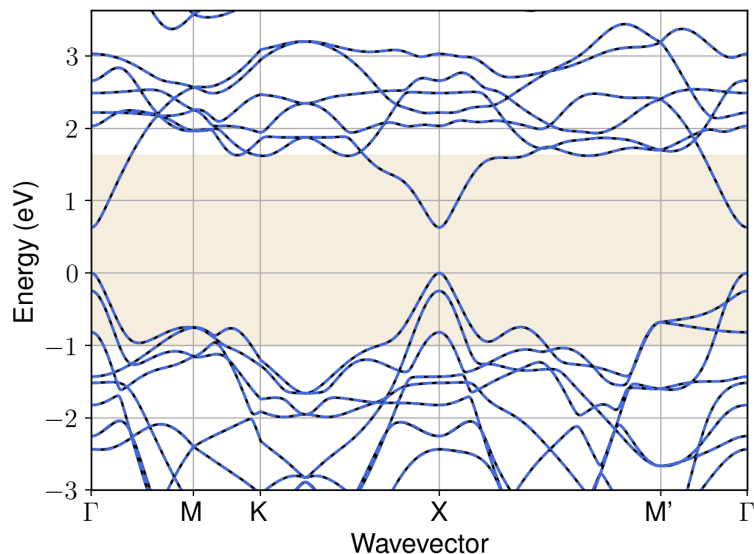


Figure S160: Bandstructure interpolation for monolayer  $\text{Ti}_2\text{N}_2\text{Br}_2$ . Wannier-interpolation of the band structure of monolayer  $\text{Ti}_2\text{N}_2\text{Br}_2$  over a wide energy range. Blue dashed lines are results from the present method, black solid lines are explicit DFT calculations. The yellow shaded region shows the range over which optimization has been performed. The interpolation error within the yellow region is 1 meV. The k-grid employed for NSCF calculation is  $6 \times 6$ .

## 149 Material: $\text{Ti}_2\text{N}_2\text{Cl}_2$

The calculation files are appended below. These files should be executed in the order provided. The location of pseudo potentials should be changed accordingly.

```

---          scf.in ---
&CONTROL
calculation = 'scf'
verbosity = 'high'
restart_mode = 'from_scratch'
outdir = './'
pseudo_dir = '/scratch1/05193/sabyadk/2D_materials_Wann/Materials/Ti2N2Cl2-fe5fd491/pseudo/'
prefix = 'hBN'
/
&SYSTEM
ibrav = 0
nat = 6
ntyp = 3
ecutwfc = 60
ecutrho = 240
assume_isolated = 2D
/
&ELECTRONS
conv_thr = 1E-12
diagonalization = 'david'
electron_maxstep = 200
/
ATOMIC_SPECIES
Ti 47.867 Ti_r.upf
N 14.007 N_r.upf
Cl 35.453 Cl_r.upf
ATOMIC_POSITIONS crystal
Ti 0.500000000015 0.0 0.969396257797
Ti 0.0 0.500000000013 0.03060373549
N 0.500000000015 0.500000000013 0.985125576709

```

```

N 0.0 0.0 0.01487441811
Cl 0.0 0.0 0.896158101153
Cl 0.500000000015 0.500000000013 0.103841910741

K_POINTS automatic
6 6 1 0 0 0

CELL_PARAMETERS angstrom
3.2731880139 0.0 2e-16
-2e-16 3.9533439905 2e-16
0.0 0.0 25.1849575755

```

```

---                nscf.in ---
&CONTROL
calculation = bands
verbosity = 'high'
restart_mode = 'from_scratch'
outdir = './'
pseudo_dir = '/scratch1/05193/sabyadk/2D_materials_Wann/Materials/Ti2N2Cl2-fe5fd491/pseudo/'
prefix = 'hBN'
/
&SYSTEM
ibrav = 0
nat = 6
ntyp = 3
ecutwfc = 60
ecutrho = 240
assume_isolated = 2D
nbnd = 60
/
&ELECTRONS
conv_thr = 1E-10
diagonalization = 'david'
electron_maxstep = 200
/
ATOMIC_SPECIES
Ti 47.867 Ti_r.upf
N 14.007 N_r.upf
Cl 35.453 Cl_r.upf
ATOMIC_POSITIONS crystal
Ti 0.500000000015 0.0 0.969396257797
Ti 0.0 0.500000000013 0.03060373549
N 0.500000000015 0.500000000013 0.985125576709
N 0.0 0.0 0.01487441811
Cl 0.0 0.0 0.896158101153
Cl 0.500000000015 0.500000000013 0.103841910741

K_POINTS crystal
36
0.0 0.0 0.0 0.027778
0.0 0.16666666666666666 0.0 0.027778
0.0 0.33333333333333333 0.0 0.027778
0.0 0.5 0.0 0.027778
0.0 0.66666666666666666 0.0 0.027778
0.0 0.83333333333333333 0.0 0.027778
0.16666666666666666 0.0 0.0 0.027778
0.16666666666666666 0.16666666666666666 0.0 0.027778
0.16666666666666666 0.33333333333333333 0.0 0.027778
0.16666666666666666 0.5 0.0 0.027778
0.16666666666666666 0.66666666666666666 0.0 0.027778
0.16666666666666666 0.83333333333333333 0.0 0.027778
0.33333333333333333 0.0 0.0 0.027778
0.33333333333333333 0.16666666666666666 0.0 0.027778
0.33333333333333333 0.33333333333333333 0.0 0.027778
0.33333333333333333 0.5 0.0 0.027778
0.33333333333333333 0.66666666666666666 0.0 0.027778
0.33333333333333333 0.83333333333333333 0.0 0.027778
0.5 0.0 0.0 0.027778
0.5 0.16666666666666666 0.0 0.027778
0.5 0.33333333333333333 0.0 0.027778
0.5 0.5 0.0 0.027778
0.5 0.66666666666666666 0.0 0.027778
0.5 0.83333333333333333 0.0 0.027778
0.66666666666666666 0.0 0.0 0.027778
0.66666666666666666 0.16666666666666666 0.0 0.027778
0.66666666666666666 0.33333333333333333 0.0 0.027778
0.66666666666666666 0.5 0.0 0.027778
0.66666666666666666 0.66666666666666666 0.0 0.027778
0.66666666666666666 0.83333333333333333 0.0 0.027778
0.83333333333333333 0.0 0.0 0.027778
0.83333333333333333 0.16666666666666666 0.0 0.027778
0.83333333333333333 0.33333333333333333 0.0 0.027778
0.83333333333333333 0.5 0.0 0.027778

```

```
0.8333333333333333 0.6666666666666666 0.0 0.027778
0.8333333333333333 0.8333333333333333 0.0 0.027778
```

```
CELL_PARAMETERS angstrom
3.2731880139 0.0 2e-16
-2e-16 3.9533439905 2e-16
0.0 0.0 25.1849575755
```

```
---                epw1.in ---
&inputepw
prefix = 'hBN'
amass(1) = 47.867
amass(2) = 14.007
amass(3) = 35.453
outdir = './'
elph = .false.
epbwrite = .false.
epbread = .false.
epwwrite = .true.
epwread = .false.
etf_mem = 1
nbndsub = 24
use_ws = .true.
wannierize = .true.
num_iter = 1000
iprint = 2
dis_win_max = 10.851606807084258
dis_froz_max = -1.307977760452741
fsthick = 1.2
temps = 1
degaussw = 0.005
dvscf_dir = './save'
nk1 = 6
nk2 = 6
nk3 = 1
nq1 = 1
nq2 = 1
nq3 = 1
system_2d = 'dipole_sp'
lpolar = .true.
dis_win_min = -20.949514191294444
wdata(1) = 'guiding_centres = T'
wdata(2) = 'dis_num_iter = 1500'
wdata(3) = 'bands_num_points = 100 '
wdata(4) = 'bands_plot = .true.'
wdata(5) = 'begin kpoint_path'
wdata(6) = 'G 0.0 0.0 0.0 M 0.5 0.0 0.0'
wdata(7) = 'M 0.5 0.0 0.0 K 0.3333333333 0.3333333333 0.0'
wdata(8) = 'K 0.3333333333 0.3333333333 0.0 X 1.0 1.0 0.0'
wdata(9) = 'X 1.0 1.0 0.0 M1 0.0 0.5 0.0'
wdata(10) = 'M1 0.0 0.5 0.0 G 0.0 0.0 0.0'
wdata(11) = 'end kpoint_path'
bands_skipped = 'exclude_bands = 1-12'
proj(1) = 'Ti: l= 3, mr= 1,3,4,6'
proj(2) = 'N: l= 3, mr= 4,5,7'
proj(3) = 'Cl: l= 3, mr= 1,2,4,5,6'
dis_froz_min = -11.861329476264526
/
```

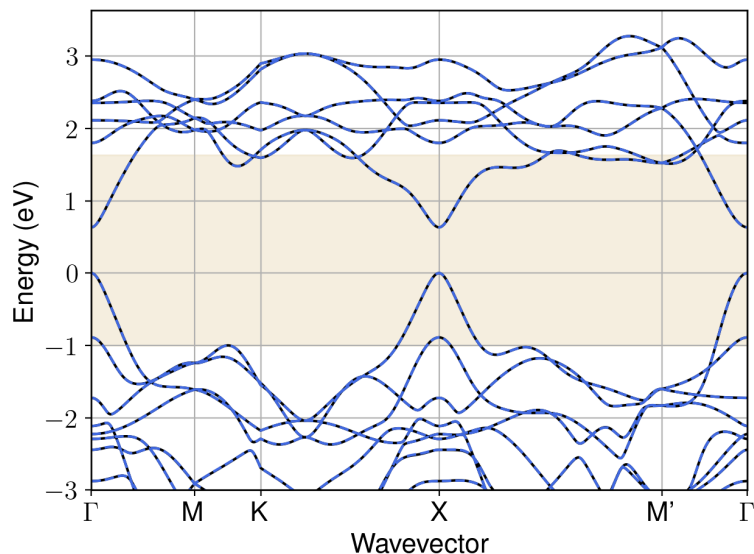


Figure S161: Bandstructure interpolation for monolayer  $\text{Ti}_2\text{N}_2\text{Cl}_2$ . Wannier-interpolation of the band structure of monolayer  $\text{Ti}_2\text{N}_2\text{Cl}_2$  over a wide energy range. Blue dashed lines are results from the present method, black solid lines are explicit DFT calculations. The yellow shaded region shows the range over which optimization has been performed. The interpolation error within the yellow region is 1 meV. The k-grid employed for NSCF calculation is  $6 \times 6$ .

## 150 Material: $\text{Ti}_2\text{N}_2\text{I}_2$

The calculation files are appended below. These files should be executed in the order provided. The location of pseudo potentials should be changed accordingly.

```

---          scf.in ---
&CONTROL
calculation = 'scf'
verbosity = 'high'
restart_mode = 'from_scratch'
outdir = './'
pseudo_dir = '/scratch1/05193/sabyadk/2D_materials_Wann/Materials/Ti2N2I2-c71e186d/pseudo/'
prefix = 'hBN'
/
&SYSTEM
ibrav = 0
nat = 6
ntyp = 3
ecutwfc = 60
ecutrho = 240
occupations = 'smearing'
smearing = 'gaussian'
degauss = 0.01
/
&ELECTRONS
conv_thr = 1E-10
diagonalization = cg
electron_maxstep = 500
/
ATOMIC_SPECIES
Ti 47.867 Ti_r.upf
I 126.904 I_r.upf
N 14.007 N_r.upf
ATOMIC_POSITIONS crystal
Ti 0.4999999999986 0.0 0.973390871246

```

```

Ti 0.0 0.5 0.026609133358
I 0.0 0.0 0.887627355839
I 0.499999999986 0.5 0.112372649605
N 0.499999999986 0.5 0.987644304736
N 0.0 0.0 0.012355685216

K_POINTS automatic
6 6 1 0 0 0

CELL_PARAMETERS angstrom
3.5302590857 0.0 2e-16
-2e-16 3.9701793762 2e-16
0.0 0.0 25.8532673162

```

```

---                nscf.in ---
&CONTROL
calculation = bands
verbosity = 'high'
restart_mode = 'from_scratch'
outdir = './'
pseudo_dir = '/scratch1/05193/sabyadk/2D_materials_Wann/Materials/Ti2N2I2-c71e186d/pseudo/'
prefix = 'hBN'
/
&SYSTEM
ibrav = 0
nat = 6
ntyp = 3
ecutwfc = 60
ecutrho = 240
occupations = 'smearing'
smearing = 'gaussian'
degauss = 0.01
nbnd = 60
/
&ELECTRONS
conv_thr = 1E-10
diagonalization = cg
electron_maxstep = 500
/
ATOMIC_SPECIES
Ti 47.867 Ti_r.upf
I 126.904 I_r.upf
N 14.007 N_r.upf
ATOMIC_POSITIONS crystal
Ti 0.499999999986 0.0 0.973390871246
Ti 0.0 0.5 0.026609133358
I 0.0 0.0 0.887627355839
I 0.499999999986 0.5 0.112372649605
N 0.499999999986 0.5 0.987644304736
N 0.0 0.0 0.012355685216

K_POINTS crystal
36
0.0 0.0 0.0 0.027778
0.0 0.1666666666666666 0.0 0.027778
0.0 0.3333333333333333 0.0 0.027778
0.0 0.5 0.0 0.027778
0.0 0.6666666666666666 0.0 0.027778
0.0 0.8333333333333333 0.0 0.027778
0.1666666666666666 0.0 0.0 0.027778
0.1666666666666666 0.1666666666666666 0.0 0.027778
0.1666666666666666 0.3333333333333333 0.0 0.027778
0.1666666666666666 0.5 0.0 0.027778
0.1666666666666666 0.6666666666666666 0.0 0.027778
0.1666666666666666 0.8333333333333333 0.0 0.027778
0.3333333333333333 0.0 0.0 0.027778
0.3333333333333333 0.1666666666666666 0.0 0.027778
0.3333333333333333 0.3333333333333333 0.0 0.027778
0.3333333333333333 0.5 0.0 0.027778
0.3333333333333333 0.6666666666666666 0.0 0.027778
0.3333333333333333 0.8333333333333333 0.0 0.027778
0.5 0.0 0.0 0.027778
0.5 0.1666666666666666 0.0 0.027778
0.5 0.3333333333333333 0.0 0.027778
0.5 0.5 0.0 0.027778
0.5 0.6666666666666666 0.0 0.027778
0.5 0.8333333333333333 0.0 0.027778
0.6666666666666666 0.0 0.0 0.027778
0.6666666666666666 0.1666666666666666 0.0 0.027778
0.6666666666666666 0.3333333333333333 0.0 0.027778
0.6666666666666666 0.5 0.0 0.027778
0.6666666666666666 0.6666666666666666 0.0 0.027778
0.6666666666666666 0.8333333333333333 0.0 0.027778

```

```

0.8333333333333333 0.0 0.0 0.027778
0.8333333333333333 0.1666666666666666 0.0 0.027778
0.8333333333333333 0.3333333333333333 0.0 0.027778
0.8333333333333333 0.5 0.0 0.027778
0.8333333333333333 0.6666666666666666 0.0 0.027778
0.8333333333333333 0.8333333333333333 0.0 0.027778

CELL_PARAMETERS angstrom
3.5302590857 0.0 2e-16
-2e-16 3.9701793762 2e-16
0.0 0.0 25.8532673162

```

```

---                epw1.in ---
&inputepw
prefix = 'hEN'
amass(1) = 47.867
amass(2) = 126.904
amass(3) = 14.007
outdir = './'
elph = .false.
epbwrite = .false.
epbread = .false.
epwwrite = .true.
epwread = .false.
etf_mem = 1
nbndsub = 26
use_ws = .true.
wannierize = .true.
num_iter = 1000
iprint = 2
dis_win_max = 15.572523351970865
dis_froz_max = 4.277607098048097
fsthick = 1.2
temps = 1
degaussw = 0.005
dvscf_dir = './save'
nk1 = 6
nk2 = 6
nk3 = 1
nq1 = 1
nq2 = 1
nq3 = 1
dis_win_min = -17.670761865786126
wdata(1) = 'guiding_centres = T'
wdata(2) = 'dis_num_iter = 1500'
wdata(3) = 'bands_num_points = 100 '
wdata(4) = 'bands_plot = .true.'
wdata(5) = 'begin kpoint_path'
wdata(6) = 'G 0.0 0.0 0.0 M 0.5 0.0 0.0'
wdata(7) = 'M 0.5 0.0 0.0 K 0.3333333333 0.3333333333 0.0'
wdata(8) = 'K 0.3333333333 0.3333333333 0.0 X 1.0 1.0 0.0'
wdata(9) = 'X 1.0 1.0 0.0 M1 0.0 0.5 0.0'
wdata(10) = 'M1 0.0 0.5 0.0 G 0.0 0.0 0.0'
wdata(11) = 'end kpoint_path'
bands_skipped = 'exclude_bands = 1-12'
proj(1) = 'Ti: l= -5, mr= 1,3,4,5'
proj(2) = 'I: l= 3, mr= 1,2,5,6,7'
proj(3) = 'N: l= -5, mr= 1,3,4,6'
dis_froz_min = -10.314243685577177
/

```



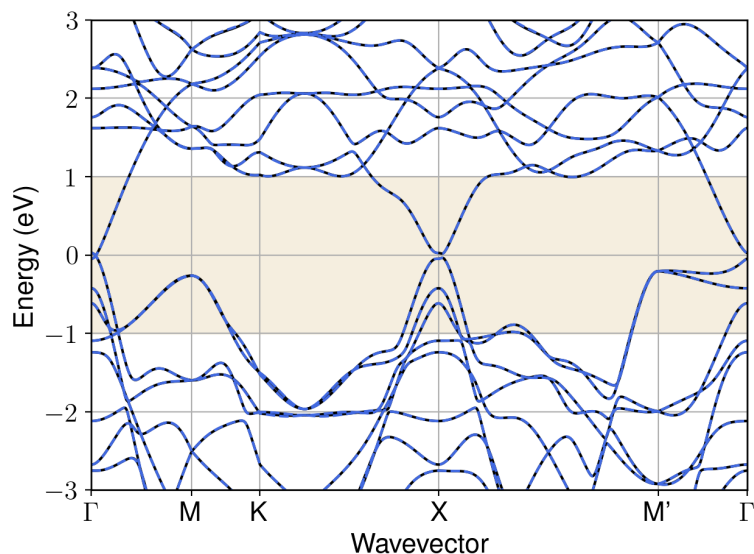


Figure S162: Bandstructure interpolation for monolayer  $\text{Ti}_2\text{N}_2\text{I}_2$ . Wannier-interpolation of the band structure of monolayer  $\text{Ti}_2\text{N}_2\text{I}_2$  over a wide energy range. Blue dashed lines are results from the present method, black solid lines are explicit DFT calculations. The yellow shaded region shows the range over which optimization has been performed. The interpolation error within the yellow region is 1 meV. The k-grid employed for NSCF calculation is  $6 \times 6$ .

## 151 Material: $\text{Ti}_2\text{O}_2\text{Br}_2$

The calculation files are appended below. These files should be executed in the order provided. The location of pseudo potentials should be changed accordingly.

```

---          scf.in ---
&CONTROL
calculation = 'scf'
verbosity = 'high'
restart_mode = 'from_scratch'
outdir = './'
pseudo_dir = '/scratch1/05193/sabyadk/2D_materials_Wann/Materials/Ti2O2Br2-738fbe70/pseudo/'
prefix = 'hBN'
/
&SYSTEM
ibrav = 0
nat = 6
ntyp = 3
ecutwfc = 60
ecutrho = 240
occupations = 'smearing'
smearing = 'gaussian'
degauss = 0.01
/
&ELECTRONS
conv_thr = 1E-10
diagonalization = cg
electron_maxstep = 500
/
ATOMIC_SPECIES
Ti 47.867 Ti_r.upf
Br 79.904 Br_r.upf
O 15.999 O_r.upf
ATOMIC_POSITIONS crystal
Ti 0.0 0.5 0.975986857287

```

```

Ti 0.500000000015 0.0 0.024013189321
Br 0.500000000015 0.5 0.897396929942
Br 0.0 0.0 0.102602822976
O 0.0 0.0 0.9792464195
O 0.500000000015 0.5 0.020753780974

K_POINTS automatic
6 6 1 0 0 0

CELL_PARAMETERS angstrom
3.393138961542 0.0 2e-16
-2e-16 4.079287849569 2e-16
0.0 0.0 25.2453715395

```

```

---                nscf.in ---
&CONTROL
calculation = bands
verbosity = 'high'
restart_mode = 'from_scratch'
outdir = './'
pseudo_dir = '/scratch1/05193/sabyadk/2D_materials_Wann/Materials/Ti202Br2-738fbe70/pseudo/'
prefix = 'hBN'
/
&SYSTEM
ibrav = 0
nat = 6
ntyp = 3
ecutwfc = 60
ecutrho = 240
occupations = 'smearing'
smearing = 'gaussian'
degauss = 0.01
nbnd = 60
/
&ELECTRONS
conv_thr = 1E-10
diagonalization = cg
electron_maxstep = 500
/
ATOMIC_SPECIES
Ti 47.867 Ti_r.upf
Br 79.904 Br_r.upf
O 15.999 O_r.upf
ATOMIC_POSITIONS crystal
Ti 0.0 0.5 0.975986857287
Ti 0.500000000015 0.0 0.024013189321
Br 0.500000000015 0.5 0.897396929942
Br 0.0 0.0 0.102602822976
O 0.0 0.0 0.9792464195
O 0.500000000015 0.5 0.020753780974

K_POINTS crystal
36
0.0 0.0 0.0 0.027778
0.0 0.1666666666666666 0.0 0.027778
0.0 0.3333333333333333 0.0 0.027778
0.0 0.5 0.0 0.027778
0.0 0.6666666666666666 0.0 0.027778
0.0 0.8333333333333333 0.0 0.027778
0.1666666666666666 0.0 0.0 0.027778
0.1666666666666666 0.1666666666666666 0.0 0.027778
0.1666666666666666 0.3333333333333333 0.0 0.027778
0.1666666666666666 0.5 0.0 0.027778
0.1666666666666666 0.6666666666666666 0.0 0.027778
0.1666666666666666 0.8333333333333333 0.0 0.027778
0.3333333333333333 0.0 0.0 0.027778
0.3333333333333333 0.1666666666666666 0.0 0.027778
0.3333333333333333 0.3333333333333333 0.0 0.027778
0.3333333333333333 0.5 0.0 0.027778
0.3333333333333333 0.6666666666666666 0.0 0.027778
0.3333333333333333 0.8333333333333333 0.0 0.027778
0.5 0.0 0.0 0.027778
0.5 0.1666666666666666 0.0 0.027778
0.5 0.3333333333333333 0.0 0.027778
0.5 0.5 0.0 0.027778
0.5 0.6666666666666666 0.0 0.027778
0.5 0.8333333333333333 0.0 0.027778
0.6666666666666666 0.0 0.0 0.027778
0.6666666666666666 0.1666666666666666 0.0 0.027778
0.6666666666666666 0.3333333333333333 0.0 0.027778
0.6666666666666666 0.5 0.0 0.027778
0.6666666666666666 0.6666666666666666 0.0 0.027778
0.6666666666666666 0.8333333333333333 0.0 0.027778

```

```

0.8333333333333333 0.0 0.0 0.027778
0.8333333333333333 0.1666666666666666 0.0 0.027778
0.8333333333333333 0.3333333333333333 0.0 0.027778
0.8333333333333333 0.5 0.0 0.027778
0.8333333333333333 0.6666666666666666 0.0 0.027778
0.8333333333333333 0.8333333333333333 0.0 0.027778

```

```

CELL_PARAMETERS angstrom
3.393138961542 0.0 2e-16
-2e-16 4.079287849569 2e-16
0.0 0.0 25.2453715395

```

```

---                epw1.in ---
&inputepw
prefix = 'hEN'
amass(1) = 47.867
amass(2) = 79.904
amass(3) = 15.999
outdir = './'
elph = .false.
epbwrite = .false.
epbread = .false.
epwwrite = .true.
epwread = .false.
etf_mem = 1
nbndsub = 26
use_ws = .true.
wannierize = .true.
num_iter = 1000
iprint = 2
dis_win_max = 20.35888572810271
dis_froz_max = 3.699810303169479
fsthick = 1.2
temps = 1
degaussw = 0.005
dvscf_dir = './save'
nk1 = 6
nk2 = 6
nk3 = 1
nq1 = 1
nq2 = 1
nq3 = 1
dis_win_min = -20.495775077091988
wdata(1) = 'guiding_centres = T'
wdata(2) = 'dis_num_iter = 1500'
wdata(3) = 'bands_num_points = 100 '
wdata(4) = 'bands_plot = .true.'
wdata(5) = 'begin kpoint_path'
wdata(6) = 'G 0.0 0.0 0.0 M 0.5 0.0 0.0'
wdata(7) = 'M 0.5 0.0 0.0 K 0.3333333333 0.3333333333 0.0'
wdata(8) = 'K 0.3333333333 0.3333333333 0.0 X 1.0 1.0 0.0'
wdata(9) = 'X 1.0 1.0 0.0 M1 0.0 0.5 0.0'
wdata(10) = 'M1 0.0 0.5 0.0 G 0.0 0.0 0.0'
wdata(11) = 'end kpoint_path'
bands_skipped = 'exclude_bands = 1-12'
proj(1) = 'Ti: l= -4, mr= 1,2,4'
proj(2) = 'Br: l= 3, mr= 1,3,4,5,7'
proj(3) = 'O: l= -5, mr= 2,3,4,5,6'
dis_froz_min = -6.626776373413922
/

```

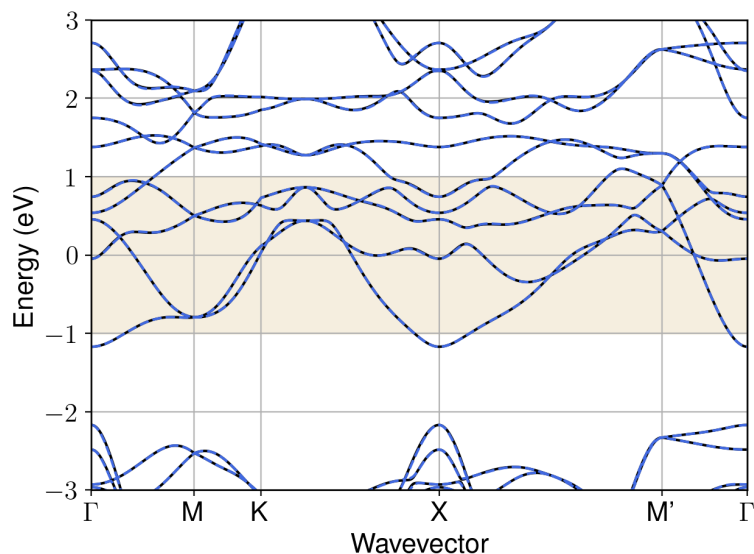


Figure S163: Bandstructure interpolation for monolayer  $\text{Ti}_2\text{O}_2\text{Br}_2$ . Wannier-interpolation of the band structure of monolayer  $\text{Ti}_2\text{O}_2\text{Br}_2$  over a wide energy range. Blue dashed lines are results from the present method, black solid lines are explicit DFT calculations. The yellow shaded region shows the range over which optimization has been performed. The interpolation error within the yellow region is 2 meV. The k-grid employed for NSCF calculation is  $6 \times 6$ .

## 152 Material: $\text{Ti}_2\text{O}_2\text{Cl}_2$

The calculation files are appended below. These files should be executed in the order provided. The location of pseudo potentials should be changed accordingly.

```

---          scf.in ---
&CONTROL
calculation = 'scf'
verbosity = 'high'
restart_mode = 'from_scratch'
outdir = './'
pseudo_dir = '/scratch1/05193/sabyadk/2D_materials_Wann/Materials/Ti2O2Cl2-0e1a716c/pseudo/'
prefix = 'hBN'
/
&SYSTEM
ibrav = 0
nat = 6
ntyp = 3
ecutwfc = 60
ecutrho = 240
occupations = 'smearing'
smearing = 'gaussian'
degauss = 0.01
/
&ELECTRONS
conv_thr = 1E-10
diagonalization = cg
electron_maxstep = 500
/
ATOMIC_SPECIES
Ti 47.867 Ti_r.upf
Cl 35.453 Cl_r.upf
O 15.999 O_r.upf
ATOMIC_POSITIONS crystal
Ti 0.499999999985 0.0 0.972106304382

```

```

Ti 0.0 0.499999999975 0.02789364086
Cl 0.0 0.0 0.900080782386
Cl 0.499999999985 0.499999999975 0.099919212239
O 0.499999999985 0.499999999975 0.9763529706
O 0.0 0.0 0.023647089533

K_POINTS automatic
6 6 1 0 0 0

CELL_PARAMETERS angstrom
3.2610212407 0.0 2e-16
-2e-16 4.0256328532 2e-16
0.0 0.0 24.9437525048

```

```

--- nscf.in ---
&CONTROL
calculation = bands
verbosity = 'high'
restart_mode = 'from_scratch'
outdir = './'
pseudo_dir = '/scratch1/05193/sabyadk/2D_materials_Wann/Materials/Ti202Cl2-0e1a716c/pseudo/'
prefix = 'hBN'
/
&SYSTEM
ibrav = 0
nat = 6
ntyp = 3
ecutwfc = 60
ecutrho = 240
occupations = 'smearing'
smearing = 'gaussian'
degauss = 0.01
nbnd = 60
/
&ELECTRONS
conv_thr = 1E-10
diagonalization = cg
electron_maxstep = 500
/
ATOMIC_SPECIES
Ti 47.867 Ti_r.upf
Cl 35.453 Cl_r.upf
O 15.999 O_r.upf
ATOMIC_POSITIONS crystal
Ti 0.499999999985 0.0 0.972106304382
Ti 0.0 0.499999999975 0.02789364086
Cl 0.0 0.0 0.900080782386
Cl 0.499999999985 0.499999999975 0.099919212239
O 0.499999999985 0.499999999975 0.9763529706
O 0.0 0.0 0.023647089533

K_POINTS crystal
36
0.0 0.0 0.0 0.027778
0.0 0.1666666666666666 0.0 0.027778
0.0 0.3333333333333333 0.0 0.027778
0.0 0.5 0.0 0.027778
0.0 0.6666666666666666 0.0 0.027778
0.0 0.8333333333333333 0.0 0.027778
0.1666666666666666 0.0 0.0 0.027778
0.1666666666666666 0.1666666666666666 0.0 0.027778
0.1666666666666666 0.3333333333333333 0.0 0.027778
0.1666666666666666 0.5 0.0 0.027778
0.1666666666666666 0.6666666666666666 0.0 0.027778
0.1666666666666666 0.8333333333333333 0.0 0.027778
0.3333333333333333 0.0 0.0 0.027778
0.3333333333333333 0.1666666666666666 0.0 0.027778
0.3333333333333333 0.3333333333333333 0.0 0.027778
0.3333333333333333 0.5 0.0 0.027778
0.3333333333333333 0.6666666666666666 0.0 0.027778
0.3333333333333333 0.8333333333333333 0.0 0.027778
0.5 0.0 0.0 0.027778
0.5 0.1666666666666666 0.0 0.027778
0.5 0.3333333333333333 0.0 0.027778
0.5 0.5 0.0 0.027778
0.5 0.6666666666666666 0.0 0.027778
0.5 0.8333333333333333 0.0 0.027778
0.6666666666666666 0.0 0.0 0.027778
0.6666666666666666 0.1666666666666666 0.0 0.027778
0.6666666666666666 0.3333333333333333 0.0 0.027778
0.6666666666666666 0.5 0.0 0.027778
0.6666666666666666 0.6666666666666666 0.0 0.027778
0.6666666666666666 0.8333333333333333 0.0 0.027778

```

```

0.8333333333333333 0.0 0.0 0.027778
0.8333333333333333 0.1666666666666666 0.0 0.027778
0.8333333333333333 0.3333333333333333 0.0 0.027778
0.8333333333333333 0.5 0.0 0.027778
0.8333333333333333 0.6666666666666666 0.0 0.027778
0.8333333333333333 0.8333333333333333 0.0 0.027778

CELL_PARAMETERS angstrom
3.2610212407 0.0 2e-16
-2e-16 4.0256328532 2e-16
0.0 0.0 24.9437525048

```

```

---                epw1.in ---
&inputepw
prefix = 'hEN'
amass(1) = 47.867
amass(2) = 35.453
amass(3) = 15.999
outdir = './'
elph = .false.
epbwrite = .false.
epbread = .false.
epwwrite = .true.
epwread = .false.
etf_mem = 1
nbndsub = 22
use_ws = .true.
wannierize = .true.
num_iter = 1000
iprint = 2
dis_win_max = 17.057693024508314
dis_froz_max = 1.196741754148141
fsthick = 1.2
temps = 1
degaussw = 0.005
dvscf_dir = './save'
nk1 = 6
nk2 = 6
nk3 = 1
nq1 = 1
nq2 = 1
nq3 = 1
dis_win_min = -18.76149591578667
wdata(1) = 'guiding_centres = T'
wdata(2) = 'dis_num_iter = 1500'
wdata(3) = 'bands_num_points = 100 '
wdata(4) = 'bands_plot = .true.'
wdata(5) = 'begin kpoint_path'
wdata(6) = 'G 0.0 0.0 0.0 M 0.5 0.0 0.0'
wdata(7) = 'M 0.5 0.0 0.0 K 0.3333333333 0.3333333333 0.0'
wdata(8) = 'K 0.3333333333 0.3333333333 0.0 X 1.0 1.0 0.0'
wdata(9) = 'X 1.0 1.0 0.0 M1 0.0 0.5 0.0'
wdata(10) = 'M1 0.0 0.5 0.0 G 0.0 0.0 0.0'
wdata(11) = 'end kpoint_path'
bands_skipped = 'exclude_bands = 1-12'
proj(1) = 'Ti: l= 3, mr= 1,2,5,7'
proj(2) = 'Cl: l= 3, mr= 1,3,4'
proj(3) = 'O: l= 3, mr= 3,4,6,7'
dis_froz_min = -8.969754135646326
/

```

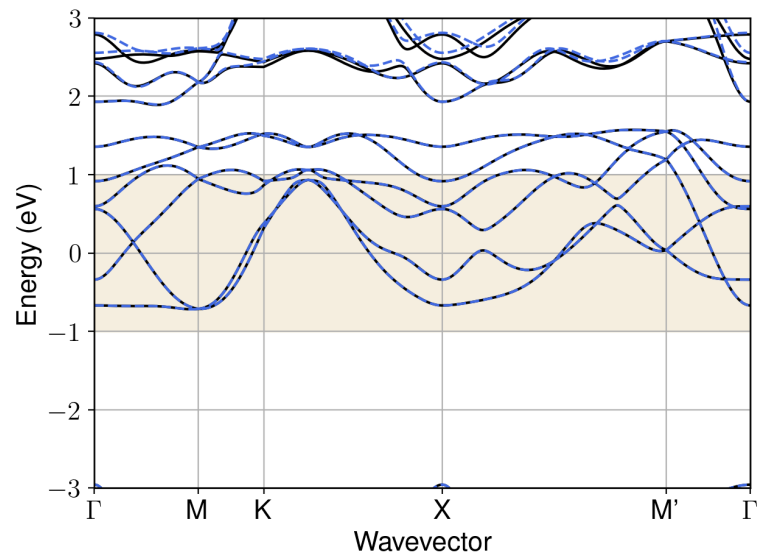


Figure S164: Bandstructure interpolation for monolayer  $\text{Ti}_2\text{O}_2\text{Cl}_2$ . Wannier-interpolation of the band structure of monolayer  $\text{Ti}_2\text{O}_2\text{Cl}_2$  over a wide energy range. Blue dashed lines are results from the present method, black solid lines are explicit DFT calculations. The yellow shaded region shows the range over which optimization has been performed. The interpolation error within the yellow region is 1 meV. The k-grid employed for NSCF calculation is  $6 \times 6$ .

### 153 Material: $\text{Ti}_2\text{PTe}_2$

The calculation files are appended below. These files should be executed in the order provided. The location of pseudo potentials should be changed accordingly.

```

---          scf.in ---
&CONTROL
calculation = 'scf'
verbosity = 'high'
restart_mode = 'from_scratch'
outdir = './'
pseudo_dir = '/scratch1/05193/sabyadk/2D_materials_Wann/Materials/Ti2Pte2-b8da2485/pseudo/'
prefix = 'hBN'
/
&SYSTEM
ibrav = 0
nat = 5
ntyp = 3
ecutwfc = 60
ecutrho = 240
occupations = 'smearing'
smearing = 'gaussian'
degauss = 0.01
/
&ELECTRONS
conv_thr = 1E-10
diagonalization = cg
electron_maxstep = 500
/
ATOMIC_SPECIES
Ti 47.867 Ti_r.upf
Te 126.7 Te_r.upf
P 30.974 P_r.upf
ATOMIC_POSITIONS crystal
Ti 0.3333333333333333 0.6666666666666666 0.949729293776

```

```

Ti 3.2e-11 6.3e-11 0.050270702531
Te 0.3333333333333333 0.6666666666666666 0.119913945158
Te 3.2e-11 6.3e-11 0.880086057691
P 0.6666666666666666 0.3333333333333333 8.45e-10

K_POINTS automatic
6 6 1 0 0 0

CELL_PARAMETERS angstrom
3.6438693679 0.0 2e-16
-1.8219346838999815 3.1556834406999137 2e-16
0.0 0.0 26.3222723261

```

```

--- nscf.in ---
&CONTROL
calculation = bands
verbosity = 'high'
restart_mode = 'from_scratch'
outdir = './'
pseudo_dir = '/scratch1/05193/sabyadk/2D_materials_Wann/Materials/Ti2PTE2-b8da2485/pseudo/'
prefix = 'hEN'
/
&SYSTEM
ibrav = 0
nat = 5
ntyp = 3
ecutwfc = 60
ecutrho = 240
occupations = 'smearing'
smearing = 'gaussian'
degauss = 0.01
nbnd = 60
/
&ELECTRONS
conv_thr = 1E-10
diagonalization = cg
electron_maxstep = 500
/
ATOMIC_SPECIES
Ti 47.867 Ti_r.upf
Te 126.7 Te_r.upf
P 30.974 P_r.upf
ATOMIC_POSITIONS crystal
Ti 0.3333333333333333 0.6666666666666666 0.949729293776
Ti 3.2e-11 6.3e-11 0.050270702531
Te 0.3333333333333333 0.6666666666666666 0.119913945158
Te 3.2e-11 6.3e-11 0.880086057691
P 0.6666666666666666 0.3333333333333333 8.45e-10

K_POINTS crystal
36
0.0 0.0 0.0 0.027778
0.0 0.1666666666666666 0.0 0.027778
0.0 0.3333333333333333 0.0 0.027778
0.0 0.5 0.0 0.027778
0.0 0.6666666666666666 0.0 0.027778
0.0 0.8333333333333333 0.0 0.027778
0.1666666666666666 0.0 0.0 0.027778
0.1666666666666666 0.1666666666666666 0.0 0.027778
0.1666666666666666 0.3333333333333333 0.0 0.027778
0.1666666666666666 0.5 0.0 0.027778
0.1666666666666666 0.6666666666666666 0.0 0.027778
0.1666666666666666 0.8333333333333333 0.0 0.027778
0.3333333333333333 0.0 0.0 0.027778
0.3333333333333333 0.1666666666666666 0.0 0.027778
0.3333333333333333 0.3333333333333333 0.0 0.027778
0.3333333333333333 0.5 0.0 0.027778
0.3333333333333333 0.6666666666666666 0.0 0.027778
0.3333333333333333 0.8333333333333333 0.0 0.027778
0.5 0.0 0.0 0.027778
0.5 0.1666666666666666 0.0 0.027778
0.5 0.3333333333333333 0.0 0.027778
0.5 0.5 0.0 0.027778
0.5 0.6666666666666666 0.0 0.027778
0.5 0.8333333333333333 0.0 0.027778
0.6666666666666666 0.0 0.0 0.027778
0.6666666666666666 0.1666666666666666 0.0 0.027778
0.6666666666666666 0.3333333333333333 0.0 0.027778
0.6666666666666666 0.5 0.0 0.027778
0.6666666666666666 0.6666666666666666 0.0 0.027778
0.6666666666666666 0.8333333333333333 0.0 0.027778
0.8333333333333333 0.0 0.0 0.027778
0.8333333333333333 0.1666666666666666 0.0 0.027778

```



```

0.8333333333333333 0.3333333333333333 0.0 0.027778
0.8333333333333333 0.5 0.0 0.027778
0.8333333333333333 0.6666666666666666 0.0 0.027778
0.8333333333333333 0.8333333333333333 0.0 0.027778

```

```

CELL_PARAMETERS angstrom
3.6438693679 0.0 2e-16
-1.8219346838999815 3.1556834406999137 2e-16
0.0 0.0 26.3222723261

```

```

---                epw1.in ---
&inputepw
prefix = 'hBN'
amass(1) = 47.867
amass(2) = 126.7
amass(3) = 30.974
outdir = './'
elph = .false.
epbwrite = .false.
epbread = .false.
epwwrite = .true.
epwread = .false.
etf_mem = 1
nbndsub = 19
use_ws = .true.
wannierize = .true.
num_iter = 1000
iprint = 2
dis_win_max = 14.43368854039773
dis_froz_max = 2.827583518006489
fsthick = 1.2
temps = 1
degaussw = 0.005
dvscf_dir = './save'
nk1 = 6
nk2 = 6
nk3 = 1
nq1 = 1
nq2 = 1
nq3 = 1
dis_win_min = -12.404121895964382
wdata(1) = 'guiding_centres = T'
wdata(2) = 'dis_num_iter = 1500'
wdata(3) = 'bands_num_points = 100 '
wdata(4) = 'bands_plot = .true.'
wdata(5) = 'begin kpoint_path'
wdata(6) = 'G 0.0 0.0 0.0 M 0.5 0.0 0.0'
wdata(7) = 'M 0.5 0.0 0.0 K 0.3333333333 0.3333333333 0.0'
wdata(8) = 'K 0.3333333333 0.3333333333 0.0 X 1.0 1.0 0.0'
wdata(9) = 'X 1.0 1.0 0.0 M1 0.0 0.5 0.0'
wdata(10) = 'M1 0.0 0.5 0.0 G 0.0 0.0 0.0'
wdata(11) = 'end kpoint_path'
bands_skipped = 'exclude_bands = 1-21'
proj(1) = 'Ti: l= -5, mr= 1,3,4,5'
proj(2) = 'Te: l= -5, mr= 1,2,5,6'
proj(3) = 'P: l= 3, mr= 1,5,6'
dis_froz_min = -7.401728556652414
/

```

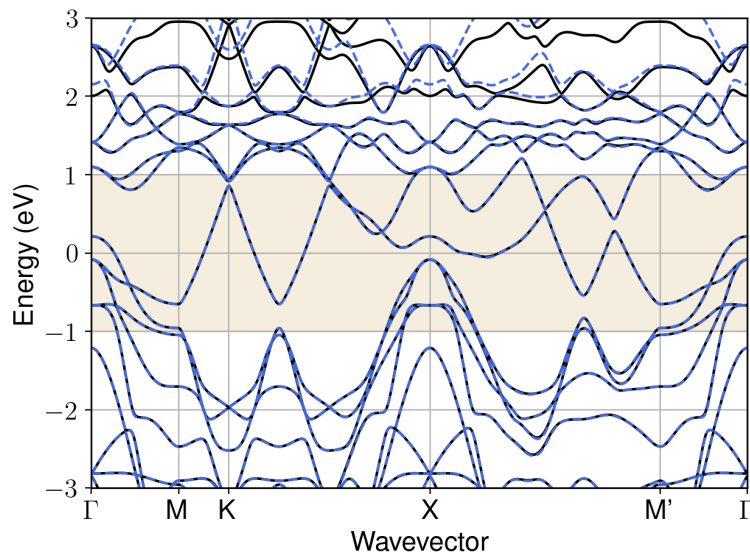


Figure S165: Bandstructure interpolation for monolayer  $\text{Ti}_2\text{PTe}_2$ . Wannier-interpolation of the band structure of monolayer  $\text{Ti}_2\text{PTe}_2$  over a wide energy range. Blue dashed lines are results from the present method, black solid lines are explicit DFT calculations. The yellow shaded region shows the range over which optimization has been performed. The interpolation error within the yellow region is 4 meV. The k-grid employed for NSCF calculation is  $6 \times 6$ .

## 154 Material: $\text{TiBr}_2$

The calculation files are appended below. These files should be executed in the order provided. The location of pseudo potentials should be changed accordingly.

```

---          scf.in ---
&CONTROL
calculation = 'scf'
verbosity = 'high'
restart_mode = 'from_scratch'
outdir = './'
pseudo_dir = '/scratch1/05193/sabyadk/2D_materials_Wann/Materials/TiBr2-20f23168/pseudo/'
prefix = 'hBN'
/
&SYSTEM
ibrav = 0
nat = 3
ntyp = 2
ecutwfc = 60
ecutrho = 240
occupations = 'smearing'
smearing = 'gaussian'
degauss = 0.01
/
&ELECTRONS
conv_thr = 1E-10
diagonalization = cg
electron_maxstep = 500
/
ATOMIC_SPECIES
Ti 47.867 Ti_r.upf
Br 79.904 Br_r.upf
ATOMIC_POSITIONS crystal
Ti 0.0 0.0 0.999999999999
Br 0.3333333333333333 0.6666666666666666 0.927766435265

```

```

Br 0.6666666666666666 0.3333333333333333 0.072233564736

K_POINTS automatic
6 6 1 0 0 0

CELL_PARAMETERS angstrom
3.5037945504 0.0 2e-16
-1.751897275299748 3.034375090299568 2e-16
0.0 0.0 23.3857831485

```

```

--- nscf.in ---
&CONTROL
calculation = bands
verbosity = 'high'
restart_mode = 'from_scratch'
outdir = './'
pseudo_dir = '/scratch1/05193/sabyadk/2D_materials_Wann/Materials/TiBr2-20f23168/pseudo/'
prefix = 'hBN'
/
&SYSTEM
ibrav = 0
nat = 3
ntyp = 2
ecutwfc = 60
ecutrho = 240
occupations = 'smearing'
smearing = 'gaussian'
degauss = 0.01
nbnd = 60
/
&ELECTRONS
conv_thr = 1E-10
diagonalization = cg
electron_maxstep = 500
/
ATOMIC_SPECIES
Ti 47.867 Ti_r.upf
Br 79.904 Br_r.upf
ATOMIC_POSITIONS crystal
Ti 0.0 0.0 0.999999999999
Br 0.3333333333333333 0.6666666666666666 0.927766435265
Br 0.6666666666666666 0.3333333333333333 0.072233564736

K_POINTS crystal
36
0.0 0.0 0.0 0.027778
0.0 0.1666666666666666 0.0 0.027778
0.0 0.3333333333333333 0.0 0.027778
0.0 0.5 0.0 0.027778
0.0 0.6666666666666666 0.0 0.027778
0.0 0.8333333333333333 0.0 0.027778
0.1666666666666666 0.0 0.0 0.027778
0.1666666666666666 0.1666666666666666 0.0 0.027778
0.1666666666666666 0.3333333333333333 0.0 0.027778
0.1666666666666666 0.5 0.0 0.027778
0.1666666666666666 0.6666666666666666 0.0 0.027778
0.1666666666666666 0.8333333333333333 0.0 0.027778
0.3333333333333333 0.0 0.0 0.027778
0.3333333333333333 0.1666666666666666 0.0 0.027778
0.3333333333333333 0.3333333333333333 0.0 0.027778
0.3333333333333333 0.5 0.0 0.027778
0.3333333333333333 0.6666666666666666 0.0 0.027778
0.3333333333333333 0.8333333333333333 0.0 0.027778
0.5 0.0 0.0 0.027778
0.5 0.1666666666666666 0.0 0.027778
0.5 0.3333333333333333 0.0 0.027778
0.5 0.5 0.0 0.027778
0.5 0.6666666666666666 0.0 0.027778
0.5 0.8333333333333333 0.0 0.027778
0.6666666666666666 0.0 0.0 0.027778
0.6666666666666666 0.1666666666666666 0.0 0.027778
0.6666666666666666 0.3333333333333333 0.0 0.027778
0.6666666666666666 0.5 0.0 0.027778
0.6666666666666666 0.6666666666666666 0.0 0.027778
0.6666666666666666 0.8333333333333333 0.0 0.027778
0.8333333333333333 0.0 0.0 0.027778
0.8333333333333333 0.1666666666666666 0.0 0.027778
0.8333333333333333 0.3333333333333333 0.0 0.027778
0.8333333333333333 0.5 0.0 0.027778
0.8333333333333333 0.6666666666666666 0.0 0.027778
0.8333333333333333 0.8333333333333333 0.0 0.027778

CELL_PARAMETERS angstrom

```

```

3.5037945504 0.0 2e-16
-1.751897275299748 3.034375090299568 2e-16
0.0 0.0 23.3857831485

```

```

---                epw1.in ---
&inputepw
prefix = 'hBN'
amass(1) = 47.867
amass(2) = 79.904
outdir = './'
elph = .false.
epbwrite = .false.
epbread = .false.
epwwrite = .true.
epwread = .false.
etf_mem = 1
nbndsub = 9
use_ws = .true.
wannierize = .true.
num_iter = 1000
iprint = 2
dis_win_max = 24.162818987171818
dis_froz_max = 0.886736438468688
fsthick = 1.2
temps = 1
degaussw = 0.005
dvscf_dir = './save'
nk1 = 6
nk2 = 6
nk3 = 1
nq1 = 1
nq2 = 1
nq3 = 1
dis_win_min = -11.903436146635295
wdata(1) = 'guiding_centres = T'
wdata(2) = 'dis_num_iter = 1500'
wdata(3) = 'bands_num_points = 100 '
wdata(4) = 'bands_plot = .true.'
wdata(5) = 'begin kpoint_path'
wdata(6) = 'G 0.0 0.0 0.0 M 0.5 0.0 0.0'
wdata(7) = 'M 0.5 0.0 0.0 K 0.3333333333 0.3333333333 0.0'
wdata(8) = 'K 0.3333333333 0.3333333333 0.0 X 1.0 1.0 0.0'
wdata(9) = 'X 1.0 1.0 0.0 M1 0.0 0.5 0.0'
wdata(10) = 'M1 0.0 0.5 0.0 G 0.0 0.0 0.0'
wdata(11) = 'end kpoint_path'
bands_skipped = 'exclude_bands = 1-6'
proj(1) = 'Ti: l= -5, mr= 3,4,6'
proj(2) = 'Br: l= -4, mr= 3,4,5'
dis_froz_min = -3.6926027530606893
/

```

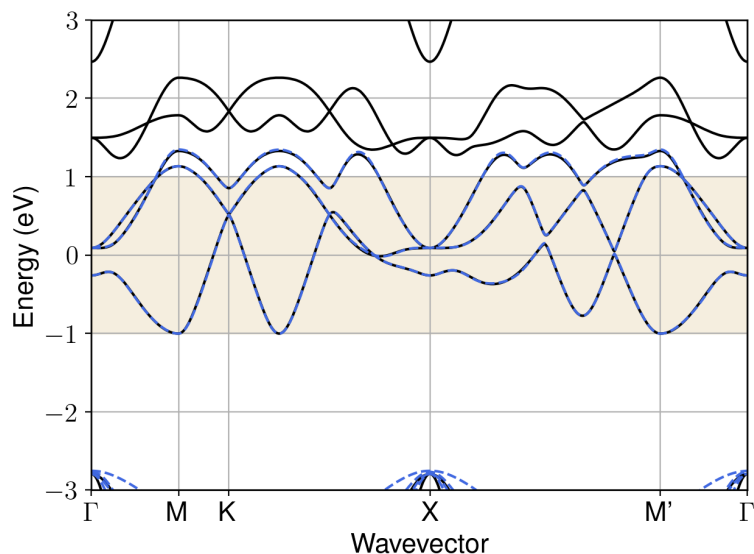


Figure S166: Bandstructure interpolation for monolayer  $\text{TiBr}_2$ . Wannier-interpolation of the band structure of monolayer  $\text{TiBr}_2$  over a wide energy range. Blue dashed lines are results from the present method, black solid lines are explicit DFT calculations. The yellow shaded region shows the range over which optimization has been performed. The interpolation error within the yellow region is 5 meV. The k-grid employed for NSCF calculation is  $6 \times 6$ .

## 155 Material: $\text{TiCl}_2$

The calculation files are appended below. These files should be executed in the order provided. The location of pseudo potentials should be changed accordingly.

```

---          scf.in ---
&CONTROL
calculation = 'scf'
verbosity = 'high'
restart_mode = 'from_scratch'
outdir = './'
pseudo_dir = '/scratch1/05193/sabyadk/2D_materials_Wann/Materials/TiCl2-929df00f/pseudo/'
prefix = 'hBN'
/
&SYSTEM
ibrav = 0
nat = 3
ntyp = 2
ecutwfc = 60
ecutrho = 240
occupations = 'smearing'
smearing = 'gaussian'
degauss = 0.01
/
&ELECTRONS
conv_thr = 1E-10
diagonalization = cg
electron_maxstep = 500
/
ATOMIC_SPECIES
Ti 47.867 Ti_r.upf
Cl 35.453 Cl_r.upf
ATOMIC_POSITIONS crystal
Ti 0.0 0.0 1e-12
Cl 0.3333333333333333 0.6666666666666666 0.931116696376

```

```
Cl 0.6666666666666666 0.3333333333333333 0.068883303622
```

```
K_POINTS automatic
6 6 1 0 0 0
```

```
CELL_PARAMETERS angstrom
3.2853489371 0.0 2e-16
-1.6426744684999326 2.8451956398998988 2e-16
0.0 0.0 23.1954501107
```

```
--- nscf.in ---
&CONTROL
calculation = bands
verbosity = 'high'
restart_mode = 'from_scratch'
outdir = './'
pseudo_dir = '/scratch1/05193/sabyadk/2D_materials_Wann/Materials/TiCl2-929df00f/pseudo/'
prefix = 'hBN'
/
&SYSTEM
ibrav = 0
nat = 3
ntyp = 2
ecutwfc = 60
ecutrho = 240
occupations = 'smearing'
smearing = 'gaussian'
degauss = 0.01
nbnd = 60
/
&ELECTRONS
conv_thr = 1E-10
diagonalization = cg
electron_maxstep = 500
/
ATOMIC_SPECIES
Ti 47.867 Ti_r.upf
Cl 35.453 Cl_r.upf
ATOMIC_POSITIONS crystal
Ti 0.0 0.0 1e-12
Cl 0.3333333333333333 0.6666666666666666 0.931116696376
Cl 0.6666666666666666 0.3333333333333333 0.068883303622

K_POINTS crystal
36
0.0 0.0 0.0 0.027778
0.0 0.1666666666666666 0.0 0.027778
0.0 0.3333333333333333 0.0 0.027778
0.0 0.5 0.0 0.027778
0.0 0.6666666666666666 0.0 0.027778
0.0 0.8333333333333333 0.0 0.027778
0.1666666666666666 0.0 0.0 0.027778
0.1666666666666666 0.1666666666666666 0.0 0.027778
0.1666666666666666 0.3333333333333333 0.0 0.027778
0.1666666666666666 0.5 0.0 0.027778
0.1666666666666666 0.6666666666666666 0.0 0.027778
0.1666666666666666 0.8333333333333333 0.0 0.027778
0.3333333333333333 0.0 0.0 0.027778
0.3333333333333333 0.1666666666666666 0.0 0.027778
0.3333333333333333 0.3333333333333333 0.0 0.027778
0.3333333333333333 0.5 0.0 0.027778
0.3333333333333333 0.6666666666666666 0.0 0.027778
0.3333333333333333 0.8333333333333333 0.0 0.027778
0.5 0.0 0.0 0.027778
0.5 0.1666666666666666 0.0 0.027778
0.5 0.3333333333333333 0.0 0.027778
0.5 0.5 0.0 0.027778
0.5 0.6666666666666666 0.0 0.027778
0.5 0.8333333333333333 0.0 0.027778
0.6666666666666666 0.0 0.0 0.027778
0.6666666666666666 0.1666666666666666 0.0 0.027778
0.6666666666666666 0.3333333333333333 0.0 0.027778
0.6666666666666666 0.5 0.0 0.027778
0.6666666666666666 0.6666666666666666 0.0 0.027778
0.6666666666666666 0.8333333333333333 0.0 0.027778
0.8333333333333333 0.0 0.0 0.027778
0.8333333333333333 0.1666666666666666 0.0 0.027778
0.8333333333333333 0.3333333333333333 0.0 0.027778
0.8333333333333333 0.5 0.0 0.027778
0.8333333333333333 0.6666666666666666 0.0 0.027778
0.8333333333333333 0.8333333333333333 0.0 0.027778

CELL_PARAMETERS angstrom
```

```

3.2853489371 0.0 2e-16
-1.6426744684999326 2.8451956398998988 2e-16
0.0 0.0 23.1954501107

```

```

---                epw1.in ---
&inputepw
prefix = 'hBN'
amass(1) = 47.867
amass(2) = 35.453
outdir = './'
elph = .false.
epbwrite = .false.
epbread = .false.
epwwrite = .true.
epwread = .false.
etf_mem = 1
nbndsub = 13
use_ws = .true.
wannierize = .true.
num_iter = 1000
iprint = 2
dis_win_max = 12.045726794639018
dis_froz_max = 2.156700626976075
fsthick = 1.2
temps = 1
degaussw = 0.005
dvscf_dir = './save'
nk1 = 6
nk2 = 6
nk3 = 1
nq1 = 1
nq2 = 1
nq3 = 1
dis_win_min = -14.292601919392693
wdata(1) = 'guiding_centres = T'
wdata(2) = 'dis_num_iter = 1500'
wdata(3) = 'bands_num_points = 100 '
wdata(4) = 'bands_plot = .true.'
wdata(5) = 'begin kpoint_path'
wdata(6) = 'G 0.0 0.0 0.0 M 0.5 0.0 0.0'
wdata(7) = 'M 0.5 0.0 0.0 K 0.3333333333 0.3333333333 0.0'
wdata(8) = 'K 0.3333333333 0.3333333333 0.0 X 1.0 1.0 0.0'
wdata(9) = 'X 1.0 1.0 0.0 M1 0.0 0.5 0.0'
wdata(10) = 'M1 0.0 0.5 0.0 G 0.0 0.0 0.0'
wdata(11) = 'end kpoint_path'
bands_skipped = 'exclude_bands = 1-6'
proj(1) = 'Ti: l= 3, mr= 3,4,5,6,7'
proj(2) = 'Cl: l= 3, mr= 1,2,4,5'
dis_froz_min = -5.024450188447782
/

```

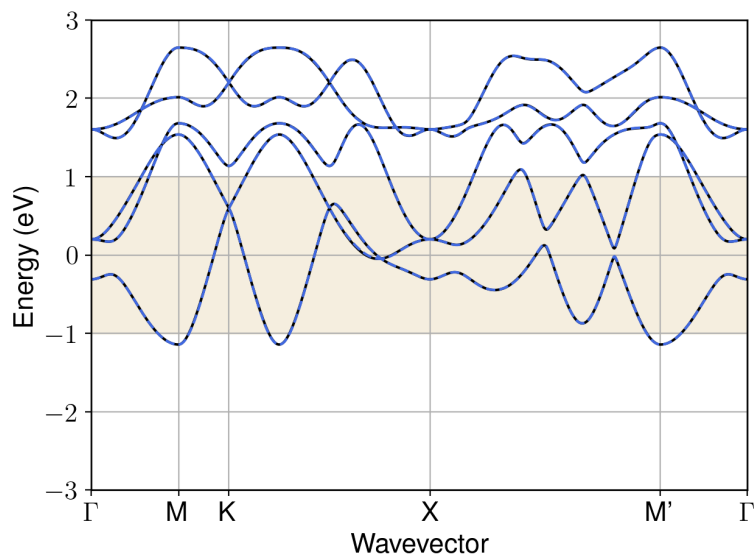


Figure S167: Bandstructure interpolation for monolayer  $\text{TiCl}_2$ . Wannier-interpolation of the band structure of monolayer  $\text{TiCl}_2$  over a wide energy range. Blue dashed lines are results from the present method, black solid lines are explicit DFT calculations. The yellow shaded region shows the range over which optimization has been performed. The interpolation error within the yellow region is 4 meV. The k-grid employed for NSCF calculation is  $6 \times 6$ .

## 156 Material: $\text{TiS}_2$

The calculation files are appended below. These files should be executed in the order provided. The location of pseudo potentials should be changed accordingly.

```

---          scf.in ---
&CONTROL
calculation = 'scf'
verbosity = 'high'
restart_mode = 'from_scratch'
outdir = './'
pseudo_dir = '/scratch1/05193/sabyadk/2D_materials_Wann/Materials/TiS2-e7248a86/pseudo/'
prefix = 'hBN'
/
&SYSTEM
ibrav = 0
nat = 3
ntyp = 2
ecutwfc = 60
ecutrho = 240
occupations = 'smearing'
smearing = 'gaussian'
degauss = 0.01
/
&ELECTRONS
conv_thr = 1E-10
diagonalization = cg
electron_maxstep = 500
/
ATOMIC_SPECIES
Ti 47.867 Ti_r.upf
S 32.066 S_r.upf
ATOMIC_POSITIONS crystal
Ti 0.0 0.0 0.999999999999
S 0.3333333333333333 0.6666666666666666 0.062134154621

```



```

S 0.6666666666666666 0.3333333333333333 0.93786584538

K_POINTS automatic
6 6 1 0 0 0

CELL_PARAMETERS angstrom
3.4122780408 0.0 2e-16
-1.7061390203002214 2.9551194681003823 2e-16
0.0 0.0 22.8544663209

```

```

---                nscf.in ---
&CONTROL
calculation = bands
verbosity = 'high'
restart_mode = 'from_scratch'
outdir = './'
pseudo_dir = '/scratch1/05193/sabyadk/2D_materials_Wann/Materials/TiS2-e7248a86/pseudo/'
prefix = 'hBN'
/
&SYSTEM
ibrav = 0
nat = 3
ntyp = 2
ecutwfc = 60
ecutrho = 240
occupations = 'smearing'
smearing = 'gaussian'
degauss = 0.01
nbnd = 60
/
&ELECTRONS
conv_thr = 1E-10
diagonalization = cg
electron_maxstep = 500
/
ATOMIC_SPECIES
Ti 47.867 Ti_r.upf
S 32.066 S_r.upf
ATOMIC_POSITIONS crystal
Ti 0.0 0.0 0.999999999999
S 0.3333333333333333 0.6666666666666666 0.062134154621
S 0.6666666666666666 0.3333333333333333 0.93786584538

K_POINTS crystal
36
0.0 0.0 0.0 0.027778
0.0 0.1666666666666666 0.0 0.027778
0.0 0.3333333333333333 0.0 0.027778
0.0 0.5 0.0 0.027778
0.0 0.6666666666666666 0.0 0.027778
0.0 0.8333333333333333 0.0 0.027778
0.1666666666666666 0.0 0.0 0.027778
0.1666666666666666 0.1666666666666666 0.0 0.027778
0.1666666666666666 0.3333333333333333 0.0 0.027778
0.1666666666666666 0.5 0.0 0.027778
0.1666666666666666 0.6666666666666666 0.0 0.027778
0.1666666666666666 0.8333333333333333 0.0 0.027778
0.3333333333333333 0.0 0.0 0.027778
0.3333333333333333 0.1666666666666666 0.0 0.027778
0.3333333333333333 0.3333333333333333 0.0 0.027778
0.3333333333333333 0.5 0.0 0.027778
0.3333333333333333 0.6666666666666666 0.0 0.027778
0.3333333333333333 0.8333333333333333 0.0 0.027778
0.5 0.0 0.0 0.027778
0.5 0.1666666666666666 0.0 0.027778
0.5 0.3333333333333333 0.0 0.027778
0.5 0.5 0.0 0.027778
0.5 0.6666666666666666 0.0 0.027778
0.5 0.8333333333333333 0.0 0.027778
0.6666666666666666 0.0 0.0 0.027778
0.6666666666666666 0.1666666666666666 0.0 0.027778
0.6666666666666666 0.3333333333333333 0.0 0.027778
0.6666666666666666 0.5 0.0 0.027778
0.6666666666666666 0.6666666666666666 0.0 0.027778
0.6666666666666666 0.8333333333333333 0.0 0.027778
0.8333333333333333 0.0 0.0 0.027778
0.8333333333333333 0.1666666666666666 0.0 0.027778
0.8333333333333333 0.3333333333333333 0.0 0.027778
0.8333333333333333 0.5 0.0 0.027778
0.8333333333333333 0.6666666666666666 0.0 0.027778
0.8333333333333333 0.8333333333333333 0.0 0.027778

CELL_PARAMETERS angstrom

```

```

3.4122780408 0.0 2e-16
-1.7061390203002214 2.9551194681003823 2e-16
0.0 0.0 22.8544663209

```

```

---                epw1.in ---
&inputepw
prefix = 'hBN'
amass(1) = 47.867
amass(2) = 32.066
outdir = './'
elph = .false.
epbwrite = .false.
epbread = .false.
epwwrite = .true.
epwread = .false.
etf_mem = 1
nbndsub = 10
use_ws = .true.
wannierize = .true.
num_iter = 1000
iprint = 2
dis_win_max = 19.825487306057415
dis_froz_max = 0.15983464663463742
fsthick = 1.2
temps = 1
degaussw = 0.005
dvscf_dir = './save'
nk1 = 6
nk2 = 6
nk3 = 1
nq1 = 1
nq2 = 1
nq3 = 1
dis_win_min = -17.511643326409892
wdata(1) = 'guiding_centres = T'
wdata(2) = 'dis_num_iter = 1500'
wdata(3) = 'bands_num_points = 100 '
wdata(4) = 'bands_plot = .true.'
wdata(5) = 'begin kpoint_path'
wdata(6) = 'G 0.0 0.0 0.0 M 0.5 0.0 0.0'
wdata(7) = 'M 0.5 0.0 0.0 K 0.3333333333 0.3333333333 0.0'
wdata(8) = 'K 0.3333333333 0.3333333333 0.0 X 1.0 1.0 0.0'
wdata(9) = 'X 1.0 1.0 0.0 M1 0.0 0.5 0.0'
wdata(10) = 'M1 0.0 0.5 0.0 G 0.0 0.0 0.0'
wdata(11) = 'end kpoint_path'
bands_skipped = 'exclude_bands = 1-6'
proj(1) = 'Ti: l= -5, mr= 1,4'
proj(2) = 'S: l= 3, mr= 2,3,4,7'
dis_froz_min = -8.102219462773451
/

```

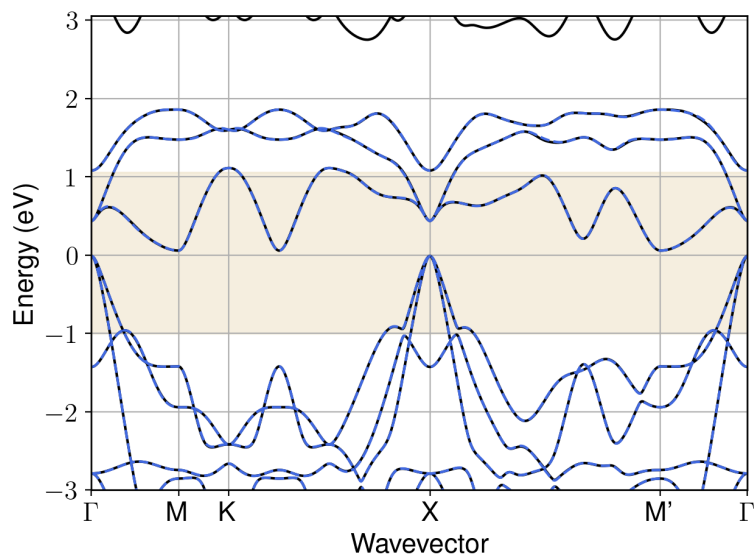


Figure S168: Bandstructure interpolation for monolayer  $\text{TiS}_2$ . Wannier-interpolation of the band structure of monolayer  $\text{TiS}_2$  over a wide energy range. Blue dashed lines are results from the present method, black solid lines are explicit DFT calculations. The yellow shaded region shows the range over which optimization has been performed. The interpolation error within the yellow region is 4 meV. The k-grid employed for NSCF calculation is  $6 \times 6$ .

## 157 Material: $\text{TiSe}_2$

The calculation files are appended below. These files should be executed in the order provided. The location of pseudo potentials should be changed accordingly.

```

---          scf.in ---
&CONTROL
calculation = 'scf'
verbosity = 'high'
restart_mode = 'from_scratch'
outdir = './'
pseudo_dir = '/scratch1/05193/sabyadk/2D_materials_Wann/Materials/TiSe2-6bdf4944/pseudo/'
prefix = 'hBN'
/
&SYSTEM
ibrav = 0
nat = 3
ntyp = 2
ecutwfc = 60
ecutrho = 240
occupations = 'smearing'
smearing = 'gaussian'
degauss = 0.01
/
&ELECTRONS
conv_thr = 1E-10
diagonalization = cg
electron_maxstep = 500
/
ATOMIC_SPECIES
Ti 47.867 Ti_r.upf
Se 78.971 Se_r.upf
ATOMIC_POSITIONS crystal
Ti 0.0 0.0 0.0
Se 0.6666666666666666 0.3333333333333333 0.932873242142

```

```
Se 0.3333333333333333 0.6666666666666666 0.067126757858
```

```
K_POINTS automatic
6 6 1 0 0 0
```

```
CELL_PARAMETERS angstrom
3.5362588177 0.0 2e-16
-1.7681294089001534 3.0624899706003057 2e-16
0.0 0.0 23.1032480114
```

```
--- nscf.in ---
&CONTROL
calculation = bands
verbosity = 'high'
restart_mode = 'from_scratch'
outdir = './'
pseudo_dir = '/scratch1/05193/sabyadk/2D_materials_Wann/Materials/TiSe2-6bdf4944/pseudo/'
prefix = 'hBN'
/
&SYSTEM
ibrav = 0
nat = 3
ntyp = 2
ecutwfc = 60
ecutrho = 240
occupations = 'smearing'
smearing = 'gaussian'
degauss = 0.01
nbnd = 60
/
&ELECTRONS
conv_thr = 1E-10
diagonalization = cg
electron_maxstep = 500
/
ATOMIC_SPECIES
Ti 47.867 Ti_r.upf
Se 78.971 Se_r.upf
ATOMIC_POSITIONS crystal
Ti 0.0 0.0 0.0
Se 0.6666666666666666 0.3333333333333333 0.932873242142
Se 0.3333333333333333 0.6666666666666666 0.067126757858

K_POINTS crystal
36
0.0 0.0 0.0 0.027778
0.0 0.1666666666666666 0.0 0.027778
0.0 0.3333333333333333 0.0 0.027778
0.0 0.5 0.0 0.027778
0.0 0.6666666666666666 0.0 0.027778
0.0 0.8333333333333333 0.0 0.027778
0.1666666666666666 0.0 0.0 0.027778
0.1666666666666666 0.1666666666666666 0.0 0.027778
0.1666666666666666 0.3333333333333333 0.0 0.027778
0.1666666666666666 0.5 0.0 0.027778
0.1666666666666666 0.6666666666666666 0.0 0.027778
0.1666666666666666 0.8333333333333333 0.0 0.027778
0.3333333333333333 0.0 0.0 0.027778
0.3333333333333333 0.1666666666666666 0.0 0.027778
0.3333333333333333 0.3333333333333333 0.0 0.027778
0.3333333333333333 0.5 0.0 0.027778
0.3333333333333333 0.6666666666666666 0.0 0.027778
0.3333333333333333 0.8333333333333333 0.0 0.027778
0.5 0.0 0.0 0.027778
0.5 0.1666666666666666 0.0 0.027778
0.5 0.3333333333333333 0.0 0.027778
0.5 0.5 0.0 0.027778
0.5 0.6666666666666666 0.0 0.027778
0.5 0.8333333333333333 0.0 0.027778
0.6666666666666666 0.0 0.0 0.027778
0.6666666666666666 0.1666666666666666 0.0 0.027778
0.6666666666666666 0.3333333333333333 0.0 0.027778
0.6666666666666666 0.5 0.0 0.027778
0.6666666666666666 0.6666666666666666 0.0 0.027778
0.6666666666666666 0.8333333333333333 0.0 0.027778
0.8333333333333333 0.0 0.0 0.027778
0.8333333333333333 0.1666666666666666 0.0 0.027778
0.8333333333333333 0.3333333333333333 0.0 0.027778
0.8333333333333333 0.5 0.0 0.027778
0.8333333333333333 0.6666666666666666 0.0 0.027778
0.8333333333333333 0.8333333333333333 0.0 0.027778

CELL_PARAMETERS angstrom
```

```

3.5362588177 0.0 2e-16
-1.7681294089001534 3.0624899706003057 2e-16
0.0 0.0 23.1032480114

```

```

---                epw1.in ---
&inputepw
prefix = 'hBN'
amass(1) = 47.867
amass(2) = 78.971
outdir = './'
elph = .false.
epbwrite = .false.
epbread = .false.
epwwrite = .true.
epwread = .false.
etf_mem = 1
nbndsub = 13
use_ws = .true.
wannierize = .true.
num_iter = 1000
iprint = 2
dis_win_max = 15.770905218784943
dis_froz_max = 3.195719128961724
fsthick = 1.2
temps = 1
degaussw = 0.005
dvscf_dir = './save'
nk1 = 6
nk2 = 6
nk3 = 1
nq1 = 1
nq2 = 1
nq3 = 1
dis_win_min = -13.218327022736421
wdata(1) = 'guiding_centres = T'
wdata(2) = 'dis_num_iter = 1500'
wdata(3) = 'bands_num_points = 100 '
wdata(4) = 'bands_plot = .true.'
wdata(5) = 'begin kpoint_path'
wdata(6) = 'G 0.0 0.0 0.0 M 0.5 0.0 0.0'
wdata(7) = 'M 0.5 0.0 0.0 K 0.3333333333 0.3333333333 0.0'
wdata(8) = 'K 0.3333333333 0.3333333333 0.0 X 1.0 1.0 0.0'
wdata(9) = 'X 1.0 1.0 0.0 M1 0.0 0.5 0.0'
wdata(10) = 'M1 0.0 0.5 0.0 G 0.0 0.0 0.0'
wdata(11) = 'end kpoint_path'
bands_skipped = 'exclude_bands = 1-16'
proj(1) = 'Ti: l= -4, mr= 1,2,3,4,5'
proj(2) = 'Se: l= -5, mr= 1,2,4,6'
dis_froz_min = -4.725271524528832
/

```

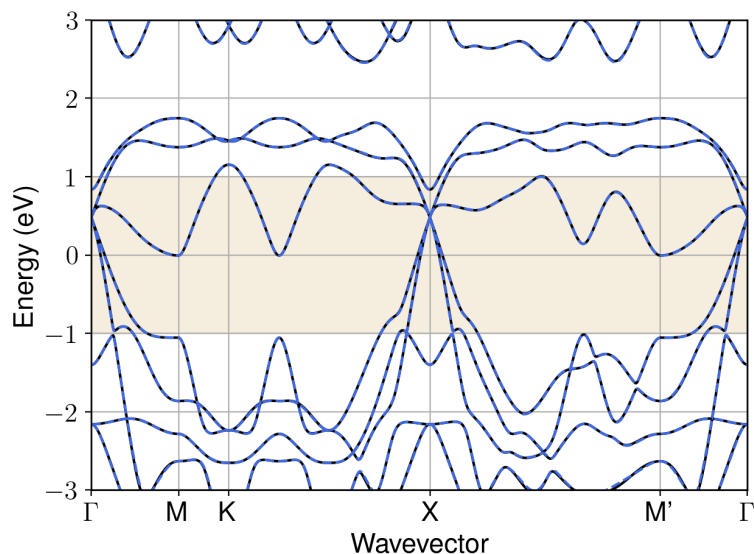


Figure S169: Bandstructure interpolation for monolayer  $\text{TiSe}_2$ . Wannier-interpolation of the band structure of monolayer  $\text{TiSe}_2$  over a wide energy range. Blue dashed lines are results from the present method, black solid lines are explicit DFT calculations. The yellow shaded region shows the range over which optimization has been performed. The interpolation error within the yellow region is 5 meV. The k-grid employed for NSCF calculation is  $6 \times 6$ .

## 158 Material: $\text{TiTe}_2$

The calculation files are appended below. These files should be executed in the order provided. The location of pseudo potentials should be changed accordingly.

```

---          scf.in ---
&CONTROL
calculation = 'scf'
verbosity = 'high'
restart_mode = 'from_scratch'
outdir = './'
pseudo_dir = '/scratch1/05193/sabyadk/2D_materials_Wann/Materials/TiTe2-cef6b5c0/pseudo/'
prefix = 'hBN'
/
&SYSTEM
ibrav = 0
nat = 3
ntyp = 2
ecutwfc = 60
ecutrho = 240
occupations = 'smearing'
smearing = 'gaussian'
degauss = 0.01
/
&ELECTRONS
conv_thr = 1E-10
diagonalization = cg
electron_maxstep = 500
/
ATOMIC_SPECIES
Ti 47.867 Ti_r.upf
Te 126.7 Te_r.upf
ATOMIC_POSITIONS crystal
Ti 0.0 0.0 0.0
Te 0.3333333333333333 0.6666666666666666 0.925903813353

```

```
Te 0.6666666666666666 0.3333333333333333 0.074096186647
```

```
K_POINTS automatic
6 6 1 0 0 0
```

```
CELL_PARAMETERS angstrom
3.7638040926 0.0 2e-16
-1.8819020462002345 3.2595499590004127 2e-16
0.0 0.0 23.4457410538
```

```
--- nscf.in ---
&CONTROL
calculation = bands
verbosity = 'high'
restart_mode = 'from_scratch'
outdir = './'
pseudo_dir = '/scratch1/05193/sabyadk/2D_materials_Wann/Materials/TiTe2-cef6b5c0/pseudo/'
prefix = 'hBN'
/
&SYSTEM
ibrav = 0
nat = 3
ntyp = 2
ecutwfc = 60
ecutrho = 240
occupations = 'smearing'
smearing = 'gaussian'
degauss = 0.01
nbnd = 60
/
&ELECTRONS
conv_thr = 1E-10
diagonalization = cg
electron_maxstep = 500
/
ATOMIC_SPECIES
Ti 47.867 Ti_r.upf
Te 126.7 Te_r.upf
ATOMIC_POSITIONS crystal
Ti 0.0 0.0 0.0
Te 0.3333333333333333 0.6666666666666666 0.925903813353
Te 0.6666666666666666 0.3333333333333333 0.074096186647

K_POINTS crystal
36
0.0 0.0 0.0 0.027778
0.0 0.1666666666666666 0.0 0.027778
0.0 0.3333333333333333 0.0 0.027778
0.0 0.5 0.0 0.027778
0.0 0.6666666666666666 0.0 0.027778
0.0 0.8333333333333333 0.0 0.027778
0.1666666666666666 0.0 0.0 0.027778
0.1666666666666666 0.1666666666666666 0.0 0.027778
0.1666666666666666 0.3333333333333333 0.0 0.027778
0.1666666666666666 0.5 0.0 0.027778
0.1666666666666666 0.6666666666666666 0.0 0.027778
0.1666666666666666 0.8333333333333333 0.0 0.027778
0.3333333333333333 0.0 0.0 0.027778
0.3333333333333333 0.1666666666666666 0.0 0.027778
0.3333333333333333 0.3333333333333333 0.0 0.027778
0.3333333333333333 0.5 0.0 0.027778
0.3333333333333333 0.6666666666666666 0.0 0.027778
0.3333333333333333 0.8333333333333333 0.0 0.027778
0.5 0.0 0.0 0.027778
0.5 0.1666666666666666 0.0 0.027778
0.5 0.3333333333333333 0.0 0.027778
0.5 0.5 0.0 0.027778
0.5 0.6666666666666666 0.0 0.027778
0.5 0.8333333333333333 0.0 0.027778
0.6666666666666666 0.0 0.0 0.027778
0.6666666666666666 0.1666666666666666 0.0 0.027778
0.6666666666666666 0.3333333333333333 0.0 0.027778
0.6666666666666666 0.5 0.0 0.027778
0.6666666666666666 0.6666666666666666 0.0 0.027778
0.6666666666666666 0.8333333333333333 0.0 0.027778
0.8333333333333333 0.0 0.0 0.027778
0.8333333333333333 0.1666666666666666 0.0 0.027778
0.8333333333333333 0.3333333333333333 0.0 0.027778
0.8333333333333333 0.5 0.0 0.027778
0.8333333333333333 0.6666666666666666 0.0 0.027778
0.8333333333333333 0.8333333333333333 0.0 0.027778

CELL_PARAMETERS angstrom
```

```

3.7638040926 0.0 2e-16
-1.8819020462002345 3.2595499590004127 2e-16
0.0 0.0 23.4457410538

```

```

---                epw1.in ---
&inputepw
prefix = 'hBN'
amass(1) = 47.867
amass(2) = 126.7
outdir = './'
elph = .false.
epbwrite = .false.
epbread = .false.
epwwrite = .true.
epwread = .false.
etf_mem = 1
nbndsub = 15
use_ws = .true.
wannierize = .true.
num_iter = 1000
iprint = 2
dis_win_max = 14.418600884354353
dis_froz_max = 0.6971000440768718
fsthick = 1.2
temps = 1
degaussw = 0.005
dvscf_dir = './save'
nk1 = 6
nk2 = 6
nk3 = 1
nq1 = 1
nq2 = 1
nq3 = 1
dis_win_min = -13.133457009496968
wdata(1) = 'guiding_centres = T'
wdata(2) = 'dis_num_iter = 1500'
wdata(3) = 'bands_num_points = 100 '
wdata(4) = 'bands_plot = .true.'
wdata(5) = 'begin kpoint_path'
wdata(6) = 'G 0.0 0.0 0.0 M 0.5 0.0 0.0'
wdata(7) = 'M 0.5 0.0 0.0 K 0.3333333333 0.3333333333 0.0'
wdata(8) = 'K 0.3333333333 0.3333333333 0.0 X 1.0 1.0 0.0'
wdata(9) = 'X 1.0 1.0 0.0 M1 0.0 0.5 0.0'
wdata(10) = 'M1 0.0 0.5 0.0 G 0.0 0.0 0.0'
wdata(11) = 'end kpoint_path'
bands_skipped = 'exclude_bands = 1-16'
proj(1) = 'Ti: l= 3, mr= 1,2,7'
proj(2) = 'Te: l= 3, mr= 1,3,4,5,6,7'
dis_froz_min = -4.4320214182223365
/

```



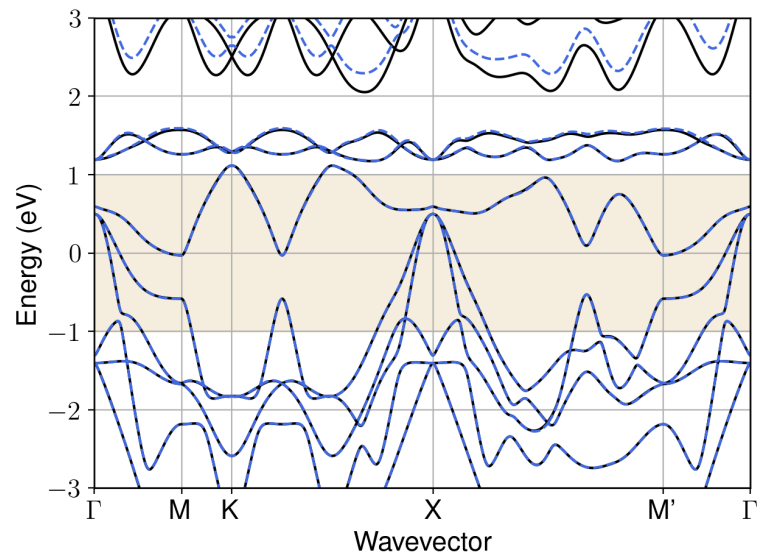


Figure S170: Bandstructure interpolation for monolayer  $\text{TiTe}_2$ . Wannier-interpolation of the band structure of monolayer  $\text{TiTe}_2$  over a wide energy range. Blue dashed lines are results from the present method, black solid lines are explicit DFT calculations. The yellow shaded region shows the range over which optimization has been performed. The interpolation error within the yellow region is 5 meV. The k-grid employed for NSCF calculation is  $6 \times 6$ .

## 159 Material: $\text{Tl}_2\text{F}_2$

The calculation files are appended below. These files should be executed in the order provided. The location of pseudo potentials should be changed accordingly.

```

---          scf.in ---
&CONTROL
calculation = 'scf'
verbosity = 'high'
restart_mode = 'from_scratch'
outdir = './'
pseudo_dir = '/scratch1/05193/sabyadk/2D_materials_Wann/Materials/Tl2F2-d677a93f/pseudo/'
prefix = 'hBN'
/
&SYSTEM
ibrav = 0
nat = 4
ntyp = 2
ecutwfc = 60
ecutrho = 240
assume_isolated = 2D
/
&ELECTRONS
conv_thr = 1E-12
diagonalization = 'david'
electron_maxstep = 200
/
ATOMIC_SPECIES
Tl 204.383 Tl_r.upf
F 18.998 F_r.upf
ATOMIC_POSITIONS crystal
Tl 0.499999999987 0.0 0.066568930786
Tl 0.0 0.499999999987 0.933431069214
F 0.0 0.499999999987 0.040884913108
F 0.499999999987 0.0 0.959115086892

```

```

K_POINTS automatic
6 6 1 0 0 0

CELL_PARAMETERS angstrom
3.8430604083 0.0 2e-16
-2e-16 3.8430604083 2e-16
0.0 0.0 23.1822519766

```

```

--- nscf.in ---
&CONTROL
calculation = bands
verbosity = 'high'
restart_mode = 'from_scratch'
outdir = './'
pseudo_dir = '/scratch1/05193/sabyadk/2D_materials_Wann/Materials/Tl2F2-d677a93f/pseudo/'
prefix = 'hBN'
/
&SYSTEM
ibrav = 0
nat = 4
ntyp = 2
ecutwfc = 60
ecutrho = 240
assume_isolated = 2D
nbnd = 60
/
&ELECTRONS
conv_thr = 1E-10
diagonalization = 'david'
electron_maxstep = 200
/
ATOMIC_SPECIES
Tl 204.383 Tl_r.upf
F 18.998 F_r.upf
ATOMIC_POSITIONS crystal
Tl 0.499999999987 0.0 0.066568930786
Tl 0.0 0.499999999987 0.933431069214
F 0.0 0.499999999987 0.040884913108
F 0.499999999987 0.0 0.959115086892

K_POINTS crystal
36
0.0 0.0 0.0 0.027778
0.0 0.16666666666666666 0.0 0.027778
0.0 0.3333333333333333 0.0 0.027778
0.0 0.5 0.0 0.027778
0.0 0.6666666666666666 0.0 0.027778
0.0 0.8333333333333333 0.0 0.027778
0.16666666666666666 0.0 0.0 0.027778
0.16666666666666666 0.16666666666666666 0.0 0.027778
0.16666666666666666 0.3333333333333333 0.0 0.027778
0.16666666666666666 0.5 0.0 0.027778
0.16666666666666666 0.6666666666666666 0.0 0.027778
0.16666666666666666 0.8333333333333333 0.0 0.027778
0.3333333333333333 0.0 0.0 0.027778
0.3333333333333333 0.16666666666666666 0.0 0.027778
0.3333333333333333 0.3333333333333333 0.0 0.027778
0.3333333333333333 0.5 0.0 0.027778
0.3333333333333333 0.6666666666666666 0.0 0.027778
0.3333333333333333 0.8333333333333333 0.0 0.027778
0.5 0.0 0.0 0.027778
0.5 0.16666666666666666 0.0 0.027778
0.5 0.3333333333333333 0.0 0.027778
0.5 0.5 0.0 0.027778
0.5 0.6666666666666666 0.0 0.027778
0.5 0.8333333333333333 0.0 0.027778
0.6666666666666666 0.0 0.0 0.027778
0.6666666666666666 0.16666666666666666 0.0 0.027778
0.6666666666666666 0.3333333333333333 0.0 0.027778
0.6666666666666666 0.5 0.0 0.027778
0.6666666666666666 0.6666666666666666 0.0 0.027778
0.6666666666666666 0.8333333333333333 0.0 0.027778
0.8333333333333333 0.0 0.0 0.027778
0.8333333333333333 0.16666666666666666 0.0 0.027778
0.8333333333333333 0.3333333333333333 0.0 0.027778
0.8333333333333333 0.5 0.0 0.027778
0.8333333333333333 0.6666666666666666 0.0 0.027778
0.8333333333333333 0.8333333333333333 0.0 0.027778

CELL_PARAMETERS angstrom
3.8430604083 0.0 2e-16
-2e-16 3.8430604083 2e-16

```

0.0 0.0 23.1822519766

```

---
                                epw1.in ---
&inputepw
prefix = 'hEN'
amass(1) = 204.383
amass(2) = 18.998
outdir = './'
elph = .false.
epbwrite = .false.
epbwrite = .false.
epwwrite = .true.
epwread = .false.
etf_mem = 1
nbndsub = 16
use_ws = .true.
wannierize = .true.
num_iter = 1000
iprint = 2
dis_win_max = 17.33830439549697
dis_froz_max = -0.43855927279403684
fsthick = 1.2
temps = 1
degaussw = 0.005
dvscf_dir = './save'
nk1 = 6
nk2 = 6
nk3 = 1
nq1 = 1
nq2 = 1
nq3 = 1
system_2d = 'dipole_sp'
lpolar = .true.
dis_win_min = -22.057449265590176
wdata(1) = 'guiding_centres = T'
wdata(2) = 'dis_num_iter = 1500'
wdata(3) = 'bands_num_points = 100 '
wdata(4) = 'bands_plot = .true.'
wdata(5) = 'begin kpoint_path'
wdata(6) = 'G 0.0 0.0 0.0 M 0.5 0.0 0.0'
wdata(7) = 'M 0.5 0.0 0.0 K 0.3333333333 0.3333333333 0.0'
wdata(8) = 'K 0.3333333333 0.3333333333 0.0 X 1.0 1.0 0.0'
wdata(9) = 'X 1.0 1.0 0.0 M1 0.0 0.5 0.0'
wdata(10) = 'M1 0.0 0.5 0.0 G 0.0 0.0 0.0'
wdata(11) = 'end kpoint_path'
bands_skipped = 'exclude_bands = 1-12'
proj(1) = 'Tl: l= 3, mr= 1,2,5'
proj(2) = 'F: l= 2, mr= 1,2,3,4,5'
dis_froz_min = -13.437641196200914
/

```

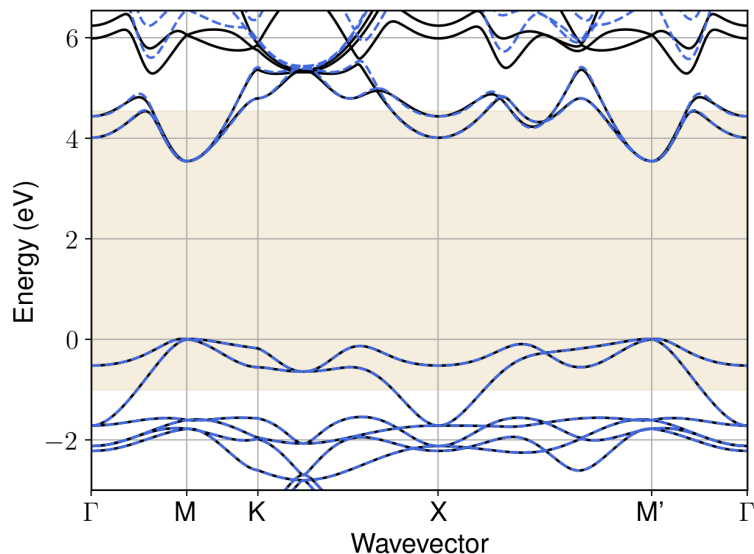


Figure S171: Bandstructure interpolation for monolayer  $\text{Tl}_2\text{F}_2$ . Wannier-interpolation of the band structure of monolayer  $\text{Tl}_2\text{F}_2$  over a wide energy range. Blue dashed lines are results from the present method, black solid lines are explicit DFT calculations. The yellow shaded region shows the range over which optimization has been performed. The interpolation error within the yellow region is 9 meV. The k-grid employed for NSCF calculation is  $6 \times 6$ .

## 160 Material: $\text{Tl}_2\text{O}$

The calculation files are appended below. These files should be executed in the order provided. The location of pseudo potentials should be changed accordingly.

```

---          scf.in ---
&CONTROL
calculation = 'scf'
verbosity = 'high'
restart_mode = 'from_scratch'
outdir = './'
pseudo_dir = '/scratch1/05193/sabyadk/2D_materials_Wann/Materials/Tl20-e45a04da/pseudo/'
prefix = 'hBN'
/
&SYSTEM
ibrav = 0
nat = 3
ntyp = 2
ecutwfc = 60
ecutrho = 240
assume_isolated = 2D
/
&ELECTRONS
conv_thr = 1E-12
diagonalization = 'david'
electron_maxstep = 200
/
ATOMIC_SPECIES
Tl 204.383 Tl_r.upf
O 15.999 O_r.upf
ATOMIC_POSITIONS crystal
Tl 0.6666666666666666 0.3333333333333333 0.066284579593
Tl 0.3333333333333333 0.6666666666666666 0.933712936134
O 0.999999999972 0.0 2.484274e-06

```

```

K_POINTS automatic
6 6 1 0 0 0

CELL_PARAMETERS angstrom
3.5776577955 0.0 2e-16
-1.7888288976998181 3.0983425368997306 2e-16
0.0 0.0 23.0106023332

```

```

--- nscf.in ---
&CONTROL
calculation = bands
verbosity = 'high'
restart_mode = 'from_scratch'
outdir = './'
pseudo_dir = '/scratch1/05193/sabyadk/2D_materials_Wann/Materials/Tl20-e45a04da/pseudo/'
prefix = 'hBN'
/
&SYSTEM
ibrav = 0
nat = 3
ntyp = 2
ecutwfc = 60
ecutrho = 240
assume_isolated = 2D
nbnd = 60
/
&ELECTRONS
conv_thr = 1E-10
diagonalization = 'david'
electron_maxstep = 200
/
ATOMIC_SPECIES
Tl 204.383 Tl_r.upf
O 15.999 O_r.upf
ATOMIC_POSITIONS crystal
Tl 0.6666666666666666 0.3333333333333333 0.066284579593
Tl 0.3333333333333333 0.6666666666666666 0.933712936134
O 0.999999999972 0.0 2.484274e-06

K_POINTS crystal
36
0.0 0.0 0.0 0.027778
0.0 0.1666666666666666 0.0 0.027778
0.0 0.3333333333333333 0.0 0.027778
0.0 0.5 0.0 0.027778
0.0 0.6666666666666666 0.0 0.027778
0.0 0.8333333333333333 0.0 0.027778
0.1666666666666666 0.0 0.0 0.027778
0.1666666666666666 0.1666666666666666 0.0 0.027778
0.1666666666666666 0.3333333333333333 0.0 0.027778
0.1666666666666666 0.5 0.0 0.027778
0.1666666666666666 0.6666666666666666 0.0 0.027778
0.1666666666666666 0.8333333333333333 0.0 0.027778
0.3333333333333333 0.0 0.0 0.027778
0.3333333333333333 0.1666666666666666 0.0 0.027778
0.3333333333333333 0.3333333333333333 0.0 0.027778
0.3333333333333333 0.5 0.0 0.027778
0.3333333333333333 0.6666666666666666 0.0 0.027778
0.3333333333333333 0.8333333333333333 0.0 0.027778
0.5 0.0 0.0 0.027778
0.5 0.1666666666666666 0.0 0.027778
0.5 0.3333333333333333 0.0 0.027778
0.5 0.5 0.0 0.027778
0.5 0.6666666666666666 0.0 0.027778
0.5 0.8333333333333333 0.0 0.027778
0.6666666666666666 0.0 0.0 0.027778
0.6666666666666666 0.1666666666666666 0.0 0.027778
0.6666666666666666 0.3333333333333333 0.0 0.027778
0.6666666666666666 0.5 0.0 0.027778
0.6666666666666666 0.6666666666666666 0.0 0.027778
0.6666666666666666 0.8333333333333333 0.0 0.027778
0.8333333333333333 0.0 0.0 0.027778
0.8333333333333333 0.1666666666666666 0.0 0.027778
0.8333333333333333 0.3333333333333333 0.0 0.027778
0.8333333333333333 0.5 0.0 0.027778
0.8333333333333333 0.6666666666666666 0.0 0.027778
0.8333333333333333 0.8333333333333333 0.0 0.027778

CELL_PARAMETERS angstrom
3.5776577955 0.0 2e-16
-1.7888288976998181 3.0983425368997306 2e-16
0.0 0.0 23.0106023332

```

```
---                epw1.in ---
&inputepw
prefix = 'hBN'
amass(1) = 204.383
amass(2) = 15.999
outdir = './'
elph = .false.
epbwrite = .false.
epbread = .false.
epwwrite = .true.
epwread = .false.
etf_mem = 1
nbndsub = 13
use_ws = .true.
wannierize = .true.
num_iter = 1000
iprint = 2
dis_win_max = 20.027035160459935
dis_froz_max = 0.8286936764383586
fsthick = 1.2
temps = 1
degaussw = 0.005
dvscf_dir = './save'
nk1 = 6
nk2 = 6
nk3 = 1
nq1 = 1
nq2 = 1
nq3 = 1
system_2d = 'dipole_sp'
lpolar = .true.
dis_win_min = -23.18269138836827
wdata(1) = 'guiding_centres = T'
wdata(2) = 'dis_num_iter = 1500'
wdata(3) = 'bands_num_points = 100 '
wdata(4) = 'bands_plot = .true.'
wdata(5) = 'begin kpoint_path'
wdata(6) = 'G 0.0 0.0 0.0 M 0.5 0.0 0.0'
wdata(7) = 'M 0.5 0.0 0.0 K 0.3333333333 0.3333333333 0.0'
wdata(8) = 'K 0.3333333333 0.3333333333 0.0 X 1.0 1.0 0.0'
wdata(9) = 'X 1.0 1.0 0.0 M1 0.0 0.5 0.0'
wdata(10) = 'M1 0.0 0.5 0.0 G 0.0 0.0 0.0'
wdata(11) = 'end kpoint_path'
bands_skipped = 'exclude_bands = 1-11'
proj(1) = 'T1: l= 3, mr= 1,3,4,5,6'
proj(2) = 'O: l= -5, mr= 2,4,5'
dis_froz_min = -11.03622595793925
/
```

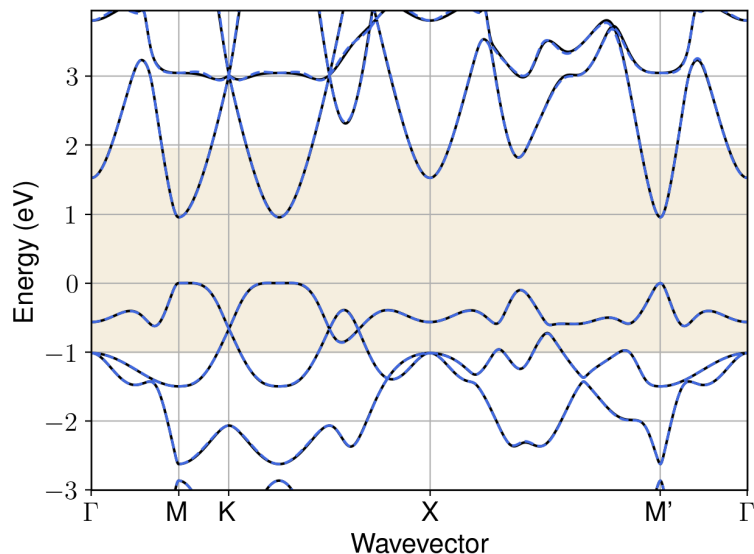


Figure S172: Bandstructure interpolation for monolayer  $\text{Tl}_2\text{O}$ . Wannier-interpolation of the band structure of monolayer  $\text{Tl}_2\text{O}$  over a wide energy range. Blue dashed lines are results from the present method, black solid lines are explicit DFT calculations. The yellow shaded region shows the range over which optimization has been performed. The interpolation error within the yellow region is 3 meV. The k-grid employed for NSCF calculation is  $6 \times 6$ .

## 161 Material: $\text{Tl}_2\text{S}$

The calculation files are appended below. These files should be executed in the order provided. The location of pseudo potentials should be changed accordingly.

```

---          scf.in ---
&CONTROL
calculation = 'scf'
verbosity = 'high'
restart_mode = 'from_scratch'
outdir = './'
pseudo_dir = '/scratch1/05193/sabyadk/2D_materials_Wann/Materials/Tl2S-197324e3/pseudo/'
prefix = 'hBN'
/
&SYSTEM
ibrav = 0
nat = 3
ntyp = 2
ecutwfc = 60
ecutrho = 240
assume_isolated = 2D
/
&ELECTRONS
conv_thr = 1E-12
diagonalization = 'david'
electron_maxstep = 200
/
ATOMIC_SPECIES
Tl 204.383 Tl_r.upf
S 32.066 S_r.upf
ATOMIC_POSITIONS crystal
Tl 0.6666666666666666 0.3333333333333333 0.072315464124
Tl 0.3333333333333333 0.6666666666666666 0.927684535875
S 0.0 0.0 1e-12

```

```

K_POINTS automatic
6 6 1 0 0 0

CELL_PARAMETERS angstrom
4.2192010136 0.0 3e-16
-2.1096005068001356 3.6539352615002265 3e-16
0.0 0.0 23.2414401913

```

```

--- nscf.in ---
&CONTROL
calculation = bands
verbosity = 'high'
restart_mode = 'from_scratch'
outdir = './'
pseudo_dir = '/scratch1/05193/sabyadk/2D_materials_Wann/Materials/TL2S-197324e3/pseudo/'
prefix = 'hBN'
/
&SYSTEM
ibrav = 0
nat = 3
ntyp = 2
ecutwfc = 60
ecutrho = 240
assume_isolated = 2D
nbnd = 60
/
&ELECTRONS
conv_thr = 1E-10
diagonalization = 'david'
electron_maxstep = 200
/
ATOMIC_SPECIES
Ti 204.383 Ti_r.upf
S 32.066 S_r.upf
ATOMIC_POSITIONS crystal
Ti 0.6666666666666666 0.3333333333333333 0.072315464124
Ti 0.3333333333333333 0.6666666666666666 0.927684535875
S 0.0 0.0 1e-12

K_POINTS crystal
36
0.0 0.0 0.0 0.027778
0.0 0.1666666666666666 0.0 0.027778
0.0 0.3333333333333333 0.0 0.027778
0.0 0.5 0.0 0.027778
0.0 0.6666666666666666 0.0 0.027778
0.0 0.8333333333333333 0.0 0.027778
0.1666666666666666 0.0 0.0 0.027778
0.1666666666666666 0.1666666666666666 0.0 0.027778
0.1666666666666666 0.3333333333333333 0.0 0.027778
0.1666666666666666 0.5 0.0 0.027778
0.1666666666666666 0.6666666666666666 0.0 0.027778
0.1666666666666666 0.8333333333333333 0.0 0.027778
0.3333333333333333 0.0 0.0 0.027778
0.3333333333333333 0.1666666666666666 0.0 0.027778
0.3333333333333333 0.3333333333333333 0.0 0.027778
0.3333333333333333 0.5 0.0 0.027778
0.3333333333333333 0.6666666666666666 0.0 0.027778
0.3333333333333333 0.8333333333333333 0.0 0.027778
0.5 0.0 0.0 0.027778
0.5 0.1666666666666666 0.0 0.027778
0.5 0.3333333333333333 0.0 0.027778
0.5 0.5 0.0 0.027778
0.5 0.6666666666666666 0.0 0.027778
0.5 0.8333333333333333 0.0 0.027778
0.6666666666666666 0.0 0.0 0.027778
0.6666666666666666 0.1666666666666666 0.0 0.027778
0.6666666666666666 0.3333333333333333 0.0 0.027778
0.6666666666666666 0.5 0.0 0.027778
0.6666666666666666 0.6666666666666666 0.0 0.027778
0.6666666666666666 0.8333333333333333 0.0 0.027778
0.8333333333333333 0.0 0.0 0.027778
0.8333333333333333 0.1666666666666666 0.0 0.027778
0.8333333333333333 0.3333333333333333 0.0 0.027778
0.8333333333333333 0.5 0.0 0.027778
0.8333333333333333 0.6666666666666666 0.0 0.027778
0.8333333333333333 0.8333333333333333 0.0 0.027778

CELL_PARAMETERS angstrom
4.2192010136 0.0 3e-16
-2.1096005068001356 3.6539352615002265 3e-16
0.0 0.0 23.2414401913

```



```

---                epw1.in ---
&inputepw
prefix = 'hBN'
amass(1) = 204.383
amass(2) = 32.066
outdir = './'
elph = .false.
epbwrite = .false.
epbread = .false.
epwwrite = .true.
epwread = .false.
etf_mem = 1
nbndsub = 11
use_ws = .true.
wannierize = .true.
num_iter = 1000
iprint = 2
dis_win_max = 21.053952526922764
dis_froz_max = -0.6663686325585285
fsthick = 1.2
temps = 1
degaussw = 0.005
dvscf_dir = './save'
nk1 = 6
nk2 = 6
nk3 = 1
nq1 = 1
nq2 = 1
nq3 = 1
system_2d = 'dipole_sp'
lpolar = .true.
dis_win_min = -18.485576365355925
wdata(1) = 'guiding_centres = T'
wdata(2) = 'dis_num_iter = 1500'
wdata(3) = 'bands_num_points = 100 '
wdata(4) = 'bands_plot = .true.'
wdata(5) = 'begin kpoint_path'
wdata(6) = 'G 0.0 0.0 0.0 M 0.5 0.0 0.0'
wdata(7) = 'M 0.5 0.0 0.0 K 0.3333333333 0.3333333333 0.0'
wdata(8) = 'K 0.3333333333 0.3333333333 0.0 X 1.0 1.0 0.0'
wdata(9) = 'X 1.0 1.0 0.0 M1 0.0 0.5 0.0'
wdata(10) = 'M1 0.0 0.5 0.0 G 0.0 0.0 0.0'
wdata(11) = 'end kpoint_path'
bands_skipped = 'exclude_bands = 1-11'
proj(1) = 'T1: l= -5, mr= 2,3,4,5,6'
proj(2) = 'S: l= 3, mr= 5'
dis_froz_min = -11.385560813044451
/

```

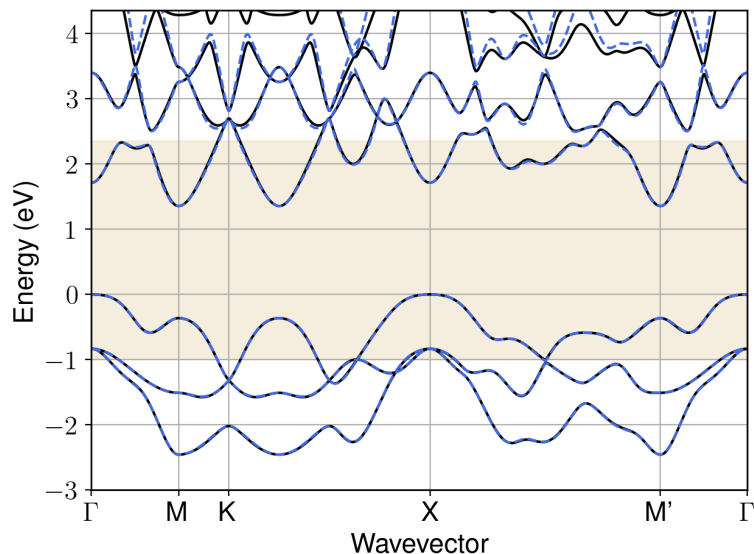


Figure S173: Bandstructure interpolation for monolayer  $\text{Tl}_2\text{S}$ . Wannier-interpolation of the band structure of monolayer  $\text{Tl}_2\text{S}$  over a wide energy range. Blue dashed lines are results from the present method, black solid lines are explicit DFT calculations. The yellow shaded region shows the range over which optimization has been performed. The interpolation error within the yellow region is 13 meV. The k-grid employed for NSCF calculation is  $6 \times 6$ .

## 162 Material: $\text{V}_2\text{O}_2\text{Br}_2$

The calculation files are appended below. These files should be executed in the order provided. The location of pseudo potentials should be changed accordingly.

```

---          scf.in ---
&CONTROL
calculation = 'scf'
verbosity = 'high'
restart_mode = 'from_scratch'
outdir = './'
pseudo_dir = '/scratch1/05193/sabyadk/2D_materials_Wann/Materials/V2O2Br2-31b551fc/pseudo/'
prefix = 'hBN'
/
&SYSTEM
ibrav = 0
nat = 6
ntyp = 3
ecutwfc = 60
ecutrho = 240
occupations = 'smearing'
smearing = 'gaussian'
degauss = 0.01
/
&ELECTRONS
conv_thr = 1E-10
diagonalization = cg
electron_maxstep = 500
/
ATOMIC_SPECIES
V 50.942 V_r.upf
Br 79.904 Br_r.upf
O 15.999 O_r.upf
ATOMIC_POSITIONS crystal
V 0.74999993002 0.249969368108 0.033114402843

```

```
V 0.250000070009 0.750030712368 0.966885642975
Br 0.749999999978 0.750002794117 0.882749467348
Br 0.249999999993 0.249997066301 0.117250483481
O 0.249999999993 0.250023043898 0.975044442818
O 0.749999999978 0.749977015287 0.024955560535
```

```
K_POINTS automatic
6 6 1 0 0 0
```

```
CELL_PARAMETERS angstrom
3.435689485463 0.0 2e-16
-2e-16 3.854690871556 2e-16
0.0 0.0 22.0549460656
```

```
--- nscf.in ---
&CONTROL
calculation = bands
verbosity = 'high'
restart_mode = 'from_scratch'
outdir = './'
pseudo_dir = '/scratch1/05193/sabyadk/2D_materials_Wann/Materials/V202Br2-31b551fc/pseudo/'
prefix = 'hBN'
/
&SYSTEM
ibrav = 0
nat = 6
ntyp = 3
ecutwfc = 60
ecutrho = 240
occupations = 'smearing'
smearing = 'gaussian'
degauss = 0.01
nbnd = 60
/
&ELECTRONS
conv_thr = 1E-10
diagonalization = cg
electron_maxstep = 500
/
ATOMIC_SPECIES
V 50.942 V_r.upf
Br 79.904 Br_r.upf
O 15.999 O_r.upf
ATOMIC_POSITIONS crystal
V 0.74999993002 0.249969368108 0.033114402843
V 0.250000070009 0.750030712368 0.966885642975
Br 0.749999999978 0.750002794117 0.882749467348
Br 0.249999999993 0.249997066301 0.117250483481
O 0.249999999993 0.250023043898 0.975044442818
O 0.749999999978 0.749977015287 0.024955560535

K_POINTS crystal
36
0.0 0.0 0.0 0.027778
0.0 0.1666666666666666 0.0 0.027778
0.0 0.3333333333333333 0.0 0.027778
0.0 0.5 0.0 0.027778
0.0 0.6666666666666666 0.0 0.027778
0.0 0.8333333333333333 0.0 0.027778
0.1666666666666666 0.0 0.0 0.027778
0.1666666666666666 0.1666666666666666 0.0 0.027778
0.1666666666666666 0.3333333333333333 0.0 0.027778
0.1666666666666666 0.5 0.0 0.027778
0.1666666666666666 0.6666666666666666 0.0 0.027778
0.1666666666666666 0.8333333333333333 0.0 0.027778
0.3333333333333333 0.0 0.0 0.027778
0.3333333333333333 0.1666666666666666 0.0 0.027778
0.3333333333333333 0.3333333333333333 0.0 0.027778
0.3333333333333333 0.5 0.0 0.027778
0.3333333333333333 0.6666666666666666 0.0 0.027778
0.3333333333333333 0.8333333333333333 0.0 0.027778
0.5 0.0 0.0 0.027778
0.5 0.1666666666666666 0.0 0.027778
0.5 0.3333333333333333 0.0 0.027778
0.5 0.5 0.0 0.027778
0.5 0.6666666666666666 0.0 0.027778
0.5 0.8333333333333333 0.0 0.027778
0.6666666666666666 0.0 0.0 0.027778
0.6666666666666666 0.1666666666666666 0.0 0.027778
0.6666666666666666 0.3333333333333333 0.0 0.027778
0.6666666666666666 0.5 0.0 0.027778
0.6666666666666666 0.6666666666666666 0.0 0.027778
0.6666666666666666 0.8333333333333333 0.0 0.027778
```

```

0.8333333333333333 0.0 0.0 0.027778
0.8333333333333333 0.1666666666666666 0.0 0.027778
0.8333333333333333 0.3333333333333333 0.0 0.027778
0.8333333333333333 0.5 0.0 0.027778
0.8333333333333333 0.6666666666666666 0.0 0.027778
0.8333333333333333 0.8333333333333333 0.0 0.027778

```

```

CELL_PARAMETERS angstrom
3.435689485463 0.0 2e-16
-2e-16 3.854690871556 2e-16
0.0 0.0 22.0549460656

```

```

---                epw1.in ---
&inputepw
prefix = 'hBN'
amass(1) = 50.942
amass(2) = 79.904
amass(3) = 15.999
outdir = './'
elph = .false.
epbwrite = .false.
epbread = .false.
epwwrite = .true.
epwread = .false.
etf_mem = 1
nbndsub = 24
use_ws = .true.
wannierize = .true.
num_iter = 1000
iprint = 2
dis_win_max = 14.558818402778208
dis_froz_max = 1.7848991187889398
fsthick = 1.2
temps = 1
degaussw = 0.005
dvscf_dir = './save'
nk1 = 6
nk2 = 6
nk3 = 1
nq1 = 1
nq2 = 1
nq3 = 1
dis_win_min = -12.07552245365143
wdata(1) = 'guiding_centres = T'
wdata(2) = 'dis_num_iter = 1500'
wdata(3) = 'bands_num_points = 100 '
wdata(4) = 'bands_plot = .true.'
wdata(5) = 'begin kpoint_path'
wdata(6) = 'G 0.0 0.0 0.0 M 0.5 0.0 0.0'
wdata(7) = 'M 0.5 0.0 0.0 K 0.3333333333 0.3333333333 0.0'
wdata(8) = 'K 0.3333333333 0.3333333333 0.0 X 1.0 1.0 0.0'
wdata(9) = 'X 1.0 1.0 0.0 M1 0.0 0.5 0.0'
wdata(10) = 'M1 0.0 0.5 0.0 G 0.0 0.0 0.0'
wdata(11) = 'end kpoint_path'
bands_skipped = 'exclude_bands = 1-12'
proj(1) = 'V: l= 2, mr= 1,2,4'
proj(2) = 'Br: l= -4, mr= 1,2,3,4'
proj(3) = 'O: l= 3, mr= 2,4,5,6,7'
dis_froz_min = -7.025180030914832
/

```

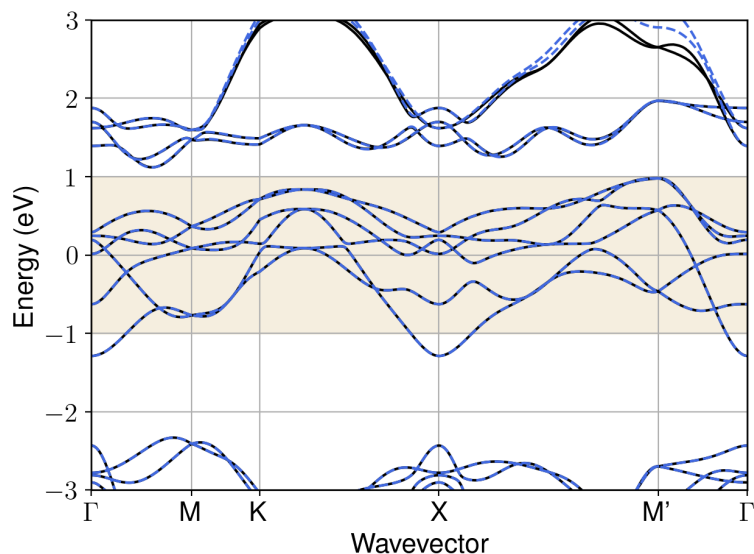


Figure S174: Bandstructure interpolation for monolayer  $V_2O_2Br_2$ . Wannier-interpolation of the band structure of monolayer  $V_2O_2Br_2$  over a wide energy range. Blue dashed lines are results from the present method, black solid lines are explicit DFT calculations. The yellow shaded region shows the range over which optimization has been performed. The interpolation error within the yellow region is 1 meV. The k-grid employed for NSCF calculation is  $6 \times 6$ .

### 163 Material: $VBr_2$

The calculation files are appended below. These files should be executed in the order provided. The location of pseudo potentials should be changed accordingly.

```

---          scf.in ---
&CONTROL
calculation = 'scf'
verbosity = 'high'
restart_mode = 'from_scratch'
outdir = './'
pseudo_dir = '/scratch1/05193/sabyadk/2D_materials_Wann/Materials/VBr2-7da27354/pseudo/'
prefix = 'hBN'
/
&SYSTEM
ibrav = 0
nat = 6
ntyp = 2
ecutwfc = 60
ecutrho = 240
occupations = 'smearing'
smearing = 'gaussian'
degauss = 0.01
/
&ELECTRONS
conv_thr = 1E-10
diagonalization = cg
electron_maxstep = 500
/
ATOMIC_SPECIES
V 50.942 V_r.upf
Br 79.904 Br_r.upf
ATOMIC_POSITIONS crystal
V 0.500000000007 0.499999999993 0.0
V 0.0 0.0 0.0

```

```

Br 0.337420239498 5.401e-09 0.918585914957
Br 0.837420049432 0.500000005406 0.918584305257
Br 0.662579760537 0.999999994596 0.081414085043
Br 0.162579950581 0.49999999458 0.081415694743

```

```

K_POINTS automatic
6 6 1 0 0 0

```

```

CELL_PARAMETERS angstrom
6.375838174034 0.0 4e-16
-2.312891205e-07 3.8031196209029927 2e-16
0.0 0.0 18.504784999999

```

```

--- nscf.in ---
&CONTROL
calculation = bands
verbosity = 'high'
restart_mode = 'from_scratch'
outdir = './'
pseudo_dir = '/scratch1/05193/sabyadk/2D_materials_Wann/Materials/VBr2-7da27354/pseudo/'
prefix = 'hEN'
/
&SYSTEM
ibrav = 0
nat = 6
ntyp = 2
ecutwfc = 60
ecutrho = 240
occupations = 'smearing'
smearing = 'gaussian'
degauss = 0.01
nbnd = 60
/
&ELECTRONS
conv_thr = 1E-10
diagonalization = cg
electron_maxstep = 500
/
ATOMIC_SPECIES
V 50.942 V_r.upf
Br 79.904 Br_r.upf
ATOMIC_POSITIONS crystal
V 0.5000000000007 0.499999999993 0.0
V 0.0 0.0 0.0
Br 0.337420239498 5.401e-09 0.918585914957
Br 0.837420049432 0.500000005406 0.918584305257
Br 0.662579760537 0.999999994596 0.081414085043
Br 0.162579950581 0.49999999458 0.081415694743
K_POINTS crystal
36
0.0 0.0 0.0 0.027778
0.0 0.1666666666666666 0.0 0.027778
0.0 0.3333333333333333 0.0 0.027778
0.0 0.5 0.0 0.027778
0.0 0.6666666666666666 0.0 0.027778
0.0 0.8333333333333333 0.0 0.027778
0.1666666666666666 0.0 0.0 0.027778
0.1666666666666666 0.1666666666666666 0.0 0.027778
0.1666666666666666 0.3333333333333333 0.0 0.027778
0.1666666666666666 0.5 0.0 0.027778
0.1666666666666666 0.6666666666666666 0.0 0.027778
0.1666666666666666 0.8333333333333333 0.0 0.027778
0.3333333333333333 0.0 0.0 0.027778
0.3333333333333333 0.1666666666666666 0.0 0.027778
0.3333333333333333 0.3333333333333333 0.0 0.027778
0.3333333333333333 0.5 0.0 0.027778
0.3333333333333333 0.6666666666666666 0.0 0.027778
0.3333333333333333 0.8333333333333333 0.0 0.027778
0.5 0.0 0.0 0.027778
0.5 0.1666666666666666 0.0 0.027778
0.5 0.3333333333333333 0.0 0.027778
0.5 0.5 0.0 0.027778
0.5 0.6666666666666666 0.0 0.027778
0.5 0.8333333333333333 0.0 0.027778
0.6666666666666666 0.0 0.0 0.027778
0.6666666666666666 0.1666666666666666 0.0 0.027778
0.6666666666666666 0.3333333333333333 0.0 0.027778
0.6666666666666666 0.5 0.0 0.027778
0.6666666666666666 0.6666666666666666 0.0 0.027778
0.6666666666666666 0.8333333333333333 0.0 0.027778
0.8333333333333333 0.0 0.0 0.027778
0.8333333333333333 0.1666666666666666 0.0 0.027778

```

```

0.8333333333333333 0.3333333333333333 0.0 0.027778
0.8333333333333333 0.5 0.0 0.027778
0.8333333333333333 0.6666666666666666 0.0 0.027778
0.8333333333333333 0.8333333333333333 0.0 0.027778

```

```

CELL_PARAMETERS angstrom
6.375838174034 0.0 4e-16
-2.312891205e-07 3.8031196209029927 2e-16
0.0 0.0 18.504784999999

```

```

---                epw1.in ---
&inputepw
prefix = 'hBN'
amass(1) = 50.942
amass(2) = 79.904
outdir = './'
elph = .false.
epbwrite = .false.
epbread = .false.
epwwrite = .true.
epwread = .false.
etf_mem = 1
nbndsub = 22
use_ws = .true.
wannierize = .true.
num_iter = 1000
iprint = 2
dis_win_max = 17.143352998938965
dis_froz_max = 5.63112545512342
fsthick = 1.2
temps = 1
degaussw = 0.005
dvscf_dir = './save'
nk1 = 6
nk2 = 6
nk3 = 1
nq1 = 1
nq2 = 1
nq3 = 1
dis_win_min = -12.430744340209564
wdata(1) = 'guiding_centres = T'
wdata(2) = 'dis_num_iter = 1500'
wdata(3) = 'bands_num_points = 100 '
wdata(4) = 'bands_plot = .true.'
wdata(5) = 'begin kpoint_path'
wdata(6) = 'G 0.0 0.0 0.0 M 0.5 0.0 0.0'
wdata(7) = 'M 0.5 0.0 0.0 K 0.3333333333 0.3333333333 0.0'
wdata(8) = 'K 0.3333333333 0.3333333333 0.0 X 1.0 1.0 0.0'
wdata(9) = 'X 1.0 1.0 0.0 M1 0.0 0.5 0.0'
wdata(10) = 'M1 0.0 0.5 0.0 G 0.0 0.0 0.0'
wdata(11) = 'end kpoint_path'
bands_skipped = 'exclude_bands = 1-12'
proj(1) = 'V: l= 3, mr= 1,2,7'
proj(2) = 'Br: l= 3, mr= 2,3,4,6'
dis_froz_min = -3.063357166917005
/

```

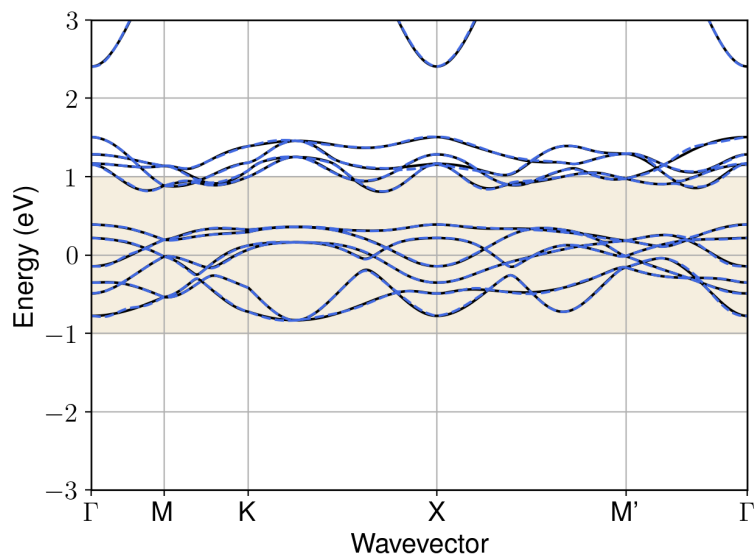


Figure S175: Bandstructure interpolation for monolayer  $\text{VBr}_2$ . Wannier-interpolation of the band structure of monolayer  $\text{VBr}_2$  over a wide energy range. Blue dashed lines are results from the present method, black solid lines are explicit DFT calculations. The yellow shaded region shows the range over which optimization has been performed. The interpolation error within the yellow region is 7 meV. The k-grid employed for NSCF calculation is  $6 \times 6$ .

## 164 Material: $\text{VCl}_2$

The calculation files are appended below. These files should be executed in the order provided. The location of pseudo potentials should be changed accordingly.

```

---          scf.in ---
&CONTROL
calculation = 'scf'
verbosity = 'high'
restart_mode = 'from_scratch'
outdir = './'
pseudo_dir = '/scratch1/05193/sabyadk/2D_materials_Wann/Materials/VCl2-b4f4d78a/pseudo/'
prefix = 'hBN'
/
&SYSTEM
ibrav = 0
nat = 6
ntyp = 2
ecutwfc = 60
ecutrho = 240
occupations = 'smearing'
smearing = 'gaussian'
degauss = 0.01
/
&ELECTRONS
conv_thr = 1E-10
diagonalization = cg
electron_maxstep = 500
/
ATOMIC_SPECIES
V 50.942 V_r.upf
Cl 35.453 Cl_r.upf
ATOMIC_POSITIONS crystal
V 0.499999999992 0.499999999976 0.0
V 0.0 0.0 0.0

```



```

Cl 0.659596544909 6.483e-09 0.077032117425
Cl 0.159596471067 0.500000006475 0.07703210214
Cl 0.340403455076 0.9999999353 0.922967882575
Cl 0.840403528916 0.49999993478 0.92296789786

```

```

K_POINTS automatic
6 6 1 0 0 0

```

```

CELL_PARAMETERS angstrom
5.976883374781 0.0 4e-16
4.570530689e-07 3.6297323099159717 2e-16
0.0 0.0 18.174396

```

```

---                nscf.in ---
&CONTROL
calculation = bands
verbosity = 'high'
restart_mode = 'from_scratch'
outdir = './'
pseudo_dir = '/scratch1/05193/sabyadk/2D_materials_Wann/Materials/VC12-b4f4d78a/pseudo/'
prefix = 'hEN'
/
&SYSTEM
ibrav = 0
nat = 6
ntyp = 2
ecutwfc = 60
ecutrho = 240
occupations = 'smearing'
smearing = 'gaussian'
degauss = 0.01
nbnd = 60
/
&ELECTRONS
conv_thr = 1E-10
diagonalization = cg
electron_maxstep = 500
/
ATOMIC_SPECIES
V 50.942 V_r.upf
Cl 35.453 Cl_r.upf
ATOMIC_POSITIONS crystal
V 0.499999999992 0.499999999976 0.0
V 0.0 0.0 0.0
Cl 0.659596544909 6.483e-09 0.077032117425
Cl 0.159596471067 0.500000006475 0.07703210214
Cl 0.340403455076 0.9999999353 0.922967882575
Cl 0.840403528916 0.49999993478 0.92296789786

K_POINTS crystal
36
0.0 0.0 0.0 0.027778
0.0 0.16666666666666666 0.0 0.027778
0.0 0.3333333333333333 0.0 0.027778
0.0 0.5 0.0 0.027778
0.0 0.6666666666666666 0.0 0.027778
0.0 0.8333333333333333 0.0 0.027778
0.16666666666666666 0.0 0.0 0.027778
0.16666666666666666 0.16666666666666666 0.0 0.027778
0.16666666666666666 0.3333333333333333 0.0 0.027778
0.16666666666666666 0.5 0.0 0.027778
0.16666666666666666 0.6666666666666666 0.0 0.027778
0.16666666666666666 0.8333333333333333 0.0 0.027778
0.3333333333333333 0.0 0.0 0.027778
0.3333333333333333 0.16666666666666666 0.0 0.027778
0.3333333333333333 0.3333333333333333 0.0 0.027778
0.3333333333333333 0.5 0.0 0.027778
0.3333333333333333 0.6666666666666666 0.0 0.027778
0.3333333333333333 0.8333333333333333 0.0 0.027778
0.5 0.0 0.0 0.027778
0.5 0.16666666666666666 0.0 0.027778
0.5 0.3333333333333333 0.0 0.027778
0.5 0.5 0.0 0.027778
0.5 0.6666666666666666 0.0 0.027778
0.5 0.8333333333333333 0.0 0.027778
0.6666666666666666 0.0 0.0 0.027778
0.6666666666666666 0.16666666666666666 0.0 0.027778
0.6666666666666666 0.3333333333333333 0.0 0.027778
0.6666666666666666 0.5 0.0 0.027778
0.6666666666666666 0.6666666666666666 0.0 0.027778
0.6666666666666666 0.8333333333333333 0.0 0.027778
0.8333333333333333 0.0 0.0 0.027778
0.8333333333333333 0.16666666666666666 0.0 0.027778

```

```

0.8333333333333333 0.3333333333333333 0.0 0.027778
0.8333333333333333 0.5 0.0 0.027778
0.8333333333333333 0.6666666666666666 0.0 0.027778
0.8333333333333333 0.8333333333333333 0.0 0.027778

```

```

CELL_PARAMETERS angstrom
5.976883374781 0.0 4e-16
4.570530689e-07 3.6297323099159717 2e-16
0.0 0.0 18.174396

```

```

---                epw1.in ---
&inputepw
prefix = 'hBN'
amass(1) = 50.942
amass(2) = 35.453
outdir = './'
elph = .false.
epbwrite = .false.
epbread = .false.
epwrite = .true.
epwread = .false.
etf_mem = 1
nbndsub = 26
use_ws = .true.
wannierize = .true.
num_iter = 1000
iprint = 2
dis_win_max = 18.632705836064552
dis_froz_max = 1.7763582213993407
fsthick = 1.2
temps = 1
degaussw = 0.005
dvscf_dir = './save'
nk1 = 6
nk2 = 6
nk3 = 1
nq1 = 1
nq2 = 1
nq3 = 1
dis_win_min = -18.944218746792785
wdata(1) = 'guiding_centres = T'
wdata(2) = 'dis_num_iter = 1500'
wdata(3) = 'bands_num_points = 100 '
wdata(4) = 'bands_plot = .true.'
wdata(5) = 'begin kpoint_path'
wdata(6) = 'G 0.0 0.0 0.0 M 0.5 0.0 0.0'
wdata(7) = 'M 0.5 0.0 0.0 K 0.3333333333 0.3333333333 0.0'
wdata(8) = 'K 0.3333333333 0.3333333333 0.0 X 1.0 1.0 0.0'
wdata(9) = 'X 1.0 1.0 0.0 M1 0.0 0.5 0.0'
wdata(10) = 'M1 0.0 0.5 0.0 G 0.0 0.0 0.0'
wdata(11) = 'end kpoint_path'
bands_skipped = 'exclude_bands = 1-12'
proj(1) = 'V: l= 3, mr= 1,2,4,5,6'
proj(2) = 'Cl: l= 2, mr= 1,2,4,5'
dis_froz_min = -2.8228342514277633
/

```

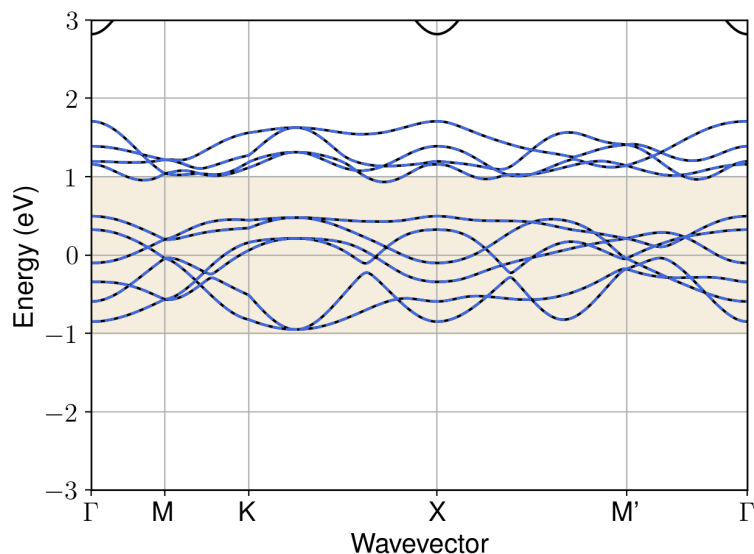


Figure S176: Bandstructure interpolation for monolayer  $\text{VCl}_2$ . Wannier-interpolation of the band structure of monolayer  $\text{VCl}_2$  over a wide energy range. Blue dashed lines are results from the present method, black solid lines are explicit DFT calculations. The yellow shaded region shows the range over which optimization has been performed. The interpolation error within the yellow region is 1 meV. The k-grid employed for NSCF calculation is  $6 \times 6$ .

## 165 Material: $\text{VI}_2$

The calculation files are appended below. These files should be executed in the order provided. The location of pseudo potentials should be changed accordingly.

```

---          scf.in ---
&CONTROL
calculation = 'scf'
verbosity = 'high'
restart_mode = 'from_scratch'
outdir = './'
pseudo_dir = '/scratch1/05193/sabyadk/2D_materials_Wann/Materials/VI2-a610d4f6/pseudo/'
prefix = 'hBN'
/
&SYSTEM
ibrav = 0
nat = 6
ntyp = 2
ecutwfc = 60
ecutrho = 240
occupations = 'smearing'
smearing = 'gaussian'
degauss = 0.01
/
&ELECTRONS
conv_thr = 1E-10
diagonalization = cg
electron_maxstep = 500
/
ATOMIC_SPECIES
V 50.942 V_r.upf
I 126.904 I_r.upf
ATOMIC_POSITIONS crystal
V 0.749982666402 0.74996640289 0.99999936077
V 0.250017249525 0.250033453625 6.55213e-07

```

```

I 0.913020277449 0.249971399725 0.086502502917
I 0.413019352464 0.750028550984 0.08650464081
I 0.586980677352 0.249971420576 0.913495358073
I 0.086979716817 0.750028572155 0.913497482218

```

```

K_POINTS automatic
6 6 1 0 0 0

```

```

CELL_PARAMETERS angstrom
6.922733242434 0.0 4e-16
-2.4810687741e-06 4.088804219833248 3e-16
0.0 0.0 18.702224

```

```

---                nscf.in ---
&CONTROL
calculation = bands
verbosity = 'high'
restart_mode = 'from_scratch'
outdir = './'
pseudo_dir = '/scratch1/05193/sabyadk/2D_materials_Wann/Materials/VI2-a610d4f6/pseudo/'
prefix = 'hEN'
/
&SYSTEM
ibrav = 0
nat = 6
ntyp = 2
ecutwfc = 60
ecutrho = 240
occupations = 'smearing'
smearing = 'gaussian'
degauss = 0.01
nbnd = 60
/
&ELECTRONS
conv_thr = 1E-10
diagonalization = cg
electron_maxstep = 500
/
ATOMIC_SPECIES
V 50.942 V_r.upf
I 126.904 I_r.upf
ATOMIC_POSITIONS crystal
V 0.749982666402 0.74996640289 0.99999936077
V 0.250017249525 0.250033453625 6.55213e-07
I 0.913020277449 0.249971399725 0.086502502917
I 0.413019352464 0.750028550984 0.08650464081
I 0.586980677352 0.249971420576 0.913495358073
I 0.086979716817 0.750028572155 0.913497482218

K_POINTS crystal
36
0.0 0.0 0.0 0.027778
0.0 0.16666666666666666 0.0 0.027778
0.0 0.3333333333333333 0.0 0.027778
0.0 0.5 0.0 0.027778
0.0 0.6666666666666666 0.0 0.027778
0.0 0.8333333333333333 0.0 0.027778
0.16666666666666666 0.0 0.0 0.027778
0.16666666666666666 0.16666666666666666 0.0 0.027778
0.16666666666666666 0.3333333333333333 0.0 0.027778
0.16666666666666666 0.5 0.0 0.027778
0.16666666666666666 0.6666666666666666 0.0 0.027778
0.16666666666666666 0.8333333333333333 0.0 0.027778
0.3333333333333333 0.0 0.0 0.027778
0.3333333333333333 0.16666666666666666 0.0 0.027778
0.3333333333333333 0.3333333333333333 0.0 0.027778
0.3333333333333333 0.5 0.0 0.027778
0.3333333333333333 0.6666666666666666 0.0 0.027778
0.3333333333333333 0.8333333333333333 0.0 0.027778
0.5 0.0 0.0 0.027778
0.5 0.16666666666666666 0.0 0.027778
0.5 0.3333333333333333 0.0 0.027778
0.5 0.5 0.0 0.027778
0.5 0.6666666666666666 0.0 0.027778
0.5 0.8333333333333333 0.0 0.027778
0.6666666666666666 0.0 0.0 0.027778
0.6666666666666666 0.16666666666666666 0.0 0.027778
0.6666666666666666 0.3333333333333333 0.0 0.027778
0.6666666666666666 0.5 0.0 0.027778
0.6666666666666666 0.6666666666666666 0.0 0.027778
0.6666666666666666 0.8333333333333333 0.0 0.027778
0.8333333333333333 0.0 0.0 0.027778
0.8333333333333333 0.16666666666666666 0.0 0.027778

```

```

0.8333333333333333 0.3333333333333333 0.0 0.027778
0.8333333333333333 0.5 0.0 0.027778
0.8333333333333333 0.6666666666666666 0.0 0.027778
0.8333333333333333 0.8333333333333333 0.0 0.027778

```

```

CELL_PARAMETERS angstrom
6.922733242434 0.0 4e-16
-2.4810687741e-06 4.088804219833248 3e-16
0.0 0.0 18.702224

```

```

---                epw1.in ---
&inputepw
prefix = 'hBN'
amass(1) = 50.942
amass(2) = 126.904
outdir = './'
elph = .false.
epbwrite = .false.
epbread = .false.
epwwrite = .true.
epwread = .false.
etf_mem = 1
nbndsub = 24
use_ws = .true.
wannierize = .true.
num_iter = 1000
iprint = 2
dis_win_max = 13.786053942945395
dis_froz_max = 1.9082119141529859
fsthick = 1.2
temps = 1
degaussw = 0.005
dvscf_dir = './save'
nk1 = 6
nk2 = 6
nk3 = 1
nq1 = 1
nq2 = 1
nq3 = 1
dis_win_min = -13.271838916588777
wdata(1) = 'guiding_centres = T'
wdata(2) = 'dis_num_iter = 1500'
wdata(3) = 'bands_num_points = 100 '
wdata(4) = 'bands_plot = .true.'
wdata(5) = 'begin kpoint_path'
wdata(6) = 'G 0.0 0.0 0.0 M 0.5 0.0 0.0'
wdata(7) = 'M 0.5 0.0 0.0 K 0.3333333333 0.3333333333 0.0'
wdata(8) = 'K 0.3333333333 0.3333333333 0.0 X 1.0 1.0 0.0'
wdata(9) = 'X 1.0 1.0 0.0 M1 0.0 0.5 0.0'
wdata(10) = 'M1 0.0 0.5 0.0 G 0.0 0.0 0.0'
wdata(11) = 'end kpoint_path'
bands_skipped = 'exclude_bands = 1-12'
proj(1) = 'V: l= 3, mr= 3,4,5,7'
proj(2) = 'I: l= 3, mr= 1,2,6,7'
dis_froz_min = -9.227467322777574
/

```

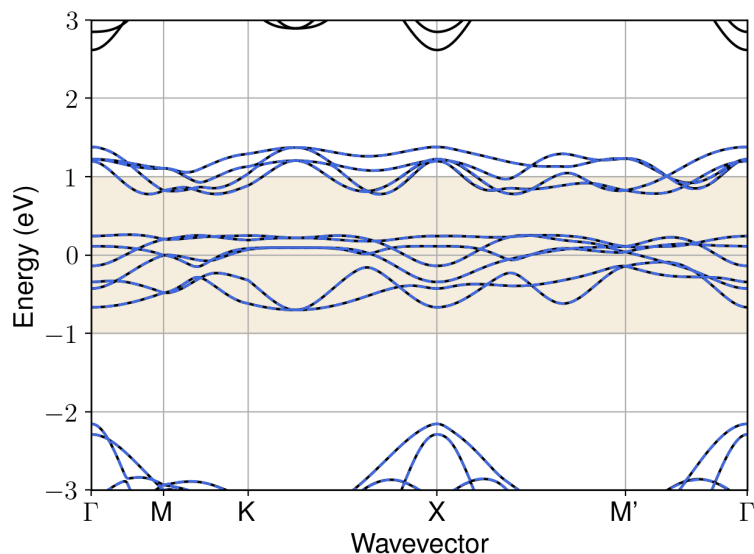


Figure S177: Bandstructure interpolation for monolayer  $\text{VI}_2$ . Wannier-interpolation of the band structure of monolayer  $\text{VI}_2$  over a wide energy range. Blue dashed lines are results from the present method, black solid lines are explicit DFT calculations. The yellow shaded region shows the range over which optimization has been performed. The interpolation error within the yellow region is 2 meV. The k-grid employed for NSCF calculation is  $6 \times 6$ .

## 166 Material: $\text{VOBr}_2$

The calculation files are appended below. These files should be executed in the order provided. The location of pseudo potentials should be changed accordingly.

```

---          scf.in ---
&CONTROL
calculation = 'scf'
verbosity = 'high'
restart_mode = 'from_scratch'
outdir = './'
pseudo_dir = '/scratch1/05193/sabyadk/2D_materials_Wann/Materials/VOBr2-ec2547d7/pseudo/'
prefix = 'hBN'
/
&SYSTEM
ibrav = 0
nat = 8
ntyp = 3
ecutwfc = 60
ecutrho = 240
occupations = 'smearing'
smearing = 'gaussian'
degauss = 0.01
/
&ELECTRONS
conv_thr = 1E-10
diagonalization = cg
electron_maxstep = 500
/
ATOMIC_SPECIES
V 50.942 V_r.upf
Br 79.904 Br_r.upf
O 15.999 O_r.upf
ATOMIC_POSITIONS crystal
V 0.447200406274 0.499999999999 0.0

```

```

V 0.447200428886 0.0 0.0
Br 0.525738073983 0.749999990654 0.908313459557
Br 0.525738073983 0.250000009346 0.908313459557
Br 0.525738073983 0.749999990654 0.091686540443
Br 0.525738073983 0.250000009346 0.091686540443
O 0.017835650477 0.499999999993 0.0
O 0.017835700598 0.0 0.0

K_POINTS automatic
6 6 1 0 0 0

CELL_PARAMETERS angstrom
3.806220440154 0.0 2e-16
-4e-16 7.170299272019 4e-16
0.0 0.0 19.4734630608

```

```

---                nscf.in ---
&CONTROL
calculation = bands
verbosity = 'high'
restart_mode = 'from_scratch'
outdir = './'
pseudo_dir = '/scratch1/05193/sabyadk/2D_materials_Wann/Materials/V0Br2-ec2547d7/pseudo/'
prefix = 'hBN'
/
&SYSTEM
ibrav = 0
nat = 8
ntyp = 3
ecutwfc = 60
ecutrho = 240
occupations = 'smearing'
smearing = 'gaussian'
degauss = 0.01
nbnd = 60
/
&ELECTRONS
conv_thr = 1E-10
diagonalization = cg
electron_maxstep = 500
/
ATOMIC_SPECIES
V 50.942 V_r.upf
Br 79.904 Br_r.upf
O 15.999 O_r.upf
ATOMIC_POSITIONS crystal
V 0.447200406274 0.499999999993 0.0
V 0.447200428886 0.0 0.0
Br 0.525738073983 0.749999990654 0.908313459557
Br 0.525738073983 0.250000009346 0.908313459557
Br 0.525738073983 0.749999990654 0.091686540443
Br 0.525738073983 0.250000009346 0.091686540443
O 0.017835650477 0.499999999993 0.0
O 0.017835700598 0.0 0.0

K_POINTS crystal
36
0.0 0.0 0.0 0.027778
0.0 0.16666666666666666 0.0 0.027778
0.0 0.3333333333333333 0.0 0.027778
0.0 0.5 0.0 0.027778
0.0 0.6666666666666666 0.0 0.027778
0.0 0.8333333333333333 0.0 0.027778
0.16666666666666666 0.0 0.0 0.027778
0.16666666666666666 0.16666666666666666 0.0 0.027778
0.16666666666666666 0.3333333333333333 0.0 0.027778
0.16666666666666666 0.5 0.0 0.027778
0.16666666666666666 0.6666666666666666 0.0 0.027778
0.16666666666666666 0.8333333333333333 0.0 0.027778
0.3333333333333333 0.0 0.0 0.027778
0.3333333333333333 0.16666666666666666 0.0 0.027778
0.3333333333333333 0.3333333333333333 0.0 0.027778
0.3333333333333333 0.5 0.0 0.027778
0.3333333333333333 0.6666666666666666 0.0 0.027778
0.3333333333333333 0.8333333333333333 0.0 0.027778
0.5 0.0 0.0 0.027778
0.5 0.16666666666666666 0.0 0.027778
0.5 0.3333333333333333 0.0 0.027778
0.5 0.5 0.0 0.027778
0.5 0.6666666666666666 0.0 0.027778
0.5 0.8333333333333333 0.0 0.027778
0.6666666666666666 0.0 0.0 0.027778
0.6666666666666666 0.16666666666666666 0.0 0.027778

```

```

0.6666666666666666 0.3333333333333333 0.0 0.027778
0.6666666666666666 0.5 0.0 0.027778
0.6666666666666666 0.6666666666666666 0.0 0.027778
0.6666666666666666 0.8333333333333333 0.0 0.027778
0.8333333333333333 0.0 0.0 0.027778
0.8333333333333333 0.1666666666666666 0.0 0.027778
0.8333333333333333 0.3333333333333333 0.0 0.027778
0.8333333333333333 0.5 0.0 0.027778
0.8333333333333333 0.6666666666666666 0.0 0.027778
0.8333333333333333 0.8333333333333333 0.0 0.027778

```

```

CELL_PARAMETERS angstrom
3.806220440154 0.0 2e-16
-4e-16 7.170299272019 4e-16
0.0 0.0 19.4734630608

```

```

---                epw1.in ---
&inputepw
prefix = 'hEN'
amass(1) = 50.942
amass(2) = 79.904
amass(3) = 15.999
outdir = './'
elph = .false.
epbwrite = .false.
epbread = .false.
epwwrite = .true.
epwread = .false.
etf_mem = 1
nbndsub = 20
use_ws = .true.
wannierize = .true.
num_iter = 1000
iprint = 2
dis_win_max = 9.940790180812284
dis_froz_max = 1.1555749796518886
fsthick = 1.2
temps = 1
degaussw = 0.005
dvscf_dir = './save'
nk1 = 6
nk2 = 6
nk3 = 1
nq1 = 1
nq2 = 1
nq3 = 1
dis_win_min = -14.589278802179738
wdata(1) = 'guiding_centres = T'
wdata(2) = 'dis_num_iter = 1500'
wdata(3) = 'bands_num_points = 100 '
wdata(4) = 'bands_plot = .true.'
wdata(5) = 'begin kpoint_path'
wdata(6) = 'G 0.0 0.0 0.0 M 0.5 0.0 0.0'
wdata(7) = 'M 0.5 0.0 0.0 K 0.3333333333 0.3333333333 0.0'
wdata(8) = 'K 0.3333333333 0.3333333333 0.0 X 1.0 1.0 0.0'
wdata(9) = 'X 1.0 1.0 0.0 M1 0.0 0.5 0.0'
wdata(10) = 'M1 0.0 0.5 0.0 G 0.0 0.0 0.0'
wdata(11) = 'end kpoint_path'
bands_skipped = 'exclude_bands = 1-14'
proj(1) = 'V: l= -4, mr= 3'
proj(2) = 'Br: l= 2, mr= 2,3,4'
proj(3) = 'O: l= 3, mr= 2,3,7'
dis_froz_min = -3.1000415321040444
/

```



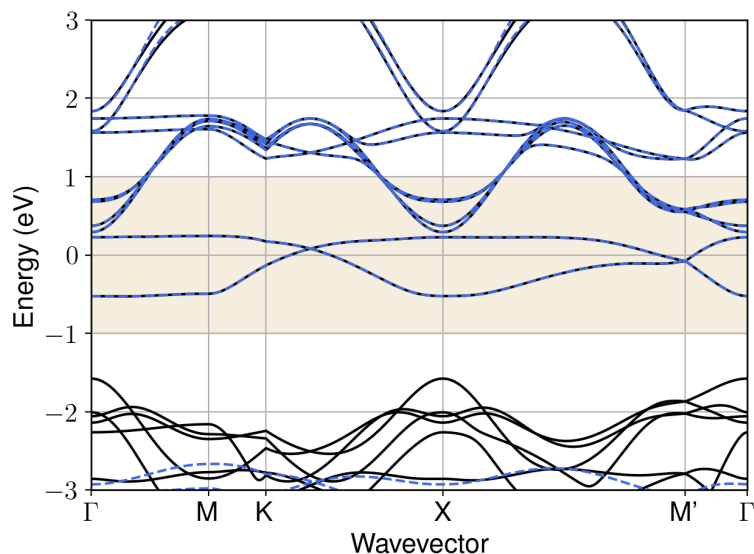


Figure S178: Bandstructure interpolation for monolayer  $\text{VOBr}_2$ . Wannier-interpolation of the band structure of monolayer  $\text{VOBr}_2$  over a wide energy range. Blue dashed lines are results from the present method, black solid lines are explicit DFT calculations. The yellow shaded region shows the range over which optimization has been performed. The interpolation error within the yellow region is 1 meV. The k-grid employed for NSCF calculation is  $6 \times 6$ .

## 167 Material: $\text{VOCl}_2$

The calculation files are appended below. These files should be executed in the order provided. The location of pseudo potentials should be changed accordingly.

```

---          scf.in ---
&CONTROL
calculation = 'scf'
verbosity = 'high'
restart_mode = 'from_scratch'
outdir = './'
pseudo_dir = '/scratch1/05193/sabyadk/2D_materials_Wann/Materials/VOCl2-d16a934f/pseudo/'
prefix = 'hBN'
/
&SYSTEM
ibrav = 0
nat = 8
ntyp = 3
ecutwfc = 60
ecutrho = 240
occupations = 'smearing'
smearing = 'gaussian'
degauss = 0.01
/
&ELECTRONS
conv_thr = 1E-10
diagonalization = cg
electron_maxstep = 500
/
ATOMIC_SPECIES
V 50.942 V_r.upf
Cl 35.453 Cl_r.upf
O 15.999 O_r.upf
ATOMIC_POSITIONS crystal
V 0.447271369275 0.0 0.0

```

```

V 0.447270650507 0.499999999993 0.0
Cl 0.527594306446 0.750000289562 0.911737599058
Cl 0.527594306446 0.249999710438 0.911737599058
Cl 0.527594306446 0.750000289562 0.088262400942
Cl 0.527594306446 0.249999710438 0.088262400942
O 0.022381383798 0.0 0.0
O 0.022380426791 0.499999999993 0.0

K_POINTS automatic
6 6 1 0 0 0

CELL_PARAMETERS angstrom
3.821579248372 0.0 2e-16
-4e-16 6.723805932274 4e-16
0.0 0.0 18.866902354652

```

```

---                nscf.in ---
&CONTROL
calculation = bands
verbosity = 'high'
restart_mode = 'from_scratch'
outdir = './'
pseudo_dir = '/scratch1/05193/sabyadk/2D_materials_Wann/Materials/VOC12-d16a934f/pseudo/'
prefix = 'hBN'
/
&SYSTEM
ibrav = 0
nat = 8
ntyp = 3
ecutwfc = 60
ecutrho = 240
occupations = 'smearing'
smearing = 'gaussian'
degauss = 0.01
nband = 60
/
&ELECTRONS
conv_thr = 1E-10
diagonalization = cg
electron_maxstep = 500
/
ATOMIC_SPECIES
V 50.942 V_r.upf
Cl 35.453 Cl_r.upf
O 15.999 O_r.upf
ATOMIC_POSITIONS crystal
V 0.447271369275 0.0 0.0
V 0.447270650507 0.499999999993 0.0
Cl 0.527594306446 0.750000289562 0.911737599058
Cl 0.527594306446 0.249999710438 0.911737599058
Cl 0.527594306446 0.750000289562 0.088262400942
Cl 0.527594306446 0.249999710438 0.088262400942
O 0.022381383798 0.0 0.0
O 0.022380426791 0.499999999993 0.0

K_POINTS crystal
36
0.0 0.0 0.0 0.027778
0.0 0.16666666666666666 0.0 0.027778
0.0 0.3333333333333333 0.0 0.027778
0.0 0.5 0.0 0.027778
0.0 0.6666666666666666 0.0 0.027778
0.0 0.8333333333333333 0.0 0.027778
0.16666666666666666 0.0 0.0 0.027778
0.16666666666666666 0.16666666666666666 0.0 0.027778
0.16666666666666666 0.3333333333333333 0.0 0.027778
0.16666666666666666 0.5 0.0 0.027778
0.16666666666666666 0.6666666666666666 0.0 0.027778
0.16666666666666666 0.8333333333333333 0.0 0.027778
0.3333333333333333 0.0 0.0 0.027778
0.3333333333333333 0.16666666666666666 0.0 0.027778
0.3333333333333333 0.3333333333333333 0.0 0.027778
0.3333333333333333 0.5 0.0 0.027778
0.3333333333333333 0.6666666666666666 0.0 0.027778
0.3333333333333333 0.8333333333333333 0.0 0.027778
0.5 0.0 0.0 0.027778
0.5 0.16666666666666666 0.0 0.027778
0.5 0.3333333333333333 0.0 0.027778
0.5 0.5 0.0 0.027778
0.5 0.6666666666666666 0.0 0.027778
0.5 0.8333333333333333 0.0 0.027778
0.6666666666666666 0.0 0.0 0.027778
0.6666666666666666 0.16666666666666666 0.0 0.027778

```

```

0.6666666666666666 0.3333333333333333 0.0 0.027778
0.6666666666666666 0.5 0.0 0.027778
0.6666666666666666 0.6666666666666666 0.0 0.027778
0.6666666666666666 0.8333333333333333 0.0 0.027778
0.8333333333333333 0.0 0.0 0.027778
0.8333333333333333 0.1666666666666666 0.0 0.027778
0.8333333333333333 0.3333333333333333 0.0 0.027778
0.8333333333333333 0.5 0.0 0.027778
0.8333333333333333 0.6666666666666666 0.0 0.027778
0.8333333333333333 0.8333333333333333 0.0 0.027778

```

```

CELL_PARAMETERS angstrom
3.821579248372 0.0 2e-16
-4e-16 6.723805932274 4e-16
0.0 0.0 18.866902354652

```

```

---                epw1.in ---
&inputepw
prefix = 'hEN'
amass(1) = 50.942
amass(2) = 35.453
amass(3) = 15.999
outdir = './'
elph = .false.
epbwrite = .false.
epbread = .false.
epwwrite = .true.
epwread = .false.
etf_mem = 1
nbndsub = 18
use_ws = .true.
wannierize = .true.
num_iter = 1000
iprint = 2
dis_win_max = 16.769974601015043
dis_froz_max = 0.689905215573809
fsthick = 1.2
temps = 1
degaussw = 0.005
dvscf_dir = './save'
nk1 = 6
nk2 = 6
nk3 = 1
nq1 = 1
nq2 = 1
nq3 = 1
dis_win_min = -15.126727040821645
wdata(1) = 'guiding_centres = T'
wdata(2) = 'dis_num_iter = 1500'
wdata(3) = 'bands_num_points = 100 '
wdata(4) = 'bands_plot = .true.'
wdata(5) = 'begin kpoint_path'
wdata(6) = 'G 0.0 0.0 0.0 M 0.5 0.0 0.0'
wdata(7) = 'M 0.5 0.0 0.0 K 0.3333333333 0.3333333333 0.0'
wdata(8) = 'K 0.3333333333 0.3333333333 0.0 X 1.0 1.0 0.0'
wdata(9) = 'X 1.0 1.0 0.0 M1 0.0 0.5 0.0'
wdata(10) = 'M1 0.0 0.5 0.0 G 0.0 0.0 0.0'
wdata(11) = 'end kpoint_path'
bands_skipped = 'exclude_bands = 1-14'
proj(1) = 'V: l= 3, mr= 2,7'
proj(2) = 'C1: l= 1, mr= 1'
proj(3) = 'O: l= -5, mr= 1,3,4,5,6'
dis_froz_min = -4.563185524863742
/

```

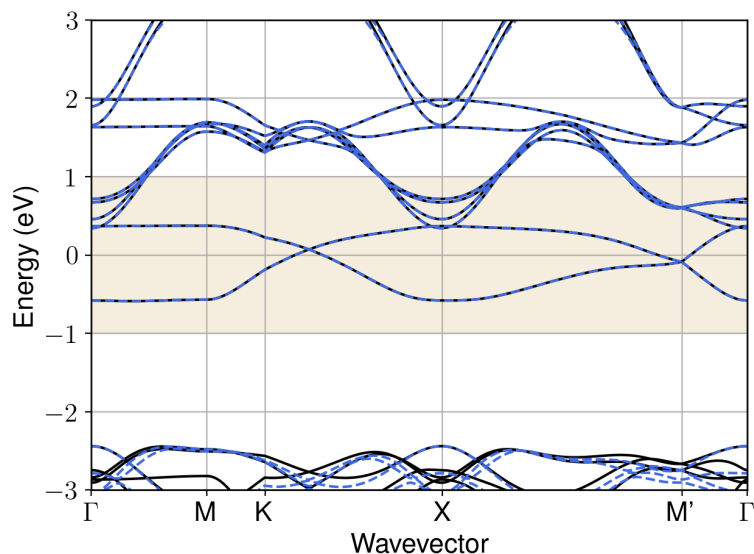


Figure S179: Bandstructure interpolation for monolayer  $\text{VOCl}_2$ . Wannier-interpolation of the band structure of monolayer  $\text{VOCl}_2$  over a wide energy range. Blue dashed lines are results from the present method, black solid lines are explicit DFT calculations. The yellow shaded region shows the range over which optimization has been performed. The interpolation error within the yellow region is 1 meV. The k-grid employed for NSCF calculation is  $6 \times 6$ .

## 168 Material: $\text{VS}_2$

The calculation files are appended below. These files should be executed in the order provided. The location of pseudo potentials should be changed accordingly.

```

---          scf.in ---
&CONTROL
calculation = 'scf'
verbosity = 'high'
restart_mode = 'from_scratch'
outdir = './'
pseudo_dir = '/scratch1/05193/sabyadk/2D_materials_Wann/Materials/Vs2-5d80a112/pseudo/'
prefix = 'hBN'
/
&SYSTEM
ibrav = 0
nat = 3
ntyp = 2
ecutwfc = 60
ecutrho = 240
occupations = 'smearing'
smearing = 'gaussian'
degauss = 0.01
/
&ELECTRONS
conv_thr = 1E-10
diagonalization = cg
electron_maxstep = 500
/
ATOMIC_SPECIES
V 50.942 V_r.upf
S 32.066 S_r.upf
ATOMIC_POSITIONS crystal
V 0.0 0.0 0.0
S 0.3333333333333333 0.6666666666666666 0.081998463812

```

```

S 0.6666666666666666 0.3333333333333333 0.918001536188

K_POINTS automatic
6 6 1 0 0 0

CELL_PARAMETERS angstrom
3.184370147845 0.0 2e-16
-1.592185073967889 2.7577454430603736 2e-16
0.0 0.0 17.8790581194

```

```

--- nscf.in ---
&CONTROL
calculation = bands
verbosity = 'high'
restart_mode = 'from_scratch'
outdir = './'
pseudo_dir = '/scratch1/05193/sabyadk/2D_materials_Wann/Materials/VS2-5d80a112/pseudo/'
prefix = 'hBN'
/
&SYSTEM
ibrav = 0
nat = 3
ntyp = 2
ecutwfc = 60
ecutrho = 240
occupations = 'smearing'
smearing = 'gaussian'
degauss = 0.01
nbnd = 60
/
&ELECTRONS
conv_thr = 1E-10
diagonalization = cg
electron_maxstep = 500
/
ATOMIC_SPECIES
V 50.942 V_r.upf
S 32.066 S_r.upf
ATOMIC_POSITIONS crystal
V 0.0 0.0 0.0
S 0.3333333333333333 0.6666666666666666 0.081998463812
S 0.6666666666666666 0.3333333333333333 0.918001536188

K_POINTS crystal
36
0.0 0.0 0.0 0.027778
0.0 0.1666666666666666 0.0 0.027778
0.0 0.3333333333333333 0.0 0.027778
0.0 0.5 0.0 0.027778
0.0 0.6666666666666666 0.0 0.027778
0.0 0.8333333333333333 0.0 0.027778
0.1666666666666666 0.0 0.0 0.027778
0.1666666666666666 0.1666666666666666 0.0 0.027778
0.1666666666666666 0.3333333333333333 0.0 0.027778
0.1666666666666666 0.5 0.0 0.027778
0.1666666666666666 0.6666666666666666 0.0 0.027778
0.1666666666666666 0.8333333333333333 0.0 0.027778
0.3333333333333333 0.0 0.0 0.027778
0.3333333333333333 0.1666666666666666 0.0 0.027778
0.3333333333333333 0.3333333333333333 0.0 0.027778
0.3333333333333333 0.5 0.0 0.027778
0.3333333333333333 0.6666666666666666 0.0 0.027778
0.3333333333333333 0.8333333333333333 0.0 0.027778
0.5 0.0 0.0 0.027778
0.5 0.1666666666666666 0.0 0.027778
0.5 0.3333333333333333 0.0 0.027778
0.5 0.5 0.0 0.027778
0.5 0.6666666666666666 0.0 0.027778
0.5 0.8333333333333333 0.0 0.027778
0.6666666666666666 0.0 0.0 0.027778
0.6666666666666666 0.1666666666666666 0.0 0.027778
0.6666666666666666 0.3333333333333333 0.0 0.027778
0.6666666666666666 0.5 0.0 0.027778
0.6666666666666666 0.6666666666666666 0.0 0.027778
0.6666666666666666 0.8333333333333333 0.0 0.027778
0.8333333333333333 0.0 0.0 0.027778
0.8333333333333333 0.1666666666666666 0.0 0.027778
0.8333333333333333 0.3333333333333333 0.0 0.027778
0.8333333333333333 0.5 0.0 0.027778
0.8333333333333333 0.6666666666666666 0.0 0.027778
0.8333333333333333 0.8333333333333333 0.0 0.027778

CELL_PARAMETERS angstrom

```

```

3.184370147845 0.0 2e-16
-1.592185073967889 2.7577454430603736 2e-16
0.0 0.0 17.8790581194

```

```

---                epw1.in ---
&inputepw
prefix = 'hBN'
amass(1) = 50.942
amass(2) = 32.066
outdir = './'
elph = .false.
epbwrite = .false.
epbread = .false.
epwwrite = .true.
epwread = .false.
etf_mem = 1
nbndsub = 11
use_ws = .true.
wannierize = .true.
num_iter = 1000
iprint = 2
dis_win_max = 28.880273384385116
dis_froz_max = 2.6950544021046516
fsthick = 1.2
temps = 1
degaussw = 0.005
dvscf_dir = './save'
nk1 = 6
nk2 = 6
nk3 = 1
nq1 = 1
nq2 = 1
nq3 = 1
dis_win_min = -15.556810783331567
wdata(1) = 'guiding_centres = T'
wdata(2) = 'dis_num_iter = 1500'
wdata(3) = 'bands_num_points = 100 '
wdata(4) = 'bands_plot = .true.'
wdata(5) = 'begin kpoint_path'
wdata(6) = 'G 0.0 0.0 0.0 M 0.5 0.0 0.0'
wdata(7) = 'M 0.5 0.0 0.0 K 0.3333333333 0.3333333333 0.0'
wdata(8) = 'K 0.3333333333 0.3333333333 0.0 X 1.0 1.0 0.0'
wdata(9) = 'X 1.0 1.0 0.0 M1 0.0 0.5 0.0'
wdata(10) = 'M1 0.0 0.5 0.0 G 0.0 0.0 0.0'
wdata(11) = 'end kpoint_path'
bands_skipped = 'exclude_bands = 1-6'
proj(1) = 'V: l= 3, mr= 2,3,5'
proj(2) = 'S: l= 3, mr= 1,2,4,5'
dis_froz_min = -10.660071337712631
/

```

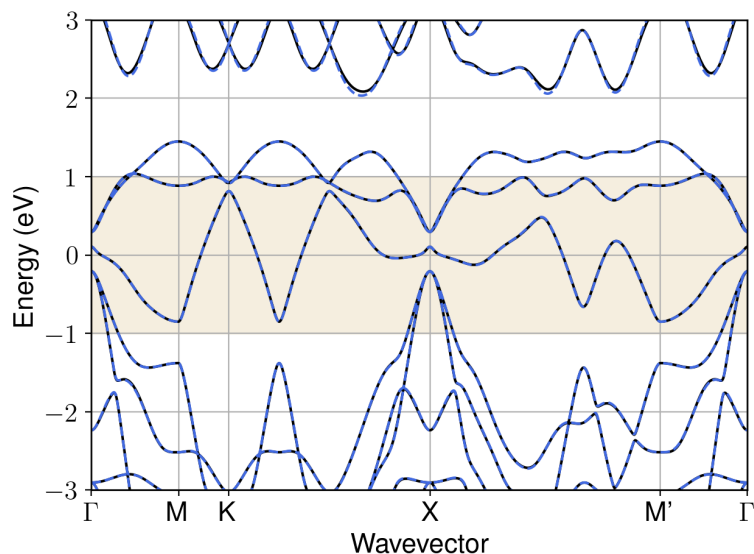


Figure S180: Bandstructure interpolation for monolayer  $\text{VS}_2$ . Wannier-interpolation of the band structure of monolayer  $\text{VS}_2$  over a wide energy range. Blue dashed lines are results from the present method, black solid lines are explicit DFT calculations. The yellow shaded region shows the range over which optimization has been performed. The interpolation error within the yellow region is 3 meV. The k-grid employed for NSCF calculation is  $6 \times 6$ .

## 169 Material: $\text{VSe}_2$

The calculation files are appended below. These files should be executed in the order provided. The location of pseudo potentials should be changed accordingly.

```

---          scf.in ---
&CONTROL
calculation = 'scf'
verbosity = 'high'
restart_mode = 'from_scratch'
outdir = './'
pseudo_dir = '/scratch1/05193/sabyadk/2D_materials_Wann/Materials/VSe2-ee6fd697/pseudo/'
prefix = 'hBN'
/
&SYSTEM
ibrav = 0
nat = 3
ntyp = 2
ecutwfc = 60
ecutrho = 240
occupations = 'smearing'
smearing = 'gaussian'
degauss = 0.01
/
&ELECTRONS
conv_thr = 1E-10
diagonalization = cg
electron_maxstep = 500
/
ATOMIC_SPECIES
V 50.942 V_r.upf
Se 78.971 Se_r.upf
ATOMIC_POSITIONS crystal
V 0.5 0.5 0.0
Se 0.166666666661 0.833333333339 0.913823284433

```

```
Se 0.833333333339 0.16666666661 0.086176715567
```

```
K_POINTS automatic
6 6 1 0 0 0
```

```
CELL_PARAMETERS angstrom
3.338545306959 0.0 2e-16
-1.6692726534385254 2.8912650475354673 2e-16
0.0 0.0 18.3181003223
```

```
--- nscf.in ---
&CONTROL
calculation = bands
verbosity = 'high'
restart_mode = 'from_scratch'
outdir = './'
pseudo_dir = '/scratch1/05193/sabyadk/2D_materials_Wann/Materials/VSe2-ee6fd697/pseudo/'
prefix = 'hBN'
/
&SYSTEM
ibrav = 0
nat = 3
ntyp = 2
ecutwfc = 60
ecutrho = 240
occupations = 'smearing'
smearing = 'gaussian'
degauss = 0.01
nbnd = 60
/
&ELECTRONS
conv_thr = 1E-10
diagonalization = cg
electron_maxstep = 500
/
ATOMIC_SPECIES
V 50.942 V_r.upf
Se 78.971 Se_r.upf
ATOMIC_POSITIONS crystal
V 0.5 0.5 0.0
Se 0.166666666661 0.833333333339 0.913823284433
Se 0.833333333339 0.166666666661 0.086176715567

K_POINTS crystal
36
0.0 0.0 0.0 0.027778
0.0 0.1666666666666666 0.0 0.027778
0.0 0.3333333333333333 0.0 0.027778
0.0 0.5 0.0 0.027778
0.0 0.6666666666666666 0.0 0.027778
0.0 0.8333333333333333 0.0 0.027778
0.1666666666666666 0.0 0.027778
0.1666666666666666 0.1666666666666666 0.0 0.027778
0.1666666666666666 0.3333333333333333 0.0 0.027778
0.1666666666666666 0.5 0.0 0.027778
0.1666666666666666 0.6666666666666666 0.0 0.027778
0.1666666666666666 0.8333333333333333 0.0 0.027778
0.3333333333333333 0.0 0.0 0.027778
0.3333333333333333 0.1666666666666666 0.0 0.027778
0.3333333333333333 0.3333333333333333 0.0 0.027778
0.3333333333333333 0.5 0.0 0.027778
0.3333333333333333 0.6666666666666666 0.0 0.027778
0.3333333333333333 0.8333333333333333 0.0 0.027778
0.5 0.0 0.0 0.027778
0.5 0.1666666666666666 0.0 0.027778
0.5 0.3333333333333333 0.0 0.027778
0.5 0.5 0.0 0.027778
0.5 0.6666666666666666 0.0 0.027778
0.5 0.8333333333333333 0.0 0.027778
0.6666666666666666 0.0 0.0 0.027778
0.6666666666666666 0.1666666666666666 0.0 0.027778
0.6666666666666666 0.3333333333333333 0.0 0.027778
0.6666666666666666 0.5 0.0 0.027778
0.6666666666666666 0.6666666666666666 0.0 0.027778
0.6666666666666666 0.8333333333333333 0.0 0.027778
0.8333333333333333 0.0 0.0 0.027778
0.8333333333333333 0.1666666666666666 0.0 0.027778
0.8333333333333333 0.3333333333333333 0.0 0.027778
0.8333333333333333 0.5 0.0 0.027778
0.8333333333333333 0.6666666666666666 0.0 0.027778
0.8333333333333333 0.8333333333333333 0.0 0.027778

CELL_PARAMETERS angstrom
```



```

3.338545306959 0.0 2e-16
-1.6692726534385254 2.8912650475354673 2e-16
0.0 0.0 18.3181003223

```

```

---                epw1.in ---
&inputepw
prefix = 'hBN'
amass(1) = 50.942
amass(2) = 78.971
outdir = './'
elph = .false.
epbwrite = .false.
epbread = .false.
epwwrite = .true.
epwread = .false.
etf_mem = 1
nbndsub = 15
use_ws = .true.
wannierize = .true.
num_iter = 1000
iprint = 2
dis_win_max = 19.29619514329193
dis_froz_max = 2.671708748183489
fsthick = 1.2
temps = 1
degaussw = 0.005
dvscf_dir = './save'
nk1 = 6
nk2 = 6
nk3 = 1
nq1 = 1
nq2 = 1
nq3 = 1
dis_win_min = -14.795810567838972
wdata(1) = 'guiding_centres = T'
wdata(2) = 'dis_num_iter = 1500'
wdata(3) = 'bands_num_points = 100 '
wdata(4) = 'bands_plot = .true.'
wdata(5) = 'begin kpoint_path'
wdata(6) = 'G 0.0 0.0 0.0 M 0.5 0.0 0.0'
wdata(7) = 'M 0.5 0.0 0.0 K 0.3333333333 0.3333333333 0.0'
wdata(8) = 'K 0.3333333333 0.3333333333 0.0 X 1.0 1.0 0.0'
wdata(9) = 'X 1.0 1.0 0.0 M1 0.0 0.5 0.0'
wdata(10) = 'M1 0.0 0.5 0.0 G 0.0 0.0 0.0'
wdata(11) = 'end kpoint_path'
bands_skipped = 'exclude_bands = 1-16'
proj(1) = 'V: l= -4, mr= 2,3,5'
proj(2) = 'Se: l= 3, mr= 1,2,3,5,6,7'
dis_froz_min = -3.2806877197094373
/

```

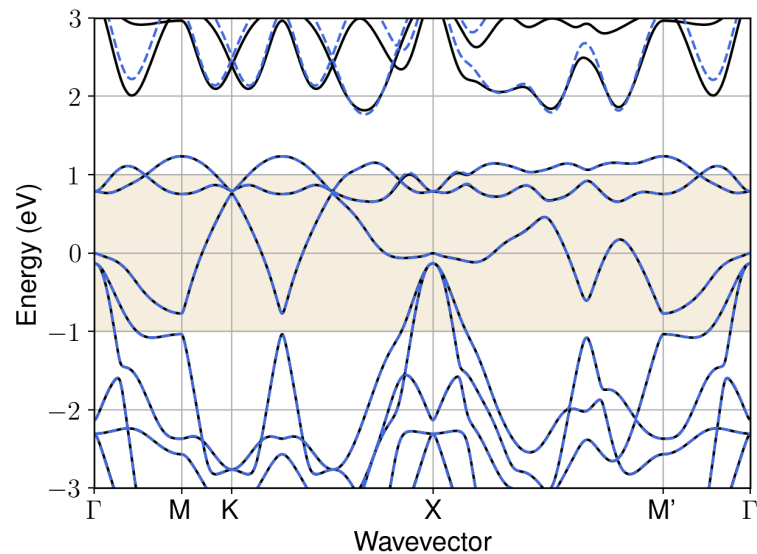


Figure S181: Bandstructure interpolation for monolayer  $\text{VSe}_2$ . Wannier-interpolation of the band structure of monolayer  $\text{VSe}_2$  over a wide energy range. Blue dashed lines are results from the present method, black solid lines are explicit DFT calculations. The yellow shaded region shows the range over which optimization has been performed. The interpolation error within the yellow region is 4 meV. The k-grid employed for NSCF calculation is  $6 \times 6$ .

## 170 Material: $\text{VTe}_2$

The calculation files are appended below. These files should be executed in the order provided. The location of pseudo potentials should be changed accordingly.

```

---          scf.in ---
&CONTROL
calculation = 'scf'
verbosity = 'high'
restart_mode = 'from_scratch'
outdir = './'
pseudo_dir = '/scratch1/05193/sabyadk/2D_materials_Wann/Materials/VTe2-58f6c145/pseudo/'
prefix = 'hBN'
/
&SYSTEM
ibrav = 0
nat = 3
ntyp = 2
ecutwfc = 60
ecutrho = 240
occupations = 'smearing'
smearing = 'gaussian'
degauss = 0.01
/
&ELECTRONS
conv_thr = 1E-10
diagonalization = cg
electron_maxstep = 500
/
ATOMIC_SPECIES
V 50.942 V_r.upf
Te 126.7 Te_r.upf
ATOMIC_POSITIONS crystal
V 0.5 0.5 0.999999999998
Te 0.166666666677 0.833333333323 0.908379042343

```

```
Te 0.833333333323 0.16666666677 0.091620957659
```

```
K_POINTS automatic
6 6 1 0 0 0
```

```
CELL_PARAMETERS angstrom
3.635407217474 0.0 2e-16
-1.8177036086464988 3.148355003486034 2e-16
0.0 0.0 18.7993724054
```

```
--- nscf.in ---
&CONTROL
calculation = bands
verbosity = 'high'
restart_mode = 'from_scratch'
outdir = './'
pseudo_dir = '/scratch1/05193/sabyadk/2D_materials_Wann/Materials/VTe2-58f6c145/pseudo/'
prefix = 'hBN'
/
&SYSTEM
ibrav = 0
nat = 3
ntyp = 2
ecutwfc = 60
ecutrho = 240
occupations = 'smearing'
smearing = 'gaussian'
degauss = 0.01
nbnd = 60
/
&ELECTRONS
conv_thr = 1E-10
diagonalization = cg
electron_maxstep = 500
/
ATOMIC_SPECIES
V 50.942 V_r.upf
Te 126.7 Te_r.upf
ATOMIC_POSITIONS crystal
V 0.5 0.5 0.999999999998
Te 0.1666666666677 0.833333333323 0.908379042343
Te 0.833333333323 0.16666666677 0.091620957659

K_POINTS crystal
36
0.0 0.0 0.0 0.027778
0.0 0.1666666666666666 0.0 0.027778
0.0 0.3333333333333333 0.0 0.027778
0.0 0.5 0.0 0.027778
0.0 0.6666666666666666 0.0 0.027778
0.0 0.8333333333333333 0.0 0.027778
0.1666666666666666 0.0 0.0 0.027778
0.1666666666666666 0.1666666666666666 0.0 0.027778
0.1666666666666666 0.3333333333333333 0.0 0.027778
0.1666666666666666 0.5 0.0 0.027778
0.1666666666666666 0.6666666666666666 0.0 0.027778
0.1666666666666666 0.8333333333333333 0.0 0.027778
0.3333333333333333 0.0 0.0 0.027778
0.3333333333333333 0.1666666666666666 0.0 0.027778
0.3333333333333333 0.3333333333333333 0.0 0.027778
0.3333333333333333 0.5 0.0 0.027778
0.3333333333333333 0.6666666666666666 0.0 0.027778
0.3333333333333333 0.8333333333333333 0.0 0.027778
0.5 0.0 0.0 0.027778
0.5 0.1666666666666666 0.0 0.027778
0.5 0.3333333333333333 0.0 0.027778
0.5 0.5 0.0 0.027778
0.5 0.6666666666666666 0.0 0.027778
0.5 0.8333333333333333 0.0 0.027778
0.6666666666666666 0.0 0.0 0.027778
0.6666666666666666 0.1666666666666666 0.0 0.027778
0.6666666666666666 0.3333333333333333 0.0 0.027778
0.6666666666666666 0.5 0.0 0.027778
0.6666666666666666 0.6666666666666666 0.0 0.027778
0.6666666666666666 0.8333333333333333 0.0 0.027778
0.8333333333333333 0.0 0.0 0.027778
0.8333333333333333 0.1666666666666666 0.0 0.027778
0.8333333333333333 0.3333333333333333 0.0 0.027778
0.8333333333333333 0.5 0.0 0.027778
0.8333333333333333 0.6666666666666666 0.0 0.027778
0.8333333333333333 0.8333333333333333 0.0 0.027778

CELL_PARAMETERS angstrom
```

```

3.635407217474 0.0 2e-16
-1.8177036086464988 3.148355003486034 2e-16
0.0 0.0 18.7993724054

```

```

---                epw1.in ---
&inputepw
prefix = 'hBN'
amass(1) = 50.942
amass(2) = 126.7
outdir = './'
elph = .false.
epbwrite = .false.
epbread = .false.
epwwrite = .true.
epwread = .false.
etf_mem = 1
nbndsub = 14
use_ws = .true.
wannierize = .true.
num_iter = 1000
iprint = 2
dis_win_max = 29.743789329470193
dis_froz_max = 4.855478821814399
fsthick = 1.2
temps = 1
degaussw = 0.005
dvscf_dir = './save'
nk1 = 6
nk2 = 6
nk3 = 1
nq1 = 1
nq2 = 1
nq3 = 1
dis_win_min = -11.471912317815343
wdata(1) = 'guiding_centres = T'
wdata(2) = 'dis_num_iter = 1500'
wdata(3) = 'bands_num_points = 100 '
wdata(4) = 'bands_plot = .true.'
wdata(5) = 'begin kpoint_path'
wdata(6) = 'G 0.0 0.0 0.0 M 0.5 0.0 0.0'
wdata(7) = 'M 0.5 0.0 0.0 K 0.3333333333 0.3333333333 0.0'
wdata(8) = 'K 0.3333333333 0.3333333333 0.0 X 1.0 1.0 0.0'
wdata(9) = 'X 1.0 1.0 0.0 M1 0.0 0.5 0.0'
wdata(10) = 'M1 0.0 0.5 0.0 G 0.0 0.0 0.0'
wdata(11) = 'end kpoint_path'
bands_skipped = 'exclude_bands = 1-16'
proj(1) = 'V: l= -4, mr= 2,3'
proj(2) = 'Te: l= 3, mr= 1,2,3,4,6,7'
dis_froz_min = -6.193566833198466
/

```

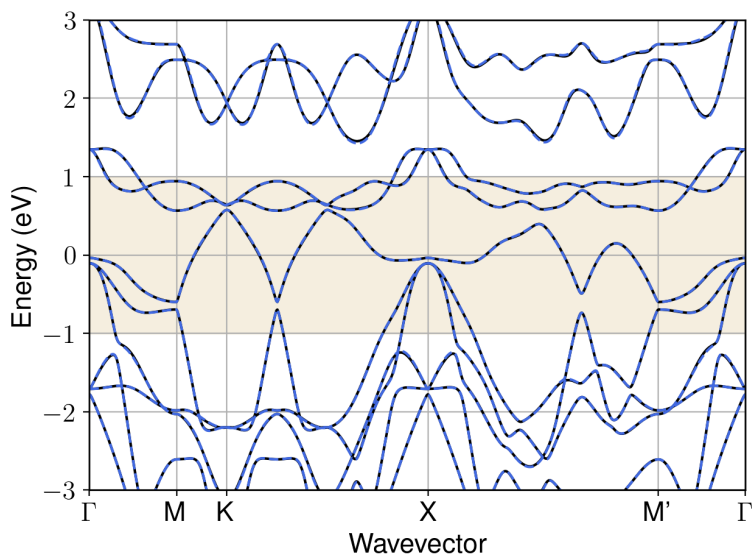


Figure S182: Bandstructure interpolation for monolayer  $\text{VTe}_2$ . Wannier-interpolation of the band structure of monolayer  $\text{VTe}_2$  over a wide energy range. Blue dashed lines are results from the present method, black solid lines are explicit DFT calculations. The yellow shaded region shows the range over which optimization has been performed. The interpolation error within the yellow region is 3 meV. The k-grid employed for NSCF calculation is  $6 \times 6$ .

## 171 Material: $\text{W}_2\text{N}_3$

The calculation files are appended below. These files should be executed in the order provided. The location of pseudo potentials should be changed accordingly.

```

---          scf.in ---
&CONTROL
calculation = 'scf'
verbosity = 'high'
restart_mode = 'from_scratch'
outdir = './'
pseudo_dir = '/scratch1/05193/sabyadk/2D_materials_Wann/Materials/W2N3-4c3b093a/pseudo/'
prefix = 'hBN'
/
&SYSTEM
ibrav = 0
nat = 5
ntyp = 2
ecutwfc = 60
ecutrho = 240
occupations = 'smearing'
smearing = 'gaussian'
degauss = 0.01
/
&ELECTRONS
conv_thr = 1E-10
diagonalization = cg
electron_maxstep = 500
/
ATOMIC_SPECIES
W 183.84 W_r.upf
N 14.007 N_r.upf
ATOMIC_POSITIONS crystal
W 0.6666666666666666 0.3333333333333333 0.941627012797
W 0.6666666666666666 0.3333333333333333 0.058372987201

```

```

N 0.3333333333333333 0.6666666666666666 0.897355345144
N 0.3333333333333333 0.6666666666666666 0.102644654858
N 0.3333333333333333 0.6666666666666666 1e-12

```

```

K_POINTS automatic
6 6 1 0 0 0

```

```

CELL_PARAMETERS angstrom
2.9130614778 0.0 2e-16
-1.4565307388997422 2.5227852424995882 2e-16
0.0 0.0 25.1518869092

```

```

---                nscf.in ---
&CONTROL
calculation = bands
verbosity = 'high'
restart_mode = 'from_scratch'
outdir = './'
pseudo_dir = '/scratch1/05193/sabyadk/2D_materials_Wann/Materials/W2N3-4c3b093a/pseudo/'
prefix = 'hBN'
/
&SYSTEM
ibrav = 0
nat = 5
ntyp = 2
ecutwfc = 60
ecutrho = 240
occupations = 'smearing'
smearing = 'gaussian'
degauss = 0.01
nbnd = 60
/
&ELECTRONS
conv_thr = 1E-10
diagonalization = cg
electron_maxstep = 500
/
ATOMIC_SPECIES
W 183.84 W_r.upf
N 14.007 N_r.upf
ATOMIC_POSITIONS crystal
W 0.6666666666666666 0.3333333333333333 0.941627012797
W 0.6666666666666666 0.3333333333333333 0.058372987201
N 0.3333333333333333 0.6666666666666666 0.897355345144
N 0.3333333333333333 0.6666666666666666 0.102644654858
N 0.3333333333333333 0.6666666666666666 1e-12

K_POINTS crystal
36
0.0 0.0 0.0 0.027778
0.0 0.1666666666666666 0.0 0.027778
0.0 0.3333333333333333 0.0 0.027778
0.0 0.5 0.0 0.027778
0.0 0.6666666666666666 0.0 0.027778
0.0 0.8333333333333333 0.0 0.027778
0.1666666666666666 0.0 0.0 0.027778
0.1666666666666666 0.1666666666666666 0.0 0.027778
0.1666666666666666 0.3333333333333333 0.0 0.027778
0.1666666666666666 0.5 0.0 0.027778
0.1666666666666666 0.6666666666666666 0.0 0.027778
0.1666666666666666 0.8333333333333333 0.0 0.027778
0.3333333333333333 0.0 0.0 0.027778
0.3333333333333333 0.1666666666666666 0.0 0.027778
0.3333333333333333 0.3333333333333333 0.0 0.027778
0.3333333333333333 0.5 0.0 0.027778
0.3333333333333333 0.6666666666666666 0.0 0.027778
0.3333333333333333 0.8333333333333333 0.0 0.027778
0.5 0.0 0.0 0.027778
0.5 0.1666666666666666 0.0 0.027778
0.5 0.3333333333333333 0.0 0.027778
0.5 0.5 0.0 0.027778
0.5 0.6666666666666666 0.0 0.027778
0.5 0.8333333333333333 0.0 0.027778
0.6666666666666666 0.0 0.0 0.027778
0.6666666666666666 0.1666666666666666 0.0 0.027778
0.6666666666666666 0.3333333333333333 0.0 0.027778
0.6666666666666666 0.5 0.0 0.027778
0.6666666666666666 0.6666666666666666 0.0 0.027778
0.6666666666666666 0.8333333333333333 0.0 0.027778
0.8333333333333333 0.0 0.0 0.027778
0.8333333333333333 0.1666666666666666 0.0 0.027778
0.8333333333333333 0.3333333333333333 0.0 0.027778
0.8333333333333333 0.5 0.0 0.027778

```

```

0.8333333333333333 0.6666666666666666 0.0 0.027778
0.8333333333333333 0.8333333333333333 0.0 0.027778

CELL_PARAMETERS angstrom
2.9130614778 0.0 2e-16
-1.4565307388997422 2.5227852424995882 2e-16
0.0 0.0 25.1518869092

```

```

---                epw1.in ---
&inputepw
prefix = 'hBN'
amass(1) = 183.84
amass(2) = 14.007
outdir = './'
elph = .false.
epbwrite = .false.
epbread = .false.
epwrite = .true.
epwread = .false.
etf_mem = 1
nbndsub = 23
use_ws = .true.
wannierize = .true.
num_iter = 1000
iprint = 2
dis_win_max = 22.075221903422385
dis_froz_max = 5.260576641192361
fsthick = 1.2
temps = 1
degaussw = 0.005
dvscf_dir = './save'
nk1 = 6
nk2 = 6
nk3 = 1
nq1 = 1
nq2 = 1
nq3 = 1
dis_win_min = -11.32013315973583
wdata(1) = 'guiding_centres = T'
wdata(2) = 'dis_num_iter = 1500'
wdata(3) = 'bands_num_points = 100 '
wdata(4) = 'bands_plot = .true.'
wdata(5) = 'begin kpoint_path'
wdata(6) = 'G 0.0 0.0 0.0 M 0.5 0.0 0.0'
wdata(7) = 'M 0.5 0.0 0.0 K 0.3333333333 0.3333333333 0.0'
wdata(8) = 'K 0.3333333333 0.3333333333 0.0 X 1.0 1.0 0.0'
wdata(9) = 'X 1.0 1.0 0.0 M1 0.0 0.5 0.0'
wdata(10) = 'M1 0.0 0.5 0.0 G 0.0 0.0 0.0'
wdata(11) = 'end kpoint_path'
bands_skipped = 'exclude_bands = 1-11'
proj(1) = 'W: l= 3, mr= 3,4,6,7'
proj(2) = 'N: l= 3, mr= 2,3,5,6,7'
dis_froz_min = -10.722116857685602
/

```

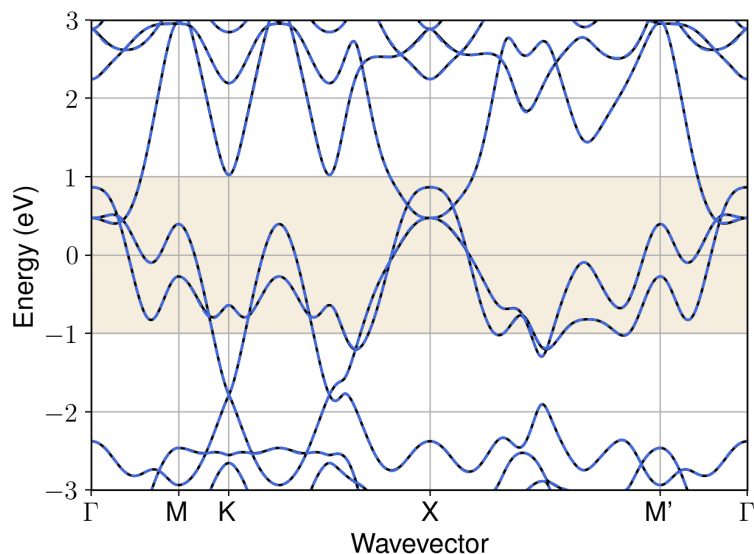


Figure S183: Bandstructure interpolation for monolayer  $W_2N_3$ . Wannier-interpolation of the band structure of monolayer  $W_2N_3$  over a wide energy range. Blue dashed lines are results from the present method, black solid lines are explicit DFT calculations. The yellow shaded region shows the range over which optimization has been performed. The interpolation error within the yellow region is 4 meV. The k-grid employed for NSCF calculation is  $6 \times 6$ .

## 172 Material: $W_2Te_4$

The calculation files are appended below. These files should be executed in the order provided. The location of pseudo potentials should be changed accordingly.

```

---          scf.in ---
&CONTROL
calculation = 'scf'
verbosity = 'high'
restart_mode = 'from_scratch'
outdir = './'
pseudo_dir = '/scratch1/05193/sabyadk/2D_materials_Wann/Materials/W2Te4-d34991c2/pseudo/'
prefix = 'hBN'
/
&SYSTEM
ibrav = 0
nat = 6
ntyp = 2
ecutwfc = 60
ecutrho = 240
occupations = 'smearing'
smearing = 'gaussian'
degauss = 0.01
/
&ELECTRONS
conv_thr = 1E-10
diagonalization = cg
electron_maxstep = 500
/
ATOMIC_SPECIES
Te 126.7 Te_r.upf
W 183.84 W_r.upf
ATOMIC_POSITIONS crystal
Te 0.0 0.197806369517 0.9129469863
Te 0.5 0.706688495471 0.938713797248

```



```

Te 0.5 0.358614882352 0.087051191583
Te 0.0 0.849680062743 0.061288401942
W 0.0 0.455723398207 0.004298282025
W 0.5 0.100643212645 0.995701340902

```

```

K_POINTS automatic
6 6 1 0 0 0

```

```

CELL_PARAMETERS angstrom
3.5003336484 0.0 2e-16
-4e-16 6.327792264 4e-16
0.0 0.0 24.220856573

```

```

---                nscf.in ---
&CONTROL
calculation = bands
verbosity = 'high'
restart_mode = 'from_scratch'
outdir = './'
pseudo_dir = '/scratch1/05193/sabyadk/2D_materials_Wann/Materials/W2Te4-d34991c2/pseudo/'
prefix = 'hEN'
/
&SYSTEM
ibrav = 0
nat = 6
ntyp = 2
ecutwfc = 60
ecutrho = 240
occupations = 'smearing'
smearing = 'gaussian'
degauss = 0.01
nbnd = 60
/
&ELECTRONS
conv_thr = 1E-10
diagonalization = cg
electron_maxstep = 500
/
ATOMIC_SPECIES
Te 126.7 Te_r.upf
W 183.84 W_r.upf
ATOMIC_POSITIONS crystal
Te 0.0 0.197806369517 0.9129469863
Te 0.5 0.706688495471 0.938713797248
Te 0.5 0.358614882352 0.087051191583
Te 0.0 0.849680062743 0.061288401942
W 0.0 0.455723398207 0.004298282025
W 0.5 0.100643212645 0.995701340902

K_POINTS crystal
36
0.0 0.0 0.0 0.027778
0.0 0.16666666666666666 0.0 0.027778
0.0 0.3333333333333333 0.0 0.027778
0.0 0.5 0.0 0.027778
0.0 0.6666666666666666 0.0 0.027778
0.0 0.8333333333333333 0.0 0.027778
0.16666666666666666 0.0 0.0 0.027778
0.16666666666666666 0.16666666666666666 0.0 0.027778
0.16666666666666666 0.3333333333333333 0.0 0.027778
0.16666666666666666 0.5 0.0 0.027778
0.16666666666666666 0.6666666666666666 0.0 0.027778
0.16666666666666666 0.8333333333333333 0.0 0.027778
0.3333333333333333 0.0 0.0 0.027778
0.3333333333333333 0.16666666666666666 0.0 0.027778
0.3333333333333333 0.3333333333333333 0.0 0.027778
0.3333333333333333 0.5 0.0 0.027778
0.3333333333333333 0.6666666666666666 0.0 0.027778
0.3333333333333333 0.8333333333333333 0.0 0.027778
0.5 0.0 0.0 0.027778
0.5 0.16666666666666666 0.0 0.027778
0.5 0.3333333333333333 0.0 0.027778
0.5 0.5 0.0 0.027778
0.5 0.6666666666666666 0.0 0.027778
0.5 0.8333333333333333 0.0 0.027778
0.6666666666666666 0.0 0.0 0.027778
0.6666666666666666 0.16666666666666666 0.0 0.027778
0.6666666666666666 0.3333333333333333 0.0 0.027778
0.6666666666666666 0.5 0.0 0.027778
0.6666666666666666 0.6666666666666666 0.0 0.027778
0.6666666666666666 0.8333333333333333 0.0 0.027778
0.8333333333333333 0.0 0.0 0.027778
0.8333333333333333 0.16666666666666666 0.0 0.027778

```

```

0.8333333333333333 0.3333333333333333 0.0 0.027778
0.8333333333333333 0.5 0.0 0.027778
0.8333333333333333 0.6666666666666666 0.0 0.027778
0.8333333333333333 0.8333333333333333 0.0 0.027778

```

```

CELL_PARAMETERS angstrom
3.5003336484 0.0 2e-16
-4e-16 6.327792264 4e-16
0.0 0.0 24.220856573

```

```

---                epw1.in ---
&inputepw
prefix = 'hBN'
amass(1) = 126.7
amass(2) = 183.84
outdir = './'
elph = .false.
epbwrite = .false.
epbread = .false.
epwwrite = .true.
epwread = .false.
etf_mem = 1
nbndsub = 18
use_ws = .true.
wannierize = .true.
num_iter = 1000
iprint = 2
dis_win_max = 14.111356978048978
dis_froz_max = 2.083925742240341
fsthick = 1.2
temps = 1
degaussw = 0.005
dvscf_dir = './save'
nk1 = 6
nk2 = 6
nk3 = 1
nq1 = 1
nq2 = 1
nq3 = 1
dis_win_min = -14.225998058633456
wdata(1) = 'guiding_centres = T'
wdata(2) = 'dis_num_iter = 1500'
wdata(3) = 'bands_num_points = 100 '
wdata(4) = 'bands_plot = .true.'
wdata(5) = 'begin kpoint_path'
wdata(6) = 'G 0.0 0.0 0.0 M 0.5 0.0 0.0'
wdata(7) = 'M 0.5 0.0 0.0 K 0.3333333333 0.3333333333 0.0'
wdata(8) = 'K 0.3333333333 0.3333333333 0.0 X 1.0 1.0 0.0'
wdata(9) = 'X 1.0 1.0 0.0 M1 0.0 0.5 0.0'
wdata(10) = 'M1 0.0 0.5 0.0 G 0.0 0.0 0.0'
wdata(11) = 'end kpoint_path'
bands_skipped = 'exclude_bands = 1-32'
proj(1) = 'Te: l= 2, mr= 3,4,5'
proj(2) = 'W: l= 2, mr= 1,3,5'
dis_froz_min = -2.550587324076275
/

```

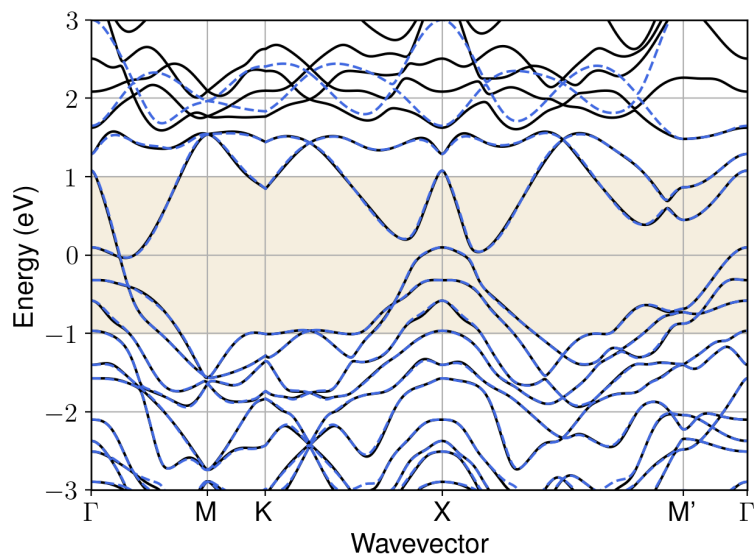


Figure S184: Bandstructure interpolation for monolayer  $W_2Te_4$ . Wannier-interpolation of the band structure of monolayer  $W_2Te_4$  over a wide energy range. Blue dashed lines are results from the present method, black solid lines are explicit DFT calculations. The yellow shaded region shows the range over which optimization has been performed. The interpolation error within the yellow region is 12 meV. The k-grid employed for NSCF calculation is  $6 \times 6$ .

### 173 Material: $WSe_2$

The calculation files are appended below. These files should be executed in the order provided. The location of pseudo potentials should be changed accordingly.

```

---          scf.in ---
&CONTROL
calculation = 'scf'
verbosity = 'high'
restart_mode = 'from_scratch'
outdir = './'
pseudo_dir = '/scratch1/05193/sabyadk/2D_materials_Wann/Materials/WSe2-3d52bc42/pseudo/'
prefix = 'hBN'
/
&SYSTEM
ibrav = 0
nat = 3
ntyp = 2
ecutwfc = 60
ecutrho = 240
assume_isolated = 2D
/
&ELECTRONS
conv_thr = 1E-12
diagonalization = 'david'
electron_maxstep = 200
/
ATOMIC_SPECIES
W 183.84 W_r.upf
Se 78.971 Se_r.upf
ATOMIC_POSITIONS crystal
W 0.6666666666666666 0.3333333333333333 1.828358e-06
Se 0.3333333333333333 0.6666666666666666 0.927974347927
Se 0.3333333333333333 0.6666666666666666 0.072023823716

```

```

K_POINTS automatic
6 6 1 0 0 0

CELL_PARAMETERS angstrom
3.3169774715 0.0 2e-16
-1.658488735799851 2.8725867540997596 2e-16
0.0 0.0 23.364029221

```

```

---                nscf.in ---
&CONTROL
calculation = bands
verbosity = 'high'
restart_mode = 'from_scratch'
outdir = './'
pseudo_dir = '/scratch1/05193/sabyadk/2D_materials_Wann/Materials/WSe2-3d52bc42/pseudo/'
prefix = 'hBN'
/
&SYSTEM
ibrav = 0
nat = 3
ntyp = 2
ecutwfc = 60
ecutrho = 240
assume_isolated = 2D
nbnd = 60
/
&ELECTRONS
conv_thr = 1E-10
diagonalization = 'david'
electron_maxstep = 200
/
ATOMIC_SPECIES
W 183.84 W_r.upf
Se 78.971 Se_r.upf
ATOMIC_POSITIONS crystal
W 0.6666666666666666 0.3333333333333333 1.828358e-06
Se 0.3333333333333333 0.6666666666666666 0.927974347927
Se 0.3333333333333333 0.6666666666666666 0.072023823716

K_POINTS crystal
36
0.0 0.0 0.0 0.027778
0.0 0.1666666666666666 0.0 0.027778
0.0 0.3333333333333333 0.0 0.027778
0.0 0.5 0.0 0.027778
0.0 0.6666666666666666 0.0 0.027778
0.0 0.8333333333333333 0.0 0.027778
0.1666666666666666 0.0 0.0 0.027778
0.1666666666666666 0.1666666666666666 0.0 0.027778
0.1666666666666666 0.3333333333333333 0.0 0.027778
0.1666666666666666 0.5 0.0 0.027778
0.1666666666666666 0.6666666666666666 0.0 0.027778
0.1666666666666666 0.8333333333333333 0.0 0.027778
0.3333333333333333 0.0 0.0 0.027778
0.3333333333333333 0.1666666666666666 0.0 0.027778
0.3333333333333333 0.3333333333333333 0.0 0.027778
0.3333333333333333 0.5 0.0 0.027778
0.3333333333333333 0.6666666666666666 0.0 0.027778
0.3333333333333333 0.8333333333333333 0.0 0.027778
0.5 0.0 0.0 0.027778
0.5 0.1666666666666666 0.0 0.027778
0.5 0.3333333333333333 0.0 0.027778
0.5 0.5 0.0 0.027778
0.5 0.6666666666666666 0.0 0.027778
0.5 0.8333333333333333 0.0 0.027778
0.6666666666666666 0.0 0.0 0.027778
0.6666666666666666 0.1666666666666666 0.0 0.027778
0.6666666666666666 0.3333333333333333 0.0 0.027778
0.6666666666666666 0.5 0.0 0.027778
0.6666666666666666 0.6666666666666666 0.0 0.027778
0.6666666666666666 0.8333333333333333 0.0 0.027778
0.8333333333333333 0.0 0.0 0.027778
0.8333333333333333 0.1666666666666666 0.0 0.027778
0.8333333333333333 0.3333333333333333 0.0 0.027778
0.8333333333333333 0.5 0.0 0.027778
0.8333333333333333 0.6666666666666666 0.0 0.027778
0.8333333333333333 0.8333333333333333 0.0 0.027778

CELL_PARAMETERS angstrom
3.3169774715 0.0 2e-16
-1.658488735799851 2.8725867540997596 2e-16
0.0 0.0 23.364029221

```

```

---                epw1.in ---
&inputepw
prefix = 'hBN'
amass(1) = 183.84
amass(2) = 78.971
outdir = './'
elph = .false.
epbwrite = .false.
epbread = .false.
epwwrite = .true.
epwread = .false.
etf_mem = 1
nbndsub = 14
use_ws = .true.
wannierize = .true.
num_iter = 1000
iprint = 2
dis_win_max = 20.551227431169806
dis_froz_max = -1.990603241965383
fsthick = 1.2
temps = 1
degaussw = 0.005
dvscf_dir = './save'
nk1 = 6
nk2 = 6
nk3 = 1
nq1 = 1
nq2 = 1
nq3 = 1
system_2d = 'dipole_sp'
lpolar = .true.
dis_win_min = -18.253806107936153
wdata(1) = 'guiding_centres = T'
wdata(2) = 'dis_num_iter = 1500'
wdata(3) = 'bands_num_points = 100 '
wdata(4) = 'bands_plot = .true.'
wdata(5) = 'begin kpoint_path'
wdata(6) = 'G 0.0 0.0 0.0 M 0.5 0.0 0.0'
wdata(7) = 'M 0.5 0.0 0.0 K 0.3333333333 0.3333333333 0.0'
wdata(8) = 'K 0.3333333333 0.3333333333 0.0 X 1.0 1.0 0.0'
wdata(9) = 'X 1.0 1.0 0.0 M1 0.0 0.5 0.0'
wdata(10) = 'M1 0.0 0.5 0.0 G 0.0 0.0 0.0'
wdata(11) = 'end kpoint_path'
bands_skipped = 'exclude_bands = 1-16'
proj(1) = 'W: l= 3, mr= 1,2,4,7'
proj(2) = 'Se: l= 3, mr= 1,2,3,5,7'
dis_froz_min = -8.281497805607822
/

```

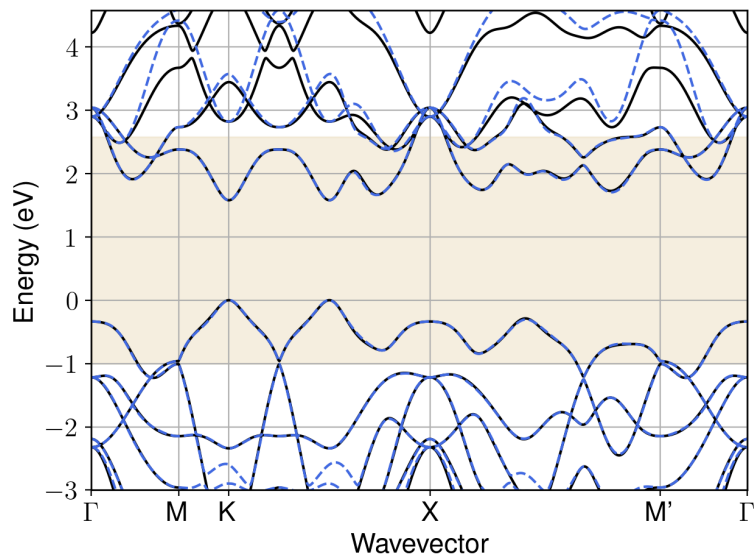


Figure S185: Bandstructure interpolation for monolayer  $\text{WSe}_2$ . Wannier-interpolation of the band structure of monolayer  $\text{WSe}_2$  over a wide energy range. Blue dashed lines are results from the present method, black solid lines are explicit DFT calculations. The yellow shaded region shows the range over which optimization has been performed. The interpolation error within the yellow region is 10 meV. The k-grid employed for NSCF calculation is  $6 \times 6$ .

## 174 Material: $\text{WTe}_2$

The calculation files are appended below. These files should be executed in the order provided. The location of pseudo potentials should be changed accordingly.

```

---          scf.in ---
&CONTROL
calculation = 'scf'
verbosity = 'high'
restart_mode = 'from_scratch'
outdir = './'
pseudo_dir = '/scratch1/05193/sabyadk/2D_materials_Wann/Materials/WTe2-f1f9e9c7/pseudo/'
prefix = 'hBN'
/
&SYSTEM
ibrav = 0
nat = 3
ntyp = 2
ecutwfc = 60
ecutrho = 240
assume_isolated = 2D
/
&ELECTRONS
conv_thr = 1E-12
diagonalization = 'david'
electron_maxstep = 200
/
ATOMIC_SPECIES
Te 126.7 Te_r.upf
W 183.84 W_r.upf
ATOMIC_POSITIONS crystal
Te 0.3333333333333333 0.6666666666666666 0.923085474739
Te 0.3333333333333333 0.6666666666666666 0.076914382925
W 0.6666666666666666 0.3333333333333333 1.42336e-07

```

```

K_POINTS automatic
6 6 1 0 0 0

CELL_PARAMETERS angstrom
3.5666234197 0.0 2e-16
-1.7833117100000393 3.088786487300092 2e-16
0.0 0.0 23.6618426882

```

```

--- nscf.in ---
&CONTROL
calculation = bands
verbosity = 'high'
restart_mode = 'from_scratch'
outdir = './'
pseudo_dir = '/scratch1/05193/sabyadk/2D_materials_Wann/Materials/WTe2-f1f9e9c7/pseudo/'
prefix = 'hBN'
/
&SYSTEM
ibrav = 0
nat = 3
ntyp = 2
ecutwfc = 60
ecutrho = 240
assume_isolated = 2D
nbnd = 60
/
&ELECTRONS
conv_thr = 1E-10
diagonalization = 'david'
electron_maxstep = 200
/
ATOMIC_SPECIES
Te 126.7 Te_r.upf
W 183.84 W_r.upf
ATOMIC_POSITIONS crystal
Te 0.3333333333333333 0.6666666666666666 0.923085474739
Te 0.3333333333333333 0.6666666666666666 0.076914382925
W 0.6666666666666666 0.3333333333333333 1.42336e-07

K_POINTS crystal
36
0.0 0.0 0.0 0.027778
0.0 0.1666666666666666 0.0 0.027778
0.0 0.3333333333333333 0.0 0.027778
0.0 0.5 0.0 0.027778
0.0 0.6666666666666666 0.0 0.027778
0.0 0.8333333333333333 0.0 0.027778
0.1666666666666666 0.0 0.0 0.027778
0.1666666666666666 0.1666666666666666 0.0 0.027778
0.1666666666666666 0.3333333333333333 0.0 0.027778
0.1666666666666666 0.5 0.0 0.027778
0.1666666666666666 0.6666666666666666 0.0 0.027778
0.1666666666666666 0.8333333333333333 0.0 0.027778
0.3333333333333333 0.0 0.0 0.027778
0.3333333333333333 0.1666666666666666 0.0 0.027778
0.3333333333333333 0.3333333333333333 0.0 0.027778
0.3333333333333333 0.5 0.0 0.027778
0.3333333333333333 0.6666666666666666 0.0 0.027778
0.3333333333333333 0.8333333333333333 0.0 0.027778
0.5 0.0 0.0 0.027778
0.5 0.1666666666666666 0.0 0.027778
0.5 0.3333333333333333 0.0 0.027778
0.5 0.5 0.0 0.027778
0.5 0.6666666666666666 0.0 0.027778
0.5 0.8333333333333333 0.0 0.027778
0.6666666666666666 0.0 0.0 0.027778
0.6666666666666666 0.1666666666666666 0.0 0.027778
0.6666666666666666 0.3333333333333333 0.0 0.027778
0.6666666666666666 0.5 0.0 0.027778
0.6666666666666666 0.6666666666666666 0.0 0.027778
0.6666666666666666 0.8333333333333333 0.0 0.027778
0.8333333333333333 0.0 0.0 0.027778
0.8333333333333333 0.1666666666666666 0.0 0.027778
0.8333333333333333 0.3333333333333333 0.0 0.027778
0.8333333333333333 0.5 0.0 0.027778
0.8333333333333333 0.6666666666666666 0.0 0.027778
0.8333333333333333 0.8333333333333333 0.0 0.027778

CELL_PARAMETERS angstrom
3.5666234197 0.0 2e-16
-1.7833117100000393 3.088786487300092 2e-16
0.0 0.0 23.6618426882

```

```
---                epw1.in ---
&inputepw
prefix = 'hBN'
amass(1) = 126.7
amass(2) = 183.84
outdir = './'
elph = .false.
epbwrite = .false.
epbread = .false.
epwwrite = .true.
epwread = .false.
etf_mem = 1
nbndsub = 12
use_ws = .true.
wannierize = .true.
num_iter = 1000
iprint = 2
dis_win_max = 13.668315000773385
dis_froz_max = -1.6266368648213936
fsthick = 1.2
temps = 1
degaussw = 0.005
dvscf_dir = './save'
nk1 = 6
nk2 = 6
nk3 = 1
nq1 = 1
nq2 = 1
nq3 = 1
system_2d = 'dipole_sp'
lpolar = .true.
dis_win_min = -21.90824779154556
wdata(1) = 'guiding_centres = T'
wdata(2) = 'dis_num_iter = 1500'
wdata(3) = 'bands_num_points = 100 '
wdata(4) = 'bands_plot = .true.'
wdata(5) = 'begin kpoint_path'
wdata(6) = 'G 0.0 0.0 0.0 M 0.5 0.0 0.0'
wdata(7) = 'M 0.5 0.0 0.0 K 0.3333333333 0.3333333333 0.0'
wdata(8) = 'K 0.3333333333 0.3333333333 0.0 X 1.0 1.0 0.0'
wdata(9) = 'X 1.0 1.0 0.0 M1 0.0 0.5 0.0'
wdata(10) = 'M1 0.0 0.5 0.0 G 0.0 0.0 0.0'
wdata(11) = 'end kpoint_path'
bands_skipped = 'exclude_bands = 1-16'
proj(1) = 'Te: l= 3, mr= 1,4,6,7'
proj(2) = 'W: l= 3, mr= 1,2,5,7'
dis_froz_min = -13.007156306586497
/
```



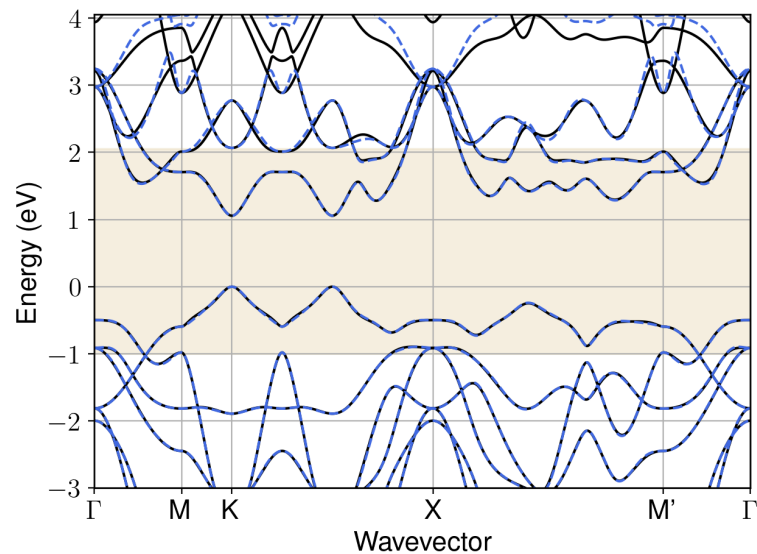


Figure S186: Bandstructure interpolation for monolayer  $\text{WTe}_2$ . Wannier-interpolation of the band structure of monolayer  $\text{WTe}_2$  over a wide energy range. Blue dashed lines are results from the present method, black solid lines are explicit DFT calculations. The yellow shaded region shows the range over which optimization has been performed. The interpolation error within the yellow region is 10 meV. The k-grid employed for NSCF calculation is  $6 \times 6$ .

## 175 Material: $\text{Y}_2\text{C}_2\text{Br}_2$

The calculation files are appended below. These files should be executed in the order provided. The location of pseudo potentials should be changed accordingly.

```

---          scf.in ---
&CONTROL
calculation = 'scf'
verbosity = 'high'
restart_mode = 'from_scratch'
outdir = './'
pseudo_dir = '/scratch1/05193/sabyadk/2D_materials_Wann/Materials/Y2C2Br2-b4b9ba9c/pseudo/'
prefix = 'hBN'
/
&SYSTEM
ibrav = 0
nat = 6
ntyp = 3
ecutwfc = 60
ecutrho = 240
occupations = 'smearing'
smearing = 'gaussian'
degauss = 0.01
/
&ELECTRONS
conv_thr = 1E-10
diagonalization = cg
electron_maxstep = 500
/
ATOMIC_SPECIES
Y 88.906 Y_r.upf
C 12.011 C_r.upf
Br 79.904 Br_r.upf
ATOMIC_POSITIONS crystal
Y 0.385303392886 0.385303388519 0.05421088434

```

```

Y 0.130076632473 0.130076639939 0.945789104008
C 0.678871179026 0.678871179741 0.013916764477
C 0.836508650301 0.836508653279 0.986083297375
Br 0.041674597821 0.041674599032 0.124662209843
Br 0.473704368843 0.473704360942 0.8753377399560001

```

```

K_POINTS automatic
6 6 1 0 0 0

```

```

CELL_PARAMETERS angstrom
3.994302246199 0.0 2e-16
2.1890959380249457 3.341004247378284 2e-16
0.0 0.0 26.7286133965

```

```

---                nscf.in ---
&CONTROL
calculation = bands
verbosity = 'high'
restart_mode = 'from_scratch'
outdir = './'
pseudo_dir = '/scratch1/05193/sabyadk/2D_materials_Wann/Materials/Y2C2Br2-b4b9ba9c/pseudo/'
prefix = 'hBN'
/
&SYSTEM
ibrav = 0
nat = 6
ntyp = 3
ecutwfc = 60
ecutrho = 240
occupations = 'smearing'
smearing = 'gaussian'
degauss = 0.01
nbnd = 60
/
&ELECTRONS
conv_thr = 1E-10
diagonalization = cg
electron_maxstep = 500
/
ATOMIC_SPECIES
Y 88.906 Y_r.upf
C 12.011 C_r.upf
Br 79.904 Br_r.upf
ATOMIC_POSITIONS crystal
Y 0.385303392886 0.385303388519 0.05421088434
Y 0.130076632473 0.130076639939 0.945789104008
C 0.678871179026 0.678871179741 0.013916764477
C 0.836508650301 0.836508653279 0.986083297375
Br 0.041674597821 0.041674599032 0.124662209843
Br 0.473704368843 0.473704360942 0.8753377399560001

K_POINTS crystal
36
0.0 0.0 0.0 0.027778
0.0 0.1666666666666666 0.0 0.027778
0.0 0.3333333333333333 0.0 0.027778
0.0 0.5 0.0 0.027778
0.0 0.6666666666666666 0.0 0.027778
0.0 0.8333333333333333 0.0 0.027778
0.1666666666666666 0.0 0.0 0.027778
0.1666666666666666 0.1666666666666666 0.0 0.027778
0.1666666666666666 0.3333333333333333 0.0 0.027778
0.1666666666666666 0.5 0.0 0.027778
0.1666666666666666 0.6666666666666666 0.0 0.027778
0.1666666666666666 0.8333333333333333 0.0 0.027778
0.3333333333333333 0.0 0.0 0.027778
0.3333333333333333 0.1666666666666666 0.0 0.027778
0.3333333333333333 0.3333333333333333 0.0 0.027778
0.3333333333333333 0.5 0.0 0.027778
0.3333333333333333 0.6666666666666666 0.0 0.027778
0.3333333333333333 0.8333333333333333 0.0 0.027778
0.5 0.0 0.0 0.027778
0.5 0.1666666666666666 0.0 0.027778
0.5 0.3333333333333333 0.0 0.027778
0.5 0.5 0.0 0.027778
0.5 0.6666666666666666 0.0 0.027778
0.5 0.8333333333333333 0.0 0.027778
0.6666666666666666 0.0 0.0 0.027778
0.6666666666666666 0.1666666666666666 0.0 0.027778
0.6666666666666666 0.3333333333333333 0.0 0.027778
0.6666666666666666 0.5 0.0 0.027778
0.6666666666666666 0.6666666666666666 0.0 0.027778
0.6666666666666666 0.8333333333333333 0.0 0.027778

```

```

0.8333333333333333 0.0 0.0 0.027778
0.8333333333333333 0.1666666666666666 0.0 0.027778
0.8333333333333333 0.3333333333333333 0.0 0.027778
0.8333333333333333 0.5 0.0 0.027778
0.8333333333333333 0.6666666666666666 0.0 0.027778
0.8333333333333333 0.8333333333333333 0.0 0.027778

```

```

CELL_PARAMETERS angstrom
3.994302246199 0.0 2e-16
2.1890959380249457 3.341004247378284 2e-16
0.0 0.0 26.7286133965

```

```

---                epw1.in ---
&inputepw
prefix = 'hBN'
amass(1) = 88.906
amass(2) = 12.011
amass(3) = 79.904
outdir = './'
elph = .false.
epbwrite = .false.
epbread = .false.
epwwrite = .true.
epwread = .false.
etf_mem = 1
nbndsub = 24
use_ws = .true.
wannierize = .true.
num_iter = 1000
iprint = 2
dis_win_max = 25.126696552163196
dis_froz_max = 3.0762177957603805
fsthick = 1.2
temps = 1
degaussw = 0.005
dvscf_dir = './save'
nk1 = 6
nk2 = 6
nk3 = 1
nq1 = 1
nq2 = 1
nq3 = 1
dis_win_min = -16.267008581776953
wdata(1) = 'guiding_centres = T'
wdata(2) = 'dis_num_iter = 1500'
wdata(3) = 'bands_num_points = 100 '
wdata(4) = 'bands_plot = .true.'
wdata(5) = 'begin kpoint_path'
wdata(6) = 'G 0.0 0.0 0.0 M 0.5 0.0 0.0'
wdata(7) = 'M 0.5 0.0 0.0 K 0.3333333333 0.3333333333 0.0'
wdata(8) = 'K 0.3333333333 0.3333333333 0.0 X 1.0 1.0 0.0'
wdata(9) = 'X 1.0 1.0 0.0 M1 0.0 0.5 0.0'
wdata(10) = 'M1 0.0 0.5 0.0 G 0.0 0.0 0.0'
wdata(11) = 'end kpoint_path'
bands_skipped = 'exclude_bands = 1-11'
proj(1) = 'Y: l= 3, mr= 2,4,6'
proj(2) = 'C: l= 3, mr= 1,4,5,6,7'
proj(3) = 'Br: l= 3, mr= 2,3,4,6'
dis_froz_min = -1.823184100500474
/

```

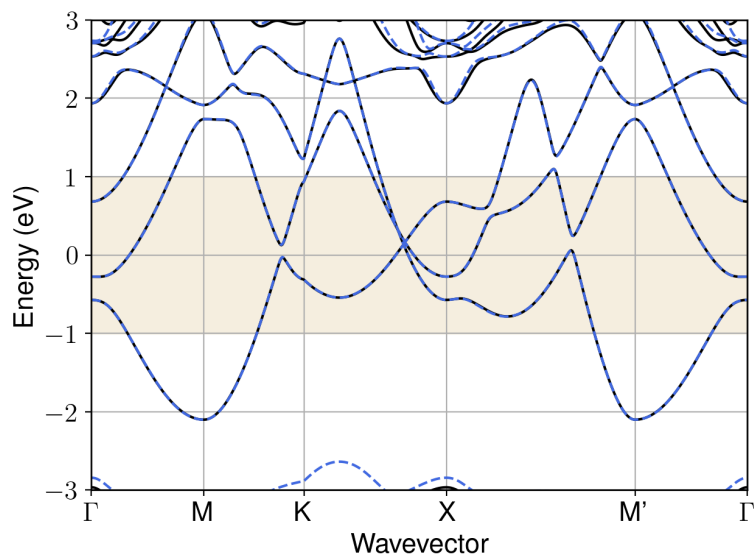


Figure S187: Bandstructure interpolation for monolayer  $\text{Y}_2\text{C}_2\text{Br}_2$ . Wannier-interpolation of the band structure of monolayer  $\text{Y}_2\text{C}_2\text{Br}_2$  over a wide energy range. Blue dashed lines are results from the present method, black solid lines are explicit DFT calculations. The yellow shaded region shows the range over which optimization has been performed. The interpolation error within the yellow region is 3 meV. The k-grid employed for NSCF calculation is  $6 \times 6$ .

## 176 Material: $\text{Y}_2\text{C}_2\text{I}_2$

The calculation files are appended below. These files should be executed in the order provided. The location of pseudo potentials should be changed accordingly.

```

---          scf.in ---
&CONTROL
calculation = 'scf'
verbosity = 'high'
restart_mode = 'from_scratch'
outdir = './'
pseudo_dir = '/scratch1/05193/sabyadk/2D_materials_Wann/Materials/Y2C2I2-673fb5ad/pseudo/'
prefix = 'hBN'
/
&SYSTEM
ibrav = 0
nat = 6
ntyp = 3
ecutwfc = 60
ecutrho = 240
occupations = 'smearing'
smearing = 'gaussian'
degauss = 0.01
/
&ELECTRONS
conv_thr = 1E-10
diagonalization = cg
electron_maxstep = 500
/
ATOMIC_SPECIES
Y 88.906 Y_r.upf
C 12.011 C_r.upf
I 126.904 I_r.upf
ATOMIC_POSITIONS crystal
Y 0.087219437129 0.087219437648 0.949211324374

```

```

Y 0.817168798777 0.817168798841 0.050788515082
C 0.372376224421 0.372376223348 0.988292169216
C 0.532012370131 0.532012369245 0.011707823912
I 0.749494385745 0.749494386365 0.871344174309
I 0.154899426915 0.154899427662 0.128655993108

```

```

K_POINTS automatic
6 6 1 0 0 0

```

```

CELL_PARAMETERS angstrom
4.152035200963 0.0 3e-16
2.3100105181768114 3.450108363951315 3e-16
0.0 0.0 27.008685161201

```

```

---                nscf.in ---
&CONTROL
calculation = bands
verbosity = 'high'
restart_mode = 'from_scratch'
outdir = './'
pseudo_dir = '/scratch1/05193/sabyadk/2D_materials_Wann/Materials/Y2C2I2-673fb5ad/pseudo/'
prefix = 'hBN'
/
&SYSTEM
ibrav = 0
nat = 6
ntyp = 3
ecutwfc = 60
ecutrho = 240
occupations = 'smearing'
smearing = 'gaussian'
degauss = 0.01
nbnd = 60
/
&ELECTRONS
conv_thr = 1E-10
diagonalization = cg
electron_maxstep = 500
/
ATOMIC_SPECIES
Y 88.906 Y_r.upf
C 12.011 C_r.upf
I 126.904 I_r.upf
ATOMIC_POSITIONS crystal
Y 0.087219437129 0.087219437648 0.949211324374
Y 0.817168798777 0.817168798841 0.050788515082
C 0.372376224421 0.372376223348 0.988292169216
C 0.532012370131 0.532012369245 0.011707823912
I 0.749494385745 0.749494386365 0.871344174309
I 0.154899426915 0.154899427662 0.128655993108

K_POINTS crystal
36
0.0 0.0 0.0 0.027778
0.0 0.1666666666666666 0.0 0.027778
0.0 0.3333333333333333 0.0 0.027778
0.0 0.5 0.0 0.027778
0.0 0.6666666666666666 0.0 0.027778
0.0 0.8333333333333333 0.0 0.027778
0.1666666666666666 0.0 0.0 0.027778
0.1666666666666666 0.1666666666666666 0.0 0.027778
0.1666666666666666 0.3333333333333333 0.0 0.027778
0.1666666666666666 0.5 0.0 0.027778
0.1666666666666666 0.6666666666666666 0.0 0.027778
0.1666666666666666 0.8333333333333333 0.0 0.027778
0.3333333333333333 0.0 0.0 0.027778
0.3333333333333333 0.1666666666666666 0.0 0.027778
0.3333333333333333 0.3333333333333333 0.0 0.027778
0.3333333333333333 0.5 0.0 0.027778
0.3333333333333333 0.6666666666666666 0.0 0.027778
0.3333333333333333 0.8333333333333333 0.0 0.027778
0.5 0.0 0.0 0.027778
0.5 0.1666666666666666 0.0 0.027778
0.5 0.3333333333333333 0.0 0.027778
0.5 0.5 0.0 0.027778
0.5 0.6666666666666666 0.0 0.027778
0.5 0.8333333333333333 0.0 0.027778
0.6666666666666666 0.0 0.0 0.027778
0.6666666666666666 0.1666666666666666 0.0 0.027778
0.6666666666666666 0.3333333333333333 0.0 0.027778
0.6666666666666666 0.5 0.0 0.027778
0.6666666666666666 0.6666666666666666 0.0 0.027778
0.6666666666666666 0.8333333333333333 0.0 0.027778

```

```

0.8333333333333333 0.0 0.0 0.027778
0.8333333333333333 0.1666666666666666 0.0 0.027778
0.8333333333333333 0.3333333333333333 0.0 0.027778
0.8333333333333333 0.5 0.0 0.027778
0.8333333333333333 0.6666666666666666 0.0 0.027778
0.8333333333333333 0.8333333333333333 0.0 0.027778

CELL_PARAMETERS angstrom
4.152035200963 0.0 3e-16
2.3100105181768114 3.450108363951315 3e-16
0.0 0.0 27.008685161201

```

```

---                epw1.in ---
&inputepw
prefix = 'hEN'
amass(1) = 88.906
amass(2) = 12.011
amass(3) = 126.904
outdir = './'
elph = .false.
epbwrite = .false.
epbread = .false.
epwwrite = .true.
epwread = .false.
etf_mem = 1
nbndsub = 18
use_ws = .true.
wannierize = .true.
num_iter = 1000
iprint = 2
dis_win_max = 17.58459009252134
dis_froz_max = 3.151664339070951
fsthick = 1.2
temps = 1
degaussw = 0.005
dvscf_dir = './save'
nk1 = 6
nk2 = 6
nk3 = 1
nq1 = 1
nq2 = 1
nq3 = 1
dis_win_min = -15.514743970595934
wdata(1) = 'guiding_centres = T'
wdata(2) = 'dis_num_iter = 1500'
wdata(3) = 'bands_num_points = 100 '
wdata(4) = 'bands_plot = .true.'
wdata(5) = 'begin kpoint_path'
wdata(6) = 'G 0.0 0.0 0.0 M 0.5 0.0 0.0'
wdata(7) = 'M 0.5 0.0 0.0 K 0.3333333333 0.3333333333 0.0'
wdata(8) = 'K 0.3333333333 0.3333333333 0.0 X 1.0 1.0 0.0'
wdata(9) = 'X 1.0 1.0 0.0 M1 0.0 0.5 0.0'
wdata(10) = 'M1 0.0 0.5 0.0 G 0.0 0.0 0.0'
wdata(11) = 'end kpoint_path'
bands_skipped = 'exclude_bands = 1-11'
proj(1) = 'Y: l= 3, mr= 1,2,3'
proj(2) = 'C: l= 3, mr= 3,4,6,7'
proj(3) = 'I: l= -5, mr= 1,6'
dis_froz_min = -9.238367570688249
/

```

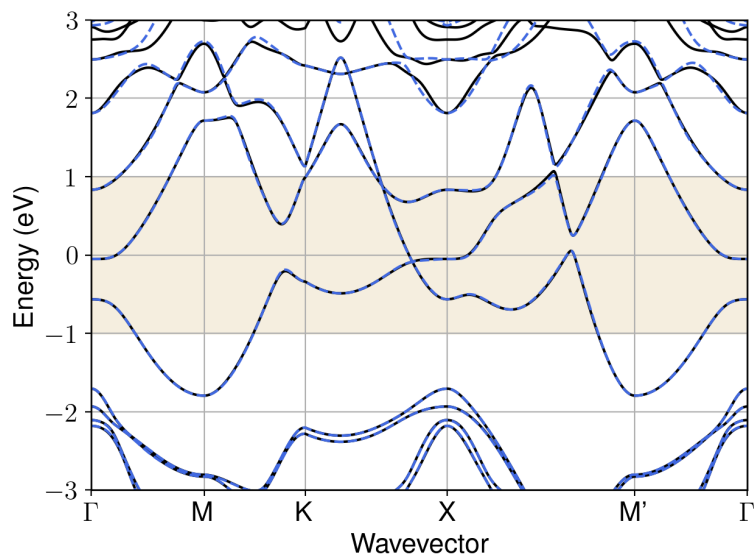


Figure S188: Bandstructure interpolation for monolayer  $\text{Y}_2\text{C}_2\text{I}_2$ . Wannier-interpolation of the band structure of monolayer  $\text{Y}_2\text{C}_2\text{I}_2$  over a wide energy range. Blue dashed lines are results from the present method, black solid lines are explicit DFT calculations. The yellow shaded region shows the range over which optimization has been performed. The interpolation error within the yellow region is 9 meV. The k-grid employed for NSCF calculation is  $6 \times 6$ .

## 177 Material: $\text{Y}_2\text{Cl}_2$

The calculation files are appended below. These files should be executed in the order provided. The location of pseudo potentials should be changed accordingly.

```

---          scf.in ---
&CONTROL
calculation = 'scf'
verbosity = 'high'
restart_mode = 'from_scratch'
outdir = './'
pseudo_dir = '/scratch1/05193/sabyadk/2D_materials_Wann/Materials/Y2Cl2-6c0a3f63/pseudo/'
prefix = 'hBN'
/
&SYSTEM
ibrav = 0
nat = 4
ntyp = 2
ecutwfc = 60
ecutrho = 240
occupations = 'smearing'
smearing = 'gaussian'
degauss = 0.01
/
&ELECTRONS
conv_thr = 1E-10
diagonalization = cg
electron_maxstep = 500
/
ATOMIC_SPECIES
Y 88.906 Y_r.upf
Cl 35.453 Cl_r.upf
ATOMIC_POSITIONS crystal
Y 0.833333333338 0.166666666662 0.943503051178
Y 0.166666666662 0.833333333338 0.056496948822

```

```

Cl 0.5 0.5 0.873763725642
Cl 0.5 0.5 0.126236274358

K_POINTS automatic
6 6 1 0 0 0

CELL_PARAMETERS angstrom
3.753654645598 0.0 2e-16
-1.8768273228835948 3.2507602800725013 2e-16
0.0 0.0 24.7163434348

```

```

---                nscf.in ---
&CONTROL
calculation = bands
verbosity = 'high'
restart_mode = 'from_scratch'
outdir = './'
pseudo_dir = '/scratch1/05193/sabyadk/2D_materials_Wann/Materials/Y2Cl2-6c0a3f63/pseudo/'
prefix = 'hBN'
/
&SYSTEM
ibrav = 0
nat = 4
ntyp = 2
ecutwfc = 60
ecutrho = 240
occupations = 'smearing'
smearing = 'gaussian'
degauss = 0.01
nbnd = 60
/
&ELECTRONS
conv_thr = 1E-10
diagonalization = cg
electron_maxstep = 500
/
ATOMIC_SPECIES
Y 88.906 Y_r.upf
Cl 35.453 Cl_r.upf
ATOMIC_POSITIONS crystal
Y 0.833333333333 0.166666666666 0.943503051178
Y 0.166666666666 0.833333333333 0.056496948822
Cl 0.5 0.5 0.873763725642
Cl 0.5 0.5 0.126236274358

K_POINTS crystal
36
0.0 0.0 0.0 0.027778
0.0 0.166666666666666666 0.0 0.027778
0.0 0.3333333333333333 0.0 0.027778
0.0 0.5 0.0 0.027778
0.0 0.6666666666666666 0.0 0.027778
0.0 0.8333333333333333 0.0 0.027778
0.166666666666666666 0.0 0.0 0.027778
0.166666666666666666 0.1666666666666666 0.0 0.027778
0.166666666666666666 0.3333333333333333 0.0 0.027778
0.166666666666666666 0.5 0.0 0.027778
0.166666666666666666 0.6666666666666666 0.0 0.027778
0.166666666666666666 0.8333333333333333 0.0 0.027778
0.3333333333333333 0.0 0.0 0.027778
0.3333333333333333 0.1666666666666666 0.0 0.027778
0.3333333333333333 0.3333333333333333 0.0 0.027778
0.3333333333333333 0.5 0.0 0.027778
0.3333333333333333 0.6666666666666666 0.0 0.027778
0.3333333333333333 0.8333333333333333 0.0 0.027778
0.5 0.0 0.0 0.027778
0.5 0.166666666666666666 0.0 0.027778
0.5 0.3333333333333333 0.0 0.027778
0.5 0.5 0.0 0.027778
0.5 0.6666666666666666 0.0 0.027778
0.5 0.8333333333333333 0.0 0.027778
0.666666666666666666 0.0 0.0 0.027778
0.666666666666666666 0.1666666666666666 0.0 0.027778
0.666666666666666666 0.3333333333333333 0.0 0.027778
0.666666666666666666 0.5 0.0 0.027778
0.666666666666666666 0.6666666666666666 0.0 0.027778
0.666666666666666666 0.8333333333333333 0.0 0.027778
0.8333333333333333 0.0 0.0 0.027778
0.8333333333333333 0.1666666666666666 0.0 0.027778
0.8333333333333333 0.3333333333333333 0.0 0.027778
0.8333333333333333 0.5 0.0 0.027778
0.8333333333333333 0.6666666666666666 0.0 0.027778
0.8333333333333333 0.8333333333333333 0.0 0.027778

```



```

CELL_PARAMETERS angstrom
3.753654645598 0.0 2e-16
-1.8768273228835948 3.2507602800725013 2e-16
0.0 0.0 24.7163434348

```

```

---                epw1.in ---
&inputepw
prefix = 'hBN'
amass(1) = 88.906
amass(2) = 35.453
outdir = './'
elph = .false.
epbwrite = .false.
epbread = .false.
epwwrite = .true.
epwread = .false.
etf_mem = 1
nbndsub = 12
use_ws = .true.
wannierize = .true.
num_iter = 1000
iprint = 2
dis_win_max = 19.4372994457997
dis_froz_max = 3.7171101028044413
fsthick = 1.2
temps = 1
degaussw = 0.005
dvscf_dir = './save'
nk1 = 6
nk2 = 6
nk3 = 1
nq1 = 1
nq2 = 1
nq3 = 1
dis_win_min = -14.691744574699163
wdata(1) = 'guiding_centres = T'
wdata(2) = 'dis_num_iter = 1500'
wdata(3) = 'bands_num_points = 100 '
wdata(4) = 'bands_plot = .true.'
wdata(5) = 'begin kpoint_path'
wdata(6) = 'G 0.0 0.0 0.0 M 0.5 0.0 0.0'
wdata(7) = 'M 0.5 0.0 0.0 K 0.3333333333 0.3333333333 0.0'
wdata(8) = 'K 0.3333333333 0.3333333333 0.0 X 1.0 1.0 0.0'
wdata(9) = 'X 1.0 1.0 0.0 M1 0.0 0.5 0.0'
wdata(10) = 'M1 0.0 0.5 0.0 G 0.0 0.0 0.0'
wdata(11) = 'end kpoint_path'
bands_skipped = 'exclude_bands = 1-10'
proj(1) = 'Y: 1= 2, mr= 1,2,5'
proj(2) = 'Cl: 1= 2, mr= 1,3,5'
dis_froz_min = -3.3577956968819986
/

```

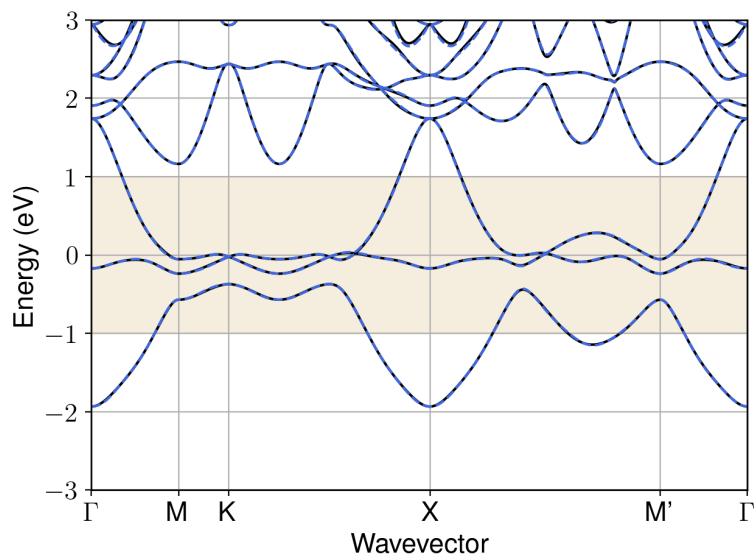


Figure S189: Bandstructure interpolation for monolayer  $\text{Y}_2\text{Cl}_2$ . Wannier-interpolation of the band structure of monolayer  $\text{Y}_2\text{Cl}_2$  over a wide energy range. Blue dashed lines are results from the present method, black solid lines are explicit DFT calculations. The yellow shaded region shows the range over which optimization has been performed. The interpolation error within the yellow region is 5 meV. The k-grid employed for NSCF calculation is  $6 \times 6$ .

## 178 Material: $\text{Y}_2\text{Ga}_2\text{I}_2$

The calculation files are appended below. These files should be executed in the order provided. The location of pseudo potentials should be changed accordingly.

```

---          scf.in ---
&CONTROL
calculation = 'scf'
verbosity = 'high'
restart_mode = 'from_scratch'
outdir = './'
pseudo_dir = '/scratch1/05193/sabyadk/2D_materials_Wann/Materials/Y2Ga2I2-bd338b25/pseudo/'
prefix = 'hBN'
/
&SYSTEM
ibrav = 0
nat = 6
ntyp = 3
ecutwfc = 60
ecutrho = 240
occupations = 'smearing'
smearing = 'gaussian'
degauss = 0.01
/
&ELECTRONS
conv_thr = 1E-10
diagonalization = cg
electron_maxstep = 500
/
ATOMIC_SPECIES
Y 88.906 Y_r.upf
Ga 69.723 Ga_r.upf
I 126.904 I_r.upf
ATOMIC_POSITIONS crystal
Y 0.0 0.0 0.927876595711

```

```

Y 0.0 0.0 0.072123404289
Ga 0.3333333333333333 0.6666666666666666 0.987920985709
Ga 0.6666666666666666 0.3333333333333333 0.012079014291
I 0.6666666666666666 0.3333333333333333 0.856581537705
I 0.3333333333333333 0.6666666666666666 0.143418462295

K_POINTS automatic
6 6 1 0 0 0

CELL_PARAMETERS angstrom
4.2087557012 0.0 3e-16
-2.10437785059996 3.6448893555999162 3e-16
0.0 0.0 27.9421885853

```

```

---                nscf.in ---
&CONTROL
calculation = bands
verbosity = 'high'
restart_mode = 'from_scratch'
outdir = './'
pseudo_dir = '/scratch1/05193/sabyadk/2D_materials_Wann/Materials/Y2Ga2I2-bd338b25/pseudo/'
prefix = 'hBN'
/
&SYSTEM
ibrav = 0
nat = 6
ntyp = 3
ecutwfc = 60
ecutrho = 240
occupations = 'smearing'
smearing = 'gaussian'
degauss = 0.01
nbnd = 60
/
&ELECTRONS
conv_thr = 1E-10
diagonalization = cg
electron_maxstep = 500
/
ATOMIC_SPECIES
Y 88.906 Y_r.upf
Ga 69.723 Ga_r.upf
I 126.904 I_r.upf
ATOMIC_POSITIONS crystal
Y 0.0 0.0 0.927876595711
Y 0.0 0.0 0.072123404289
Ga 0.3333333333333333 0.6666666666666666 0.987920985709
Ga 0.6666666666666666 0.3333333333333333 0.012079014291
I 0.6666666666666666 0.3333333333333333 0.856581537705
I 0.3333333333333333 0.6666666666666666 0.143418462295

K_POINTS crystal
36
0.0 0.0 0.0 0.027778
0.0 0.1666666666666666 0.0 0.027778
0.0 0.3333333333333333 0.0 0.027778
0.0 0.5 0.0 0.027778
0.0 0.6666666666666666 0.0 0.027778
0.0 0.8333333333333333 0.0 0.027778
0.1666666666666666 0.0 0.0 0.027778
0.1666666666666666 0.1666666666666666 0.0 0.027778
0.1666666666666666 0.3333333333333333 0.0 0.027778
0.1666666666666666 0.5 0.0 0.027778
0.1666666666666666 0.6666666666666666 0.0 0.027778
0.1666666666666666 0.8333333333333333 0.0 0.027778
0.3333333333333333 0.0 0.0 0.027778
0.3333333333333333 0.1666666666666666 0.0 0.027778
0.3333333333333333 0.3333333333333333 0.0 0.027778
0.3333333333333333 0.5 0.0 0.027778
0.3333333333333333 0.6666666666666666 0.0 0.027778
0.3333333333333333 0.8333333333333333 0.0 0.027778
0.5 0.0 0.0 0.027778
0.5 0.1666666666666666 0.0 0.027778
0.5 0.3333333333333333 0.0 0.027778
0.5 0.5 0.0 0.027778
0.5 0.6666666666666666 0.0 0.027778
0.5 0.8333333333333333 0.0 0.027778
0.6666666666666666 0.0 0.0 0.027778
0.6666666666666666 0.1666666666666666 0.0 0.027778
0.6666666666666666 0.3333333333333333 0.0 0.027778
0.6666666666666666 0.5 0.0 0.027778
0.6666666666666666 0.6666666666666666 0.0 0.027778
0.6666666666666666 0.8333333333333333 0.0 0.027778

```

```

0.8333333333333333 0.0 0.0 0.027778
0.8333333333333333 0.1666666666666666 0.0 0.027778
0.8333333333333333 0.3333333333333333 0.0 0.027778
0.8333333333333333 0.5 0.0 0.027778
0.8333333333333333 0.6666666666666666 0.0 0.027778
0.8333333333333333 0.8333333333333333 0.0 0.027778

CELL_PARAMETERS angstrom
4.2087557012 0.0 3e-16
-2.10437785059996 3.6448893555999162 3e-16
0.0 0.0 27.9421885853

```

```

---                epw1.in ---
&inputepw
prefix = 'hBN'
amass(1) = 88.906
amass(2) = 69.723
amass(3) = 126.904
outdir = './'
elph = .false.
epbwrite = .false.
epbread = .false.
epwwrite = .true.
epwread = .false.
etf_mem = 1
nbndsub = 20
use_ws = .true.
wannierize = .true.
num_iter = 1000
iprint = 2
dis_win_max = 13.61329190799086
dis_froz_max = 2.7143557351554257
fsthick = 1.2
temps = 1
degaussw = 0.005
dvscf_dir = './save'
nk1 = 6
nk2 = 6
nk3 = 1
nq1 = 1
nq2 = 1
nq3 = 1
dis_win_min = -13.729843672374361
wdata(1) = 'guiding_centres = T'
wdata(2) = 'dis_num_iter = 1500'
wdata(3) = 'bands_num_points = 100 '
wdata(4) = 'bands_plot = .true.'
wdata(5) = 'begin kpoint_path'
wdata(6) = 'G 0.0 0.0 0.0 M 0.5 0.0 0.0'
wdata(7) = 'M 0.5 0.0 0.0 K 0.3333333333 0.3333333333 0.0'
wdata(8) = 'K 0.3333333333 0.3333333333 0.0 X 1.0 1.0 0.0'
wdata(9) = 'X 1.0 1.0 0.0 M1 0.0 0.5 0.0'
wdata(10) = 'M1 0.0 0.5 0.0 G 0.0 0.0 0.0'
wdata(11) = 'end kpoint_path'
bands_skipped = 'exclude_bands = 1-20'
proj(1) = 'Y: l= -5, mr= 2,5,6'
proj(2) = 'Ga: l= 3, mr= 1,4,5,6,7'
proj(3) = 'I: l= 3, mr= 3,7'
dis_froz_min = -4.3869490456941715
/

```

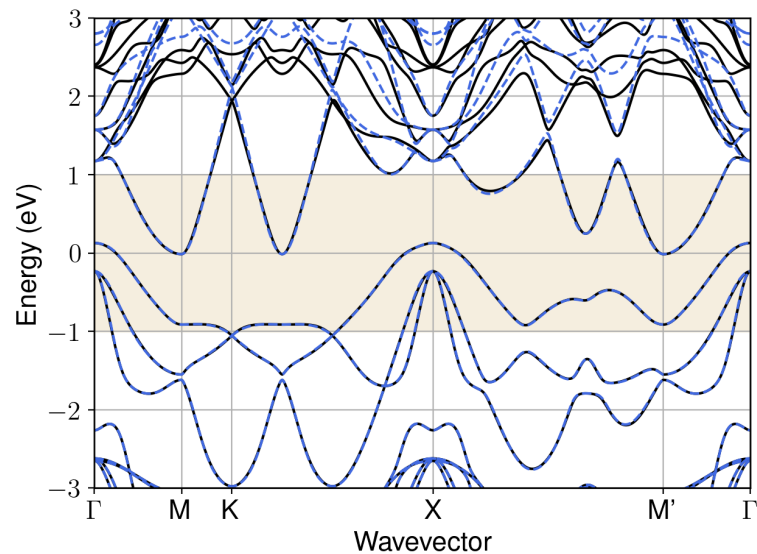


Figure S190: Bandstructure interpolation for monolayer  $\text{Y}_2\text{Ga}_2\text{I}_2$ . Wannier-interpolation of the band structure of monolayer  $\text{Y}_2\text{Ga}_2\text{I}_2$  over a wide energy range. Blue dashed lines are results from the present method, black solid lines are explicit DFT calculations. The yellow shaded region shows the range over which optimization has been performed. The interpolation error within the yellow region is 11 meV. The k-grid employed for NSCF calculation is  $6 \times 6$ .

## 179 Material: $\text{Y}_2\text{O}_2\text{Cl}_2$

The calculation files are appended below. These files should be executed in the order provided. The location of pseudo potentials should be changed accordingly.

```

---          scf.in ---
&CONTROL
calculation = 'scf'
verbosity = 'high'
restart_mode = 'from_scratch'
outdir = './'
pseudo_dir = '/scratch1/05193/sabyadk/2D_materials_Wann/Materials/Y2O2Cl2-083edaec/pseudo/'
prefix = 'hBN'
/
&SYSTEM
ibrav = 0
nat = 6
ntyp = 3
ecutwfc = 60
ecutrho = 240
assume_isolated = 2D
/
&ELECTRONS
conv_thr = 1E-12
diagonalization = 'david'
electron_maxstep = 200
/
ATOMIC_SPECIES
Y 88.906 Y_r.upf
Cl 35.453 Cl_r.upf
O 15.999 O_r.upf
ATOMIC_POSITIONS crystal
Y 0.6666666666666666 0.3333333333333333 0.945761604732
Y 0.999999999974 0.0 0.054238395266
Cl 0.3333333333333333 0.6666666666666666 0.120116085798

```

```

Cl 0.3333333333333333 0.6666666666666666 0.879883914204
0 0.6666666666666666 0.3333333333333333 0.032288792064
0 0.999999999974 0.0 0.967711207935

```

```

K_POINTS automatic
6 6 1 0 0 0

```

```

CELL_PARAMETERS angstrom
3.813750364148 0.0 2e-16
-1.9068751820739949 3.3028046990270044 2e-16
0.0 0.0 26.368832354

```

```

---                nscf.in ---
&CONTROL
calculation = bands
verbosity = 'high'
restart_mode = 'from_scratch'
outdir = './'
pseudo_dir = '/scratch1/05193/sabyadk/2D_materials_Wann/Materials/Y202C12-083edaec/pseudo/'
prefix = 'hBN'
/
&SYSTEM
ibrav = 0
nat = 6
ntyp = 3
ecutwfc = 60
ecutrho = 240
assume_isolated = 2D
nband = 60
/
&ELECTRONS
conv_thr = 1E-10
diagonalization = 'david'
electron_maxstep = 200
/
ATOMIC_SPECIES
Y 88.906 Y_r.upf
Cl 35.453 Cl_r.upf
O 15.999 O_r.upf
ATOMIC_POSITIONS crystal
Y 0.6666666666666666 0.3333333333333333 0.945761604732
Y 0.999999999974 0.0 0.054238395266
Cl 0.3333333333333333 0.6666666666666666 0.120116085798
Cl 0.3333333333333333 0.6666666666666666 0.879883914204
O 0.6666666666666666 0.3333333333333333 0.032288792064
O 0.999999999974 0.0 0.967711207935

K_POINTS crystal
36
0.0 0.0 0.0 0.027778
0.0 0.1666666666666666 0.0 0.027778
0.0 0.3333333333333333 0.0 0.027778
0.0 0.5 0.0 0.027778
0.0 0.6666666666666666 0.0 0.027778
0.0 0.8333333333333333 0.0 0.027778
0.1666666666666666 0.0 0.0 0.027778
0.1666666666666666 0.1666666666666666 0.0 0.027778
0.1666666666666666 0.3333333333333333 0.0 0.027778
0.1666666666666666 0.5 0.0 0.027778
0.1666666666666666 0.6666666666666666 0.0 0.027778
0.1666666666666666 0.8333333333333333 0.0 0.027778
0.3333333333333333 0.0 0.0 0.027778
0.3333333333333333 0.1666666666666666 0.0 0.027778
0.3333333333333333 0.3333333333333333 0.0 0.027778
0.3333333333333333 0.5 0.0 0.027778
0.3333333333333333 0.6666666666666666 0.0 0.027778
0.3333333333333333 0.8333333333333333 0.0 0.027778
0.5 0.0 0.0 0.027778
0.5 0.1666666666666666 0.0 0.027778
0.5 0.3333333333333333 0.0 0.027778
0.5 0.5 0.0 0.027778
0.5 0.6666666666666666 0.0 0.027778
0.5 0.8333333333333333 0.0 0.027778
0.6666666666666666 0.0 0.0 0.027778
0.6666666666666666 0.1666666666666666 0.0 0.027778
0.6666666666666666 0.3333333333333333 0.0 0.027778
0.6666666666666666 0.5 0.0 0.027778
0.6666666666666666 0.6666666666666666 0.0 0.027778
0.6666666666666666 0.8333333333333333 0.0 0.027778
0.8333333333333333 0.0 0.0 0.027778
0.8333333333333333 0.1666666666666666 0.0 0.027778
0.8333333333333333 0.3333333333333333 0.0 0.027778
0.8333333333333333 0.5 0.0 0.027778

```

```

0.8333333333333333 0.6666666666666666 0.0 0.027778
0.8333333333333333 0.8333333333333333 0.0 0.027778

CELL_PARAMETERS angstrom
3.813750364148 0.0 2e-16
-1.9068751820739949 3.3028046990270044 2e-16
0.0 0.0 26.368832354

```

```

---                epw1.in ---
&inputepw
prefix = 'hBN'
amass(1) = 88.906
amass(2) = 35.453
amass(3) = 15.999
outdir = './'
elph = .false.
epbwrite = .false.
epbread = .false.
epwwrite = .true.
epwread = .false.
etf_mem = 1
nbndsub = 24
use_ws = .true.
wannierize = .true.
num_iter = 1000
iprint = 2
dis_win_max = 17.386644568992608
dis_froz_max = -1.0972458517760253
fsthick = 1.2
temps = 1
degaussw = 0.005
dvscf_dir = './save'
nk1 = 6
nk2 = 6
nk3 = 1
nq1 = 1
nq2 = 1
nq3 = 1
system_2d = 'dipole_sp'
lpolar = .true.
dis_win_min = -20.57252299596239
wdata(1) = 'guiding_centres = T'
wdata(2) = 'dis_num_iter = 1500'
wdata(3) = 'bands_num_points = 100 '
wdata(4) = 'bands_plot = .true.'
wdata(5) = 'begin kpoint_path'
wdata(6) = 'G 0.0 0.0 0.0 M 0.5 0.0 0.0'
wdata(7) = 'M 0.5 0.0 0.0 K 0.3333333333 0.3333333333 0.0'
wdata(8) = 'K 0.3333333333 0.3333333333 0.0 X 1.0 1.0 0.0'
wdata(9) = 'X 1.0 1.0 0.0 M1 0.0 0.5 0.0'
wdata(10) = 'M1 0.0 0.5 0.0 G 0.0 0.0 0.0'
wdata(11) = 'end kpoint_path'
bands_skipped = 'exclude_bands = 1-12'
proj(1) = 'Y: l= 3, mr= 4,5,6,7'
proj(2) = 'Cl: l= 3, mr= 1,5,6'
proj(3) = 'O: l= 3, mr= 1,2,3,4,7'
dis_froz_min = -15.707154497489125
/

```

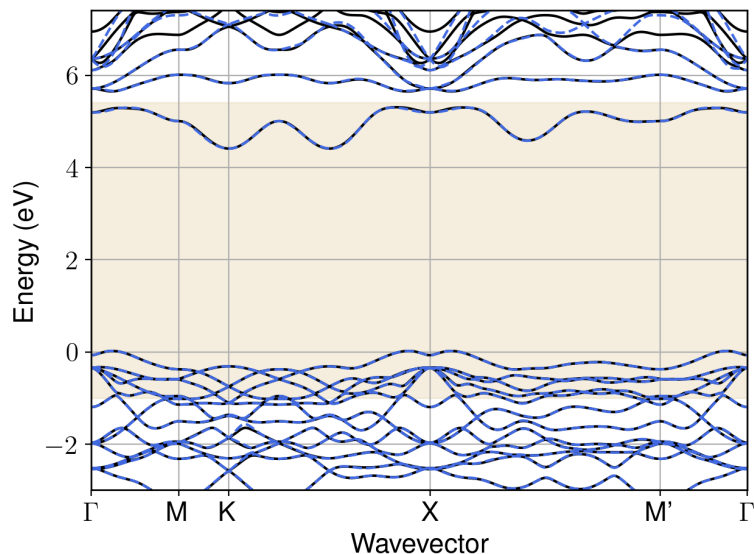


Figure S191: Bandstructure interpolation for monolayer  $\text{Y}_2\text{O}_2\text{Cl}_2$ . Wannier-interpolation of the band structure of monolayer  $\text{Y}_2\text{O}_2\text{Cl}_2$  over a wide energy range. Blue dashed lines are results from the present method, black solid lines are explicit DFT calculations. The yellow shaded region shows the range over which optimization has been performed. The interpolation error within the yellow region is 5 meV. The k-grid employed for NSCF calculation is  $6 \times 6$ .

## 180 Material: $\text{ZnBr}_2$

The calculation files are appended below. These files should be executed in the order provided. The location of pseudo potentials should be changed accordingly.

```

---          scf.in ---
&CONTROL
calculation = 'scf'
verbosity = 'high'
restart_mode = 'from_scratch'
outdir = './'
pseudo_dir = '/scratch1/05193/sabyadk/2D_materials_Wann/Materials/ZnBr2-d09dd793/pseudo/'
prefix = 'hBN'
/
&SYSTEM
ibrav = 0
nat = 3
ntyp = 2
ecutwfc = 60
ecutrho = 240
assume_isolated = 2D
/
&ELECTRONS
conv_thr = 1E-12
diagonalization = 'david'
electron_maxstep = 200
/
ATOMIC_SPECIES
Zn 65.38 Zn_r.upf
Br 79.904 Br_r.upf
ATOMIC_POSITIONS crystal
Zn 0.3333333333333333 0.6666666666666666 1e-12
Br 0.0 0.0 0.065621779669
Br 0.6666666666666666 0.3333333333333333 0.934378220329

```



```

K_POINTS automatic
6 6 1 0 0 0

CELL_PARAMETERS angstrom
3.7614195424 0.0 2e-16
-1.88070977120015 3.257484878000314 2e-16
0.0 0.0 23.0118104407

```

```

--- nscf.in ---
&CONTROL
calculation = bands
verbosity = 'high'
restart_mode = 'from_scratch'
outdir = './'
pseudo_dir = '/scratch1/05193/sabyadk/2D_materials_Wann/Materials/ZnBr2-d09dd793/pseudo/'
prefix = 'hBN'
/
&SYSTEM
ibrav = 0
nat = 3
ntyp = 2
ecutwfc = 60
ecutrho = 240
assume_isolated = 2D
nbnd = 60
/
&ELECTRONS
conv_thr = 1E-10
diagonalization = 'david'
electron_maxstep = 200
/
ATOMIC_SPECIES
Zn 65.38 Zn_r.upf
Br 79.904 Br_r.upf
ATOMIC_POSITIONS crystal
Zn 0.3333333333333333 0.6666666666666666 1e-12
Br 0.0 0.0 0.065621779669
Br 0.6666666666666666 0.3333333333333333 0.934378220329

K_POINTS crystal
36
0.0 0.0 0.0 0.027778
0.0 0.1666666666666666 0.0 0.027778
0.0 0.3333333333333333 0.0 0.027778
0.0 0.5 0.0 0.027778
0.0 0.6666666666666666 0.0 0.027778
0.0 0.8333333333333333 0.0 0.027778
0.1666666666666666 0.0 0.0 0.027778
0.1666666666666666 0.1666666666666666 0.0 0.027778
0.1666666666666666 0.3333333333333333 0.0 0.027778
0.1666666666666666 0.5 0.0 0.027778
0.1666666666666666 0.6666666666666666 0.0 0.027778
0.1666666666666666 0.8333333333333333 0.0 0.027778
0.3333333333333333 0.0 0.0 0.027778
0.3333333333333333 0.1666666666666666 0.0 0.027778
0.3333333333333333 0.3333333333333333 0.0 0.027778
0.3333333333333333 0.5 0.0 0.027778
0.3333333333333333 0.6666666666666666 0.0 0.027778
0.3333333333333333 0.8333333333333333 0.0 0.027778
0.5 0.0 0.0 0.027778
0.5 0.1666666666666666 0.0 0.027778
0.5 0.3333333333333333 0.0 0.027778
0.5 0.5 0.0 0.027778
0.5 0.6666666666666666 0.0 0.027778
0.5 0.8333333333333333 0.0 0.027778
0.6666666666666666 0.0 0.0 0.027778
0.6666666666666666 0.1666666666666666 0.0 0.027778
0.6666666666666666 0.3333333333333333 0.0 0.027778
0.6666666666666666 0.5 0.0 0.027778
0.6666666666666666 0.6666666666666666 0.0 0.027778
0.6666666666666666 0.8333333333333333 0.0 0.027778
0.8333333333333333 0.0 0.0 0.027778
0.8333333333333333 0.1666666666666666 0.0 0.027778
0.8333333333333333 0.3333333333333333 0.0 0.027778
0.8333333333333333 0.5 0.0 0.027778
0.8333333333333333 0.6666666666666666 0.0 0.027778
0.8333333333333333 0.8333333333333333 0.0 0.027778

CELL_PARAMETERS angstrom
3.7614195424 0.0 2e-16
-1.88070977120015 3.257484878000314 2e-16
0.0 0.0 23.0118104407

```

```
---                epw1.in ---
&inputepw
prefix = 'hBN'
amass(1) = 65.38
amass(2) = 79.904
outdir = './'
elph = .false.
epbwrite = .false.
epbread = .false.
epwwrite = .true.
epwread = .false.
etf_mem = 1
nbndsub = 11
use_ws = .true.
wannierize = .true.
num_iter = 1000
iprint = 2
dis_win_max = 8.430694139559769
dis_froz_max = -2.370261667637048
fsthick = 1.2
temps = 1
degaussw = 0.005
dvscf_dir = './save'
nk1 = 6
nk2 = 6
nk3 = 1
nq1 = 1
nq2 = 1
nq3 = 1
system_2d = 'dipole_sp'
lpolar = .true.
dis_win_min = -26.204151608031538
wdata(1) = 'guiding_centres = T'
wdata(2) = 'dis_num_iter = 1500'
wdata(3) = 'bands_num_points = 100 '
wdata(4) = 'bands_plot = .true.'
wdata(5) = 'begin kpoint_path'
wdata(6) = 'G 0.0 0.0 0.0 M 0.5 0.0 0.0'
wdata(7) = 'M 0.5 0.0 0.0 K 0.3333333333 0.3333333333 0.0'
wdata(8) = 'K 0.3333333333 0.3333333333 0.0 X 1.0 1.0 0.0'
wdata(9) = 'X 1.0 1.0 0.0 M1 0.0 0.5 0.0'
wdata(10) = 'M1 0.0 0.5 0.0 G 0.0 0.0 0.0'
wdata(11) = 'end kpoint_path'
bands_skipped = 'exclude_bands = 1-11'
proj(1) = 'Zn: l= -5, mr= 1,3,5'
proj(2) = 'Br: l= 3, mr= 1,2,3,5'
dis_froz_min = -11.845443322361039
/
```

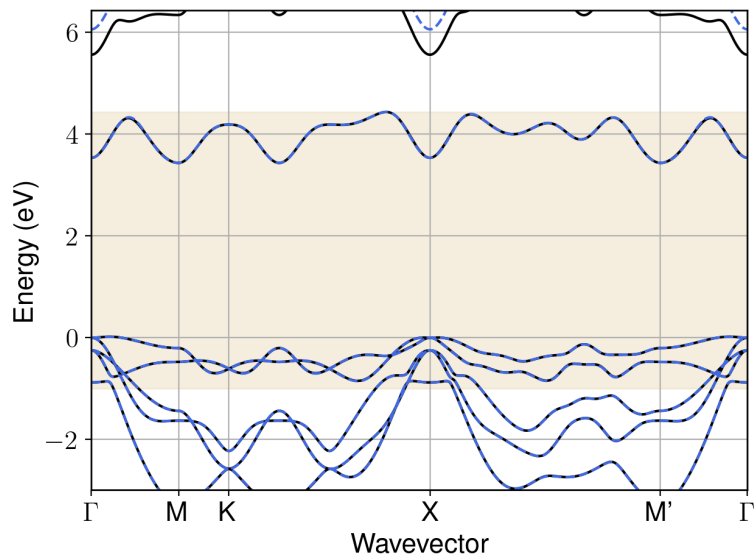


Figure S192: Bandstructure interpolation for monolayer  $\text{ZnBr}_2$ . Wannier-interpolation of the band structure of monolayer  $\text{ZnBr}_2$  over a wide energy range. Blue dashed lines are results from the present method, black solid lines are explicit DFT calculations. The yellow shaded region shows the range over which optimization has been performed. The interpolation error within the yellow region is 4 meV. The k-grid employed for NSCF calculation is  $6 \times 6$ .

## 181 Material: $\text{ZnCl}_2$

The calculation files are appended below. These files should be executed in the order provided. The location of pseudo potentials should be changed accordingly.

```

---          scf.in ---
&CONTROL
calculation = 'scf'
verbosity = 'high'
restart_mode = 'from_scratch'
outdir = './'
pseudo_dir = '/scratch1/05193/sabyadk/2D_materials_Wann/Materials/ZnCl2-4d9f2040/pseudo/'
prefix = 'hBN'
/
&SYSTEM
ibrav = 0
nat = 3
ntyp = 2
ecutwfc = 60
ecutrho = 240
assume_isolated = 2D
/
&ELECTRONS
conv_thr = 1E-12
diagonalization = 'david'
electron_maxstep = 200
/
ATOMIC_SPECIES
Zn 65.38 Zn_r.upf
Cl 35.453 Cl_r.upf
ATOMIC_POSITIONS crystal
Zn 0.0 0.0 0.999999999999
Cl 0.0 0.5 0.939909839096
Cl 0.5 0.0 0.060090160905

```

```

K_POINTS automatic
6 6 1 0 0 0

CELL_PARAMETERS angstrom
3.712001908057 0.0 2e-16
-2e-16 3.712001908057 2e-16
0.0 0.0 22.7593417019

```

```

---                nscf.in ---
&CONTROL
calculation = bands
verbosity = 'high'
restart_mode = 'from_scratch'
outdir = './'
pseudo_dir = '/scratch1/05193/sabyadk/2D_materials_Wann/Materials/ZnCl2-4d9f2040/pseudo/'
prefix = 'hBN'
/
&SYSTEM
ibrav = 0
nat = 3
ntyp = 2
ecutwfc = 60
ecutrho = 240
assume_isolated = 2D
nbnd = 60
/
&ELECTRONS
conv_thr = 1E-10
diagonalization = 'david'
electron_maxstep = 200
/
ATOMIC_SPECIES
Zn 65.38 Zn_r.upf
Cl 35.453 Cl_r.upf
ATOMIC_POSITIONS crystal
Zn 0.0 0.0 0.99999999999
Cl 0.0 0.5 0.939909839096
Cl 0.5 0.0 0.060090160905

K_POINTS crystal
36
0.0 0.0 0.0 0.027778
0.0 0.16666666666666666 0.0 0.027778
0.0 0.33333333333333333 0.0 0.027778
0.0 0.5 0.0 0.027778
0.0 0.66666666666666666 0.0 0.027778
0.0 0.83333333333333333 0.0 0.027778
0.16666666666666666 0.0 0.0 0.027778
0.16666666666666666 0.16666666666666666 0.0 0.027778
0.16666666666666666 0.33333333333333333 0.0 0.027778
0.16666666666666666 0.5 0.0 0.027778
0.16666666666666666 0.66666666666666666 0.0 0.027778
0.16666666666666666 0.83333333333333333 0.0 0.027778
0.33333333333333333 0.0 0.0 0.027778
0.33333333333333333 0.16666666666666666 0.0 0.027778
0.33333333333333333 0.33333333333333333 0.0 0.027778
0.33333333333333333 0.5 0.0 0.027778
0.33333333333333333 0.66666666666666666 0.0 0.027778
0.33333333333333333 0.83333333333333333 0.0 0.027778
0.5 0.0 0.0 0.027778
0.5 0.16666666666666666 0.0 0.027778
0.5 0.33333333333333333 0.0 0.027778
0.5 0.5 0.0 0.027778
0.5 0.66666666666666666 0.0 0.027778
0.5 0.83333333333333333 0.0 0.027778
0.66666666666666666 0.0 0.0 0.027778
0.66666666666666666 0.16666666666666666 0.0 0.027778
0.66666666666666666 0.33333333333333333 0.0 0.027778
0.66666666666666666 0.5 0.0 0.027778
0.66666666666666666 0.66666666666666666 0.0 0.027778
0.66666666666666666 0.83333333333333333 0.0 0.027778
0.83333333333333333 0.0 0.0 0.027778
0.83333333333333333 0.16666666666666666 0.0 0.027778
0.83333333333333333 0.33333333333333333 0.0 0.027778
0.83333333333333333 0.5 0.0 0.027778
0.83333333333333333 0.66666666666666666 0.0 0.027778
0.83333333333333333 0.83333333333333333 0.0 0.027778

CELL_PARAMETERS angstrom
3.712001908057 0.0 2e-16
-2e-16 3.712001908057 2e-16
0.0 0.0 22.7593417019

```

```
---                epw1.in ---
&inputepw
prefix = 'hBN'
amass(1) = 65.38
amass(2) = 35.453
outdir = './'
elph = .false.
epbwrite = .false.
epbread = .false.
epwwrite = .true.
epwread = .false.
etf_mem = 1
nbndsub = 15
use_ws = .true.
wannierize = .true.
num_iter = 1000
iprint = 2
dis_win_max = 9.643601958687137
dis_froz_max = -1.1439709633489716
fsthick = 1.2
temps = 1
degaussw = 0.005
dvscf_dir = './save'
nk1 = 6
nk2 = 6
nk3 = 1
nq1 = 1
nq2 = 1
nq3 = 1
system_2d = 'dipole_sp'
lpolar = .true.
dis_win_min = -22.652340038151927
wdata(1) = 'guiding_centres = T'
wdata(2) = 'dis_num_iter = 1500'
wdata(3) = 'bands_num_points = 100 '
wdata(4) = 'bands_plot = .true.'
wdata(5) = 'begin kpoint_path'
wdata(6) = 'G 0.0 0.0 0.0 M 0.5 0.0 0.0'
wdata(7) = 'M 0.5 0.0 0.0 K 0.3333333333 0.3333333333 0.0'
wdata(8) = 'K 0.3333333333 0.3333333333 0.0 X 1.0 1.0 0.0'
wdata(9) = 'X 1.0 1.0 0.0 M1 0.0 0.5 0.0'
wdata(10) = 'M1 0.0 0.5 0.0 G 0.0 0.0 0.0'
wdata(11) = 'end kpoint_path'
bands_skipped = 'exclude_bands = 1-6'
proj(1) = 'Zn: l= 3, mr= 3,5,6'
proj(2) = 'Cl: l= 3, mr= 1,3,4,5,6,7'
dis_froz_min = -14.539409940276496
/
```

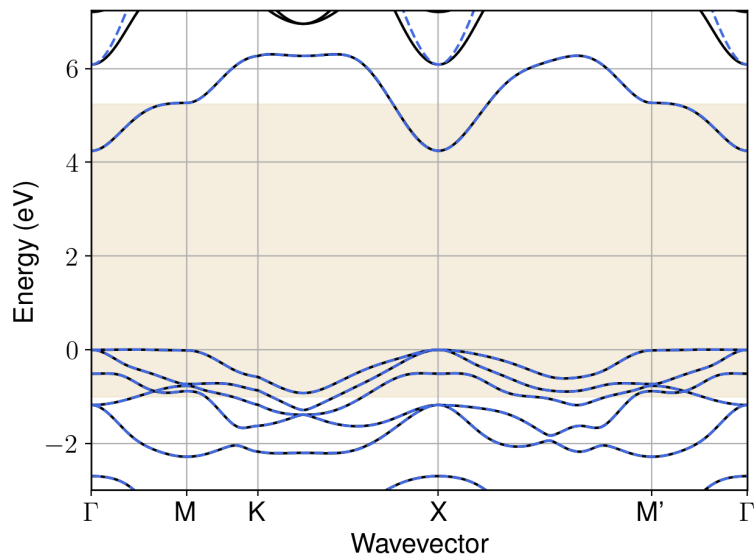


Figure S193: Bandstructure interpolation for monolayer  $\text{ZnCl}_2$ . Wannier-interpolation of the band structure of monolayer  $\text{ZnCl}_2$  over a wide energy range. Blue dashed lines are results from the present method, black solid lines are explicit DFT calculations. The yellow shaded region shows the range over which optimization has been performed. The interpolation error within the yellow region is 2 meV. The k-grid employed for NSCF calculation is  $6 \times 6$ .

## 182 Material: $\text{ZnCl}_2$

The calculation files are appended below. These files should be executed in the order provided. The location of pseudo potentials should be changed accordingly.

```

---          scf.in ---
&CONTROL
calculation = 'scf'
verbosity = 'high'
restart_mode = 'from_scratch'
outdir = './'
pseudo_dir = '/scratch1/05193/sabyadk/2D_materials_Wann/Materials/ZnCl2-6ef36b8b/pseudo/'
prefix = 'hBN'
/
&SYSTEM
ibrav = 0
nat = 3
ntyp = 2
ecutwfc = 60
ecutrho = 240
assume_isolated = 2D
/
&ELECTRONS
conv_thr = 1E-12
diagonalization = 'david'
electron_maxstep = 200
/
ATOMIC_SPECIES
Zn 65.38 Zn_r.upf
Cl 35.453 Cl_r.upf
ATOMIC_POSITIONS crystal
Zn 0.6666666666666666 0.3333333333333333 0.999999981856
Cl 0.3333333333333333 0.6666666666666666 0.060181912471
Cl 1.6e-11 3.2e-11 0.939818105673

```

```

K_POINTS automatic
6 6 1 0 0 0

CELL_PARAMETERS angstrom
3.600694363605 0.0 2e-16
-1.8003471818023766 3.1182927902239634 2e-16
0.0 0.0 22.7725935563

```

```

---                nscf.in ---
&CONTROL
calculation = bands
verbosity = 'high'
restart_mode = 'from_scratch'
outdir = './'
pseudo_dir = '/scratch1/05193/sabyadk/2D_materials_Wann/Materials/ZnCl2-6ef36b8b/pseudo/'
prefix = 'hBN'
/
&SYSTEM
ibrav = 0
nat = 3
ntyp = 2
ecutwfc = 60
ecutrho = 240
assume_isolated = 2D
nbnd = 60
/
&ELECTRONS
conv_thr = 1E-10
diagonalization = 'david'
electron_maxstep = 200
/
ATOMIC_SPECIES
Zn 65.38 Zn_r.upf
Cl 35.453 Cl_r.upf
ATOMIC_POSITIONS crystal
Zn 0.6666666666666666 0.3333333333333333 0.999999981856
Cl 0.3333333333333333 0.6666666666666666 0.060181912471
Cl 1.6e-11 3.2e-11 0.939818105673

K_POINTS crystal
36
0.0 0.0 0.0 0.027778
0.0 0.1666666666666666 0.0 0.027778
0.0 0.3333333333333333 0.0 0.027778
0.0 0.5 0.0 0.027778
0.0 0.6666666666666666 0.0 0.027778
0.0 0.8333333333333333 0.0 0.027778
0.1666666666666666 0.0 0.0 0.027778
0.1666666666666666 0.1666666666666666 0.0 0.027778
0.1666666666666666 0.3333333333333333 0.0 0.027778
0.1666666666666666 0.5 0.0 0.027778
0.1666666666666666 0.6666666666666666 0.0 0.027778
0.1666666666666666 0.8333333333333333 0.0 0.027778
0.3333333333333333 0.0 0.0 0.027778
0.3333333333333333 0.1666666666666666 0.0 0.027778
0.3333333333333333 0.3333333333333333 0.0 0.027778
0.3333333333333333 0.5 0.0 0.027778
0.3333333333333333 0.6666666666666666 0.0 0.027778
0.3333333333333333 0.8333333333333333 0.0 0.027778
0.5 0.0 0.0 0.027778
0.5 0.1666666666666666 0.0 0.027778
0.5 0.3333333333333333 0.0 0.027778
0.5 0.5 0.0 0.027778
0.5 0.6666666666666666 0.0 0.027778
0.5 0.8333333333333333 0.0 0.027778
0.6666666666666666 0.0 0.0 0.027778
0.6666666666666666 0.1666666666666666 0.0 0.027778
0.6666666666666666 0.3333333333333333 0.0 0.027778
0.6666666666666666 0.5 0.0 0.027778
0.6666666666666666 0.6666666666666666 0.0 0.027778
0.6666666666666666 0.8333333333333333 0.0 0.027778
0.8333333333333333 0.0 0.0 0.027778
0.8333333333333333 0.1666666666666666 0.0 0.027778
0.8333333333333333 0.3333333333333333 0.0 0.027778
0.8333333333333333 0.5 0.0 0.027778
0.8333333333333333 0.6666666666666666 0.0 0.027778
0.8333333333333333 0.8333333333333333 0.0 0.027778

CELL_PARAMETERS angstrom
3.600694363605 0.0 2e-16
-1.8003471818023766 3.1182927902239634 2e-16
0.0 0.0 22.7725935563

```

```
---                epw1.in ---
&inputepw
prefix = 'hBN'
amass(1) = 65.38
amass(2) = 35.453
outdir = './'
elph = .false.
epbwrite = .false.
epbread = .false.
epwwrite = .true.
epwread = .false.
etf_mem = 1
nbndsub = 10
use_ws = .true.
wannierize = .true.
num_iter = 1000
iprint = 2
dis_win_max = 17.93476307147616
dis_froz_max = -2.4254081450372658
fsthick = 1.2
temps = 1
degaussw = 0.005
dvscf_dir = './save'
nk1 = 6
nk2 = 6
nk3 = 1
nq1 = 1
nq2 = 1
nq3 = 1
system_2d = 'dipole_sp'
lpolar = .true.
dis_win_min = -26.878512171242324
wdata(1) = 'guiding_centres = T'
wdata(2) = 'dis_num_iter = 1500'
wdata(3) = 'bands_num_points = 100 '
wdata(4) = 'bands_plot = .true.'
wdata(5) = 'begin kpoint_path'
wdata(6) = 'G 0.0 0.0 0.0 M 0.5 0.0 0.0'
wdata(7) = 'M 0.5 0.0 0.0 K 0.3333333333 0.3333333333 0.0'
wdata(8) = 'K 0.3333333333 0.3333333333 0.0 X 1.0 1.0 0.0'
wdata(9) = 'X 1.0 1.0 0.0 M1 0.0 0.5 0.0'
wdata(10) = 'M1 0.0 0.5 0.0 G 0.0 0.0 0.0'
wdata(11) = 'end kpoint_path'
bands_skipped = 'exclude_bands = 1-6'
proj(1) = 'Zn: l= 3, mr= 2,3,5,7'
proj(2) = 'Cl: l= 2, mr= 2,3,4'
dis_froz_min = -12.29010084280872
/
```



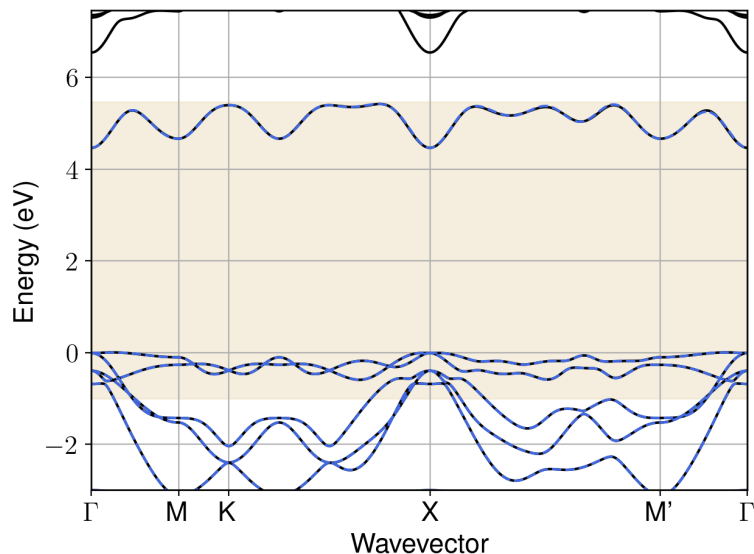


Figure S194: Bandstructure interpolation for monolayer  $\text{ZnCl}_2$ . Wannier-interpolation of the band structure of monolayer  $\text{ZnCl}_2$  over a wide energy range. Blue dashed lines are results from the present method, black solid lines are explicit DFT calculations. The yellow shaded region shows the range over which optimization has been performed. The interpolation error within the yellow region is 5 meV. The k-grid employed for NSCF calculation is  $6 \times 6$ .

### 183 Material: $\text{ZnI}_2$

The calculation files are appended below. These files should be executed in the order provided. The location of pseudo potentials should be changed accordingly.

```

---          scf.in ---
&CONTROL
calculation = 'scf'
verbosity = 'high'
restart_mode = 'from_scratch'
outdir = './'
pseudo_dir = '/scratch1/05193/sabyadk/2D_materials_Wann/Materials/ZnI2-cc7f50d7/pseudo/'
prefix = 'hBN'
/
&SYSTEM
ibrav = 0
nat = 3
ntyp = 2
ecutwfc = 60
ecutrho = 240
assume_isolated = 2D
/
&ELECTRONS
conv_thr = 1E-12
diagonalization = 'david'
electron_maxstep = 200
/
ATOMIC_SPECIES
Zn 65.38 Zn_r.upf
I 126.904 I_r.upf
ATOMIC_POSITIONS crystal
Zn 0.0 0.0 0.0
I 0.6666666666666666 0.3333333333333333 0.929570649417
I 0.3333333333333333 0.6666666666666666 0.070429350583

```

```

K_POINTS automatic
6 6 1 0 0 0

CELL_PARAMETERS angstrom
4.075564864704 0.0 2e-16
-2.037782432301558 3.5295427076456223 2e-16
0.0 0.0 23.3328023086

```

```

---                nscf.in ---
&CONTROL
calculation = bands
verbosity = 'high'
restart_mode = 'from_scratch'
outdir = './'
pseudo_dir = '/scratch1/05193/sabyadk/2D_materials_Wann/Materials/ZnI2-cc7f50d7/pseudo/'
prefix = 'hBN'
/
&SYSTEM
ibrav = 0
nat = 3
ntyp = 2
ecutwfc = 60
ecutrho = 240
assume_isolated = 2D
nbnd = 60
/
&ELECTRONS
conv_thr = 1E-10
diagonalization = 'david'
electron_maxstep = 200
/
ATOMIC_SPECIES
Zn 65.38 Zn_r.upf
I 126.904 I_r.upf
ATOMIC_POSITIONS crystal
Zn 0.0 0.0 0.0
I 0.6666666666666666 0.3333333333333333 0.929570649417
I 0.3333333333333333 0.6666666666666666 0.070429350583

K_POINTS crystal
36
0.0 0.0 0.0 0.027778
0.0 0.1666666666666666 0.0 0.027778
0.0 0.3333333333333333 0.0 0.027778
0.0 0.5 0.0 0.027778
0.0 0.6666666666666666 0.0 0.027778
0.0 0.8333333333333333 0.0 0.027778
0.1666666666666666 0.0 0.0 0.027778
0.1666666666666666 0.1666666666666666 0.0 0.027778
0.1666666666666666 0.3333333333333333 0.0 0.027778
0.1666666666666666 0.5 0.0 0.027778
0.1666666666666666 0.6666666666666666 0.0 0.027778
0.1666666666666666 0.8333333333333333 0.0 0.027778
0.3333333333333333 0.0 0.0 0.027778
0.3333333333333333 0.1666666666666666 0.0 0.027778
0.3333333333333333 0.3333333333333333 0.0 0.027778
0.3333333333333333 0.5 0.0 0.027778
0.3333333333333333 0.6666666666666666 0.0 0.027778
0.3333333333333333 0.8333333333333333 0.0 0.027778
0.5 0.0 0.0 0.027778
0.5 0.1666666666666666 0.0 0.027778
0.5 0.3333333333333333 0.0 0.027778
0.5 0.5 0.0 0.027778
0.5 0.6666666666666666 0.0 0.027778
0.5 0.8333333333333333 0.0 0.027778
0.6666666666666666 0.0 0.0 0.027778
0.6666666666666666 0.1666666666666666 0.0 0.027778
0.6666666666666666 0.3333333333333333 0.0 0.027778
0.6666666666666666 0.5 0.0 0.027778
0.6666666666666666 0.6666666666666666 0.0 0.027778
0.6666666666666666 0.8333333333333333 0.0 0.027778
0.8333333333333333 0.0 0.0 0.027778
0.8333333333333333 0.1666666666666666 0.0 0.027778
0.8333333333333333 0.3333333333333333 0.0 0.027778
0.8333333333333333 0.5 0.0 0.027778
0.8333333333333333 0.6666666666666666 0.0 0.027778
0.8333333333333333 0.8333333333333333 0.0 0.027778

CELL_PARAMETERS angstrom
4.075564864704 0.0 2e-16
-2.037782432301558 3.5295427076456223 2e-16
0.0 0.0 23.3328023086

```

```
---                epw1.in ---
&inputepw
prefix = 'hBN'
amass(1) = 65.38
amass(2) = 126.904
outdir = './'
elph = .false.
epbwrite = .false.
epbread = .false.
epwwrite = .true.
epwread = .false.
etf_mem = 1
nbndsub = 8
use_ws = .true.
wannierize = .true.
num_iter = 1000
iprint = 2
dis_win_max = 10.882243204563428
dis_froz_max = -1.9480023006658866
fsthick = 1.2
temps = 1
degaussw = 0.005
dvscf_dir = './save'
nk1 = 6
nk2 = 6
nk3 = 1
nq1 = 1
nq2 = 1
nq3 = 1
system_2d = 'dipole_sp'
lpolar = .true.
dis_win_min = -23.635523946142065
wdata(1) = 'guiding_centres = T'
wdata(2) = 'dis_num_iter = 1500'
wdata(3) = 'bands_num_points = 100 '
wdata(4) = 'bands_plot = .true.'
wdata(5) = 'begin kpoint_path'
wdata(6) = 'G 0.0 0.0 0.0 M 0.5 0.0 0.0'
wdata(7) = 'M 0.5 0.0 0.0 K 0.3333333333 0.3333333333 0.0'
wdata(8) = 'K 0.3333333333 0.3333333333 0.0 X 1.0 1.0 0.0'
wdata(9) = 'X 1.0 1.0 0.0 M1 0.0 0.5 0.0'
wdata(10) = 'M1 0.0 0.5 0.0 G 0.0 0.0 0.0'
wdata(11) = 'end kpoint_path'
bands_skipped = 'exclude_bands = 1-11'
proj(1) = 'Zn: l= -5, mr= 1,2,3,6'
proj(2) = 'I: l= 3, mr= 3,5'
dis_froz_min = -11.49757835866555
/
```

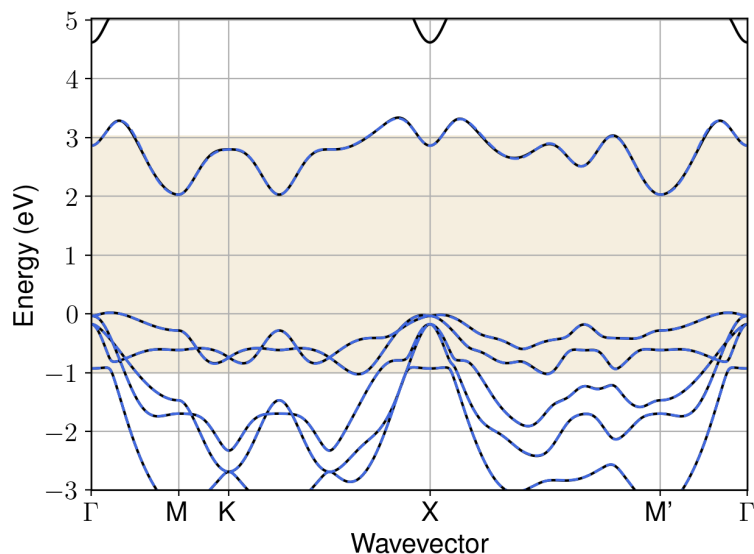


Figure S195: Bandstructure interpolation for monolayer  $\text{ZnI}_2$ . Wannier-interpolation of the band structure of monolayer  $\text{ZnI}_2$  over a wide energy range. Blue dashed lines are results from the present method, black solid lines are explicit DFT calculations. The yellow shaded region shows the range over which optimization has been performed. The interpolation error within the yellow region is 5 meV. The k-grid employed for NSCF calculation is  $6 \times 6$ .

## 184 Material: $\text{Zr}_2\text{Br}_2$

The calculation files are appended below. These files should be executed in the order provided. The location of pseudo potentials should be changed accordingly.

```

---          scf.in ---
&CONTROL
calculation = 'scf'
verbosity = 'high'
restart_mode = 'from_scratch'
outdir = './'
pseudo_dir = '/scratch1/05193/sabyadk/2D_materials_Wann/Materials/Zr2Br2-0f33aa90/pseudo/'
prefix = 'hBN'
/
&SYSTEM
ibrav = 0
nat = 4
ntyp = 2
ecutwfc = 60
ecutrho = 240
occupations = 'smearing'
smearing = 'gaussian'
degauss = 0.01
/
&ELECTRONS
conv_thr = 1E-10
diagonalization = cg
electron_maxstep = 500
/
ATOMIC_SPECIES
Zr 91.224 Zr_r.upf
Br 79.904 Br_r.upf
ATOMIC_POSITIONS crystal
Zr 0.3333333333333333 0.6666666666666666 0.955234941804
Zr 0.6666666666666666 0.3333333333333333 0.044765058198

```

```

Br 0.0 0.0 0.882962083436
Br 0.0 0.0 0.117037916562

K_POINTS automatic
6 6 1 0 0 0

CELL_PARAMETERS angstrom
3.533354188878 0.0 2e-16
-1.7666770944391197 3.0599744881722346 2e-16
0.0 0.0 26.1902227201

```

```

---                nscf.in ---
&CONTROL
calculation = bands
verbosity = 'high'
restart_mode = 'from_scratch'
outdir = './'
pseudo_dir = '/scratch1/05193/sabyadk/2D_materials_Wann/Materials/Zr2Br2-Of33aa90/pseudo/'
prefix = 'hBN'
/
&SYSTEM
ibrav = 0
nat = 4
ntyp = 2
ecutwfc = 60
ecutrho = 240
occupations = 'smearing'
smearing = 'gaussian'
degauss = 0.01
nbnd = 60
/
&ELECTRONS
conv_thr = 1E-10
diagonalization = cg
electron_maxstep = 500
/
ATOMIC_SPECIES
Zr 91.224 Zr_r.upf
Br 79.904 Br_r.upf
ATOMIC_POSITIONS crystal
Zr 0.3333333333333333 0.6666666666666666 0.955234941804
Zr 0.6666666666666666 0.3333333333333333 0.044765058198
Br 0.0 0.0 0.882962083436
Br 0.0 0.0 0.117037916562

K_POINTS crystal
36
0.0 0.0 0.0 0.027778
0.0 0.1666666666666666 0.0 0.027778
0.0 0.3333333333333333 0.0 0.027778
0.0 0.5 0.0 0.027778
0.0 0.6666666666666666 0.0 0.027778
0.0 0.8333333333333333 0.0 0.027778
0.1666666666666666 0.0 0.0 0.027778
0.1666666666666666 0.1666666666666666 0.0 0.027778
0.1666666666666666 0.3333333333333333 0.0 0.027778
0.1666666666666666 0.5 0.0 0.027778
0.1666666666666666 0.6666666666666666 0.0 0.027778
0.1666666666666666 0.8333333333333333 0.0 0.027778
0.3333333333333333 0.0 0.0 0.027778
0.3333333333333333 0.1666666666666666 0.0 0.027778
0.3333333333333333 0.3333333333333333 0.0 0.027778
0.3333333333333333 0.5 0.0 0.027778
0.3333333333333333 0.6666666666666666 0.0 0.027778
0.3333333333333333 0.8333333333333333 0.0 0.027778
0.5 0.0 0.0 0.027778
0.5 0.1666666666666666 0.0 0.027778
0.5 0.3333333333333333 0.0 0.027778
0.5 0.5 0.0 0.027778
0.5 0.6666666666666666 0.0 0.027778
0.5 0.8333333333333333 0.0 0.027778
0.6666666666666666 0.0 0.0 0.027778
0.6666666666666666 0.1666666666666666 0.0 0.027778
0.6666666666666666 0.3333333333333333 0.0 0.027778
0.6666666666666666 0.5 0.0 0.027778
0.6666666666666666 0.6666666666666666 0.0 0.027778
0.6666666666666666 0.8333333333333333 0.0 0.027778
0.8333333333333333 0.0 0.0 0.027778
0.8333333333333333 0.1666666666666666 0.0 0.027778
0.8333333333333333 0.3333333333333333 0.0 0.027778
0.8333333333333333 0.5 0.0 0.027778
0.8333333333333333 0.6666666666666666 0.0 0.027778
0.8333333333333333 0.8333333333333333 0.0 0.027778

```

```
CELL_PARAMETERS angstrom
3.533354188878 0.0 2e-16
-1.7666770944391197 3.0599744881722346 2e-16
0.0 0.0 26.1902227201
```

```
---                epw1.in ---
&inputepw
prefix = 'hBN'
amass(1) = 91.224
amass(2) = 79.904
outdir = './'
elph = .false.
epbwrite = .false.
epbread = .false.
epwwrite = .true.
epwread = .false.
etf_mem = 1
nbndsub = 14
use_ws = .true.
wannierize = .true.
num_iter = 1000
iprint = 2
dis_win_max = 16.88892008979188
dis_froz_max = 3.7593241273222846
fsthick = 1.2
temps = 1
degaussw = 0.005
dvscf_dir = './save'
nk1 = 6
nk2 = 6
nk3 = 1
nq1 = 1
nq2 = 1
nq3 = 1
dis_win_min = -13.79994939724413
wdata(1) = 'guiding_centres = T'
wdata(2) = 'dis_num_iter = 1500'
wdata(3) = 'bands_num_points = 100 '
wdata(4) = 'bands_plot = .true.'
wdata(5) = 'begin kpoint_path'
wdata(6) = 'G 0.0 0.0 0.0 M 0.5 0.0 0.0'
wdata(7) = 'M 0.5 0.0 0.0 K 0.3333333333 0.3333333333 0.0'
wdata(8) = 'K 0.3333333333 0.3333333333 0.0 X 1.0 1.0 0.0'
wdata(9) = 'X 1.0 1.0 0.0 M1 0.0 0.5 0.0'
wdata(10) = 'M1 0.0 0.5 0.0 G 0.0 0.0 0.0'
wdata(11) = 'end kpoint_path'
bands_skipped = 'exclude_bands = 1-10'
proj(1) = 'Zr: l= 3, mr= 1,3,4,7'
proj(2) = 'Br: l= 3, mr= 1,2,7'
dis_froz_min = -0.6614032585060161
/
```

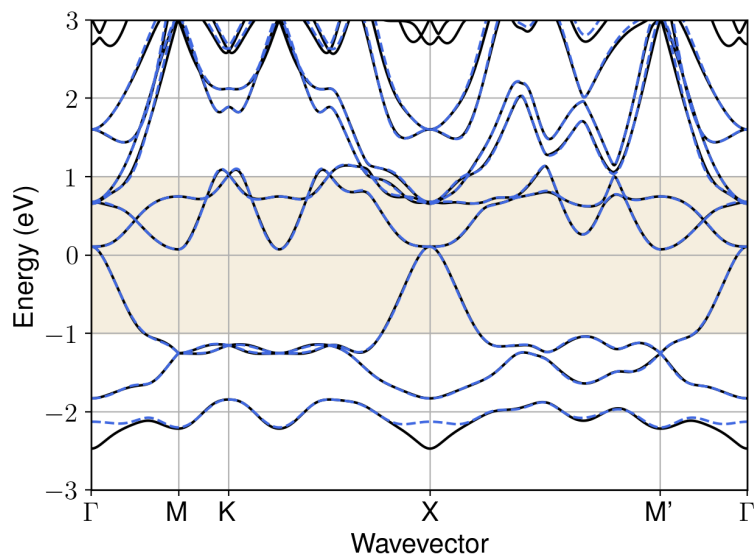


Figure S196: Bandstructure interpolation for monolayer  $\text{Zr}_2\text{Br}_2$ . Wannier-interpolation of the band structure of monolayer  $\text{Zr}_2\text{Br}_2$  over a wide energy range. Blue dashed lines are results from the present method, black solid lines are explicit DFT calculations. The yellow shaded region shows the range over which optimization has been performed. The interpolation error within the yellow region is 7 meV. The k-grid employed for NSCF calculation is  $6 \times 6$ .

## 185 Material: $\text{Zr}_2\text{Cl}_2$

The calculation files are appended below. These files should be executed in the order provided. The location of pseudo potentials should be changed accordingly.

```

---          scf.in ---
&CONTROL
calculation = 'scf'
verbosity = 'high'
restart_mode = 'from_scratch'
outdir = './'
pseudo_dir = '/scratch1/05193/sabyadk/2D_materials_Wann/Materials/Zr2Cl2-37576604/pseudo/'
prefix = 'hBN'
/
&SYSTEM
ibrav = 0
nat = 4
ntyp = 2
ecutwfc = 60
ecutrho = 240
occupations = 'smearing'
smearing = 'gaussian'
degauss = 0.01
/
&ELECTRONS
conv_thr = 1E-10
diagonalization = cg
electron_maxstep = 500
/
ATOMIC_SPECIES
Zr 91.224 Zr_r.upf
Cl 35.453 Cl_r.upf
ATOMIC_POSITIONS crystal
Zr 0.6666666666666666 0.3333333333333333 0.9540881273390001
Zr 0.3333333333333333 0.6666666666666666 0.045911872661

```

```

Cl 0.0 0.0 0.0 0.113063867578
Cl 0.0 0.0 0.0 0.886936132422

K_POINTS automatic
6 6 1 0 0 0

CELL_PARAMETERS angstrom
3.44469403765 0.0 2e-16
-1.7223470188751357 2.9831925448903958 2e-16
0.0 0.0 25.9102609354

```

```

---                nscf.in ---
&CONTROL
calculation = bands
verbosity = 'high'
restart_mode = 'from_scratch'
outdir = './'
pseudo_dir = '/scratch1/05193/sabyadk/2D_materials_Wann/Materials/Zr2Cl2-37576604/pseudo/'
prefix = 'hBN'
/
&SYSTEM
ibrav = 0
nat = 4
ntyp = 2
ecutwfc = 60
ecutrho = 240
occupations = 'smearing'
smearing = 'gaussian'
degauss = 0.01
nbnd = 60
/
&ELECTRONS
conv_thr = 1E-10
diagonalization = cg
electron_maxstep = 500
/
ATOMIC_SPECIES
Zr 91.224 Zr_r.upf
Cl 35.453 Cl_r.upf
ATOMIC_POSITIONS crystal
Zr 0.6666666666666666 0.3333333333333333 0.9540881273390001
Zr 0.3333333333333333 0.6666666666666666 0.045911872661
Cl 0.0 0.0 0.113063867578
Cl 0.0 0.0 0.886936132422

K_POINTS crystal
36
0.0 0.0 0.0 0.027778
0.0 0.1666666666666666 0.0 0.027778
0.0 0.3333333333333333 0.0 0.027778
0.0 0.5 0.0 0.027778
0.0 0.6666666666666666 0.0 0.027778
0.0 0.8333333333333333 0.0 0.027778
0.1666666666666666 0.0 0.0 0.027778
0.1666666666666666 0.1666666666666666 0.0 0.027778
0.1666666666666666 0.3333333333333333 0.0 0.027778
0.1666666666666666 0.5 0.0 0.027778
0.1666666666666666 0.6666666666666666 0.0 0.027778
0.1666666666666666 0.8333333333333333 0.0 0.027778
0.3333333333333333 0.0 0.0 0.027778
0.3333333333333333 0.1666666666666666 0.0 0.027778
0.3333333333333333 0.3333333333333333 0.0 0.027778
0.3333333333333333 0.5 0.0 0.027778
0.3333333333333333 0.6666666666666666 0.0 0.027778
0.3333333333333333 0.8333333333333333 0.0 0.027778
0.5 0.0 0.0 0.027778
0.5 0.1666666666666666 0.0 0.027778
0.5 0.3333333333333333 0.0 0.027778
0.5 0.5 0.0 0.027778
0.5 0.6666666666666666 0.0 0.027778
0.5 0.8333333333333333 0.0 0.027778
0.6666666666666666 0.0 0.0 0.027778
0.6666666666666666 0.1666666666666666 0.0 0.027778
0.6666666666666666 0.3333333333333333 0.0 0.027778
0.6666666666666666 0.5 0.0 0.027778
0.6666666666666666 0.6666666666666666 0.0 0.027778
0.6666666666666666 0.8333333333333333 0.0 0.027778
0.8333333333333333 0.0 0.0 0.027778
0.8333333333333333 0.1666666666666666 0.0 0.027778
0.8333333333333333 0.3333333333333333 0.0 0.027778
0.8333333333333333 0.5 0.0 0.027778
0.8333333333333333 0.6666666666666666 0.0 0.027778
0.8333333333333333 0.8333333333333333 0.0 0.027778

```



```

CELL_PARAMETERS angstrom
3.44469403765 0.0 2e-16
-1.7223470188751357 2.9831925448903958 2e-16
0.0 0.0 25.9102609354

```

```

---                epw1.in ---
&inputepw
prefix = 'hBN'
amass(1) = 91.224
amass(2) = 35.453
outdir = './'
elph = .false.
epbwrite = .false.
epbread = .false.
epwwrite = .true.
epwread = .false.
etf_mem = 1
nbndsub = 18
use_ws = .true.
wannierize = .true.
num_iter = 1000
iprint = 2
dis_win_max = 19.269636999725115
dis_froz_max = 2.9809029715745528
fsthick = 1.2
temps = 1
degaussw = 0.005
dvscf_dir = './save'
nk1 = 6
nk2 = 6
nk3 = 1
nq1 = 1
nq2 = 1
nq3 = 1
dis_win_min = -15.424194444259555
wdata(1) = 'guiding_centres = T'
wdata(2) = 'dis_num_iter = 1500'
wdata(3) = 'bands_num_points = 100 '
wdata(4) = 'bands_plot = .true.'
wdata(5) = 'begin kpoint_path'
wdata(6) = 'G 0.0 0.0 0.0 M 0.5 0.0 0.0'
wdata(7) = 'M 0.5 0.0 0.0 K 0.3333333333 0.3333333333 0.0'
wdata(8) = 'K 0.3333333333 0.3333333333 0.0 X 1.0 1.0 0.0'
wdata(9) = 'X 1.0 1.0 0.0 M1 0.0 0.5 0.0'
wdata(10) = 'M1 0.0 0.5 0.0 G 0.0 0.0 0.0'
wdata(11) = 'end kpoint_path'
bands_skipped = 'exclude_bands = 1-10'
proj(1) = 'Zr: l= 3, mr= 1,3,4,5,6,7'
proj(2) = 'Cl: l= -4, mr= 3,4,5'
dis_froz_min = -1.9274554647314828
/

```

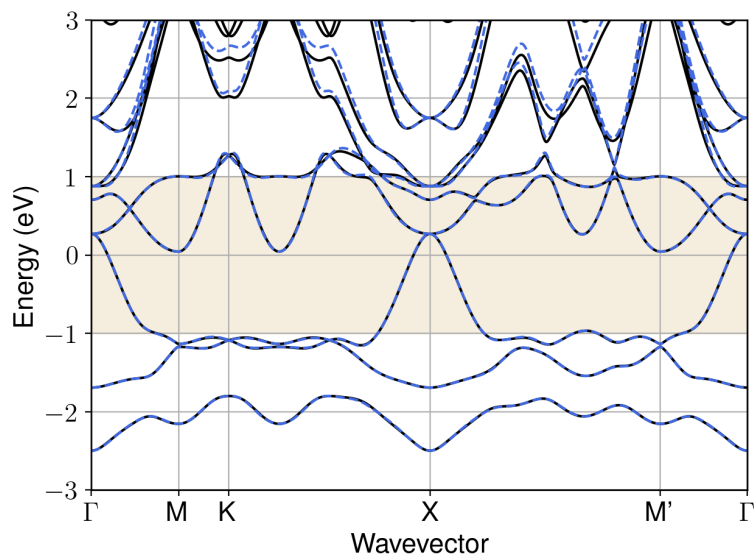


Figure S197: Bandstructure interpolation for monolayer  $\text{Zr}_2\text{Cl}_2$ . Wannier-interpolation of the band structure of monolayer  $\text{Zr}_2\text{Cl}_2$  over a wide energy range. Blue dashed lines are results from the present method, black solid lines are explicit DFT calculations. The yellow shaded region shows the range over which optimization has been performed. The interpolation error within the yellow region is 6 meV. The k-grid employed for NSCF calculation is  $6 \times 6$ .

## 186 Material: $\text{Zr}_2\text{I}_4$

The calculation files are appended below. These files should be executed in the order provided. The location of pseudo potentials should be changed accordingly.

```

---          scf.in ---
&CONTROL
calculation = 'scf'
verbosity = 'high'
restart_mode = 'from_scratch'
outdir = './'
pseudo_dir = '/scratch1/05193/sabyadk/2D_materials_Wann/Materials/Zr2I4-0b0db0db/pseudo/'
prefix = 'hBN'
/
&SYSTEM
ibrav = 0
nat = 6
ntyp = 2
ecutwfc = 60
ecutrho = 240
assume_isolated = 2D
/
&ELECTRONS
conv_thr = 1E-12
diagonalization = 'david'
electron_maxstep = 200
/
ATOMIC_SPECIES
Zr 91.224 Zr_r.upf
I 126.904 I_r.upf
ATOMIC_POSITIONS crystal
Zr 0.25 0.579492617904 0.002183268885
Zr 0.75 0.203589187624 0.997816806233
I 0.25 0.970407277245 0.067081241598
I 0.75 0.812670553264 0.932918693861

```

```

I 0.25 0.311223798351 0.909971726308
I 0.75 0.471855664703 0.090028263116

K_POINTS automatic
6 6 1 0 0 0

CELL_PARAMETERS angstrom
3.7663514256 0.0 2e-16
-4e-16 6.9054751532 4e-16
0.0 0.0 24.3728695009

```

```

---                nscf.in ---
&CONTROL
calculation = bands
verbosity = 'high'
restart_mode = 'from_scratch'
outdir = './'
pseudo_dir = '/scratch1/05193/sabyadk/2D_materials_Wann/Materials/Zr2I4-0b0db0db/pseudo/'
prefix = 'hBN'
/
&SYSTEM
ibrav = 0
nat = 6
ntyp = 2
ecutwfc = 60
ecutrho = 240
assume_isolated = 2D
nbnd = 60
/
&ELECTRONS
conv_thr = 1E-10
diagonalization = 'david'
electron_maxstep = 200
/
ATOMIC_SPECIES
Zr 91.224 Zr_r.upf
I 126.904 I_r.upf
ATOMIC_POSITIONS crystal
Zr 0.25 0.579492617904 0.002183268885
Zr 0.75 0.203589187624 0.997816806233
I 0.25 0.970407277245 0.067081241598
I 0.75 0.812670553264 0.932918693861
I 0.25 0.311223798351 0.909971726308
I 0.75 0.471855664703 0.090028263116

K_POINTS crystal
36
0.0 0.0 0.0 0.027778
0.0 0.16666666666666666 0.0 0.027778
0.0 0.3333333333333333 0.0 0.027778
0.0 0.5 0.0 0.027778
0.0 0.6666666666666666 0.0 0.027778
0.0 0.8333333333333333 0.0 0.027778
0.16666666666666666 0.0 0.0 0.027778
0.16666666666666666 0.16666666666666666 0.0 0.027778
0.16666666666666666 0.3333333333333333 0.0 0.027778
0.16666666666666666 0.5 0.0 0.027778
0.16666666666666666 0.6666666666666666 0.0 0.027778
0.16666666666666666 0.8333333333333333 0.0 0.027778
0.3333333333333333 0.0 0.0 0.027778
0.3333333333333333 0.16666666666666666 0.0 0.027778
0.3333333333333333 0.3333333333333333 0.0 0.027778
0.3333333333333333 0.5 0.0 0.027778
0.3333333333333333 0.6666666666666666 0.0 0.027778
0.3333333333333333 0.8333333333333333 0.0 0.027778
0.5 0.0 0.0 0.027778
0.5 0.16666666666666666 0.0 0.027778
0.5 0.3333333333333333 0.0 0.027778
0.5 0.5 0.0 0.027778
0.5 0.6666666666666666 0.0 0.027778
0.5 0.8333333333333333 0.0 0.027778
0.6666666666666666 0.0 0.0 0.027778
0.6666666666666666 0.16666666666666666 0.0 0.027778
0.6666666666666666 0.3333333333333333 0.0 0.027778
0.6666666666666666 0.5 0.0 0.027778
0.6666666666666666 0.6666666666666666 0.0 0.027778
0.6666666666666666 0.8333333333333333 0.0 0.027778
0.8333333333333333 0.0 0.0 0.027778
0.8333333333333333 0.16666666666666666 0.0 0.027778
0.8333333333333333 0.3333333333333333 0.0 0.027778
0.8333333333333333 0.5 0.0 0.027778
0.8333333333333333 0.6666666666666666 0.0 0.027778
0.8333333333333333 0.8333333333333333 0.0 0.027778

```

```

CELL_PARAMETERS angstrom
3.7663514256 0.0 2e-16
-4e-16 6.9054751532 4e-16
0.0 0.0 24.3728695009

```

```

---                epw1.in ---
&inputepw
prefix = 'hBN'
amass(1) = 91.224
amass(2) = 126.904
outdir = './'
elph = .false.
epbwrite = .false.
epbread = .false.
epwwrite = .true.
epwread = .false.
etf_mem = 1
nbndsub = 26
use_ws = .true.
wannierize = .true.
num_iter = 1000
iprint = 2
dis_win_max = 10.441724645423651
dis_froz_max = 0.8457647306186769
fsthick = 1.2
temps = 1
degaussw = 0.005
dvscf_dir = './save'
nk1 = 6
nk2 = 6
nk3 = 1
nq1 = 1
nq2 = 1
nq3 = 1
system_2d = 'dipole_sp'
lpolar = .true.
dis_win_min = -15.58626781824655
wdata(1) = 'guiding_centres = T'
wdata(2) = 'dis_num_iter = 1500'
wdata(3) = 'bands_num_points = 100 '
wdata(4) = 'bands_plot = .true.'
wdata(5) = 'begin kpoint_path'
wdata(6) = 'G 0.0 0.0 0.0 M 0.5 0.0 0.0'
wdata(7) = 'M 0.5 0.0 0.0 K 0.3333333333 0.3333333333 0.0'
wdata(8) = 'K 0.3333333333 0.3333333333 0.0 X 1.0 1.0 0.0'
wdata(9) = 'X 1.0 1.0 0.0 M1 0.0 0.5 0.0'
wdata(10) = 'M1 0.0 0.5 0.0 G 0.0 0.0 0.0'
wdata(11) = 'end kpoint_path'
bands_skipped = 'exclude_bands = 1-12'
proj(1) = 'Zr: l= 3, mr= 1,3,5,6,7'
proj(2) = 'I: l= -5, mr= 1,2,3,4'
dis_froz_min = -6.730782693426356
/

```

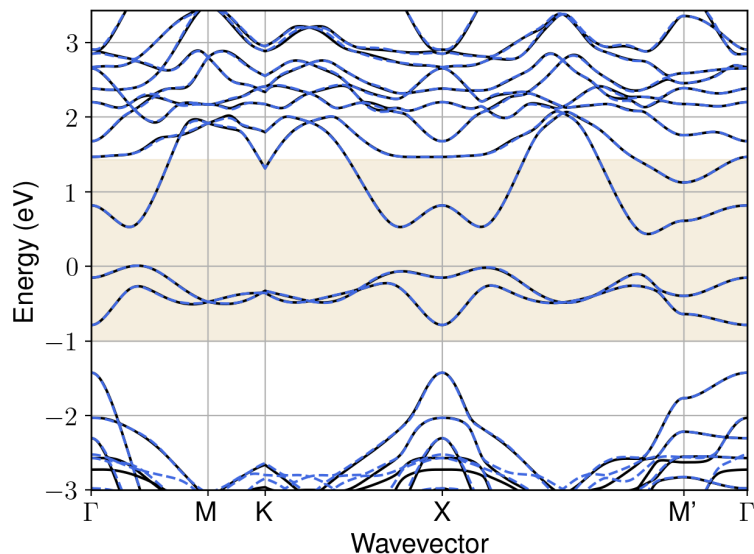


Figure S198: Bandstructure interpolation for monolayer  $\text{Zr}_2\text{I}_4$ . Wannier-interpolation of the band structure of monolayer  $\text{Zr}_2\text{I}_4$  over a wide energy range. Blue dashed lines are results from the present method, black solid lines are explicit DFT calculations. The yellow shaded region shows the range over which optimization has been performed. The interpolation error within the yellow region is 3 meV. The k-grid employed for NSCF calculation is  $6 \times 6$ .

## 187 Material: $\text{Zr}_2\text{N}_2\text{Br}_2$

The calculation files are appended below. These files should be executed in the order provided. The location of pseudo potentials should be changed accordingly.

```

---          scf.in ---
&CONTROL
calculation = 'scf'
verbosity = 'high'
restart_mode = 'from_scratch'
outdir = './'
pseudo_dir = '/scratch1/05193/sabyadk/2D_materials_Wann/Materials/Zr2N2Br2-08cba12e/pseudo/'
prefix = 'hBN'
/
&SYSTEM
ibrav = 0
nat = 6
ntyp = 3
ecutwfc = 60
ecutrho = 240
assume_isolated = 2D
/
&ELECTRONS
conv_thr = 1E-12
diagonalization = 'david'
electron_maxstep = 200
/
ATOMIC_SPECIES
Zr 91.224 Zr_r.upf
Br 79.904 Br_r.upf
N 14.007 N_r.upf
ATOMIC_POSITIONS crystal
Zr 0.4999999999986 0.0 0.96607435297
Zr 0.0 0.4999999999988 0.033925646824
Br 0.0 0.0 0.884951176571

```

```
Br 0.499999999986 0.499999999988 0.115048803657
N 0.499999999986 0.499999999988 0.988986590622
N 0.0 0.0 0.011013429356
```

```
K_POINTS automatic
6 6 1 0 0 0
```

```
CELL_PARAMETERS angstrom
3.6152489843 0.0 2e-16
-3e-16 4.1416088481 3e-16
0.0 0.0 25.9222635485
```

```
--- nscf.in ---
&CONTROL
calculation = bands
verbosity = 'high'
restart_mode = 'from_scratch'
outdir = './'
pseudo_dir = '/scratch1/05193/sabyadk/2D_materials_Wann/Materials/Zr2N2Br2-08cba12e/pseudo/'
prefix = 'hBN'
/
&SYSTEM
ibrav = 0
nat = 6
ntyp = 3
ecutwfc = 60
ecutrho = 240
assume_isolated = 2D
nbnd = 60
/
&ELECTRONS
conv_thr = 1E-10
diagonalization = 'david'
electron_maxstep = 200
/
ATOMIC_SPECIES
Zr 91.224 Zr_r.upf
Br 79.904 Br_r.upf
N 14.007 N_r.upf
ATOMIC_POSITIONS crystal
Zr 0.499999999986 0.0 0.96607435297
Zr 0.0 0.499999999988 0.033925646824
Br 0.0 0.0 0.884951176571
Br 0.499999999986 0.499999999988 0.115048803657
N 0.499999999986 0.499999999988 0.988986590622
N 0.0 0.0 0.011013429356

K_POINTS crystal
36
0.0 0.0 0.0 0.027778
0.0 0.16666666666666666 0.0 0.027778
0.0 0.33333333333333333 0.0 0.027778
0.0 0.5 0.0 0.027778
0.0 0.66666666666666666 0.0 0.027778
0.0 0.83333333333333333 0.0 0.027778
0.16666666666666666 0.0 0.0 0.027778
0.16666666666666666 0.16666666666666666 0.0 0.027778
0.16666666666666666 0.33333333333333333 0.0 0.027778
0.16666666666666666 0.5 0.0 0.027778
0.16666666666666666 0.66666666666666666 0.0 0.027778
0.16666666666666666 0.83333333333333333 0.0 0.027778
0.33333333333333333 0.0 0.0 0.027778
0.33333333333333333 0.16666666666666666 0.0 0.027778
0.33333333333333333 0.33333333333333333 0.0 0.027778
0.33333333333333333 0.5 0.0 0.027778
0.33333333333333333 0.66666666666666666 0.0 0.027778
0.33333333333333333 0.83333333333333333 0.0 0.027778
0.5 0.0 0.0 0.027778
0.5 0.16666666666666666 0.0 0.027778
0.5 0.33333333333333333 0.0 0.027778
0.5 0.5 0.0 0.027778
0.5 0.66666666666666666 0.0 0.027778
0.5 0.83333333333333333 0.0 0.027778
0.66666666666666666 0.0 0.0 0.027778
0.66666666666666666 0.16666666666666666 0.0 0.027778
0.66666666666666666 0.33333333333333333 0.0 0.027778
0.66666666666666666 0.5 0.0 0.027778
0.66666666666666666 0.66666666666666666 0.0 0.027778
0.66666666666666666 0.83333333333333333 0.0 0.027778
0.83333333333333333 0.0 0.0 0.027778
0.83333333333333333 0.16666666666666666 0.0 0.027778
0.83333333333333333 0.33333333333333333 0.0 0.027778
0.83333333333333333 0.5 0.0 0.027778
```

```
0.8333333333333333 0.6666666666666666 0.0 0.027778
0.8333333333333333 0.8333333333333333 0.0 0.027778
```

```
CELL_PARAMETERS angstrom
3.6152489843 0.0 2e-16
-3e-16 4.1416088481 3e-16
0.0 0.0 25.9222635485
```

```
---                epw1.in ---
&inputepw
prefix = 'hBN'
amass(1) = 91.224
amass(2) = 79.904
amass(3) = 14.007
outdir = './'
elph = .false.
epbwrite = .false.
epbread = .false.
epwwrite = .true.
epwread = .false.
etf_mem = 1
nbndsub = 24
use_ws = .true.
wannierize = .true.
num_iter = 1000
iprint = 2
dis_win_max = 15.848868733524668
dis_froz_max = -3.0555791300955164
fsthick = 1.2
temps = 1
degaussw = 0.005
dvscf_dir = './save'
nk1 = 6
nk2 = 6
nk3 = 1
nq1 = 1
nq2 = 1
nq3 = 1
system_2d = 'dipole_sp'
lpolar = .true.
dis_win_min = -26.24425124404366
wdata(1) = 'guiding_centres = T'
wdata(2) = 'dis_num_iter = 1500'
wdata(3) = 'bands_num_points = 100 '
wdata(4) = 'bands_plot = .true.'
wdata(5) = 'begin kpoint_path'
wdata(6) = 'G 0.0 0.0 0.0 M 0.5 0.0 0.0'
wdata(7) = 'M 0.5 0.0 0.0 K 0.3333333333 0.3333333333 0.0'
wdata(8) = 'K 0.3333333333 0.3333333333 0.0 X 1.0 1.0 0.0'
wdata(9) = 'X 1.0 1.0 0.0 M1 0.0 0.5 0.0'
wdata(10) = 'M1 0.0 0.5 0.0 G 0.0 0.0 0.0'
wdata(11) = 'end kpoint_path'
bands_skipped = 'exclude_bands = 1-12'
proj(1) = 'Zr: l= 2, mr= 1,2,4,5'
proj(2) = 'Br: l= 3, mr= 3,6'
proj(3) = 'N: l= 3, mr= 1,2,3,4,6,7'
dis_froz_min = -14.741507484739277
/
```

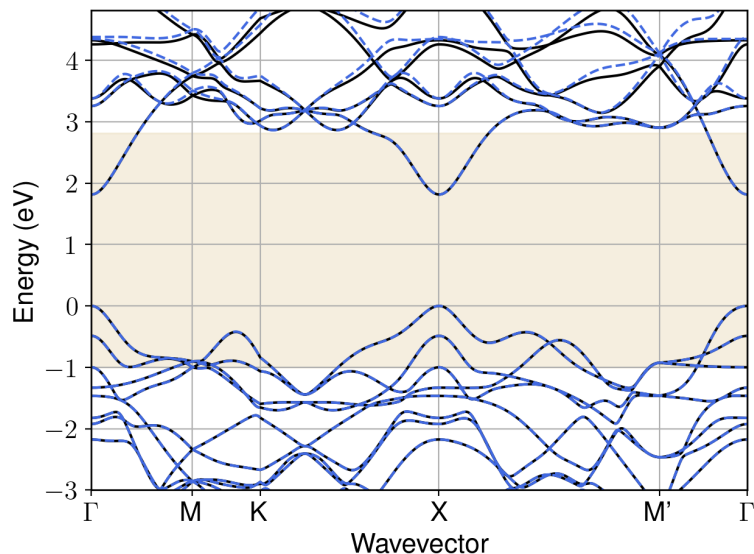


Figure S199: Bandstructure interpolation for monolayer  $\text{Zr}_2\text{N}_2\text{Br}_2$ . Wannier-interpolation of the band structure of monolayer  $\text{Zr}_2\text{N}_2\text{Br}_2$  over a wide energy range. Blue dashed lines are results from the present method, black solid lines are explicit DFT calculations. The yellow shaded region shows the range over which optimization has been performed. The interpolation error within the yellow region is 2 meV. The k-grid employed for NSCF calculation is  $6 \times 6$ .

## 188 Material: $\text{Zr}_2\text{N}_2\text{Br}_2$

The calculation files are appended below. These files should be executed in the order provided. The location of pseudo potentials should be changed accordingly.

```

---          scf.in ---
&CONTROL
calculation = 'scf'
verbosity = 'high'
restart_mode = 'from_scratch'
outdir = './'
pseudo_dir = '/scratch1/05193/sabyadk/2D_materials_Wann/Materials/Zr2N2Br2-4d2b5c69/pseudo/'
prefix = 'hBN'
/
&SYSTEM
ibrav = 0
nat = 6
ntyp = 3
ecutwfc = 60
ecutrho = 240
assume_isolated = 2D
/
&ELECTRONS
conv_thr = 1E-12
diagonalization = 'david'
electron_maxstep = 200
/
ATOMIC_SPECIES
Zr 91.224 Zr_r.upf
Br 79.904 Br_r.upf
N 14.007 N_r.upf
ATOMIC_POSITIONS crystal
Zr 0.3333333333333333 0.6666666666666666 0.048737715132
Zr 0.6666666666666666 0.3333333333333333 0.951262284866
Br 0.999999999984 0.999999999968 0.876489125847

```



```

Br 0.999999999984 0.999999999968 0.123510874154
N 0.3333333333333333 0.6666666666666666 0.967414708527
N 0.6666666666666666 0.3333333333333333 0.032585291474

K_POINTS automatic
6 6 1 0 0 0

CELL_PARAMETERS angstrom
3.6598745258 0.0 2e-16
-1.8299372629002646 3.1695443140003996 2e-16
0.0 0.0 26.6478360291

```

```

---                nscf.in ---
&CONTROL
calculation = bands
verbosity = 'high'
restart_mode = 'from_scratch'
outdir = './'
pseudo_dir = '/scratch1/05193/sabyadk/2D_materials_Wann/Materials/Zr2N2Br2-4d2b5c69/pseudo/'
prefix = 'hBN'
/
&SYSTEM
ibrav = 0
nat = 6
ntyp = 3
ecutwfc = 60
ecutrho = 240
assume_isolated = 2D
nbnd = 60
/
&ELECTRONS
conv_thr = 1E-10
diagonalization = 'david'
electron_maxstep = 200
/
ATOMIC_SPECIES
Zr 91.224 Zr_r.upf
Br 79.904 Br_r.upf
N 14.007 N_r.upf
ATOMIC_POSITIONS crystal
Zr 0.3333333333333333 0.6666666666666666 0.048737715132
Zr 0.6666666666666666 0.3333333333333333 0.951262284866
Br 0.999999999984 0.999999999968 0.876489125847
Br 0.999999999984 0.999999999968 0.123510874154
N 0.3333333333333333 0.6666666666666666 0.967414708527
N 0.6666666666666666 0.3333333333333333 0.032585291474

K_POINTS crystal
36
0.0 0.0 0.0 0.027778
0.0 0.1666666666666666 0.0 0.027778
0.0 0.3333333333333333 0.0 0.027778
0.0 0.5 0.0 0.027778
0.0 0.6666666666666666 0.0 0.027778
0.0 0.8333333333333333 0.0 0.027778
0.1666666666666666 0.0 0.0 0.027778
0.1666666666666666 0.1666666666666666 0.0 0.027778
0.1666666666666666 0.3333333333333333 0.0 0.027778
0.1666666666666666 0.5 0.0 0.027778
0.1666666666666666 0.6666666666666666 0.0 0.027778
0.1666666666666666 0.8333333333333333 0.0 0.027778
0.3333333333333333 0.0 0.0 0.027778
0.3333333333333333 0.1666666666666666 0.0 0.027778
0.3333333333333333 0.3333333333333333 0.0 0.027778
0.3333333333333333 0.5 0.0 0.027778
0.3333333333333333 0.6666666666666666 0.0 0.027778
0.3333333333333333 0.8333333333333333 0.0 0.027778
0.5 0.0 0.0 0.027778
0.5 0.1666666666666666 0.0 0.027778
0.5 0.3333333333333333 0.0 0.027778
0.5 0.5 0.0 0.027778
0.5 0.6666666666666666 0.0 0.027778
0.5 0.8333333333333333 0.0 0.027778
0.6666666666666666 0.0 0.0 0.027778
0.6666666666666666 0.1666666666666666 0.0 0.027778
0.6666666666666666 0.3333333333333333 0.0 0.027778
0.6666666666666666 0.5 0.0 0.027778
0.6666666666666666 0.6666666666666666 0.0 0.027778
0.6666666666666666 0.8333333333333333 0.0 0.027778
0.8333333333333333 0.0 0.0 0.027778
0.8333333333333333 0.1666666666666666 0.0 0.027778
0.8333333333333333 0.3333333333333333 0.0 0.027778
0.8333333333333333 0.5 0.0 0.027778

```

```

0.8333333333333333 0.6666666666666666 0.0 0.027778
0.8333333333333333 0.8333333333333333 0.0 0.027778

CELL_PARAMETERS angstrom
3.6598745258 0.0 2e-16
-1.8299372629002646 3.1695443140003996 2e-16
0.0 0.0 26.6478360291

```

```

---                epw1.in ---
&inputepw
prefix = 'hBN'
amass(1) = 91.224
amass(2) = 79.904
amass(3) = 14.007
outdir = './'
elph = .false.
epbwrite = .false.
epbread = .false.
epwwrite = .true.
epwread = .false.
etf_mem = 1
nbndsub = 26
use_ws = .true.
wannierize = .true.
num_iter = 1000
iprint = 2
dis_win_max = 7.129693049715339
dis_froz_max = 2.7660983097878846
fsthick = 1.2
temps = 1
degaussw = 0.005
dvscf_dir = './save'
nk1 = 6
nk2 = 6
nk3 = 1
nq1 = 1
nq2 = 1
nq3 = 1
system_2d = 'dipole_sp'
lpolar = .true.
dis_win_min = -21.11642736619924
wdata(1) = 'guiding_centres = T'
wdata(2) = 'dis_num_iter = 1500'
wdata(3) = 'bands_num_points = 100 '
wdata(4) = 'bands_plot = .true.'
wdata(5) = 'begin kpoint_path'
wdata(6) = 'G 0.0 0.0 0.0 M 0.5 0.0 0.0'
wdata(7) = 'M 0.5 0.0 0.0 K 0.3333333333 0.3333333333 0.0'
wdata(8) = 'K 0.3333333333 0.3333333333 0.0 X 1.0 1.0 0.0'
wdata(9) = 'X 1.0 1.0 0.0 M1 0.0 0.5 0.0'
wdata(10) = 'M1 0.0 0.5 0.0 G 0.0 0.0 0.0'
wdata(11) = 'end kpoint_path'
bands_skipped = 'exclude_bands = 1-12'
proj(1) = 'Zr: l= -4, mr= 1,2,3,4,5'
proj(2) = 'Br: l= 3, mr= 1,3,5,6,7'
proj(3) = 'N: l= -4, mr= 1,3,4'
dis_froz_min = -13.177387757136218
/

```

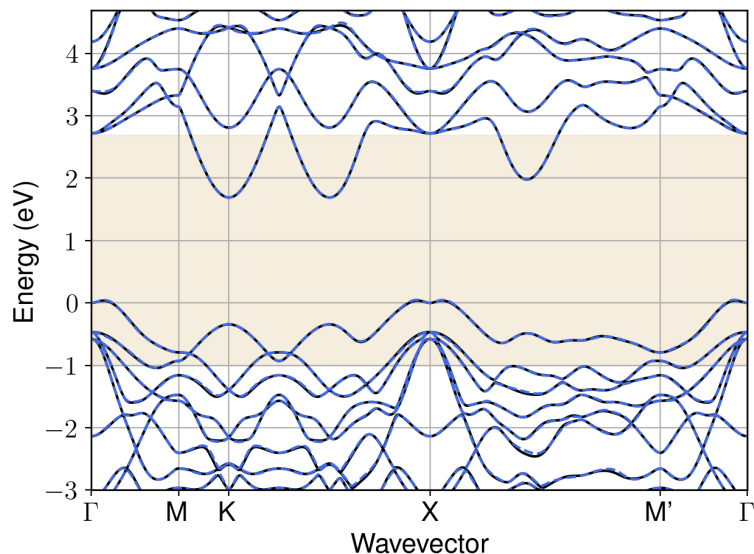


Figure S200: Bandstructure interpolation for monolayer  $\text{Zr}_2\text{N}_2\text{Br}_2$ . Wannier-interpolation of the band structure of monolayer  $\text{Zr}_2\text{N}_2\text{Br}_2$  over a wide energy range. Blue dashed lines are results from the present method, black solid lines are explicit DFT calculations. The yellow shaded region shows the range over which optimization has been performed. The interpolation error within the yellow region is 6 meV. The k-grid employed for NSCF calculation is  $6 \times 6$ .

## 189 Material: $\text{Zr}_2\text{N}_2\text{Cl}_2$

The calculation files are appended below. These files should be executed in the order provided. The location of pseudo potentials should be changed accordingly.

```

---          scf.in ---
&CONTROL
calculation = 'scf'
verbosity = 'high'
restart_mode = 'from_scratch'
outdir = './'
pseudo_dir = '/scratch1/05193/sabyadk/2D_materials_Wann/Materials/Zr2N2Cl2-b582a3bb/pseudo/'
prefix = 'hBN'
/
&SYSTEM
ibrav = 0
nat = 6
ntyp = 3
ecutwfc = 60
ecutrho = 240
assume_isolated = 2D
/
&ELECTRONS
conv_thr = 1E-12
diagonalization = 'david'
electron_maxstep = 200
/
ATOMIC_SPECIES
Zr 91.224 Zr_r.upf
N 14.007 N_r.upf
Cl 35.453 Cl_r.upf
ATOMIC_POSITIONS crystal
Zr 0.3333333333333333 0.6666666666666666 0.049829884803
Zr 0.6666666666666666 0.3333333333333333 0.9501701151949999
N 0.3333333333333333 0.6666666666666666 0.967200011107

```

```

N 0.6666666666666666 0.3333333333333333 0.032799988898
Cl 0.0 0.0 0.88117486627
Cl 0.0 0.0 0.118825133727

K_POINTS automatic
6 6 1 0 0 0

CELL_PARAMETERS angstrom
3.6215464513 0.0 2e-16
-1.8107732255998215 3.1363512277997394 2e-16
0.0 0.0 26.3165423852

```

```

---                nscf.in ---
&CONTROL
calculation = bands
verbosity = 'high'
restart_mode = 'from_scratch'
outdir = './'
pseudo_dir = '/scratch1/05193/sabyadk/2D_materials_Wann/Materials/Zr2N2C12-b582a3bb/pseudo/'
prefix = 'hBN'
/
&SYSTEM
ibrav = 0
nat = 6
ntyp = 3
ecutwfc = 60
ecutrho = 240
assume_isolated = 2D
nbnd = 60
/
&ELECTRONS
conv_thr = 1E-10
diagonalization = 'david'
electron_maxstep = 200
/
ATOMIC_SPECIES
Zr 91.224 Zr_r.upf
N 14.007 N_r.upf
Cl 35.453 Cl_r.upf
ATOMIC_POSITIONS crystal
Zr 0.3333333333333333 0.6666666666666666 0.049829884803
Zr 0.6666666666666666 0.3333333333333333 0.9501701151949999
N 0.3333333333333333 0.6666666666666666 0.967200011107
N 0.6666666666666666 0.3333333333333333 0.032799988898
Cl 0.0 0.0 0.88117486627
Cl 0.0 0.0 0.118825133727

K_POINTS crystal
36
0.0 0.0 0.0 0.027778
0.0 0.1666666666666666 0.0 0.027778
0.0 0.3333333333333333 0.0 0.027778
0.0 0.5 0.0 0.027778
0.0 0.6666666666666666 0.0 0.027778
0.0 0.8333333333333333 0.0 0.027778
0.1666666666666666 0.0 0.0 0.027778
0.1666666666666666 0.1666666666666666 0.0 0.027778
0.1666666666666666 0.3333333333333333 0.0 0.027778
0.1666666666666666 0.5 0.0 0.027778
0.1666666666666666 0.6666666666666666 0.0 0.027778
0.1666666666666666 0.8333333333333333 0.0 0.027778
0.3333333333333333 0.0 0.0 0.027778
0.3333333333333333 0.1666666666666666 0.0 0.027778
0.3333333333333333 0.3333333333333333 0.0 0.027778
0.3333333333333333 0.5 0.0 0.027778
0.3333333333333333 0.6666666666666666 0.0 0.027778
0.3333333333333333 0.8333333333333333 0.0 0.027778
0.5 0.0 0.0 0.027778
0.5 0.1666666666666666 0.0 0.027778
0.5 0.3333333333333333 0.0 0.027778
0.5 0.5 0.0 0.027778
0.5 0.6666666666666666 0.0 0.027778
0.5 0.8333333333333333 0.0 0.027778
0.6666666666666666 0.0 0.0 0.027778
0.6666666666666666 0.1666666666666666 0.0 0.027778
0.6666666666666666 0.3333333333333333 0.0 0.027778
0.6666666666666666 0.5 0.0 0.027778
0.6666666666666666 0.6666666666666666 0.0 0.027778
0.6666666666666666 0.8333333333333333 0.0 0.027778
0.8333333333333333 0.0 0.0 0.027778
0.8333333333333333 0.1666666666666666 0.0 0.027778
0.8333333333333333 0.3333333333333333 0.0 0.027778
0.8333333333333333 0.5 0.0 0.027778

```

```

0.8333333333333333 0.6666666666666666 0.0 0.027778
0.8333333333333333 0.8333333333333333 0.0 0.027778

CELL_PARAMETERS angstrom
3.6215464513 0.0 2e-16
-1.8107732255998215 3.1363512277997394 2e-16
0.0 0.0 26.3165423852

```

```

---                epw1.in ---
&inputepw
prefix = 'hBN'
amass(1) = 91.224
amass(2) = 14.007
amass(3) = 35.453
outdir = './'
elph = .false.
epbwrite = .false.
epbread = .false.
epwwrite = .true.
epwread = .false.
etf_mem = 1
nbndsub = 26
use_ws = .true.
wannierize = .true.
num_iter = 1000
iprint = 2
dis_win_max = 9.560210859330732
dis_froz_max = 0.14877876180961103
fsthick = 1.2
temps = 1
degaussw = 0.005
dvscf_dir = './save'
nk1 = 6
nk2 = 6
nk3 = 1
nq1 = 1
nq2 = 1
nq3 = 1
system_2d = 'dipole_sp'
lpolar = .true.
dis_win_min = -20.852936266827466
wdata(1) = 'guiding_centres = T'
wdata(2) = 'dis_num_iter = 1500'
wdata(3) = 'bands_num_points = 100 '
wdata(4) = 'bands_plot = .true.'
wdata(5) = 'begin kpoint_path'
wdata(6) = 'G 0.0 0.0 0.0 M 0.5 0.0 0.0'
wdata(7) = 'M 0.5 0.0 0.0 K 0.3333333333 0.3333333333 0.0'
wdata(8) = 'K 0.3333333333 0.3333333333 0.0 X 1.0 1.0 0.0'
wdata(9) = 'X 1.0 1.0 0.0 M1 0.0 0.5 0.0'
wdata(10) = 'M1 0.0 0.5 0.0 G 0.0 0.0 0.0'
wdata(11) = 'end kpoint_path'
bands_skipped = 'exclude_bands = 1-12'
proj(1) = 'Zr: l= 2, mr= 1,4,5'
proj(2) = 'N: l= -5, mr= 2,3,4,5,6'
proj(3) = 'Cl: l= 3, mr= 1,2,4,5,6'
dis_froz_min = -16.41217701851685
/

```

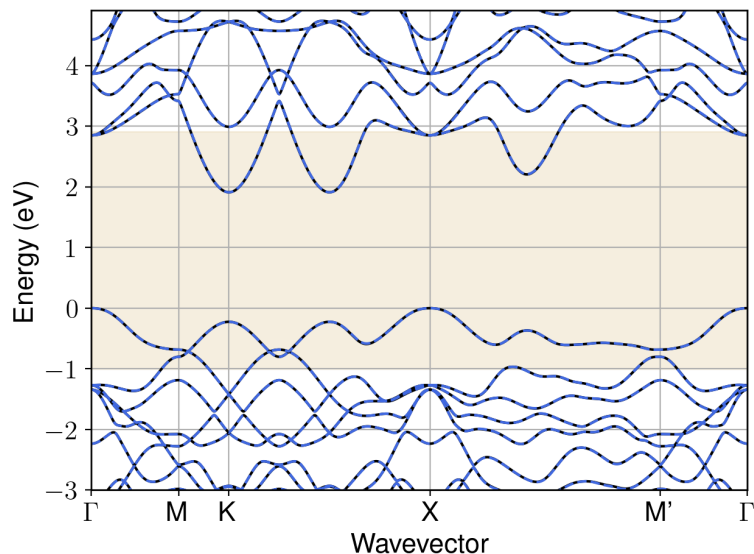


Figure S201: Bandstructure interpolation for monolayer  $\text{Zr}_2\text{N}_2\text{Cl}_2$ . Wannier-interpolation of the band structure of monolayer  $\text{Zr}_2\text{N}_2\text{Cl}_2$  over a wide energy range. Blue dashed lines are results from the present method, black solid lines are explicit DFT calculations. The yellow shaded region shows the range over which optimization has been performed. The interpolation error within the yellow region is 2 meV. The k-grid employed for NSCF calculation is  $6 \times 6$ .

## 190 Material: $\text{Zr}_2\text{N}_2\text{I}_2$

The calculation files are appended below. These files should be executed in the order provided. The location of pseudo potentials should be changed accordingly.

```

---          scf.in ---
&CONTROL
calculation = 'scf'
verbosity = 'high'
restart_mode = 'from_scratch'
outdir = './'
pseudo_dir = '/scratch1/05193/sabyadk/2D_materials_Wann/Materials/Zr2N2I2-65ac34ca/pseudo/'
prefix = 'hBN'
/
&SYSTEM
ibrav = 0
nat = 6
ntyp = 3
ecutwfc = 60
ecutrho = 240
assume_isolated = 2D
/
&ELECTRONS
conv_thr = 1E-12
diagonalization = 'david'
electron_maxstep = 200
/
ATOMIC_SPECIES
Zr 91.224 Zr_r.upf
I 126.904 I_r.upf
N 14.007 N_r.upf
ATOMIC_POSITIONS crystal
Zr 0.5 0.0 0.967715540574
Zr 0.0 0.500000000012 0.032284459425
I 0.0 0.0 0.8793571567039999

```

```
I 0.5 0.500000000012 0.120642843294
N 0.5 0.500000000012 0.990909525819
N 0.0 0.0 0.009090474183
```

```
K_POINTS automatic
6 6 1 0 0 0
```

```
CELL_PARAMETERS angstrom
3.7473119844 0.0 2e-16
-3e-16 4.1393123777 3e-16
0.0 0.0 26.287406703
```

```
--- nscf.in ---
&CONTROL
calculation = bands
verbosity = 'high'
restart_mode = 'from_scratch'
outdir = './'
pseudo_dir = '/scratch1/05193/sabyadk/2D_materials_Wann/Materials/Zr2N2I2-65ac34ca/pseudo/'
prefix = 'hBN'
/
&SYSTEM
ibrav = 0
nat = 6
ntyp = 3
ecutwfc = 60
ecutrho = 240
assume_isolated = 2D
nbnd = 60
/
&ELECTRONS
conv_thr = 1E-10
diagonalization = 'david'
electron_maxstep = 200
/
ATOMIC_SPECIES
Zr 91.224 Zr_r.upf
I 126.904 I_r.upf
N 14.007 N_r.upf
ATOMIC_POSITIONS crystal
Zr 0.5 0.0 0.967715540574
Zr 0.0 0.500000000012 0.032284459425
I 0.0 0.0 0.8793571567039999
I 0.5 0.500000000012 0.120642843294
N 0.5 0.500000000012 0.990909525819
N 0.0 0.0 0.009090474183

K_POINTS crystal
36
0.0 0.0 0.0 0.027778
0.0 0.16666666666666666 0.0 0.027778
0.0 0.33333333333333333 0.0 0.027778
0.0 0.5 0.0 0.027778
0.0 0.66666666666666666 0.0 0.027778
0.0 0.83333333333333333 0.0 0.027778
0.16666666666666666 0.0 0.0 0.027778
0.16666666666666666 0.16666666666666666 0.0 0.027778
0.16666666666666666 0.33333333333333333 0.0 0.027778
0.16666666666666666 0.5 0.0 0.027778
0.16666666666666666 0.66666666666666666 0.0 0.027778
0.16666666666666666 0.83333333333333333 0.0 0.027778
0.33333333333333333 0.0 0.0 0.027778
0.33333333333333333 0.16666666666666666 0.0 0.027778
0.33333333333333333 0.33333333333333333 0.0 0.027778
0.33333333333333333 0.5 0.0 0.027778
0.33333333333333333 0.66666666666666666 0.0 0.027778
0.33333333333333333 0.83333333333333333 0.0 0.027778
0.5 0.0 0.0 0.027778
0.5 0.16666666666666666 0.0 0.027778
0.5 0.33333333333333333 0.0 0.027778
0.5 0.5 0.0 0.027778
0.5 0.66666666666666666 0.0 0.027778
0.5 0.83333333333333333 0.0 0.027778
0.66666666666666666 0.0 0.0 0.027778
0.66666666666666666 0.16666666666666666 0.0 0.027778
0.66666666666666666 0.33333333333333333 0.0 0.027778
0.66666666666666666 0.5 0.0 0.027778
0.66666666666666666 0.66666666666666666 0.0 0.027778
0.66666666666666666 0.83333333333333333 0.0 0.027778
0.83333333333333333 0.0 0.0 0.027778
0.83333333333333333 0.16666666666666666 0.0 0.027778
0.83333333333333333 0.33333333333333333 0.0 0.027778
0.83333333333333333 0.5 0.0 0.027778
```

```
0.8333333333333333 0.6666666666666666 0.0 0.027778
0.8333333333333333 0.8333333333333333 0.0 0.027778
```

```
CELL_PARAMETERS angstrom
3.7473119844 0.0 2e-16
-3e-16 4.1393123777 3e-16
0.0 0.0 26.287406703
```

```
---                epw1.in ---
&inputepw
prefix = 'hBN'
amass(1) = 91.224
amass(2) = 126.904
amass(3) = 14.007
outdir = './'
elph = .false.
epbwrite = .false.
epbread = .false.
epwwrite = .true.
epwread = .false.
etf_mem = 1
nbndsub = 20
use_ws = .true.
wannierize = .true.
num_iter = 1000
iprint = 2
dis_win_max = 7.75465421964652
dis_froz_max = -3.237097098164835
fsthick = 1.2
temps = 1
degaussw = 0.005
dvscf_dir = './save'
nk1 = 6
nk2 = 6
nk3 = 1
nq1 = 1
nq2 = 1
nq3 = 1
system_2d = 'dipole_sp'
lpolar = .true.
dis_win_min = -27.3953446936576
wdata(1) = 'guiding_centres = T'
wdata(2) = 'dis_num_iter = 1500'
wdata(3) = 'bands_num_points = 100 '
wdata(4) = 'bands_plot = .true.'
wdata(5) = 'begin kpoint_path'
wdata(6) = 'G 0.0 0.0 0.0 M 0.5 0.0 0.0'
wdata(7) = 'M 0.5 0.0 0.0 K 0.3333333333 0.3333333333 0.0'
wdata(8) = 'K 0.3333333333 0.3333333333 0.0 X 1.0 1.0 0.0'
wdata(9) = 'X 1.0 1.0 0.0 M1 0.0 0.5 0.0'
wdata(10) = 'M1 0.0 0.5 0.0 G 0.0 0.0 0.0'
wdata(11) = 'end kpoint_path'
bands_skipped = 'exclude_bands = 1-12'
proj(1) = 'Zr: l= 3, mr= 1,5,6'
proj(2) = 'I: l= 2, mr= 3,4,5'
proj(3) = 'N: l= 2, mr= 1,2,3,5'
dis_froz_min = -10.429616646791052
/
```



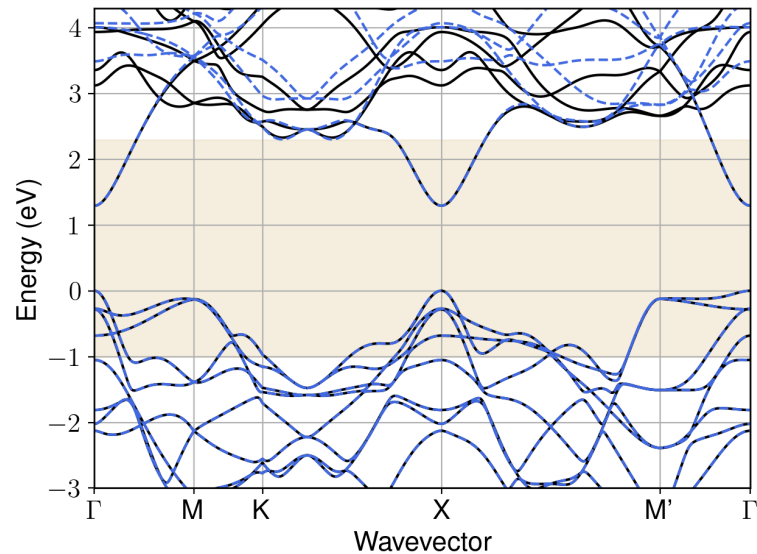


Figure S202: Bandstructure interpolation for monolayer  $\text{Zr}_2\text{N}_2\text{I}_2$ . Wannier-interpolation of the band structure of monolayer  $\text{Zr}_2\text{N}_2\text{I}_2$  over a wide energy range. Blue dashed lines are results from the present method, black solid lines are explicit DFT calculations. The yellow shaded region shows the range over which optimization has been performed. The interpolation error within the yellow region is 3 meV. The k-grid employed for NSCF calculation is  $6 \times 6$ .

## 191 Material: $\text{Zr}_2\text{N}_2\text{I}_2$

The calculation files are appended below. These files should be executed in the order provided. The location of pseudo potentials should be changed accordingly.

```

---          scf.in ---
&CONTROL
calculation = 'scf'
verbosity = 'high'
restart_mode = 'from_scratch'
outdir = './'
pseudo_dir = '/scratch1/05193/sabyadk/2D_materials_Wann/Materials/Zr2N2I2-f1f5127b/pseudo/'
prefix = 'hBN'
/
&SYSTEM
ibrav = 0
nat = 6
ntyp = 3
ecutwfc = 60
ecutrho = 240
assume_isolated = 2D
/
&ELECTRONS
conv_thr = 1E-12
diagonalization = 'david'
electron_maxstep = 200
/
ATOMIC_SPECIES
Zr 91.224 Zr_r.upf
I 126.904 I_r.upf
N 14.007 N_r.upf
ATOMIC_POSITIONS crystal
Zr 0.6666666666666666 0.3333333333333333 0.047219566837
Zr 0.3333333333333333 0.6666666666666666 0.952780433163
I 0.999999999973 0.0 0.129631208928

```

```

I 0.999999999973 0.0 0.8703687910719999
N 0.6666666666666666 0.3333333333333333 0.967539784252
N 0.3333333333333333 0.6666666666666666 0.032460215748

K_POINTS automatic
6 6 1 0 0 0

CELL_PARAMETERS angstrom
3.737890482 0.0 2e-16
-1.8689452410001623 3.237108114000215 2e-16
0.0 0.0 26.9402909328

```

```

---                nscf.in ---
&CONTROL
calculation = bands
verbosity = 'high'
restart_mode = 'from_scratch'
outdir = './'
pseudo_dir = '/scratch1/05193/sabyadk/2D_materials_Wann/Materials/Zr2N2I2-f1f5i27b/pseudo/'
prefix = 'hBN'
/
&SYSTEM
ibrav = 0
nat = 6
ntyp = 3
ecutwfc = 60
ecutrho = 240
assume_isolated = 2D
nband = 60
/
&ELECTRONS
conv_thr = 1E-10
diagonalization = 'david'
electron_maxstep = 200
/
ATOMIC_SPECIES
Zr 91.224 Zr_r.upf
I 126.904 I_r.upf
N 14.007 N_r.upf
ATOMIC_POSITIONS crystal
Zr 0.6666666666666666 0.3333333333333333 0.047219566837
Zr 0.3333333333333333 0.6666666666666666 0.952780433163
I 0.999999999973 0.0 0.129631208928
I 0.999999999973 0.0 0.8703687910719999
N 0.6666666666666666 0.3333333333333333 0.967539784252
N 0.3333333333333333 0.6666666666666666 0.032460215748

K_POINTS crystal
36
0.0 0.0 0.0 0.027778
0.0 0.1666666666666666 0.0 0.027778
0.0 0.3333333333333333 0.0 0.027778
0.0 0.5 0.0 0.027778
0.0 0.6666666666666666 0.0 0.027778
0.0 0.8333333333333333 0.0 0.027778
0.1666666666666666 0.0 0.0 0.027778
0.1666666666666666 0.1666666666666666 0.0 0.027778
0.1666666666666666 0.3333333333333333 0.0 0.027778
0.1666666666666666 0.5 0.0 0.027778
0.1666666666666666 0.6666666666666666 0.0 0.027778
0.1666666666666666 0.8333333333333333 0.0 0.027778
0.3333333333333333 0.0 0.0 0.027778
0.3333333333333333 0.1666666666666666 0.0 0.027778
0.3333333333333333 0.3333333333333333 0.0 0.027778
0.3333333333333333 0.5 0.0 0.027778
0.3333333333333333 0.6666666666666666 0.0 0.027778
0.3333333333333333 0.8333333333333333 0.0 0.027778
0.5 0.0 0.0 0.027778
0.5 0.1666666666666666 0.0 0.027778
0.5 0.3333333333333333 0.0 0.027778
0.5 0.5 0.0 0.027778
0.5 0.6666666666666666 0.0 0.027778
0.5 0.8333333333333333 0.0 0.027778
0.6666666666666666 0.0 0.0 0.027778
0.6666666666666666 0.1666666666666666 0.0 0.027778
0.6666666666666666 0.3333333333333333 0.0 0.027778
0.6666666666666666 0.5 0.0 0.027778
0.6666666666666666 0.6666666666666666 0.0 0.027778
0.6666666666666666 0.8333333333333333 0.0 0.027778
0.8333333333333333 0.0 0.0 0.027778
0.8333333333333333 0.1666666666666666 0.0 0.027778
0.8333333333333333 0.3333333333333333 0.0 0.027778
0.8333333333333333 0.5 0.0 0.027778

```

```

0.8333333333333333 0.6666666666666666 0.0 0.027778
0.8333333333333333 0.8333333333333333 0.0 0.027778

CELL_PARAMETERS angstrom
3.737890482 0.0 2e-16
-1.8689452410001623 3.237108114000215 2e-16
0.0 0.0 26.9402909328

```

```

---                epw1.in ---
&inputepw
prefix = 'hBN'
amass(1) = 91.224
amass(2) = 126.904
amass(3) = 14.007
outdir = './'
elph = .false.
epbwrite = .false.
epbread = .false.
epwwrite = .true.
epwread = .false.
etf_mem = 1
nbndsub = 22
use_ws = .true.
wannierize = .true.
num_iter = 1000
iprint = 2
dis_win_max = 7.213641627005384
dis_froz_max = -3.38140449682966
fsthick = 1.2
temps = 1
degaussw = 0.005
dvscf_dir = './save'
nk1 = 6
nk2 = 6
nk3 = 1
nq1 = 1
nq2 = 1
nq3 = 1
system_2d = 'dipole_sp'
lpolar = .true.
dis_win_min = -22.35071794837458
wdata(1) = 'guiding_centres = T'
wdata(2) = 'dis_num_iter = 1500'
wdata(3) = 'bands_num_points = 100 '
wdata(4) = 'bands_plot = .true.'
wdata(5) = 'begin kpoint_path'
wdata(6) = 'G 0.0 0.0 0.0 M 0.5 0.0 0.0'
wdata(7) = 'M 0.5 0.0 0.0 K 0.3333333333 0.3333333333 0.0'
wdata(8) = 'K 0.3333333333 0.3333333333 0.0 X 1.0 1.0 0.0'
wdata(9) = 'X 1.0 1.0 0.0 M1 0.0 0.5 0.0'
wdata(10) = 'M1 0.0 0.5 0.0 G 0.0 0.0 0.0'
wdata(11) = 'end kpoint_path'
bands_skipped = 'exclude_bands = 1-12'
proj(1) = 'Zr: l= -5, mr= 1,3,4,5,6'
proj(2) = 'I: l= -5, mr= 2,6'
proj(3) = 'N: l= 3, mr= 1,3,6,7'
dis_froz_min = -15.238707717788163
/

```

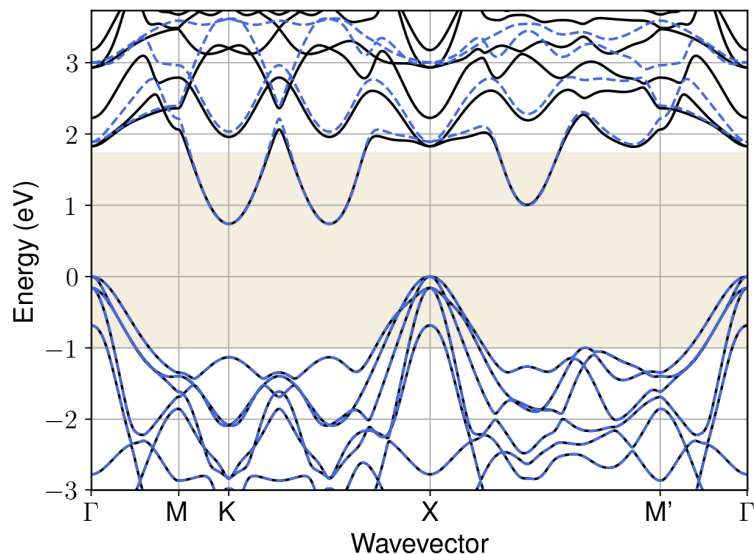


Figure S203: Bandstructure interpolation for monolayer  $\text{Zr}_2\text{N}_2\text{I}_2$ . Wannier-interpolation of the band structure of monolayer  $\text{Zr}_2\text{N}_2\text{I}_2$  over a wide energy range. Blue dashed lines are results from the present method, black solid lines are explicit DFT calculations. The yellow shaded region shows the range over which optimization has been performed. The interpolation error within the yellow region is 7 meV. The k-grid employed for NSCF calculation is  $6 \times 6$ .

## 192 Material: $\text{Zr}_2\text{Si}_2\text{Te}_2$

The calculation files are appended below. These files should be executed in the order provided. The location of pseudo potentials should be changed accordingly.

```

---          scf.in ---
&CONTROL
calculation = 'scf'
verbosity = 'high'
restart_mode = 'from_scratch'
outdir = './'
pseudo_dir = '/scratch1/05193/sabyadk/2D_materials_Wann/Materials/Zr2Si2Te2-0a661d06/pseudo/'
prefix = 'hBN'
/
&SYSTEM
ibrav = 0
nat = 6
ntyp = 3
ecutwfc = 60
ecutrho = 240
occupations = 'smearing'
smearing = 'gaussian'
degauss = 0.01
/
&ELECTRONS
conv_thr = 1E-10
diagonalization = cg
electron_maxstep = 500
/
ATOMIC_SPECIES
Zr 91.224 Zr_r.upf
Si 28.086 Si_r.upf
Te 126.7 Te_r.upf
ATOMIC_POSITIONS crystal
Zr 0.0 0.500000000027 0.07902100867

```

```

Zr 0.500000000027 0.0 0.920978991326
Si 0.0 0.0 0.0
Si 0.500000000027 0.500000000027 0.0
Te 0.500000000027 0.0 0.130684019155
Te 0.0 0.500000000027 0.869315980849

K_POINTS automatic
6 6 1 0 0 0

CELL_PARAMETERS angstrom
3.6805504264 0.0 2e-16
-2e-16 3.6805504264 2e-16
0.0 0.0 27.0653023657

```

```

---                nscf.in ---
&CONTROL
calculation = bands
verbosity = 'high'
restart_mode = 'from_scratch'
outdir = './'
pseudo_dir = '/scratch1/05193/sabyadk/2D_materials_Wann/Materials/Zr2Si2Te2-0a661d06/pseudo/'
prefix = 'hBN'
/
&SYSTEM
ibrav = 0
nat = 6
ntyp = 3
ecutwfc = 60
ecutrho = 240
occupations = 'smearing'
smearing = 'gaussian'
degauss = 0.01
nbnd = 60
/
&ELECTRONS
conv_thr = 1E-10
diagonalization = cg
electron_maxstep = 500
/
ATOMIC_SPECIES
Zr 91.224 Zr_r.upf
Si 28.086 Si_r.upf
Te 126.7 Te_r.upf
ATOMIC_POSITIONS crystal
Zr 0.0 0.500000000027 0.07902100867
Zr 0.500000000027 0.0 0.920978991326
Si 0.0 0.0 0.0
Si 0.500000000027 0.500000000027 0.0
Te 0.500000000027 0.0 0.130684019155
Te 0.0 0.500000000027 0.869315980849

K_POINTS crystal
36
0.0 0.0 0.0 0.027778
0.0 0.1666666666666666 0.0 0.027778
0.0 0.3333333333333333 0.0 0.027778
0.0 0.5 0.0 0.027778
0.0 0.6666666666666666 0.0 0.027778
0.0 0.8333333333333333 0.0 0.027778
0.1666666666666666 0.0 0.0 0.027778
0.1666666666666666 0.1666666666666666 0.0 0.027778
0.1666666666666666 0.3333333333333333 0.0 0.027778
0.1666666666666666 0.5 0.0 0.027778
0.1666666666666666 0.6666666666666666 0.0 0.027778
0.1666666666666666 0.8333333333333333 0.0 0.027778
0.3333333333333333 0.0 0.0 0.027778
0.3333333333333333 0.1666666666666666 0.0 0.027778
0.3333333333333333 0.3333333333333333 0.0 0.027778
0.3333333333333333 0.5 0.0 0.027778
0.3333333333333333 0.6666666666666666 0.0 0.027778
0.3333333333333333 0.8333333333333333 0.0 0.027778
0.5 0.0 0.0 0.027778
0.5 0.1666666666666666 0.0 0.027778
0.5 0.3333333333333333 0.0 0.027778
0.5 0.5 0.0 0.027778
0.5 0.6666666666666666 0.0 0.027778
0.5 0.8333333333333333 0.0 0.027778
0.6666666666666666 0.0 0.0 0.027778
0.6666666666666666 0.1666666666666666 0.0 0.027778
0.6666666666666666 0.3333333333333333 0.0 0.027778
0.6666666666666666 0.5 0.0 0.027778
0.6666666666666666 0.6666666666666666 0.0 0.027778
0.6666666666666666 0.8333333333333333 0.0 0.027778

```

```

0.8333333333333333 0.0 0.0 0.027778
0.8333333333333333 0.1666666666666666 0.0 0.027778
0.8333333333333333 0.3333333333333333 0.0 0.027778
0.8333333333333333 0.5 0.0 0.027778
0.8333333333333333 0.6666666666666666 0.0 0.027778
0.8333333333333333 0.8333333333333333 0.0 0.027778

CELL_PARAMETERS angstrom
3.6805504264 0.0 2e-16
-2e-16 3.6805504264 2e-16
0.0 0.0 27.0653023657

```

```

---                epw1.in ---
&inputepw
prefix = 'hBN'
amass(1) = 91.224
amass(2) = 28.086
amass(3) = 126.7
outdir = './'
elph = .false.
epbwrite = .false.
epbread = .false.
epwwrite = .true.
epwread = .false.
etf_mem = 1
nbndsub = 20
use_ws = .true.
wannierize = .true.
num_iter = 1000
iprint = 2
dis_win_max = 15.273726668720531
dis_froz_max = 2.8538039747910435
fsthick = 1.2
temps = 1
degaussw = 0.005
dvscf_dir = './save'
nk1 = 6
nk2 = 6
nk3 = 1
nq1 = 1
nq2 = 1
nq3 = 1
dis_win_min = -13.345939496470608
wdata(1) = 'guiding_centres = T'
wdata(2) = 'dis_num_iter = 1500'
wdata(3) = 'bands_num_points = 100 '
wdata(4) = 'bands_plot = .true.'
wdata(5) = 'begin kpoint_path'
wdata(6) = 'G 0.0 0.0 0.0 M 0.5 0.0 0.0'
wdata(7) = 'M 0.5 0.0 0.0 K 0.3333333333 0.3333333333 0.0'
wdata(8) = 'K 0.3333333333 0.3333333333 0.0 X 1.0 1.0 0.0'
wdata(9) = 'X 1.0 1.0 0.0 M1 0.0 0.5 0.0'
wdata(10) = 'M1 0.0 0.5 0.0 G 0.0 0.0 0.0'
wdata(11) = 'end kpoint_path'
bands_skipped = 'exclude_bands = 1-20'
proj(1) = 'Zr: l= 2, mr= 1,3,4'
proj(2) = 'Si: l= -4, mr= 1,2,4,5'
proj(3) = 'Te: l= 3, mr= 3,5,7'
dis_froz_min = -6.831065003036078
/

```

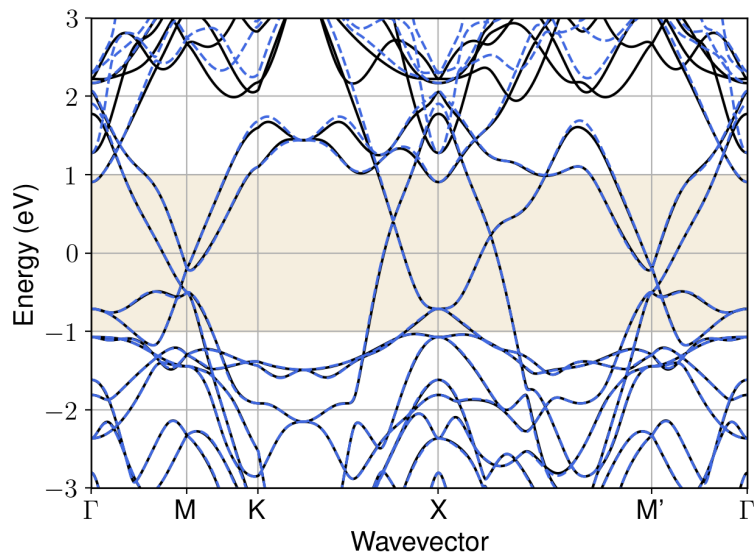


Figure S204: Bandstructure interpolation for monolayer  $\text{Zr}_2\text{Si}_2\text{Te}_2$ . Wannier-interpolation of the band structure of monolayer  $\text{Zr}_2\text{Si}_2\text{Te}_2$  over a wide energy range. Blue dashed lines are results from the present method, black solid lines are explicit DFT calculations. The yellow shaded region shows the range over which optimization has been performed. The interpolation error within the yellow region is 10 meV. The k-grid employed for NSCF calculation is  $6 \times 6$ .

### 193 Material: $\text{ZrCl}_2$

The calculation files are appended below. These files should be executed in the order provided. The location of pseudo potentials should be changed accordingly.

```

---          scf.in ---
&CONTROL
calculation = 'scf'
verbosity = 'high'
restart_mode = 'from_scratch'
outdir = './'
pseudo_dir = '/scratch1/05193/sabyadk/2D_materials_Wann/Materials/ZrCl2-815b2b33/pseudo/'
prefix = 'hBN'
/
&SYSTEM
ibrav = 0
nat = 3
ntyp = 2
ecutwfc = 60
ecutrho = 240
assume_isolated = 2D
/
&ELECTRONS
conv_thr = 1E-12
diagonalization = 'david'
electron_maxstep = 200
/
ATOMIC_SPECIES
Zr 91.224 Zr_r.upf
Cl 35.453 Cl_r.upf
ATOMIC_POSITIONS crystal
Zr 0.3333333333333333 0.6666666666666666 0.999998442801
Cl 0.6666666666666666 0.3333333333333333 0.926929221292
Cl 0.6666666666666666 0.3333333333333333 0.073072335907

```

```

K_POINTS automatic
6 6 1 0 0 0

CELL_PARAMETERS angstrom
3.4073495193 0.0 2e-16
-1.7036747594999624 2.9508512431999145 2e-16
0.0 0.0 23.473380671

```

```

---                nscf.in ---
&CONTROL
calculation = bands
verbosity = 'high'
restart_mode = 'from_scratch'
outdir = './'
pseudo_dir = '/scratch1/05193/sabyadk/2D_materials_Wann/Materials/ZrCl2-815b2b33/pseudo/'
prefix = 'hBN'
/
&SYSTEM
ibrav = 0
nat = 3
ntyp = 2
ecutwfc = 60
ecutrho = 240
assume_isolated = 2D
nbnd = 60
/
&ELECTRONS
conv_thr = 1E-10
diagonalization = 'david'
electron_maxstep = 200
/
ATOMIC_SPECIES
Zr 91.224 Zr_r.upf
Cl 35.453 Cl_r.upf
ATOMIC_POSITIONS crystal
Zr 0.3333333333333333 0.6666666666666666 0.999998442801
Cl 0.6666666666666666 0.3333333333333333 0.926929221292
Cl 0.6666666666666666 0.3333333333333333 0.073072335907

K_POINTS crystal
36
0.0 0.0 0.0 0.027778
0.0 0.1666666666666666 0.0 0.027778
0.0 0.3333333333333333 0.0 0.027778
0.0 0.5 0.0 0.027778
0.0 0.6666666666666666 0.0 0.027778
0.0 0.8333333333333333 0.0 0.027778
0.1666666666666666 0.0 0.0 0.027778
0.1666666666666666 0.1666666666666666 0.0 0.027778
0.1666666666666666 0.3333333333333333 0.0 0.027778
0.1666666666666666 0.5 0.0 0.027778
0.1666666666666666 0.6666666666666666 0.0 0.027778
0.1666666666666666 0.8333333333333333 0.0 0.027778
0.3333333333333333 0.0 0.0 0.027778
0.3333333333333333 0.1666666666666666 0.0 0.027778
0.3333333333333333 0.3333333333333333 0.0 0.027778
0.3333333333333333 0.5 0.0 0.027778
0.3333333333333333 0.6666666666666666 0.0 0.027778
0.3333333333333333 0.8333333333333333 0.0 0.027778
0.5 0.0 0.0 0.027778
0.5 0.1666666666666666 0.0 0.027778
0.5 0.3333333333333333 0.0 0.027778
0.5 0.5 0.0 0.027778
0.5 0.6666666666666666 0.0 0.027778
0.5 0.8333333333333333 0.0 0.027778
0.6666666666666666 0.0 0.0 0.027778
0.6666666666666666 0.1666666666666666 0.0 0.027778
0.6666666666666666 0.3333333333333333 0.0 0.027778
0.6666666666666666 0.5 0.0 0.027778
0.6666666666666666 0.6666666666666666 0.0 0.027778
0.6666666666666666 0.8333333333333333 0.0 0.027778
0.8333333333333333 0.0 0.0 0.027778
0.8333333333333333 0.1666666666666666 0.0 0.027778
0.8333333333333333 0.3333333333333333 0.0 0.027778
0.8333333333333333 0.5 0.0 0.027778
0.8333333333333333 0.6666666666666666 0.0 0.027778
0.8333333333333333 0.8333333333333333 0.0 0.027778

CELL_PARAMETERS angstrom
3.4073495193 0.0 2e-16
-1.7036747594999624 2.9508512431999145 2e-16
0.0 0.0 23.473380671

```



```
---                epw1.in ---
&inputepw
prefix = 'hBN'
amass(1) = 91.224
amass(2) = 35.453
outdir = './'
elph = .false.
epbwrite = .false.
epbread = .false.
epwwrite = .true.
epwread = .false.
etf_mem = 1
nbndsub = 7
use_ws = .true.
wannierize = .true.
num_iter = 1000
iprint = 2
dis_win_max = 8.957829738703403
dis_froz_max = -0.45110325087955383
fsthick = 1.2
temps = 1
degaussw = 0.005
dvscf_dir = './save'
nk1 = 6
nk2 = 6
nk3 = 1
nq1 = 1
nq2 = 1
nq3 = 1
system_2d = 'dipole_sp'
lpolar = .true.
dis_win_min = -19.19036361946475
wdata(1) = 'guiding_centres = T'
wdata(2) = 'dis_num_iter = 1500'
wdata(3) = 'bands_num_points = 100 '
wdata(4) = 'bands_plot = .true.'
wdata(5) = 'begin kpoint_path'
wdata(6) = 'G 0.0 0.0 0.0 M 0.5 0.0 0.0'
wdata(7) = 'M 0.5 0.0 0.0 K 0.3333333333 0.3333333333 0.0'
wdata(8) = 'K 0.3333333333 0.3333333333 0.0 X 1.0 1.0 0.0'
wdata(9) = 'X 1.0 1.0 0.0 M1 0.0 0.5 0.0'
wdata(10) = 'M1 0.0 0.5 0.0 G 0.0 0.0 0.0'
wdata(11) = 'end kpoint_path'
bands_skipped = 'exclude_bands = 1-7'
proj(1) = 'Zr: l= 3, mr= 1,3,4'
proj(2) = 'Cl: l= -4, mr= 1,3'
dis_froz_min = -7.069273139892443
/
```

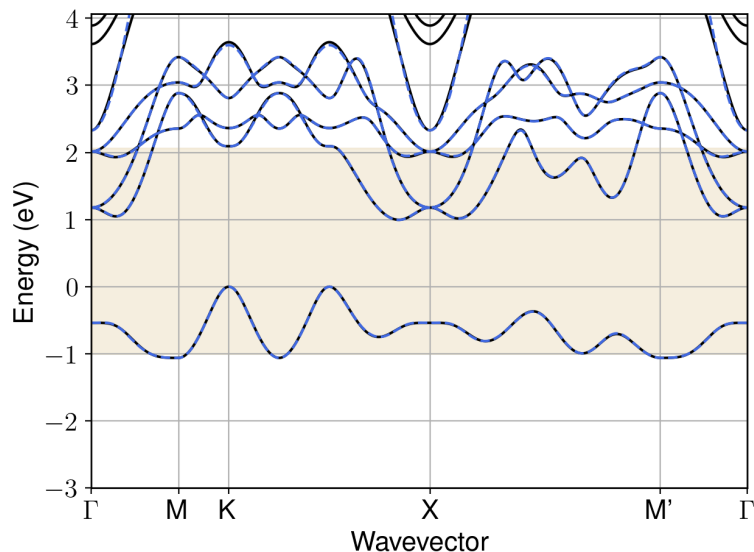


Figure S205: Bandstructure interpolation for monolayer  $\text{ZrCl}_2$ . Wannier-interpolation of the band structure of monolayer  $\text{ZrCl}_2$  over a wide energy range. Blue dashed lines are results from the present method, black solid lines are explicit DFT calculations. The yellow shaded region shows the range over which optimization has been performed. The interpolation error within the yellow region is 5 meV. The k-grid employed for NSCF calculation is  $6 \times 6$ .

## 194 Material: $\text{ZrNBr}$

The calculation files are appended below. These files should be executed in the order provided. The location of pseudo potentials should be changed accordingly.

```

---          scf.in ---
&CONTROL
calculation = 'scf'
verbosity = 'high'
restart_mode = 'from_scratch'
outdir = './'
pseudo_dir = '/scratch1/05193/sabyadk/2D_materials_Wann/Materials/ZrNBr-7298ef34/pseudo/'
prefix = 'hBN'
/
&SYSTEM
ibrav = 0
nat = 3
ntyp = 3
ecutwfc = 60
ecutrho = 240
assume_isolated = 2D
/
&ELECTRONS
conv_thr = 1E-12
diagonalization = 'david'
electron_maxstep = 200
/
ATOMIC_SPECIES
Zr 91.224 Zr_r.upf
Br 79.904 Br_r.upf
N 14.007 N_r.upf
ATOMIC_POSITIONS crystal
Zr 0.0 0.0 0.021337523829
Br 0.6666666666666666 0.3333333333333333 0.931590890632
N 0.3333333333333333 0.6666666666666666 0.047071585539

```

```

K_POINTS automatic
6 6 1 0 0 0

CELL_PARAMETERS angstrom
3.4834666069 0.0 2e-16
-1.7417333035001306 3.016770574900172 2e-16
0.0 0.0 22.6097254117

```

```

--- nscf.in ---
&CONTROL
calculation = bands
verbosity = 'high'
restart_mode = 'from_scratch'
outdir = './'
pseudo_dir = '/scratch1/05193/sabyadk/2D_materials_Wann/Materials/ZrNBr-7298ef34/pseudo/'
prefix = 'hBN'
/
&SYSTEM
ibrav = 0
nat = 3
ntyp = 3
ecutwfc = 60
ecutrho = 240
assume_isolated = 2D
nbnd = 60
/
&ELECTRONS
conv_thr = 1E-10
diagonalization = 'david'
electron_maxstep = 200
/
ATOMIC_SPECIES
Zr 91.224 Zr_r.upf
Br 79.904 Br_r.upf
N 14.007 N_r.upf
ATOMIC_POSITIONS crystal
Zr 0.0 0.0 0.021337523829
Br 0.6666666666666666 0.3333333333333333 0.931590890632
N 0.3333333333333333 0.6666666666666666 0.047071585539

K_POINTS crystal
36
0.0 0.0 0.0 0.027778
0.0 0.1666666666666666 0.0 0.027778
0.0 0.3333333333333333 0.0 0.027778
0.0 0.5 0.0 0.027778
0.0 0.6666666666666666 0.0 0.027778
0.0 0.8333333333333333 0.0 0.027778
0.1666666666666666 0.0 0.0 0.027778
0.1666666666666666 0.1666666666666666 0.0 0.027778
0.1666666666666666 0.3333333333333333 0.0 0.027778
0.1666666666666666 0.5 0.0 0.027778
0.1666666666666666 0.6666666666666666 0.0 0.027778
0.1666666666666666 0.8333333333333333 0.0 0.027778
0.3333333333333333 0.0 0.0 0.027778
0.3333333333333333 0.1666666666666666 0.0 0.027778
0.3333333333333333 0.3333333333333333 0.0 0.027778
0.3333333333333333 0.5 0.0 0.027778
0.3333333333333333 0.6666666666666666 0.0 0.027778
0.3333333333333333 0.8333333333333333 0.0 0.027778
0.5 0.0 0.0 0.027778
0.5 0.1666666666666666 0.0 0.027778
0.5 0.3333333333333333 0.0 0.027778
0.5 0.5 0.0 0.027778
0.5 0.6666666666666666 0.0 0.027778
0.5 0.8333333333333333 0.0 0.027778
0.6666666666666666 0.0 0.0 0.027778
0.6666666666666666 0.1666666666666666 0.0 0.027778
0.6666666666666666 0.3333333333333333 0.0 0.027778
0.6666666666666666 0.5 0.0 0.027778
0.6666666666666666 0.6666666666666666 0.0 0.027778
0.6666666666666666 0.8333333333333333 0.0 0.027778
0.8333333333333333 0.0 0.0 0.027778
0.8333333333333333 0.1666666666666666 0.0 0.027778
0.8333333333333333 0.3333333333333333 0.0 0.027778
0.8333333333333333 0.5 0.0 0.027778
0.8333333333333333 0.6666666666666666 0.0 0.027778
0.8333333333333333 0.8333333333333333 0.0 0.027778

CELL_PARAMETERS angstrom
3.4834666069 0.0 2e-16
-1.7417333035001306 3.016770574900172 2e-16

```

```
0.0 0.0 22.6097254117
```

```
---                epw1.in ---
&inputepw
prefix = 'hEN'
amass(1) = 91.224
amass(2) = 79.904
amass(3) = 14.007
outdir = './'
elph = .false.
epbwrite = .false.
epbread = .false.
epwrite = .true.
epwread = .false.
etf_mem = 1
nbndsub = 11
use_ws = .true.
wannierize = .true.
num_iter = 1000
iprint = 2
dis_win_max = 9.917306968901325
dis_froz_max = -1.98115405369317
fsthick = 1.2
temps = 1
degaussw = 0.005
dvscf_dir = './save'
nk1 = 6
nk2 = 6
nk3 = 1
nq1 = 1
nq2 = 1
nq3 = 1
system_2d = 'dipole_sp'
lpolar = .true.
dis_win_min = -20.030977884880688
wdata(1) = 'guiding_centres = T'
wdata(2) = 'dis_num_iter = 1500'
wdata(3) = 'bands_num_points = 100 '
wdata(4) = 'bands_plot = .true.'
wdata(5) = 'begin kpoint_path'
wdata(6) = 'G 0.0 0.0 0.0 M 0.5 0.0 0.0'
wdata(7) = 'M 0.5 0.0 0.0 K 0.3333333333 0.3333333333 0.0'
wdata(8) = 'K 0.3333333333 0.3333333333 0.0 X 1.0 1.0 0.0'
wdata(9) = 'X 1.0 1.0 0.0 M1 0.0 0.5 0.0'
wdata(10) = 'M1 0.0 0.5 0.0 G 0.0 0.0 0.0'
wdata(11) = 'end kpoint_path'
bands_skipped = 'exclude_bands = 1-6'
proj(1) = 'Zr: l= -5, mr= 1,2,4,5,6'
proj(2) = 'Br: l= 2, mr= 3,5'
proj(3) = 'N: l= 3, mr= 2,3,4,6'
dis_froz_min = -9.501637585309604
/
```

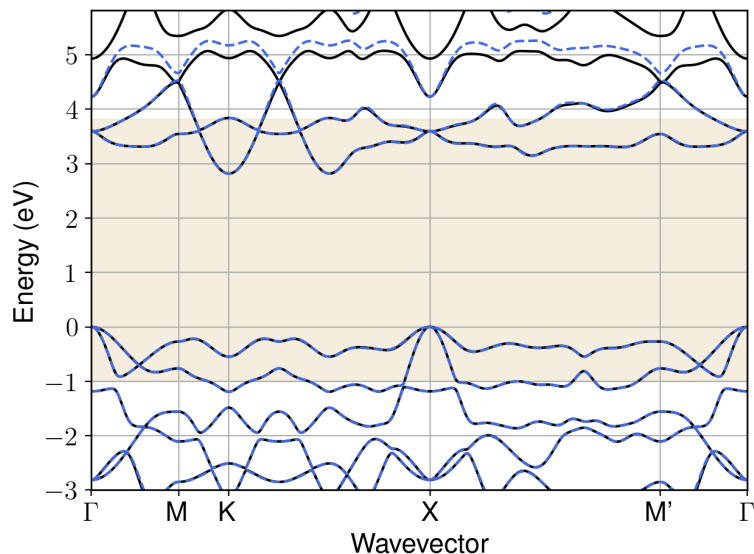


Figure S206: Bandstructure interpolation for monolayer ZrNBr. Wannier-interpolation of the band structure of monolayer ZrNBr over a wide energy range. Blue dashed lines are results from the present method, black solid lines are explicit DFT calculations. The yellow shaded region shows the range over which optimization has been performed. The interpolation error within the yellow region is 5 meV. The k-grid employed for NSCF calculation is  $6 \times 6$ .

## 195 Material: ZrNCl

The calculation files are appended below. These files should be executed in the order provided. The location of pseudo potentials should be changed accordingly.

```

---          scf.in ---
&CONTROL
calculation = 'scf'
verbosity = 'high'
restart_mode = 'from_scratch'
outdir = './'
pseudo_dir = '/scratch1/05193/sabyadk/2D_materials_Wann/Materials/ZrNCl-2b92cc43/pseudo/'
prefix = 'hBN'
/
&SYSTEM
ibrav = 0
nat = 3
ntyp = 3
ecutwfc = 60
ecutrho = 240
assume_isolated = 2D
/
&ELECTRONS
conv_thr = 1E-12
diagonalization = 'david'
electron_maxstep = 200
/
ATOMIC_SPECIES
Zr 91.224 Zr_r.upf
N 14.007 N_r.upf
Cl 35.453 Cl_r.upf
ATOMIC_POSITIONS crystal
Zr 0.0 0.0 0.0184039058
N 0.6666666666666666 0.3333333333333333 0.04599592291
Cl 0.3333333333333333 0.6666666666666666 0.93560017129

```

```

K_POINTS automatic
6 6 1 0 0 0

CELL_PARAMETERS angstrom
3.4350890445 0.0 2e-16
-1.717544522999166 2.9748743767998165 2e-16
0.0 0.0 22.5102178763

```

```

--- nscf.in ---
&CONTROL
calculation = bands
verbosity = 'high'
restart_mode = 'from_scratch'
outdir = './'
pseudo_dir = '/scratch1/05193/sabyadk/2D_materials_Wann/Materials/ZrNCl-2b92cc43/pseudo/'
prefix = 'hBN'
/
&SYSTEM
ibrav = 0
nat = 3
ntyp = 3
ecutwfc = 60
ecutrho = 240
assume_isolated = 2D
nbnd = 60
/
&ELECTRONS
conv_thr = 1E-10
diagonalization = 'david'
electron_maxstep = 200
/
ATOMIC_SPECIES
Zr 91.224 Zr_r.upf
N 14.007 N_r.upf
Cl 35.453 Cl_r.upf
ATOMIC_POSITIONS crystal
Zr 0.0 0.0 0.0184039058
N 0.6666666666666666 0.3333333333333333 0.04599592291
Cl 0.3333333333333333 0.6666666666666666 0.93560017129

K_POINTS crystal
36
0.0 0.0 0.0 0.027778
0.0 0.1666666666666666 0.0 0.027778
0.0 0.3333333333333333 0.0 0.027778
0.0 0.5 0.0 0.027778
0.0 0.6666666666666666 0.0 0.027778
0.0 0.8333333333333333 0.0 0.027778
0.1666666666666666 0.0 0.0 0.027778
0.1666666666666666 0.1666666666666666 0.0 0.027778
0.1666666666666666 0.3333333333333333 0.0 0.027778
0.1666666666666666 0.5 0.0 0.027778
0.1666666666666666 0.6666666666666666 0.0 0.027778
0.1666666666666666 0.8333333333333333 0.0 0.027778
0.3333333333333333 0.0 0.0 0.027778
0.3333333333333333 0.1666666666666666 0.0 0.027778
0.3333333333333333 0.3333333333333333 0.0 0.027778
0.3333333333333333 0.5 0.0 0.027778
0.3333333333333333 0.6666666666666666 0.0 0.027778
0.3333333333333333 0.8333333333333333 0.0 0.027778
0.5 0.0 0.0 0.027778
0.5 0.1666666666666666 0.0 0.027778
0.5 0.3333333333333333 0.0 0.027778
0.5 0.5 0.0 0.027778
0.5 0.6666666666666666 0.0 0.027778
0.5 0.8333333333333333 0.0 0.027778
0.6666666666666666 0.0 0.0 0.027778
0.6666666666666666 0.1666666666666666 0.0 0.027778
0.6666666666666666 0.3333333333333333 0.0 0.027778
0.6666666666666666 0.5 0.0 0.027778
0.6666666666666666 0.6666666666666666 0.0 0.027778
0.6666666666666666 0.8333333333333333 0.0 0.027778
0.8333333333333333 0.0 0.0 0.027778
0.8333333333333333 0.1666666666666666 0.0 0.027778
0.8333333333333333 0.3333333333333333 0.0 0.027778
0.8333333333333333 0.5 0.0 0.027778
0.8333333333333333 0.6666666666666666 0.0 0.027778
0.8333333333333333 0.8333333333333333 0.0 0.027778

CELL_PARAMETERS angstrom
3.4350890445 0.0 2e-16
-1.717544522999166 2.9748743767998165 2e-16

```

```
0.0 0.0 22.5102178763
```

```
---                epw1.in ---
&inputepw
prefix = 'hEN'
amass(1) = 91.224
amass(2) = 14.007
amass(3) = 35.453
outdir = './'
elph = .false.
epbwrite = .false.
epbread = .false.
epwwrite = .true.
epwread = .false.
etf_mem = 1
nbndsub = 11
use_ws = .true.
wannierize = .true.
num_iter = 1000
iprint = 2
dis_win_max = 17.029664271270537
dis_froz_max = -2.169887607225367
fsthick = 1.2
temps = 1
degaussw = 0.005
dvscf_dir = './save'
nk1 = 6
nk2 = 6
nk3 = 1
nq1 = 1
nq2 = 1
nq3 = 1
system_2d = 'dipole_sp'
lpolar = .true.
dis_win_min = -23.398935482414583
wdata(1) = 'guiding_centres = T'
wdata(2) = 'dis_num_iter = 1500'
wdata(3) = 'bands_num_points = 100 '
wdata(4) = 'bands_plot = .true.'
wdata(5) = 'begin kpoint_path'
wdata(6) = 'G 0.0 0.0 0.0 M 0.5 0.0 0.0'
wdata(7) = 'M 0.5 0.0 0.0 K 0.3333333333 0.3333333333 0.0'
wdata(8) = 'K 0.3333333333 0.3333333333 0.0 X 1.0 1.0 0.0'
wdata(9) = 'X 1.0 1.0 0.0 M1 0.0 0.5 0.0'
wdata(10) = 'M1 0.0 0.5 0.0 G 0.0 0.0 0.0'
wdata(11) = 'end kpoint_path'
bands_skipped = 'exclude_bands = 1-6'
proj(1) = 'Zr: l= -4, mr= 1,2,3,4'
proj(2) = 'N: l= 3, mr= 2,3,5'
proj(3) = 'Cl: l= 3, mr= 3,4,5,7'
dis_froz_min = -10.763982762238818
/
```

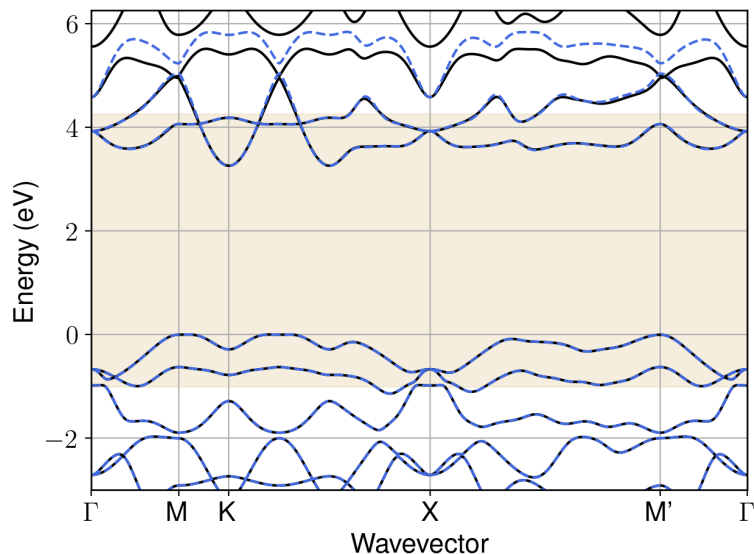


Figure S207: Bandstructure interpolation for monolayer ZrNCl. Wannier-interpolation of the band structure of monolayer ZrNCl over a wide energy range. Blue dashed lines are results from the present method, black solid lines are explicit DFT calculations. The yellow shaded region shows the range over which optimization has been performed. The interpolation error within the yellow region is 5 meV. The k-grid employed for NSCF calculation is  $6 \times 6$ .

## 196 Material: ZrS<sub>2</sub>

The calculation files are appended below. These files should be executed in the order provided. The location of pseudo potentials should be changed accordingly.

```

---          scf.in ---
&CONTROL
calculation = 'scf'
verbosity = 'high'
restart_mode = 'from_scratch'
outdir = './'
pseudo_dir = '/scratch1/05193/sabyadk/2D_materials_Wann/Materials/ZrS2-70e152a6/pseudo/'
prefix = 'hBN'
/
&SYSTEM
ibrav = 0
nat = 3
ntyp = 2
ecutwfc = 60
ecutrho = 240
assume_isolated = 2D
/
&ELECTRONS
conv_thr = 1E-12
diagonalization = 'david'
electron_maxstep = 200
/
ATOMIC_SPECIES
Zr 91.224 Zr_r.upf
S 32.066 S_r.upf
ATOMIC_POSITIONS crystal
Zr 0.0 0.0 0.999999999999
S 0.3333333333333333 0.6666666666666666 0.063637716044
S 0.6666666666666666 0.3333333333333333 0.936362283957

```



```

K_POINTS automatic
6 6 1 0 0 0

CELL_PARAMETERS angstrom
3.6714880529 0.0 2e-16
-1.8357440264997835 3.1796019235995847 2e-16
0.0 0.0 22.9186134249

```

```

---                nscf.in ---
&CONTROL
calculation = bands
verbosity = 'high'
restart_mode = 'from_scratch'
outdir = './'
pseudo_dir = '/scratch1/05193/sabyadk/2D_materials_Wann/Materials/ZrS2-70e152a6/pseudo/'
prefix = 'hBN'
/
&SYSTEM
ibrav = 0
nat = 3
ntyp = 2
ecutwfc = 60
ecutrho = 240
assume_isolated = 2D
nbnd = 60
/
&ELECTRONS
conv_thr = 1E-10
diagonalization = 'david'
electron_maxstep = 200
/
ATOMIC_SPECIES
Zr 91.224 Zr_r.upf
S 32.066 S_r.upf
ATOMIC_POSITIONS crystal
Zr 0.0 0.0 0.999999999999
S 0.3333333333333333 0.6666666666666666 0.063637716044
S 0.6666666666666666 0.3333333333333333 0.936362283957

K_POINTS crystal
36
0.0 0.0 0.0 0.027778
0.0 0.1666666666666666 0.0 0.027778
0.0 0.3333333333333333 0.0 0.027778
0.0 0.5 0.0 0.027778
0.0 0.6666666666666666 0.0 0.027778
0.0 0.8333333333333333 0.0 0.027778
0.1666666666666666 0.0 0.0 0.027778
0.1666666666666666 0.1666666666666666 0.0 0.027778
0.1666666666666666 0.3333333333333333 0.0 0.027778
0.1666666666666666 0.5 0.0 0.027778
0.1666666666666666 0.6666666666666666 0.0 0.027778
0.1666666666666666 0.8333333333333333 0.0 0.027778
0.3333333333333333 0.0 0.0 0.027778
0.3333333333333333 0.1666666666666666 0.0 0.027778
0.3333333333333333 0.3333333333333333 0.0 0.027778
0.3333333333333333 0.5 0.0 0.027778
0.3333333333333333 0.6666666666666666 0.0 0.027778
0.3333333333333333 0.8333333333333333 0.0 0.027778
0.5 0.0 0.0 0.027778
0.5 0.1666666666666666 0.0 0.027778
0.5 0.3333333333333333 0.0 0.027778
0.5 0.5 0.0 0.027778
0.5 0.6666666666666666 0.0 0.027778
0.5 0.8333333333333333 0.0 0.027778
0.6666666666666666 0.0 0.0 0.027778
0.6666666666666666 0.1666666666666666 0.0 0.027778
0.6666666666666666 0.3333333333333333 0.0 0.027778
0.6666666666666666 0.5 0.0 0.027778
0.6666666666666666 0.6666666666666666 0.0 0.027778
0.6666666666666666 0.8333333333333333 0.0 0.027778
0.8333333333333333 0.0 0.0 0.027778
0.8333333333333333 0.1666666666666666 0.0 0.027778
0.8333333333333333 0.3333333333333333 0.0 0.027778
0.8333333333333333 0.5 0.0 0.027778
0.8333333333333333 0.6666666666666666 0.0 0.027778
0.8333333333333333 0.8333333333333333 0.0 0.027778

CELL_PARAMETERS angstrom
3.6714880529 0.0 2e-16
-1.8357440264997835 3.1796019235995847 2e-16
0.0 0.0 22.9186134249

```

```
---                epw1.in ---
&inputepw
prefix = 'hBN'
amass(1) = 91.224
amass(2) = 32.066
outdir = './'
elph = .false.
epbwrite = .false.
epbread = .false.
epwwrite = .true.
epwread = .false.
etf_mem = 1
nbndsub = 12
use_ws = .true.
wannierize = .true.
num_iter = 1000
iprint = 2
dis_win_max = 8.585991132926548
dis_froz_max = -2.620933559657856
fsthick = 1.2
temps = 1
degaussw = 0.005
dvscf_dir = './save'
nk1 = 6
nk2 = 6
nk3 = 1
nq1 = 1
nq2 = 1
nq3 = 1
system_2d = 'dipole_sp'
lpolar = .true.
dis_win_min = -20.405167050259227
wdata(1) = 'guiding_centres = T'
wdata(2) = 'dis_num_iter = 1500'
wdata(3) = 'bands_num_points = 100 '
wdata(4) = 'bands_plot = .true.'
wdata(5) = 'begin kpoint_path'
wdata(6) = 'G 0.0 0.0 0.0 M 0.5 0.0 0.0'
wdata(7) = 'M 0.5 0.0 0.0 K 0.3333333333 0.3333333333 0.0'
wdata(8) = 'K 0.3333333333 0.3333333333 0.0 X 1.0 1.0 0.0'
wdata(9) = 'X 1.0 1.0 0.0 M1 0.0 0.5 0.0'
wdata(10) = 'M1 0.0 0.5 0.0 G 0.0 0.0 0.0'
wdata(11) = 'end kpoint_path'
bands_skipped = 'exclude_bands = 1-6'
proj(1) = 'Zr: l= 2, mr= 4,5'
proj(2) = 'S: l= 3, mr= 1,2,3,6,7'
dis_froz_min = -11.419164624070474
/
```

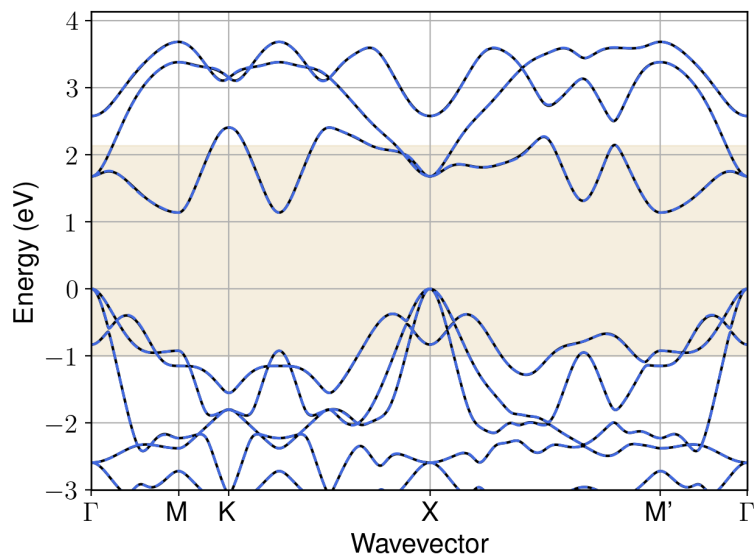


Figure S208: Bandstructure interpolation for monolayer  $\text{ZrS}_2$ . Wannier-interpolation of the band structure of monolayer  $\text{ZrS}_2$  over a wide energy range. Blue dashed lines are results from the present method, black solid lines are explicit DFT calculations. The yellow shaded region shows the range over which optimization has been performed. The interpolation error within the yellow region is 5 meV. The k-grid employed for NSCF calculation is  $6 \times 6$ .

## 197 Material: $\text{ZrSe}_2$

The calculation files are appended below. These files should be executed in the order provided. The location of pseudo potentials should be changed accordingly.

```

---          scf.in ---
&CONTROL
calculation = 'scf'
verbosity = 'high'
restart_mode = 'from_scratch'
outdir = './'
pseudo_dir = '/scratch1/05193/sabyadk/2D_materials_Wann/Materials/ZrSe2-2f549b91/pseudo/'
prefix = 'hBN'
/
&SYSTEM
ibrav = 0
nat = 3
ntyp = 2
ecutwfc = 60
ecutrho = 240
assume_isolated = 2D
/
&ELECTRONS
conv_thr = 1E-12
diagonalization = 'david'
electron_maxstep = 200
/
ATOMIC_SPECIES
Zr 91.224 Zr_r.upf
Se 78.971 Se_r.upf
ATOMIC_POSITIONS crystal
Zr 0.0 0.0 0.99999999999
Se 0.6666666666666666 0.3333333333333333 0.931750365923
Se 0.3333333333333333 0.6666666666666666 0.068249634079

```

```

K_POINTS automatic
6 6 1 0 0 0

CELL_PARAMETERS angstrom
3.7977180811 0.0 2e-16
-1.898859040599818 3.288920334699622 2e-16
0.0 0.0 23.1967661517

```

```

--- nscf.in ---
&CONTROL
calculation = bands
verbosity = 'high'
restart_mode = 'from_scratch'
outdir = './'
pseudo_dir = '/scratch1/05193/sabyadk/2D_materials_Wann/Materials/ZrSe2-2f549b91/pseudo/'
prefix = 'hBN'
/
&SYSTEM
ibrav = 0
nat = 3
ntyp = 2
ecutwfc = 60
ecutrho = 240
assume_isolated = 2D
nbnd = 60
/
&ELECTRONS
conv_thr = 1E-10
diagonalization = 'david'
electron_maxstep = 200
/
ATOMIC_SPECIES
Zr 91.224 Zr_r.upf
Se 78.971 Se_r.upf
ATOMIC_POSITIONS crystal
Zr 0.0 0.0 0.999999999999
Se 0.6666666666666666 0.3333333333333333 0.931750365923
Se 0.3333333333333333 0.6666666666666666 0.068249634079

K_POINTS crystal
36
0.0 0.0 0.0 0.027778
0.0 0.1666666666666666 0.0 0.027778
0.0 0.3333333333333333 0.0 0.027778
0.0 0.5 0.0 0.027778
0.0 0.6666666666666666 0.0 0.027778
0.0 0.8333333333333333 0.0 0.027778
0.1666666666666666 0.0 0.0 0.027778
0.1666666666666666 0.1666666666666666 0.0 0.027778
0.1666666666666666 0.3333333333333333 0.0 0.027778
0.1666666666666666 0.5 0.0 0.027778
0.1666666666666666 0.6666666666666666 0.0 0.027778
0.1666666666666666 0.8333333333333333 0.0 0.027778
0.3333333333333333 0.0 0.0 0.027778
0.3333333333333333 0.1666666666666666 0.0 0.027778
0.3333333333333333 0.3333333333333333 0.0 0.027778
0.3333333333333333 0.5 0.0 0.027778
0.3333333333333333 0.6666666666666666 0.0 0.027778
0.3333333333333333 0.8333333333333333 0.0 0.027778
0.5 0.0 0.0 0.027778
0.5 0.1666666666666666 0.0 0.027778
0.5 0.3333333333333333 0.0 0.027778
0.5 0.5 0.0 0.027778
0.5 0.6666666666666666 0.0 0.027778
0.5 0.8333333333333333 0.0 0.027778
0.6666666666666666 0.0 0.0 0.027778
0.6666666666666666 0.1666666666666666 0.0 0.027778
0.6666666666666666 0.3333333333333333 0.0 0.027778
0.6666666666666666 0.5 0.0 0.027778
0.6666666666666666 0.6666666666666666 0.0 0.027778
0.6666666666666666 0.8333333333333333 0.0 0.027778
0.8333333333333333 0.0 0.0 0.027778
0.8333333333333333 0.1666666666666666 0.0 0.027778
0.8333333333333333 0.3333333333333333 0.0 0.027778
0.8333333333333333 0.5 0.0 0.027778
0.8333333333333333 0.6666666666666666 0.0 0.027778
0.8333333333333333 0.8333333333333333 0.0 0.027778

CELL_PARAMETERS angstrom
3.7977180811 0.0 2e-16
-1.898859040599818 3.288920334699622 2e-16
0.0 0.0 23.1967661517

```

```

---                epw1.in ---
&inputepw
prefix = 'hBN'
amass(1) = 91.224
amass(2) = 78.971
outdir = './'
elph = .false.
epbwrite = .false.
epbread = .false.
epwwrite = .true.
epwread = .false.
etf_mem = 1
nbndsub = 9
use_ws = .true.
wannierize = .true.
num_iter = 1000
iprint = 2
dis_win_max = 17.632044702399334
dis_froz_max = -2.582447334312004
fsthick = 1.2
temps = 1
degaussw = 0.005
dvscf_dir = './save'
nk1 = 6
nk2 = 6
nk3 = 1
nq1 = 1
nq2 = 1
nq3 = 1
system_2d = 'dipole_sp'
lpolar = .true.
dis_win_min = -23.62903752901941
wdata(1) = 'guiding_centres = T'
wdata(2) = 'dis_num_iter = 1500'
wdata(3) = 'bands_num_points = 100 '
wdata(4) = 'bands_plot = .true.'
wdata(5) = 'begin kpoint_path'
wdata(6) = 'G 0.0 0.0 0.0 M 0.5 0.0 0.0'
wdata(7) = 'M 0.5 0.0 0.0 K 0.3333333333 0.3333333333 0.0'
wdata(8) = 'K 0.3333333333 0.3333333333 0.0 X 1.0 1.0 0.0'
wdata(9) = 'X 1.0 1.0 0.0 M1 0.0 0.5 0.0'
wdata(10) = 'M1 0.0 0.5 0.0 G 0.0 0.0 0.0'
wdata(11) = 'end kpoint_path'
bands_skipped = 'exclude_bands = 1-16'
proj(1) = 'Zr: l= -5, mr= 1,4,5'
proj(2) = 'Se: l= 3, mr= 5,6,7'
dis_froz_min = -14.203086108836484
/

```

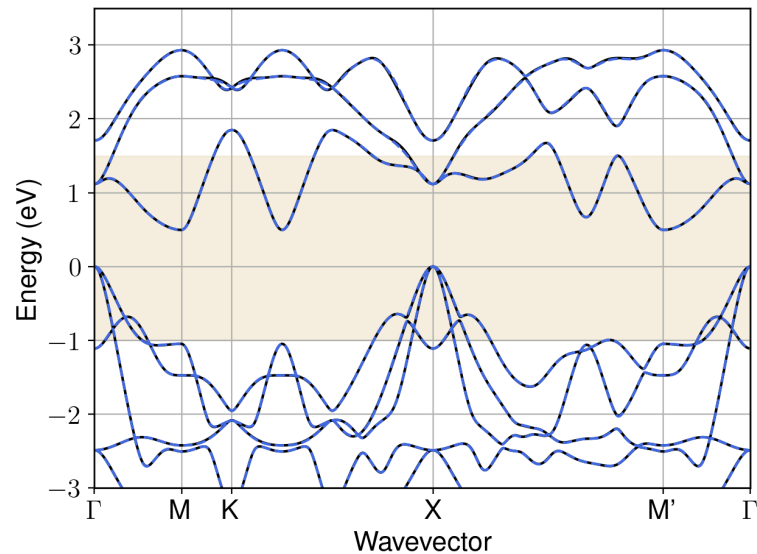


Figure S209: Bandstructure interpolation for monolayer  $\text{ZrSe}_2$ . Wannier-interpolation of the band structure of monolayer  $\text{ZrSe}_2$  over a wide energy range. Blue dashed lines are results from the present method, black solid lines are explicit DFT calculations. The yellow shaded region shows the range over which optimization has been performed. The interpolation error within the yellow region is 5 meV. The k-grid employed for NSCF calculation is  $6 \times 6$ .

## 198 Material: $\text{ZrTe}_2$

The calculation files are appended below. These files should be executed in the order provided. The location of pseudo potentials should be changed accordingly.

```

---          scf.in ---
&CONTROL
calculation = 'scf'
verbosity = 'high'
restart_mode = 'from_scratch'
outdir = './'
pseudo_dir = '/scratch1/05193/sabyadk/2D_materials_Wann/Materials/ZrTe2-88ed8d0e/pseudo/'
prefix = 'hBN'
/
&SYSTEM
ibrav = 0
nat = 3
ntyp = 2
ecutwfc = 60
ecutrho = 240
occupations = 'smearing'
smearing = 'gaussian'
degauss = 0.01
/
&ELECTRONS
conv_thr = 1E-10
diagonalization = cg
electron_maxstep = 500
/
ATOMIC_SPECIES
Zr 91.224 Zr_r.upf
Te 126.7 Te_r.upf
ATOMIC_POSITIONS crystal
Zr 0.0 0.0 0.0
Te 0.6666666666666666 0.3333333333333333 0.923778307646

```

```
Te 0.3333333333333333 0.6666666666666666 0.076221692354
```

```
K_POINTS automatic
6 6 1 0 0 0
```

```
CELL_PARAMETERS angstrom
3.9744450917 0.0 2e-16
-1.9872225458000534 3.441970415400111 2e-16
0.0 0.0 23.6170073716
```

```
--- nscf.in ---
&CONTROL
calculation = bands
verbosity = 'high'
restart_mode = 'from_scratch'
outdir = './'
pseudo_dir = '/scratch1/05193/sabyadk/2D_materials_Wann/Materials/ZrTe2-88ed8d0e/pseudo/'
prefix = 'hBN'
/
&SYSTEM
ibrav = 0
nat = 3
ntyp = 2
ecutwfc = 60
ecutrho = 240
occupations = 'smearing'
smearing = 'gaussian'
degauss = 0.01
nbnd = 60
/
&ELECTRONS
conv_thr = 1E-10
diagonalization = cg
electron_maxstep = 500
/
ATOMIC_SPECIES
Zr 91.224 Zr_r.upf
Te 126.7 Te_r.upf
ATOMIC_POSITIONS crystal
Zr 0.0 0.0 0.0
Te 0.6666666666666666 0.3333333333333333 0.923778307646
Te 0.3333333333333333 0.6666666666666666 0.076221692354

K_POINTS crystal
36
0.0 0.0 0.0 0.027778
0.0 0.1666666666666666 0.0 0.027778
0.0 0.3333333333333333 0.0 0.027778
0.0 0.5 0.0 0.027778
0.0 0.6666666666666666 0.0 0.027778
0.0 0.8333333333333333 0.0 0.027778
0.1666666666666666 0.0 0.0 0.027778
0.1666666666666666 0.1666666666666666 0.0 0.027778
0.1666666666666666 0.3333333333333333 0.0 0.027778
0.1666666666666666 0.5 0.0 0.027778
0.1666666666666666 0.6666666666666666 0.0 0.027778
0.1666666666666666 0.8333333333333333 0.0 0.027778
0.3333333333333333 0.0 0.0 0.027778
0.3333333333333333 0.1666666666666666 0.0 0.027778
0.3333333333333333 0.3333333333333333 0.0 0.027778
0.3333333333333333 0.5 0.0 0.027778
0.3333333333333333 0.6666666666666666 0.0 0.027778
0.3333333333333333 0.8333333333333333 0.0 0.027778
0.5 0.0 0.0 0.027778
0.5 0.1666666666666666 0.0 0.027778
0.5 0.3333333333333333 0.0 0.027778
0.5 0.5 0.0 0.027778
0.5 0.6666666666666666 0.0 0.027778
0.5 0.8333333333333333 0.0 0.027778
0.6666666666666666 0.0 0.0 0.027778
0.6666666666666666 0.1666666666666666 0.0 0.027778
0.6666666666666666 0.3333333333333333 0.0 0.027778
0.6666666666666666 0.5 0.0 0.027778
0.6666666666666666 0.6666666666666666 0.0 0.027778
0.6666666666666666 0.8333333333333333 0.0 0.027778
0.8333333333333333 0.0 0.0 0.027778
0.8333333333333333 0.1666666666666666 0.0 0.027778
0.8333333333333333 0.3333333333333333 0.0 0.027778
0.8333333333333333 0.5 0.0 0.027778
0.8333333333333333 0.6666666666666666 0.0 0.027778
0.8333333333333333 0.8333333333333333 0.0 0.027778

CELL_PARAMETERS angstrom
```

```

3.9744450917 0.0 2e-16
-1.9872225458000534 3.441970415400111 2e-16
0.0 0.0 23.6170073716

```

```

---                epw1.in ---
&inputepw
prefix = 'hBN'
amass(1) = 91.224
amass(2) = 126.7
outdir = './'
elph = .false.
epbwrite = .false.
epbread = .false.
epwwrite = .true.
epwread = .false.
etf_mem = 1
nbndsub = 11
use_ws = .true.
wannierize = .true.
num_iter = 1000
iprint = 2
dis_win_max = 11.705996295270122
dis_froz_max = 2.9501774446035594
fsthick = 1.2
temps = 1
degaussw = 0.005
dvscf_dir = './save'
nk1 = 6
nk2 = 6
nk3 = 1
nq1 = 1
nq2 = 1
nq3 = 1
dis_win_min = -13.096634310407772
wdata(1) = 'guiding_centres = T'
wdata(2) = 'dis_num_iter = 1500'
wdata(3) = 'bands_num_points = 100 '
wdata(4) = 'bands_plot = .true.'
wdata(5) = 'begin kpoint_path'
wdata(6) = 'G 0.0 0.0 0.0 M 0.5 0.0 0.0'
wdata(7) = 'M 0.5 0.0 0.0 K 0.3333333333 0.3333333333 0.0'
wdata(8) = 'K 0.3333333333 0.3333333333 0.0 X 1.0 1.0 0.0'
wdata(9) = 'X 1.0 1.0 0.0 M1 0.0 0.5 0.0'
wdata(10) = 'M1 0.0 0.5 0.0 G 0.0 0.0 0.0'
wdata(11) = 'end kpoint_path'
bands_skipped = 'exclude_bands = 1-16'
proj(1) = 'Zr: l= 3, mr= 1,5,6'
proj(2) = 'Te: l= -5, mr= 1,3,4,5'
dis_froz_min = -4.519689367764494
/

```



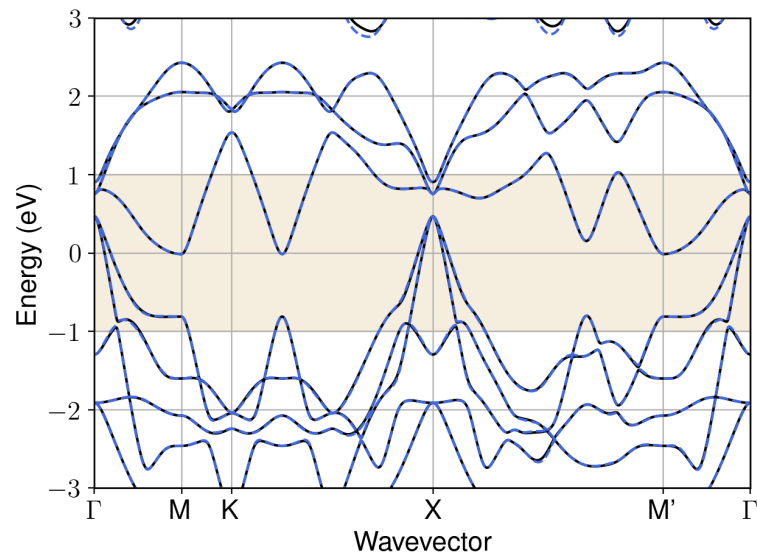


Figure S210: Bandstructure interpolation for monolayer  $\text{ZrTe}_2$ . Wannier-interpolation of the band structure of monolayer  $\text{ZrTe}_2$  over a wide energy range. Blue dashed lines are results from the present method, black solid lines are explicit DFT calculations. The yellow shaded region shows the range over which optimization has been performed. The interpolation error within the yellow region is 9 meV. The k-grid employed for NSCF calculation is  $6 \times 6$ .

## 199 Material: $\text{ZrTiSe}_4$

The calculation files are appended below. These files should be executed in the order provided. The location of pseudo potentials should be changed accordingly.

```

---          scf.in ---
&CONTROL
calculation = 'scf'
verbosity = 'high'
restart_mode = 'from_scratch'
outdir = './'
pseudo_dir = '/scratch1/05193/sabyadk/2D_materials_Wann/Materials/ZrTiSe4-c269ecfd/pseudo/'
prefix = 'hBN'
/
&SYSTEM
ibrav = 0
nat = 6
ntyp = 3
ecutwfc = 60
ecutrho = 240
occupations = 'smearing'
smearing = 'gaussian'
degauss = 0.01
/
&ELECTRONS
conv_thr = 1E-10
diagonalization = cg
electron_maxstep = 500
/
ATOMIC_SPECIES
Zr 91.224 Zr_r.upf
Ti 47.867 Ti_r.upf
Se 78.971 Se_r.upf
ATOMIC_POSITIONS crystal
Zr 0.499999999992 0.503213780747 0.999999999999

```

```

Ti 0.0 0.982405464502 0.999999999999
Se 0.32061908895 0.996672525311 0.068502660343
Se 0.84465009916 0.503911770117 0.066538881568
Se 0.67938091105 0.996672525311 0.931497339656
Se 0.155349900824 0.503911770117 0.933461118435

K_POINTS automatic
6 6 1 0 0 0

CELL_PARAMETERS angstrom
6.375413239075 0.0 4e-16
-2e-16 3.669750559361 2e-16
0.0 0.0 23.1994873053

```

```

---                nscf.in ---
&CONTROL
calculation = bands
verbosity = 'high'
restart_mode = 'from_scratch'
outdir = './'
pseudo_dir = '/scratch1/05193/sabyadk/2D_materials_Wann/Materials/ZrTiSe4-c269ecfd/pseudo/'
prefix = 'hBN'
/
&SYSTEM
ibrav = 0
nat = 6
ntyp = 3
ecutwfc = 60
ecutrho = 240
occupations = 'smearing'
smearing = 'gaussian'
degauss = 0.01
nbnd = 60
/
&ELECTRONS
conv_thr = 1E-10
diagonalization = cg
electron_maxstep = 500
/
ATOMIC_SPECIES
Zr 91.224 Zr_r.upf
Ti 47.867 Ti_r.upf
Se 78.971 Se_r.upf
ATOMIC_POSITIONS crystal
Zr 0.499999999992 0.503213780747 0.999999999999
Ti 0.0 0.982405464502 0.999999999999
Se 0.32061908895 0.996672525311 0.068502660343
Se 0.84465009916 0.503911770117 0.066538881568
Se 0.67938091105 0.996672525311 0.931497339656
Se 0.155349900824 0.503911770117 0.933461118435

K_POINTS crystal
36
0.0 0.0 0.0 0.027778
0.0 0.1666666666666666 0.0 0.027778
0.0 0.3333333333333333 0.0 0.027778
0.0 0.5 0.0 0.027778
0.0 0.6666666666666666 0.0 0.027778
0.0 0.8333333333333333 0.0 0.027778
0.1666666666666666 0.0 0.0 0.027778
0.1666666666666666 0.1666666666666666 0.0 0.027778
0.1666666666666666 0.3333333333333333 0.0 0.027778
0.1666666666666666 0.5 0.0 0.027778
0.1666666666666666 0.6666666666666666 0.0 0.027778
0.1666666666666666 0.8333333333333333 0.0 0.027778
0.3333333333333333 0.0 0.0 0.027778
0.3333333333333333 0.1666666666666666 0.0 0.027778
0.3333333333333333 0.3333333333333333 0.0 0.027778
0.3333333333333333 0.5 0.0 0.027778
0.3333333333333333 0.6666666666666666 0.0 0.027778
0.3333333333333333 0.8333333333333333 0.0 0.027778
0.5 0.0 0.0 0.027778
0.5 0.1666666666666666 0.0 0.027778
0.5 0.3333333333333333 0.0 0.027778
0.5 0.5 0.0 0.027778
0.5 0.6666666666666666 0.0 0.027778
0.5 0.8333333333333333 0.0 0.027778
0.6666666666666666 0.0 0.0 0.027778
0.6666666666666666 0.1666666666666666 0.0 0.027778
0.6666666666666666 0.3333333333333333 0.0 0.027778
0.6666666666666666 0.5 0.0 0.027778
0.6666666666666666 0.6666666666666666 0.0 0.027778
0.6666666666666666 0.8333333333333333 0.0 0.027778

```

```

0.8333333333333333 0.0 0.0 0.027778
0.8333333333333333 0.1666666666666666 0.0 0.027778
0.8333333333333333 0.3333333333333333 0.0 0.027778
0.8333333333333333 0.5 0.0 0.027778
0.8333333333333333 0.6666666666666666 0.0 0.027778
0.8333333333333333 0.8333333333333333 0.0 0.027778

```

```

CELL_PARAMETERS angstrom
6.375413239075 0.0 4e-16
-2e-16 3.669750559361 2e-16
0.0 0.0 23.1994873053

```

```

---                epw1.in ---
&inputepw
prefix = 'hEN'
amass(1) = 91.224
amass(2) = 47.867
amass(3) = 78.971
outdir = './'
elph = .false.
epbwrite = .false.
epbread = .false.
epwwrite = .true.
epwread = .false.
etf_mem = 1
nbndsub = 25
use_ws = .true.
wannierize = .true.
num_iter = 1000
iprint = 2
dis_win_max = 15.306547598569193
dis_froz_max = 3.0391175370222956
fsthick = 1.2
temps = 1
degaussw = 0.005
dvscf_dir = './save'
nk1 = 6
nk2 = 6
nk3 = 1
nq1 = 1
nq2 = 1
nq3 = 1
dis_win_min = -17.387358733487186
wdata(1) = 'guiding_centres = T'
wdata(2) = 'dis_num_iter = 1500'
wdata(3) = 'bands_num_points = 100 '
wdata(4) = 'bands_plot = .true.'
wdata(5) = 'begin kpoint_path'
wdata(6) = 'G 0.0 0.0 0.0 M 0.5 0.0 0.0'
wdata(7) = 'M 0.5 0.0 0.0 K 0.3333333333 0.3333333333 0.0'
wdata(8) = 'K 0.3333333333 0.3333333333 0.0 X 1.0 1.0 0.0'
wdata(9) = 'X 1.0 1.0 0.0 M1 0.0 0.5 0.0'
wdata(10) = 'M1 0.0 0.5 0.0 G 0.0 0.0 0.0'
wdata(11) = 'end kpoint_path'
bands_skipped = 'exclude_bands = 1-32'
proj(1) = 'Zr: l= 3, mr= 1,4,6,7'
proj(2) = 'Ti: l= -5, mr= 1,2,3,4,6'
proj(3) = 'Se: l= -4, mr= 1,3,4,5'
dis_froz_min = -11.28025022060367
/

```

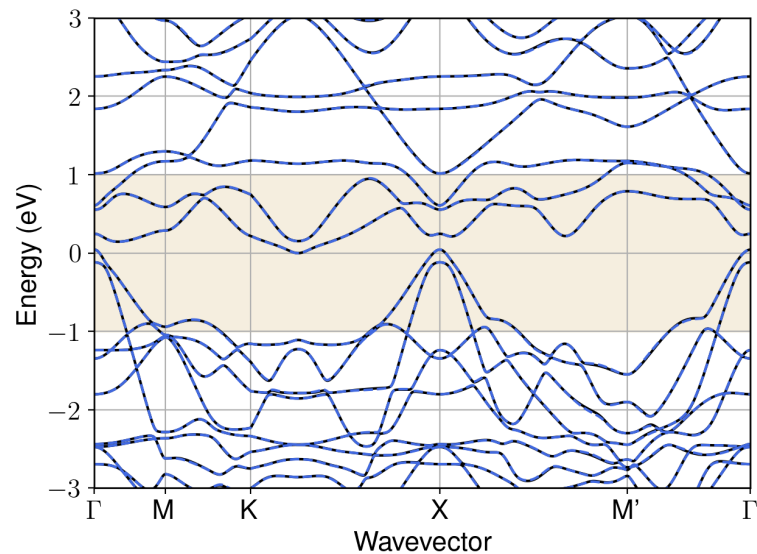


Figure S211: Bandstructure interpolation for monolayer  $\text{ZrTiSe}_4$ . Wannier-interpolation of the band structure of monolayer  $\text{ZrTiSe}_4$  over a wide energy range. Blue dashed lines are results from the present method, black solid lines are explicit DFT calculations. The yellow shaded region shows the range over which optimization has been performed. The interpolation error within the yellow region is 2 meV. The k-grid employed for NSCF calculation is  $6 \times 6$ .

## 200 Material: $\text{ZrTiTe}_4$

The calculation files are appended below. These files should be executed in the order provided. The location of pseudo potentials should be changed accordingly.

```

---          scf.in ---
&CONTROL
calculation = 'scf'
verbosity = 'high'
restart_mode = 'from_scratch'
outdir = './'
pseudo_dir = '/scratch1/05193/sabyadk/2D_materials_Wann/Materials/ZrTiTe4-6bb865fb/pseudo/'
prefix = 'hBN'
/
&SYSTEM
ibrav = 0
nat = 6
ntyp = 3
ecutwfc = 60
ecutrho = 240
occupations = 'smearing'
smearing = 'gaussian'
degauss = 0.01
/
&ELECTRONS
conv_thr = 1E-10
diagonalization = cg
electron_maxstep = 500
/
ATOMIC_SPECIES
Zr 91.224 Zr_r.upf
Ti 47.867 Ti_r.upf
Te 126.7 Te_r.upf
ATOMIC_POSITIONS crystal
Zr 0.5 0.001530443597 0.99999985534

```

```

Ti 0.0 0.50152927714 1.48925e-07
Te 0.0 0.82395228127 0.923784152687
Te 0.5 0.345081260242 0.926191120598
Te 0.0 0.179108737796 0.076215876752
Te 0.5 0.657980702936 0.073808845697

```

```

K_POINTS automatic
6 6 1 0 0 0

```

```

CELL_PARAMETERS angstrom
3.866028027 0.0 2e-16
-4e-16 6.7179495652 4e-16
0.0 0.0 23.5921491241

```

```

---                nscf.in ---
&CONTROL
calculation = bands
verbosity = 'high'
restart_mode = 'from_scratch'
outdir = './'
pseudo_dir = '/scratch1/05193/sabyadk/2D_materials_Wann/Materials/ZrTiTe4-6bb865fb/pseudo/'
prefix = 'hBN'
/
&SYSTEM
ibrav = 0
nat = 6
ntyp = 3
ecutwfc = 60
ecutrho = 240
occupations = 'smearing'
smearing = 'gaussian'
degauss = 0.01
nbnd = 60
/
&ELECTRONS
conv_thr = 1E-10
diagonalization = cg
electron_maxstep = 500
/
ATOMIC_SPECIES
Zr 91.224 Zr_r.upf
Ti 47.867 Ti_r.upf
Te 126.7 Te_r.upf
ATOMIC_POSITIONS crystal
Zr 0.5 0.001530443597 0.99999985534
Ti 0.0 0.50152927714 1.48925e-07
Te 0.0 0.82395228127 0.923784152687
Te 0.5 0.345081260242 0.926191120598
Te 0.0 0.179108737796 0.076215876752
Te 0.5 0.657980702936 0.073808845697

K_POINTS crystal
36
0.0 0.0 0.0 0.027778
0.0 0.1666666666666666 0.0 0.027778
0.0 0.3333333333333333 0.0 0.027778
0.0 0.5 0.0 0.027778
0.0 0.6666666666666666 0.0 0.027778
0.0 0.8333333333333333 0.0 0.027778
0.1666666666666666 0.0 0.0 0.027778
0.1666666666666666 0.1666666666666666 0.0 0.027778
0.1666666666666666 0.3333333333333333 0.0 0.027778
0.1666666666666666 0.5 0.0 0.027778
0.1666666666666666 0.6666666666666666 0.0 0.027778
0.1666666666666666 0.8333333333333333 0.0 0.027778
0.3333333333333333 0.0 0.0 0.027778
0.3333333333333333 0.1666666666666666 0.0 0.027778
0.3333333333333333 0.3333333333333333 0.0 0.027778
0.3333333333333333 0.5 0.0 0.027778
0.3333333333333333 0.6666666666666666 0.0 0.027778
0.3333333333333333 0.8333333333333333 0.0 0.027778
0.5 0.0 0.0 0.027778
0.5 0.1666666666666666 0.0 0.027778
0.5 0.3333333333333333 0.0 0.027778
0.5 0.5 0.0 0.027778
0.5 0.6666666666666666 0.0 0.027778
0.5 0.8333333333333333 0.0 0.027778
0.6666666666666666 0.0 0.0 0.027778
0.6666666666666666 0.1666666666666666 0.0 0.027778
0.6666666666666666 0.3333333333333333 0.0 0.027778
0.6666666666666666 0.5 0.0 0.027778
0.6666666666666666 0.6666666666666666 0.0 0.027778
0.6666666666666666 0.8333333333333333 0.0 0.027778

```

```

0.8333333333333333 0.0 0.0 0.027778
0.8333333333333333 0.1666666666666666 0.0 0.027778
0.8333333333333333 0.3333333333333333 0.0 0.027778
0.8333333333333333 0.5 0.0 0.027778
0.8333333333333333 0.6666666666666666 0.0 0.027778
0.8333333333333333 0.8333333333333333 0.0 0.027778

```

```

CELL_PARAMETERS angstrom
3.866028027 0.0 2e-16
-4e-16 6.7179495652 4e-16
0.0 0.0 23.5921491241

```

```

---                epw1.in ---
&inputepw
prefix = 'hEN'
amass(1) = 91.224
amass(2) = 47.867
amass(3) = 126.7
outdir = './'
elph = .false.
epbwrite = .false.
epbread = .false.
epwwrite = .true.
epwread = .false.
etf_mem = 1
nbndsub = 19
use_ws = .true.
wannierize = .true.
num_iter = 1000
iprint = 2
dis_win_max = 11.342203364621394
dis_froz_max = 1.585792728139754
fsthick = 1.2
temps = 1
degaussw = 0.005
dvscf_dir = './save'
nk1 = 6
nk2 = 6
nk3 = 1
nq1 = 1
nq2 = 1
nq3 = 1
dis_win_min = -15.947917215942264
wdata(1) = 'guiding_centres = T'
wdata(2) = 'dis_num_iter = 1500'
wdata(3) = 'bands_num_points = 100 '
wdata(4) = 'bands_plot = .true.'
wdata(5) = 'begin kpoint_path'
wdata(6) = 'G 0.0 0.0 0.0 M 0.5 0.0 0.0'
wdata(7) = 'M 0.5 0.0 0.0 K 0.3333333333 0.3333333333 0.0'
wdata(8) = 'K 0.3333333333 0.3333333333 0.0 X 1.0 1.0 0.0'
wdata(9) = 'X 1.0 1.0 0.0 M1 0.0 0.5 0.0'
wdata(10) = 'M1 0.0 0.5 0.0 G 0.0 0.0 0.0'
wdata(11) = 'end kpoint_path'
bands_skipped = 'exclude_bands = 1-32'
proj(1) = 'Zr: l= 3, mr= 4,7'
proj(2) = 'Ti: l= 2, mr= 1'
proj(3) = 'Te: l= 3, mr= 1,4,6,7'
dis_froz_min = -6.9565048049705736
/

```

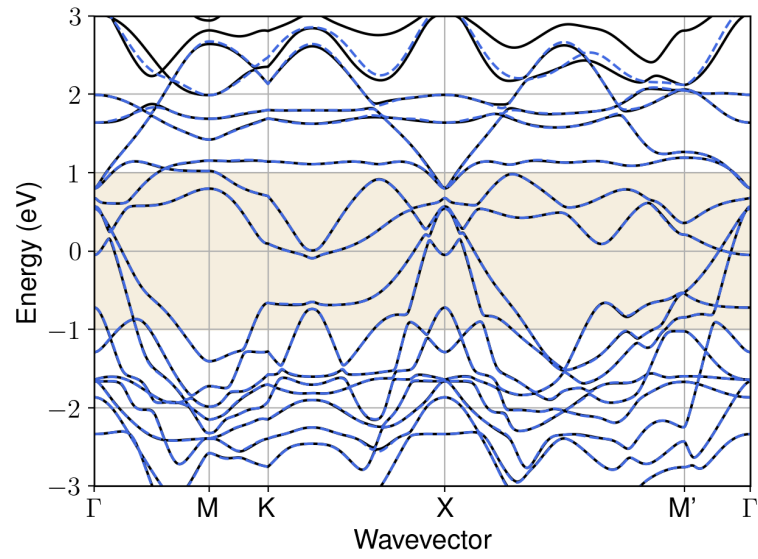


Figure S212: Bandstructure interpolation for monolayer ZrTiTe<sub>4</sub>. Wannier-interpolation of the band structure of monolayer ZrTiTe<sub>4</sub> over a wide energy range. Blue dashed lines are results from the present method, black solid lines are explicit DFT calculations. The yellow shaded region shows the range over which optimization has been performed. The interpolation error within the yellow region is 4 meV. The k-grid employed for NSCF calculation is  $6 \times 6$ .